



**CATÁLOGO DE DATAACIONES RADIOMÉTRICAS DE COLOMBIA EN ARCGIS Y  
GOOGLE EARTH**

Bogotá D. C., julio de 2015





## **CATÁLOGO DE DATAZIONES RADIOMÉTRICAS DE COLOMBIA EN ARCGIS Y GOOGLE EARTH**

**Por:**

**Jorge Gómez Tapia**  
**Geólogo**

(Servicio Geológico Colombiano, Dirección de Geociencias Básicas, coordinador del  
Proyecto Mapa Geológico de Colombia)

**Nohora Emma Montes Ramírez**  
**Geóloga**

(Servicio Geológico Colombiano, Dirección de Geociencias Básicas, Proyecto Mapa  
Geológico de Colombia)

**Fernando Alirio ALCÁRCEL GUTIÉRREZ**

(Servicio Geológico Colombiano, Dirección de Geociencias Básicas, Proyecto Mapa  
Geológico de Colombia)

**Julián Andrés CEBALLOS HERNÁNDEZ**

(Servicio Geológico Colombiano, Dirección de Geociencias Básicas)

**Bogotá D. C., julio de 2015**

## **CONTENIDO**

	Pág.
<b>RESUMEN .....</b>	<b>8</b>
<b>INTRODUCCIÓN .....</b>	<b>10</b>
<b>1. METODOLOGÍA.....</b>	<b>11</b>
<b>2. CONSIDERACIONES FINALES .....</b>	<b>23</b>
<b>3. AGRADECIMIENTOS.....</b>	<b>25</b>
<b>4. REFERENCIAS BIBLIOGRÁFICAS .....</b>	<b>26</b>

## LISTA DE FIGURAS

	Pág.
Figura 1 Mapa geológico generalizado de sureste de Colombia con grilla de coordenadas geográficas. Este es reproducido en su tamaño original, luego de ser escaneado y georreferenciado en ArcMap para capturar las coordenadas de las muestras. Figura 1 del trabajo de Priem <i>et al.</i> (1982).....	12
Figura 2 Mapa de localización del sur de la cordillera Oriental sin grilla de coordenadas. Este es reproducido en su tamaño original, luego de ser escaneado y georreferenciado en ArcMap con base en sitios comunes del mapa y la cartografía oficial del IGAC, para capturar las coordenadas de las muestras. Figura 3 del trabajo de van der Wiel (1991). .....	13
Figura 3 Georreferenciación en ArcMap 9.3.1 del ráster (en formato TIF) de la Figura 1 del trabajo de Priem <i>et al.</i> (1982). Imagen con un 40 % de transparencia sobrepuerta a las imágenes de relieve sombreado generadas con el Modelo de Elevación Digital (MDE) de 30 m de resolución del <i>Shuttle Radar Topography Mission</i> (SRTM) de la NASA (USGS, 2004). Esta figura se georreferenció con base en la grilla de coordenadas del mapa y el control de puntos topográficos comunes en la cartografía base oficial del IGAC —destáquese que la cobertura de drenajes de la figura es la oficial del IGAC a escala 1:100 000—. En el recuadro aparece la tabla con la información de los 11 puntos utilizados en la georreferenciación. El punto 2 de esta tabla se puede ver en el mapa como una cruz roja dentro de un círculo amarillo y los puntos de datación capturados en ArcGIS como estrellas rojas. ....	14
Figura 4 Georreferenciación en ArcMap 9.3.1 del raster (formato TIF) de la Figura 3 escaneada del trabajo de van der Wiel (1991). Imagen con un 40 % de transparencia sobrepuerta a las imágenes de relieve sombreado generadas con el Modelo de Elevación Digital (MDE) de 30 m de resolución del <i>Shuttle Radar Topography Mission</i> (SRTM) de la NASA (USGS, 2004). La figura no tiene una grilla de coordenadas, pero sí abundantes puntos de control relacionados con sitios geográficos y rasgos topográficos comunes con la cartografía base oficial del IGAC. En el recuadro aparece la tabla con la información de los puntos utilizados en la georreferenciación. Para el punto 10 de la tabla se utilizó el municipio de Argentina (Huila) que aparece en el mapa con una cruz roja dentro de un círculo amarillo. Los dos puntos de datación capturados en ArcGIS se ven como estrellas rojas. ....	15
Figura 5 Regionalización de los parámetros de transformación según la nomenclatura de planchas del IGAC a escala 1:100 000 (Tomada de IGAC, 2004). El mapa está en coordenadas geográficas <i>datum Bogotá</i> . ....	17
Figura 6 Modelo de datos del Catálogo de dataciones radiométricas de Colombia en ArcGIS y Google Earth.....	18

Figura 7 Captura del punto de datación de la muestra MW 542 —estrella roja dentro del círculo amarillo— después de georreferenciar el mapa escaneado de van der Wiel (1991). En el recuadro aparece la datación con todos sus atributos .....	20
Figura 8 Distribución geográfica de las dataciones radiométricas realizadas en Colombia .....	21
Figura 9 Visualización del Catálogo de dataciones radiométricas de Colombia en Google Earth. Nótese que a diferencia de la versión en ArcGIS, esta versión tiene el campo de la URL .....	22
Figura 10 Gráfica de distribución de frecuencia por método de datación del Catálogo de dataciones radiométricas de Colombia en ArcGIS y Google Earth.....	23

## **LISTA DE TABLAS**

	<b>Pág.</b>
Tabla 1 Campos implementados en el <i>Feature Class</i> del Catálogo de dataciones radiométricas de Colombia en ArcGIS y Google Earth .....	19

**LISTA DE ANEXOS**

	<b>Pág.</b>
ANEXO A Catálogo de dataciones radiométricas de Colombia en ArcGIS y Google Earth .....	28
ANEXO B Referencias citadas en el Anexo 1.....	29

## RESUMEN

El “Catálogo de dataciones radiométricas de Colombia en ArcGIS y Google Earth” compila las dataciones geocronológicas realizadas en el territorio colombiano hasta octubre de 2014, a partir de los métodos de decaimiento radiactivo Ar–Ar, carbono–14, huellas de fisión, K–Ar, Pb–Pb, Rb–Sr, Re–Os, Sm–Nd, U–Pb (ID–TIMS, LA–ICP–MS, LA–MC–ICP–MS y SHRIMP), U–Th, U–Th/He y U–Th/Pb. Cada datación radiométrica hace parte de un registro almacenado en una *File Geodatabase* en ArcGIS 9.3.1. En total se almacenaron 4427 registros, de los cuales 3801 están georreferenciados y 626 no tienen coordenadas.

La metodología implementada consistió en adquirir las coordenadas de las muestras datadas directamente de las publicaciones, para luego cargarlos en un SIG en su sistema de coordenadas original. Cuando la georreferenciación no estaba disponible, pero las figuras o los mapas tenían la localización de los puntos de muestreo, se procedió a escanearlos y georreferenciarlos con base en los rasgos topográficos o lugares geográficos comunes entre la imagen y la cartografía base oficial digital del territorio colombiano a escala 1:100 000 del IGAC.

El catálogo de dataciones radiométricas de Colombia se entrega como una tabla, un Feature Class creado en un *Feature Dataset* en coordenadas geográficas MAGNA de una *File Geodatabase* y un archivo KMZ en el sistema de coordenadas WGS84 para ser visualizado en Google Earth.

**Palabras clave:** Catálogo, dataciones geocronológicas, SIG, Colombia, ArcGIS, Google Earth.

## ABSTRACT

The **Radiometric Dating Catalog of Colombia in ArcGIS and Google Earth** is a compilation of geochronological data of the studies carried out in the Colombian territory until October 2014, and is based on the measuring methods of radioactive decay such as: Ar–Ar, Carbon–14, Fission track, K–Ar, Pb–Pb, Rb–Sr, Re–Os, Sm–Nd, U–Pb (ID–TIMS, LA–ICP–MS, LA–MC–ICP–MS and SHRIMP), U–Th, U–Th/He and U–Th/Pb. Each radiometric dating was stored in a File Geodatabase in ArcGIS 9.3.1. A total of 4427 records were stored in the Catalog, whose 3801 are georeferenced and 626 do not have coordinates.

The methodology implemented consists of obtaining the coordinates of the geochronological data directly from publications and then these coordinates were loaded in the GIS in its original coordinate system. When these coordinates were not available, but the location of the samples were indicated on maps or graphics, we proceeded to scan and georeference these on the basis of topographic features or known geographical sites identifiable in both the images and the official digital base map of the Colombian territory at a scale of 1:100 000 of the IGAC.

The **Radiometric Dating Catalog of Colombia** is available in a table as well as in a Feature Class created as part of a Feature Dataset in a File Geodatabase using MAGNA geographic coordinate system, and also as a KMZ file with the WGS84 coordinate system to display in Google Earth.

## INTRODUCCIÓN

Uno de los objetivos del proyecto Mapa Geológico de Colombia (MGC) del Servicio Geológico Colombiano (SGC) es compilar la información científica publicada y disponible de Colombia, que permita actualizar las versiones periódicas del MGC. Por tal razón, en el 2010 se inició la recopilación de datos para el “Catálogo de dataciones radiométricas de Colombia en ArcGIS y Google Earth”, que incluye las dataciones radiométricas realizadas en el territorio colombiano hasta octubre de 2014 y que fueron publicadas en artículos científicos nacionales e internacionales; tesis de pregrado, maestría y doctorado; memorias de mapas geológicos, y reportes inéditos del SGC y de otras instituciones.

Las dataciones radiométricas, que con el tiempo han evolucionado para alcanzar una mayor exactitud, constituyen una herramienta muy valiosa en las investigaciones geológicas, tanto como sustento en la cronoestratigrafía como para el establecimiento de modelos geológicos. En Colombia se han realizado varias compilaciones de edades radiométricas, como las de Millward & Verdugo (1981), Restrepo (1983), Maya (1992) y Calvache (1988) —que contiene las edades isotópicas del volcanismo del Neógeno-Cuaternario de Colombia— que fueron la base de consulta para hacer el presente Catálogo. Durante la compilación **se consultaron todas las fuentes originales** con excepción de Richards (2011) cuya información se obtuvo de Chamois & Evans (2012).

En ninguna de las compilaciones nombradas anteriormente se había incluido la información en un Sistema de Información Geográfica (SIG). Es por ello y debido a la publicación en los últimos años de importantes estudios sobre geocronología en Colombia, que surgió la necesidad de hacer un catálogo con edades actualizadas a octubre de 2014 en una plataforma SIG, para ser consultada en ArcGIS en coordenadas geográficas datum MAGNA y Google Earth en datum WGS84, y que estuviera a disposición de la comunidad geocientífica y del sector minero energético.

## 1. METODOLOGÍA

De cada publicación se obtuvieron las coordenadas planas o geográficas —si estaban disponibles— verificando su sistema de coordenadas original, debido a que esta información pocas veces se especificaba. Vale la pena mencionar que en la latitud del Observatorio Astronómico Nacional, localizado en predios de la Casa de Nariño, la diferencia entre el *datum* Bogotá y el *datum* MAGNA es de *ca.* 531 m, por lo que definir este parámetro es de gran importancia para garantizar la buena localización de cada punto de datación. Para verificar el sistema de coordenadas original, fue necesario cargar cada registro en ArcGIS usando el mapa base oficial digital a escala 1:100 000 del Instituto Geográfico Agustín Codazzi (IGAC) en diferentes sistemas de coordenadas y compararlo con los mapas de las publicaciones hasta definir el sistema original correcto.

Cuando las coordenadas del sitio de muestreo no estaban disponibles en las publicaciones, pero las figuras o los mapas tenían los puntos de muestreo (figuras 1 y 2), se procedió a escanearlos y a generar un archivo *raster* del mapa o la figura en formato Tagged Image File Format (TIFF o TIF). Este archivo se desplegó en ArcMap y se georreferenció primero con las coordenadas del mapa o la figura (Figura 3). Si una vez georreferenciado no coincidía con la cartografía oficial del IGAC, fue necesario ajustar la georreferenciación con puntos geográficos como drenajes, ríos principales, vías, puentes, poblaciones, etc., presentes tanto en la imagen como en la cartografía base oficial digital a escala 1:100 000 del IGAC o en la cartografía geológica digital a escala 1:100 000 del SGC. Al agregar los puntos de control, la imagen se fue acomodando hasta coincidir con los elementos espaciales comunes del mapa base y al final se aplicó el algoritmo *Adjust* (Figura 3). Es importante tener en cuenta que se agregaron tantos puntos como lo permitía la imagen escaneada o los necesarios hasta obtener una buena georreferenciación. Por último, se digitalizó el punto de muestreo de la imagen y se calcularon sus coordenadas planas o geográficas con el comando *Calculate Geometry* en la tabla de atributos (Attribute Table) del *Feature Class* del Catálogo.

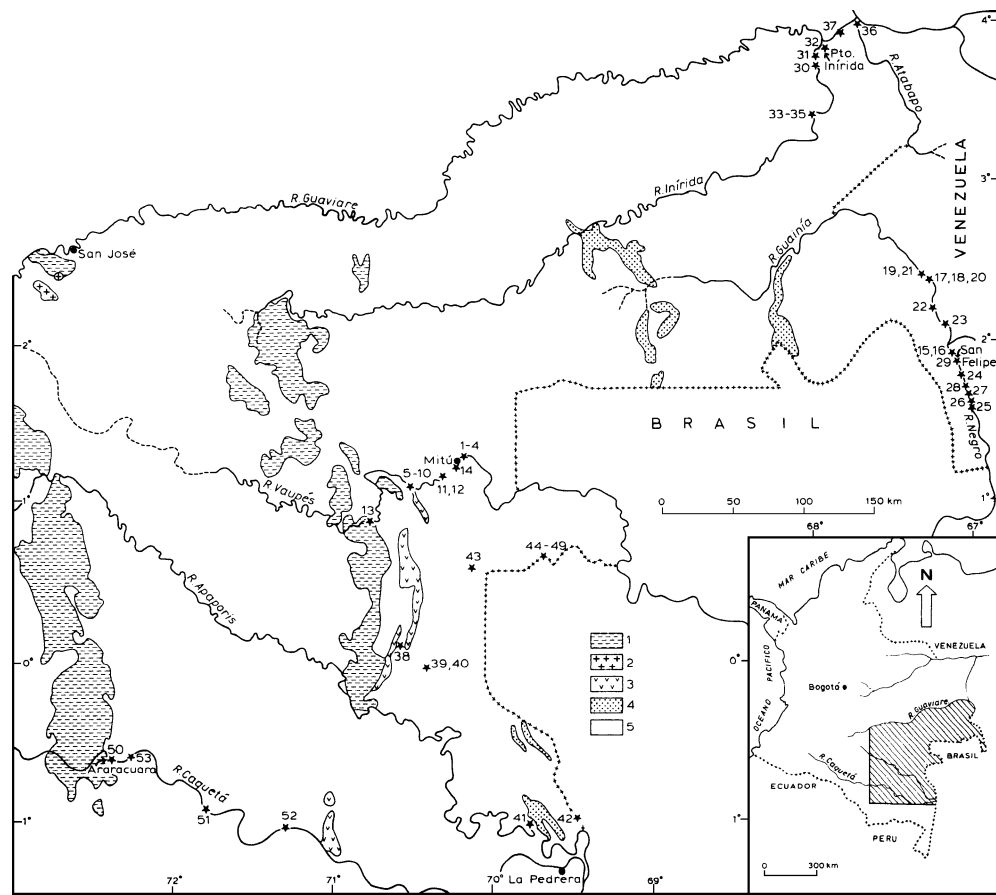


Figura 1 Mapa geológico generalizado de sureste de Colombia con grilla de coordenadas geográficas. Este es reproducido en su tamaño original, luego de ser escaneado y georreferenciado en ArcMap para capturar las coordenadas de las muestras. Figura 1 del trabajo de Priem *et al.* (1982).

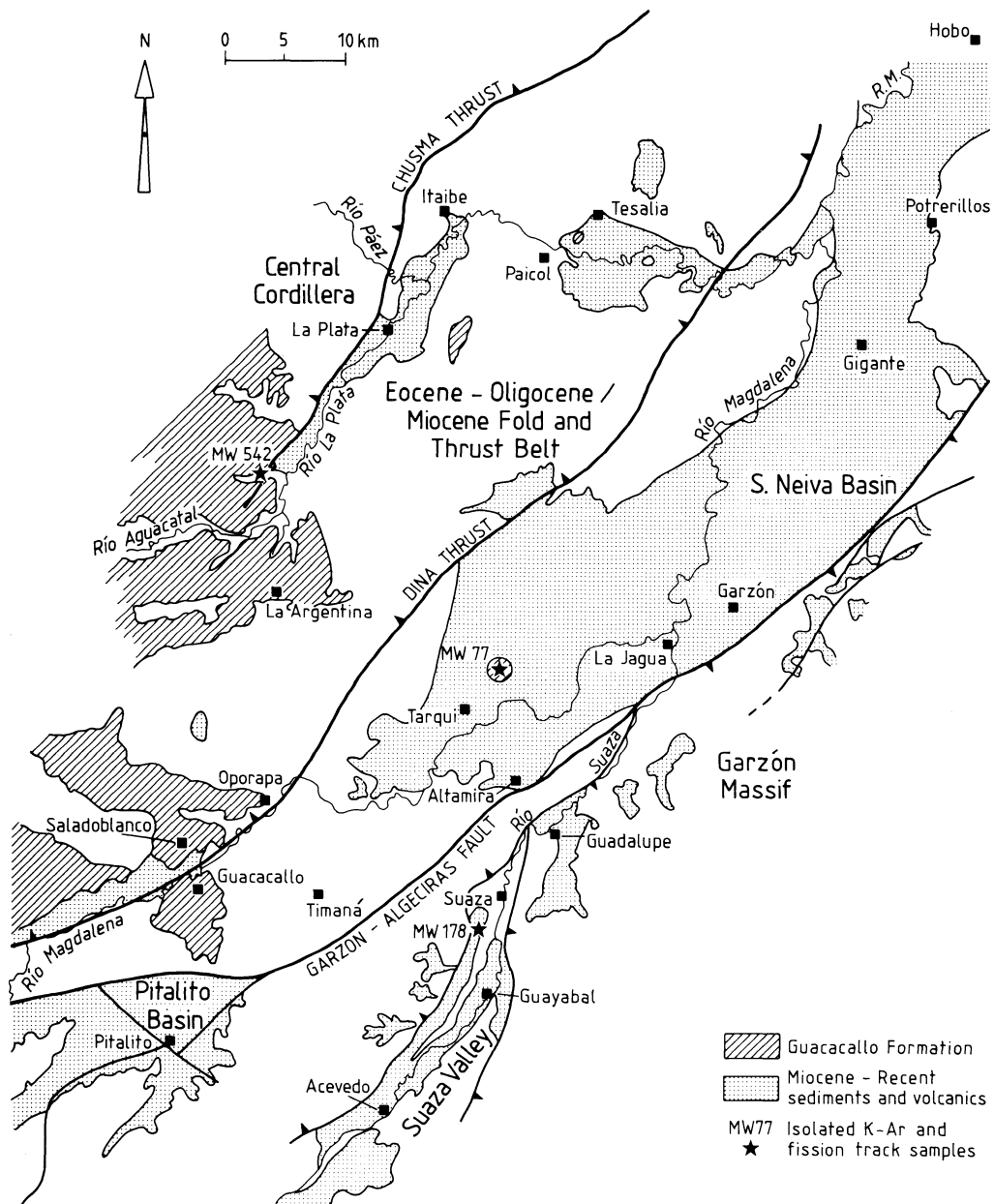


Figura 2 Mapa de localización del sur de la cordillera Oriental sin grilla de coordenadas. Este es reproducido en su tamaño original, luego de ser escaneado y georreferenciado en ArcMap con base en sitios comunes del mapa y la cartografía oficial del IGAC, para capturar las coordenadas de las muestras. Figura 3 del trabajo de van der Wiel (1991).

## Servicio Geológico Colombiano

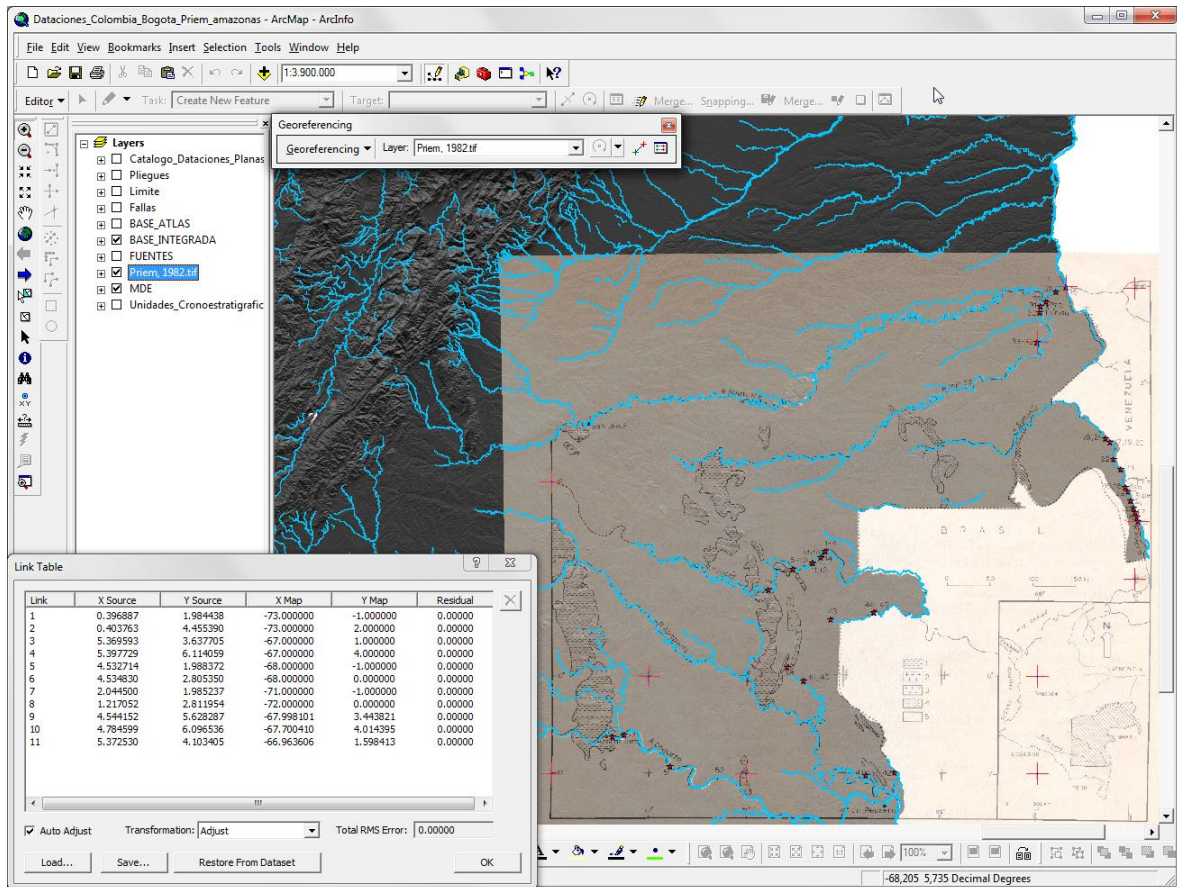


Figura 3 Georreferenciación en ArcMap 9.3.1 del ráster (en formato TIF) de la Figura 1 del trabajo de Priem *et al.* (1982). Imagen con un 40 % de transparencia sobreposta a las imágenes de relieve sombreado generadas con el Modelo de Elevación Digital (MDE) de 30 m de resolución del *Shuttle Radar Topography Mission* (SRTM) de la NASA (USGS, 2004). Esta figura se georreferenció con base en la grilla de coordenadas del mapa y el control de puntos topográficos comunes en la cartografía base oficial del IGAC —destáquese que la cobertura de drenajes de la figura es la oficial del IGAC a escala 1:100 000—. En el recuadro aparece la tabla con la información de los 11 puntos utilizados en la georreferenciación. El punto 2 de esta tabla se puede ver en el mapa como una cruz roja dentro de un círculo amarillo y los puntos de datación capturados en ArcGIS como estrellas rojas.

Para los casos en los que el mapa o la figura no tenían una grilla de coordenadas que permitiera una adecuada georreferenciación, esta se efectuó con la mayor exactitud posible de acuerdo a los rasgos topográficos comunes entre la imagen y el mapa base del IGAC (Figura 4).

## Servicio Geológico Colombiano

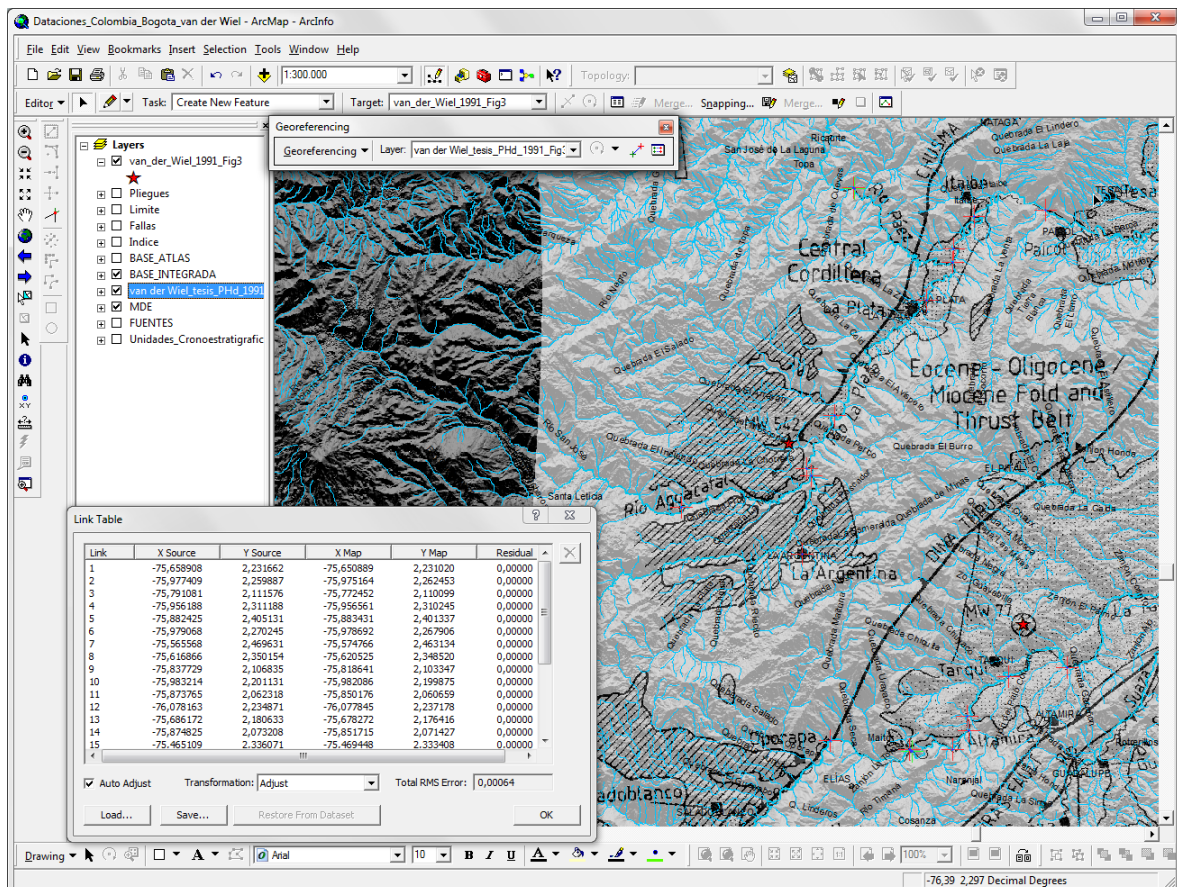


Figura 4 Georreferenciación en ArcMap 9.3.1 del raster (formato TIF) de la Figura 3 escaneada del trabajo de van der Wiel (1991). Imagen con un 40 % de transparencia sobrepuerta a las imágenes de relieve sombreado generadas con el Modelo de Elevación Digital (MDE) de 30 m de resolución del Shuttle Radar Topography Mission (SRTM) de la NASA (USGS, 2004). La figura no tiene una grilla de coordenadas, pero sí abundantes puntos de control relacionados con sitios geográficos y rasgos topográficos comunes con la cartografía base oficial del IGAC. En el recuadro aparece la tabla con la información de los puntos utilizados en la georreferenciación. Para el punto 10 de la tabla se utilizó el municipio de Argentina (Huila) que aparece en el mapa con una cruz roja dentro de un círculo amarillo. Los dos puntos de datación capturados en ArcGIS se ven como estrellas rojas.

En muchos otros casos, cuando las coordenadas del punto de muestro estaban disponibles pero estas no coincidían con la localización de ese mismo punto en el mapa publicado, las coordenadas se ignoraron y se le dio prioridad al mapa. Las coordenadas reportadas en el catálogo fueron obtenidas de acuerdo a la metodología descrita anteriormente —escaneo, georreferenciación y captura de coordenadas—. Esta situación ocurre especialmente cuando se reportan coordenadas con una aproximación

a grados o minutos; por ejemplo, cuando se da una aproximación a minutos, el error en la localización puede llegar a ser del orden de km, ya que 1 minuto equivale a 1852,57 m y 1 segundo a 31,043 m a los 4° de latitud norte.

En los casos en los que solo se publicaron las coordenadas de localización —sin mapas o con mapas regionales a escalas muy pequeñas— y estas no coincidían con la descripción del lugar, se prefirió compilar el dato sin coordenadas y se documentó en la columna de comentarios. Cuando se reportaba la localización en coordenadas planas es frecuente que en varios trabajos se invirtieran los metros norte por los metros este y viceversa, esta situación se evidenció al cargar las coordenadas en ArcGIS y compararlas con los mapas. En el Catálogo ese error fue corregido.

Como último recurso para obtener las coordenadas de las dataciones, se contactó a los autores y en la mayoría de los casos fueron ellos quienes suministraron las coordenadas. Cuando esto sucedió se mencionó en la columna **Fuente de georreferenciación**. Resaltamos el gran aporte que hizo en ese sentido el profesor Jorge Julián RESTREPO de la Universidad Nacional de Colombia Sede Medellín, quien amablemente nos suministró las coordenadas de 128 localidades donde se realizaron dataciones.

Para el caso de muestras tomadas en pozos se obtuvieron las coordenadas del pozo en la página web Exploration and Production Information Service (EPIS) de la Agencia Nacional de Hidrocarburos (ANH) [www.epis.com.co](http://www.epis.com.co).

Después de obtener una tabla con toda la información compilada, se cargaron las coordenadas de localización de cada una de las muestras datadas en el sistema de coordenadas original planas o geográficas, y en *datum BOGOTA*, *datum MAGNA* o *datum WGS84* en la que cada una fue reportada, y así se creó un *Feature Class* en ArcCatalog por cada uno de ellos en la *File Geodatabase*. Posteriormente, todos estos *Feature Class* se proyectaron y se integraron en un solo *Feature Class* en un *Feature Dataset* de coordenadas geográficas MAGNA. La proyección se hizo teniendo en cuenta las ocho regiones de transformación definidas para el país (Figura 5), con el método de Molodensky–Badekas y de acuerdo a la metodología establecida por el IGAC (2004). Las coordenadas planas y geográficas MAGNA de cada datación fueron calculadas para su origen correspondiente (MAGNA\_Colombia\_Oeste\_Oeste, MAGNA\_Colombia\_Oeste, MAGNA\_Colombia\_Bogota, MAGNA\_Colombia\_Este o MAGNA\_Colombia\_Este\_Este), con el comando *Calculate Geometry*. No se implementaron en el SIG las dataciones en las que definitivamente no se pudo obtener la localización o esta era dudosa, pero aparecen en el Catálogo sin coordenadas de localización en el Anexo 1.

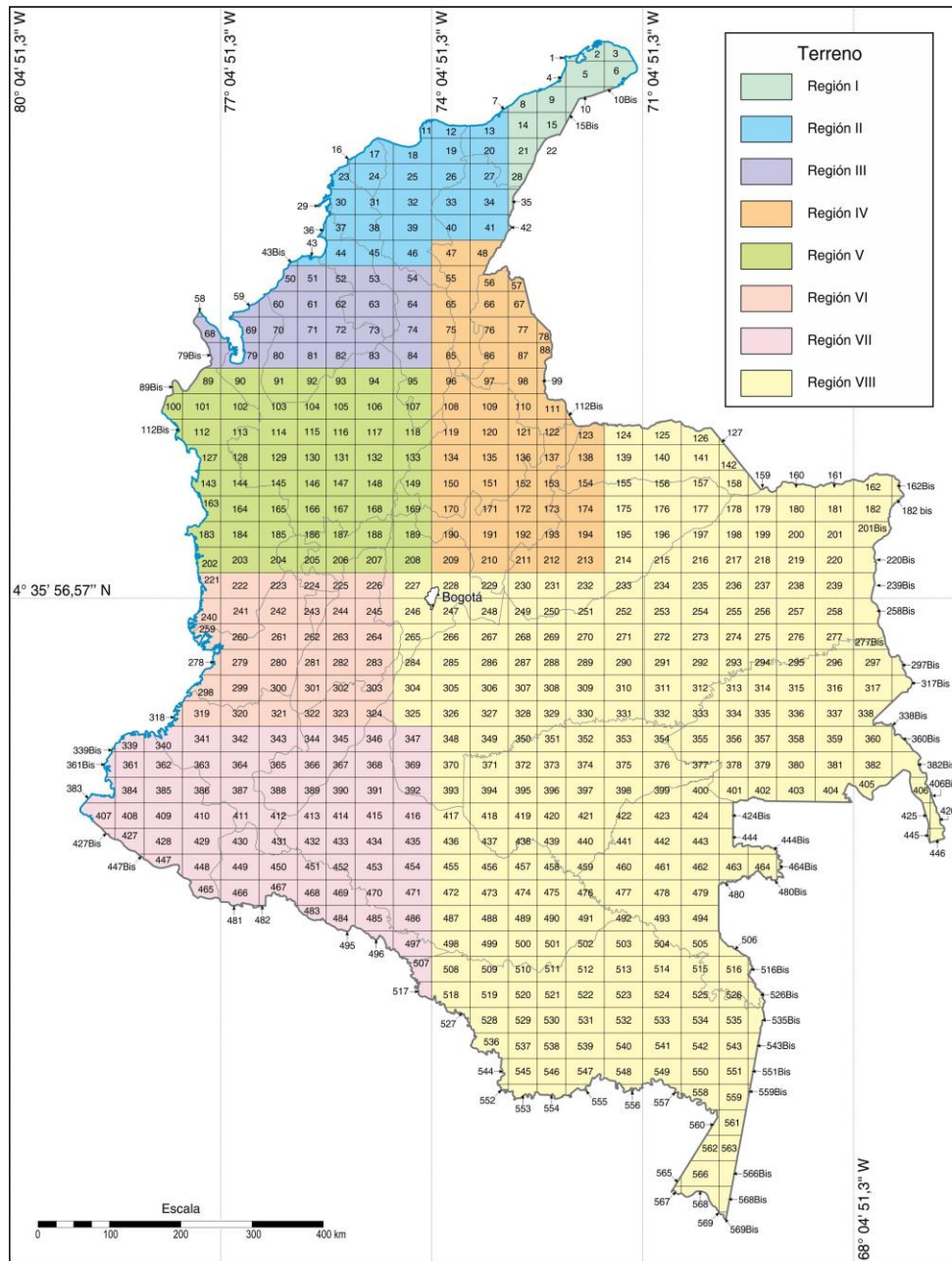


Figura 5 Regionalización de los parámetros de transformación según la nomenclatura de planchas del IGAC a escala 1:100 000 (Tomada de IGAC, 2004). El mapa está en coordenadas geográficas datum Bogotá.

En cuanto a la revisión de las fuentes originales se encontraron edades negativas, que no se incluyeron en el Catálogo, de la misma forma que **no se tuvieron en cuenta las comunicaciones orales y escritas**. Además, cuando una misma muestra datada estaba

en una tesis de doctorado y en un artículo científico con alguna diferencia en los datos, se prefirió tomar el dato publicado en el artículo.

Para la implementación del Catálogo en un SIG, se estructuró de acuerdo al modelo de datos que se ve en la Figura 6 y que se explica a continuación. En una *File Geodatabase* de ArcMap–ArcGIS 9.3.1 se almacenó un sistema de bases de datos de tablas relacionales, *Raster Dataset*, *Feature Dataset* de puntos y anotaciones. La información de cada datación radiométrica hace parte de un registro almacenado en la base de datos geográfica y los atributos de cada punto de la datación radiométrica se describen en la Tabla 1. Un ejemplo del despliegue de los atributos en ArcMap se aprecia en la Figura 7, que corresponde a la datación de 7,3 Ma de van der Wiel *et al.* (1992), cuyas coordenadas se obtuvieron de la georreferenciación de la Figura 3 de van der Wiel (1991).

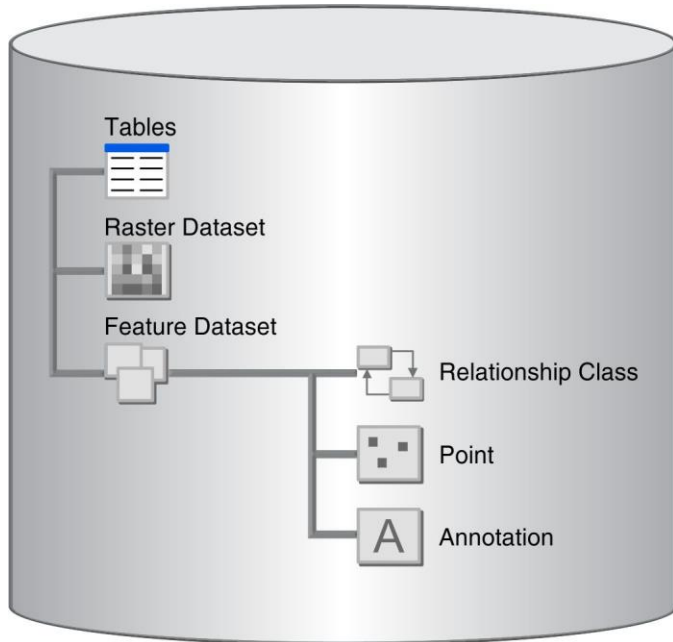


Figura 6 Modelo de datos del Catálogo de dataciones radiométricas de Colombia en ArcGIS y Google Earth.

Tabla 1 Campos implementados en el *Feature Class* del Catálogo de dataciones radiométricas de Colombia en ArcGIS y Google Earth

Campo	Explicación
ID datación radiométrica	Identificador numérico para cada datación ordenado con base en la edad, de más joven a más antiguo
Código de la muestra	Código de campo o de laboratorio de la muestra
Unidad geológica	Unidad geológica formal o informal reportada por el autor y de donde fue tomada la muestra
Litología	Tipo de roca, sedimento o material analizado
Edad años BP	Años <i>Before Present</i> obtenidos con Carbono-14
Error años	Error en años obtenidos con Carbono-14
Edad Ma	Edad en millones de años calculada en el análisis geocronológico
Error Ma	Error en millones de años tal y como lo reportó el autor sin especificar el tipo (RMSE, 1 sigma, 2 sigma, intervalo de confianza al 95 %)
Edad grano simple menor detritico	Edad menor de todas las edades reportadas para granos detriticos de una muestra
Edad grano simple mayor detritico	Edad máxima de todas las edades reportadas para granos detriticos de una muestra
Edad estratigráfica	Edad según la Tabla Cronoestratigráfica Internacional (TCI) del 2013 (Cohen <i>et al.</i> , 2013) reportada en la columna Edad Ma
Edades heredadas	Rangos de edad de núcleos de circones heredados
Método de datación	Métodos de decaimiento radiactivo según: Ar–Ar, Carbono-14, Huellas de fisión (EDM, LA–ICP–MS), K–Ar, Pb–Pb, Rb–Sr, Re–Os, Sm–Nd, U–Pb, U–Pb (ID–TIMS, LA–ICP–MS, LA–MC–ICP–MS y SHRIMP), U–Th/He y U–Th/Pb (LA–ICP–MS)
Material analizado	Tipo de material o mineral analizado
Relación inicial	Relación inicial de $^{87}\text{Sr}/^{86}\text{Sr}$ en el método Rb–Sr, $^{143}\text{Nd}/^{144}\text{Nd}$ en el método Sm–Nd y $^{187}\text{Os}/^{186}\text{Os}$ en el método Re–Os
MSWD	Desviación media ponderada cuadrada ( <i>Mean Square Weighted Deviation</i> )
P(X2) %	Probabilidad $X^2$ de Galbraith (1981) y Green (1981), expresado en porcentaje (%). Valores > 5 % representan una sola población
Dispersión %	Dispersión de la edad central, algoritmo de Galbraith & Lasleth (1993), expresado en porcentaje (%). Una dispersión > 30 % confirma que hay más de una población de edad
Número de granos analizados	Número de granos analizados para cada muestra
Número de alícuotas	Alícuotas de grano simple tomadas para el método U–Th/He
Fuente de georreferenciación	Descripción breve de la forma como se obtuvieron las coordenadas de localización. Se indica la figura o anexo que se georreferenció especificando la cita bibliográfica con su respectivo identificador del Anexo 2
Coordenada X	Metros Norte, en coordenadas de plano cartesiano
Coordenada Y	Metros Este, en coordenadas de plano cartesiano
Sistema de coordenadas	Origen de coordenadas según como lo despliega ArcMap/ArcGIS: MAGNA_Colombia_Oeste_Oeste, MAGNA_Colombia_Oeste, MAGNA_Colombia_Bogota, MAGNA_Colombia_Este y MAGNA_Colombia_Este_Este
Latitud	Latitud en grados, minutos, segundos y milésimas de segundo en Datum MAGNA
Longitud	Longitud en grados, minutos, segundos y milésimas de segundo en Datum MAGNA
Referencia	Referencia bibliográfica abreviada. La referencia completa se encuentra al final del artículo en el Anexo 2
ID referencia	Identificador de la referencia bibliográfica listadas en el Anexo 2. Cada referencia tiene su URL cuando esta existe
Comentarios	El tipo de edad cf. Columna Edad Ma, interpretación de la edad según el autor e información adicional relacionada con la datación

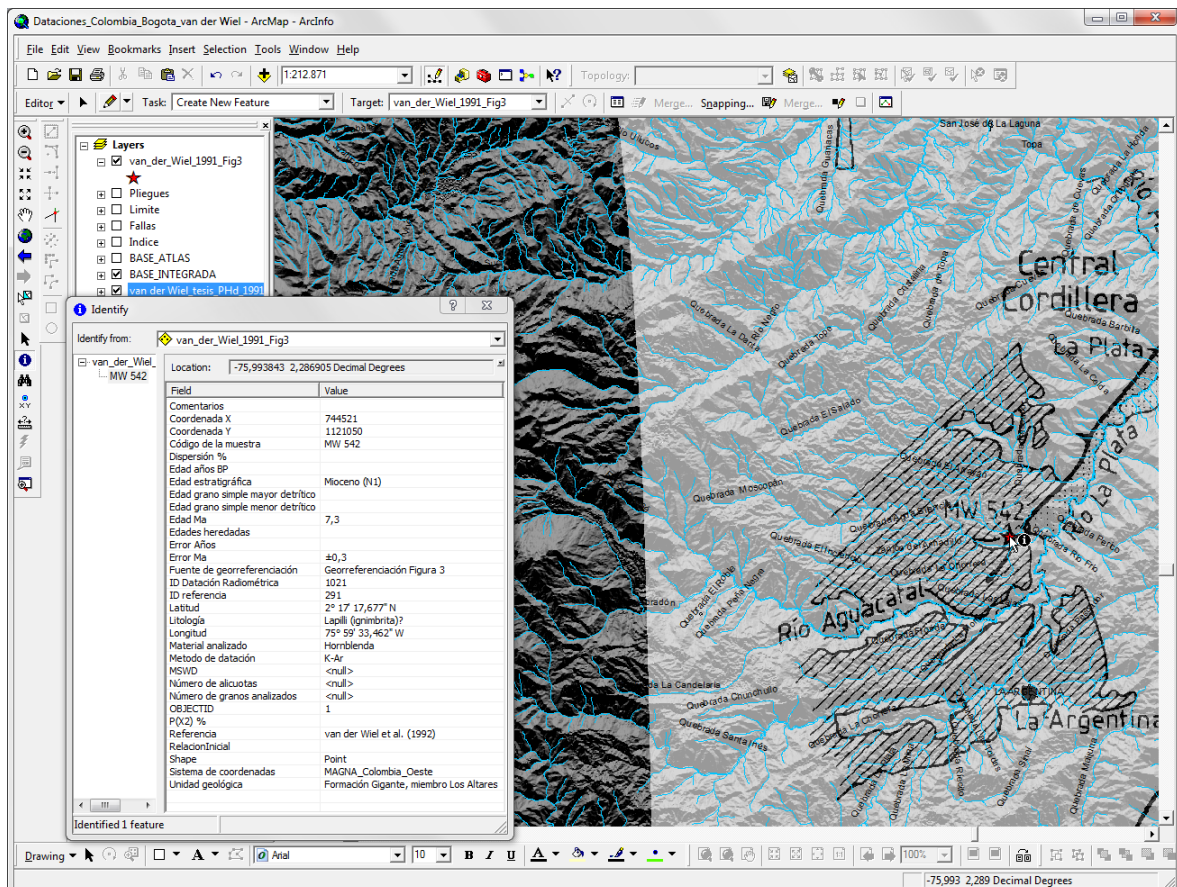


Figura 7 Captura del punto de datación de la muestra MW 542 —estrella roja dentro del círculo amarillo— después de georreferenciar el mapa escaneado de van der Wiel (1991). En el recuadro aparece la datación con todos sus atributos

Para el campo **ID referencia** se asignó un identificador numérico a cada referencia listada en el Anexo 1, que permite consultar la referencia completa en el Anexo 2. Estas referencias bibliográficas incluyen, cuando estaba disponible, la Uniform Resource Locator (URL) de donde se puede descargar la publicación. Todas las referencias bibliográficas consultadas para la elaboración del Catálogo se almacenaron en el software EndNote X4 y este archivo llamado anexo2.enl puede ser descargado de: <http://www2.sgc.gov.co/Geologia/Mapa-geologico-de-Colombia.aspx>.

El Catálogo contiene un total de 4427 registros, de ellos 626 (14,1 %) no tienen coordenadas por lo que no hacen parte del SIG. La distribución geográfica de las 3801 dataciones (85,9 %) que sí están georreferenciadas se muestran en la Figura 8.

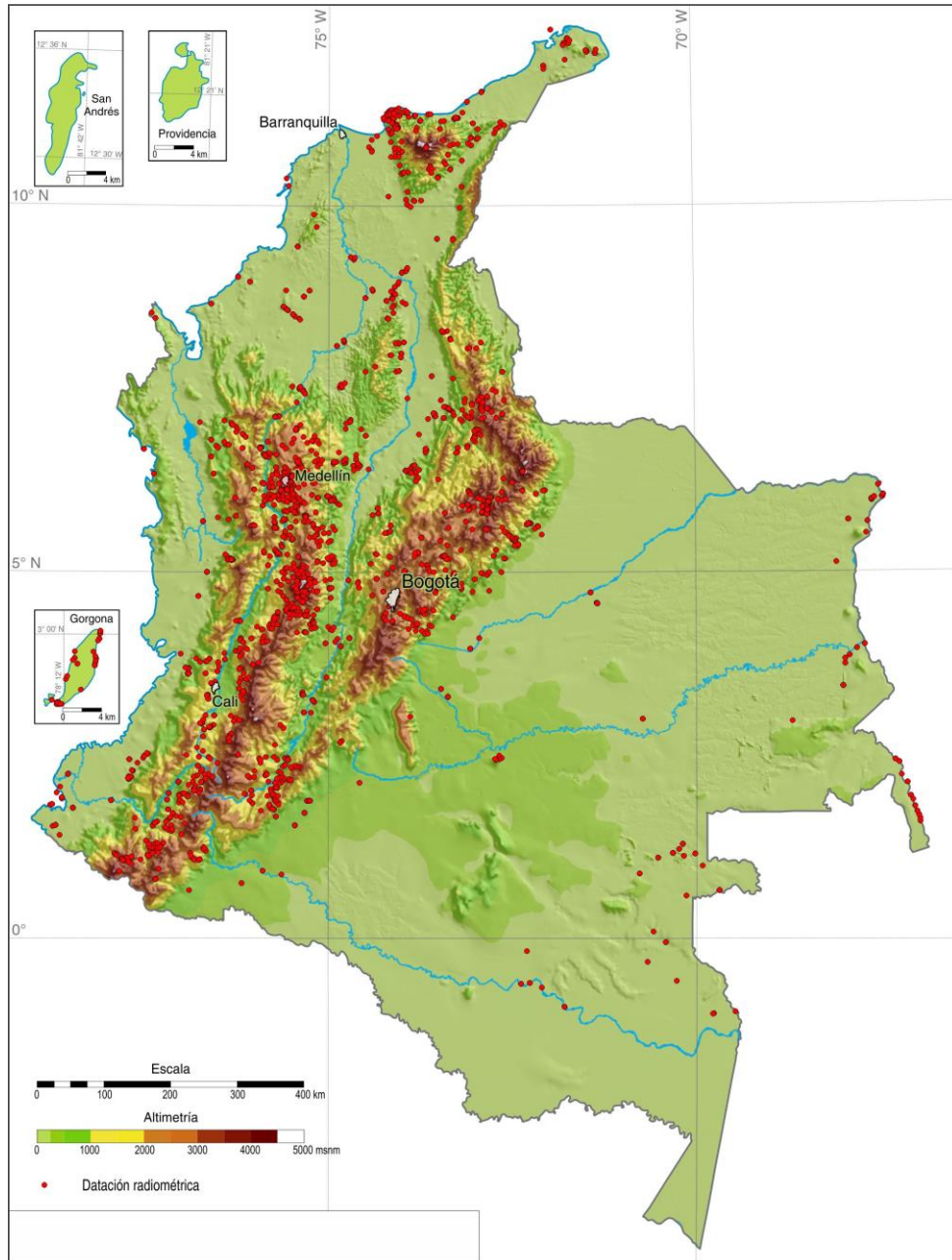


Figura 8 Distribución geográfica de las dataciones radiométricas realizadas en Colombia

Para facilitar la consulta del Catálogo a los usuarios que no dispongan de ArcGIS, este se implementó como un archivo KML (Keyhole Markup Language) en coordenadas WGS84 para ser visualizado y consultado en Google Earth (Figura 9). Este archivo llamado **cdrc2015.kml** puede ser descargado de: <http://www2.sgc.gov.co/Geologia/Mapa-geologico-de-Colombia.aspx>.

## Servicio Geológico Colombiano

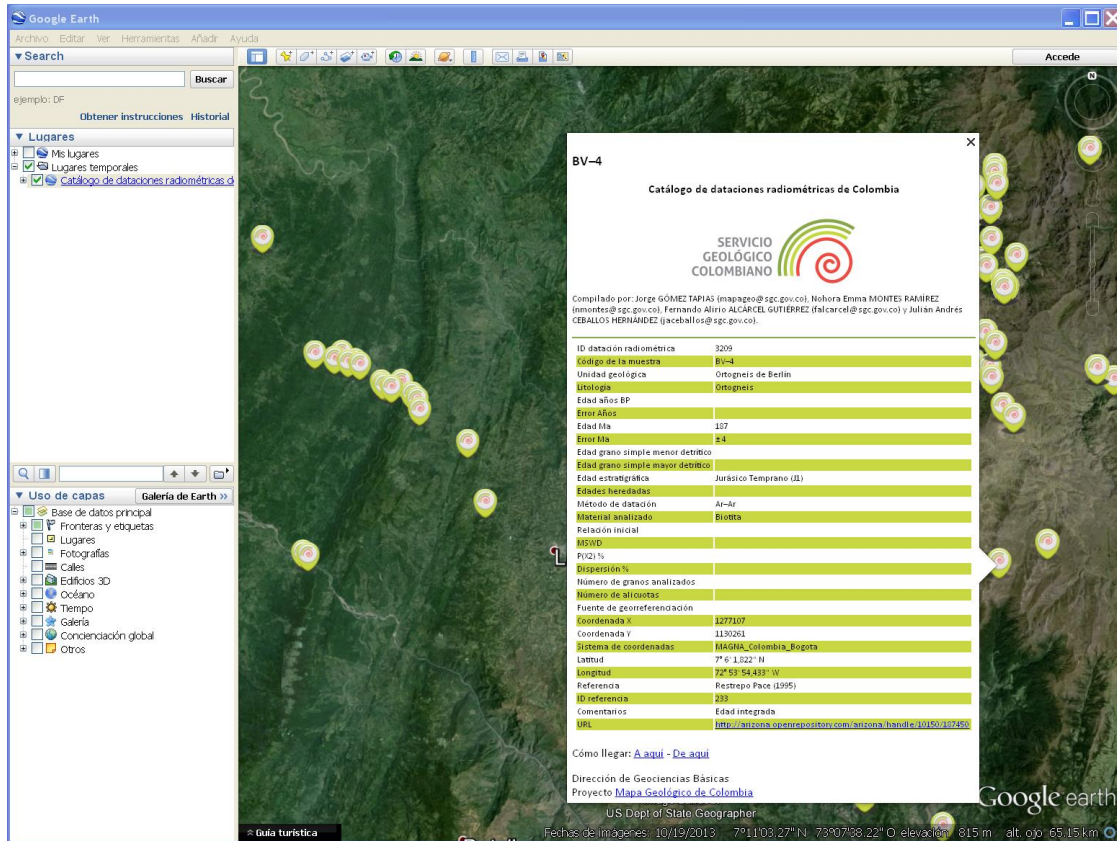


Figura 9 Visualización del Catálogo de dataciones radiometricas de Colombia en Google Earth. Nótese que a diferencia de la versión en ArcGIS, esta versión tiene el campo de la URL.

## 2. CONSIDERACIONES FINALES

Los registros en el Catálogo se ordenaron de acuerdo a la edad, del más joven al más antiguo. Al final del catálogo se listan las dataciones U–Pb en minerales detríticos, a partir del registro con la ID Datación Radiométrica n.º 4181.

Para las dataciones obtenidas con el método Ar–Ar de una misma muestra se obtienen diferentes edades (edad de meseta, edad de isócrona inversa, edad integrada) y para cada una de estas se generó un registro en el Catálogo.

Del total de las dataciones, aproximadamente el 22 % son determinadas con el método Ar–Ar, 19 % con huellas de fisión, 16 % con K–Ar, 15 % con carbono–14, 13 % con U–Pb, 7 % con Rb–Sr, 6 % con U–Th/He y el 2 % con los demás métodos (Pb–Pb, Sm–Nd, Re–Os, U–Th/Pb) (Figura 10).

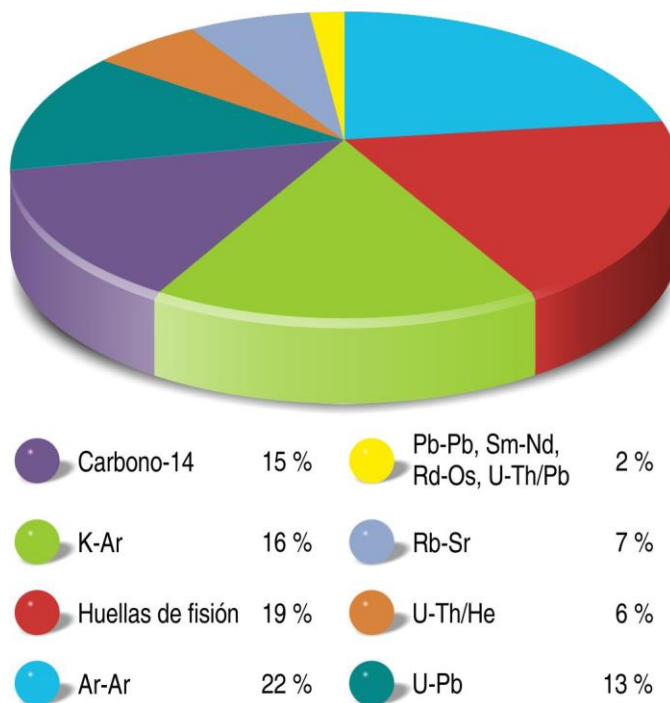


Figura 10 Gráfica de distribución de frecuencia por método de datación del Catálogo de dataciones radiométricas de Colombia.

La actualización del Catálogo de dataciones radiométricas de Colombia será una labor continua del proyecto Mapa Geológico de Colombia, cuyas actualizaciones anuales

## **Servicio Geológico Colombiano**

estarán disponibles en ArcMap y Google Earth para ser descargadas de la página *web* del SGC. Cualquier reporte de una datación que por alguna razón no fue incluida en este Catálogo, de cualquier datación nueva o para cualquier observación que permita mejorarlo, se puede comunicar con el geólogo Jorge GÓMEZ TAPIAS ([mapageo@sgc.gov.co](mailto:mapageo@sgc.gov.co)) o con la geóloga Nohora Emma MONTES RAMÍREZ ([nmontes@sgc.gov.co](mailto:nmontes@sgc.gov.co)) del proyecto Mapa Geológico de Colombia de la Dirección de Geociencias Básicas.

### **3. AGRADECIMIENTOS**

Por suministrarnos documentos que son difíciles de conseguir se agradece especialmente a: Alberto NÚÑEZ TELLO; Jorge Julián RESTREPO y Oswaldo ORDÓÑEZ CARMONA de la Universidad Nacional de Colombia sede Medellín; Diego VILLAGÓMEZ de Tectonic Analysis Ltd.; Carlos JARAMILLO del Smithsonian Tropical Research Institute; Yuly Tatiana VALENCIA; Gloria Elena TORO y José Ignacio MARTÍNEZ RODRÍGUEZ de la Universidad EAFIT, y a Leopoldo GONZÁLEZ OVIEDO, Gabriel RODRÍGUEZ y Álvaro NIVIA GUEVARA del SGC.

#### 4. REFERENCIAS BIBLIOGRÁFICAS

- Calvache, M.L. 1988. Catálogo de las edades isotópicas del vulcanismo Neógeno-Cuaternario de Colombia. Sector sur: Volcán Doña Juana hasta la frontera con el Ecuador. INGEOMINAS, informe interno, 64 p. Pasto.
- Chamois, P. & Evans, L. 2012. Technical report on the Batero–Quinchía project, department of Risaralda, Colombia, NI 43–101 Report. Batero Gold Corporation, inédito, 185 p. Vancouver, Canadá.
- Cohen, K.M., Finney, S.C., Gibbard, P.L. & Fan, J.-X. 2013. The ICS International Chronostratigraphic Chart. *Episodes*, 36(3): 109–204.
- Galbraith, R.F. 1981. On statistical models for fission track counts. *Journal of the International Association for Mathematical Geology*, 13(6): 471–478.
- Galbraith, R.F. & Laslett, G.M. 1993. Statistical models for mixed fission track ages. *Nuclear Tracks and Radiation Measurements*, 21(4): 459–470.
- Green, P.F. 1981. A new look at statistics in fission–track dating. *Nuclear Tracks*, 5(1–2): 77–86.
- IGAC. 2004. Adopción del marco geocéntrico nacional de referencia MAGNA–SIRGAS como datum oficial de Colombia. Instituto Geográfico Agustín Codazzi, 33 p. URL: <http://www.igac.gov.co/wps/wcm/connect/4b831c00469f7616afeebf923ecdf8fe/adopcion.pdf?MOD=AJPERES> (consultado en junio de 2012). Bogotá.
- Maya, M. 1992. Catálogo de dataciones isotópicas en Colombia. INGEOMINAS. Boletín Geológico, 32(1–3): 127–187. Bogotá.
- Millward, D. & Verdugo, G. 1981. Catalogue of radiometric age dates in Colombia. INGEOMINAS, Informe 1981, 47 p. Cali.
- Priem, H.N.A., Andriessen, P.A.M., Boelrijk, N.A.I.M., de Boorder, H., Hebeda, E.H., Huguett, A., Verdurmen, E.A.T. & Verschure, R.H. 1982. Geochronology of the Precambrian in the Amazonas region of southeastern Colombia (western Guiana Shield). *Geologie en Mijnbouw*, 61(3): 229–242.
- Restrepo, J.J. 1983. Compilación de edades radiométricas de Colombia: Departamentos andinos hasta 1982. Universidad Nacional de Colombia. Boletín de Ciencias de la Tierra, (7–8): 201–245. Medellín.
- Richards, J. 2011. Geochronology and geochemistry of the Quinchia Cu–Au Porphyry deposit, Colombia. Batero Gold Corporation, inédito, 28 p. Vancouver, Canadá.
- USGS. 2004. Shuttle Radar Topography Mission, 1 Arc Second–República de Colombia, Unfilled Unfinished 2.0, Global Land Cover Facility. University of Maryland, February 2000. Maryland, USA.

van der Wiel, A.M. 1991. Uplift and volcanism of the SE Colombian Andes in relation to Neogene sedimentation in the Upper Magdalena Valley. Tesis de doctorado, Universidad de Wageningen, 208 p. Amsterdam, Holanda.

van der Wiel, A.M., van den Bergh, G.D. & Hebeda, E.H. 1992. Uplift, subsidence, and volcanism in the southern Neiva basin, Colombia, Part 2: Influence on fluvial deposition in the Miocene Gigante Formation. Journal of South American Earth Sciences, 5(2): 175–196.

**ANEXO A Catálogo de dataciones radiométricas de Colombia en ArcGIS y  
Google Earth**

ID Datación Radiométrica	Código de la muestra	Unidad geológica	Litología	Edad años BP	Error años	Edad Ma	Error Ma	Edad grano simple menor detrítico	Edad grano simple mayor detrítico	Edad estratigráfica	Edades heredadas	Método de datación	Material analizado	Relación inicial	MSWD	P(X2) %
1	CC 82-58 (R. 70229)	Bloque de lava del volcán Nevado del Ruiz	Andesita			0	± 0,05			Holoceno (Q2)		K-Ar	Roca total			
2	CC 83-64 (F. 11292)	Flujo de lava del volcán Nevado del Tolima	Dacita			0	± 0,05			Holoceno (Q2)		K-Ar	Roca total			
3	UtC-3564			0	± 6					Holoceno (Q2)		Carbono-14	Madera			
4	13	Formación Colorado	Arenita			0	± 53,7			Holoceno (Q2)		Huellas de fisión LA-ICP-MS	Apatito			
5	AZ-10-2	Depósito de flujos y oleadas piroclásticas del volcán Azufral		30	± 60					Holoceno (Q2)		Carbono-14	Carbón vegetal			
6	LG-I-COL-15	Abanico de Ibagué	Materia orgánica	>50						Holoceno (Q2)		Carbono-14	Paleosuelo			
7	UtC-5490			83	± 27					Holoceno (Q2)		Carbono-14	Sedimento orgánico			
8	Col 1236			85	± 24					Holoceno (Q2)		Carbono-14	Carbón vegetal			
9	AZ-10-3	Depósito de flujos y oleadas piroclásticas del volcán Azufral		90	± 100					Holoceno (Q2)		Carbono-14	Carbón vegetal			
10	Col 1216			95	± 37					Holoceno (Q2)		Carbono-14	Carbón vegetal			
11	JGP-12-3	Depósito de terraza		114	± 0,8					Holoceno (Q2)		Carbono-14	Carbón			
12	JGP-144-3-2	Depósito hiperconcentrado del volcán Machín		125	± 35					Holoceno (Q2)		Carbono-14	Carbón			
13	Poz-475			125	± 25					Holoceno (Q2)		Carbono-14				
14	Col 293			135	± 65					Holoceno (Q2)		Carbono-14	Carbón vegetal			
15	LG-I-COL-14	Abanico de Ibagué	Materia orgánica	150	± 50					Holoceno (Q2)		Carbono-14	Paleosuelo			
16	UtC-9264			161	± 44					Holoceno (Q2)		Carbono-14	Restos de plantas			
17	Col 37		Bloque de arcilla	165	± 40					Holoceno (Q2)		Carbono-14	Carbón vegetal			
18	W51P-6	Flujo de escoria del volcán Galeras		170	± 50					Holoceno (Q2)		Carbono-14	Carbón vegetal			
19	Col 40 (GrN-4356)			170	± 65					Holoceno (Q2)		Carbono-14	Turba			
20	W82P-A	Depósito de flujo piroclástico del volcán Galeras		180	± 60					Holoceno (Q2)		Carbono-14	Carbón vegetal			
21	Sitio 7			210						Holoceno (Q2)		Carbono-14	Turba			
22	LG-I-COL-12	Abanico de Ibagué	Materia orgánica	220	± 70					Holoceno (Q2)		Carbono-14	Paleosuelo			
23	Poz-476			220	± 25					Holoceno (Q2)		Carbono-14				
24	Col 1114			222	± 33					Holoceno (Q2)		Carbono-14	Sedimento orgánico			
25	Col 41 (GrN-4388)			280	± 60					Holoceno (Q2)		Carbono-14	Arcilla con restos de plantas			
26	UGa-146			280	± 80					Holoceno (Q2)		Carbono-14	Ostras			
27	AZ-10-1	Depósito de flujos y oleadas piroclásticas del volcán Azufral		290	± 80					Holoceno (Q2)		Carbono-14	Carbón vegetal			
28	Col 345 (GrN 11403)	Tefras y suelos de la turbera El Billar	Turba	310	± 70					Holoceno (Q2)		Carbono-14	Turba			
29	Col 133			340	± 260					Holoceno (Q2)		Carbono-14	Carbón vegetal			
30	Col 114			340	± 30					Holoceno (Q2)		Carbono-14	Madera			

Dispersión %	Número de granos analizados	Número de alicuotas	Fuente georreferenciación	Coordenada X	Coordenada Y	Sistema de coordenadas	Latitud	Longitud	Referencia	ID referencia	Comentarios
				1037132	846286	MAGNA_Colombia_Bogota	4° 55' 49,940" N	75° 27' 47,898" W	Thouret <i>et al.</i> (1990)	282	También publicada en Thouret (1989) [281] con código de muestra R. 10229 CC 82-58 y en Thouret <i>et al.</i> (1985) [280] con código de muestra R. 10220 CC 82-58
				1008526	861950	MAGNA_Colombia_Bogota	4° 40' 19,902" N	75° 19' 17,923" W	Thouret <i>et al.</i> (1995a)	283	La muestra se tomó de un flujo de lava de un domo
				1035129	972003	MAGNA_Colombia_Bogota	4° 54' 49,769" N	74° 19' 47,750" W	Helmens <i>et al.</i> (1996)	132	Muestra tomada a 38–41 cm de profundidad en la sección La Laguna
1				1200685	1023742	MAGNA_Colombia_Bogota	6° 24' 39,301" N	73° 51' 46,433" W	Sánchez <i>et al.</i> (2012)	261	Edad pooled
		Localización tomada de Calvache (1988) [61]		614005	928031	MAGNA_Colombia_Oeste	1° 06' 19,459" N	77° 43' 26,833" W	Cortés & Calvache (1997)	86	
				985763	891830	MAGNA_Colombia_Bogota	4° 28' 00,498" N	75° 03' 07,596" W	Osorio <i>et al.</i> (2008)	216	Edad convencional ( <i>cf.</i> columna Edad años BP). Edad calculada posterior a 0 años BP es la edad corregida a $2\sigma$ y 95 % de probabilidad
									Behling & Hooghiemstra (1998)	31	Muestra tomada al tope de la sección (0 cm de profundidad) en la sección laguna Sardinas, Llanos Orientales, departamento del Vichada. Las coordenadas reportadas (4° 58' N, 69° 28' W) no coinciden con el sitio de muestra
									Berrio <i>et al.</i> (2002b)	45	Sondeo La Teta-2, muestra tomada a 20 cm de profundidad en la turbera La Teta, cerca de Santander de Quilichao, en el piedemonte de la cordillera Occidental
		Localización tomada de Calvache (1988) [61]		614005	928031	MAGNA_Colombia_Oeste	1° 06' 19,459" N	77° 43' 26,833" W	Cortés & Calvache (1997)	86	
									Berrio <i>et al.</i> (2002b)	45	Sondeo Quilichao-1, muestra tomada a 31 cm de profundidad en la turbera Quilichao, 30 km al sureste de Cali y al noreste de Santander de Quilichao, Cauca
				968344	877393	MAGNA_Colombia_Bogota	4° 18' 32,859" N	75° 10' 54,966" W	Cortés (2001)	85	
				957340	904521	MAGNA_Colombia_Bogota	4° 12' 35,811" N	74° 56' 14,949" W	Cortés (2001)	85	
		Las coordenadas (11° 34' 30" N, 72° 52' 36" W) reportadas por los autores no coinciden con la localización de la datación en la Figura 1. Se obtuvo las coordenadas del punto a partir de la georreferenciación de esta figura		1770272	1130092	MAGNA_Colombia_Bogota	11° 33' 30,196" N	72° 53' 05,725" W	Urrego <i>et al.</i> (2013)	304	Muestra tomada a 155 cm de profundidad
									Salomons (1989)	260	Muestra tomada a 25–30 cm de profundidad en la sección TPN 37 localizada en el costado sur del valle del río Totarito, al norte del Nevado del Tolima. La edad muy joven confirma la acción antrópica
				985763	891830	MAGNA_Colombia_Bogota	4° 28' 00,498" N	75° 03' 07,596" W	Osorio <i>et al.</i> (2008)	216	Edad convencional ( <i>cf.</i> columna Edad años BP). Edades calibradas de 0–300 años BP es la edad corregida a $2\sigma$ y 95 % de probabilidad
		Las coordenadas (4° 04' N, 70° 13' W) reportadas por los autores no coinciden con el sitio de la laguna Carimagua–El Bosque. Se obtuvo las coordenadas del punto a partir de la georreferenciación de la Figura 1		997498	972293	MAGNA_Colombia_Este	4° 34' 24,699" N	71° 19' 37,893" W	Berrio <i>et al.</i> (2000b)	43	Muestra tomada a 35–39 cm de profundidad en núcleo de la laguna Carimagua–El Bosque
		Se obtuvo las coordenadas del punto a partir de la descripción de la localización de la muestra		945316	1126979	MAGNA_Colombia_Bogota	4° 06' 03,111" N	72° 56' 02,397" W	Wymstra & van der Hammen (1966)	341	
		Se obtuvo las coordenadas del punto a partir de la georreferenciación de la Figura 3		626090	964648	MAGNA_Colombia_Oeste	1° 12' 53,104" N	77° 23' 42,531" W	Banks <i>et al.</i> (1997)	23	También reportan la edad de 1660–1825 AD, probabilidad de 0,66
		Se obtuvo las coordenadas del punto a partir de la georreferenciación de la Figura 124		1688374	1047575	MAGNA_Colombia_Bogota	10° 49' 12,554" N	73° 38' 32,846" W	van der Hammen (1984)	306	Muestra tomada a 60–76 cm de profundidad en la sección Sierra Nevada I
		Se obtuvo las coordenadas del punto a partir de la georreferenciación de la Figura 3		636043	972974	MAGNA_Colombia_Oeste	1° 18' 17,176" N	77° 19' 13,269" W	Banks <i>et al.</i> (1997)	23	También reportan la edad de 1652–1893 AD, probabilidad de 0,82
				1016823	1142122	MAGNA_Colombia_Bogota	4° 44' 49,709" N	72° 47' 47,577" W	Robertson (2007)	250	Muestra tomada de la parte superficial
				985763	891830	MAGNA_Colombia_Bogota	4° 28' 00,498" N	75° 03' 07,596" W	Osorio <i>et al.</i> (2008)	216	Edad convencional ( <i>cf.</i> columna Edad años BP). Edades calibradas de 0–450 años BP es la edad corregida a $2\sigma$ y 95 % de probabilidad
		Las coordenadas (11° 34' 30" N, 72° 52' 36" W) reportadas por los autores no coinciden con la localización de la datación en la Figura 1. Se obtuvo las coordenadas del punto a partir de la georreferenciación de esta figura		1770272	1130092	MAGNA_Colombia_Bogota	11° 33' 30,196" N	72° 53' 05,725" W	Urrego <i>et al.</i> (2013)	304	Muestra tomada a 199 cm de profundidad
		Se obtuvo las coordenadas del punto a partir de la georreferenciación de la Figura 1 y de la descripción del sitio de muestreo		700279	904775	MAGNA_Colombia_Oeste	1° 53' 07,790" N	77° 56' 00,096" W	Berling <i>et al.</i> (1998a)	32	Muestra tomada a 5 cm de profundidad
		Se obtuvo las coordenadas del punto a partir de la georreferenciación de la Figura 124		1688254	1047320	MAGNA_Colombia_Bogota	10° 49' 08,666" N	73° 38' 41,232" W	van der Hammen (1984)	306	Muestra tomada a 70–90 cm de profundidad en la sección Sierra Nevada II
		Se obtuvo las coordenadas del punto a partir de la georreferenciación de la Figura 5		1680293	964661	MAGNA_Colombia_Bogota	10° 44' 50,061" N	74° 24' 02,146" W	Wiedemann (1973)	338	Muestra tomada de los 5–10 cm más alto del depósito
		Localización tomada de Calvache (1988) [61]		614005	928031	MAGNA_Colombia_Oeste	1° 06' 19,459" N	77° 43' 26,833" W	Cortés & Calvache (1997)	86	
		Se obtuvo las coordenadas del punto a partir de la georreferenciación de la Figura 62 de Thouret <i>et al.</i> (1995b) [284]		1030827	871819	MAGNA_Colombia_Bogota	4° 52' 26,324" N	75° 13' 58,992" W	Melief (1989)	187	Muestra tomada en la sección El Billar II a 49–51 cm de profundidad, también publicada en Thouret <i>et al.</i> (1995b) [284]
		Se obtuvo las coordenadas del punto a partir de la georreferenciación de la Figura 1		1046482	1014253	MAGNA_Colombia_Bogota	5° 00' 59,491" N	73° 56' 56,330" W	Schreve Brinkman (1978)	266	Muestra tomada a 55 cm de profundidad, fechas de cerámica
									van der Hammen & Noldus (1984)	307	Muestra tomada a 75 cm de profundidad, en el sitio El Lago, El Rodadero, Santa Marta

ID Datación Radiométrica	Código de la muestra	Unidad geológica	Litología	Edad años BP	Error años	Edad Ma	Error Ma	Edad grano simple menor detrítico	Edad grano simple mayor detrítico	Edad estratigráfica	Edades heredadas	Método de datación	Material analizado	Relación inicial	MSWD	P(X2) %
31	Col 1158			353	± 43					Holoceno (Q2)		Carbono-14	Sedimento orgánico			
32	Col 1169			365	± 39					Holoceno (Q2)		Carbono-14	Arcilla rica en materia orgánica			
33	Col 1217			410	± 45					Holoceno (Q2)		Carbono-14	Carbón vegetal			
34	LG-I-COL-13	Abanico de Ibagué	Materia orgánica	430	± 60					Holoceno (Q2)		Carbono-14	Paleosuelo			
35	Col 1237			432	± 25					Holoceno (Q2)		Carbono-14	Carbón vegetal			
36	UtC-3565			490	± 50					Holoceno (Q2)		Carbono-14	Turba			
37	Col 368 (GrN 11890)	Tefras y suelos sobre sistema morrénico de Otún	Turba	490	± 350					Holoceno (Q2)		Carbono-14	Turba			
38	Col 129			495	± 104					Holoceno (Q2)		Carbono-14	Carbón vegetal			
39	Col 1187			522	± 30					Holoceno (Q2)		Carbono-14	Sedimento orgánico			
40	LG-I-COL-11	Abanico de Ibagué	Materia orgánica	580	± 40					Holoceno (Q2)		Carbono-14	Paleosuelo			
41	Col 1170			600	± 50					Holoceno (Q2)		Carbono-14	Arcilla rica en materia orgánica			
42	Col 344 (GrN 11402)	Tefras y suelos de la turbera El Billar	Turba	600	± 130					Holoceno (Q2)		Carbono-14	Turba			
43		Etapa eruptiva Alfombras del volcán Nevado del Ruiz		600	± 130					Holoceno (Q2)		Carbono-14				
44	Col 1159			610	± 43					Holoceno (Q2)		Carbono-14	Sedimento orgánico			
45	Horizonte Ah1			620	± 75					Holoceno (Q2)		Carbono-14	Suelo			
46	UtC-11509			622	± 38					Holoceno (Q2)		Carbono-14	Sedimento orgánico			
47	LG-I-COL-10	Abanico de Ibagué	Materia orgánica	740	± 80					Holoceno (Q2)		Carbono-14	Paleosuelo			
48	Col 1089			761	± 26					Holoceno (Q2)		Carbono-14	Carbón vegetal			
49	UtC-6803			776	± 39					Holoceno (Q2)		Carbono-14	Sedimento orgánico			
50	UtC-8009			780	± 46					Holoceno (Q2)		Carbono-14	Sedimento orgánico			
51	Col 343 (GrN 11401)	Tefras y suelos de la turbera El Billar	Turba	780	± 90					Holoceno (Q2)		Carbono-14	Turba			
52		Etapa eruptiva Alfombras del volcán Nevado del Ruiz		780	± 90					Holoceno (Q2)		Carbono-14				
53	Col 1157			816	± 38					Holoceno (Q2)		Carbono-14	Sedimento orgánico			
54	Col 613 (GrN 15740)	Depósito de caída piroclástica y suelo más superior		820	± 100					Holoceno (Q2)		Carbono-14	Carbón			

Dispersión %	Número de granos analizados	Número de aliquotas	Fuente georreferenciación	Coordenada X	Coordenada Y	Sistema de coordenadas	Latitud	Longitud	Referencia	ID referencia	Comentarios
			Las coordenadas de localización de la publicación y del mapa publicado no coinciden con el sitio de la laguna Mozambique. Se obtuvo la localización aproximada del punto en la laguna Mozambique con base al mapa base cartográfico a escala 1:100 000 del IGAC	929296	1113525	MAGNA_Colombia_Bogota	3° 57' 22,234" N	73° 03' 19,179" W	Berrio <i>et al.</i> (2002a)	44	Muestra tomada a 150 cm de profundidad
			Las coordenadas (5° 48' N, 76° 42' W) reportadas por los autores no coinciden con la localización de la datación en la Figura 3.1. Se obtuvo las coordenadas del punto a partir de la georreferenciación de esta figura	1121518	1042186	MAGNA_Colombia_Oeste	5° 41' 41,835" N	76° 41' 48,054" W	Berrio <i>et al.</i> (2000a)	42	Muestra tomada a 40 cm de profundidad
									Berrio <i>et al.</i> (2002b)	45	Sondeo Quilichao-1, muestra tomada a 135 cm de profundidad en la turbera Quilichao, 30 km al sureste de Cali y al noreste de Santander de Quilichao, Cauca
				985763	891830	MAGNA_Colombia_Bogota	4° 28' 00,498" N	75° 03' 07,596" W	Osorio <i>et al.</i> (2008)	216	Edad convencional ( <i>cf.</i> columna Edad años BP). Edades calibradas de 320–400 años BP es la edad corregida a $2\sigma$ y 95 % de probabilidad
									Berrio <i>et al.</i> (2002b)	45	Sondeo La Teta-2, muestra tomada a 58 cm de profundidad en la turbera La Teta, cerca de Santander de Quilichao, en el piedemonte de la cordillera Occidental
				1035129	972003	MAGNA_Colombia_Bogota	4° 54' 49,769" N	74° 19' 47,750" W	Helmens <i>et al.</i> (1996)	132	Muestra tomada a 38–41 cm de profundidad en la sección La Laguna
			Se obtuvo las coordenadas del punto a partir de la georreferenciación de la Figura 62 de Thouret <i>et al.</i> (1995b) [284]	1026941	854673	MAGNA_Colombia_Bogota	4° 50' 18,820" N	75° 23' 15,093" W	Melief (1989)	187	Muestra tomada en la sección Buenos Aires a 392–400 cm de profundidad
			Se obtuvo las coordenadas del punto a partir de la georreferenciación de la Figura 1	1046482	1014253	MAGNA_Colombia_Bogota	5° 00' 59,491" N	73° 56' 56,330" W	Schreve Brinkman (1978)	266	Muestra tomada a 45 cm de profundidad junto a los restos del entierro de un niño
			Se obtuvo las coordenadas del punto a partir de la georreferenciación de la Figura 1	762147	932197	MAGNA_Colombia_Oeste	2° 26' 42,257" N	77° 41' 13,692" W	Vélez <i>et al.</i> (2001)	320	Muestra tomada a 151 cm de profundidad
				985763	891830	MAGNA_Colombia_Bogota	4° 28' 00,498" N	75° 03' 07,596" W	Osorio <i>et al.</i> (2008)	216	Edad convencional ( <i>cf.</i> columna Edad años BP). Edades calibradas de 530–650 años BP es la edad corregida a $2\sigma$ y 95 % de probabilidad
			Las coordenadas (5° 48' N, 76° 42' W) reportadas por los autores no coinciden con la localización de la datación en la Figura 3.1. Se obtuvo las coordenadas del punto a partir de la georreferenciación de esta figura	1121518	1042186	MAGNA_Colombia_Oeste	5° 41' 41,835" N	76° 41' 48,054" W	Berrio <i>et al.</i> (2000a)	42	Muestra tomada a 180 cm de profundidad
			Se obtuvo las coordenadas del punto a partir de la georreferenciación de la Figura 62 de Thouret <i>et al.</i> (1995b) [284]	1030827	871819	MAGNA_Colombia_Bogota	4° 52' 26,324" N	75° 13' 58,992" W	Melief (1989)	187	Muestra tomada en la Sección El Billar II a 78–80 cm de profundidad, también publicada en Thouret <i>et al.</i> (1995b) [284]
									Thouret <i>et al.</i> (1990)	282	Eventos eruptivos en el volcán Nevado del Ruiz
			Las coordenadas de localización de la publicación y del mapa publicado no coinciden con el sitio de la laguna Mozambique. Se obtuvo la localización aproximada del punto en la laguna Mozambique con base al mapa base cartográfico a escala 1:100 000 del IGAC	929296	1113525	MAGNA_Colombia_Bogota	3° 57' 22,234" N	73° 03' 19,179" W	Berrio <i>et al.</i> (2002a)	44	Muestra tomada a 203 cm de profundidad
									Guillet & Faivre (1981)	126	Tiempo promedio de residencia, muestra tomada a 8–15 cm de profundidad en el perfil Guasca 7
									Vélez <i>et al.</i> (2005)	321	Sondeo Patía-2, muestra tomada a 35 cm de profundidad
				985763	891830	MAGNA_Colombia_Bogota	4° 28' 00,498" N	75° 03' 07,596" W	Osorio <i>et al.</i> (2008)	216	Edades calculadas convencionales ( <i>cf.</i> columna Edad años BP) de 550–790. Los años BP es la edad corregida a $2\sigma$ y 95 % de probabilidad
									Berrio <i>et al.</i> (2002b)	45	Sondeo La Teta-2, muestra tomada a 98 cm de profundidad en la turbera La Teta, cerca de Santander de Quilichao, en el piedemonte de la cordillera Occidental
			Las coordenadas (3° 18' 00" N, 73° 23' 00" W) reportadas por los autores no coinciden con el sitio de la laguna Loma Linda. Se obtuvo las coordenadas del punto a partir de la descripción del sitio de muestreo	856872	1079595	MAGNA_Colombia_Bogota	3° 18' 05,744" N	73° 21' 40,795" W	Behling & Hooghiemstra (2000)	35	Muestra tomada a 10 cm de profundidad en la sección laguna Loma Linda
			Las coordenadas (4° 04' N, 70° 13' W) reportadas por los autores no coinciden con el sitio de la laguna Carimagua–El Bosque. Se obtuvo las coordenadas del punto a partir de la georreferenciación de la Figura 1	997498	972293	MAGNA_Colombia_Este	4° 34' 24,699" N	71° 19' 37,893" W	Berrio <i>et al.</i> (2000b)	43	Muestra tomada a 9 cm de profundidad en núcleo de la laguna Carimagua–El Bosque, rechazada para interpretación
			Se obtuvo las coordenadas del punto a partir de la georreferenciación de la Figura 62 de Thouret <i>et al.</i> (1995b) [284]	1030827	871819	MAGNA_Colombia_Bogota	4° 52' 26,324" N	75° 13' 58,992" W	Melief (1989)	187	Muestra tomada en la sección El Billar II a 96–98 cm de profundidad, también publicada en Thouret <i>et al.</i> (1995b) [284]
									Thouret <i>et al.</i> (1990)	282	Eventos eruptivos en el volcán Nevado del Ruiz
			Las coordenadas de localización de la publicación y del mapa publicado no coinciden con el sitio de la laguna Mozambique. Se obtuvo la localización aproximada del punto en la laguna Mozambique con base al mapa base cartográfico a escala 1:100 000 del IGAC	929296	1113525	MAGNA_Colombia_Bogota	3° 57' 22,234" N	73° 03' 19,179" W	Berrio <i>et al.</i> (2002a)	44	Muestra tomada a 125 cm de profundidad
				987341	853586	MAGNA_Colombia_Bogota	4° 28' 49,905" N	75° 23' 47,966" W	Thouret <i>et al.</i> (1995a)	283	

ID Datación Radiométrica	Código de la muestra	Unidad geológica	Litología	Edad años BP	Error años	Edad Ma	Error Ma	Edad grano simple menor detrítico	Edad grano simple mayor detrítico	Edad estratigráfica	Edades heredadas	Método de datación	Material analizado	Relación inicial	MSWD	P(X2) %
55	UiC-8012			837	$\pm 39$					Holoceno (Q2)		Carbono-14	Sedimento orgánico			
56	Horizonte Ap			840	$\pm 75$					Holoceno (Q2)		Carbono-14	Suelo			
57	Col 329 (GrN 11386)	Tefras y suelos de la turbera El Billar	Turba	840	$\pm 60$					Holoceno (Q2)		Carbono-14	Turba			
58	LG-I-COL-26	Abanico de Ibagué	Materia orgánica	840	$\pm 50$					Holoceno (Q2)		Carbono-14	Paleosuelo			
59		Etapa eruptiva Alfombras del volcán Nevado del Ruiz		840	$\pm 60$					Holoceno (Q2)		Carbono-14				
60	UiC-8008			854	$\pm 41$					Holoceno (Q2)		Carbono-14	Sedimento orgánico			
61	UiC-10040			854	$\pm 36$					Holoceno (Q2)		Carbono-14	Sedimento orgánico			
62	Col 298 (GrN 10218)			860	$\pm 100$					Holoceno (Q2)		Carbono-14	Carbón vegetal			
63	UiC-8010			875	$\pm 49$					Holoceno (Q2)		Carbono-14	Sedimento orgánico			
64	Col 1188			879	$\pm 31$					Holoceno (Q2)		Carbono-14	Sedimento orgánico			
65	Col 1115			928	$\pm 35$					Holoceno (Q2)		Carbono-14	Sedimento orgánico			
66	W11P-4	Depósito de flujo de escoria del volcán Galeras		980	$\pm 80$					Holoceno (Q2)		Carbono-14	Carbón vegetal			
67	Col 1171			983	$\pm 46$					Holoceno (Q2)		Carbono-14	Arcilla rica en materia orgánica			
68	Col 330 (GrN 11387)	Tefras y suelos de la turbera El Billar	Turba	985	$\pm 30$					Holoceno (Q2)		Carbono-14	Turba			
69	UiC-11503			996	$\pm 24$					Holoceno (Q2)		Carbono-14	Sedimento orgánico			
70	GrN-10830			1050	$\pm 60$					Holoceno (Q2)		Carbono-14	Carbón vegetal			
71	UiC-5830			1065	$\pm 36$					Holoceno (Q2)		Carbono-14	Arcilla lacustre			
72	UW-295			1070	$\pm 90$					Holoceno (Q2)		Carbono-14	Material vegetal quemado			
73	UiC-9265			1090	$\pm 60$					Holoceno (Q2)		Carbono-14	Restos de plantas			
74	UiC-5479			1092	$\pm 44$					Holoceno (Q2)		Carbono-14	Sedimento orgánico			
75	17	Depósito lacustre	Materia orgánica	1100	$\pm 40$					Holoceno (Q2)		Carbono-14	Sedimentos orgánicos			
76	GA17P-2	Depósito de flujo piroclástico del volcán Galeras		1140	$\pm 120$					Holoceno (Q2)		Carbono-14	Carbón vegetal			
77	LAM-2582	Flujo de cenizas del volcán Machín	Paleosuelo	1205	$\pm 185$					Holoceno (Q2)		Carbono-14	Madera carbonizada			
78	W88P-A	Depósito de flujo piroclástico del volcán Galeras		1220	$\pm 100$					Holoceno (Q2)		Carbono-14	Carbón vegetal			
79	GA18P-2	Depósito de flujo piroclástico del volcán Galeras		1220	$\pm 150$					Holoceno (Q2)		Carbono-14	Carbón vegetal			
80	Col 351 (GrN 11338)	Tefras y suelos sobre sistema morrénico de Murillo	Lapilli pómex	1220	$\pm 25$					Holoceno (Q2)		Carbono-14	Carbón vegetal			
81	Col 474 (GrN 12507)	Tefras y suelos sobre sistema morrénico de Otún	Turba	1225	$\pm 35$					Holoceno (Q2)		Carbono-14	Turba			
82	FS-71	Terraza aluvial		1235	$\pm 30$					Holoceno (Q2)		Carbono-14	Sedimento			
83	16	Depósito lacustre	Materia orgánica	1250	$\pm 40$					Holoceno (Q2)		Carbono-14	Sedimentos orgánicos			
84	Col 297 (GrN 10217)			1250	$\pm 90$					Holoceno (Q2)		Carbono-14	Carbón vegetal			

Dispersión %	Número de gramos analizados	Número de alicuotas	Fuente georreferenciación	Coordenada X	Coordenada Y	Sistema de coordenadas	Latitud	Longitud	Referencia	ID referencia	Comentarios
			Las coordenadas ( $4^{\circ} 04' N$ , $70^{\circ} 13' W$ ) reportadas por los autores no coinciden con el sitio de la laguna Carimagua–El Bosque. Se obtuvo las coordenadas del punto a partir de la georreferenciación de la Figura 1	997498	972293	MAGNA_Colombia_Este	$4^{\circ} 34' 24,699'' N$	$71^{\circ} 19' 37,893'' W$	Berrio <i>et al.</i> (2000b)	43	Muestra tomada a 55 cm de profundidad en núcleo de la laguna Carimagua–El Bosque
									Guillet & Faivre (1981)	126	Tiempo promedio de residencia, muestra tomada a 5–15 cm de profundidad en el perfil Guasca 7
			Se obtuvo las coordenadas del punto a partir de la georreferenciación de la Figura 62 de Thouret <i>et al.</i> (1995b) [284]	1030827	871819	MAGNA_Colombia_Bogota	$4^{\circ} 52' 26,324'' N$	$75^{\circ} 13' 58,992'' W$	Melief (1989)	187	Muestra tomada en el perfil El Billar I a 46–47 cm de profundidad. También publicada en Thouret <i>et al.</i> (1995b) [284]
				985763	891830	MAGNA_Colombia_Bogota	$4^{\circ} 28' 00,498'' N$	$75^{\circ} 03' 07,596'' W$	Osorio <i>et al.</i> (2008)	216	Edad convencional (cf. columna Edad años BP). Edades calibradas de 670–910 años BP es la edad corregida a $2\sigma$ y 95 % de probabilidad
									Thouret <i>et al.</i> (1990)	282	Eventos eruptivos en el volcán Nevado del Ruiz
			Las coordenadas ( $4^{\circ} 04' N$ , $70^{\circ} 13' W$ ) reportadas por los autores no coinciden con el sitio de la laguna Carimagua–El Bosque. Se obtuvo las coordenadas del punto a partir de la georreferenciación de la Figura 1	997498	972293	MAGNA_Colombia_Este	$4^{\circ} 34' 24,699'' N$	$71^{\circ} 19' 37,893'' W$	Berrio <i>et al.</i> (2000b)	43	Muestra tomada a 2,5 cm de profundidad en núcleo de la laguna Carimagua–El Bosque, edad rechazada para interpretación
									Wille <i>et al.</i> (2003)	340	Muestra tomada a 16 cm de profundidad en la sección laguna Las Margaritas. La localización ( $3^{\circ} 23' N$ , $73^{\circ} 26' W$ ) reportada por el autor no coincide con la descripción del sitio ni de la unidad
									Thouret <i>et al.</i> (1995b)	284	Suelo
			Las coordenadas ( $4^{\circ} 04' N$ , $70^{\circ} 13' W$ ) reportadas por los autores no coinciden con el sitio de la laguna Carimagua–El Bosque. Se obtuvo las coordenadas del punto a partir de la georreferenciación de la Figura 1	997498	972293	MAGNA_Colombia_Este	$4^{\circ} 34' 24,699'' N$	$71^{\circ} 19' 37,893'' W$	Berrio <i>et al.</i> (2000b)	43	Muestra tomada a 44 cm de profundidad en núcleo de la laguna Carimagua–El Bosque
			Se obtuvo las coordenadas del punto a partir de la georreferenciación de la Figura 1	762147	932197	MAGNA_Colombia_Oeste	$2^{\circ} 26' 42,257'' N$	$77^{\circ} 41' 13,692'' W$	Vélez <i>et al.</i> (2001)	320	Muestra tomada a 266 cm de profundidad
			Se obtuvo las coordenadas del punto a partir de la georreferenciación de la Figura 1 y de la descripción del sitio de muestreo	700279	904775	MAGNA_Colombia_Oeste	$1^{\circ} 53' 07,790'' N$	$77^{\circ} 56' 00,096'' W$	Behling <i>et al.</i> (1998a)	32	Muestra tomada a 45 cm de profundidad
			Se obtuvo las coordenadas del punto a partir de la georreferenciación de la Figura 3	628575	968783	MAGNA_Colombia_Oeste	$1^{\circ} 14' 14,031'' N$	$77^{\circ} 21' 28,788'' W$	Banks <i>et al.</i> (1997)	23	
			Las coordenadas ( $5^{\circ} 48' N$ , $76^{\circ} 42' W$ ) reportadas por los autores no coinciden con la localización de la datación en la Figura 3.1. Se obtuvieron las coordenadas del punto a partir de la georreferenciación de esta figura	1121518	1042186	MAGNA_Colombia_Oeste	$5^{\circ} 41' 41,835'' N$	$76^{\circ} 41' 48,054'' W$	Berrio <i>et al.</i> (2000a)	42	Muestra tomada a 275 cm de profundidad
			Se obtuvo las coordenadas del punto a partir de la georreferenciación de la Figura 62 de Thouret <i>et al.</i> (1995b) [284]	1030827	871819	MAGNA_Colombia_Bogota	$4^{\circ} 52' 26,324'' N$	$75^{\circ} 13' 58,992'' W$	Melief (1989)	187	Muestra tomada en el perfil El Billar I a 62–64 cm de profundidad. También publicada en Thouret <i>et al.</i> (1995b) [284]
									Vélez <i>et al.</i> (2005)	321	Sondeo Patía–1, muestra tomada a 45 cm de profundidad
									Salomons (1989)	260	Muestra tomada a 50–60 cm de profundidad en la sección TPN 46
			Se obtuvo las coordenadas del punto a partir de la georreferenciación de la Figura 1	1013852	962196	MAGNA_Colombia_Este	$4^{\circ} 43' 16,988'' N$	$71^{\circ} 25' 05,703'' W$	Behling & Hooghiemstra (1999)	34	Muestra tomada a 2 cm de profundidad
			Se obtuvo las coordenadas del punto a partir de la georreferenciación de la Figura 5	1037423	866174	MAGNA_Colombia_Bogota	$4^{\circ} 56' 00,681'' N$	$75^{\circ} 17' 02,537'' W$	Herd (1982)	136	Muestra tomada en columna estratigráfica. En la página 17 menciona para esta muestra otro código diferente (UW–275)
			Las coordenadas ( $4^{\circ} 04' N$ , $70^{\circ} 13' W$ ) reportadas por los autores no coinciden con el sitio de la laguna Carimagua–El Bosque. Se obtuvo las coordenadas del punto a partir de la georreferenciación de la Figura 1	997498	972293	MAGNA_Colombia_Este	$4^{\circ} 34' 24,699'' N$	$71^{\circ} 19' 37,893'' W$	Berrio <i>et al.</i> (2000b)	43	Muestra tomada a 60–64 de profundidad en núcleo de la laguna Carimagua–El Bosque
			Se obtuvo las coordenadas del punto a partir de la georreferenciación de la Figura 1	765288	1051983	MAGNA_Colombia_Oeste	$2^{\circ} 28' 24,722'' N$	$76^{\circ} 36' 36,389'' W$	Behling <i>et al.</i> (1998b)	33	Muestra tomada a 100 cm de profundidad
				1284871	1105417	MAGNA_Colombia_Bogota	$7^{\circ} 10' 16,390'' N$	$73^{\circ} 07' 23,364'' W$	Diederix <i>et al.</i> (2009)	91	Edad convencional (cf. columna Edad años BP). Edades calibradas de 1070–930 años BP es la edad corregida a $2\sigma$ y 95 % de probabilidad
			Se obtuvo las coordenadas del punto a partir de la georreferenciación de la Figura 3	627974	970295	MAGNA_Colombia_Oeste	$1^{\circ} 13' 54,473'' N$	$77^{\circ} 20' 39,889'' W$	Banks <i>et al.</i> (1997)	23	
				991905	847198	MAGNA_Colombia_Bogota	$4^{\circ} 31' 18,077'' N$	$75^{\circ} 27' 15,394'' W$	Cepeda <i>et al.</i> (1996)	74	
			Se obtuvo las coordenadas del punto a partir de la georreferenciación de la Figura 3	626350	971372	MAGNA_Colombia_Oeste	$1^{\circ} 13' 01,602'' N$	$77^{\circ} 20' 05,047'' W$	Banks <i>et al.</i> (1997)	23	
			Se obtuvo las coordenadas del punto a partir de la georreferenciación de la Figura 3	626350	971372	MAGNA_Colombia_Oeste	$1^{\circ} 13' 01,602'' N$	$77^{\circ} 20' 05,047'' W$	Banks <i>et al.</i> (1997)	23	
			Se obtuvo la localización aproximada de la columna estratigráfica a partir de la georreferenciación de la Figura 62	1052571	865960	MAGNA_Colombia_Bogota	$5^{\circ} 04' 13,715'' N$	$75^{\circ} 17' 10,406'' W$	Thouret <i>et al.</i> (1995b)	284	Muestra tomada en la sección Letras–El Doce
			Se obtuvo las coordenadas del punto a partir de la georreferenciación de la Figura 62 de Thouret <i>et al.</i> (1995b) [284]	1026941	854673	MAGNA_Colombia_Bogota	$4^{\circ} 50' 18,820'' N$	$75^{\circ} 23' 15,093'' W$	Melief (1989)	187	Muestra tomada en la sección Buenos Aires a 325–335 cm de profundidad
				1221109	1141452	MAGNA_Colombia_Oeste	$6^{\circ} 35' 38,437'' N$	$75^{\circ} 47' 54,678'' W$	Martínez <i>et al.</i> (2013)	177	Sección Sucre: muestra colectada a 1275 cm de profundidad.
				1284871	1105417	MAGNA_Colombia_Bogota	$7^{\circ} 10' 16,390'' N$	$73^{\circ} 07' 23,364'' W$	Diederix <i>et al.</i> (2009)	91	Edad convencional (cf. columna Edad años BP). Edades calibradas de 1280–1070 años BP es la edad corregida a $2\sigma$ y 95 % de probabilidad
									Thouret <i>et al.</i> (1995b)	284	Suelo

ID Datación Radiométrica	Código de la muestra	Unidad geológica	Litología	Edad años BP	Error años	Edad Ma	Error Ma	Edad grano simple menor detrítico	Edad grano simple mayor detrítico	Edad estratigráfica	Edades heredadas	Método de datación	Material analizado	Relación inicial	MSWD	P(X2) %
85	Sitio 12			1255						Holoceno (Q2)		Carbono-14	Madera			
86	Col 320 (GrN 11707)	Tefras y suelos sobre sistema morrénico de Murillo	Turba	1255	± 30					Holoceno (Q2)		Carbono-14	Turba			
87	UtC-8034			1260	± 60					Holoceno (Q2)		Carbono-14	Sedimento orgánico			
88	UtC-5831			1261	± 36					Holoceno (Q2)		Carbono-14	Arcilla lacustre			
89	LG-I-COL-30	Abanico de Ibagué	Materia orgánica	1270	± 70					Holoceno (Q2)		Carbono-14	Paleosuelo			
90	Col 331 (GrN 11388)	Tefras y suelos de la turbera El Billar	Turba	1275	± 50					Holoceno (Q2)		Carbono-14	Turba			
91		Etiapa eruptiva La Olleta del volcán Nevado del Ruiz		1275	± 50					Holoceno (Q2)		Carbono-14				
92	Col 42 (GrN-4357)			1320	± 70					Holoceno (Q2)		Carbono-14	Arcilla con restos de plantas			
93	Col 362 (GrN 11678)	Tefras y suelos sobre sistema morrénico de Otún	Turba	1350	± 200					Holoceno (Q2)		Carbono-14	Turba			
94	UtC-6075			1357	± 36					Holoceno (Q2)		Carbono-14	Arcilla lacustre			
95	GdA-919			1370	± 30					Holoceno (Q2)		Carbono-14	Lodo fibroso			
96	Col 113			1430	± 40					Holoceno (Q2)		Carbono-14	Conchas			
97	Col 1172			1438	± 45					Holoceno (Q2)		Carbono-14	Lodo detritico			
98	LC-13	Terraza aluvial		1460	± 15					Holoceno (Q2)		Carbono-14	Sedimento			
99	Col 1087			1502	± 37					Holoceno (Q2)		Carbono-14	Carbón vegetal			
100	Col 1189			1516	± 31					Holoceno (Q2)		Carbono-14	Sedimento organico			
101	LG-I-COL-27	Abanico de Ibagué	Materia orgánica	1520	± 40					Holoceno (Q2)		Carbono-14	Paleosuelo			
102	Col 363 (GrN 11679)	Tefras y suelos sobre sistema morrénico de Otún	Turba	1550	± 100					Holoceno (Q2)		Carbono-14	Turba			
103	FS-75	Terraza aluvial		1555	± 30					Holoceno (Q2)		Carbono-14	Sedimento			
104	SI-I-COL-03	Abanico de Ibagué	Materia orgánica	1570	± 40					Holoceno (Q2)		Carbono-14	Paleosuelo			
105	Col 318 (GrN 11705)	Tefras y suelos sobre sistema morrénico de Murillo	Turba	1590	± 60					Holoceno (Q2)		Carbono-14	Turba			
106	UtC-8011			1603	± 46					Holoceno (Q2)		Carbono-14	Sedimento orgánico			
107	JGP-06-3			1640	± 45					Holoceno (Q2)		Carbono-14	Suelo			
108	Col 1125			1700	± 29					Holoceno (Q2)		Carbono-14	Sedimento orgánico			
109	SN-33	Terraza aluvial		1720	± 30					Holoceno (Q2)		Carbono-14	Sedimento			
110	Col 532 (GrN 14065)		Depósito de caída piroclástica	1725	± 25					Holoceno (Q2)		Carbono-14	Carbón			
111	SN-51	Terraza aluvial		1760	± 20					Holoceno (Q2)		Carbono-14	Sedimento			
112	SN-22	Terraza aluvial		1790	± 20					Holoceno (Q2)		Carbono-14	Sedimento			
113	UtC-10041			1843	± 34					Holoceno (Q2)		Carbono-14	Sedimento organico			
114	FS-68	Terraza aluvial		1860	± 30					Holoceno (Q2)		Carbono-14	Sedimento			
115	FS-60	Terraza aluvial		1875	± 30					Holoceno (Q2)		Carbono-14	Sedimento			

Dispersión %	Número de granos analizados	Número de alicuotas	Fuente georreferenciación	Coordenada X	Coordenada Y	Sistema de coordenadas	Latitud	Longitud	Referencia	ID referencia	Comentarios
				1086889	853800	MAGNA_Colombia_Este	5° 22' 49,839" N	72° 23' 47,410" W	Robertson (2007)	250	Muestra tomada de sedimentos aluviales y lacustres enterrados a 28 m de profundidad
			Se obtuvo la localización aproximada de la columna estratigráfica a partir de la georreferenciación de la Figura 62	1050617	860956	MAGNA_Colombia_Bogota	5° 03' 09,800" N	75° 19' 52,674" W	Thouret <i>et al.</i> (1995b)	284	Muestra tomada en la columna estratigráfica Letras II
			Las coordenadas (4° 04' N, 70° 13' W) reportadas por los autores no coinciden con el sitio de la laguna Carimagua–El Bosque. Se obtuvo las coordenadas del punto a partir de la georreferenciación de la Figura 1	997498	972293	MAGNA_Colombia_Este	4° 34' 24,699" N	71° 19' 37,893" W	Berrio <i>et al.</i> (2000b)	43	Muestra tomada a 24 cm de profundidad en núcleo de la laguna Carimagua–El Bosque, rechazada para interpretación
			Se obtuvo las coordenadas del punto a partir de la georreferenciación de la Figura 1	1013852	962196	MAGNA_Colombia_Este	4° 43' 16,988" N	71° 25' 05,703" W	Behling & Hooghiemstra (1999)	34	Muestra tomada a 24 cm de profundidad
				985763	891830	MAGNA_Colombia_Bogota	4° 28' 00,498" N	75° 03' 07,596" W	Osorio <i>et al.</i> (2008)	216	Edad convencional ( <i>c.f.</i> columna Edad años BP). Edades calibradas de 1300–1050 años BP es la edad corregida a $2\sigma$ y 95 % de probabilidad
			Se obtuvo las coordenadas del punto a partir de la georreferenciación de la Figura 62 de Thouret <i>et al.</i> (1995b) [284]	1030827	871819	MAGNA_Colombia_Bogota	4° 52' 26,324" N	75° 13' 58,992" W	Melief (1989)	187	Muestra tomada en el perfil El Billar I a 74–76 cm de profundidad. También publicada en Thouret <i>et al.</i> (1995b) [284]
									Thouret <i>et al.</i> (1990)	282	Eventos eruptivos en el volcán Nevado del Ruiz
			Se obtuvo las coordenadas del punto a partir de la georreferenciación de la Figura 124	1685433	1045853	MAGNA_Colombia_Bogota	10° 47' 36,920" N	73° 39' 29,663" W	van der Hammen (1984)	306	Muestra tomada a 94–101 cm de profundidad en la sección Sierra Nevada V
			Se obtuvo las coordenadas del punto a partir de la georreferenciación de la Figura 62 de Thouret <i>et al.</i> (1995b) [284]	1026941	854673	MAGNA_Colombia_Bogota	4° 50' 18,820" N	75° 23' 15,093" W	Melief (1989)	187	Muestra tomada en la sección Buenos Aires a 150–175 cm de profundidad
			Se obtuvo las coordenadas del punto a partir de la georreferenciación de la Figura 1	998263	971440	MAGNA_Colombia_Este	4° 34' 49,605" N	71° 20' 05,588" W	Behling & Hooghiemstra (1999)	34	Muestra tomada de la superficie del fondo de la laguna
			Se obtuvo las coordenadas del punto a partir de la georreferenciación de la Figura 1C	1207889	1108839	MAGNA_Colombia_Oeste	6° 28' 30,551" N	76° 05' 36,958" W	Velasquez & Hooghiemstra (2013)	319	Muestra tomada a 75 cm de profundidad
									van der Hammen & Noldus (1984)	307	Muestra tomada de una capa de conchas de 50 cm de profundidad a 125–150 cm por encima del nivel de la marea alta en el sitio El Lago, El Rodadero, Santa Marta
			Las coordenadas (5° 48' N, 76° 42' W) reportadas por los autores no coinciden con la localización de la datación en la Figura 3.1. Se obtuvo las coordenadas del punto a partir de la georreferenciación de esta figura	1121518	1042186	MAGNA_Colombia_Oeste	5° 41' 41,835" N	76° 41' 48,054" W	Berrio <i>et al.</i> (2000a)	42	Muestra tomada a 412 cm de profundidad
				1219981	1141285	MAGNA_Colombia_Oeste	6° 35' 01,740" N	75° 48' 00,207" W	Velez <i>et al.</i> (2013)	322	Sección La Caimana: muestra colectada a 435 cm sobre la base de la sección.
			Se obtuvo las coordenadas del punto a partir de la georreferenciación de la Figura 1	762147	932197	MAGNA_Colombia_Oeste	2° 26' 42,257" N	77° 41' 13,692" W	Vélez <i>et al.</i> (2001)	320	Muestra tomada a 398 cm de profundidad
				985763	891830	MAGNA_Colombia_Bogota	4° 28' 00,498" N	75° 03' 07,596" W	Osorio <i>et al.</i> (2008)	216	Edad convencional ( <i>c.f.</i> columna Edad años BP). Edades calibradas de 1320–1520 años BP es la edad corregida a $2\sigma$ y 95 % de probabilidad
			Se obtuvo las coordenadas del punto a partir de la georreferenciación de la Figura 62 de Thouret <i>et al.</i> (1995b) [284]	1026941	854673	MAGNA_Colombia_Bogota	4° 50' 18,820" N	75° 23' 15,093" W	Melief (1989)	187	Muestra tomada en la sección Buenos Aires a 500–525 cm de profundidad
				1221109	1141452	MAGNA_Colombia_Oeste	6° 35' 38,437" N	75° 47' 54,678" W	Martinez <i>et al.</i> (2013)	177	Sección Sucre: muestra colectada a 1865 cm de profundidad.
				983085	880374	MAGNA_Colombia_Bogota	4° 26' 32,828" N	75° 09' 19,015" W	Osorio <i>et al.</i> (2008)	216	Edad convencional ( <i>c.f.</i> columna Edad años BP). Edades calibradas de 1360–1540 años BP es la edad corregida a $2\sigma$ y 95 % de probabilidad
			Se obtuvo la localización aproximada de la columna estratigráfica a partir de la georreferenciación de la Figura 62	1050617	860956	MAGNA_Colombia_Bogota	5° 03' 09,800" N	75° 19' 52,674" W	Thouret <i>et al.</i> (1995b)	284	Muestra tomada en la columna estratigráfica Letras II
			Las coordenadas (4° 04' N, 70° 13' W) reportadas por los autores no coinciden con el sitio de la laguna Carimagua–El Bosque. Se obtuvo las coordenadas del punto a partir de la georreferenciación de la Figura 1	997498	972293	MAGNA_Colombia_Este	4° 34' 24,699" N	71° 19' 37,893" W	Berrio <i>et al.</i> (2000b)	43	Muestra tomada a 50 cm de profundidad en núcleo de la laguna Carimagua–El Bosque, rechazada para interpretación
				967487	875264	MAGNA_Colombia_Bogota	4° 18' 04,862" N	75° 12' 03,970" W	Cortés (2001)	85	Suelo que suprayace un depósito de lahar
			Se obtuvo las coordenadas del punto a partir de la georreferenciación de la Figura 2	752418	1035787	MAGNA_Colombia_Oeste	2° 21' 25,904" N	76° 45' 20,749" W	Wille <i>et al.</i> (2000)	339	Muestra tomada a 90 cm de profundidad
				1219881	1141285	MAGNA_Colombia_Oeste	6° 34' 58,486" N	75° 48' 00,216" W	Martinez <i>et al.</i> (2013)	177	Núcleo San Nicolas: muestra colectada a 1321 cm de profundidad.
				1003925	857317	MAGNA_Colombia_Bogota	4° 37' 49,907" N	75° 21' 47,936" W	Thouret <i>et al.</i> (1995a)	283	
				1219881	1141285	MAGNA_Colombia_Oeste	6° 34' 58,486" N	75° 48' 00,216" W	Martinez <i>et al.</i> (2013)	177	Núcleo San Nicolas: muestra colectada a 2123 cm de profundidad.
				1219881	1141285	MAGNA_Colombia_Oeste	6° 34' 58,486" N	75° 48' 00,216" W	Martinez <i>et al.</i> (2013)	177	Núcleo San Nicolas: muestra colectada a 852 cm de profundidad.
									Wille <i>et al.</i> (2003)	340	Muestra tomada a 51 cm de profundidad en la sección laguna Las Margaritas. La localización (3° 23' N, 73° 26' W) reportada por el autor no coincide con la descripción del sitio ni de la unidad
				1221109	1141452	MAGNA_Colombia_Oeste	6° 35' 38,437" N	75° 47' 54,678" W	Martinez <i>et al.</i> (2013)	177	Sección Sucre: muestra colectada a 870 cm de profundidad.
				1221109	1141452	MAGNA_Colombia_Oeste	6° 35' 38,437" N	75° 47' 54,678" W	Martinez <i>et al.</i> (2013)	177	Sección Sucre: muestra colectada a 250 cm de profundidad.

ID Datación Radiométrica	Código de la muestra	Unidad geológica	Litología	Edad años BP	Error años	Edad Ma	Error Ma	Edad grano simple menor detrítico	Edad grano simple mayor detrítico	Edad estratigráfica	Edades heredadas	Método de datación	Material analizado	Relación inicial	MSWD	P(X2) %
116	Col 294 (GrN 10214)			1880	± 70					Holoceno (Q2)		Carbono-14	Carbón vegetal			
117	Nivel 7			1890	± 200					Holoceno (Q2)		Carbono-14	Carbón vegetal			
118	UtC-10042			1902	± 39					Holoceno (Q2)		Carbono-14	Sedimento orgánico			
119	Col 1116			1909	± 38					Holoceno (Q2)		Carbono-14	Sedimento orgánico			
120	UGa-151			1920	± 65					Holoceno (Q2)		Carbono-14	Turba			
121	UGa-150			1920	± 65					Holoceno (Q2)		Carbono-14	Turba			
122	Col 332 (GrN 11389)	Tefras y suelos de la turbera El Billar		1930	± 60					Holoceno (Q2)		Carbono-14	Turba			
123		Etapa eruptiva La Olleta del volcán Nevado del Ruiz		1930	± 60					Holoceno (Q2)		Carbono-14				
124	FS-66	Terraza aluvial		1940	± 30					Holoceno (Q2)		Carbono-14	Sedimento			
125	LC-10	Terraza aluvial		1945	± 130					Holoceno (Q2)		Carbono-14	Sedimento			
126	Col 313			1980	± 110					Holoceno (Q2)		Carbono-14	Carbón vegetal			
127	LG-I-COL-09	Abanico de Ibagué	Materia orgánica	1990	± 50					Holoceno (Q2)		Carbono-14	Paleosuelo			
128	SN-46	Terraza aluvial		1990	± 30					Holoceno (Q2)		Carbono-14	Sedimento			
129	TB-1 3	Terraza costera		2020	± 50					Holoceno (Q2)		Carbono-14	Molusco <i>Anodontia</i> sp.			
130	TB-1 6	Terraza costera		2030	± 40					Holoceno (Q2)		Carbono-14	Molusco <i>Codakia</i> sp.			
131	FS-65	Terraza aluvial		2040	± 30					Holoceno (Q2)		Carbono-14	Sedimento			
132	15	Depósito lacustre	Materia orgánica	2040	± 40					Holoceno (Q2)		Carbono-14	Sedimentos orgánicos			
133	Col 1107			2040	± 60					Holoceno (Q2)		Carbono-14	Sedimento orgánico			
134	Col 306			2040	± 80					Holoceno (Q2)		Carbono-14	Turba			
135	UtC-6802			2056	± 44					Holoceno (Q2)		Carbono-14	Sedimento orgánico			
136	TB-1 2	Terraza costera		2100	± 100					Holoceno (Q2)		Carbono-14	Molusco <i>Macoma</i> sp.			
137	TB-2 33	Terraza costera		2120	± 100					Holoceno (Q2)		Carbono-14	Molusco <i>Codakia</i> sp.			
138	Col 561 (GrN 13053)		Depósito de caída piroclástica y suelo	2125	± 35					Holoceno (Q2)		Carbono-14	Carbón			
139	Col 279			2140	± 80					Holoceno (Q2)		Carbono-14	Turba			
140	OL-3			2150	± 100					Holoceno (Q2)		Carbono-14	Carbón vegetal			
141	Col 27			2160	± 50					Holoceno (Q2)		Carbono-14	Turba			
142	TB-1 5	Terraza costera		2160	± 120					Holoceno (Q2)		Carbono-14	Molusco <i>Tellina</i> sp.			
143	Col 1218			2167	± 42					Holoceno (Q2)		Carbono-14	Carbón vegetal			
144	TB-1 4	Terraza costera		2180	± 90					Holoceno (Q2)		Carbono-14	Molusco <i>Anodontia</i> sp.			
145	Col 1160			2187	± 41					Holoceno (Q2)		Carbono-14	Sedimento orgánico			
146	TB-1 1	Terraza costera		2210	± 80					Holoceno (Q2)		Carbono-14	Molusco <i>Trachycardium</i> sp.			
147	UtC-11510			2225	± 36					Holoceno (Q2)		Carbono-14	Sedimento orgánico			
148	PC 9	Terraza costera		2230	± 40					Holoceno (Q2)		Carbono-14	Molusco <i>Lucina</i> sp.			

Dispersión %	Número de granos analizados	Número de alicuotas	Fuente georreferenciación	Coordenada X	Coordenada Y	Sistema de coordenadas	Latitud	Longitud	Referencia	ID referencia	Comentarios
									Thouret <i>et al.</i> (1995b)	284	Muestra de suelo tomada a 30 cm de profundidad en el valle río Totarito, al este del nevado Santa Isabel
									Angulo (1962)	15	Muestra tomada a 100–110 cm de profundidad, muestra tomada en la población de Malambo, cercanías del río Magdalena, departamento del Atlántico
									Wille <i>et al.</i> (2003)	340	Muestra tomada a 81 cm de profundidad en la sección laguna Las Margaritas. La localización (3° 23' N, 73° 26' W) reportada por el autor no coincide con la descripción del sitio ni de la unidad
			Se obtuvo las coordenadas del punto a partir de la georreferenciación de la Figura 1 y de la descripción del sitio de muestreo	700279	904775	MAGNA_Colombia_Oeste	1° 53' 07,790" N	77° 56' 00,096" W	Behling <i>et al.</i> (1998a)	32	Muestra tomada a 95 cm de profundidad
			Se obtuvo las coordenadas del punto a partir de la georreferenciación de la Figura 5	1687045	960512	MAGNA_Colombia_Bogota	10° 48' 29,658" N	74° 26' 18,953" W	Wiedemann (1973)	338	Muestra tomada de los 5–10 cm del tope del depósito
			Se obtuvo las coordenadas del punto a partir de la georreferenciación de la Figura 5	1682395	964553	MAGNA_Colombia_Bogota	10° 45' 58,461" N	74° 24' 05,748" W	Wiedemann (1973)	338	Muestra tomada de los 5–10 cm del tope del depósito
			Se obtuvo las coordenadas del punto a partir de la georreferenciación de la Figura 62 de Thouret <i>et al.</i> (1995b) [284]	1030827	871819	MAGNA_Colombia_Bogota	4° 52' 26,324" N	75° 13' 58,992" W	Melief (1989)	187	Muestra tomada en el perfil El Billar I a 103–106 cm de profundidad. También publicada en Thouret <i>et al.</i> (1995b) [284]
									Thouret <i>et al.</i> (1990)	282	Eventos eruptivos en el volcán Nevado del Ruiz
				1221109	1141452	MAGNA_Colombia_Oeste	6° 35' 38,437" N	75° 47' 54,678" W	Martinez <i>et al.</i> (2013)	177	Sección Sucre: muestra colectada a 810 cm de profundidad.
				1219981	1141285	MAGNA_Colombia_Oeste	6° 35' 01,740" N	75° 48' 00,207" W	Garcia <i>et al.</i> (2011)	109	Sección La Caimana: muestra colectada a 935 cm sobre la base de la sección. También publicada en Martinez <i>et al.</i> (2013) [177] y Vélez <i>et al.</i> (2013) [322]
									Salomons (1989)	260	Muestra tomada a 40 cm de profundidad en la sección TPN 21
				985763	891830	MAGNA_Colombia_Bogota	4° 28' 00,498" N	75° 03' 07,596" W	Osorio <i>et al.</i> (2008)	216	Edad convencional ( <i>cf.</i> columna Edad años BP). Edades calibradas de 1840–2050 años BP es la edad corregida a $2\sigma$ y 95 % de probabilidad
				1219881	1141285	MAGNA_Colombia_Oeste	6° 34' 58,486" N	75° 48' 00,216" W	Martinez <i>et al.</i> (2013)	177	Núcleo San Nicolas: muestra colectada a 1979 cm de profundidad.
				1639281	836537	MAGNA_Colombia_Bogota	10° 22' 23,400" N	75° 34' 12,000" W	Martinez <i>et al.</i> (2010)	176	Sección Tierra Bomba: muestra colectada a 279 cm sobre el nivel del mar.
				1639281	836537	MAGNA_Colombia_Bogota	10° 22' 23,400" N	75° 34' 12,000" W	Martinez <i>et al.</i> (2010)	176	Sección Tierra Bomba: muestra colectada a 344 cm sobre el nivel del mar.
				1221109	1141452	MAGNA_Colombia_Oeste	6° 35' 38,437" N	75° 47' 54,678" W	Martinez <i>et al.</i> (2013)	177	Sección Sucre: muestra colectada a 730 cm de profundidad.
				1284871	1105417	MAGNA_Colombia_Bogota	7° 10' 16,390" N	73° 07' 23,364" W	Diederix <i>et al.</i> (2009)	91	Edad convencional ( <i>cf.</i> columna Edad años BP). Edades calibradas de 2120–1900 años BP es la edad corregida a $2\sigma$ y 95 % de probabilidad
			Se obtuvo las coordenadas del punto a partir de la georreferenciación de la Figura 1	762147	932197	MAGNA_Colombia_Oeste	2° 26' 42,257" N	77° 41' 13,692" W	Vélez <i>et al.</i> (2001)	320	Muestra tomada a 498 cm de profundidad
			Se obtuvo las coordenadas del punto a partir de la georreferenciación de la Figura 31	1016492	849242	MAGNA_Colombia_Bogota	4° 44' 38,416" N	75° 26' 10,652" W	Kuhry <i>et al.</i> (1983)	157	Muestra tomada a 287,5–297,5 cm de profundidad
			Las coordenadas (3° 18' 00" N, 73° 23' 00" W) reportadas por los autores no coinciden con el sitio de la laguna Loma Linda. Se obtuvo las coordenadas del punto a partir de la descripción del sitio de muestreo	856872	1079595	MAGNA_Colombia_Bogota	3° 18' 05,744" N	73° 21' 40,795" W	Behling & Hooghiemstra (2000)	35	Muestra tomada a 85 cm de profundidad en la sección laguna Loma Linda
				1639281	836537	MAGNA_Colombia_Bogota	10° 22' 23,400" N	75° 34' 12,000" W	Martinez <i>et al.</i> (2010)	176	Sección Tierra Bomba: muestra colectada a 279 cm sobre el nivel del mar.
				1639281	836537	MAGNA_Colombia_Bogota	10° 22' 23,400" N	75° 34' 12,000" W	Martinez <i>et al.</i> (2010)	176	Sección Tierra Bomba: muestra colectada a 359 cm sobre el nivel del mar.
				1005755	864719	MAGNA_Colombia_Bogota	4° 38' 49,896" N	75° 17' 47,923" W	Thouret <i>et al.</i> (1995a)	283	
			Se obtuvo las coordenadas del punto a partir de la georreferenciación de la Figura 31	1023166	852053	MAGNA_Colombia_Bogota	4° 48' 15,799" N	75° 24' 39,856" W	Kuhry <i>et al.</i> (1983)	157	Muestra tomada a 126–135 cm de profundidad en el sondeo laguna Superior de Otún II
			Se obtuvo las coordenadas del punto a partir de la georreferenciación de la Figura 5	1037115	859308	MAGNA_Colombia_Bogota	4° 55' 50,260" N	75° 20' 45,329" W	Herd (1982)	136	Muestra tomada en columna estratigráfica
			Se obtuvo las coordenadas del punto a partir de la georreferenciación de la Figura 5	868479	1069112	MAGNA_Colombia_Bogota	3° 24' 23,830" N	73° 27' 20,120" W	Wymstra & van der Hammen (1966)	341	Muestra tomada a 50–60 cm de profundidad
				1639281	836537	MAGNA_Colombia_Bogota	10° 22' 23,400" N	75° 34' 12,000" W	Martinez <i>et al.</i> (2010)	176	Sección Tierra Bomba: muestra colectada a 344 cm sobre el nivel del mar.
									Berrio <i>et al.</i> (2002b)	45	Sondeo Quilichao-1, muestra tomada a 365 cm de profundidad en la turbera Quilichao, 30 km al sureste de Cali y al noreste de Santander de Quilichao, Cauca
				1639281	836537	MAGNA_Colombia_Bogota	10° 22' 23,400" N	75° 34' 12,000" W	Martinez <i>et al.</i> (2010)	176	Sección Tierra Bomba: muestra colectada a 199 cm sobre el nivel del mar.
			Las coordenadas de localización de la publicación y del mapa publicado no coinciden con el sitio de la laguna Mozambique. Se obtuvo la localización aproximada del punto en la laguna Mozambique con base al mapa base cartográfico a escala 1:100 000 del IGAC	929296	1113525	MAGNA_Colombia_Bogota	3° 57' 22,234" N	73° 03' 19,179" W	Berrio <i>et al.</i> (2002a)	44	Muestra tomada a 240 cm de profundidad
				1639281	836537	MAGNA_Colombia_Bogota	10° 22' 23,400" N	75° 34' 12,000" W	Martinez <i>et al.</i> (2010)	176	Sección Tierra Bomba: muestra colectada a 199 cm sobre el nivel del mar.
									Vélez <i>et al.</i> (2005)	321	Sondeo Patía-2, muestra tomada a 85 cm de profundidad
				1659530	843688	MAGNA_Colombia_Bogota	10° 33' 23,300" N	75° 30' 20,000" W	Martinez <i>et al.</i> (2010)	176	Sección Punta Canoas: muestra colectada a 637 cm sobre el nivel del mar.

ID Datación Radiométrica	Código de la muestra	Unidad geológica	Litología	Edad años BP	Error años	Edad Ma	Error Ma	Edad grano simple menor detrítico	Edad grano simple mayor detrítico	Edad estratigráfica	Edades heredadas	Método de datación	Material analizado	Relación inicial	MSWD	P(X2) %
149	LG-I-COL-29	Abanico de Ibagué	Materia orgánica	2230	± 120					Holoceno (Q2)		Carbono-14	Paleosuelo			
150	Horizonte Ah1			2250	± 65					Holoceno (Q2)		Carbono-14	Suelo			
151	TB-3 34	Terraza costera		2260	± 110					Holoceno (Q2)		Carbono-14	Molusco <i>Macoma</i> sp.			
152	MM-1 15	Terraza costera		2260	± 80					Holoceno (Q2)		Carbono-14	Molusco <i>Oculina</i> sp.			
153	UGa-149			2300	± 65					Holoceno (Q2)		Carbono-14	Turba			
154	PC 8	Terraza costera		2320	± 120					Holoceno (Q2)		Carbono-14	Molusco <i>Anomalocardia</i> dia sp.			
155	SN-37	Terraza aluvial		2320	± 30					Holoceno (Q2)		Carbono-14	Sedimento			
156	UiC-4959			2326	± 45					Holoceno (Q2)		Carbono-14	Sedimento orgánico			
157	GA17P-11	Depósito de flujo piroclástico del volcán Galeras		2330	± 70					Holoceno (Q2)		Carbono-14	Carbón vegetal			
158	Col 26			2340	± 90					Holoceno (Q2)		Carbono-14	Turba			
159	Col 1193			2383	± 36					Holoceno (Q2)		Carbono-14	Sedimento orgánico			
160	W88P-B	Depósito de flujo piroclástico del volcán Galeras		2390	± 80					Holoceno (Q2)		Carbono-14	Carbón vegetal			
161	LC-08	Terraza aluvial		2395	± 50					Holoceno (Q2)		Carbono-14	Sedimento			
162	Col 370			2400	± 150					Holoceno (Q2)		Carbono-14	Turba			
163	Col 288 (GrN 10209)	Tefras y suelos sobre sistema morénico de Otún		2410	± 60					Holoceno (Q2)		Carbono-14	Carbón de leña			
164	MM-1 16	Terraza costera		2420	± 70					Holoceno (Q2)		Carbono-14	Molusco <i>Codakia</i> sp.			
165	Col 1194			2424	± 36					Holoceno (Q2)		Carbono-14	Sedimento orgánico			
166	LG-I-COL-08	Abanico de Ibagué	Materia orgánica	2430	± 70					Holoceno (Q2)		Carbono-14	Paleosuelo			
167	UGa-152			2430	± 85					Holoceno (Q2)		Carbono-14	Turba			
168	LC-06	Terraza aluvial		2435	± 45					Holoceno (Q2)		Carbono-14	Sedimento			
169	MTC-05329			2450	± 80					Holoceno (Q2)		Carbono-14				
170	UiC-5472			2451	± 30					Holoceno (Q2)		Carbono-14	Sedimento orgánico			
171	PO-I 20	Terraza costera		2460	± 80					Holoceno (Q2)		Carbono-14	Molusco <i>Chione</i> sp.			
172	PO-I 19	Terraza costera		2470	± 80					Holoceno (Q2)		Carbono-14	Molusco <i>Chione</i> sp.			
173	Col 308 (GrN 10826)	Tefras y suelos sobre sistema morénico de Otún	Humus y horizonte orgánico	2480	± 100					Holoceno (Q2)		Carbono-14	Carbón vegetal			
174		Etapas eruptivas Alto La Pirámide del volcán Nevado del Ruiz		2480	± 100					Holoceno (Q2)		Carbono-14				
175	SN-26	Terraza aluvial		2500	± 20					Holoceno (Q2)		Carbono-14	Sedimento			
176	JGP-06-1			2505	± 65					Holoceno (Q2)		Carbono-14	Suelo			
177	Col 531 (GrN 14064)		Depósito de caída piroclástica y suelo	2510	± 120					Holoceno (Q2)		Carbono-14	Carbón			
178	Col 473B (GrN 12506)	Tefras y suelos sobre sistema morénico de Otún		2520	± 210					Holoceno (Q2)		Carbono-14	Turba			
179	RMM-506 C	Depósitos piroclásticos del volcán Machín		2550	± 70					Holoceno (Q2)		Carbono-14	Madera			
180	Col 319 (GrN 11706)	Tefras y suelos sobre sistema morénico de Murillo	Turba	2570	± 180					Holoceno (Q2)		Carbono-14	Turba			
181	Col 292 (GrN 10212)	Tefras y suelos sobre sistema morénico de Otún	Lapilli pómex	2580	± 130					Holoceno (Q2)		Carbono-14	Carbón vegetal			
182	Col 335 (GrN 11392)	Tefras y suelos de la turbera El Billar		2600	± 50					Holoceno (Q2)		Carbono-14	Turba			

Dispersión %	Número de granos analizados	Número de alicuotas	Fuente georreferenciación	Coordenada X	Coordenada Y	Sistema de coordenadas	Latitud	Longitud	Referencia	ID referencia	Comentarios
				985763	891830	MAGNA_Colombia_Bogota	4° 28' 00,498" N	75° 03' 07,596" W	Osorio <i>et al.</i> (2008)	216	Edad convencional ( <i>cf.</i> columna Edad años BP). Edades calibradas de 1930-2490 y 2650-2700 años BP es la edad corregida a 2σ y 95 % de probabilidad
									Guillet & Faivre (1981)	126	Tiempo promedio de residencia, muestra tomada a 37-43 cm de profundidad en el perfil Guasca 8
				1639281	836537	MAGNA_Colombia_Bogota	10° 22' 23,400" N	75° 34' 12,000" W	Martinez <i>et al.</i> (2010)	176	Sección Tierra Bomba: muestra colectada a 357 cm sobre el nivel del mar.
				1654651	844189	MAGNA_Colombia_Bogota	10° 30' 44,600" N	75° 30' 02,800" W	Martinez <i>et al.</i> (2010)	176	Sección Manzanillo del Mar: muestra colectada a 248 cm sobre el nivel del mar.
			Se obtuvo las coordenadas del punto a partir de la georreferenciación de la Figura 5	1698213	964679	MAGNA_Colombia_Bogota	10° 54' 33,260" N	74° 24' 02,158" W	Wiedemann (1973)	338	Muestra tomada de los 5-10 cm más superficiales alto del depósito
				1659530	843688	MAGNA_Colombia_Bogota	10° 33' 23,300" N	75° 30' 20,000" W	Martinez <i>et al.</i> (2010)	176	Sección Punta Canoas: muestra colectada a 629 cm sobre el nivel del mar.
				1219881	1141285	MAGNA_Colombia_Oeste	6° 34' 58,486" N	75° 48' 00,216" W	Martinez <i>et al.</i> (2013)	177	Núcleo San Nicolas: muestra colectada a 1512 cm de profundidad.
			Se obtuvo las coordenadas del punto a partir de la georreferenciación de la Figura 1	765288	1051983	MAGNA_Colombia_Oeste	2° 28' 24,722" N	76° 36' 36,389" W	Behling <i>et al.</i> (1998b)	33	Muestra tomada a 199 cm de profundidad
			Se obtuvo las coordenadas del punto a partir de la georreferenciación de la Figura 3	627974	970295	MAGNA_Colombia_Oeste	1° 13' 54,473" N	77° 20' 39,889" W	Banks <i>et al.</i> (1997)	23	
			Se obtuvo las coordenadas del punto a partir de la georreferenciación de la Figura 5	868479	1069112	MAGNA_Colombia_Bogota	3° 24' 23,830" N	73° 27' 20,120" W	Wymstra & van der Hammen (1966)	341	Muestra tomada a 60-70 cm de profundidad
			Se obtuvo las coordenadas del punto a partir de la georreferenciación de la Figura 3	626350	971372	MAGNA_Colombia_Oeste	1° 13' 01,602" N	77° 20' 05,047" W	Banks <i>et al.</i> (1997)	23	
				1219981	1141285	MAGNA_Colombia_Oeste	6° 35' 01,740" N	75° 48' 00,207" W	Garcia <i>et al.</i> (2011)	109	Sección La Caimana: muestra colectada a 717 cm sobre la base de la sección. También publicada en Martinez <i>et al.</i> (2013) [177] y Vélez <i>et al.</i> (2013) [322]
									Melief (1989)	187	Muestra tomada a 170 cm de profundidad en la sección valle Totare El Quindío
			Se obtuvo la localización aproximada de la columna estratigráfica a partir de la georreferenciación de la Figura 62	1019861	850977	MAGNA_Colombia_Bogota	4° 46' 28,159" N	75° 25' 14,549" W	Thouret <i>et al.</i> (1995b)	284	Muestra tomada en columna estratigráfica Otún TNP 21 bis a 44 cm de profundidad. También publicada en Thouret <i>et al.</i> (1997) [285]
				1654651	844189	MAGNA_Colombia_Bogota	10° 30' 44,600" N	75° 30' 02,800" W	Martinez <i>et al.</i> (2010)	176	Sección Manzanillo del Mar: muestra colectada a 173 cm sobre el nivel del mar.
									Berrio <i>et al.</i> (2002a)	44	Muestra tomada a 38 cm de profundidad en la laguna Chenevo, noreste de Meta
			Se obtuvo las coordenadas del punto a partir de la georreferenciación de la Figura 3	985763	891830	MAGNA_Colombia_Bogota	4° 28' 00,498" N	75° 03' 07,596" W	Osorio <i>et al.</i> (2008)	216	Edad convencional ( <i>cf.</i> columna Edad años BP). Edades calibradas de 2330-2740 años BP es la edad corregida a 2σ y 95 % de probabilidad
			Se obtuvo las coordenadas del punto a partir de la georreferenciación de la Figura 5	1703847	972664	MAGNA_Colombia_Bogota	10° 57' 36,865" N	74° 19' 39,357" W	Wiedemann (1973)	338	Muestra tomada de los 5-10 cm más alto del depósito
				1219981	1141285	MAGNA_Colombia_Oeste	6° 35' 01,740" N	75° 48' 00,207" W	Garcia <i>et al.</i> (2011)	109	Sección La Caimana: muestra colectada a 597 cm sobre la base de la sección. También publicada en Martinez <i>et al.</i> (2013) [177] y Vélez <i>et al.</i> (2013) [322]
			Las coordenadas (11° 24' 39" N, 73° 06' 00" W) reportadas por los autores no coinciden con la localización de la datación en la Figura 1. Se obtuvo las coordenadas del punto a partir de la georreferenciación de esta figura	1756021	1108458	MAGNA_Colombia_Bogota	11° 25' 49,181" N	73° 05' 01,217" W	Urrego <i>et al.</i> (2013)	304	Muestra tomada a 195 cm de profundidad
									Behling & Hooghiemstra (1998)	31	Muestra tomada a 4 cm de profundidad en la sección laguna Ángel, Llanos Orientales, departamento del Vichada. Las coordenadas reportadas (4° 28' N, 70° 34' W) no coinciden con el sitio de muestra
				1653867	844180	MAGNA_Colombia_Bogota	10° 30' 19,100" N	75° 30' 03,000" W	Martinez <i>et al.</i> (2010)	176	Sección Playa de Oro: muestra colectada a 246 cm sobre el nivel del mar.
				1653867	844180	MAGNA_Colombia_Bogota	10° 30' 19,100" N	75° 30' 03,000" W	Martinez <i>et al.</i> (2010)	176	Sección Playa de Oro: muestra colectada a 246 cm sobre el nivel del mar.
			Se obtuvo la localización aproximada de la columna estratigráfica de la Figura 62 de Thouret <i>et al.</i> (1995b) [284]	1037480	862205	MAGNA_Colombia_Bogota	4° 56' 02,300" N	75° 19' 11,353" W	Salomons (1989)	260	Muestra tomada en columna estratigráfica La Cachucha a 180 cm de profundidad. También publicada en Thouret <i>et al.</i> (1997) [285]
									Thouret <i>et al.</i> (1990)	282	Eventos eruptivos en el volcán Nevado del Ruiz
				1219881	1141285	MAGNA_Colombia_Oeste	6° 34' 58,486" N	75° 48' 00,216" W	Martinez <i>et al.</i> (2013)	177	Núcleo San Nicolas: muestra colectada a 1035 cm de profundidad.
				967456	875202	MAGNA_Colombia_Bogota	4° 18' 03,862" N	75° 12' 05,970" W	Cortés (2001)	85	Suelo que infrayace un depósito de lahar
				1007164	854790	MAGNA_Colombia_Bogota	4° 39' 35,157" N	75° 23' 10,102" W	Thouret <i>et al.</i> (1995a)	283	
			Se obtuvo las coordenadas del punto a partir de la georreferenciación de la Figura 62 de Thouret <i>et al.</i> (1995b) [284]	1026941	854673	MAGNA_Colombia_Bogota	4° 50' 18,820" N	75° 23' 15,093" W	Melief (1989)	187	Muestra tomada en la sección Buenos Aires a 548-560 cm de profundidad
			Localización tomada de Méndez <i>et al.</i> (2002) [189]	988597	855469	MAGNA_Colombia_Bogota	4° 29' 30,902" N	75° 22' 46,962" W	Méndez (2001)	188	
			Se obtuvo la localización aproximada de la columna estratigráfica a partir de la georreferenciación de la Figura 62	1050617	860956	MAGNA_Colombia_Bogota	5° 03' 09,800" N	75° 19' 52,674" W	Thouret <i>et al.</i> (1995b)	284	Muestra tomada en la columna estratigráfica Letras II
			Se obtuvo las coordenadas del punto a partir de la georreferenciación de la Figura 62 de Thouret <i>et al.</i> (1995b) [284]	1030827	871819	MAGNA_Colombia_Bogota	4° 52' 26,324" N	75° 13' 58,992" W	Melief (1989)	187	Muestra tomada en el valle del río Tarotito, sureste del Nevado Santa Isabel
			Se obtuvo las coordenadas del punto a partir de la georreferenciación de la Figura 62 de Thouret <i>et al.</i> (1995b) [284]								Muestra tomada en el perfil El Billar I a 142-144 cm de profundidad. También publicada en Thouret <i>et al.</i> (1995b) [284]

ID Datación Radiométrica	Código de la muestra	Unidad geológica	Litología	Edad años BP	Error años	Edad Ma	Error Ma	Edad grano simple menor detrítico	Edad grano simple mayor detrítico	Edad estratigráfica	Edades heredadas	Método de datación	Material analizado	Relación inicial	MSWD	P(X2) %
183		Etapa eruptiva Alto La Pirámide, volcán Nevado del Ruiz		2600	± 50					Holoceno (Q2)		Carbono-14				
184	SN-10	Terraza aluvial		2600	± 70					Holoceno (Q2)		Carbono-14	Sedimento			
185	Col 333 (GrN 11390)	Tefras y suelos de la turbera El Billar		2610	± 60					Holoceno (Q2)		Carbono-14	Turba			
186	CPL-25			2630	± 80					Holoceno (Q2)		Carbono-14	Paleosuelo			
187	PO-1 18	Terraza costera		2645	± 30					Holoceno (Q2)		Carbono-14	Molusco <i>Chione</i> sp.			
188	Col 1117			2646	± 38					Holoceno (Q2)		Carbono-14	Sedimento orgánico			
189	SN-31	Terraza aluvial		2660	± 30					Holoceno (Q2)		Carbono-14	Sedimento			
190	PO-2 29	Terraza costera		2670	± 80					Holoceno (Q2)		Carbono-14	Molusco <i>Corbulia caribbea</i>			
191	PO-1 17	Terraza costera		2675	± 35					Holoceno (Q2)		Carbono-14	Molusco <i>Chione</i> sp.			
192	SN-49	Terraza aluvial		2680	± 20					Holoceno (Q2)		Carbono-14	Sedimento			
193	12	Depósito lacustre	Materia orgánica	2680	± 40					Holoceno (Q2)		Carbono-14	Sedimentos orgánicos			
194	14	Depósito lacustre	Materia orgánica	2690	± 40					Holoceno (Q2)		Carbono-14	Sedimentos orgánicos			
195	LC-11	Terraza aluvial		2695	± 195					Holoceno (Q2)		Carbono-14	Sedimento			
196	Col 1219			2700	± 46					Holoceno (Q2)		Carbono-14	Carbón vegetal			
197	GIF 5038	Depósito de terraza		2700	± 90					Holoceno (Q2)		Carbono-14	Coral: <i>Porites porites</i>			
198		Etapa eruptiva Alto La Pirámide del volcán Nevado del Ruiz		2735	± 30					Holoceno (Q2)		Carbono-14				
199	Col 444 (GrN 12495)	Tefras y suelos de la turbera El Billar		2740	± 50					Holoceno (Q2)		Carbono-14	Turba			
200	FS-72	Terraza aluvial		2750	± 30					Holoceno (Q2)		Carbono-14	Sedimento			
201	Col 334 (GrN 11391)	Tefras y suelos de la turbera El Billar		2750	± 30					Holoceno (Q2)		Carbono-14	Turba			
202	Col 281			2760	± 70					Holoceno (Q2)		Carbono-14	Turba			
203	Col 287 (GrN 10208)	Tefras y suelos sobre sistema morrénico de Otún	Lapilli	2775	± 55					Holoceno (Q2)		Carbono-14	Carbón de leña			
204	Col 1238			2780	± 35					Holoceno (Q2)		Carbono-14	Carbón vegetal			
205	UtC-11504			2788	± 34					Holoceno (Q2)		Carbono-14	Sedimento orgánico			
206	LAM-2587	Flujo de pómex del volcán Machín que subyace el suelo actual		2805	± 55					Holoceno (Q2)		Carbono-14	Madera carbonizada			
207	LG-I-COL-28	Abanico de Ibagué	Materia orgánica	2820	± 80					Holoceno (Q2)		Carbono-14	Paleosuelo			
208	L-719-F	Depósito de terraza		2850	± 150					Holoceno (Q2)		Carbono-14	Concha: <i>Codakia orbicularis</i>			
209	COL-24	Flujo del volcán Azufral	Depósito piroclástico	2880	± 200					Holoceno (Q2)		Carbono-14	Madera carbonizada			
210	W89P-A	Depósito de flujo piroclástico del volcán Galeras		2910	± 80					Holoceno (Q2)		Carbono-14	Carbón vegetal			
211	Horizonte Ah2			2930	± 80					Holoceno (Q2)		Carbono-14	Suelo			
212	GA38P-4	Depósito de flujo piroclástico del volcán Galeras		2940	± 180					Holoceno (Q2)		Carbono-14	Carbón vegetal			
213	W90P-A	Depósito de flujo piroclástico del volcán Galeras		2940	± 140					Holoceno (Q2)		Carbono-14	Carbón vegetal			
214	LC-04	Terraza aluvial		2965	± 50					Holoceno (Q2)		Carbono-14	Sedimento			
215	SI-I-COL-02	Abanico de Ibagué	Materia orgánica	2970	± 40					Holoceno (Q2)		Carbono-14	Paleosuelo			

Dispersión %	Número de gramos analizados	Número de alicuotas	Fuente georreferenciación	Coordenada X	Coordenada Y	Sistema de coordenadas	Latitud	Longitud	Referencia	ID referencia	Comentarios
									Thouret <i>et al.</i> (1990)	282	Eventos eruptivos en el volcán Nevado del Ruiz
				1219881	1141285	MAGNA_Colombia_Oeste	6° 34' 58,486" N	75° 48' 00,216" W	Martinez <i>et al.</i> (2013)	177	Núcleo San Nicolas: muestra colectada a 335 cm de profundidad.
			Se obtuvo las coordenadas del punto a partir de la georreferenciación de la Figura 62 de Thouret <i>et al.</i> (1995b) [284]	1030827	871819	MAGNA_Colombia_Bogota	4° 52' 26,324" N	75° 13' 58,992" W	Melief (1989)	187	Muestra tomada en el perfil El Billar I a 114–116 cm de profundidad. También publicada en Thouret <i>et al.</i> (1995b) [284]
				1009006	1163547	MAGNA_Colombia_Oeste	4° 40' 33,926" N	75° 36' 13,061" W	Lalinde (2004)	158	
				1653867	844180	MAGNA_Colombia_Bogota	10° 30' 19,100" N	75° 30' 03,000" W	Martinez <i>et al.</i> (2010)	176	Sección Playa de Oro: muestra colectada a 218 cm sobre el nivel del mar.
			Se obtuvo las coordenadas del punto a partir de la georreferenciación de la Figura 1 y de la descripción del sitio de muestreo	700279	904775	MAGNA_Colombia_Oeste	1° 53' 07,790" N	77° 56' 00,096" W	Behling <i>et al.</i> (1998a)	32	Muestra tomada a 150 cm de profundidad
				1219881	1141285	MAGNA_Colombia_Oeste	6° 34' 58,486" N	75° 48' 00,216" W	Martinez <i>et al.</i> (2013)	177	Núcleo San Nicolas: muestra colectada a 1226 cm de profundidad.
				1653867	844180	MAGNA_Colombia_Bogota	10° 30' 19,100" N	75° 30' 03,000" W	Martinez <i>et al.</i> (2010)	176	Sección Playa de Oro: muestra colectada a 109 cm sobre el nivel del mar.
				1653867	844180	MAGNA_Colombia_Bogota	10° 30' 19,100" N	75° 30' 03,000" W	Martinez <i>et al.</i> (2010)	176	Sección Playa de Oro: muestra colectada a 179 cm sobre el nivel del mar.
				1219881	1141285	MAGNA_Colombia_Oeste	6° 34' 58,486" N	75° 48' 00,216" W	Martinez <i>et al.</i> (2013)	177	Núcleo San Nicolas: muestra colectada a 2015 cm de profundidad.
				1284871	1105417	MAGNA_Colombia_Bogota	7° 10' 16,390" N	73° 07' 23,364" W	Diederix <i>et al.</i> (2009)	91	Edad convencional ( <i>cf.</i> columna Edad años BP). Edades calibradas de 2860–2740 años BP es la edad corregida a $2\sigma$ y 95 % de probabilidad
				1284871	1105417	MAGNA_Colombia_Bogota	7° 10' 16,390" N	73° 07' 23,364" W	Diederix <i>et al.</i> (2009)	91	Edad convencional ( <i>cf.</i> columna Edad años BP). Edades calibradas de 2860–2750 años BP es la edad corregida a $2\sigma$ y 95 % de probabilidad
				1219981	1141285	MAGNA_Colombia_Oeste	6° 35' 01,740" N	75° 48' 00,207" W	Garcia <i>et al.</i> (2011)	109	Sección La Caimana: muestra colectada a 1065 cm sobre la base de la sección. También publicada en Martinez <i>et al.</i> (2013) [177] y Vélez <i>et al.</i> (2013) [322]
									Berrio <i>et al.</i> (2002b)	45	Sondeo Quilichao-1, muestra tomada a 445 cm de profundidad en la turbera Quilichao, 30 km al sureste de Cali y al noroeste de Santander de Quilichao, Cauca
			Se obtuvo las coordenadas del punto a partir de la georreferenciación de la Figura 4	1628783	839206	MAGNA_Colombia_Bogota	10° 16' 42,222" N	75° 32' 42,696" W	Burel & Vernette (1981)	55	
									Thouret <i>et al.</i> (1990)	282	Eventos eruptivos en el volcán Nevado del Ruiz
			Se obtuvo las coordenadas del punto a partir de la georreferenciación de la Figura 62 de Thouret <i>et al.</i> (1995b) [284]	1030827	871819	MAGNA_Colombia_Bogota	4° 52' 26,324" N	75° 13' 58,992" W	Melief (1989)	187	Muestra tomada en la Sección El Billar II a 216–218 cm de profundidad. Probablemente confundida en campo con Col 446 (GrN-12497), también publicada en Thouret <i>et al.</i> (1995b) [284]
				1221109	1141452	MAGNA_Colombia_Oeste	6° 35' 38,437" N	75° 47' 54,678" W	Martinez <i>et al.</i> (2013)	177	Sección Sucre: muestra colectada a 1368 cm de profundidad.
			Se obtuvo las coordenadas del punto a partir de la georreferenciación de la Figura 62 de Thouret <i>et al.</i> (1995b) [284]	1030827	871819	MAGNA_Colombia_Bogota	4° 52' 26,324" N	75° 13' 58,992" W	Melief (1989)	187	Muestra tomada en el perfil El Billar I a 135–137 cm de profundidad. También publicada en Thouret <i>et al.</i> (1995b) [284]
			Se obtuvo las coordenadas del punto a partir de la georreferenciación de la Figura 31	1019197	849631	MAGNA_Colombia_Bogota	4° 46' 06,470" N	75° 25' 58,192" W	Kuhry <i>et al.</i> (1983)	157	Muestra tomada a 715–723 cm de profundidad
			Se obtuvo la localización aproximada de la columna estratigráfica a partir de la georreferenciación de la Figura 62	1019861	850977	MAGNA_Colombia_Bogota	4° 46' 28,159" N	75° 25' 14,549" W	Thouret <i>et al.</i> (1995b)	284	Muestra tomada de la sección laguna del Otún a 44 cm de profundidad
									Berrio <i>et al.</i> (2002b)	45	Sondeo La Teta-2, muestra tomada a 145 cm de profundidad en la turbera La Teta, cerca de Santander de Quilichao, en el piedemonte de la cordillera Occidental
									Vélez <i>et al.</i> (2005)	321	Sondeo Patía-1, muestra tomada a 90 cm de profundidad
				990006	835748	MAGNA_Colombia_Bogota	4° 30' 15,528" N	75° 33' 26,591" W	Cepeda <i>et al.</i> (1996)	74	
				985763	891830	MAGNA_Colombia_Bogota	4° 28' 00,498" N	75° 03' 07,596" W	Osorio <i>et al.</i> (2008)	216	Edad convencional ( <i>cf.</i> columna Edad años BP). Edades calibradas de 2760–3160 años BP es la edad corregida a $2\sigma$ y 95 % de probabilidad
			Se obtuvo las coordenadas del punto a partir de la georreferenciación de la Figura 4 de Burel & Vernette (1981) [55]	1639926	836160	MAGNA_Colombia_Bogota	10° 22' 44,307" N	75° 34' 24,490" W	Richards & Broecker (1963)	248	
			Se obtuvo las coordenadas del punto a partir de la georreferenciación del «Mapa de ubicación de muestras de roca»	611532	929887	MAGNA_Colombia_Oeste	1° 04' 58,977" N	77° 42' 26,801" W	Ramírez (1982)	225	Muestra de flujo perteneciente a una de las últimas erupciones del volcán Azufral
			Se obtuvo las coordenadas del punto a partir de la georreferenciación de la Figura 3	627984	967668	MAGNA_Colombia_Oeste	1° 13' 54,777" N	77° 22' 04,852" W	Banks <i>et al.</i> (1997)	23	
			Se obtuvo las coordenadas del punto a partir de la georreferenciación de la Figura 3	628594	966364	MAGNA_Colombia_Oeste	1° 14' 14,641" N	77° 22' 47,028" W	Banks <i>et al.</i> (1997)	23	
			Se obtuvo las coordenadas del punto a partir de la georreferenciación de la Figura 3	626350	971372	MAGNA_Colombia_Oeste	1° 13' 01,602" N	77° 20' 05,047" W	Banks <i>et al.</i> (1997)	23	
				1219981	1141285	MAGNA_Colombia_Oeste	6° 35' 01,740" N	75° 48' 00,207" W	Garcia <i>et al.</i> (2011)	109	Sección La Caimana: muestra colectada a 345 cm sobre la base de la sección. También publicada en Martinez <i>et al.</i> (2013) [177] y Vélez <i>et al.</i> (2013) [322]
				983085	880374	MAGNA_Colombia_Bogota	4° 26' 32,828" N	75° 09' 19,015" W	Osorio <i>et al.</i> (2008)	216	Edad convencional ( <i>cf.</i> columna Edad años BP). Edades calibradas de 2990–3260 años BP es la edad corregida a $2\sigma$ y 95 % de probabilidad

ID Datación Radiométrica	Código de la muestra	Unidad geológica	Litología	Edad años BP	Error años	Edad Ma	Error Ma	Edad grano simple menor detrítico	Edad grano simple mayor detrítico	Edad estratigráfica	Edades heredadas	Método de datación	Material analizado	Relación inicial	MSWD	P(X2) %
216	LC-05	Terraza aluvial		2970	$\pm 135$					Holoceno (Q2)		Carbono-14	Sedimento			
217	LC-09	Terraza aluvial		2985	$\pm 45$					Holoceno (Q2)		Carbono-14	Sedimento			
218	Col 1190			3003	$\pm 34$					Holoceno (Q2)		Carbono-14	Sedimento orgánico			
219	SN-40	Terraza aluvial		3010	$\pm 30$					Holoceno (Q2)		Carbono-14	Sedimento			
220	MM-2 25	Terraza costera		3040	$\pm 70$					Holoceno (Q2)		Carbono-14	Molusco <i>Chione</i> sp.			
221	UltC-10043			3043	$\pm 36$					Holoceno (Q2)		Carbono-14	Sedimento orgánico			
222	LG-I-COL-21	Abanico de Ibagué	Materia orgánica	3060	$\pm 50$					Holoceno (Q2)		Carbono-14	Paleosuelo			
223	Horizonte Ah2			3060	$\pm 80$					Holoceno (Q2)		Carbono-14	Suelo			
224	Nivel 14			3070	$\pm 200$					Holoceno (Q2)		Carbono-14	Carbón vegetal			
225		Etapas eruptivas La Hedionda del volcán Nevado del Ruiz		3100	$\pm 70$					Holoceno (Q2)		Carbono-14				
226	UltC-5476			3127	$\pm 36$					Holoceno (Q2)		Carbono-14	Sedimento orgánico			
227	Col 359 (GrN 11675)	Tefras y suelos sobre sistema morrénico de Otún		3220	$\pm 160$					Holoceno (Q2)		Carbono-14	Turba			
228	Col 339 (GrN 11397)	Tefras y suelos de la turbera El Billar	Turba	3230	$\pm 60$					Holoceno (Q2)		Carbono-14	Turba			
229	Col 1118			3254	$\pm 40$					Holoceno (Q2)		Carbono-14	Sedimento orgánico			
230	Col 338 (GrN 11396)	Tefras y suelos de la turbera El Billar		3285	$\pm 50$					Holoceno (Q2)		Carbono-14	Turba			
231		Etapas eruptivas La Hedionda del volcán Nevado del Ruiz		3285	$\pm 50$					Holoceno (Q2)		Carbono-14				
232	UltC-6804			3293	$\pm 50$					Holoceno (Q2)		Carbono-14	Lodo rico en materia orgánica			
233	Col 317 (GrN 11704)	Tefras y suelos sobre sistema morrénico de Murillo	Turba	3320	$\pm 60$					Holoceno (Q2)		Carbono-14	Turba			
234	13	Depósito lacustre	Materia orgánica	3350	$\pm 40$					Holoceno (Q2)		Carbono-14	Sedimentos orgánicos			
235	MM-1 11	Terraza costera		3400	$\pm 80$					Holoceno (Q2)		Carbono-14	Molusco <i>Brachiodontes</i> sp.			
236	Caidas Piroclásticas	Depósito piroclástico del volcán Azufral		3410	$\pm 90$					Holoceno (Q2)		Carbono-14	Carbón vegetal			
237	Col 1161			3444	$\pm 41$					Holoceno (Q2)		Carbono-14	Sedimento orgánico			
238	JGP-78-3-1	Depósito hipercentrado del volcán Machín		3450-30 52						Holoceno (Q2)		Carbono-14	Carbón			
239	EF-92-51	Depósito piroclástico riocártico del volcán Azufral		3470	$\pm 60$					Holoceno (Q2)		Carbono-14	Carbón			
240	UltC-5491			3475	$\pm 39$					Holoceno (Q2)		Carbono-14	Sedimento orgánico			
241	LAM-2579	Flujo de ceniza y pómex del volcán Machín		3475	$\pm 190$					Holoceno (Q2)		Carbono-14	Madera carbonizada			
242	Col 1106			3492	$\pm 35$					Holoceno (Q2)		Carbono-14	Sedimento orgánico			
243	Col 286 (GrN 10207)	Tefras y suelos sobre sistema morrénico de Otún		3500	$\pm 55$					Holoceno (Q2)		Carbono-14	Carbón de leña			
244	MM-1 12	Terraza costera		3520	$\pm 60$					Holoceno (Q2)		Carbono-14	Molusco <i>Tagelus</i> sp.			
245	JS-90-30	Depósito de flujo piroclástico riocártico del volcán Azufral		3540	$\pm 70$					Holoceno (Q2)		Carbono-14	Carbón			
246	AZ-18-1	Depósito de flujo piroclástico del volcán Azufral		3550	$\pm 140$					Holoceno (Q2)		Carbono-14	Carbón vegetal			

Dispersión %	Número de granos analizados	Número de alicuotas	Fuente georreferenciación	Coordenada X	Coordenada Y	Sistema de coordenadas	Latitud	Longitud	Referencia	ID referencia	Comentarios
				1219981	1141285	MAGNA_Colombia_Oeste	6° 35' 01,740" N	75° 48' 00,207" W	García <i>et al.</i> (2011)	109	Sección La Caimana: muestra colectada a 511 cm sobre la base de la sección. También publicada en Martínez <i>et al.</i> (2013) [177] y Vélez <i>et al.</i> (2013) [322]
				1219981	1141285	MAGNA_Colombia_Oeste	6° 35' 01,740" N	75° 48' 00,207" W	García <i>et al.</i> (2011)	109	Sección La Caimana: muestra colectada a 837 cm sobre la base de la sección. También publicada en Martínez <i>et al.</i> (2013) [177] y Vélez <i>et al.</i> (2013) [322]
			Se obtuvo las coordenadas del punto a partir de la georreferenciación de la Figura 1	762147	932197	MAGNA_Colombia_Oeste	2° 26' 42,257" N	77° 41' 13,692" W	Vélez <i>et al.</i> (2001)	320	Muestra tomada a 546 cm de profundidad
				1219881	1141285	MAGNA_Colombia_Oeste	6° 34' 58,486" N	75° 48' 00,216" W	Martínez <i>et al.</i> (2013)	177	Núcleo San Nicolas: muestra colectada a 1623 cm de profundidad.
				1654651	844189	MAGNA_Colombia_Bogota	10° 30' 44,600" N	75° 30' 02,800" W	Martínez <i>et al.</i> (2010)	176	Sección Manzanillo del Mar: muestra colectada a 140 cm sobre el nivel del mar.
									Wille <i>et al.</i> (2003)	340	Muestra tomada a 204 cm de profundidad en la sección laguna Las Margaritas. La localización (3° 23' N, 73° 26' W) reportada por el autor no coincide con la descripción del sitio ni de la unidad
				985763	891830	MAGNA_Colombia_Bogota	4° 28' 00,498" N	75° 03' 07,596" W	Osorio <i>et al.</i> (2008)	216	Edad convencional ( <i>cf.</i> columna Edad años BP). Edades calibradas de 3140–3380 años BP es la edad corregida a 2σ y 95 % de probabilidad
									Guillet & Faivre (1981)	126	Tiempo promedio de residencia, muestra tomada a 57–62 cm de profundidad en el perfil Guasca 8
									Angulo (1962)	15	Muestra tomada a 100–110 cm de profundidad, muestra tomada en la población de Malambo en cercanías al río Magdalena, departamento de Atlántico
									Thouret <i>et al.</i> (1990)	282	Eventos eruptivos en el volcán Nevado del Ruiz
									Wille <i>et al.</i> (2003)	340	Muestra tomada a 100 cm de profundidad en la sección laguna Las Margaritas, la localización (3° 23' N, 73° 26' W) reportada por el autor no coincide con la descripción del sitio ni de la unidad
			Se obtuvo las coordenadas del punto a partir de la georreferenciación de la Figura 62 de Thouret <i>et al.</i> (1995b) [284]	1024236	868452	MAGNA_Colombia_Bogota	4° 48' 51,594" N	75° 15' 47,856" W	Melief (1989)	187	Muestra tomada en la sección laguna Verde de las Siete Cabezas a 162–173 cm de profundidad
			Se obtuvo la localización aproximada de la columna estratigráfica a partir de la georreferenciación de la Figura 62	1030827	871819	MAGNA_Colombia_Bogota	4° 52' 26,324" N	75° 13' 58,992" W	Thouret <i>et al.</i> (1995b)	284	Muestra tomada en el perfil El Billar I
			Se obtuvo las coordenadas del punto a partir de la georreferenciación de la Figura 1 y de la descripción del sitio de muestreo	700279	904775	MAGNA_Colombia_Oeste	1° 53' 07,790" N	77° 56' 00,096" W	Behling <i>et al.</i> (1998a)	32	Muestra tomada a 195 cm de profundidad
			Se obtuvo las coordenadas del punto a partir de la georreferenciación de la Figura 62 de Thouret <i>et al.</i> (1995b) [284]	1030827	871819	MAGNA_Colombia_Bogota	4° 52' 26,324" N	75° 13' 58,992" W	Melief (1989)	187	Muestra tomada en el perfil El Billar I a 202–204 cm de profundidad. Entre 165 y 205 cm de profundidad la columna aparece con turbación. También publicada en Thouret <i>et al.</i> (1995b) [284]
									Thouret <i>et al.</i> (1990)	282	Eventos eruptivos en el volcán Nevado del Ruiz
			Se obtuvo las coordenadas del punto a partir de la georreferenciación de la Figura 1C	1207889	1108839	MAGNA_Colombia_Oeste	6° 28' 30,551" N	76° 05' 36,958" W	Velásquez & Hooghiemstra (2013)	319	Muestra tomada a 158–161 cm de profundidad
			Se obtuvo la localización aproximada de la columna estratigráfica a partir de la georreferenciación de la Figura 62	1050617	860956	MAGNA_Colombia_Bogota	5° 03' 09,800" N	75° 19' 52,674" W	Thouret <i>et al.</i> (1995b)	284	Muestra tomada en la columna estratigráfica Letras II
				1284871	1105417	MAGNA_Colombia_Bogota	7° 10' 16,390" N	73° 07' 23,364" W	Diederix <i>et al.</i> (2009)	91	Edad convencional ( <i>cf.</i> columna Edad años BP). Edades calibradas de 3690–3470 años BP es la edad corregida a 2σ y 95 % de probabilidad
				1654651	844189	MAGNA_Colombia_Bogota	10° 30' 44,600" N	75° 30' 02,800" W	Martínez <i>et al.</i> (2010)	176	Sección Manzanillo del Mar: muestra colectada a 8 cm sobre el nivel del mar.
									Bechon & Monsalve (1991)	30	Muestra tomada en la cantera El Espino en el municipio de Piedrancha, departamento del Nariño
			Las coordenadas de localización de la publicación y del mapa publicado no coinciden con el sitio de la laguna Mozambique. Se obtuvo la localización aproximada del punto en la laguna Mozambique con base al mapa base cartográfico a escala 1:100 000 del IGAC	929296	1113525	MAGNA_Colombia_Bogota	3° 57' 22,234" N	73° 03' 19,179" W	Berrio <i>et al.</i> (2002a)	44	Muestra tomada a 272 cm de profundidad
				944245	912773	MAGNA_Colombia_Bogota	4° 05' 29,792" N	74° 51' 46,959" W	Cortés (2001)	85	
				607255	931131	MAGNA_Colombia_Oeste	1° 02' 39,733" N	77° 41' 46,520" W	Fontaine & Stix (1993)	105	
									Behling & Hooghiemstra (1998)	31	Muestra tomada a 12 cm de profundidad en la sección laguna Sardinas, Llanos Orientales, departamento del Vichada, las coordenadas reportadas (4° 58' N, 69° 28' W) no coinciden con el sitio de muestra
				990405	845198	MAGNA_Colombia_Bogota	4° 30' 29,138" N	75° 28' 20,164" W	Cepeda <i>et al.</i> (1996)	74	
			Se obtuvo las coordenadas del punto a partir de la georreferenciación de la Figura 1	762147	932197	MAGNA_Colombia_Oeste	2° 26' 42,257" N	77° 41' 13,692" W	Vélez <i>et al.</i> (2001)	320	Muestra tomada a 598 cm de profundidad
				1019861	850977	MAGNA_Colombia_Bogota	4° 46' 28,159" N	75° 25' 14,549" W	Thouret <i>et al.</i> (1995b)	284	Muestra tomada de un nivel de lapilli a 54 cm de profundidad
				1654651	844189	MAGNA_Colombia_Bogota	10° 30' 44,600" N	75° 30' 02,800" W	Martínez <i>et al.</i> (2010)	176	Sección Manzanillo del Mar: muestra colectada a 8 cm sobre el nivel del mar.
				610055	923856	MAGNA_Colombia_Oeste	1° 04' 10,834" N	77° 45' 41,835" W	Fontaine & Stix (1993)	105	
			Localización tomada de Calvache (1988) [61]	604680	935431	MAGNA_Colombia_Oeste	1° 01' 15,931" N	77° 39' 27,429" W	Cortés & Calvache (1997)	86	

ID Datación Radiométrica	Código de la muestra	Unidad geológica	Litología	Edad años BP	Error años	Edad Ma	Error Ma	Edad grano simple menor detrítico	Edad grano simple mayor detrítico	Edad estratigráfica	Edades heredadas	Método de datación	Material analizado	Relación inicial	MSWD	P(X2) %
247	Col 45 (GrN-4389)			3550	± 60					Holoceno (Q2)		Carbono-14	Turba			
248	UtC-11511			3557	± 34					Holoceno (Q2)		Carbono-14	Sedimento orgánico			
249	UtC-5474			3582	± 33					Holoceno (Q2)		Carbono-14	Sedimento orgánico			
250	AZ-16-1	Depósito de flujo piroclástico del volcán Azufral		3590	± 70					Holoceno (Q2)		Carbono-14	Carbón vegetal			
251	HC-89	Flujo de ceniza del volcán Machín		3605	± 315					Holoceno (Q2)		Carbono-14	Madera carbonizada			
252	Col 270 (GrN 9199)	Tefras y suelos sobre sistema morénico de Otún	Flujo pumítico	3620	± 70					Holoceno (Q2)		Carbono-14	Carbón			
253	RMM-01 B	Depósitos del volcán Machín		3640	± 50					Holoceno (Q2)		Carbono-14				
254	UtC-4950			3651	± 43					Holoceno (Q2)		Carbono-14	Sedimento orgánico			
255	JS-90-15	Depósito piroclástico riocártico del volcán Azufral		3660	± 70					Holoceno (Q2)		Carbono-14	Carbón			
256	RMM-08 A	Depósitos del volcán Machín		3665	± 50					Holoceno (Q2)		Carbono-14				
257	RMM-14 A	Depósitos del volcán Machín		3670	± 60					Holoceno (Q2)		Carbono-14				
258	RMM-7 A	Depósitos del volcán Machín		3675	± 120					Holoceno (Q2)		Carbono-14				
259	Col 579 (GrN 13509)		Toba pumítica	3675	± 35					Holoceno (Q2)		Carbono-14	Madera			
260	AZ-17-1	Depósito de flujo piroclástico del volcán Azufral		3680	± 80					Holoceno (Q2)		Carbono-14	Carbón vegetal			
261	JS-90-77	Depósito piroclástico riocártico del volcán Azufral		3680	± 60					Holoceno (Q2)		Carbono-14	Carbón			
262	JGP-53	Depósito lacustre		3704–36 40						Holoceno (Q2)		Carbono-14	Carbón			
263	RMM-28 A	Depósitos del volcán Machín		3710	± 50					Holoceno (Q2)		Carbono-14				
264	NB90A-14	Flujo piroclástico del volcán Azufral		3750	± 90					Holoceno (Q2)		Carbono-14	Carbón vegetal			
265	LC-07	Terraza aluvial		3765	± 50					Holoceno (Q2)		Carbono-14	Sedimento			
266	Col 62 (GrN 5172)		Toba pumítica	3780	± 95					Holoceno (Q2)		Carbono-14	Madera			
267	UtC-4956			3789	± 36					Holoceno (Q2)		Carbono-14	Sedimento orgánico			
268	NB90A-10	Flujo piroclástico del volcán Azufral		3800	± 90					Holoceno (Q2)		Carbono-14	Carbón vegetal			
269	COL-51	Depósito de nube ardiente del volcán Azufral		3800	± 100					Holoceno (Q2)		Carbono-14	Madera carbonizada			
270	Col 277			3830	± 90					Holoceno (Q2)		Carbono-14	Lodo rico en materia orgánica			
271	Col 28			3830	± 60					Holoceno (Q2)		Carbono-14	Turba			
272	UtC-6801			3878	± 46					Holoceno (Q2)		Carbono-14	Sedimento orgánico			
273	JGP-82-3	Depósito hiperconcentrado del volcán Machín		3898–38 84						Holoceno (Q2)		Carbono-14	Carbón			
274	UtC-11505			3913	± 38					Holoceno (Q2)		Carbono-14	Sedimento orgánico			
275	UtC-10535			3920	± 60					Holoceno (Q2)		Carbono-14	Semillas y hojas			
276	AZ-15-1	Depósito de flujo piroclástico del volcán Azufral		3930	± 80					Holoceno (Q2)		Carbono-14	Carbón vegetal			
277	SN-18	Terraza aluvial		3940	± 40					Holoceno (Q2)		Carbono-14	Sedimento			
278	GA50P-3	Depósito de cenizas volcánicas		3940	± 110					Holoceno (Q2)		Carbono-14	Carbón vegetal			
279	SN-12	Terraza aluvial		3980	± 40					Holoceno (Q2)		Carbono-14	Sedimento			

Dispersión %	Número de granos analizados	Número de alicuotas	Fuente georreferenciación	Coordenada X	Coordenada Y	Sistema de coordenadas	Latitud	Longitud	Referencia	ID referencia	Comentarios
			Sé obtuvo las coordenadas del punto a partir de la georreferenciación de la Figura 124	1686593	1046851	MAGNA_Colombia_Bogotá	10° 48' 14,626" N	73° 38' 56,748" W	van der Hammen (1984)	306	Muestra tomada a 210–230 cm de profundidad en la sección Sierra Nevada IX
									Vélez <i>et al.</i> (2005)	321	Sondeo Patía-2, muestra tomada a 110 cm de profundidad
			Las coordenadas (3° 18' 00" N, 73° 23' 00" W) reportadas por los autores no coinciden con el sitio de la laguna Loma Linda. Se obtuvieron las coordenadas del punto a partir de la descripción del sitio de muestreo	856872	1079595	MAGNA_Colombia_Bogotá	3° 18' 05,744" N	73° 21' 40,795" W	Behling & Hooghiemstra (2000)	35	Muestra tomada a 199 cm de profundidad en la sección laguna Loma Linda
			Localización tomada de Calvache (1988) [61]	608730	924281	MAGNA_Colombia_Oeste	1° 03' 27,702" N	77° 45' 28,079" W	Cortés & Calvache (1997)	86	
				991495	852278	MAGNA_Colombia_Bogotá	4° 31' 05,034" N	75° 24' 30,623" W	Cepeda <i>et al.</i> (1996)	74	
			Se obtuvo las coordenadas del punto a partir de la georreferenciación de la Figura 62 de Thouret <i>et al.</i> (1995b) [284]	1025243	851349	MAGNA_Colombia_Bogotá	4° 49' 23,336" N	75° 25' 02,838" W	Thouret <i>et al.</i> (1995a)	283	Muestra tomada en columna estratigráfica carretera Potosí a 85–92 cm de profundidad. También publicada en Thouret <i>et al.</i> (1995b) [284]
			Localización tomada de Méndez <i>et al.</i> (2002) [189]	991030	852513	MAGNA_Colombia_Bogotá	4° 30' 49,908" N	75° 24' 22,962" W	Méndez (2001)	188	
				607330	931181	MAGNA_Colombia_Oeste	1° 02' 42,175" N	77° 41' 44,904" W	Behling & Hooghiemstra (1998)	31	Muestra tomada a 9,5 cm de profundidad en la sección laguna Ángel, Llanos Orientales, departamento del Vichada. Las coordenadas reportadas (4° 28" N, 70° 34" W) no coinciden con el sitio de muestra
									Fontaine & Stix (1993)	105	
			Localización tomada de Méndez <i>et al.</i> (2002) [189]	980488	854128	MAGNA_Colombia_Bogotá	4° 25' 06,901" N	75° 23' 29,976" W	Méndez (2001)	188	
			Localización tomada de Méndez <i>et al.</i> (2002) [189]	983127	855953	MAGNA_Colombia_Bogotá	4° 26' 32,899" N	75° 22' 30,970" W	Méndez (2001)	188	
			Localización tomada de Méndez <i>et al.</i> (2002) [189]	984393	852532	MAGNA_Colombia_Bogotá	4° 27' 13,905" N	75° 24' 21,972" W	Méndez (2001)	188	
				979963	855423	MAGNA_Colombia_Bogotá	4° 24' 49,898" N	75° 22' 47,975" W	Thouret <i>et al.</i> (1995a)	283	
			Localización tomada de Calvache (1988) [61]	609680	923856	MAGNA_Colombia_Oeste	1° 03' 58,626" N	77° 45' 41,832" W	Cortés & Calvache (1997)	86	
				613155	930731	MAGNA_Colombia_Oeste	1° 05' 51,807" N	77° 41' 59,499" W	Fontaine & Stix (1993)	105	
				962570	898759	MAGNA_Colombia_Bogotá	4° 15' 25,822" N	74° 59' 21,948" W	Cortés (2001)	85	
			Localización tomada de Méndez <i>et al.</i> (2002) [189]	983809	852346	MAGNA_Colombia_Bogotá	4° 26' 54,905" N	75° 24' 27,973" W	Méndez (2001)	188	
									Banks <i>et al.</i> (1997)	23	
				1219981	1141285	MAGNA_Colombia_Oeste	6° 35' 01,740" N	75° 48' 00,207" W	Garcia <i>et al.</i> (2011)	109	Sección La Caimana: muestra colectada a 630 cm sobre la base de la sección. También publicada en Martínez <i>et al.</i> (2013) [177] y Vélez <i>et al.</i> (2013) [322]
				961454	907209	MAGNA_Colombia_Bogotá	4° 14' 49,809" N	74° 54' 47,939" W	Thouret <i>et al.</i> (1995a)	283	
									Wille <i>et al.</i> (2003)	340	Muestra tomada a 300 cm de profundidad en la sección laguna Las Margaritas. La localización (3° 23' N, 73° 26' W) reportada por el autor no coincide con la descripción del sitio ni de la unidad
									Banks <i>et al.</i> (1997)	23	
			Se obtuvo las coordenadas del punto a partir de la georreferenciación del «Mapa de ubicación de muestras de roca»	612669	920911	MAGNA_Colombia_Oeste	1° 05' 35,923" N	77° 47' 17,111" W	Ramírez (1982)	225	
			Se obtuvo las coordenadas del punto a partir de la georreferenciación de la Figura 31	1021238	852154	MAGNA_Colombia_Bogotá	4° 47' 13,048" N	75° 24' 36,464" W	Kuhry <i>et al.</i> (1983)	157	Muestra tomada a 190–210 cm de profundidad en el sondeo laguna de Otún IIb
			Se obtuvo las coordenadas del punto a partir de la georreferenciación de la Figura 5	868479	1069112	MAGNA_Colombia_Bogotá	3° 24' 23,830" N	73° 27' 20,120" W	Wymstra & van der Hammen (1966)	341	Muestra tomada a 250–260 cm de profundidad
			Las coordenadas (3° 18' 00" N, 73° 23' 00" W) reportadas por los autores no coinciden con el sitio de la laguna Loma Linda. Se obtuvieron las coordenadas del punto a partir de la descripción del sitio de muestreo	856872	1079595	MAGNA_Colombia_Bogotá	3° 18' 05,744" N	73° 21' 40,795" W	Behling & Hooghiemstra (2000)	35	Muestra tomada a 284 cm de profundidad en la sección laguna Loma Linda
				939735	1137394	MAGNA_Colombia_Oeste	4° 03' 00,959" N	75° 50' 25,102" W	Cortés (2001)	85	
									Vélez <i>et al.</i> (2005)	321	Sondeo Patía-1, muestra tomada a 140 cm de profundidad
									Wille <i>et al.</i> (2003)	340	Muestra tomada a 366 cm de profundidad en la sección laguna Las Margaritas. La localización (3° 23' N, 73° 26' W) reportada por el autor no coincide con la descripción del sitio ni de la unidad
			Localización tomada de Calvache (1988) [61]	611980	922131	MAGNA_Colombia_Oeste	1° 05' 13,489" N	77° 46' 37,642" W	Cortés & Calvache (1997)	86	
				1219881	1141285	MAGNA_Colombia_Oeste	6° 34' 58,486" N	75° 48' 00,216" W	Martínez <i>et al.</i> (2013)	177	Núcleo San Nicolás: muestra colectada a 678 cm de profundidad.
			Se obtuvo las coordenadas del punto a partir de la georreferenciación de la Figura 3	628885	967848	MAGNA_Colombia_Oeste	1° 14' 24,116" N	77° 21' 59,045" W	Banks <i>et al.</i> (1997)	23	
				1219881	1141285	MAGNA_Colombia_Oeste	6° 34' 58,486" N	75° 48' 00,216" W	Martínez <i>et al.</i> (2013)	177	Núcleo San Nicolás: muestra colectada a 415 cm de profundidad.

ID Datación Radiométrica	Código de la muestra	Unidad geológica	Litología	Edad años BP	Error años	Edad Ma	Error Ma	Edad grano simple menor detrítico	Edad grano simple mayor detrítico	Edad estratigráfica	Edades heredadas	Método de datación	Material analizado	Relación inicial	MSWD	P(X2) %
280	UiC-10262			3987	± 37					Holoceno (Q2)		Carbono-14	Raíces y semillas			
281	UiC-10263			3988	± 38					Holoceno (Q2)		Carbono-14	Raíces y hojas			
282	JS-90-50	Depósito piroclástico riodacítico del volcán Azufral		3990	± 60					Holoceno (Q2)		Carbono-14	Carbón			
283	UiC-11512			3997	± 42					Holoceno (Q2)		Carbono-14	Sedimento orgánico			
284	11	Depósito lacustre	Materia orgánica	4000	± 40					Holoceno (Q2)		Carbono-14	Sedimentos orgánicos			
285	LC-12	Terraza aluvial		4000	± 50					Holoceno (Q2)		Carbono-14	Sedimento			
286	LG-I-COL-07	Abanico de Ibagué	Materia orgánica	4010	± 50					Holoceno (Q2)		Carbono-14	Paleosuelo			
287	UiC-10465			4030	± 70					Holoceno (Q2)		Carbono-14	Hojas			
288	LG-I-COL-25	Abanico de Ibagué	Materia orgánica	4050	± 50					Holoceno (Q2)		Carbono-14	Paleosuelo			
289	UiC-10536			4050	± 50					Holoceno (Q2)		Carbono-14	Hojas			
290	Col 1173			4053	± 60					Holoceno (Q2)		Carbono-14	Arena con poca materia orgánica			
291	Depósitos de ceniza y bloques	Depósito piroclástico del volcán Azufral		4070	± 90					Holoceno (Q2)		Carbono-14	Carbon vegetal			
292	TB-1 7	Terraza costera		4070	± 110					Holoceno (Q2)		Carbono-14	Molusco <i>Strombus</i> sp.			
293	UiC-10466			4080	± 150					Holoceno (Q2)		Carbono-14	Semillas y hojas			
294	AZ-15-2	Depósito de flujo piroclástico del volcán Azufral		4090	± 70					Holoceno (Q2)		Carbono-14	Carbon vegetal			
295	JS-90-59	Depósito piroclástico riodacítico del volcán Azufral		4100	± 70					Holoceno (Q2)		Carbono-14	Carbón			
296	GA36P-2	Depósito de cenizas volcánicas		4110	± 150					Holoceno (Q2)		Carbono-14	Carbon vegetal			
297	Col 30			4110	± 70					Holoceno (Q2)		Carbono-14	Turba			
298	10	Depósito lacustre	Materia orgánica	4150	± 40					Holoceno (Q2)		Carbono-14	Sedimentos orgánicos			
299	Col 361 (GrN 11677)	Tefras y suelos sobre sistema morrénico de Otún		4160	± 120					Holoceno (Q2)		Carbono-14	Turba			
300	Col 1108			4230	± 70					Holoceno (Q2)		Carbono-14	Arena con poca materia orgánica			
301	Col 1195			4238	± 41					Holoceno (Q2)		Carbono-14	Sedimento orgánico			
302	UiC-10657			4310	± 170					Holoceno (Q2)		Carbono-14	Semillas			
303	Col 1119			4340	± 60					Holoceno (Q2)		Carbono-14	Sedimento orgánico			
304	LG-I-COL-06	Abanico de Ibagué	Materia orgánica	4350	± 60					Holoceno (Q2)		Carbono-14	Paleosuelo			
305	Col 1239			4354	± 32					Holoceno (Q2)		Carbono-14	Carbon vegetal			
306	JGP-85	Depósito hiperconcentrado del volcán Machín		4360	± 105					Holoceno (Q2)		Carbono-14	Carbón			
307	UiC-10044			4390	± 42					Holoceno (Q2)		Carbono-14	Sedimento orgánico			
308	UiC-6076			4408	± 38					Holoceno (Q2)		Carbono-14	Arcilla lacustre			
309	RMM-38 A	Depósitos del volcán Machín		4420	± 225					Holoceno (Q2)		Carbono-14				
310	Horizonte Bth			4430	± 85					Holoceno (Q2)		Carbono-14	Suelo			
311	UiC-10656			4460	± 60					Holoceno (Q2)		Carbono-14	Semillas			

Dispersión %	Número de granos analizados	Número de alicuotas	Fuente georreferenciación	Coordenada X	Coordenada Y	Sistema de coordenadas	Latitud	Longitud	Referencia	ID referencia	Comentarios
									Wille <i>et al.</i> (2003)	340	Muestra tomada a 335 cm de profundidad en la sección laguna Las Margaritas. La localización (3° 23' N, 73° 26' W) reportada por el autor no coincide con la descripción del sitio ni de la unidad
									Wille <i>et al.</i> (2003)	340	Muestra tomada a 362 cm de profundidad en la sección laguna Las Margaritas. La localización (3° 23' N, 73° 26' W) reportada por el autor no coincide con la descripción del sitio ni de la unidad
				609430	922806	MAGNA_Colombia_Oeste	1° 03' 50,479" N	77° 46' 15,790" W	Fontaine & Stix (1993)	105	
									Vélez <i>et al.</i> (2005)	321	Sondeo Patia-2, muestra tomada a 145 cm de profundidad
				1284871	1105417	MAGNA_Colombia_Bogota	7° 10' 16,390" N	73° 07' 23,364" W	Diederix <i>et al.</i> (2009)	91	Edad convencional ( <i>cf.</i> columna Edad años BP). Edades calibradas de 4560–4550 y 4540–4410 años BP es la edad corregida a 2σ y 95 % de probabilidad
				1219981	1141285	MAGNA_Colombia_Oeste	6° 35' 01,740" N	75° 48' 00,207" W	García <i>et al.</i> (2011)	109	Sección La Caimana: muestra colectada a 1522 cm sobre la base de la sección. También publicada en Martínez <i>et al.</i> (2013) [177] y Vélez <i>et al.</i> (2013) [322]
				985763	891830	MAGNA_Colombia_Bogota	4° 28' 00,498" N	75° 03' 07,596" W	Osorio <i>et al.</i> (2008)	216	Edad convencional ( <i>cf.</i> columna Edad años BP). Edades calibradas de 4400–4580 años BP es la edad corregida a 2σ y 95 % de probabilidad
				985763	891830	MAGNA_Colombia_Bogota	4° 28' 00,498" N	75° 03' 07,596" W	Wille <i>et al.</i> (2003)	340	Muestra tomada a 365 cm de profundidad en la sección laguna Las Margaritas. La localización (3° 23' N, 73° 26' W) reportada por el autor no coincide con la descripción del sitio ni de la unidad
									Wille <i>et al.</i> (2003)	340	Edad convencional ( <i>cf.</i> columna Edad años BP). Edades calibradas de 4420–4640 y 4760–4810 años BP es la edad corregida a 2σ y 95 % de probabilidad
									Wille <i>et al.</i> (2003)	340	Muestra tomada a 374 cm de profundidad en la sección laguna Las Margaritas. La localización (3° 23' N, 73° 26' W) reportada por el autor no coincide con la descripción del sitio ni de la unidad
		Las coordenadas (5° 48' N, 76° 42' W) reportadas por los autores no coinciden con la localización de la datación en la Figura 3.1. Se obtuvo las coordenadas del punto a partir de la georreferenciación de esta figura		1121518	1042186	MAGNA_Colombia_Oeste	5° 41' 41,835" N	76° 41' 48,054" W	Berrio <i>et al.</i> (2000a)	42	Muestra tomada a 422 cm de profundidad
									Bechon & Monsalve (1991)	30	Muestra tomada en la carretera El Espino–Piedrancha, municipio de Piedrancha, departamento del Nariño
				1639281	836537	MAGNA_Colombia_Bogota	10° 22' 23,400" N	75° 34' 12,000" W	Martínez <i>et al.</i> (2010)	176	Sección Tierra Bomba: muestra colectada a 489 cm sobre el nivel del mar. La muestra es considerada como material retrabajado por su pobre preservación y por estar fuera del rango de edades de la secuencia.
									Wille <i>et al.</i> (2003)	340	Muestra tomada a 369–371 cm de profundidad en la sección laguna Las Margaritas. La localización (3° 23' N, 73° 26' W) reportada por el autor no coincide con la descripción del sitio ni de la unidad
		Localización tomada de Calvache (1988) [61]		611980	922131	MAGNA_Colombia_Oeste	1° 05' 13,489" N	77° 46' 37,642" W	Cortés & Calvache (1997)	86	
				615755	935706	MAGNA_Colombia_Oeste	1° 07' 16,487" N	77° 39' 18,608" W	Fontaine & Stix (1993)	105	
		Se obtuvo las coordenadas del punto a partir de la georreferenciación de la Figura 3		629202	964903	MAGNA_Colombia_Oeste	1° 14' 34,421" N	77° 23' 34,296" W	Banks <i>et al.</i> (1997)	23	
		Se obtuvo las coordenadas del punto a partir de la georreferenciación de la Figura 5		868479	1069112	MAGNA_Colombia_Bogota	3° 24' 23,830" N	73° 27' 20,120" W	Wymstra & van der Hammen (1966)	341	Muestra tomada a 270–280 cm de profundidad
				1284871	1105417	MAGNA_Colombia_Bogota	7° 10' 16,390" N	73° 07' 23,364" W	Diederix <i>et al.</i> (2009)	91	Edad convencional ( <i>cf.</i> columna Edad años BP). Edades calibradas de 4830–4530 años BP es la edad corregida a 2σ y 95 % de probabilidad
		Se obtuvo las coordenadas del punto a partir de la georreferenciación de la Figura 62 de Thouret <i>et al.</i> (1995b) [284]		1024236	868452	MAGNA_Colombia_Bogota	4° 48' 51,594" N	75° 15' 47,856" W	Melief (1989)	187	Muestra tomada a 338–345 cm de profundidad
		Las coordenadas (5° 48' N, 76° 42' W) reportadas por los autores no coinciden con la localización de la datación en la Figura 3.1. Se obtuvo las coordenadas del punto a partir de la georreferenciación de esta figura		1121518	1042186	MAGNA_Colombia_Oeste	5° 41' 41,835" N	76° 41' 48,054" W	Berrio <i>et al.</i> (2000a)	42	Muestra tomada a 498 cm de profundidad
									Berrio <i>et al.</i> (2002a)	44	Muestra tomada a 53 cm de profundidad en la laguna Chenevo, noreste de Meta
									Wille <i>et al.</i> (2003)	340	Muestra tomada a 441 cm de profundidad en la sección laguna Las Margaritas. La localización (3° 23' N, 73° 26' W) reportada por el autor no coincide con la descripción del sitio ni de la unidad
		Se obtuvo las coordenadas del punto a partir de la georreferenciación de la Figura 1 y de la descripción del sitio de muestreo		700279	904775	MAGNA_Colombia_Oeste	1° 53' 07,790" N	77° 56' 00,096" W	Behling <i>et al.</i> (1998a)	32	Muestra tomada a 260 cm de profundidad
									Wille <i>et al.</i> (2003)	340	Muestra tomada a 396 cm de profundidad en la sección laguna Las Margaritas. La localización (3° 23' N, 73° 26' W) reportada por el autor no coincide con la descripción del sitio ni de la unidad
		Se obtuvo las coordenadas del punto a partir de la georreferenciación de la Figura 1 y de la descripción del sitio de muestreo							Wille <i>et al.</i> (2003)	340	Muestra tomada a 11 cm de profundidad
		Se obtuvo las coordenadas del punto a partir de la georreferenciación de la Figura 1		998263	971440	MAGNA_Colombia_Este	4° 34' 49,605" N	71° 20' 05,588" W	Behling & Hooghiemstra (1999)	34	Muestra tomada a 40–45 cm de profundidad
		Localización tomada de Méndez <i>et al.</i> (2002) [189]		980394	854776	MAGNA_Colombia_Bogota	4° 25' 03,900" N	75° 23' 08,976" W	Méndez (2001)	188	
									Guillet & Faivre (1981)	126	Tiempo promedio de residencia, muestra tomada a 40–45 cm de profundidad en el perfil Guasca 7
									Wille <i>et al.</i> (2003)	340	Muestra tomada a 410 cm de profundidad en la sección laguna Las Margaritas. La localización (3° 23' N, 73° 26' W) reportada por el autor no coincide con la descripción del sitio ni de la unidad

ID Datación Radiométrica	Código de la muestra	Unidad geológica	Litología	Edad años BP	Error años	Edad Ma	Error Ma	Edad grano simple menor detrítico	Edad grano simple mayor detrítico	Edad estratigráfica	Edades heredadas	Método de datación	Material analizado	Relación inicial	MSWD	P(X2) %
312	Col 339B (GrN 11889)	Tefras y suelos de la turbera El Billar		4470	$\pm 370$					Holoceno (Q2)		Carbono-14	Turba			
313	UiC-10269			4475	$\pm 39$					Holoceno (Q2)		Carbono-14	Semillas y raíces			
314	UiC-10265			4479	$\pm 41$					Holoceno (Q2)		Carbono-14	Hojas			
315	6	Depósito lacustre	Materia orgánica	4510	$\pm 40$					Holoceno (Q2)		Carbono-14	Sedimentos orgánicos			
316	UiC-10540			4510	$\pm 60$					Holoceno (Q2)		Carbono-14	Semillas			
317	GA55P-4	Depósito de flujo piroclástico del volcán Galeras		4520	$\pm 70$					Holoceno (Q2)		Carbono-14	Carbón vegetal			
318	UiC-10467			4520	$\pm 240$					Holoceno (Q2)		Carbono-14	Hojas			
319	UiC-10266			4525	$\pm 41$					Holoceno (Q2)		Carbono-14	Semillas			
320	UiC-10537			4530	$\pm 70$					Holoceno (Q2)		Carbono-14	Semillas			
321	UiC-10538			4550	$\pm 70$					Holoceno (Q2)		Carbono-14	Semillas			
322	UiC-10539			4550	$\pm 50$					Holoceno (Q2)		Carbono-14	Semillas			
323	LG-I-COL-20	Abanico de Ibagué	Materia orgánica	4570	$\pm 70$					Holoceno (Q2)		Carbono-14	Paleosuelo			
324	SN-20	Terraza aluvial		4580	$\pm 40$					Holoceno (Q2)		Carbono-14	Sedimento			
325	UiC-10264			4602	$\pm 44$					Holoceno (Q2)		Carbono-14	Semillas			
326	UiC-10655			4609	$\pm 46$					Holoceno (Q2)		Carbono-14	Semillas			
327	9	Depósito lacustre	Materia orgánica	4610	$\pm 40$					Holoceno (Q2)		Carbono-14	Sedimentos orgánicos			
328	UiC-10267			4628	$\pm 39$					Holoceno (Q2)		Carbono-14	Hojas			
329	UiC-10268			4628	$\pm 40$					Holoceno (Q2)		Carbono-14	Semillas			
330	Horizonte Bth			4635	$\pm 85$					Holoceno (Q2)		Carbono-14	Suelo			
331	HC-103 B	Depósito de oleada piroclástica del volcán Machín		4665	$\pm 70$					Holoceno (Q2)		Carbono-14	Madera carbonizada			
332	JGP-02-2	Depósito de terraza		4710	$+190/-185$					Holoceno (Q2)		Carbono-14	Carbón			
333	Col 434 (GrN 13407)		Depósito de flujo de escorias	4720	$\pm 170$					Holoceno (Q2)		Carbono-14	Carbón			
334	UiC-10658			4730	$\pm 130$					Holoceno (Q2)		Carbono-14	Semillas			
335	UiC-10660			4730	$\pm 110$					Holoceno (Q2)		Carbono-14	Semillas			
336	HC-106	Flujo de ceniza del volcán Machín		4740	$\pm 65$					Holoceno (Q2)		Carbono-14	Madera carbonizada			
337	8	Depósito lacustre	Materia orgánica	4740	$\pm 40$					Holoceno (Q2)		Carbono-14	Sedimentos orgánicos			
338	Col 340 (GrN 11398)	Tefras y suelos de la turbera El Billar	Turba	4750	$\pm 110$					Holoceno (Q2)		Carbono-14	Turba			
339		Etapa eruptiva La Lisa, volcán Nevado del Ruiz		4750	$\pm 110$					Holoceno (Q2)		Carbono-14				
340	HC-91	Flujo de ceniza que infryace aluviones del volcán Machín		4770	$\pm 60$					Holoceno (Q2)		Carbono-14	Madera carbonizada			
341	UiC-11514			4780	$\pm 60$					Holoceno (Q2)		Carbono-14	Sedimento orgánico			
342	Col 282			4790	$\pm 70$					Holoceno (Q2)		Carbono-14	Turba			
343	Col 1156			4805	$\pm 47$					Holoceno (Q2)		Carbono-14	Sedimento orgánico			
344	RMM-06 E	Depósitos del volcán Machín		4820	$\pm 60$					Holoceno (Q2)		Carbono-14				

Dispersión %	Número de gramos analizados	Número de alicuotas	Fuente georreferenciación	Coordenada X	Coordenada Y	Sistema de coordenadas	Latitud	Longitud	Referencia	ID referencia	Comentarios
			Se obtuvo las coordenadas del punto a partir de la georreferenciación de la Figura 62 de Thouret <i>et al.</i> (1995b) [284]	1030827	871819	MAGNA_Colombia_Bogota	4° 52' 26,324" N	75° 13' 58,992" W	Melief (1989)	187	Muestra tomada en el perfil El Billar I a 268–270 cm de profundidad
									Wille <i>et al.</i> (2003)	340	Muestra tomada a 444 cm de profundidad en la sección laguna Las Margaritas. La localización (3° 23' N, 73° 26' W) reportada por el autor no coincide con la descripción del sitio ni de la unidad
									Wille <i>et al.</i> (2003)	340	Muestra tomada a 407 cm de profundidad en la sección laguna Las Margaritas. La localización (3° 23' N, 73° 26' W) reportada por el autor no coincide con la descripción del sitio ni de la unidad
				1284871	1105417	MAGNA_Colombia_Bogota	7° 10' 16,390" N	73° 07' 23,364" W	Diederix <i>et al.</i> (2009)	91	Edad convencional ( <i>cf.</i> columna Edad años BP). Edades calibradas de 5310–5040 y 5000–4980 años BP es la edad corregida a 2σ y 95 % de probabilidad
									Wille <i>et al.</i> (2003)	340	Muestra tomada a 427 cm de profundidad en la sección laguna Las Margaritas. La localización (3° 23' N, 73° 26' W) reportada por el autor no coincide con la descripción del sitio ni de la unidad
			Se obtuvo las coordenadas del punto a partir de la georreferenciación de la Figura 3	633640	967028	MAGNA_Colombia_Oeste	1° 16' 58,908" N	77° 22' 25,583" W	Banks <i>et al.</i> (1997)	23	
									Wille <i>et al.</i> (2003)	340	Muestra tomada a 431 cm de profundidad en la sección laguna Las Margaritas. La localización (3° 23' N, 73° 26' W) reportada por el autor no coincide con la descripción del sitio ni de la unidad
									Wille <i>et al.</i> (2003)	340	Muestra tomada a 413 cm de profundidad en la sección laguna Las Margaritas. La localización (3° 23' N, 73° 26' W) reportada por el autor no coincide con la descripción del sitio ni de la unidad
									Wille <i>et al.</i> (2003)	340	Muestra tomada a 402 cm de profundidad en la sección laguna Las Margaritas. La localización (3° 23' N, 73° 26' W) reportada por el autor no coincide con la descripción del sitio ni de la unidad
									Wille <i>et al.</i> (2003)	340	Muestra tomada a 420 cm de profundidad en la sección laguna Las Margaritas. La localización (3° 23' N, 73° 26' W) reportada por el autor no coincide con la descripción del sitio ni de la unidad
									Wille <i>et al.</i> (2003)	340	Muestra tomada a 423 cm de profundidad en la sección laguna Las Margaritas. La localización (3° 23' N, 73° 26' W) reportada por el autor no coincide con la descripción del sitio ni de la unidad
				985763	891830	MAGNA_Colombia_Bogota	4° 28' 00,498" N	75° 03' 07,596" W	Osorio <i>et al.</i> (2008)	216	Edad convencional ( <i>cf.</i> columna Edad años BP). Edades calibradas de 4990–5010 y 5030–5460 años BP es la edad corregida a 2σ y 95 % de probabilidad
				1219881	1141285	MAGNA_Colombia_Oeste	6° 34' 58,486" N	75° 48' 00,216" W	Martinez <i>et al.</i> (2013)	177	Núcleo San Nicolas: muestra colectada a 764 cm de profundidad.
									Wille <i>et al.</i> (2003)	340	Muestra tomada a 407 cm de profundidad en la sección laguna Las Margaritas. La localización (3° 23' N, 73° 26' W) reportada por el autor no coincide con la descripción del sitio ni de la unidad
									Wille <i>et al.</i> (2003)	340	Muestra tomada a 405 cm de profundidad en la sección laguna Las Margaritas. La localización (3° 23' N, 73° 26' W) reportada por el autor no coincide con la descripción del sitio ni de la unidad
				1284871	1105417	MAGNA_Colombia_Bogota	7° 10' 16,390" N	73° 07' 23,364" W	Diederix <i>et al.</i> (2009)	91	Edad convencional ( <i>cf.</i> columna Edad años BP). Edades calibradas de 5460–5380 y 5330–5290 años BP es la edad corregida a 2σ y 95 % de probabilidad
									Wille <i>et al.</i> (2003)	340	Muestra tomada a 413 cm de profundidad en la sección laguna Las Margaritas. La localización (3° 23' N, 73° 26' W) reportada por el autor no coincide con la descripción del sitio ni de la unidad
									Wille <i>et al.</i> (2003)	340	Muestra tomada a 417 cm de profundidad en la sección laguna Las Margaritas. La localización (3° 23' N, 73° 26' W) reportada por el autor no coincide con la descripción del sitio ni de la unidad
									Guillet & Faivre (1981)	126	Tiempo promedio de residencia, muestra tomada a 33–40 cm de profundidad en el perfil Guasca 2
				981905	840198	MAGNA_Colombia_Bogota	4° 25' 52,196" N	75° 31' 01,782" W	Cepeda <i>et al.</i> (1996)	74	
				980465	849718	MAGNA_Colombia_Bogota	4° 25' 05,907" N	75° 25' 52,982" W	Cortés (2001)	85	
			Se obtuvo las coordenadas del punto a partir de la georreferenciación de la Figura 62 de Thouret <i>et al.</i> (1995b) [284]	1005675	865242	MAGNA_Colombia_Bogota	4° 38' 47,315" N	75° 17' 30,962" W	Thouret <i>et al.</i> (1995a)	283	
									Wille <i>et al.</i> (2003)	340	Muestra tomada a 455 cm de profundidad en la sección laguna Las Margaritas. La localización (3° 23' N, 73° 26' W) reportada por el autor no coincide con la descripción del sitio ni de la unidad
									Wille <i>et al.</i> (2003)	340	Muestra tomada a 463 cm de profundidad en la sección laguna Las Margaritas. La localización (3° 23' N, 73° 26' W) reportada por el autor no coincide con la descripción del sitio ni de la unidad
				981205	845698	MAGNA_Colombia_Bogota	4° 25' 29,747" N	75° 28' 03,399" W	Cepeda <i>et al.</i> (1996)	74	
				1284871	1105417	MAGNA_Colombia_Bogota	7° 10' 16,390" N	73° 07' 23,364" W	Diederix <i>et al.</i> (2009)	91	Edad convencional ( <i>cf.</i> columna Edad años BP). Edades calibradas de 5590–5440 y 5410–5320 años BP es la edad corregida a 2σ y 95 % de probabilidad
			Se obtuvo las coordenadas del punto a partir de la georreferenciación de la Figura 62 de Thouret <i>et al.</i> (1995b) [284]	1030827	871819	MAGNA_Colombia_Bogota	4° 52' 26,324" N	75° 13' 58,992" W	Melief (1989)	187	Muestra tomada en el perfil El Billar I a 279–299 cm de profundidad. También publicada en Thouret <i>et al.</i> (1995b) [284]
									Thouret <i>et al.</i> (1990)	282	Eventos eruptivos en el volcán Nevado del Ruiz
				992505	841998	MAGNA_Colombia_Bogota	4° 31' 37,286" N	75° 30' 04,067" W	Cepeda <i>et al.</i> (1996)	74	
			Se obtuvo las coordenadas del punto a partir de la georreferenciación de la Figura 31	1016492	849242	MAGNA_Colombia_Bogota	4° 44' 38,416" N	75° 26' 10,652" W	Vélez <i>et al.</i> (2005)	321	Sondeo Patia-2, muestra tomada a 255 cm de profundidad. Valor atípico y poco confiable
									Kuhry <i>et al.</i> (1983)	157	Muestra tomada a 887,5–897,5 cm de profundidad
			Las coordenadas de localización de la publicación y del mapa publicado no coinciden con el sitio de la laguna Mozambique. Se obtuvo la localización aproximada del punto en la laguna Mozambique con base al mapa base cartográfico a escala 1:100 000 del IGAC	929296	1113525	MAGNA_Colombia_Bogota	3° 57' 22,234" N	73° 03' 19,179" W	Berrio <i>et al.</i> (2002a)	44	Muestra tomada a 70 cm de profundidad, la muestra puede estar contaminada con material retrasajado y transportado
			Localización tomada de Méndez <i>et al.</i> (2002) [189]	977831	845488	MAGNA_Colombia_Bogota	4° 23' 39,913" N	75° 28' 09,991" W	Méndez (2001)	188	

ID Datación Radiométrica	Código de la muestra	Unidad geológica	Litología	Edad años BP	Error años	Edad Ma	Error Ma	Edad grano simple menor detrítico	Edad grano simple mayor detrítico	Edad estratigráfica	Edades heredadas	Método de datación	Material analizado	Relación inicial	MSWD	P(X2) %
345	UiC-4951			4830	$\pm 60$					Holoceno (Q2)		Carbono-14	Sedimento orgánico			
346	7	Depósito lacustre	Materia orgánica	4840	$\pm 40$					Holoceno (Q2)		Carbono-14	Sedimentos orgánicos			
347	UiC-10543			4840	$\pm 60$					Holoceno (Q2)		Carbono-14	Semillas			
348	JGP-02-7	Depósito de terraza		4855	$\pm 65$					Holoceno (Q2)		Carbono-14	Carbón			
349	HC-94	Flujo de ceniza que subyace el suelo actual del volcán Machín		4860	$\pm 60$					Holoceno (Q2)		Carbono-14	Madera carbonizada			
350	UiC-5473			4864	$\pm 38$					Holoceno (Q2)		Carbono-14	Sedimento orgánico			
351	Puerto Hormiga			4875	$\pm 170$					Holoceno (Q2)		Carbono-14	Concha de moluscos			
352	UiC-10659			4890	$\pm 90$					Holoceno (Q2)		Carbono-14	Semillas			
353	RMM-11 A	Depósitos del volcán Machín		4895	$\pm 55$					Holoceno (Q2)		Carbono-14				
354	RMM-17 A	Depósitos del volcán Machín		4960	$\pm 60$					Holoceno (Q2)		Carbono-14				
355	RM-424	Flujo de pómex del volcán Machín		4960	$\pm 160$					Holoceno (Q2)		Carbono-14	Madera carbonizada			
356	Col 610 (GrN 15737)		Toba pumítica	4980	$\pm 25$					Holoceno (Q2)		Carbono-14	Madera			
357	UiC-6077			4999	$\pm 40$					Holoceno (Q2)		Carbono-14	Arcilla lacustre			
358	UiC-10270			5020	$\pm 60$					Holoceno (Q2)		Carbono-14	Semillas			
359	Col 1155			5040	$\pm 50$					Holoceno (Q2)		Carbono-14	Sedimento orgánico			
360	UiC-10545			5040	$\pm 60$					Holoceno (Q2)		Carbono-14	Semillas			
361	GA52P-3	Depósito de flujo piroclástico del volcán Galeras		5050	$\pm 220$					Holoceno (Q2)		Carbono-14	Carbón vegetal			
362	RMM-12 A	Depósitos del volcán Machín		5055	$\pm 60$					Holoceno (Q2)		Carbono-14				
363	UiC-10546			5070	$\pm 60$					Holoceno (Q2)		Carbono-14	Semillas			
364	RM-474	Flujo de ceniza del volcán Machín		5100	$\pm 110$					Holoceno (Q2)		Carbono-14	Madera carbonizada			
365	UiC-10271			5103	$\pm 40$					Holoceno (Q2)		Carbono-14	Semillas			
366	RMM-22 A	Depósitos del volcán Machín		5120	$\pm 125$					Holoceno (Q2)		Carbono-14				
367	Col 337 (GrN 11711)	Tefras y suelos de la turbera El Billar		5130	$\pm 50$					Holoceno (Q2)		Carbono-14	Madera			
368		Etapa eruptiva Las Brisas, volcán Nevado del Ruiz		5130	$\pm 40$					Holoceno (Q2)		Carbono-14				
369	UiC-10682			5140	$\pm 50$					Holoceno (Q2)		Carbono-14	Semillas			
370	UiC-10544			5180	$\pm 60$					Holoceno (Q2)		Carbono-14	Semillas			
371	GA40P-9	Depósito de cenizas volcánicas		5200	$\pm 100$					Holoceno (Q2)		Carbono-14	Carbón vegetal			
372	UiC-10683			5204	$\pm 45$					Holoceno (Q2)		Carbono-14	Semillas			
373	LC-01	Terraza aluvial		5235	$\pm 50$					Holoceno (Q2)		Carbono-14	Sedimento			
374	LG-I-COL-05	Abanico de Ibagué	Materia orgánica	5260	$\pm 60$					Holoceno (Q2)		Carbono-14	Paleosuelo			
375	Col 341B (GrN 11399)			5280	$\pm 150$					Holoceno (Q2)		Carbono-14	Turba			
376	Sitio 13			5300						Holoceno (Q2)		Carbono-14	Madera			

Dispersión %	Número de granos analizados	Número de alicuotas	Fuente georreferenciación	Coordenada X	Coordenada Y	Sistema de coordenadas	Latitud	Longitud	Referencia	ID referencia	Comentarios
									Behling & Hooghiemstra (1998)	31	Muestra tomada a 10 cm de profundidad en la sección laguna Ángel en los Llanos Orientales, departamento del Vichada. Las coordenadas reportadas ( $4^{\circ} 28' N$ , $70^{\circ} 34' W$ ) no coinciden con el sitio de muestra
				1284871	1105417	MAGNA_Colombia_Bogota	$7^{\circ} 10' 16,390'' N$	$73^{\circ} 07' 23,364'' W$	Diederix <i>et al.</i> (2009)	91	Edad convencional (cf. columna Edad años BP). Edades calibradas de 5640–5580 y 5530–5480 años BP es la edad corregida a $2\sigma$ y 95 % de probabilidad
									Wille <i>et al.</i> (2003)	340	Muestra tomada a 443 cm de profundidad en la sección laguna Las Margaritas. La localización ( $3^{\circ} 23' N$ , $73^{\circ} 26' W$ ) reportada por el autor no coincide con la descripción del sitio ni de la unidad
				980465	849718	MAGNA_Colombia_Bogota	$4^{\circ} 25' 05,907'' N$	$75^{\circ} 25' 52,982'' W$	Cortés (2001)	85	
				991206	837698	MAGNA_Colombia_Bogota	$4^{\circ} 30' 54,707'' N$	$75^{\circ} 32' 23,432'' W$	Cepeda <i>et al.</i> (1996)	74	
									Behling & Hooghiemstra (1998)	31	Muestra tomada a 22 cm de profundidad en la sección laguna Ángel en los Llanos Orientales, departamento del Vichada. Las coordenadas reportadas ( $4^{\circ} 28' N$ , $70^{\circ} 34' W$ ) no coinciden con el sitio de muestra
									Reichel Dolmatof (1961)	228	Muestra tomada a 100 cm de profundidad en Puerto Hormiga, hacienda Pomares en cercanías de la desembocadura del canal del Dique, departamento de Bolívar
									Wille <i>et al.</i> (2003)	340	Muestra tomada a 460 cm de profundidad en la sección laguna Las Margaritas. La localización ( $3^{\circ} 23' N$ , $73^{\circ} 26' W$ ) reportada por el autor no coincide con la descripción del sitio ni de la unidad
		Localización tomada de Méndez <i>et al.</i> (2002) [189]		980915	855980	MAGNA_Colombia_Bogota	$4^{\circ} 25' 20,898'' N$	$75^{\circ} 22' 29,973'' W$	Méndez (2001)	188	
		Localización tomada de Méndez <i>et al.</i> (2002) [189]		981315	855333	MAGNA_Colombia_Bogota	$4^{\circ} 25' 33,899'' N$	$75^{\circ} 22' 50,973'' W$	Méndez (2001)	188	
				990006	835748	MAGNA_Colombia_Bogota	$4^{\circ} 30' 15,528'' N$	$75^{\circ} 33' 26,591'' W$	Cepeda <i>et al.</i> (1996)	74	
				984570	856356	MAGNA_Colombia_Bogota	$4^{\circ} 27' 19,899'' N$	$75^{\circ} 22' 17,967'' W$	Thouret <i>et al.</i> (1995a)	283	
		Se obtuvo las coordenadas del punto a partir de la georreferenciación de la Figura 1		998263	971440	MAGNA_Colombia_Este	$4^{\circ} 34' 49,605'' N$	$71^{\circ} 20' 05,588'' W$	Behling & Hooghiemstra (1999)	34	Muestra tomada a 32 cm de profundidad
									Wille <i>et al.</i> (2003)	340	Muestra tomada a 457 cm de profundidad en la sección laguna Las Margaritas. La localización ( $3^{\circ} 23' N$ , $73^{\circ} 26' W$ ) reportada por el autor no coincide con la descripción del sitio ni de la unidad
		Las coordenadas de localización de la publicación y del mapa publicado no coinciden con el sitio de la laguna Mozambique. Se obtuvo la localización aproximada del punto en la laguna Mozambique con base al mapa base cartográfico a escala 1:100 000 del IGAC		929296	1113525	MAGNA_Colombia_Bogota	$3^{\circ} 57' 22,234'' N$	$73^{\circ} 03' 19,179'' W$	Berrio <i>et al.</i> (2002a)	44	Muestra tomada a 20 cm de profundidad, la muestra puede estar contaminada con material retrabajado y transportado
									Wille <i>et al.</i> (2003)	340	Muestra tomada a 473 cm de profundidad en la sección laguna Las Margaritas. La localización ( $3^{\circ} 23' N$ , $73^{\circ} 26' W$ ) reportada por el autor no coincide con la descripción del sitio ni de la unidad
		Se obtuvo las coordenadas del punto a partir de la georreferenciación de la Figura 3		630916	966471	MAGNA_Colombia_Oeste	$1^{\circ} 15' 30,213'' N$	$77^{\circ} 22' 43,576'' W$	Banks <i>et al.</i> (1997)	23	Muestra pobre y pequeña
		Localización tomada de Méndez <i>et al.</i> (2002) [189]		980945	855949	MAGNA_Colombia_Bogota	$4^{\circ} 25' 21,898'' N$	$75^{\circ} 22' 30,973'' W$	Méndez (2001)	188	
				980505	849998	MAGNA_Colombia_Bogota	$4^{\circ} 25' 07,216'' N$	$75^{\circ} 25' 43,926'' W$	Cepeda <i>et al.</i> (1996)	74	
									Wille <i>et al.</i> (2003)	340	Muestra tomada a 485 cm de profundidad en la sección laguna Las Margaritas. La localización ( $3^{\circ} 23' N$ , $73^{\circ} 26' W$ ) reportada por el autor no coincide con la descripción del sitio ni de la unidad
		Localización tomada de Méndez <i>et al.</i> (2002) [189]		982761	854564	MAGNA_Colombia_Bogota	$4^{\circ} 26' 20,901'' N$	$75^{\circ} 23' 15,972'' W$	Méndez (2001)	188	
		Se obtuvo las coordenadas del punto a partir de la georreferenciación de la Figura 62 de Thouret <i>et al.</i> (1995b) [284]		1030827	871819	MAGNA_Colombia_Bogota	$4^{\circ} 52' 26,324'' N$	$75^{\circ} 13' 58,992'' W$	Melief (1989)	187	Muestra tomada en el perfil El Billar I a 202–204 cm de profundidad. Entre 165 y 205 cm de profundidad la columna aparece con turbación. También publicada en Thouret <i>et al.</i> (1995b) [284]
									Thouret <i>et al.</i> (1990)	282	Eventos eruptivos en el volcán Nevado del Ruiz
									Wille <i>et al.</i> (2003)	340	Muestra tomada a 470 cm de profundidad en la sección laguna Las Margaritas. La localización ( $3^{\circ} 23' N$ , $73^{\circ} 26' W$ ) reportada por el autor no coincide con la descripción del sitio ni de la unidad
									Wille <i>et al.</i> (2003)	340	Muestra tomada a 469 cm de profundidad en la sección laguna Las Margaritas. La localización ( $3^{\circ} 23' N$ , $73^{\circ} 26' W$ ) reportada por el autor no coincide con la descripción del sitio ni de la unidad
		Se obtuvo las coordenadas del punto a partir de la georreferenciación de la Figura 3		628510	966979	MAGNA_Colombia_Oeste	$1^{\circ} 14' 11,891'' N$	$77^{\circ} 22' 27,162'' W$	Banks <i>et al.</i> (1997)	23	Muestra pobre y pequeña
									Wille <i>et al.</i> (2003)	340	Muestra tomada a 482 cm de profundidad en la sección laguna Las Margaritas. La localización ( $3^{\circ} 23' N$ , $73^{\circ} 26' W$ ) reportada por el autor no coincide con la descripción del sitio ni de la unidad
				1219981	1141285	MAGNA_Colombia_Oeste	$6^{\circ} 35' 01,740'' N$	$75^{\circ} 48' 00,207'' W$	García <i>et al.</i> (2011)	109	Sección La Caimana: muestra colectada a 228 cm sobre la base de la sección. También publicada en Martínez <i>et al.</i> (2013) [177] y Vélez <i>et al.</i> (2013) [322]
				985763	891830	MAGNA_Colombia_Bogota	$4^{\circ} 28' 00,498'' N$	$75^{\circ} 03' 07,596'' W$	Osorio <i>et al.</i> (2008)	216	Edad convencional (cf. columna Edad años BP). Edades calibradas de 5910–6190 años BP es la edad corregida a $2\sigma$ y 95 % de probabilidad
		Se obtuvo las coordenadas del punto a partir de la georreferenciación de la Figura 62 de Thouret <i>et al.</i> (1995b) [284]		1030827	871819	MAGNA_Colombia_Bogota	$4^{\circ} 52' 26,324'' N$	$75^{\circ} 13' 58,992'' W$	Melief (1989)	187	Muestra tomada a 397–410 cm de profundidad
				1101569	888929	MAGNA_Colombia_Este	$5^{\circ} 30' 49,838'' N$	$72^{\circ} 04' 47,389'' W$	Robertson (2007)	250	Muestra tomada de sedimentos aluviolacustres enterrados a 6 m de profundidad

ID Datación Radiométrica	Código de la muestra	Unidad geológica	Litología	Edad años BP	Error años	Edad Ma	Error Ma	Edad grano simple menor detrítico	Edad grano simple mayor detrítico	Edad estratigráfica	Edades heredadas	Método de datación	Material analizado	Relación inicial	MSWD	P(X2) %
377	UtC-4964			5380	± 40					Holoceno (Q2)		Carbono-14	Sedimento orgánico			
378	UtC-5477			5396	± 49					Holoceno (Q2)		Carbono-14	Sedimento orgánico			
379	GrA-971	Depósito lacustre		5430	± 60					Holoceno (Q2)		Carbono-14	Arcilla lacustre			
380	Utc Nr-11923			5482	± 51					Holoceno (Q2)		Carbono-14				
381	Col 316 (GrN 11703)	Tefras y suelos sobre sistema morrénico de Murillo	Turba	5500	± 40					Holoceno (Q2)		Carbono-14	Turba			
382	UtC-6078			5522	± 41					Holoceno (Q2)		Carbono-14	Arcilla lacustre			
383	UtC-5488			5538	± 38					Holoceno (Q2)		Carbono-14	Sedimento orgánico			
384	Col 336 (GrN 11710)	Tefras y suelos de la turbera El Billar		5550	± 50					Holoceno (Q2)		Carbono-14	Madera			
385		Etapa eruptiva Las Brisas del volcán Nevado del Ruiz		5550	± 40					Holoceno (Q2)		Carbono-14				
386	UtC-3568			5690	± 90					Holoceno (Q2)		Carbono-14	Turba			
387	LC-03	Terraza aluvial		5705	± 110					Holoceno (Q2)		Carbono-14	Sedimento			
388	Col 290 (GrN 10210)	Tefras y suelos sobre sistema morrénico de Murillo	Humus y horizonte orgánico	5710	± 80					Holoceno (Q2)		Carbono-14	Carbón de leña			
389	Col 445 (GrN 12496)	Tefras y suelos de la turbera El Billar		5740	± 60					Holoceno (Q2)		Carbono-14	Turba			
390	Paleosuelo 6			5770	± 130					Holoceno (Q2)		Carbono-14	Paleosuelo			
391	UtC-11506			5778	± 38					Holoceno (Q2)		Carbono-14	Sedimento orgánico			
392	SN-4	Terraza aluvial		5860	± 100					Holoceno (Q2)		Carbono-14	Sedimento			
393	4	Depósito lacustre	Materia orgánica	5870	± 60					Holoceno (Q2)		Carbono-14	Sedimentos orgánicos			
394	GrA-915	Depósito lacustre		5940	± 60					Holoceno (Q2)		Carbono-14	Arcilla lacustre			
395	UtC-5492			5961	± 40					Holoceno (Q2)		Carbono-14	Sedimento orgánico			
396	UtC-4957			5998	± 41					Holoceno (Q2)		Carbono-14	Sedimento orgánico			
397	Col 285 (GrN 9810)			6030	± 100					Holoceno (Q2)		Carbono-14	Carbón de leña			
398	GrA-2725	Depósito lacustre		6040	± 60					Holoceno (Q2)		Carbono-14	Arcilla turbosa			
399	Col 446 (GrN 12497)	Tefras y suelos de la turbera El Billar		6045	± 35					Holoceno (Q2)		Carbono-14	Turba			
400	Horizonte A1			6110	± 130					Holoceno (Q2)		Carbono-14	Suelo			
401	GrA-25548			6130	± 50					Holoceno (Q2)		Carbono-14	Turba			
402	Col 1120			6133	± 49					Holoceno (Q2)		Carbono-14	Sedimento orgánico			
403	Col 284 (GrN 10206)	Tefras y suelos sobre sistema morrénico de Otún	Horizonte en ceniza meteorizada con minerales arcillosos	6160	± 100					Holoceno (Q2)		Carbono-14	Carbón de leña			
404		Etapa eruptiva La Cachucha del volcán Nevado del Ruiz		6205	± 45					Holoceno (Q2)		Carbono-14				
405	Col 309 (GrN 10827)	Tefras y suelos sobre sistema morrénico de Otún	Depósito de caída piroclástica	6205	± 45					Holoceno (Q2)		Carbono-14	Carbón vegetal			

Dispersión %	Número de gramos analizados	Número de alicuotas	Fuente georreferenciación	Coordenada X	Coordenada Y	Sistema de coordenadas	Latitud	Longitud	Referencia	ID referencia	Comentarios
			Las coordenadas ( $3^{\circ} 18' 00''$ N, $73^{\circ} 23' 00''$ W) reportadas por los autores no coinciden con el sitio de la laguna Loma Linda. Se obtuvo las coordenadas del punto a partir de la descripción del sitio de muestreo	856872	1079595	MAGNA_Colombia_Bogota	$3^{\circ} 18' 05,744''$ N	$73^{\circ} 21' 40,795''$ W	Behling & Hooghiemstra (2000)	35	Muestra tomada a 391 cm de profundidad en la sección laguna Loma Linda
									Wille <i>et al.</i> (2003)	340	Muestra tomada a 500 cm de profundidad en la sección laguna Las Margaritas. La localización ( $3^{\circ} 23'$ N, $73^{\circ} 26'$ W) reportada por el autor no coincide con la descripción del sitio ni de la unidad
			Se obtuvo las coordenadas del punto a partir de la descripción del sitio de muestreo (extremo noreste de la laguna de Fúquene)	1097386	1039872	MAGNA_Colombia_Bogota	$5^{\circ} 28' 36,310''$ N	$73^{\circ} 43' 03,718''$ W	van Geel & van der Hammen (1973)	314	Muestra de núcleo a 449–456 cm de profundidad en el pozo Fúquene II
			Las coordenadas ( $11^{\circ} 24' 39''$ N, $73^{\circ} 06' 00''$ W) reportadas por los autores no coinciden con la localización de la datación en la Figura 1. Se obtuvo las coordenadas del punto a partir de la georreferenciación de esta figura	1756021	1108458	MAGNA_Colombia_Bogota	$11^{\circ} 25' 49,181''$ N	$73^{\circ} 05' 01,217''$ W	Urrego <i>et al.</i> (2013)	304	Muestra tomada a 365 cm de profundidad
			Se obtuvo la localización aproximada de la columna estratigráfica a partir de la georreferenciación de la Figura 62	1050617	860956	MAGNA_Colombia_Bogota	$5^{\circ} 03' 09,800''$ N	$75^{\circ} 19' 52,674''$ W	Thouret <i>et al.</i> (1995b)	284	Muestra tomada en la columna estratigráfica Letras II
			Se obtuvo las coordenadas del punto a partir de la georreferenciación de la Figura 1	998263	971440	MAGNA_Colombia_Este	$4^{\circ} 34' 49,605''$ N	$71^{\circ} 20' 05,588''$ W	Behling & Hooghiemstra (1999)	34	Muestra tomada a 57 cm de profundidad
									Vélez <i>et al.</i> (2005)	321	Sondeo Patía-1, muestra tomada a 440 cm de profundidad. Valor atípico y poco confiable
			Se obtuvo las coordenadas del punto a partir de la georreferenciación de la Figura 62 de Thouret <i>et al.</i> (1995b) [284]	1030827	871819	MAGNA_Colombia_Bogota	$4^{\circ} 52' 26,324''$ N	$75^{\circ} 13' 58,992''$ W	Melief (1989)	187	Muestra tomada en el perfil El Billar I a 167–168 cm de profundidad. Entre 165 y 205 cm de profundidad la columna aparece con turbación. También publicada en Thouret <i>et al.</i> (1995b) [284]
									Thouret <i>et al.</i> (1990)	282	Eventos eruptivos en el volcán Nevado del Ruiz
				1035129	972003	MAGNA_Colombia_Bogota	$4^{\circ} 54' 49,769''$ N	$74^{\circ} 19' 47,750''$ W	Helmens <i>et al.</i> (1996)	132	Muestra tomada a 75–80 cm de profundidad en la sección La Laguna
				1219981	1141285	MAGNA_Colombia_Oeste	$6^{\circ} 35' 01,740''$ N	$75^{\circ} 48' 00,207''$ W	García <i>et al.</i> (2011)	109	Sección La Caimana: muestra colectada a 326 cm sobre la base de la sección. También publicada en Martínez <i>et al.</i> (2013) [177] y Vélez <i>et al.</i> (2013) [322]
			Se obtuvo la localización aproximada de la columna estratigráfica a partir de la georreferenciación de la Figura 62	1016144	860128	MAGNA_Colombia_Bogota	$4^{\circ} 44' 27,739''$ N	$75^{\circ} 20' 17,473''$ W	Thouret <i>et al.</i> (1995b)	284	Muestra tomada en columna estratigráfica en la quebrada África a 75–80 cm de profundidad. También publicada en Thouret <i>et al.</i> (1997) [285] con el código de muestra GrN 10211
			Se obtuvo las coordenadas del punto a partir de la georreferenciación de la Figura 62 de Thouret <i>et al.</i> (1995b) [284]	1030827	871819	MAGNA_Colombia_Bogota	$4^{\circ} 52' 26,324''$ N	$75^{\circ} 13' 58,992''$ W	Melief (1989)	187	Muestra tomada en la sección El Billar II a 204–206 cm de profundidad, también publicada en Thouret <i>et al.</i> (1995b) [284]
			Se obtuvo las coordenadas del punto a partir de la georreferenciación de la Figura 3	942025	1098914	MAGNA_Colombia_Oeste	$4^{\circ} 04' 17,127''$ N	$76^{\circ} 11' 12,299''$ W	López & Audemard (2011)	163	Muestra tomada de la base del Horizonte As
									Vélez <i>et al.</i> (2005)	321	Sondeo Patía-1, muestra tomada a 240 cm de profundidad
				1219881	1141285	MAGNA_Colombia_Oeste	$6^{\circ} 34' 58,486''$ N	$75^{\circ} 48' 00,216''$ W	Martínez <i>et al.</i> (2013)	177	Núcleo San Nicolas: muestra colectada a 84 cm de profundidad.
				1284871	1105417	MAGNA_Colombia_Bogota	$7^{\circ} 10' 16,390''$ N	$73^{\circ} 07' 23,364''$ W	Diederix <i>et al.</i> (2009)	91	Edad convencional (cf. columna Edad años BP). Edades calibradas de 6840–6820 y 6800–6540 años BP es la edad corregida a 2σ y 95 % de probabilidad
			Se obtuvo las coordenadas del punto a partir de la descripción del sitio de muestreo (extremo noreste de la laguna de Fúquene)	1097386	1039872	MAGNA_Colombia_Bogota	$5^{\circ} 28' 36,310''$ N	$73^{\circ} 03' 03,718''$ W	van Geel & van der Hammen (1973)	314	Muestra de núcleo a 319–325 cm de profundidad en el pozo Fúquene II
									Behling & Hooghiemstra (1998)	31	Muestra tomada a 24 cm de profundidad en la sección laguna Sardinas en los Llanos Orientales, departamento del Vichada. Las coordenadas reportadas ( $4^{\circ} 58'$ N, $69^{\circ} 28'$ W) no coinciden con el sitio de muestra
									Wille <i>et al.</i> (2003)	340	Muestra tomada a 592 cm de profundidad en la sección laguna Las Margaritas. La localización ( $3^{\circ} 23'$ N, $73^{\circ} 26'$ W) reportada por el autor no coincide con la descripción del sitio ni de la unidad
			Se obtuvo la localización aproximada de la columna estratigráfica a partir de la georreferenciación de la Figura 62	1019861	850977	MAGNA_Colombia_Bogota	$4^{\circ} 46' 28,159''$ N	$75^{\circ} 25' 14,549''$ W	Thouret <i>et al.</i> (1995b)	284	Muestra tomada de un nivel humífero a 85 cm de profundidad
			Se obtuvo las coordenadas del punto a partir de la descripción del sitio de muestreo (extremo noreste de la laguna de Fúquene)	1097386	1039872	MAGNA_Colombia_Bogota	$5^{\circ} 28' 36,310''$ N	$73^{\circ} 03' 03,718''$ W	van't Veer <i>et al.</i> (2000)	316	Muestra de núcleo a 349–350 cm de profundidad en el pozo Fúquene VII
			Se obtuvo las coordenadas del punto a partir de la georreferenciación de la Figura 62 de Thouret <i>et al.</i> (1995b) [284]	1030827	871819	MAGNA_Colombia_Bogota	$4^{\circ} 52' 26,324''$ N	$75^{\circ} 13' 58,992''$ W	Melief (1989)	187	Muestra tomada en la sección El Billar II a 165–168 cm de profundidad. Probablemente confundida en campo con Col 444 (GrN-12495), también publicada en Thouret <i>et al.</i> (1995b) [284]
									Guillet <i>et al.</i> (1988)	127	Tiempo promedio de residencia, muestra tomada a 55–60 cm de profundidad
			Las coordenadas ( $2^{\circ} 02'$ N, $77^{\circ}$ W) reportadas por los autores no coinciden con la localización de la datación en la Figura 2. Se obtuvo las coordenadas del punto a partir de la georreferenciación de esta figura	701235	989261	MAGNA_Colombia_Oeste	$1^{\circ} 53' 39,667''$ N	$77^{\circ} 10' 26,510''$ W	González Carranza <i>et al.</i> (2008)	123	Muestra de núcleo a 68 cm de profundidad en el pozo Potrerillo-2
			Se obtuvo las coordenadas del punto a partir de la georreferenciación de la Figura 1 y de la descripción del sitio de muestreo	700279	904775	MAGNA_Colombia_Oeste	$1^{\circ} 53' 07,790''$ N	$77^{\circ} 56' 00,096''$ W	Behling <i>et al.</i> (1998a)	32	Muestra tomada a 270 cm de profundidad
			Se obtuvo la localización aproximada de la columna estratigráfica a partir de la georreferenciación de la Figura 62	1019861	850977	MAGNA_Colombia_Bogota	$4^{\circ} 46' 28,159''$ N	$75^{\circ} 25' 14,549''$ W	Thouret <i>et al.</i> (1995b)	284	Muestra tomada en columna estratigráfica Otún TNP 21 bis a 85 cm de profundidad. También publicada en Thouret <i>et al.</i> (1997) [285]
									Thouret <i>et al.</i> (1990)	282	Eventos eruptivos en el volcán Nevado del Ruiz
			Se obtuvo la localización aproximada de la columna estratigráfica a partir de la georreferenciación de la Figura 62	1037480	862205	MAGNA_Colombia_Bogota	$4^{\circ} 56' 02,300''$ N	$75^{\circ} 19' 11,353''$ W	Thouret <i>et al.</i> (1995b)	284	Muestra tomada de la sección La Cachucha a 277 cm de profundidad, flanco NE del Nevado del Ruiz. También publicada en Thouret <i>et al.</i> (1995a) [283]

ID Datación Radiométrica	Código de la muestra	Unidad geológica	Litología	Edad años BP	Error años	Edad Ma	Error Ma	Edad grano simple menor detrítico	Edad grano simple mayor detrítico	Edad estratigráfica	Edades heredadas	Método de datación	Material analizado	Relación inicial	MSWD	P(X2) %
406	Col 342 (GrN 11400)	Tefras y suelos sobre sistema morénico de Murillo		6230	± 100					Holoceno (Q2)		Carbono-14	Turba			
407	UtC-11723			6236	± 40					Holoceno (Q2)		Carbono-14	Sedimento orgánico			
408	UtC-11724			6241	± 47					Holoceno (Q2)		Carbono-14	Sedimento orgánico			
409		Etapa eruptiva La Cachucha del volcán Nevado del Ruiz		6245	± 45					Holoceno (Q2)		Carbono-14				
410	Col 309 (GrN 10827)		Depósito de caída piroclástica	6245	± 45					Holoceno (Q2)		Carbono-14	Carbón			
411	QL-1			6250	± 110					Holoceno (Q2)		Carbono-14	Madera carbonizada			
412	LG-I-COL-04	Abanico de Ibagué	Materia orgánica	6260	± 70					Holoceno (Q2)		Carbono-14	Paleosuelo			
413	GdA-920			6270	± 40					Holoceno (Q2)		Carbono-14	Lodo fibroso			
414	CPL-25			6300	± 230					Holoceno (Q2)		Carbono-14	Paleosuelo			
415	LG-I-COL-22	Abanico de Ibagué	Materia orgánica	6440	± 40					Holoceno (Q2)		Carbono-14	Paleosuelo			
416	5	Depósito lacustre	Materia orgánica	6490	± 50					Holoceno (Q2)		Carbono-14	Sedimentos orgánicos			
417	Col 56			6510	± 85					Holoceno (Q2)		Carbono-14	Turba			
418	Horizonte Bt21h			6520	± 95					Holoceno (Q2)		Carbono-14	Suelo			
419	LG-I-COL-03	Abanico de Ibagué	Materia orgánica	6570	± 70					Holoceno (Q2)		Carbono-14	Paleosuelo			
420	Horizonte Bth			6605	± 95					Holoceno (Q2)		Carbono-14	Suelo			
421	Horizonte Bt21h			6710	± 95					Holoceno (Q2)		Carbono-14	Suelo			
422	1	Depósito lacustre	Materia orgánica	6750	± 50					Holoceno (Q2)		Carbono-14	Sedimentos orgánicos			
423	Col 1105			6850	± 50					Holoceno (Q2)		Carbono-14	Sedimento orgánico			
424	CPL-25			6860	± 130					Holoceno (Q2)		Carbono-14	Suelo			
425	LG-I-COL-23	Abanico de Ibagué	Materia orgánica	6880	± 40					Holoceno (Q2)		Carbono-14	Paleosuelo			
426	Col 1196			6932	± 46					Holoceno (Q2)		Carbono-14	Sedimento orgánico			
427	Col 44 (GrN-4359)			7030	± 60					Holoceno (Q2)		Carbono-14	Arcilla con restos de plantas			
428	UtC-6800			7050	± 70					Holoceno (Q2)		Carbono-14	Sedimento orgánico			
429	GrA-2726	Depósito lacustre		7070	± 50					Holoceno (Q2)		Carbono-14	Arcilla turbosa			
430	3	Depósito lacustre	Materia orgánica	7080	± 50					Holoceno (Q2)		Carbono-14	Sedimentos orgánicos			
431	UtC-3567			7100	± 220					Holoceno (Q2)		Carbono-14	Macrofósiles de <i>Juncus</i> y <i>Sphagnum</i>			
432	Col 1121			7130	± 50					Holoceno (Q2)		Carbono-14	Sedimento orgánico			
433	GrN-13993			7150	± 100					Holoceno (Q2)		Carbono-14	Turba			
434	UtC-11513			7211	± 45					Holoceno (Q2)		Carbono-14	Sedimento orgánico			
435	Col 1090			7237	± 42					Holoceno (Q2)		Carbono-14	Carbón vegetal			
436	Col 140			7250	± 100					Holoceno (Q2)		Carbono-14	Carbón vegetal			
437	Col 1174			7260	± 60					Holoceno (Q2)		Carbono-14	Sedimento orgánico			
438	Col 291 (GrN 10211)	Tefras y suelos sobre sistema morénico de Murillo	Depósito de caída piroclástica	7260	± 110					Holoceno (Q2)		Carbono-14	Carbón de leña			
439	Col 283 (GrN 9809)	Tefras y suelos sobre sistema morénico de Otún	Cenizas volcánicas alteradas	7440	± 70					Holoceno (Q2)		Carbono-14	Carbón de leña			
440	UtC-11507			7458	± 39					Holoceno (Q2)		Carbono-14	Sedimento orgánico			

Dispersión %	Número de granos analizados	Número de alicuotas	Fuente georreferenciación	Coordenada X	Coordenada Y	Sistema de coordenadas	Latitud	Longitud	Referencia	ID referencia	Comentarios
			Se obtuvo las coordenadas del punto a partir de la georreferenciación de la Figura 62 de Thouret <i>et al.</i> (1995b) [284]	1030827	871819	MAGNA_Colombia_Bogota	4° 52' 26,324" N	75° 13' 58,992" W	Melief (1989)	187	Muestra tomada a 545–558 cm de profundidad
									Vélez <i>et al.</i> (2005)	321	Sondeo Patía-1, muestra tomada a 460 cm de profundidad. Valor atípico y poco confiable
									Vélez <i>et al.</i> (2005)	321	Sondeo Patía-2, muestra tomada a 240 cm de profundidad
									Thouret <i>et al.</i> (1990)	282	Eventos eruptivos en el volcán Nevado del Ruiz
			Se obtuvo las coordenadas del punto a partir de la georreferenciación de la Figura 62 de Thouret <i>et al.</i> (1995b) [284]	1037480	862205	MAGNA_Colombia_Bogota	4° 56' 02,300" N	75° 19' 11,353" W	Thouret <i>et al.</i> (1995a)	283	Muestra tomada de la sección La Cachucha a 277 cm de profundidad, flanco NE del Nevado del Ruiz. También publicada en Thouret <i>et al.</i> (1995a) [283]
			Se obtuvo las coordenadas del punto a partir de la georreferenciación de la Figura 5	1051458	861391	MAGNA_Colombia_Bogota	5° 03' 37,208" N	75° 19' 38,638" W	Herd (1982)	136	Muestra tomada en columna estratigráfica
				985763	891830	MAGNA_Colombia_Bogota	4° 28' 00,498" N	75° 03' 07,596" W	Osorio <i>et al.</i> (2008)	216	Edad convencional ( <i>cf.</i> columna Edad años BP). Edades calibradas de 6990–7310 años BP es la edad corregida a $2\sigma$ y 95 % de probabilidad
			Se obtuvo las coordenadas del punto a partir de la georreferenciación de la Figura 1C	1207889	1108839	MAGNA_Colombia_Oeste	6° 28' 30,551" N	76° 05' 36,958" W	Velásquez & Hooghiemstra (2013)	319	Muestra tomada a 299–300 cm de profundidad
				1009006	1163547	MAGNA_Colombia_Oeste	4° 40' 33,926" N	75° 36' 13,061" W	Lalinde (2004)	158	
				985763	891830	MAGNA_Colombia_Bogota	4° 28' 00,498" N	75° 03' 07,596" W	Osorio <i>et al.</i> (2008)	216	Edad convencional ( <i>cf.</i> columna Edad años BP). Edades calibradas de 7270–7430 años BP es la edad corregida a $2\sigma$ y 95 % de probabilidad
				1284871	1105417	MAGNA_Colombia_Bogota	7° 10' 16,390" N	73° 07' 23,364" W	Diederix <i>et al.</i> (2009)	91	Edad convencional ( <i>cf.</i> columna Edad años BP). Edades calibradas de 7480–7310 años BP es la edad corregida a $2\sigma$ y 95 % de probabilidad
				1198258	859765	MAGNA_Colombia_Este	6° 23' 14,844" N	72° 20' 41,912" W	Gonzalez <i>et al.</i> (1965)	117	Sondeo VL–VIII, muestra tomada a 112–125 cm de profundidad
									Guillet & Fairev (1981)	126	Tiempo promedio de residencia, muestra tomada a 40–50 cm de profundidad en el perfil Guatavita
				985763	891830	MAGNA_Colombia_Bogota	4° 28' 00,498" N	75° 03' 07,596" W	Osorio <i>et al.</i> (2008)	216	Edad convencional ( <i>cf.</i> columna Edad años BP). Edades calibradas de 7330–7580 años BP es la edad corregida a $2\sigma$ y 95 % de probabilidad
									Guillet & Fairev (1981)	126	Tiempo promedio de residencia, muestra tomada a 38–43 cm de profundidad en el perfil Guasca 7
				1284871	1105417	MAGNA_Colombia_Bogota	7° 10' 16,390" N	73° 07' 23,364" W	Diederix <i>et al.</i> (2009)	91	Edad convencional ( <i>cf.</i> columna Edad años BP). Edades calibradas de 7680–7560 y 7530–7520 años BP es la edad corregida a $2\sigma$ y 95 % de probabilidad
			Se obtuvo las coordenadas del punto a partir de la georreferenciación de la Figura 1 y de la descripción del sitio de muestreo	700279	904775	MAGNA_Colombia_Oeste	1° 53' 07,790" N	77° 56' 00,096" W	Behling <i>et al.</i> (1998a)	32	Muestra tomada a 498 cm de profundidad
				1009006	1163547	MAGNA_Colombia_Oeste	4° 40' 33,926" N	75° 36' 13,061" W	Lalinde (2004)	158	
				985763	891830	MAGNA_Colombia_Bogota	4° 28' 00,498" N	75° 03' 07,596" W	Osorio <i>et al.</i> (2008)	216	Edad convencional ( <i>cf.</i> columna Edad años BP). Edades calibradas de 7650–7780 años BP es la edad corregida a $2\sigma$ y 95 % de probabilidad
									Berrio <i>et al.</i> (2002a)	44	Muestra tomada a 70 cm de profundidad en la laguna Chenevo, noreste de Meta
			Se obtuvo las coordenadas del punto a partir de la georreferenciación de la Figura 124	1686610	1046934	MAGNA_Colombia_Bogota	10° 48' 15,176" N	73° 38' 54,011" W	van der Hammen (1984)	306	Muestra tomada a 101–108 cm de profundidad en la sección Sierra Nevada VII
			Las coordenadas (3° 18' 00" N, 73° 23' 00" W) reportadas por los autores no coinciden con el sitio de la laguna Loma Linda. Se obtuvo las coordenadas del punto a partir de la descripción del sitio de muestreo	856872	1079595	MAGNA_Colombia_Bogota	3° 18' 05,744" N	73° 21' 40,795" W	Behling & Hooghiemstra (2000)	35	Muestra tomada a 479 cm de profundidad en la sección laguna Loma Linda
			Se obtuvo las coordenadas del punto a partir de la descripción del sitio de muestreo (extremo noreste de la laguna de Fúquene)	1097386	1039872	MAGNA_Colombia_Bogota	5° 28' 36,310" N	73° 43' 03,718" W	van't Veer <i>et al.</i> (2000)	316	Muestra de núcleo a 403–404 cm de profundidad en el pozo Fúquene VII
				1284871	1105417	MAGNA_Colombia_Bogota	7° 10' 16,390" N	73° 07' 23,364" W	Diederix <i>et al.</i> (2009)	91	Edad convencional ( <i>cf.</i> columna Edad años BP). Edades calibradas de 7990–7830 años BP es la edad corregida a $2\sigma$ y 95 % de probabilidad
				1035129	972003	MAGNA_Colombia_Bogota	4° 54' 49,769" N	74° 19' 47,750" W	Helmens <i>et al.</i> (1996)	132	Muestra tomada a 75–80 cm de profundidad en la sección La Laguna
			Se obtuvo las coordenadas del punto a partir de la georreferenciación de la Figura y de la descripción del sitio de muestreo	700279	904775	MAGNA_Colombia_Oeste	1° 53' 07,790" N	77° 56' 00,096" W	Behling <i>et al.</i> (1998a)	32	Muestra tomada a 335 cm de profundidad
				700397	1113962	MAGNA_Colombia_Oeste	1° 53' 11,295" N	76° 03' 11,787" W	Bakker (1990)	21	Muestra tomada a 306–310 cm de profundidad
									Vélez <i>et al.</i> (2005)	321	Sondeo Patía-2, muestra tomada a 205 cm de profundidad. Valor atípico y poco confiable
									Berrio <i>et al.</i> (2002b)	45	Sondeo La Teta-2, muestra tomada a 198 cm de profundidad en la turbera La Teta, cerca de Santander de Quilichao en el piedemonte de la cordillera Occidental
			Se obtuvo las coordenadas del punto a partir de la georreferenciación de la Figura 1	1046617	1014234	MAGNA_Colombia_Bogota	5° 01' 03,885" N	73° 56' 56,964" W	Schreve Brinkman (1978)	266	Muestra tomada a 4 cm por encima de una capa de rocas caídas del paredón
				1016144	860128	MAGNA_Colombia_Bogota	4° 44' 27,739" N	75° 20' 17,473" W	Thouret <i>et al.</i> (1995b)	284	Muestra tomada en columna estratigráfica quebrada África a 98–101 cm de profundidad. También publicada en Thouret <i>et al.</i> (1995a) [283]
			Se obtuvo la localización aproximada de la columna estratigráfica a partir de la georreferenciación de la Figura 62	1019861	850977	MAGNA_Colombia_Bogota	4° 46' 28,159" N	75° 25' 14,549" W	Thouret <i>et al.</i> (1995b)	284	Muestra tomada en columna estratigráfica Otún TNP 21 bis a 113 cm de profundidad. También publicada en Thouret <i>et al.</i> (1995a) [283]
									Vélez <i>et al.</i> (2005)	321	Sondeo Patía-1, muestra tomada a 330 cm de profundidad

ID Datación Radiométrica	Código de la muestra	Unidad geológica	Litología	Edad años BP	Error años	Edad Ma	Error Ma	Edad grano simple menor detrítico	Edad grano simple mayor detrítico	Edad estratigráfica	Edades heredadas	Método de datación	Material analizado	Relación inicial	MSWD	P(X2) %
441	2	Depósito lacustre	Materia orgánica	7460	± 50					Holoceno (Q2)		Carbono-14	Sedimentos orgánicos			
442	Paleosuelo 3			7460	± 330					Holoceno (Q2)		Carbono-14	Paleosuelo			
443	Col 485			7490	± 80					Holoceno (Q2)		Carbono-14	Arcilla rica en materia orgánica			
444	LG-I-COL-02	Abanico de Ibagué	Materia orgánica	7590	± 70					Holoceno (Q2)		Carbono-14	Paleosuelo			
445	Col 1104			7660	± 50					Holoceno (Q2)		Carbono-14	Sedimento orgánico			
446	Col 1122			7670	± 70					Holoceno (Q2)		Carbono-14	Sedimento orgánico			
447	GrA-25920			7680	± 60					Holoceno (Q2)		Carbono-14	Turba			
448	UtC-11508			7686	± 42					Holoceno (Q2)		Carbono-14	Sedimento orgánico			
449	GrA-973	Depósito lacustre		7710	± 60					Holoceno (Q2)		Carbono-14	Arcilla lacustre			
450	GrA-2728	Depósito lacustre		7780	± 60					Holoceno (Q2)		Carbono-14	Arcilla turbosa			
451	UtC-4907			7830	± 60					Holoceno (Q2)		Carbono-14	Arcilla lacustre			
452	UtC-5489			7830	± 50					Holoceno (Q2)		Carbono-14	Sedimento orgánico			
453	UtC-7602	Depósito lacustre		7850	± 70					Holoceno (Q2)		Carbono-14	Arcilla turbosa			
454	GrA-25564			7860	± 50					Holoceno (Q2)		Carbono-14	Turba			
455	Col 1220			7890	± 70					Holoceno (Q2)		Carbono-14	Carbón vegetal			
456	UtC-7603	Depósito lacustre		7890	± 60					Holoceno (Q2)		Carbono-14	Arcilla turbosa			
457				7930	± 60					Holoceno (Q2)		Carbono-14	Paleosuelo			
458	UtC-7604	Depósito lacustre		7970	± 60					Holoceno (Q2)		Carbono-14	Arcilla turbosa			
459	UtC-5475			8027	± 45					Holoceno (Q2)		Carbono-14	Sedimento orgánico			
460	GrA-25921			8120	± 60					Holoceno (Q2)		Carbono-14	Turba			
461	LG-I-COL-18	Abanico de Ibagué	Materia orgánica	8140	± 40					Holoceno (Q2)		Carbono-14	Paleosuelo			
462	UtC-6805			8160	± 50					Holoceno (Q2)		Carbono-14	Lodo fibroso			
463	Col 53			8190	± 100					Holoceno (Q2)		Carbono-14	Turba			
464	Col 53			8200	± 100					Holoceno (Q2)		Carbono-14	Turba			
465			Ceniza volcánica	8250	± 140					Holoceno (Q2)		Carbono-14	Suelo			
466	GrN-16342			8260	± 120					Holoceno (Q2)		Carbono-14	Arcilla turbosa			
467	UtC-6079			8270	± 60					Holoceno (Q2)		Carbono-14	Arcilla lacustre			
468	UtC-5486			8330	± 50					Holoceno (Q2)		Carbono-14	Turba			
469	UtC-4952			8450	± 60					Holoceno (Q2)		Carbono-14	Sedimento orgánico			

Dispersión %	Número de granos analizados	Número de alicuotas	Fuente georreferenciación	Coordenada X	Coordenada Y	Sistema de coordenadas	Latitud	Longitud	Referencia	ID referencia	Comentarios
				1284871	1105417	MAGNA_Colombia_Bogota	7° 10' 16,390" N	73° 07' 23,364" W	Diederix <i>et al.</i> (2009)	91	Edad convencional ( <i>cf.</i> columna Edad años BP). Edades calibradas de 8380–8180 años BP es la edad corregida a 2σ y 95 % de probabilidad
			Se obtuvo las coordenadas del punto a partir de la georreferenciación de la Figura 3	942025	1098914	MAGNA_Colombia_Oeste	4° 04' 17,127" N	76° 11' 12,299" W	López & Audemard (2011)	163	Muestra tomada del tope del horizonte Ga
			Se obtuvo las coordenadas del punto a partir de la georreferenciación de la Figura 1	1042658	988521	MAGNA_Colombia_Bogota	4° 58' 55,016" N	74° 10' 51,662" W	Helmens & Kuhry (1986)	129	Muestra tomada a 76–87 cm de profundidad
				985763	891830	MAGNA_Colombia_Bogota	4° 28' 00,498" N	75° 03' 07,596" W	Osorio <i>et al.</i> (2008)	216	Edad convencional ( <i>cf.</i> columna Edad años BP). Edades calibradas de 8300–8460 y 8210–8260 años BP es la edad corregida a 2σ y 95 % de probabilidad
			Se obtuvo las coordenadas del punto a partir de la georreferenciación de la Figura 1 y de la descripción del sitio de muestreo	700279	904775	MAGNA_Colombia_Oeste	1° 53' 07,790" N	77° 56' 00,096" W	Behling <i>et al.</i> (1998a)	32	Muestra tomada a 398 cm de profundidad
			Se obtuvo las coordenadas del punto a partir de la georreferenciación de la Figura 1 y de la descripción del sitio de muestreo	700279	904775	MAGNA_Colombia_Oeste	1° 53' 07,790" N	77° 56' 00,096" W	Behling <i>et al.</i> (1998a)	32	Muestra tomada a 450 cm de profundidad
			Las coordenadas (2° 02' N, 77° W) reportadas por los autores no coinciden con la localización de la datación en la Figura 2. Se obtuvo las coordenadas del punto a partir de la georreferenciación de esta figura	701235	989261	MAGNA_Colombia_Oeste	1° 53' 39,667" N	77° 10' 26,510" W	González Carranza <i>et al.</i> (2008)	123	Muestra de núcleo a 157 cm de profundidad en el pozo Potrerillo-2
									Vélez <i>et al.</i> (2005)	321	Sondeo Patia-1, muestra tomada a 365 cm de profundidad
			Se obtuvo las coordenadas del punto a partir de la descripción del sitio de muestreo (extremo noreste de la laguna de Fúquene)	1097386	1039872	MAGNA_Colombia_Bogota	5° 28' 36,310" N	73° 43' 03,718" W	van Geel & van der Hammen (1973)	314	Muestra de núcleo a 388–394 cm de profundidad en el pozo Fúquene II
			Se obtuvo las coordenadas del punto a partir de la descripción del sitio de muestreo (extremo noreste de la laguna de Fúquene)	1097386	1039872	MAGNA_Colombia_Bogota	5° 28' 36,310" N	73° 43' 03,718" W	van't Veer <i>et al.</i> (2000)	316	Muestra de núcleo a 448–449 cm de profundidad en el pozo Fúquene VII
			Se obtuvo las coordenadas del punto a partir de la georreferenciación de la Figura 1	998263	971440	MAGNA_Colombia_Este	4° 34' 49,605" N	71° 20' 05,588" W	Behling & Hooghiemstra (1999)	34	Muestra tomada a 94 cm de profundidad. La muestra pudo ser contaminada con material más joven durante la perforación
									Vélez <i>et al.</i> (2005)	321	Sondeo Patia-2, muestra tomada a 270 cm de profundidad
			Se obtuvo las coordenadas del punto a partir de la descripción del sitio de muestreo (extremo noreste de la laguna de Fúquene)	1097386	1039872	MAGNA_Colombia_Bogota	5° 28' 36,310" N	73° 43' 03,718" W	van't Veer <i>et al.</i> (2000)	316	Muestra de núcleo a 467–468 cm de profundidad en el pozo Fúquene VII
			Las coordenadas (2° 02' N, 77° W) reportadas por los autores no coinciden con la localización de la datación en la Figura 2. Se obtuvo las coordenadas del punto a partir de la georreferenciación de esta figura	701235	989261	MAGNA_Colombia_Oeste	1° 53' 39,667" N	77° 10' 26,510" W	González Carranza <i>et al.</i> (2008)	123	Muestra de núcleo a 266 cm de profundidad en el pozo Potrerillo-2
									Berrío <i>et al.</i> (2002b)	45	Sondeo Quilichao-1, muestra tomada a 485 cm de profundidad en la turbera Quilichao, 30 km al sureste de Cali y al noreste de Santander de Quilichao, Cauca
			Se obtuvo las coordenadas del punto a partir de la descripción del sitio de muestreo (extremo noreste de la laguna de Fúquene)	1097386	1039872	MAGNA_Colombia_Bogota	5° 28' 36,310" N	73° 43' 03,718" W	van't Veer <i>et al.</i> (2000)	316	Muestra de núcleo a 481–482 cm de profundidad en el pozo Fúquene VII
			Se obtuvo las coordenadas del punto a partir de la georreferenciación de la Figura 3	944478	1100288	MAGNA_Colombia_Oeste	4° 05' 36,938" N	76° 10' 27,672" W	López & Audemard (2011)	163	Muestra tomada de paleosuelo
			Se obtuvo las coordenadas del punto a partir de la descripción del sitio de muestreo (extremo noreste de la laguna de Fúquene)	1097386	1039872	MAGNA_Colombia_Bogota	5° 28' 36,310" N	73° 43' 03,718" W	van't Veer <i>et al.</i> (2000)	316	Muestra de núcleo a 491–492 cm de profundidad en el pozo Fúquene VII
			Las coordenadas (3° 18' 00" N, 73° 23' 00" W) reportadas por los autores no coinciden con el sitio de la laguna Loma Linda. Se obtuvo las coordenadas del punto a partir de la descripción del sitio de muestreo	856872	1079595	MAGNA_Colombia_Bogota	3° 18' 05,744" N	73° 21' 40,795" W	Behling & Hooghiemstra (2000)	35	Muestra tomada a 591 cm de profundidad en la sección laguna Loma Linda
			Las coordenadas (2° 02' N, 77° W) reportadas por los autores no coinciden con la localización de la datación en la Figura 2. Se obtuvo las coordenadas del punto a partir de la georreferenciación de esta figura	701235	989261	MAGNA_Colombia_Oeste	1° 53' 39,667" N	77° 10' 26,510" W	González Carranza <i>et al.</i> (2008)	123	Muestra de núcleo a 322 cm de profundidad en el pozo Potrerillo-2
				985763	891830	MAGNA_Colombia_Bogota	4° 28' 00,498" N	75° 03' 07,596" W	Osorio <i>et al.</i> (2008)	216	Edad convencional ( <i>cf.</i> columna Edad años BP). Edades calibradas de 9010–9140 y 9180–9220 años BP es la edad corregida a 2σ y 95 % de probabilidad
			Se obtuvo las coordenadas del punto a partir de la georreferenciación de la Figura 1C	1207889	1108839	MAGNA_Colombia_Oeste	6° 28' 30,551" N	76° 05' 36,958" W	Velásquez & Hooghiemstra (2013)	319	Muestra tomada a 431–433 cm de profundidad
				1197006	860564	MAGNA_Colombia_Este	6° 22' 34,159" N	72° 20' 15,804" W	Gonzalez <i>et al.</i> (1965)	117	Sondeo VL-V, muestra tomada a 198–206 cm de profundidad. N.º de laboratorio GrN-3598
				1197006	860564	MAGNA_Colombia_Este	6° 22' 34,159" N	72° 20' 15,804" W	Gonzalez <i>et al.</i> (1965)	117	Sondeo VL-V, muestra tomada a 198–206 cm de profundidad. N.º de laboratorio GrN-4003
				1035129	972003	MAGNA_Colombia_Bogota	4° 54' 49,769" N	74° 19' 47,750" W	Toro & Hermelin (1991)	289	Muestra tomada del perfil laguna del Otún
			Se obtuvo las coordenadas del punto a partir de la georreferenciación de la Figura 1	998263	971440	MAGNA_Colombia_Este	4° 34' 49,605" N	71° 20' 05,588" W	Behling & Hooghiemstra (1999)	34	Muestra tomada a 80 cm de profundidad
			Las coordenadas (2° 02' N, 77° W) reportadas por los autores no coinciden con la localización de la datación en la Figura 2. Se obtuvo las coordenadas del punto a partir de la georreferenciación de esta figura	701235	989261	MAGNA_Colombia_Oeste	1° 53' 39,667" N	77° 10' 26,510" W	González Carranza <i>et al.</i> (2008)	123	Muestra de núcleo a 398 cm de profundidad en el pozo Potrerillo-2
									Behling & Hooghiemstra (1998)	31	Muestra tomada a 40 cm de profundidad en la sección laguna Ángel en los Llanos Orientales, departamento del Vichada. Las coordenadas reportadas (4° 28' N, 70° 34' W) no coinciden con el sitio de muestra

ID Datación Radiométrica	Código de la muestra	Unidad geológica	Litología	Edad años BP	Error años	Edad Ma	Error Ma	Edad grano simple menor detrítico	Edad grano simple mayor detrítico	Edad estratigráfica	Edades heredadas	Método de datación	Material analizado	Relación inicial	MSWD	P(X2) %
470	RMM–502 K	Depósitos del volcán Machín		8450	± 95					Holoceno (Q2)		Carbono–14				
471	Col 43 (GrN–4358)			8485	± 70					Holoceno (Q2)		Carbono–14	Arcilla con restos de plantas			
472	UW–296			8590	± 115					Holoceno (Q2)		Carbono–14	Materia orgánica			
473		Etapas eruptivas San Antonio del volcán Nevado del Ruiz		8630	± 50					Holoceno (Q2)		Carbono–14				
474	Col 311 (GrN 10829)	Tefras y suelos sobre sistema morrénico de Murrillo	Humus y horizonte orgánico	8630	± 50					Holoceno (Q2)		Carbono–14	Carbón de leña			
475	Col 1240			8670	± 60					Holoceno (Q2)		Carbono–14	Carbón vegetal			
476	Col 82			8670	± 400					Holoceno (Q2)		Carbono–14	Carbón vegetal			
477	UtC–7627	Depósito lacustre		8680	± 60					Holoceno (Q2)		Carbono–14	Arcilla turbosa			
478	UtC–4965			8690	± 50					Holoceno (Q2)		Carbono–14	Sedimento orgánico			
479	Col 357 (GrN 11328)	Tefras y suelos sobre sistema morrénico de Otún		8690	± 200					Holoceno (Q2)		Carbono–14	Carbón de leña			
480	Col 325 (GrN 11709)	Tefras y suelos sobre sistema morrénico de Otún		8725	± 50					Holoceno (Q2)		Carbono–14	Carbón de leña			
481	Col 400 (GrN 12481)	Tefras y suelos sobre sistema morrénico de Otún	Turba	8750	± 50					Holoceno (Q2)		Carbono–14	Carbón de leña			
482	Col 135			8760	± 350					Holoceno (Q2)		Carbono–14	Carbón vegetal			
483	UtC–5478			8760	± 60					Holoceno (Q2)		Carbono–14	Sedimento orgánico			
484	Col 130			8810	± 430					Holoceno (Q2)		Carbono–14	Carbón vegetal			
485	LG–I–COL–24	Abanico de Ibagué	Materia orgánica	8820	± 100					Holoceno (Q2)		Carbono–14	Paleosuelo			
486	UtC–5493			8840	± 90					Holoceno (Q2)		Carbono–14	Sedimento orgánico			
487	JGP–63–3–1	Depósito hiperconcentrado del volcán Machín		8924–90 52						Holoceno (Q2)		Carbono–14	Carbón			
488	Col 353 (GrN 11331)			8960	± 120					Holoceno (Q2)		Carbono–14	Carbón de leña			
489	UtC–5832			9020	± 80					Holoceno (Q2)		Carbono–14	Arcilla lacustre			
490	Col 443 (GrN 12494)	Tefras y suelos de la turbera El Billar		9020	± 50					Holoceno (Q2)		Carbono–14	Turba			
491	Col 142			9050	± 470					Holoceno (Q2)		Carbono–14	Carbón vegetal			
492	LG–I–COL–01	Abanico de Ibagué	Materia orgánica	9220	± 90					Holoceno (Q2)		Carbono–14	Paleosuelo			
493	UtC–4953			9320	± 70					Holoceno (Q2)		Carbono–14	Sedimento orgánico			
494	Col 84			9325	± 100					Holoceno (Q2)		Carbono–14	Carbón vegetal			
495	Col 83			9340	± 90					Holoceno (Q2)		Carbono–14	Carbón vegetal			
496	Col 86			9420	± 110					Holoceno (Q2)		Carbono–14	Carbón vegetal			
497	GrA–965	Depósito lacustre		9420	± 60					Holoceno (Q2)		Carbono–14	Suelo arcilloso orgánico			
498	Col 1221			9440	± 60					Holoceno (Q2)		Carbono–14	Carbón vegetal			
499	GrA–2053	Depósito lacustre		9690	± 110					Holoceno (Q2)		Carbono–14	Arcilla lacustre			
500	Col 571 (GrN 14070)		Depósito de caída piroclástica	9750	± 370					Holoceno (Q2)		Carbono–14	Carbón			
501	UtC–4958			9760	± 60					Holoceno (Q2)		Carbono–14	Sedimento orgánico			

Dispersión %	Número de gramos analizados	Número de aliquotas	Fuente georreferenciación	Coordenada X	Coordenada Y	Sistema de coordenadas	Latitud	Longitud	Referencia	ID referencia	Comentarios
			Localización tomada de Méndez <i>et al.</i> (2002) [189]	997404	861344	MAGNA_Colombia_Bogota	4° 34' 17,897" N	75° 19' 36,941" W	Méndez (2001)	188	
			Se obtuvo las coordenadas del punto a partir de la georreferenciación de la Figura 124	1686610	1046934	MAGNA_Colombia_Bogota	10° 48' 15,176" N	73° 38' 54,011" W	van der Hammen (1984)	306	Muestra tomada a 115–120 cm de profundidad en la sección Sierra Nevada VII
			Se obtuvo las coordenadas del punto a partir de la georreferenciación de la Figura 5	1051458	861391	MAGNA_Colombia_Bogota	5° 03' 37,208" N	75° 19' 38,638" W	Herd (1982)	136	Muestra tomada en columna estratigráfica
									Thouret <i>et al.</i> (1990)	282	Eventos eruptivos en el volcán Nevado del Ruiz
			Se obtuvo la localización aproximada de la columna estratigráfica a partir de la georreferenciación de la Figura 62	1034001	870746	MAGNA_Colombia_Bogota	4° 54' 09,567" N	75° 14' 33,993" W	Thouret <i>et al.</i> (1995b)	284	Muestra tomada en columna estratigráfica San Antonio a 210–220 cm de profundidad. También publicada en Thouret <i>et al.</i> (1997) [285]
									Berrio <i>et al.</i> (2002b)	45	Sondeo La Teta-2, muestra tomada a 245 cm de profundidad en la turbera La Teta, cerca de Santander de Quilichao en el piedemonte de la cordillera Occidental
			Se obtuvo las coordenadas del punto a partir de la georreferenciación de la Figura 1	1046231	1014355	MAGNA_Colombia_Bogota	5° 00' 51,326" N	73° 56' 53,016" W	Correal <i>et al.</i> (1969)	84	Muestra tomada a 75–100 cm de profundidad
			Se obtuvo las coordenadas del punto a partir de la descripción del sitio de muestreo (extremo noreste de la laguna de Fúquene)	1097386	1039872	MAGNA_Colombia_Bogota	5° 28' 36,310" N	73° 43' 03,718" W	van't Veer <i>et al.</i> (2000)	316	Muestra de núcleo a 504–505 cm de profundidad en el pozo Fúquene VII
			Las coordenadas (3° 18' 00" N, 73° 23' 00" W) reportadas por los autores no coinciden con el sitio de la laguna Loma Linda. Se obtuvo las coordenadas del punto a partir de la descripción del sitio de muestreo	856872	1079595	MAGNA_Colombia_Bogota	3° 18' 05,744" N	73° 21' 40,795" W	Behling & Hooghiemstra (2000)	35	Muestra tomada a 691 cm de profundidad en la sección laguna Loma Linda
			Se obtuvo la localización aproximada de la columna estratigráfica a partir de la georreferenciación de la Figura 62	1024236	868452	MAGNA_Colombia_Bogota	4° 48' 51,594" N	75° 15' 47,856" W	Thouret <i>et al.</i> (1995b)	284	Muestra tomada en la columna estratigráfica en la laguna Verde de las Siete Cabezas, en la base de un nivel de andosol a 100–105 cm de profundidad
			Se obtuvo la localización aproximada de la columna estratigráfica a partir de la georreferenciación de la Figura 62	1043842	860632	MAGNA_Colombia_Bogota	4° 59' 29,264" N	75° 20' 02,771" W	Thouret <i>et al.</i> (1995b)	284	Muestra tomada en columna estratigráfica en El Arbolito, en la base de un nivel de andosol a 340–355 cm de profundidad
			Se obtuvo la localización aproximada de la columna estratigráfica a partir de la georreferenciación de la Figura 62	1032115	870428	MAGNA_Colombia_Bogota	4° 53' 08,154" N	75° 14' 44,182" W	Thouret <i>et al.</i> (1995b)	284	Muestra tomada en columna estratigráfica de La Cañabita a 152–160 cm de profundidad. También publicada en Thouret <i>et al.</i> (1997) [285]
			Se obtuvo las coordenadas del punto a partir de la georreferenciación de la Figura 1	1046482	1014253	MAGNA_Colombia_Bogota	5° 00' 59,491" N	73° 56' 56,330" W	Schreve Brinkman (1978)	266	Muestra tomada a 110–118,5 cm de profundidad
									Wille <i>et al.</i> (2003)	340	Muestra tomada a 800 cm de profundidad en la sección laguna Las Margaritas. La localización (3° 23' N, 73° 26' W) reportada por el autor no coincide con la descripción del sitio ni de la unidad
			Se obtuvo las coordenadas del punto a partir de la georreferenciación de la Figura 1	1046482	1014253	MAGNA_Colombia_Bogota	5° 00' 59,491" N	73° 56' 56,330" W	Schreve Brinkman (1978)	266	Muestra tomada a 190–191 cm de profundidad
				985763	891830	MAGNA_Colombia_Bogota	4° 28' 00,498" N	75° 03' 07,596" W	Osorio <i>et al.</i> (2008)	216	Edad convencional ( <i>c.f.</i> columna Edad años BP). Edades calibradas de 9550–10200 años BP es la edad corregida a $\pm 2\sigma$ y 95 % de probabilidad
									Behling & Hooghiemstra (1998)	31	Muestra tomada a 44 cm de profundidad en la sección laguna Sardinas en los Llanos Orientales, departamento del Vichada. Las coordenadas reportadas (4° 58' N, 69° 28' W) no coinciden con el sitio de muestra
				958357	902239	MAGNA_Colombia_Bogota	4° 13' 08,815" N	74° 57' 28,950" W	Cortés (2001)	85	
			Se obtuvo la localización aproximada de la columna estratigráfica a partir de la georreferenciación de la Figura 62	1029157	871986	MAGNA_Colombia_Bogota	4° 51' 31,965" N	75° 13' 53,475" W	Thouret <i>et al.</i> (1995b)	284	Muestra tomada en la base de un nivel de andosol
			Se obtuvo las coordenadas del punto a partir de la georreferenciación de la Figura 1	1013852	962196	MAGNA_Colombia_Este	4° 43' 16,988" N	71° 25' 05,703" W	Behling & Hooghiemstra (1999)	34	Muestra tomada a 48 cm de profundidad
			Se obtuvo las coordenadas del punto a partir de la georreferenciación de la Figura 62 de Thouret <i>et al.</i> (1995b) [284]	1030827	871819	MAGNA_Colombia_Bogota	4° 52' 26,324" N	75° 13' 58,992" W	Melief (1989)	187	Muestra tomada en la sección El Billar II a 262–264 cm de profundidad, también publicada en Thouret <i>et al.</i> (1995b) [284]
			Se obtuvo las coordenadas del punto a partir de la georreferenciación de la Figura 1	1046617	1014234	MAGNA_Colombia_Bogota	5° 01' 03,885" N	73° 56' 56,964" W	Schreve Brinkman (1978)	266	Muestra tomada debajo de una gran roca a 93,75 cm de profundidad
				985763	891830	MAGNA_Colombia_Bogota	4° 28' 00,498" N	75° 03' 07,596" W	Osorio <i>et al.</i> (2008)	216	Edad convencional ( <i>c.f.</i> columna Edad años BP). Edades calibradas de 10210–10590 años BP es la edad corregida a $\pm 2\sigma$ y 95 % de probabilidad
									Behling & Hooghiemstra (1998)	31	Muestra tomada a 70 cm de profundidad en la sección laguna Ángel en los Llanos Orientales, departamento del Vichada. Las coordenadas reportadas (4° 28' N, 70° 34' W) no coinciden con el sitio de muestra
			Se obtuvo las coordenadas del punto a partir de la georreferenciación de la Figura 1	1046231	1014355	MAGNA_Colombia_Bogota	5° 00' 51,326" N	73° 56' 53,016" W	Schreve Brinkman (1978)	266	Muestra tomada a 125–155 cm de profundidad
			Se obtuvo las coordenadas del punto a partir de la georreferenciación de la Figura 2	1046231	1014355	MAGNA_Colombia_Bogota	5° 00' 51,326" N	73° 56' 53,016" W	Correal <i>et al.</i> (1969)	84	Muestra tomada a 100–125 cm de profundidad
			Se obtuvo las coordenadas del punto a partir de la georreferenciación de la Figura 3	1046231	1014355	MAGNA_Colombia_Bogota	5° 00' 51,326" N	73° 56' 53,016" W	Correal <i>et al.</i> (1969)	84	Muestra tomada a 175–200 cm de profundidad
			Se obtuvo las coordenadas del punto a partir de la georreferenciación de la Figura 4	1046235	1014306	MAGNA_Colombia_Bogota	5° 00' 51,459" N	73° 56' 54,624" W	Schreve Brinkman (1978)	266	Muestra de núcleo a 88–90 cm de profundidad en el pozo El Abra II-B3
									Berrio <i>et al.</i> (2002b)	45	Sondeo Quilichao-1, muestra tomada a 537 cm de profundidad en la turbera Quilichao, 30 km al sureste de Cali y al noreste de Santander de Quilichao, Cauca
			Se obtuvo las coordenadas del punto a partir de la descripción del sitio de muestreo (extremo noreste de la laguna de Fúquene)	1097386	1039872	MAGNA_Colombia_Bogota	5° 28' 36,310" N	73° 43' 03,718" W	van Geel & van der Hammen (1973)	314	Muestra de núcleo a 460–467 cm de profundidad en el pozo Fúquene II
			Se obtuvo las coordenadas del punto a partir de la georreferenciación de la Figura 62 de Thouret <i>et al.</i> (1995b) [284]	1007825	856916	MAGNA_Colombia_Bogota	4° 39' 56,815" N	75° 22' 01,179" W	Thouret <i>et al.</i> (1995a)	283	
									Wille <i>et al.</i> (2003)	340	Muestra tomada a 1000 cm de profundidad en la sección laguna Las Margaritas, la localización (3° 23' N, 73° 26' W) reportada por el autor no coincide con la descripción del sitio ni de la unidad

ID Datación Radiométrica	Código de la muestra	Unidad geológica	Litología	Edad años BP	Error años	Edad Ma	Error Ma	Edad grano simple menor detrítico	Edad grano simple mayor detrítico	Edad estratigráfica	Edades heredadas	Método de datación	Material analizado	Relación inicial	MSWD	P(X2) %
502	Col 57			9830	± 90					Holoceno (Q2)		Carbono-14	Turba			
503	Col 32			9830	± 140					Holoceno (Q2)		Carbono-14	Sedimento lacustre oscuro			
504	Col 1222			9860	± 70					Holoceno (Q2)		Carbono-14	Carbón vegetal			
505	Col 1133			9870	± 80					Holoceno (Q2)		Carbono-14	Sedimento orgánico			
506	LG-I-COL-17	Abanico de Ibagué	Materia orgánica	9980	± 90					Holoceno (Q2)		Carbono-14	Paleosuelo			
507	UtC-5494			10030	± 60					Holoceno (Q2)		Carbono-14	Sedimento orgánico			
508	Col 52			10030	± 90					Holoceno (Q2)		Carbono-14	Turba			
509	UtC-4954			10070	± 60					Holoceno (Q2)		Carbono-14	Sedimento orgánico			
510	Col 409	Tefras y suelos sobre sistema morénico de Murillo	Horizonte orgánico	10120	± 120					Holoceno (Q2)		Carbono-14	Carbón vegetal			
511	LG-I-COL-16	Abanico de Ibagué	Materia orgánica	10160	± 70					Holoceno (Q2)		Carbono-14	Paleosuelo			
512	GrA-982	Depósito lacustre		10160	± 60					Holoceno (Q2)		Carbono-14	Arcilla lacustre			
513	Col 449 (GrN 12499)	Tefras y suelos de la turbera El Billar		10240	± 50					Holoceno (Q2)		Carbono-14	Turba			
514	UtC-6806			10260	± 60					Holoceno (Q2)		Carbono-14	Lodo fibroso			
515	UtC-5833			10280	± 50					Holoceno (Q2)		Carbono-14	Arcilla lacustre			
516	Col 190			10280	± 90					Holoceno (Q2)		Carbono-14	Sedimento lacustre turboso			
517	Col 399 (GrN 12480)	Tefras y suelos sobre sistema morénico de Murillo	Horizonte orgánico	10330	± 230					Holoceno (Q2)		Carbono-14	Carbón vegetal			
518	UtC-5495			10380	± 60					Holoceno (Q2)		Carbono-14	Sedimento orgánico			
519	Col 191			10380	± 90					Holoceno (Q2)		Carbono-14	Sedimento lacustre turboso			
520	Col 51			10400	± 120					Holoceno (Q2)		Carbono-14	Turba			
521		Etapa eruptiva El Bilar, volcán Nevado del Ruiz		10520	± 90					Holoceno (Q2)		Carbono-14				
522	Col 346 (GrN 11404)	Tefras y suelos de la turbera El Billar		10520	± 90					Holoceno (Q2)		Carbono-14	Turba			
523	SE 10/4			10550	± 80					Holoceno (Q2)		Carbono-14	Carbón vegetal			
524	Col 117			10550	± 60					Holoceno (Q2)		Carbono-14	Arcilla turbosa			
525	Horizonte Bth			10560	± 100					Holoceno (Q2)		Carbono-14	Suelo			
526	Cali 21/5			10605	± 85					Holoceno (Q2)		Carbono-14	Carbón vegetal			
527				10700	± 370					Holoceno (Q2)		Carbono-14	Carbón vegetal			
528	LG-I-COL-19	Abanico de Ibagué	Materia orgánica	10710	± 50					Holoceno (Q2)		Carbono-14	Paleosuelo			
529	Col 120			10720	± 400					Holoceno (Q2)		Carbono-14	Carbón vegetal			
530	GrA-983	Depósito lacustre		10720	± 60					Holoceno (Q2)		Carbono-14	Arcilla lacustre			
531	UtC-5834			10790	± 60					Holoceno (Q2)		Carbono-14	Arcilla lacustre			
532	Col 406 (GrN 12487)	Tefras y suelos sobre sistema morénico de Murillo	Turba	10800	± 60					Holoceno (Q2)		Carbono-14	Turba			
533	Col 115			10820	± 60					Holoceno (Q2)		Carbono-14	Arcilla turbosa			
534	RMM-521 D	Depósitos del volcán Machín		10885	± 95					Holoceno (Q2)		Carbono-14				
535	Paleosuelo III		Paleosuelo	10930	± 65					Holoceno (Q2)		Carbono-14				

Dispersión %	Número de granos analizados	Número de alicuotas	Fuente georreferenciación	Coordenada X	Coordenada Y	Sistema de coordenadas	Latitud	Longitud	Referencia	ID referencia	Comentarios
				1198258	859765	MAGNA_Colombia_Este	6° 23' 14,844" N	72° 20' 41,912" W	Gonzalez <i>et al.</i> (1965)	117	Sondeo VL-VIII, muestra tomada a 150–155 cm de profundidad
									van der Hammen & González (1965)	305	Muestra tomada a 270–300 cm de profundidad en la ciénaga del Visitador, páramo del Desaguadero, páramo de Guantiva, Boyacá
									Berrio <i>et al.</i> (2002b)	45	Sondeo Quilichao-1, muestra tomada a 559 cm de profundidad en la turbera Quilichao, 30 km al sureste de Cali y al noroeste de Santander de Quilichao, Cauca
			Se obtuvo las coordenadas del punto a partir de la georreferenciación de la Figura 2	752418	1035787	MAGNA_Colombia_Oeste	2° 21' 25,904" N	76° 45' 20,749" W	Wille <i>et al.</i> (2000)	339	Muestra tomada a 212 cm de profundidad
				985763	891830	MAGNA_Colombia_Bogota	4° 28' 00,498" N	75° 03' 07,596" W	Osorio <i>et al.</i> (2008)	216	Edad convencional (cf. columna Edad años BP). Edades calibradas de 11200–11740, 11860–11950 y 12060–12080 años BP es la edad corregida a 2σ y 95 % de probabilidad
									Behling & Hooghiemstra (1998)	31	Muestra tomada a 68 cm de profundidad en la sección laguna Sardinas en los Llanos Orientales, departamento del Vichada. Las coordenadas reportadas (4° 58' N, 69° 28' W) no coinciden con el sitio de muestra
				1197006	860564	MAGNA_Colombia_Este	6° 22' 34,159" N	72° 20' 15,804" W	Gonzalez <i>et al.</i> (1965)	117	Sondeo VL-V, muestra tomada a 232–252 cm de profundidad
									Behling & Hooghiemstra (1998)	31	Muestra tomada a 95,5 cm de profundidad en la sección laguna Ángel en los Llanos Orientales, departamento del Vichada. Las coordenadas reportadas (4° 28' N, 70° 34' W) no coinciden con el sitio de muestra
									Thouret <i>et al.</i> (1995b)	284	Muestra tomada en el perfil Romeral, páramo de Herveo
				985763	891830	MAGNA_Colombia_Bogota	4° 28' 00,498" N	75° 03' 07,596" W	Osorio <i>et al.</i> (2008)	216	Edad convencional (cf. columna Edad años BP). Edades calibradas de 11350–11500 y 11540–12330 años BP es la edad corregida a 2σ y 95 % de probabilidad
			Se obtuvo las coordenadas del punto a partir de la descripción del sitio de muestreo (extremo noreste de la laguna de Fúquene)	1097386	1039872	MAGNA_Colombia_Bogota	5° 28' 36,310" N	73° 43' 03,718" W	van Geel & van der Hammen (1973)	314	Muestra de núcleo a 550–556 cm de profundidad en el pozo Fúquene II
			Se obtuvo las coordenadas del punto a partir de la georreferenciación de la Figura 62 de Thouret <i>et al.</i> (1995b) [284]	1030827	871819	MAGNA_Colombia_Bogota	4° 52' 26,324" N	75° 13' 58,992" W	Melief (1989)	187	Muestra tomada en la sección El Billar II a 1–14 cm de profundidad, también publicada en Thouret <i>et al.</i> (1995b) [284]
			Se obtuvo las coordenadas del punto a partir de la georreferenciación de la Figura 1C	1207889	1108839	MAGNA_Colombia_Oeste	6° 28' 30,551" N	76° 05' 36,958" W	Velásquez & Hooghiemstra (2013)	319	Muestra tomada a 573–576 cm de profundidad
			Se obtuvo las coordenadas del punto a partir de la georreferenciación de la Figura 1	1013852	962196	MAGNA_Colombia_Este	4° 43' 16,988" N	71° 25' 05,703" W	Behling & Hooghiemstra (1999)	34	Muestra tomada a 52 cm de profundidad
			Se obtuvo las coordenadas del punto a partir de la georreferenciación de la Figura 1	1009908	965474	MAGNA_Colombia_Bogota	4° 41' 08,623" N	74° 23' 19,276" W	Hooghiemstra & van der Hammen (1993)	139	Núcleo Pedro Palo V, muestra tomada a 120–135 cm de profundidad
			Se obtuvo la localización aproximada de la columna estratigráfica a partir de la georreferenciación de la Figura 62	1046978	857894	MAGNA_Colombia_Bogota	5° 01' 11,170" N	75° 21' 31,839" W	Thouret <i>et al.</i> (1995b)	284	Muestra tomada en la columna estratigráfica La Margarita
									Behling & Hooghiemstra (1998)	31	Muestra tomada a 78 cm de profundidad en la sección laguna Sardinas en los Llanos Orientales, departamento del Vichada. Las coordenadas reportadas (4° 58' N, 69° 28' W) no coinciden con el sitio de muestra
			Se obtuvo las coordenadas del punto a partir de la georreferenciación de la Figura 1	1009908	965474	MAGNA_Colombia_Bogota	4° 41' 08,623" N	74° 23' 19,276" W	Hooghiemstra & van der Hammen (1993)	139	Núcleo Pedro Palo V, muestra tomada a 270–285 cm de profundidad
				1197006	860564	MAGNA_Colombia_Este	6° 22' 34,159" N	72° 20' 15,804" W	Gonzalez <i>et al.</i> (1965)	117	Sondeo VL-V, muestra tomada a 275–300 cm de profundidad
									Thouret <i>et al.</i> (1990)	282	Eventos eruptivos en el volcán Nevado del Ruiz
			Se obtuvo la localización aproximada de la columna estratigráfica a partir de la georreferenciación de la Figura 62	1030827	871819	MAGNA_Colombia_Bogota	4° 52' 26,324" N	75° 13' 58,992" W	Thouret <i>et al.</i> (1995b)	284	Muestra tomada en la Sección El Billar II a 200–205 cm de profundidad
									Fölscher <i>et al.</i> (1977)	103	Muestra tomada a 60 cm de profundidad
			Se obtuvo la localización aproximada del punto a partir de la descripción del sitio de muestreo	1073687	1029959	MAGNA_Colombia_Bogota	5° 15' 44,982" N	73° 48' 26,110" W	van Geel & van der Hammen (1973)	314	Muestra tomada a 827–848 cm de profundidad
			Se obtuvo las coordenadas del punto a partir de la georreferenciación de la Figura 3	877106	1055431	MAGNA_Colombia_Oeste	3° 29' 04,934" N	76° 34' 43,150" W	Fölscher <i>et al.</i> (1977)	103	Muestra tomada a 110 cm de profundidad
									Toro & Hermelin (1989)	288	Muestra tomada a 54–91 cm de profundidad
			Se obtuvo las coordenadas del punto a partir de la georreferenciación de la Figura 1	985763	891830	MAGNA_Colombia_Bogota	4° 28' 00,498" N	75° 03' 07,596" W	Osorio <i>et al.</i> (2008)	216	Edad convencional (cf. columna Edad años BP). Edades calibradas de 12430–12460 y 12630–12960 años BP es la edad corregida a 2σ y 95 % de probabilidad
			Se obtuvo las coordenadas del punto a partir de la georreferenciación de la Figura 1	1046231	1014355	MAGNA_Colombia_Bogota	5° 00' 51,326" N	73° 56' 53,016" W	Schreve Brinkman (1978)	266	Muestra tomada a 148 cm de profundidad
			Se obtuvo las coordenadas del punto a partir de la descripción del sitio de muestreo (extremo noreste de la laguna de Fúquene)	1097386	1039872	MAGNA_Colombia_Bogota	5° 28' 36,310" N	73° 43' 03,718" W	van Geel & van der Hammen (1973)	314	Muestra de núcleo a 488–494 cm de profundidad en el pozo Fúquene II
			Se obtuvo las coordenadas del punto a partir de la georreferenciación de la Figura 1	1013852	962196	MAGNA_Colombia_Este	4° 43' 16,988" N	71° 25' 05,703" W	Behling & Hooghiemstra (1999)	34	Muestra tomada a 62 cm de profundidad
			Se obtuvo la localización aproximada de la columna estratigráfica a partir de la georreferenciación de la Figura 62	1015480	863654	MAGNA_Colombia_Bogota	4° 44' 06,345" N	75° 18' 23,036" W	Thouret <i>et al.</i> (1995b)	284	Muestra tomada en columna estratigráfica Paso Español a 142–146 cm de profundidad. También publicada en Thouret <i>et al.</i> (1995a) [283]
			Se obtuvo las coordenadas del punto a partir de la descripción del sitio de muestreo (extremo noreste de la laguna de Fúquene)	1097386	1039872	MAGNA_Colombia_Bogota	5° 28' 36,310" N	73° 43' 03,718" W	van Geel & van der Hammen (1973)	314	Núcleo Fúquene II, muestra tomada a 478–497 cm de profundidad
									Méndez (2001)	188	
									Toro <i>et al.</i> (2001)	292	Muestra tomada en el perfil Pereira Palacio de Justicia

ID Datación Radiométrica	Código de la muestra	Unidad geológica	Litología	Edad años BP	Error años	Edad Ma	Error Ma	Edad grano simple menor detrítico	Edad grano simple mayor detrítico	Edad estratigráfica	Edades heredadas	Método de datación	Material analizado	Relación inicial	MSWD	P(X2) %
536	Sitio 3 (P31?)			11200						Holoceno (Q2)		Carbono-14	Carbón vegetal			
537	GrN-5941	Depósito lacustre		11210	± 90					Holoceno (Q2)		Carbono-14	Arcilla húmica negra			
538	Col 123			11210	± 90					Holoceno (Q2)		Carbono-14	Arcilla negra húmica			
539	UiC-3566			11240	± 280					Holoceno (Q2)		Carbono-14	Macroesporas de <i>Isóetes</i>			
540	Col 50			11350	± 140					Holoceno (Q2)		Carbono-14	Turba			
541	Col 193a			11380	± 130					Holoceno (Q2)		Carbono-14	Sedimento lacustre			
542	Col 300 (GrN 9813)	Tefras y suelos sobre sistema morrénico de Otún	Turba	11490	± 60					Holoceno (Q2)		Carbono-14	Turba			
543	UiC-4968			11570	± 70					Holoceno (Q2)		Carbono-14	Sedimento orgánico			
544	Paleosuelo II		Paleosuelo	11670	± 80					Holoceno (Q2)		Carbono-14				
545	GrA-969	Depósito lacustre		11680	± 60					Holoceno (Q2)		Carbono-14	Arcilla lacustre			
546	SI-I-COL-01	Abanico de Ibagué	Materia orgánica	11810	± 80					Pleistoceno (Q1)		Carbono-14	Paleosuelo			
547	Col 49			11900	± 120					Pleistoceno (Q1)		Carbono-14	Turba			
548	Col 448 (GrN 12498)	Tefras y suelos de la turbera El Billar		11910	± 70					Pleistoceno (Q1)		Carbono-14	Turba			
549	Col 194c			11950	± 100					Pleistoceno (Q1)		Carbono-14	Sedimento lacustre			
550	Horizonte B1			11960	± 130					Pleistoceno (Q1)		Carbono-14	Suelo			
551	Horizonte Bt2			12070	± 135					Pleistoceno (Q1)		Carbono-14	Suelo			
552	Col 48			12140	± 120					Pleistoceno (Q1)		Carbono-14	Turba			
553	RMM-510 C	Depósitos del volcán Machín		12185	± 200					Pleistoceno (Q1)		Carbono-14				
554	Col 47			12310	± 160					Pleistoceno (Q1)		Carbono-14	Trozos de madera			
555	Col 46			12320	± 100					Pleistoceno (Q1)		Carbono-14	Turba			
556	Col 303 (GrN 9812)	Tefras y suelos sobre sistema morrénico de Otún		12320	± 70					Pleistoceno (Q1)		Carbono-14	Turba			
557	Col 442 (GrN 12493)	Tefras y suelos de la turbera El Billar		12330	± 70					Pleistoceno (Q1)		Carbono-14	Turba			
558	Col 402 (GrN 12483)	Tefras y suelos sobre sistema morrénico de Murillo	Turba	12360	± 100					Pleistoceno (Q1)		Carbono-14	Turba			
559	Col 85			12400	± 160					Pleistoceno (Q1)		Carbono-14	Carbón vegetal			
560	UiC-3569			12400	± 260					Pleistoceno (Q1)		Carbono-14	Macroesporas de <i>Isóetes</i>			
561	Col 302 (GrN 10264)	Tefras y suelos sobre sistema morrénico de Otún		12410	± 70					Pleistoceno (Q1)		Carbono-14	Turba			
562	Col 301 (GrN 10265)	Tefras y suelos sobre sistema morrénico de Otún	Turba	12430	± 70					Pleistoceno (Q1)		Carbono-14	Turba			
563	Col 524			12760	± 160					Pleistoceno (Q1)		Carbono-14	Sedimento lacustre			
564	Col 24			12770	± 130					Pleistoceno (Q1)		Carbono-14	Sedimento lacustre oscuro			
565				12820	± 40					Pleistoceno (Q1)		Carbono-14	Paleosuelo			
566	GA20P-8	Depósito de flujo piroclástico del volcán Galeras	Paleosuelo	12850	± 300					Pleistoceno (Q1)		Carbono-14	Carbón vegetal			
567	UiC-4955			12880	± 80					Pleistoceno (Q1)		Carbono-14	Sedimento orgánico			
568	Horizonte Bt2			12920	± 120					Pleistoceno (Q1)		Carbono-14	Suelo			
569	Col 403 (GrN 12484)	Tefras y suelos sobre sistema morrénico de Murillo	Turba	12950	± 70					Pleistoceno (Q1)		Carbono-14	Turba			
570	Col 529			12990	± 190					Pleistoceno (Q1)		Carbono-14	Sedimento lacustre			

Dispersión %	Número de granos analizados	Número de alicuotas	Fuente georreferenciación	Coordenada X	Coordenada Y	Sistema de coordenadas	Latitud	Longitud	Referencia	ID referencia	Comentarios
				963262	1055241	MAGNA_Colombia_Bogota	4° 15' 49,723" N	73° 34' 47,684" W	Robertson (2007)	250	Muestra tomada de restos de un paleosuelo enterrado a 8 m de profundidad
			Se obtuvo las coordenadas del punto a partir de la georreferenciación de la Figura 1	1046235	1014306	MAGNA_Colombia_Bogota	5° 00' 51,459" N	73° 56' 54,624" W	Schreve Brinkman (1978)	266	Muestra de núcleo a 185–190 cm de profundidad en el pozo El Abra II-B3
			Se obtuvo las coordenadas del punto a partir de la georreferenciación de la Figura 1	1046235	1014306	MAGNA_Colombia_Bogota	5° 00' 51,459" N	73° 56' 54,624" W	Schreve Brinkman (1978)	266	Muestra tomada a 185–190 cm de profundidad
				1035129	972003	MAGNA_Colombia_Bogota	4° 54' 49,769" N	74° 19' 47,750" W	Helmens <i>et al.</i> (1996)	132	Muestra tomada a 75–80 cm de profundidad en la sección La Laguna
				1197006	860564	MAGNA_Colombia_Este	6° 22' 34,159" N	72° 20' 15,804" W	Gonzalez <i>et al.</i> (1965)	117	Sondeo VL-V, muestra tomada a 326–350 cm de profundidad
			Se obtuvo las coordenadas del punto a partir de la georreferenciación de la Figura 1	1009801	965358	MAGNA_Colombia_Bogota	4° 41' 05,134" N	74° 23' 23,046" W	Hooghiemstra & van der Hammen (1993)	139	Núcleo Pedro Palo III, muestra tomada a 180–200 cm de profundidad
			Se obtuvo las coordenadas del punto a partir de la georreferenciación de la Figura 62 de Thouret <i>et al.</i> (1995b) [284]	1015704	859164	MAGNA_Colombia_Bogota	4° 44' 13,369" N	75° 20' 48,717" W	Melief (1989)	187	Muestra tomada en columna estratigráfica San Carlos a 161–163 cm de profundidad. Publicada con código de muestra Col 303 (GrN 9813) en Thouret <i>et al.</i> (1995a) [283]
									Behling & Hooghiemstra (1998)	31	Muestra tomada a 90 cm de profundidad en la sección laguna Sardinas en los Llanos Orientales, departamento del Vichada. Las coordenadas reportadas (4° 58' N, 69° 28' W) no coinciden con el sitio de muestra
									Toro <i>et al.</i> (2001)	292	Muestra tomada en el perfil Pereira Palacio de Justicia
			Se obtuvo las coordenadas del punto a partir de la descripción del sitio de muestreo (extremo noreste de la laguna de Fúquene)	1097386	1039872	MAGNA_Colombia_Bogota	5° 28' 36,310" N	73° 43' 03,718" W	van Geel & van der Hammen (1973)	314	Muestra de núcleo a 506–510 cm de profundidad en el pozo Fúquene II
				983085	880374	MAGNA_Colombia_Bogota	4° 26' 32,828" N	75° 09' 19,015" W	Osorio <i>et al.</i> (2008)	216	Edad convencional ( <i>cf.</i> columna Edad años BP). Edades calibradas de 13470–14080 años BP es la edad corregida a 2σ y 95 % de probabilidad
				1197006	860564	MAGNA_Colombia_Este	6° 22' 34,159" N	72° 20' 15,804" W	Gonzalez <i>et al.</i> (1965)	117	Sondeo VL-V, muestra tomada a 372–378 cm de profundidad
			Se obtuvo la localización aproximada de la columna estratigráfica a partir de la georreferenciación de la Figura 62	1030827	871819	MAGNA_Colombia_Bogota	4° 52' 26,324" N	75° 13' 58,992" W	Thouret <i>et al.</i> (1995b)	284	Muestra tomada en la sección El Billar II a 30–33 cm de profundidad
			Se obtuvo las coordenadas del punto a partir de la georreferenciación de la Figura 1	1009801	965358	MAGNA_Colombia_Bogota	4° 41' 05,134" N	74° 23' 23,046" W	Hooghiemstra & van der Hammen (1993)	139	Núcleo Pedro Palo III, muestra tomada a 380–400 cm de profundidad
									Guillet <i>et al.</i> (1988)	127	Tiempo promedio de residencia, muestra tomada a 60–70 cm de profundidad
									Guillet & Faivre (1981)	126	Tiempo promedio de residencia, muestra tomada a 55–65 cm de profundidad en el perfil Guasca 7
				1197006	860564	MAGNA_Colombia_Este	6° 22' 34,159" N	72° 20' 15,804" W	Gonzalez <i>et al.</i> (1965)	117	Sondeo VL-V, muestra tomada a 472–486 cm de profundidad
									Méndez (2001)	188	
				1197006	860564	MAGNA_Colombia_Este	6° 22' 34,159" N	72° 20' 15,804" W	Gonzalez <i>et al.</i> (1965)	117	Sondeo VL-V, muestra tomada a 547–564 cm de profundidad
				1197006	860564	MAGNA_Colombia_Este	6° 22' 34,159" N	72° 20' 15,804" W	Gonzalez <i>et al.</i> (1965)	117	Sondeo VL-V, muestra tomada a 626–631 cm de profundidad
			Se obtuvo las coordenadas del punto a partir de la georreferenciación de la Figura 62 de Thouret <i>et al.</i> (1995b) [284]	1015704	859164	MAGNA_Colombia_Bogota	4° 44' 13,369" N	75° 20' 48,717" W	Melief (1989)	187	Muestra tomada en columna estratigráfica San Carlos a 295 cm de profundidad. Publicada con código de muestra Col 300 (GrN 9812) en Thouret <i>et al.</i> (1995a) [283]
			Se obtuvo las coordenadas del punto a partir de la georreferenciación de la Figura 62 de Thouret <i>et al.</i> (1995b) [284]	1030827	871819	MAGNA_Colombia_Bogota	4° 52' 26,324" N	75° 13' 58,992" W	Melief (1989)	187	Muestra tomada en la sección El Billar II a 333–336 cm de profundidad, también publicada en Thouret <i>et al.</i> (1995b) [284]
			Se obtuvo la localización aproximada de la columna estratigráfica a partir de la georreferenciación de la Figura 62	1006543	852474	MAGNA_Colombia_Bogota	4° 39' 14,804" N	75° 24' 25,163" W	Thouret <i>et al.</i> (1995b)	284	Muestra tomada en columna estratigráfica Valle Romerales a 190–196 cm de profundidad. También publicada en Thouret <i>et al.</i> (1995a) [283]
			Se obtuvo las coordenadas del punto a partir de la georreferenciación de la Figura 1	1046231	1014355	MAGNA_Colombia_Bogota	5° 00' 51,326" N	73° 56' 53,016" W	Correal <i>et al.</i> (1969)	84	Muestra tomada a 150–175 cm de profundidad
				1035129	972003	MAGNA_Colombia_Bogota	4° 54' 49,769" N	74° 19' 47,750" W	Helmens <i>et al.</i> (1996)	132	Muestra tomada a 161–164 cm de profundidad en la sección La Laguna
			Se obtuvo las coordenadas del punto a partir de la georreferenciación de la Figura 62 de Thouret <i>et al.</i> (1995b) [284]	1015704	859164	MAGNA_Colombia_Bogota	4° 44' 13,369" N	75° 20' 48,717" W	Melief (1989)	187	Muestra tomada en columna estratigráfica San Carlos a 278 cm de profundidad. Publicada con código de muestra Col 301 (GrN 10264) en Thouret <i>et al.</i> (1995a) [283]
			Se obtuvo las coordenadas del punto a partir de la georreferenciación de la Figura 62 de Thouret <i>et al.</i> (1995b) [284]	1015704	859164	MAGNA_Colombia_Bogota	4° 44' 13,369" N	75° 20' 48,717" W	Melief (1989)	187	Muestra tomada en columna estratigráfica San Carlos a 212–214 cm de profundidad. Publicada con código de muestra Col 302 (GrN 10265) en Thouret <i>et al.</i> (1995a) [283]
			Se obtuvo las coordenadas del punto a partir de la georreferenciación de la Figura 2	969664	995811	MAGNA_Colombia_Bogota	4° 19' 18,729" N	74° 06' 54,881" W	Helmens (1988)	130	Muestra tomada a 525–540 cm de profundidad
			Se obtuvo las coordenadas del punto a partir de la georreferenciación de la Figura 3	944994	1100296	MAGNA_Colombia_Oeste	4° 05' 53,728" N	76° 10' 27,391" W	López & Audemard (2011)	163	Muestra tomada de paleosuelo
			Se obtuvo las coordenadas del punto a partir de la georreferenciación de la Figura 4	630293	972383	MAGNA_Colombia_Oeste	1° 15' 09,961" N	77° 19' 32,347" W	Banks <i>et al.</i> (1997)	23	
									Behling & Hooghiemstra (1998)	31	Muestra tomada a 112 cm de profundidad en la sección laguna Ángel, las coordenadas reportadas (4° 28' N, 70° 34' W) no coinciden con el sitio de muestra.
									Guillet & Faivre (1981)	126	Tiempo promedio de residencia, muestra tomada a 52–65 cm de profundidad en el perfil Guasca 7
			Se obtuvo la localización aproximada de la columna estratigráfica a partir de la georreferenciación de la Figura 62	1006543	852474	MAGNA_Colombia_Bogota	4° 39' 14,804" N	75° 24' 25,163" W	Thouret <i>et al.</i> (1995b)	284	Muestra tomada en columna estratigráfica Valle Romerales a 205–210 cm de profundidad. También publicada en Thouret <i>et al.</i> (1995a) [283]
			Se obtuvo las coordenadas del punto a partir de la georreferenciación de la Figura 2	975810	982915	MAGNA_Colombia_Bogota	4° 22' 38,765" N	74° 13' 53,165" W	Helmens (1988)	130	Muestra tomada a 462–477 cm de profundidad

ID Datación Radiométrica	Código de la muestra	Unidad geológica	Litología	Edad años BP	Error años	Edad Ma	Error Ma	Edad grano simple menor detrítico	Edad grano simple mayor detrítico	Edad estratigráfica	Edades heredadas	Método de datación	Material analizado	Relación inicial	MSWD	P(X2) %
571	Col 407 (GrN 12488)	Tefras y suelos sobre sistema morenico de Murillo	Turba	13020	± 60					Pleistoceno (Q1)		Carbono-14	Turba			
572	Paleosuelo 1			13070	± 80					Pleistoceno (Q1)		Carbono-14	Paleosuelo			
573	GrA-2729	Depósito lacustre		13110	± 120					Pleistoceno (Q1)		Carbono-14	Arcilla turbosa			
574	Col 1088			13150	± 60					Pleistoceno (Q1)		Carbono-14	Carbón vegetal			
575	CPL-55		Ceniza volcánica	13150	± 310					Pleistoceno (Q1)		Carbono-14	Paleosuelo			
576	Col 546			13210	± 170					Pleistoceno (Q1)		Carbono-14	Sedimento lacustre			
577	GdA-921			13240	± 70					Pleistoceno (Q1)		Carbono-14	Lodo rico en materia orgánica			
578	Col 441 (GrN 12492)	Tefras y suelos de la turbera El Billar		13350	± 70					Pleistoceno (Q1)		Carbono-14	Turba			
579	Col 315 (GrN 11702)	Tefras y suelos sobre sistema morenico de Murillo		13360	± 70					Pleistoceno (Q1)		Carbono-14	Turba			
580	Col 410 (GrN 12491)	Tefras y suelos sobre sistema morenico de Murillo	Lapilli pómex	13450	± 500					Pleistoceno (Q1)		Carbono-14	Carbón vegetal			
581	Col 295 (GrN 10215)	Tefras y suelos sobre tefras antiguas		13600	± 80					Pleistoceno (Q1)		Carbono-14	Carbón de leña			
582	Col 321 (GrN 11325)	Tefras y suelos sobre coladas de lava	Ceniza	13630	± 120					Pleistoceno (Q1)		Carbono-14	Carbón vegetal			
583	Col 527			13710	± 80					Pleistoceno (Q1)		Carbono-14	Sedimento lacustre			
584	QL-2			13760	± 150					Pleistoceno (Q1)		Carbono-14	Turba			
585	Col 314 (GrN 11701)	Tefras y suelos sobre sistema morenico de Murillo	Turba	13780	± 60					Pleistoceno (Q1)		Carbono-14	Turba			
586	Col 391 (GrN 12472)	Tefras y suelos sobre sistema morenico de Murillo	Material orgánico en pumita y lapilli lítico	13880	± 320					Pleistoceno (Q1)		Carbono-14	Carbón vegetal			
587	Col 350 (GrN 11702)	Tefras y suelos sobre sistema morenico de Murillo		14010	± 130					Pleistoceno (Q1)		Carbono-14	Turba			
588	GrA-2738	Depósito lacustre		14200	± 120					Pleistoceno (Q1)		Carbono-14	Arcilla turbosa			
589	Col 525			14460	± 170					Pleistoceno (Q1)		Carbono-14	Sedimento lacustre			
590	Paleosuelo I		Paleosuelo	14635	± 95					Pleistoceno (Q1)		Carbono-14				
591	Col 526			14660	± 280					Pleistoceno (Q1)		Carbono-14	Sedimento lacustre			
592	Col 405 (GrN 12486)	Tefras y suelos sobre sistema morenico de Murillo	Turba	15200	± 140					Pleistoceno (Q1)		Carbono-14	Turba			
593	GrA-2054	Depósito lacustre		15500	± 100					Pleistoceno (Q1)		Carbono-14	Arcilla lacustre			
594	UtC-3285			15510	± 190					Pleistoceno (Q1)		Carbono-14	Arcilla arenosa lacustre			
595	Sitio 2 (P28?)			16120						Pleistoceno (Q1)		Carbono-14	Madera			
596	Col 404 (GrN 12485)	Tefras y suelos sobre sistema morenico de Murillo		16220	± 80					Pleistoceno (Q1)		Carbono-14	Turba			
597	Horizonte C			16945	± 280					Pleistoceno (Q1)		Carbono-14	Suelo			
598	GrN-16343			17300	± 650					Pleistoceno (Q1)		Carbono-14	Arcilla turbosa			
599				17800	± 660					Pleistoceno (Q1)		Carbono-14	Paleosuelo			
600	Paleosuelo 2			17900	± 130					Pleistoceno (Q1)		Carbono-14	Paleosuelo			
601	UtC-7628	Depósito lacustre		17990	± 60					Pleistoceno (Q1)		Carbono-14	Arcilla turbosa			
602	12					0,018	± 0,004			Pleistoceno (Q1)		Huellas de fisión	Circón			
603	Col 522			18130	± 170					Pleistoceno (Q1)		Carbono-14	Sedimento lacustre			

Dispersión %	Número de granos analizados	Número de alicuotas	Fuente georreferenciación	Coordenada X	Coordenada Y	Sistema de coordenadas	Latitud	Longitud	Referencia	ID referencia	Comentarios
			Se obtuvo la localización aproximada de la columna estratigráfica a partir de la georreferenciación de la Figura 62	1015480	863654	MAGNA_Colombia_Bogota	4° 44' 06,345" N	75° 18' 23,036" W	Thouret <i>et al.</i> (1995b)	284	Muestra tomada en columna estratigráfica Paso Español a 199–203 cm de profundidad. También publicada en Thouret <i>et al.</i> (1995a) [283]
			Se obtuvo las coordenadas del punto a partir de la georreferenciación de la Figura 3	942025	1098914	MAGNA_Colombia_Oeste	4° 04' 17,127" N	76° 11' 12,299" W	López & Audemard (2011)	163	Muestra tomada de la base del Horizonte Ap
			Se obtuvo las coordenadas del punto a partir de la descripción del sitio de muestreo (extremo noreste de la laguna de Fúquene)	1097386	1039872	MAGNA_Colombia_Bogota	5° 28' 36,310" N	73° 43' 03,718" W	van't Veer <i>et al.</i> (2000)	316	Muestra de núcleo a 521–522 cm de profundidad en el pozo Fúquene VII
									Berrio <i>et al.</i> (2002b)	45	Sondeo Quilichao–1, muestra tomada a 673 cm de profundidad en la turbera Quilichao, 30 km al sureste de Cali y al noreste de Santander de Quilichao, Cauca
				1016506	1156147	MAGNA_Colombia_Oeste	4° 44' 38,522" N	75° 40' 12,587" W	Lalinde (2004)	158	Muestra de paleosuelo no continuo dentro de una secuencia de cenizas volcánicas
			Se obtuvo las coordenadas del punto a partir de la georreferenciación de la Figura 2	976010	982988	MAGNA_Colombia_Bogota	4° 22' 45,253" N	74° 13' 50,785" W	Helmens (1988)	130	Muestra tomada a 300–320 cm de profundidad
			Se obtuvo las coordenadas del punto a partir de la georreferenciación de la Figura 1C	1207889	1108839	MAGNA_Colombia_Oeste	6° 28' 30,551" N	76° 05' 36,958" W	Velásquez & Hooghiemstra (2013)	319	Muestra tomada a 701–703 cm de profundidad
			Se obtuvo la localización aproximada de la columna estratigráfica a partir de la georreferenciación de la Figura 62	1030827	871819	MAGNA_Colombia_Bogota	4° 52' 26,324" N	75° 13' 58,992" W	Thouret <i>et al.</i> (1995b)	284	Muestra tomada en la Sección El Billar II a 361–368 cm de profundidad
			Se obtuvo la localización aproximada de la columna estratigráfica a partir de la georreferenciación de la Figura 62	1050617	860956	MAGNA_Colombia_Bogota	5° 03' 09,800" N	75° 19' 52,674" W	Thouret <i>et al.</i> (1995b)	284	Muestra tomada en la sección Letras I a 516–520 cm de profundidad
									Thouret <i>et al.</i> (1995b)	284	Muestra tomada en el perfil Romeral, páramo de Herveo a 345–350 cm de profundidad
			Se obtuvo la localización aproximada de la columna estratigráfica a partir de la georreferenciación de la Figura 62	1016769	876656	MAGNA_Colombia_Bogota	4° 44' 49,003" N	75° 11' 21,271" W	Thouret <i>et al.</i> (1995b)	284	Muestra tomada en el perfil TPN La Bodega a 95 cm de profundidad
			Se obtuvo la localización aproximada de la columna estratigráfica a partir de la georreferenciación de la Figura 62	1029823	879016	MAGNA_Colombia_Bogota	4° 51' 54,028" N	75° 10' 05,378" W	Thouret <i>et al.</i> (1995b)	284	Muestra tomada en la columna estratigráfica Libano Arriba a 125–130 cm de profundidad
			Se obtuvo las coordenadas del punto a partir de la georreferenciación de la Figura 2	971503	996326	MAGNA_Colombia_Bogota	4° 20' 18,586" N	74° 06' 38,197" W	Helmens (1988)	130	Muestra tomada a 150–165 cm de profundidad
			Se obtuvo las coordenadas del punto a partir de la georreferenciación de la Figura 5	1051458	861391	MAGNA_Colombia_Bogota	5° 03' 37,208" N	75° 19' 38,638" W	Herd (1982)	136	Muestra tomada en columna estratigráfica
			Se obtuvo la localización aproximada de la columna estratigráfica a partir de la georreferenciación de la Figura 62	1050617	860956	MAGNA_Colombia_Bogota	5° 03' 09,800" N	75° 19' 52,674" W	Thouret <i>et al.</i> (1995b)	284	Muestra tomada en columna estratigráfica Letras I a 525–529 cm de profundidad. También publicada en Thouret <i>et al.</i> (1995a) [283]
			Se obtuvo la localización aproximada de la columna estratigráfica a partir de la georreferenciación de la Figura 62	1034738	871501	MAGNA_Colombia_Bogota	4° 54' 33,608" N	75° 14' 09,513" W	Thouret <i>et al.</i> (1995b)	284	Muestra tomada en el perfil de Rosarito–rio Lagunillas a 195 cm de profundidad
			Se obtuvo la localización aproximada de la columna estratigráfica a partir de la georreferenciación de la Figura 62	1052571	865960	MAGNA_Colombia_Bogota	5° 04' 13,715" N	75° 17' 10,406" W	Thouret <i>et al.</i> (1995b)	284	Muestra tomada en la sección Letras–El Doce a 70–75 cm de profundidad
			Se obtuvo las coordenadas del punto a partir de la descripción del sitio de muestreo (extremo noreste de la laguna de Fúquene)	1097386	1039872	MAGNA_Colombia_Bogota	5° 28' 36,310" N	73° 43' 03,718" W	van't Veer <i>et al.</i> (2000)	316	Muestra de núcleo a 543–544 cm de profundidad en el pozo Fúquene VII
			Se obtuvo las coordenadas del punto a partir de la georreferenciación de la Figura 2	969909	995668	MAGNA_Colombia_Bogota	4° 19' 26,701" N	74° 06' 59,525" W	Helmens (1988)	130	Muestra tomada a 245–260 cm de profundidad
									Toro <i>et al.</i> (2001)	292	Muestra tomada en el perfil Pereira Palacio de Justicia
			Se obtuvo las coordenadas del punto a partir de la georreferenciación de la Figura 2	970088	995198	MAGNA_Colombia_Bogota	4° 19' 32,532" N	74° 07' 14,766" W	Helmens (1988)	130	Muestra tomada a 325–340 cm de profundidad
			Se obtuvo la localización aproximada de la columna estratigráfica a partir de la georreferenciación de la Figura 62	1006543	852474	MAGNA_Colombia_Bogota	4° 39' 14,804" N	75° 24' 25,163" W	Thouret <i>et al.</i> (1995b)	284	Muestra tomada en columna estratigráfica Valle Romerales a 320–325 cm de profundidad. También publicada en Thouret <i>et al.</i> (1995a) [283]
			Localización aproximada mediante la descripción del sitio de muestreo (extremo noreste de la laguna de Fúquene)	1097386	1039872	MAGNA_Colombia_Bogota	5° 28' 36,310" N	73° 43' 03,718" W	van Geel & van der Hammen (1973)	314	Muestra de núcleo a 570–576 cm de profundidad en el pozo Fúquene II
									Helmens <i>et al.</i> (1997)	133	Muestra tomada de la sección Colorado 5(b) a 6,14–6,16 m de profundidad
				952200	1049696	MAGNA_Colombia_Bogota	4° 09' 49,722" N	73° 37' 47,693" W	Robertson (2007)	250	Muestra tomada de restos de un bosque enterrado a 28 m de profundidad
			Se obtuvo la localización aproximada de la columna estratigráfica a partir de la georreferenciación de la Figura 62	1006543	852474	MAGNA_Colombia_Bogota	4° 39' 14,804" N	75° 24' 25,163" W	Thouret <i>et al.</i> (1995b)	284	Muestra tomada en columna estratigráfica valle Romerales a 320–325 cm de profundidad. También publicada en Thouret <i>et al.</i> (1995a) [283]
									Guillet & Favre (1981)	126	Tiempo promedio de residencia, muestra tomada a 120–125 cm de profundidad en el perfil Guasca 8
				1035129	972003	MAGNA_Colombia_Bogota	4° 54' 49,769" N	74° 19' 47,750" W	Helmens <i>et al.</i> (1996)	132	Muestra tomada a 191–200 cm de profundidad en la sección La Laguna
			Se obtuvo las coordenadas del punto a partir de la georreferenciación de la Figura 3	945075	1100187	MAGNA_Colombia_Oeste	4° 05' 56,368" N	76° 10' 30,928" W	López & Audemard (2011)	163	Muestra tomada de paleosuelo
			Se obtuvo las coordenadas del punto a partir de la georreferenciación de la Figura 3	942025	1098914	MAGNA_Colombia_Oeste	4° 04' 17,127" N	76° 11' 12,299" W	López & Audemard (2011)	163	Muestra tomada del tope del Horizonte Ap
			Se obtuvo las coordenadas del punto a partir de la descripción del sitio de muestreo (extremo noreste de la laguna de Fúquene)	1097386	1039872	MAGNA_Colombia_Bogota	5° 28' 36,310" N	73° 43' 03,718" W	van't Veer <i>et al.</i> (2000)	316	Muestra de núcleo a 651–652 cm de profundidad en el pozo Fúquene VII
21			Se obtuvo las coordenadas del punto a partir de la georreferenciación de la Figura 1	1157597	835142	MAGNA_Colombia_Bogota	6° 01' 09,494" N	75° 33' 59,180" W	Restrepo (1991a)	237	Los flujos de irradiación no fueron controlados con minerales de edad conocida y parece que pueden haber variaciones relativamente bruscas en el flujo de neutrones dentro del reactor
			Se obtuvo las coordenadas del punto a partir de la georreferenciación de la Figura 3A	1051673	996701	MAGNA_Colombia_Bogota	5° 03' 48,536" N	74° 06' 26,147" W	Helmens (1988)	130	Muestra tomada a 95–110 cm de profundidad

ID Datación Radiométrica	Código de la muestra	Unidad geológica	Litología	Edad años BP	Error años	Edad Ma	Error Ma	Edad grano simple menor detrítico	Edad grano simple mayor detrítico	Edad estratigráfica	Edades heredadas	Método de datación	Material analizado	Relación inicial	MSWD	P(X2) %
604	UtC-5481			18290	± 90					Pleistoceno (Q1)		Carbono-14	Arcilla lacustre			
605	Cantera de caolin		Materia orgánica	18350	± 240					Pleistoceno (Q1)		Carbono-14				
606		Cono volcánico de San Diego		18700						Pleistoceno (Q1)		U-Th	Roca total			
607	UtC-3570			18900	± 600					Pleistoceno (Q1)		Carbono-14	Macroesporas de <i>Isóetes</i>			
608	Horizonte A1B			18920	± 230					Pleistoceno (Q1)		Carbono-14	Suelo			
609	Col 1131			19160	± 110					Pleistoceno (Q1)		Carbono-14	Sedimento orgánico			
610	Col 523			19190	± 120					Pleistoceno (Q1)		Carbono-14	Sedimento lacustre			
611	GrN-15234			19370	± 190					Pleistoceno (Q1)		Carbono-14	Turba			
612	Neusa 2/2			19450	± 635					Pleistoceno (Q1)		Carbono-14	Humus filtrado			
613	Col 1085			19530	± 130					Pleistoceno (Q1)		Carbono-14	Sedimento orgánico			
614	GrA-2750	Depósito lacustre		19670	± 240					Pleistoceno (Q1)		Carbono-14	Arcilla turbosa			
615	Horizonte Bt3			19700	± 280					Pleistoceno (Q1)		Carbono-14	Suelo			
616	CPL-55			19710	± 830					Pleistoceno (Q1)		Carbono-14	Paleosuelo			
617	UtC-3571			20000	+ 700/- 600					Pleistoceno (Q1)		Carbono-14	Macroesporas de <i>Isóetes</i>			
618	Horizonte II A1			20110	± 310					Pleistoceno (Q1)		Carbono-14	Suelo			
619				20290	± 520					Pleistoceno (Q1)		Carbono-14				
620	RMM-02 B	Depósitos del volcán Machín		20445	± 210					Pleistoceno (Q1)		Carbono-14				
621	Col 116a			20575	± 190					Pleistoceno (Q1)		Carbono-14	Arcilla turbosa			
622	Col 146			21050	± 210					Pleistoceno (Q1)		Carbono-14	Arcilla negra arenosa			
623	Paleosuelo 4			21500	± 140					Pleistoceno (Q1)		Carbono-14	Paleosuelo			
624	TSF-P1			21570	± 440					Pleistoceno (Q1)		Carbono-14	Paleosuelo			
625	Neusa 5/1			21900	± 820					Pleistoceno (Q1)		Carbono-14	Carbón vegetal			
626	Paleosuelo 5			22000	± 160					Pleistoceno (Q1)		Carbono-14	Paleosuelo			
627	Col 127			22200	± 335					Pleistoceno (Q1)		Carbono-14	Arcilla lacustre			
628	JGP-10-1	Depósito de lahar del volcán Machín		22450	± 220					Pleistoceno (Q1)		Carbono-14	Carbón			
629	GrN-13992			23070	± 140					Pleistoceno (Q1)		Carbono-14	Turba			
630	Col 604		Ceniza volcánica	23090	± 270					Pleistoceno (Q1)		Carbono-14	Paleosuelo			
631	Horizonte A1B1			23550	± 280					Pleistoceno (Q1)		Carbono-14	Suelo			
632	Bogotá 13/7			23750	± 1000					Pleistoceno (Q1)		Carbono-14	Carbón vegetal			
633	Neusa 2/8			23750	+ 3350/- 2350					Pleistoceno (Q1)		Carbono-14	Humus filtrado			
634	Col 144			23850	± 280					Pleistoceno (Q1)		Carbono-14	Arcilla negra arenosa			
635	Col 145			23870	± 185					Pleistoceno (Q1)		Carbono-14	Arcilla negra arenosa			
636	Horizonte A1B2			24550	+ 1800/- 1500					Pleistoceno (Q1)		Carbono-14	Suelo			
637	Col 128			25195	± 440					Pleistoceno (Q1)		Carbono-14	Arcilla lacustre			
638	UtC-3170			26940	± 240					Pleistoceno (Q1)		Carbono-14	Paleosuelo			
639	UtC-3572			27000	+ 1400/- 1200					Pleistoceno (Q1)		Carbono-14	Macroesporas de <i>Isóetes</i>			
640	Col 1072			27200	± 270					Pleistoceno (Q1)		Carbono-14	Sedimento orgánico			
641	GrN-16344			27600	+ 2600/- 2000					Pleistoceno (Q1)		Carbono-14	Arcilla turbosa			
642	Amaime C 22/2			27800	± 500					Pleistoceno (Q1)		Carbono-14	Carbón vegetal			

Dispersión %	Número de granos analizados	Número de alicuotas	Fuente georreferenciación	Coordenada X	Coordenada Y	Sistema de coordenadas	Latitud	Longitud	Referencia	ID referencia	Comentarios
			Se obtuvo las coordenadas del punto a partir de la georreferenciación de la Figura 1	1013852	962196	MAGNA_Colombia_Este	4° 43' 16,988" N	71° 25' 05,703" W	Behling & Hooghiemstra (1999)	34	Muestra tomada a 72 cm de profundidad
									Hermelin (1982)	137	Muestra tomada en la cantera de caolin, Llanos de Ovejas en San Pedro, departamento de Antioquia
									Toro (1988)	287	No se menciona el nombre de la muestra datada
				1035129	972003	MAGNA_Colombia_Bogota	4° 54' 49,769" N	74° 19' 47,750" W	Helmens <i>et al.</i> (1996)	132	Muestra tomada a 236–239 cm de profundidad en la sección La Laguna
									Guillet <i>et al.</i> (1988)	127	Tiempo promedio de residencia, muestra tomada a 150–160 cm de profundidad
			Se obtuvo las coordenadas del punto a partir de la georreferenciación de la Figura 2	752418	1035787	MAGNA_Colombia_Oeste	2° 21' 25,904" N	76° 45' 20,749" W	Wille <i>et al.</i> (2000)	339	Muestra tomada a 311 cm de profundidad, la muestra en la publicación aparece con el número Col 1132
			Se obtuvo las coordenadas del punto a partir de la georreferenciación de la Figura 3A	1051673	996701	MAGNA_Colombia_Bogota	5° 03' 48,536" N	74° 06' 26,147" W	Helmens (1988)	130	Muestra tomada a 160–175 cm de profundidad
				700397	1113962	MAGNA_Colombia_Oeste	1° 53' 11,295" N	76° 03' 11,787" W	Bakker (1990)	21	Muestra tomada a 461–475 cm de profundidad
									Fölscher & Hetsch (1978)	104	Muestra tomada a 50–100 cm de profundidad, cerca del costado sur del lago de Neusa a 13 km al norte de Zipaquirá
			Se obtuvo las coordenadas del punto a partir de la georreferenciación de la Figura 2	752418	1035787	MAGNA_Colombia_Oeste	2° 21' 25,904" N	76° 45' 20,749" W	Wille <i>et al.</i> (2000)	339	Muestra tomada a 344 cm de profundidad
			Se obtuvo las coordenadas del punto a partir de la descripción del sitio de muestreo (extremo noreste de la laguna de Fúquene)	1097386	1039872	MAGNA_Colombia_Bogota	5° 28' 36,310" N	73° 43' 03,718" W	van't Veer <i>et al.</i> (2000)	316	Muestra de núcleo a 699–700 cm de profundidad en el pozo Fúquene VII
									Guillet & Faivre (1981)	126	Tiempo promedio de residencia, muestra tomada a 70–120 cm de profundidad en el perfil Guasca 7
				1016506	1156147	MAGNA_Colombia_Oeste	4° 44' 38,522" N	75° 40' 12,587" W	Lalinde (2004)	158	Muestra de paleosuelo tomada a 75 cm de la superficie del terreno
				1035129	972003	MAGNA_Colombia_Bogota	4° 54' 49,769" N	74° 19' 47,750" W	Helmens <i>et al.</i> (1996)	132	Muestra tomada a 326–329 cm de profundidad en la sección La Laguna
									Guillet <i>et al.</i> (1988)	127	Tiempo promedio de residencia, muestra tomada a 185–195 cm de profundidad
									Toro & Hermelin (1989)	288	Muestra tomada a 46–51 cm de profundidad en la cantera Sumicor, km 13 vía La Unión–Mesopotamia
									Méndez (2001)	188	
			Se obtuvo la localización aproximada del punto a partir de la descripción del sitio de muestreo	1097386	1039872	MAGNA_Colombia_Bogota	5° 28' 36,310" N	73° 43' 03,718" W	van Geel & van der Hammen (1973)	314	Núcleo Fúquene II, muestra tomada a 678–688 cm de profundidad
			Se obtuvo las coordenadas del punto a partir de la georreferenciación de la Figura 1	1046617	1014234	MAGNA_Colombia_Bogota	5° 01' 03,885" N	73° 56' 56,964" W	Schreve Brinkman (1978)	266	Muestra tomada a 208–213 cm de profundidad
			Se obtuvo las coordenadas del punto a partir de la georreferenciación de la Figura 3	942025	1098914	MAGNA_Colombia_Oeste	4° 04' 17,127" N	76° 11' 12,299" W	López & Audemard (2011)	163	Muestra tomada del tope del Horizonte Agr
				1020127	1140907	MAGNA_Colombia_Oeste	4° 46' 37,326" N	75° 48' 26,766" W	Lalinde (2004)	158	Muestra de paleosuelo tomada a 220–245 cm debajo de la superficie del terreno
									Fölscher & Hetsch (1978)	104	Muestra tomada a 110 cm de profundidad, cerca del costado sur del lago de Neusa a 13 km al norte de Zipaquirá
			Se obtuvo las coordenadas del punto a partir de la georreferenciación de la Figura 3	942025	1098914	MAGNA_Colombia_Oeste	4° 04' 17,127" N	76° 11' 12,299" W	López & Audemard (2011)	163	Muestra tomada del tope del Horizonte Agu
			Se obtuvo las coordenadas del punto a partir de la georreferenciación de la Figura 1	1046234	1014324	MAGNA_Colombia_Bogota	5° 00' 51,420" N	73° 56' 54,046" W	Schreve Brinkman (1978)	266	Muestra tomada a 205–222 cm de profundidad
				968283	876869	MAGNA_Colombia_Bogota	4° 18' 30,859" N	75° 11' 11,966" W	Cortés (2001)	85	
				695894	1118179	MAGNA_Colombia_Oeste	1° 50' 44,650" N	76° 00' 55,437" W	Bakker (1990)	21	Muestra tomada a 206–210 cm de profundidad
			Se obtuvo las coordenadas del punto a partir de la georreferenciación de la Figura 2	972356	986492	MAGNA_Colombia_Bogota	4° 20' 46,337" N	74° 11' 57,120" W	Helmens (1988)	130	Muestra tomada a 140–170 cm de profundidad
									Guillet <i>et al.</i> (1988)	127	Tiempo promedio de residencia, muestra tomada a 160–170 cm de profundidad
									Fölscher & Hetsch (1978)	104	Muestra tomada a 110 cm de profundidad
									Fölscher & Hetsch (1978)	104	Muestra tomada a 175–200 cm de profundidad, cerca del costado sur del lago de Neusa y a 13 km al norte de Zipaquirá
			Se obtuvo las coordenadas del punto a partir de la georreferenciación de la Figura 1	1046617	1014234	MAGNA_Colombia_Bogota	5° 01' 03,885" N	73° 56' 56,964" W	Schreve Brinkman (1978)	266	Muestra tomada a 179–185 cm de profundidad
			Se obtuvo las coordenadas del punto a partir de la georreferenciación de la Figura 1	1046617	1014234	MAGNA_Colombia_Bogota	5° 01' 03,885" N	73° 56' 56,964" W	Schreve Brinkman (1978)	266	Muestra tomada a 223–232 cm de profundidad
			Se obtuvo las coordenadas del punto a partir de la georreferenciación de la Figura 1	1046234	1014324	MAGNA_Colombia_Bogota	5° 00' 51,420" N	73° 56' 54,046" W	Schreve Brinkman (1978)	266	Muestra tomada a 229–242 cm de profundidad
				1035129	972003	MAGNA_Colombia_Bogota	4° 54' 49,769" N	74° 19' 47,750" W	Helmens <i>et al.</i> (1996)	132	Muestra tomada a 371–374 cm de profundidad en la sección La Laguna
			Se obtuvo las coordenadas del punto a partir de la georreferenciación de la Figura 2	752418	1035787	MAGNA_Colombia_Oeste	2° 21' 25,904" N	76° 45' 20,749" W	Wille <i>et al.</i> (2000)	339	Muestra tomada a 499 cm de profundidad
				1035129	972003	MAGNA_Colombia_Bogota	4° 54' 49,769" N	74° 19' 47,750" W	Helmens <i>et al.</i> (1996)	132	Muestra tomada a 441–450 cm de profundidad en la sección La Laguna
			Se obtuvo las coordenadas del punto a partir de la georreferenciación de la Figura 3	908013	1126835	MAGNA_Colombia_Oeste	3° 45' 48,945" N	75° 56' 08,744" W	Fölscher <i>et al.</i> (1977)	103	Muestra tomada a 180 cm de profundidad

ID Datación Radiométrica	Código de la muestra	Unidad geológica	Litología	Edad años BP	Error años	Edad Ma	Error Ma	Edad grano simple menor detrítico	Edad grano simple mayor detrítico	Edad estratigráfica	Edades heredadas	Método de datación	Material analizado	Relación inicial	MSWD	P(X2) %
643	Col 553 (GrN 14068)	Tefras y suelos sobre sistema morenico de río Recio		28000	+ 2100/- 1700					Pleistoceno (Q1)		Carbono-14	Carbón vegetal			
644	Col 137			28140	± 440					Pleistoceno (Q1)		Carbono-14	Limo arenoso oscuro			
645	Col 393 (GrN 12474)	Tefras y suelos de la turbera del Otoño	Humus y horizonte orgánico	29800	± 1000					Pleistoceno (Q1)		Carbono-14	Carbón vegetal			
646	Bogotá 13/12			30100	+ 2700					Pleistoceno (Q1)		Carbono-14	Carbón vegetal			
647	Horizonte IIB3			30110	+ 1000/- 900					Pleistoceno (Q1)		Carbono-14	Suelo			
648	El Cofre			30165	± 515					Pleistoceno (Q1)		Carbono-14	Madera			
649	GrA-2851	Depósito lacustre		30200	± 900					Pleistoceno (Q1)		Carbono-14	Arcilla lacustre orgánica			
650	CPL-10			30710	± 1220					Pleistoceno (Q1)		Carbono-14	Suelo			
651	GA66P-5A	Depósito de flujo piroclástico del volcán Galeras		30900	± 480					Pleistoceno (Q1)		Carbono-14	Carbón vegetal			
652	GrN-13990			31750	± 550					Pleistoceno (Q1)		Carbono-14	Turba			
653	Col 398 (GrN 12479)	Tefras y suelos de la turbera del Otoño	Turba	32300	± 450					Pleistoceno (Q1)		Carbono-14	Turba			
654	Sevilla 1/4			33050	± 1100					Pleistoceno (Q1)		Carbono-14	Carbón vegetal			
655	Barragán 1/9			33760	+ 1910/- 1430					Pleistoceno (Q1)		Carbono-14	Carbón vegetal			
656	Col 467			35550	± 950					Pleistoceno (Q1)		Carbono-14	Arcilla rica en materia orgánica			
657	Col 1132			36000	± 700					Pleistoceno (Q1)		Carbono-14	Sedimento orgánico			
658	GA56P-11	Depósito piroclástico del volcán Galeras		>36000						Pleistoceno (Q1)		Carbono-14	Carbón vegetal			
659	GA25P-5	Flujo piroclástico del volcán Galeras		>36000						Pleistoceno (Q1)		Carbono-14	Carbón vegetal			
660				37000						Pleistoceno (Q1)		Carbono-14				
661	Col 469			37700	+ 1600/- 1300					Pleistoceno (Q1)		Carbono-14	Arcilla rica en materia orgánica			
662	Llanos de Cuivá	Depósito aluvial	Ceniza volcánica	38380	+ 3820/- 2580					Pleistoceno (Q1)		Carbono-14				
663	GA26P-5	Flujo de escoria del volcán Galeras		>40000						Pleistoceno (Q1)		Carbono-14	Carbón vegetal			
664			Turba	>40000						Pleistoceno (Q1)		Carbono-14	Troncos			
665	Col 472			40200	+ 2100/- 1700					Pleistoceno (Q1)		Carbono-14	Arcilla rica en materia orgánica			
666	Col 1191			40700	+ 900/- 800					Pleistoceno (Q1)		Carbono-14	Sedimento orgánico			
667	GrN-13781			41000	+ 1400/- 1200					Pleistoceno (Q1)		Carbono-14	Turba			
668	GA21P-2	Flujo piroclástico del volcán Galeras		41300	± 1600					Pleistoceno (Q1)		Carbono-14	Carbón vegetal			
669	Col 396 (GrN 12477)	Tefras y suelos de la turbera del Otoño		42000	+ 1700/- 1400					Pleistoceno (Q1)		Carbono-14	Turba			
670	Col 397 (GrN 12478)	Tefras y suelos de la turbera del Otoño		43600	+ 2200/- 1700					Pleistoceno (Q1)		Carbono-14	Turba			
671	GrN-13991			45500	+ 2700/- 2000					Pleistoceno (Q1)		Carbono-14	Turba			
672	Col 471			>46000						Pleistoceno (Q1)		Carbono-14	Arcilla rica en materia orgánica			
673	Col 470			46200	+ 5000/- 3100					Pleistoceno (Q1)		Carbono-14	Arcilla rica en materia orgánica			
674	Col 395 (GrN 12476)	Tefras y suelos de la turbera del Otoño	Turba	>47000						Pleistoceno (Q1)		Carbono-14	Turba			
675	Col 468			>47000						Pleistoceno (Q1)		Carbono-14	Arcilla rica en materia orgánica			
676	RMM-09 A	Depósitos del volcán Machín		47100	± 2400					Pleistoceno (Q1)		Carbono-14				

Dispersión %	Número de granos analizados	Número de alicuotas	Fuente georreferenciación	Coordenada X	Coordenada Y	Sistema de coordenadas	Latitud	Longitud	Referencia	ID referencia	Comentarios
			Se obtuvo la localización aproximada de la columna estratigráfica a partir de la georreferenciación de la Figura 62	1031213	878254	MAGNA_Colombia_Bogota	4° 52' 39,250" N	75° 10' 30,175" W	Thouret <i>et al.</i> (1995b)	284	Muestra tomada a 420–425 cm de profundidad
			Se obtuvo las coordenadas del punto a partir de la georreferenciación de la Figura 1	1046482	1014253	MAGNA_Colombia_Bogota	5° 00' 59,491" N	73° 56' 56,330" W	Schreve Brinkman (1978)	266	Muestra tomada a 325–330 cm de profundidad
			Se obtuvo las coordenadas del punto a partir de la georreferenciación de la Figura 62 de Thouret <i>et al.</i> (1995b) [284]	1047284	849334	MAGNA_Colombia_Bogota	5° 01' 20,572" N	75° 26' 09,674" W	Cleef <i>et al.</i> (1995)	78	Muestra tomada en columna estratigráfica Manizales El Otoño a 390 cm de profundidad. También publicada en Thouret <i>et al.</i> (1997) [285]
									Fölster & Hetsch (1978)	104	Muestra tomada a 160 cm de profundidad
									Guillet <i>et al.</i> (1988)	127	Tiempo promedio de residencia, muestra tomada a más de 120 cm de profundidad
			Se obtuvo las coordenadas del punto a partir de la georreferenciación de la Figura 3	884977	1100066	MAGNA_Colombia_Oeste	3° 33' 20,095" N	76° 10' 36,896" W	Fölster <i>et al.</i> (1977)	103	Muestra tomada a 1200 cm de profundidad
			Se obtuvo las coordenadas del punto a partir de la descripción del sitio de muestreo (extremo noreste de la laguna de Fúquene)	1097386	1039872	MAGNA_Colombia_Bogota	5° 28' 36,310" N	73° 43' 03,718" W	van't Veer <i>et al.</i> (2000)	316	Muestra de núcleo a 898–900 cm de profundidad en el pozo Fúquene VII
				1014806	1159887	MAGNA_Colombia_Oeste	4° 43' 42,939" N	75° 38' 11,380" W	Lalinde (2004)	158	Muestra tomada de un paleosuelo a aproximadamente 7 m de la superficie del terreno
			Se obtuvo las coordenadas del punto a partir de la georreferenciación de la Figura 3	629026	972667	MAGNA_Colombia_Oeste	1° 14' 28,703" N	77° 19' 23,178" W	Banks <i>et al.</i> (1997)	23	
				695894	1118179	MAGNA_Colombia_Oeste	1° 50' 44,650" N	76° 00' 55,437" W	Bakker (1990)	21	Muestra tomada a 541–545 cm de profundidad
			Se obtuvo las coordenadas del punto a partir de la georreferenciación de la Figura 62 de Thouret <i>et al.</i> (1995b) [284]	1047284	849334	MAGNA_Colombia_Bogota	5° 01' 20,572" N	75° 26' 09,674" W	Cleef <i>et al.</i> (1995)	78	Muestra tomada en columna estratigráfica Manizales El Otoño a 365–370 cm de profundidad. También publicada en Thouret <i>et al.</i> (1997) [285]
			Se obtuvo las coordenadas del punto a partir de la georreferenciación de la Figura 3	962364	1124420	MAGNA_Colombia_Oeste	4° 15' 18,131" N	75° 57' 24,581" W	Fölster <i>et al.</i> (1977)	103	Muestra tomada a 350 cm de profundidad
			Se obtuvo las coordenadas del punto a partir de la georreferenciación de la Figura 3	940623	1139726	MAGNA_Colombia_Oeste	4° 03' 29,758" N	75° 49' 09,459" W	Fölster <i>et al.</i> (1977)	103	Muestra tomada a 170 cm de profundidad
			Se obtuvo las coordenadas del punto a partir de la georreferenciación de la Figura 1	1042658	988521	MAGNA_Colombia_Bogota	4° 58' 55,016" N	74° 10' 51,662" W	Helmens & Kuhy (1986)	129	Muestra tomada a 313–323 cm de profundidad
			Se obtuvo las coordenadas del punto a partir de la georreferenciación de la Figura 2	752418	1035787	MAGNA_Colombia_Oeste	2° 21' 25,904" N	76° 45' 20,749" W	Wille <i>et al.</i> (2000)	339	Muestra tomada a 221,5 cm de profundidad, fecha muy vieja en capa arenosa perturbada, posiblemente contaminada con material más viejo
			Se obtuvo las coordenadas del punto a partir de la georreferenciación de la Figura 3	629281	972578	MAGNA_Colombia_Oeste	1° 14' 37,006" N	77° 19' 26,041" W	Banks <i>et al.</i> (1997)	23	Muestra demasiado pequeña para conteo estadístico
			Se obtuvo las coordenadas del punto a partir de la georreferenciación de la Figura 3	631744	970932	MAGNA_Colombia_Oeste	1° 15' 57,203" N	77° 20' 19,281" W	Banks <i>et al.</i> (1997)	23	Muestra demasiado pequeña para conteo estadístico
			Se obtuvo las coordenadas del punto a partir de la georreferenciación de la Figura 1	1042658	988521	MAGNA_Colombia_Bogota	4° 58' 55,016" N	74° 10' 51,662" W	Helmens & Kuhy (1986)	129	Muestra tomada a 526–536 cm de profundidad, la edad se puede explicar por leve contaminación durante la perforación
									Hermelin (1982)	137	Muestra tomada a 195–220 cm de profundidad en Llanos de Cuivá en Santa Rosa de Osos, departamento de Antioquia
			Se obtuvo las coordenadas del punto a partir de la georreferenciación de la Figura 3	625200	974880	MAGNA_Colombia_Oeste	1° 12' 24,157" N	77° 18' 11,568" W	Banks <i>et al.</i> (1997)	23	Muestra radiogénicamente muerta
									Toro & Hermelin (1991)	289	Muestra tomada en el perfil de la quebrada La Leona, municipio de Santa Rosa de Cabal
			Se obtuvo las coordenadas del punto a partir de la georreferenciación de la Figura 1	1042658	988521	MAGNA_Colombia_Bogota	4° 58' 55,016" N	74° 10' 51,662" W	Helmens & Kuhy (1986)	129	Muestra tomada a 1238–1248 cm de profundidad, la edad se puede explicar por leve contaminación durante la perforación
			Se obtuvo las coordenadas del punto a partir de la georreferenciación de la Figura 2	752418	1035787	MAGNA_Colombia_Oeste	2° 21' 25,904" N	76° 45' 20,749" W	Wille <i>et al.</i> (2000)	339	Muestra tomada a 432 cm de profundidad, fecha muy vieja posiblemente contaminada con material más viejo
				695894	1118179	MAGNA_Colombia_Oeste	1° 50' 44,650" N	76° 00' 55,437" W	Bakker (1990)	21	Muestra tomada a 1280–1285 cm de profundidad, la edad probablemente es más joven, pero el tipo de sedimento no permite un tratamiento completo de la muestra
			Se obtuvo las coordenadas del punto a partir de la georreferenciación de la Figura 3	630969	972260	MAGNA_Colombia_Oeste	1° 15' 31,965" N	77° 19' 36,321" W	Banks <i>et al.</i> (1997)	23	
			Se obtuvo las coordenadas del punto a partir de la georreferenciación de la Figura 3	1047284	849334	MAGNA_Colombia_Bogota	5° 01' 20,572" N	75° 26' 09,674" W	Cleef <i>et al.</i> (1995)	78	Muestra tomada en columna estratigráfica Manizales El Otoño a 568–573 cm de profundidad. También publicada en Thouret <i>et al.</i> (1997) [285]
			Se obtuvo las coordenadas del punto a partir de la georreferenciación de la Figura 62 de Thouret <i>et al.</i> (1995b) [284]	1047284	849334	MAGNA_Colombia_Bogota	5° 01' 20,572" N	75° 26' 09,674" W	Cleef <i>et al.</i> (1995)	78	Muestra tomada en columna estratigráfica Manizales El Otoño a 496–501 cm de profundidad. También publicada en Thouret <i>et al.</i> (1995b) [284]
				695894	1118179	MAGNA_Colombia_Oeste	1° 50' 44,650" N	76° 00' 55,437" W	Bakker (1990)	21	Muestra tomada a 891–895 cm de profundidad
			Se obtuvo las coordenadas del punto a partir de la georreferenciación de la Figura 1	1042658	988521	MAGNA_Colombia_Bogota	4° 58' 55,016" N	74° 10' 51,662" W	Helmens & Kuhy (1986)	129	Muestra tomada a 863–873 cm de profundidad
			Se obtuvo las coordenadas del punto a partir de la georreferenciación de la Figura 1	1042658	988521	MAGNA_Colombia_Bogota	4° 58' 55,016" N	74° 10' 51,662" W	Helmens & Kuhy (1986)	129	Muestra tomada a 713–723 cm de profundidad, la edad se puede explicar por leve contaminación durante la perforación
			Se obtuvo las coordenadas del punto a partir de la georreferenciación de la Figura 62 de Thouret <i>et al.</i> (1995b) [284]	1047284	849334	MAGNA_Colombia_Bogota	5° 01' 20,572" N	75° 26' 09,674" W	Cleef <i>et al.</i> (1995)	78	Muestra tomada en columna estratigráfica Manizales El Otoño a 600–605 cm de profundidad. También publicada en Thouret <i>et al.</i> (1997) [285]
				695894	1118179	MAGNA_Colombia_Oeste	1° 50' 44,650" N	76° 00' 55,437" W	Bakker (1990)	21	Muestra tomada a 438–448 cm de profundidad. Esta edad puede ser considerada como la edad mínima de la parte subyacente de la secuencia estratigráfica
			Se obtuvo las coordenadas del punto a partir de la georreferenciación de la Figura 1	1042658	988521	MAGNA_Colombia_Bogota	4° 58' 55,016" N	74° 10' 51,662" W	Méndez (2001)	188	

ID Datación Radiométrica	Código de la muestra	Unidad geológica	Litología	Edad años BP	Error años	Edad Ma	Error Ma	Edad grano simple menor detrítico	Edad grano simple mayor detrítico	Edad estratigráfica	Edades heredadas	Método de datación	Material analizado	Relación inicial	MSWD	P(X2) %
677	Col 327 (GrN 11384)	Tefras y suelos sobre sistema morenico de río Recio	Turba	48700	+3900/-1260					Pleistoceno (Q1)		Carbono-14	Turba			
678	Col 394 (GrN 12475)	Tefras y suelos de la turbera del Otoño	Turba	>49000						Pleistoceno (Q1)		Carbono-14	Turba			
679	UtC-4962			50000	+4000/-8000					Pleistoceno (Q1)		Carbono-14	Sedimento orgánico			
680	Col 124			>50000						Pleistoceno (Q1)		Carbono-14	Arcilla turbosa con carbón vegetal			
681	Col 198			50720	+4100/-2700					Pleistoceno (Q1)		Carbono-14	Arcilla húmica oscura con turba			
682	UtC-4960			53000	+3000/-5000					Pleistoceno (Q1)		Carbono-14	Sedimento orgánico			
683	Col 328 (GrN 11385)	Tefras y suelos sobre sistema morenico de río Recio	Turba	>53000						Pleistoceno (Q1)		Carbono-14	Turba			
684	UtC-4963			>54000						Pleistoceno (Q1)		Carbono-14	Sedimento orgánico			
685	UtC-4961			56000	+4000/-9000					Pleistoceno (Q1)		Carbono-14	Sedimento organico			
686	a-318			67700	+9900/-9000					Pleistoceno (Q1)		U-Th				
687	DF-497b		Ceniza volcánica			0,092	$\pm 0,030$			Pleistoceno (Q1)		Huellas de fisión	Circón			
688	DF-497a		Ceniza volcánica			0,11	$\pm 0,045$			Pleistoceno (Q1)		Huellas de fisión	Circón			
689	CM005BR	Gabros de Aponte	Gabro hornbléndico			0,14	$\pm 4,21$			Pleistoceno (Q1)		Ar-Ar	Hornblenda			
690	CC 83-60 (F. 11291)	Flujo de lava de la sección inferior del volcán Nevado del Tolima	Dacita			0,14	$\pm 0,03$			Pleistoceno (Q1)		K-Ar	Plagioclasa			
691	Y-90	Depósito de lava del volcán Galeras				0,159	$\pm 0,021$			Pleistoceno (Q1)		Ar-Ar				
692	CC 83-167 (R. 11102)	Bloque de lava del volcán Nevado del Ruiz	Andesita			0,16	$\pm 0,07$			Pleistoceno (Q1)		K-Ar	Roca total			
693	W-87	Cono de escorias del complejo volcánico Galeras				0,166	$\pm 0,034$			Pleistoceno (Q1)		Ar-Ar				
694	HV3	Terraza aluvial del río Magdalena	Pumita			0,18	$\pm 0,14$			Pleistoceno (Q1)		Huellas de fisión EDM	Circón			88
695	COL-104	Flujo del volcán Nevado del Tolima	Dacita			<0,2				Pleistoceno (Q1)		K-Ar	Roca total			
696	COL-56	Colada basal del volcán Cumbal	Andesita			<0,2				Pleistoceno (Q1)		K-Ar	Roca total			
697	Fun II/1	Formación Sabana	Ceniza volcánica			0,2	$\pm 0,12$			Pleistoceno (Q1)		Huellas de fisión	Circón			
698	HV6	Terraza aluvial del río Magdalena	Pumita			0,2	$\pm 0,16$			Pleistoceno (Q1)		Huellas de fisión EDM	Circón			40
699	CC 86-4 (F. 12197)	Depósito de flujo piroclástico del volcán Ruiz ancestral	Andesita			0,2	$\pm 0,07$			Pleistoceno (Q1)		K-Ar	Plagioclasa			
700	CC 82-48 (R. 10228)	Lava del volcán Nevado del Ruiz	Andesita			0,2	$\pm 0,15$			Pleistoceno (Q1)		K-Ar	Roca total			
701	CC 86-3 (R. 12198)	Depósito de flujo piroclástico del volcán Nevado del Ruiz	Andesita			0,2	$\pm 0,05$			Pleistoceno (Q1)		K-Ar	Roca total			
702	CC 82-22 (F. 11286)	Flujo de lava de la sección inferior del volcán Nevado del Tolima	Dacita			0,2	$\pm 0,09$			Pleistoceno (Q1)		K-Ar	Roca total			
703	Fun II/2	Formación Sabana	Ceniza volcánica			0,26	$\pm 0,18$			Pleistoceno (Q1)		Huellas de fisión	Circón			
704	Fun II/3	Formación Sabana	Ceniza volcánica			0,27	$\pm 0,11$			Pleistoceno (Q1)		Huellas de fisión	Circón			
705	R	Lava del volcán Galeras	Toba riolítica			0,288	$\pm 0,034$			Pleistoceno (Q1)		Ar-Ar	Biotita			
706	CJ-69	Grupo Arquia	Anfibolita			0,3	$\pm 1,1$			Pleistoceno (Q1)		Ar-Ar	Biotita			
707	HV4c	Terraza aluvial del río Magdalena	Pumita			0,32	$\pm 0,26$			Pleistoceno (Q1)		Huellas de fisión EDM	Circón			72
708	Tef 4026					0,32	$\pm 0,01$			Pleistoceno (Q1)		Huellas de fisión	Circón			59
709	CC 81-10 (R. 11109)	Domo de lava de la sección superior del Nevado del Quindío	Andesita			0,33	$\pm 0,04$			Pleistoceno (Q1)		K-Ar	Roca total			

Dispersión %	Número de granos analizados	Número de alicuotas	Fuente georreferenciación	Coordenada X	Coordenada Y	Sistema de coordenadas	Latitud	Longitud	Referencia	ID referencia	Comentarios
			Se obtuvo la localización aproximada de la columna estratigráfica a partir de la georreferenciación de la Figura 62	1030827	871819	MAGNA_Colombia_Bogota	4° 52' 26,324" N	75° 13' 58,992" W	Thouret <i>et al.</i> (1995b)	284	Muestra tomada en columna estratigráfica El Billar a 305 cm de profundidad. También publicada en Thouret <i>et al.</i> (1997) [285]
			Se obtuvo las coordenadas del punto a partir de la georreferenciación de la Figura 62 de Thouret <i>et al.</i> (1995b) [284]	1047284	849334	MAGNA_Colombia_Bogota	5° 01' 20,572" N	75° 26' 09,674" W	Cleef <i>et al.</i> (1995)	78	Muestra tomada en columna estratigráfica Manizales El Otoño a 400 cm de profundidad del otro lado del río. También publicada en Thouret <i>et al.</i> (1997) [285]
			Se obtuvo las coordenadas del punto a partir de la georreferenciación de la Figura 1	765288	1051983	MAGNA_Colombia_Oeste	2° 28' 24,722" N	76° 36' 36,389" W	Behling <i>et al.</i> (1998b)	33	Muestra tomada a 550 cm de profundidad, fecha superior al rango de datación por radiocarbono
			Se obtuvo las coordenadas del punto a partir de la georreferenciación de la Figura 1	1046234	1014324	MAGNA_Colombia_Bogota	5° 00' 51,420" N	73° 56' 54,046" W	Schreve Brinkman (1978)	266	Muestra tomada a 325–350 cm de profundidad
			Se obtuvo las coordenadas del punto a partir de la georreferenciación de la Figura 1	1046504	1014288	MAGNA_Colombia_Bogota	5° 01' 00,205" N	73° 56' 55,206" W	Schreve Brinkman (1978)	266	Muestra tomada a 260–283 cm de profundidad
			Se obtuvo las coordenadas del punto a partir de la georreferenciación de la Figura 1	765288	1051983	MAGNA_Colombia_Oeste	2° 28' 24,722" N	76° 36' 36,389" W	Behling <i>et al.</i> (1998b)	33	Muestra tomada a 348 cm de profundidad, fecha superior al rango de datación por radiocarbono
			Se obtuvo la localización aproximada de la columna estratigráfica a partir de la georreferenciación de la Figura 62	1030827	871819	MAGNA_Colombia_Bogota	4° 52' 26,324" N	75° 13' 58,992" W	Thouret <i>et al.</i> (1995b)	284	Muestra tomada en columna estratigráfica El Billar a 345–347 cm de profundidad. También publicada en Thouret <i>et al.</i> (1997) [285]
			Se obtuvo las coordenadas del punto a partir de la georreferenciación de la Figura 1	765288	1051983	MAGNA_Colombia_Oeste	2° 28' 24,722" N	76° 36' 36,389" W	Behling <i>et al.</i> (1998b)	33	Muestra tomada a 690 cm de profundidad, fecha superior al rango de datación por radiocarbono
			Se obtuvo las coordenadas del punto a partir de la georreferenciación de la Figura 1	765288	1051983	MAGNA_Colombia_Oeste	2° 28' 24,722" N	76° 36' 36,389" W	Behling <i>et al.</i> (1998b)	33	Muestra tomada a 463 cm de profundidad, fecha superior al rango de datación por radiocarbono
				695894	1118179	MAGNA_Colombia_Oeste	1° 50' 44,650" N	76° 00' 55,437" W	Bakker (1990)	21	Muestra tomada a 1271–1275 cm de profundidad, desviación estándar muy alta
29			Se obtuvo las coordenadas del punto a partir de la georreferenciación de la Figura 5 de Herd (1982) [136]	1034668	873762	MAGNA_Colombia_Bogota	4° 54' 31,463" N	75° 12' 56,157" W	Herd & Naeser (1974)	135	Muestra tomada en columna estratigráfica. También publicada en Herd (1982) [136]
16			Se obtuvo las coordenadas del punto a partir de la georreferenciación de la Figura 5 de Herd (1982) [136]	1034668	873762	MAGNA_Colombia_Bogota	4° 54' 31,463" N	75° 12' 56,157" W	Herd & Naeser (1974)	135	Muestra tomada en columna estratigráfica. También publicada en Herd (1982) [136]
				648757	1011382	MAGNA_Colombia_Oeste	1° 25' 11,136" N	76° 58' 30,838" W	González (2010)	122	Edad integrada de baja confianza por contaminación atmosférica presente en la muestra
			Se obtuvo las coordenadas del punto a partir de la georreferenciación de la Figura 62 de Thouret <i>et al.</i> (1995b) [284]	1009888	860230	MAGNA_Colombia_Bogota	4° 41' 04,137" N	75° 20' 13,778" W	Thouret <i>et al.</i> (1995a)	283	
			Localización tomada de Calvache (1988) [61]	625706	974931	MAGNA_Colombia_Oeste	1° 12' 40,626" N	77° 18' 09,913" W	Calvache <i>et al.</i> (1997)	62	
			Se obtuvo las coordenadas del punto a partir de la georreferenciación de la Figura 62 de Thouret <i>et al.</i> (1995b) [284]	1034136	871521	MAGNA_Colombia_Bogota	4° 54' 13,995" N	75° 14' 08,837" W	Thouret <i>et al.</i> (1990)	282	También publicada en Thouret (1989) [281]
			Localización tomada de Calvache (1988) [61]	617905	959631	MAGNA_Colombia_Oeste	1° 08' 26,621" N	77° 26' 24,774" W	Calvache <i>et al.</i> (1997)	62	
20									Gómez <i>et al.</i> (2003)	115	Edad central
									OLADE <i>et al.</i> (1995)	204	
			Se obtuvo las coordenadas del punto a partir de la georreferenciación del «Mapa de ubicación de muestras de roca» de Ramírez (1982) [225]	593509	917272	MAGNA_Colombia_Oeste	0° 55' 12,129" N	77° 49' 14,676" W	OLADE <i>et al.</i> (1995)	204	También publicada en Ramírez (1982) [225]
13			Se obtuvo las coordenadas del pozo Funza-II a partir de la georreferenciación de la Figura 9	1015872	981928	MAGNA_Colombia_Bogota	4° 44' 22,971" N	74° 14' 25,459" W	Andriessen <i>et al.</i> (1993)	14	Pozo Funza-II, muestra tomada a 67,76 m
12									Gómez <i>et al.</i> (2003)	115	Edad central
				1038053	846288	MAGNA_Colombia_Bogota	4° 56' 19,941" N	75° 27' 47,897" W	Thouret <i>et al.</i> (1990)	282	
				1031589	851822	MAGNA_Colombia_Bogota	4° 52' 49,929" N	75° 24' 47,900" W	Thouret <i>et al.</i> (1990)	282	También publicada en Thouret (1989) [281] y Thouret <i>et al.</i> (1985) [280]
				1038053	846288	MAGNA_Colombia_Bogota	4° 56' 19,941" N	75° 27' 47,897" W	Thouret <i>et al.</i> (1990)	282	
			Se obtuvo las coordenadas del punto a partir de la georreferenciación de la Figura 62 de Thouret <i>et al.</i> (1995b) [284]	1012010	860351	MAGNA_Colombia_Bogota	4° 42' 13,224" N	75° 20' 09,982" W	Thouret <i>et al.</i> (1995a)	283	
10			Se obtuvo las coordenadas del pozo Funza-II a partir de la georreferenciación de la Figura 9	1015872	981928	MAGNA_Colombia_Bogota	4° 44' 22,971" N	74° 14' 25,459" W	Andriessen <i>et al.</i> (1993)	14	Pozo Funza-II, muestra tomada a 239 m
15			Se obtuvo las coordenadas del pozo Funza-II a partir de la georreferenciación de la Figura 9	1015872	981928	MAGNA_Colombia_Bogota	4° 44' 22,971" N	74° 14' 25,459" W	Andriessen <i>et al.</i> (1993)	14	Pozo Funza-II, muestra tomada a 250,66 m
			Se obtuvo las coordenadas del punto a partir de la georreferenciación de la Figura 2	615449	962376	MAGNA_Colombia_Oeste	1° 07' 06,672" N	77° 24' 55,978" W	Goff <i>et al.</i> (1994)	113	
			Se obtuvo las coordenadas del punto a partir de la georreferenciación del Anexo 1	1106642	1166080	MAGNA_Colombia_Oeste	5° 33' 31,188" N	75° 34' 43,495" W	Vinasco (2001)	329	Edad integrada, espectro con alto error asociado y geometría compleja
11									Gómez <i>et al.</i> (2003)	115	Edad central
<1	4								Silva (1999)	272	Muestra tomada en depósitos de cenizas recientes
				1014995	852714	MAGNA_Colombia_Bogota	4° 43' 49,919" N	75° 24' 17,924" W	Thouret <i>et al.</i> (1990)	282	También publicada en Thouret (1989) [281]

ID Datación Radiométrica	Código de la muestra	Unidad geológica	Litología	Edad años BP	Error años	Edad Ma	Error Ma	Edad grano simple menor detrítico	Edad grano simple mayor detrítico	Edad estratigráfica	Edades heredadas	Método de datación	Material analizado	Relación inicial	MSWD	P(X2) %
710	COL-97	Flujo de lava andesítica del volcán Huila	Andesita			0,34				Pleistoceno (Q1)		K-Ar				
711	41	Formación El Llano, Miembro Buta	Toba			0,35	± 0,07			Pleistoceno (Q1)		Huellas de fisión	Circón			
712	3005 (P1)	Unidad volcánica sur	Tefra			0,35	± 0,05			Pleistoceno (Q1)		Huellas de fisión	Circón			35
713	CC 87-41 (F. 12202)	Flujo de lava de la sección superior del volcán Nevado del Tolima	Andesita			0,37	± 0,10			Pleistoceno (Q1)		K-Ar	Plagioclasa			
714	3167	Unidad volcánica sur	Tefra			0,38	± 0,06			Pleistoceno (Q1)		Huellas de fisión	Circón			62
715	Funza-17		Capa de ceniza volcánica			0,39				Pleistoceno (Q1)		Huellas de fisión	Circón			
716	WR-171	Pórfidos de Río Dulce	Pórfido diorítico			0,4	± 0,1			Pleistoceno (Q1)	ca. 65 y 90–80, 25–20 y 3 Ma	U-Pb LA-MC-ICP-MS	Circón			
717	COL-52	Flujo de lava basal del volcán Azufral	Andesita			0,4	± 0,2			Pleistoceno (Q1)		K-Ar	Roca total			
718	CC 83-147 (F. 11290)	Flujo de lava de la sección superior del volcán Nevado del Tolima	Dacita			0,4	± 0,07			Pleistoceno (Q1)		K-Ar	Plagioclasa			
719	tflc	Terraza aluvial				0,44	± 0,09			Pleistoceno (Q1)		Huellas de fisión	Circón			42
720	Funza-8		Capa de ceniza volcánica			0,45				Pleistoceno (Q1)		Huellas de fisión	Circón			
721	Funza-5		Capa de ceniza volcánica			0,47				Pleistoceno (Q1)		Huellas de fisión	Circón			
722	CC 82-34 (R. 10231)		Andesita			0,5	± 0,07			Pleistoceno (Q1)		K-Ar	Roca total			
723	PKSW 043b	Formación Popayán	Matriz de flujo de ceniza			0,5	± 1,1			Pleistoceno (Q1)		Ar-Ar	Anfíbol			
724	COL-90	Lava del volcán Sotará	Dacita			0,52	± 0,03			Pleistoceno (Q1)		K-Ar	Roca total			
725	Fun II/4	Formación Sabana	Ceniza volcánica			0,53	± 0,15			Pleistoceno (Q1)		Huellas de fisión	Circón			
726	Funza-18		Capa de ceniza volcánica			0,53				Pleistoceno (Q1)		Huellas de fisión	Circón			
727	Cat-3	Depósito de flujo piroclástico del volcán Galeras				0,56	± 0,040			Pleistoceno (Q1)		Ar-Ar				
728	Funza-7		Capa de ceniza volcánica			0,56				Pleistoceno (Q1)		Huellas de fisión	Circón			
729	CH-ZS-MP-01 0	Formación Condoto				0,57	± 1,01			Pleistoceno (Q1)		U-Th/He	Apatito			
730	Coladas de lava	Depósito piroclástico del volcán Azufral				0,58	± 0,03			Pleistoceno (Q1)		K-Ar	Lava			
731	COL-89	Volcán Sotará	Riolita			0,58	± 0,06			Pleistoceno (Q1)		K-Ar	Roca total			
732	COL-36	Colada de lava antigua del volcán Puracé	Andesita			0,59	± 0,02			Pleistoceno (Q1)		K-Ar	Roca total			
733	tef97 (P1)	Unidad volcánica sur	Tefra			0,59	± 0,06			Pleistoceno (Q1)		Huellas de fisión	Circón			20
734	Y-131	Depósito de lava del volcán Galeras				0,6	± 0,050			Pleistoceno (Q1)		Ar-Ar				
735	B-2731	Depósito aluvial	Depósito volcanoclastico			0,6	± 0,1			Pleistoceno (Q1)		K-Ar	Roca total			
736	Funza-1538		Capa de ceniza volcánica			0,64	± 1,03			Pleistoceno (Q1)		K-Ar	Biotita			
737	TO4 G2-046	Formación Cascajal	Arenita			0,67	± 0,09			Pleistoceno (Q1)		U-Th/He	Apatito			
738	CC 82-2 (R. 10234)	Flujo de lava de la sección inferior del volcán Nevado de Santa Isabel	Andesita			0,68	± 0,15			Pleistoceno (Q1)		K-Ar	Roca total			
739	CC 82-92 (R. 11106)	Flujo de lava de la sección media del volcán Nevado del Tolima	Dacita			0,68	± 0,15			Pleistoceno (Q1)		K-Ar	Roca total			
740	A	Lava del volcán Galeras	Flujo de andesita			0,686	± 0,012			Pleistoceno (Q1)		Ar-Ar	Olivino			
741	Patía 27-Ra-002					0,7	± 0,16			Pleistoceno (Q1)		Ar-Ar			0,55	

Dispersión %	Número de granos analizados	Número de alicuotas	Fuente georreferenciación	Coordenada X	Coordenada Y	Sistema de coordenadas	Latitud	Longitud	Referencia	ID referencia	Comentarios
									OLADE <i>et al.</i> (1995)	204	
	2		Se obtuvo las coordenadas del punto a partir de la georreferenciación de la Figura 1	1218622	1140716	MAGNA_Colombia_Oeste	6° 34' 17,555" N	75° 48' 18,826" W	Restrepo (1991a)	237	Edad preliminar, sólo dos circones. Los flujos de irradiación no fueron controlados con minerales de edad conocida y parece que pueden haber variaciones relativamente bruscas en el flujo de neutrones dentro del reactor
12	9								Toro <i>et al.</i> (2006)	294	Edad central de población 1
				1000232	861010	MAGNA_Colombia_Bogota	4° 35' 49,899" N	75° 19' 47,937" W	Thouret <i>et al.</i> (1990)	282	En Thouret <i>et al.</i> (1990) [282] el material analizado en esta muestra es roca total y no plagioclasa
<1	14								Toro (1999)	290	Edad central de población
									Hooghiemstra (1984)	138	Muestra de núcleo a 77,77 cm de profundidad en el pozo Funza, muestra rechazada. La localización (4° 50' N, 74° 12' W) reportada por el autor no coincide con el lugar de muestreo
				1113296	890220	MAGNA_Colombia_Bogota	5° 37' 11,600" N	75° 04' 06,100" W	Leal Mejia (2011)	160	Interpretada como la edad de cristalización magmática
			Se obtuvo las coordenadas del punto a partir de la georreferenciación del «Mapa de ubicación de muestras de roca» de Ramírez (1982) [225]	611476	920227	MAGNA_Colombia_Oeste	1° 04' 57,085" N	77° 47' 39,234" W	OLADE <i>et al.</i> (1995)	204	También publicada en Ramírez (1982) [225]
				1001160	857312	MAGNA_Colombia_Bogota	4° 36' 19,905" N	75° 21' 47,940" W	Thouret <i>et al.</i> (1995a)	283	
<1	8								Toro <i>et al.</i> (2006)	294	Edad central de población 1
									Hooghiemstra (1984)	138	Muestra de núcleo a 41,18 cm de profundidad en el pozo Funza. Edad mínima 0,384 Ma y edad máxima 0,512 Ma. La localización (4° 50' N, 74° 12' W) reportada por el autor no coincide con el lugar de muestreo.
									Hooghiemstra (1984)	138	Muestra de núcleo a 39,62 cm de profundidad en el pozo Funza. Edad mínima 0,366 Ma y edad máxima 0,577 Ma. La localización (4° 50' N, 74° 12' W) reportada por el autor no coincide con el lugar de muestreo
				1023303	847182	MAGNA_Colombia_Bogota	4° 48' 19,932" N	75° 27' 17,918" W	Thouret <i>et al.</i> (1990)	282	También publicada en Thouret (1989) [281] y Thouret <i>et al.</i> (1985) [280]. Dique del pico páramo de Santa Rosa
									Torres (2010)	296	Edad integrada, la concentración de los anfiboles es muy baja. Muestra tomada en la quebrada Sombrerillo en el municipio de Morales, departamento del Cauca
			Se obtuvo las coordenadas del punto a partir de la georreferenciación del Anexo 4 de OLADE <i>et al.</i> (1995) [204]	735427	1056655	MAGNA_Colombia_Oeste	2° 12' 12,547" N	76° 34' 05,534" W	OLADE <i>et al.</i> (1995)	204	
16			Se obtuvo las coordenadas del pozo Funza-II a partir de la georreferenciación de la Figura 9	1015872	981928	MAGNA_Colombia_Bogota	4° 44' 22,971" N	74° 14' 25,459" W	Andriessen <i>et al.</i> (1993)	14	Pozo Funza-II, muestra tomada a 270,6 m
			Localización tomada de Calvache (1988) [61]	621206	976281	MAGNA_Colombia_Oeste	1° 10' 14,123" N	77° 17' 26,232" W	Calvache <i>et al.</i> (1997)	62	
									Hooghiemstra (1984)	138	Muestra de núcleo a 40,23 cm de profundidad en el pozo Funza; edad mínima 0,482 Ma y edad máxima 0,643 Ma. La localización (4° 50' N, 74° 12' W) reportada por el autor no coincide con el lugar de muestreo
1	1		Se tomaron las coordenadas listadas en los anexos que se diferencian varios metros con respecto a las reportadas en el informe final	1044920	1048332	MAGNA_Colombia_Oeste	5° 00' 08,169" N	76° 38' 30,087" W	Agencia Nacional de Hidrocarburos & Universidad de Caldas (2011b)	4	Edad corregida, muestra de un núcleo de perforación del pozo Chocó-1 ST-P
									Bechon & Monsalve (1991)	30	Muestra tomada en la carretera El Espino–Piedrancha, municipio de Piedrancha en el departamento del Nariño
			Se obtuvo las coordenadas del punto a partir de la georreferenciación del Anexo 4 de OLADE <i>et al.</i> (1995) [204]	735879	1057814	MAGNA_Colombia_Oeste	2° 12' 27,236" N	76° 33' 27,995" W	OLADE <i>et al.</i> (1995)	204	
			Se obtuvo las coordenadas del punto a partir de la georreferenciación del «Mapa de ubicación de muestras de roca»	756309	1065192	MAGNA_Colombia_Oeste	2° 23' 32,250" N	76° 29' 28,971" W	Ramírez (1982)	225	Edad promedio
22	22								Toro (1999)	290	Edad central de población
			Localización tomada de Calvache (1988) [61]	631331	961806	MAGNA_Colombia_Oeste	1° 15' 43,705" N	77° 25' 14,485" W	Calvache <i>et al.</i> (1997)	62	
									van Houten (1976)	315	
									Hooghiemstra (1984)	138	Edad mínima, muestra de núcleo a 293,80 cm de profundidad en el pozo Funza con dificultades experimentales, gas de argón excesivo, muestra rechazada. La localización (4° 50' N, 74° 12' W) reportada por el autor no coincide con el lugar de muestreo
1	3			694243	1149874	MAGNA_Colombia_Oeste	1° 49' 50,195" N	78° 43' 50,194" W	Agencia Nacional de Hidrocarburos & Universidad de Caldas (2011a)	3	Muestra de ripios recuperados del pozo Remolinogrande-I
				1016816	864739	MAGNA_Colombia_Bogota	4° 44' 49,901" N	75° 17' 47,906" W	Thouret <i>et al.</i> (1990)	282	También publicada en Thouret <i>et al.</i> (1985) [280] y en Thouret (1989) [281] con código de muestra R. 10230 CC 82-2
				998421	860082	MAGNA_Colombia_Bogota	4° 34' 50,900" N	75° 20' 17,941" W	Thouret <i>et al.</i> (1995a)	283	
			Se obtuvo las coordenadas del punto a partir de la georreferenciación de la Figura 2	633549	961780	MAGNA_Colombia_Oeste	1° 16' 55,933" N	77° 25' 15,325" W	Goff <i>et al.</i> (1994)	113	
			Se tomaron las coordenadas listadas en los anexos que se diferencian varios metros con respecto a las reportadas en el informe final	686668	990810	MAGNA_Colombia_Oeste	1° 45' 45,408" N	77° 09' 36,370" W	Agencia Nacional de Hidrocarburos & Universidad de Caldas (2011b)	4	Edad de isócrona inversa, muestra de un núcleo de perforación del pozo Patía 27

ID Datación Radiométrica	Código de la muestra	Unidad geológica	Litología	Edad años BP	Error años	Edad Ma	Error Ma	Edad grano simple menor detrítico	Edad grano simple mayor detrítico	Edad estratigráfica	Edades heredadas	Método de datación	Material analizado	Relación inicial	MSWD	P(X2) %
742	MW 101	Depósito de terraza del río Magdalena	Clasto de pumita			0,7	$\pm 0,3$			Pleistoceno (Q1)		K-Ar	Hornblenda			
743	Y-62	Depósito de lava del volcán Galeras				0,716	$\pm 0,060$			Pleistoceno (Q1)		Ar-Ar				
744	CC 82-4 (R. 10224)	Flujo de lava de la sección inferior del volcán Nevado de Santa Isabel	Andesita			0,76	$\pm 0,05$			Pleistoceno (Q1)		K-Ar	Roca total			
745	Funza-1321		Capa de ceniza volcánica			0,77	$\pm 0,46$			Pleistoceno (Q1)		K-Ar	Biotita			
746	3007	Depósito lacustre				0,78	$\pm 0,07$			Pleistoceno (Q1)		Huellas de fisión	Circón		55	
747	Funza-20		Capa de ceniza volcánica			0,79				Pleistoceno (Q1)		Huellas de fisión	Circón			
748	Y-109	Depósito de lava del volcán Galeras				0,793	$\pm 0,020$			Pleistoceno (Q1)		Ar-Ar				
749	MW 100	Depósito de terraza del río Magdalena	Clasto de pumita			0,8	$\pm 0,3$			Pleistoceno (Q1)		K-Ar	Hornblenda			
750	SJ-3	Formación Brechas de Buenavista	Arenita			0,8	$\pm 0,3$			Pleistoceno (Q1)		Huellas de fisión EDM	Apatito		97,7	
751	Patia 27-Ra-002					0,81	$\pm 0,15$			Pleistoceno (Q1)		Ar-Ar				
752	Patia 27-Ra-002					0,87	$\pm 0,23$			Pleistoceno (Q1)		Ar-Ar				
753	tf10a	Depósito lacustre				0,90	$\pm 0,14$			Pleistoceno (Q1)		Huellas de fisión	Circón		39	
754	MW 549	Depósito de terraza del río Páez	Clasto de pumita			0,9	$\pm 0,2$			Pleistoceno (Q1)		K-Ar	Biotita			
755	HUMEA		Granito			0,9	$\pm 0,2$			Pleistoceno (Q1)		Huellas de fisión EDM	Apatito		86,6	
756	CC 84-8 (R. 11108)	Andesita del volcán Cerro Bravo	Andesita			0,92	$\pm 0,06$			Pleistoceno (Q1)		K-Ar	Roca total			
757	M1-MP-009	Formación Angostura	Arenita			0,94	$\pm 0,70$			Pleistoceno (Q1)		U-Th/He	Apatito			
758	CC 86-6 (F. 12200)	Lava del volcán Nevado del Ruiz	Andesita			0,97	$\pm 0,04$			Pleistoceno (Q1)		K-Ar	Plagioclasa			
759	Funza-22		Capa de ceniza volcánica			0,99	$\pm 0,08$			Pleistoceno (Q1)		Huellas de fisión	Circón			
760	3005 (P2)	Unidad volcánica sur	Tefra			0,99	$\pm 0,12$			Pleistoceno (Q1)		Huellas de fisión	Circón		97	
761	MW 430	Depósito de terraza del río Páez	Clasto de pumita			<1				Pleistoceno (Q1)		K-Ar	Hornblenda			
762	MW 442	Depósito de terraza del río Páez	Clasto de pumita			<1				Pleistoceno (Q1)		K-Ar	Hornblenda			
763	12033321	Pórfidos de Río Dulce	Pórfido diorítico			1	$\pm 0,1$			Pleistoceno (Q1)		U-Pb LA-MC-ICP-MS	Circón			
764	12040789	Pórfidos de Río Dulce	Pórfido cuarzodiorítico			1	$\pm 0,2$			Pleistoceno (Q1)	ca. 60-55 Ma	U-Pb LA-MC-ICP-MS	Circón			
765	CC 81-2 (F. 11287)	Lava del volcán Nevado del Ruiz	Andesita			1	$\pm 0,15$			Pleistoceno (Q1)		K-Ar	Roca total			
766	CC 82-10 (R. 11103)	Flujo de lava de la sección inferior del volcán Nevado del Tolima	Andesita			1	$\pm 0,05$			Pleistoceno (Q1)		K-Ar	Roca total			
767	Fun II/7	Formación Subachoque	Ceniza volcánica			1,01	$\pm 0,21$			Pleistoceno (Q1)		Huellas de fisión	Circón			
768	Fun II/5	Formación Subachoque	Ceniza volcánica			1,02	$\pm 0,23$			Pleistoceno (Q1)		Huellas de fisión	Circón			
769	T39	Intrusivo de Tatamá				1,04	$\pm 0,48$			Pleistoceno (Q1)		U-Th/He	Apatito			
770	Funza-79		Capa de ceniza volcánica			1,05	$\pm 0,35$			Pleistoceno (Q1)		K-Ar	Vidrio			
771	CC 82-54 (R. 10227)	Lava del volcán Nevado del Ruiz	Andesita			1,05	$\pm 0,08$			Pleistoceno (Q1)		K-Ar	Roca total			
772	3007	Depósito lacustre				1,05	$\pm 0,11$			Pleistoceno (Q1)		Huellas de fisión	Circón		<1	
773	tf1b	Depósito de terraza				1,06	$\pm 0,19$			Pleistoceno (Q1)		Huellas de fisión	Circón		72	
774	COL-7	Colada escoriácea del volcán Galeras	Andesita			1,1	$\pm 0,11$			Pleistoceno (Q1)		K-Ar	Roca total			

Dispersión %	Número de granos analizados	Número de alicuotas	Fuente georreferenciación	Coordenada X	Coordenada Y	Sistema de coordenadas	Latitud	Longitud	Referencia	ID referencia	Comentarios
			Se obtuvo las coordenadas del punto a partir de la georreferenciación del Apéndice 1. El punto se ubicó en la mitad de la linea que representa la sección estratigráfica RSHG	764447	837087	MAGNA_Colombia_Bogota	2° 27' 54,736" N	75° 32' 31,805" W	van der Wiel <i>et al.</i> (1991)	311	
			Localización tomada de Calvache (1988) [61]	617005	960881	MAGNA_Colombia_Oeste	1° 07' 57,326" N	77° 25' 44,338" W	Calvache <i>et al.</i> (1997)	62	
				1015480	863654	MAGNA_Colombia_Bogota	4° 44' 06,345" N	75° 18' 23,036" W	Thouret <i>et al.</i> (1990)	282	También publicada en Thouret <i>et al.</i> (1985) [280] y en Thouret (1989) [281] donde la localización difiere en la latitud (4° 44' 30" N)
									Hooghiemstra (1984)	138	Muestra rechazada de núcleo a 272,03 cm de profundidad en el pozo Funza con dificultades experimentales, descarga de microondas, la localización (4° 50' N, 74° 12' W) reportada por el autor no coincide con el lugar de muestreo
<1	13								Toro <i>et al.</i> (2006)	294	Edad central de población 1
									Hooghiemstra (1984)	138	Muestra de núcleo a 80,15 cm de profundidad en el pozo Funza. La localización (4° 50' N, 74° 12' W) reportada por el autor no coincide con el lugar de muestreo
			Localización tomada de Calvache (1988) [61]	620306	967706	MAGNA_Colombia_Oeste	1° 09' 44,792" N	77° 22' 03,594" W	Calvache <i>et al.</i> (1997)	62	
			Se obtuvo las coordenadas del punto a partir de la georreferenciación del Apéndice 1. El punto se ubicó en la mitad de la linea que representa la sección estratigráfica RSHG	764447	837087	MAGNA_Colombia_Bogota	2° 27' 54,736" N	75° 32' 31,805" W	van der Wiel <i>et al.</i> (1991)	311	
30				988811	1046668	MAGNA_Colombia_Bogota	4° 29' 41,640" N	73° 39' 25,200" W	Mora <i>et al.</i> (2008)	194	Los autores concluyen que 3-5 km de roca fueron exhumados de la sección estudiada en los últimos 3 Ma
			Se tomaron las coordenadas listadas en los anexos que se diferencian varios metros con respecto a las reportadas en el informe final	686668	990810	MAGNA_Colombia_Oeste	1° 45' 45,408" N	77° 09' 36,370" W	Agencia Nacional de Hidrocarburos & Universidad de Caldas (2011b)	4	Edad de meseta media ponderada, muestra de un núcleo de perforación del pozo Patía 27
			Se tomaron las coordenadas listadas en los anexos que se diferencian varios metros con respecto a las reportadas en el informe final	686668	990810	MAGNA_Colombia_Oeste	1° 45' 45,408" N	77° 09' 36,370" W	Agencia Nacional de Hidrocarburos & Universidad de Caldas (2011b)	4	Edad de fusión total, muestra de un núcleo de perforación del pozo Patía 27
17	9								Toro <i>et al.</i> (2006)	294	Edad central de población 1
			Se obtuvo las coordenadas del punto a partir de la georreferenciación de la Figura 51	761442	1155633	MAGNA_Colombia_Oeste	2° 26' 17,186" N	75° 40' 41,927" W	van der Wiel (1991)	309	
30				987315	1057712	MAGNA_Colombia_Bogota	4° 28' 52,680" N	73° 33' 27,000" W	Mora <i>et al.</i> (2008)	194	Los autores concluyen que 3-5 km de roca fueron exhumados de la sección estudiada en los últimos 3 Ma
				1055538	861115	MAGNA_Colombia_Bogota	5° 05' 49,984" N	75° 19' 47,828" W	Thouret <i>et al.</i> (1990)	282	También publicada en Thouret (1989) [281]
1	2			688492	847272	MAGNA_Colombia_Oeste	1° 46' 42,940" N	78° 27' 00,036" W	Agencia Nacional de Hidrocarburos & Universidad de Caldas (2011a)	3	Muestra de ripios recuperados del pozo Majagua-I
				1042620	868486	MAGNA_Colombia_Bogota	4° 58' 49,976" N	75° 15' 47,823" W	Thouret <i>et al.</i> (1990)	282	
									Hooghiemstra (1984)	138	Muestra de núcleo a 87,63 cm de profundidad en el pozo Funza, edad de población 1,048 y 0,939 Ma. La localización (4° 50' N, 74° 12' W) reportada por el autor no coincide con el lugar de muestreo
<1	6								Toro <i>et al.</i> (2006)	294	Edad central de población 2
			Se obtuvo las coordenadas del punto a partir de la georreferenciación de la Figura 51	765738	1138264	MAGNA_Colombia_Oeste	2° 28' 37,569" N	75° 50' 03,874" W	van der Wiel (1991)	309	
			Se obtuvo las coordenadas del punto a partir de la georreferenciación de la Figura 51	765814	1150604	MAGNA_Colombia_Oeste	2° 28' 39,651" N	75° 43' 24,520" W	van der Wiel (1991)	309	
				1109786	883790	MAGNA_Colombia_Bogota	5° 35' 17,000" N	75° 07' 34,800" W	Leal Mejia (2011)	160	Interpretada como la edad de cristalización magmática
				1109883	880989	MAGNA_Colombia_Bogota	5° 35' 20,000" N	75° 09' 05,800" W	Leal Mejia (2011)	160	Interpretada como la edad de cristalización magmática
			Se obtuvo las coordenadas del punto a partir de la georreferenciación de la Figura 62 de Thouret <i>et al.</i> (1995b) [284]	1024991	873249	MAGNA_Colombia_Bogota	4° 49' 16,453" N	75° 13' 12,276" W	Thouret <i>et al.</i> (1990)	282	También publicada en Thouret (1989) [281]
			Se obtuvo las coordenadas del punto a partir de la georreferenciación de la Figura 62 de Thouret <i>et al.</i> (1995b) [284]	1012433	863474	MAGNA_Colombia_Bogota	4° 42' 27,168" N	75° 18' 28,693" W	Thouret <i>et al.</i> (1995a)	283	
15			Se obtuvo las coordenadas del pozo Funza-II a partir de la georreferenciación de la Figura 9	1015872	981928	MAGNA_Colombia_Bogota	4° 44' 22,971" N	74° 14' 25,459" W	Andriessen <i>et al.</i> (1993)	14	Pozo Funza-II, muestra tomada a 322,5 m
15			Se obtuvo las coordenadas del pozo Funza-II a partir de la georreferenciación de la Figura 9	1015872	981928	MAGNA_Colombia_Bogota	4° 44' 22,971" N	74° 14' 25,459" W	Andriessen <i>et al.</i> (1993)	14	Pozo Funza-II, muestra tomada a 298,42 m
1	3								Agencia Nacional de Hidrocarburos & Universidad de Caldas (2011b)	4	Edad corregida. Las coordenadas reportadas (1 566 810 m.N. y 1 114 980 m.E.) no coinciden con la unidad
									Hooghiemstra (1984)	138	Muestra rechazada de núcleo a 39,62 cm de profundidad en el pozo Funza; argón en exceso. La localización (4° 50' N, 74° 12' W) reportada por el autor no coincide con el lugar de muestreo
				1046978	857894	MAGNA_Colombia_Bogota	5° 01' 11,170" N	75° 21' 31,839" W	Thouret <i>et al.</i> (1990)	282	También publicada en Thouret (1989) [281] y Thouret <i>et al.</i> (1985) [280]
34	19								Toro <i>et al.</i> (2006)	294	Edad central
<1	4								Toro <i>et al.</i> (2006)	294	Edad central
			Se obtuvo las coordenadas del punto a partir de la georreferenciación del «Mapa de ubicación de muestras de roca»	624510	974198	MAGNA_Colombia_Oeste	1° 12' 01,707" N	77° 18' 33,632" W	Ramírez (1982)	225	Edad promedio

ID Datación Radiométrica	Código de la muestra	Unidad geológica	Litología	Edad años BP	Error años	Edad Ma	Error Ma	Edad grano simple menor detrítico	Edad grano simple mayor detrítico	Edad estratigráfica	Edades heredadas	Método de datación	Material analizado	Relación inicial	MSWD	P(X2) %
775	MW 548	Depósito de terraza del río Páez	Clasto de pumita			1,1	± 0,2			Pleistoceno (Q1)		K–Ar	Biotita			
776	F-2728	Fanglomerado de Lérida	Depósito volcanoclastico			1,1	± 0,1			Pleistoceno (Q1)		K–Ar	Plagioclasa			
777	G05-G1-038	Formaciones Tasca–Playa Palmeras	Arenita			1,11	± 0,07			Pleistoceno (Q1)		U–Th/He	Apatito			
778	Funza-154		Capa de ceniza volcánica			1,19	± 0,31			Pleistoceno (Q1)			Huellas de fisión	Circón		
779	WR-65	Pórfidos de Río Dulce	Pórfido granodiorítico			1,2	± 0,1			Pleistoceno (Q1)	ca. 60–55 y 75 Ma	U–Pb LA–MC–ICP–MS	Circón			
780	CC 83–753 (F. 11110)	Cuello volcánico de Villamaría Terciales	Andesita basáltica			1,2	± 0,08			Pleistoceno (Q1)		K–Ar	Roca total			
781	CC 82–62 (R. 10225)	Lava del volcán Nevado del Ruiz	Andesita			1,2	± 0,2			Pleistoceno (Q1)		K–Ar	Roca total			
782	SJ-2a	Formación Lutitas de Macanal	Arenita			1,2	± 0,4			Pleistoceno (Q1)			Huellas de fisión EDM	Apatito		54,5
783	53	Depósito aluvial	Arenas			1,24	± 0,25			Pleistoceno (Q1)			Huellas de fisión	Circón		
784	CC 82–57 (F. 11289)	Lava del volcán Nevado del Ruiz	Andesita			1,25	± 0,10			Pleistoceno (Q1)		K–Ar	Roca total			
785	3164	Unidad volcánica sur	Tefra			1,28	± 0,21			Pleistoceno (Q1)			Huellas de fisión	Circón		67
786	80	Depósito aluvial del río Negro	Arenas			1,28	± 0,26			Pleistoceno (Q1)			Huellas de fisión	Circón		
787	CC 83–137 (F. 12211)	Flujo de lava de la sección inferior del volcán Nevado del Tolima	Andesita basáltica			1,29	± 0,10			Pleistoceno (Q1)		K–Ar	Plagioclasa			
788	JB-361	Facies porfiríticas intruyendo al Pórfido de Suarez	Pórfido granodiorítico			1,3	± 0,1			Pleistoceno (Q1)	ca. 60–50 Ma	U–Pb LA–MC–ICP–MS	Circón			
789	CC 83–134 (F. 12210)	Flujo de lava de la sección inferior del volcán Nevado del Tolima	Andesita basáltica			1,3	± 0,15			Pleistoceno (Q1)		K–Ar	Plagioclasa			
790	B-2726	Abanico del Espinal	Depósito volcanoclastico			1,3	± 0,2			Pleistoceno (Q1)		K–Ar	Roca total			
791	Funza-30		Capa de ceniza volcánica			1,34	± 0,39			Pleistoceno (Q1)			Huellas de fisión	Circón		
792	PKSW 080a	Ignimbritas de la quebrada Sombrerillo	Ignimbrita			1,37	± 0,22			Pleistoceno (Q1)		Ar–Ar	Biotita			
793	CC 82–79 (R. 11104)	Flujo de lava del volcán Nevado del Tolima	Andesita			1,4	± 0,25			Pleistoceno (Q1)		K–Ar	Roca total			
794	Patia 27-Ra-001					1,43	± 0,12			Pleistoceno (Q1)		Ar–Ar				
795	Fun II/6	Formación Subachoque	Ceniza volcánica			1,44	± 0,33			Pleistoceno (Q1)			Huellas de fisión	Circón		
796	SG-002	Batolito de Sabanalarga				1,45	± 0,62			Pleistoceno (Q1)		U–Th/He	Apatito			
797	Funza-30		Capa de ceniza volcánica			1,48	± 0,48			Pleistoceno (Q1)		K–Ar	Anfibol y mica			
798	3167	Unidad volcánica sur	Tefra			1,49	± 0,69			Pleistoceno (Q1)			Huellas de fisión	Circón		<1
799	2		Ignimbrita dacítica			1,5	± 0,1			Pleistoceno (Q1)		K–Ar	Biotita			
800	PKSW 043b	Formación Popayán	Matriz de flujo de ceniza			1,5	± 0,1			Pleistoceno (Q1)		Ar–Ar	Anfibol			
801	tfla	Depósito de terraza				1,54	± 0,09			Pleistoceno (Q1)			Huellas de fisión	Circón		96
802	PKSW 087c	Ignimbritas de la Chorrera–Río Hondo	Ignimbrita			1,54	± 0,23			Pleistoceno (Q1)		Ar–Ar	Biotita			
803	Ms03	Flujo de lava no diferenciada del cerro Morasurco del volcán Morasurco	Andesita			1,6	± 0,1			Pleistoceno (Q1)		K–Ar	Roca total			
804	PKSW 043b	Formación Popayán	Matriz de flujo de ceniza			1,6	± 0,8			Pleistoceno (Q1)		Ar–Ar	Anfibol			
805	BV-423	Grupo Quetame	Metatoba			1,6	± 0,4			Pleistoceno (Q1)			Huellas de fisión EDM	Apatito		97,8
806	Patia 27-Ra-001					1,62	± 0,16			Pleistoceno (Q1)		Ar–Ar				
807	Patia 27-Ra-001					1,63	± 0,31			Pleistoceno (Q1)		Ar–Ar			0,98	
808	Robledo	Depósito del Cuaternario	Tefra			1,68	± 0,13			Pleistoceno (Q1)			Huellas de fisión	Circón		

Dispersión %	Número de granos analizados	Número de alicuotas	Fuente georreferenciación	Coordenada X	Coordenada Y	Sistema de coordenadas	Latitud	Longitud	Referencia	ID referencia	Comentarios
			Sé obtuvo las coordenadas del punto a partir de la georreferenciación de la Figura 51	761442	1155633	MAGNA_Colombia_Oeste	2° 26' 17,186" N	75° 40' 41,927" W	van der Wiel (1991)	309	
									van Houten (1976)	315	
1	2			816399	874486	MAGNA_Colombia_Oeste	2° 56' 06,957" N	78° 12' 23,113" W	Agencia Nacional de Hidrocarburos & Universidad de Caldas (2011a)	3	
									Hooghiemstra (1984)	138	Muestra de núcleo a 155,40 cm de profundidad en el pozo Funza, edades de población 0,97 Ma y 1,41 Ma. La localización (4° 50' N, 74° 12' W) reportada por el autor no coincide con el lugar de muestreo
				1110065	883957	MAGNA_Colombia_Bogota	5° 35' 26,100" N	75° 07' 29,400" W	Leal Mejía (2011)	160	Interpretada como la edad de cristalización magmática
				1050046	842617	MAGNA_Colombia_Bogota	5° 02' 49,987" N	75° 29' 47,852" W	Thouret <i>et al.</i> (1990)	282	También publicada en Thouret (1989) [281] con código de muestra R_CC 83–153
				1048187	850008	MAGNA_Colombia_Bogota	5° 01' 49,984" N	75° 25' 47,844" W	Thouret <i>et al.</i> (1990)	282	También publicada en Thouret (1989) [281] y Thouret <i>et al.</i> (1985) [280]
27				981677	1044097	MAGNA_Colombia_Bogota	4° 25' 49,440" N	73° 40' 48,720" W	Mora <i>et al.</i> (2008)	194	Los autores concluyen que 3–5 km de roca fueron exhumados de la sección estudiada en los últimos 3 Ma
8			Se obtuvo las coordenadas del punto a partir de la georreferenciación de la Figura 1	1160679	849453	MAGNA_Colombia_Bogota	6° 02' 51,002" N	75° 26' 14,242" W	Restrepo (1991a)	237	Los flujos de irradiación no fueron controlados con minerales de edad conocida y parece que pueden haber variaciones relativamente bruscas en el flujo de neutrones dentro del reactor
				1042648	853695	MAGNA_Colombia_Bogota	4° 58' 49,980" N	75° 23' 47,841" W	Thouret <i>et al.</i> (1990)	282	También publicada en Thouret (1989) [281]
<1	3								Toro <i>et al.</i> (2006)	294	Edad central
7			Se obtuvo las coordenadas del punto a partir de la georreferenciación de la Figura 1	1172984	853968	MAGNA_Colombia_Bogota	6° 09' 31,846" N	75° 23' 48,423" W	Restrepo (1991a)	237	Los flujos de irradiación no fueron controlados con minerales de edad conocida y parece que pueden haber variaciones relativamente bruscas en el flujo de neutrones dentro del reactor
				1013126	866582	MAGNA_Colombia_Bogota	4° 42' 49,897" N	75° 16' 47,910" W	Thouret <i>et al.</i> (1990)	282	
				816302	1042223	MAGNA_Colombia_Oeste	2° 56' 05,650" N	76° 41' 51,800" W	Leal Mejía (2011)	160	Interpretada como la edad de cristalización magmática
				1013124	867507	MAGNA_Colombia_Bogota	4° 42' 49,895" N	75° 16' 17,908" W	Thouret <i>et al.</i> (1990)	282	
									van Houten (1976)	315	
									Hooghiemstra (1984)	138	Muestra de núcleo a 103,98 cm de profundidad en el pozo Funza, edades de población 1,058 y 1,615 Ma. La localización (4° 50' N, 74° 12' W) reportada por el autor no coincide con el lugar de muestreo
				796595	1043400	MAGNA_Colombia_Oeste	2° 45' 24,045" N	76° 41' 13,903" W	Torres (2010)	296	Edad integrada
				1011293	861030	MAGNA_Colombia_Bogota	4° 41' 49,905" N	75° 19' 47,920" W	Thouret <i>et al.</i> (1990)	282	También publicada en Thouret (1989) [281] con código de muestra CC 82–19
			Se tomaron las coordenadas listadas en los anexos que se diferencian varios metros con respecto a las reportadas en el informe final	686668	990810	MAGNA_Colombia_Oeste	1° 45' 45,408" N	77° 09' 36,370" W	Agencia Nacional de Hidrocarburos & Universidad de Caldas (2011b)	4	Edad de meseta media ponderada, muestra de un núcleo de perforación del pozo Patía 27
15			Se obtuvo las coordenadas del pozo Funza-II a partir de la georreferenciación de la Figura 9	1015872	981928	MAGNA_Colombia_Bogota	4° 44' 22,971" N	74° 14' 25,459" W	Andriessen <i>et al.</i> (1993)	14	Pozo Funza-II, muestra tomada a 317,22 m
1	4		Se tomaron las coordenadas listadas en los anexos que se diferencian varios metros con respecto a las reportadas en el informe final	1221183	1135585	MAGNA_Colombia_Oeste	6° 35' 41,313" N	75° 51' 05,608" W	Agencia Nacional de Hidrocarburos & Universidad de Caldas (2011b)	4	Edad corregida
									Hooghiemstra (1984)	138	Muestra de núcleo a 103,98 cm de profundidad en el pozo Funza, la localización (4° 50' N, 74° 12' W) reportada por el autor no coincide con el lugar de muestreo
204	16								Toro <i>et al.</i> (2006)	294	Edad central
									Murcia & Pichler (1987)	197	
									Torres (2010)	296	Edad isócrona, la concentración de K en los anfíboles es muy baja, muestra tomada en la quebrada Sombrerillo en el municipio de Morales, departamento del Cauca
<1	18								Toro <i>et al.</i> (2006)	294	Edad central de población 1
				765800	1037328	MAGNA_Colombia_Oeste	2° 28' 41,532" N	76° 44' 30,740" W	Torres (2010)	296	Edad integrada
				629200	979266	MAGNA_Colombia_Oeste	1° 14' 34,384" N	77° 15' 49,702" W	Duque <i>et al.</i> (2010)	94	Los autores interpretan la actividad efusiva inicial del volcán Morasurco hacia los 2,0 Ma extendida hasta una edad de 1,6 Ma o más
									Torres (2010)	296	Edad de meseta, la concentración de K en los anfíboles es muy baja, muestra tomada en la quebrada Sombrerillo en el municipio de Morales, departamento del Cauca
	30			956514	1031354	MAGNA_Colombia_Bogota	4° 12' 10,440" N	73° 47' 42,360" W	Mora <i>et al.</i> (2008)	194	Los autores concluyen que 3–5 km de roca fueron exhumados de la sección estudiada en los últimos 3 Ma
			Se tomaron las coordenadas listadas en los anexos que se diferencian varios metros con respecto a las reportadas en el informe final	686668	990810	MAGNA_Colombia_Oeste	1° 45' 45,408" N	77° 09' 36,370" W	Agencia Nacional de Hidrocarburos & Universidad de Caldas (2011b)	4	Edad de fusión total, muestra de un núcleo de perforación del pozo Patía 27
			Se tomaron las coordenadas listadas en los anexos que se diferencian varios metros con respecto a las reportadas en el informe final	686668	990810	MAGNA_Colombia_Oeste	1° 45' 45,408" N	77° 09' 36,370" W	Agencia Nacional de Hidrocarburos & Universidad de Caldas (2011b)	4	Edad de isócrona inversa, muestra de un núcleo de perforación del pozo Patía 27
									Toro (1999)	290	Edad central de población, muestra tomada en el sector de Robledo en Medellín, departamento de Antioquia

ID Datación Radiométrica	Código de la muestra	Unidad geológica	Litología	Edad años BP	Error años	Edad Ma	Error Ma	Edad grano simple menor detrítico	Edad grano simple mayor detrítico	Edad estratigráfica	Edades heredadas	Método de datación	Material analizado	Relación inicial	MSWD	P(X2) %
809	3007	Depósito lacustre				1,70	$\pm 0,17$			Pleistoceno (Q1)		Huellas de fisión	Circón			75
810	PKSW 043a	Formación Popayán	Lítico de flujo de ceniza			1,7	$\pm 7,4$			Pleistoceno (Q1)		Ar–Ar	Anfibol			
811	3	Depósito volcánoclastico				1,75	$\pm 0,35$			Pleistoceno (Q1)		Huellas de fisión	Circón			
812	CC 84–22 (F. 11288)	Lava del volcán Nevado del Ruiz	Andesita basáltica			1,8	$\pm 0,1$			Pleistoceno (Q1)		K–Ar	Plagioclasa			
813	3006	Depósito lacustre	Arcillas			1,8	$\pm 0,13$			Pleistoceno (Q1)		Huellas de fisión	Circón			90
814	F-2725	Terraza pumítica del río Píez	Depósito volcánoclastico			1,8	$\pm 0,2$			Pleistoceno (Q1)		K–Ar	Plagioclasa			
815	taf 391 Cantagiron 2–5	Depósito de vertiente de Cantagiron	Paleosuelo rico en ceniza volcánica retrabajada			1,8	$\pm 0,13$			Pleistoceno (Q1)		Huellas de fisión	Circón			79
816	3176r	Depósito aluvial	Material volcánico retrabajado			1,84	$\pm 0,16$			Pleistoceno (Q1)		Huellas de fisión	Circón			18
817	COL-94	Flujo de lava antiguo del volcán Puracé	Andesita			1,86	$\pm 0,05$			Pleistoceno (Q1)		K–Ar	Roca total			
818	ES21 (4)	Depósito lacustre	Arcillas			1,86	$\pm 0,27$			Pleistoceno (Q1)		Huellas de fisión	Circón			8
819	Patia 29–Ra-003					1,89	$\pm 0,18$			Pleistoceno (Q1)		Ar–Ar				
820	AM-07	Formación Las Juntas	Arenita			1,9	$\pm 0,7$			Pleistoceno (Q1)		Huellas de fisión LA-ICP-MS	Apatito			57
821	Es19r	Depósito lacustre	Arcillas			1,91	$\pm 0,08$			Pleistoceno (Q1)		Huellas de fisión	Circón			59
822	Ms53	Flujo piroclástico de San Juan Bajo del volcán Morasurco	Andesita			1,930	$\pm 0,134$			Pleistoceno (Q1)		Huellas de fisión	Circón			
823	Ms10	Flujo de lava no diferenciada del volcán Morasurco	Andesita			1,94	$\pm 0,28$			Pleistoceno (Q1)		Huellas de fisión	Circón			
824	Ms01	Flujo de lava no diferenciada del volcán Morasurco	Andesita			1,95	$\pm 0,5$			Pleistoceno (Q1)		Huellas de fisión	Circón			
825	3	Depósito volcánoclastico				1,96	$\pm 0,39$			Pleistoceno (Q1)		Huellas de fisión	Circón			
826	62	Flujo de lodo				1,98	$\pm 0,42$			Pleistoceno (Q1)		Huellas de fisión	Circón			
827	Funza-446		Capa de ceniza volcánica			1,99	$\pm 0,14$			Pleistoceno (Q1)		K–Ar	Biotita			
828	Funza-1321		Capa de ceniza volcánica			1,99	$\pm 0,20$			Pleistoceno (Q1)		K–Ar	Plagioclasa			
829	Mina Casal buena	Depósito lacustre	Arcillas			1,99	$\pm 0,07$			Pleistoceno (Q1)		Huellas de fisión	Circón			86
830	BV 120–F	Formación Cáqueza	Arenita			2	$\pm 0,7$			Pleistoceno (Q1)		Huellas de fisión LA-ICP-MS	Apatito			99,9
831	16	Formación Real	Arenita					$2,0 \pm 0,1$	$4,6 \pm 0,3$	Pleistoceno (Q1)–Plioceno (N2)		U–Th/He	Apatito			
832	Ms21	Flujo de lava de San Juan Bajo del volcán Morasurco	Andesita			2,01	$\pm 0,27$			Pleistoceno (Q1)		Huellas de fisión	Circón			
833	Robledo	Depósito del Cuaternario	Tefra			2,04	$\pm 0,12$			Pleistoceno (Q1)		Huellas de fisión	Circón			43
834	M-69i	Flujo piroclástico asociado al volcán de Paipa y Tuta	Traquita alcalina			2,06	$\pm 0,18$			Pleistoceno (Q1)		Ar–Ar	Biotita			
835	ES25	Depósito lacustre	Arcillas			2,09	$\pm 0,12$			Pleistoceno (Q1)		Huellas de fisión	Circón			16
836	MW 399	Formación Guacacallo	Toba vítrea			2,1	$\pm 0,4$			Pleistoceno (Q1)		Huellas de fisión	Circón			15
837	17	Formación Mugrosa	Arenita					$2,1 \pm 0,1$	$5,4 \pm 0,3$	Mioceno (N1)–Pleistoceno (Q1)		U–Th/He	Apatito			
838	3174r	Horizonte Gley	Paleosuelo			2,11	$\pm 0,14$			Pleistoceno (Q1)		Huellas de fisión	Circón			15
839	ES24	Depósito lacustre	Arcillas			2,11	$\pm 0,09$			Pleistoceno (Q1)		Huellas de fisión	Circón			17
840	M-69i	Flujo piroclástico asociado al volcán de Paipa y Tuta	Traquita alcalina			2,13	$\pm 0,39$			Pleistoceno (Q1)		Ar–Ar	Biotita			
841	Tef 4015	Depósito aluvial				2,14	$\pm 0,05$			Pleistoceno (Q1)		Huellas de fisión	Circón			59
842	Mina Casal	Depósito lacustre	Arcillas			2,15	$\pm 0,11$			Pleistoceno (Q1)		Huellas de fisión	Circón			61

Dispersión %	Número de granos analizados	Número de alicuotas	Fuente georreferenciación	Coordenada X	Coordenada Y	Sistema de coordenadas	Latitud	Longitud	Referencia	ID referencia	Comentarios
<1	6								Toro <i>et al.</i> (2006)	294	Edad central de población 2
									Torres (2010)	296	Edad isócrona en muestra con alto contenido de argón atmosférico, la concentración de K en los anfibolos es muy baja. Muestra tomada en la quebrada Somberillo en el municipio de Morales, departamento del Cauca
	7		Se obtuvo las coordenadas del punto a partir de la georreferenciación de la Figura 1	1197529	867279	MAGNA_Colombia_Bogota	6° 22' 51,713" N	75° 16' 37,408" W	Restrepo (1991a)	237	Los flujos de irradiación no fueron controlados con minerales de edad conocida y parece que pueden haber variaciones relativamente bruscas en el flujo de neutrones dentro del reactor
				1040783	864785	MAGNA_Colombia_Bogota	4° 57' 49,976" N	75° 17' 47,828" W	Thouret <i>et al.</i> (1990)	282	También publicada en Thouret (1989) [281]
<1	12								Toro <i>et al.</i> (2006)	294	Edad central, la edad promedio de las arcillas superiores (muestras 3006r y ES25) es de $1,95 \pm 0,13$ Ma
									van Houten (1976)	315	
	16			1176035	836052	MAGNA_Colombia_Bogota	6° 11' 09,595" N	75° 33' 31,272" W	Rendón <i>et al.</i> (2005)	229	Círculo volcánico retrabajado que muestra edad máxima de deposición, muestra tomada de nivel de tefra retrabajada en depósito de vertiente
26	18			1203188	1165684	MAGNA_Colombia_Oeste	6° 25' 53,056" N	75° 34' 47,819" W	Toro <i>et al.</i> (2006)	294	Edad central
			Se obtuvo las coordenadas del punto a partir de la georreferenciación del «Mapa de ubicación de muestras de roca»	769735	1096480	MAGNA_Colombia_Oeste	2° 30' 48,768" N	76° 12' 36,071" W	Ramirez (1982)	225	Edad promedio
22	4								Toro (1999)	290	Edad central, muestra tomada en la mina Ángela en el municipio de Amalfi, departamento de Antioquia
			Las coordenadas reportadas en el Anexo 11 no coinciden con la localización de la datación en la Figura 6.1. Se obtuvo las coordenadas del punto a partir de la georreferenciación de esta figura	710939	991787	MAGNA_Colombia_Oeste	1° 58' 55,591" N	77° 09' 04,783" W	Agencia Nacional de Hidrocarburos & Universidad de Caldas (2011b)	4	Edad de fusión total, muestra de un núcleo de perforación del pozo Patia 29
	11			1048241	1076166	MAGNA_Colombia_Bogota	5° 01' 55,500" N	73° 23' 26,460" W	Parra <i>et al.</i> (2009b)	219	
<1	15								Toro <i>et al.</i> (2006)	294	Edad central, muestra tomada en la mina Ángela en el municipio de Amalfi, departamento de Antioquia
	10			636204	983755	MAGNA_Colombia_Oeste	1° 18' 22,450" N	77° 13' 24,512" W	Duque <i>et al.</i> (2010)	94	La edad es más antigua de lo esperado para su posición estratigráfica y podría estar reflejando la edad de material involucrado en la erupción. Los autores interpretan la actividad efusiva inicial del volcán Morasurco hace los 2,0 Ma y extendida hasta unos 1,6 Ma o más
	9			628968	975705	MAGNA_Colombia_Oeste	1° 14' 26,852" N	77° 17' 44,888" W	Duque <i>et al.</i> (2010)	94	Los autores interpretan la actividad efusiva inicial del volcán Morasurco hace 2,0 Ma y extendida hasta unos 1,6 Ma o más
	2			635200	982986	MAGNA_Colombia_Oeste	1° 17' 49,763" N	77° 13' 49,394" W	Duque <i>et al.</i> (2010)	94	Los autores interpretan la actividad efusiva inicial del volcán Morasurco desde los 2,0 Ma extendida hasta unos 1,6 Ma o más
	5		Se obtuvo las coordenadas del punto a partir de la georreferenciación de la Figura 1	1197529	867279	MAGNA_Colombia_Bogota	6° 22' 51,713" N	75° 16' 37,408" W	Restrepo (1991a)	237	Los flujos de irradiación no fueron controlados con minerales de edad conocida y parece que pueden haber variaciones relativamente bruscas en el flujo de neutrones dentro del reactor
	7		Se obtuvo las coordenadas del punto a partir de la georreferenciación de la Figura 1	1187136	1165026	MAGNA_Colombia_Oeste	6° 17' 10,748" N	75° 35' 10,737" W	Restrepo (1991a)	237	Los flujos de irradiación no fueron controlados con minerales de edad conocida y parece que pueden haber variaciones relativamente bruscas en el flujo de neutrones dentro del reactor
									Hooghiemstra (1984)	138	Edad mínima en muestra de núcleo a 184,63 cm de profundidad en el pozo Funza, la localización ( $4^{\circ} 50' N$ , $74^{\circ} 12' W$ ) reportada por el autor no coincide con el lugar de muestreo
									Hooghiemstra (1984)	138	Edad máxima de muestra de núcleo a 272,03 cm de profundidad en el pozo Funza, la localización ( $4^{\circ} 50' N$ , $74^{\circ} 12' W$ ) reportada por el autor no coincide con el lugar de muestreo
<1	18								Toro (1999)	290	Edad central, la edad promedio de las arcillas inferiores (muestras mina Casal Buena y 4032) es de $2,14 \pm 0,12$ Ma, muestra tomada en la mina Casal en el municipio de Rionegro, departamento de Antioquia
	39			978069	1013679	MAGNA_Colombia_Bogota	4° 23' 52,320" N	73° 57' 15,360" W	Parra <i>et al.</i> (2009b)	219	
	4			1206170	1029355	MAGNA_Colombia_Bogota	6° 27' 37,764" N	73° 48' 43,686" W	Sánchez <i>et al.</i> (2012)	261	
	6			634906	975401	MAGNA_Colombia_Oeste	1° 17' 40,172" N	77° 17' 54,736" W	Duque <i>et al.</i> (2010)	94	Los autores interpretan la actividad efusiva inicial del volcán Morasurco desde hace 2,0 Ma y extendida hasta 1,6 Ma o más
10	16								Toro (1999)	290	Edad central, muestra tomada en el sector de Robledo localizado en Medellín, departamento de Antioquia
				1121653	1106971	MAGNA_Colombia_Bogota	5° 41' 43,787" N	73° 06' 42,755" W	Pardo (2004)	217	Edad integrada
8	7								Toro <i>et al.</i> (2006)	294	Edad central, la edad promedio de las arcillas superiores (muestras 3006r y ES25) es de $1,95 \pm 0,13$ Ma, muestra tomada en la mina Roja en el municipio de La Unión, departamento de Antioquia
	10		Se obtuvo la localización aproximada del punto a partir de la descripción del sitio de muestreo	737118	1111320	MAGNA_Colombia_Oeste	2° 13' 06,676" N	76° 04' 36,503" W	van der Wiel (1991)	309	
	4			1196144	1023550	MAGNA_Colombia_Bogota	6° 22' 11,482" N	73° 51' 52,744" W	Sánchez <i>et al.</i> (2012)	261	
24	16			1203188	1165684	MAGNA_Colombia_Oeste	6° 25' 53,056" N	75° 34' 47,819" W	Toro <i>et al.</i> (2006)	294	Edad central
9	14								Toro <i>et al.</i> (2006)	294	Edad central, la edad promedio de las arcillas inferiores (muestras 3008r y ES24) es de $2,17 \pm 0,09$ Ma, muestra tomada en la mina Roja en el municipio de La Unión, departamento de Antioquia
				1121653	1106971	MAGNA_Colombia_Bogota	5° 41' 43,787" N	73° 06' 42,755" W	Pardo (2004)	217	Edad de fusión total, el resultado puede estar afectado por exceso de Ar
<1	4								Silva (1999)	272	
<1	16								Toro <i>et al.</i> (2006)	294	Edad central, la edad promedio de las arcillas superiores (muestras mina Casal y 3191) es de $2,19 \pm 0,09$ Ma, muestra tomada en la mina Casal en el municipio de Rionegro, departamento de Antioquia

ID Datación Radiométrica	Código de la muestra	Unidad geológica	Litología	Edad años BP	Error años	Edad Ma	Error Ma	Edad grano simple menor detrítico	Edad grano simple mayor detrítico	Edad estratigráfica	Edades heredadas	Método de datación	Material analizado	Relación inicial	MSWD	P(X2) %
843	PKSW 043a	Formación Popayán	Lítico de flujo de ceniza			2,2	$\pm 6,3$			Pleistoceno (Q1)		Ar–Ar	Anfibol			
844	29	Formación Lisama	Arenita					$2,2 \pm 0,2$	$94,9 \pm 7,6$	Pleistoceno (Q1)-Cenomaniano (k1)		U–Th/He	Circón			
845	3191	Depósito lacustre	Arcillas			2,22	$\pm 0,10$			Pleistoceno (Q1)		Huellas de fisión	Circón			50
846	3008r	Depósito lacustre	Arcillas			2,23	$\pm 0,09$			Pleistoceno (Q1)		Huellas de fisión	Circón			52
847	4032	Depósito lacustre	Arcillas			2,28	$\pm 0,17$			Pleistoceno (Q1)		Huellas de fisión	Circón			38
848	M-69i	Flujo piroclástico asociado al volcán de Paipa y Tuta	Traquita alcalina			2,29	$\pm 0,17$			Pleistoceno (Q1)		Ar–Ar	Biotita			
849	tf1a	Depósito de terraza				2,29	$\pm 0,09$			Pleistoceno (Q1)		Huellas de fisión	Circón			<1
850	tf10b	Depósito lacustre				2,29	$\pm 0,09$			Pleistoceno (Q1)		Huellas de fisión	Circón			67
851	12018356	Pórfidos de Río Dulce	Brecha intrusiva			2,3	$\pm 0,1$			Pleistoceno (Q1)	<i>ca.</i> 50 Ma	U–Pb LA-MC-ICP-MS	Circón			
852	12018312	Pórfidos de Río Dulce	Pórfido diorítico			2,3	$\pm 0,1$			Pleistoceno (Q1)		U–Pb LA-MC-ICP-MS	Circón			
853	CC 82-81 (R. 11105)	Flujo de lava del páramo de Santa Rosa	Andesita			2,3	$\pm 0,1$			Pleistoceno (Q1)		K–Ar	Roca total			
854	Neusa 1	Formación Marichuela				2,30	$\pm 0,14$			Pleistoceno (Q1)		Huellas de fisión	Circón			
855	MW 385	Formación Guacacallo	Toba vitrea			2,3	$\pm 0,4$			Pleistoceno (Q1)		Huellas de fisión	Circón			10
856	MW 408	Formación Guacacallo	Toba vitrea			2,3	$\pm 0,4$			Pleistoceno (Q1)		Huellas de fisión	Circón			12
857	MW 405	Formación Guacacallo	Toba vitrea			2,3	$\pm 0,2$			Pleistoceno (Q1)		K–Ar	Biotita			
858	BV-192	Grupo Quetame	Metatoba			2,3	$\pm 0,6$			Pleistoceno (Q1)		Huellas de fisión EDM	Apatito			57,9
859	SJ-5	Grupo Quetame	Metatoba			2,3	$\pm 0,8$			Pleistoceno (Q1)		Huellas de fisión EDM	Apatito			0
860	COL-15	Colada de lava del volcán Doña Juana	Andesita			2,31	$\pm 0,20$			Pleistoceno (Q1)		K–Ar	Roca total			
861	Robledo	Depósito del Cuaternario	Tefra			2,37	$\pm 0,14$			Pleistoceno (Q1)		Huellas de fisión	Circón			
862	PKSW 087c	Ignimbritas de la Chorrera-Río Hondo	Ignimbrita			2,38	$\pm 0,35$			Pleistoceno (Q1)		Ar–Ar	Biotita			
863	WR-64	Pórfidos de Río Dulce	Pórfido granodiorítico			2,4	$\pm 0,1$			Pleistoceno (Q1)	<i>ca.</i> 9 Ma	U–Pb LA-MC-ICP-MS	Circón			
864	12040621	Pórfidos de Río Dulce	Pórfido granodiorítico			2,4	$\pm 0,1$			Pleistoceno (Q1)	<i>ca.</i> 25, 45 y 95 Ma	U–Pb LA-MC-ICP-MS	Circón			
865	27.01	Formación Popayán	Ignimbrita			2,4	$\pm 0,2$			Pleistoceno (Q1)		K–Ar	Roca total			
866	MW 382	Formación Guacacallo	Toba vitrea			2,4	$\pm 0,2$			Pleistoceno (Q1)		K–Ar	Biotita			
867	FT-6	Grupo Quetame	Metatoba			2,4	$\pm 0,7$			Pleistoceno (Q1)		Huellas de fisión EDM	Apatito			79
868	3175r	Horizonte Gley				2,43	$\pm 0,16$			Pleistoceno (Q1)		Huellas de fisión	Circón			75
869	M-69i	Flujo piroclástico asociado al volcán de Paipa y Tuta	Traquita alcalina			2,44	$\pm 0,09$			Pleistoceno (Q1)		Ar–Ar	Biotita			
870	JR005R	Rocas ígneas hipaoisiales andesíticas y dacíticas	Andesita porfirítica			2,45	$\pm 1,5$			Pleistoceno (Q1)		Ar–Ar	Hornblenda			
871	M1-MP-004	Formación Chagüí	Arenita			2,46	$\pm 0,59$			Pleistoceno (Q1)		U–Th/He	Apatito			
872	Patia 3	Formación Galeón				2,49	$\pm 5,35$			Pleistoceno (Q1)		U–Th/He	Apatito			
873	COL-105	Lavas de Paipa	Riolita			2,5	$\pm 0,06$			Pleistoceno (Q1)		K–Ar	Biotita			
874	MW 390	Formación Guacacallo	Toba vitrea			2,5	$\pm 0,2$			Pleistoceno (Q1)		K–Ar	Biotita			
875	Patia 29-Ra-003					2,55	$\pm 0,25$			Pleistoceno (Q1)		Ar–Ar				
876	Envigado 3	Depósito aluvial				2,55	$\pm 0,28$			Pleistoceno (Q1)		Huellas de fisión	Circón			97
877	PKSW 087c	Ignimbritas de la Chorrera-Río Hondo	Ignimbrita			2,56	$\pm 0,24$			Pleistoceno (Q1)		Ar–Ar	Biotita			

Dispersión %	Número de granos analizados	Número de alicuotas	Fuente georreferenciación	Coordenada X	Coordenada Y	Sistema de coordenadas	Latitud	Longitud	Referencia	ID referencia	Comentarios
									Torres (2010)	296	Edad de meseta, muestra con alto contenido de argón atmosférico, la concentración de K en los anfiboles es muy baja. Muestra tomada en la quebrada Sombrerillo en el municipio de Morales, departamento del Cauca
	4			1197559	1032465	MAGNA_Colombia_Bogota	6° 22' 57,400" N	73° 47' 02,634" W	Sánchez <i>et al.</i> (2012)	261	
5	29								Toro <i>et al.</i> (2006)	294	Edad central, la edad promedio de las arcillas superiores (muestras mina Casal y 3191) es de $2.19 \pm 0.09$ Ma, muestra tomada en la mina Sofía en el municipio de Rionegro, departamento de Antioquia
<1	26								Toro <i>et al.</i> (2006)	294	Edad central, la edad promedio de las arcillas inferiores (muestras 3008r y ES24) es de $2.17 \pm 0.09$ Ma
<1	5								Toro <i>et al.</i> (2006)	294	Edad central, la edad promedio de las arcillas inferiores (muestras mina Casal Buena y 4032) es de $2.14 \pm 0.12$ Ma, muestra tomada en la mina Sofía en el municipio de Rionegro, departamento de Antioquia
				1121653	1106971	MAGNA_Colombia_Bogota	5° 41' 43,787" N	73° 06' 42,755" W	Pardo (2004)	217	Edad de fusión total, el resultado puede estar afectado por exceso de Ar
21	55								Toro <i>et al.</i> (2006)	294	Edad central
<1	25								Toro <i>et al.</i> (2006)	294	Edad central de población 1
				1099889	878995	MAGNA_Colombia_Bogota	5° 29' 54,600" N	75° 10' 10,000" W	Leal Mejia (2011)	160	Interpretada como la edad de cristalización magmática
				1099849	879031	MAGNA_Colombia_Bogota	5° 29' 53,300" N	75° 10' 08,800" W	Leal Mejia (2011)	160	Interpretada como la edad de cristalización magmática
				1031617	838877	MAGNA_Colombia_Bogota	4° 52' 49,949" N	75° 31' 47,916" W	Thouret <i>et al.</i> (1990)	282	También publicada en Thouret (1989) [281]
	22								Toro <i>et al.</i> (2003)	293	Edad central
	10		Se obtuvo las coordenadas del punto a partir de la georreferenciación de la Figura 41	715272	1116335	MAGNA_Colombia_Oeste	2° 01' 15,438" N	76° 01' 54,723" W	van der Wiel (1991)	309	
	10		Se obtuvo las coordenadas del punto a partir de la georreferenciación de la Figura 44	734757	1113955	MAGNA_Colombia_Oeste	2° 11' 49,768" N	76° 03' 11,302" W	van der Wiel (1991)	309	
			Se obtuvo las coordenadas del punto a partir de la georreferenciación de la Figura 44	737118	1111320	MAGNA_Colombia_Oeste	2° 13' 06,676" N	76° 04' 36,503" W	van der Wiel (1991)	309	
	30			963646	1030774	MAGNA_Colombia_Bogota	4° 16' 02,640" N	73° 48' 01,080" W	Mora <i>et al.</i> (2008)	194	Los autores concluyen que 3-5 km de roca fueron exhumados de la sección estudiada en los últimos 3 Ma
	20			986233	1042663	MAGNA_Colombia_Bogota	4° 28' 17,760" N	73° 41' 35,160" W	Mora <i>et al.</i> (2008)	194	Los autores concluyen que 3-5 km de roca fueron exhumados de la sección estudiada en los últimos 3 Ma
			Se obtuvo las coordenadas del punto a partir de la georreferenciación del «Mapa de ubicación de muestras de roca»	665536	1016067	MAGNA_Colombia_Oeste	1° 34' 17,413" N	76° 55' 59,225" W	Ramírez (1982)	225	Edad promedio
									Toro (1999)	290	Edad central de población, muestra tomada en el sector de Robledo localizado en Medellín, departamento de Antioquia
				765800	1037328	MAGNA_Colombia_Oeste	2° 28' 41,532" N	76° 44' 30,740" W	Torres (2010)	296	Edad de isócrona inversa
				1102305	881964	MAGNA_Colombia_Bogota	5° 31' 13,400" N	75° 08' 33,700" W	Leal Mejia (2011)	160	Interpretada como la edad de cristalización magmática
				1101606	880931	MAGNA_Colombia_Bogota	5° 30' 50,600" N	75° 09' 07,200" W	Leal Mejia (2011)	160	Interpretada como la edad de cristalización magmática
				763008	1054480	MAGNA_Colombia_Oeste	2° 27' 10,465" N	76° 35' 15,608" W	Risnes (1995)	249	
			Se obtuvo las coordenadas del punto a partir de la georreferenciación de la Figura 41	710356	1106066	MAGNA_Colombia_Oeste	1° 58' 35,628" N	76° 07' 27,060" W	van der Wiel (1991)	309	
	30			984938	1040977	MAGNA_Colombia_Bogota	4° 27' 35,640" N	73° 42' 29,880" W	Mora <i>et al.</i> (2008)	194	Los autores concluyen que 3-5 km de roca fueron exhumados de la sección estudiada en los últimos 3 Ma
2	8			1203188	1165684	MAGNA_Colombia_Oeste	6° 25' 53,056" N	75° 34' 47,819" W	Toro <i>et al.</i> (2006)	294	Edad central
				1121653	1106971	MAGNA_Colombia_Bogota	5° 41' 43,787" N	73° 06' 42,755" W	Pardo (2004)	217	
				634075	961848	MAGNA_Colombia_Oeste	1° 17' 13,040" N	77° 25' 13,147" W	González (2010)	122	Bajo grado de confiabilidad ya que presenta un solo paso sensible de calentamiento
1	3		Se tomaron las coordenadas listadas en los anexos que se diferencian varios metros con respecto a las reportadas en el informe final	688492	847272	MAGNA_Colombia_Oeste	1° 46' 42,940" N	78° 27' 00,036" W	Agencia Nacional de Hidrocarburos & Universidad de Caldas (2011a)	3	Muestra de ripios recuperados del pozo Remolino grande-1, según el código de la muestra pertenece al pozo Majagua-1 y no al pozo Remolino grande-1 como está listado en la Tabla 2 del Anexo 17
1	3		Se obtuvo las coordenadas del punto a partir de la georreferenciación de la Figura 41	728122	1006210	MAGNA_Colombia_Oeste	2° 08' 15,021" N	77° 01' 18,048" W	Agencia Nacional de Hidrocarburos & Universidad de Caldas (2011b)	4	Edad corregida, muestra de un núcleo de perforación del pozo Patia 3
			Se tomaron las coordenadas listadas en los anexos que se diferencian varios metros con respecto a las reportadas en el informe final	708027	1117344	MAGNA_Colombia_Oeste	1° 57' 19,607" N	76° 01' 22,222" W	van der Wiel (1991)	309	
			Se tomaron las coordenadas listadas en los anexos que se diferencian varios metros con respecto a las reportadas en el informe final	710939	991787	MAGNA_Colombia_Oeste	1° 58' 55,591" N	77° 09' 04,783" W	Agencia Nacional de Hidrocarburos & Universidad de Caldas (2011b)	4	Edad de meseta media ponderada, muestra de un núcleo de perforación del pozo Patia 29
<1	4								Toro (1999)	290	Edad máxima de depósito, edad central de población 1
				765800	1037328	MAGNA_Colombia_Oeste	2° 28' 41,532" N	76° 44' 30,740" W	Torres (2010)	296	Edad de meseta

ID Datación Radiométrica	Código de la muestra	Unidad geológica	Litología	Edad años BP	Error años	Edad Ma	Error Ma	Edad grano simple menor detrítico	Edad grano simple mayor detrítico	Edad estratigráfica	Edades heredadas	Método de datación	Material analizado	Relación inicial	MSWD	P(X2) %
878	M1-MP-009	Formación Angostura	Arenita			2,57	$\pm 1,21$			Pleistoceno (Q1)		U-Th/He	Apatito			
879	tefl0b	Depósito lacustre				2,6	$\pm 0,13$			Plioceno (N2)		Huellas de fisión	Circón			<1
880	MW 385	Formación Guacacallo	Toba vítreo			2,6	$\pm 0,3$			Plioceno (N2)		K-Ar	Biotita			
881	A-2724	Formación Gualí	Depósito volcánoclastico			2,6	$\pm 0,9$			Plioceno (N2)		K-Ar	Roca total			
882	taf 366 Cantagiron 1-2	Depósito de vertiente de Cantagiron	Paleosuelo rico en ceniza volcánica retrabajada			2,6	$\pm 0,18$			Plioceno (N2)		Huellas de fisión	Circón			45
883	RW3b	Grupo Guadalupe	Arenita			2,6	$\pm 0,16$			Plioceno (N2)		U-Th/He	Apatito			
884	BV-279	Formación Brechas de Buenavista	Metatoba			2,6	$\pm 0,3$			Plioceno (N2)		Huellas de fisión EDM	Apatito			15,7
885	BV-195	Grupo Quetame	Metatoba			2,6	$\pm 0,5$			Plioceno (N2)		Huellas de fisión EDM	Apatito			76,6
886	BV-196	Grupo Quetame	Metatoba			2,6	$\pm 1,1$			Plioceno (N2)		Huellas de fisión EDM	Apatito			86
887	PKSW 080a	Ignimbritas de la quebrada Sombriero	Ignimbrita			2,62	$\pm 0,21$			Plioceno (N2)		Ar-Ar	Biotita			
888	tefl0a	Depósito lacustre				2,63	$\pm 0,50$			Plioceno (N2)		Huellas de fisión	Circón			<1
889	Tablaza 2 GT	Depósito aluvial	Ceniza volcánica			2,65	$\pm 0,14$			Plioceno (N2)		Huellas de fisión	Circón			73
890	tfla	Depósito de terraza				2,66	$\pm 0,09$			Plioceno (N2)		Huellas de fisión	Circón			51
891	Tablaza 8 GT	Depósito aluvial	Ceniza volcánica			2,69	$\pm 0,14$			Plioceno (N2)		Huellas de fisión	Circón			25
892	BV-277		Metatoba			2,7	$\pm 0,3$			Plioceno (N2)		Huellas de fisión EDM	Apatito			76,1
893	Tablaza 8 AA	Depósito aluvial	Ceniza volcánica			2,7	$\pm 0,14$			Plioceno (N2)		Huellas de fisión	Circón			31
894	Tablaza 8	Depósito aluvial	Ceniza volcánica			2,7	$\pm 0,10$			Plioceno (N2)		Huellas de fisión	Circón			25-31
895	FT-1	Formación Chingaza	Metatoba			2,7	$\pm 0,7$			Plioceno (N2)		Huellas de fisión EDM	Apatito			6,2
896	Fun II/10	Formación Tilatá	Ceniza volcánica			2,74	$\pm 0,63$			Plioceno (N2)		Huellas de fisión	Circón			
897	Osos 15		Suelo			2,79	$\pm 0,13$			Plioceno (N2)		Huellas de fisión	Circón			68
898	MW 399	Formación Guacacallo	Toba vítreo			2,8	$\pm 0,2$			Plioceno (N2)		K-Ar	Biotita			
899	MW 77	Formación Guacacallo	Toba vítreo			2,8	$\pm 0,2$			Plioceno (N2)		K-Ar	Biotita			
900	MW 413	Formación Guacacallo	Toba vítreo			2,8	$\pm 0,1$			Plioceno (N2)		K-Ar	Biotita			
901	BV-90	Grupo Quetame	Metatoba			2,8	$\pm 0,4$			Plioceno (N2)		Huellas de fisión EDM	Apatito			74,2
902	SJ-1	Grupo Quetame	Metatoba			2,8	$\pm 0,4$			Plioceno (N2)		Huellas de fisión EDM	Apatito			35,6
903	Tablaza 2	Depósito aluvial	Ceniza volcánica			2,81	$\pm 0,11$			Plioceno (N2)		Huellas de fisión	Circón			73-16
904	Chocó-1 ST-P-Mp02	Formación Condoto				2,87	$\pm 2,84$			Plioceno (N2)		U-Th/He	Apatito			
905	PKSW 037a	Formación Popayán	Ignimbrita			2,88	$\pm 0,26$			Plioceno (N2)		Ar-Ar	Biotita			
906	Tablaza 1 GT	Depósito aluvial	Ceniza volcánica			2,89	$\pm 0,18$			Plioceno (N2)		Huellas de fisión	Circón			31
907	MW 408	Formación Guacacallo	Toba vítreo			2,9	$\pm 0,2$			Plioceno (N2)		K-Ar	Biotita			
908	WPT	Grupo Farallones	Arenita			2,9	$\pm 2,1$			Plioceno (N2)		Huellas de fisión EDM	Apatito			86,8
909	PKSW 037a	Formación Popayán	Ignimbrita			2,94	$\pm 0,26$			Plioceno (N2)		Ar-Ar	Biotita			
910	Tablaza 4 AA	Depósito aluvial	Ceniza volcánica			2,95	$\pm 0,26$			Plioceno (N2)		Huellas de fisión	Circón			16
911	Bogotá	Formación Marichuela				2,95	$\pm 0,23$			Plioceno (N2)		Huellas de fisión	Circón			
912	3059	Pórfido basáltico de El Botón	Latibasalto			3	$\pm 1$			Plioceno (N2)		K-Ar	Roca total			
913	BV-427	Formación Brechas de Buenavista	Conglomerado			3,0	$\pm 0,4$			Plioceno (N2)		Huellas de fisión EDM	Apatito			41,2

Dispersión %	Número de granos analizados	Número de alicuotas	Fuente georreferenciación	Coordenada X	Coordenada Y	Sistema de coordenadas	Latitud	Longitud	Referencia	ID referencia	Comentarios	
	1	3		688492	847272	MAGNA_Colombia_Oeste	1° 46' 42,940" N	78° 27' 00,036" W	Agencia Nacional de Hidrocarburos & Universidad de Caldas (2011a)	3	Muestra de ripios recuperados del pozo Majagua-I	
22	31								Toro <i>et al.</i> (2006)	294	Edad central	
			Se obtuvo las coordenadas del punto a partir de la georreferenciación de la Figura 41	715272	1116335	MAGNA_Colombia_Oeste	2° 01' 15,438" N	76° 01' 54,723" W	van der Wiel (1991)	309		
									van Houten (1976)	315	Según el autor la edad debería de ser más joven y probablemente la muestra de plagioclasa está contaminada con otro mineral	
	11			1176035	836052	MAGNA_Colombia_Bogota	6° 11' 09,595" N	75° 33' 31,272" W	Rendón <i>et al.</i> (2005)	229	Círcón volcánico retrabajado, edad máxima de deposición, muestra tomada de nivel de tefra retrabajada en la base del depósito de vertiente	
	1	Localización tomada de Mora <i>et al.</i> (2010) [195]		1109946	1137318	MAGNA_Colombia_Bogota	5° 35' 20,870" N	72° 50' 17,540" W	Ramírez Arias <i>et al.</i> (2012)	227	Alicuota seleccionada por los autores para el modelamiento inverso, muestra del Sincinal de Aquitania	
	40			952040	1045354	MAGNA_Colombia_Bogota	4° 09' 44,580" N	73° 40' 08,460" W	Mora <i>et al.</i> (2008)	194	Los autores concluyen que de 3 a 5 km de roca fueron exhumados de la sección estudiada en los últimos 3 Ma	
	30			966511	1032715	MAGNA_Colombia_Bogota	4° 17' 35,880" N	73° 46' 58,080" W	Mora <i>et al.</i> (2008)	194	Los autores concluyen que de 3 a 5 km de roca fueron exhumados de la sección estudiada en los últimos 3 Ma	
	20			966423	1032653	MAGNA_Colombia_Bogota	4° 17' 33,000" N	73° 47' 00,120" W	Mora <i>et al.</i> (2008)	194	Los autores concluyen que de 3 a 5 km de roca fueron exhumados de la sección estudiada en los últimos 3 Ma	
				796595	1043400	MAGNA_Colombia_Oeste	2° 45' 24,045" N	76° 41' 13,903" W	Torres (2010)	296	Edad de meseta	
93	17								Toro <i>et al.</i> (2006)	294	Edad central	
<1	6	Se obtuvo la localización aproximada del punto a partir de la descripción del sitio de muestreo		1168952	1159734	MAGNA_Colombia_Oeste	6° 07' 19,479" N	75° 38' 04,430" W	Toro (1999)	290	Edad central	
<1	37								Toro <i>et al.</i> (2006)	294	Edad central de población 2	
<1	13	Se obtuvo la localización aproximada del punto a partir de la descripción del sitio de muestreo		1168952	1159734	MAGNA_Colombia_Oeste	6° 07' 19,479" N	75° 38' 04,430" W	Toro (1999)	290	Edad central	
<1	30				951931	1045223	MAGNA_Colombia_Bogota	4° 09' 41,040" N	73° 40' 12,720" W	Mora <i>et al.</i> (2008)	194	Edad de enfriamiento, los autores concluyen que de 3 a 5 km de roca fueron exhumados de la sección estudiada en los últimos 3 Ma
<1	24	Se obtuvo la localización aproximada del punto a partir de la descripción del sitio de muestreo		1168952	1159734	MAGNA_Colombia_Oeste	6° 07' 19,479" N	75° 38' 04,430" W	Toro (1999)	290	Edad central	
<1	13–24	Se obtuvo la localización aproximada del punto a partir de la descripción del sitio de muestreo		1168952	1159734	MAGNA_Colombia_Oeste	6° 07' 19,479" N	75° 38' 04,430" W	Toro (1999)	290	Edad promedio de 2 edades central	
	20			988096	1038437	MAGNA_Colombia_Bogota	4° 29' 18,480" N	73° 43' 52,200" W	Mora <i>et al.</i> (2008)	194	Los autores concluyen que de 3 a 5 km de roca fueron exhumados de la sección estudiada en los últimos 3 Ma	
	15	Se obtuvo las coordenadas del pozo Funza-II a partir de la georreferenciación de la Figura 9		1015872	981928	MAGNA_Colombia_Bogota	4° 44' 22,971" N	74° 14' 25,459" W	Andriessen <i>et al.</i> (1993)	14	Pozo Funza-II, muestra tomada a 506,2 m	
<1	14			1239943	844024	MAGNA_Colombia_Bogota	6° 45' 50,070" N	75° 29' 17,797" W	Toro <i>et al.</i> (2006)	294	Edad central	
		Se obtuvo la localización aproximada del punto a partir de la descripción del sitio de muestreo		737118	1111320	MAGNA_Colombia_Oeste	2° 13' 06,676" N	76° 04' 36,503" W	van der Wiel (1991)	309		
		Se obtuvo las coordenadas del punto a partir de la georreferenciación de la Figura 3		728873	1142380	MAGNA_Colombia_Oeste	2° 08' 37,548" N	75° 47' 51,724" W	van der Wiel (1991)	309		
		Se obtuvo las coordenadas del punto a partir de la georreferenciación de la Figura 44		735699	1120682	MAGNA_Colombia_Oeste	2° 12' 20,272" N	75° 59' 33,596" W	van der Wiel (1991)	309		
	40				958899	1020362	MAGNA_Colombia_Bogota	4° 13' 28,200" N	73° 53' 38,760" W	Mora <i>et al.</i> (2008)	194	Los autores concluyen que de 3 a 5 km de roca fueron exhumados de la sección estudiada en los últimos 3 Ma
	21				988688	1044021	MAGNA_Colombia_Bogota	4° 29' 37,680" N	73° 40' 51,060" W	Mora <i>et al.</i> (2008)	194	Los autores concluyen que de 3 a 5 km de roca fueron exhumados de la sección estudiada en los últimos 3 Ma
<1–12	6–6	Se obtuvo la localización aproximada del punto a partir de la descripción del sitio de muestreo		1168952	1159734	MAGNA_Colombia_Oeste	6° 07' 19,479" N	75° 38' 04,430" W	Toro (1999)	290	Edad promedio de 2 edades central	
1	2	Se tomaron las coordenadas listadas en los anexos que se diferencian varios metros con respecto a las reportadas en el informe final		1044920	1048332	MAGNA_Colombia_Oeste	5° 00' 08,169" N	76° 38' 30,087" W	Agencia Nacional de Hidrocarburos & Universidad de Caldas (2011b)	4	Edad corregida, muestra de un núcleo de perforación del pozo Choco-1 ST-P	
									Torres (2010)	296	Edad de meseta, muestra tomada en la quebrada Sombrerillo localizado en el municipio de Morales, departamento del Cauca	
6	9	Se obtuvo la localización aproximada del punto a partir de la descripción del sitio de muestreo		1168952	1159734	MAGNA_Colombia_Oeste	6° 07' 19,479" N	75° 38' 04,430" W	Toro (1999)	290	Edad central	
		Se obtuvo las coordenadas del punto a partir de la georreferenciación de la Figura 44		734757	1113955	MAGNA_Colombia_Oeste	2° 11' 49,768" N	76° 03' 11,302" W	van der Wiel (1991)	309		
	10				955777	1040536	MAGNA_Colombia_Bogota	4° 11' 46,320" N	73° 42' 44,640" W	Mora <i>et al.</i> (2008)	194	Los autores concluyen que de 3 a 5 km de roca fueron exhumados de la sección estudiada en los últimos 3 Ma
									Torres (2010)	296	Edad integrada, muestra tomada en la quebrada Sombrerillo, municipio de Morales, departamento del Cauca	
12	4	Se obtuvo la localización aproximada del punto a partir de la descripción del sitio de muestreo		1168952	1159734	MAGNA_Colombia_Oeste	6° 07' 19,479" N	75° 38' 04,430" W	Toro (1999)	290	Edad central	
	17				1260998	1093661	MAGNA_Colombia_Oeste	6° 57' 20,103" N	76° 13' 47,887" W	Restrepo <i>et al.</i> (1981c)	235	Edad central de la población 1 es de $2,52 \pm 0,14$ Ma (n = 14) y de la población 2 es de $5,30 \pm 0,44$ Ma (n = 3)
	30				956046	1048052	MAGNA_Colombia_Bogota	4° 11' 54,960" N	73° 38' 40,920" W	Mora <i>et al.</i> (2008)	194	Los autores concluyen que 3–5 km de roca fueron exhumados de la sección estudiada en los últimos 3 Ma

ID Datación Radiométrica	Código de la muestra	Unidad geológica	Litología	Edad años BP	Error años	Edad Ma	Error Ma	Edad grano simple menor detrítico	Edad grano simple mayor detrítico	Edad estratigráfica	Edades heredadas	Método de datación	Material analizado	Relación inicial	MSWD	P(X2) %
914	Tablaza 1					3,06	$\pm 0,12$			Plioceno (N2)			Huellas de fisión	Circón		31–16
915	tef97 (P2)	Unidad volcánica sur	Tefra			3,06	$\pm 0,54$			Plioceno (N2)			Huellas de fisión	Circón		88
916	Guasca 2	Formación Tilitá				3,07	$\pm 0,31$			Plioceno (N2)			Huellas de fisión	Circón		
917	Tablaza 4	Depósito aluvial	Ceniza volcánica			3,1	$\pm 0,18$			Plioceno (N2)			Huellas de fisión	Circón		91–16
918	Tablaza 2 AA	Depósito aluvial	Ceniza volcánica			3,11	$\pm 0,19$			Plioceno (N2)			Huellas de fisión	Circón		16
919	Osos 21		Arenas			3,13	$\pm 0,20$			Plioceno (N2)			Huellas de fisión	Circón		22
920	Tablaza 1 AA	Depósito aluvial	Ceniza volcánica			3,18	$\pm 0,15$			Plioceno (N2)			Huellas de fisión	Circón		16
921	3005	Unidad volcánica sur	Tefra			3,21	$\pm 0,90$			Plioceno (N2)			Huellas de fisión	Circón		<1
922	Tablaza 4 GT	Depósito aluvial	Ceniza volcánica			3,23	$\pm 0,24$			Plioceno (N2)			Huellas de fisión	Circón		91
923	MW 377	Formación El Carmen	Toba de cristales			3,3	$\pm 0,2$			Plioceno (N2)			K–Ar	Biotita		
924	18	Formación Esmeraldas	Arenita					$3,3 \pm 0,2$	$3,4 \pm 13,3$	Plioceno (N2)			U–Th/He	Apatito		
925	M1–MP–011	Formación Viche	Arenita			3,39	$\pm 1,40$			Plioceno (N2)			U–Th/He	Apatito		
926	CM005BR	Gabros de Aponte	Gabro hornblendico			3,4	$\pm 2,6$			Plioceno (N2)			Ar–Ar	Hornblenda		0,75
927	AngosturaAlunit e–01	Vena de alunita en un pórfito fuertemente ssericitizado				3,4	$\pm 0,3$			Plioceno (N2)			K–Ar	Alunita		
928	Envigado 3	Depósito aluvial				3,40	$\pm 0,27$			Plioceno (N2)			Huellas de fisión	Circón		19
929	Chocontá	Formación Tilitá				3,43	$\pm 0,22$			Plioceno (N2)			Huellas de fisión	Circón		
930	PKSW 037a	Formación Popayán	Ignimbrita			3,44	$\pm 0,67$			Plioceno (N2)			Ar–Ar	Biotita		
931	IGM–69926	Pórfito de El Morro	Andesita			3,5	$\pm 0,2$			Plioceno (N2)			K–Ar	Hornblenda		
932	CC 82–270 (R. 11100)	Formación Mesa, Miembro Bernal	Pumita dacítica			3,5	$\pm 0,4$			Plioceno (N2)			K–Ar	Biotita y anfibol		
933	DV133	Monzogranito de Mocoa	Granodiorita			3,5	$\pm 0,3$			Plioceno (N2)			U–Th/He	Apatito		
934	Funza–1538		Capa de ceniza volcánica			3,55	$\pm 0,93$			Plioceno (N2)			K–Ar	Plagioclasa		
935	Chocontá	Formación Tilitá				3,57	$\pm 0,47$			Plioceno (N2)			Huellas de fisión	Circón		
936	DV133	Monzogranito de Mocoa	Granodiorita			3,6	$\pm 0,2$			Plioceno (N2)			U–Th/He	Apatito		
937	M1–MP–009	Formación Angostura	Arenita			3,63	$\pm 2,83$			Plioceno (N2)			U–Th/He	Apatito		
938	Envigado 6	Depósito aluvial				3,64	$\pm 0,25$			Plioceno (N2)			Huellas de fisión	Circón		99
939	FAC 250	Formación Tilitá, Miembro Tibagota				3,67	$\pm 0,50$			Plioceno (N2)			Huellas de fisión	Circón		
940	Envigado 3	Depósito aluvial				3,69	$\pm 0,25$			Plioceno (N2)			Huellas de fisión	Circón		21
941	4	Ignimbrita riolítica				3,7	$\pm 0,2$			Plioceno (N2)			K–Ar	Biotita		
942	Envigado 6	Depósito aluvial				3,70	$\pm 0,31$			Plioceno (N2)			Huellas de fisión	Circón		81
943	B–2730	Flujo de escombros de Paicol	Depósito volcánoclastico			3,7	$\pm 0,2$			Plioceno (N2)			K–Ar	Biotita		
944	T02G4–014	Formación San Agustín	Arenita			3,71	$\pm 0,72$			Plioceno (N2)			U–Th/He	Apatito		
945	CH–ZS–MP–00 3	Formación Condoto				3,72	$\pm 29,54$			Plioceno (N2)			U–Th/He	Apatito		
946	BC–79–7		Leucogranito			3,8	$\pm 0,8$			Plioceno (N2)			Huellas de fisión	Apatito		
947	BV–151	Formación Lutitas de Macanal	Arenita			3,8	$\pm 0,7$			Plioceno (N2)			Huellas de fisión EDM	Apatito		49,7
948	MB–3	Stock de Piedrancha				3,83	$\pm 0,38$			Plioceno (N2)			U–Th/He	Apatito		
949	DV166	Batolito de Mandé	Diorita			3,9	$\pm 0,3$			Plioceno (N2)			U–Th/He	Apatito		
950	Envigado 4	Depósito aluvial				3,95	$\pm 0,33$			Plioceno (N2)			Huellas de fisión	Circón		60
951	BC–79–7		Leucogranito			4	$\pm 0,8$			Plioceno (N2)			Huellas de fisión	Apatito		

Dispersión %	Número de granos analizados	Número de alicuotas	Fuente georreferenciación	Coordenada X	Coordenada Y	Sistema de coordenadas	Latitud	Longitud	Referencia	ID referencia	Comentarios
6–9	9–11		Se obtuvo la localización aproximada del punto a partir de la descripción del sitio de muestreo	1168952	1159734	MAGNA_Colombia_Oeste	6° 07' 19,479" N	75° 38' 04,430" W	Toro (1999)	290	Edad promedio de 2 edades central
<1	3								Toro (1999)	290	Edad central de población
	14								Toro <i>et al.</i> (2003)	293	Edad central
<1–12	5–4		Se obtuvo la localización aproximada del punto a partir de la descripción del sitio de muestreo	1168952	1159734	MAGNA_Colombia_Oeste	6° 07' 19,479" N	75° 38' 04,430" W	Toro (1999)	290	Edad promedio de 2 edades central
12	6		Se obtuvo la localización aproximada del punto a partir de la descripción del sitio de muestreo	1168952	1159734	MAGNA_Colombia_Oeste	6° 07' 19,479" N	75° 38' 04,430" W	Toro (1999)	290	Edad central
3	4			1168038	843825	MAGNA_Colombia_Bogota	6° 06' 50,038" N	75° 29' 17,817" W	Toro <i>et al.</i> (2006)	294	Edad central de población, circones rosados
9	11		Se obtuvo la localización aproximada del punto a partir de la descripción del sitio de muestreo	1168952	1159734	MAGNA_Colombia_Oeste	6° 07' 19,479" N	75° 38' 04,430" W	Toro (1999)	290	Edad central
161	21								Toro <i>et al.</i> (2006)	294	Edad central
<1	5		Se obtuvo la localización aproximada del punto a partir de la descripción del sitio de muestreo	1168952	1159734	MAGNA_Colombia_Oeste	6° 07' 19,479" N	75° 38' 04,430" W	Toro (1999)	290	Edad central
			Se obtuvo las coordenadas del punto a partir de la georreferenciación de la Figura 41	715186	1116563	MAGNA_Colombia_Oeste	2° 01' 12,644" N	76° 01' 47,354" W	van der Wiel (1991)	309	
3				1197784	1021280	MAGNA_Colombia_Bogota	6° 23' 04,898" N	73° 53' 06,587" W	Sánchez <i>et al.</i> (2012)	261	
	1	2		688492	847272	MAGNA_Colombia_Oeste	1° 46' 42,940" N	78° 27' 00,036" W	Agencia Nacional de Hidrocarburos & Universidad de Caldas (2011a)	3	Muestra de ripios recuperados del pozo Majagua-1. La diferencia marcada entre edades de huellas de fisión ( $30,37 \pm 5,51$ Ma) y U–Th/He ( $3,38 \pm 1,40$ Ma) representan una historia de exhumación antigua para la roca fuente y una historia de calentamiento reciente para la Formación Viche
				648757	1011382	MAGNA_Colombia_Oeste	1° 25' 11,136" N	76° 58' 30,838" W	González (2010)	122	Edad de meseta de baja confianza por contaminación atmosférica presente en la muestra
				1307841	1131154	MAGNA_Colombia_Bogota	7° 22' 42,000" N	72° 53' 22,700" W	Leal Mejía (2011)	160	Edad media ponderada interpretada como la edad de mineralización de oro y de la alteración hidrotermal
14	9								Toro <i>et al.</i> (2006)	294	Edad central
9									Toro <i>et al.</i> (2003)	293	Edad central
									Torres (2010)	296	Edad isocrónea en muestra tomada en la quebrada Sombrerillo en el municipio de Morales, departamento del Cauca
			Se obtuvo las coordenadas del punto a partir de la georreferenciación del mapa geológico	1092451	902838	MAGNA_Colombia_Bogota	5° 25' 53,756" N	74° 57' 15,147" W	Barrera & Vesga (1976)	25	
				1061912	909182	MAGNA_Colombia_Bogota	5° 09' 19,973" N	74° 53' 47,768" W	Thouret <i>et al.</i> (1990)	282	También publicada en Thouret (1989) [281]
				611503	1038749	MAGNA_Colombia_Oeste	1° 04' 58,200" N	76° 43' 45,700" W	Villagómez & Spikings (2013)	328	La localización de la muestra no corresponde con la unidad geológica reportada por el autor como Batolito de Ibagué, sino con el Monzógrano de Mocoa
									Hooghiemstra (1984)	138	Edad máxima de muestra de núcleo a 293,80 cm de profundidad en el pozo Funzal la localización ( $4^{\circ} 50' N$ , $74^{\circ} 12' W$ ) reportada por el autor no coincide con el lugar de muestreo
	3								Toro <i>et al.</i> (2003)	293	Edad central poco confiable por el bajo número de granos
				611503	1038749	MAGNA_Colombia_Oeste	1° 04' 58,200" N	76° 43' 45,700" W	Villagómez (2010)	325	Edad media ponderada, la localización de la muestra no corresponde con la unidad geológica reportada por el autor como Batolito de Ibagué, sino con el Monzógrano de Mocoa
	1	1		688492	847272	MAGNA_Colombia_Oeste	1° 46' 42,940" N	78° 27' 00,036" W	Agencia Nacional de Hidrocarburos & Universidad de Caldas (2011a)	3	Muestra de ripios recuperados del pozo Majagua-1
<1	12								Toro (1999)	290	Edad máxima de depósito, edad central de población 1
	11								Helmens <i>et al.</i> (1990)	131	Muestra tomada en nivel de ceniza volcánica
15	13								Toro (1999)	290	Edad central
									Murcia & Pichler (1987)	197	
<1	11								Toro (1999)	290	Edad central
									van Houten (1976)	315	
	1	2		704439	1164574	MAGNA_Colombia_Oeste	1° 55' 21,654" N	78° 35' 54,432" W	Agencia Nacional de Hidrocarburos & Universidad de Caldas (2011a)	3	
	1	1	Se tomaron las coordenadas listadas en los anexos que se diferencian varios metros con respecto a las reportadas en el informe final	1044920	1048332	MAGNA_Colombia_Oeste	5° 00' 08,169" N	76° 38' 30,087" W	Agencia Nacional de Hidrocarburos & Universidad de Caldas (2011b)	4	Edad corregida, muestra de un núcleo de perforación del pozo Chocó-1 ST-P
			Se obtuvo las coordenadas del punto a partir de la georreferenciación de la Figura 7	1382794	1109732	MAGNA_Colombia_Bogota	8° 03' 23,146" N	73° 04' 55,410" W	Shagam <i>et al.</i> (1984)	270	
	29			975044	1019614	MAGNA_Colombia_Bogota	4° 22' 13,800" N	73° 54' 02,880" W	Mora <i>et al.</i> (2008)	194	Los autores concluyen que de 3 a 5 km de roca fueron exhumados de la sección estudiada en los últimos 3 Ma
	1	2		617407	913054	MAGNA_Colombia_Oeste	1° 08' 10,085" N	77° 51' 31,272" W	Agencia Nacional de Hidrocarburos & Universidad de Caldas (2011a)	3	
				1129790	1091928	MAGNA_Colombia_Oeste	5° 46' 09,400" N	76° 14' 51,200" W	Villagómez & Spikings (2013)	328	Edad media ponderada
<1	9								Toro (1999)	290	Edad central
			Se obtuvo las coordenadas del punto a partir de la georreferenciación de la Figura 7	1382794	1109732	MAGNA_Colombia_Bogota	8° 03' 23,146" N	73° 04' 55,410" W	Shagam <i>et al.</i> (1984)	270	

ID Datación Radiométrica	Código de la muestra	Unidad geológica	Litología	Edad años BP	Error años	Edad Ma	Error Ma	Edad grano simple menor detrítico	Edad grano simple mayor detrítico	Edad estratigráfica	Edades heredadas	Método de datación	Material analizado	Relación inicial	MSWD	P(X2) %
952	T02G4-014	Formación San Agustín	Arenita			4,03	$\pm 0,92$			Plioceno (N2)		U-Th/He	Apatito			
953	tfl0b	Depósito lacustre				4,18	$\pm 0,28$			Plioceno (N2)		Huellas de fisión	Circón			65
954	TNA-13		Ceniza volcánica			4,2	$\pm 0,3$			Plioceno (N2)		Huellas de fisión	Circón			
955	COL-3	Rocas volcánicas antiguas del volcán Azufral	Andesita			4,2	$\pm 0,4$			Plioceno (N2)		K-Ar	Roca total			
956	BC-79-11	Gneis de Bucaramanga	Gneis			4,2	$\pm 0,5$			Plioceno (N2)		Huellas de fisión	Apatito			
957	Neusa 2	Formación Marichuela				4,20	$\pm 0,19$			Plioceno (N2)		Huellas de fisión	Circón			
958	Neusa 4	Formación Marichuela				4,24	$\pm 0,17$			Plioceno (N2)		Huellas de fisión	Circón			
959	tfl0a	Depósito lacustre				4,25	$\pm 0,36$			Plioceno (N2)		Huellas de fisión	Circón			68
960	TNA-18		Ceniza volcánica			4,3	$\pm 0,3$			Plioceno (N2)		Huellas de fisión	Circón			
961	25		Ceniza volcánica			4,3	$\pm 0,9$			Plioceno (N2)		Huellas de fisión	Circón			
962	CC 82-2656 (R 11101)	Formación Mesa, Miembro Las Palmas	Pumita dacítica			4,3	$\pm 0,4$			Plioceno (N2)		K-Ar	Biotita y anfibol			
963	PKSW 080a	Ignimbritas de la quebrada Sombrerillo	Ignimbrita			4,3	$\pm 1,3$			Plioceno (N2)		Ar-Ar	Biotita			
964	F-2729	Fanglomerado de Lérida	Depósito volcanoclastico			4,3	$\pm 0,3$			Plioceno (N2)		K-Ar	Plagioclasa			
965	PPM1-5B	Formación Umir	Arenita			4,3	$\pm 1,6$			Plioceno (N2)		Huellas de fisión EDM	Apatito			26,8
966	MB-3	Stock de Piedrancha				4,32	$\pm 0,27$			Plioceno (N2)		U-Th/He	Apatito			
967	FF-G1-28-58	Formación León	Arenita			4,34	$\pm 1,98$			Plioceno (N2)		Huellas de fisión EDM	Apatito			
968	T02G4-014	Formación San Agustín	Arenita			4,36	$\pm 0,39$			Plioceno (N2)		U-Th/He	Apatito			
969	T3-004	Formación Une	Arenita			4,4	$\pm 0,26$			Plioceno (N2)		U-Th/He	Apatito			
970	Envigado 3	Depósito aluvial				4,44	$\pm 0,30$			Plioceno (N2)		Huellas de fisión	Circón			97
971	TNA-21		Ceniza volcánica			4,5	$\pm 0,3$			Plioceno (N2)		Huellas de fisión	Circón			
972	DV129		Gneis granodiorítico			4,5	$\pm 0,3$			Plioceno (N2)		U-Th/He	Apatito			
973	CJ-69	Grupo Arquia	Anfíbolita			4,5	$\pm 1,1$			Plioceno (N2)		Ar-Ar	Biotita			
974	CJ-69	Grupo Arquia	Anfíbolita			4,5	$\pm 0,4$			Plioceno (N2)		Ar-Ar	Biotita			
975	Chocó-456.9-45 7.2-MI-012	Formación Mayorquín				4,53	$\pm 2,11$			Plioceno (N2)		U-Th/He	Apatito			
976	Envigado 3	Depósito aluvial				4,55	$\pm 0,45$			Plioceno (N2)		Huellas de fisión	Circón			77
977	10VDL49	Formación Silgará	Gneis biotítico hornblendíco			4,6	$\pm 0,4$			Plioceno (N2)		Huellas de fisión LA-ICP-MS	Apatito			56,87
978	SG-008	Stock de Támesis				4,63	$\pm 1,35$			Plioceno (N2)		U-Th/He	Apatito			
979	SG-008	Stock de Támesis				4,7	$\pm 0,87$			Plioceno (N2)		U-Th/He	Apatito			
980	Envigado 4	Depósito aluvial				4,71	$\pm 0,19$			Plioceno (N2)		Huellas de fisión	Circón			81
981	Envigado 4	Depósito aluvial				4,74	$\pm 0,18$			Plioceno (N2)		Huellas de fisión	Circón			73
982						4,76-3,54				Plioceno (N2)		Huellas de fisión	Obsidiana			
983	P16-155,67-155,97ML-003	Formaciones Ciénaga de Oro y Porquería				4,83	$\pm 1,74$			Plioceno (N2)		U-Th/He	Apatito			
984	#8	Depósito de terraza				4,89	$\pm 0,55$			Plioceno (N2)		Huellas de fisión	Circón			75
985	Neusa 3	Formación Marichuela				4,98	$\pm 0,30$			Plioceno (N2)		Huellas de fisión	Circón			
986	BC-79-11	Gneis de Bucaramanga	Gneis			5	$\pm 0,6$			Plioceno (N2)		Huellas de fisión	Apatito			

Dispersión %	Número de granos analizados	Número de aliquotas	Fuente georreferenciación	Coordenada X	Coordenada Y	Sistema de coordenadas	Latitud	Longitud	Referencia	ID referencia	Comentarios
	1	3		704439	1164574	MAGNA_Colombia_Oeste_Oeste	1° 55' 21,654" N	78° 35' 54,432" W	Agencia Nacional de Hidrocarburos & Universidad de Caldas (2011a)	3	Interpretada como la edad máxima de deposición para la Formación San Agustín en la sección La Chorrera
<1	6								Toro <i>et al.</i> (2006)	294	Edad central de población 2
	28		Localización tomada de Bernal <i>et al.</i> (2007) [41]	1092502	1068405	MAGNA_Colombia_Bogota	5° 25' 56,557" N	73° 27' 36,987" W	Jaramillo <i>et al.</i> (2005)	147	Muestra tomada de la parte baja de la capa, debajo de TNA-7
			Se obtuvo las coordenadas del punto a partir de la georreferenciación del «Mapa de ubicación de muestras de roca» de Ramírez (1982) [225]	610675	949484	MAGNA_Colombia_Oeste	1° 04' 31,191" N	77° 31' 52,943" W	OLADE <i>et al.</i> (1995)	204	También publicada en Ramírez (1982) [225]
			Se obtuvo las coordenadas del punto a partir de la georreferenciación de la Figura 7	1299183	1131561	MAGNA_Colombia_Bogota	7° 18' 00,181" N	72° 53' 10,200" W	Shagam <i>et al.</i> (1984)	270	
	16								Toro <i>et al.</i> (2003)	293	Edad central
	77								Toro <i>et al.</i> (2003)	293	La edad central de la población 1 es de $2,28 \pm 0,14$ Ma (n = 15), de la población 2 es de $4,42 \pm 0,14$ Ma (n = 54) y de la población 3 es de $8,29 \pm 0,49$ Ma (n = 8); muestra posiblemente tomada de varios niveles
<1	7								Toro <i>et al.</i> (2006)	294	Edad central de población 2
	17		Localización tomada de Bernal <i>et al.</i> (2007) [41]	1092502	1068405	MAGNA_Colombia_Bogota	5° 25' 56,557" N	73° 27' 36,987" W	Jaramillo <i>et al.</i> (2005)	147	Muestra tomada de la parte baja de la capa, debajo de TNA-13
	10		Se obtuvo las coordenadas del punto a partir de la georreferenciación de la Figura 1	1152962	857169	MAGNA_Colombia_Bogota	5° 58' 40,474" N	75° 22' 02,784" W	Restrepo (1991a)	237	Los flujos de irradiación no fueron controlados con minerales de edad conocida y parece que pueden haber variaciones relativamente bruscas en el flujo de neutrones dentro del reactor
				1057310	904556	MAGNA_Colombia_Bogota	5° 06' 49,973" N	74° 56' 17,775" W	Thouret <i>et al.</i> (1990)	282	También publicada en Thouret (1989) [281] con código de muestra CC 82-265b
				796595	1043400	MAGNA_Colombia_Oeste	2° 45' 24,045" N	76° 41' 13,903" W	Torres (2010)	296	Edad de isócrona inversa
									van Houten (1976)	315	
	5			1231593	1046180	MAGNA_Colombia_Bogota	6° 41' 24,990" N	73° 39' 35,450" W	Mora <i>et al.</i> (2010)	195	Edad pooled
	1	4		617407	913054	MAGNA_Colombia_Oeste	1° 08' 10,085" N	77° 51' 31,272" W	Agencia Nacional de Hidrocarburos & Universidad de Caldas (2011a)	3	
				1066021	1164784	MAGNA_Colombia_Bogota	5° 11' 29,340" N	72° 35' 28,800" W	Ramírez Arias <i>et al.</i> (2012)	227	Edad del inicio del último enfriamiento (edad del pico de enterramiento obtenida por modelamiento termal con el uso del software HeFTy), muestra del Sinclinal de Nunchía
	1	1		704439	1164574	MAGNA_Colombia_Oeste_Oeste	1° 55' 21,654" N	78° 35' 54,432" W	Agencia Nacional de Hidrocarburos & Universidad de Caldas (2011a)	3	
		1		1064516	1077954	MAGNA_Colombia_Bogota	5° 10' 45,240" N	73° 22' 27,840" W	Ramírez Arias <i>et al.</i> (2012)	227	Aliquota seleccionada por los autores para el modelamiento inverso, muestra del bloque yacente de la Falla de Soápaga
<1	9								Toro (1999)	290	Edad central de población 2
	40		Localización tomada de Bernal <i>et al.</i> (2007) [41]	1092502	1068405	MAGNA_Colombia_Bogota	5° 25' 56,557" N	73° 27' 36,987" W	Jaramillo <i>et al.</i> (2005)	147	Muestra tomada de la parte baja de la capa, debajo de TNA-18
				620849	1024310	MAGNA_Colombia_Oeste	1° 10' 02,500" N	76° 51' 32,700" W	Villagómez & Spikings (2013)	328	Edad media ponderada
			Se obtuvo las coordenadas del punto a partir de la georreferenciación del Anexo 1	1106642	1166080	MAGNA_Colombia_Oeste	5° 33' 31,188" N	75° 34' 43,495" W	Vinasco (2001)	329	Edad de meseta, espectro con alto error asociado y geometría compleja
			Se obtuvo las coordenadas del punto a partir de la georreferenciación del Anexo 1	1106642	1166080	MAGNA_Colombia_Oeste	5° 33' 31,188" N	75° 34' 43,495" W	Vinasco & Cordani (2012)	333	Edad integrada, espectro con alto error asociado y geometría compleja. También publicada en Vinasco <i>et al.</i> (2003) [331]
	1	3	Se tomaron las coordenadas listadas en los anexos que se diferencian varios metros con respecto a las reportadas en el informe final	1044920	1048332	MAGNA_Colombia_Oeste	5° 00' 08,169" N	76° 38' 30,087" W	Agencia Nacional de Hidrocarburos & Universidad de Caldas (2011b)	4	Edad corregida, muestra de un núcleo de perforación del pozo Chocó-1 ST-S a 456,9 m desde la base del pozo
<1	4								Toro (1999)	290	Edad central
	40			1320130	1151568	MAGNA_Colombia_Bogota	7° 29' 20,000" N	72° 42' 16,000" W	van der Lelij (2013)	308	Edad pooled
	1	1	Se tomaron las coordenadas listadas en los anexos que se diferencian varios metros con respecto a las reportadas en el informe final	1120977	1149914	MAGNA_Colombia_Oeste	5° 41' 18,959" N	75° 43' 27,511" W	Agencia Nacional de Hidrocarburos & Universidad de Caldas (2011b)	4	Edad corregida
	1	3	Se tomaron las coordenadas listadas en los anexos que se diferencian varios metros con respecto a las reportadas en el informe final	1120977	1149914	MAGNA_Colombia_Oeste	5° 41' 18,959" N	75° 43' 27,511" W	Agencia Nacional de Hidrocarburos & Universidad de Caldas (2011b)	4	Edad corregida
<1	21								Toro (1999)	290	Edad central
<1	30								Toro <i>et al.</i> (2006)	294	Edad central
									Bellot <i>et al.</i> (1999)	36	Rango de edades de artefactos de obsidiana encontrados en algunos sitios arqueológicos en el occidente colombiano. Se considera la región de río Hondo en departamento del Cauca (cerca a la ciudad de Popayán) como fuente de la obsidiana.
	1	1	Se tomaron las coordenadas listadas en los anexos que se diferencian varios metros con respecto a las reportadas en el informe final	1441552	837049	MAGNA_Colombia_Bogota	8° 35' 09,873" N	75° 33' 27,519" W	Agencia Nacional de Hidrocarburos & Universidad de Caldas (2011b)	4	Edad corregida, muestra de un núcleo de perforación del pozo P16 a 155,67 m desde la base del pozo
<1	4			1173576	841379	MAGNA_Colombia_Bogota	6° 09' 50,041" N	75° 30' 37,819" W	Toro <i>et al.</i> (2006)	294	Edad central, circones volcánicos retrabajados en terraza
	5								Toro <i>et al.</i> (2003)	293	Edad central
			Se obtuvo las coordenadas del punto a partir de la georreferenciación de la Figura 7	1299183	1131561	MAGNA_Colombia_Bogota	7° 18' 00,181" N	72° 53' 10,200" W	Shagam <i>et al.</i> (1984)	270	

ID Datación Radiométrica	Código de la muestra	Unidad geológica	Litología	Edad años BP	Error años	Edad Ma	Error Ma	Edad grano simple menor detrítico	Edad grano simple mayor detrítico	Edad estratigráfica	Edades heredadas	Método de datación	Material analizado	Relación inicial	MSWD	P(X2) %
987	JLSW063	Intrusivo El Tablón	Microgabro			5,08	$\pm 0,14$			Plioceno (N2)		Ar–Ar	Biotita			
988	MW 202	Formación Gigante, Miembro Los Altares	Clasto de ignimbrita en arenita			5,1	$\pm 1,8$			Plioceno (N2)		Huellas de fisión	Circón			<1
989	30	Formación La Paz (?)	Arenita					5,1 $\pm 0,3$	6,2 $\pm 0,4$	Mioceno (N1)–Plioceno (N2)		U–Th/He	Apatito			
990	24	Formación Mesa	Arenita					5,2 $\pm 0,3$	8 $\pm 0,5$	Plioceno (N2)		U–Th/He	Apatito			
991	RW3b P1	Grupo Guadalupe	Arenita			5,27	$\pm 1,29$			Plioceno (N2)		Huellas de fisión LA–ICP–MS	Apatito			
992	AM-06	Formación Une	Arenita			5,3	$\pm 1,4$			Plioceno (N2)		Huellas de fisión LA–ICP–MS	Apatito			0
993	TT 220	Formación Tlatá, Miembro Tequendama				5,33	$\pm 1,02$			Plioceno (N2)		Huellas de fisión	Circón			
994	SG-008	Stock de Támesis				5,37	$\pm 1,71$			Mioceno (N1)		U–Th/He	Apatito			
995	JLSW063	Intrusivo El Tablón	Microgabro			5,40	$\pm 0,09$			Mioceno (N1)		Ar–Ar	Biotita			
996	T2-019	Formación Une	Arenita			5,4	$\pm 3,1$			Mioceno (N1)		Huellas de fisión LA–ICP–MS	Apatito			66,8
997	JLSW063	Intrusivo El Tablón	Microgabro			5,42	$\pm 0,18$			Mioceno (N1)		Ar–Ar	Biotita			
998	Envigado 6	Depósito aluvial				5,42	$\pm 0,21$			Mioceno (N1)		Huellas de fisión	Circón			10
999	14	Formación Umir	Arenita			5,45	$\pm 0,71$			Mioceno (N1)		Huellas de fisión LA–ICP–MS	Apatito			81,63
1000	BC-79-5	Cuarzomonzonita de La Corcova	Cuarzomonzonita			5,5	$\pm 1,0$			Mioceno (N1)		Huellas de fisión	Apatito			
1001	F-2724	Formación Gualí	Depósito volcánoclastico			5,5	$\pm 0,5$			Mioceno (N1)		K–Ar	Plagioclasa			
1002	EAM-11-43B	Batolito de Santa Marta				5,51	$\pm 0,69$			Mioceno (N1)		U–Th/He	Apatito			
1003	FHD-24	Stock de Marmato	Pórfido dacítico			5,6	$\pm 0,6$			Mioceno (N1)		K–Ar	Plagioclasa sericitizada			
1004	Envigado 6	Depósito aluvial				5,6	$\pm 0,21$			Mioceno (N1)		Huellas de fisión	Circón			45
1005	CJ-69	Grupo Arquia	Anfibolita			5,6	$\pm 0,4$			Mioceno (N1)		Ar–Ar	Biotita			
1006			Riodacita			5,61	$\pm 0,12$			Mioceno (N1)		K–Ar				
1007	Funza-1858		Capa de ceniza volcánica			5,62	$\pm 0,12$			Mioceno (N1)		K–Ar	Biotita			
1008	CGP29	Formación Combia				5,72	$\pm 0,3$			Mioceno (N1)		Huellas de fisión	Circón			88
1009	PPM1-5C	Formación Umir	Arenita			5,8	$\pm 1,2$			Mioceno (N1)		Huellas de fisión EDM	Apatito			67,1
1010	Chocó-1 ST-P-Mp02	Formación Condoto				5,88	$\pm 3,26$			Mioceno (N1)		U–Th/He	Apatito			
1011	1		Ignimbrita dacítica			5,9	$\pm 0,3$			Mioceno (N1)		K–Ar	Biotita			
1012	SJ-1	Grupo Quetame				5,9	$\pm 0,4$			Mioceno (N1)		Huellas de fisión LA–ICP–MS	Circón			6,2
1013	23	Formación Real	Arenita					5,9 $\pm 0,4$	9,5 $\pm 0,6$	Mioceno (N1)		U–Th/He	Apatito			
1014	1662	Stock de Suárez	Cuarzodiorita			6	$\pm 1$			Mioceno (N1)		K–Ar	Hornblenda			
1015	CGP15	Formación Combia				6	$\pm 0,34$			Mioceno (N1)		Huellas de fisión	Circón			0
1016		Stock de Marmato	Dique			6,0	$\pm 0,02$			Mioceno (N1)		U–Pb TIMS	Circón			
1017	29	Formación Lisama	Arenita					6,0 $\pm 0,4$	8 $\pm 0,5$	Mioceno (N1)		U–Th/He	Apatito			
1018	JM024R	Pórfidos andesíticos	Andesita porfirítica con hornblenda y biotita			6,01	$\pm 0,19$			Mioceno (N1)		Ar–Ar	Biotita			
1019	JM024R	Pórfidos andesíticos	Andesita porfirítica con hornblenda y biotita			6,05	$\pm 0,15$			Mioceno (N1)		Ar–Ar	Biotita		0,05	

Dispersión %	Número de granos analizados	Número de alicuotas	Fuente georreferenciación	Coordenada X	Coordenada Y	Sistema de coordenadas	Latitud	Longitud	Referencia	ID referencia	Comentarios
				728104	1040982	MAGNA_Colombia_Oeste	2° 08' 14,294" N	76° 42' 32,792" W	Jerez (2012)	149	Edad integrada
	10		Se obtuvo las coordenadas del punto a partir de la georreferenciación del Apéndice 1. El punto se ubicó en la mitad de la linea que representa la sección estratigráfica LL.	743291	1157906	MAGNA_Colombia_Oeste	2° 16' 26,354" N	75° 39' 28,979" W	van der Wiel <i>et al.</i> (1991)	311	
	4			1196798	1031830	MAGNA_Colombia_Bogota	6° 22' 32,639" N	73° 47' 23,312" W	Sánchez <i>et al.</i> (2012)	261	
	4			1198662	1015529	MAGNA_Colombia_Bogota	6° 23' 33,540" N	73° 56' 13,715" W	Sánchez <i>et al.</i> (2012)	261	
	10		Localización tomada de Mora <i>et al.</i> (2010) [195]	1109946	1137318	MAGNA_Colombia_Bogota	5° 35' 20,870" N	72° 50' 17,540" W	Ramírez Arias <i>et al.</i> (2012)	227	Edad de población, muestra del Sinclinal de Aquitania
	35			1066018	1077108	MAGNA_Colombia_Bogota	5° 11' 34,140" N	73° 22' 55,260" W	Parra <i>et al.</i> (2009b)	219	
	11								Helmens <i>et al.</i> (1990)	131	Muestra tomada en nivel de ceniza volcánica
	1	2	Se tomaron las coordenadas listadas en los anexos que se diferencian varios metros con respecto a las reportadas en el informe final	1120977	1149914	MAGNA_Colombia_Oeste	5° 41' 18,959" N	75° 43' 27,511" W	Agencia Nacional de Hidrocarburos & Universidad de Caldas (2011b)	4	Edad corregida
				728104	1040982	MAGNA_Colombia_Oeste	2° 08' 14,294" N	76° 42' 32,792" W	Jerez (2012)	149	Edad de meseta
	5			1044968	1058545	MAGNA_Colombia_Bogota	5° 00' 09,480" N	73° 32' 58,560" W	Parra <i>et al.</i> (2009b)	219	
				728104	1040982	MAGNA_Colombia_Oeste	2° 08' 14,294" N	76° 42' 32,792" W	Jerez (2012)	149	Edad de isócrona inversa
16	43								Toro <i>et al.</i> (2006)	294	Edad central
	36			1182914	1031406	MAGNA_Colombia_Bogota	6° 15' 00,680" N	73° 47' 37,356" W	Sánchez <i>et al.</i> (2012)	261	Edad pooled
			Se obtuvo las coordenadas del punto a partir de la georreferenciación de la Figura 7	1258237	1119625	MAGNA_Colombia_Bogota	6° 55' 48,514" N	72° 59' 42,385" W	Shagam <i>et al.</i> (1984)	270	
									van Houten (1976)	315	Según el autor la edad debería de ser más joven y probablemente la muestra de plagioclasa está contaminada con otro mineral
				1728143	992386	MAGNA_Colombia_Bogota	11° 10' 47,939" N	74° 08' 49,984" W	Cardona <i>et al.</i> (2011b)	70	
									Tassanari <i>et al.</i> (2008)	277	Edad de la deposición del oro y proceso de sericitación hidrotermal, es posible sugerir que la mineralización de oro fue formada durante el enfriamiento del Plutón de Marmato, 1 Ma después de la cristalización como resultado de movimiento a lo largo de la zona de cizalla de Cauca-Romeral
4	32								Toro (1999)	290	Edad central
			Se obtuvo las coordenadas del punto a partir de la georreferenciación del Anexo 1	1106642	1166080	MAGNA_Colombia_Oeste	5° 33' 31,188" N	75° 34' 43,495" W	Vinasco & Cordani (2012)	333	Edad de meseta, probablemente refleja deformación, edad coincidente con edades de intrusión de cuerpos próximos al afloramiento. También publicada en Vinasco <i>et al.</i> (2003) [331]
			Se obtuvo las coordenadas del punto a partir de la georreferenciación de la Figura 1	973108	1024571	MAGNA_Colombia_Bogota	4° 21' 10,734" N	73° 51' 22,124" W	Ujueta <i>et al.</i> (1990)	303	
									Hooghiemstra (1984)	138	Edad mínima, muestra rechazada de núcleo a 325,75 cm de profundidad en el pozo Funza, la localización (4° 50' N, 74° 12' W) reportada por el autor no coincide con el lugar de muestreo
0	13		Se obtuvo la localización de la sección Guineales-Peñalisa, a lo largo de la cual se tomaron las muestras, a partir de la georreferenciación de la Figura 6	1145875	1132392	MAGNA_Colombia_Oeste	5° 54' 50,587" N	75° 52' 55,094" W	Ramírez <i>et al.</i> (2006)	226	Edad central de población 1, los eventos volcánicos que dieron origen a la Formación Combia son interpretados entre 10 y 6 Ma
	9			1231593	1046180	MAGNA_Colombia_Bogota	6° 41' 24,990" N	73° 39' 35,450" W	Mora <i>et al.</i> (2010)	195	Edad pooled
	1	1	Se tomaron las coordenadas listadas en los anexos que se diferencian varios metros con respecto a las reportadas en el informe final	1044920	1048332	MAGNA_Colombia_Oeste	5° 00' 08,169" N	76° 38' 30,087" W	Agencia Nacional de Hidrocarburos & Universidad de Caldas (2011b)	4	Edad corregida, muestra de un núcleo de perforación del pozo Chocó-1 ST-P
									Murcia & Pichler (1987)	197	
15	14			988688	1044021	MAGNA_Colombia_Bogota	4° 29' 37,680" N	73° 40' 51,060" W	Parra <i>et al.</i> (2009b)	219	
	4			1197404	1016893	MAGNA_Colombia_Bogota	6° 22' 52,576" N	73° 55' 29,341" W	Sánchez <i>et al.</i> (2012)	261	
			Se obtuvo las coordenadas del punto a partir de la georreferenciación de la figura	816460	1039940	MAGNA_Colombia_Oeste	2° 56' 10,814" N	76° 43' 05,708" W	Álvarez <i>et al.</i> (1981b)	11	Edad de cristalización
11,8	15		Se obtuvo la localización de la sección Guineales-Peñalisa, a lo largo de la cual se tomaron las muestras, a partir de la georreferenciación de la Figura 6	1145875	1132392	MAGNA_Colombia_Oeste	5° 54' 50,587" N	75° 52' 55,094" W	Ramírez <i>et al.</i> (2006)	226	Edad central de población 1, los eventos volcánicos que dieron origen a la Formación Combia son interpretados entre 10 y 6 Ma
									Santacruz <i>et al.</i> (2013)	262	
	4			1197559	1032465	MAGNA_Colombia_Bogota	6° 22' 57,400" N	73° 47' 02,634" W	Sánchez <i>et al.</i> (2012)	261	
				733051	1047324	MAGNA_Colombia_Oeste	2° 10' 55,273" N	76° 39' 07,526" W	González (2010)	122	Edad integrada
				733051	1047324	MAGNA_Colombia_Oeste	2° 10' 55,273" N	76° 39' 07,526" W	González (2010)	122	Edad de isócrona inversa

ID Datación Radiométrica	Código de la muestra	Unidad geológica	Litología	Edad años BP	Error años	Edad Ma	Error Ma	Edad grano simple menor detrítico	Edad grano simple mayor detrítico	Edad estratigráfica	Edades heredadas	Método de datación	Material analizado	Relación inicial	MSWD	P(X2) %
1020	JM024R	Pórfidos andesíticos	Andesita porfirítica con hornblenda y biotita			6,05	$\pm 0,31$			Mioceno (N1)		Ar–Ar	Hornblenda		0,79	
1021	JM024R	Pórfidos andesíticos	Andesita porfirítica con hornblenda y biotita			6,07	$\pm 0,14$			Mioceno (N1)		Ar–Ar	Biotita		0,46	
1022	TM-3	Formación Combia	Andesita			6,1	$\pm 1$			Mioceno (N1)		K–Ar	Roca total			
1023	C-78-1		Ortogneis biótico			6,1	$\pm 0,7$			Mioceno (N1)			Huellas de fisión	Apatito		
1024	C-78-1		Ortogneis biótico			6,1	$\pm 0,6$			Mioceno (N1)			Huellas de fisión	Apatito		
1025	3		Gabro			6,1	$\pm 0,7$			Mioceno (N1)		K–Ar	Hornblenda			
1026	DV07	Batolito de Ibagué	Granito			6,1	$\pm 0,2$			Mioceno (N1)		U–Th/He	Apatito			
1027	DV26	Stock de Córdoba	Granodiorita			6,1	$\pm 0,4$			Mioceno (N1)		U–Th/He	Apatito			
1028	RW-2	Formación Chiaque	Arenita			6,1	$\pm 0,07$			Mioceno (N1)		U–Th/He	Apatito			
1029	15	Formación Umir	Arenita			6,12	$\pm 2,18$			Mioceno (N1)			Huellas de fisión LA–ICP–MS	Apatito		100
1030	SG-008	Stock de Támesis				6,16	$+2,6/-1,83$			Mioceno (N1)			Huellas de fisión LA–ICP–MS	Apatito		
1031	JM024R	Pórfidos andesíticos	Andesita porfirítica con hornblenda y biotita			6,17	$\pm 0,28$			Mioceno (N1)		Ar–Ar	Hornblenda		1,3	
1032	Envigado 6	Depósito aluvial				6,19	$\pm 0,23$			Mioceno (N1)			Huellas de fisión	Circón		98
1033	PA-V13	Grupo Real	Toba retrabajada			6,2	$\pm 0,8$			Mioceno (N1)			Huellas de fisión EDM	Circón		97
1034	G.T	Formación Irra	Pómez andesíticas retrabajadas			6,2	$\pm 0,3$			Mioceno (N1)			Huellas de fisión	Circón		94
1035	MW 126	Formación Gigante, Miembro Garzón	Toba de cristales			6,2	$\pm 0,4$			Mioceno (N1)		K–Ar	Hornblenda			
1036	DV07	Batolito de Ibagué	Granito			6,2	$\pm 0,4$			Mioceno (N1)		U–Th/He	Apatito			
1037	EAM-11-42A	Batolito de Santa Marta				6,22	$\pm 1,28$			Mioceno (N1)		U–Th/He	Apatito			
1038	JM024R	Pórfidos andesíticos	Andesita porfirítica con hornblenda y biotita			6,27	$\pm 0,41$			Mioceno (N1)		Ar–Ar	Hornblenda			
1039	P28-29.21-29.5 I-ML-005	Formación Moñitos				6,29	$\pm 0,71$			Mioceno (N1)		U–Th/He	Apatito			
1040	12009392	Intrusivos hipobiaisales	Pórfido granodiorítico			6,3	$\pm 0,3$			Mioceno (N1)	ca. 13 Ma	U–Pb LA–MC–ICP–MS	Circón			
1041	IGM-6881	Stock de Marmato	Pórfido dacítico			6,3	$\pm 0,7$			Mioceno (N1)		K–Ar	Hornblenda			
1042	A.A	Formación Irra	Pumita andesítica retrabajada			6,3	$\pm 0,3$			Mioceno (N1)			Huellas de fisión	Circón		25
1043	MP-18	Grupo Guadalupe	Arenita			6,3	$\pm 1,2$			Mioceno (N1)			Huellas de fisión EDM	Apatito		
1044	MD-128	Formación Las Juntas	Arenita			6,3	$\pm 1,7$			Mioceno (N1)			Huellas de fisión EDM	Apatito		2,33
1045	22	Formación Real	Arenita					6,3 $\pm 0,4$	10,4 $\pm 1,9$	Mioceno (N1)		U–Th/He	Apatito			
1046	JR071R	Stock de Pitayó				6,31	$\pm 0,46$			Mioceno (N1)		Ar–Ar	Hornblenda			
1047	JR071R	Stock de Pitayó				6,37	$\pm 0,27$			Mioceno (N1)		Ar–Ar	Hornblenda			
1048	JR071R	Stock de Pitayó				6,4	$\pm 1,4$			Mioceno (N1)		Ar–Ar	Hornblenda		2,1	
1049	TNA-7		Ceniza volcánica			6,4	$\pm 0,5$			Mioceno (N1)			Huellas de fisión	Circón		

Dispersión %	Número de granos analizados	Número de alicuotas	Fuente georreferenciación	Coordenada X	Coordenada Y	Sistema de coordenadas	Latitud	Longitud	Referencia	ID referencia	Comentarios
				733051	1047324	MAGNA_Colombia_Oeste	2° 10' 55,273" N	76° 39' 07,526" W	González (2010)	122	Edad de isocrona inversa
				733051	1047324	MAGNA_Colombia_Oeste	2° 10' 55,273" N	76° 39' 07,526" W	González (2010)	122	Edad de meseta interpretada como de cristalización magmática
				1116384	1151089	MAGNA_Colombia_Oeste	5° 38' 49,400" N	75° 42' 49,700" W	Leal Mejía (2011)	160	Edad media ponderada interpretada como de cristalización magmática
			Se obtuvo las coordenadas del punto a partir de la georreferenciación de la Figura 7	1292590	1138815	MAGNA_Colombia_Bogota	7° 14' 24,978" N	72° 49' 14,348" W	Shagam <i>et al.</i> (1984)	270	
			Se obtuvo las coordenadas del punto a partir de la georreferenciación de la Figura 7	1292590	1138815	MAGNA_Colombia_Bogota	7° 14' 24,978" N	72° 49' 14,348" W	Shagam <i>et al.</i> (1984)	270	
			Se obtuvo la localización del pozo Orito 4 del sitio web del EPIS	564788	1022628	MAGNA_Colombia_Oeste	0° 39' 37,346" N	76° 52' 27,199" W	Vásquez <i>et al.</i> (2009)	317	Edad de cristalización. Diques y silos de gabro que cortan la sucesión cretácica de la cuenca del Putumayo
				979196	864163	MAGNA_Colombia_Bogota	4° 24' 25,400" N	75° 18' 04,500" W	Villagómez (2010)	325	Edad media ponderada
				979396	1154012	MAGNA_Colombia_Oeste	4° 24' 30,900" N	75° 41' 24,200" W	Villagómez & Spikings (2013)	328	Edad media ponderada
	1			1109305	1139931	MAGNA_Colombia_Bogota	5° 34' 59,820" N	72° 48' 52,680" W	Ramírez Arias <i>et al.</i> (2012)	227	Alicuota seleccionada por los autores para el modelamiento inverso, muestra del Sinclinal de Aquitania
	25			1187110	1034932	MAGNA_Colombia_Bogota	6° 17' 17,207" N	73° 45' 42,570" W	Sánchez <i>et al.</i> (2012)	261	Edad pooled
	40		Se tomaron las coordenadas listadas en los anexos que se diferencian varios metros con respecto a las reportadas en el informe final	1120977	1149914	MAGNA_Colombia_Oeste	5° 41' 18,959" N	75° 43' 27,511" W	Agencia Nacional de Hidrocarburos & Universidad de Caldas (2011b)	4	Edad pooled
				733051	1047324	MAGNA_Colombia_Oeste	2° 10' 55,273" N	76° 39' 07,526" W	González (2010)	122	Edad de meseta interpretada como de cristalización magmática
<1	31								Toro (1999)	290	Edad central de población 2
	20								Gómez <i>et al.</i> (2005)	116	Edad central, interpretada como de actividad volcánica que ocurrió casi simultánea con la deposición
	11		Se obtuvo la localización aproximada del punto a partir de la descripción del sitio de muestreo a 4,9 km de la población de Irra hacia Manizales, costado oriental de la carretera	1071944	1158154	MAGNA_Colombia_Oeste	5° 14' 42,599" N	75° 39' 03,602" W	Toro <i>et al.</i> (1999)	291	Edad ponderada
			Se obtuvo las coordenadas del punto a partir de la georreferenciación del Apéndice I de van der Wiel (1991) [309]. El punto se ubicó en la mitad de la línea que representa la sección estratigráfica RSQGt	761519	838598	MAGNA_Colombia_Bogota	2° 26' 19,507" N	75° 31' 42,794" W	van der Wiel <i>et al.</i> (1992)	313	
				979196	864163	MAGNA_Colombia_Bogota	4° 24' 25,400" N	75° 18' 04,500" W	Villagómez & Spikings (2013)	328	Edad media ponderada
				1726305	993826	MAGNA_Colombia_Bogota	11° 09' 48,133" N	74° 08' 02,509" W	Cardona <i>et al.</i> (2011b)	70	
				733051	1047324	MAGNA_Colombia_Oeste	2° 10' 55,273" N	76° 39' 07,526" W	González (2010)	122	Edad integrada
	1	3	Se tomaron las coordenadas listadas en los anexos que se diferencian varios metros con respecto a las reportadas en el informe final	1483589	1110651	MAGNA_Colombia_Oeste	8° 58' 03,481" N	76° 04' 16,838" W	Agencia Nacional de Hidrocarburos & Universidad de Caldas (2011b)	4	Edad corregida, muestra de un núcleo de perforación del pozo P28 a 29,21 m desde la base del pozo
				1003282	835923	MAGNA_Colombia_Bogota	4° 37' 27,600" N	75° 33' 21,800" W	Leal Mejía (2011)	160	Interpretada como la edad de cristalización magmática
			Las coordenadas (5° 29' 36" N, 75° 36' 40" W) reportadas por los autores no coinciden con la localización de la datación en la Figura 1. Se obtuvieron las coordenadas del punto a partir de la georreferenciación de esta figura	1099101	1162886	MAGNA_Colombia_Oeste	5° 29' 26,012" N	75° 36' 27,853" W	Restrepo <i>et al.</i> (1981a)	233	
	8		Se obtuvo la localización aproximada del punto a partir de la descripción del sitio de muestreo a 4,9 km de la población de Irra hacia Manizales, costado oriental de la carretera	1071944	1158154	MAGNA_Colombia_Oeste	5° 14' 42,599" N	75° 39' 03,602" W	Toro <i>et al.</i> (1999)	291	Edad ponderada
	12			1096795	1177260	MAGNA_Colombia_Bogota	5° 28' 09,770" N	72° 28' 41,240" W	Mora <i>et al.</i> (2010)	195	Edad pooled
	13			1104058	1169538	MAGNA_Colombia_Bogota	5° 32' 06,780" N	72° 32' 51,420" W	Ramírez Arias <i>et al.</i> (2012)	227	Muestra del bloque colgante de la Falla de Pajarito
	4			1197449	1017229	MAGNA_Colombia_Bogota	6° 22' 54,037" N	73° 55' 18,408" W	Sánchez <i>et al.</i> (2012)	261	
				789396	1082428	MAGNA_Colombia_Oeste	2° 41' 29,082" N	76° 20' 10,524" W	González (2010)	122	Edad de fusión total
				789396	1082428	MAGNA_Colombia_Oeste	2° 41' 29,082" N	76° 20' 10,524" W	González (2010)	122	Edad de isocrona inversa
	14		Localización tomada de Bernal <i>et al.</i> (2007) [41]	1092502	1068405	MAGNA_Colombia_Bogota	5° 25' 56,557" N	73° 27' 36,987" W	Jaramillo <i>et al.</i> (2005)	147	Muestra tomada a 15 m del tope de la capa

ID Datación Radiométrica	Código de la muestra	Unidad geológica	Litología	Edad años BP	Error años	Edad Ma	Error Ma	Edad grano simple menor detrítico	Edad grano simple mayor detrítico	Edad estratigráfica	Edades heredadas	Método de datación	Material analizado	Relación inicial	MSWD	P(X2) %
1050	MW 537	Formación Gigante, Miembro Garzón	Toba			6,4	$\pm 2,4$			Mioceno (N1)		Huellas de fisión	Circón			<1
1051	JR071R	Stock de Pitayó				6,41	$\pm 0,36$			Mioceno (N1)		Ar–Ar	Hornblenda			
1052	RM-6	Batolito de Piedrancha	Granodiorita			6,5	$\pm 2,7$			Mioceno (N1)		K–Ar	Hornblenda			
1053	BC-79-12		Ortogneis biotíctico			6,5	$\pm 0,9$			Mioceno (N1)		Huellas de fisión	Apatito			
1054	JR071R	Stock de Pitayó				6,52	$\pm 0,26$			Mioceno (N1)		Ar–Ar	Hornblenda		1,5	
1055	SG-008	Stock de Támesis				6,55	$+ 1,33/- 1,11$			Mioceno (N1)		Huellas de fisión LA–ICP–MS	Circón			
1056	T4-032	Formación Une	Arenita			6,55	$\pm 0,93$			Mioceno (N1)		Huellas de fisión LA–ICP–MS	Apatito			97,9
1057	MW 178	Formación Gigante	Toba de cristales			6,6	$\pm 1,4$			Mioceno (N1)		Huellas de fisión	Circón			<1
1058	MW 157	Formación Gigante, Miembro Garzón	Toba de cristales			6,6	$\pm 0,4$			Mioceno (N1)		K–Ar	Biotita			
1059	T4-032	Formación Une	Arenita			6,6	$\pm 0,9$			Mioceno (N1)		Huellas de fisión LA–ICP–MS	Apatito			97,9
1060	JR071R	Stock de Pitayó				6,63	$\pm 0,57$			Mioceno (N1)		Ar–Ar	Hornblenda			
1061	MP-89 P1	Grupo Guadalupe	Arenita			6,69	$\pm 3,92$			Mioceno (N1)		Huellas de fisión EDM	Apatito			
1062		Pórfido de Marmato				6,7	$\pm 0,2$			Mioceno (N1)	73 y 12 Ma	U–Pb SHRIMP	Circón			
1063	MW 105	Formación Gigante, Miembro Los Altares	Clasto de dacita en ignimbrita			6,7	$\pm 0,9$			Mioceno (N1)		Huellas de fisión	Circón			10
1064	CJ-61		Pórfido andesítico			6,7	$\pm 0,05$			Mioceno (N1)		Ar–Ar	Biotita			
1065	MP-89	Grupo Guadalupe	Arenita			6,7	$\pm 3,9$			Mioceno (N1)		Huellas de fisión EDM	Apatito			
1066	114	Formaciones Arcabuco y Girón	Arenita			6,7	$\pm 1,6$			Mioceno (N1)		Huellas de fisión LA–ICP–MS	Apatito			2,9
1067	CJ-61		Pórfido andesítico			6,75	$\pm 0,06$			Mioceno (N1)		Ar–Ar	Biotita			
1068	SR033R	Pórfido andesítico dacítico de Irra	Andesita hornbléndica			6,77	$\pm 0,22$			Mioceno (N1)		Ar–Ar	Hornblenda		0,25	
1069	IGM-95353	Stock de La Felisa	Pórfido andesítico			6,8	$\pm 0,2$			Mioceno (N1)		K–Ar	Biotita			
1070	CGP15	Formación Combia				6,81	$\pm 0,47$			Mioceno (N1)		Huellas de fisión	Circón			0
1071	CJ-61		Pórfido andesítico			6,81	$\pm 0,04$			Mioceno (N1)		Ar–Ar	Biotita			
1072	CGP29	Formación Combia				6,82	$\pm 0,5$			Mioceno (N1)		Huellas de fisión	Circón			0
1073	Chocó-456.9-45 7.2-ML-012	Formación Mayorquín				6,82	$\pm 7,13$			Mioceno (N1)		U–Th/He	Apatito			
1074	SR033R	Pórfido andesítico dacítico de Irra	Andesita hornbléndica			6,84	$\pm 0,2$			Mioceno (N1)		Ar–Ar	Hornblenda		0,29	
1075	M1-MP-011	Formación Viche	Arenita			6,85	$\pm 170,46$			Mioceno (N1)		U–Th/He	Apatito			
1076		Stock de Marmato	Pórfido dacítico			6,87	$\pm 0,03$			Mioceno (N1)		U–Pb TIMS	Circón			
1077	SR033R	Pórfido andesítico dacítico de Irra	Andesita hornbléndica			6,89	$\pm 0,27$			Mioceno (N1)		Ar–Ar	Hornblenda			
1078	M1-MP-019	Formación Cayapas	Arenita			6,9	$\pm 3,09$			Mioceno (N1)		U–Th/He	Apatito			
1079	YARNV	Pórfido de Yarumalito	Diorita			6,95	$\pm 0,16$			Mioceno (N1)		U–Pb SHRIMP	Circón		1,07	
1080	PA-V4c	Grupo Real	Toba retrabajada			7	$\pm 1,2$			Mioceno (N1)		Huellas de fisión EDM	Circón			50

Dispersión %	Número de granos analizados	Número de aliquotas	Fuente georreferenciación	Coordenada X	Coordenada Y	Sistema de coordenadas	Latitud	Longitud	Referencia	ID referencia	Comentarios
	10		Se obtuvo las coordenadas del punto a partir de la georreferenciación del Apéndice 1. El punto se ubicó en la mitad de la línea que representa la sección estratigráfica RSG	735567	1161842	MAGNA_Colombia_Oeste	2° 12' 14,845" N	75° 37' 21,872" W	van der Wiel <i>et al.</i> (1991)	311	
				789396	1082428	MAGNA_Colombia_Oeste	2° 41' 29,082" N	76° 20' 10,524" W	González (2010)	122	Edad integrada de fusión total
									Japan International Cooperation Agency & Metal Mining Agency of Japan (1983)	145	
			Se obtuvo las coordenadas del punto a partir de la georreferenciación de la Figura 7	1294544	1130404	MAGNA_Colombia_Bogota	7° 15' 29,306" N	72° 53' 48,290" W	Shagam <i>et al.</i> (1984)	270	
				789396	1082428	MAGNA_Colombia_Oeste	2° 41' 29,082" N	76° 20' 10,524" W	González (2010)	122	Edad de meseta
	30		Se tomaron las coordenadas listadas en los anexos que se diferencian varios metros con respecto a las reportadas en el informe final	1120977	1149914	MAGNA_Colombia_Oeste	5° 41' 18,959" N	75° 43' 27,511" W	Agencia Nacional de Hidrocarburos & Universidad de Caldas (2011b)	4	Edad pooled
	38			1078374	1099485	MAGNA_Colombia_Bogota	5° 18' 15,420" N	73° 10' 48,120" W	Ramírez Arias <i>et al.</i> (2012)	227	Muestra del bloque yacente de la Falla de Soápagua
	12		Se obtuvo las coordenadas del punto a partir de la georreferenciación de la Figura 37	706883	1140614	MAGNA_Colombia_Oeste	1° 56' 41,825" N	75° 48' 49,427" W	van der Wiel (1991)	309	
			Se obtuvo las coordenadas del punto a partir de la georreferenciación del Apéndice 1 de van der Wiel (1991) [309]. El punto se ubicó en la mitad de la línea que representa la sección estratigráfica QLH	753919	1167969	MAGNA_Colombia_Oeste	2° 22' 11,930" N	75° 34' 03,037" W	van der Wiel <i>et al.</i> (1992)	313	
	38		Localización tomada de Ramírez Arias <i>et al.</i> (2012) [227]	1078374	1099485	MAGNA_Colombia_Bogota	5° 18' 15,420" N	73° 10' 48,120" W	Parra <i>et al.</i> (2009b)	219	
				789396	1082428	MAGNA_Colombia_Oeste	2° 41' 29,082" N	76° 20' 10,524" W	González (2010)	122	Edad de fusión total
	16			1119242	869864	MAGNA_Colombia_Este	5° 40' 23,900" N	72° 15' 07,820" W	Mora <i>et al.</i> (2010)	195	Edad pooled de la población 1
									Frantz <i>et al.</i> (2003)	106	Edad Magmática, también reporta una edad de 6,5 ± 0,2 Ma
	10		Se obtuvo las coordenadas del punto a partir de la georreferenciación del Apéndice 1. El punto se ubicó en la mitad de la línea que representa la sección estratigráfica RSQGt	762098	838148	MAGNA_Colombia_Bogota	2° 26' 38,315" N	75° 31' 57,371" W	van der Wiel <i>et al.</i> (1991)	311	
			Se obtuvo las coordenadas del punto a partir de la georreferenciación del Anexo 1	1083699	1161630	MAGNA_Colombia_Oeste	5° 21' 04,892" N	75° 37' 09,840" W	Vinasco & Cordani (2012)	333	Edad integrada
	20			1119242	869864	MAGNA_Colombia_Este	5° 40' 23,900" N	72° 15' 07,820" W	Mora <i>et al.</i> (2010)	195	Edad pooled
	2			1185454	1065337	MAGNA_Colombia_Bogota	6° 16' 22,469" N	73° 29' 13,474" W	Sánchez <i>et al.</i> (2012)	261	Edad pooled
			Se obtuvo las coordenadas del punto a partir de la georreferenciación del Anexo 1	1083699	1161630	MAGNA_Colombia_Oeste	5° 21' 04,892" N	75° 37' 09,840" W	Vinasco & Cordani (2012)	333	Edad de meseta interpretada como edad de enfriamiento que es prácticamente la edad de cristalización del cuerpo
				1083776	1161843	MAGNA_Colombia_Oeste	5° 21' 07,376" N	75° 37' 02,934" W	González (2010)	122	Edad de isocrona inversa
			El autor no reporta la localización de la datación. Se obtuvo las coordenadas del punto de la compilación realizada por Restrepo (1983) [236]	1086926	1160452	MAGNA_Colombia_Oeste	5° 22' 50,007" N	75° 37' 47,859" W	González (1980)	118	
0,7	13		Se obtuvo la localización de la sección Guineales-Pehlisa, a lo largo de la cual se tomaron las muestras, a partir de la georreferenciación de la Figura 6	1145875	1132392	MAGNA_Colombia_Oeste	5° 54' 50,587" N	75° 52' 55,094" W	Ramírez <i>et al.</i> (2006)	226	Edad central de población 1, los eventos volcánicos que dieron origen a la Formación Combia son interpretados entre 10 y 6 Ma
			Se obtuvo las coordenadas del punto a partir de la georreferenciación del Anexo 1	1083699	1161630	MAGNA_Colombia_Oeste	5° 21' 04,892" N	75° 37' 09,840" W	Vinasco (2001)	329	Edad de meseta
0	13		Se obtuvo la localización de la sección Guineales-Pehlisa, a lo largo de la cual se tomaron las muestras, a partir de la georreferenciación de la Figura 6	1145875	1132392	MAGNA_Colombia_Oeste	5° 54' 50,587" N	75° 52' 55,094" W	Ramírez <i>et al.</i> (2006)	226	Edad central de población 1, los eventos volcánicos que dieron origen a la Formación Combia son interpretados entre 10 y 6 Ma
	1	2	Se tomaron las coordenadas listadas en los anexos las cuales varían varios metros con respecto a las reportadas en el informe final	1044920	1048332	MAGNA_Colombia_Oeste	5° 00' 08,169" N	76° 38' 30,087" W	Agencia Nacional de Hidrocarburos & Universidad de Caldas (2011b)	4	Edad corregida, muestra de un núcleo de perforación del pozo Chocó-1 ST-S a 456,9 m desde la base del pozo
				1083776	1161843	MAGNA_Colombia_Oeste	5° 21' 07,376" N	75° 37' 02,934" W	González (2010)	122	Edad de meseta interpretada como de cristalización magnética
	1	3		688492	847272	MAGNA_Colombia_Oeste	1° 46' 42,940" N	78° 27' 00,036" W	Agencia Nacional de Hidrocarburos & Universidad de Caldas (2011a)	3	Muestra de ripios recuperados del pozo Majagua-1
				1083776	1161843	MAGNA_Colombia_Oeste	5° 21' 07,376" N	75° 37' 02,934" W	Santacruz <i>et al.</i> (2013)	262	
									González (2010)	122	Edad integrada
	1	1		688492	847272	MAGNA_Colombia_Oeste	1° 46' 42,940" N	78° 27' 00,036" W	Agencia Nacional de Hidrocarburos & Universidad de Caldas (2011a)	3	Muestra de ripios recuperados del pozo Remolino Grande-1, según el código de la muestra pertenece al pozo Majagua-1 y no al pozo Remolino Grande-1 como está listado en la Tabla 2 del Anexo 17
	17								Henrichs (2013)	134	Edad media ponderada interpretada como la edad de cristalización, muestra obtenida de pozo de sondeo en la vía Panamericana 11 km al norte de Marmato, departamento de Caldas
	19								Gómez <i>et al.</i> (2005)	116	Edad central, interpretada como de actividad volcánica que ocurrió casi simultánea con la deposición

ID Datación Radiométrica	Código de la muestra	Unidad geológica	Litología	Edad años BP	Error años	Edad Ma	Error Ma	Edad grano simple menor detrítico	Edad grano simple mayor detrítico	Edad estratigráfica	Edades heredadas	Método de datación	Material analizado	Relación inicial	MSWD	P(X2) %
1081	YARSV	Pórfido de Yarumalito	Andesita			7	$\pm 0,15$			Mioceno (N1)	Tres granos con edades de $592 \pm 14$ , $459 \pm 9$ y $163 \pm 4,7$ Ma	U–Pb SHRIMP	Circón		1,08	
1082	SK 417	Formación Guacacallo	Ignimbrita riolítica			7	$\pm 0,3$			Mioceno (N1)		K–Ar	Biotita			
1083	MW 110	Formación Gigante, Miembro Los Altares	Toba de cristales lítica			7	$\pm 0,1$			Mioceno (N1)		K–Ar	Biotita			
1084	M1–MP–004	Formación Chagüí	Arenita			7,08	$+22,12/-5,37$			Mioceno (N1)		Huellas de fisión LA–ICP–MS	Apatito			
1085	IGM–95353	Stock de La Felisa	Pórfido andesítico			7,1	$\pm 0,2$			Mioceno (N1)		K–Ar	Hornblenda			
1086	BC–79–3	Cuarzomonzonita de Santa Bárbara	Cuarzomonzonita			7,1	$\pm 1,2$			Mioceno (N1)		Huellas de fisión	Apatito			
1087	P28–29,21–29,5 l–ML–005	Formación Moñitos				7,17	$\pm 2,01$			Mioceno (N1)		U–Th/He	Apatito			
1088	SG–008	Stock de Támesis				ca. 7,2				Mioceno (N1)		U–Pb LA–MC–ICP–MS	Circón			
1089	WR–234	Stock de Támesis	Granodiorita			7,2	$\pm 0,2$			Mioceno (N1)	ca. 80 y 11–10 Ma	U–Pb LA–MC–ICP–MS	Circón			
1090	MW 154	Formación Gigante, Miembro Los Altares	Toba de cristales lítica			7,2	$\pm 0,2$			Mioceno (N1)		K–Ar	Biotita			
1091	MW 179	Formación Gigante, Miembro Los Altares	Clasto de punta en arena			7,2	$\pm 0,2$			Mioceno (N1)		K–Ar	Biotita			
1092	tef97	Unidad volcánica sur	Tefra			7,24	$\pm 0,89$			Mioceno (N1)		Huellas de fisión	Circón			<1
1093	LC–10	Intrusivos hipoadiscales	Dique de pórfido granodiorítico tardío			7,3	$\pm 0,2$			Mioceno (N1)	ca. 250–200, 168, 80–70, 40 y 30 Ma	U–Pb LA–MC–ICP–MS	Circón			
1094	BC–79–3	Cuarzomonzonita de Santa Bárbara	Cuarzomonzonita			7,3	$\pm 1,1$			Mioceno (N1)		Huellas de fisión	Apatito			
1095	BC–79–8		Granodiorita			7,3	$\pm 1,0$			Mioceno (N1)		Huellas de fisión	Apatito			
1096	MW 542	Formación Gigante, Miembro Los Altares	Lapilli			7,3	$\pm 0,3$			Mioceno (N1)		K–Ar	Hornblenda			
1097	CJ–61		Pórfido andesítico			7,36	$\pm 0,14$			Mioceno (N1)		Ar–Ar	Biotita			
1098	Chocó–456.9–45 7.2–ML–012	Formación Mayorquín				7,39	$\pm 0,91$			Mioceno (N1)		U–Th/He	Apatito			
1099	MP–29 P1–Dpar	Formación Las Juntas	Arenita			7,4	$\pm 2,19$			Mioceno (N1)		Huellas de fisión EDM	Apatito			
1100	09–Bu–205	Pórfido andesítico de Buriticá	Andesita			7,41	$\pm 0,40$			Mioceno (N1)		Ar–Ar	Anfibol		2,30	
1101	CM010AR	Rocas hipoadiscales dacíticas	Andesita porfirítica			7,42	$\pm 1,22$			Mioceno (N1)		Ar–Ar	Hornblenda			
1102	C–V2	Formación San Antonio	Toba andesítica			7,5	$\pm 1,2$			Mioceno (N1)		Huellas de fisión EDM	Circón			> 99
1103	10029776	Intrusivos hipoadiscales	Pórfido diorítico			7,5	$\pm 0,2$			Mioceno (N1)	ca. 570 y 70 Ma	U–Pb LA–MC–ICP–MS	Circón			
1104	MW 202	Formación Gigante, Miembro Los Altares	Clasto de ignimbrita en arena			7,5	$\pm 0,2$			Mioceno (N1)		K–Ar	Biotita			
1105	DV05	Batolito de Ibagué	Granodiorita			7,5	$\pm 0,5$			Mioceno (N1)		U–Th/He	Apatito			
1106	MP–18	Grupo Guadalupe	Arenita			7,5	$\pm 1,2$			Mioceno (N1)		Huellas de fisión EDM	Apatito			0,84
1107	MP–29 P1–Cl	Formación Las Juntas	Arenita			7,51	$\pm 2,22$			Mioceno (N1)		Huellas de fisión EDM	Apatito			
1108	JR136R	Stock de Támesis	Cuarzodiorita hornblendítica			7,54	$\pm 0,36$			Mioceno (N1)		Ar–Ar	Biotita			
1109	09–Bu–205	Pórfido andesítico de Buriticá	Andesita			7,59	$\pm 0,16$			Mioceno (N1)		Ar–Ar	Anfibol		3,76	
1110	WR–69	Intrusivos hipoadiscales	Pórfido diorítico			7,6	$\pm 0,3$			Mioceno (N1)		U–Pb LA–MC–ICP–MS	Circón			

Dispersión %	Número de granos analizados	Número de alicuotas	Fuente georreferenciación	Coordenada X	Coordenada Y	Sistema de coordenadas	Latitud	Longitud	Referencia	ID referencia	Comentarios
	15								Henrichs (2013)	134	Edad media ponderada interpretada como la edad de cristalización, muestra obtenida de pozo de sondeo en la vía Panamericana 11 km al norte de Marmato, departamento de Caldas
			Se obtuvo la localización aproximada del punto a partir de la descripción del sitio de muestreo	709732	1107545	MAGNA_Colombia_Oeste	1° 58' 15,284" N	76° 06' 39,207" W	Kroonenberg <i>et al.</i> (1982)	156	
			Se obtuvo las coordenadas del punto a partir de la georreferenciación del Apéndice 1 de van der Wiel (1991) [309]. El punto se ubicó en la mitad de la línea que representa la sección estratigráfica RSQGt	762098	838148	MAGNA_Colombia_Bogota	2° 26' 38,315" N	75° 31' 57,371" W	van der Wiel <i>et al.</i> (1992)	313	
	3			688492	847272	MAGNA_Colombia_Oeste	1° 46' 42,940" N	78° 27' 00,036" W	Agencia Nacional de Hidrocarburos & Universidad de Caldas (2011a)	3	Edad pooled, muestra de ripios recuperados del pozo Majagua-1
			El autor no reporta la localización de la datación. Se obtuvo las coordenadas del punto de la compilación realizada por Restrepo (1983) [236]	1086926	1160452	MAGNA_Colombia_Oeste	5° 22' 50,007" N	75° 37' 47,859" W	González (1980)	118	
			Se obtuvo las coordenadas del punto a partir de la georreferenciación de la Figura 7	1260439	1124470	MAGNA_Colombia_Bogota	6° 56' 59,832" N	72° 57' 04,396" W	Shagam <i>et al.</i> (1984)	270	
1	1		Se tomaron las coordenadas listadas en los anexos que se diferencian varios metros con respecto a las reportadas en el informe final	1483589	1110651	MAGNA_Colombia_Oeste	8° 58' 03,481" N	76° 04' 16,838" W	Agencia Nacional de Hidrocarburos & Universidad de Caldas (2011b)	4	Edad corregida, muestra de un núcleo de perforación del pozo P28 a 29,21 m desde la base del pozo
40			Se tomaron las coordenadas listadas en los anexos que se diferencian varios metros con respecto a las reportadas en el informe final	1120977	1149914	MAGNA_Colombia_Oeste	5° 41' 18,959" N	75° 43' 27,511" W	Agencia Nacional de Hidrocarburos & Universidad de Caldas (2011b)	4	Interpretada como la edad de cristalización magnética
				1112638	1149451	MAGNA_Colombia_Oeste	5° 36' 47,600" N	75° 43' 43,200" W	Leal Mejía (2011)	160	Interpretada como la edad de cristalización magnética
			Se obtuvo las coordenadas del punto a partir de la georreferenciación del Apéndice 1 de van der Wiel (1991) [309]. El punto se ubicó en la mitad de la línea que representa la sección estratigráfica QLH	753991	1167724	MAGNA_Colombia_Oeste	2° 22' 14,278" N	75° 34' 10,961" W	van der Wiel <i>et al.</i> (1992)	313	
			Se obtuvo las coordenadas del punto a partir de la georreferenciación del Apéndice 1 de van der Wiel (1991) [309]. El punto se ubicó en la mitad de la línea que representa la sección estratigráfica Qfjo	741967	1161445	MAGNA_Colombia_Oeste	2° 15' 43,140" N	75° 37' 34,512" W	van der Wiel <i>et al.</i> (1992)	313	
131	52								Toro <i>et al.</i> (2006)	294	Edad central
				984725	843826	MAGNA_Colombia_Bogota	4° 27' 24,200" N	75° 29' 04,300" W	Leal Mejía (2011)	160	Interpretada como la edad de cristalización magnética
			Se obtuvo las coordenadas del punto a partir de la georreferenciación de la Figura 7	1260439	1124470	MAGNA_Colombia_Bogota	6° 56' 59,832" N	72° 57' 04,396" W	Shagam <i>et al.</i> (1984)	270	
			Se obtuvo las coordenadas del punto a partir de la georreferenciación de la Figura 7	1384003	1111901	MAGNA_Colombia_Bogota	8° 04' 02,341" N	73° 03' 44,484" W	Shagam <i>et al.</i> (1984)	270	
			Se obtuvo las coordenadas del punto a partir de la georreferenciación de la Figura 3 de van der Wiel (1991) [309]	744527	1121044	MAGNA_Colombia_Oeste	2° 17' 07,625" N	75° 59' 21,687" W	van der Wiel <i>et al.</i> (1992)	313	
			Se obtuvo las coordenadas del punto a partir de la georreferenciación del Anexo 1	1083699	1161630	MAGNA_Colombia_Oeste	5° 21' 04,892" N	75° 37' 09,840" W	Vinasco & Cordani (2012)	333	Edad integrada
1	1		Se tomaron las coordenadas listadas en los anexos que se diferencian varios metros con respecto a las reportadas en el informe final	1044920	1048332	MAGNA_Colombia_Oeste	5° 00' 08,169" N	76° 38' 30,087" W	Agencia Nacional de Hidrocarburos & Universidad de Caldas (2011b)	4	Edad corregida, muestra de un núcleo de perforación del pozo Chocó-1 ST-S a 456,9 m desde la base del pozo
13				1099785	1172204	MAGNA_Colombia_Bogota	5° 29' 47,520" N	72° 31' 25,200" W	Ramirez Arias <i>et al.</i> (2012)	227	Edad de población, muestra del bloque colgante de la Falla de Pajarito
			Se obtuvo las coordenadas del punto a partir de la georreferenciación de la Figura 22	1232787	1129160	MAGNA_Colombia_Oeste	6° 41' 59,482" N	75° 54' 33,844" W	Lesage <i>et al.</i> (2013)	161	Edad de isócrona inversa interpretada como de enfriamiento
				674920	1010387	MAGNA_Colombia_Oeste	1° 39' 22,926" N	76° 59' 02,990" W	González (2010)	122	Edad integrada de menor confianza que la obtenida con biotita
19									Gómez <i>et al.</i> (2003)	115	Edad central, interpretada como la edad eruptiva
				986390	842654	MAGNA_Colombia_Bogota	4° 28' 18,300" N	75° 29' 42,400" W	Leal Mejía (2011)	160	Interpretada como la edad de cristalización magnética
			Se obtuvo las coordenadas del punto a partir de la georreferenciación del Apéndice 1 de van der Wiel (1991) [309]. El punto se ubicó en la mitad de la línea que representa la sección estratigráfica LL	743291	1157906	MAGNA_Colombia_Oeste	2° 16' 26,354" N	75° 39' 28,979" W	van der Wiel <i>et al.</i> (1992)	313	
				979260	867839	MAGNA_Colombia_Bogota	4° 24' 27,700" N	75° 16' 05,300" W	Villagómez & Spikings (2013)	328	Edad media ponderada
12			Localización tomada de Mora <i>et al.</i> (2010) [195]	1096795	1177260	MAGNA_Colombia_Bogota	5° 28' 09,770" N	72° 28' 41,240" W	Ramirez Arias <i>et al.</i> (2012)	227	Muestra del Anticinal Montrralo
13				1099785	1172204	MAGNA_Colombia_Oeste	5° 29' 47,520" N	72° 31' 25,200" W	Ramirez Arias <i>et al.</i> (2012)	227	Edad de población, muestra del bloque colgante de la Falla de Pajarito
				1111951	1151593	MAGNA_Colombia_Oeste	5° 36' 25,099" N	75° 42' 33,667" W	González (2010)	122	Edad integrada
			Se obtuvo las coordenadas del punto a partir de la georreferenciación de la Figura 22	1232787	1129160	MAGNA_Colombia_Oeste	6° 41' 59,482" N	75° 54' 33,844" W	Lesage <i>et al.</i> (2013)	161	Edad de meseta pobremente definida, muestra con exceso de argón
				1162913	1142081	MAGNA_Colombia_Oeste	6° 04' 04,400" N	75° 47' 38,900" W	Leal Mejía (2011)	160	Interpretada como la edad de cristalización magnética

ID Datación Radiométrica	Código de la muestra	Unidad geológica	Litología	Edad años BP	Error años	Edad Ma	Error Ma	Edad grano simple menor detrítico	Edad grano simple mayor detrítico	Edad estratigráfica	Edades heredadas	Método de datación	Material analizado	Relación inicial	MSWD	P(X2) %
1111	MIN-01	Intrusivos hipoaísales	Pórfido diorítico			7,6	$\pm 0,2$			Mioceno (N1)	<i>ca.</i> 42 Ma	U-Pb LA-MC-ICP-MS	Circón			
1112	10018054	Intrusivos hipoaísales	Pórfido granodiorítico			7,6	$\pm 0,2$			Mioceno (N1)	<i>ca.</i> 185, 80, 45 y 35 Ma	U-Pb LA-MC-ICP-MS	Circón			
1113	12036376	Intrusivos hipoaísales	Cuarzodiorita			7,6	$\pm 0,2$			Mioceno (N1)		U-Pb LA-MC-ICP-MS	Circón			
1114	63.01	Formación Esmita	Andesita basáltica			7,6	$\pm 1,8$			Mioceno (N1)		K-Ar	Roca total			
1115	MW 195	Formación Gigante, Miembro Los Altares	Clasto de pumita en arena			7,6	$\pm 0,1$			Mioceno (N1)		K-Ar	Biotita			
1116	10VDL61	Granodiorita del río Suratá	Granodiorita			7,6	$\pm 0,9$			Mioceno (N1)		Huellas de fisión LA-ICP-MS	Apatito			99,03
1117	ESP-01	Formación Espinal				7,62	$\pm 2,92$			Mioceno (N1)		U-Th/He	Apatito			
1118	JR136R	Stock de Támesis	Cuarzodiorita hornbléndica			7,68	$\pm 0,23$			Mioceno (N1)		Ar-Ar	Biotita		1,8	
1119	JR136R	Stock de Támesis	Cuarzodiorita hornbléndica			7,7	$\pm 0,79$			Mioceno (N1)		Ar-Ar	Hornblenda		0,32	
1120	Q-45		Pórfido diorítico sericitizado			7,7	$\pm 0,2$			Mioceno (N1)		Re-Os	Molibdenita			
1121	MW 105	Formación Gigante, Miembro Los Altares	Clasto de dacita en ignimbrita			7,7	$\pm 0,3$			Mioceno (N1)		K-Ar	Biotita			
1122	08-Bu-16	Pórfido andesítico de Buriticá	Andesita			7,73	$\pm 0,12$			Mioceno (N1)		Ar-Ar	Sericita hidrotermal		1,55	
1123	08-Bu-16	Pórfido andesítico de Buriticá	Andesita			7,73	$\pm 0,26$			Mioceno (N1)		Ar-Ar	Sericita hidrotermal		1,01	
1124	P19-241.71-242 .01-ML-003	Formación Sincelaje				7,73	$\pm 4,83$			Mioceno (N1)		U-Th/He	Apatito			
1125	08-Bu-83	Pórfido andesítico de Buriticá	Andesita			7,74	$\pm 0,10$			Mioceno (N1)		Ar-Ar	Sericita hidrotermal		0,47	
1126	JR136R	Stock de Támesis	Cuarzodiorita hornbléndica			7,8	$\pm 0,44$			Mioceno (N1)		Ar-Ar	Biotita		1,9	
1127	JR136R	Stock de Támesis	Cuarzodiorita hornbléndica			7,8	$\pm 0,77$			Mioceno (N1)		Ar-Ar	Hornblenda			
1128	TM-2	Stock de Támesis	Granodiorita hornbléndica biotítica			7,8	$\pm 0,4$			Mioceno (N1)		K-Ar	Biotita			
1129	P18	Andesita de Corcovado	Andesita			7,8	$\pm 1,0$			Mioceno (N1)		K-Ar	Roca total			
1130	60.02	Stock de Pitayó	Traquiandesita			7,8	$\pm 0,2$			Mioceno (N1)		K-Ar	Anfibol			
1131		Formación Gigante	Pumita			7,8	$\pm 0,5$			Mioceno (N1)			Huellas de fisión	Circón		
1132	To302-0305	Formación San Agustín	Arenita			7,8						U-Pb LA-MC-ICP-MS	Circón			
1133	JR136R	Stock de Támesis	Cuarzodiorita hornbléndica			7,86	$\pm 0,51$			Mioceno (N1)		Ar-Ar	Hornblenda		0,33	
1134	08-Bu-16	Pórfido andesítico de Buriticá	Andesita			7,87	$\pm 0,05$			Mioceno (N1)		Ar-Ar	Sericita hidrotermal			
1135	08-Bu-83	Pórfido andesítico de Buriticá	Andesita			7,89	$\pm 0,04$			Mioceno (N1)		Ar-Ar	Sericita hidrotermal			
1136	08-Bu-83	Pórfido andesítico de Buriticá	Andesita			7,89	$\pm 0,12$			Mioceno (N1)		Ar-Ar	Sericita hidrotermal		0,95	
1137	LC-2		Brecha con fuerte alteración biotíctica penetrativa			7,9	$\pm 0,8$			Mioceno (N1)		K-Ar	Roca total y biotita secundaria			
1138	COL-2	Intrusivos hipoaísales	Pórfido granodiorítico			7,9	$\pm 0,3$			Mioceno (N1)	<i>ca.</i> 400, 145, 125 y 50 Ma	U-Pb LA-MC-ICP-MS	Circón			

Dispersión %	Número de granos analizados	Número de alicuotas	Fuente georreferenciación	Coordenada X	Coordenada Y	Sistema de coordenadas	Latitud	Longitud	Referencia	ID referencia	Comentarios
				1146829	1149111	MAGNA_Colombia_Oeste	5° 55' 20,400" N	75° 43' 51,600" W	Leal Mejia (2011)	160	Interpretada como la edad de cristalización magmática
				985987	842848	MAGNA_Colombia_Bogota	4° 28' 05,200" N	75° 29' 36,100" W	Leal Mejia (2011)	160	Interpretada como la edad de cristalización magmática
				992490	840440	MAGNA_Colombia_Bogota	4° 31' 36,700" N	75° 30' 54,600" W	Leal Mejia (2011)	160	Interpretada como la edad de cristalización magmática
			Las coordenadas reportadas por el autor no coinciden con la localización de la datación en la Figura 3.1. Se obtuvo las coordenadas del punto a partir de la georreferenciación de esta figura	735655	1029697	MAGNA_Colombia_Oeste	2° 12' 20,199" N	76° 48' 37,948" W	Risnes (1995)	249	
			Se obtuvo las coordenadas del punto a partir de la georreferenciación del Apéndice 1 de van der Wiel (1991) [309]. El punto se ubicó en la mitad de la línea que representa la sección estratigráfica QLDb	733913	1158653	MAGNA_Colombia_Oeste	2° 11' 21,115" N	75° 39' 05,105" W	van der Wiel <i>et al.</i> (1992)	313	
38				1284345	1109296	MAGNA_Colombia_Bogota	7° 09' 59,000" N	73° 05' 17,000" W	van der Lelij (2013)	308	Edad pooled
1	1			910106	1048388	MAGNA_Colombia_Oeste	3° 46' 59,384" N	76° 38' 30,817" W	Agencia Nacional de Hidrocarburos & Universidad de Caldas (2011a)	3	
				1111951	1151593	MAGNA_Colombia_Oeste	5° 36' 25,099" N	75° 42' 33,667" W	González (2010)	122	Edad de meseta
				1111951	1151593	MAGNA_Colombia_Oeste	5° 36' 25,099" N	75° 42' 33,667" W	González (2010)	122	Edad de isócrona inversa
				1079040	1151651	MAGNA_Colombia_Oeste	5° 18' 34,000" N	75° 42' 34,200" W	Leal Mejia (2011)	160	Edad de mineralización
			Se obtuvo las coordenadas del punto a partir de la georreferenciación del Apéndice 1 de van der Wiel (1991) [309]. El punto se ubicó en la mitad de la línea que representa la sección estratigráfica RSQG	762098	838148	MAGNA_Colombia_Bogota	2° 26' 38,315" N	75° 31' 57,371" W	van der Wiel <i>et al.</i> (1992)	313	
			Se obtuvo las coordenadas del punto a partir de la georreferenciación de la Figura 22	1233187	1129694	MAGNA_Colombia_Oeste	6° 42' 12,463" N	75° 54' 16,412" W	Lesage <i>et al.</i> (2013)	161	Edad de meseta, el promedio ponderado de las dos edades de meseta (muestras 08-Bu-16 y 08-Bu-83) de 7,74 ± 0,08 Ma lo interpretan como la edad de mineralización
			Se obtuvo las coordenadas del punto a partir de la georreferenciación de la Figura 22	1233187	1129694	MAGNA_Colombia_Oeste	6° 42' 12,463" N	75° 54' 16,412" W	Lesage <i>et al.</i> (2013)	161	Edad de isócrona inversa
1	2		Se tomaron las coordenadas listadas en los anexos que se diferencian varios metros con respecto a las reportadas en el informe final	1434849	845761	MAGNA_Colombia_Bogota	8° 31' 32,820" N	75° 28' 41,900" W	Agencia Nacional de Hidrocarburos & Universidad de Caldas (2011b)	4	Edad corregida, muestra de un núcleo de perforación del pozo P19 a 241,71 m desde la base del pozo
			Se obtuvo las coordenadas del punto a partir de la georreferenciación de la Figura 22	1233150	1129631	MAGNA_Colombia_Oeste	6° 42' 11,257" N	75° 54' 18,474" W	Lesage <i>et al.</i> (2013)	161	Edad de meseta, podría existir pérdida parcial de argón radiogénico. El promedio ponderado de las dos edades de meseta (muestras 08-Bu-16 y 08-Bu-83) de 7,74 ± 0,08 Ma lo interpretan como la edad de mineralización
				1111951	1151593	MAGNA_Colombia_Oeste	5° 36' 25,099" N	75° 42' 33,667" W	González (2010)	122	Edad de isócrona inversa
				1111951	1151593	MAGNA_Colombia_Oeste	5° 36' 25,099" N	75° 42' 33,667" W	González (2010)	122	Edad integrada
				1111798	1153030	MAGNA_Colombia_Oeste	5° 36' 20,000" N	75° 41' 47,000" W	Leal Mejia (2011)	160	Interpretada como la edad de cristalización magmática
			Las coordenadas (6,1° N; 75,8° W) reportadas por el autor no coinciden con la localización de la datación en la Figura 1. Se obtuvo las coordenadas del punto a partir de la georreferenciación de esta figura	1161698	1146180	MAGNA_Colombia_Oeste	6° 03' 24,515" N	75° 45' 25,717" W	MacDonald (1980)	168	
				789808	1082679	MAGNA_Colombia_Oeste	2° 41' 42,500" N	76° 20' 02,364" W	Risnes (1995)	249	
			Se obtuvo las coordenadas del punto a partir de la georreferenciación de la Figura 2	832821	872649	MAGNA_Colombia_Bogota	3° 05' 01,430" N	75° 13' 23,137" W	Takemura & Danbara (1983)	275	Muestra tomada en la sección NV4. La edad de 7,8 ± 0,5 Ma es considerada la edad de la muestra de pómex y fue calculada a partir de los cristales cuya edad varía entre 6 y 10 Ma. La edad de todos los granulos datados varía entre 6 y 17 Ma
100									Agencia Nacional de Hidrocarburos & Universidad de Caldas (2011a)	3	Se presentan picos de edad a 85,8; 27,3; 17-13 y 7,8 Ma
				1111951	1151593	MAGNA_Colombia_Oeste	5° 36' 25,099" N	75° 42' 33,667" W	González (2010)	122	Edad de meseta
			Se obtuvo las coordenadas del punto a partir de la georreferenciación de la Figura 22	1233187	1129694	MAGNA_Colombia_Oeste	6° 42' 12,463" N	75° 54' 16,412" W	Lesage <i>et al.</i> (2013)	161	Edad de fusión total
			Se obtuvo las coordenadas del punto a partir de la georreferenciación de la Figura 22	1233150	1129631	MAGNA_Colombia_Oeste	6° 42' 11,257" N	75° 54' 18,474" W	Lesage <i>et al.</i> (2013)	161	Edad de fusión total, podría existir pérdida parcial de argón radiogénico
			Se obtuvo las coordenadas del punto a partir de la georreferenciación de la Figura 22	1233150	1129631	MAGNA_Colombia_Oeste	6° 42' 11,257" N	75° 54' 18,474" W	Lesage <i>et al.</i> (2013)	161	Edad de isócrona inversa, podría existir pérdida parcial de argón radiogénico
				985498	843180	MAGNA_Colombia_Bogota	4° 27' 49,300" N	75° 29' 25,300" W	Leal Mejia (2011)	160	Edad media ponderada interpretada como la edad de alteración hidrotermal y mineralización
				986211	842771	MAGNA_Colombia_Bogota	4° 28' 12,500" N	75° 29' 38,600" W	Leal Mejia (2011)	160	Interpretada como la edad de cristalización magmática

ID Datación Radiométrica	Código de la muestra	Unidad geológica	Litología	Edad años BP	Error años	Edad Ma	Error Ma	Edad grano simple menor detrítico	Edad grano simple mayor detrítico	Edad estratigráfica	Edades heredadas	Método de datación	Material analizado	Relación inicial	MSWD	P(X2) %
1139	MW 104	Formación Gigante, Miembro Los Altares	Lapilli (ignimbrita)			7,9	$\pm 0,1$			Mioceno (N1)		K-Ar	Biotita			
1140	CGP15	Formación Combia				7,97	$\pm 0,85$			Mioceno (N1)		Huellas de fisión	Circón			0
1141	P28-29,21-29,5 l-ML-005	Formación Moñitos				7,97	$\pm 1,49$			Mioceno (N1)		U-Th/He	Apatito			
1142	IGM-119254	Stock granitoide de la quebrada Las Minas	Tonalita			8	$\pm 3$			Mioceno (N1)		K-Ar	Biotita			
1143	LC-4		Pórfido diorítico con fuerte alteración biotítica			8	$\pm 0,8$			Mioceno (N1)		K-Ar	Biotita secundaria			
1144	Aurora-IM-01	Intrusivos hipoadisales	Pórfido diorítico			8	$+0,9/-0,4$			Mioceno (N1)		U-Pb LA-MC-ICP-MS	Circón			
1145	Q-34	Intrusivos hipoadisales	Pórfido diorítico			8	$\pm 0,5$			Mioceno (N1)		U-Pb LA-MC-ICP-MS	Circón			
1146	P18	Pórfido de Titiribí	Andesita			8,0	$\pm 0,9$			Mioceno (N1)		K-Ar	Roca total			
1147	UNM 2947	Pórfido andesítico de La Pintada	Andesita porfírica			8	$\pm 4$			Mioceno (N1)		K-Ar	Homblenda			
1148	MW 206	Formación Gigante, Miembro Los Altares	Clasto de pumita en arenita			8	$\pm 0,1$			Mioceno (N1)		K-Ar	Biotita			
1149		Pórfido de Dos Quebradas				8,1	$\pm 1$			Mioceno (N1)		K-Ar	Biotita			
1150	COL-3	Intrusivos hipoadisales	Pórfido diorítico			8,1	$\pm 0,3$			Mioceno (N1)	<i>ca. 860, 260–200, 160–100 y 60 Ma</i>	U-Pb LA-MC-ICP-MS	Circón			
1151	12036426	Intrusivos hipoadisales	Pórfido diorítico			8,1	$\pm 0,1$			Mioceno (N1)	<i>ca. 75, 45 y 25 Ma</i>	U-Pb LA-MC-ICP-MS	Circón			
1152	Q-39		Pórfido diorítico con fuerte alteración biotítica			8,2	$\pm 0,7$			Mioceno (N1)		K-Ar	Roca total y biotita secundaria			
1153	DV129		Gneis granodiorítico			8,21	$\pm 1,2$			Mioceno (N1)		Huellas de fisión LA-ICP-MS	Apatito			16
1154	CM010AR	Rocas hipoadisales dacíticas	Andesita porfírica			8,3	$\pm 0,07$			Mioceno (N1)		Ar-Ar	Biotita			
1155	COL-1	Intrusivos hipoadisales	Pórfido diorítico			8,3	$\pm 0,2$			Mioceno (N1)	<i>ca. 1060, 290, 95 y 70 Ma</i>	U-Pb LA-MC-ICP-MS	Circón			
1156	BV-86	Grupo Quetame				8,3	$\pm 0,5$			Mioceno (N1)		Huellas de fisión LA-ICP-MS	Circón			23,2
1157	MW 146	Formación Gigante, Miembro Los Altares	Clasto de ignimbrita en flujo de escombros			8,3	$\pm 0,8$			Mioceno (N1)		K-Ar	Biotita			
1158	MP-40	Formación Une	Arenita			8,3	$\pm 1,2$			Mioceno (N1)		Huellas de fisión EDM	Apatito			18,29
1159	RG-MP-012	Formación 1 Sur	Arenita			8,31	$+ 3,44/- 2,43$			Mioceno (N1)		Huellas de fisión LA-ICP-MS	Apatito			
1160	12044046	Intrusivos hipoadisales	Pórfido diorítico			8,4	$\pm 0,2$			Mioceno (N1)	<i>ca. 50 y 30 Ma</i>	U-Pb LA-MC-ICP-MS	Circón			
1161	LD13-1		Riodacita			8,4	$\pm 0,2$			Mioceno (N1)	$208 \pm 2,1 \text{ Ma}$ (MSWD = 0,81)	U-Pb LA-ICP-MS	Circón			
1162	LGM-LV9	Formación Gigante	Clasto de pumita en arenita			8,412	$\pm 0,065$			Mioceno (N1)		Ar-Ar	Homblenda			
1163	DH-23					8,43	$\pm 0,08$			Mioceno (N1)		K-Ar	Molibdenita			
1164	CM010AR	Rocas hipoadisales dacíticas	Andesita porfírica			8,44	$\pm 0,52$			Mioceno (N1)		Ar-Ar	Homblenda			
1165	B-2722	Formación Gigante				8,5	$\pm 0,4$			Mioceno (N1)		K-Ar	Roca total			
1166	10VDL35	Diorita del río Suratá	Diorita			8,5	$\pm 1,5$			Mioceno (N1)		Huellas de fisión LA-ICP-MS	Apatito			63,78

Dispersión %	Número de gramos analizados	Número de alicuotas	Fuente georreferenciación	Coordenada X	Coordenada Y	Sistema de coordenadas	Latitud	Longitud	Referencia	ID referencia	Comentarios
			Se obtuvo las coordenadas del punto a partir de la georreferenciación del Apéndice I de van der Wiel (1991) [309]. El punto se ubicó en la mitad de la línea que representa la sección estratigráfica RSQGt	762667	837988	MAGNA_Colombia_Bogota	2° 26' 56,835" N	75° 32' 02,590" W	van der Wiel <i>et al.</i> (1992)	313	
69,4	18		Se obtuvo la localización de la sección Guineales-Pefalissa, a lo largo de la cual se tomaron las muestras, a partir de la georreferenciación de la Figura 6	1145875	1132392	MAGNA_Colombia_Oeste	5° 54' 50,587" N	75° 52' 55,094" W	Ramirez <i>et al.</i> (2006)	226	Edad central, los eventos volcánicos que dieron origen a la Formación Combia son interpretados entre 10 y 6 Ma
1	2		Se tomaron las coordenadas listadas en los anexos que se diferencian varios metros con respecto a las reportadas en el informe final	1483589	1110651	MAGNA_Colombia_Oeste	8° 58' 03,481" N	76° 04' 16,838" W	Agencia Nacional de Hidrocarburos & Universidad de Caldas (2011b)	4	Edad corregida, muestra de un núcleo de perforación del pozo P28 a 29,21 m desde la base del pozo
			Las coordenadas reportadas por los autores no coinciden con la figura de localización. Se obtuvieron las coordenadas del punto a partir de la georreferenciación de la figura 6	717916	1029675	MAGNA_Colombia_Oeste	2° 02' 42,682" N	76° 48' 38,738" W	Álvarez & Linares (1981a)	8	Muestra de bloque rodado, edad interpretada como no muy distante a la edad de cristalización
				985029	842541	MAGNA_Colombia_Bogota	4° 27' 34,000" N	75° 29' 46,000" W	Leal Mejia (2011)	160	Edad de alteración hidrotermal y mineralización
				1128404	1149897	MAGNA_Colombia_Oeste	5° 45' 20,700" N	75° 43' 27,500" W	Leal Mejia (2011)	160	Interpretada como la edad de cristalización magmática
				1079008	1151325	MAGNA_Colombia_Oeste	5° 18' 33,000" N	75° 42' 44,800" W	Leal Mejia (2011)	160	Interpretada como la edad de cristalización magmática
			Las coordenadas (6,1° N; 75,8° W) reportadas por el autor no coinciden con la localización de la datación en la Figura 1. Se obtuvieron las coordenadas del punto a partir de la georreferenciación de esta figura	1161698	1146180	MAGNA_Colombia_Oeste	6° 03' 24,515" N	75° 45' 25,717" W	MacDonald (1980)	168	El autor denomina a la unidad como Andesita de Corcovado
			Las coordenadas (5° 41' N, 75° 37' W) reportadas por los autores no coinciden con la localización de la datación en la Figura 1. Se obtuvieron las coordenadas del punto a partir de la georreferenciación de esta figura	1122057	1162445	MAGNA_Colombia_Oeste	5° 41' 53,136" N	75° 36' 40,304" W	Restrepo <i>et al.</i> (1981a)	233	
			Se obtuvo las coordenadas del punto a partir de la georreferenciación del Apéndice I de van der Wiel (1991) [309]	733114	1155395	MAGNA_Colombia_Oeste	2° 10' 55,207" N	75° 40' 50,527" W	van der Wiel <i>et al.</i> (1992)	313	
									Chamois & Evans (2012)	75	
				986211	842780	MAGNA_Colombia_Bogota	4° 28' 12,500" N	75° 29' 38,300" W	Leal Mejia (2011)	160	Interpretada como la edad de cristalización magmática
				997381	844051	MAGNA_Colombia_Bogota	4° 34' 16,100" N	75° 28' 57,800" W	Leal Mejia (2011)	160	Interpretada como la edad de cristalización magmática
				1077521	1151251	MAGNA_Colombia_Oeste	5° 17' 44,600" N	75° 42' 47,300" W	Leal Mejia (2011)	160	Edad media ponderada interpretada como la edad de alteración hidrotermal y mineralización
33	21			620849	1024310	MAGNA_Colombia_Oeste	1° 10' 02,500" N	76° 51' 32,700" W	Villagómez & Spikings (2013)	328	Edad pooled
				674920	1010387	MAGNA_Colombia_Oeste	1° 39' 22,926" N	76° 59' 02,990" W	González (2010)	122	Edad integrada interpretada como de enfriamiento, la cual debe ser muy próxima a la de cristalización magmática por ser un cuerpo hipobásico
				986211	842771	MAGNA_Colombia_Bogota	4° 28' 12,500" N	75° 29' 38,600" W	Leal Mejia (2011)	160	Interpretada como la edad de cristalización magmática
5	21			964913	1026967	MAGNA_Colombia_Bogota	4° 16' 43,920" N	73° 50' 04,500" W	Parra <i>et al.</i> (2009b)	219	
			Se obtuvo las coordenadas del punto a partir de la georreferenciación del Apéndice I de van der Wiel (1991) [309]. El punto se ubicó en la mitad de la línea que representa la sección estratigráfica QLH	754107	1167475	MAGNA_Colombia_Oeste	2° 22' 18,037" N	75° 34' 19,010" W	van der Wiel <i>et al.</i> (1992)	313	
24				1098427	1174707	MAGNA_Colombia_Bogota	5° 29' 03,100" N	72° 30' 04,010" W	Mora <i>et al.</i> (2010)	195	Edad pooled, también publicada en Ramírez Arias <i>et al.</i> (2012) [227]
40				739533	839861	MAGNA_Colombia_Oeste	2° 14' 23,962" N	78° 31' 01,200" W	Agencia Nacional de Hidrocarburos & Universidad de Caldas (2011a)	3	Edad pooled, muestra de ripios recuperados del pozo Remolino grande-1
				995441	838417	MAGNA_Colombia_Bogota	4° 33' 12,600" N	75° 32' 00,400" W	Leal Mejia (2011)	160	Interpretada como la edad de cristalización magmática
17				1303779	1124193	MAGNA_Colombia_Bogota	7° 20' 30,369" N	72° 57' 09,983" W	Mantilla <i>et al.</i> (2009)	169	Edad media interpretada como de cristalización, los circones heredados corresponden al evento magnético del Triásico-Jurásico. Pórfidos en cuerpos graníticos del Triásico-Jurásico
									Flynn <i>et al.</i> (1997)	102	Edad media ponderada
				985882	842983	MAGNA_Colombia_Bogota	4° 28' 01,800" N	75° 29' 31,700" W	Leal Mejia (2011)	160	Edad de mineralización
				674920	1010387	MAGNA_Colombia_Oeste	1° 39' 22,926" N	76° 59' 02,990" W	González (2010)	122	Edad de menor confiabilidad que la obtenida con biotita
									van Houten (1976)	315	
40				1285052	1109571	MAGNA_Colombia_Bogota	7° 10' 22,000" N	73° 05' 08,000" W	van der Lelij (2013)	308	Edad pooled

ID Datación Radiométrica	Código de la muestra	Unidad geológica	Litología	Edad años BP	Error años	Edad Ma	Error Ma	Edad grano simple menor detrítico	Edad grano simple mayor detrítico	Edad estratigráfica	Edades heredadas	Método de datación	Material analizado	Relación inicial	MSWD	P(X2) %
1167	10VDL37	Ortogneis de Berlín	gneis biotítico hornblendico			8,5	± 1,5			Mioceno (N1)		Huellas de fisión LA-ICP-MS	Apatito			49,17
1168	G02-G1-003	Formaciones Tasca-Playa Palmeras	Arenita			8,56	± 3,41			Mioceno (N1)		U-Th/He	Apatito			
1169	JR035R	Complejo Igneo de Betulia				8,58	± 0,07			Mioceno (N1)		Ar-Ar	Biotita			
1170	JR113R	Pórfido dacítico de Salento				8,6	± 0,12			Mioceno (N1)		Ar-Ar	Biotita			
1171	JR035R	Complejo Igneo de Betulia				8,64	± 0,06			Mioceno (N1)		Ar-Ar	Biotita		1,2	
1172	JR035R	Complejo Igneo de Betulia				8,65	± 0,06			Mioceno (N1)		Ar-Ar	Biotita		0,62	
1173	SR018R	Pórfido andesítico de Pereira				8,65	± 0,75			Mioceno (N1)		Ar-Ar	Hornblendita		1,3	
1174	JR113R	Pórfido dacítico de Salento				8,65	± 0,08			Mioceno (N1)		Ar-Ar	Biotita		0,33	
1175	JR113R	Pórfido dacítico de Salento				8,65	± 0,09			Mioceno (N1)		Ar-Ar	Biotita		0,29	
1176	EAM-11-43A	Batolito de Santa Marta				8,66	± 0,49			Mioceno (N1)		U-Th/He	Apatito			
1177	FF-G1-A11-30 P1	Formación Une	Arenita			8,66	± 2,09			Mioceno (N1)		Huellas de fisión EDM	Apatito			
1178	EAM-19-66A	Batolito de Santa Marta				8,71	± 0,72			Mioceno (N1)		U-Th/He	Apatito			
1179	T39	Intrusivo de Tatamá				8,73	± 9,36			Mioceno (N1)		U-Th/He	Apatito			
1180	MP-85 P1	Formación Los Cúervos	Arenita			8,74	± 2,11			Mioceno (N1)		Huellas de fisión EDM	Apatito			
1181	JR113R	Pórfido dacítico de Salento				8,78	± 0,47			Mioceno (N1)		Ar-Ar	Hornblendita		2,4	
1182	JR113R	Pórfido dacítico de Salento				8,79	± 0,65			Mioceno (N1)		Ar-Ar	Hornblendita			
1183	RG-MP-012	Formación 1 Sur	Arenita			8,8	± 2,48			Mioceno (N1)		U-Th/He	Apatito			
1184		Vena mineralizada				8,81	± 0,04			Mioceno (N1)		Re-Os				
1185	JC034R	Stock de Yacuanas	Dacita porfirítica			8,82	± 0,37			Mioceno (N1)		Ar-Ar	Hornblendita		0,085	
1186	29	Formación Lisama	Arenita			8,82	± 1,23			Mioceno (N1)		Huellas de fisión LA-ICP-MS	Apatito		0	
1187	CH-ZS-MP-01 6	Formación Condoto				8,85	± 1,27			Mioceno (N1)		U-Th/He	Apatito			
1188	JC034R	Stock de Yacuanas	Dacita porfirítica			8,87	± 0,42			Mioceno (N1)		Ar-Ar	Hornblendita			
1189		Vena mineralizada				8,9	± 0,04			Mioceno (N1)		Re-Os				
1190	JC034R	Stock de Yacuanas	Dacita porfirítica			8,9	± 0,31			Mioceno (N1)		Ar-Ar	Hornblendita		0,108	
1191	MP-21	Formación Une	Arenita			8,9	± 1,3			Mioceno (N1)		Huellas de fisión EDM	Apatito		60,01	
1192	MP-38	Formación Une	Arenita			8,9	± 1,8			Mioceno (N1)		Huellas de fisión EDM	Apatito			
1193	RG-04	Formación Montebel	Arenita			8,9	± 0,71			Mioceno (N1)		U-Th/He	Apatito			
1194		Rocas hipoabásicas porfiríticas	Diorita			8,92	± 0,15			Mioceno (N1)		U-Pb	Circón			
1195		Rocas hipoabásicas porfiríticas	Diorita			8,94	± 0,13			Mioceno (N1)		U-Pb	Circón			
1196	MD22-1		Riodacita			9	± 0,2			Mioceno (N1)	194,9 y 177 Ma	U-Pb LA-ICP-MS	Circón			
1197	BV-192	Grupo Quetame				9,0	± 0,5			Mioceno (N1)		Huellas de fisión LA-ICP-MS	Circón			9,3
1198	IGM-706781	Complejo Santa Cecilia La Equis	Basalto			9	± 1,7			Mioceno (N1)		Ar-Ar	Plagioclasa y clinopiroxeno			
1199	T02G4-014	Formación San Agustín	Arenita			9	+ 11,41/- 5,03			Mioceno (N1)		Huellas de fisión LA-ICP-MS	Apatito			
1200	CORCOVADO	Cuerpo hipoabásal porfirítico				9,04	± 0,33			Mioceno (N1)		Huellas de fisión	Circón			85

Dispersión %	Número de gramos analizados	Número de alicuotas	Fuente georreferenciación	Coordenada X	Coordenada Y	Sistema de coordenadas	Latitud	Longitud	Referencia	ID referencia	Comentarios
	29			1286984	1121442	MAGNA_Colombia_Bogota	7° 11' 24,000" N	72° 58' 41,000" W	van der Lelij (2013)	308	Edad pooled
	1	1		816576	874493	MAGNA_Colombia_Oeste	2° 56' 12,738" N	78° 12' 22,867" W	Agencia Nacional de Hidrocarburos & Universidad de Caldas (2011a)	3	
				715093	1030283	MAGNA_Colombia_Oeste	2° 01' 10,778" N	76° 48' 19,083" W	González (2010)	122	Edad integrada
				1003305	835955	MAGNA_Colombia_Bogota	4° 37' 28,350" N	75° 33' 20,776" W	González (2010)	122	Edad integrada
				715093	1030283	MAGNA_Colombia_Oeste	2° 01' 10,778" N	76° 48' 19,083" W	González (2010)	122	Edad de meseta interpretada como de enfriamiento, la cual debe ser muy próxima a la de cristalización magmática por ser un cuerpo hipoábsidal
				715093	1030283	MAGNA_Colombia_Oeste	2° 01' 10,778" N	76° 48' 19,083" W	González (2010)	122	Edad de isócrona inversa
				1031284	1153645	MAGNA_Colombia_Oeste	4° 52' 39,622" N	75° 41' 32,782" W	González (2010)	122	Edad de isócrona inversa
				1003305	835955	MAGNA_Colombia_Bogota	4° 37' 28,350" N	75° 33' 20,776" W	González (2010)	122	Edad de meseta
				1728143	992386	MAGNA_Colombia_Bogota	11° 10' 47,939" N	74° 08' 49,984" W	Cardona <i>et al.</i> (2011b)	70	
	7			1069826	1148973	MAGNA_Colombia_Bogota	5° 13' 34,320" N	72° 44' 01,800" W	Ramirez Arias <i>et al.</i> (2012)	227	Edad de población, muestra del bloque colgante de la Falla de Guaicáramo
				1719469	999599	MAGNA_Colombia_Bogota	11° 06' 05,648" N	74° 04' 52,233" W	Cardona <i>et al.</i> (2011b)	70	
	1	2							Agencia Nacional de Hidrocarburos & Universidad de Caldas (2011b)	4	Edad corregida. Las coordenadas reportadas (1 566 810 m.N. y 1 114 980 m.E.) no coinciden con la unidad
	5			1118863	868937	MAGNA_Colombia_Este	5° 40' 11,500" N	72° 15' 37,910" W	Mora <i>et al.</i> (2010)	195	Edad pooled de la población 1
				1003305	835955	MAGNA_Colombia_Bogota	4° 37' 28,350" N	75° 33' 20,776" W	González (2010)	122	Edad de meseta interpretada como de cristalización magmática
				1003305	835955	MAGNA_Colombia_Bogota	4° 37' 28,350" N	75° 33' 20,776" W	González (2010)	122	Edad integrada
	1	3		739533	839861	MAGNA_Colombia_Oeste	2° 14' 23,962" N	78° 31' 01,200" W	Agencia Nacional de Hidrocarburos & Universidad de Caldas (2011a)	3	Muestra de ripios recuperados del pozo Remolinogrande-I
									Richards (2011) en Chamois & Evans (2012)	75	Vena mineralizada en rocas hipoábsiales porfíriticas
				706259	1020316	MAGNA_Colombia_Oeste	1° 56' 23,185" N	76° 53' 41,645" W	González (2010)	122	Edad de isócrona inversa
	39			1197559	1032465	MAGNA_Colombia_Bogota	6° 22' 57,400" N	73° 47' 02,634" W	Sánchez <i>et al.</i> (2012)	261	Edad de población
	1	1	Se tomaron las coordenadas listadas en los anexos que se diferencian varios metros con respecto a las reportadas en el informe final	1044920	1048332	MAGNA_Colombia_Oeste	5° 00' 08,169" N	76° 38' 30,087" W	Agencia Nacional de Hidrocarburos & Universidad de Caldas (2011b)	4	Edad corregida, muestra de un núcleo de perforación del pozo Chocó-1 ST-P
				706259	1020316	MAGNA_Colombia_Oeste	1° 56' 23,185" N	76° 53' 41,645" W	González (2010)	122	Edad integrada
									Richards (2011) en Chamois & Evans (2012)	75	Vena mineralizada en rocas hipoábsiales porfíriticas
				706259	1020316	MAGNA_Colombia_Oeste	1° 56' 23,185" N	76° 53' 41,645" W	González (2010)	122	Edad de meseta interpretada como de enfriamiento, la cual debe ser muy próxima a la de cristalización magmática por ser un cuerpo hipoábsidal
	17			1098662	1174207	MAGNA_Colombia_Bogota	5° 29' 10,800" N	72° 30' 20,220" W	Ramirez Arias <i>et al.</i> (2012)	227	Muestra del bloque colgante de la Falla de Los Yopos
	14			1099540	1172765	MAGNA_Colombia_Bogota	5° 29' 39,500" N	72° 31' 06,980" W	Mora <i>et al.</i> (2010)	195	Edad pooled
		1		1147043	1109547	MAGNA_Colombia_Bogota	5° 55' 30,060" N	73° 05' 17,640" W	Ramirez Arias <i>et al.</i> (2012)	227	Alicuota seleccionada para los autores para el modelamiento inverso, muestra del Anticlinal de Arcabuco
									Richards (2011) en Chamois & Evans (2012)	75	
									Richards (2011) en Chamois & Evans (2012)	75	
	22			1303493	1127906	MAGNA_Colombia_Bogota	7° 20' 20,753" N	72° 55' 08,971" W	Mantilla <i>et al.</i> (2009)	169	Edad media interpretada como la edad de cristalización. Pórfidos en cuerpos graníticos del Triásico-Jurásico
	34			963646	1030779	MAGNA_Colombia_Bogota	4° 16' 02,640" N	73° 48' 00,900" W	Parra <i>et al.</i> (2009a)	218	Muestra localizada en el flanco occidental del macizo de Quetame
				1241270	1073390	MAGNA_Colombia_Oeste	6° 46' 39,002" N	76° 24' 49,114" W	Zapata & Rodriguez (2011)	342	Edad de meseta
	18			704439	1164574	MAGNA_Colombia_Oeste	1° 55' 21,654" N	78° 35' 54,432" W	Agencia Nacional de Hidrocarburos & Universidad de Caldas (2011a)	3	Edad pooled
0	22								Ramirez <i>et al.</i> (2006)	226	Edad central interpretada como la edad del magmatismo

ID Datación Radiométrica	Código de la muestra	Unidad geológica	Litología	Edad años BP	Error años	Edad Ma	Error Ma	Edad grano simple menor detrítico	Edad grano simple mayor detrítico	Edad estratigráfica	Edades heredadas	Método de datación	Material analizado	Relación inicial	MSWD	P(X2) %
1201	CGP37	Formación Combia				9,1	$\pm 1,45$			Mioceno (N1)		Huellas de fisión	Circón			21
1202	UMN 2978	Latibasalto de Cangrejo	Latibasalto			9,1	$\pm 0,7$			Mioceno (N1)		K–Ar	Roca total			
1203	FT-74A	Grupo Guadalupe	Arenita			9,1	$\pm 1,6$			Mioceno (N1)		Huellas de fisión EDM	Apatito			11
1204	MD-137	Formación Une	Arenita			9,1	$\pm 1,6$			Mioceno (N1)		Huellas de fisión EDM	Apatito			98,62
1205	110808-15	Formación Concentración	Arenita					9,1 $\pm 0,7$	\$48,7 \pm 43,9	Neoproterozoico (NP)–Mioceno (N1)		U–Th/He	Circón			
1206	SR018R	Pórfido andesítico de Pereira				9,14	$\pm 0,39$			Mioceno (N1)		Ar–Ar	Hornblenda		1,5	
1207	WR-67	Complejo Igneo de Betulia	Pórfido diorítico hornblendíco			9,2	$\pm 0,2$			Mioceno (N1)	ca. 80, 60 y 30 Ma	U–Pb LA–MC–ICP–MS	Circón			
1208	MW 54	Grupo Garzón	Granulita chamoenderbitica enderbitica			9,2	$\pm 2,0$			Mioceno (N1)		Huellas de fisión	Apatito			
1209	EAM-18-72A	Basalto de Santa Marta				9,21	$\pm 0,19$			Mioceno (N1)		U–Th/He	Apatito			
1210	CM115R		Andesita hornbléndica			9,25	$\pm 0,51$			Mioceno (N1)		Ar–Ar	Hornblenda			
1211	M1-MP-001	Formación San Agustín	Arenita			9,29	$+ 2,6/- 3,61$			Mioceno (N1)		Huellas de fisión LA–ICP–MS	Apatito			
1212	CGP37	Formación Combia				9,3	$\pm 1,55$			Mioceno (N1)		Huellas de fisión	Circón			21
1213	UNM 3062	Basalto de El Botón	Traquibasalto			9,3	$\pm 0,8$			Mioceno (N1)		K–Ar	Roca total			
1214	DV129		Gneis granodiorítico			9,3	$\pm 0,2$			Mioceno (N1)		U–Th/He	Circón			
1215	DV86	Complejo Cajamarca	Esquisto grafítico			9,3	$\pm 0,8$			Mioceno (N1)		U–Th/He	Apatito			
1216	19	Formación Colorado	Arenita			9,37	$\pm 4,73$			Mioceno (N1)		Huellas de fisión LA–ICP–MS	Apatito			23,12
1217	PB-V1	Formación San Antonio	Clasto de pumita andesítica			9,38	$\pm 0,49$			Mioceno (N1)		Ar–Ar	Hornblenda			
1218	CM115R		Andesita hornbléndica			9,39	$\pm 0,4$			Mioceno (N1)		Ar–Ar	Hornblenda		0,78	
1219	C-V1B	Formación San Antonio	Toba andesítica			9,4	$\pm 2,4$			Mioceno (N1)		Huellas de fisión EDM	Circón			93
1220	CGP15	Formación Combia				9,4	$\pm 1,13$			Mioceno (N1)		Huellas de fisión	Circón			0
1221	F-2727	Abanico de Ibagué	Depósito volcanoclastico			9,4	$\pm 1,0$			Mioceno (N1)		K–Ar	Plagioclasa			
1222	MP-90	Grupo Guadalupe	Arenita			9,4	$\pm 1,2$			Mioceno (N1)		Huellas de fisión EDM	Apatito			45,23
1223	T39	Intrusivo de Tatamá				9,41	$\pm 12,53$			Mioceno (N1)		U–Th/He	Apatito			
1224	CM115R		Andesita hornbléndica			9,42	$\pm 0,49$			Mioceno (N1)		Ar–Ar	Hornblenda		0,34	
1225	09-Bu-205	Pórfido andesítico de Buriticá	Andesita			9,43	$\pm 0,07$			Mioceno (N1)		Ar–Ar	Anfibol			
1226	T-5	Pórfido de Titiribí	Pórfido andesítico			9,50	$\pm 0,9$			Mioceno (N1)		Huellas de fisión	Circón			
1227	MP-78 P1	Grupo Guadalupe	Arenita			9,55	$\pm 2,95$			Mioceno (N1)		Huellas de fisión EDM	Apatito			
1228	RW3b	Grupo Guadalupe	Arenita			9,55	$\pm 1,26$			Mioceno (N1)		Huellas de fisión LA–ICP–MS	Apatito			0
1229	SR018R	Pórfido andesítico de Pereira				9,56	$\pm 0,72$			Mioceno (N1)		Ar–Ar	Hornblenda			
1230	CM013R	Rocas ígneas hipaoisales dacíticas	Dacita porfirítica			9,59	$\pm 0,31$			Mioceno (N1)		Ar–Ar	Roca total			
1231	Patía 29-Ra-001					9,6	$\pm 5,1$			Mioceno (N1)		Ar–Ar			0,71	
1232	IGM-706727	Granodiorita de Farallones	Granodiorita			9,6	$\pm 0,5$			Mioceno (N1)		Ar–Ar	Hornblenda y biotita		1,3	
1233	MP-12	Formación Mirador	Arenita			9,6	$\pm 2,6$			Mioceno (N1)		Huellas de fisión EDM	Apatito			

Dispersión %	Número de granos analizados	Número de alicuotas	Fuente georreferenciación	Coordenada X	Coordenada Y	Sistema de coordenadas	Latitud	Longitud	Referencia	ID referencia	Comentarios
0	3		Se obtuvo la localización de la sección Guineales-Péralisa, a lo largo de la cual se tomaron las muestras, a partir de la georreferenciación de la Figura 6	1145875	1132392	MAGNA_Colombia_Oeste	5° 54' 50,587" N	75° 52' 55,094" W	Ramirez <i>et al.</i> (2006)	226	Edad central, los eventos volcánicos que dieron origen a la Formación Combia son interpretados entre 10 y 6 Ma
			Las coordenadas (6° 13' N, 76° 02' W) reportadas por los autores no coinciden con la localización de la datación en la Figura 1. Se obtuvieron las coordenadas del punto a partir de la descripción del sitio de muestreo.	1179042	1135299	MAGNA_Colombia_Oeste	6° 12' 49,844" N	75° 51' 18,174" W	Restrepo <i>et al.</i> (1981a)	233	
	22			1180818	1176951	MAGNA_Colombia_Bogota	6° 13' 44,030" N	72° 28' 43,530" W	Mora <i>et al.</i> (2010)	195	Edad pooled
	23			1112551	1162015	MAGNA_Colombia_Bogota	5° 36' 43,800" N	72° 36' 55,080" W	Ramirez Arias <i>et al.</i> (2012)	227	Muestra del bloque colgante de la Falla de Pajarito
	33			1140822	1139020	MAGNA_Colombia_Bogota	5° 52' 05,664" N	72° 49' 20,028" W	Saylor <i>et al.</i> (2012b)	265	Se presentan picos de edad a ca. 500, 150, 105, 73, 58, 51 y 45 Ma
				1031284	1153645	MAGNA_Colombia_Oeste	4° 52' 39,622" N	75° 41' 32,782" W	González (2010)	122	Edad de meseta interpretada como de cristalización magmática
				717939	1030622	MAGNA_Colombia_Oeste	2° 02' 43,400" N	76° 48' 08,100" W	Leal Mejía (2011)	160	Interpretada como la edad de cristalización magmática, las edades heredadas pueden indicar asimilación de rocas preexistentes dentro del <i>melange</i> de Romeral
	100		Se obtuvo las coordenadas del punto a partir de la georreferenciación de la Figura 6	709188	1149413	MAGNA_Colombia_Oeste	1° 57' 56,651" N	75° 44' 04,742" W	van der Wiel & Andriessen (1991)	310	
				1713861	989845	MAGNA_Colombia_Bogota	11° 03' 03,112" N	74° 10' 13,613" W	Cardona <i>et al.</i> (2011b)	70	
				966040	1155212	MAGNA_Colombia_Oeste	4° 17' 16,127" N	75° 40' 46,071" W	González (2010)	122	Edad integrada
	40			688492	847272	MAGNA_Colombia_Oeste	1° 46' 42,940" N	78° 27' 00,036" W	Agencia Nacional de Hidrocarburos & Universidad de Caldas (2011a)	3	Edad pooled, muestra de ripios recuperados del pozo Majagua-I
0	3		Se obtuvo la localización de la sección Guineales-Péralisa, a lo largo de la cual se tomaron las muestras, a partir de la georreferenciación de la Figura 6	1145875	1132392	MAGNA_Colombia_Oeste	5° 54' 50,587" N	75° 52' 55,094" W	Ramirez <i>et al.</i> (2006)	226	Los eventos volcánicos que dieron origen a la Formación Combia son interpretados entre 10 y 6 Ma
									Restrepo <i>et al.</i> (1991)	239	
				620849	1024310	MAGNA_Colombia_Oeste	1° 10' 02,500" N	76° 51' 32,700" W	Villagómez (2010)	325	Edad media ponderada
				986337	867037	MAGNA_Colombia_Bogota	4° 28' 18,000" N	75° 16' 31,700" W	Villagómez & Spijkings (2013)	328	Edad media ponderada
	5			1197192	1019512	MAGNA_Colombia_Bogota	6° 22' 45,646" N	73° 54' 04,122" W	Sánchez <i>et al.</i> (2012)	261	Edad pooled
	11								Gómez <i>et al.</i> (2003)	115	
				966040	1155212	MAGNA_Colombia_Oeste	4° 17' 16,127" N	75° 40' 46,071" W	González (2010)	122	Edad de meseta interpretada como de cristalización magmática
	10								Gómez <i>et al.</i> (2003)	115	Edad central, interpretada como la edad eruptiva
70,1	16		Se obtuvo la localización de la sección Guineales-Péralisa, a lo largo de la cual se tomaron las muestras, a partir de la georreferenciación de la Figura 6	1145875	1132392	MAGNA_Colombia_Oeste	5° 54' 50,587" N	75° 52' 55,094" W	Ramirez <i>et al.</i> (2006)	226	Edad central, los eventos volcánicos que dieron origen a la Formación Combia son interpretados entre 10 y 6 Ma
									van Houten (1976)	315	Según el autor esta edad es improbable y puede haber contaminación de la muestra con feldespatos detriticos más viejos
	16			1119196	869959	MAGNA_Colombia_Este	5° 40' 22,430" N	72° 15' 04,740" W	Mora <i>et al.</i> (2010)	195	Edad pooled, también publicado en Ramirez Arias <i>et al.</i> (2012) [227]
	1	1							Agencia Nacional de Hidrocarburos & Universidad de Caldas (2011b)	4	Edad corregida. Las coordenadas reportadas (1 566 810 m.N. y 1 114 980 m.E.) no coinciden con la unidad
				966040	1155212	MAGNA_Colombia_Oeste	4° 17' 16,127" N	75° 40' 46,071" W	González (2010)	122	Edad de isócrona inversa
			Se obtuvo las coordenadas del punto a partir de la georreferenciación de la Figura 22	1232787	1129160	MAGNA_Colombia_Oeste	6° 41' 59,482" N	75° 54' 33,844" W	Lesage <i>et al.</i> (2013)	161	Edad de Fusión total, muestra con exceso de argón
									Jaramillo (1981)	146	Muestra tomada en el cerro Corcovado en el municipio de Titiribí, departamento de Antioquia
	4			1117032	866438	MAGNA_Colombia_Este	5° 39' 11,760" N	72° 16' 59,000" W	Mora <i>et al.</i> (2010)	195	Edad pooled de la población 1
	20		Localización tomada de Mora <i>et al.</i> (2010) [195]	1109946	1137318	MAGNA_Colombia_Bogota	5° 35' 20,870" N	72° 50' 17,540" W	Ramirez Arias <i>et al.</i> (2012)	227	Muestra del Sinclinal de Aquitania
				1031284	1153645	MAGNA_Colombia_Oeste	4° 52' 39,622" N	75° 41' 32,782" W	González (2010)	122	Edad integrada
				680968	997867	MAGNA_Colombia_Oeste	1° 42' 39,850" N	77° 05' 48,038" W	González (2010)	122	Edad integrada
			Se tomaron las coordenadas listadas en los anexos que se diferencian varios metros con respecto a las reportadas en el informe final	710939	991787	MAGNA_Colombia_Oeste	1° 58' 55,591" N	77° 09' 04,783" W	Agencia Nacional de Hidrocarburos & Universidad de Caldas (2011b)	4	Edad de isócrona inversa, muestra de un núcleo de perforación del pozo Patía 29
				1115269	1120111	MAGNA_Colombia_Oeste	5° 38' 15,241" N	75° 59' 36,208" W	Zapata & Rodriguez (2013)	343	Edad de isócrona inversa
	6			1095689	1178225	MAGNA_Colombia_Bogota	5° 27' 33,700" N	72° 28' 10,000" W	Mora <i>et al.</i> (2010)	195	Edad pooled

ID Datación Radiométrica	Código de la muestra	Unidad geológica	Litología	Edad años BP	Error años	Edad Ma	Error Ma	Edad grano simple menor detrítico	Edad grano simple mayor detrítico	Edad estratigráfica	Edades heredadas	Método de datación	Material analizado	Relación inicial	MSWD	P(X2) %
1234	RW-3b	Grupo Guadalupe, Miembro Tierna	Arenita			9,6	$\pm 2,5$			Mioceno (N1)		Huellas de fisión LA-ICP-MS	Apatito			0
1235	G02-G1-003	Formación Tasca	Arenita			9,61	$\pm 1,92$			Mioceno (N1)		U-Th/He	Apatito			
1236	29	Formación Lisama	Arenita			9,61	$\pm 1,19$			Mioceno (N1)		Huellas de fisión LA-ICP-MS	Apatito			0
1237	Patia 3	Formación Galeón				9,69	$+ 2,45/- 1,96$			Mioceno (N1)		Huellas de fisión LA-ICP-MS	Apatito			
1238	T2-013	Formación Une	Arenita			9,7	$\pm 1,4$			Mioceno (N1)		Huellas de fisión LA-ICP-MS	Apatito			27,3
1239	PB-V2	Formación San Antonio	Clasto de pumita andesítica			9,72	$\pm 0,08$			Mioceno (N1)		Ar-Ar	Biotita			
1240	CM013R	Rocas ígneas hipobásicas dacíticas	Dacita porfirítica			9,73	$\pm 0,17$			Mioceno (N1)		Ar-Ar	Roca total		0,55	
1241	MP-85 P1	Formación Los Cuervos	Arenita			9,73	$\pm 2,15$			Mioceno (N1)		Huellas de fisión EDM	Apatito			
1242	EAM-19-66B	Batolito de Santa Marta				9,76	$\pm 1,15$			Mioceno (N1)		U-Th/He	Apatito			
1243	CM013R	Rocas ígneas hipobásicas dacíticas	Dacita porfirítica			9,78	$\pm 0,23$			Mioceno (N1)		Ar-Ar	Roca total		0,36	
1244	IGM-706727	Granodiorita de Farallones	Granodiorita			9,8	$\pm 0,2$			Mioceno (N1)		Ar-Ar	Hornblenda y biotita			
1245	BV-194	Formación Chingaza	Arenita			9,8	$\pm 0,6$			Mioceno (N1)		Huellas de fisión LA-ICP-MS	Circón			61,4
1246	JC031R	Stock de Lerma	Andesita porfirítica			9,86	$\pm 0,08$			Mioceno (N1)		Ar-Ar	Biotita			
1247	WR-150	Pórfido de Arboledas	Pórfido andesítico			9,9	$\pm 0,8$			Mioceno (N1)		K-Ar	Roca total			
1248	IGM-706727	Granodiorita de Farallones	Granodiorita			9,9	$\pm 0,3$			Mioceno (N1)		Ar-Ar	Hornblenda y biotita			
1249	Chocó-1 ST-P-Mp03	Formación Mayorquín				9,92	$+ 5/- 3,33$			Mioceno (N1)		Huellas de fisión LA-ICP-MS	Apatito			
1250	JC031R	Stock de Lerma	Andesita porfirítica			9,923	$\pm 0,065$			Mioceno (N1)		Ar-Ar	Biotita		1,4	
1251	JC031R	Stock de Lerma	Andesita porfirítica			9,94	$\pm 0,071$			Mioceno (N1)		Ar-Ar	Biotita		0,83	
1252	JR033R	Complejo Ígneo de Betulia	Dacita porfirítica			9,99	$\pm 0,07$			Mioceno (N1)		Ar-Ar	Biotita			
1253	JR033R	Complejo Ígneo de Betulia	Dacita porfirítica			10	$\pm 0,067$			Mioceno (N1)		Ar-Ar	Biotita		0,95	
1254	PPM4-15AB	Formación Umír	Arenita			10	$\pm 1,8$			Mioceno (N1)		Huellas de fisión EDM	Apatito			49,2
1255	AM-05 P1	Grupo Guadalupe, Miembro Tierna	Arenita			10	$\pm 2,4$			Mioceno (N1)		Huellas de fisión LA-ICP-MS	Apatito			
1256	JR033R	Complejo Ígneo de Betulia	Dacita porfirítica			10,016	$\pm 0,068$			Mioceno (N1)		Ar-Ar	Biotita		1,06	
1257	IGM-706762	Monzodiorita de Carauta	Monzodiorita			10,1	$\pm 1,3$			Mioceno (N1)		Ar-Ar	Biotita		0,64	
1258	GE46-M8	Cuerpo hipobásal porfirítico				10,1	$\pm 0,2$			Mioceno (N1)	700-600 y 200 Ma	U-Pb LA-MC-ICP-MS	Circón			
1259	MW 59	Grupo Garzón	Granulita chamoenderbitica chamoquítica			10,1	$\pm 2,1$			Mioceno (N1)		Huellas de fisión	Apatito			
1260	MW 73	Grupo Garzón	Granulita norítica			10,1	$\pm 2,3$			Mioceno (N1)		Huellas de fisión	Apatito			
1261	JG-R88-4	Grupo Huila, Formación Neiva	Clasto de pumita en arena			10,133	$\pm 0,184$			Mioceno (N1)		Ar-Ar	Plagioclasa			
1262	IGM-706421	Monzonita de Frontino	Diorita piroxénica			10,17	$\pm 0,41$			Mioceno (N1)		Ar-Ar	Biotita			
1263	TO4 G2-046	Formación Cascajal	Arenita			10,17	$\pm 4,25$			Mioceno (N1)		U-Th/He	Apatito			
1264	SanCelestino-1		Pórfido dacítico			10,2	$\pm 0,2$			Mioceno (N1)	ca. 200, 180, 50 y 30 Ma	U-Pb LA-MC-ICP-MS	Circón			
1265	CGP29	Formación Combia				10,2	$\pm 1,17$			Mioceno (N1)		Huellas de fisión	Circón			0
1266	MW 76	Grupo Garzón	Roca calcosilicática			10,2	$\pm 1,2$			Mioceno (N1)		Huellas de fisión	Apatito			

Dispersión %	Número de gramos analizados	Número de aliquotas	Fuente georreferenciación	Coordenada X	Coordenada Y	Sistema de coordenadas	Latitud	Longitud	Referencia	ID referencia	Comentarios
	18		Localización tomada de Mora <i>et al.</i> (2010) [195]	1109946	1137318	MAGNA_Colombia_Oeste	5° 35' 20,870" N	72° 50' 17,540" W	Parra <i>et al.</i> (2009b)	219	Edad reseteada, exhumación activa a aproximadamente 26 Ma. También publicada en Mora <i>et al.</i> (2010) [195]
	1	2		816576	874493	MAGNA_Colombia_Oeste	2° 56' 12,738" N	78° 12' 22,867" W	Agencia Nacional de Hidrocarburos & Universidad de Caldas (2011a)	3	
	39			1197559	1032465	MAGNA_Colombia_Bogota	6° 22' 57,400" N	73° 47' 02,634" W	Sánchez <i>et al.</i> (2012)	261	Edad pooled
	40		Se tomaron las coordenadas listadas en los anexos que se diferencian varios metros con respecto a las reportadas en el informe final	728122	1006210	MAGNA_Colombia_Oeste	2° 08' 15,021" N	77° 01' 18,048" W	Agencia Nacional de Hidrocarburos & Universidad de Caldas (2011b)	4	Edad pooled, muestra de un núcleo de perforación del pozo Patía 3
	21			1049361	1050063	MAGNA_Colombia_Bogota	5° 02' 32,700" N	73° 37' 33,780" W	Parra <i>et al.</i> (2009b)	219	
	15								Gómez <i>et al.</i> (2003)	115	
				680968	997867	MAGNA_Colombia_Oeste	1° 42' 39,850" N	77° 05' 48,038" W	González (2010)	122	Edad de meseta
	6		Localización tomada de Mora <i>et al.</i> (2010) [195]	1118863	868937	MAGNA_Colombia_Este	5° 40' 11,500" N	72° 15' 37,910" W	Ramírez Arias <i>et al.</i> (2012)	227	Edad de población, muestra del Anticlinal Tocaria
				1719469	999599	MAGNA_Colombia_Bogota	11° 06' 05,648" N	74° 04' 52,233" W	Cardona <i>et al.</i> (2011b)	70	
				680968	997867	MAGNA_Colombia_Oeste	1° 42' 39,850" N	77° 05' 48,038" W	González (2010)	122	Edad de isócrona inversa
				1115269	1120111	MAGNA_Colombia_Oeste	5° 38' 15,241" N	75° 59' 36,208" W	Zapata & Rodríguez (2013)	343	Edad media ponderada de meseta
3	27			966985	1033344	MAGNA_Colombia_Bogota	4° 17' 51,300" N	73° 46' 37,680" W	Parra <i>et al.</i> (2009b)	219	Edad reseteada, muestra localizada en el bloque colgante de la Falla de Servitá
				709138	1018526	MAGNA_Colombia_Oeste	1° 57' 56,931" N	76° 54' 39,557" W	González (2010)	122	Edad integrada
				655553	991316	MAGNA_Colombia_Oeste	1° 28' 52,400" N	77° 09' 19,950" W	Leal Mejía (2011)	160	Edad de enfriamiento que puede ser interpretada como edad magnética
				1115269	1120111	MAGNA_Colombia_Oeste	5° 38' 15,241" N	75° 59' 36,208" W	Zapata & Rodríguez (2013)	343	Edad de fusión total
	16		Se tomaron las coordenadas listadas en los anexos que se diferencian varios metros con respecto a las reportadas en el informe final	1044920	1048332	MAGNA_Colombia_Oeste	5° 00' 08,169" N	76° 38' 30,087" W	Agencia Nacional de Hidrocarburos & Universidad de Caldas (2011b)	4	Edad pooled, muestra de un núcleo de perforación del pozo Chocó-I ST-P
				709138	1018526	MAGNA_Colombia_Oeste	1° 57' 56,931" N	76° 54' 39,557" W	González (2010)	122	Edad de meseta
				709138	1018526	MAGNA_Colombia_Oeste	1° 57' 56,931" N	76° 54' 39,557" W	González (2010)	122	Edad de isócrona inversa
				718474	1030643	MAGNA_Colombia_Oeste	2° 03' 00,846" N	76° 48' 07,440" W	González (2010)	122	Edad integrada
				718474	1030643	MAGNA_Colombia_Oeste	2° 03' 00,846" N	76° 48' 07,440" W	González (2010)	122	Edad de isócrona inversa
	20			1226297	1046034	MAGNA_Colombia_Bogota	6° 38' 32,600" N	73° 39' 40,350" W	Mora <i>et al.</i> (2010)	195	Edad pooled
	12			1069133	1075621	MAGNA_Colombia_Bogota	5° 13' 15,600" N	73° 23' 43,440" W	Ramírez Arias <i>et al.</i> (2012)	227	Edad de población, muestra del bloque yacente de la Falla de Soápaga
				718474	1030643	MAGNA_Colombia_Oeste	2° 03' 00,846" N	76° 48' 07,440" W	González (2010)	122	Edad de meseta interpretada como de enfriamiento, la cual debe ser muy próxima a la de cristalización magnética por ser un cuerpo hipobásal
				1237039	1080323	MAGNA_Colombia_Oeste	6° 44' 20,957" N	76° 21' 03,561" W	Buchely <i>et al.</i> (2009)	54	Edad de isócrona inversa
	20			1305583	1126556	MAGNA_Colombia_Bogota	7° 21' 28,885" N	72° 55' 52,803" W	Mantilla <i>et al.</i> (2011)	170	Edad media ponderada interpretada como edad de cristalización magnética
	100		Se obtuvo las coordenadas del punto a partir de la georreferenciación de la Figura 6	699127	1152511	MAGNA_Colombia_Oeste	1° 52' 29,096" N	75° 42' 24,781" W	van der Wiel & Andriessen (1991)	310	
	100		Se obtuvo las coordenadas del punto a partir de la georreferenciación de la Figura 6	751101	851390	MAGNA_Colombia_Bogota	2° 20' 40,844" N	75° 24' 48,553" W	van der Wiel & Andriessen (1991)	310	
									Flynn <i>et al.</i> (1997)	102	Edad media ponderada
				1233075	1101193	MAGNA_Colombia_Oeste	6° 42' 10,785" N	76° 09' 44,286" W	Rodríguez & Zapata (2012)	252	Edad de meseta
	1	2		694243	1149874	MAGNA_Colombia_Oeste	1° 49' 50,195" N	78° 43' 50,194" W	Agencia Nacional de Hidrocarburos & Universidad de Caldas (2011a)	3	
				1306582	1128078	MAGNA_Colombia_Bogota	7° 22' 01,300" N	72° 55' 03,100" W	Leal Mejía (2011)	160	Interpretada como la edad de cristalización magnética
84,7	18		Se obtuvo la localización de la sección Guineales-Pehálisa, a lo largo de la cual se tomaron las muestras, a partir de la georreferenciación de la Figura 6	1145875	1132392	MAGNA_Colombia_Oeste	5° 54' 50,587" N	75° 52' 55,094" W	Ramírez <i>et al.</i> (2006)	226	Edad central, los eventos volcánicos que dieron origen a la Formación Combia son interpretados entre 10 y 6 Ma
	100		Se obtuvo las coordenadas del punto a partir de la georreferenciación de la Figura 6	750198	842482	MAGNA_Colombia_Bogota	2° 20' 11,168" N	75° 29' 36,743" W	van der Wiel & Andriessen (1991)	310	

ID Datación Radiométrica	Código de la muestra	Unidad geológica	Litología	Edad años BP	Error años	Edad Ma	Error Ma	Edad grano simple menor detrítico	Edad grano simple mayor detrítico	Edad estratigráfica	Edades heredadas	Método de datación	Material analizado	Relación inicial	MSWD	P(X2) %
1267	PPM4-13ABCD	Formación Umir	Arenita			10,2	$\pm 1,6$			Mioceno (N1)		Huellas de fisión EDM	Apatito			28,7
1268	T3-003	Formación Une	Arenita			10,2	$\pm 2,8$			Mioceno (N1)		Huellas de fisión LA-ICP-MS	Apatito			95
1269	P19-241.71-242 .01-ML-003	Formación Sincelejo				10,27	$\pm 2,33$			Mioceno (N1)		U-Th/He	Apatito			
1270	G07-G01-053-4	Formación Playa Palmeras	Arenita			10,29	$\pm 2,78$			Mioceno (N1)		U-Th/He	Apatito			
1271	IGM-706402	Basaltos de El Botón	Basalto			10,3	$\pm 1,3$			Mioceno (N1)		Ar-Ar	Roca total		2,4	
1272	CORCOVADO	Cuerpo hipoabísal porfíritico				10,32	$\pm 0,33$			Mioceno (N1)		Huellas de fisión	Circón			39
1273	996-34					10,4	$\pm 10,6$			Mioceno (N1)		Huellas de fisión	Apatito			16
1274	UNM 3040	Andesita de La Equis	Andesita basáltica			10,4	$\pm 2,9$			Mioceno (N1)		K-Ar	Roca total			
1275	T3-004	Formación Une	Arenita			10,4	$\pm 1,3$			Mioceno (N1)		Huellas de fisión LA-ICP-MS	Apatito			45,3
1276	IGM-706463	Monzonita de Frontino	Diorita piroxénica			10,44	$\pm 0,23$			Mioceno (N1)		Ar-Ar	Biotita			
1277	CORCOVADO	Cuerpo hipoabísal porfíritico				10,47	$\pm 0,29$			Mioceno (N1)		Huellas de fisión	Circón			100
1278	MF-10	Plutón de Manizales	Granodiorita			10,5	$\pm 1,0$			Mioceno (N1)		Huellas de fisión	Apatito			
1279	RG-05	Formación Palermo	Arenita			10,5	$\pm 1,7$			Mioceno (N1)		Huellas de fisión LA-ICP-MS	Apatito			7,5
1280	IGM-706406	Basaltos de El Botón	Basalto			10,55	$\pm 0,28$			Mioceno (N1)		Ar-Ar	Roca total			
1281	IGM-706406	Basaltos de El Botón	Basalto			10,55	$\pm 0,28$			Mioceno (N1)		Ar-Ar	Roca total			
1282	RG-MP-012	Formación 1 Sur	Arenita			10,55	$\pm 4,56$			Mioceno (N1)		U-Th/He	Apatito			
1283	INTR. CAUCA	Cuerpo hipoabísal porfíritico				10,57	$\pm 0,4$			Mioceno (N1)		Huellas de fisión	Circón			15,00
1284	IGM-706463	Monzonita de Frontino	Diorita piroxénica			10,60	$\pm 0,38$			Mioceno (N1)		Ar-Ar	Biotita			
1285	T-6	Pórfido de Titiribí	Pórfido andesítico			10,60	$\pm 1,2$			Mioceno (N1)		Huellas de fisión	Circón			
1286	Din 12-3R (población 1)	Grupo Honda				10,6	$\pm 0,4$			Mioceno (N1)		Huellas de fisión	Circón			24
1287	DV04	Batolito de Ibagué	Gabrodiorita			10,6	$\pm 0,8$			Mioceno (N1)		U-Th/He	Apatito			
1288	RG-01	Formación Rusia	Arenita			10,6	$\pm 2,1$			Mioceno (N1)		Huellas de fisión LA-ICP-MS	Apatito			15,5
1289	Patia 3	Formación Galeón				10,65	$+1,48/-1,3$			Mioceno (N1)		Huellas de fisión LA-ICP-MS	Circón			
1290	08BU07	Formación Tambor				10,7-15,5		$10,7 \pm 0,6$	$15,5 \pm 0,9$	Mioceno (N1)		U-Th/He	Apatito			
1291	EAM-11-42B	Batolito de Santa Marta				10,77	$\pm 1,05$			Mioceno (N1)		U-Th/He	Apatito			
1292	MP-85	Formación Los Cuervos	Arenita			10,79	$\pm 1,79$			Mioceno (N1)		Huellas de fisión EDM	Apatito			
1293	C-V1B	Formación San Antonio	Toba andesítica			10,8	$\pm 5,4$			Mioceno (N1)		Huellas de fisión EDM	Apatito			>99
1294	10VDL59	Tonalita de Río Negro	Tonalita			10,8	$\pm 2,1$			Mioceno (N1)		Huellas de fisión LA-ICP-MS	Apatito			62,25
1295	ER135AR	Pórfido andesítico de Palestina	Andesita hornbléndica			10,82	$\pm 0,1$			Mioceno (N1)		Ar-Ar	Biotita			
1296	EAM-18-72B	Batolito de Santa Marta				10,89	$\pm 0,28$			Mioceno (N1)		U-Th/He	Apatito			
1297	TPD-72	Cuerpo monzodiorítico				10,9	$\pm 0,2$			Mioceno (N1)	$500-400$ y $200$ Ma	$^{208}\text{U-Pb}$ LA-MC-ICP-MS	Circón			
1298	61.02		Andesita			10,9	$\pm 0,2$			Mioceno (N1)		K-Ar	Roca total			
1299	62.01		Andesita			10,9	$\pm 0,3$			Mioceno (N1)		K-Ar	Anfibol			
1300	MP-85	Formación Los Cuervos	Arenita			10,9	$\pm 2,1$			Mioceno (N1)		Huellas de fisión EDM	Apatito			
1301	PB-V3	Formación San Antonio	Clasto de pumita andesítica			10,92	$\pm 0,11$			Mioceno (N1)		Ar-Ar	Biotita			
1302	AM-02	Formación Los Cuervos	Arenita			10,92	$\pm 2,77$			Mioceno (N1)		Huellas de fisión EDM	Apatito			

Dispersión %	Número de gramos analizados	Número de alicuotas	Fuente georreferenciación	Coordenada X	Coordenada Y	Sistema de coordenadas	Latitud	Longitud	Referencia	ID referencia	Comentarios
	17			1226297	1046034	MAGNA_Colombia_Bogota	6° 38' 32,600" N	73° 39' 40,350" W	Mora <i>et al.</i> (2010)	195	Edad pooled
	12			1065046	1081468	MAGNA_Colombia_Bogota	5° 11' 02,340" N	73° 20' 33,720" W	Parra <i>et al.</i> (2009b)	219	
	1	1	Se tomaron las coordenadas listadas en los anexos que se diferencian varios metros con respecto a las reportadas en el informe final	1434849	845761	MAGNA_Colombia_Bogota	8° 31' 32,820" N	75° 28' 41,900" W	Agencia Nacional de Hidrocarburos & Universidad de Caldas (2011b)	4	Edad corregida, muestra de un núcleo de perforación del pozo P19 a 241,71 m desde la base del pozo
	1			816620	874639	MAGNA_Colombia_Oeste	2° 56' 14,179" N	78° 12' 18,156" W	Agencia Nacional de Hidrocarburos & Universidad de Caldas (2011a)	3	
				1256675	1091769	MAGNA_Colombia_Oeste	6° 54' 59,498" N	76° 14' 49,773" W	Zapata & Rodriguez (2011)	342	Edad de isócrona inversa
9,9	29								Ramírez <i>et al.</i> (2006)	226	Edad central interpretada como la edad del magmatismo
	6			1251340	1120038	MAGNA_Colombia_Bogota	6° 52' 04,008" N	72° 59' 29,436" W	Caballero <i>et al.</i> (2013)	59	
			Localización tomada de Restrepo (1983) [236]	1127318	1064338	MAGNA_Colombia_Oeste	5° 44' 50,053" N	76° 29' 47,962" W	Restrepo <i>et al.</i> (1991)	239	
	24		Localización tomada de Ramirez Arias <i>et al.</i> (2012) [227]	1064516	1077954	MAGNA_Colombia_Bogota	5° 10' 45,240" N	73° 22' 27,840" W	Parra <i>et al.</i> (2009b)	219	También publicada en Ramirez Arias <i>et al.</i> (2012) [227]
				1200247	1104365	MAGNA_Colombia_Oeste	6° 24' 22,081" N	76° 08' 03,005" W	Rodríguez & Zapata (2012)	252	Edad de meseta
0	25								Ramírez <i>et al.</i> (2006)	226	Edad central interpretada como la edad del magmatismo
									Jaramillo (1981)	146	
	13			1145423	1101382	MAGNA_Colombia_Bogota	5° 54' 37,800" N	73° 09' 43,140" W	Parra <i>et al.</i> (2009b)	219	Edad concordante reseteada, exhumación activa aproximadamente a 26 Ma
				1267529	1085880	MAGNA_Colombia_Oeste	7° 00' 53,116" N	76° 18' 01,002" W	Zapata & Rodriguez (2011)	342	Edad de meseta promedio de cinco pasos
				1267529	1085880	MAGNA_Colombia_Oeste	7° 00' 53,116" N	76° 18' 01,002" W	Zapata & Rodriguez (2011)	342	Edad de fusión total
	1	2		739533	839861	MAGNA_Colombia_Oeste	2° 14' 23,962" N	78° 31' 01,200" W	Agencia Nacional de Hidrocarburos & Universidad de Caldas (2011a)	3	Muestra de ripios recuperados del pozo Remolinogrande-I
0,00	9			1200247	1104365	MAGNA_Colombia_Oeste	6° 24' 22,081" N	76° 08' 03,005" W	Rodríguez & Zapata (2012)	252	Edad de fusión total
									Jaramillo (1981)	146	Muestra tomada en el cerro Corcovado en el municipio de Titiribí, departamento de Antioquia
6	17		Se obtuvo la localización del pozo Dina-12 del sitio web del EPIS	833172	862320	MAGNA_Colombia_Bogota	3° 05' 12,504" N	75° 18' 57,601" W	Schwabe (2001)	267	Edad central de población 1, muestra del pozo Dina-12 a 3440 pies de profundidad
				1020765	900390	MAGNA_Colombia_Bogota	4° 47' 00,200" N	74° 58' 31,400" W	Villagómez & Spikings (2013)	328	Edad media ponderada
	14		Localización tomada de Mora <i>et al.</i> (2010) [195]	1138747	1111481	MAGNA_Colombia_Bogota	5° 50' 59,920" N	73° 04' 15,250" W	Parra <i>et al.</i> (2009b)	219	Edad pooled, también publicada en Mora <i>et al.</i> (2010) [195]
	30		Se tomaron las coordenadas listadas en los anexos que se diferencian varios metros con respecto a las reportadas en el informe final	728122	1006210	MAGNA_Colombia_Oeste	2° 08' 15,021" N	77° 01' 18,048" W	Agencia Nacional de Hidrocarburos & Universidad de Caldas (2011b)	4	Edad pooled, muestra de un núcleo de perforación del pozo Patia 3
				1226832	1094024	MAGNA_Colombia_Bogota	6° 38' 48,012" N	73° 13' 38,028" W	Caballero <i>et al.</i> (2013)	59	Rango de edades tomada de las 4 alicuotas
				1726305	993826	MAGNA_Colombia_Bogota	11° 09' 48,133" N	74° 08' 02,509" W	Cardona <i>et al.</i> (2011b)	70	
			Localización tomada de Mora <i>et al.</i> (2010) [195]	1118863	868937	MAGNA_Colombia_Este	5° 40' 11,500" N	72° 15' 37,910" W	Ramírez Arias <i>et al.</i> (2012)	227	Edad del inicio del último enfriamiento (edad del pico de enterramiento obtenida por modelamiento termal con el uso del software HeFTy), muestra del Anticlinal Tocaría
	20								Gómez <i>et al.</i> (2003)	115	Edad central
	40			1297666	1102855	MAGNA_Colombia_Bogota	7° 17' 13,000" N	73° 08' 46,000" W	van der Lelij (2013)	308	Edad pooled
				1045630	1162185	MAGNA_Colombia_Oeste	5° 00' 25,910" N	75° 36' 54,682" W	González (2010)	122	Edad integrada interpretada como de cristalización magmática
				1713861	989845	MAGNA_Colombia_Bogota	11° 03' 03,112" N	74° 10' 13,613" W	Cardona <i>et al.</i> (2011b)	70	
	31			1301818	1132540	MAGNA_Colombia_Bogota	7° 19' 25,843" N	72° 52' 38,062" W	Mantilla <i>et al.</i> (2011)	170	Edad media ponderada interpretada como edad de cristalización magmática
				796409	1082479	MAGNA_Colombia_Oeste	2° 45' 17,391" N	76° 20' 08,721" W	Risnes (1995)	249	
				794312	1082542	MAGNA_Colombia_Oeste	2° 44' 09,111" N	76° 20' 06,716" W	Risnes (1995)	249	
	40			1118863	868937	MAGNA_Colombia_Este	5° 40' 11,500" N	72° 15' 37,910" W	Mora <i>et al.</i> (2010)	195	Edad pooled
	10								Gómez <i>et al.</i> (2003)	115	
			Localización tomada de Mora <i>et al.</i> (2010) [195]	1096555	1177708	MAGNA_Colombia_Bogota	5° 28' 01,920" N	72° 28' 26,720" W	Ramírez Arias <i>et al.</i> (2012)	227	Edad del inicio del último enfriamiento (edad del pico de enterramiento obtenida por modelamiento termal con el uso del software HeFTy), muestra del Anticlinal Montrrallo

ID Datación Radiométrica	Código de la muestra	Unidad geológica	Litología	Edad años BP	Error años	Edad Ma	Error Ma	Edad grano simple menor detrítico	Edad grano simple mayor detrítico	Edad estratigráfica	Edades heredadas	Método de datación	Material analizado	Relación inicial	MSWD	P(X2) %
1303	A-2527	Plutón de Urrea	Monzonita			11				Mioceno (N1)		K-Ar	Biotita			
1304	IGM 119167	Batolito de Farallones	Tonalita			11	$\pm 2$			Mioceno (N1)		K-Ar	Roca total			
1305	MW 56	Grupo Garzón	Cuarzodiorita			11,0	$\pm 3,2$			Mioceno (N1)			Huellas de fisión	Apatito		
1306	IGM-706402	Basaltos de El Botón	Basalto			11	$\pm 0,3$			Mioceno (N1)			Ar-Ar	Roca total		
1307	IGM-706402	Basaltos de El Botón	Basalto			11	$\pm 0,2$			Mioceno (N1)			Ar-Ar	Roca total		
1308	IGM-706724	Granodiorita de Farallones	Granodiorita			11,0	$\pm 1,4$			Mioceno (N1)			Ar-Ar	Hornblenda y biotita	0,7	
1309	PPM2-9ABCD	Formación Umir	Arenita			11	$\pm 1,9$			Mioceno (N1)			Huellas de fisión EDM	Apatito		6,2
1310	JM020R	Complejo Igneo de Circuelal	Andesita hornblendica porfírica			11,07	$\pm 0,07$			Mioceno (N1)			Ar-Ar	Biotita		
1311	Din 12-3R (población 1)	Grupo Honda				11,1	$\pm 0,3$			Mioceno (N1)			Huellas de fisión	Circón		
1312	JF 3	Grupo Garzón	Gneis biotítico			11,1	$\pm 1,5$			Mioceno (N1)			Huellas de fisión	Apatito		
1313	DV82	Intrusivo granítico (?)	Granito			11,1	$\pm 0,7$			Mioceno (N1)			U-Th/He	Apatito		
1314	10VDL23	Gneis de Bucaramanga	Gneis biotítico hornblendico			11,1	$\pm 1,1$			Mioceno (N1)			Huellas de fisión LA-ICP-MS	Apatito		99,15
1315	JM020R	Complejo Igneo de Circuelal	Andesita hornblendica porfírica			11,102	$\pm 0,069$			Mioceno (N1)			Ar-Ar	Biotita		1,4
1316	JM020R	Complejo Igneo de Circuelal	Andesita hornblendica			11,112	$\pm 0,070$			Mioceno (N1)			Ar-Ar	Biotita		0,95
1317	G07-G01-053-2	Formación Playa Palmeras	Arenita			11,18	$\pm 2,64$			Mioceno (N1)			U-Th/He	Apatito		
1318	ER135AR	Pórfido andesítico de Palestina	Andesita hornblendica			11,2	$\pm 0,3$			Mioceno (N1)			Ar-Ar	Hornblenda		
1319	MW 58	Grupo Garzón	Granulita chamoquítica			11,2	$\pm 1,4$			Mioceno (N1)			Huellas de fisión	Apatito		79
1320	DV82	Intrusivo granítico (?)	Granito			11,2	$\pm 0,3$			Mioceno (N1)			U-Th/He	Apatito		
1321	RW3b P2	Grupo Guadalupe	Arenita			11,2	$\pm 2,0$			Mioceno (N1)			Huellas de fisión LA-ICP-MS	Apatito		
1322	MM-005 P1	Formación Las Juntas	Arenita			11,2	$\pm 1,9$			Mioceno (N1)			Huellas de fisión EDM	Apatito		
1323	PKSW 043a	Formación Popayán	Lítico de flujo de ceniza			11,3	$\pm 6,8$			Mioceno (N1)			Ar-Ar	Anfibol		
1324	08BU06	Formación Jordán	Arenita					$11,3 \pm 0,7$	$13,0 \pm 0,8$	Mioceno (N1)			U-Th/He	Apatito		
1325	BV-196	Grupo Quetame				11,4	$\pm 1,1$			Mioceno (N1)			Huellas de fisión LA-ICP-MS	Circón		0
1326	T04G2-036	Formación Cascajal	Arenita			11,42	$\pm 15,15$			Mioceno (N1)			U-Th/He	Apatito		
1327	IGM-706421	Monzonita de Frontino	Diorita piroxénica			11,44	$\pm 0,36$			Mioceno (N1)			Ar-Ar	Biotita		
1328	SJ-5	Grupo Quetame				11,5	$\pm 0,6$			Mioceno (N1)			Huellas de fisión LA-ICP-MS	Circón		88,1
1329	57.02		Andesita			11,5	$\pm 0,3$			Mioceno (N1)			K-Ar	Roca total		
1330	MM-005	Formación Las Juntas	Arenita			11,5	$\pm 1,9$			Mioceno (N1)			Huellas de fisión EDM	Apatito		91,79
1331	IGM-706406	Basaltos de El Botón	Basalto			11,53	$\pm 0,96$			Mioceno (N1)			Ar-Ar	Roca total		0,28
1332	CH-ZS-MP-00-3	Formación Condoto				11,55	$\pm 222,01$			Mioceno (N1)			U-Th/He	Apatito		
1333	WR-68	Complejo Igneo de Betulia	Pórfido tonalítico			11,6	$\pm 0,2$			Mioceno (N1)	<i>ca. 80 y 60 Ma</i>	$U-Pb$ LA-MC-ICP-MS	Circón			
1334	CGP29	Formación Combia				11,6	$\pm 1,35$			Mioceno (N1)			Huellas de fisión	Circón		0
1335	Din 12-1 Rosados	Grupo Honda				11,6	$\pm 0,7$			Mioceno (N1)			Huellas de fisión	Circón		7
1336	Din 12-3R (población 1)	Grupo Honda				11,6	$\pm 0,4$			Mioceno (N1)			Huellas de fisión	Circón		100

Dispersión %	Número de gramos analizados	Número de alicuotas	Fuente georreferenciación	Coordenada X	Coordenada Y	Sistema de coordenadas	Latitud	Longitud	Referencia	ID referencia	Comentarios
			Se obtuvo las coordenadas del punto a partir de la georreferenciación de la figura de localización de muestras	1202297	1115966	MAGNA_Colombia_Oeste	6° 25' 28,076" N	76° 01' 45,436" W	Botero (1981)	51	Edad mínima del intrusivo
				1115530	1115133	MAGNA_Colombia_Oeste	5° 38' 24,033" N	76° 02' 17,905" W	Calle <i>et al.</i> (1980)	60	
100			Se obtuvo las coordenadas del punto a partir de la georreferenciación de la Figura 6	707007	1151685	MAGNA_Colombia_Oeste	1° 56' 45,602" N	75° 42' 51,280" W	van der Wiel & Andriessen (1991)	310	
				1256675	1091769	MAGNA_Colombia_Oeste	6° 54' 59,498" N	76° 14' 49,773" W	Zapata & Rodriguez (2011)	342	Edad de meseta promedio con tres pasos de alta temperatura
				1256675	1091769	MAGNA_Colombia_Oeste	6° 54' 59,498" N	76° 14' 49,773" W	Zapata & Rodriguez (2011)	342	Edad de fusión total
				1115842	1117327	MAGNA_Colombia_Oeste	5° 38' 34,059" N	76° 01' 06,626" W	Zapata & Rodriguez (2013)	343	Edad de isócrona inversa
12				1230065	1047091	MAGNA_Colombia_Bogota	6° 40' 35,230" N	73° 39' 05,830" W	Mora <i>et al.</i> (2010)	195	Edad pooled
				715814	1033257	MAGNA_Colombia_Oeste	2° 01' 34,226" N	76° 46' 42,865" W	González (2010)	122	Edad integrada
			Se obtuvo la localización del pozo Dina-12 del sitio web del EPIS	833172	862320	MAGNA_Colombia_Bogota	3° 05' 12,504" N	75° 18' 57,601" W	Schwabe (2001)	267	Edad central ponderada de población 1, interpretada como la edad máxima de deposición del Grupo Honda, muestra del pozo Dina-12 a 3440 pies de profundidad
100			Se obtuvo las coordenadas del punto a partir de la georreferenciación de la Figura 6	789883	919248	MAGNA_Colombia_Bogota	2° 41' 44,967" N	74° 48' 13,285" W	van der Wiel & Andriessen (1991)	310	
				965976	871708	MAGNA_Colombia_Bogota	4° 17' 15,500" N	75° 13' 59,200" W	Villagómez & Spikings (2013)	328	Edad media ponderada
39				1259672	1122765	MAGNA_Colombia_Bogota	6° 56' 35,000" N	72° 58' 00,000" W	van der Lelij (2013)	308	Edad pooled
				715814	1033257	MAGNA_Colombia_Oeste	2° 01' 34,226" N	76° 46' 42,865" W	González (2010)	122	Edad isócrona inversa
				715814	1033257	MAGNA_Colombia_Oeste	2° 01' 34,226" N	76° 46' 42,865" W	González (2010)	122	Edad de meseta interpretada como de cristalización magmática
1				816620	874639	MAGNA_Colombia_Oeste	2° 56' 14,179" N	78° 12' 18,156" W	Agencia Nacional de Hidrocarburos & Universidad de Caldas (2011a)	3	
				1045630	1162185	MAGNA_Colombia_Oeste	5° 00' 25,910" N	75° 36' 54,682" W	González (2010)	122	Edad integrada interpretada como de cristalización magmática
20			Se obtuvo las coordenadas del punto a partir de la georreferenciación de la Figura 6	701163	1153711	MAGNA_Colombia_Oeste	1° 53' 35,332" N	75° 41' 45,889" W	van der Wiel & Andriessen (1991)	310	
				965976	871708	MAGNA_Colombia_Bogota	4° 17' 15,500" N	75° 13' 59,200" W	Villagómez (2010)	325	Edad media ponderada
5			Localización tomada de Mora <i>et al.</i> (2010) [195]	1109946	1137318	MAGNA_Colombia_Bogota	5° 35' 20,870" N	72° 50' 17,540" W	Ramirez Arias <i>et al.</i> (2012)	227	Edad de población, muestra del Sinclinal de Aquitania
14				1099936	1172103	MAGNA_Colombia_Bogota	5° 29' 52,440" N	72° 31' 28,440" W	Ramirez Arias <i>et al.</i> (2012)	227	Edad de población, muestra del bloque colgante de la Falla de Pajarito
				1233281	1094701	MAGNA_Colombia_Bogota	6° 42' 17,892" N	73° 13' 15,636" W	Caballero <i>et al.</i> (2013)	59	Rango de edades tomada de las 4 alicuotas
50	38			966423	1032653	MAGNA_Colombia_Bogota	4° 17' 33,000" N	73° 47' 00,120" W	Parra <i>et al.</i> (2009b)	219	
1	3			702664	1164483	MAGNA_Colombia_Oeste_Oeste	1° 54' 23,908" N	78° 35' 57,409" W	Agencia Nacional de Hidrocarburos & Universidad de Caldas (2011a)	3	
				1233075	1101193	MAGNA_Colombia_Oeste	6° 42' 10,785" N	76° 09' 44,286" W	Rodriguez & Zapata (2012)	252	Edad de fusión total
0	43			986233	1042663	MAGNA_Colombia_Bogota	4° 28' 17,760" N	73° 41' 35,160" W	Parra <i>et al.</i> (2009b)	219	
				656557	997381	MAGNA_Colombia_Oeste	1° 29' 25,077" N	77° 06' 03,755" W	Risnes (1995)	249	
13				1099936	1172103	MAGNA_Colombia_Bogota	5° 29' 52,440" N	72° 31' 28,440" W	Ramirez Arias <i>et al.</i> (2012)	227	Muestra del bloque colgante de la Falla de Pajarito
				1267529	1085880	MAGNA_Colombia_Oeste	7° 00' 53,116" N	76° 18' 01,002" W	Zapata & Rodriguez (2011)	342	Edad de isócrona inversa
1	2		Se tomaron las coordenadas listadas en los anexos que se diferencian varios metros con respecto a las reportadas en el informe final	1044920	1048332	MAGNA_Colombia_Oeste	5° 00' 08,169" N	76° 38' 30,087" W	Agencia Nacional de Hidrocarburos & Universidad de Caldas (2011b)	4	Edad corregida, muestra de un núcleo de perforación del pozo Choco-1 ST-P
				722466	1031944	MAGNA_Colombia_Oeste	2° 05' 10,800" N	76° 47' 25,300" W	Leal Mejia (2011)	160	Interpretada como la edad de cristalización magmática, las edades heredadas pueden indicar asimilación de rocas preexistentes dentro del <i>melange</i> de Romeral
78,5	18		Se obtuvo la localización de la sección Guineales-Péhalisa, a lo largo de la cual se tomaron las muestras, a partir de la georreferenciación de la Figura 6	1145875	1132392	MAGNA_Colombia_Oeste	5° 54' 50,587" N	75° 52' 55,094" W	Ramirez <i>et al.</i> (2006)	226	Edad central, los eventos volcánicos que dieron origen a la Formación Combia son interpretados entre 10 y 6 Ma
16	5		Se obtuvo la localización del pozo Dina-12 del sitio web del EPIS	833172	862320	MAGNA_Colombia_Bogota	3° 05' 12,504" N	75° 18' 57,601" W	Schwabe (2001)	267	Edad central, muestra del pozo Dina-12 a 2064 pies de profundidad
14	19		Se obtuvo la localización del pozo Dina-12 del sitio web del EPIS	833172	862320	MAGNA_Colombia_Bogota	3° 05' 12,504" N	75° 18' 57,601" W	Schwabe (2001)	267	Edad central de población 1, muestra del pozo Dina-12 a 3440 pies de profundidad, edad obtenida por la profesora Gloria Elena TORO de la Universidad EAFIT

ID Datación Radiométrica	Código de la muestra	Unidad geológica	Litología	Edad años BP	Error años	Edad Ma	Error Ma	Edad grano simple menor detrítico	Edad grano simple mayor detrítico	Edad estratigráfica	Edades heredadas	Método de datación	Material analizado	Relación inicial	MSWD	P(X2) %
1337	MP-86	Formación Barco	Arenita			11,6	$\pm$ 2,6			Mioceno (N1)		Huellas de fisión EDM	Apatito			
1338	10VDL52	Tonalita de Páramo Rico	Tonalita			11,6	$\pm$ 1,7			Mioceno (N1)		Huellas de fisión LA-ICP-MS	Apatito			55,52
1339	JRG-11-15A	Batolito de Santa Marta				11,7	$\pm$ 0,48			Mioceno (N1)		U-Th/He	Apatito			
1340	MW 72	Grupo Garzón	Granito biótico			11,7	$\pm$ 2,3			Mioceno (N1)		Huellas de fisión	Apatito			
1341	AM-01	Formación Picacho	Arenita			11,7	$\pm$ 1,7			Mioceno (N1)		Huellas de fisión LA-ICP-MS	Apatito			0
1342	996-42	Formación La Luna	Arenita			11,7	$\pm$ 2,6			Mioceno (N1)		Huellas de fisión	Apatito			<1
1343	MP-27	Formación Las Juntas	Arenita			11,7	$\pm$ 2,5			Mioceno (N1)		Huellas de fisión EDM	Apatito			
1344	FM-GALEON					11,77	$+ 3,65/- 2,79$			Mioceno (N1)		Huellas de fisión LA-ICP-MS	Apatito			
1345	Buriticá 1		Diorita hornbléndica			11,8	$\pm$ 1,1			Mioceno (N1)		K-Ar	Hornblenda			
1346	San Diego 1	Intrusivo El Cerro	Diorita biótica			11,8	$\pm$ 0,4			Mioceno (N1)		K-Ar	Biotita			
1347	WR-66	Complejo Ígneo de Betulia	Tonalita biótica hornbléndica			11,8	$\pm$ 0,2			Mioceno (N1)		U-Pb LA-MC-ICP-MS	Circón			
1348	Din 12-1 Rosados	Grupo Honda				11,8	$\pm$ 0,5			Mioceno (N1)		Huellas de fisión	Circón			7-16
1349	Din 12-3R	Grupo Honda				11,8	$\pm$ 0,6			Mioceno (N1)		Huellas de fisión	Circón			<1
1350	SK 490	Grupo Garzón	Granulita gabronorítica			11,8	$\pm$ 1,8			Mioceno (N1)		Huellas de fisión	Apatito			
1351	MP-78 P2	Grupo Guadalupe	Arenita			11,8	$\pm$ 6,1			Mioceno (N1)		Huellas de fisión EDM	Apatito			
1352	IGM-706762	Monzodiorita de Carauta	Monzodiorita			11,9	$\pm$ 0,5			Mioceno (N1)		Ar-Ar	Biotita			
1353	IGM-706724	Granodiorita de Farallones	Granodiorita			11,9	$\pm$ 0,6			Mioceno (N1)		Ar-Ar	Hornblenda y biotita			
1354	MP-41-41a	Formación Une	Arenita			11,9	$\pm$ 1,2			Mioceno (N1)		Huellas de fisión EDM	Apatito			32,26
1355	A-2527	Plutón de Urreo	Monzonita			12				Mioceno (N1)		K-Ar	Biotita			
1356	Mo 486	Pórfido de La Albania	Andesita			12	$\pm$ 1			Mioceno (N1)		K-Ar	Hornblenda			
1357	IGM-706936		Gabro clinopiroxénico			12,0	$\pm$ 0,5			Mioceno (N1)		Ar-Ar	Hornblenda			
1358	Din 12-1 Rosados	Grupo Honda				12,0	$\pm$ 0,7			Mioceno (N1)		Huellas de fisión	Circón			16
1359	IN-SHC-34	Grupo Guadalupe	Arenita			12	$\pm$ 2,4			Mioceno (N1)		Huellas de fisión EDM	Apatito			
1360	IN-SCH-34 P1	Grupo Guadalupe	Arenita			12	$\pm$ 2,4			Mioceno (N1)		Huellas de fisión EDM	Apatito			
1361	48.02		Dacita			12,01	$\pm$ 0,3			Mioceno (N1)		K-Ar	Anfibol			
1362	INTR. CAUCA	Cuerpo hipoabásal porfírico				12,05	$\pm$ 0,45			Mioceno (N1)		Huellas de fisión	Circón			95,00
1363	IGM-706762	Monzodiorita de Carauta	Monzodiorita			12,1	$\pm$ 0,5			Mioceno (N1)		Ar-Ar	Biotita			
1364	JF 1	Grupo Garzón	Gneís biótico			12,1	$\pm$ 1,5			Mioceno (N1)		Huellas de fisión	Apatito			
1365	MP-78	Grupo Guadalupe	Arenita			12,1	$\pm$ 1,8			Mioceno (N1)		Huellas de fisión EDM	Apatito			
1366	10VDL28	Granodiorita de Onzaga	Granodiorita			12,1	$\pm$ 2,4			Mioceno (N1)		Huellas de fisión LA-ICP-MS	Apatito			25,61
1367	10VDL55	Granodiorita de Tarra	Granodiorita			12,1	$\pm$ 2,5			Mioceno (N1)		Huellas de fisión LA-ICP-MS	Apatito			55,22
1368	JG-R88-2	Grupo Honda, Formación Villavieja, Miembro Cerro Colorado	Clasto de pumita en arenita			12,111	$\pm$ 0,259			Mioceno (N1)		Ar-Ar	Plagioclasa			
1369	JC031R	Stock de Lerma	Andesita porfirítica			12,16	$\pm$ 4,01			Mioceno (N1)		Ar-Ar	Hornblenda			
1370	MW 74	Grupo Garzón	Granulita chamoquítica			12,2	$\pm$ 1,6			Mioceno (N1)		Huellas de fisión	Apatito			
1371	DV121	Batolito de Piedrancha	Granodiorita			12,2	$\pm$ 0,9			Mioceno (N1)		U-Th/He	Apatito			

Dispersión %	Número de gramos analizados	Número de alicuotas	Fuente georreferenciación	Coordenada X	Coordenada Y	Sistema de coordenadas	Latitud	Longitud	Referencia	ID referencia	Comentarios
	16			1119240	868892	MAGNA_Colombia_Este	5° 40' 23,770" N	72° 15' 39,400" W	Mora <i>et al.</i> (2010)	195	Edad pooled
	40			1291615	1130237	MAGNA_Colombia_Bogota	7° 13' 54,000" N	72° 53' 54,000" W	van der Lelij (2013)	308	Edad pooled
				1723671	995182	MAGNA_Colombia_Bogota	11° 08' 22,419" N	74° 07' 17,803" W	Cardona <i>et al.</i> (2011b)	70	
	100		Se obtuvo las coordenadas del punto a partir de la georreferenciación de la Figura 6	752070	848046	MAGNA_Colombia_Bogota	2° 21' 12,260" N	75° 26' 36,774" W	van der Wiel & Andriessen (1991)	310	
	13			1068855	1070911	MAGNA_Colombia_Bogota	5° 13' 06,720" N	73° 26' 16,380" W	Parra <i>et al.</i> (2009b)	219	
	15			1287150	1087012	MAGNA_Colombia_Bogota	7° 11' 31,704" N	73° 17' 23,028" W	Caballero <i>et al.</i> (2013)	59	
	24			1100854	1172351	MAGNA_Colombia_Bogota	5° 30' 22,280" N	72° 31' 20,310" W	Mora <i>et al.</i> (2010)	195	Edad pooled
	40		Se tomaron las coordenadas listadas en los anexos que se diferencian varios metros con respecto a las reportadas en el informe final	938925	1103793	MAGNA_Colombia_Oeste	4° 02' 36,057" N	76° 08' 34,263" W	Agencia Nacional de Hidrocarburos & Universidad de Caldas (2011b)	4	Edad pooled
				1232760	1129241	MAGNA_Colombia_Oeste	6° 41' 58,600" N	75° 54' 31,200" W	Leal Mejia (2011)	160	Interpretada como la edad de cristalización magmática
				1232593	1101463	MAGNA_Colombia_Oeste	6° 41' 55,100" N	76° 09' 35,500" W	Leal Mejia (2011)	160	Interpretada como la edad de cristalización magmática
				718227	1029525	MAGNA_Colombia_Oeste	2° 02' 52,800" N	76° 48' 43,600" W	Leal Mejia (2011)	160	Interpretada como la edad de cristalización magmática
16–10	5–4		Se obtuvo la localización del pozo Dina-12 del sitio web del EPIS	833172	862320	MAGNA_Colombia_Bogota	3° 05' 12,504" N	75° 18' 57,601" W	Schwabe (2001)	267	Edad central ponderada, muestra del pozo Dina-12 a 2064 pies de profundidad
27	19		Se obtuvo la localización del pozo Dina-12 del sitio web del EPIS	833172	862320	MAGNA_Colombia_Bogota	3° 05' 12,504" N	75° 18' 57,601" W	Schwabe (2001)	267	Edad central, muestra del pozo Dina-12 a 3440 pies de profundidad
	100		Se obtuvo las coordenadas del punto a partir de la georreferenciación de la Figura 6	750157	857134	MAGNA_Colombia_Bogota	2° 20' 10,302" N	75° 21' 42,657" W	van der Wiel & Andriessen (1991)	310	
	2			1117032	866438	MAGNA_Colombia_Este	5° 39' 11,760" N	72° 16' 59,000" W	Mora <i>et al.</i> (2010)	195	Edad pooled de la población 2
				1237039	1080323	MAGNA_Colombia_Oeste	6° 44' 20,957" N	76° 21' 03,561" W	Zapata & Rodriguez (2011)	342	Edad de meseta
				1115842	1117327	MAGNA_Colombia_Oeste	5° 38' 34,059" N	76° 01' 06,626" W	Zapata & Rodriguez (2013)	343	Edad media ponderada de meseta
	27			1098242	1175592	MAGNA_Colombia_Bogota	5° 28' 57,000" N	72° 29' 35,280" W	Ramirez Arias <i>et al.</i> (2012)	227	Muestra del bloque colgante de la Falla de Los Yopos
			Se obtuvo las coordenadas del punto a partir de la georreferenciación de la figura de localización de muestras	1202297	1115966	MAGNA_Colombia_Oeste	6° 25' 28,076" N	76° 01' 45,436" W	Botero (1981)	51	Edad mínima del intrusivo
									Brook (1984)	53	Edad de intrusión
				1193295	1057689	MAGNA_Colombia_Oeste	6° 20' 37,962" N	76° 33' 22,004" W	Buchely <i>et al.</i> (2009)	54	Edad de fusión total
10	4		Se obtuvo la localización del pozo Dina-12 del sitio web del EPIS	833172	862320	MAGNA_Colombia_Bogota	3° 05' 12,504" N	75° 18' 57,601" W	Schwabe (2001)	267	Edad central, muestra del pozo Dina-12 a 2064 pies de profundidad, edad obtenida por la profesora Gloria Elena TORO de la Universidad EAFIT
	18			1163191	880357	MAGNA_Colombia_Este	6° 04' 15,030" N	72° 09' 29,670" W	Mora <i>et al.</i> (2010)	195	Edad pooled
	13			1163191	880357	MAGNA_Colombia_Este	6° 04' 15,030" N	72° 09' 29,670" W	Mora <i>et al.</i> (2010)	195	Edad pooled de la población 1
				662806	995481	MAGNA_Colombia_Oeste	1° 32' 48,543" N	77° 07' 05,229" W	Risnes (1995)	249	
0,00	8								Ramirez <i>et al.</i> (2006)	226	Edad central interpretada como la edad del magmatismo
				1237039	1080323	MAGNA_Colombia_Oeste	6° 44' 20,957" N	76° 21' 03,561" W	Buchely <i>et al.</i> (2009)	54	Edad de fusión total
	101		Se obtuvo las coordenadas del punto a partir de la georreferenciación de la Figura 6	787679	916926	MAGNA_Colombia_Bogota	2° 40' 33,190" N	74° 49' 28,425" W	van der Wiel & Andriessen (1991)	310	
	18			1117032	866438	MAGNA_Colombia_Este	5° 39' 11,760" N	72° 16' 59,000" W	Mora <i>et al.</i> (2010)	195	Edad pooled
	37			1196908	1139321	MAGNA_Colombia_Bogota	6° 22' 31,000" N	72° 49' 06,000" W	van der Lelij (2013)	308	Edad pooled
	39			1382392	1110480	MAGNA_Colombia_Bogota	8° 03' 10,000" N	73° 04' 31,000" W	van der Lelij (2013)	308	Edad pooled
									Flynn <i>et al.</i> (1997)	102	Edad media ponderada
				709138	1018526	MAGNA_Colombia_Oeste	1° 57' 56,931" N	76° 54' 39,557" W	González (2010)	122	Hornblenda muy baja en K, edad integrada es de menor confiabilidad que la obtenida en biotita
	100		Se obtuvo las coordenadas del punto a partir de la georreferenciación de la Figura 6	750991	853973	MAGNA_Colombia_Bogota	2° 20' 37,356" N	75° 23' 24,953" W	van der Wiel & Andriessen (1991)	310	
				617788	912682	MAGNA_Colombia_Oeste	1° 08' 22,500" N	77° 51' 43,300" W	Villagómez & Spikings (2013)	328	Edad media ponderada

ID Datación Radiométrica	Código de la muestra	Unidad geológica	Litología	Edad años BP	Error años	Edad Ma	Error Ma	Edad grano simple menor detrítico	Edad grano simple mayor detrítico	Edad estratigráfica	Edades heredadas	Método de datación	Material analizado	Relación inicial	MSWD	P(X2) %
1372	JG-R88-2	Grupo Honda, Formación Villavieja, Miembro Cerro Colorado	Clasto de pumita en arena			12,210	$\pm 0,107$			Mioceno (N1)		Ar–Ar	Hornblenda y plagioclasa			
1373	JG-R88-2	Grupo Honda, Formación Villavieja, Miembro Cerro Colorado	Clasto de pumita en arena			12,230	$\pm 0,117$			Mioceno (N1)		Ar–Ar	Hornblenda			
1374	IGM-706936		Gabro clinopiroxénico			12,3	$\pm 0,4$			Mioceno (N1)		Ar–Ar	Hornblenda			
1375	DV121	Batolito de Piedrancha	Granodiorita			12,3	$\pm 0,4$			Mioceno (N1)		U–Th/He	Apatito			
1376	BC-79-4	Gneis de Bucaramanga	Gneis			12,4	$\pm 1,5$			Mioceno (N1)		Huellas de fisión	Apatito			
1377	MP-41-41a P1–C1	Formación Une	Arenita			12,4	$\pm 1,3$			Mioceno (N1)		Huellas de fisión EDM	Apatito			
1378	P16-155,67-155 ,97ML-003	Formaciones Ciénaga de Oro y Porquerá				12,46	$\pm 1,54$			Mioceno (N1)		U–Th/He	Apatito			
1379	JG-R89-2	Grupo Honda, Formación La Victoria	Clasto de pumita en arena			12,486	$\pm 0,111$			Mioceno (N1)		Ar–Ar	Hornblenda			
1380	M1-MP-005	Formación Chagüí	Arenita			12,51	$\pm 26,49$			Mioceno (N1)		U–Th/He	Apatito			
1381	JG-R89-2	Grupo Honda, Formación La Victoria	Clasto de pumita en arena			12,512	$\pm 0,102$			Mioceno (N1)		Ar–Ar	Hornblenda y plagioclasa			
1382	Din 12-3R	Grupo Honda				12,6	$\pm 0,4$			Mioceno (N1)		Huellas de fisión	Circón			<1
1383	R1-3 (población 1)	Grupo Honda				12,6	$\pm 1,0$			Mioceno (N1)		Huellas de fisión	Circón			90
1384	003	Grupo Honda, Formación Villavieja, Miembro Cerro Colorado	Arcillolita tobácea			12,6	$\pm 0,5$			Mioceno (N1)		Huellas de fisión	Circón			9,38
1385	INTR. CAUCA	Cuerpo hipoabásal porfírico				12,62	$\pm 0,44$			Mioceno (N1)		Huellas de fisión	Circón			10,00
1386	G05-G1-038	Formación Tasca	Arenita			12,62	$\pm 9,45$			Mioceno (N1)		U–Th/He	Apatito			
1387	T-39	Intrusivo de Tatamá				12,64	$+ 5,31/- 3,74$			Mioceno (N1)		Huellas de fisión LA-ICP-MS	Apatito			
1388	JG-R89-2	Grupo Honda, Formación La Victoria	Clasto de pumita en arena			12,649	$\pm 0,258$			Mioceno (N1)		Ar–Ar	Plagioclasa			
1389	MW 212	Formación Honda				12,7	$\pm 5,3$			Mioceno (N1)		Huellas de fisión	Circón			<1
1390	AM-05	Formación Une	Arenita			12,7	$\pm 2,4$			Mioceno (N1)		Huellas de fisión EDM	Apatito			
1391	AM-09	Formación Une	Arenita			12,8	$\pm 0,8$			Mioceno (N1)		U–Th/He	Apatito			
1392	EAM-11-50A	Batolito de Santa Marta				12,87	$\pm 2,4$			Mioceno (N1)		U–Th/He	Apatito			
1393	Chocó-1 ST-P-Mp03	Formación Condoto				12,87	$\pm 23,88$			Mioceno (N1)		U–Th/He	Apatito			
1394	MLC019M5	Formación Morrocoy–El Pantano	Basalto			12,88	$\pm 0,67$			Mioceno (N1)		Ar–Ar	Plagioclasa			1,2
1395	08PB02		Esquisto					$12,9 \pm 1,0$	$55,8 \pm 4,5$	Eoceno (E2)–Mioceno (N1)		U–Th/He	Circón			
1396	CH-ZS-MP-010	Formación Condoto				12,97	$\pm 2,58$			Mioceno (N1)		U–Th/He	Apatito			
1397	IGM-119250	Stock de San Cristóbal	Pórfido dacítico			13	$\pm 3$			Mioceno (N1)		K–Ar	Biotita			
1398	JG-FT (REC)	Grupo Honda, Formación Villavieja	Clasto de pumita en arena			13,000	$\pm 0,88$			Mioceno (N1)		Ar–Ar				
1399	47.01		Dacita			13	$\pm 0,8$			Mioceno (N1)		K–Ar	Biotita			
1400	RG-MP-005	Formación Chagüí	Arenita			13,02	$+ 5,29/- 3,76$			Mioceno (N1)		Huellas de fisión LA-ICP-MS	Apatito			
1401	JC031R	Stock de Lerma	Andesita porfirítica			13,1	$\pm 3,3$			Mioceno (N1)		Ar–Ar	Hornblenda			0,38

Dispersión %	Número de granos analizados	Número de alicuotas	Fuente georreferenciación	Coordenada X	Coordenada Y	Sistema de coordenadas	Latitud	Longitud	Referencia	ID referencia	Comentarios
									Flynn <i>et al.</i> (1997)	102	Edad media ponderada
									Flynn <i>et al.</i> (1997)	102	Edad media ponderada
				1193295	1057689	MAGNA_Colombia_Oeste	6° 20' 37,962" N	76° 33' 22,004" W	Buchely <i>et al.</i> (2009)	54	Edad de meseta
				617788	912682	MAGNA_Colombia_Oeste	1° 08' 22,500" N	77° 51' 43,300" W	Villagómez (2010)	325	Edad media ponderada
			Se obtuvo las coordenadas del punto a partir de la georreferenciación de la Figura 7	1259854	1122368	MAGNA_Colombia_Bogota	6° 56' 40,926" N	72° 58' 12,908" W	Shagam <i>et al.</i> (1984)	270	
27				1098242	1175592	MAGNA_Colombia_Bogota	5° 28' 57,000" N	72° 29' 35,280" W	Ramirez Arias <i>et al.</i> (2012)	227	Edad de población, muestra del bloque colgante de la Falla de Los Yopos
1	2		Se tomaron las coordenadas listadas en los anexos que se diferencian varios metros con respecto a las reportadas en el informe final	1441552	837049	MAGNA_Colombia_Bogota	8° 35' 09,873" N	75° 33' 27,519" W	Agencia Nacional de Hidrocarburos & Universidad de Caldas (2011b)	4	Edad corregida, muestra de un núcleo de perforación del pozo P16 a 155,67 m desde la base del pozo
									Flynn <i>et al.</i> (1997)	102	Edad media ponderada. Tope del Conglomerado Cerbatana
1	3			688492	847272	MAGNA_Colombia_Oeste	1° 46' 42,940" N	78° 27' 00,036" W	Agencia Nacional de Hidrocarburos & Universidad de Caldas (2011a)	3	Muestra de ripios recuperados del pozo Majagua-1
									Flynn <i>et al.</i> (1997)	102	Edad media ponderada. Tope del Conglomerado Cerbatana
27-31	19-24		Se obtuvo la localización del pozo Dina-12 del sitio web del EPIS	833172	862320	MAGNA_Colombia_Bogota	3° 05' 12,504" N	75° 18' 57,601" W	Schwabe (2001)	267	Edad central ponderada, muestra del pozo Dina-12 a 3440 pies de profundidad
<1	4		Se obtuvo la localización del pozo Rosita-1 del sitio web del EPIS	937730	894847	MAGNA_Colombia_Bogota	4° 01' 57,092" N	75° 01' 27,848" W	Schwabe (2001)	267	Edad central de población 1, muestra del pozo Rosita-1 a 3240-3690 pies de profundidad
	30		Se obtuvo las coordenadas del punto a partir de la georreferenciación del «Geological Map of La Venta»	848792	877992	MAGNA_Colombia_Bogota	3° 13' 41,473" N	75° 10' 30,670" W	Takemura <i>et al.</i> (1992)	274	Edad promedio de las edades obtenidas por los métodos ED1 y ED2, muestra tomada de la sección FT Site
14,30	18								Ramirez <i>et al.</i> (2006)	226	Edad central interpretada como la edad del magmatismo
1	3			816399	874486	MAGNA_Colombia_Oeste	2° 56' 06,957" N	78° 12' 23,113" W	Agencia Nacional de Hidrocarburos & Universidad de Caldas (2011a)	3	
	40								Agencia Nacional de Hidrocarburos & Universidad de Caldas (2011b)	4	Edad pooled, las coordenadas reportadas (1 114 980 m.N. y 1 566 810 m.E.) no coinciden con la unidad
									Flynn <i>et al.</i> (1997)	102	Edad media ponderada. Tope del Conglomerado Cerbatana
15			Se obtuvo las coordenadas del punto a partir de la georreferenciación del Apéndice 1	751338	1163656	MAGNA_Colombia_Oeste	2° 20' 48,058" N	75° 36' 22,663" W	van der Wiel <i>et al.</i> (1991)	311	
23				1099677	1172401	MAGNA_Colombia_Bogota	5° 29' 44,000" N	72° 31' 18,800" W	Mora <i>et al.</i> (2010)	195	Edad pooled, muestra del bloque yacente de la Falla de Soápaga
	1			1136397	1134832	MAGNA_Colombia_Bogota	5° 49' 41,940" N	72° 51' 36,480" W	Ramirez Arias <i>et al.</i> (2012)	227	Alicuota seleccionada por los autores para el modelamiento inverso, muestra del bloque colgante de la Falla de Soápaga
				1722400	997165	MAGNA_Colombia_Bogota	11° 07' 41,031" N	74° 06' 12,447" W	Cardona <i>et al.</i> (2011b)	70	
1	1		Se tomaron las coordenadas listadas en los anexos que se diferencian varios metros con respecto a las reportadas en el informe final	1044920	1048332	MAGNA_Colombia_Oeste	5° 00' 08,169" N	76° 38' 30,087" W	Agencia Nacional de Hidrocarburos & Universidad de Caldas (2011b)	4	Edad corregida, muestra de un núcleo de perforación del pozo Chocó-1 ST-P
				1490812	1092818	MAGNA_Colombia_Oeste	9° 02' 00,000" N	76° 14' 00,000" W	Lara <i>et al.</i> (2013)	159	Edad de isócrona inversa, interpretada como de cristalización magmática de las rocas volcánicas
4				1157679	1144415	MAGNA_Colombia_Bogota	6° 01' 13,872" N	72° 46' 23,412" W	Saylor <i>et al.</i> (2012a)	264	Muestra localizada en el bloque colgante de la Falla de Soápaga
1	2		Se tomaron las coordenadas listadas en los anexos que se diferencian varios metros con respecto a las reportadas en el informe final	1044920	1048332	MAGNA_Colombia_Oeste	5° 00' 08,169" N	76° 38' 30,087" W	Agencia Nacional de Hidrocarburos & Universidad de Caldas (2011b)	4	Edad corregida, muestra de un núcleo de perforación del pozo Chocó-1 ST-P
			Las coordenadas (1° 34' 51" N, 77° 03' 20" W) reportadas por los autores no coinciden con la localización de la datación en la Figura 1. Se obtuvo las coordenadas del punto a partir de la georreferenciación de esta figura y de la descripción del sitio de muestreo	676210	1003664	MAGNA_Colombia_Oeste	1° 40' 04,922" N	77° 02' 40,474" W	Alvarez <i>et al.</i> (1981a)	10	Edad cercana a la de cristalización del cuerpo
									Guerrero (1993)	125	Edad recalculada de la edad de Takemura & Danhara (1986) [276]
				674606	994381	MAGNA_Colombia_Oeste	1° 39' 12,705" N	77° 07' 40,823" W	Risnes (1995)	249	
40				739533	839861	MAGNA_Colombia_Oeste	2° 14' 23,962" N	78° 31' 01,200" W	Agencia Nacional de Hidrocarburos & Universidad de Caldas (2011a)	3	Edad pooled, muestra de ripios recuperados del pozo Remolino grande-1
				709138	1018526	MAGNA_Colombia_Oeste	1° 57' 56,931" N	76° 54' 39,557" W	González (2010)	122	Hombleda muy baja en K, edad de meseta es de menor confiabilidad que la obtenida en biotita

ID Datación Radiométrica	Código de la muestra	Unidad geológica	Litología	Edad años BP	Error años	Edad Ma	Error Ma	Edad grano simple menor detrítico	Edad grano simple mayor detrítico	Edad estratigráfica	Edades heredadas	Método de datación	Material analizado	Relación inicial	MSWD	P(X2) %
1402	FT-1	Formación Chingaza	Arenita			13,1	$\pm 0,9$			Mioceno (N1)		Huellas de fisión LA-ICP-MS	Circón			0
1403	56.01		Dacita			13,2	$\pm 3,5$			Mioceno (N1)		K-Ar	Anfibol			
1404	43.02		Dacita			13,2	$\pm 0,3$			Mioceno (N1)		K-Ar	Roca total			
1405	MLC021M2	Formación Morrocoy–El Pantano	Basalto			13,24	$\pm 0,64$			Mioceno (N1)		Ar–Ar	Plagioclasa		0,94	
1406	EAM-19-60A	Batolito de Santa Marta				13,26	$\pm 2,96$			Mioceno (N1)		U–Th/He	Apatito			
1407	Din 12–3R	Grupo Honda				13,3	$\pm 0,6$			Mioceno (N1)		Huellas de fisión	Circón			<1
1408	BV126	Formación Lutitas de Macanal	Arenita			13,3	$\pm 1$			Mioceno (N1)		Huellas de fisión LA-ICP-MS	Circón			5,1
1409	z08BU01	Granito de Pescadero				13,3–19,9				Mioceno (N1)		U–Th/He	Apatito			
1410	JG-R90-1	Grupo Honda, Formación La Victoria	Clasto de pumita en arena			13,342	$\pm 0,408$			Mioceno (N1)		Ar–Ar	Hornblenda			
1411	DV53	Batolito Antioqueño	Diorita			13,4	$\pm 1,4$			Mioceno (N1)		U–Th/He	Apatito			
1412	25	Formación Mugrosa	Arenita			13,4	$\pm 5,6$			Mioceno (N1)		Huellas de fisión LA-ICP-MS	Apatito			
1413	30	Formación La Paz (?)	Arenita			13,4	$\pm 1,7$			Mioceno (N1)		Huellas de fisión LA-ICP-MS	Apatito			0,07
1414	28	Formación Umir	Arenita			13,4	$\pm 1,9$			Mioceno (N1)		Huellas de fisión LA-ICP-MS	Apatito			56,95
1415	MLC019M5	Formación Morrocoy–El Pantano	Basalto			13,43	$\pm 0,40$			Mioceno (N1)		Ar–Ar	Plagioclasa			1,08
1416	IGM-706781	Complejo Santa Cecilia La Equis	Basalto			13,5	$\pm 2,3$			Mioceno (N1)		Ar–Ar	Plagioclasa y clinopiroxeno			
1417	996–39					13,5	$\pm 2,1$			Mioceno (N1)		Huellas de fisión	Apatito			2,5
1418	08BU02	Formación Silgará						13,5 $\pm 0,8$	17,6 $\pm 1,1$	Mioceno (N1)		U–Th/He	Apatito			
1419	JG-R89-3	Grupo Honda, Formación La Victoria	Clasto de pumita en arena			13,565	$\pm 0,170$			Mioceno (N1)		Ar–Ar	Plagioclasa			
1420	JG-R89-1	Grupo Honda, Formación La Victoria	Clasto de pumita en arena			13,590	$\pm 0,171$			Mioceno (N1)		Ar–Ar	Hornblenda			
1421	BC-79-14	Cuarzomonzonita de Santa Bárbara	Cuarzomonzonita			13,6	$\pm 1,8$			Mioceno (N1)		Huellas de fisión	Apatito			
1422	002	Grupo Honda, Formación Villavieja, Miembro Cerro Colorado	Limolita tobácea			13,6	$\pm 0,7$			Mioceno (N1)		Huellas de fisión	Circón			46,>99
1423	004	Grupo Honda, Formación Villavieja, Miembro Cerro Colorado	Arenita tobácea			13,6	$\pm 0,5$			Mioceno (N1)		Huellas de fisión	Circón			<1,76
1424	MW 75	Grupo Garzón	Roca calcosilicatada			13,6	$\pm 12,3$			Mioceno (N1)		Huellas de fisión	Apatito			<1
1425	FF-G1-A11-30	Formación Une	Arenita			13,6	$\pm 3,31$			Mioceno (N1)		Huellas de fisión EDM	Apatito			
1426	JG-R89-3	Grupo Honda, Formación La Victoria	Clasto de pumita en arena			13,608	$\pm 0,210$			Mioceno (N1)		Ar–Ar	Hornblenda			
1427	JG-R89-1	Grupo Honda, Formación La Victoria	Clasto de pumita en arena			13,651	$\pm 0,107$			Mioceno (N1)		Ar–Ar	Hornblenda y plagioclasa			
1428	JG-R89-1	Grupo Honda, Formación La Victoria	Clasto de pumita en arena			13,690	$\pm 0,138$			Mioceno (N1)		Ar–Ar	Plagioclasa			
1429	BC-79-1	Granito de Pescadero	Granito			13,7	$\pm 1,7$			Mioceno (N1)		Huellas de fisión	Apatito			
1430	DV136	Monzogranito de Moco	Granito			13,7	$\pm 2,2$			Mioceno (N1)		Huellas de fisión LA-ICP-MS	Apatito			58
1431	JG-R89-3, JG-R89-3 y JG-R89-1	Grupo Honda, Formación La Victoria	Clasto de pumita en arena			13,754	$\pm 0,040$			Mioceno (N1)		Ar–Ar	Biotita, hornblenda, plagioclasa			
1432	JG-R89-3	Grupo Honda, Formación La Victoria	Clasto de pumita en arena			13,767	$\pm 0,052$			Mioceno (N1)		Ar–Ar	Biotita, hornblenda, plagioclasa			
1433	JG-R90-3	Grupo Honda, Formación La Victoria	Clasto de pumita en arena			13,778	$\pm 0,081$			Mioceno (N1)		Ar–Ar	Biotita, hornblenda			
1434	IGM-706936		Gabro clinopiroxenítico			13,8	$\pm 1,2$			Mioceno (N1)		Ar–Ar	Hornblenda			0,82

Dispersión %	Número de gramos analizados	Número de alicuotas	Fuente georreferenciación	Coordenada X	Coordenada Y	Sistema de coordenadas	Latitud	Longitud	Referencia	ID referencia	Comentarios
28	46			988096	1038437	MAGNA_Colombia_Bogota	4° 29' 18,480" N	73° 43' 52,200" W	Parra <i>et al.</i> (2009b)	219	Edad reseteada, muestra localizada en el bloque colgante de la Falla de Servitá
				666406	970981	MAGNA_Colombia_Oeste	1° 34' 45,691" N	77° 20' 17,846" W	Risnes (1995)	249	
			Las coordenadas reportadas por el autor no coinciden con la Figura 3.1. Se obtuvo las coordenadas del punto a partir de la georreferenciación de esta figura	746939	1041988	MAGNA_Colombia_Oeste	2° 18' 27,478" N	76° 42' 00,076" W	Risnes (1995)	249	
				1490812	1092818	MAGNA_Colombia_Oeste	9° 02' 00,000" N	76° 14' 00,000" W	Lara <i>et al.</i> (2013)	159	Edad de meseta interpretada como de cristalización de las rocas volcánicas
				1715733	1003816	MAGNA_Colombia_Bogota	11° 04' 04,056" N	74° 02' 33,288" W	Cardona <i>et al.</i> (2011b)	70	
31	24		Se obtuvo la localización del pozo Dina-12 del sitio web del EPIS	833172	862320	MAGNA_Colombia_Bogota	3° 05' 12,504" N	75° 18' 57,601" W	Schwabe (2001)	267	Edad central, muestra del pozo Dina-12 a 3440 pies de profundidad, edad obtenida por la profesora Gloria Elena TORO de la Universidad EAFT
16	11			975779	1018735	MAGNA_Colombia_Bogota	4° 22' 37,740" N	73° 54' 31,380" W	Parra <i>et al.</i> (2009b)	219	Edad concordante reseteada, la exhumación comenzó hace aproximadamente 20 Ma en el bloque colgante de la Falla Naranjal
				1236053	1109310	MAGNA_Colombia_Bogota	6° 43' 47,208" N	73° 05' 19,824" W	Caballero <i>et al.</i> (2013)	59	Rango de edades tomada de las 4 alicuotas
									Flynn <i>et al.</i> (1997)	102	Edad media ponderada
				1189849	842085	MAGNA_Colombia_Bogota	6° 18' 39,700" N	75° 30' 16,300" W	Villagómez & Spikings (2013)	328	Edad media ponderada
1				1201014	1022578	MAGNA_Colombia_Bogota	6° 24' 50,026" N	73° 52' 24,308" W	Sánchez <i>et al.</i> (2012)	261	Edad pooled
40				1196798	1031830	MAGNA_Colombia_Bogota	6° 22' 32,639" N	73° 47' 23,312" W	Sánchez <i>et al.</i> (2012)	261	Edad de población
40				1199581	1036012	MAGNA_Colombia_Bogota	6° 24' 03,150" N	73° 45' 07,178" W	Sánchez <i>et al.</i> (2012)	261	Edad pooled
				1490812	1092818	MAGNA_Colombia_Oeste	9° 02' 00,000" N	76° 14' 00,000" W	Lara <i>et al.</i> (2013)	159	Edad de meseta interpretada como de cristalización de las rocas volcánicas
				1241270	1073390	MAGNA_Colombia_Oeste	6° 46' 39,002" N	76° 24' 49,114" W	Buchely <i>et al.</i> (2009)	54	Edad de fusión total
20				1279202	1112498	MAGNA_Colombia_Bogota	7° 07' 11,388" N	73° 03' 33,012" W	Caballero <i>et al.</i> (2013)	59	
				1233308	1108787	MAGNA_Colombia_Bogota	6° 42' 17,892" N	73° 05' 37,032" W	Caballero <i>et al.</i> (2013)	59	Rango de edades tomada de las 4 alicuotas
									Flynn <i>et al.</i> (1997)	102	Edad media ponderada
									Flynn <i>et al.</i> (1997)	102	Edad media ponderada
			Se obtuvo las coordenadas del punto a partir de la georreferenciación de la Figura 7	1288696	1131793	MAGNA_Colombia_Bogota	7° 12' 18,863" N	72° 53' 03,545" W	Shagam <i>et al.</i> (1984)	270	
28			Se obtuvo las coordenadas del punto a partir de la georreferenciación del «Geological Map of La Venta»	848792	877992	MAGNA_Colombia_Bogota	3° 13' 41,473" N	75° 10' 30,670" W	Takemura <i>et al.</i> (1992)	274	Edad promedio de las edades obtenidas por los métodos ED1 y ED2, muestra tomada de la sección FT Site
30			Se obtuvo las coordenadas del punto a partir de la georreferenciación del «Geological Map of La Venta»	848792	877992	MAGNA_Colombia_Bogota	3° 13' 41,473" N	75° 10' 30,670" W	Takemura <i>et al.</i> (1992)	274	Edad promedio de las edades obtenidas por los métodos ED1 y ED2, muestra tomada de la sección FT Site
10			Se obtuvo las coordenadas del punto a partir de la georreferenciación de la Figura 6	748480	844482	MAGNA_Colombia_Bogota	2° 19' 15,313" N	75° 28' 31,974" W	van der Wiel & Andriessen (1991)	310	
				1069826	1148973	MAGNA_Colombia_Bogota	5° 13' 34,320" N	72° 44' 01,800" W	Ramírez Arias <i>et al.</i> (2012)	227	Edad del inicio del último enfriamiento (edad del pico de enterramiento obtenida por modelamiento termal con el uso del software HeFTy), muestra del bloque colgante de la Falla de Guaicáramo
									Flynn <i>et al.</i> (1997)	102	Edad media ponderada
									Flynn <i>et al.</i> (1997)	102	Edad media ponderada
									Flynn <i>et al.</i> (1997)	102	Edad media ponderada
			Se obtuvo las coordenadas del punto a partir de la georreferenciación de la Figura 7	1248286	1120231	MAGNA_Colombia_Bogota	6° 50' 24,600" N	72° 59' 23,391" W	Shagam <i>et al.</i> (1984)	270	
30				610382	1036653	MAGNA_Colombia_Oeste	1° 04' 21,700" N	76° 44' 53,500" W	Villagómez (2010)	325	La localización de la muestra no corresponde con la unidad geológica reportada por el autor como Batolito de Ibagué, sino con el Monzógrano de Mocoa
									Flynn <i>et al.</i> (1997)	102	Edad media ponderada
									Flynn <i>et al.</i> (1997)	102	Edad media ponderada
				1193295	1057689	MAGNA_Colombia_Oeste	6° 20' 37,962" N	76° 33' 22,004" W	Buchely <i>et al.</i> (2009)	54	Edad de isócrona inversa

ID Datación Radiométrica	Código de la muestra	Unidad geológica	Litología	Edad años BP	Error años	Edad Ma	Error Ma	Edad grano simple menor detrítico	Edad grano simple mayor detrítico	Edad estratigráfica	Edades heredadas	Método de datación	Material analizado	Relación inicial	MSWD	P(X2) %
1435	BC-79-1	Granito de Pescadero	Granito			13,8	± 1,9			Mioceno (N1)		Huellas de fisión	Apatito			
1436	23	Formación Real	Arenita			13,8	± 1,9			Mioceno (N1)		Huellas de fisión LA-ICP-MS	Apatito		0	
1437	PPM4-12AB	Formación Umir	Arenita			13,8	± 2			Mioceno (N1)		Huellas de fisión EDM	Apatito			5,7
1438	BV-MP3-F	Formación Chiaque	Arenita			13,8	± 2,6			Mioceno (N1)		Huellas de fisión LA-ICP-MS	Apatito			23,8
1439	JG-R89-3	Grupo Honda, Formación La Victoria	Clasto de pumita en arenita			13,800	± 0,06			Mioceno (N1)		Ar-Ar	Biotita			
1440	MW 57	Grupo Garzón	Granulita gabro-norítica			13,9	± 2,3			Mioceno (N1)		Huellas de fisión	Apatito			
1441	MW 53	Grupo Garzón	Granulita charmoquítica			13,9	± 7,3			Mioceno (N1)		Huellas de fisión	Apatito			<1
1442	DV26	Stock de Córdoba	Granodiorita			13,9	± 2,4			Mioceno (N1)		Huellas de fisión	Apatito			79
1443	IGM-706724	Granodiorita de Farallones	Granodiorita			13,9	± 0,9			Mioceno (N1)		Ar-Ar	Hornblenda y biotita			
1444	Mo 616	Batolito de Anchicayá	Diorita			14	± 1			Mioceno (N1)		K-Ar	Biotita			
1445	JC031R	Stock de Lerma	Andesita porfirítica			14	± 16			Mioceno (N1)		Ar-Ar	Hornblenda		0,027	
1446	MLC021M2	Formación Morrocóy–El Pantano	Basalto			14,0	± 2,0			Mioceno (N1)		Ar-Ar	Plagioclasa		2,1	
1447	WR-175	Intrusivo hipabyssal de Cerro Gordo	Pórfido de plagioclasa y biotita			14	± 0,3			Mioceno (N1)		U-Pb LA-MC-ICP-MS	Circón			
1448	QA-05-19	Formación Lisama	Arenita			14,1	± 1,2			Mioceno (N1)		Huellas de fisión EDM	Apatito			5,8
1449	RW-2	Formación Chiaque	Arenita			14,1	± 2			Mioceno (N1)		Huellas de fisión LA-ICP-MS	Apatito			0
1450	RW-2 P1	Formación Chiaque	Arenita			14,1	± 2			Mioceno (N1)		Huellas de fisión LA-ICP-MS	Apatito			
1451	996-33	Gneis de Bucaramanga				14,2	± 2,6			Mioceno (N1)		Huellas de fisión	Apatito			58
1452	G05-G1-038	Formación Tasca	Arenita			14,2	± 4,42			Mioceno (N1)		U-Th/He	Apatito			
1453	996-20	Gneis de Bucaramanga				14,3	± 2			Mioceno (N1)		Huellas de fisión	Apatito			71
1454	BA06-VB	Formación Pajuil	Basalto			14,3	± 0,3			Mioceno (N1)		Ar-Ar	Plagioclasa		0,14	
1455	42.04	Stock El Cobre–Bolívar	Dacita			14,3	± 0,3			Mioceno (N1)		K-Ar	Roca total			
1456	MW 165	Formación Honda, Miembro Villavieja	Toba			14,3	± 0,5			Mioceno (N1)		K-Ar	Hornblenda			
1457	BV-MP7-F	Formación Chiaque	Arenita			14,3	± 3,8			Mioceno (N1)		Huellas de fisión LA-ICP-MS	Apatito			0,1
1458	RG-MP-012	Formación 1 Sur	Arenita			14,36	± 2,01			Mioceno (N1)		U-Th/He	Apatito			
1459	BA06-VB	Formación Pajuil	Basalto			14,4	± 0,30			Mioceno (N1)		Ar-Ar	Plagioclasa		0,46	
1460	27	Formación Real	Arenita			14,4	± 7,3			Mioceno (N1)		Huellas de fisión LA-ICP-MS	Apatito			17,07
1461	RG-MP-002	Formación San Agustín	Arenita			14,42	+ 4,95/- 3,69			Mioceno (N1)		Huellas de fisión LA-ICP-MS	Apatito			
1462	AEB 060		Dacita			14,5	± 0,9			Mioceno (N1)		K-Ar	Biotita			
1463	KS 4	Grupo Honda, Formación Villavieja, Miembro Baraya	Limo tobáceo			14,6	± 1,1			Mioceno (N1)		Huellas de fisión	Circón			
1464	RW-2	Formación Chiaque	Arenita			14,6	± 2			Mioceno (N1)		Huellas de fisión LA-ICP-MS	Apatito			0
1465	T2-660	Formación Une	Arenita			14,6	± 3,7			Mioceno (N1)		Huellas de fisión LA-ICP-MS	Apatito			0
1466	PM-034	Formación Une	Arenita			14,6	± 1,5			Mioceno (N1)		Huellas de fisión EDM	Apatito			0
1467	46.01		Dacita			14,7	± 0,3			Mioceno (N1)		K-Ar	Biotita			

Dispersión %	Número de granos analizados	Número de aliquotas	Fuente georreferenciación	Coordenada X	Coordenada Y	Sistema de coordenadas	Latitud	Longitud	Referencia	ID referencia	Comentarios
			Sé obtuvo las coordenadas del punto a partir de la georreferenciación de la Figura 7	1248286	1120231	MAGNA_Colombia_Bogota	6° 50' 24,600" N	72° 59' 23,391" W	Shagam <i>et al.</i> (1984)	270	
40				1197404	1016893	MAGNA_Colombia_Bogota	6° 22' 52,576" N	73° 55' 29,341" W	Sánchez <i>et al.</i> (2012)	261	Edad de población
18				1226297	1046034	MAGNA_Colombia_Bogota	6° 38' 32,600" N	73° 39' 40,350" W	Mora <i>et al.</i> (2010)	195	Edad pooled
18				983025	985684	MAGNA_Colombia_Bogota	4° 26' 33,660" N	74° 12' 23,400" W	Parra <i>et al.</i> (2009b)	219	
									Flynn <i>et al.</i> (1997)	102	Edad media ponderada
100			Sé obtuvo las coordenadas del punto a partir de la georreferenciación de la Figura 6	704455	1152060	MAGNA_Colombia_Oeste	1° 55' 22,508" N	75° 42' 39,235" W	van der Wiel & Andriessen (1991)	310	
15			Sé obtuvo las coordenadas del punto a partir de la georreferenciación de la Figura 6	713219	1146394	MAGNA_Colombia_Oeste	2° 00' 07,913" N	75° 45' 42,292" W	van der Wiel & Andriessen (1991)	310	
20				979396	1154012	MAGNA_Colombia_Oeste	4° 24' 30,900" N	75° 41' 24,200" W	Villagómez & Spikings (2013)	328	Edad pooled
				1115842	1117327	MAGNA_Colombia_Oeste	5° 38' 34,059" N	76° 01' 06,626" W	Zapata & Rodriguez (2013)	343	Edad de fusión total
			Localización tomada de Aspden <i>et al.</i> (1984) [17]	900628	1016744	MAGNA_Colombia_Oeste	3° 41' 51,155" N	76° 55' 36,431" W	Brook (1984)	53	Edad de intrusión
				709138	1018526	MAGNA_Colombia_Oeste	1° 57' 56,931" N	76° 54' 39,557" W	González (2010)	122	Hornblenda muy baja en K, la edad de isócrona inversa es de menor confiabilidad que la obtenida en biotita
				1490812	1092818	MAGNA_Colombia_Oeste	9° 02' 00,000" N	76° 14' 00,000" W	Lara <i>et al.</i> (2013)	159	Edad de isócrona inversa, interpretada como de cristalización magnética de las rocas volcánicas
				737846	1034790	MAGNA_Colombia_Oeste	2° 13' 31,500" N	76° 45' 53,100" W	Leal Mejía (2011)	160	Interpretada como la edad de cristalización magnética
20				1191514	1031811	MAGNA_Colombia_Bogota	6° 19' 40,650" N	73° 47' 24,010" W	Mora <i>et al.</i> (2010)	195	Edad pooled
30			Localización tomada de Ramírez Arias <i>et al.</i> (2012) [227]	1109305	1139931	MAGNA_Colombia_Bogota	5° 34' 59,820" N	72° 48' 52,680" W	Parra <i>et al.</i> (2009b)	219	Edad concordante reseteada, exhumación activa aproximadamente a 26 Ma
29				1109305	1139931	MAGNA_Colombia_Bogota	5° 34' 59,820" N	72° 48' 52,680" W	Ramírez Arias <i>et al.</i> (2012)	227	Edad de población, muestra del Sinclinal de Aquitania
20				1251299	1120453	MAGNA_Colombia_Bogota	6° 52' 02,640" N	72° 59' 15,936" W	Caballero <i>et al.</i> (2013)	59	
1	1			816399	874486	MAGNA_Colombia_Oeste	2° 56' 06,957" N	78° 12' 23,113" W	Agencia Nacional de Hidrocarburos & Universidad de Caldas (201a)	3	
20				1273284	1101234	MAGNA_Colombia_Bogota	7° 03' 59,544" N	73° 09' 40,428" W	Caballero <i>et al.</i> (2013)	59	
				1450184	1052554	MAGNA_Colombia_Oeste	8° 40' 00,000" N	76° 36' 00,000" W	Lara <i>et al.</i> (2013)	159	Edad de isócrona inversa, interpretada como de cristalización magnética de las rocas volcánicas
			Las coordenadas reportadas por el autor no coinciden con la Figura 3.1. Se obtuvo las coordenadas del punto a partir de la georreferenciación de esta figura	697159	1012817	MAGNA_Colombia_Oeste	1° 51' 26,941" N	76° 57' 44,306" W	Risnes (1995)	249	
			Se obtuvo las coordenadas del punto a partir de la georreferenciación del Apéndice 1 de van der Wiel (1991) [309]. El punto se ubicó en la mitad de la línea que representa la sección estratigráfica CPM	764092	1166903	MAGNA_Colombia_Oeste	2° 27' 43,051" N	75° 34' 37,148" W	van der Wiel & van den Bergh (1992)	312	
10				982164	1007565	MAGNA_Colombia_Bogota	4° 26' 05,640" N	74° 00' 33,660" W	Parra <i>et al.</i> (2009b)	219	
1	1			739533	839861	MAGNA_Colombia_Oeste	2° 14' 23,962" N	78° 31' 01,200" W	Agencia Nacional de Hidrocarburos & Universidad de Caldas (201a)	3	Muestra de ripios recuperados del pozo Remolinogrande-I
				1450184	1052554	MAGNA_Colombia_Oeste	8° 40' 00,000" N	76° 36' 00,000" W	Lara <i>et al.</i> (2013)	159	Edad de meseta interpretada como de cristalización de las rocas volcánicas
3				1206094	1027717	MAGNA_Colombia_Bogota	6° 27' 35,320" N	73° 49' 36,995" W	Sánchez <i>et al.</i> (2012)	261	Edad pooled
40				739533	839861	MAGNA_Colombia_Oeste	2° 14' 23,962" N	78° 31' 01,200" W	Agencia Nacional de Hidrocarburos & Universidad de Caldas (201a)	3	Edad pooled, muestra de ripios recuperados del pozo Remolinogrande-I
									De Souza <i>et al.</i> (1984)	89	El cuerpo de dacita se alinea a lo largo de la Falla de Mosquerillo e intruye el Complejo de Los Azules
16			Se obtuvo las coordenadas del punto a partir de la georreferenciación del «Geological Map of La Venta» de Takemura <i>et al.</i> (1992) [274]	851490	876013	MAGNA_Colombia_Bogota	3° 15' 09,241" N	75° 11' 34,876" W	Takemura & Danbara (1986)	276	
36				1109305	1139931	MAGNA_Colombia_Bogota	5° 34' 59,820" N	72° 48' 52,680" W	Ramírez Arias <i>et al.</i> (2012)	227	Muestra del Sinclinal de Aquitania
29				1050402	1049695	MAGNA_Colombia_Bogota	5° 03' 06,600" N	73° 37' 45,720" W	Parra <i>et al.</i> (2009b)	219	
11				1043333	1131356	MAGNA_Colombia_Bogota	4° 59' 13,200" N	72° 53' 35,340" W	Ramírez Arias <i>et al.</i> (2012)	227	Muestra del bloque colgante de la Falla de Guacáramo
				674606	994381	MAGNA_Colombia_Oeste	1° 39' 12,705" N	77° 07' 40,823" W	Risnes (1995)	249	

ID Datación Radiométrica	Código de la muestra	Unidad geológica	Litología	Edad años BP	Error años	Edad Ma	Error Ma	Edad grano simple menor detrítico	Edad grano simple mayor detrítico	Edad estratigráfica	Edades heredadas	Método de datación	Material analizado	Relación inicial	MSWD	P(X2) %
1468	tflc	Depósito de terraza				14,9	$\pm 2,47$			Mioceno (N1)		Huellas de fisión	Circón			<1
1469	RG-MP-008	Formación Angostura	Arenita			14,94	$+4,07/-3,2$			Mioceno (N1)		Huellas de fisión LA-ICP-MS	Apatito			
1470	MP-29	Formación Las Juntas	Arenita			15	$\pm 3,1$			Mioceno (N1)		Huellas de fisión EDM	Apatito			0
1471	EAM-19-60B	Batolito de Santa Marta				15,03	$\pm 2,23$			Mioceno (N1)		U-Th/He	Apatito			
1472	CORCOVADO	Cuerpo hipoabasal porfirítico				15,03	$\pm 0,75$			Mioceno (N1)		Huellas de fisión	Circón			2
1473	MP-82 P1	Formación Carbonera	Arenita			15,1	$\pm 2,7$			Mioceno (N1)		Huellas de fisión EDM	Apatito			
1474	45.02		Andesita			15,3	$\pm 0,3$			Mioceno (N1)		K-Ar	Biotita			
1475	CM062R	Stock tonalítico de Garrapatero				15,44	$\pm 0,2$			Mioceno (N1)		Ar-Ar	Biotita			
1476	47.01		Dacita			15,5	$\pm 0,4$			Mioceno (N1)		K-Ar	Anfibol			
1477	26.01	Stock de Santa Ana	Granodiorita			15,6	$\pm 0,4$			Mioceno (N1)		K-Ar	Roca total			
1478	CM062R	Stock tonalítico de Garrapatero	Dacita			15,67	$\pm 0,2$			Mioceno (N1)		Ar-Ar	Hornblenda		1,14	
1479	EAM-11-50B	Batolito de Santa Marta				15,68	$\pm 3,65$			Mioceno (N1)		U-Th/He	Apatito			
1480	CM062R	Stock tonalítico de Garrapatero	Dacita			15,68	$\pm 0,24$			Mioceno (N1)		Ar-Ar	Hornblenda		1,2	
1481	CM062R	Stock tonalítico de Garrapatero				15,68	$\pm 0,37$			Mioceno (N1)		Ar-Ar	Hornblenda			
1482	996-2	Formación Silgará				15,7	$\pm 9,3$			Mioceno (N1)		Huellas de fisión	Apatito			47
1483	996-37	Formación Silgará				15,7	$\pm 1,7$			Mioceno (N1)		Huellas de fisión	Apatito			21,4
1484	LV 13	Grupo Honda, Formación Villavieja, Miembro Baraya	Bentonita			15,7	$\pm 1,1$			Mioceno (N1)		Huellas de fisión	Circón			
1485	Soescol	Formación Lutitas de Macanal	Arenita			15,7	$\pm 1,5$			Mioceno (N1)		Huellas de fisión LA-ICP-MS	Circón			90,8
1486	CM062R	Stock tonalítico de Garrapatero				15,72	$\pm 0,30$			Mioceno (N1)		Ar-Ar	Biotita			
1487	CM062R	Stock tonalítico de Garrapatero				15,8	$\pm 0,13$			Mioceno (N1)		Ar-Ar	Biotita		1,7	
1488	16.02	Stock de Suárez	Dacita			15,8	$\pm 0,4$			Mioceno (N1)		K-Ar	Roca total			
1489	MW 216	Formación Honda, Miembro Villavieja	Toba			15,8	$\pm 0,6$			Mioceno (N1)		K-Ar	Hornblenda			
1490	CM062R	Stock tonalítico de Garrapatero				15,83	$\pm 0,39$			Mioceno (N1)		Ar-Ar	Biotita		2,0	
1491	SG-014	Batolito de Anchicayá				15,9	$\pm 24,41$			Mioceno (N1)		U-Th/He	Apatito			
1492	53.01		Andesita			15,9	$\pm 0,4$			Mioceno (N1)		K-Ar	Roca total			
1493	DV134	Monzogranito de Mocoa	Granodiorita			15,9	$\pm 4,4$			Mioceno (N1)		Huellas de fisión	Apatito			93
1494	20.01	Formación Esmita	Dacita			16	$\pm 0,4$			Mioceno (N1)		K-Ar	Roca total			
1495	45.02		Andesita			16	$\pm 0,4$			Mioceno (N1)		K-Ar	Anfibol			
1496	BC-79-13		Granodiorita-tonalita			16	$\pm 2,5$			Mioceno (N1)		Huellas de fisión	Apatito			
1497	SN14	Esquistos de San Lorenzo	Cuarcita micácea			16	$\pm 2,6$			Mioceno (N1)		Huellas de fisión	Apatito			0,0
1498	AM-12	Gneis de Bushanzá	Gneis			16	$\pm 3$			Mioceno (N1)		Huellas de fisión LA-ICP-MS	Apatito			72,8
1499	30.02	Stock de Lerma	Granodiorita			16,1	$\pm 0,4$			Mioceno (N1)		K-Ar	Roca total			
1500	LV 8	Grupo Honda, Formación Villavieja, Miembro Baraya	Limo tobáceo			16,1	$\pm 0,9$			Mioceno (N1)		Huellas de fisión	Circón			

Dispersión %	Número de gramos analizados	Número de alicuotas	Fuente georreferenciación	Coordenada X	Coordenada Y	Sistema de coordenadas	Latitud	Longitud	Referencia	ID referencia	Comentarios
153	24								Toro <i>et al.</i> (2006)	294	Edad central
	40			739533	839861	MAGNA_Colombia_Oeste	2° 14' 23,962" N	78° 31' 01,200" W	Agencia Nacional de Hidrocarburos & Universidad de Caldas (2011a)	3	Edad pooled, muestra de ríos recuperados del pozo Remolino grande-1
	14			1099785	1172204	MAGNA_Colombia_Bogota	5° 29' 47,520" N	72° 31' 25,200" W	Ramirez Arias <i>et al.</i> (2012)	227	Muestra del bloque colgante de la Falla de Pajarito
				1715733	1003816	MAGNA_Colombia_Bogota	11° 04' 04,056" N	74° 02' 33,288" W	Cardona <i>et al.</i> (2011b)	70	
0	27								Ramirez <i>et al.</i> (2006)	226	Edad central interpretada como la edad del magmatismo
	10			1118750	868421	MAGNA_Colombia_Este	5° 40' 07,810" N	72° 15' 54,680" W	Mora <i>et al.</i> (2010)	195	Edad pooled de la población 1
				673806	993881	MAGNA_Colombia_Oeste	1° 38' 46,671" N	77° 07' 57,001" W	Risnes (1995)	249	
				828503	1060047	MAGNA_Colombia_Oeste	3° 02' 42,612" N	76° 32' 14,438" W	González (2010)	122	Edad integrada
				674606	994381	MAGNA_Colombia_Oeste	1° 39' 12,705" N	77° 07' 40,823" W	Risnes (1995)	249	
			Las coordenadas reportadas por el autor no coinciden con la Figura 3.1. Se obtuvo las coordenadas del punto a partir de la georreferenciación de esta figura	811218	1052401	MAGNA_Colombia_Oeste	2° 53' 20,019" N	76° 36' 22,279" W	Risnes (1995)	249	
				828503	1060047	MAGNA_Colombia_Oeste	3° 02' 42,612" N	76° 32' 14,438" W	González (2010)	122	Edad de meseta
				1722400	997165	MAGNA_Colombia_Bogota	11° 07' 41,031" N	74° 06' 12,447" W	Cardona <i>et al.</i> (2011b)	70	
				828503	1060047	MAGNA_Colombia_Oeste	3° 02' 42,612" N	76° 32' 14,438" W	González (2010)	122	Edad de isócrona inversa
				828503	1060047	MAGNA_Colombia_Oeste	3° 02' 42,612" N	76° 32' 14,438" W	González (2010)	122	Edad integrada
	21			1299978	1115998	MAGNA_Colombia_Bogota	7° 18' 27,324" N	73° 01' 37,416" W	Caballero <i>et al.</i> (2013)	59	
	21			1251234	1120291	MAGNA_Colombia_Bogota	6° 52' 00,552" N	72° 59' 21,192" W	Caballero <i>et al.</i> (2013)	59	
	15		Se obtuvo las coordenadas del punto a partir de la georreferenciación del «Geological Map of La Venta» de Takemura <i>et al.</i> (1992) [274]	851290	875391	MAGNA_Colombia_Bogota	3° 15' 02,700" N	75° 11' 55,008" W	Takemura & Danbara (1986)	276	
0	8			1028483	1076882	MAGNA_Colombia_Bogota	4° 51' 12,300" N	73° 23' 03,900" W	Parra <i>et al.</i> (2009b)	219	
				828503	1060047	MAGNA_Colombia_Oeste	3° 02' 42,612" N	76° 32' 14,438" W	González (2010)	122	Edad de fusión total
				828503	1060047	MAGNA_Colombia_Oeste	3° 02' 42,612" N	76° 32' 14,438" W	González (2010)	122	Edad de meseta
			Las coordenadas reportadas por el autor no coinciden con la Figura 3.1. Se obtuvo las coordenadas del punto a partir de la georreferenciación de esta figura	816766	1039010	MAGNA_Colombia_Oeste	2° 56' 20,776" N	76° 43' 35,822" W	Risnes (1995)	249	
			Se obtuvo las coordenadas del punto a partir de la georreferenciación del Apéndice 1 de van der Wiel (1991) [309]. El punto se ubicó en la mitad de la línea que representa la sección estratigráfica CPM	764092	1166903	MAGNA_Colombia_Oeste	2° 27' 43,051" N	75° 34' 37,148" W	van der Wiel & van den Bergh (1992)	312	
				828503	1060047	MAGNA_Colombia_Oeste	3° 02' 42,612" N	76° 32' 14,438" W	González (2010)	122	Edad de isócrona inversa
1	3			891207	1021222	MAGNA_Colombia_Oeste	3° 36' 44,418" N	76° 53' 11,355" W	Agencia Nacional de Hidrocarburos & Universidad de Caldas (2011a)	3	
				667806	987781	MAGNA_Colombia_Oeste	1° 35' 31,305" N	77° 11' 14,346" W	Risnes (1995)	249	
	19			610714	1038604	MAGNA_Colombia_Oeste	1° 04' 32,500" N	76° 43' 50,400" W	Villagómez (2010)	325	Edad pooled, la localización de la muestra no corresponde con la unidad geológica reportada por el autor como Batolito de Ibagué, sino con el Monzón granítico de Mocoa
				822151	1043758	MAGNA_Colombia_Oeste	2° 59' 16,041" N	76° 41' 02,023" W	Risnes (1995)	249	
				673806	993881	MAGNA_Colombia_Oeste	1° 38' 46,671" N	77° 07' 57,001" W	Risnes (1995)	249	
			Se obtuvo las coordenadas del punto a partir de la georreferenciación de la Figura 7	1291805	1130071	MAGNA_Colombia_Bogota	7° 14' 00,186" N	72° 53' 59,384" W	Shagam <i>et al.</i> (1984)	270	
	22			1718780	1000408	MAGNA_Colombia_Bogota	11° 05' 43,225" N	74° 04' 25,575" W	Villagómez <i>et al.</i> (2011b)	327	Edad pooled
	31			1135922	1130939	MAGNA_Colombia_Bogota	5° 49' 26,760" N	72° 53' 43,020" W	Parra <i>et al.</i> (2009b)	219	Edad discordante parcialmente reseada. También publicada en Ramirez Arias <i>et al.</i> (2012) [227]
				710781	1014480	MAGNA_Colombia_Oeste	1° 58' 50,452" N	76° 56' 50,474" W	Risnes (1995)	249	
	35		Se obtuvo las coordenadas del punto a partir de la georreferenciación del «Geological Map of La Venta» de Takemura <i>et al.</i> (1992) [274]	852140	875149	MAGNA_Colombia_Bogota	3° 15' 30,379" N	75° 12' 02,849" W	Takemura & Danbara (1986)	276	

ID Datación Radiométrica	Código de la muestra	Unidad geológica	Litología	Edad años BP	Error años	Edad Ma	Error Ma	Edad grano simple menor detrítico	Edad grano simple mayor detrítico	Edad estratigráfica	Edades heredadas	Método de datación	Material analizado	Relación inicial	MSWD	P(X2) %
1501	Osos 21		Arenas			16,1	$\pm 2,8$			Mioceno (N1)		Huellas de fisión	Circón			<1
1502	tef97 (P3)	Unidad volcánica sur	Tefra			16,1	$\pm 0,9$			Mioceno (N1)		Huellas de fisión	Circón			82
1503	08YEM01	Formación Mirador						16,17 $\pm 1,3$	1184,46 $\pm 94,8$	Mesoproterozoico (MP)-Mioceno (N1)		U-Th/He	Circón			
1504	M1-MP-004	Formación Chagüí	Arenita			16,18	$\pm 24,41$			Mioceno (N1)		U-Th/He	Apatito			
1505	08YEM01	Formación Mirador	Arenita					16,2 $\pm 1,3$	1184,5 $\pm 94,8$	Mesoproterozoico (MP)-Mioceno (N1)		U-Th/He	Circón			
1506	SG-003	Sedimentitas de Urrao				16,28	$+ 5,77/- 4,26$			Mioceno (N1)		Huellas de fisión LA-ICP-MS	Apatito			
1507	12.01	Stock de Santa Ana	Granodiorita			16,3	$\pm 0,4$			Mioceno (N1)		K-Ar	Roca total			
1508	SN3	Esquistos de San Lorenzo	Esquisto micáceo			16,3	$\pm 1,8$			Mioceno (N1)		Huellas de fisión	Apatito			5,0
1509	FF-G1-A11-30	Formación Une	Arenita			16,3	$\pm 1,8$			Mioceno (N1)		Huellas de fisión EDM	Apatito			0
1510	INTR. CAUCA	Cuerpo hipoabásico porfirítico				16,40	$\pm 0,7$			Mioceno (N1)		Huellas de fisión	Circón			7,00
1511	FT2-04	Formación Une	Arenita			16,4	$\pm 3,5$			Mioceno (N1)		Huellas de fisión EDM	Apatito			43,71
1512	JRG-11-15B	Batolito de Santa Marta				16,44	$\pm 0,37$			Mioceno (N1)		U-Th/He	Apatito			
1513	AD-3	Stock de Suárez	Tonalita			16,5	$\pm 0,8$			Mioceno (N1)		K-Ar	Hornblenda			
1514	15.01	Stock de Suárez	Dacita			16,5	$\pm 0,3$			Mioceno (N1)		K-Ar	Roca total			
1515	MP-78 P3	Grupo Guadalupe	Arenita			16,5	$\pm 2,1$			Mioceno (N1)		Huellas de fisión EDM	Apatito			
1516	CM014R	Stock de La Medina	Dacita porfirítica			16,56	$\pm 0,14$			Mioceno (N1)		Ar-Ar	Biotita			
1517	21.02	Formación Esmita	Dacita			16,6	$\pm 0,3$			Mioceno (N1)		K-Ar	Roca total			
1518	MP-50	Formación Guayabo	Arenita			16,6	$\pm 3,9$			Mioceno (N1)		Huellas de fisión EDM	Apatito			
1519	ER082R	Stock de Santa Rosa	Dacita porfirítica			16,61	$\pm 0,22$			Mioceno (N1)		Ar-Ar	Hornblenda			0,30
1520	ER082R	Stock de Santa Rosa	Dacita porfirítica			16,64	$\pm 0,19$			Mioceno (N1)		Ar-Ar	Hornblenda			0,28
1521	ER082R	Stock de Santa Rosa	Dacita porfirítica			16,67	$\pm 0,26$			Mioceno (N1)		Ar-Ar	Hornblenda			
1522	CM014R	Stock de La Medina	Dacita porfirítica			16,68	$\pm 0,11$			Mioceno (N1)		Ar-Ar	Biotita			1,3
1523	15	Stock de El Cerro Frontino	Gabro pegmatítico			16,7	$\pm 3,3$			Mioceno (N1)		Huellas de fisión	Esfena			
1524	11.01	Stock de Santa Ana	Cuarzomonzodiorita			16,7	$\pm 0,3$			Mioceno (N1)		K-Ar	Roca total			
1525	BU140	Gneis de Bucaramanga	Granito			16,7	$\pm 3,2$			Mioceno (N1)		Huellas de fisión	Apatito			98,97
1526	08YEM03	Formación Carbonera	Arenita					16,8 $\pm 1,3$	927,0 $\pm 74,2$	Neoproterozoico (NP)-Mioceno (N1)		U-Th/He	Circón detritico			
1527	SR016R	Stock gabroico de Pereira				16,86	$\pm 0,28$			Mioceno (N1)		Ar-Ar	Hornblenda			
1528	JR054R	Stock de La Chapa	Andesita porfirítica			16,86	$\pm 0,21$			Mioceno (N1)		Ar-Ar	Hornblenda			0,0021
1529	CM014R	Stock de La Medina	Dacita porfirítica			16,86	$\pm 0,3$			Mioceno (N1)		Ar-Ar	Biotita			1,3
1530	Patia 29-Ra-001					16,9	$\pm 1,1$			Mioceno (N1)		Ar-Ar				
1531	JR054R	Stock de La Chapa	Andesita porfirítica			16,9	$\pm 0,17$			Mioceno (N1)		Ar-Ar	Hornblenda			0,43

Dispersión %	Número de gramos analizados	Número de alicuotas	Fuente georreferenciación	Coordenada X	Coordenada Y	Sistema de coordenadas	Latitud	Longitud	Referencia	ID referencia	Comentarios
115	11			1168038	843825	MAGNA_Colombia_Bogota	6° 06' 50,038" N	75° 29' 17,817" W	Toro (1999)	290	Edad central
<1	5								Toro (1999)	290	Edad central de población
	9			1095487	1178160	MAGNA_Colombia_Bogota	5° 27' 27,144" N	72° 28' 12,144" W	Bande <i>et al.</i> (2012)	22	Dominio de edades precámbricas-paleozoicas (850–300 Ma). Las edades pre-cretácicas son atribuidas al largo tiempo de residencia en niveles corticales superiores en el estable escudo de Guainía o círculos reciclados de la cordillera Oriental que nunca fueron enterrados a profundidades bajo la isoterma de 180 °C
	1	2		688492	847272	MAGNA_Colombia_Oeste	1° 46' 42,940" N	78° 27' 00,036" W	Agencia Nacional de Hidrocarburos & Universidad de Caldas (2011a)	3	Muestra de ripios recuperados del pozo Remolino Grande-1, según el código de la muestra pertenece al pozo Majagua 1 y no al pozo Remolino Grande-1 como esta listado en la Tabla 2 del Anexo 17
	9		Se obtuvo las coordenadas del punto de la Tabla DR1 (datos suplementarios)	1095487	1178160	MAGNA_Colombia_Bogota	5° 27' 27,144" N	72° 28' 12,144" W	Horton <i>et al.</i> (2010a)	140	Picos de edad a 850–550 Ma (n = 11) con edades paleozoicas y jurásicas subordinadas. Las edades entre 850 y 550 Ma provienen del escudo de Guainía localizado al este
	20		Se tomaron las coordenadas listadas en los anexos que se diferencian varios metros con respecto a las reportadas en el informe final	1169927	1118857	MAGNA_Colombia_Oeste	6° 07' 54,323" N	76° 00' 13,526" W	Agencia Nacional de Hidrocarburos & Universidad de Caldas (2011b)	4	Edad pooled
			Las coordenadas reportadas por el autor no coinciden con la Figura 3.1. Se obtuvo las coordenadas del punto a partir de la georreferenciación de esta figura	810957	1053910	MAGNA_Colombia_Oeste	2° 53' 11,474" N	76° 35' 33,446" W	Risnes (1995)	249	
	25			1723676	996767	MAGNA_Colombia_Bogota	11° 08' 22,589" N	74° 06' 25,568" W	Villagómez <i>et al.</i> (2011b)	327	Edad pooled, mejor edad ajustada de 16,2 Ma. Comienzo de enfriamiento a 25–16 Ma, tasa promedio constante de 4 °C/Ma hasta 10–0 Ma
	20			1069826	1148973	MAGNA_Colombia_Bogota	5° 13' 34,320" N	72° 44' 01,800" W	Ramírez Arias <i>et al.</i> (2012)	227	Muestra del bloque colgante de la Falla de Guacáramo
0,00	9								Ramírez <i>et al.</i> (2006)	226	Edad central interpretada como la edad del magmatismo
	14			1155313	1167036	MAGNA_Colombia_Bogota	5° 59' 54,960" N	72° 34' 08,280" W	Ramírez Arias <i>et al.</i> (2012)	227	Muestra del bloque colgante de la Falla de Pajarito
				1723671	995182	MAGNA_Colombia_Bogota	11° 08' 22,419" N	74° 07' 17,803" W	Cardona <i>et al.</i> (2011b)	70	
									Göbel & Stibane (1981)	112	Muestra tomada en el paso de Bobo, suroeste del municipio de Suárez, departamento del Cauca
			Las coordenadas reportadas por el autor no coinciden con la Figura 3.1. Se obtuvo las coordenadas del punto a partir de la georreferenciación de esta figura	816755	1039015	MAGNA_Colombia_Oeste	2° 56' 20,419" N	76° 43' 35,659" W	Risnes (1995)	249	
	12			1117032	866438	MAGNA_Colombia_Este	5° 39' 11,760" N	72° 16' 59,000" W	Mora <i>et al.</i> (2010)	195	Edad pooled de la población 3
				700614	1008725	MAGNA_Colombia_Oeste	1° 53' 19,448" N	76° 59' 56,727" W	González (2010)	122	Edad integrada
				822156	1043748	MAGNA_Colombia_Oeste	2° 59' 16,202" N	76° 41' 02,347" W	Risnes (1995)	249	
	2			1114286	883297	MAGNA_Colombia_Este	5° 37' 43,440" N	72° 07' 51,080" W	Mora <i>et al.</i> (2010)	195	Edad pooled
				807060	1044835	MAGNA_Colombia_Oeste	2° 51' 04,731" N	76° 40' 27,305" W	González (2010)	122	Edad de isócrona inversa
				807060	1044835	MAGNA_Colombia_Oeste	2° 51' 04,731" N	76° 40' 27,305" W	González (2010)	122	Edad de meseta interpretada como de cristalización magmática
				807060	1044835	MAGNA_Colombia_Oeste	2° 51' 04,731" N	76° 40' 27,305" W	González (2010)	122	Edad integrada
				700614	1008725	MAGNA_Colombia_Oeste	1° 53' 19,448" N	76° 59' 56,727" W	González (2010)	122	Edad de meseta interpretada como de enfriamiento, la cual debe ser muy próxima a la de cristalización magmática por ser un cuerpo hipoabásico
				1232439	1101083	MAGNA_Colombia_Oeste	6° 41' 50,088" N	76° 09' 47,887" W	Restrepo (1991b)	238	Edad mínima que corresponde al enfriamiento por debajo de 200°C
			Las coordenadas reportadas por el autor no coinciden con la Figura 3.1. Se obtuvo las coordenadas del punto a partir de la georreferenciación de esta figura	811025	1054772	MAGNA_Colombia_Oeste	2° 53' 13,681" N	76° 35' 05,533" W	Risnes (1995)	249	
	19		Las coordenadas reportadas por los autores no coinciden con la Figura 5. Se obtuvo las coordenadas del punto a partir de la georreferenciación de esta figura	1279303	1110408	MAGNA_Colombia_Bogota	7° 07' 14,808" N	73° 04' 41,115" W	Villagómez <i>et al.</i> (2011b)	327	Edad pooled
	10		Se obtuvo las coordenadas del punto de la Tabla DR1 (datos suplementarios)	1093253	847981	MAGNA_Colombia_Este	5° 26' 16,548" N	72° 26' 56,832" W	Horton <i>et al.</i> (2010a)	140	Se presenta una población <150 Ma (n = 28) y una subpoblación menor de 1000–850 Ma. Las edades cretácicas-cenozoicas son interpretadas como el producto de reciclaje en la cordillera Oriental de sedimentos enterrados superficialmente (<5 km) que se originaron de fuentes al oeste (arco andino y cinturón de cabalgamientos). También publicada en Bande <i>et al.</i> (2012) [22]
				1025637	1160350	MAGNA_Colombia_Oeste	4° 49' 35,409" N	75° 37' 55,643" W	González (2010)	122	Edad integrada de baja confianza por alto contenido en Ca y bajo en K
				814118	1058801	MAGNA_Colombia_Oeste	2° 54' 54,306" N	76° 32' 55,022" W	González (2010)	122	Edad de isócrona inversa
				700614	1008725	MAGNA_Colombia_Oeste	1° 53' 19,448" N	76° 59' 56,727" W	González (2010)	122	Edad de isócrona inversa
			Se tomaron las coordenadas listadas en los anexos que se diferencian varios metros con respecto a las reportadas en el informe final	710939	991787	MAGNA_Colombia_Oeste	1° 58' 55,591" N	77° 09' 04,783" W	Agencia Nacional de Hidrocarburos & Universidad de Caldas (2011b)	4	Edad de meseta media ponderada, muestra de un núcleo de perforación del pozo Patía 29
				814118	1058801	MAGNA_Colombia_Oeste	2° 54' 54,306" N	76° 32' 55,022" W	González (2010)	122	Edad de meseta interpretada como de cristalización magmática

ID Datación Radiométrica	Código de la muestra	Unidad geológica	Litología	Edad años BP	Error años	Edad Ma	Error Ma	Edad grano simple menor detrítico	Edad grano simple mayor detrítico	Edad estratigráfica	Edades heredadas	Método de datación	Material analizado	Relación inicial	MSWD	P(X2) %
1532	MP-65	Formación Guayabo	Arenita			16,9	$\pm 4,5$			Mioceno (N1)		Huellas de fisión EDM	Apatito			
1533	JC050R	Stock de Santa Ana				16,93	$\pm 0,73$			Mioceno (N1)		Ar–Ar	Biotita			
1534	JC050R	Stock de Santa Ana				16,98	$\pm 0,50$			Mioceno (N1)		Ar–Ar	Hornblenda		1,19	
1535	T-39	Intrusivo de Tatamá				ca. 17				Mioceno (N1)		U–Pb LA–MC–ICP–MS	Circón			
1536	Mo 463	Stock de Pance	Gabro de hornblenda			17	$\pm 1$			Mioceno (N1)		K–Ar	Hornblenda			
1537	Mo 472	Stock de Pance	Tonalita de hornblenda y biotita			17	$\pm 1$			Mioceno (N1)		K–Ar	Hornblenda			
1538	Mo 472	Stock de Pance	Tonalita de hornblenda y biotita			17	$\pm 1$			Mioceno (N1)		K–Ar	Biotita			
1539	Mo 485	Pórfido de La Alberia	Andesita			17	$\pm 1$			Mioceno (N1)		K–Ar	Biotita			
1540	Mo 523	Plutón de Tatamá				17	$\pm 1$			Mioceno (N1)		K–Ar	Hornblenda			
1541	Mo 523	Plutón de Tatamá				17	$\pm 1$			Mioceno (N1)		K–Ar	Biotita			
1542	WR-177	Intrusivo hipoadíspalo de Dominical	Pórfido de plagioclasa y cuarzo			17	$\pm 0,4$			Mioceno (N1)		U–Pb LA–MC–ICP–MS	Circón			
1543	12035970		Pórfido diorítico			17,1	$\pm 0,4$			Mioceno (N1)		U–Pb LA–MC–ICP–MS	Circón			
1544	JC050R	Stock de Santa Ana				17,17	$\pm 0,51$			Mioceno (N1)		Ar–Ar	Hornblenda			
1545	46.01		Dacita			17,2	$\pm 0,4$			Mioceno (N1)		K–Ar	Anfibol			
1546	JC008R	Rocas hipoabisales andesíticas	Andesita porfírica			17,21	$\pm 0,99$			Mioceno (N1)		Ar–Ar	Biotita			
1547	SM-1	Stock de Mistrató				17,28	$+4,96/-3,8$			Mioceno (N1)		Huellas de fisión LA–ICP–MS	Apatito			
1548	JC050R	Stock de Santa Ana				17,3	$\pm 2$			Mioceno (N1)		Ar–Ar	Hornblenda		1,7	
1549	16.02	Stock de Suárez	Dacita			17,3	$\pm 0,4$			Mioceno (N1)		K–Ar	Clorita			
1550	10VDL32	Granodiorita de Mogotes	Granodiorita			17,3	$\pm 3,2$			Mioceno (N1)		Huellas de fisión LA–ICP–MS	Apatito			24,87
1551	JR054R	Stock de La Chapa	Andesita porfírica			17,31	$\pm 0,25$			Mioceno (N1)		Ar–Ar	Hornblenda			
1552	UAKA 79–69	Stock de Piedrasentada	Dacita porfírica			17,4	$\pm 0,4$			Mioceno (N1)		K–Ar	Biotita			
1553	FT-79C	Formación Concentración	Arenita			17,4	$\pm 4,8$			Mioceno (N1)		Huellas de fisión EDM	Apatito			85,7
1554	AEB 12R		Dacita			17,5	$\pm 1,1$			Mioceno (N1)		K–Ar	Biotita			
1555	RG-14	Formación Cacho	Arenita			17,6	$\pm 2$			Mioceno (N1)		Huellas de fisión LA–ICP–MS	Apatito			4,6
1556	10VDL05	Granodiorita de La Corcova	Dique de granodiorita			17,6	$\pm 3,3$			Mioceno (N1)		Huellas de fisión LA–ICP–MS	Apatito			43,35
1557	JR023R	Stock de Arrayanes La Playa	Andesita porfírica			17,61	$\pm 0,77$			Mioceno (N1)		Ar–Ar	Hornblenda			
1558	JR023R	Stock de Arrayanes La Playa	Andesita porfírica			17,61	$\pm 1,05$			Mioceno (N1)		Ar–Ar	Hornblenda			
1559	JR023R	Stock de Arrayanes La Playa	Andesita porfírica			17,62	$\pm 1,12$			Mioceno (N1)		Ar–Ar	Hornblenda			
1560	ZIR-01	Pórfido Suárez	Dacita porfírica			17,7	$\pm 0,5$			Mioceno (N1)		U–Pb LA–MC–ICP–MS	Circón			
1561	17.01		Dacita			17,7	$\pm 0,4$			Mioceno (N1)		K–Ar	Roca total			
1562	34.02	Stock de Arrayanes La Playa	Riolita			17,7	$\pm 0,4$			Mioceno (N1)		K–Ar	Biotita			
1563	Tumaco1-190,08	Formación Cascajal				17,76	$\pm 0,61$			Mioceno (N1)		Ar–Ar				
1564	JC008R	Rocas hipoabisales andesíticas	Andesita porfírica			17,76	$\pm 0,10$			Mioceno (N1)		Ar–Ar	Biotita		0,76	
1565	SR016R	Stock gabroico de Pereira				17,8	$\pm 0,2$			Mioceno (N1)		Ar–Ar	Hornblenda			
1566	SG-014	Batolito de Anchicayá				17,82	$+7,77/-5,42$			Mioceno (N1)		Huellas de fisión LA–ICP–MS	Apatito			

Dispersión %	Número de granos analizados	Número de alicuotas	Fuente georreferenciación	Coordenada X	Coordenada Y	Sistema de coordenadas	Latitud	Longitud	Referencia	ID referencia	Comentarios
	2			1110466	878660	MAGNA_Colombia_Este	5° 35' 38,840" N	72° 10' 21,500" W	Mora <i>et al.</i> (2010)	195	Edad pooled
				810339	1052933	MAGNA_Colombia_Oeste	2° 52' 51,370" N	76° 36' 05,072" W	González (2010)	122	Edad integrada de fusión total
				810339	1052933	MAGNA_Colombia_Oeste	2° 52' 51,370" N	76° 36' 05,072" W	González (2010)	122	Edad de meseta
99									Agencia Nacional de Hidrocarburos & Universidad de Caldas (2011b)	4	Las coordenadas reportadas (1 114 980 m.N. y 1 566 810 m.E.) no coinciden con la unidad
			Localización tomada de Verdugo & Aspden (1984) [323]	859414	1050760	MAGNA_Colombia_Oeste	3° 19' 29,056" N	76° 37' 14,748" W	Brook (1984)	53	Edad de intrusión
			Localización tomada de Verdugo & Aspden (1984) [323]	858584	1049836	MAGNA_Colombia_Oeste	3° 19' 02,047" N	76° 37' 44,688" W	Brook (1984)	53	Edad de intrusión
			Localización tomada de Verdugo & Aspden (1984) [323]	858584	1049836	MAGNA_Colombia_Oeste	3° 19' 02,047" N	76° 37' 44,688" W	Brook (1984)	53	Edad de intrusión
			Localización tomada de McCourt <i>et al.</i> (1984b) [182]	905048	1118862	MAGNA_Colombia_Oeste	3° 44' 12,744" N	76° 00' 27,182" W	Brook (1984)	53	Edad de intrusión
									Brook (1984)	53	Edad de intrusión
									Brook (1984)	53	Edad de intrusión
				728314	1028099	MAGNA_Colombia_Oeste	2° 08' 21,200" N	76° 49' 29,700" W	Leal Mejia (2011)	160	Interpretada como la edad de cristalización magmática
				1110505	880359	MAGNA_Colombia_Bogota	5° 35' 40,200" N	75° 09' 26,300" W	Leal Mejia (2011)	160	Interpretada como la edad de cristalización magmática
				810339	1052933	MAGNA_Colombia_Oeste	2° 52' 51,370" N	76° 36' 05,072" W	González (2010)	122	Edad integrada
				674606	994381	MAGNA_Colombia_Oeste	1° 39' 12,705" N	77° 07' 40,823" W	Risnes (1995)	249	
				668206	974611	MAGNA_Colombia_Oeste	1° 35' 44,290" N	77° 18' 20,400" W	González (2010)	122	Edad integrada
40			Se tomaron las coordenadas listadas en los anexos que se diferencian varios metros con respecto a las reportadas en el informe final	1075096	1134419	MAGNA_Colombia_Oeste	5° 16' 26,806" N	75° 51' 53,969" W	Agencia Nacional de Hidrocarburos & Universidad de Caldas (2011b)	4	Edad pooled
				810339	1052933	MAGNA_Colombia_Oeste	2° 52' 51,370" N	76° 36' 05,072" W	González (2010)	122	Edad de isócrona inversa
			Las coordenadas reportadas por el autor no coinciden con la Figura 3.1. Se obtuvo las coordenadas del punto a partir de la georreferenciación de esta figura	816766	1039010	MAGNA_Colombia_Oeste	2° 56' 20,776" N	76° 43' 35,822" W	Risnes (1995)	249	
37				1202161	1138601	MAGNA_Colombia_Bogota	6° 25' 22,000" N	72° 49' 29,000" W	van der Lelij (2013)	308	Edad pooled
				814118	1058801	MAGNA_Colombia_Oeste	2° 54' 54,306" N	76° 32' 55,022" W	González (2010)	122	Edad integrada
				723665	1021961	MAGNA_Colombia_Oeste	2° 05' 49,881" N	76° 52' 48,352" W	Sillitoe <i>et al.</i> (1982)	271	Interpretada como la edad mínima de emplazamiento
5				1186800	1163676	MAGNA_Colombia_Bogota	6° 16' 59,960" N	72° 35' 54,660" W	Mora <i>et al.</i> (2010)	195	Edad pooled
									De Souza <i>et al.</i> (1984)	89	El cuerpo de dacita se alinea a lo largo de la Falla de Mosquerillo e intruye el Complejo de Los Azules
14				1073229	1034536	MAGNA_Colombia_Bogota	5° 15' 30,000" N	73° 45' 57,480" W	Parra <i>et al.</i> (2009b)	219	
40				1277113	1117936	MAGNA_Colombia_Bogota	7° 06' 03,000" N	73° 00' 36,000" W	van der Lelij (2013)	308	Edad pooled
				710491	1012372	MAGNA_Colombia_Oeste	1° 58' 41,000" N	76° 57' 58,680" W	González (2010)	122	Edad integrada de moderada confianza debido al bajo contenido de K
				710491	1012372	MAGNA_Colombia_Oeste	1° 58' 41,000" N	76° 57' 58,680" W	González (2010)	122	Edad de fusión total de moderada confiabilidad debido al bajo contenido de K
				710491	1012372	MAGNA_Colombia_Oeste	1° 58' 41,000" N	76° 57' 58,680" W	González (2010)	122	Edad de fusión total de moderada confiabilidad debido al bajo contenido de K
				816519	1042118	MAGNA_Colombia_Oeste	2° 56' 12,700" N	76° 41' 55,200" W	Leal Mejia (2011)	160	Interpretada como la edad de cristalización magmática
				817451	1041177	MAGNA_Colombia_Oeste	2° 56' 43,069" N	76° 42' 25,637" W	Risnes (1995)	249	
				708537	1007260	MAGNA_Colombia_Oeste	1° 57' 37,399" N	77° 00' 44,094" W	Risnes (1995)	249	
			Se tomaron las coordenadas listadas en los anexos que se diferencian varios metros con respecto a las reportadas en el informe final	662801	1154994	MAGNA_Colombia_Oeste_Oeste	1° 32' 46,721" N	78° 41' 05,305" W	Agencia Nacional de Hidrocarburos & Universidad de Caldas (2011b)	4	Edad de meseta media ponderada, muestra de un núcleo de perforación del pozo Tumaco-1
				668206	974611	MAGNA_Colombia_Oeste	1° 35' 44,290" N	77° 18' 20,400" W	González (2010)	122	Edad de meseta interpretada como de enfriamiento, la cual debe ser muy próxima a la de cristalización magmática por ser un cuerpo hipoábsidal
				1025637	1160350	MAGNA_Colombia_Oeste	4° 49' 35,409" N	75° 37' 55,643" W	González (2010)	122	Edad de baja confianza por hornblenda baja en K y alta en Ca
40				891207	1021222	MAGNA_Colombia_Oeste	3° 36' 44,418" N	76° 53' 11,355" W	Agencia Nacional de Hidrocarburos & Universidad de Caldas (2011a)	3	Edad pooled

ID Datación Radiométrica	Código de la muestra	Unidad geológica	Litología	Edad años BP	Error años	Edad Ma	Error Ma	Edad grano simple menor detrítico	Edad grano simple mayor detrítico	Edad estratigráfica	Edades heredadas	Método de datación	Material analizado	Relación inicial	MSWD	P(X2) %
1567	MA-13	Formación Lutitas de Macanal	Arenita			17,9	± 1,0			Mioceno (N1)		Huellas de fisión LA-ICP-MS	Circón			44
1568	JC008R	Rocas hipoabísales andesíticas	Andesita porfirítica			17,93	± 0,26			Mioceno (N1)		Ar-Ar	Biotita		0,52	
1569	Tumaco1-190,08	Formación Cascajal				17,97	± 0,56			Mioceno (N1)		Ar-Ar				
1570	Mo 485	Pórfido de La Albania	Dacita porfirítica			18	± 1			Mioceno (N1)		K-Ar	Hornblenda			
1571	Mo 615	Batolito de Anchicayá	Diorita			18	± 1			Mioceno (N1)		K-Ar	Hornblenda			
1572	Mo 615	Batolito de Anchicayá	Diorita			18	± 1			Mioceno (N1)		K-Ar	Biotita			
1573	Mo 475	Stock de Pance	Tonalita de hornblenda y biotita			18	± 1			Mioceno (N1)		K-Ar	Hornblenda			
1574	38.01	Stock de Arrayanes La Playa	Dacita			18	± 0,4			Mioceno (N1)		K-Ar	Roca total			
1575	PPM2-6AB	Formación Umir	Arenita			18	± 3			Mioceno (N1)		Huellas de fisión EDM	Apatito			49,4
1576	996-41	Gneis de Bucaramanga				18,1	± 3			Mioceno (N1)		Huellas de fisión	Apatito			31
1577	CM001R		Andesita porfirítica			18,1	± 1,01			Mioceno (N1)		Ar-Ar	Hornblenda			
1578	IN-SHC-63+64	Formación Guayabo	Arenita			18,1	± 3,4			Mioceno (N1)		Huellas de fisión EDM	Apatito			
1579	AM-05	Grupo Guadalupe, Miembro Tierna	Arenita			18,1	± 5,13			Mioceno (N1)		Huellas de fisión LA-ICP-MS	Apatito			
1580	RS-3701	Complejo Ultramáfico del Alto Condoto	Cornubianita hornblendica milonitizada			18,2	± 0,4			Mioceno (N1)		K-Ar	Roca total			
1581	08PB06		Granitoide muy alterado					18,3 ± 1,5	28,4 ± 2,3	Oligoceno (E3)-Mioceno (N1)		U-Th/He	Circón			
1582	28	Formación Umir	Arenita					18,4 ± 1,5	198,1 ± 15,9	Jurásico Temprano (J1)-Mioceno (N1)		U-Th/He	Circón			
1583	CM001R		Andesita porfirítica			18,4	± 3			Mioceno (N1)		Ar-Ar	Hornblenda			2,5
1584	15.01	Stock de Suárez	Dacita			18,4	± 0,4			Mioceno (N1)		K-Ar	Biotita			
1585	MP-72 P1	Formación Guayabo	Arenita			18,5	± 4,8			Mioceno (N1)		Huellas de fisión EDM	Apatito			
1586	G03-G1-025	Formaciones Tasca-Playa Palmeras	Arenita			18,5	+ 5,76/- 4,39			Mioceno (N1)		Huellas de fisión LA-ICP-MS	Apatito			
1587	BV-151	Formación Lutitas de Macanal	Arenita			18,5	± 1,0			Mioceno (N1)		Huellas de fisión LA-ICP-MS	Circón			24
1588	996-36	Gneis de Bucaramanga				18,6	± 2			Mioceno (N1)		Huellas de fisión	Apatito			66
1589	RS-3903	Complejo Ultramáfico del Alto Condoto	Cornubianita hornblendica			18,6	± 0,3			Mioceno (N1)		K-Ar	Roca total			
1590	CM001R		Andesita porfirítica			18,61	± 0,59			Mioceno (N1)		Ar-Ar	Hornblenda			2,4
1591	Girón-SS	Formación Girón				18,7	± 7,9			Mioceno (N1)		Huellas de fisión EDM	Apatito			63
1592	DV139	Monzogranito de Mocoa	Dacita porfirítica			18,7	± 7,4			Mioceno (N1)		Huellas de fisión	Apatito			94
1593	EAM-11-43B	Batolito de Santa Marta				18,74	± 0,59			Mioceno (N1)		U-Th/He	Circón			
1594		Batolito de Anchicayá				18,75	+ 0,34/- 0,36			Mioceno (N1)		U-Pb LA-MC-ICP-MS	Circón			
1595	Patia 3-Ra-001					18,9	± 2,1			Mioceno (N1)		Ar-Ar				1,3
1596	Patia 3-Ra-002					18,9	± 5,4			Mioceno (N1)		Ar-Ar				0,7
1597	BC-79-6	Formación Silgará	Esquisto micaegeo			18,9	± 2,2			Mioceno (N1)		Huellas de fisión	Apatito			
1598	BC-79-6	Formación Silgará	Esquisto micaegeo			18,9	± 3,0			Mioceno (N1)		Huellas de fisión	Apatito			
1599	08FLR05		Granito biótico					18,9 ± 1,5	26,5 ± 2,1	Oligoceno (E3)-Mioceno (N1)		U-Th/He	Circón			

Dispersión %	Número de granos analizados	Número de aliquotas	Fuente georreferenciación	Coordenada X	Coordenada Y	Sistema de coordenadas	Latitud	Longitud	Referencia	ID referencia	Comentarios
	58		Localización tomada de Horton <i>et al.</i> (2010a) [140]	1040124	1087748	MAGNA_Colombia_Oeste	4° 57' 30,852" N	73° 17' 10,824" W	Parra <i>et al.</i> (2009a)	218	Muestra localizada en el flanco occidental del macizo de Quetame, la edad representa edades de enfriamiento resultante de cabalgamiento (exhumación del macizo de Quetame)
				668206	974611	MAGNA_Colombia_Oeste	1° 35' 44,290" N	77° 18' 20,400" W	González (2010)	122	Edad de isócrona inversa
			Se tomaron las coordenadas listadas en los anexos que se diferencian varios metros con respecto a las reportadas en el informe final	662801	1154994	MAGNA_Colombia_Oeste	1° 32' 46,721" N	78° 41' 05,305" W	Agencia Nacional de Hidrocarburos & Universidad de Caldas (2011b)	4	Edad de fusión total, muestra de un núcleo de perforación del pozo Tumaco-1
			Localización tomada de McCourt <i>et al.</i> (1984b) [182]	905048	1118862	MAGNA_Colombia_Oeste	3° 44' 12,744" N	76° 00' 27,182" W	Brook (1984)	53	Edad de intrusión
			Localización tomada de Aspden <i>et al.</i> (1984) [17]	899668	1021633	MAGNA_Colombia_Oeste	3° 41' 19,865" N	76° 52' 57,986" W	Brook (1984)	53	Edad de intrusión
			Localización tomada de Aspden <i>et al.</i> (1984) [17]	899347	1021393	MAGNA_Colombia_Oeste	3° 41' 09,442" N	76° 53' 05,771" W	Brook (1984)	53	Edad de intrusión
									Brook (1984)	53	Edad de intrusión, muestra tomada de la parte alta del río Pance en el departamento del Valle del Cauca
				707307	1007420	MAGNA_Colombia_Oeste	1° 56' 57,351" N	77° 00' 38,917" W	Risnes (1995)	249	
11				1230065	1047091	MAGNA_Colombia_Bogota	6° 40' 35,230" N	73° 39' 05,830" W	Mora <i>et al.</i> (2010)	195	Edad pooled
19				1280145	1108084	MAGNA_Colombia_Bogota	7° 07' 42,384" N	73° 05' 56,796" W	Caballero <i>et al.</i> (2013)	59	
				659066	986612	MAGNA_Colombia_Oeste	1° 30' 46,763" N	77° 11' 52,138" W	González (2010)	122	Edad integrada
11				1168611	894331	MAGNA_Colombia_Este	6° 07' 12,290" N	72° 01' 55,600" W	Mora <i>et al.</i> (2010)	195	Edad pooled
				1069133	1075621	MAGNA_Colombia_Bogota	5° 13' 15,600" N	73° 23' 43,440" W	Ramirez Arias <i>et al.</i> (2012)	227	Edad del inicio del último enfriamiento (edad del pico de enterramiento obtenida por modelamiento termal con el uso del software HeFTy), muestra del bloque yacente de la Falla de Soipaga
			Localización tomada de Muñoz <i>et al.</i> (1990) [196]	1063982	1082840	MAGNA_Colombia_Oeste	5° 10' 27,681" N	76° 19' 49,224" W	Tistl <i>et al.</i> (1994)	286	También publicada en Muñoz <i>et al.</i> (1990) [196] y Salinas <i>et al.</i> (1992) [259]
3				1154266	1131311	MAGNA_Colombia_Bogota	5° 59' 23,748" N	72° 53' 29,652" W	Saylor <i>et al.</i> (2012a)	264	Muestra localizada en el bloque colgante de la Falla de Tutasa
4				1199581	1036012	MAGNA_Colombia_Bogota	6° 24' 03,150" N	73° 45' 07,178" W	Sánchez <i>et al.</i> (2012)	261	
				659066	986612	MAGNA_Colombia_Oeste	1° 30' 46,763" N	77° 11' 52,138" W	González (2010)	122	Edad de isócrona inversa
			Las coordenadas reportadas por el autor no coinciden con la Figura 3.1. Se obtuvo las coordenadas del punto a partir de la georreferenciación de esta figura	816755	1039015	MAGNA_Colombia_Oeste	2° 56' 20,419" N	76° 43' 35,659" W	Risnes (1995)	249	
8				1118579	872508	MAGNA_Colombia_Este	5° 40' 02,510" N	72° 13' 41,880" W	Mora <i>et al.</i> (2010)	195	Edad pooled de la población 1
40				816510	874621	MAGNA_Colombia_Oeste	2° 56' 10,581" N	78° 12' 18,736" W	Agencia Nacional de Hidrocarburos & Universidad de Caldas (2011a)	3	Edad pooled
46				975042	1019622	MAGNA_Colombia_Bogota	4° 22' 13,740" N	73° 54' 02,640" W	Parra <i>et al.</i> (2009a)	218	Muestra localizada en el flanco occidental del macizo de Quetame, la edad representa edades de enfriamiento resultante de cabalgamiento (exhumación del macizo de Quetame)
21				1273284	1101234	MAGNA_Colombia_Bogota	7° 03' 59,544" N	73° 09' 40,428" W	Caballero <i>et al.</i> (2013)	59	
			Localización tomada de Muñoz <i>et al.</i> (1990) [196]	1064957	1084960	MAGNA_Colombia_Oeste	5° 10' 59,336" N	76° 18' 40,354" W	Tistl <i>et al.</i> (1994)	286	También publicada en Muñoz <i>et al.</i> (1990) [196] y Salinas <i>et al.</i> (1992) [259]
				659066	986612	MAGNA_Colombia_Oeste	1° 30' 46,763" N	77° 11' 52,138" W	González (2010)	122	Edad de meseta interpretada como de enfriamiento, la cual debe ser muy próxima a la de cristalización magmática por ser un cuerpo hipoabásico
2									Gómez <i>et al.</i> (2005)	116	
15				611613	1030942	MAGNA_Colombia_Oeste	1° 05' 01,800" N	76° 47' 58,200" W	Villagómez (2010)	325	Edad pooled, la localización de la muestra no corresponde con la unidad geológica reportada por el autor como Batolito de Ibagué, sino con el Monzogranito de Mocoa
				1728143	992386	MAGNA_Colombia_Bogota	11° 10' 47,939" N	74° 08' 49,984" W	Cardona <i>et al.</i> (2011b)	70	
									Agencia Nacional de Hidrocarburos & Universidad de Caldas (2011a)	3	Muestra tomada en la cordillera Occidental cerca al embalse de Anchicayá
			Se tomaron las coordenadas listadas en los anexos que se diferencian varios metros con respecto a las reportadas en el informe final	728122	1006210	MAGNA_Colombia_Oeste	2° 08' 15,021" N	77° 01' 18,048" W	Agencia Nacional de Hidrocarburos & Universidad de Caldas (2011b)	4	Edad de isócrona inversa, muestra de un núcleo de perforación del pozo Patía 3
			Se tomaron las coordenadas listadas en los anexos que se diferencian varios metros con respecto a las reportadas en el informe final	728122	1006210	MAGNA_Colombia_Oeste	2° 08' 15,021" N	77° 01' 18,048" W	Agencia Nacional de Hidrocarburos & Universidad de Caldas (2011b)	4	Edad de isócrona inversa, muestra de un núcleo de perforación del pozo Patía 3
			Se obtuvo las coordenadas del punto a partir de la georreferenciación de la Figura 7	1245218	1118060	MAGNA_Colombia_Bogota	6° 48' 44,918" N	73° 00' 34,285" W	Shagam <i>et al.</i> (1984)	270	
			Se obtuvo las coordenadas del punto a partir de la georreferenciación de la Figura 7	1245218	1118060	MAGNA_Colombia_Bogota	6° 48' 44,918" N	73° 00' 34,285" W	Shagam <i>et al.</i> (1984)	270	
4				1145164	1136636	MAGNA_Colombia_Bogota	5° 54' 27,144" N	72° 50' 37,212" W	Saylor <i>et al.</i> (2012a)	264	Muestra localizada en el bloque colgante de la Falla de Duga

ID Datación Radiométrica	Código de la muestra	Unidad geológica	Litología	Edad años BP	Error años	Edad Ma	Error Ma	Edad grano simple menor detrítico	Edad grano simple mayor detrítico	Edad estratigráfica	Edades heredadas	Método de datación	Material analizado	Relación inicial	MSWD	P(X2) %
1600	Mo 471	Stock de Pance	Diorita hornbléndica			19	$\pm 1$			Mioceno (N1)		K-Ar	Hornblenda			
1601	Mo 565	Batolito de Anchicayá	Diorita			19	$\pm 1$			Mioceno (N1)		K-Ar	Biotita			
1602	Mo 616	Batolito de Anchicayá	Diorita			19	$\pm 1$			Mioceno (N1)		K-Ar	Hornblenda			
1603	Mo 617	Batolito de Anchicayá	Diorita			19	$\pm 1$			Mioceno (N1)		K-Ar	Hornblenda			
1604	Mo 521	Plutón de Tatamá				19	$\pm 1$			Mioceno (N1)		K-Ar	Hornblenda			
1605	Mo 617	Batolito de Anchicayá	Diorita			19	$\pm 1$			Mioceno (N1)		K-Ar	Biotita			
1606	RS-SS2	Formación Lisama	Arenita			19	$\pm 2,3$			Mioceno (N1)		Huellas de fisión EDM	Apatito			<1
1607	RM-7195	Complejo Ultramáfico del Alto Condoto	Hornblendita			19,0	$\pm 0,3$			Mioceno (N1)		K-Ar	Hornblenda			
1608	AM-10	Formación Girón	Arenita			19	$\pm 2,1$			Mioceno (N1)		Huellas de fisión LA-ICP-MS	Apatito			3,4
1609	11.01	Stock de Santa Ana	Cuarzomonzodiorita			19,1	$\pm 0,4$			Mioceno (N1)		K-Ar	Anfibol			
1610	RS-3903	Complejo Ultramáfico del Alto Condoto	Cornubianita hornbléndica			19,1	$\pm 0,6$			Mioceno (N1)		K-Ar	Roca total			
1611	5.02		Tonalita			19,2	$\pm 0,4$			Mioceno (N1)		K-Ar	Roca total			
1612	13.01	Stock de San Francisco-Guayaba I	Granodiorita			19,3	$\pm 0,4$			Mioceno (N1)		K-Ar	Roca total			
1613	SN9	Esquistos de San Lorenzo	Gneis anfibólico			19,3	$\pm 3,6$			Mioceno (N1)		Huellas de fisión	Apatito			25,5
1614	08PB04		Arenita					19,3 $\pm 1,5$	33,9 $\pm 2,7$	Eoceno (E2)-Mioceno (N1)		U-Th/He	Circón			
1615	RM-7184	Complejo Ultramáfico del Alto Condoto	Diorita			19,4	$\pm 0,3$			Mioceno (N1)		K-Ar	Hornblenda			
1616	Murca 2	Formación Murca	Arenita			19,4	$\pm 1,1$			Mioceno (N1)		Huellas de fisión LA-ICP-MS	Circón			11
1617	Patia 3-Ra-001					19,5	$\pm 0,9$			Mioceno (N1)		Ar-Ar				
1618	RS-3722	Complejo Ultramáfico del Alto Condoto	Cornubianita hornbléndica			19,5	$\pm 0,4$			Mioceno (N1)		K-Ar	Hornblenda			
1619	Murca 1	Formación Murca	Arenita			19,5	$\pm 1$			Mioceno (N1)		Huellas de fisión LA-ICP-MS	Circón			14,7
1620	RS-3776	Complejo Ultramáfico del Alto Condoto	Cornubianita			19,6	$\pm 0,3$			Mioceno (N1)		K-Ar	Hornblenda			
1621	DV18	Intrusivo Gnésico de La Línea	Gneis			19,6	$\pm 4,2$			Mioceno (N1)		Huellas de fisión	Apatito			27
1622	23	Formación Real	Arenita			19,6	$\pm 1,5$			Mioceno (N1)		Huellas de fisión LA-ICP-MS	Apatito			0
1623	RS-3754	Complejo Ultramáfico del Alto Condoto	Hornblendita clinopiroxénica			19,7	$\pm 0,3$			Mioceno (N1)		K-Ar	Roca total			
1624	RS-3902	Complejo Ultramáfico del Alto Condoto	Diorita			19,8	$\pm 0,3$			Mioceno (N1)		K-Ar	Hornblenda			
1625	RM-7082	Complejo Ultramáfico del Alto Condoto	Diorita			19,8	$\pm 0,3$			Mioceno (N1)		K-Ar	Hornblenda			
1626	AM-10	Formación Girón	Arenita			19,8	$\pm 2,0$			Mioceno (N1)		Huellas de fisión LA-ICP-MS	Apatito			3,4
1627	RG-04	Formación Montebel	Arenita			19,8	$\pm 2,1$			Mioceno (N1)		Huellas de fisión LA-ICP-MS	Apatito			76,5
1628	Patia 3-Ra-001					19,9	$\pm 1,2$			Mioceno (N1)		Ar-Ar				
1629	Chocó1-ST-P-Ra01					19,9	$\pm 0,7$			Mioceno (N1)		K-Ar	Hornblenda			
1630	44.01		Andesita			19,9	$\pm 0,5$			Mioceno (N1)		K-Ar	Anfibol			
1631	64.02	Formación Esmita	Andesita			19,9	$\pm 0,5$			Mioceno (N1)		K-Ar	Roca total			
1632	RG-04	Formación Montebel	Arenita			19,9	$\pm 2,1$			Mioceno (N1)		Huellas de fisión LA-ICP-MS	Apatito			76,5
1633	Funza-1858		Capa de ceniza volcánica			19,92	$\pm 0,39$			Mioceno (N1)		K-Ar	Plagioclasa			

Dispersión %	Número de granos analizados	Número de alicuotas	Fuente georreferenciación	Coordenada X	Coordenada Y	Sistema de coordenadas	Latitud	Longitud	Referencia	ID referencia	Comentarios
			Localización tomada de Verdugo & Aspden (1984) [323]	859337	1049500	MAGNA_Colombia_Oeste	3° 19' 26,563" N	76° 37' 55,583" W	Brook (1984)	53	Edad de intrusión
			Localización tomada de Aspden <i>et al.</i> (1984) [17]	891900	1021649	MAGNA_Colombia_Oeste	3° 37' 06,974" N	76° 52' 57,512" W	Brook (1984)	53	Edad de intrusión
			Localización tomada de Aspden <i>et al.</i> (1984) [17]	900628	1016744	MAGNA_Colombia_Oeste	3° 41' 51,155" N	76° 55' 36,431" W	Brook (1984)	53	Edad de intrusión
			Localización tomada de Aspden <i>et al.</i> (1984) [17]	900223	1016729	MAGNA_Colombia_Oeste	3° 41' 37,971" N	76° 55' 36,920" W	Brook (1984)	53	Edad de intrusión
									Brook (1984)	53	Edad de intrusión
									Brook (1984)	53	Edad de intrusión
20									Gómez <i>et al.</i> (2005)	116	
			Localización tomada de Muñoz <i>et al.</i> (1990) [196]	1063867	1087690	MAGNA_Colombia_Oeste	5° 10' 23,745" N	76° 17' 11,760" W	Tistl <i>et al.</i> (1994)	286	También publicada en Muñoz <i>et al.</i> (1990) [196] y Salinas <i>et al.</i> (1992) [259]
33			Localización tomada de Parra <i>et al.</i> (2009b) [219]	1136854	1133994	MAGNA_Colombia_Bogota	5° 49' 56,880" N	72° 52' 03,660" W	Mora <i>et al.</i> (2010)	195	Edad pooled, muestra del bloque colgante de la Falla de Soápaga
			Las coordenadas reportadas por el autor no coinciden con la Figura 3.1. Se obtuvo las coordenadas del punto a partir de la georreferenciación de esta figura	811025	1054772	MAGNA_Colombia_Oeste	2° 53' 13,681" N	76° 35' 05,533" W	Risnes (1995)	249	
			Localización tomada de Muñoz <i>et al.</i> (1990) [196]	1064957	1084960	MAGNA_Colombia_Oeste	5° 10' 59,336" N	76° 18' 40,354" W	Tistl <i>et al.</i> (1994)	286	También publicada en Muñoz <i>et al.</i> (1990) [196] y Salinas <i>et al.</i> (1992) [259]
				779988	1034454	MAGNA_Colombia_Oeste	2° 36' 23,471" N	76° 46' 03,664" W	Risnes (1995)	249	
				828901	1047103	MAGNA_Colombia_Oeste	3° 02' 55,761" N	76° 39' 13,609" W	Risnes (1995)	249	
27				1714720	1002674	MAGNA_Colombia_Bogota	11° 03' 31,091" N	74° 03' 10,916" W	Villagómez <i>et al.</i> (2011b)	327	Edad pooled
5				1156937	1140656	MAGNA_Colombia_Bogota	6° 00' 50,004" N	72° 48' 25,668" W	Saylor <i>et al.</i> (2012a)	264	Muestra localizada en el bloque colgante de la Falla de Duga
			Localización tomada de Muñoz <i>et al.</i> (1990) [196]	1063437	1086335	MAGNA_Colombia_Oeste	5° 10' 09,803" N	76° 17' 55,771" W	Tistl <i>et al.</i> (1994)	286	También publicada en Muñoz <i>et al.</i> (1990) [196] y Salinas <i>et al.</i> (1992) [259]
9	20			1071705	972167	MAGNA_Colombia_Bogota	5° 14' 40,500" N	74° 19' 42,900" W	Parra <i>et al.</i> (2009b)	219	Edad concordante reseteada, exhumación activa aproximadamente a 25 Ma
			Se tomaron las coordenadas listadas en los anexos que se diferencian varios metros con respecto a las reportadas en el informe final	728122	1006210	MAGNA_Colombia_Oeste	2° 08' 15,021" N	77° 01' 18,048" W	Agencia Nacional de Hidrocarburos & Universidad de Caldas (2011b)	4	Edad de meseta media ponderada, muestra de un núcleo de perforación del pozo Patía 3
			Localización tomada de Muñoz <i>et al.</i> (1990) [196]	1064218	1082220	MAGNA_Colombia_Oeste	5° 10' 35,355" N	76° 20' 09,346" W	Tistl <i>et al.</i> (1994)	286	También publicada en Muñoz <i>et al.</i> (1990) [196] y Salinas <i>et al.</i> (1992) [259]
6	21			1072779	970519	MAGNA_Colombia_Bogota	5° 15' 15,420" N	74° 20' 36,420" W	Parra <i>et al.</i> (2009b)	219	Edad concordante reseteada, exhumación activa aproximadamente a 25 Ma
			Localización tomada de Muñoz <i>et al.</i> (1990) [196]	1064557	1083050	MAGNA_Colombia_Oeste	5° 10' 46,390" N	76° 19' 42,384" W	Tistl <i>et al.</i> (1994)	286	Edad de intrusión, también publicada en Muñoz <i>et al.</i> (1990) [196] y Salinas <i>et al.</i> (1992) [259]
	20			986425	836003	MAGNA_Colombia_Bogota	4° 28' 19,000" N	75° 33' 18,100" W	Villagómez & Spikings (2013)	328	Edad pooled
40				1197404	1016893	MAGNA_Colombia_Bogota	6° 22' 52,576" N	73° 55' 29,341" W	Sánchez <i>et al.</i> (2012)	261	Edad pooled
			Localización tomada de Muñoz <i>et al.</i> (1990) [196]	1065787	1082850	MAGNA_Colombia_Oeste	5° 11' 26,437" N	76° 19' 48,830" W	Tistl <i>et al.</i> (1994)	286	También publicada en Muñoz <i>et al.</i> (1990) [196] y Salinas <i>et al.</i> (1992) [259]
			Localización tomada de Muñoz <i>et al.</i> (1990) [196]	1065042	1084985	MAGNA_Colombia_Oeste	5° 11' 02,102" N	76° 18' 39,539" W	Tistl <i>et al.</i> (1994)	286	También publicada en Muñoz <i>et al.</i> (1990) [196] y Salinas <i>et al.</i> (1992) [259]
			Localización tomada de Muñoz <i>et al.</i> (1990) [196]	1063007	1085780	MAGNA_Colombia_Oeste	5° 09' 55,828" N	76° 18' 13,807" W	Tistl <i>et al.</i> (1994)	286	También publicada en Muñoz <i>et al.</i> (1990) [196] y Salinas <i>et al.</i> (1992) [259]
39				1136854	1133994	MAGNA_Colombia_Bogota	5° 49' 56,880" N	72° 52' 03,660" W	Ramírez Arias <i>et al.</i> (2012)	227	Muestra del bloque colgante de la Falla de Soápaga, también publicada en Parra <i>et al.</i> (2009b) [219]
39				1147043	1109547	MAGNA_Colombia_Bogota	5° 55' 30,060" N	73° 05' 17,640" W	Ramírez Arias <i>et al.</i> (2012)	227	Muestra del Anticlinal de Arcabuco
			Se tomaron las coordenadas listadas en los anexos que se diferencian varios metros con respecto a las reportadas en el informe final	728122	1006210	MAGNA_Colombia_Oeste	2° 08' 15,021" N	77° 01' 18,048" W	Agencia Nacional de Hidrocarburos & Universidad de Caldas (2011b)	4	Edad de fusión total, muestra de un núcleo de perforación del pozo Patía 3
			Se tomaron las coordenadas listadas en los anexos que se diferencian varios metros con respecto a las reportadas en el informe final	1044920	1048332	MAGNA_Colombia_Oeste	5° 00' 08,169" N	76° 38' 30,087" W	Agencia Nacional de Hidrocarburos & Universidad de Caldas (2011b)	4	Muestra de un núcleo de perforación del pozo Chocó-1 ST-P
				670456	990381	MAGNA_Colombia_Oeste	1° 36' 57,585" N	77° 09' 50,227" W	Risnes (1995)	249	
			Las coordenadas reportadas por el autor no coinciden con la Figura 3.1. Se obtuvo las coordenadas del punto a partir de la georreferenciación de esta figura	735655	1029697	MAGNA_Colombia_Oeste	2° 12' 20,199" N	76° 48' 37,948" W	Risnes (1995)	249	
38			Localización de Ramírez Arias <i>et al.</i> (2012) [227]	1147043	1109547	MAGNA_Colombia_Bogota	5° 55' 30,060" N	73° 05' 17,640" W	Parra <i>et al.</i> (2009b)	219	Edad concordante reseteada, exhumación activa a aproximadamente 26 Ma. También publicada en Ramírez Arias <i>et al.</i> (2012) [227] y en Mora <i>et al.</i> (2010) [195]
									Hooghiemstra (1984)	138	Edad máxima de muestra rechazada de núcleo a 325,75 cm de profundidad en el pozo Funza, la localización (4° 50' N, 74° 12' W) reportada por el autor no coincide con el lugar de muestreo

ID Datación Radiométrica	Código de la muestra	Unidad geológica	Litología	Edad años BP	Error años	Edad Ma	Error Ma	Edad grano simple menor detrítico	Edad grano simple mayor detrítico	Edad estratigráfica	Edades heredadas	Método de datación	Material analizado	Relación inicial	MSWD	P(X2) %
1634	SG-013	Stock de Cambumbia				19,95	+ 5,15/- 4,09			Mioceno (N1)		Huellas de fisión LA-ICP-MS	Apatito			
1635	T04G2-048	Formación Cascajal	Arenita			19,98	$\pm$ 3,44			Mioceno (N1)		Huellas de fisión EDM	Apatito			73,59
1636	Va-11	Batolito de Anchicayá	Monzonita cuarzosa			20				Mioceno (N1)		K-Ar	Biotita			
1637	Mo 564	Batolito de Anchicayá	Diorita			20	$\pm$ 1			Mioceno (N1)		K-Ar	Hornblenda			
1638	Mo 564	Batolito de Anchicayá	Diorita			20	$\pm$ 1			Mioceno (N1)		K-Ar	Biotita			
1639	Mo 565	Batolito de Anchicayá	Diorita			20	$\pm$ 1			Mioceno (N1)		K-Ar	Hornblenda			
1640	Mo 628	Batolito de Anchicayá	Diorita			20	$\pm$ 1			Mioceno (N1)		K-Ar	Hornblenda			
1641	66.01	Formación Esmita	Andesita			20	$\pm$ 0,4			Mioceno (N1)		K-Ar	Roca total			
1642	FT2-31	Formación Picacho	Arenita			20	$\pm$ 3,3			Mioceno (N1)		Huellas de fisión EDM	Apatito			53,7
1643	10VDL22	Granodiorita de Pescadero	Granodiorita			20,0	$\pm$ 3,3			Mioceno (N1)		Huellas de fisión LA-ICP-MS	Apatito			41,77
1644	Chocó-1 ST-P-Mp02	Formación Mayorquín				20,04	+ 10,18/- 6,75			Mioceno (N1)		Huellas de fisión LA-ICP-MS	Apatito			
1645	RS-3903	Complejo Ultramáfico del Alto Condoto	Cornubianita hornbléndica			20,2	$\pm$ 0,7			Mioceno (N1)		K-Ar	Roca total			
1646	SN15	Esquistos de San Lorenzo	Aplita			20,2	$\pm$ 2,2			Mioceno (N1)		Huellas de fisión	Apatito			6,0
1647	FT-627	Formación Socha	Arenita			20,2	$\pm$ 2			Mioceno (N1)		Huellas de fisión EDM	Apatito			43,6
1648	MP-53	Formación Guayabo	Arenita			20,3	$\pm$ 3,6			Mioceno (N1)		Huellas de fisión EDM	Apatito			
1649	EAM-19-60B	Batolito de Santa Marta				20,33	$\pm$ 0,37			Mioceno (N1)		U-Th/He	Circón			
1650	MJ-145	Formación Chipaque	Arenita			20,4	$\pm$ 2,8			Mioceno (N1)		Huellas de fisión EDM	Apatito			0
1651	68.01	Formación Esmita	Andesita			20,5	$\pm$ 0,4			Mioceno (N1)		K-Ar	Roca total			
1652	21	Formación Real	Arenita			20,5	$\pm$ 14,6			Mioceno (N1)		Huellas de fisión LA-ICP-MS	Apatito			78,56
1653	G07-G01-053-3	Formación Playa Palmeras	Arenita			20,56	$\pm$ 3,38			Mioceno (N1)		U-Th/He	Apatito			
1654	RM-7274	Complejo Ultramáfico del Alto Condoto	Diorita			20,6	$\pm$ 0,3			Mioceno (N1)		K-Ar	Hornblenda			
1655	DV63	Batolito Antioqueño	Aplita			20,6	$\pm$ 1,4			Mioceno (N1)		U-Th/He	Apatito			
1656	SN1	Batolito de Santa Marta	Cuarzodiorita			20,6	$\pm$ 4,6			Mioceno (N1)		Huellas de fisión	Apatito			70,2
1657	MP-29 PI-Cl	Formación Las Juntas	Arenita			20,6	$\pm$ 3,72			Mioceno (N1)		Huellas de fisión EDM	Apatito			
1658	EAM-19-66A	Batolito de Santa Marta				20,64	$\pm$ 0,56			Mioceno (N1)		U-Th/He	Circón			
1659	B-22	Batolito de Piedrancha	Granodiorita			20,7	$\pm$ 0,8			Mioceno (N1)		K-Ar	Biotita			
1660	RM-7086	Complejo Ultramáfico del Alto Condoto	Hornblendita			20,7	$\pm$ 0,3			Mioceno (N1)		K-Ar	Hornblenda			
1661	RM-7170	Complejo Ultramáfico del Alto Condoto	Diorita pegmatítica			20,7	$\pm$ 0,3			Mioceno (N1)		K-Ar	Roca total			
1662	RM-6920	Complejo Ultramáfico del Alto Condoto	Diorita hornbléndica			20,7	$\pm$ 0,3			Mioceno (N1)		K-Ar	Roca total			
1663	RM-7062	Complejo Ultramáfico del Alto Condoto	Clinopiroxenita hornbléndica			20,7	$\pm$ 0,4			Mioceno (N1)		K-Ar	Hornblenda			
1664	AD-2	Batolito de Anchicayá	Tonalita			20,8	$\pm$ 1,1			Mioceno (N1)		K-Ar	Hornblenda			
1665	24	Formación Mesa	Arenita			20,8	$\pm$ 1,7			Mioceno (N1)		Huellas de fisión LA-ICP-MS	Apatito			0
1666	DV63	Batolito Antioqueño	Aplita			20,9	$\pm$ 1,2			Mioceno (N1)		U-Th/He	Apatito			

Dispersión %	Número de gramos analizados	Número de aliquotas	Fuente georreferenciación	Coordenada X	Coordenada Y	Sistema de coordenadas	Latitud	Longitud	Referencia	ID referencia	Comentarios
	40		Se tomaron las coordenadas listadas en los anexos que se diferencian varios metros con respecto a las reportadas en el informe final	1125060	1163813	MAGNA_Colombia_Oeste	5° 43' 30,729" N	75° 35' 55,620" W	Agencia Nacional de Hidrocarburos & Universidad de Caldas (2011b)	4	Edad pooled
0,49	20			694243	1149874	MAGNA_Colombia_Oeste	1° 49' 50,195" N	78° 43' 50,194" W	Agencia Nacional de Hidrocarburos & Universidad de Caldas (2011a)	3	Edades central y pooled
			Se obtuvo las coordenadas del punto a partir de la georreferenciación figura de localización de muestras	890557	1020456	MAGNA_Colombia_Oeste	3° 36' 23,285" N	76° 53' 36,197" W	Botero (1981)	51	Muestra proveniente de la perforación N.º DH-2, profundidad 275–280 pies, efectuada durante el estudio de la central hidroeléctrica de Alto Anchicayá, casa de máquinas
			Localización tomada de Aspden <i>et al.</i> (1984) [17]	892466	1019914	MAGNA_Colombia_Oeste	3° 37' 25,407" N	76° 53' 53,756" W	Brook (1984)	53	Edad de intrusión
			Localización tomada de Aspden <i>et al.</i> (1984) [17]	892466	1019914	MAGNA_Colombia_Oeste	3° 37' 25,407" N	76° 53' 53,756" W	Brook (1984)	53	Edad de intrusión
			Localización tomada de Aspden <i>et al.</i> (1984) [17]	891900	1021649	MAGNA_Colombia_Oeste	3° 37' 06,974" N	76° 52' 57,512" W	Brook (1984)	53	Edad de intrusión
									Brook (1984)	53	Edad de intrusión
			Las coordenadas reportadas por el autor no coinciden con la Figura 3.1. Se obtuvo las coordenadas del punto a partir de la georreferenciación de esta figura	735655	1029697	MAGNA_Colombia_Oeste	2° 12' 20,199" N	76° 48' 37,948" W	Risnes (1995)	249	
	11			1166181	1160906	MAGNA_Colombia_Bogota	6° 05' 49,180" N	72° 37' 26,580" W	Mora <i>et al.</i> (2010)	195	Edad pooled
	40			1247161	1120122	MAGNA_Colombia_Bogota	6° 49' 48,000" N	72° 59' 27,000" W	van der Lelij (2013)	308	Edad pooled
	40		Se tomaron las coordenadas listadas en los anexos que se diferencian varios metros con respecto a las reportadas en el informe final	1044920	1048332	MAGNA_Colombia_Oeste	5° 00' 08,169" N	76° 38' 30,087" W	Agencia Nacional de Hidrocarburos & Universidad de Caldas (2011b)	4	Edad pooled, muestra de un núcleo de perforación del pozo Chocó-1 ST-P
			Localización tomada de Muñoz <i>et al.</i> (1990) [196]	1064957	1084960	MAGNA_Colombia_Oeste	5° 10' 59,336" N	76° 18' 40,354" W	Tistl <i>et al.</i> (1994)	286	También publicada en Muñoz <i>et al.</i> (1990) [196] y Salinas <i>et al.</i> (1992) [259]
	24			1718623	999739	MAGNA_Colombia_Bogota	11° 05' 38,115" N	74° 04' 47,619" W	Villagómez <i>et al.</i> (2011b)	327	Edad pooled, mejor edad ajustada 20 Ma
	36			1153877	1162247	MAGNA_Colombia_Bogota	5° 59' 08,680" N	72° 36' 44,070" W	Mora <i>et al.</i> (2010)	195	Edad pooled
	2			1114542	882984	MAGNA_Colombia_Este	5° 37' 51,740" N	72° 08' 01,250" W	Mora <i>et al.</i> (2010)	195	Edad pooled
				1715733	1003816	MAGNA_Colombia_Bogota	11° 04' 04,056" N	74° 02' 33,288" W	Cardona <i>et al.</i> (2011b)	70	
	12			1106196	1165234	MAGNA_Colombia_Bogota	5° 33' 16,740" N	72° 35' 11,040" W	Ramirez Arias <i>et al.</i> (2012)	227	Muestra del bloque colgante de la Falla de Pajarito
			Las coordenadas reportadas por el autor no coinciden con la Figura 3.1. Se obtuvo las coordenadas del punto a partir de la georreferenciación de esta figura	735655	1029697	MAGNA_Colombia_Oeste	2° 12' 20,199" N	76° 48' 37,948" W	Risnes (1995)	249	
	2			1197482	1018879	MAGNA_Colombia_Bogota	6° 22' 55,096" N	73° 54' 24,718" W	Sánchez <i>et al.</i> (2012)	261	Edad pooled
	1			816620	874639	MAGNA_Colombia_Oeste	2° 56' 14,179" N	78° 12' 18,156" W	Agencia Nacional de Hidrocarburos & Universidad de Caldas (2011a)	3	
			Localización tomada de Muñoz <i>et al.</i> (1990) [196]	1069908	1077785	MAGNA_Colombia_Oeste	5° 13' 40,742" N	76° 22' 33,136" W	Tistl <i>et al.</i> (1994)	286	También publicada en Muñoz <i>et al.</i> (1990) [196] y Salinas <i>et al.</i> (1992) [259]
				1152920	902427	MAGNA_Colombia_Bogota	5° 58' 42,000" N	74° 57' 31,500" W	Villagómez & Spikings (2013)	328	Edad media ponderada
	24			1726305	993826	MAGNA_Colombia_Bogota	11° 09' 48,133" N	74° 08' 02,509" W	Villagómez <i>et al.</i> (2011b)	327	Edad pooled
				1099785	1172204	MAGNA_Colombia_Bogota	5° 29' 47,520" N	72° 31' 25,200" W	Ramirez Arias <i>et al.</i> (2012)	227	Edad del inicio del último enfriamiento (edad del pico de enterramiento obtenida por modelamiento termal con el uso del software He-Ty). Edad de población, muestra del bloque colgante de la Falla de Pajarito
				1719469	999599	MAGNA_Colombia_Bogota	11° 06' 05,648" N	74° 04' 52,233" W	Cardona <i>et al.</i> (2011b)	70	
									Japan International Cooperation Agency & Metal Mining Agency of Japan (1983)	145	
			Localización tomada de Muñoz <i>et al.</i> (1990) [196]	1062917	1085775	MAGNA_Colombia_Oeste	5° 09' 52,898" N	76° 18' 13,973" W	Tistl <i>et al.</i> (1994)	286	También publicada en Muñoz <i>et al.</i> (1990) [196] y Salinas <i>et al.</i> (1992) [259]
			Localización tomada de Muñoz <i>et al.</i> (1990) [196]	1063602	1085455	MAGNA_Colombia_Oeste	5° 10' 15,209" N	76° 18' 24,336" W	Tistl <i>et al.</i> (1994)	286	También publicada en Muñoz <i>et al.</i> (1990) [196] y Salinas <i>et al.</i> (1992) [259]
			Localización tomada de Muñoz <i>et al.</i> (1990) [196]	1063383	1079720	MAGNA_Colombia_Oeste	5° 10' 08,268" N	76° 21' 30,547" W	Tistl <i>et al.</i> (1994)	286	También publicada en Muñoz <i>et al.</i> (1990) [196] y Salinas <i>et al.</i> (1992) [259]
			Localización tomada de Muñoz <i>et al.</i> (1990) [196]	1063837	1085340	MAGNA_Colombia_Oeste	5° 10' 22,863" N	76° 18' 28,060" W	Tistl <i>et al.</i> (1994)	286	También publicada en Muñoz <i>et al.</i> (1990) [196] y Salinas <i>et al.</i> (1992) [259]
									Göbel & Stibane (1981)	112	
	40			1198662	1015529	MAGNA_Colombia_Bogota	6° 23' 33,540" N	73° 56' 13,715" W	Sánchez <i>et al.</i> (2012)	261	Edad pooled
				1152920	902427	MAGNA_Colombia_Bogota	5° 58' 42,000" N	74° 57' 31,500" W	Villagómez (2010)	325	Edad media ponderada

ID Datación Radiométrica	Código de la muestra	Unidad geológica	Litología	Edad años BP	Error años	Edad Ma	Error Ma	Edad grano simple menor detrítico	Edad grano simple mayor detrítico	Edad estratigráfica	Edades heredadas	Método de datación	Material analizado	Relación inicial	MSWD	P(X2) %
1667	30	Formación La Paz (?)	Arenita			20,9	$\pm 1,6$			Mioceno (N1)		Huellas de fisión LA-ICP-MS	Apatito			0,07
1668	MP-29 P1-Dpar	Formación Las Juntas	Arenita			21,02	$\pm 3,9$			Mioceno (N1)		Huellas de fisión EDM	Apatito			
1669	55.01		Dacita			21,1	$\pm 1,1$			Mioceno (N1)		K-Ar	Anfibol			
1670	RM-7236	Complejo Ultramáfico del Alto Condoto	Diorita			21,2	$\pm 0,3$			Mioceno (N1)		K-Ar	Hornblenda			
1671	CH-ZS-MP-010	Formación Condoto				21,2	$+ 16,63/- 9,33$			Mioceno (N1)		Huellas de fisión LA-ICP-MS	Apatito			
1672	AM-05	Grupo Guadalupe, Miembro Tierna	Arenita			21,2	$\pm 2,7$			Mioceno (N1)		Huellas de fisión LA-ICP-MS	Apatito			0
1673	RM-7057	Complejo Ultramáfico del Alto Condoto	Hornblendita			21,3	$\pm 0,3$			Mioceno (N1)		K-Ar	Roca total			
1674	996-31	Formación Silgará				21,4	$\pm 4,2$			Mioceno (N1)		Huellas de fisión	Apatito			48
1675	PD-1088		Andesita basáltica			21,4	$\pm 1,5$			Mioceno (N1)		K-Ar	Roca total			
1676	EAM-18-72A	Batolito de Santa Marta				21,45	$\pm 0,68$			Mioceno (N1)		U-Th/He	Circón			
1677	54.01		Andesita			21,5	$\pm 0,4$			Mioceno (N1)		K-Ar	Anfibol			
1678	EAM-11-50A	Batolito de Santa Marta				21,56	$\pm 0,59$			Mioceno (N1)		U-Th/He	Circón			
1679	SN17	Esquistos de San Lorenzo	Esquisto anfibólico			21,6	$\pm 3,2$			Mioceno (N1)		Huellas de fisión	Apatito			6,6
1680	Patia 3-Ra-002					21,7	$\pm 3,2$			Mioceno (N1)		Ar-Ar				
1681	08FLR07		Granito biótico			21,8-30,9				Oligoceno (E3)-Mioceno (N1)		U-Th/He	Circón			
1682	08PB03	Formación Girón	Arenita					21,9 $\pm 1,7$	30,0 $\pm 2,4$	Oligoceno (E3)-Mioceno (N1)		U-Th/He	Circón			
1683	08TAU01	Formación Guayabo, Miembro Correta	Arenita					21,9 $\pm 1,8$	124,4 $\pm 10,0$	Mioceno (N1)-Aptiano (b5)		U-Th/He	Circón detrítico			
1684	WR-220	Stock El Vergel	Tonalita			21,9	$+ 0,4/- 0,6$			Mioceno (N1)		U-Pb LA-MC-ICP-MS	Circón			
1685	JRG-11-15A	Batolito de Santa Marta				21,96	$\pm 0,46$			Mioceno (N1)		U-Th/He	Circón			
1686	EAM-18-72B	Batolito de Santa Marta				21,97	$\pm 0,50$			Mioceno (N1)		U-Th/He	Circón			
1687	A-746	Complejo Migmatítico de Cocha Rio Téllez	Granodiorita gnéisica			22,17	$\pm 0,14$			Mioceno (N1)		Ar-Ar	Biotita			
1688	08FLR08		Granito biótico					22,1 $\pm 1,8$	28,1 $\pm 2,3$	Oligoceno (E3)-Mioceno (N1)		U-Th/He	Circón			
1689	Din 12-2 (población 1)	Grupo Honda				22,2	$\pm 1,1$			Mioceno (N1)		Huellas de fisión	Circón			92
1690	R1-3	Grupo Honda				22,2	$\pm 2,3$			Mioceno (N1)		Huellas de fisión	Circón			<1
1691	SN31	Batolito Central	Granodiorita			22,3	$\pm 3,1$			Mioceno (N1)		Huellas de fisión	Apatito			4,8
1692	08BU41		Arenita arcósica					22,3 $\pm 1,8$	27,1 $\pm 2,2$	Oligoceno (E3)-Mioceno (N1)		U-Th/He	Circón			
1693	A-746	Complejo Migmatítico de Cocha Rio Téllez	Granodiorita gnéisica			22,4	$\pm 0,4$			Mioceno (N1)		Ar-Ar	Biotita			
1694	SN18	Batolito de Santa Marta	Aplita			22,4	$\pm 2,4$			Mioceno (N1)		Huellas de fisión	Apatito			7,0
1695	Patia 3-Ra-002					22,5	$\pm 2,2$			Mioceno (N1)		Ar-Ar				
1696	EAM-19-59B	Batolito de Santa Marta				22,5	$\pm 0,42$			Mioceno (N1)		U-Th/He	Circón			
1697	24	Formación Mesa	Arenita			22,5	$\pm 6,1$			Mioceno (N1)		Huellas de fisión LA-ICP-MS	Apatito			0
1698	Tumaco1-190,08	Formación Cascajal				22,52	$\pm 2,05$			Mioceno (N1)		Ar-Ar			1,5	

Dispersión %	Número de granos analizados	Número de alicuotas	Fuente georreferenciación	Coordenada X	Coordenada Y	Sistema de coordenadas	Latitud	Longitud	Referencia	ID referencia	Comentarios
	40			1196798	1031830	MAGNA_Colombia_Bogota	6° 22' 32,639" N	73° 47' 23,312" W	Sánchez <i>et al.</i> (2012)	261	Edad pooled
				1099785	1172204	MAGNA_Colombia_Bogota	5° 29' 47,520" N	72° 31' 25,200" W	Ramirez Arias <i>et al.</i> (2012)	227	Edad del inicio del último enfriamiento (edad del pico de enterramiento obtenida por modelamiento termal con el uso del software HeTy). Edad de población, muestra del bloque colgante de la Falla de Pajarito
				666406	970981	MAGNA_Colombia_Oeste	1° 34' 45,691" N	77° 20' 17,846" W	Risnes (1995)	249	
		Localización tomada de Muñoz <i>et al.</i> (1990) [196]		1071473	1075930	MAGNA_Colombia_Oeste	5° 14' 31,754" N	76° 23' 33,314" W	Tistl <i>et al.</i> (1994)	286	También publicada en Muñoz <i>et al.</i> (1990) [196] y Salinas <i>et al.</i> (1992) [259]
17		Se tomaron las coordenadas listadas en los anexos que se diferencian varios metros con respecto a las reportadas en el informe final		1044920	1048332	MAGNA_Colombia_Oeste	5° 00' 08,169" N	76° 38' 30,087" W	Agencia Nacional de Hidrocarburos & Universidad de Caldas (2011b)	4	Edad pooled, muestra de un núcleo de perforación del pozo Chocó-1 ST-P Zanja Seca
25		Localización tomada de Ramirez Arias <i>et al.</i> (2012) [227]		1069133	1075621	MAGNA_Colombia_Bogota	5° 13' 15,600" N	73° 23' 43,440" W	Parra <i>et al.</i> (2009b)	219	También publicada en Ramirez Arias <i>et al.</i> (2012) [227]
		Localización tomada de Muñoz <i>et al.</i> (1990) [196]		1063837	1085340	MAGNA_Colombia_Oeste	5° 10' 22,863" N	76° 18' 28,060" W	Tistl <i>et al.</i> (1994)	286	También publicada en Muñoz <i>et al.</i> (1990) [196] y Salinas <i>et al.</i> (1992) [259]
6				1251234	1120291	MAGNA_Colombia_Bogota	6° 52' 00,552" N	72° 59' 21,192" W	Caballero <i>et al.</i> (2013)	59	
									Japan International Cooperation Agency & Metal Mining Agency of Japan (1983)	145	Roca alterada
				1713861	989845	MAGNA_Colombia_Bogota	11° 03' 03,112" N	74° 10' 13,613" W	Cardona <i>et al.</i> (2011b)	70	
				665906	969981	MAGNA_Colombia_Oeste	1° 34' 29,387" N	77° 20' 50,184" W	Risnes (1995)	249	
				1722400	997165	MAGNA_Colombia_Bogota	11° 07' 41,031" N	74° 06' 12,447" W	Cardona <i>et al.</i> (2011b)	70	
34				1715982	999981	MAGNA_Colombia_Bogota	11° 04' 12,165" N	74° 04' 39,643" W	Villagómez <i>et al.</i> (2011b)	327	Edad pooled
		Se tomaron las coordenadas listadas en los anexos que se diferencian varios metros con respecto a las reportadas en el informe final		728122	1006210	MAGNA_Colombia_Oeste	2° 08' 15,021" N	77° 01' 18,048" W	Agencia Nacional de Hidrocarburos & Universidad de Caldas (2011b)	4	Edad de meseta media ponderada, muestra de un núcleo de perforación del pozo Patía 3
4				1145372	1131849	MAGNA_Colombia_Bogota	5° 54' 34,236" N	72° 53' 12,804" W	Saylor <i>et al.</i> (2012a)	264	Muestra localizada en el bloque colgante de la Falla de Duga
4				1157802	1143715	MAGNA_Colombia_Bogota	6° 01' 17,940" N	72° 46' 46,164" W	Saylor <i>et al.</i> (2012a)	264	Muestra localizada en el bloque colgante de la Falla de Soápagua
4		Se obtuvo las coordenadas del punto de la Tabla DR1 (datos supplementarios)		1040959	1139075	MAGNA_Colombia_Bogota	4° 57' 55,440" N	72° 49' 24,960" W	Horton <i>et al.</i> (2010a)	140	Se presenta una población <150 Ma (n = 28) y una subpoblación menor de 1000–850 Ma. Las edades más jóvenes son consideradas como producto de la exhumación cretácica-cenozoica del cinturón orogénico de los Andes y/o posible contribución de fuentes igneas. También publicada en Bande <i>et al.</i> (2012) [22]
				673624	941003	MAGNA_Colombia_Oeste	1° 38' 40,500" N	77° 36' 27,700" W	Leal Mejía (2011)	160	Interpretada como la edad de cristalización magmática
				1723671	995182	MAGNA_Colombia_Bogota	11° 08' 22,419" N	74° 07' 17,803" W	Cardona <i>et al.</i> (2011b)	70	
				1713861	989845	MAGNA_Colombia_Bogota	11° 03' 03,112" N	74° 10' 13,613" W	Cardona <i>et al.</i> (2011b)	70	
		Se obtuvo las coordenadas del punto a partir de la georreferenciación del Anexo I		581476	971675	MAGNA_Colombia_Oeste	0° 48' 40,639" N	77° 19' 55,134" W	Jiménez (2003)	151	Edad integrada
4				1144742	1131715	MAGNA_Colombia_Bogota	5° 54' 13,752" N	72° 53' 17,196" W	Saylor <i>et al.</i> (2012a)	264	Muestra localizada en el bloque colgante de la Falla de Duga
<1	4	Se obtuvo la localización del pozo Dina-12 del sitio web del EPIS		833172	862320	MAGNA_Colombia_Bogota	3° 05' 12,504" N	75° 18' 57,601" W	Schwabe (2001)	267	Edad central de población 1, muestra del pozo Dina-12 a 2782 pies de profundidad
55,5	8	Se obtuvo la localización del pozo Rosita-1 del sitio web del EPIS		937730	894847	MAGNA_Colombia_Bogota	4° 01' 57,092" N	75° 01' 27,848" W	Schwabe (2001)	267	Edad central, muestra del pozo Rosita-1 a 3240–3690 pies de profundidad
33				1726184	1069332	MAGNA_Colombia_Bogota	11° 09' 41,777" N	73° 26' 33,973" W	Villagómez <i>et al.</i> (2011b)	327	Edad pooled
4				1162962	1113826	MAGNA_Colombia_Bogota	6° 04' 07,932" N	73° 02' 57,552" W	Saylor <i>et al.</i> (2012a)	264	
		Se obtuvo las coordenadas del punto a partir de la georreferenciación del Anexo I		581476	971675	MAGNA_Colombia_Oeste	0° 48' 40,639" N	77° 19' 55,134" W	Jiménez (2003)	151	Edad ideograma (edad media ponderada de dos o tres granos, tomando solo las etapas que forman meseta), interpretada como enfriamiento de un evento térmico regional
24				1728422	983233	MAGNA_Colombia_Bogota	11° 10' 56,901" N	74° 13' 51,675" W	Villagómez <i>et al.</i> (2011b)	327	Edad pooled, mejor edad ajustada de 22,6 Ma, altas tasas de enfriamiento 8–9 °C/Ma durante 25–18 Ma
		Se tomaron las coordenadas listadas en los anexos que se diferencian varios metros con respecto a las reportadas en el informe final		728122	1006210	MAGNA_Colombia_Oeste	2° 08' 15,021" N	77° 01' 18,048" W	Agencia Nacional de Hidrocarburos & Universidad de Caldas (2011b)	4	Edad de fusión total, muestra de un núcleo de perforación del pozo Patía 3
				1717333	1003525	MAGNA_Colombia_Bogota	11° 04' 56,129" N	74° 02' 42,871" W	Cardona <i>et al.</i> (2011b)	70	
	40			1198662	1015529	MAGNA_Colombia_Bogota	6° 23' 33,540" N	73° 56' 13,715" W	Sánchez <i>et al.</i> (2012)	261	Edad de población
		Se tomaron las coordenadas listadas en los anexos que se diferencian varios metros con respecto a las reportadas en el informe final		662801	1154994	MAGNA_Colombia_Oeste_Oeste	1° 32' 46,721" N	78° 41' 05,305" W	Agencia Nacional de Hidrocarburos & Universidad de Caldas (2011b)	4	Edad de isócrona inversa, muestra de un núcleo de perforación del pozo Tumaco-1

ID Datación Radiométrica	Código de la muestra	Unidad geológica	Litología	Edad años BP	Error años	Edad Ma	Error Ma	Edad grano simple menor detrítico	Edad grano simple mayor detrítico	Edad estratigráfica	Edades heredadas	Método de datación	Material analizado	Relación inicial	MSWD	P(X2) %
1699	A-746	Complejo Migmatítico de Cocha Río Téllez	Granodiorita gnéisica			22,6	$\pm 0,3$			Mioceno (N1)		Ar–Ar	Biotita			
1700	A-746	Complejo Migmatítico de Cocha Río Téllez	Granodiorita gnéisica			22,6	$\pm 0,2$			Mioceno (N1)		Ar–Ar	Biotita			
1701	59.01	Complejo Migmatítico de Cocha Río Téllez	Andesita			22,6	$\pm 0,6$			Mioceno (N1)		K–Ar	Anfibol			
1702	A-746	Complejo Migmatítico de Cocha Río Téllez	Granodiorita gnéisica			22,8	$\pm 0,18$			Mioceno (N1)		Ar–Ar	Biotita			
1703	A-746	Complejo Migmatítico de Cocha Río Téllez	Granodiorita gnéisica			22,8	$\pm 0,18$			Mioceno (N1)		Ar–Ar	Biotita			
1704	SR-CC1	Batolito Antioqueño				22,8	$\pm 1,1$			Mioceno (N1)		U–Th/He	Apatito			
1705	MP-72	Formación Guayabo	Arenita			22,8	$\pm 3,4$			Mioceno (N1)		Huellas de fisión EDM	Apatito			
1706	RG-MP-013	Formación 1 Sur	Arenita			22,86	$\pm 16,27$			Mioceno (N1)		U–Th/He	Apatito			
1707	IGM-119256	Batolito de Piedrancha	Granodiorita			23	$\pm 3$			Mioceno (N1)		K–Ar	Biotita			
1708	AM-09 P1	Formación Une	Arenita			23	$\pm 4,6$			Mioceno (N1)		Huellas de fisión LA–ICP–MS	Apatito			
1709	T3-004	Formación Une	Arenita			23,01	$\pm 4,45$			Mioceno (N1)		Huellas de fisión LA–ICP–MS	Apatito			
1710	WR-230	Stock de Cumbitara	Tonalita			23,1	$\pm 0,4$			Oligoceno (E3)		U–Pb LA–MC–ICP–MS	Circón			
1711	130808-4	Formación Girón	Clasto de arenita en conglomerado					23,1 $\pm 1,8$	28,5 $\pm 2,3$	Oligoceno (E3)		U–Th/He	Circón			
1712	EAM-11-42A	Batolito de Santa Marta				23,18	$\pm 0,55$			Oligoceno (E3)		U–Th/He	Circón			
1713	FT-583	Formación Concentración	Arenita			23,2	$\pm 3,2$			Oligoceno (E3)		Huellas de fisión EDM	Apatito			97,1
1714	481 Esc 01	Migmatitas de El Escobero				23,3	$\pm 2,1$			Oligoceno (E3)		Huellas de fisión	Apatito			5
1715	BU142	Stock de La Corcova	Granito			23,3	$\pm 3,8$			Oligoceno (E3)		Huellas de fisión	Apatito			56,28
1716	SN26	Batolito de Aracataca	Diorita			23,3	$\pm 4,4$			Oligoceno (E3)		Huellas de fisión	Apatito			7,7
1717	JRG-11-15B	Batolito de Santa Marta				23,38	$\pm 0,49$			Oligoceno (E3)		U–Th/He	Circón			
1718	WR-229	Batolito de Piedrancha	Tonalita			23,4	$\pm 0,5$			Oligoceno (E3)		U–Pb LA–MC–ICP–MS	Circón			
1719	FT-571	Formación Picacho	Arenita			23,4	$\pm 10,8$			Oligoceno (E3)		Huellas de fisión EDM	Apatito			26,7
1720	996-3	Formación Jordán	Arenita			23,4	$\pm 4$			Oligoceno (E3)		Huellas de fisión	Apatito			26
1721	08BU39		Cuarzoarenita					23,4 $\pm 1,9$	52,4 $\pm 4,2$	Eoceno (E2)–Oligoceno (E3)		U–Th/He	Circón			
1722	RW-2	Formación Chipaque	Arenita			23,64	$\pm 4,02$			Oligoceno (E3)		Huellas de fisión LA–ICP–MS	Apatito			
1723	T04G2-036	Formación Cascajal	Arenita			23,72	$\pm 5,94$			Oligoceno (E3)		Huellas de fisión EDM	Apatito			
1724	MP-07	Formación León	Arenita			23,8	$\pm 6$			Oligoceno (E3)		Huellas de fisión EDM	Apatito			
1725	MB-3	Stock de Piedrancha				23,88	$+ 0,26$ – $-0,24$			Oligoceno (E3)		U–Pb LA–MC–ICP–MS	Circón			
1726	SR-CC2	Batolito Antioqueño				23,9	$\pm 1,2$			Oligoceno (E3)		U–Th/He	Apatito			
1727	RW3b	Grupo Guadalupe	Arenita			23,9	$\pm 3,86$			Oligoceno (E3)		Huellas de fisión LA–ICP–MS	Apatito			
1728	Mo 472	Stock de Pence	Tonalita de hornblenda y biotita			24	$\pm 2$			Oligoceno (E3)		Rb–Sr	Mineral y roca total			

Dispersión %	Número de gramos analizados	Número de aliquotas	Fuente georreferenciación	Coordenada X	Coordenada Y	Sistema de coordenadas	Latitud	Longitud	Referencia	ID referencia	Comentarios
			Se obtuvo las coordenadas del punto a partir de la georreferenciación del Anexo 1	581476	971675	MAGNA_Colombia_Oeste	0° 48' 40,639" N	77° 19' 55,134" W	Jiménez (2003)	151	Edad de meseta
			Se obtuvo las coordenadas del punto a partir de la georreferenciación del Anexo 1	581476	971675	MAGNA_Colombia_Oeste	0° 48' 40,639" N	77° 19' 55,134" W	Jiménez (2003)	151	Edad de seudomeseta
				796508	1082579	MAGNA_Colombia_Oeste	2° 45' 20,617" N	76° 20' 05,492" W	Risnes (1995)	249	
			Se obtuvo las coordenadas del punto a partir de la georreferenciación del Anexo 1	581476	971675	MAGNA_Colombia_Oeste	0° 48' 40,639" N	77° 19' 55,134" W	Jiménez (2003)	151	Edad de meseta
			Se obtuvo las coordenadas del punto a partir de la georreferenciación del Anexo 1	581476	971675	MAGNA_Colombia_Oeste	0° 48' 40,639" N	77° 19' 55,134" W	Jiménez (2003)	151	Edad integrada
2	3			1250483	878137	MAGNA_Colombia_Bogota	6° 51' 36,000" N	75° 10' 48,000" W	Restrepo Moreno <i>et al.</i> (2009)	245	Edad de enfriamiento, los autores interpretan un pulso de rápida exhumación hace ~25 Ma, un período de quiescencia tectónica durante ~17 Ma y un evento de exhumación, menos significativo, a los ~41 Ma. Estos dos pulsos de exhumación coinciden con las fases orogénicas Protoandina y Preandina, respectivamente
23				1118579	872508	MAGNA_Colombia_Este	5° 40' 02,510" N	72° 13' 41,880" W	Mora <i>et al.</i> (2010)	195	Edad pooled
1	1			739533	839861	MAGNA_Colombia_Oeste	2° 14' 23,962" N	78° 31' 01,200" W	Agencia Nacional de Hidrocarburos & Universidad de Caldas (2011a)	3	Muestra de ripios recuperados del pozo Remolinogrande-1
			Las coordenadas (1° 05' N, 77° 48' W) reportadas por los autores no coinciden con la localización de la datación en la figura. Se obtuvo las coordenadas del punto a partir de la georreferenciación de la figura y de la descripción del sitio de muestreo	618128	912654	MAGNA_Colombia_Oeste	1° 08' 33,563" N	77° 51' 44,203" W	Álvarez & Linares (1981b)	9	Edad asociada a un evento tectónico o termal
6				1136397	1134832	MAGNA_Colombia_Bogota	5° 49' 41,940" N	72° 51' 36,480" W	Ramirez Arias <i>et al.</i> (2012)	227	Edad de población, muestra del bloque colgante de la Falla de Soápaga
				1064516	1077954	MAGNA_Colombia_Bogota	5° 10' 45,240" N	73° 22' 27,840" W	Ramirez Arias <i>et al.</i> (2012)	227	Edad del inicio del último enfriamiento (edad del pico de enterramiento obtenida por modelamiento termal con el uso del software HeFTy), muestra del bloque yacente de la Falla de Soápaga
				656807	941759	MAGNA_Colombia_Oeste	1° 29' 33,000" N	77° 36' 03,100" W	Leal Mejía (2011)	160	Interpretada como la edad de cristalización magmática
4				1151117	1141477	MAGNA_Colombia_Bogota	5° 57' 40,536" N	72° 47' 59,424" W	Saylor <i>et al.</i> (2012a)	264	Muestra localizada en el bloque colgante de la Falla de Soápaga
				1726305	993826	MAGNA_Colombia_Bogota	11° 09' 48,133" N	74° 08' 02,509" W	Cardona <i>et al.</i> (2011b)	70	
13				1156211	1156265	MAGNA_Colombia_Bogota	6° 00' 25,150" N	72° 39' 58,320" W	Mora <i>et al.</i> (2010)	195	Edad pooled
11				1171407	835853	MAGNA_Colombia_Bogota	6° 08' 38,970" N	75° 33' 37,325" W	Montes (2007)	193	
20			Las coordenadas reportadas por los autores no coinciden con la localización de la datación en la Figura 5. Se obtuvo las coordenadas del punto a partir de la georreferenciación de esta figura	1286774	1115548	MAGNA_Colombia_Bogota	7° 11' 17,609" N	73° 01' 53,074" W	Villagómez <i>et al.</i> (2011b)	327	Edad pooled
22				1648748	1012022	MAGNA_Colombia_Bogota	10° 27' 43,912" N	73° 58' 03,732" W	Villagómez <i>et al.</i> (2011b)	327	Edad pooled
				1723671	995182	MAGNA_Colombia_Bogota	11° 08' 22,419" N	74° 07' 17,803" W	Cardona <i>et al.</i> (2011b)	70	
				620007	910457	MAGNA_Colombia_Oeste	1° 09' 34,700" N	77° 52' 55,300" W	Leal Mejía (2011)	160	Interpretada como la edad de cristalización magmática
3				1155472	1155178	MAGNA_Colombia_Bogota	6° 00' 01,160" N	72° 40' 33,710" W	Mora <i>et al.</i> (2010)	195	Edad pooled
22				1299460	1115814	MAGNA_Colombia_Bogota	7° 18' 10,476" N	73° 01' 43,464" W	Caballero <i>et al.</i> (2013)	59	
4				1166899	1111246	MAGNA_Colombia_Bogota	6° 06' 16,236" N	73° 04' 21,216" W	Saylor <i>et al.</i> (2012a)	264	Muestra localizada en el bloque colgante de una falla no mapeada
				1109305	1139931	MAGNA_Colombia_Bogota	5° 34' 59,820" N	72° 48' 52,680" W	Ramirez Arias <i>et al.</i> (2012)	227	Edad del inicio del último enfriamiento (edad del pico de enterramiento obtenida por modelamiento termal con el uso del software HeFTy), muestra del Sinclinal de Aquitania
1,29	18			702664	1164483	MAGNA_Colombia_Oeste_Oeste	1° 54' 23,908" N	78° 35' 57,409" W	Agencia Nacional de Hidrocarburos & Universidad de Caldas (2011a)	3	Edades central y pooled
13				1085303	851952	MAGNA_Colombia_Este	5° 21' 58,100" N	72° 24' 47,320" W	Mora <i>et al.</i> (2010)	195	Edad pooled
102				617407	913054	MAGNA_Colombia_Oeste	1° 08' 10,085" N	77° 51' 31,272" W	Agencia Nacional de Hidrocarburos & Universidad de Caldas (2011a)	3	
2	3			1243837	882544	MAGNA_Colombia_Bogota	6° 48' 00,000" N	75° 08' 24,000" W	Restrepo Moreno <i>et al.</i> (2009)	245	Edad de enfriamiento, los autores interpretan un pulso de rápida exhumación hace ~25 Ma, un período de quiescencia tectónica durante ~17 Ma y un evento de exhumación, menos significativo hace ~41 Ma. Estos dos pulsos de exhumación coinciden con las fases orogénicas Protoandina y Preandina respectivamente
			Localización tomada de Mora <i>et al.</i> (2010) [195]	1109946	1137318	MAGNA_Colombia_Bogota	5° 35' 20,870" N	72° 50' 17,540" W	Ramirez Arias <i>et al.</i> (2012)	227	Edad del inicio del último enfriamiento (edad del pico de enterramiento obtenida por modelamiento termal con el uso del software HeFTy), muestra del Sinclinal de Aquitania
			Localización tomada de Verdugo & Aspden (1984) [323]	858584	1049836	MAGNA_Colombia_Oeste	3° 19' 02,047" N	76° 37' 44,688" W	Brook (1984)	53	Edad de intrusión

ID Datación Radiométrica	Código de la muestra	Unidad geológica	Litología	Edad años BP	Error años	Edad Ma	Error Ma	Edad grano simple menor detrítico	Edad grano simple mayor detrítico	Edad estratigráfica	Edades heredadas	Método de datación	Material analizado	Relación inicial	MSWD	P(X2) %
1729	Villeta	Grupo Villeta	Arenita			24	$\pm 1,4$			Oligoceno (E3)		Huellas de fisión LA-ICP-MS	Circón			8,7
1730	CH-ZS-MP-01 6	Formación Condoto				24,07	$+ 15,19/- 9,32$			Oligoceno (E3)		Huellas de fisión LA-ICP-MS	Apatito			
1731	EAM-11-43A	Batolito de Santa Marta				24,14	$\pm 0,56$			Oligoceno (E3)		U-Th/He	Circón			
1732	SR-CC3	Batolito Antioqueño				24,2	$\pm 1,2$			Oligoceno (E3)		U-Th/He	Apatito			
1733	SN25	Batolito de Aracataca	Granito			24,2	$\pm 2,8$			Oligoceno (E3)		Huellas de fisión	Apatito			6,6
1734	T2-012	Grupo Guadalupe	Arenita			24,2	$\pm 1,8$			Oligoceno (E3)		Huellas de fisión LA-ICP-MS	Apatito			0
1735	30	Formación La Paz (?)	Arenita					24,2 $\pm 1,9$	84 $\pm 6,7$	Santoniano (k4)-Oligoceno (E3)		U-Th/He	Circón			
1736	IN-SHC-71	Formación Guayabo	Arenita			24,3	$\pm 6,1$			Oligoceno (E3)		Huellas de fisión EDM	Apatito			
1737	AM-10 P1	Formación Girón	Arenita			24,3	$\pm 3,2$			Oligoceno (E3)		Huellas de fisión LA-ICP-MS	Apatito			
1738	SN4	Batolito de Santa Marta	Cuarzodiorita			24,4	$\pm 3,4$			Oligoceno (E3)		Huellas de fisión	Apatito			5,1
1739	T2-018	Grupo Guadalupe	Arenita			24,4	$\pm 3,1$			Oligoceno (E3)		Huellas de fisión LA-ICP-MS	Apatito			0
1740	MB-3	Stock de Piedrancha				24,46	$\pm 2,93$			Oligoceno (E3)		Huellas de fisión EDM	Apatito			100
1741	MP-41-41a P1-Cl	Formación Une	Arenita			24,5	$\pm 4,02$			Oligoceno (E3)		Huellas de fisión EDM	Apatito			
1742	130808-08		Granitoide					24,5 $\pm 2,0$	59,8 $\pm 4,8$	Paleoceno (E1)-Oligoceno (E3)		U-Th/He	Circón			
1743	EAM-19-59B	Batolito de Santa Marta				24,57	$\pm 3,51$			Oligoceno (E3)		U-Th/He	Apatito			
1744	P24-86_85,7-M L-001	Formación La Florida				24,58	$+ 18,46/- 10,55$			Oligoceno (E3)		Huellas de fisión LA-ICP-MS	Apatito			
1745	A-746	Complejo Migmatítico de Cocha Rio Téllez	Granodiorita gnéisica			24,6	$\pm 0,4$			Oligoceno (E3)		Ar-Ar	Biotita			
1746	Din 12-3R (población 2)	Grupo Honda				24,6	$\pm 1,5$			Oligoceno (E3)		Huellas de fisión	Circón			43
1747	M1-MP-005	Formación Chagüí	Arenita			24,72	$\pm 6,18$			Oligoceno (E3)		Huellas de fisión EDM	Apatito			96,88
1748	EAM-19-60A	Batolito de Santa Marta				24,73	$\pm 0,67$			Oligoceno (E3)		U-Th/He	Circón			
1749	Patía 29-Ra-001					24,8	$\pm 0,7$			Oligoceno (E3)		Ar-Ar				
1750	SN8	Batolito de Santa Marta (?)	Cuarzodiorita			24,9	$\pm 4,0$			Oligoceno (E3)		Huellas de fisión	Apatito			5,9
1751	MA-16	Grupo Farallones	Arenita			24,9	$\pm 1,4$			Oligoceno (E3)		Huellas de fisión LA-ICP-MS	Circón			9,5
1752	130808-09		Granitoide					24,9 $\pm 2,0$	52,8 $\pm 4,2$	Eoceno (E2)-Oligoceno (E3)		U-Th/He	Circón			
1753	IGM-119249	Stock de Arboleadas	Tonalita			25	$\pm 10$			Oligoceno (E3)		K-Ar	Hornblendita			
1754	RS-SS8	Formación La Paz				25,1	$\pm 8,9$			Oligoceno (E3)		Huellas de fisión EDM	Apatito			5
1755	SR-41	Batolito Antioqueño				25,1	$\pm 1,3$			Oligoceno (E3)		U-Th/He	Apatito			
1756	08FLR06		Gneis biotítico					25,1 $\pm 2,0$	36,7 $\pm 2,9$	Eoceno (E2)-Oligoceno (E3)		U-Th/He	Circón			
1757	MP-41-41a P1-Dpar	Formación Une	Arenita			25,16	$\pm 4,06$			Oligoceno (E3)		Huellas de fisión EDM	Apatito			
1758	Din 12-3R (población 2)	Grupo Honda				25,4	$\pm 0,9$			Oligoceno (E3)		Huellas de fisión	Circón			43-38
1759	MP-72 P2	Formación Guayabo	Arenita			25,4	$\pm 4,5$			Oligoceno (E3)		Huellas de fisión EDM	Apatito			

Dispersión %	Número de gramos analizados	Número de alicuotas	Fuente georreferenciación	Coordenada X	Coordenada Y	Sistema de coordenadas	Latitud	Longitud	Referencia	ID referencia	Comentarios
11	26			1057741	962904	MAGNA_Colombia_Bogota	5° 07' 05,760" N	74° 24' 43,440" W	Parra <i>et al.</i> (2009b)	219	Edad concordante reseteada, exhumación activa aproximadamente a 25 Ma
	10		Se tomaron las coordenadas listadas en los anexos que se diferencian varios metros con respecto a las reportadas en el informe final	1044920	1048332	MAGNA_Colombia_Oeste	5° 00' 08,169" N	76° 38' 30,087" W	Agencia Nacional de Hidrocarburos & Universidad de Caldas (2011b)	4	Edad pooled, muestra de un núcleo de perforación del pozo Chocó-1 ST-P Zanja Seca
				1728143	992386	MAGNA_Colombia_Bogota	11° 10' 47,939" N	74° 08' 49,984" W	Cardona <i>et al.</i> (2011b)	70	
	2	3		1239408	884746	MAGNA_Colombia_Bogota	6° 45' 36,000" N	75° 07' 12,000" W	Restrepo Moreno <i>et al.</i> (2009)	245	Edad de enfriamiento, los autores interpretan un pulso de rápida exhumación hace ~25 Ma, un periodo de quiescencia tectónica durante ~17 Ma y un evento de exhumación, menos significativo hace ~41 Ma. Estos dos pulsos de exhumación coinciden con las fases orogénicas Protoandina y Preadina respectivamente
	49			1646861	1009719	MAGNA_Colombia_Bogota	10° 26' 42,520" N	73° 59' 19,476" W	Villagómez <i>et al.</i> (2011b)	327	Edad pooled
	20			1046135	1051842	MAGNA_Colombia_Bogota	5° 00' 47,640" N	73° 36' 36,120" W	Parra <i>et al.</i> (2009b)	219	
	4			1196798	1031830	MAGNA_Colombia_Bogota	6° 22' 32,639" N	73° 47' 23,312" W	Sánchez <i>et al.</i> (2012)	261	
	6			1167979	891029	MAGNA_Colombia_Este	6° 06' 51,550" N	72° 03' 42,940" W	Mora <i>et al.</i> (2010)	195	Edad pooled
	22			1136854	1133994	MAGNA_Colombia_Bogota	5° 49' 56,880" N	72° 52' 03,660" W	Ramirez Arias <i>et al.</i> (2012)	227	Edad de población, muestra del bloque colgante de la Falla de Soápagua
	40			1722400	997165	MAGNA_Colombia_Bogota	11° 07' 41,031" N	74° 06' 12,447" W	Villagómez <i>et al.</i> (2011b)	327	Edad pooled, mejor edad ajustada de 24,3 Ma. Dos potenciales períodos de enfriamiento durante 30–25 Ma y 20–15 Ma
	8			1056593	1040201	MAGNA_Colombia_Bogota	5° 06' 28,320" N	73° 42' 53,820" W	Parra <i>et al.</i> (2009b)	219	
0	20			617407	913054	MAGNA_Colombia_Oeste	1° 08' 10,085" N	77° 51' 31,272" W	Agencia Nacional de Hidrocarburos & Universidad de Caldas (2011a)	3	Edades central y pooled
				1098242	1175592	MAGNA_Colombia_Bogota	5° 28' 57,000" N	72° 29' 35,280" W	Ramirez Arias <i>et al.</i> (2012)	227	Edad del inicio del último enfriamiento (edad del pico de enterramiento obtenida por modelamiento termal con el uso del software HeFTy). Edad de población, muestra del bloque colgante de la Falla de Los Yopos
	4			1153384	1140043	MAGNA_Colombia_Bogota	5° 58' 54,408" N	72° 48' 45,864" W	Saylor <i>et al.</i> (2012a)	264	Muestra localizada en el bloque colgante de la Falla de Duga
				1717333	1003525	MAGNA_Colombia_Bogota	11° 04' 56,129" N	74° 02' 42,871" W	Cardona <i>et al.</i> (2011b)	70	
	7		Se tomaron las coordenadas listadas en los anexos que se diferencian varios metros con respecto a las reportadas en el informe final	1386955	912064	MAGNA_Colombia_Bogota	8° 05' 40,142" N	74° 52' 31,158" W	Agencia Nacional de Hidrocarburos & Universidad de Caldas (2011b)	4	Edad pooled, muestra de un núcleo de perforación del pozo P24 a 86 m desde la base del pozo
			Se obtuvo las coordenadas del punto a partir de la georreferenciación del Anexo 1	581476	971675	MAGNA_Colombia_Oeste	0° 48' 40,639" N	77° 19' 55,134" W	Jiménez (2003)	151	Edad integrada
<1	2		Se obtuvo la localización del pozo Dina-12 del sitio web del EPIS	833172	862320	MAGNA_Colombia_Bogota	3° 05' 12,504" N	75° 18' 57,601" W	Schwabe (2001)	267	Edad central de población 2, muestra del pozo Dina-12 a 3440 pies de profundidad
0	7			688492	847272	MAGNA_Colombia_Oeste	1° 46' 42,940" N	78° 27' 00,036" W	Agencia Nacional de Hidrocarburos & Universidad de Caldas (2011a)	3	Las edades central y pooled, muestra de ripios recuperados del pozo Majagua-1
				1715733	1003816	MAGNA_Colombia_Bogota	11° 04' 04,056" N	74° 02' 33,288" W	Cardona <i>et al.</i> (2011b)	70	
			Las coordenadas del Anexo 11 no corresponden con las unidades geológicas. Se obtuvo las coordenadas del punto a partir de la georreferenciación de la Figura 5	710939	991787	MAGNA_Colombia_Oeste	1° 58' 55,591" N	77° 09' 04,783" W	Agencia Nacional de Hidrocarburos & Universidad de Caldas (2011b)	4	Edad de fusión total, muestra de un núcleo de perforación del pozo Patía 29
	30			1715733	1003816	MAGNA_Colombia_Bogota	11° 04' 04,056" N	74° 02' 33,288" W	Villagómez <i>et al.</i> (2011b)	327	Edad pooled
10	35			1030687	1089877	MAGNA_Colombia_Bogota	4° 52' 23,580" N	73° 16' 02,100" W	Parra <i>et al.</i> (2009b)	219	
	3			1153012	1140113	MAGNA_Colombia_Bogota	5° 58' 42,312" N	72° 48' 43,632" W	Saylor <i>et al.</i> (2012a)	264	Muestra localizada en el bloque colgante de la Falla de Duga
			Las coordenadas (1° 33' 15" N, 77° 12' 09" W) reportadas por los autores no coinciden con la localización de la datación en la figura. Se obtuvo las coordenadas del punto a partir de la georreferenciación de esta figura y de la descripción del sitio de muestreo	654553	995500	MAGNA_Colombia_Oeste	1° 28' 19,850" N	77° 07' 04,615" W	Álvarez & Linares (1981b)	9	Edad con alto error experimental, debido a que la muestra posee argón atmosférico
	4								Gómez <i>et al.</i> (2005)	116	
	2	3		1200770	852576	MAGNA_Colombia_Bogota	6° 24' 36,000" N	75° 24' 36,000" W	Restrepo Moreno <i>et al.</i> (2009)	245	Edad de enfriamiento, los autores interpretan un pulso de rápida exhumación hace ~25 Ma, un periodo de quiescencia tectónica durante ~17 Ma y un evento de exhumación, menos significativo hace ~41 Ma. Estos dos pulsos de exhumación coinciden con las fases orogénicas Protoandina y Preadina respectivamente
	4			1145380	1133572	MAGNA_Colombia_Bogota	5° 54' 34,380" N	72° 52' 16,788" W	Saylor <i>et al.</i> (2012a)	264	Muestra localizada en el bloque colgante de la Falla de Duga
				1098242	1175592	MAGNA_Colombia_Bogota	5° 28' 57,000" N	72° 29' 35,280" W	Ramirez Arias <i>et al.</i> (2012)	227	Edad del inicio del último enfriamiento (edad del pico de enterramiento obtenida por modelamiento termal con el uso del software HeFTy). Edad de población, muestra del bloque colgante de la Falla de Los Yopos
<1	2–5		Se obtuvo la localización del pozo Dina-12 del sitio web del EPIS	833172	862320	MAGNA_Colombia_Bogota	3° 05' 12,504" N	75° 18' 57,601" W	Schwabe (2001)	267	Edad central ponderada de población 2, muestra del pozo Dina-12 a 3440 pies de profundidad
	15			1118579	872508	MAGNA_Colombia_Este	5° 40' 02,510" N	72° 13' 41,880" W	Mora <i>et al.</i> (2010)	195	Edad pooled de la población 2

ID Datación Radiométrica	Código de la muestra	Unidad geológica	Litología	Edad años BP	Error años	Edad Ma	Error Ma	Edad grano simple menor detrítico	Edad grano simple mayor detrítico	Edad estratigráfica	Edades heredadas	Método de datación	Material analizado	Relación inicial	MSWD	P(X2) %
1760	26	Formación Colorado	Arenita			25,4	$\pm 2,9$			Oligoceno (E3)		Huellas de fisión LA-ICP-MS	Apatito			0,57
1761	26	Formación Colorado	Arenita			25,5	$\pm 2,6$			Oligoceno (E3)		Huellas de fisión LA-ICP-MS	Apatito			0,57
1762	DV78	Formación Dabeiba	Andesita			25,6	$\pm 2,6$			Oligoceno (E3)		Ar-Ar	Plagioclasa			
1763	SN30		Gneis			25,6	$\pm 4,4$			Oligoceno (E3)		Huellas de fisión	Apatito			18,7
1764	130808-3	Formación Girón	Clasto de arena en conglomerado					25,6 $\pm 2,1$	32,4 $\pm 2,6$	Oligoceno (E3)		U-Th/He	Circón			
1765	AM-09	Formación Une	Arenita			25,7	$\pm 2,1$			Oligoceno (E3)		Huellas de fisión LA-ICP-MS	Apatito			5,6
1766	DV121	Batolito de Piedrancha	Granodiorita			25,8	$\pm 4,8$			Oligoceno (E3)		Huellas de fisión LA-ICP-MS	Circón			24,7
1767	MB-4	Formación Espinal				25,9	$\pm 1,1$			Oligoceno (E3)		Ar-Ar	Roca total			0,58
1768	Din 12-3R (población 2)	Grupo Honda				25,9	$\pm 1,1$			Oligoceno (E3)		Huellas de fisión	Circón			38
1769	MP-82	Formación Carbonera	Arenita			25,9	$\pm 2,3$			Oligoceno (E3)		Huellas de fisión EDM	Apatito			
1770	AM-09	Formación Une	Arenita			25,9	$\pm 2,2$			Oligoceno (E3)		Huellas de fisión LA-ICP-MS	Apatito			5,6
1771	MB-4	Formación Espinal				26,1	$\pm 0,6$			Oligoceno (E3)		Ar-Ar	Roca total			
1772	MM-005	Formación Las Juntas	Arenita			26,14	$\pm 3,81$			Oligoceno (E3)		Huellas de fisión EDM	Apatito			
1773	EAM-19-59A	Batolito de Santa Marta				26,19	$\pm 0,49$			Oligoceno (E3)		U-Th/He	Circón			
1774	RS-SS14	Formación La Paz				26,2	$\pm 4,2$			Oligoceno (E3)		Huellas de fisión EDM	Apatito			97
1775	0-15	Diorita de Canellera	Cuarzodiorita			26,2	$\pm 1,5$			Oligoceno (E3)		K-Ar	Hornblenda			
1776	MB-4	Formación Espinal				26,3	$\pm 0,5$			Oligoceno (E3)		Ar-Ar	Roca total			
1777	AEB 640		Dacita			26,3	$\pm 1,8$			Oligoceno (E3)		K-Ar	Biotita			
1778	D937	Formación Bogotá	Arenita			26,4	$\pm 1,6$			Oligoceno (E3)		U-Th/He	Apatito			
1779	FT2-04	Formación Une	Arenita			26,43	$\pm 2,57$			Oligoceno (E3)		Huellas de fisión EDM	Apatito			
1780	528 Esc 05	Migmatitas de El Escobero				26,5	$\pm 1,7$			Oligoceno (E3)		Huellas de fisión	Apatito			42
1781	CM-3-7A	Stock de Parashi				26,54	$\pm 0,66$			Oligoceno (E3)		U-Th/He	Apatito			
1782	SR-44	Batolito Antioqueño				26,6	$\pm 1,3$			Oligoceno (E3)		U-Th/He	Apatito			
1783	SN23	Complejo Plutónico Tucurimca	Granodiorita			26,7	$\pm 3,6$			Oligoceno (E3)		Huellas de fisión	Apatito			5,0
1784	08PB05		Cuarcita					26,7 $\pm 2,1$	51,2 $\pm 4,1$	Eoceno (E2)-Oligoceno (E3)		U-Th/He	Circón			
1785	AM-12	Gneis de Busbanzá	Gneis			26,8	$\pm 2,1$			Oligoceno (E3)		U-Th/He	Circón			
1786	EAM-11-50B	Batolito de Santa Marta				26,82	$\pm 0,55$			Oligoceno (E3)		U-Th/He	Circón			
1787	08BU42		Arenita arcóscica					26,9 $\pm 2,2$	155,8 $\pm 12,5$	Jurásico Tardío (J3)-Oligoceno (E3)		U-Th/He	Circón			
1788	Ca10	Gabro de Cáceres	Gabro			27	$\pm 190$			Oligoceno (E3)		Ar-Ar	Plagioclasa			
1789	CH-ZS-MP-016	Formación Condoto				27,02	$\pm 44,19$			Oligoceno (E3)		U-Th/He	Apatito			
1790	130808-12		Arenita					27,1 $\pm 2,2$	34,3 $\pm 2,7$	Eoceno (E2)-Oligoceno (E3)		U-Th/He	Circón			
1791	G05-G1-038	Formación Tasca	Arenita			27,46	$+ 9,54/- 7,08$			Oligoceno (E3)		Huellas de fisión LA-ICP-MS	Apatito			
1792	RS-SS26	Formación Esmeraldas				27,6	$\pm 5,3$			Oligoceno (E3)		Huellas de fisión EDM	Apatito			8

Dispersión %	Número de granos analizados	Número de alicuotas	Fuente georreferenciación	Coordenada X	Coordenada Y	Sistema de coordenadas	Latitud	Longitud	Referencia	ID referencia	Comentarios
	37			1205186	1026072	MAGNA_Colombia_Bogota	6° 27' 05,789" N	73° 50' 30,545" W	Sánchez <i>et al.</i> (2012)	261	Edad de población
	37			1205186	1026072	MAGNA_Colombia_Bogota	6° 27' 05,789" N	73° 50' 30,545" W	Sánchez <i>et al.</i> (2012)	261	Edad pooled
				1267582	1085005	MAGNA_Colombia_Oeste	7° 00' 54,900" N	76° 18' 29,500" W	Villagómez <i>et al.</i> (2011a)	326	Edad de fusión total, espectro de edad perturbado
	27			1648605	1013476	MAGNA_Colombia_Bogota	10° 27' 39,241" N	73° 57' 15,891" W	Villagómez <i>et al.</i> (2011b)	327	Edad pooled, mejor edad ajustada de 25,9 Ma
	4			1151024	1141617	MAGNA_Colombia_Bogota	5° 57' 37,476" N	72° 47' 54,888" W	Saylor <i>et al.</i> (2012a)	264	Muestra localizada en el bloque colgante de la Falla de Soápaga
	30		Localización de Ramírez Arias <i>et al.</i> (2012) [227]	1136397	1134832	MAGNA_Colombia_Bogota	5° 49' 41,940" N	72° 51' 36,480" W	Mora <i>et al.</i> (2010)	195	También publicada en Ramírez Arias <i>et al.</i> (2012) [227]
	33			617788	912682	MAGNA_Colombia_Oeste	1° 08' 22,500" N	77° 51' 43,300" W	Villagómez (2010)	325	Edad pooled
				619889	910075	MAGNA_Colombia_Oeste	1° 09' 30,853" N	77° 53' 07,651" W	Agencia Nacional de Hidrocarburos & Universidad de Caldas (2011a)	3	Edad de isócrona inversa
<1	5		Se obtuvo la localización del pozo Dina-12 del sitio web del EPIS	833172	862320	MAGNA_Colombia_Bogota	3° 05' 12,504" N	75° 18' 57,601" W	Schwabe (2001)	267	Edad central de población 2, muestra del pozo Dina-12 a 3440 pies de profundidad, edad obtenida por la profesora Gloria Elena TORO de la Universidad EAFIT
	25			1118750	868421	MAGNA_Colombia_Este	5° 40' 07,810" N	72° 15' 54,680" W	Mora <i>et al.</i> (2010)	195	Edad pooled
	30			1136397	1134832	MAGNA_Colombia_Bogota	5° 49' 41,940" N	72° 51' 36,480" W	Parra <i>et al.</i> (2009b)	219	Edad reseñada, exhumación activa a aproximadamente 26 Ma
				619889	910075	MAGNA_Colombia_Oeste	1° 09' 30,853" N	77° 53' 07,651" W	Agencia Nacional de Hidrocarburos & Universidad de Caldas (2011a)	3	Edad de meseta interpretada como la edad de un probable evento térmico
				1099936	1172103	MAGNA_Colombia_Bogota	5° 29' 52,440" N	72° 31' 28,440" W	Ramírez Arias <i>et al.</i> (2012)	227	Edad del inicio del último enfriamiento (edad del pico de enterramiento obtenida por modelamiento termal con el uso del software HeFTy), muestra del bloque colgante de la Falla de Pajarito
				1717333	1003525	MAGNA_Colombia_Bogota	11° 04' 56,129" N	74° 02' 42,871" W	Cardona <i>et al.</i> (2011b)	70	
	8								Gómez <i>et al.</i> (2005)	116	
									Japan International Cooperation Agency & Metal Mining Agency of Japan (1983)	145	
				619889	910075	MAGNA_Colombia_Oeste	1° 09' 30,853" N	77° 53' 07,651" W	Agencia Nacional de Hidrocarburos & Universidad de Caldas (2011a)	3	Edad de fusión total
									De Souza <i>et al.</i> (1984)	89	El cuerpo de dacita se alinea a lo largo de la Falla de Mosquerillo e intruye el Complejo de Los Azules
	4		Localización tomada de Bayona <i>et al.</i> (2012) [29]	993454	990513	MAGNA_Colombia_Bogota	4° 32' 13,200" N	74° 09' 46,800" W	Bayona <i>et al.</i> (2010b)	28	
				1155313	1167036	MAGNA_Colombia_Bogota	5° 59' 54,960" N	72° 34' 08,280" W	Ramírez Arias <i>et al.</i> (2012)	227	Edad del inicio del último enfriamiento (edad del pico de enterramiento obtenida por modelamiento termal con el uso del software HeFTy), muestra del bloque colgante de la Falla de Pajarito
	14			1168573	837411	MAGNA_Colombia_Bogota	6° 07' 06,883" N	75° 32' 46,417" W	Montes (2007)	193	
				1842742	934811	MAGNA_Colombia_Este	12° 12' 55,110" N	71° 40' 35,681" W	Cardona <i>et al.</i> (2011b)	70	
	2	3		1193076	1165708	MAGNA_Colombia_Oeste	6° 20' 24,000" N	75° 34' 48,000" W	Restrepo Moreno <i>et al.</i> (2009)	245	Edad de enfriamiento, los autores interpretan un pulso de rápida exhumación hace ~25 Ma, un período de quiescencia tectónica durante ~17 Ma y un evento de exhumación menos significativo hace ~41 Ma. Estos dos pulsos de exhumación coinciden con las fases orogénicas Protoandina y Preandina respectivamente
	30			1672716	1005843	MAGNA_Colombia_Bogota	10° 40' 44,051" N	74° 01' 26,758" W	Villagómez <i>et al.</i> (2011b)	327	Edad pooled, mejor edad de ajustada 26,9 Ma
	4			1153795	1133523	MAGNA_Colombia_Bogota	5° 59' 08,268" N	72° 52' 17,796" W	Saylor <i>et al.</i> (2012a)	264	
		1		1135922	1130939	MAGNA_Colombia_Bogota	5° 49' 26,760" N	72° 53' 43,020" W	Ramírez Arias <i>et al.</i> (2012)	227	Alicuota seleccionada por los autores para el modelamiento inverso, muestra del bloque colgante de la Falla de Soápaga
				1722400	997165	MAGNA_Colombia_Bogota	11° 07' 41,031" N	74° 06' 12,447" W	Cardona <i>et al.</i> (2011b)	70	
	4			1162599	1113898	MAGNA_Colombia_Bogota	6° 03' 56,124" N	73° 02' 55,248" W	Saylor <i>et al.</i> (2012a)	264	
				1133501	974498	MAGNA_Colombia_Bogota	5° 48' 12,240" N	74° 18' 27,968" W	Vásquez <i>et al.</i> (2010)	318	Edad de isócrona normal en muestra duplicado
	1	4	Se tomaron las coordenadas listadas en los anexos que se diferencian varios metros con respecto a las reportadas en el informe final	1044920	1048332	MAGNA_Colombia_Oeste	5° 00' 08,169" N	76° 38' 30,087" W	Agencia Nacional de Hidrocarburos & Universidad de Caldas (2011b)	4	Edad corregida, muestra de un núcleo de perforación del pozo Choco-1 ST-P
	4			1151842	1140735	MAGNA_Colombia_Bogota	5° 58' 04,188" N	72° 48' 23,472" W	Saylor <i>et al.</i> (2012a)	264	Muestra localizada en el bloque colgante de la Falla de Duga
	38			816399	874486	MAGNA_Colombia_Oeste	2° 56' 06,957" N	78° 12' 23,113" W	Agencia Nacional de Hidrocarburos & Universidad de Caldas (2011a)	3	Edad pooled
	5								Gómez <i>et al.</i> (2005)	116	

ID Datación Radiométrica	Código de la muestra	Unidad geológica	Litología	Edad años BP	Error años	Edad Ma	Error Ma	Edad grano simple menor detrítico	Edad grano simple mayor detrítico	Edad estratigráfica	Edades heredadas	Método de datación	Material analizado	Relación inicial	MSWD	P(X2) %
1793	SN32	Batolito Central	Granitoide			27,6	$\pm 4,6$			Oligoceno (E3)		Huellas de fisión	Apatito			6,5
1794	Din 12-3 (2) (población 1)	Grupo Honda				27,7	$\pm 0,9$			Oligoceno (E3)		Huellas de fisión	Circón			55
1795	tef97 (P4)	Unidad volcánica sur	Tefra			27,8	$\pm 0,8$			Oligoceno (E3)		Huellas de fisión	Circón			57
1796	17	Formación Mugrosa	Arenita			27,8	$\pm 4,1$			Oligoceno (E3)		Huellas de fisión LA-ICP-MS	Apatito			31,29
1797	AM2590	Lengua de Vaca	Diorita hornbléndica			28	$\pm 3$			Oligoceno (E3)		K-Ar				
1798	RG-04	Formación Montbel	Arenita			28	$\pm 2,2$			Oligoceno (E3)		U-Th/He	Circón			
1799	BU140	Gneis de Bucaramanga	Granito			28,1	$\pm 3,2$			Oligoceno (E3)		Huellas de fisión	Circón			22,65
1800	JR008R	Grupo Diabásico				28,3	$\pm 2,4$			Oligoceno (E3)		Ar-Ar	Hornblenda		1,16	
1801	0-17	Batolito de Piedrancha	Dique de granodiorita			28,6	$\pm 1,7$			Oligoceno (E3)		K-Ar	Hornblenda			
1802	SN13	Esquistos de San Lorenzo	Esquisto anfibólico			28,6	$\pm 5$			Oligoceno (E3)		Huellas de fisión	Apatito			1,2
1803	SN28		Gneis			28,6	$\pm 4,8$			Oligoceno (E3)		Huellas de fisión	Apatito			45,2
1804	130808-11		Arenita					28,8 $\pm 2,3$	33,4 $\pm 2,7$	Oligoceno (E3)		U-Th/He	Circón			
1805	RM-7057	Complejo Ultramáfico del Alto Condoto	Hornblendita			28,9	$\pm 0,5$			Oligoceno (E3)		K-Ar	Roca total			
1806	130808-10		Arenita					29,0 $\pm 2,3$	38,4 $\pm 3,1$	Eoceno (E2)-Oligoceno (E3)		U-Th/He	Circón			
1807	486 Esc 02	Migmatitas de El Escobero				29,2	$\pm 1,3$			Oligoceno (E3)		Huellas de fisión	Apatito			78
1808	18	Formación Esmeraldas	Arenita			29,5	$\pm 3,9$			Oligoceno (E3)		Huellas de fisión LA-ICP-MS	Apatito			70,72
1809	M1-MP-009	Formación Angostura	Arenita			29,53	$+ 15,91/- 10,35$			Oligoceno (E3)		Huellas de fisión LA-ICP-MS	Apatito			
1810	08BU40	Formación Girón	Arenita arcósica					29,6 $\pm 2,4$	36,7 $\pm 2,9$	Eoceno (E2)-Oligoceno (E3)		U-Th/He	Circón			
1811	SN24	Batolito de Aracataca	Granodiorita			29,8	$\pm 3,8$			Oligoceno (E3)		Huellas de fisión	Apatito			5,0
1812	637		Hornfels basico			29,9	$\pm 1,7$			Oligoceno (E3)		K-Ar	Roca total			
1813	Na-98	Intrusivo de Los Alisales	Granodiorita			30				Oligoceno (E3)		K-Ar	Biotita			
1814	AD-1	Batolito de Piedrancha	Tonalita			30	$\pm 1,9$			Oligoceno (E3)		K-Ar	Hornblenda			
1815	MP-45 P1	Formación Guayabo	Arenita			30,2	$\pm 3,2$			Oligoceno (E3)		Huellas de fisión EDM	Apatito			
1816	SN29		Gneis			30,3	$\pm 3,0$			Oligoceno (E3)		Huellas de fisión	Apatito			11,2
1817	M1-MP-011	Formación Viche	Arenita			30,37	$\pm 5,51$			Oligoceno (E3)		Huellas de fisión EDM	Apatito			70,73
1818	M1-MP-011	Formación Viche	Arenita			30,39	$\pm 5,50$			Oligoceno (E3)		Huellas de fisión EDM	Apatito			70,73
1819	CM-3-2A	Stock de Parashi				30,44	$\pm 0,51$			Oligoceno (E3)		U-Th/He	Apatito			
1820	DV85	Complejo Cajamarca	Esquisto			30,5	$\pm 5,8$			Oligoceno (E3)		Huellas de fisión	Apatito			85
1821	130808-07		Clasto de arenita en conglomerado					30,5 $\pm 2,4$	67,0 $\pm 5,4$	Maastrichtiano (k6)-Oligoceno (E3)		U-Th/He	Circón			
1822	516 GnP 03	Gneis de Las Peñas				30,6	$\pm 1,2$			Oligoceno (E3)		Huellas de fisión	Apatito			33
1823	DV09	Batolito de Ibagué	Granito			30,6	$\pm 5,8$			Oligoceno (E3)		Huellas de fisión	Apatito			60
1824	DV156	Batolito de Sonsón	Granito			30,7	$\pm 1,8$			Oligoceno (E3)		U-Th/He	Apatito			
1825	C540	Formación Bogotá	Arenita			30,7	$\pm 1,8$			Oligoceno (E3)		U-Th/He	Apatito			

Dispersión %	Número de gramos analizados	Número de alicuotas	Fuente georreferenciación	Coordenada X	Coordenada Y	Sistema de coordenadas	Latitud	Longitud	Referencia	ID referencia	Comentarios
	29			1726856	1073860	MAGNA_Colombia_Bogota	11° 10' 03,322" N	73° 24' 04,698" W	Villagómez <i>et al.</i> (2011b)	327	Edad pooled
<1	7		Se obtuvo la localización del pozo Dina-12 del sitio web del EPIS	833172	862320	MAGNA_Colombia_Bogota	3° 05' 12,504" N	75° 18' 57,601" W	Schwabe (2001)	267	Edad central de población 1, muestra del pozo Dina-12 a 3440 pies de profundidad, edad obtenida por la profesora Gloria Elena TORO de la Universidad EAFIT
4	22								Toro (1999)	290	Edad central de población
	39			1196144	1023550	MAGNA_Colombia_Bogota	6° 22' 11,482" N	73° 51' 52,744" W	Sánchez <i>et al.</i> (2012)	261	Edad pooled
									McCourt <i>et al.</i> (1990)	185	
	1			1147043	1109547	MAGNA_Colombia_Bogota	5° 55' 30,060" N	73° 05' 17,640" W	Ramírez Arias <i>et al.</i> (2012)	227	Alicuota seleccionada por los autores para el modelamiento inverso, muestra del Anticlinal de Arcabuco
	15		Las coordenadas reportadas por los autores no coinciden con la Figura 5. Se obtuvo las coordenadas del punto a partir de la georreferenciación de esta figura	1279303	1110408	MAGNA_Colombia_Bogota	7° 07' 14,808" N	73° 04' 41,115" W	Villagómez <i>et al.</i> (2011b)	327	Edad pooled
				639305	957815	MAGNA_Colombia_Oeste	1° 20' 03,296" N	77° 27' 23,611" W	González (2010)	122	Edad de isócrona inversa de baja confianza por exceso de Ar, interpretada como de alteración
									Japan International Cooperation Agency & Metal Mining Agency of Japan (1983)	145	
	27			1720081	1001772	MAGNA_Colombia_Bogota	11° 06' 25,565" N	74° 03' 40,628" W	Villagómez <i>et al.</i> (2011b)	327	Edad pooled
	34			1649204	1019272	MAGNA_Colombia_Bogota	10° 27' 58,651" N	73° 54' 05,298" W	Villagómez <i>et al.</i> (2011b)	327	Edad pooled
	4			1152058	1140698	MAGNA_Colombia_Bogota	5° 58' 11,208" N	72° 48' 24,660" W	Saylor <i>et al.</i> (2012a)	264	Muestra localizada en el bloque colgante de la Falla de Duga
			Localización tomada de Muñoz <i>et al.</i> (1990) [196]	1063837	1085340	MAGNA_Colombia_Oeste	5° 10' 22,863" N	76° 18' 28,060" W	Tistl <i>et al.</i> (1994)	286	Muestra con exceso de argón, también publicada en Muñoz <i>et al.</i> (1990) [196]
	4			1152207	1140461	MAGNA_Colombia_Bogota	5° 58' 16,068" N	72° 48' 32,364" W	Saylor <i>et al.</i> (2012a)	264	Muestra localizada en el bloque colgante de la Falla de Duga
	27			1170857	836064	MAGNA_Colombia_Bogota	6° 08' 21,091" N	75° 33' 30,416" W	Montes (2007)	193	
	20			1197784	1021280	MAGNA_Colombia_Bogota	6° 23' 04,898" N	73° 53' 06,587" W	Sánchez <i>et al.</i> (2012)	261	Edad pooled
	14			688492	847272	MAGNA_Colombia_Oeste	1° 46' 42,940" N	78° 27' 00,036" W	Agencia Nacional de Hidrocarburos & Universidad de Caldas (2011a)	3	Edad pooled, muestra de ripios recuperados del pozo Majagua-1
	4			1165432	1111700	MAGNA_Colombia_Bogota	6° 05' 28,464" N	73° 04' 06,528" W	Saylor <i>et al.</i> (2012a)	264	Muestra localizada en el bloque colgante de una falla no mapeada
	36			1647085	1011154	MAGNA_Colombia_Bogota	10° 26' 49,797" N	73° 58' 32,290" W	Villagómez <i>et al.</i> (2011b)	327	Edad pooled
									Japan International Cooperation Agency & Metal Mining Agency of Japan (1983)	145	Roca volcánica verde metamorfosada
			Se obtuvo las coordenadas del punto a partir de la georreferenciación figura de localización de muestras	596733	976840	MAGNA_Colombia_Oeste	0° 56' 57,377" N	77° 17' 08,120" W	Botero (1981)	51	
									Göbel & Stibane (1981)	112	
	20			1113933	883563	MAGNA_Colombia_Este	5° 37' 31,960" N	72° 07' 42,420" W	Mora <i>et al.</i> (2010)	195	Edad pooled de la población 1
	30			1649393	1019703	MAGNA_Colombia_Bogota	10° 28' 04,794" N	73° 53' 51,122" W	Villagómez <i>et al.</i> (2011b)	327	Edad pooled, mejor edad ajustada de 25,9 Ma
2,37	15			688492	847272	MAGNA_Colombia_Oeste	1° 46' 42,940" N	78° 27' 00,036" W	Agencia Nacional de Hidrocarburos & Universidad de Caldas (2011a)	3	Edad central, muestra de ripios recuperados del pozo Majagua-1. La diferencia marcada entre edades de huellas de fisión ( $30,37 \pm 5,51$ ) y U-Th/He ( $3,38 \pm 1,40$ Ma) representan una historia de exhumación antigua para la roca fuente y una historia de calentamiento reciente para la Formación Viche
2,37	15			688492	847272	MAGNA_Colombia_Oeste	1° 46' 42,940" N	78° 27' 00,036" W	Agencia Nacional de Hidrocarburos & Universidad de Caldas (2011a)	3	Edad pooled, muestra de ripios recuperados del pozo Majagua-1. La diferencia marcada entre edades de huellas de fisión ( $30,37 \pm 5,51$ Ma) y U-Th/He ( $3,38 \pm 1,40$ Ma) representan una historia de exhumación antigua para la roca fuente y una historia de calentamiento reciente para la Formación Viche
				1843998	933822	MAGNA_Colombia_Este	12° 13' 35,910" N	71° 41' 08,481" W	Cardona <i>et al.</i> (2011b)	70	
	20			985556	867301	MAGNA_Colombia_Bogota	4° 27' 52,600" N	75° 16' 23,100" W	Villagómez & Spikings (2013)	328	Edad pooled
	4			1153753	1140325	MAGNA_Colombia_Bogota	5° 59' 06,396" N	72° 48' 36,684" W	Saylor <i>et al.</i> (2012a)	264	Muestra localizada en el bloque colgante de la Falla de Duga
	24			1191782	844928	MAGNA_Colombia_Bogota	6° 19' 42,842" N	75° 28' 44,011" W	Montes (2007)	193	
	20			979328	863939	MAGNA_Colombia_Bogota	4° 24' 29,700" N	75° 18' 11,800" W	Villagómez & Spikings (2013)	328	Edad pooled
				1128175	864568	MAGNA_Colombia_Bogota	5° 45' 14,300" N	75° 18' 00,500" W	Villagómez & Spikings (2013)	328	Edad media ponderada
	4								Bayona <i>et al.</i> (2010b)	28	Inicio de exhumación a $30,7 \pm 1,8$ Ma, sección quebrada Mochuelo

ID Datación Radiométrica	Código de la muestra	Unidad geológica	Litología	Edad años BP	Error años	Edad Ma	Error Ma	Edad grano simple menor detrítico	Edad grano simple mayor detrítico	Edad estratigráfica	Edades heredadas	Método de datación	Material analizado	Relación inicial	MSWD	P(X2) %
1826	CM-3-2B	Stock de Parashi				30,73	$\pm 0,61$			Oligoceno (E3)		U-Th/He	Apatito			
1827	DV156	Batolito de Sonsón	Granito			30,8	$\pm 0,7$			Oligoceno (E3)		U-Th/He	Apatito			
1828	P27-248,11-248 .41ML-005	Formación Ciénaga de Oro				30,85	$+3,55/-3,19$			Oligoceno (E3)		Huellas de fisión LA-ICP-MS	Apatito			
1829	MP-45	Formación Guayabo	Arenita			30,9	$\pm 3,1$			Oligoceno (E3)		Huellas de fisión EDM	Apatito			
1830	MP-82 P3	Formación Carbonera	Arenita			30,9	$\pm 3,1$			Oligoceno (E3)		Huellas de fisión EDM	Apatito			
1831	DV58	Batolito Antioqueño	Granito			31	$\pm 1,4$			Oligoceno (E3)		U-Th/He	Apatito			
1832	G07-G1-053	Formaciones Tasca-Playa Palmeras	Arenita			31	$+6,93/-5,66$			Oligoceno (E3)		Huellas de fisión LA-ICP-MS	Apatito			
1833	SK 442	Basaltos de Acevedo	Nefelinita mafica			31,2	$\pm 2,7$			Oligoceno (E3)		K-Ar	Roca total			
1834	Ca10	Gabro de Cáceres	Gabro			31,2	$\pm 3,6$			Oligoceno (E3)		Ar-Ar	Plagioclasa			
1835	AM-02 P2	Formación Los Cuervos	Arenita			31,2	$\pm 4,2$			Oligoceno (E3)		Huellas de fisión EDM	Apatito			
1836	P19-241,71-242 .01-ML-003	Formación Sincelajo				31,33	$\pm 0,85$			Oligoceno (E3)		U-Th/He	Apatito			
1837	G 65	Formación Paja	Vena mineralizada			31,4	$\pm 0,3$			Oligoceno (E3)		Ar-Ar	Moscovita			
1838	SR-40	Batolito Antioqueño				31,4	$\pm 1,6$			Oligoceno (E3)		U-Th/He	Apatito			
1839	G 65	Formación Paja	Vena mineralizada			31,5	$\pm 0,3$			Oligoceno (E3)		Ar-Ar	Moscovita			
1840	08BU47	Formación Girón	Cuarzoarenita					31,3 $\pm 2,5$	40,7 $\pm 3,3$	Oligoceno (E3)-Eoceno (E2)		U-Th/He	Circón			
1841	MIGN-1	Stock de Mariquita				31,8	$\pm 6,2$			Oligoceno (E3)		Huellas de fisión EDM	Apatito			80
1842	DV58	Batolito Antioqueño	Granito			32,0	$\pm 1,9$			Oligoceno (E3)		U-Th/He	Apatito			
1843	CJ-55	Formación Quebradagrande	Milonita			32	$\pm 5$			Oligoceno (E3)		Ar-Ar	Sericita			
1844	AM2589	Formación Timbiquí	Toba andesítica			32,1	$\pm 3,5$			Oligoceno (E3)		K-Ar				
1845	DV02	Complejo Cajamarca	Gneis			32,1	$\pm 7,2$			Oligoceno (E3)		Huellas de fisión	Apatito			44
1846	MP-85	Formación Los Cuervos	Arenita			32,1	$\pm 2,6$			Oligoceno (E3)		Huellas de fisión EDM	Apatito			0
1847	SR-48	Batolito Antioqueño				32,2	$\pm 1,6$			Oligoceno (E3)		U-Th/He	Apatito			
1848	HV04	Formación Timbiquí	Toba andesítica			32,5	$\pm 1,6$			Oligoceno (E3)		K-Ar				
1849	CM-5-20A	Stock de Parashi				32,55	$\pm 0,61$			Oligoceno (E3)		U-Th/He	Apatito			
1850	G 65	Formación Paja	Vena mineralizada			32,6	$\pm 0,1$			Oligoceno (E3)		Ar-Ar	Roca total			
1851	505 GnP 02	Gneis de Las Peñas				32,6	$\pm 1,9$			Oligoceno (E3)		Huellas de fisión	Apatito			79
1852	DV166	Batolito de Mandé	Diorita			32,8	$\pm 1,9$			Oligoceno (E3)		U-Th/He	Circón			
1853	HV309	Formación Timbiquí				33	$\pm 2$			Oligoceno (E3)		K-Ar				
1854	G 65	Formación Paja	Vena mineralizada			33,1	$\pm 0,1$			Oligoceno (E3)		Ar-Ar	Roca total			
1855	CM-3-7A	Stock de Parashi				33,4	$\pm 0,68$			Oligoceno (E3)		U-Th/He	Circón			
1856	08TAU02	Formación Guayabo, Miembro Cometa	Arenita					33,4 $\pm 2,7$	980,3 $\pm 78,4$	Neoproterozoico (NP)-Oligoceno (E3)		U-Th/He	Circón detrítico			
1857	WDM-1054	Esquistos de Santa Marta, Formación Cinto	Filita			33,5	$\pm 3,2$			Oligoceno (E3)		K-Ar	Roca total			

Dispersión %	Número de granos analizados	Número de aliquotas	Fuente georreferenciación	Coordenada X	Coordenada Y	Sistema de coordenadas	Latitud	Longitud	Referencia	ID referencia	Comentarios
			Las coordenadas (13° 13' 46" N; 72° 41' 20,9" W) reportadas por los autores no coinciden con la localización de la datación en la Figura 2. Se obtuvo las coordenadas del punto a partir de la georreferenciación de esta figura	1843998	933822	MAGNA_Colombia_Este	12° 13' 35,910" N	71° 41' 08,481" W	Cardona <i>et al.</i> (2011b)	70	
				1128175	864568	MAGNA_Colombia_Bogota	5° 45' 14,300" N	75° 18' 00,500" W	Villagómez (2010)	325	Edad media ponderada
40			Se tomaron las coordenadas listadas en los anexos que se diferencian varios metros con respecto a las reportadas en el informe final	1446131	1161642	MAGNA_Colombia_Oeste	8° 37' 39,023" N	75° 36' 32,766" W	Agencia Nacional de Hidrocarburos & Universidad de Caldas (2011b)	4	Edad pooled, muestra de un núcleo de perforación del pozo P27 a 248,11 m desde la base del pozo
24				1113933	883563	MAGNA_Colombia_Este	5° 37' 31,960" N	72° 07' 42,420" W	Mora <i>et al.</i> (2010)	195	Edad pooled
14				1118750	868421	MAGNA_Colombia_Este	5° 40' 07,810" N	72° 15' 54,680" W	Mora <i>et al.</i> (2010)	195	Edad pooled de la población 3
				1157388	882771	MAGNA_Colombia_Bogota	6° 01' 06,300" N	75° 08' 10,800" W	Villagómez (2010)	325	Edad media ponderada
40				816620	874639	MAGNA_Colombia_Oeste	2° 56' 14,179" N	78° 12' 18,156" W	Agencia Nacional de Hidrocarburos & Universidad de Caldas (2011a)	3	Edad pooled
			Se obtuvo las coordenadas del punto a partir de la georreferenciación de la Figura 2	684735	1130961	MAGNA_Colombia_Oeste	1° 44' 41,154" N	75° 54' 02,182" W	Kroonenberg <i>et al.</i> (1982)	156	Los autores consideran que la edad es alta teniendo en cuenta la geología de la zona y no descartan que se deba a exceso de Ar
				1133501	974498	MAGNA_Colombia_Bogota	5° 48' 12,240" N	74° 18' 27,968" W	Vásquez <i>et al.</i> (2010)	318	Edad de isocrona inversa en muestra duplicado
7				1096555	1177708	MAGNA_Colombia_Bogota	5° 28' 01,920" N	72° 28' 26,720" W	Mora <i>et al.</i> (2010)	195	Edad pooled de la población 2, muestra del Anticlinal Montrralo
1	3		Se tomaron las coordenadas listadas en los anexos que se diferencian varios metros con respecto a las reportadas en el informe final	1434849	845761	MAGNA_Colombia_Bogota	8° 31' 32,820" N	75° 28' 41,900" W	Agencia Nacional de Hidrocarburos & Universidad de Caldas (2011b)	4	Edad corregida, muestra de un núcleo de perforación del pozo P19 a 241,71 m desde la base del pozo
			Se obtuvo las coordenadas del punto a partir de la georreferenciación de la Figura 1	1106743	992590	MAGNA_Colombia_Bogota	5° 33' 41,298" N	74° 08' 39,774" W	Cheilletz <i>et al.</i> (1994)	76	Edad integrada interpretada como la edad de mineralización
2	4			1200592	959898	MAGNA_Colombia_Bogota	6° 24' 36,000" N	74° 26' 24,000" W	Restrepo Moreno <i>et al.</i> (2009)	245	Edad de enfriamiento, los autores interpretan un pulso de rápida exhumación hace ~25 Ma, un período de quiescencia tectónica durante ~17 Ma y un evento de exhumación, menos significativo hace ~41 Ma. Estos dos pulsos de exhumación coinciden con las fases orogénicas Protoandina y Preadina respectivamente
			Se obtuvo las coordenadas del punto a partir de la georreferenciación de la Figura 1	1106743	992590	MAGNA_Colombia_Bogota	5° 33' 41,298" N	74° 08' 39,774" W	Cheilletz <i>et al.</i> (1994)	76	Edad de meseta interpretada como la edad de mineralización
4				1157417	1125433	MAGNA_Colombia_Bogota	6° 01' 06,708" N	72° 56' 40,524" W	Saylor <i>et al.</i> (2012a)	264	Muestra localizada en el bloque colgante de la Falla de Boyacá, todas las edades son de reseteamiento
20									Gómez <i>et al.</i> (2003)	115	Edad central
				1157388	882771	MAGNA_Colombia_Bogota	6° 01' 06,300" N	75° 08' 10,800" W	Villagómez & Spikings (2013)	328	Edad media ponderada
			Se obtuvo las coordenadas del punto a partir de la georreferenciación del Anexo 1	1094289	844308	MAGNA_Colombia_Bogota	5° 26' 49,995" N	75° 28' 56,187" W	Vinasco & Cordani (2012)	333	Edad integrada de baja calidad, por la poca cantidad de gas y heterogeneidad, no tiene significado geológico. También publicada en Vinasco <i>et al.</i> (2003) [331]
			Se obtuvo las coordenadas del punto a partir de la georreferenciación del mapa geológico	745121	936758	MAGNA_Colombia_Oeste	2° 17' 28,057" N	77° 38' 45,826" W	McCourt <i>et al.</i> (1990)	185	
7				1020198	901536	MAGNA_Colombia_Bogota	4° 46' 41,800" N	74° 57' 54,200" W	Villagómez & Spikings (2013)	328	Edad pooled
40			Localización tomada de Mora <i>et al.</i> (2010) [195]	1118863	868937	MAGNA_Colombia_Este	5° 40' 11,500" N	72° 15' 37,910" W	Ramírez Arias <i>et al.</i> (2012)	227	Muestra del Anticlinal Tocaria
3-1	4			1194183	1165704	MAGNA_Colombia_Oeste	6° 21' 00,000" N	75° 34' 48,000" W	Restrepo Moreno <i>et al.</i> (2009)	245	Edad de enfriamiento, los autores interpretan un pulso de rápida exhumación hace ~25 Ma, un período de quiescencia tectónica durante ~17 Ma y un evento de exhumación menos significativo hace ~41 Ma. Estos dos pulsos de exhumación coinciden con las fases orogénicas Protoandina y Preadina respectivamente
									McCourt <i>et al.</i> (1990)	185	
				1843668	927903	MAGNA_Colombia_Este	12° 13' 24,711" N	71° 44' 24,284" W	Cardona <i>et al.</i> (2011b)	70	
			Se obtuvo las coordenadas del punto a partir de la georreferenciación de la Figura 1	1106743	992590	MAGNA_Colombia_Bogota	5° 33' 41,298" N	74° 08' 39,774" W	Cheilletz <i>et al.</i> (1994)	76	Edad de meseta interpretada como la edad de mineralización
17				1191382	843753	MAGNA_Colombia_Bogota	6° 19' 29,721" N	75° 29' 22,194" W	Montes (2007)	193	
				1129790	1091928	MAGNA_Colombia_Oeste	5° 46' 09,400" N	76° 14' 51,200" W	Villagómez & Spikings (2013)	328	Edad media ponderada
			Se obtuvo las coordenadas del punto a partir de la georreferenciación del mapa geológico	745235	936178	MAGNA_Colombia_Oeste	2° 17' 31,770" N	77° 39' 04,596" W	McCourt <i>et al.</i> (1990)	185	
			Se obtuvo las coordenadas del punto a partir de la georreferenciación de la Figura 1	1106743	992590	MAGNA_Colombia_Bogota	5° 33' 41,298" N	74° 08' 39,774" W	Cheilletz <i>et al.</i> (1994)	76	Edad integrada interpretada como la edad de mineralización
				1842742	934811	MAGNA_Colombia_Este	12° 12' 55,110" N	71° 40' 35,681" W	Cardona <i>et al.</i> (2011b)	70	
4			Se obtuvo las coordenadas del punto de la Tabla DR1 (datos suplementarios)	1045036	1142235	MAGNA_Colombia_Bogota	5° 00' 07,956" N	72° 47' 42,144" W	Horton <i>et al.</i> (2010a)	140	Se presenta una población <150 Ma (n = 28) y una subpoblación menor de 1000-850 Ma. Las edades más jóvenes son consideradas como producto de la exhumación cretácica-cenozoica del cinturón orogénico de los Andes y/o posible contribución de fuentes ígneas. También publicada en Bande <i>et al.</i> (2012) [22]
			Se obtuvo las coordenadas del punto a partir de la georreferenciación de la Figura 2	1745933	1005304	MAGNA_Colombia_Bogota	11° 20' 26,920" N	74° 01' 44,093" W	MacDonald <i>et al.</i> (1971)	166	

ID Datación Radiométrica	Código de la muestra	Unidad geológica	Litología	Edad años BP	Error años	Edad Ma	Error Ma	Edad grano simple menor detrítico	Edad grano simple mayor detrítico	Edad estratigráfica	Edades heredadas	Método de datación	Material analizado	Relación inicial	MSWD	P(X2) %
1858	Patia 29-Ra-002					33,7	$\pm 1,1$			Oligoceno (E3)		Ar–Ar				
1859	SR-6	Batolito Antioqueño				33,7	$\pm 1,7$			Oligoceno (E3)		U–Th/He	Apatito			
1860	Bsm 05	Batolito de Santa Marta	Granodiorita			33,72	$\pm 1,41$			Oligoceno (E3)		Ar–Ar	Feldespato potásico			
1861	AM-04 P1	Formación Socha	Arenita			33,8	$\pm 4,5$			Oligoceno (E3)		Huellas de fisión LA–ICP–MS	Apatito			
1862	4.01		Dacita			33,9	$\pm 0,7$			Oligoceno (E3)–Eoceno (E2)		K–Ar	Roca total			
1863	Ch-51	Batolito de Mandé	Granodiorita			34				Eoceno (E2)		K–Ar	Biotita			
1864	523 LP 02	Gneis de Las Palmas				34,0	$\pm 2,2$			Eoceno (E2)		Huellas de fisión	Apatito			99
1865	DV 325	Grupo Diabásico	Dolerita			34				Eoceno (E2)		K–Ar				
1866	CJ-55	Formación Quebradagrande	Milonita			34	$\pm 15$			Eoceno (E2)		Ar–Ar	Sericita			
1867	22	Formación Real	Arenita			34,1	$\pm 2$			Eoceno (E2)		Huellas de fisión LA–ICP–MS	Apatito			0
1868	Bsm 05	Batolito de Santa Marta	Granodiorita			34,2	$\pm 1,6$			Eoceno (E2)		Ar–Ar	Feldespato potásico		1,71	
1869	08YEM09	Formación León	Arenita					34,2 $\pm 2,7$	58,6 $\pm 4,7$	Paleoceno (E1)–Eoceno (E2)		U–Th/He	Circón			
1870	RI-05		Dique andesítico a dacítico			34,3	$\pm 1,1$			Eoceno (E2)		K–Ar				
1871	AM-03 P1	Formación Socha	Arenita			34,3	$\pm 7,2$			Eoceno (E2)		Huellas de fisión LA–ICP–MS	Apatito			
1872	AM-09	Formación Une	Arenita			34,48	$\pm 3,35$			Eoceno (E2)		Huellas de fisión LA–ICP–MS	Apatito			
1873	Din 12-3 (población 1)	Grupo Honda				34,5	$\pm 1,9$			Eoceno (E2)		Huellas de fisión	Circón			5
1874	08BU46	Formación Girón	Cuarzoarenita					34,8 $\pm 2,8$	66,2 $\pm 5,3$	Maastrichtiano (k6)–Eoceno (E2)		U–Th/He	Circón			
1875	AM-12	Gneis de Busbanzá	Gneis			34,84	$\pm 3,99$			Eoceno (E2)		Huellas de fisión LA–ICP–MS	Apatito			
1876	A-77	Gneis de Dibulla	Anortosita			35	$\pm 3$			Eoceno (E2)		Ar–Ar	Hornblenda			
1877	A-746	Complejo Migmatítico de Cocha Río Téllez	Granodiorita gnéssica			35	$\pm 0,4$			Eoceno (E2)		Ar–Ar	Hornblenda			
1878	DV86	Complejo Cajamarca	Esquisto grafitoso			35	$\pm 8,2$			Eoceno (E2)		Huellas de fisión	Apatito			79
1879	506 GrD 01	Grupo El Retiro				35,2	$\pm 2,2$			Eoceno (E2)		Huellas de fisión	Apatito			92
1880	Osos 13	Depósito aluvial	Arenas			35,3	$\pm 1,7$			Eoceno (E2)		Huellas de fisión	Circón			63
1881	AM-03	Formación Socha	Arenita			35,56	$\pm 1,99$			Eoceno (E2)		Huellas de fisión LA–ICP–MS	Apatito			
1882	CM-3-7B	Stock de Parashi				35,58	$\pm 0,63$			Eoceno (E2)		U–Th/He	Circón			
1883	510 Esc 03	Migmatitas de El Escobero				35,6	$\pm 2,3$			Eoceno (E2)		Huellas de fisión	Apatito			94
1884	MJ-80	Formación Los Cuervos	Arenita			35,7	$\pm 4,1$			Eoceno (E2)		Huellas de fisión EDM	Apatito			34,39
1885	DV06	Batolito de Ibagué	Granito			35,8	$\pm 4,6$			Eoceno (E2)		Huellas de fisión	Apatito			12
1886	DV121	Batolito de Piedrancha	Granodiorita			35,8	$\pm 5,8$			Eoceno (E2)		Huellas de fisión	Apatito			9
1887	22	Formación Real	Arenita			35,9	$\pm 2,2$			Eoceno (E2)		Huellas de fisión LA–ICP–MS	Apatito			0
1888	AEB 08R		Dacita			36	$\pm 5$			Eoceno (E2)		K–Ar	Biotita			

Dispersión %	Número de granos analizados	Número de alicuotas	Fuente georreferenciación	Coordenada X	Coordenada Y	Sistema de coordenadas	Latitud	Longitud	Referencia	ID referencia	Comentarios
			Se tomaron las coordenadas listadas en los anexos que se diferencian varios metros con respecto a las reportadas en el informe final	710939	991787	MAGNA_Colombia_Oeste	1° 58' 55,591" N	77° 09' 04,783" W	Agencia Nacional de Hidrocarburos & Universidad de Caldas (2011b)	4	Edad de meseta media ponderada, muestra de un núcleo de perforación del pozo Patia 29
3	3	3		1202971	857008	MAGNA_Colombia_Bogota	6° 25' 48,000" N	75° 22' 12,000" W	Restrepo Moreno <i>et al.</i> (2009)	245	Edad de enfriamiento, los autores interpretan un pulso de rápida exhumación hace ~25 Ma, un período de quiescencia tectónica durante ~17 Ma y un evento de exhumación menos significativo hace ~41 Ma. Estos dos pulsos de exhumación coinciden con las fases orogénicas Protoandina y Preandina respectivamente
				1734568	1006160	MAGNA_Colombia_Bogota	11° 14' 17,039" N	74° 01' 15,950" W	Duque (2009)	93	Edad de meseta
5				1070141	1074236	MAGNA_Colombia_Bogota	5° 13' 48,480" N	73° 24' 28,380" W	Ramirez Arias <i>et al.</i> (2012)	227	Edad de población, muestra del bloque yacente de la Falla de Soápaga
			Las coordenadas reportadas por el autor no coinciden con la Figura 3.1. Se obtuvo las coordenadas del punto a partir de la georreferenciación de esta figura	774797	1043377	MAGNA_Colombia_Oeste	2° 33' 34,407" N	76° 41' 14,874" W	Risnes (1995)	249	
			Se obtuvo las coordenadas del punto a partir de la georreferenciación figura de localización de muestras	1124232	1080705	MAGNA_Colombia_Oeste	5° 43' 08,991" N	76° 20' 56,171" W	Botero (1981)	51	
9				1172232	837378	MAGNA_Colombia_Bogota	6° 09' 05,954" N	75° 32' 47,815" W	Montes (2007)	193	
			Se obtuvo las coordenadas del punto a partir de la georreferenciación de la Figura 5	853408	1051343	MAGNA_Colombia_Oeste	3° 16' 13,530" N	76° 36' 55,952" W	Thery (1980)	278	
			Se obtuvo las coordenadas del punto a partir de la georreferenciación del Anexo 1	1094289	844308	MAGNA_Colombia_Bogota	5° 26' 49,995" N	75° 28' 56,187" W	Vinasco (2001)	329	Edad integrada de baja calidad, por la poca cantidad de gas y heterogeneidad, no tiene significado geológico. También publicada en Vinasco <i>et al.</i> (2003) [331]
40				1197449	1017229	MAGNA_Colombia_Bogota	6° 22' 54,037" N	73° 55' 18,408" W	Sánchez <i>et al.</i> (2012)	261	Edad pooled
				1734568	1006160	MAGNA_Colombia_Bogota	11° 14' 17,039" N	74° 01' 15,950" W	Duque (2009)	93	Edad concordia
2				1085879	851742	MAGNA_Colombia_Este	5° 22' 16,824" N	72° 24' 54,180" W	Bande <i>et al.</i> (2012)	22	Dominio de edades cretácicas-cenozoicas que son interpretadas como el producto de reciclaje en la cordillera Oriental de sedimentos enterrados superficialmente (~5 km) que se originaron de fuentes al oeste (arco andino y cinturón de cabalgamientos)
									Agencia Nacional de Hidrocarburos & Universidad de Caldas (2011a)	3	
11				1069100	1072306	MAGNA_Colombia_Bogota	5° 13' 14,640" N	73° 25' 31,080" W	Ramirez Arias <i>et al.</i> (2012)	227	Edad de población, muestra del bloque yacente de la Falla de Soápaga
				1136397	1134832	MAGNA_Colombia_Bogota	5° 49' 41,940" N	72° 51' 36,480" W	Ramirez Arias <i>et al.</i> (2012)	227	Edad del inicio del último enfriamiento (edad del pico de enterramiento obtenida por modelamiento termal con el uso del software HeFTy), muestra del bloque colgante de la Falla de Soápaga
16	4		Se obtuvo la localización del pozo Dina-12 del sitio web del EPIS	833172	862320	MAGNA_Colombia_Bogota	3° 05' 12,504" N	75° 18' 57,601" W	Schwabe (2001)	267	Edad central de población 1, muestra del pozo Dina-12 a 3440 pies de profundidad
2				1158081	1124832	MAGNA_Colombia_Bogota	6° 01' 28,380" N	72° 57' 00,036" W	Saylor <i>et al.</i> (2012a)	264	Muestra localizada en el bloque colgante de la Falla de Boyacá
				1135922	1130939	MAGNA_Colombia_Bogota	5° 49' 26,760" N	72° 53' 43,020" W	Ramirez Arias <i>et al.</i> (2012)	227	Edad del inicio del último enfriamiento (edad del pico de enterramiento obtenida por modelamiento termal con el uso del software HeFTy), muestra del bloque colgante de la Falla de Soápaga
				1679937	1000070	MAGNA_Colombia_Bogota	10° 44' 39,083" N	74° 04' 36,727" W	Cardona (2003)	63	Edad de meseta, espectro complejo con exceso de argón. La unidad está afectada por un evento hidrotermal
			Se obtuvo las coordenadas del punto a partir de la georreferenciación del Anexo 1	581476	971675	MAGNA_Colombia_Oeste	0° 48' 40,639" N	77° 19' 55,134" W	Jiménez (2003)	151	Edad integrada
20				986337	867037	MAGNA_Colombia_Bogota	4° 28' 18,000" N	75° 16' 31,700" W	Villagómez & Spikings (2013)	328	Edad pooled
14				1163532	845953	MAGNA_Colombia_Bogota	6° 04' 23,566" N	75° 28' 08,267" W	Montes (2007)	193	
<1	3			1163061	843627	MAGNA_Colombia_Bogota	6° 04' 08,036" N	75° 29' 23,819" W	Toro (1999)	290	Edad central
				1069100	1072306	MAGNA_Colombia_Bogota	5° 13' 14,640" N	73° 25' 31,080" W	Ramirez Arias <i>et al.</i> (2012)	227	Edad del inicio del último enfriamiento (edad del pico de enterramiento obtenida por modelamiento termal con el uso del software HeFTy), muestra del bloque yacente de la Falla de Soápaga
			Las coordenadas (13° 13' 5,200" N; 72° 40' 48,100" W) reportadas por los autores no coinciden con la localización de la datación en la Figura 2. Se obtuvo las coordenadas del punto a partir de la georreferenciación de esta figura	1842742	934811	MAGNA_Colombia_Este	12° 12' 55,110" N	71° 40' 35,681" W	Cardona <i>et al.</i> (2011b)	70	
8				1169957	836748	MAGNA_Colombia_Bogota	6° 07' 51,863" N	75° 33' 08,096" W	Montes (2007)	193	
20				1096075	1177762	MAGNA_Colombia_Bogota	5° 27' 46,320" N	72° 28' 25,020" W	Ramirez Arias <i>et al.</i> (2012)	227	Muestra del Anticlinal Montrralo
19				978687	864909	MAGNA_Colombia_Bogota	4° 24' 08,900" N	75° 17' 40,300" W	Villagómez & Spikings (2013)	328	Edad pooled
				617788	912682	MAGNA_Colombia_Oeste	1° 08' 22,500" N	77° 51' 43,300" W	Villagómez & Spikings (2013)	328	Edad pooled
40				1197449	1017229	MAGNA_Colombia_Bogota	6° 22' 54,037" N	73° 55' 18,408" W	Sánchez <i>et al.</i> (2012)	261	Edad de población
									De Souza <i>et al.</i> (1984)	89	El cuerpo de dacita se alinea a lo largo de la Falla de Mosquerillo e intruye el Complejo de Los Azules

ID Datación Radiométrica	Código de la muestra	Unidad geológica	Litología	Edad años BP	Error años	Edad Ma	Error Ma	Edad grano simple menor detrítico	Edad grano simple mayor detrítico	Edad estratigráfica	Edades heredadas	Método de datación	Material analizado	Relación inicial	MSWD	P(X2) %
1889	496 Esc 03	Migmatitas de El Escobero				36,0	± 1,8			Eoceno (E2)			Huellas de fisión	Apatito		84
1890	MP-45 P2	Formación Guayabo	Arenita			36,1	± 9,7			Eoceno (E2)			Huellas de fisión EDM	Apatito		
1891	5	Esquistos de Santa Marta	Esquisto anfibólico			36,2	± 5,1			Eoceno (E2)			K-Ar	Hornblenda		
1892	G 67	Formación Paja	Vena mineralizada			36,4	± 0,1			Eoceno (E2)			Ar-Ar	Moscovita		
1893	A-746	Complejo Migmatítico de Cocha Rio Téllez	Granodiorita gnéisica			36,4	± 0,6			Eoceno (E2)			Ar-Ar	Hornblenda		
1894	Din 12-2	Grupo Honda				36,5	± 2,1			Eoceno (E2)			Huellas de fisión	Circón		<1
1895	CM-3-2A	Stock de Parashi				36,51	± 0,73			Eoceno (E2)			U-Th/He	Circón		
1896	SR-2	Batolito Antioqueño				36,6	± 1,8			Eoceno (E2)			U-Th/He	Apatito		
1897	Tef 4036	Depósito aluvial				36,6	± 1,17			Eoceno (E2)			Huellas de fisión	Circón		99
1898	IGM-706917	Complejo Santa Cecilia La Equis	Basalto porfídico			36,7	± 11,5			Eoceno (E2)			Ar-Ar	Vidrio volcánico		0,62
1899	AM-02 P1	Formación Los Cuervos	Arenita			36,7	± 4,0			Eoceno (E2)			Huellas de fisión EDM	Apatito		
1900	CM-5-20A	Stock de Parashi				36,77	± 0,74			Eoceno (E2)			U-Th/He	Circón		
1901	Patia 29-Ra-002					37,1	± 1,7			Eoceno (E2)			Ar-Ar		0,005	
1902	DV03	Complejo Cajamarca	Gneis			37,1	± 5,8			Eoceno (E2)			Huellas de fisión	Apatito		6
1903	G 67	Formación Paja	Vena mineralizada			37,3	± 0,1			Eoceno (E2)			Ar-Ar	Roca total		
1904	AM-02	Formación Los Cuervos	Arenita			37,3	± 2,7			Eoceno (E2)			Huellas de fisión EDM	Apatito		0,07
1905	08BU38		Cuarzoarenita					37,3 ± 3,0	94,0 ± 7,5	Cenomaniano (k1)-Eoceno (E2)			U-Th/He	Circón		
1906	10VDL59	Tonalita de Río Negro	Tonalita			37,4	± 4,0			Eoceno (E2)			Huellas de fisión LA-ICP-MS	Circón		78,3
1907	CM-5-20B	Stock de Parashi				37,79	± 0,72			Eoceno (E2)			U-Th/He	Circón		
1908	16	Stock del Socorro	Granodiorita			37,8	± 1,7			Eoceno (E2)			K-Ar	Biotita		
1909	DV165	Batolito de Mandé	Diorita			37,8	± 5,2			Eoceno (E2)			Huellas de fisión	Apatito		18
1910	AM-10	Formación Girón	Arenita			37,88	± 2,82			Eoceno (E2)			Huellas de fisión LA-ICP-MS	Apatito		
1911	08YEM06	Formación Guayabo						38,0 ± 3,0	675,7 ± 54,1	Neoproterozoico (NP)-Eoceno (E2)			U-Th/He	Circón		
1912	DV167	Batolito de Mandé	Granodiorita			38,1	± 5,4			Eoceno (E2)			Huellas de fisión	Apatito		100
1913	AM-03	Formación Socha	Arenita			38,3	± 3,5			Eoceno (E2)			Huellas de fisión LA-ICP-MS	Apatito		0
1914	10VDL61	Granodiorita del río Suratá	Granodiorita			38,3	± 4,3			Eoceno (E2)			Huellas de fisión LA-ICP-MS	Circón		100,0
1915	CM-3-2B	Stock de Parashi				38,36	± 0,74			Eoceno (E2)			U-Th/He	Circón		
1916	MP-85 P2	Formación Los Cuervos	Arenita			38,5	± 3,7			Eoceno (E2)			Huellas de fisión EDM	Apatito		
1917	100808-03	Formación Picacho	Arenita					38,6 ± 3,1	1436,5 ± 114,9	Mesoproterozoico (MP)-Eoceno (E2)			U-Th/He	Circón		
1918	Bsm 05	Batolito de Santa Marta	Granodiorita			38,65	± 0,55			Eoceno (E2)			Ar-Ar	Feldespato potásico		
1919	WDM-827	Esquistos de Santa Marta, Formación Concha	Filita			38,7	± 3,4			Eoceno (E2)			K-Ar	Roca total		
1920	DV19	Complejo Cajamarca	Cuarcita			38,7	± 18,0			Eoceno (E2)			Huellas de fisión	Circón		

Dispersión %	Número de granos analizados	Número de alicuotas	Fuente georreferenciación	Coordenada X	Coordenada Y	Sistema de coordenadas	Latitud	Longitud	Referencia	ID referencia	Comentarios
	18			1169957	836748	MAGNA_Colombia_Bogota	6° 07' 51,863" N	75° 33' 08,096" W	Montes (2007)	193	
	4			1113933	883563	MAGNA_Colombia_Este	5° 37' 31,960" N	72° 07' 42,420" W	Mora <i>et al.</i> (2010)	195	Edad pooled de la población 2
			Se obtuvo las coordenadas del punto a partir de la georreferenciación de la Figura 2	1738754	991961	MAGNA_Colombia_Bogota	11° 16' 33,246" N	74° 09' 04,075" W	Tschanz <i>et al.</i> (1974)	302	
			Se obtuvo las coordenadas del punto a partir de la georreferenciación de la Figura 1	1115747	993211	MAGNA_Colombia_Bogota	5° 38' 34,406" N	74° 08' 19,634" W	Cheilletz <i>et al.</i> (1994)	76	Edad integrada interpretada como la edad de mineralización
			Se obtuvo las coordenadas del punto a partir de la georreferenciación del Anexo I	581476	971675	MAGNA_Colombia_Oeste	0° 48' 40,639" N	77° 19' 55,134" W	Jiménez (2003)	151	Edad de meseta
41,8	12		Se obtuvo la localización del pozo Dina-12 del sitio web del EPIS	833172	862320	MAGNA_Colombia_Bogota	3° 05' 12,504" N	75° 18' 57,601" W	Schwabe (2001)	267	Edad central, muestra del pozo Dina-12 a 2782 pies de profundidad
				1843998	933822	MAGNA_Colombia_Este	12° 13' 35,910" N	71° 41' 08,481" W	Cardona <i>et al.</i> (2011b)	70	
	2	3		1207398	855912	MAGNA_Colombia_Bogota	6° 28' 12,000" N	75° 22' 48,000" W	Restrepo Moreno <i>et al.</i> (2009)	245	Edad de enfriamiento, los autores interpretan un pulso de rápida exhumación hace ~25 Ma, un período de quiescencia tectónica durante ~17 Ma y un evento de exhumación menos significativo hace ~41 Ma. Estos dos pulsos de exhumación coinciden con las fases orogénicas Protoandina y Preandina respectivamente
<1	9								Silva (1999)	272	
				1237534	1076112	MAGNA_Colombia_Oeste	6° 44' 37,270" N	76° 23' 20,650" W	Buchely <i>et al.</i> (2009)	54	Edad de isócrona inversa
	15		Localización tomada de Mora <i>et al.</i> (2010) [195]	1096555	1177708	MAGNA_Colombia_Bogota	5° 28' 01,920" N	72° 28' 26,720" W	Ramirez Arias <i>et al.</i> (2012)	227	Edad de población, muestra del Anticlinal Monterrazo
				1843668	927903	MAGNA_Colombia_Este	12° 13' 24,711" N	71° 44' 24,284" W	Cardona <i>et al.</i> (2011b)	70	
			Se tomaron las coordenadas listadas en los anexos que se diferencian varios metros con respecto a las reportadas en el informe final	710939	991787	MAGNA_Colombia_Oeste	1° 58' 55,591" N	77° 09' 04,783" W	Agencia Nacional de Hidrocarburos & Universidad de Caldas (2011b)	4	Edad de isócrona inversa, muestra de un núcleo de perforación del pozo Patía-29
	11			1020198	901536	MAGNA_Colombia_Bogota	4° 46' 41,800" N	74° 57' 54,200" W	Villagómez & Spikings (2013)	328	Edad pooled
			Se obtuvo las coordenadas del punto a partir de la georreferenciación de la Figura 1	1115747	993211	MAGNA_Colombia_Bogota	5° 38' 34,406" N	74° 08' 19,634" W	Cheilletz <i>et al.</i> (1994)	76	Edad integrada interpretada como la edad de mineralización
	38		Localización tomada de Mora <i>et al.</i> (2010) [195]	1096555	1177708	MAGNA_Colombia_Bogota	5° 28' 01,920" N	72° 28' 26,720" W	Ramirez Arias <i>et al.</i> (2012)	227	Muestra del Anticlinal Monterrazo
	3			1168107	1110705	MAGNA_Colombia_Bogota	6° 06' 55,584" N	73° 04' 38,712" W	Saylor <i>et al.</i> (2012a)	264	Muestra localizada en el bloque colgante de una falla no mapeada
	29			1297666	1102855	MAGNA_Colombia_Bogota	7° 17' 13,000" N	73° 08' 46,000" W	van der Lelij (2013)	308	Edad pooled
			Las coordenadas (13° 13' 34,800" N; 72° 44' 36,700" W) reportadas por los autores no coinciden con la localización de la datación en la Figura 2. Se obtuvo las coordenadas del punto a partir de la georreferenciación de esta figura	1843668	927903	MAGNA_Colombia_Este	12° 13' 24,711" N	71° 44' 24,284" W	Cardona <i>et al.</i> (2011b)	70	
			Se obtuvo las coordenadas del punto a partir de la georreferenciación de la Figura 2	1684985	1004762	MAGNA_Colombia_Bogota	10° 47' 23,354" N	74° 02' 02,282" W	Tschanz <i>et al.</i> (1974)	302	
	19			1129645	1091771	MAGNA_Colombia_Oeste	5° 46' 04,700" N	76° 14' 56,300" W	Villagómez & Spikings (2013)	328	Edad pooled
				1136854	1133994	MAGNA_Colombia_Bogota	5° 49' 56,880" N	72° 52' 03,660" W	Ramirez Arias <i>et al.</i> (2012)	227	Edad del inicio del último enfriamiento (edad del pico de enterramiento obtenida por modelamiento termal con el uso del software HeFTy), muestra del bloque colgante de la Falla de Soápaga
	4			1089767	849803	MAGNA_Colombia_Este	5° 24' 23,220" N	72° 25' 57,396" W	Bande <i>et al.</i> (2012)	22	Dominio de edades cretácicas-crenozoicas que son interpretadas como el producto de reciclaje en la cordillera Oriental de sedimentos enterrados superficialmente (~5 km) que se originaron de fuentes al oeste (arco andino y cinturón de cabalgamientos)
	22			1129965	1091931	MAGNA_Colombia_Oeste	5° 46' 15,100" N	76° 14' 51,100" W	Villagómez & Spikings (2013)	328	Edad pooled
	37		Localización tomada de Ramirez Arias <i>et al.</i> (2012) [227]	1069100	1072306	MAGNA_Colombia_Bogota	5° 13' 14,640" N	73° 25' 31,080" W	Parra <i>et al.</i> (2009b)	219	Edad discordante parcialmente reseada. También publicada en Ramirez Arias <i>et al.</i> (2012) [227]
	25			1284345	1109296	MAGNA_Colombia_Bogota	7° 09' 59,000" N	73° 05' 17,000" W	van der Lelij (2013)	308	Edad pooled
			Las coordenadas (13° 13' 46,000" N; 72° 41' 20,900" W) reportadas por los autores no coinciden con la localización de la datación en la Figura 2. Se obtuvo las coordenadas del punto a partir de la georreferenciación de esta figura	1843998	933822	MAGNA_Colombia_Este	12° 13' 35,910" N	71° 41' 08,481" W	Cardona <i>et al.</i> (2011b)	70	
	24			1118863	868937	MAGNA_Colombia_Este	5° 40' 11,500" N	72° 15' 37,910" W	Mora <i>et al.</i> (2010)	195	Edad pooled de la población 2
	39			1133066	1138815	MAGNA_Colombia_Bogota	5° 47' 53,232" N	72° 49' 27,264" W	Saylor <i>et al.</i> (2012b)	265	Se presentan picos de edad a 720, 590, 350, 175, 155, 75, 65, 55, 49 y 43 Ma
			Se obtuvo las coordenadas del punto a partir de la georreferenciación de la Figura 2	1734568	1006160	MAGNA_Colombia_Bogota	11° 14' 17,039" N	74° 01' 15,950" W	Duque (2009)	93	Edad integrada
				1743067	994020	MAGNA_Colombia_Bogota	11° 18' 53,622" N	74° 07' 56,220" W	MacDonald <i>et al.</i> (1971)	166	
				986425	836003	MAGNA_Colombia_Bogota	4° 28' 19,000" N	75° 33' 18,100" W	Villagómez & Spikings (2013)	328	Edad pooled de población

ID Datación Radiométrica	Código de la muestra	Unidad geológica	Litología	Edad años BP	Error años	Edad Ma	Error Ma	Edad grano simple menor detrítico	Edad grano simple mayor detrítico	Edad estratigráfica	Edades heredadas	Método de datación	Material analizado	Relación inicial	MSWD	P(X2) %
1921	Din 12-IR(2) (población 1)	Grupo Honda				38,8	$\pm 3,1$			Eoceno (E2)			Huellas de fisión	Circón		90
1922	RG-04	Formación Montebel	Arenita			38,83	$\pm 5,71$			Eoceno (E2)			Huellas de fisión LA-ICP-MS	Apatito		
1923	IGM 304958	Batolito de Acandí	Cuarzodiorita			38,9	$\pm 3$			Eoceno (E2)			K-Ar	Sericita		
1924	AM2588	Formación Timbiquí	Andesita			38,9	$\pm 4,3$			Eoceno (E2)			K-Ar			
1925	BX61	Intrusivo del río Nápi	Diorita hornbléndica			39	$\pm 2$			Eoceno (E2)			K-Ar			
1926	DV 324	Grupo Diabásico	Dolerita			39				Eoceno (E2)			K-Ar			
1927	DV70	Batolito Antioqueño	Granodiorita			39,1	$\pm 2,1$			Eoceno (E2)			U-Th/He	Apatito		
1928	DV17	Complejo Cajamarca	Esquisto verde			39,3	$\pm 12,0$			Eoceno (E2)			Huellas de fisión	Circón		
1929	CGP15	Formación Combia				39,48	$\pm 2,21$			Eoceno (E2)			Huellas de fisión	Circón		89
1930	DV163	Plutón de El Hatillo	Granito			39,6	$\pm 7,0$			Eoceno (E2)			Huellas de fisión	Apatito		97
1931	JR008R	Grupo Diabásico				39,65	$\pm 3,47$			Eoceno (E2)			Ar-Ar	Hornblenda		
1932	31	Formación Lisama (?)	Arenita			39,9	$\pm 3,4$			Eoceno (E2)			Huellas de fisión LA-ICP-MS	Apatito		16,83
1933	AEB 144	Grupo Diabásico	Lava			40	$\pm 2$			Eoceno (E2)			K-Ar	Roca total		
1934	A-746	Complejo Migmatítico de Cocha Río Téllez	Granodiorita gneísica			40	$\pm 0,5$			Eoceno (E2)			Ar-Ar	Hornblenda		
1935	DV 324	Grupo Diabásico	Dolerita			40				Eoceno (E2)			K-Ar			
1936	RS-SS17	Formación La Paz				40,1	$\pm 4,1$			Eoceno (E2)			Huellas de fisión EDM	Apatito		<1
1937	529 LP 05	Gneis de Las Palmas				40,1	$\pm 2,0$			Eoceno (E2)			Huellas de fisión	Apatito		91
1938	DV56	Batolito Antioqueño	Granito			40,1	$\pm 1,0$			Eoceno (E2)			U-Th/He	Circón		
1939	Bsm 111	Batolito de Santa Marta	Granodiorita			40,16	$\pm 1,4$			Eoceno (E2)			Ar-Ar	Feldespato potásico		
1940	Bsm 111	Batolito de Santa Marta	Granodiorita			40,2	$\pm 1,45$			Eoceno (E2)			Ar-Ar	Feldespato potásico		0,9378
1941	DV56	Batolito Antioqueño	Granito			40,2	$\pm 2,6$			Eoceno (E2)			U-Th/He	Circón		
1942	SN42		Cuarzmonzonita			40,3	$\pm 5,8$			Eoceno (E2)			Huellas de fisión	Apatito		1,3
1943	Bsm 111	Batolito de Santa Marta	Granodiorita			40,39	$\pm 0,27$			Eoceno (E2)			Ar-Ar	Feldespato potásico		
1944	CCP71	Formación Combia				40,4	$\pm 0,88$			Eoceno (E2)			Huellas de fisión	Circón		9
1945	ND-52	Batolito de Piedrancha	Granodiorita			40,5	$\pm 3,0$			Eoceno (E2)			K-Ar	Biotita		
1946	SN35	Batolito de Pueblo Bello	Cuarzmonzonita			40,6	$\pm 5,8$			Eoceno (E2)			Huellas de fisión	Apatito		5,0
1947	SR-19	Batolito Antioqueño				40,7	$\pm 2,0$			Eoceno (E2)			U-Th/He	Apatito		
1948	SR-46	Batolito Antioqueño				40,8	$\pm 2$			Eoceno (E2)			U-Th/He	Apatito		
1949	Din 12-2 (población 2)	Grupo Honda				40,8	$\pm 1,6$			Eoceno (E2)			Huellas de fisión	Circón		48
1950	08YEM04	Formación León	Arenita					40,8 $\pm 3,3$	211,7 $\pm 16,9$	Triásico Tardío (T3)-Eoceno (E2)			U-Th/He	Circón		
1951	RS-SS1	Formación Lisama	Arenita			40,9	$\pm 3,3$			Eoceno (E2)			Huellas de fisión EDM	Apatito		<1
1952	WDM-771	Esquistos de Santa Marta, Formación Cinto	Filita			40,9	$\pm 4,7$			Eoceno (E2)			K-Ar	Roca total		
1953	COL/Ba 117	Basaltos de la serranía de Baudó	Basalto			41	$\pm 3,0$			Eoceno (E2)			K-Ar			

Dispersión %	Número de granos analizados	Número de aliquotas	Fuente georreferenciación	Coordenada X	Coordenada Y	Sistema de coordenadas	Latitud	Longitud	Referencia	ID referencia	Comentarios
<1	2		Se obtuvo la localización del pozo Dina-12 del sitio web del EPIS	833172	862320	MAGNA_Colombia_Bogota	3° 05' 12,504" N	75° 18' 57,601" W	Schwabe (2001)	267	Edad central de población 1, muestra del pozo Dina-12 a 2064 pies de profundidad
				1147043	1109547	MAGNA_Colombia_Bogota	5° 55' 30,060" N	73° 05' 17,640" W	Ramirez Arias <i>et al.</i> (2012)	227	Edad del inicio del último enfriamiento (edad del pico de enterramiento obtenida por modelamiento termal con el uso del software HeFTy), muestra del Anticlinal de Arcabuco
				1435527	962627	MAGNA_Colombia_Oeste	8° 32' 03,445" N	77° 25' 01,078" W	Alvarez & Parra (1979)	6	
			Se obtuvo las coordenadas del punto a partir de la georreferenciación del mapa geológico	745242	936490	MAGNA_Colombia_Oeste	2° 17' 31,976" N	77° 38' 54,489" W	McCourt <i>et al.</i> (1990)	185	
			Se obtuvo las coordenadas del punto a partir de la georreferenciación del mapa geológico	767107	955088	MAGNA_Colombia_Oeste	2° 29' 24,029" N	77° 28' 52,792" W	McCourt <i>et al.</i> (1990)	185	
			Se obtuvo las coordenadas del punto a partir de la georreferenciación de la Figura 5	853408	1051343	MAGNA_Colombia_Oeste	3° 16' 13,530" N	76° 36' 55,952" W	Thery (1980)	278	
				1262807	850991	MAGNA_Colombia_Bogota	6° 58' 14,800" N	75° 25' 33,100" W	Villagómez & Spikings (2013)	328	Edad media ponderada
				985348	837934	MAGNA_Colombia_Bogota	4° 27' 44,100" N	75° 32' 15,400" W	Villagómez & Spikings (2013)	328	Edad pooled de población
0	5		Se obtuvo la localización de la sección Guineales-Pefalisa, a lo largo de la cual se tomaron las muestras, a partir de la georreferenciación de la Figura 6	1145875	1132392	MAGNA_Colombia_Oeste	5° 54' 50,587" N	75° 52' 55,094" W	Ramirez <i>et al.</i> (2006)	226	Edad central, interpretada como resultado de eventos sintectónicos generados a lo largo del Sistema de Fallas de Romeral en los que se dio el retrabajo del basamento cretácico y del miembro inferior de la Formación Amagá, coetáneamente con los eventos volcánicos, entre 10 y 6 Ma, que dieron origen a la Formación Combia
	20			1064494	900135	MAGNA_Colombia_Bogota	5° 10' 43,600" N	74° 58' 41,600" W	Villagómez & Spikings (2013)	328	Edad pooled
				639305	957815	MAGNA_Colombia_Oeste	1° 20' 03,296" N	77° 27' 23,611" W	González (2010)	122	Edad integrada de baja confianza por exceso de Ar, interpretada como de alteración
	40			1194619	1024092	MAGNA_Colombia_Bogota	6° 21' 21,830" N	73° 51' 35,129" W	Sánchez <i>et al.</i> (2012)	261	Edad pooled
									De Souza <i>et al.</i> (1984)	89	Para esta muestra se publicó una edad de 39,6 ± 3,9 Ma en Espinosa (1980) [96]
			Se obtuvo las coordenadas del punto a partir de la georreferenciación del Anexo 1	581476	971675	MAGNA_Colombia_Oeste	0° 48' 40,639" N	77° 19' 55,134" W	Jiménez (2003)	151	Edad integrada
			Se obtuvo las coordenadas del punto a partir de la georreferenciación de la Figura 5	853408	1051343	MAGNA_Colombia_Oeste	3° 16' 13,530" N	76° 36' 55,952" W	Thery (1980)	278	
	15								Gómez <i>et al.</i> (2005)	116	
	27			1174332	837453	MAGNA_Colombia_Bogota	6° 10' 14,301" N	75° 32' 45,564" W	Montes (2007)	193	
				1161506	874416	MAGNA_Colombia_Bogota	6° 03' 19,800" N	75° 12' 42,700" W	Villagómez (2010)	325	Edad media ponderada
				1739546	1018977	MAGNA_Colombia_Bogota	11° 16' 58,883" N	73° 54' 13,311" W	Duque (2009)	93	Edad de meseta
	6			1739546	1018977	MAGNA_Colombia_Bogota	11° 16' 58,883" N	73° 54' 13,311" W	Duque (2009)	93	Edad concordia
				1161506	874416	MAGNA_Colombia_Bogota	6° 03' 19,800" N	75° 12' 42,700" W	Villagómez & Spikings (2013)	328	Edad media ponderada
	32			1714241	1124544	MAGNA_Colombia_Bogota	11° 03' 07,787" N	72° 56' 16,013" W	Villagómez <i>et al.</i> (2011b)	327	Edad pooled
				1739546	1018977	MAGNA_Colombia_Bogota	11° 16' 58,883" N	73° 54' 13,311" W	Duque (2009)	93	Edad integrada
5,3	14		Se obtuvo la localización de la sección Concordia, a lo largo de la cual se tomaron las muestras, a partir de la georreferenciación de la Figura 6	1153125	1135227	MAGNA_Colombia_Oeste	5° 58' 46,337" N	75° 51' 22,440" W	Ramirez <i>et al.</i> (2006)	226	Edad central de población 1, interpretada como resultado de eventos sintectónicos generados a lo largo del Sistema de Fallas de Romeral, en los que se dio el retrabajo del basamento cretácico y del miembro inferior de la Formación Amagá, coetáneamente con los eventos volcánicos, entre 10 y 6 Ma, que dieron origen a la Formación Combia
									Japan International Cooperation Agency & Metal Mining Agency of Japan (1983)	145	Biotita muy cloritizada
	32			1658858	1052998	MAGNA_Colombia_Bogota	10° 33' 11,678" N	73° 35' 35,842" W	Villagómez <i>et al.</i> (2011b)	327	Edad pooled, mejor edad ajustada de 40,3 Ma
3-2	5			1205180	858120	MAGNA_Colombia_Bogota	6° 27' 00,000" N	75° 21' 36,000" W	Restrepo Moreno <i>et al.</i> (2009)	245	Edad de enfriamiento, los autores interpretan un pulso de rápida exhumación hace ~25 Ma, un período de quiescencia tectónica durante ~17 Ma y un evento de exhumación menos significativo hace ~41 Ma. Estos dos pulsos de exhumación coinciden con las fases orogénicas Protandina y Preandina respectivamente
	3	3		1195286	1164594	MAGNA_Colombia_Oeste	6° 21' 36,000" N	75° 35' 24,000" W	Restrepo Moreno <i>et al.</i> (2009)	245	Edad de enfriamiento, los autores interpretan un pulso de rápida exhumación hace ~25 Ma, un período de quiescencia tectónica durante ~17 Ma y un evento de exhumación menos significativo hace ~41 Ma. Estos dos pulsos de exhumación coinciden con las fases orogénicas Protandina y Preandina respectivamente
<1	7		Se obtuvo la localización del pozo Dina-12 del sitio web del EPIS	833172	862320	MAGNA_Colombia_Bogota	3° 05' 12,504" N	75° 18' 57,601" W	Schwabe (2001)	267	Edad central de población 2, muestra del pozo Dina-12 a 2782 pies de profundidad
	4			1091057	848560	MAGNA_Colombia_Este	5° 25' 05,124" N	72° 26' 37,860" W	Bande <i>et al.</i> (2012)	22	Dominio de edades cretácicas-cenozoicas que son interpretadas como el producto de reciclaje en la cordillera Oriental de sedimentos enterrados superficialmente (<5 km) que se originaron de fuentes al oeste (arco andino y cinturón de cabalgamientos)
	25								Gómez <i>et al.</i> (2005)	116	
			Se obtuvo las coordenadas del punto a partir de la georreferenciación de la Figura 2	1735927	988810	MAGNA_Colombia_Bogota	11° 15' 01,239" N	74° 10' 47,959" W	MacDonald <i>et al.</i> (1971)	166	
									Bourgois <i>et al.</i> (1982)	52	

ID Datación Radiométrica	Código de la muestra	Unidad geológica	Litología	Edad años BP	Error años	Edad Ma	Error Ma	Edad grano simple menor detrítico	Edad grano simple mayor detrítico	Edad estratigráfica	Edades heredadas	Método de datación	Material analizado	Relación inicial	MSWD	P(X2) %
1954		Stock de Nudillales	Cuarzomonzonita			41	$\pm 3$			Eoceno (E2)		K–Ar	Roca total			
1955	BX70	Formación Timbiquí	Andesita			41	$\pm 1$			Eoceno (E2)		K–Ar				
1956	HCP10	Intrusivo del río Napí, Plutón Los Cholos	Diorita cuarzosa hornbléndica			41	$\pm 4$			Eoceno (E2)		K–Ar				
1957	DV80	Complejo Cajamarca	Esquisto miáceo			41	$\pm 6,6$			Eoceno (E2)		Huellas de fisión	Apatito			63
1958	SN6	Esquistos de San Lorenzo	Esquisto miáceo			41	$\pm 9,6$			Eoceno (E2)		Huellas de fisión	Apatito			96,7
1959	996–16	Formación Real	Arenita			41,2	$\pm 4,3$			Eoceno (E2)		Huellas de fisión	Apatito			0
1960	SR–32	Batolito Antioqueño				41,3	$\pm 2,1$			Eoceno (E2)		U–Th/He	Apatito			
1961	DV91	Batolito de Buga	Diorita			41,3	$\pm 4,2$			Eoceno (E2)		Huellas de fisión	Circón			44,98
1962	AN1464		Basalto			41,4	$\pm 8,6$			Eoceno (E2)		Ar–Ar	Plagioclasa			
1963	UNM 2998	Latiandesita de Llanitos	Latiandesita			41,5	$\pm 1,8$			Eoceno (E2)		K–Ar	Roca total			
1964	DV165	Batolito de Mandé	Diorita			41,6	$\pm 5,4$			Eoceno (E2)		Huellas de fisión	Circón			31,22
1965	CGP15	Formación Combia				41,63	$\pm 1,3$			Eoceno (E2)		Huellas de fisión	Circón			70
1966	BX12	Formación Timbiquí	Andesita			41,7	$\pm 1,2$			Eoceno (E2)		K–Ar				
1967	Bsm 12E	Batolito de Santa Marta	Granodiorita			41,78	$\pm 0,83$			Eoceno (E2)		Ar–Ar	Feldespato potásico			
1968	20	Formación Colorado	Arenita			41,8	$\pm 7,9$			Eoceno (E2)		Huellas de fisión LA–ICP–MS	Apatito			0
1969	Patia 29–Ra–002					41,9	$\pm 0,7$			Eoceno (E2)		Ar–Ar				
1970	R1–3 (población 2)	Grupo Honda				41,9	$\pm 3,17$			Eoceno (E2)		Huellas de fisión	Circón			5
1971	20	Formación Colorado	Arenita			41,9	$\pm 2,4$			Eoceno (E2)		Huellas de fisión LA–ICP–MS	Apatito			0
1972	AEB 550	Secuencia Ofiolítica de Los Azules	Lava			42	$\pm 9$			Eoceno (E2)		K–Ar	Roca total			
1973	ER095R	Formación Amaime				42	$\pm 13$			Eoceno (E2)		Ar–Ar	Roca total			
1974	AM–02	Formación Los Cuervos	Arenita			42,2	$\pm 3,7$			Eoceno (E2)		Huellas de fisión EDM	Apatito			
1975	SN37	Batolito de Pueblo Bello	Cuarzomonzonita			42,5	$\pm 9,4$			Eoceno (E2)		Huellas de fisión				5,0
1976	FF–G1–24–56	Formación León	Arenita			42,5	$\pm 6,2$			Eoceno (E2)		Huellas de fisión EDM	Apatito			0
1977	BX73	Plutón de Balsitas	Dique de andesita			42,6	$\pm 1,3$			Eoceno (E2)		K–Ar				
1978	1	Esquistos de Santa Marta	Esquisto biótico			42,6	$\pm 1,7$			Eoceno (E2)		K–Ar	Biotita			
1979	UAKA 80–23	Batolito de Mandé	Dacita porfirítica			42,7	$\pm 0,9$			Eoceno (E2)		K–Ar	Sericita hidrotermal			
1980	SR–31	Batolito Antioqueño				42,9	$\pm 2,1$			Eoceno (E2)		U–Th/He	Apatito			
1981	JCM3504	Intrusivo del río Napí	Gabro hornbléndico			43	$\pm 0,4$			Eoceno (E2)		K–Ar				
1982	Din 12–1A (población 1)	Grupo Honda				43,0	$\pm 1,9$			Eoceno (E2)		Huellas de fisión	Circón			85
1983	DV09	Batolito de Ibagué	Granito			43,0	$\pm 3,0$			Eoceno (E2)		U–Th/He	Circón			
1984	AN1464		Basalto			43,1	$\pm 0,4$			Eoceno (E2)		Ar–Ar	Plagioclasa			
1985	SN44	Ignimbrita de Los Clavos	Riolita			43,3	$\pm 5,6$			Eoceno (E2)		Huellas de fisión	Apatito			2,5

Dispersión %	Número de granos analizados	Número de alicuotas	Fuente georreferenciación	Coordenada X	Coordenada Y	Sistema de coordenadas	Latitud	Longitud	Referencia	ID referencia	Comentarios
			Se obtuvo las coordenadas del punto a partir de la georreferenciación de la Figura 2	1270114	1083903	MAGNA_Colombia_Oeste	7° 02' 17,361" N	76° 19' 05,281" W	González & Londoño (1998)	121	
			Se obtuvo las coordenadas del punto a partir de la georreferenciación del mapa geológico	735556	933256	MAGNA_Colombia_Oeste	2° 12' 16,607" N	77° 40' 39,026" W	McCourt <i>et al.</i> (1990)	185	
			Se obtuvo las coordenadas del punto a partir de la georreferenciación del mapa geológico	764208	952995	MAGNA_Colombia_Oeste	2° 27' 49,617" N	77° 30' 00,507" W	McCourt <i>et al.</i> (1990)	185	
20				1146617	916038	MAGNA_Colombia_Bogota	5° 55' 17,500" N	74° 50' 08,700" W	Villagómez & Spikings (2013)	328	Edad pooled
23				1719051	1000414	MAGNA_Colombia_Bogota	11° 05' 52,045" N	74° 04' 25,377" W	Villagómez <i>et al.</i> (2011b)	327	Edad pooled, comienzo de enfriamiento 25–16 Ma, con una tasa promedio constante de 4 °C/Ma hasta 10–0 Ma
20				1294381	1075409	MAGNA_Colombia_Bogota	7° 15' 27,684" N	73° 23' 40,848" W	Caballero <i>et al.</i> (2013)	59	
2	3			1197495	1163481	MAGNA_Colombia_Oeste	6° 22' 48,000" N	75° 36' 00,000" W	Restrepo Moreno <i>et al.</i> (2009)	245	Edad de enfriamiento, los autores interpretan un pulso de rápida exhumación hace ~25 Ma, un período de quiescencia tectónica durante ~17 Ma y un evento de exhumación menos significativo hace ~41 Ma. Estos dos pulsos de exhumación coinciden con las fases orogénicas ProtoAndina y Preandina respectivamente
13				925855	1092449	MAGNA_Colombia_Oeste	3° 55' 31,000" N	76° 14' 42,400" W	Villagómez & Spikings (2013)	328	Edad pooled
			Se obtuvo las coordenadas del punto a partir de la georreferenciación de la Figura 2	1156999	1090456	MAGNA_Colombia_Oeste	6° 00' 55,145" N	76° 15' 37,759" W	Kerr <i>et al.</i> (1997)	153	Edad de isócrona inversa. Arco volcánico de Dabeiba
			Localización suministrada por el profesor Jorge Julián RESTREPO	1273562	1073535	MAGNA_Colombia_Oeste	7° 04' 10,115" N	76° 24' 42,906" W	Restrepo <i>et al.</i> (1991)	239	
12				1129645	1091771	MAGNA_Colombia_Oeste	5° 46' 04,700" N	76° 14' 56,300" W	Villagómez & Spikings (2013)	328	Edad pooled
0	5		Se obtuvo la localización de la sección Guineales-Pehilisa, a lo largo de la cual se tomaron las muestras, a partir de la georreferenciación de la Figura 6	1145875	1132392	MAGNA_Colombia_Oeste	5° 54' 50,587" N	75° 52' 55,094" W	Ramírez <i>et al.</i> (2006)	226	Edad central, interpretada como resultado de eventos sintectónicos generados a lo largo del Sistema de Fallas de Romeral en los que se dio el retrabajamiento del basamento cretácico y del miembro inferior de la Formación Amagá, coetáneamente con los eventos volcánicos, entre 10 y 6 Ma, que dieron origen a la Formación Combia
			Se obtuvo las coordenadas del punto a partir de la georreferenciación del mapa geológico	756635	944680	MAGNA_Colombia_Oeste	2° 23' 42,987" N	77° 34' 29,581" W	McCourt <i>et al.</i> (1990)	185	
				1737817	998195	MAGNA_Colombia_Bogota	11° 16' 02,795" N	74° 05' 38,541" W	Duque (2009)	93	Edad de meseta
38				1197700	1019780	MAGNA_Colombia_Bogota	6° 23' 02,180" N	73° 53' 55,396" W	Sánchez <i>et al.</i> (2012)	261	Edad de población
			Las coordenadas reportadas en el Anexo 11 no coinciden con la localización de la datación en la Figura 6.1. Se obtuvo las coordenadas del punto a partir de la georreferenciación de esta figura	710939	991787	MAGNA_Colombia_Oeste	1° 58' 55,591" N	77° 09' 04,783" W	Agencia Nacional de Hidrocarburos & Universidad de Caldas (2011b)	4	Edad de fusión total, muestra de un núcleo de perforación del pozo Patia 29
27,1	4		Se obtuvo la localización del pozo Rosita-1 del sitio web del EPIS	937730	894847	MAGNA_Colombia_Bogota	4° 01' 57,092" N	75° 01' 27,848" W	Schwabe (2001)	267	Edad central de población 2, muestra del pozo Rosita-1 a 3240–3690 pies de profundidad
38				1197700	1019780	MAGNA_Colombia_Bogota	6° 23' 02,180" N	73° 53' 55,396" W	Sánchez <i>et al.</i> (2012)	261	Edad pooled
									De Souza <i>et al.</i> (1984)	89	
				900435	1099471	MAGNA_Colombia_Oeste	3° 41' 43,286" N	76° 10' 55,677" W	González (2010)	122	Edad de fusión total, dato de baja confianza por alta relación Ca/K y alto Ar atmosférico
38				1096555	1177708	MAGNA_Colombia_Bogota	5° 28' 01,920" N	72° 28' 26,720" W	Mora <i>et al.</i> (2010)	195	Edad pooled
24				1654896	1055748	MAGNA_Colombia_Bogota	10° 31' 02,596" N	73° 34' 05,603" W	Villagómez <i>et al.</i> (2011b)	327	Edad pooled, se presentan tasas de enfriamiento de 0,32/0,2 km/Ma durante 50–40 Ma
14				1065760	1166014	MAGNA_Colombia_Bogota	5° 11' 20,760" N	72° 34' 48,900" W	Ramírez Arias <i>et al.</i> (2012)	227	Muestra del Sinclinal de Nunchía
			Se obtuvo las coordenadas del punto a partir de la georreferenciación del mapa geológico	732118	931296	MAGNA_Colombia_Oeste	2° 10' 24,661" N	77° 41' 42,431" W	McCourt <i>et al.</i> (1990)	185	Dique que corta el Plutón de Balstas
			Se obtuvo las coordenadas del punto a partir de la georreferenciación de la Figura 2	1707292	993121	MAGNA_Colombia_Bogota	10° 59' 29,336" N	74° 08' 25,613" W	Tschanz <i>et al.</i> (1974)	302	
				1232383	1064224	MAGNA_Colombia_Oeste	6° 41' 50,099" N	76° 29' 47,930" W	Sillitoe <i>et al.</i> (1982)	271	Interpretada como la edad mínima de emplazamiento, la datación fue realizada sobre el testigo de perforación DDH-3 de 42–43 pies
3	3			1196392	1164591	MAGNA_Colombia_Oeste	6° 22' 12,000" N	75° 35' 24,000" W	Restrepo Moreno <i>et al.</i> (2009)	245	Edad de enfriamiento, los autores interpretan un pulso de rápida exhumación hace ~25 Ma, un período de quiescencia tectónica durante ~17 Ma y un evento de exhumación menos significativo hace ~41 Ma. Estos dos pulsos de exhumación coinciden con las fases orogénicas Protoandina y Preandina respectivamente
			Se obtuvo las coordenadas del punto a partir de la georreferenciación del mapa geológico	771409	958946	MAGNA_Colombia_Oeste	2° 31' 44,110" N	77° 26' 47,969" W	McCourt <i>et al.</i> (1990)	185	
<1	6		Se obtuvo la localización del pozo Dina-12 del sitio web del EPIS	833172	862320	MAGNA_Colombia_Bogota	3° 05' 12,504" N	75° 18' 57,601" W	Schwabe (2001)	267	Edad central de población 1, muestra del pozo Dina-12 a 2064 pies de profundidad
				979328	863939	MAGNA_Colombia_Bogota	4° 24' 29,700" N	75° 18' 11,800" W	Villagómez & Spikings (2013)	328	Edad media ponderada
			Se obtuvo las coordenadas del punto a partir de la georreferenciación de la Figura 2	1156999	1090456	MAGNA_Colombia_Oeste	6° 00' 55,145" N	76° 15' 37,759" W	Kerr <i>et al.</i> (1997)	153	Edad de meseta. Arco volcánico de Dabeiba
25				1700316	1113820	MAGNA_Colombia_Bogota	10° 55' 35,942" N	73° 02' 10,842" W	Villagómez <i>et al.</i> (2011b)	327	Edad pooled

ID Datación Radiométrica	Código de la muestra	Unidad geológica	Litología	Edad años BP	Error años	Edad Ma	Error Ma	Edad grano simple menor detrítico	Edad grano simple mayor detrítico	Edad estratigráfica	Edades heredadas	Método de datación	Material analizado	Relación inicial	MSWD	P(X2) %
1986	SR-11	Batolito Antioqueño				43,4	$\pm 2,2$			Eoceno (E2)		U-Th/He	Apatito			
1987	110808-12	Formación Concentración	Arenita					43,4 $\pm 3,5$	986,5 $\pm 78,9$	Neoproterozoico (NP)-Eoceno (E2)		U-Th/He	Circón			
1988	524 LP 04	Gneis de Las Palmas				43,5	$\pm 1,4$			Eoceno (E2)		Huellas de fisión	Circón			49
1989	DV65	Complejo Cajamarca	Gneis			43,5	$\pm 4,8$			Eoceno (E2)		Huellas de fisión	Apatito			50
1990	Bsm 12E	Batolito de Santa Marta	Granodiorita			43,57	$\pm 0,48$			Eoceno (E2)		Ar-Ar	Feldespato potásico			
1991	SR-9	Batolito Antioqueño				43,6	$\pm 2,2$			Eoceno (E2)		U-Th/He	Apatito			
1992	110808-04	Formación Arenisca de Socha	Arenita					43,6 $\pm 3,5$	982,5 $\pm 78,6$	Neoproterozoico (NP)-Eoceno (E2)		U-Th/He	Circón			
1993	CCP7 35	Formación Combia				43,73	$\pm 1,41$			Eoceno (E2)		Huellas de fisión	Circón			86
1994		Andesita de Buriticá	Andesita-diorítica porfírica			43,8	$\pm 4,3$			Eoceno (E2)		K-Ar	Roca total			
1995	DV161	Stock de Manizales	Granito			43,9	$\pm 4,2$			Eoceno (E2)		Huellas de fisión	Circón			60
1996	Bsm 111	Batolito de Santa Marta	Granodiorita			43,91	$\pm 0,45$			Eoceno (E2)		Ar-Ar	Biotita			
1997	Bsm 111	Batolito de Santa Marta	Granodiorita			44	$\pm 0,77$			Eoceno (E2)		Ar-Ar	Biotita			
1998	BX60	Intrusivo del río Nápi	Tonalita hornbléndica			44	$\pm 4$			Eoceno (E2)		K-Ar				
1999	BX72A	Formación Timbiquí	Andesita			44	$\pm 1$			Eoceno (E2)		K-Ar				
2000	tf1c	Depósito de terraza				44,1	$\pm 1,4$			Eoceno (E2)		Huellas de fisión	Circón			44
2001	4	Esquistos de Santa Marta	Esquisto anfibólico			44,1	$\pm 2,7$			Eoceno (E2)		K-Ar	Hornblendita			
2002	8	Batolito de Santa Marta	Cuarzodiorita			44,1	$\pm 1,6$			Eoceno (E2)		K-Ar	Biotita			
2003	10VDL05	Granodiorita de La Corcova	Dique de granodiorita			44,1	$\pm 4,6$			Eoceno (E2)		Huellas de fisión LA-ICP-MS	Circón			100,0
2004	16	Formación Real	Arenita			44,2	$\pm 3,1$			Eoceno (E2)		Huellas de fisión LA-ICP-MS	Apatito			0,01
2005	DV155	Batolito de Sonsón	Granito			44,3	$\pm 6,2$			Eoceno (E2)		Huellas de fisión	Apatito			80
2006	P28-29,21-29,5 1-ML-005	Formación Moñitos				44,37	$\pm 4,86$			Eoceno (E2)		Huellas de fisión EDM	Apatito			100
2007	CGP15	Formación Combia				44,4	$\pm 5$			Eoceno (E2)		Huellas de fisión	Circón			0
2008	SN36	Batolito de Pueblo Bello	Diorita			44,4	$\pm 7,2$			Eoceno (E2)		Huellas de fisión	Apatito			26,1
2009	WR-238	Batolito de Mandé	Pórfido tonalítico			44,6	$\pm 0,9$			Eoceno (E2)	67-63 Ma	U-Pb LA-MC-ICP-MS	Circón			
2010	IGM-706956	Batolito de Mandé	Tonalita			44,8	1,0			Eoceno (E2)		Ar-Ar	Hornblendita y biotita			
2011	A-28	Complejo de Sevilla	Esquisto			44,8	$\pm 0,4$			Eoceno (E2)		K-Ar	Biotita			
2012	DV30	Batolito de Buga	Tonalita			44,8	$\pm 8,4$			Eoceno (E2)		Huellas de fisión	Apatito			66
2013	08BU09	Formación Rosablanca	Arenita					44,8 $\pm 3,6$	54,2 $\pm 6,7$	Eoceno (E2)		U-Th/He	Circón			
2014	RG-16 P1	Formación Socha	Arenita			44,9	$\pm 2,2$			Eoceno (E2)		Huellas de fisión LA-ICP-MS	Apatito			
2015	AEB 183	Secuencia Ofiolítica de Los Azules	Lava			45	$\pm 3$			Eoceno (E2)		K-Ar	Roca total			
2016	453 GnP 02	Gneis de Las Peñas				45	$\pm 2,6$			Eoceno (E2)		Huellas de fisión	Apatito			91
2017	447 GnP 01	Gneis de Las Peñas				45,1	$\pm 2,0$			Eoceno (E2)		Huellas de fisión	Apatito			77

Dispersión %	Número de granos analizados	Número de alicuotas	Fuente georreferenciación	Coordenada X	Coordenada Y	Sistema de coordenadas	Latitud	Longitud	Referencia	ID referencia	Comentarios
	2-1	3		1206289	857016	MAGNA_Colombia_Bogota	6° 27' 36,000" N	75° 22' 12,000" W	Restrepo Moreno <i>et al.</i> (2009)	245	Edad de enfriamiento, los autores interpretan un pulso de rápida exhumación hace ~25 Ma, un período de quiescencia tectónica durante ~17 Ma y un evento de exhumación menos significativo hace ~41 Ma. Estos dos pulsos de exhumación coinciden con las fases orogénicas Protoandina y Preadina respectivamente
	38			1140737	1137639	MAGNA_Colombia_Bogota	5° 52' 03,000" N	72° 50' 04,920" W	Saylor <i>et al.</i> (2012b)	265	Se presentan picos de edad a 890, 580, 400, 320, 173, 140, 93, 85, 73, 65 y 53 Ma
	9			1173757	837553	MAGNA_Colombia_Bogota	6° 09' 55,598" N	75° 32' 42,261" W	Montes (2007)	193	
	19			1153962	906027	MAGNA_Colombia_Bogota	5° 59' 16,100" N	74° 55' 34,500" W	Villagómez & Spikings (2013)	328	Edad pooled
				1737817	998195	MAGNA_Colombia_Bogota	11° 16' 02,795" N	74° 05' 38,541" W	Duque (2009)	93	Edad integrada
	3-2	3		1206289	857016	MAGNA_Colombia_Bogota	6° 27' 36,000" N	75° 22' 12,000" W	Restrepo Moreno <i>et al.</i> (2009)	245	Edad de enfriamiento, los autores interpretan un pulso de rápida exhumación hace ~25 Ma, un período de quiescencia tectónica durante ~17 Ma y un evento de exhumación menos significativo hace ~41 Ma. Estos dos pulsos de exhumación coinciden con las fases orogénicas Protoandina y Preadina respectivamente
	13			1139946	1139432	MAGNA_Colombia_Bogota	5° 51' 37,116" N	72° 49' 06,708" W	Saylor <i>et al.</i> (2012b)	265	Se presentan picos de edad a 350, 290 y 85 Ma
0	3		Se obtuvo la localización de la sección Concordia, a lo largo de la cual se tomaron las muestras, a partir de la georreferenciación de la Figura 6	1153125	1135227	MAGNA_Colombia_Oeste	5° 58' 46,337" N	75° 51' 22,440" W	Ramirez <i>et al.</i> (2006)	226	Edad central, interpretada como resultado de eventos sintectónicos generados a lo largo del Sistema de Fallas de Romeral en los que se dio el retrabajamiento del basamento cretácico y del miembro inferior de la Formación Amagá, coetáneamente con los eventos volcánicos, entre 10 y 6 Ma, que dieron origen a la Formación Combia
			Se obtuvo las coordenadas del punto a partir de la georreferenciación de la Figura 4	1232687	1129011	MAGNA_Colombia_Oeste	6° 41' 56,251" N	75° 54' 38,690" W	González & Londoño (1998)	121	Edad modificada por procesos de alteración hidrotermal
	15			1047709	854168	MAGNA_Colombia_Bogota	5° 01' 34,700" N	75° 23' 32,800" W	Villagómez & Spikings (2013)	328	Edad pooled, interpretada como la edad de cristalización
				1739546	1018977	MAGNA_Colombia_Bogota	11° 16' 58,883" N	73° 54' 13,311" W	Duque (2009)	93	Edad integrada
				1739546	1018977	MAGNA_Colombia_Bogota	11° 16' 58,883" N	73° 54' 13,311" W	Duque (2009)	93	Edad de meseta
			Se obtuvo las coordenadas del punto a partir de la georreferenciación del mapa geológico	767351	954633	MAGNA_Colombia_Oeste	2° 29' 31,955" N	77° 29' 07,539" W	McCourt <i>et al.</i> (1990)	185	
			Se obtuvo las coordenadas del punto a partir de la georreferenciación del mapa geológico	733255	930639	MAGNA_Colombia_Oeste	2° 11' 01,679" N	77° 42' 03,706" W	McCourt <i>et al.</i> (1990)	185	
<1	7								Toro <i>et al.</i> (2006)	294	Edad central de población 2
			Se obtuvo las coordenadas del punto a partir de la georreferenciación de la Figura 2	1732831	1020560	MAGNA_Colombia_Bogota	11° 13' 20,321" N	73° 53' 21,258" W	Tschanz <i>et al.</i> (1974)	302	
			Se obtuvo las coordenadas del punto a partir de la georreferenciación de la Figura 2	1739893	1011297	MAGNA_Colombia_Bogota	11° 17' 10,311" N	73° 58' 26,526" W	Tschanz <i>et al.</i> (1974)	302	
	27			1277113	1117936	MAGNA_Colombia_Bogota	7° 06' 03,000" N	73° 00' 36,000" W	van der Lelij (2013)	308	Edad pooled
	40			1206170	1029355	MAGNA_Colombia_Bogota	6° 27' 37,764" N	73° 48' 43,686" W	Sánchez <i>et al.</i> (2012)	261	Edad pooled
	19			1130137	865416	MAGNA_Colombia_Bogota	5° 46' 18,200" N	75° 17' 33,100" W	Villagómez & Spikings (2013)	328	Edad pooled
0	20		Se tomaron las coordenadas listadas en los anexos que se diferencian varios metros con respecto a las reportadas en el informe final	1483589	1110651	MAGNA_Colombia_Oeste	8° 58' 03,481" N	76° 04' 16,838" W	Agencia Nacional de Hidrocarburos & Universidad de Caldas (2011b)	4	Edad pooled y edad central, muestra de un núcleo de perforación del pozo P28 a 29,21 m desde la base del pozo
56,6	3		Se obtuvo la localización de la sección Guineales-Péhalisa, a lo largo de la cual se tomaron las muestras, a partir de la georreferenciación de la Figura 6	1145875	1132392	MAGNA_Colombia_Oeste	5° 54' 50,587" N	75° 52' 55,094" W	Ramirez <i>et al.</i> (2006)	226	Edad central de población 2, interpretada como resultado de eventos sintectónicos generados a lo largo del Sistema de Fallas de Romeral en los que se dio el retrabajamiento del basamento cretácico y del miembro inferior de la Formación Amagá, coetáneamente con los eventos volcánicos, entre 10 y 6 Ma, que dieron origen a la Formación Combia
	30			1657161	1053035	MAGNA_Colombia_Bogota	10° 32' 16,448" N	73° 35' 34,711" W	Villagómez <i>et al.</i> (2011b)	327	Edad pooled, se presentan tasas de enfriamiento de 0,32–0,2 km/Ma durante 50–40 Ma
				1235624	1061488	MAGNA_Colombia_Oeste	6° 43' 35,700" N	76° 31' 16,900" W	Leal Mejía (2011)	160	Interpretada como la edad de cristalización magmática
				1244715	1053812	MAGNA_Colombia_Oeste	6° 48' 31,904" N	76° 35' 26,534" W	Buchely <i>et al.</i> (2009)	54	Edad de fusión total
			Localización tomada de Cardona (2003) [63]	1736514	1049965	MAGNA_Colombia_Bogota	11° 15' 19,113" N	73° 37' 11,736" W	Cardona <i>et al.</i> (2006)	64	Edad integrada interpretada como un evento de calentamiento con pérdida de argón
	19			923393	1099610	MAGNA_Colombia_Oeste	3° 54' 10,600" N	76° 10' 50,400" W	Villagómez & Spikings (2013)	328	Edad pooled
				1225232	1092095	MAGNA_Colombia_Bogota	6° 37' 56,028" N	73° 14' 40,920" W	Caballero <i>et al.</i> (2013)	59	Rango de edades tomada de las 4 alicuotas
	33			1074649	1035392	MAGNA_Colombia_Bogota	5° 16' 16,200" N	73° 45' 29,640" W	Ramirez Arias <i>et al.</i> (2012)	227	Edad de población, muestra del Sinclinal de Checu-Lenguazaque
				1191382	843753	MAGNA_Colombia_Bogota	6° 19' 29,721" N	75° 29' 22,194" W	Montes (2007)	193	
	13			1190557	842403	MAGNA_Colombia_Bogota	6° 19' 02,753" N	75° 30' 06,031" W	Montes (2007)	193	
	21								De Souza <i>et al.</i> (1984)	89	Para esta muestra se publicó una edad de 44,7 ± 6 Ma en Espinosa (1980) [96]

ID Datación Radiométrica	Código de la muestra	Unidad geológica	Litología	Edad años BP	Error años	Edad Ma	Error Ma	Edad grano simple menor detrítico	Edad grano simple mayor detrítico	Edad estratigráfica	Edades heredadas	Método de datación	Material analizado	Relación inicial	MSWD	P(X2) %
2018	Din 12-3R(2)	Grupo Honda				45,1	$\pm 2,2$			Eoceno (E2)			Huellas de fisión	Circón		5
2019	CM-5-7	Stock de Parashi	Cuarzodiorita			45,1	$\pm 2,5$			Eoceno (E2)			K-Ar	Biotita		
2020	DV58	Batolito Antioqueño	Granito			45,2	$\pm 1,2$			Eoceno (E2)			U-Th/He	Circón		
2021	WR-237	Batolito de Mandé	Pórfido tonalítico			45,3	$\pm 1,2$			Eoceno (E2)	<i>ca.</i> 59 Ma	U-Pb LA-MC-ICP-MS	Circón			
2022	DV58	Batolito Antioqueño	Granito			45,5	$\pm 3,1$			Eoceno (E2)			U-Th/He	Circón		
2023	DV26	Stock de Córdoba	Granodiorita			45,6	$\pm 7,6$			Eoceno (E2)			Huellas de fisión	Circón		5
2024	SR-45	Batolito Antioqueño				45,7	$\pm 2,3$			Eoceno (E2)			U-Th/He	Apatito		
2025	RS-SS10	Formación La Paz				45,8	$\pm 3,2$			Eoceno (E2)			Huellas de fisión EDM	Apatito		<1
2026	RS-SS5	Formación La Paz				45,8	$\pm 3,2$			Eoceno (E2)			Huellas de fisión EDM	Apatito		1
2027	z08BU01	Granito de Pescadero				45,8-55,2				Eoceno (E2)			U-Th/He	Circón		
2028	RG-16	Formación Socha	Arenita			45,89	$\pm 0,98$			Eoceno (E2)			Huellas de fisión LA-ICP-MS	Apatito		
2029	RG-16	Formación Socha	Arenita			45,9	$\pm 2,2$			Eoceno (E2)			Huellas de fisión LA-ICP-MS	Apatito		0,3
2030	Mo 460	Formación Volcánica	Basalto			46	$\pm 2$			Eoceno (E2)			K-Ar	Roca total		
2031	AEB 177	Grupo Diabásico	Lava			46	$\pm 3$			Eoceno (E2)			K-Ar	Roca total		
2032		Plutón de Mistrató	Diorita cuarzosa			46	$\pm 7$			Eoceno (E2)			K-Ar	Roca total		
2033	39	Stock de la quebrada Tahami	Diorita cuarzosa hornbléndica			46	$\pm 9$			Eoceno (E2)			Huellas de fisión	Circón		
2034	Din 12-3 (2) población 2	Grupo Honda				46	$\pm 2,4$			Eoceno (E2)			Huellas de fisión	Circón		40
2035	996-27	Formación Bocas	Arenita			46	$\pm 6,6$			Eoceno (E2)			Huellas de fisión	Apatito		77,2
2036	31	Formación Lisama (?)	Arenita					46 $\pm 3,7$	472,1 $\pm 37,8$	Ordovícico (O)-Eoceno (E2)			U-Th/He	Circón		
2037	Bsm 05	Batolito de Santa Marta	Granodiorita			46,01	$\pm 0,41$			Eoceno (E2)			Ar-Ar	Biotita		
2038	A-77	Gneis de Dibulla	Anortosita			46,1	$\pm 1,4$			Eoceno (E2)			Ar-Ar	Hornblendita		
2039	DV06	Batolito de Ibagué	Granito			46,3	$\pm 1,2$			Eoceno (E2)			U-Th/He	Circón		
2040	Bsm 05	Batolito de Santa Marta	Granodiorita			46,32	$\pm 0,67$			Eoceno (E2)			Ar-Ar	Biotita		
2041	DV167	Batolito de Mandé	Granodiorita			46,4	$\pm 5,8$			Eoceno (E2)			Huellas de fisión	Circón		93,25
2042	08BU06	Formación Jordán	Arenita					46,4 $\pm 3,7$	78,8 $\pm 6,3$	Campaniano (k5)-Eoceno (E2)			U-Th/He	Circón		
2043	AM-04	Formación Socha	Arenita			46,47	$\pm 2,8$			Eoceno (E2)			Huellas de fisión LA-ICP-MS	Apatito		
2044	BX76	Formación Timbiquí	Dique de andesita			46,7	$\pm 2$			Eoceno (E2)			K-Ar			
2045	508 GnP 03	Gneis de Las Peñas				46,7	$\pm 1,2$			Eoceno (E2)			Huellas de fisión	Circón		46
2046	SR-26	Batolito Antioqueño				46,7	$\pm 2,3$			Eoceno (E2)			U-Th/He	Apatito		
2047	Osos 24		Bauxita			46,7	$\pm 1,7$			Eoceno (E2)			Huellas de fisión	Circón		50
2048	SG-002	Batolito de Sabanalarga				46,79	$\pm 408,62$			Eoceno (E2)			U-Th/He	Apatito		
2049	RG-06	Formación Bogotá	Arenita			46,8	$\pm 3,3$			Eoceno (E2)			Huellas de fisión LA-ICP-MS	Apatito		0
2050	DV102	Stock de Zabaletas	Gabrodiorita			46,9	$\pm 8,1$			Eoceno (E2)			Ar-Ar	Hornblendita		
2051	DV 325	Grupo Diabásico	Dolerita			47				Eoceno (E2)			K-Ar			

Dispersión %	Número de granos analizados	Número de alicuotas	Fuente georreferenciación	Coordenada X	Coordenada Y	Sistema de coordenadas	Latitud	Longitud	Referencia	ID referencia	Comentarios
14,8	5		Se obtuvo la localización del pozo Dina-12 del sitio web del EPIS	833172	862320	MAGNA_Colombia_Bogota	3° 05' 12,504" N	75° 18' 57,601" W	Schwabe (2001)	267	Edad central, muestra del pozo Dina-12 a 3440 pies de profundidad
	2			1843906	933731	MAGNA_Colombia_Este	12° 13' 32,910" N	71° 41' 11,481" W	Cardona <i>et al.</i> (2014)	73	
				1157388	882771	MAGNA_Colombia_Bogota	6° 01' 06,300" N	75° 08' 10,800" W	Villagómez (2010)	325	Edad media ponderada
				1235277	1061780	MAGNA_Colombia_Oeste	6° 43' 24,400" N	76° 31' 07,400" W	Leal Mejía (2011)	160	Interpretada como la edad de cristalización magmática
				1157388	882771	MAGNA_Colombia_Bogota	6° 01' 06,300" N	75° 08' 10,800" W	Villagómez & Spikings (2013)	328	Edad media ponderada
20				979396	1154012	MAGNA_Colombia_Oeste	4° 24' 30,900" N	75° 41' 24,200" W	Villagómez & Spikings (2013)	328	Edad pooled
	2	4		1195286	1164594	MAGNA_Colombia_Oeste	6° 21' 36,000" N	75° 35' 24,000" W	Restrepo Moreno <i>et al.</i> (2009)	245	Edad de enfriamiento, los autores interpretan un pulso de rápida exhumación hace ~25 Ma, un período de quiescencia tectónica durante ~17 Ma y un evento de exhumación menos significativo hace ~41 Ma. Estos dos pulsos de exhumación coinciden con las fases orogénicas Protandina y Preandina respectivamente
	26								Gómez <i>et al.</i> (2005)	116	
	28								Gómez <i>et al.</i> (2005)	116	
				1236053	1109310	MAGNA_Colombia_Bogota	6° 43' 47,208" N	73° 05' 19,824" W	Caballero <i>et al.</i> (2013)	59	Rango de edades tomada de las 4 alicuotas
				1074649	1035392	MAGNA_Colombia_Bogota	5° 16' 16,200" N	73° 45' 29,640" W	Ramírez Arias <i>et al.</i> (2012)	227	Edad del inicio del último enfriamiento (edad del pico de enterramiento obtenida por modelamiento termal con el uso del software HeFTy), muestra del Sinclinal de Checua-Lenguazque
	39			1074649	1035392	MAGNA_Colombia_Bogota	5° 16' 16,200" N	73° 45' 29,640" W	Parra <i>et al.</i> (2009b)	219	Edad discordante parcialmente reseitead. También publicada en Ramírez Arias <i>et al.</i> (2012) [227]
			Localización tomada de McCourt & Verdugo (1985) [184]	879482	1061214	MAGNA_Colombia_Oeste	3° 30' 22,181" N	76° 31' 35,746" W	Brook (1984)	53	Edad de reseteamiento parcial
									De Souza <i>et al.</i> (1984)	89	Para esta muestra se publicó una edad de 46 ± 5,3 Ma en Espinosa (1980) [96]
			Se obtuvo las coordenadas del punto a partir de la georreferenciación de la Figura 7	1074115	1134524	MAGNA_Colombia_Oeste	5° 15' 54,879" N	75° 51' 50,606" W	González & Londoño (1998)	121	Interpretada como la edad de un evento tectono-térmico
			Las coordenadas (6° 37' N, 75° 42' W) reportadas por el autor no coinciden con la localización de la datación en la Figura 1. Se obtuvo las coordenadas del punto a partir de la georreferenciación de esta figura	1223377	1143132	MAGNA_Colombia_Oeste	6° 36' 52,111" N	75° 46' 59,812" W	Restrepo (1991b)	238	Edad mínima que corresponde al enfriamiento por debajo de 200 °C, la datación se hizo en un pequeño cuerpo de diorita que aflora en la región de Sucre
<1	2		Se obtuvo la localización del pozo Dina-12 del sitio web del EPIS	833172	862320	MAGNA_Colombia_Bogota	3° 05' 12,504" N	75° 18' 57,601" W	Schwabe (2001)	267	Edad central de población 2, muestra del pozo Dina-12 a 3440 pies de profundidad, edad obtenida por la profesora Gloria Elena TORO de la Universidad EAFIT
	9			1290197	1101366	MAGNA_Colombia_Bogota	7° 13' 10,020" N	73° 09' 35,028" W	Caballero <i>et al.</i> (2013)	59	
	4			1194619	1024092	MAGNA_Colombia_Bogota	6° 21' 21,830" N	73° 51' 35,129" W	Sánchez <i>et al.</i> (2012)	261	
				1734568	1006160	MAGNA_Colombia_Bogota	11° 14' 17,039" N	74° 01' 15,950" W	Duque (2009)	93	Edad integrada
				1679937	1000070	MAGNA_Colombia_Bogota	10° 44' 39,083" N	74° 04' 36,727" W	Cardona (2003)	63	Edad de meseta, espectro complejo con exceso de argón. La unidad está afectada por un evento hidrotermal
				978687	864909	MAGNA_Colombia_Bogota	4° 24' 08,900" N	75° 17' 40,300" W	Villagómez (2010)	325	Edad media ponderada
				1734568	1006160	MAGNA_Colombia_Bogota	11° 14' 17,039" N	74° 01' 15,950" W	Duque (2009)	93	Edad de meseta
	15			1129965	1091931	MAGNA_Colombia_Oeste	5° 46' 15,100" N	76° 14' 51,100" W	Villagómez & Spikings (2013)	328	Edad pooled
				1233281	1094701	MAGNA_Colombia_Bogota	6° 42' 17,892" N	73° 13' 15,636" W	Caballero <i>et al.</i> (2013)	59	Rango de edades tomada de las 4 alicuotas
				1070141	1074236	MAGNA_Colombia_Bogota	5° 13' 48,480" N	73° 24' 28,380" W	Ramírez Arias <i>et al.</i> (2012)	227	Edad del inicio del último enfriamiento (edad del pico de enterramiento obtenida por modelamiento termal con el uso del software HeFTy), muestra del bloque yacente de la Falla de Soápagua
			Se obtuvo las coordenadas del punto a partir de la georreferenciación del mapa geológico	732433	930847	MAGNA_Colombia_Oeste	2° 10' 34,914" N	77° 41' 56,956" W	McCourt <i>et al.</i> (1990)	185	Dique que corta la Formación Timbiquí
	18			1191782	844928	MAGNA_Colombia_Bogota	6° 19' 42,842" N	75° 28' 44,011" W	Montes (2007)	193	
	3-2	3		1197498	1164588	MAGNA_Colombia_Oeste	6° 22' 48,000" N	75° 35' 24,000" W	Restrepo Moreno <i>et al.</i> (2009)	245	Edad de enfriamiento, los autores interpretan un pulso de rápida exhumación hace ~25 Ma, un período de quiescencia tectónica durante ~17 Ma y un evento de exhumación menos significativo hace ~41 Ma. Estos dos pulsos de exhumación coinciden con las fases orogénicas Protandina y Preandina respectivamente
<1	4			1156051	844901	MAGNA_Colombia_Bogota	6° 00' 20,032" N	75° 28' 41,820" W	Toro (1999)	290	Edad central
	1	1	Se tomaron las coordenadas listadas en los anexos que se diferencian varios metros con respecto a las reportadas en el informe final	1221183	1135585	MAGNA_Colombia_Oeste	6° 35' 41,313" N	75° 51' 05,608" W	Agencia Nacional de Hidrocarburos & Universidad de Caldas (2011b)	4	Edad corregida
	18			1112251	1080774	MAGNA_Colombia_Bogota	5° 36' 39,000" N	73° 20' 54,420" W	Parra <i>et al.</i> (2009b)	219	También publicada en Ramírez Arias <i>et al.</i> (2012) [227]
				914139	1053018	MAGNA_Colombia_Oeste	3° 49' 10,600" N	76° 36' 00,700" W	Villagómez (2010)	325	Edad de fusión total
			Se obtuvo las coordenadas del punto a partir de la georreferenciación de la Figura 5	853408	1051343	MAGNA_Colombia_Oeste	3° 16' 13,530" N	76° 36' 55,952" W	Thery (1980)	278	

ID Datación Radiométrica	Código de la muestra	Unidad geológica	Litología	Edad años BP	Error años	Edad Ma	Error Ma	Edad grano simple menor detrítico	Edad grano simple mayor detrítico	Edad estratigráfica	Edades heredadas	Método de datación	Material analizado	Relación inicial	MSWD	P(X2) %
2052	DV14	Complejo Cajamarca	Cuarrita			47	$\pm 9,0$			Eoceno (E2)			Huellas de fisión	Circón		
2053	08BU02	Formación Silgará						47 $\pm 3,0$	53,5 $\pm 4,3$	Eoceno (E2)		U-Th/He	Circón			
2054	AD-4	Batolito de Mandé	Tonalita			47,1	$\pm 2,5$			Eoceno (E2)		K-Ar	Hornblenda			
2055	CCP7 35	Formación Combia				47,15	$\pm 2,59$			Eoceno (E2)			Huellas de fisión	Circón		88
2056	443 A GnP 04	Gneis de Las Peñas				47,2	$\pm 1,4$			Eoceno (E2)			Huellas de fisión	Circón		71
2057	CM-3-2A	Stock de Parashi	Cuarzodiorita			47,3	$\pm 0,9$			Eoceno (E2)		U-Pb LA-MC-ICP-MS	Circón		0,58	
2058	3	Esquistos de Santa Marta	Esquisto anfibólico			47,4	$\pm 2,4$			Eoceno (E2)		K-Ar	Hornblenda			
2059	AM-02 P3	Formación Los Cuervos	Arenita			47,4	$\pm 4,4$			Eoceno (E2)			Huellas de fisión EDM	Apatito		
2060	A-77	Gneis de Dibulla	Anortosita			47,7	$\pm 7$			Eoceno (E2)		Ar-Ar	Hornblenda			
2061		Batolito de Segovia				47,7	$\pm 2,9$			Eoceno (E2)			Huellas de fisión	Apatito		
2062	DV06	Batolito de Ibagué	Granito			47,7	$\pm 2,7$			Eoceno (E2)		U-Th/He	Circón			
2063	CM-4-16	Stock de Parashi	Cuarzodiorita			47,7	$\pm 5,5$			Eoceno (E2)		K-Ar	Anfibol			
2064	Bsm 111	Batolito de Santa Marta	Granodiorita			47,75	$\pm 0,60$			Eoceno (E2)		Ar-Ar	Hornblenda			
2065	9	Esquistos de Santa Marta	Pegmatita			47,8	$\pm 1,9$			Eoceno (E2)		K-Ar	Moscovita			
2066	08FLR01	Formación Picacho	Arenita arcosica					47,8 $\pm 3,8$	340,6 $\pm 27,2$	Carbonífero (C)-Eoceno (E2)		U-Th/He	Circón			
2067	DV156	Batolito de Sonsón	Granito			47,9	$\pm 5,2$			Eoceno (E2)			Huellas de fisión	Circón		14
2068	IGM-706956	Batolito de Mandé	Tonalita			48,0	1,5			Eoceno (E2)		Ar-Ar	Hornblenda y biotita			
2069	J-486.2	Stock de Parashi	Cuarzodiorita			48	$\pm 4$			Eoceno (E2)		K-Ar	Hornblenda			
2070	BX74	Plutón de Balsitas	Tonalita			48	$\pm 1$			Eoceno (E2)		K-Ar				
2071	Bsm 05	Batolito de Santa Marta	Granodiorita			48,04	$\pm 0,77$			Eoceno (E2)		Ar-Ar	Hornblenda			
2072	CCP71	Formación Combia				48,08	$\pm 1,57$			Eoceno (E2)			Huellas de fisión	Circón		0
2073	UAKA 80-22	Batolito de Acandi	Tonalita			48,1	$\pm 1,0$			Eoceno (E2)		K-Ar	Sericita hidrotermal			
2074	530 LP 04	Gneis de Las Palmas				48,2	$\pm 1,6$			Eoceno (E2)			Huellas de fisión	Apatito		10
2075	Osos 4		Suelo			48,2	$\pm 1,4$			Eoceno (E2)			Huellas de fisión	Circón		6
2076	DV156	Batolito de Sonson	Granito			48,2	$\pm 4,8$			Eoceno (E2)			Huellas de fisión LA-ICP-MS	Apatito		5
2077	Bsm 05	Batolito de Santa Marta	Granodiorita			48,33	$\pm 0,78$			Eoceno (E2)		Ar-Ar	Hornblenda			
2078	Bsm 111	Batolito de Santa Marta	Granodiorita			48,34	$\pm 0,90$			Eoceno (E2)		Ar-Ar	Hornblenda			
2079	AM2586	Formación Timbiquí	Pórfito andesítico			48,4	$\pm 4,8$			Eoceno (E2)		K-Ar				
2080	Osos 21		Arenas			48,4	$\pm 1,4$			Eoceno (E2)			Huellas de fisión	Circón		20
2081	7	Plutón de Buriticá	Cuarzodiorita			48,4	$\pm 1,8$			Eoceno (E2)		K-Ar	Biotita			
2082	PM-046	Formación Une	Arenita			48,4	$\pm 4$			Eoceno (E2)			Huellas de fisión EDM	Apatito		0

Dispersión %	Número de granos analizados	Número de alicuotas	Fuente georreferenciación	Coordenada X	Coordenada Y	Sistema de coordenadas	Latitud	Longitud	Referencia	ID referencia	Comentarios
				982705	844649	MAGNA_Colombia_Bogota	4° 26' 18,500" N	75° 28' 37,500" W	Villagómez & Spikings (2013)	328	Edad pooled de población
				1233308	1108787	MAGNA_Colombia_Bogota	6° 42' 17,892" N	73° 05' 37,032" W	Caballero <i>et al.</i> (2013)	59	Rango de edades tomada de las 4 alicuotas
									Gobel & Stibane (1981)	112	
0	3		Se obtuvo la localización de la sección Concordia, a lo largo de la cual se tomaron las muestras, a partir de la georreferenciación de la Figura 6	1153125	1135227	MAGNA_Colombia_Oeste	5° 58' 46,337" N	75° 51' 22,440" W	Ramirez <i>et al.</i> (2006)	226	Edad central, interpretada como resultado de eventos sintectónicos generados a lo largo del Sistema de Fallas de Romeral en los que se dio el retrasamiento del basamento cretácico y del miembro inferior de la Formación Amagá, coetáneamente con los eventos volcánicos, entre 10 y 6 Ma, que dieron origen a la Formación Combia
	10			1189594	843978	MAGNA_Colombia_Bogota	6° 18' 31,553" N	75° 29' 14,719" W	Montes (2007)	193	
	14		Localización tomada de Cardona <i>et al.</i> (2011b) [70]	1843998	933822	MAGNA_Colombia_Este	12° 13' 35,910" N	71° 41' 08,481" W	Cardona <i>et al.</i> (2014)	73	Edad de cristalización magmática
			Se obtuvo las coordenadas del punto a partir de la georreferenciación de la Figura 2	1721000	1002494	MAGNA_Colombia_Bogota	11° 06' 55,470" N	74° 03' 16,842" W	Tschanz <i>et al.</i> (1974)	302	
	22			1096555	1177708	MAGNA_Colombia_Bogota	5° 28' 01,920" N	72° 28' 26,720" W	Mora <i>et al.</i> (2010)	195	Edad pooled de la población 3, muestra del Anticlinal Monterrazo
				1679937	1000070	MAGNA_Colombia_Bogota	10° 44' 39,083" N	74° 04' 36,727" W	Cardona (2003)	63	Edad integrada con un espectro complejo. La unidad está afectada por un evento hidrotermal
									Echeverry (2008)	95	Maxima edad estimada para la actividad hidrotermal, muestra de la pared adyacente a las vetas en el distrito minero de Segovia-Remedios
				978687	864909	MAGNA_Colombia_Bogota	4° 24' 08,900" N	75° 17' 40,300" W	Villagómez & Spikings (2013)	328	Edad media ponderada
	2		Las coordenadas (12° 13' 46" N, 71° 41' 20,9" W) reportadas por los autores no coinciden con la localización de la datación en la Figura 2. Se obtuvo las coordenadas del punto a partir de la georreferenciación de esta figura	1849930	935466	MAGNA_Colombia_Este	12° 16' 49,048" N	71° 40' 14,536" W	Cardona <i>et al.</i> (2014)	73	
				1739546	1018977	MAGNA_Colombia_Bogota	11° 16' 58,883" N	73° 54' 13,311" W	Duque (2009)	93	Edad integrada
			Se obtuvo las coordenadas del punto a partir de la georreferenciación de la Figura 2	1736891	992587	MAGNA_Colombia_Bogota	11° 15' 32,628" N	74° 08' 43,422" W	Tschanz <i>et al.</i> (1974)	302	
	4			1133069	1138616	MAGNA_Colombia_Bogota	5° 47' 53,340" N	72° 49' 33,744" W	Saylor <i>et al.</i> (2012a)	264	Muestra localizada en el bloque yacente de la Falla de Soápaga
	13			1128175	864568	MAGNA_Colombia_Bogota	5° 45' 14,300" N	75° 18' 00,500" W	Villagómez & Spikings (2013)	328	Edad pooled
				1244715	1053812	MAGNA_Colombia_Oeste	6° 48' 31,904" N	76° 35' 26,534" W	Buchely <i>et al.</i> (2009)	54	Edad de meseta
				1843889	927894	MAGNA_Colombia_Este	12° 13' 31,911" N	71° 44' 24,584" W	Lockwood (1965)	162	
			Se obtuvo las coordenadas del punto a partir de la georreferenciación del mapa geológico	732099	931844	MAGNA_Colombia_Oeste	2° 10' 24,069" N	77° 41' 24,675" W	McCourt <i>et al.</i> (1990)	185	
				1734568	1006160	MAGNA_Colombia_Bogota	11° 14' 17,039" N	74° 01' 15,950" W	Duque (2009)	93	Edad integrada
38,8	19		Se obtuvo la localización de la sección Concordia, a lo largo de la cual se tomaron las muestras, a partir de la georreferenciación de la Figura 6	1153125	1135227	MAGNA_Colombia_Oeste	5° 58' 46,337" N	75° 51' 22,440" W	Ramirez <i>et al.</i> (2006)	226	Edad central, interpretada como resultado de eventos sintectónicos generados a lo largo del Sistema de Fallas de Romeral en los que se dio el retrasamiento del basamento cretácico y del miembro inferior de la Formación Amagá, coetáneamente con los eventos volcánicos, entre 10 y 6 Ma, que dieron origen a la Formación Combia
			Las coordenadas (8° 20' N, 77° 24' W) reportadas por los autores no coinciden con la localización de la datación en la Figura 2. Se obtuvo las coordenadas del punto a partir de la georreferenciación de esta figura	1427780	968490	MAGNA_Colombia_Oeste	8° 27' 51,439" N	77° 21' 49,198" W	Sillitoe <i>et al.</i> (1982)	271	Interpretada como la edad mínima de emplazamiento, la datación fue realizada sobre el testigo de perforación DDH-2 de 98–100 pies
	34			1173757	837553	MAGNA_Colombia_Bogota	6° 09' 55,598" N	75° 32' 42,261" W	Montes (2007)	193	
11	7			1157522	846382	MAGNA_Colombia_Bogota	6° 01' 08,033" N	75° 27' 53,817" W	Toro (1999)	290	Edad central
	22			1128175	864568	MAGNA_Colombia_Bogota	5° 45' 14,300" N	75° 18' 00,500" W	Villagómez & Spikings (2013)	328	Edad pooled
				1734568	1006160	MAGNA_Colombia_Bogota	11° 14' 17,039" N	74° 01' 15,950" W	Duque (2009)	93	Edad de meseta
				1739546	1018977	MAGNA_Colombia_Bogota	11° 16' 58,883" N	73° 54' 13,311" W	Duque (2009)	93	Edad de meseta
			Se obtuvo las coordenadas del punto a partir de la georreferenciación del mapa geológico	744703	937835	MAGNA_Colombia_Oeste	2° 17' 14,445" N	77° 38' 10,967" W	McCourt <i>et al.</i> (1990)	185	
7	7		Se obtuvo las coordenadas del punto a partir de la georreferenciación de la Figura 2	1168038	843825	MAGNA_Colombia_Bogota	6° 06' 50,038" N	75° 29' 17,817" W	Toro (1999)	290	Edad central de población, circones incoloros
			Se obtuvo las coordenadas del punto a partir de la georreferenciación de la Figura 2	1726764	1037586	MAGNA_Colombia_Bogota	11° 10' 02,372" N	73° 44' 00,237" W	Tschanz <i>et al.</i> (1974)	302	
	20			1042749	1132405	MAGNA_Colombia_Bogota	4° 58' 54,120" N	72° 53' 01,320" W	Ramírez Arias <i>et al.</i> (2012)	227	Muestra del bloque colgante de la Falla de Guacáramo

ID Datación Radiométrica	Código de la muestra	Unidad geológica	Litología	Edad años BP	Error años	Edad Ma	Error Ma	Edad grano simple menor detrítico	Edad grano simple mayor detrítico	Edad estratigráfica	Edades heredadas	Método de datación	Material analizado	Relación inicial	MSWD	P(X2) %
2083	M1-MP-005	Formación Chagüí	Arenita			48,72	$\pm 1391,32$			Eoceno (E2)		U-Th/He	Apatito			
2084	CGP2	Formación Combia				48,77	$\pm 3,72$			Eoceno (E2)		Huellas de fisión	Circón			5
2085	Din 12-3 (2)	Grupo Honda				48,8	$\pm 3,0$			Eoceno (E2)		Huellas de fisión	Circón			<1
2086	8	Batolito de Santa Marta	Cuarzodiorita			48,8	$\pm 1,7$			Eoceno (E2)		K-Ar	Hornblenda			
2087	SR-15	Batolito Antioqueño				48,9	$\pm 2,4$			Eoceno (E2)		U-Th/He	Apatito			
2088	16	Formación Real	Arenita			48,9	$\pm 4,3$			Eoceno (E2)		Huellas de fisión LA-ICP-MS	Apatito			0,01
2089	AEB 115	Grupo Diabásico	Lava			49	$\pm 5$			Eoceno (E2)		K-Ar	Roca total			
2090	7	Plutón de Buriticá	Cuarzodiorita			49	$\pm 2$			Eoceno (E2)		K-Ar	Hornblenda			
2091	CM-3-11	Dique intruyendo al Stock de Parashi	Andesita porfirítica			49,0	$\pm 1,00$			Eoceno (E2)	14 circones incluyen edades grenvillianas, 200-250 Ma y 110-160 Ma.	U-Pb LA-MC-ICP-MS	Circón			0,049
2092	IGM-49676	Batolito de El Bosque	Granodiorita			49,1	$\pm 1,7$			Eoceno (E2)		K-Ar	Biotita			
2093	BC 7	Batolito Antioqueño	Granodiorita			49,1	$\pm 2,5$			Eoceno (E2)		Huellas de fisión	Circón			
2094	P26-2112_211 5-ML-003	Formación Ciénaga de Oro				49,15	$\pm 3,85$			Eoceno (E2)		Huellas de fisión EDM	Apatito			100
2095	996-15	Formación Colorado	Arenita			49,2	$\pm 7,2$			Eoceno (E2)		Huellas de fisión	Apatito			0
2096	IGM-706956	Batolito de Mandé	Tonalita			49,3	2,1			Eoceno (E2)		Ar-Ar	Hornblenda y biotita			0,95
2097	WDM-380	Esquistos de Santa Marta, Formación Cinto	Filita			49,3	$\pm 3,9$			Eoceno (E2)		K-Ar	Roca total			
2098	449 GnP 01	Gneis de Las Peñas				49,4	$\pm 2,3$			Eoceno (E2)		Huellas de fisión	Circón			78
2099	BC 3	Batolito Antioqueño	Granodiorita			49,4	$\pm 2,0$			Eoceno (E2)		Huellas de fisión	Circón			
2100	08FLR03	Formación Tibasosa	Cuarzoarenita					49,4 $\pm 4,0$	152,4 $\pm 12,2$	Jurásico superior (J3)-Eoceno (E2)		U-Th/He	Circón			
2101	Bsm 12E	Batolito de Santa Marta	Granodiorita			49,45	$\pm 0,75$			Eoceno (E2)		Ar-Ar	Biotita			
2102	08PB01	Formación Concentración	Arenita					49,6 $\pm 4,0$	111,4 $\pm 8,9$	Albiano (b6)-Eoceno (E2)		U-Th/He	Circón			
2103	A-77	Gneis de Dibulla	Anortosita			49,8	$\pm 1,1$			Eoceno (E2)		Ar-Ar	Biotita			
2104	LS1	Gabro de Rodrigoque	Gabro piroxénico hornbléndico			49,9	$\pm 0,2$			Eoceno (E2)		Ar-Ar	Plagioclasa			
2105	08YEM08	Formación León	Arenita					49,9 $\pm 4$	118,3 $\pm 9,5$	Aptiano (b5)-Eoceno (E2)		U-Th/He	Circón			
2106		Batolito de Acandí				ca . 50				Eoceno (E2)		U-Pb LA-ICP-MS	Circón			
2107	C-78-1		Ortogneis biotítico			50	$\pm 6$			Eoceno (E2)		Huellas de fisión	Circón			
2108	Bsm 18	Batolito de Santa Marta	Granodiorita-tonalita			50,12	$\pm 0,76$			Eoceno (E2)		U-Pb LA-ICP-MS	Circón			1,05
2109	SG-002	Batolito de Sabanalarga				50,28	$+ 16,62/- 12,5$			Eoceno (E2)		Huellas de fisión LA-ICP-MS	Apatito			
2110	CGP2	Formación Combia				50,32	$\pm 3,6$			Eoceno (E2)		Huellas de fisión	Circón			26
2111	AM-02 P2	Formación Los Cuervos	Arenita			50,4	$\pm 5,1$			Eoceno (E2)		Huellas de fisión EDM	Apatito			
2112	Bsm 12E	Batolito de Santa Marta	Granodiorita			50,42	$\pm 1,05$			Eoceno (E2)		Ar-Ar	Hornblenda			

Dispersión %	Número de granos analizados	Número de aliquotas	Fuente georreferenciación	Coordenada X	Coordenada Y	Sistema de coordenadas	Latitud	Longitud	Referencia	ID referencia	Comentarios
	1	1		688492	847272	MAGNA_Colombia_Oeste	1° 46' 42,940" N	78° 27' 00,036" W	Agencia Nacional de Hidrocarburos & Universidad de Caldas (2011a)	3	Muestra de ripios recuperados del pozo Majagua-1
31,9	3		Se obtuvo la localización de la sección Guineales-Peláez, a lo largo de la cual se tomaron las muestras, a partir de la georreferenciación de la Figura 6	1145875	1132392	MAGNA_Colombia_Oeste	5° 54' 50,587" N	75° 52' 55,094" W	Ramirez <i>et al.</i> (2006)	226	Edad central interpretada como resultado de eventos sintectónicos generados a lo largo del Sistema de Fallas de Romeral en los que se dio el retrabajamiento del basamento cretácico y del miembro inferior de la Formación Amagá, coetáneamente con los eventos volcánicos, entre 10 y 6 Ma, que dieron origen a la Formación Combia
60,3	16		Se obtuvo la localización del pozo Dina-12 del sitio web del EPIS	833172	862320	MAGNA_Colombia_Bogota	3° 05' 12,504" N	75° 18' 57,601" W	Schwabe (2001)	267	Edad central, muestra del pozo Dina-12 a 3440 pies de profundidad, edad obtenida por la profesora Gloria Elena TORO de la Universidad EAFIT
			Se obtuvo las coordenadas del punto a partir de la georreferenciación de la Figura 2	1739893	1011297	MAGNA_Colombia_Bogota	11° 17' 10,311" N	73° 58' 26,526" W	Tschanz <i>et al.</i> (1974)	302	
2	5			1205183	857013	MAGNA_Colombia_Bogota	6° 27' 00,000" N	75° 22' 12,000" W	Restrepo Moreno <i>et al.</i> (2009)	245	Edad de enfriamiento, los autores interpretan un pulso de rápida exhumación hace ~25 Ma, un período de quiescencia tectónica durante ~17 Ma y un evento de exhumación menos significativo hace ~41 Ma. Estos dos pulsos de exhumación coinciden con las fases orogénicas Protoandina y Preandina respectivamente
40				1206170	1029355	MAGNA_Colombia_Bogota	6° 27' 37,764" N	73° 48' 43,686" W	Sánchez <i>et al.</i> (2012)	261	Edad de población
									De Souza <i>et al.</i> (1984)	89	Para esta muestra se publicó una edad de $49,4 \pm 9,8$ Ma en Espinosa (1980) [96]
			Se obtuvo las coordenadas del punto a partir de la georreferenciación de la Figura 2	1726764	1037586	MAGNA_Colombia_Bogota	11° 10' 02,372" N	73° 44' 00,237" W	Tschanz <i>et al.</i> (1974)	302	
13			Las coordenadas (12° 13' 49" N, 71° 40' 13,2" W) reportadas por los autores no coinciden con la localización de la datación en la Figura 2. Se obtuvo las coordenadas del punto a partir de la georreferenciación de esta figura	1843733	932540	MAGNA_Colombia_Este	12° 13' 27,197" N	71° 41' 50,882" W	Cardona <i>et al.</i> (2014)	73	Edad de cristalización magmática, los diques son temporalmente relacionados al Stock de Parashi
			Localización tomada de Barrero & Vesga (1976) [25]	1016199	882253	MAGNA_Colombia_Bogota	4° 44' 30,734" N	75° 08' 19,666" W	Barrero & Vesga (1976)	25	
				1214607	889503	MAGNA_Colombia_Bogota	6° 32' 09,095" N	75° 04' 35,468" W	Saenz <i>et al.</i> (1996)	258	
0	18		Se tomaron las coordenadas listadas en los anexos que se diferencian varios metros con respecto a las reportadas en el informe final	1444025	1164222	MAGNA_Colombia_Oeste	8° 36' 30,178" N	75° 35' 08,661" W	Agencia Nacional de Hidrocarburos & Universidad de Caldas (2011b)	4	Edad pooled y edad central, muestra de un núcleo de perforación del pozo P26 a 211,2 m desde la base del pozo
	20			1294162	1077212	MAGNA_Colombia_Bogota	7° 15' 20,448" N	73° 22' 42,096" W	Caballero <i>et al.</i> (2013)	59	
				1244715	1053812	MAGNA_Colombia_Oeste	6° 48' 31,904" N	76° 35' 26,534" W	Buchely <i>et al.</i> (2009)	54	Edad de isócrona inversa
			Se obtuvo las coordenadas del punto a partir de la georreferenciación de la Figura 2	1732249	985134	MAGNA_Colombia_Bogota	11° 13' 01,468" N	74° 12' 49,087" W	MacDonald <i>et al.</i> (1971)	166	
2				1190557	842403	MAGNA_Colombia_Bogota	6° 19' 02,753" N	75° 30' 06,031" W	Montes (2007)	193	
				1200507	854003	MAGNA_Colombia_Bogota	6° 24' 27,565" N	75° 23' 49,550" W	Saenz <i>et al.</i> (1996)	258	
4				1144271	1138054	MAGNA_Colombia_Bogota	5° 53' 57,984" N	72° 49' 51,204" W	Saylor <i>et al.</i> (2012a)	264	Muestra localizada en el bloque yacente de la Falla de Divaquia
				1737817	998195	MAGNA_Colombia_Bogota	11° 16' 02,795" N	74° 05' 38,541" W	Duque (2009)	93	Edad de meseta
4				1157894	1145110	MAGNA_Colombia_Bogota	6° 01' 20,820" N	72° 46' 00,804" W	Saylor <i>et al.</i> (2012a)	264	Muestra localizada en el bloque yacente de la Falla de Soápaga
				1679937	1000070	MAGNA_Colombia_Bogota	10° 44' 39,083" N	74° 04' 36,727" W	Cardona (2003)	63	Edad integrada, espectro irregular. La unidad está afectada por un evento hidrotermal
				1168683	860225	MAGNA_Colombia_Este	6° 07' 12,349" N	72° 20' 24,630" W	Vásquez <i>et al.</i> (2010)	318	Edad de fusión total que probablemente carece de sentido geológico
4				1086272	851717	MAGNA_Colombia_Este	5° 22' 29,604" N	72° 24' 55,008" W	Bande <i>et al.</i> (2012)	22	Dominio de edades cretácicas-cenozoicas que son interpretadas como el producto de reciclaje en la cordillera Oriental de sedimentos enterrados superficialmente (<5 km) que se originaron de fuentes al oeste (arco andino y cinturón de cabalgamientos)
									Cardona <i>et al.</i> (2013)	72	Edad de cristalización
6			Se obtuvo las coordenadas del punto a partir de la georreferenciación de la Figura 7	1292590	1138815	MAGNA_Colombia_Bogota	7° 14' 24,978" N	72° 49' 14,348" W	Shagam <i>et al.</i> (1984)	270	
26				1739546	1018977	MAGNA_Colombia_Bogota	11° 16' 58,883" N	73° 54' 13,311" W	Duque (2009)	93	Edad media ponderada interpretada como la edad de cristalización magmática
40			Se tomaron las coordenadas listadas en los anexos que se diferencian varios metros con respecto a las reportadas en el informe final	1221183	1135585	MAGNA_Colombia_Oeste	6° 35' 41,313" N	75° 51' 05,608" W	Agencia Nacional de Hidrocarburos & Universidad de Caldas (2011b)	4	Edad pooled
0	3		Se obtuvo la localización de la sección Guineales-Peláez, a lo largo de la cual se tomaron las muestras, a partir de la georreferenciación de la Figura 6	1145875	1132392	MAGNA_Colombia_Oeste	5° 54' 50,587" N	75° 52' 55,094" W	Ramirez <i>et al.</i> (2006)	226	Edad central interpretada como resultado de eventos sintectónicos generados a lo largo del Sistema de Fallas de Romeral en los que se dio el retrabajamiento del basamento cretácico y del miembro inferior de la Formación Amagá, coetáneamente con los eventos volcánicos, entre 10 y 6 Ma, que dieron origen a la Formación Combia
	21		Localización tomada de Mora <i>et al.</i> (2010) [195]	1096555	1177708	MAGNA_Colombia_Bogota	5° 28' 01,920" N	72° 28' 26,720" W	Ramirez Arias <i>et al.</i> (2012)	227	Edad de población, muestra del Anticlinal Montrrallo
				1737817	998195	MAGNA_Colombia_Bogota	11° 16' 02,795" N	74° 05' 38,541" W	Duque (2009)	93	Edad de meseta

ID Datación Radiométrica	Código de la muestra	Unidad geológica	Litología	Edad años BP	Error años	Edad Ma	Error Ma	Edad grano simple menor detrítico	Edad grano simple mayor detrítico	Edad estratigráfica	Edades heredadas	Método de datación	Material analizado	Relación inicial	MSWD	P(X2) %
2113	08YEM05	Formación Guayabo	Arenita					50,5 ± 4,0	1507,4 ± 120,6	Mesoproterozoico (MP)-Eoceno (E2)		U-Th/He	Circón detritico			
2114	Bsm 04	Batolito de Santa Marta	Granodiorita-tonalita			50,6	± 1,7			Eoceno (E2)		U-Pb LA-ICP-MS	Circón		1,5	
2115	Bsm 12E	Batolito de Santa Marta	Granodiorita			50,66	± 0,87			Eoceno (E2)		Ar-Ar	Hornblenda			
2116	IGM-706917	Complejo Santa Cecilia La Equis	Basalto piroclílico			50,7	± 2,0			Eoceno (E2)		Ar-Ar	Vidrio volcánico			
2117	BX72	Formación Timbiquí	Andesita			50,7	± 2			Eoceno (E2)		K-Ar				
2118	CM-3-7A	Stock de Parashi	Cuarzodiorita			50,7	± 1,00			Eoceno (E2)	936, 882 y 223 Ma	U-Pb LA-MC-ICP-MS	Circón		1,3	
2119	JRG-12-12	Plutón de Buriticá	Tonalita-cuarzodiorita			50,8	± 1,5			Eoceno (E2)	1284-296 Ma	U-Pb LA-ICP-MS	Circón		0,98	
2120	CGP2	Formación Combia				50,85	± 3			Eoceno (E2)		Huellas de fisión	Circón			0
2121	Bsm 12E	Batolito de Santa Marta	Granodiorita			50,91	± 0,8			Eoceno (E2)		Ar-Ar	Biotita			
2122	BX68	Plutón de El Salto	Pegmatita moscovítica			51	± 1			Eoceno (E2)		K-Ar				
2123	2	Esquistos de Santa Marta	Esquisto anfibólico			51	± 3,6			Eoceno (E2)		K-Ar	Hornblenda			
2124	tef4a		Saprolito			51,1	± 1,8			Eoceno (E2)		Huellas de fisión	Circón			10
2125	451 GnP 02	Gneis de Las Peñas				51,3	± 2,4			Eoceno (E2)		Huellas de fisión	Circón			52
2126	Din 12-2L	Grupo Honda				51,3	± 3,1			Eoceno (E2)		Huellas de fisión	Circón			2
2127	Osos 1		Suelo			51,4	± 1,5			Eoceno (E2)		Huellas de fisión	Circón			49
2128	BX20R	Formación Timbiquí	Porfido andesítico			51,5	± 1,5			Eoceno (E2)		K-Ar				
2129	520 LP 03	Gneis de Las Palmas				51,5	± 1,3			Eoceno (E2)		Huellas de fisión	Circón			44
2130	DV28	Complejo Arquia	Anfibolita granatífera			51,6	± 3,3			Eoceno (E2)		Ar-Ar	Hornblenda			
2131	IGM-707151		Gabronorita			51,7	3,9			Eoceno (E2)		Ar-Ar	Roca total			0,69
2132	BSM-6	Batolito de Santa Marta	Cuarzodiorita			51,7	± 1,3			Eoceno (E2)		U-Pb	Circón			4,8
2133	CGP11	Formación Combia				51,8	± 2,8			Eoceno (E2)		Huellas de fisión	Circón			84
2134	DV179	Complejo Quebradagrande	Arenita			51,8	± 7,4			Eoceno (E2)		Huellas de fisión	Apatito			30
2135	11080802	Formación Picacho	Arenita					51,8 ± 4,1	823,1 ± 65,8	Neoproterozoico (NP)-Eoceno (E2)		U-Th/He	Circón			
2136	504 GrD 01	Grupo El Retiro				52,2	± 1,4			Eoceno (E2)		Huellas de fisión	Circón			35
2137	Bsm 108	Batolito de Santa Marta	Dique aplítico			52,28	± 0,65			Eoceno (E2)	259 Ma	U-Pb LA-ICP-MS	Circón			0,78
2138	Din 12-1A	Grupo Honda				52,3	± 2,3			Eoceno (E2)		Huellas de fisión	Circón			<1
2139	CGP44	Formación Combia				52,36	± 3,22			Eoceno (E2)		Huellas de fisión	Circón			78
2140	08BU07	Formación Tambor				52,4-63,1		52,4 ± 4,2	63,1 ± 5,0	Paleoceno (E1)-Eoceno (E2)		U-Th/He	Circón			
2141	AM-04	Formación Socha	Arenita			52,5	± 3,4			Eoceno (E2)		Huellas de fisión LA-ICP-MS	Apatito			2,5
2142	488 Esc 02	Migmatitas de El Escobero				52,6	± 1,6			Eoceno (E2)		Huellas de fisión	Circón			80
2143	Din 12-2L	Grupo Honda				52,6	± 1,8			Eoceno (E2)		Huellas de fisión	Circón			2-11
2144	IGM-707151		Gabronorita			52,7	± 3,2			Eoceno (E2)		Ar-Ar	Roca total			

Dispersión %	Número de gramos analizados	Número de alicuotas	Fuente georreferenciación	Coordenada X	Coordenada Y	Sistema de coordenadas	Latitud	Longitud	Referencia	ID referencia	Comentarios
	9		Se obtuvo las coordenadas del punto de la Tabla DRI (datos suplementarios)	1090125	849423	MAGNA_Colombia_Este	5° 24' 34,848" N	72° 26' 09,780" W	Horton <i>et al.</i> (2010a)	140	Se presenta una población <150 Ma (n = 28) y una subpoblación menor de 1000–850 Ma. Las edades más jóvenes son consideradas como producto de la exhumación cretácico–cenozoica del cinturón orogénico de los Andes y/o posible contribución de fuentes igneas. También publicada en Bande <i>et al.</i> (2012) [22]
	25			1742699	1015384	MAGNA_Colombia_Bogota	11° 18' 41,559" N	73° 56' 11,730" W	Duque (2009)	93	Edad media ponderada interpretada como la edad de cristalización magmática
				1737817	998195	MAGNA_Colombia_Bogota	11° 16' 02,795" N	74° 05' 38,541" W	Duque (2009)	93	Edad integrada
				1237534	1076112	MAGNA_Colombia_Oeste	6° 44' 37,270" N	76° 23' 20,650" W	Buchely <i>et al.</i> (2009)	54	Edad de meseta
			Se obtuvo las coordenadas del punto a partir de la georreferenciación del mapa geológico	733223	930347	MAGNA_Colombia_Oeste	2° 11' 00,632" N	77° 42' 13,127" W	McCourt <i>et al.</i> (1990)	185	
	29		Localización tomada de Cardona <i>et al.</i> (2011b) [70]	1842742	934811	MAGNA_Colombia_Este	12° 12' 55,110" N	71° 40' 35,681" W	Cardona <i>et al.</i> (2014)	73	Edad de cristalización magmática
	11			1727669	1038355	MAGNA_Colombia_Bogota	11° 10' 31,789" N	73° 43' 34,845" W	Duque (2009)	93	Edad media ponderada interpretada como la edad de cristalización magmática
8,2	5		Se obtuvo la localización de la sección Guineales–Pehalisa, a lo largo de la cual se tomaron las muestras, a partir de la georreferenciación de la Figura 6	1145875	1132392	MAGNA_Colombia_Oeste	5° 54' 50,587" N	75° 52' 55,094" W	Ramirez <i>et al.</i> (2006)	226	Edad central de población 2, interpretada como resultado de eventos sintectónicos generados a lo largo del Sistema de Fallas de Romeral en los que se dio el retrabajoamiento del basamento cretácico y del miembro inferior de la Formación Amagá, coetáneamente con los eventos volcánicos, entre 10 y 6 Ma, que dieron origen a la Formación Combia
				1737817	998195	MAGNA_Colombia_Bogota	11° 16' 02,795" N	74° 05' 38,541" W	Duque (2009)	93	Edad integrada
			Se obtuvo las coordenadas del punto a partir de la georreferenciación del mapa geológico	735776	935383	MAGNA_Colombia_Oeste	2° 12' 23,810" N	77° 39' 30,200" W	McCourt <i>et al.</i> (1990)	185	
			Se obtuvo las coordenadas del punto a partir de la georreferenciación de la Figura 2	1709026	995221	MAGNA_Colombia_Bogota	11° 00' 25,775" N	74° 07' 16,445" W	Tschanz <i>et al.</i> (1974)	302	
11	6								Toro (1999)	290	Edad central
	3			1191382	843753	MAGNA_Colombia_Bogota	6° 19' 29,721" N	75° 29' 22,194" W	Montes (2007)	193	
27	5		Se obtuvo la localización del pozo Dina-12 del sitio web del EPIS	833172	862320	MAGNA_Colombia_Bogota	3° 05' 12,504" N	75° 18' 57,601" W	Schwabe (2001)	267	Edad central, muestra del pozo Dina-12 a 2782 pies de profundidad
9	6			1157522	846382	MAGNA_Colombia_Bogota	6° 01' 08,033" N	75° 27' 53,817" W	Toro (1999)	290	Edad central
			Se obtuvo las coordenadas del punto a partir de la georreferenciación del mapa geológico	736409	931497	MAGNA_Colombia_Oeste	2° 12' 44,364" N	77° 41' 35,962" W	McCourt <i>et al.</i> (1990)	185	
	16			1172582	837528	MAGNA_Colombia_Bogota	6° 09' 17,358" N	75° 32' 42,969" W	Montes (2007)	193	
				976201	1150785	MAGNA_Colombia_Oeste	4° 22' 47,100" N	75° 43' 09,000" W	Villagómez (2010)	325	Edad de fusión total
				1219174	1053759	MAGNA_Colombia_Oeste	6° 34' 40,502" N	76° 35' 29,059" W	Buchely <i>et al.</i> (2009)	54	Edad de isócrona inversa
				1739121	1017520	MAGNA_Colombia_Bogota	11° 16' 45,092" N	73° 55' 01,355" W	Mejia <i>et al.</i> (2008)	186	Edad de concordia, interpretada como la edad de cristalización
0	10		Se obtuvo la localización de la sección Guineales–Pehalisa, a lo largo de la cual se tomaron las muestras, a partir de la georreferenciación de la Figura 6	1145875	1132392	MAGNA_Colombia_Oeste	5° 54' 50,587" N	75° 52' 55,094" W	Ramirez <i>et al.</i> (2006)	226	Edad central, interpretada como resultado de eventos sintectónicos generados a lo largo del Sistema de Fallas de Romeral en los que se dio el retrabajoamiento del basamento cretácico y del miembro inferior de la Formación Amagá, coetáneamente con los eventos volcánicos, entre 10 y 6 Ma, que dieron origen a la Formación Combia
	20			1137242	1164878	MAGNA_Colombia_Oeste	5° 50' 07,100" N	75° 35' 20,000" W	Villagómez & Spikings (2013)	328	Edad pooled, la localización de la muestra no corresponde con la unidad geológica
	10			1139666	1139006	MAGNA_Colombia_Bogota	5° 51' 28,044" N	72° 49' 20,568" W	Saylor <i>et al.</i> (2012a)	264	
	9			1163532	845953	MAGNA_Colombia_Bogota	6° 04' 23,566" N	75° 28' 08,267" W	Montes (2007)	193	
	12			1723350	995518	MAGNA_Colombia_Bogota	11° 08' 11,958" N	74° 07' 06,737" W	Duque (2009)	93	Edad media ponderada interpretada como la edad de cristalización magmática
18	10		Se obtuvo la localización del pozo Dina-12 del sitio web del EPIS	833172	862320	MAGNA_Colombia_Bogota	3° 05' 12,504" N	75° 18' 57,601" W	Schwabe (2001)	267	Edad central, muestra del pozo Dina-12 a 2064 pies de profundidad
0	3		Se obtuvo la localización de la sección Guineales–Pehalisa, a lo largo de la cual se tomaron las muestras, a partir de la georreferenciación de la Figura 6	1145875	1132392	MAGNA_Colombia_Oeste	5° 54' 50,587" N	75° 52' 55,094" W	Ramirez <i>et al.</i> (2006)	226	Edad central, interpretada como resultado de eventos sintectónicos generados a lo largo del Sistema de Fallas de Romeral en los que se dio el retrabajoamiento del basamento cretácico y del miembro inferior de la Formación Amagá, coetáneamente con los eventos volcánicos, entre 10 y 6 Ma, que dieron origen a la Formación Combia
				1226832	1094024	MAGNA_Colombia_Bogota	6° 38' 48,012" N	73° 13' 38,028" W	Caballero <i>et al.</i> (2013)	59	Rango de edades tomada de las 4 alicuotas
	37		Localización tomada de Ramirez Arias <i>et al.</i> (2012) [227]	1070141	1074236	MAGNA_Colombia_Bogota	5° 13' 48,480" N	73° 24' 28,380" W	Parra <i>et al.</i> (2009b)	219	Edad discordante parcialmente reseteada. También publicada en Ramirez Arias <i>et al.</i> (2012) [227]
	8			1170857	836064	MAGNA_Colombia_Bogota	6° 08' 21,091" N	75° 33' 30,416" W	Montes (2007)	193	
27–19	5–6		Se obtuvo la localización del pozo Dina-12 del sitio web del EPIS	833172	862320	MAGNA_Colombia_Bogota	3° 05' 12,504" N	75° 18' 57,601" W	Schwabe (2001)	267	Edad central ponderada, muestra del pozo Dina-12 a 2782 pies de profundidad
				1219174	1053759	MAGNA_Colombia_Oeste	6° 34' 40,502" N	76° 35' 29,059" W	Buchely <i>et al.</i> (2009)	54	Edad de meseta

ID Datación Radiométrica	Código de la muestra	Unidad geológica	Litología	Edad años BP	Error años	Edad Ma	Error Ma	Edad grano simple menor detrítico	Edad grano simple mayor detrítico	Edad estratigráfica	Edades heredadas	Método de datación	Material analizado	Relación inicial	MSWD	P(X2) %
2145	08YEM07	Formación Guayabó	Arenita					52,7 ± 4,2	673,7 ± 53,9	Neoproterozoico (NP)-Eoceno (E2)		U-Th/He	Circón detritico			
2146	Robledo	Depósito del Cuaternario	Tefra			52,9	± 2,4			Eoceno (E2)		Huellas de fisión	Circón			97
2147	IGM-69923	Stock de El Hatillo	Cuarzodiorita			53	± 1,8			Eoceno (E2)		K-Ar	Biotita			
2148	Mo 519	Batolito de Santa Bárbara	Cuarzodiorita biótica			53	± 2			Eoceno (E2)		Rb-Sr	Biotita y plagioclasa			
2149	AEB 88	Grupo Diabásico	Lava			53	± 2			Eoceno (E2)		K-Ar	Roca total			
2150	AM2602	Intrusivo del río Nápi	Tonalita hornblendíca			53	± 5			Eoceno (E2)		K-Ar				
2151	BX77	Intrusivo del río Nápi	Gabro hornblendíco pegmatítico			53	± 2			Eoceno (E2)		K-Ar				
2152	DV148	Batolito Antioqueño	Granodiorita			53,0	± 4,8			Eoceno (E2)		Huellas de fisión	Apatito			78
2153	DV154	Complejo Cajamarca	Esquisto			53,1	± 5,6			Eoceno (E2)		Huellas de fisión	Circón			47
2154	Din 12-2L	Grupo Honda				53,2	± 2,4			Eoceno (E2)		Huellas de fisión	Circón			11
2155	Bsm 110	Batolito de Santa Marta	Dique aplítico			53,3	± 1,0			Eoceno (E2)	126-62 Ma	U-Pb LA-ICP-MS	Circón		1,11	
2156	521 LP 01	Gneis de Las Palmas				53,3	± 1,4			Eoceno (E2)		Huellas de fisión	Circón			50
2157	525 LP 04	Gneis de Las Palmas				53,3	± 2,3			Eoceno (E2)		Huellas de fisión	Circón			91
2158	BX71	Formación Timbiquí	Andesita			53,4	± 3			Eoceno (E2)		K-Ar				
2159	BC 8	Batolito Antioqueño				53,4	± 2,7			Eoceno (E2)		Huellas de fisión	Circón			
2160	CGP15	Formación Combia				53,51	± 6,14			Eoceno (E2)		Huellas de fisión	Circón			0
2161	IGM-707151		Gabronorita			53,6	± 2,9			Eoceno (E2)		Ar-Ar	Roca total			
2162	3174	Horizonte Gley	Paleosuelo			53,7	± 1,5			Eoceno (E2)		Huellas de fisión	Circón			51
2163	A-77	Gneis de Dibulla	Anortosita			53,8	± 0,7			Eoceno (E2)		Ar-Ar	Biotita			
2164	SN39	Batolito de Pueblo Bello	Cuarzomonzonita			53,8	± 8,2			Eoceno (E2)		Huellas de fisión	Apatito			8,6
2165	3BUG201	Formación Arcillas de Socha	Arenita					53,8 ± 4,3	1214,6 ± 97,2	Mesoproterozoico (MP)-Eoceno (E2)		U-Th/He	Circón			
2166	A-28	Complejo de Sevilla	Esquisto			53,9	± 0,5			Eoceno (E2)		Ar-Ar	Biotita			
2167	CGP11	Formación Combia	Ceniza volcánica			53,95	± 1,66			Eoceno (E2)		Huellas de fisión	Circón			86
2168	Mo 497	Batolito de Santa Bárbara	Cuarzodiorita biótica			54	± 2			Eoceno (E2)		Rb-Sr	Biotita y plagioclasa			
2169	Osos 2		Suelo			54,0	± 2,0			Eoceno (E2)		Huellas de fisión	Circón			3
2170	11	Plutón Tucurinquita	Granodiorita			54	± 2,2			Eoceno (E2)		K-Ar	Biotita			
2171	A-28	Complejo de Sevilla	Esquisto			54,1	± 0,7			Eoceno (E2)		Ar-Ar	Biotita			
2172	DV18	Intrusivo Gnésico de La Línea	Gneis			54,2	± 6,0			Eoceno (E2)		Huellas de fisión	Circón			9
2173	A-77	Gneis de Dibulla	Anortosita			54,3	± 1,9			Eoceno (E2)		Ar-Ar	Hornblendita			
2174	WDM-705	Esquistos de Santa Marta, Formación Rodadero	Anfibolita			54,3	± 2,7			Eoceno (E2)		K-Ar	Hornblendita			
2175	495 Esc 03	Migmatitas de El Escobero				54,3	± 1,7			Eoceno (E2)		Huellas de fisión	Circón			78
2176	124G	Esquistos de Jambaló	Esquisto de glaucofana			54,5	± 1,6			Eoceno (E2)		Ar-Ar	Paragonita		1,86	
2177	A-77	Gneis de Dibulla	Anortosita			54,5	± 0,8			Eoceno (E2)		Ar-Ar	Biotita			
2178	GCC-011	Stock de El Hatillo	Cuarzodiorita			54,6	± 0,7			Eoceno (E2)		U-Pb LA-MC-ICP-MS	Circón		1,9	

Dispersión %	Número de granos analizados	Número de alicuotas	Fuente georreferenciación	Coordenada X	Coordenada Y	Sistema de coordenadas	Latitud	Longitud	Referencia	ID referencia	Comentarios
	10		Se obtuvo las coordenadas del punto de la Tabla DR1 (datos suplementarios)	1087940	851346	MAGNA_Colombia_Este	5° 23' 23,856" N	72° 25' 07,176" W	Horton <i>et al.</i> (2010a)	140	Se presenta una población <150 Ma (n = 28) y una subpoblación menor de 1000-850 Ma. Las edades más jóvenes son consideradas como producto de la exhumación cretácica-cenozoica del cinturón orográfico de los Andes y/o posible contribución de fuentes igneas. También publicada en Bande <i>et al.</i> (2012) [22]
<1	3								Toro (1999)	290	Edad central, muestra tomada en el sector de Robledo, Medellín en el departamento de Antioquia
			Localización tomada de Barrero & Vesga (1976) [25]	1066164	897838	MAGNA_Colombia_Bogota	5° 11' 37,878" N	74° 59' 56,283" W	Barreno & Vesga (1976)	25	
			Localización tomada de McCourt & Verdugo (1985) [184]	864537	1105453	MAGNA_Colombia_Oeste	3° 22' 14,542" N	76° 07' 43,018" W	Brook (1984)	53	Interpretada como edad de resequeamiento parcial relacionada al calentamiento de la corteza
			Se obtuvo las coordenadas del punto a partir de la georreferenciación del mapa geológico	770385	960617	MAGNA_Colombia_Oeste	2° 31' 10,787" N	77° 25' 53,865" W	McCourt <i>et al.</i> (1990)	185	Para esta muestra se publicó una edad de 53,2 ± 4,6 Ma en Espinosa (1980) [96]
									McCourt <i>et al.</i> (1990)	185	
	19			1202001	855355	MAGNA_Colombia_Bogota	6° 25' 16,300" N	75° 23' 05,700" W	Villagómez & Spikings (2013)	328	Edad pooled
	18			1130896	863605	MAGNA_Colombia_Bogota	5° 46' 42,800" N	75° 18' 32,000" W	Villagómez & Spikings (2013)	328	Edad pooled
19	6		Se obtuvo la localización del pozo Dina-12 del sitio web del EPIS	833172	862320	MAGNA_Colombia_Bogota	3° 05' 12,504" N	75° 18' 57,601" W	Schwabe (2001)	267	Edad central, muestra del pozo Dina-12 a 2782 pies de profundidad, edad obtenida por la profesora Gloria Elena TORO de la Universidad EAFIT
	9			1734942	1001478	MAGNA_Colombia_Bogota	11° 14' 29,229" N	74° 03' 50,302" W	Duque (2009)	93	Edad media ponderada interpretada como la edad de cristalización magmática
	15			1170882	842353	MAGNA_Colombia_Bogota	6° 08' 22,458" N	75° 30' 05,936" W	Montes (2007)	193	
	4			1173757	837553	MAGNA_Colombia_Bogota	6° 09' 55,598" N	75° 32' 42,261" W	Montes (2007)	193	
			Se obtuvo las coordenadas del punto a partir de la georreferenciación del mapa geológico	733672	930129	MAGNA_Colombia_Oeste	2° 11' 15,250" N	77° 42' 20,192" W	McCourt <i>et al.</i> (1990)	185	
				1178007	862503	MAGNA_Colombia_Bogota	6° 12' 15,974" N	75° 19' 11,280" W	Saenz <i>et al.</i> (1996)	258	
52,6	3		Se obtuvo la localización de la sección Guineales-Pehálisa, a lo largo de la cual se tomaron las muestras, a partir de la georreferenciación de la Figura 6	1145875	1132392	MAGNA_Colombia_Oeste	5° 54' 50,587" N	75° 52' 55,094" W	Ramirez <i>et al.</i> (2006)	226	Edad central de población 2, interpretada como resultado de eventos sientecíticos generados a lo largo del Sistema de Fallas de Romeral en los que se dio el retrabajoamiento del basamento cretácico y del miembro inferior de la Formación Amagá, coetáneamente con los eventos volcánicos, entre 10 y 6 Ma, que dieron origen a la Formación Combia
				1219174	1053759	MAGNA_Colombia_Oeste	6° 34' 40,502" N	76° 35' 29,059" W	Buchely <i>et al.</i> (2009)	54	Edad de fusión total
<1	7			1203188	1165684	MAGNA_Colombia_Oeste	6° 25' 53,056" N	75° 34' 47,819" W	Toro (1999)	290	Edad central
				1679937	1000070	MAGNA_Colombia_Bogota	10° 44' 39,083" N	74° 04' 36,727" W	Cardona (2003)	63	Edad de meseta?, espectro irregular. La unidad está afectada por un evento hidrotermal
	29			1648393	1054581	MAGNA_Colombia_Bogota	10° 27' 31,018" N	73° 34' 44,316" W	Villagómez <i>et al.</i> (2011b)	327	Edad pooled, mejor edad ajustada de 53,9 Ma
	18			1139604	1139292	MAGNA_Colombia_Bogota	5° 51' 25,992" N	72° 49' 11,280" W	Saylor <i>et al.</i> (2012b)	265	Se presentan picos de edad a 520, 420, 75, 60 y 55 Ma
			Localización tomada de Cardona (2003) [63]	1736514	1049965	MAGNA_Colombia_Bogota	11° 15' 19,113" N	73° 37' 11,736" W	Cardona <i>et al.</i> (2006)	64	Edad de meseta o seudomeseta, evento de calentamiento, pérdida de argón
0	10		Se obtuvo la localización de la sección Guineales-Pehálisa, a lo largo de la cual se tomaron las muestras, a partir de la georreferenciación de la Figura 6	1145875	1132392	MAGNA_Colombia_Oeste	5° 54' 50,587" N	75° 52' 55,094" W	Ramirez <i>et al.</i> (2006)	226	Edad central, obtenida en una muestra de ceniza que no presenta retrabajoamiento alguno, lo que sugiere que los sedimentos subyacentes serían aún más antiguos y en consecuencia, que el vulcanismo tipo Combia pudo haber comenzado en el Paleoceno y no en el Miocene como ha sido aceptado hasta el momento
			Localización tomada de McCourt & Verdugo (1985) [184]	852021	1103525	MAGNA_Colombia_Oeste	3° 15' 27,196" N	76° 08' 45,854" W	Brook (1984)	53	Interpretada como edad de resequeamiento parcial relacionada al calentamiento de la corteza
14	3			1157522	846382	MAGNA_Colombia_Bogota	6° 01' 08,033" N	75° 27' 53,817" W	Toro (1999)	290	Edad central
			Se obtuvo las coordenadas del punto a partir de la georreferenciación de la Figura 2	1672502	1000250	MAGNA_Colombia_Bogota	10° 40' 37,090" N	74° 04' 30,805" W	Tschanz <i>et al.</i> (1974)	302	
			Localización tomada de Cardona (2003) [63]	1736514	1049965	MAGNA_Colombia_Bogota	11° 15' 19,113" N	73° 37' 11,736" W	Cardona <i>et al.</i> (2006)	64	Edad integrada interpretada como un evento de calentamiento con pérdida de argón
	18			986425	836003	MAGNA_Colombia_Bogota	4° 28' 19,000" N	75° 33' 18,100" W	Villagómez & Spikings (2013)	328	Edad pooled
				1679937	1000070	MAGNA_Colombia_Bogota	10° 44' 39,083" N	74° 04' 36,727" W	Cardona (2003)	63	Edad integrada con un espectro complejo. La unidad está afectada por un evento hidrotermal
			Se obtuvo las coordenadas del punto a partir de la georreferenciación de la Figura 2	1730798	985568	MAGNA_Colombia_Bogota	11° 12' 14,243" N	74° 12' 34,751" W	MacDonald <i>et al.</i> (1971)	166	
	5		Se obtuvo las coordenadas del punto a partir de la georreferenciación del Anexo I de Bustamante (2008) [56]	1169957	836748	MAGNA_Colombia_Bogota	6° 07' 51,863" N	75° 33' 08,096" W	Montes (2007)	193	
				798250	1083666	MAGNA_Colombia_Oeste	2° 46' 17,313" N	76° 19' 30,263" W	Bustamante <i>et al.</i> (2011)	57	Edad de meseta, error en la edad por exceso de Ar
				1679937	1000070	MAGNA_Colombia_Bogota	10° 44' 39,083" N	74° 04' 36,727" W	Cardona (2003)	63	Edad de meseta?, espectro irregular. La unidad está afectada por un evento hidrotermal
	46			1063942	900647	MAGNA_Colombia_Bogota	5° 10' 25,680" N	74° 58' 24,960" W	Bayona <i>et al.</i> (2012)	29	Edad de cristalización magmática

ID Datación Radiométrica	Código de la muestra	Unidad geológica	Litología	Edad años BP	Error años	Edad Ma	Error Ma	Edad grano simple menor detrítico	Edad grano simple mayor detrítico	Edad estratigráfica	Edades heredadas	Método de datación	Material analizado	Relación inicial	MSWD	P(X2) %
2179	Bsm 12F	Batolito de Santa Marta	Dique aplítico			54,69	$\pm 0,69$			Eoceno (E2)		U–Pb LA–ICP–MS	Circón		0,64	
2180	A-77	Gneis de Dibulla	Anortosita			54,7	$\pm 4$			Eoceno (E2)		Ar–Ar	Hornblenda			
2181	UAKA 79–42	Batolito de Mandé	Tonalita porfíritica			54,7	$\pm 1,3$			Eoceno (E2)		K–Ar	Hornblenda			
2182	IN–SCH–34 P2	Grupo Guadalupe	Arenita			54,7	$\pm 14,4$			Eoceno (E2)		Huellas de fisión EDM	Apatito			
2183	DV70	Batolito Antioqueño	Granodiorita			54,8	$\pm 5,8$			Eoceno (E2)		Huellas de fisión	Apatito			84
2184	MP-89 P2	Grupo Guadalupe	Arenita			54,8	$\pm 15,8$			Eoceno (E2)		Huellas de fisión EDM	Apatito			
2185	IGM–69915	Stock de Florencia	Cuarzodiorita			54,9	$\pm 1,9$			Eoceno (E2)		K–Ar	Biotita			
2186	Mo 519	Batolito de Santa Bárbara	Cuarzodiorita biotítica			55	$\pm 1$			Eoceno (E2)		K–Ar	Biotita			
2187	Bsm 105A	Batolito de Santa Marta	Granodiorita-tonalita			55,05	$\pm 1,05$			Eoceno (E2)	202 Ma	U–Pb LA–ICP–MS	Circón		1,4	
2188	IGM–706917	Complejo Santa Cecilia La Equis	Basalto porfídico			55,1	$\pm 1,5$			Eoceno (E2)		Ar–Ar	Vidrio volcánico			
2189	DV163	Plutón de El Hatillo	Granito			55,3	$\pm 5,4$			Eoceno (E2)		Huellas de fisión	Circón			23
2190	Bsm 60	Batolito de Santa Marta	Granodiorita-tonalita			55,34	$\pm 0,60$			Eoceno (E2)		U–Pb LA–ICP–MS	Circón		0,67	
2191	A-77	Gneis de Dibulla	Anortosita			55,4	$\pm 0,7$			Eoceno (E2)		Ar–Ar	Biotita			
2192	DV148	Batolito Antioqueño	Granodiorita			55,4	$\pm 5,2$			Eoceno (E2)		Huellas de fisión	Circón			9
2193	Bsm 12E	Batolito de Santa Marta	Granodiorita-tonalita			55,52	$\pm 0,34$			Eoceno (E2)		U–Pb LA–ICP–MS	Circón		1,6	
2194	3176	Depósito aluvial				55,6	$\pm 1,5$			Eoceno (E2)		Huellas de fisión	Circón			68
2195	WR–216	Batolito de Sonsón	Leucogranito			55,8	$+0,9/-1$			Eoceno (E2)		U–Pb LA–MC–ICP–MS	Circón			
2196	BC 1	Batolito Antioqueño	Granodiorita			55,8	$\pm 2,7$			Eoceno (E2)		Huellas de fisión	Circón			
2197	P19–241.71–242 .01–ML–003	Formación Sincelejo				55,85	$\pm 4,47$			Eoceno (E2)		Huellas de fisión EDM	Apatito			96,32
2198	Bsm 51	Batolito de Santa Marta	Dique porfirítico			55,9	$\pm 0,29$			Eoceno (E2)	572 y 60 Ma	U–Pb LA–ICP–MS	Circón		1,2	
2199	EV-3		Dique dacítico-andesítico alterado hidrotermalmente			55,9	$\pm 2$			Eoceno (E2)		K–Ar	Sericita			
2200	479 Esc 01	Migmatitas de El Escobero				55,9	$\pm 1,5$			Eoceno (E2)		Huellas de fisión	Circón			10
2201	Mo 571	Stock de Manizales				56	$\pm 2$			Paleoceno (E1)–Eoceno (E2)		K–Ar	Biotita			
2202	ER095R	Formación Amaime				56	$\pm 13$			Paleoceno (E1)–Eoceno (E2)		Ar–Ar	Roca total			
2203	175	Grupo Macuira	Lente de anfibolita en esquistos felsicos y gneiss			56	$\pm 6$			Paleoceno (E1)–Eoceno (E2)		K–Ar	Hornblenda			
2204	514 LP 05	Gneis de Las Palmas				56,0	$\pm 1,4$			Paleoceno (E1)–Eoceno (E2)		Huellas de fisión	Circón			17
2205	Umir–SS	Formación Umir				56,1	$\pm 4,9$			Paleoceno (E1)		Huellas de fisión EDM	Apatito			44
2206	Osos 6		Suelo			56,1	$\pm 1,5$			Paleoceno (E1)		Huellas de fisión	Circón			65
2207	DV19	Complejo Cajamarca	Cuarcita			56,2	$\pm 9,0$			Paleoceno (E1)		Huellas de fisión	Circón			0
2208	Osos 22		Bauxitas			56,3	$\pm 1,9$			Paleoceno (E1)		Huellas de fisión	Circón			20
2209	DV58	Batolito Antioqueño	Granito			56,5	$\pm 8,6$			Paleoceno (E1)		Ar–Ar	Ortoclasa		1,26	
2210	CGP44	Formación Combia				56,58	$\pm 4,38$			Paleoceno (E1)		Huellas de fisión	Circón			77
2211	DV154	Complejo Cajamarca	Esquisto			56,6	$\pm 7,4$			Paleoceno (E1)		Huellas de fisión	Apatito			36

Dispersión %	Número de granos analizados	Número de alicuotas	Fuente georreferenciación	Coordenada X	Coordenada Y	Sistema de coordenadas	Latitud	Longitud	Referencia	ID referencia	Comentarios
	11			1737817	998195	MAGNA_Colombia_Bogota	11° 16' 02,795" N	74° 05' 38,541" W	Duque (2009)	93	Edad media ponderada interpretada como la edad de cristalización magnética
				1679937	1000070	MAGNA_Colombia_Bogota	10° 44' 39,083" N	74° 04' 36,727" W	Cardona (2003)	63	Edad integrada con un espectro complejo. La unidad está afectada por un evento hidrotermal
				1271065	1036554	MAGNA_Colombia_Oeste	7° 02' 50,125" N	76° 44' 47,950" W	Sillitoe <i>et al.</i> (1982)	271	Interpretada como la edad mínima de emplazamiento
5				1163191	880357	MAGNA_Colombia_Este	6° 04' 15,030" N	72° 09' 29,670" W	Mora <i>et al.</i> (2010)	195	Edad <i>pooled</i> de la población 2
20				1262807	850991	MAGNA_Colombia_Bogota	6° 58' 14,800" N	75° 25' 33,100" W	Villagómez & Spikings (2013)	328	Edad <i>pooled</i>
4				1119242	869864	MAGNA_Colombia_Este	5° 40' 23,900" N	72° 15' 07,820" W	Mora <i>et al.</i> (2010)	195	Edad <i>pooled</i> de la población 2
			Localización tomada de Barrero & Vesga (1976) [25]	1103805	892292	MAGNA_Colombia_Bogota	5° 32' 02,790" N	75° 02' 58,279" W	Barrero & Vesga (1976)	25	
			Localización tomada de McCourt & Verdugo (1985) [184]	864537	1105453	MAGNA_Colombia_Oeste	3° 22' 14,542" N	76° 07' 43,018" W	Brook (1984)	53	Interpretada como edad de reseteamiento parcial relacionada al calentamiento de la corteza
12				1730803	998078	MAGNA_Colombia_Bogota	11° 12' 14,525" N	74° 05' 42,384" W	Duque (2009)	93	Edad media ponderada interpretada como la edad de cristalización magnética, se obtuvo una edad de $41 \pm 2$ Ma completamente concordante
				1237534	1076112	MAGNA_Colombia_Oeste	6° 44' 37,270" N	76° 23' 20,650" W	Buchely <i>et al.</i> (2009)	54	Edad de fusión total
19				1064494	900135	MAGNA_Colombia_Bogota	5° 10' 43,600" N	74° 58' 41,600" W	Villagómez & Spikings (2013)	328	Edad <i>pooled</i>
15				1727187	989401	MAGNA_Colombia_Bogota	11° 10' 16,787" N	74° 10' 28,369" W	Duque (2009)	93	Edad media ponderada interpretada como la edad de cristalización magnética
				1679937	1000070	MAGNA_Colombia_Bogota	10° 44' 39,083" N	74° 04' 36,727" W	Cardona (2003)	63	Edad integrada, espectro irregular. La unidad está afectada por un evento hidrotermal
14				1202001	855355	MAGNA_Colombia_Bogota	6° 25' 16,300" N	75° 23' 05,700" W	Villagómez & Spikings (2013)	328	Edad <i>pooled</i>
17				1737817	998195	MAGNA_Colombia_Bogota	11° 16' 02,795" N	74° 05' 38,541" W	Duque (2009)	93	Edad media ponderada interpretada como la edad de cristalización magnética
<1	8			1203188	1165684	MAGNA_Colombia_Oeste	6° 25' 53,056" N	75° 34' 47,819" W	Toro (1999)	290	Edad central
				1118254	875653	MAGNA_Colombia_Bogota	5° 39' 52,140" N	75° 11' 59,670" W	Leal Mejía (2011)	160	Interpretada como la edad de cristalización magnética
				1243697	874253	MAGNA_Colombia_Bogota	6° 47' 54,824" N	75° 12' 53,937" W	Saenz <i>et al.</i> (1996)	258	
0,82	23		Se tomaron las coordenadas listadas en los anexos las se diferencian varios metros con respecto a las reportadas en el informe final	1434849	845761	MAGNA_Colombia_Bogota	8° 31' 32,820" N	75° 28' 41,900" W	Agencia Nacional de Hidrocarburos & Universidad de Caldas (2011b)	4	Edad central, muestra de un núcleo de perforación del pozo P19 a 241,71 m desde la base del pozo
	29			1731345	982246	MAGNA_Colombia_Bogota	11° 12' 32,007" N	74° 14' 24,271" W	Duque (2009)	93	Edad media ponderada interpretada como la edad de cristalización magnética
				1205449	939427	MAGNA_Colombia_Bogota	6° 27' 13,500" N	74° 37' 30,300" W	Leal Mejía (2011)	160	Edad de la alteración hidrotermal y por lo tanto probable edad de la mineralización
	9			1171407	835853	MAGNA_Colombia_Bogota	6° 08' 38,970" N	75° 33' 37,325" W	Montes (2007)	193	
									Brook (1984)	53	Edad de intrusión
				900435	1099471	MAGNA_Colombia_Oeste	3° 41' 43,286" N	76° 10' 55,677" W	González (2010)	122	Edad de fusión total
				1818471	929406	MAGNA_Colombia_Este	11° 59' 44,915" N	71° 43' 32,587" W	Lockwood (1965)	162	
	15			1174332	837453	MAGNA_Colombia_Bogota	6° 10' 14,301" N	75° 32' 45,564" W	Montes (2007)	193	
	20								Gómez <i>et al.</i> (2005)	116	
<1	4			1157522	846382	MAGNA_Colombia_Bogota	6° 01' 08,033" N	75° 27' 53,817" W	Toro (1999)	290	Edad central
	17			986425	836003	MAGNA_Colombia_Bogota	4° 28' 19,000" N	75° 33' 18,100" W	Villagómez (2010)	325	Edad <i>pooled</i>
5	3			1156051	844901	MAGNA_Colombia_Bogota	6° 00' 20,032" N	75° 28' 41,820" W	Toro (1999)	290	Edad central
				1157388	882771	MAGNA_Colombia_Bogota	6° 01' 06,300" N	75° 08' 10,800" W	Villagómez & Spikings (2013)	328	Edad de isócrona inversa
0	3		Se obtuvo la localización de la sección Guineales-Penalisa, a lo largo de la cual se tomaron las muestras, a partir de la georreferenciación de la Figura 6	1145875	1132392	MAGNA_Colombia_Oeste	5° 54' 50,587" N	75° 52' 55,094" W	Ramírez <i>et al.</i> (2006)	226	Edad central, interpretada como resultado de eventos sintectónicos generados a lo largo del Sistema de Fallas de Romeral en los que se dio el retrabajamiento del basamento cretácico y del miembro inferior de la Formación Amagá, coetáneamente con los eventos volcánicos, entre 10 y 6 Ma, que dieron origen a la Formación Combia
	19			1130896	863605	MAGNA_Colombia_Bogota	5° 46' 42,800" N	75° 18' 32,000" W	Villagómez & Spikings (2013)	328	Edad <i>pooled</i>

ID Datación Radiométrica	Código de la muestra	Unidad geológica	Litología	Edad años BP	Error años	Edad Ma	Error Ma	Edad grano simple menor detrítico	Edad grano simple mayor detrítico	Edad estratigráfica	Edades heredadas	Método de datación	Material analizado	Relación inicial	MSWD	P(X2) %
2212	EAM-18-73L	Plutón de Toribio	Tonalita			56,8	$\pm 0,72$			Paleoceno (E1)		U-Pb LA-ICP-MS	Circón		1,07	
2213	08FLR02	Formación Picacho	Arenita arcosica					56,9 $\pm 4,6$	522,4 $\pm 41,8$	Cámbrico (e)-Paleoceno (E1)		U-Th/He	Circón			
2214	CGP29	Formación Combia				56,94	$\pm 3,53$			Paleoceno (E1)		Huellas de fisión	Circón			1
2215	Mo 497	Batolito de Santa Bárbara	Cuarzodiorita biotítica			57	$\pm 1$			Paleoceno (E1)		K-Ar	Biotita			
2216	Mo 515	Batolito de Santa Bárbara	Cuarzodiorita biotítica			57	$\pm 2$			Paleoceno (E1)		Rb-Sr	Biotita y plagioclasa			
2217	Mo 570	Stock de Manizales				57	$\pm 2$			Paleoceno (E1)		K-Ar	Biotita			
2218	California 1, California 2					57	$\pm 10$			Paleoceno (E1)		Re-Os	Concentrado de pirita y oro		0,8	
2219	Bsm 12B	Batolito de Santa Marta	Enclave máfico			57,04	$\pm 0,327$			Paleoceno (E1)		U-Pb LA-ICP-MS	Circón		0,89	
2220	R-253	Batolito de Piedrancha	Microdiorita			57,1	$\pm 4,3$			Paleoceno (E1)		K-Ar	Biotita			
2221	23	Batolito de Atanques	Granodiorita			57,3	$\pm 2,4$			Paleoceno (E1)		K-Ar	Biotita			
2222	MP-85 P2	Formación Los Cuervos	Arenita			57,3	$\pm 8,8$			Paleoceno (E1)		Huellas de fisión EDM	Apatito			
2223	RI-08		Dique andesítico a dacítico			57,6	$\pm 5$			Paleoceno (E1)		K-Ar				
2224	Osos 7	Depósito aluvial	Arenas			57,6	$\pm 2,8$			Paleoceno (E1)		Huellas de fisión	Circón			47
2225	R1-2	Grupo Honda				57,7	$\pm 2,6$			Paleoceno (E1)		Huellas de fisión	Circón			14
2226	10	Plutón de Latal	Hornblendita			57,9	$\pm 2,5$			Paleoceno (E1)		K-Ar	Hornblenda			
2227	Mo 438	Formación Volcánica	Basalto			58	$\pm 2$			Paleoceno (E1)		K-Ar	Roca total			
2228	Mo 515	Batolito de Santa Bárbara	Cuarzodiorita biotítica			58	$\pm 1$			Paleoceno (E1)		K-Ar	Biotita			
2229	2	Batolito Antioqueño	Granodiorita			58				Paleoceno (E1)		Rb-Sr	Biotita	0,8243 $\pm 0,0020$		
2230	BA-1	Batolito Antioqueño	Concentrado en batea en sedimentos derivados del Batolito Antioqueño			58	$\pm 6$			Paleoceno (E1)		Huellas de fisión	Circón			
2231	G-9					58	$\pm 2$			Paleoceno (E1)		K-Ar	Molibdenita			
2232	IGM-156841	Pórfido de Río Manso	Cuarzodiorita			58	$\pm 10$			Paleoceno (E1)		K-Ar	Anfibol			
2233	BC 6	Batolito Antioqueño	Granodiorita			58,0	$\pm 2,3$			Paleoceno (E1)		Huellas de fisión	Circón			
2234	909		Microepisienita			58				Paleoceno (E1)		K-Ar				
2235	Gor 137	Volcánico de Gorgona	Basalto toleítico			58				Paleoceno (E1)		Re-Os		1,06		
2236	SR012R	Complejo Igneo de Córdoba				58,09	$\pm 0,63$			Paleoceno (E1)		Ar-Ar	Hornblenda			
2237	Bsm 45A	Batolito de Santa Marta	Banda felsica			58,1	$\pm 0,9$			Paleoceno (E1)		U-Pb LA-ICP-MS	Circón		0,79	
2238	DV17	Complejo Cajamarca	Esquisto verde			58,1	$\pm 6,6$			Paleoceno (E1)		Huellas de fisión	Circón			2
2239	DV70	Batolito Antioqueño	Granodiorita			58,1	$\pm 5,2$			Paleoceno (E1)		Huellas de fisión	Circón			58
2240	POR-5	Formación Lutitas de Macanal	Vena mineralizada			58,4	$\pm 5,3$			Paleoceno (E1)		Ar-Ar	Moscovita			
2241	BSB2	Batolito de Santa Bárbara	Tonalita			58,4	$\pm 0,8$			Paleoceno (E1)	156 $\pm 6$ (n = 6)	U-Pb LA-MC-ICP-MS	Circón			
2242	DV58	Batolito Antioqueño	Granito			58,5	$\pm 8,0$			Paleoceno (E1)		Huellas de fisión	Apatito			77
2243	P16-155_67_155_97-ML-003	Formaciones Ciénaga de Oro y Porqueria				58,54	$\pm 4,86$			Paleoceno (E1)		Huellas de fisión EDM	Apatito			93,47
2244	ER095R	Formación Amaime				58,6	$\pm 6,5$			Paleoceno (E1)		Ar-Ar	Roca total		0,46	

Dispersión %	Número de granos analizados	Número de alicuotas	Fuente georreferenciación	Coordenada X	Coordenada Y	Sistema de coordenadas	Latitud	Longitud	Referencia	ID referencia	Comentarios
	16			1714254	990011	MAGNA_Colombia_Bogota	11° 03' 15,888" N	74° 10' 08,133" W	Duque (2009)	93	Edad media ponderada interpretada como la edad de cristalización magmática
	4			1142967	1139809	MAGNA_Colombia_Bogota	5° 53' 15,396" N	72° 48' 54,252" W	Saylor <i>et al.</i> (2012a)	264	Muestra localizada en el bloque yacente de la Falla de Soápaga
39,1	5		Se obtuvo la localización de la sección Guineales-Peñalisa, a lo largo de la cual se tomaron las muestras, a partir de la georreferenciación de la Figura 6	1145875	1132392	MAGNA_Colombia_Oeste	5° 54' 50,587" N	75° 52' 55,094" W	Ramírez <i>et al.</i> (2006)	226	Edad central de población 2, interpretada como resultado de eventos sintectónicos generados a lo largo del Sistema de Fallas de Romeral en los que se dio el retrasamiento del basamento cretácico y del miembro inferior de la Formación Amagá, coetáneamente con los eventos volcánicos, entre 10 y 6 Ma, que dieron origen a la Formación Combia
			Localización tomada de McCourt & Verdugo (1985) [184]	852021	1103525	MAGNA_Colombia_Oeste	3° 15' 27,196" N	76° 08' 45,854" W	Brook (1984)	53	Interpretada como edad de reseamiento parcial relacionada al calentamiento de la corteza
									Brook (1984)	53	Interpretada como edad de reseamiento parcial relacionada al calentamiento de la corteza
									Brook (1984)	53	Edad de intrusión
			Se obtuvo las coordenadas del punto a partir de la georreferenciación de la Figura 1	1303281	1130608	MAGNA_Colombia_Bogota	7° 20' 13,649" N	72° 53' 40,896" W	Mathur <i>et al.</i> (2003)	179	Edad isócrona de mineralización del sistema epitermal, puede estar relacionada con el enfriamiento del pórfito dacrítico
16				1737817	998195	MAGNA_Colombia_Bogota	11° 16' 02,795" N	74° 05' 38,541" W	Duque (2009)	93	Edad media ponderada interpretada como la edad de cristalización magmática
									Japan International Cooperation Agency & Metal Mining Agency of Japan (1983)	145	Biotita muy cloritizada
			Se obtuvo las coordenadas del punto a partir de la georreferenciación de la Figura 2	1675405	1079748	MAGNA_Colombia_Bogota	10° 42' 08,520" N	73° 20' 54,745" W	Tschanz <i>et al.</i> (1974)	302	
18			Localización tomada de Mora <i>et al.</i> (2010) [195]	1118863	868937	MAGNA_Colombia_Este	5° 40' 11,500" N	72° 15' 37,910" W	Ramirez Arias <i>et al.</i> (2012)	227	Edad de población, muestra del Anticlinal Tocaría
									Agencia Nacional de Hidrocarburos & Universidad de Caldas (2011a)	3	Arco volcánico de Ricaite
<1	2			1163061	843627	MAGNA_Colombia_Bogota	6° 04' 08,036" N	75° 29' 23,819" W	Toro (1999)	290	Edad central
7,6	4		Se obtuvo la localización del pozo Rosita-1 del sitio web del EPIS	937730	894847	MAGNA_Colombia_Bogota	4° 01' 57,092" N	75° 01' 27,848" W	Schwabe (2001)	267	Edad central, muestra del pozo Rosita-1 a 1950-2400 pies de profundidad
			Se obtuvo las coordenadas del punto a partir de la georreferenciación de la Figura 2	1685329	998970	MAGNA_Colombia_Bogota	10° 47' 34,560" N	74° 05' 12,918" W	Tschanz <i>et al.</i> (1974)	302	
			Localización tomada de McCourt <i>et al.</i> (1984b) [182]	901977	1067086	MAGNA_Colombia_Oeste	3° 42' 34,378" N	76° 28' 25,029" W	Brook (1984)	53	Edad de reseamiento parcial
			Se obtuvo las coordenadas del punto a partir de la georreferenciación de la Figura 2	1210357	855008	MAGNA_Colombia_Bogota	6° 29' 48,217" N	75° 23' 17,663" W	Fujiyoshi <i>et al.</i> (1976)	107	La edad probablemente representa efectos de deformación cataclástica
									Jaramillo (1981)	146	Muestra tomada en la quebrada Matasanos, afluente río Porce en el departamento de Antioquia
				1211639	907917	MAGNA_Colombia_Bogota	6° 30' 33,600" N	74° 54' 36,030" W	Leal Mejía (2011)	160	Edad de la mineralización de molibdenita y de parte de la mineralización del oro
			Localización tomada de Restrepo (1983) [236]	954160	851676	MAGNA_Colombia_Bogota	4° 10' 49,892" N	75° 24' 48,020" W	Núñez (1981)	201	
				1223507	881003	MAGNA_Colombia_Bogota	6° 36' 58,198" N	75° 09' 12,715" W	Saenz <i>et al.</i> (1996)	258	
			Se obtuvo la localización del pozo Los Cayos-1 del sitio web del EPIS	1470413	870836	MAGNA_Colombia_Bogota	8° 50' 52,912" N	75° 15' 05,782" W	Thery <i>et al.</i> (1977)	279	Muestra de núcleo del pozo Los Cayos-1
			Se obtuvo las coordenadas del punto a partir de la georreferenciación de la Figura 1	816408	874991	MAGNA_Colombia_Oeste	2° 56' 07,294" N	78° 12' 06,742" W	Walker <i>et al.</i> (1991)	335	Edad modelo
				984673	1155616	MAGNA_Colombia_Oeste	4° 27' 22,528" N	75° 40' 31,864" W	González (2010)	122	Edad integrada
17				1723675	995140	MAGNA_Colombia_Bogota	11° 08' 22,534" N	74° 07' 19,196" W	Duque (2009)	93	Edad media ponderada interpretada como la edad de cristalización magmática
44				985348	837934	MAGNA_Colombia_Bogota	4° 27' 44,100" N	75° 32' 15,400" W	Villagómez (2010)	325	Edad pooled
15				1262807	850991	MAGNA_Colombia_Bogota	6° 58' 14,800" N	75° 25' 33,100" W	Villagómez & Spikings (2013)	328	Edad pooled
			Se obtuvo las coordenadas del punto a partir de la georreferenciación de la Figura 1	1028179	1077085	MAGNA_Colombia_Bogota	4° 51' 02,415" N	73° 22' 57,316" W	Cheilletz <i>et al.</i> (1997)	77	Edad integrada
33			Localización suministrada por el profesor Jorge Julián RESTREPO	865101	1103871	MAGNA_Colombia_Oeste	3° 22' 32,979" N	76° 08' 34,259" W	Ordóñez Carmona <i>et al.</i> (2011)	214	Edad de 58,4 ± 8 Ma representa el tiempo de cristalización ignea. La edad heredada de 156 ± 6 Ma (n = 6) es equivalente al Batolito de Ibagué, este se encuentra fallado contra el Batolito de Santa Bárbara, lo que sugiere que antes del fallamiento, el Batolito de Santa Bárbara intruyó el cinturón magmático Jurásico
14				1157388	882771	MAGNA_Colombia_Bogota	6° 01' 06,300" N	75° 08' 10,800" W	Villagómez & Spikings (2013)	328	Edad pooled
0	10		Se tomaron las coordenadas listadas en los anexos que se diferencian varios metros con respecto a las reportadas en el informe final	1441552	837049	MAGNA_Colombia_Bogota	8° 35' 09,873" N	75° 33' 27,519" W	Agencia Nacional de Hidrocarburos & Universidad de Caldas (2011b)	4	Edad pooled, muestra de un núcleo de perforación del pozo P16 a 155,67 m desde la base del pozo.
				900435	1099471	MAGNA_Colombia_Oeste	3° 41' 43,286" N	76° 10' 55,677" W	González (2010)	122	Edad de meseta

ID Datación Radiométrica	Código de la muestra	Unidad geológica	Litología	Edad años BP	Error años	Edad Ma	Error Ma	Edad grano simple menor detrítico	Edad grano simple mayor detrítico	Edad estratigráfica	Edades heredadas	Método de datación	Material analizado	Relación inicial	MSWD	P(X2) %
2245	WR-215	Batolito de Sonsón	Granodiorita biótica hornbléndica			58,6	± 1			Paleoceno (E1)		U-Pb LA-MC-ICP-MS	Circón			
2246	G-1		Tonalita con alteración hidrotermal			58,7	± 0,3			Paleoceno (E1)		Re-Os	Sericita			
2247	ER095R	Formación Amaime				58,8	± 7,27			Paleoceno (E1)		Ar-Ar	Roca total			
2248	A-28	Complejo de Sevilla	Esquisto			58,9	± 0,5			Paleoceno (E1)		Ar-Ar	Biotita			
2249	BSB1	Batolito de Santa Bárbara	Tonalita			58,9	± 0,4			Paleoceno (E1)		U-Pb LA-MC-ICP-MS	Circón			
2250	DV64	Batolito Antioqueño	Granodiorita			58,9	± 9,6			Paleoceno (E1)		Ar-Ar	Plagioclasa		8,79	
2251	07DV156	Batolito de Sonsón	Granito			59,0	± 0,5			Paleoceno (E1)		U-Pb LA-ICP-MS	Circón		1,5	
2252	Mo 612	Batolito de Santa Bárbara	Cuarzodiorita biótica			59	± 2			Paleoceno (E1)		K-Ar	Biotita			
2253	69	Stock de La Unión	Tonalita			59	± 12			Paleoceno (E1)		Huellas de fisión	Circón			
2254	701		Esquisto			59				Paleoceno (E1)		K-Ar				
2255	704		Esquisto			59				Paleoceno (E1)		K-Ar				
2256	705		Esquisto			59				Paleoceno (E1)		K-Ar				
2257	Santo Domingo-1					59,1	± 0,3			Paleoceno (E1)		Re-Os	Molibdenita			
2258	WDM-994	Esquistos de Santa Marta, Formación Rodadero	Anfibolita			59,1	± 8,8			Paleoceno (E1)		K-Ar	Hornblendita			
2259		Batolito de Segovia				59,1 ± 4 a 64,7 ± 6,3				Paleoceno (E1)		Huellas de fisión	Apatito			
2260	GR-II-1	Batolito Antioqueño	Tonalita biótica			59,2	± 1,2			Paleoceno (E1)		U-Pb LA-MC-ICP-MS	Circón			
2261	Envigado 7	Depósito aluvial				59,2	± 2,5			Paleoceno (E1)		Huellas de fisión	Circón		97	
2262	DV04	Batolito de Ibagué	Gabrodiorita			59,2	± 20,2			Paleoceno (E1)		Huellas de fisión	Apatito			100
2263	ER003R		Tonalita			59,35	± 0,57			Paleoceno (E1)		Ar-Ar	Hornblendita			
2264	G07-G1-053	Formaciones Tasca-Playa Palmeras	Arenita			59,56	+ 8,59/- 7,51			Paleoceno (E1)		Huellas de fisión LA-ICP-MS	Circón			
2265	SN43		Granito			59,6	± 10,4			Paleoceno (E1)		Huellas de fisión	Apatito			38,9
2266	10RC57	Batolito de Sonsón	Migmatita			59,7	± 0,7			Paleoceno (E1)		U-Pb LA-ICP-MS	Circón		2,3	
2267	GCC-15	Stock de Manizales	Tonalita			59,8	± 0,7			Paleoceno (E1)		U-Pb LA-MC-ICP-MS	Circón		1,2	
2268	DV05	Batolito de Ibagué	Granodiorita			59,8	± 16,8			Paleoceno (E1)		Huellas de fisión	Apatito			100
2269	DV64	Batolito Antioqueño	Granodiorita			59,8	± 10,2			Paleoceno (E1)		Huellas de fisión	Apatito			98
2270	ER-1	Intrusivo pórfito aurífero El Rayo	Pórfito aurífero			59,9	± 0,9			Paleoceno (E1)		U-Pb LA-MC-ICP-MS	Circón			
2271	1	Batolito Antioqueño	Granodiorita			60				Paleoceno (E1)		Rb-Sr	Biotita	0,7793 ± 0,0056		
2272	EL-1	Vena El Limón				60	± 0,3			Paleoceno (E1)		Re-Os	Molibdenita			
2273	WR-218	Batolito de Sonsón	Leucogranito			60	± 0,9			Paleoceno (E1)		U-Pb LA-MC-ICP-MS	Circón			
2274	COL5	Anfibolitas de Medellín				60	± 18			Paleoceno (E1)		K-Ar	Anfibol			
2275	Gor 43	Volcánico de Gorgona	Basalto komatiítico			60	± 12			Paleoceno (E1)		Ar-Ar	Plagioclasa		14	
2276	BC-79-5	Cuarzomonzonita de La Corcova	Cuarzomonzonita			60	± 9			Paleoceno (E1)		Huellas de fisión	Circón			
2277	A-77	Gneis de Dibulla	Anortosita			60,1	± 0,7			Paleoceno (E1)		Ar-Ar	Biotita			
2278	R-6834	Stock de Caracoli	Cuarzodiorita biótica hornbléndica			60,1	± 1,2			Paleoceno (E1)	ca. 900, 84–80 y 78–75 Ma	U-Pb LA-MC-ICP-MS	Circón			
2279	996-9	Formación La Paz	Arenita			60,1	± 4,1			Paleoceno (E1)		Huellas de fisión	Apatito			6,3
2280	10RC73	Batolito de Santa Bárbara	Granito			60,2	± 1,1			Paleoceno (E1)		U-Pb LA-ICP-MS	Circón		3,1	

Dispersión %	Número de granos analizados	Número de alicuotas	Fuente georreferenciación	Coordenada X	Coordenada Y	Sistema de coordenadas	Latitud	Longitud	Referencia	ID referencia	Comentarios
				1129537	864772	MAGNA_Colombia_Bogota	5° 45' 58,630" N	75° 17' 53,990" W	Leal Mejia (2011)	160	Interpretada como la edad de cristalización magnética
				1211491	907788	MAGNA_Colombia_Bogota	6° 30' 28,770" N	74° 54' 40,220" W	Leal Mejia (2011)	160	Edad de la alteración sericitica
				900435	1099471	MAGNA_Colombia_Oeste	3° 41' 43,286" N	76° 10' 55,677" W	González (2010)	122	Edad integrada
			Coordenadas publicadas en Cardona (2003) [63]	1736514	1049965	MAGNA_Colombia_Bogota	11° 15' 19,113" N	73° 37' 11,736" W	Cardona <i>et al.</i> (2006)	64	Edad de meseta o seudomeseta, evento de calentamiento, pérdida de argón
9			Localización suministrada por el profesor Jorge Julián RESTREPO	862182	1102886	MAGNA_Colombia_Oeste	3° 20' 57,979" N	76° 09' 06,265" W	Ordóñez Carmona <i>et al.</i> (2011)	214	Edad interpretada como el tiempo de cristalización ignea
				1153364	902803	MAGNA_Colombia_Bogota	5° 58' 56,500" N	74° 57' 19,300" W	Villagómez & Spikings (2013)	328	Edad de isócrona inversa
				1128175	864573	MAGNA_Colombia_Bogota	5° 45' 14,292" N	75° 18' 00,360" W	Cochrane (2013)	79	Edad concordante media ponderada
			Localización tomada de McCourt & Verdugo (1985) [184]	865418	1104830	MAGNA_Colombia_Oeste	3° 22' 43,238" N	76° 08' 03,200" W	Brook (1984)	53	Interpretada como edad de reseteamiento parcial relacionada al calentamiento de la corteza
				1150481	861316	MAGNA_Colombia_Bogota	5° 57' 20,025" N	75° 19' 47,802" W	Restrepo (1991b)	238	Muestra tomada de diques de tonalita que cortan la anfibolita, edad mínima que corresponde al enfriamiento por debajo de 200 °C
			Se obtuvo la localización del pozo El Cábano-1 del sitio web del EPIS	1461393	862162	MAGNA_Colombia_Bogota	8° 45' 58,453" N	75° 19' 48,619" W	Thery <i>et al.</i> (1977)	279	Muestra de núcleo del pozo El Cábano-1
			Se obtuvo la localización del pozo El Cábano-1 del sitio web del EPIS	1461393	862162	MAGNA_Colombia_Bogota	8° 45' 58,453" N	75° 19' 48,619" W	Thery <i>et al.</i> (1977)	279	Muestra de núcleo del pozo El Cábano-1
				1205029	883167	MAGNA_Colombia_Bogota	6° 26' 56,950" N	75° 08' 01,010" W	Leal Mejia (2011)	160	Edad de la mineralización de molibdenita. Mineralización distrito aurífero Santo Domingo-San Roque
			Se obtuvo las coordenadas del punto a partir de la georreferenciación de la Figura 2	1740951	1001319	MAGNA_Colombia_Bogota	11° 17' 44,805" N	74° 03' 55,549" W	MacDonald <i>et al.</i> (1971)	166	
<1	6								Echeverry (2008)	95	Edad de enfriamiento por debajo de 100 °C, se dieron tres muestras tomadas del distrito minero de Segovia-Remedios
				1211785	907707	MAGNA_Colombia_Bogota	6° 30' 38,330" N	74° 54' 42,860" W	Leal Mejia (2011)	160	Interpretada como la edad de cristalización magnética
20				1020765	900390	MAGNA_Colombia_Bogota	4° 47' 00,200" N	74° 58' 31,400" W	Villagómez & Spikings (2013)	328	Edad pooled
				653890	996021	MAGNA_Colombia_Oeste	1° 27' 58,243" N	77° 06' 47,764" W	González (2010)	122	Edad integrada, alteración de hornblenda
30				816620	874639	MAGNA_Colombia_Oeste	2° 56' 14,179" N	78° 12' 18,156" W	Agencia Nacional de Hidrocarburos & Universidad de Caldas (2011a)	3	Edad pooled
32				1701918	1114468	MAGNA_Colombia_Bogota	10° 56' 27,998" N	73° 01' 49,323" W	Villagómez <i>et al.</i> (2011b)	327	Edad pooled
14				1130885	863559	MAGNA_Colombia_Bogota	5° 46' 42,420" N	75° 18' 33,480" W	Cochrane (2013)	79	Edad concordante media ponderada
35				1048574	852744	MAGNA_Colombia_Bogota	5° 02' 02,760" N	75° 24' 19,080" W	Bayona <i>et al.</i> (2012)	29	Edad de cristalización magnética
21				979260	867839	MAGNA_Colombia_Bogota	4° 24' 27,700" N	75° 16' 05,300" W	Villagómez & Spikings (2013)	328	Edad pooled
20				1153364	902803	MAGNA_Colombia_Bogota	5° 58' 56,500" N	74° 57' 19,300" W	Villagómez & Spikings (2013)	328	Edad pooled
				1208977	886992	MAGNA_Colombia_Bogota	6° 29' 05,700" N	75° 05' 56,820" W	Leal Mejia (2011)	160	Interpretada como la edad de cristalización magnética
			Se obtuvo las coordenadas del punto a partir de la georreferenciación de la Figura 2	1201694	850867	MAGNA_Colombia_Bogota	6° 25' 05,950" N	75° 25' 31,656" W	Fujiyoshi <i>et al.</i> (1976)	107	La edad probablemente representa efectos de deformación cataclásica
				1213821	884324	MAGNA_Colombia_Bogota	6° 31' 43,170" N	75° 07' 23,960" W	Leal Mejia (2011)	160	Edad de la mineralización de molibdenita
				1117586	876319	MAGNA_Colombia_Bogota	5° 39' 30,430" N	75° 11' 37,980" W	Leal Mejia (2011)	160	Interpretada como la edad de cristalización magnética
				816839	873988	MAGNA_Colombia_Oeste	2° 56' 21,286" N	78° 12' 39,244" W	Serrano <i>et al.</i> (2011)	269	Edad de isócrona inversa
6			Se obtuvo las coordenadas del punto a partir de la georreferenciación de la Figura 7	1258237	1119625	MAGNA_Colombia_Bogota	6° 55' 48,514" N	72° 59' 42,385" W	Shagam <i>et al.</i> (1984)	270	
				1679937	1000070	MAGNA_Colombia_Bogota	10° 44' 39,083" N	74° 04' 36,727" W	Cardona (2003)	63	Edad integrada, espectro irregular. La unidad está afectada por un evento hidrotermal
				1210461	925312	MAGNA_Colombia_Bogota	6° 29' 56,100" N	74° 45' 09,840" W	Leal Mejia (2011)	160	Interpretada como la edad de cristalización magnética, las edades heredadas son interpretadas como de pulsos magnéticos tempranos
20				1278022	1073016	MAGNA_Colombia_Bogota	7° 06' 35,316" N	73° 24' 59,616" W	Caballero <i>et al.</i> (2013)	59	
7				863402	1103634	MAGNA_Colombia_Oeste	3° 21' 37,656" N	76° 08' 42,000" W	Cochrane (2013)	79	Edad concordante media ponderada

ID Datación Radiométrica	Código de la muestra	Unidad geológica	Litología	Edad años BP	Error años	Edad Ma	Error Ma	Edad grano simple menor detrítico	Edad grano simple mayor detrítico	Edad estratigráfica	Edades heredadas	Método de datación	Material analizado	Relación inicial	MSWD	P(X2) %
2281	121B	Esquistos de Jambaló	Esquisto de glaucofana			60,4	$\pm$ 6,7			Paleoceno (E1)		Ar–Ar	Moscovita			
2282	BC 5	Batolito Antioqueño	Monzogranito			60,4	$\pm$ 2,3			Paleoceno (E1)		Huellas de fisión	Circón			
2283	G-29		Tonalita biótica			60,7	$\pm$ 1			Paleoceno (E1)	ca. 238, 80 y 73–70 Ma	U–Pb LA–MC–ICP–MS	Circón			
2284	BSS-5	Batolito de Sonsón	Cuarzodiorita			60,7	$\pm$ 1,4			Paleoceno (E1)		U–Pb SHRIMP	Circón		1,3	
2285	519 LP 03	Gneis de Las Palmas				60,8	$\pm$ 1,7			Paleoceno (E1)		Huellas de fisión	Circón			89
2286	PO3A Dpar	Formación León	Arenita			60,8	$\pm$ 7,0			Paleoceno (E1)		Huellas de fisión EDM	Apatito			0,01
2287	Mo 581	Batolito de Santa Bárbara	Cuarzodiorita biótica			61	$\pm$ 2			Paleoceno (E1)		K–Ar	Biotita			
2288	ER095R	Formación Amaime				61	$\pm$ 28			Paleoceno (E1)		Ar–Ar	Roca total		0,021	
2289	IGM-156838	Complejo Cajamarca	Esquisto			61	$\pm$ 10			Paleoceno (E1)		K–Ar	Roca total			
2290	C-78-1		Ortogneis biótico			61	$\pm$ 7			Paleoceno (E1)		Huellas de fisión	Circón			
2291	908		Microepisienita			61				Paleoceno (E1)		K–Ar				
2292	Peñas Blancas-1, 2, 3 y 4		Esmeralda y calcita			61	$\pm$ 5			Paleoceno (E1)		Rb–Sr				
2293	CGP4	Formación Combia				61,2	$\pm$ 1,5			Paleoceno (E1)		Huellas de fisión	Circón			19
2294	Chivor-1		Esmeralda			61,3	$\pm$ 1,4			Paleoceno (E1)		Rb–Sr	Esmeralda	0,74614 $\pm$ 0,00046		
2295	Din 12-1 Redondeados	Grupo Honda				61,3	$\pm$ 2,0			Paleoceno (E1)		Huellas de fisión	Circón			21
2296	BV-65	Formación Lutitas de Macanal	Arenita			61,3	$\pm$ 6,4			Paleoceno (E1)		Huellas de fisión LA–ICP–MS	Circón			0
2297	125M	Esquistos de Jambaló	Esquisto de glaucofana			61,4	$\pm$ 1,7			Paleoceno (E1)		Ar–Ar	Paragonita			
2298	129	Secuencia Ofiolítica de Los Azules	Lava			61,4	$\pm$ 49,6			Paleoceno (E1)		K–Ar	Roca total			
2299	Din 12-1 Redondeados	Grupo Honda				61,4	$\pm$ 1,6			Paleoceno (E1)		Huellas de fisión	Circón			16–21
2300	Din 12-3	Grupo Honda				61,4	$\pm$ 4,6			Paleoceno (E1)		Huellas de fisión	Circón			<1
2301	124F	Esquistos de Jambaló	Esquisto de glaucofana			61,5	$\pm$ 1,8			Paleoceno (E1)		Ar–Ar	Paragonita			
2302	Din 12-1 Redondeados	Grupo Honda				61,5	$\pm$ 2,9			Paleoceno (E1)		Huellas de fisión	Circón			16
2303	DV94	Pegmatitas de Bolívar	Pegmatita			61,5	$\pm$ 9,4			Paleoceno (E1)		Huellas de fisión	Apatito			96
2304	A-28	Complejo de Sevilla	Esquisto			61,7	$\pm$ 0,9			Paleoceno (E1)		Ar–Ar	Biotita			
2305	ER003R		Tonalita			61,7	$\pm$ 1,2			Paleoceno (E1)		Ar–Ar	Hornblenda		0,48	
2306	ES19	Depósito lacustre La Unión	Saprolito			61,7	$\pm$ 2,0			Paleoceno (E1)		Huellas de fisión	Circón			89
2307	124F	Esquistos de Jambaló	Esquisto de glaucofana			61,8	$\pm$ 0,9			Paleoceno (E1)		Ar–Ar	Paragonita		0,85	
2308	CRI-1	Batolito Antioqueño	Dique de porfido aurífero			61,8	$\pm$ 1,3			Paleoceno (E1)	ca. 84–80 Ma	U–Pb LA–MC–ICP–MS	Circón			
2309	DB-K-68.5	Grupo Dagua	Pizarra filítica			61,9	$\pm$ 2,7			Paleoceno (E1)		K–Ar	Roca total			
2310	ER003R		Tonalita			61,96	$\pm$ 0,59			Paleoceno (E1)		Ar–Ar	Hornblenda		0,42	
2311	IGM-119256	Batolito de Piedrancha	Granodiorita			62	$\pm$ 6			Paleoceno (E1)		K–Ar	Hornblenda			
2312	Mo 482	Complejo Bolo Azul				62	$\pm$ 2			Paleoceno (E1)		K–Ar	Hornblenda			
2313	AEB 891	Secuencia Ofiolítica de Los Azules	Lava			62	$\pm$ 3			Paleoceno (E1)		K–Ar	Roca total			

Dispersión %	Número de gramos analizados	Número de alicuotas	Fuente georreferenciación	Coordenada X	Coordenada Y	Sistema de coordenadas	Latitud	Longitud	Referencia	ID referencia	Comentarios
			Se obtuvo las coordenadas del punto a partir de la georreferenciación del Anexo I de Bustamante (2008) [56]	824482	1092101	MAGNA_Colombia_Oeste	3° 00' 31,048" N	76° 14' 56,558" W	Bustamante <i>et al.</i> (2011)	57	Edad gas total
				1212007	852603	MAGNA_Colombia_Bogota	6° 30' 41,708" N	75° 24' 36,072" W	Saenz <i>et al.</i> (1996)	258	
				1211455	907177	MAGNA_Colombia_Bogota	6° 30' 27,560" N	74° 55' 00,110" W	Leal Mejia (2011)	160	Interpretada como la edad de cristalización magmática
15			Se obtuvo las coordenadas del punto a partir de la georreferenciación de la Figura 32	1128390	864794	MAGNA_Colombia_Bogota	5° 45' 21,305" N	75° 17' 53,179" W	Ordóñez Carmona (2001)	207	Interpretada como la edad de cristalización del batolito
17				1172582	837528	MAGNA_Colombia_Bogota	6° 09' 17,358" N	75° 32' 42,969" W	Montes (2007)	193	
14				1093268	847974	MAGNA_Colombia_Este	5° 26' 17,040" N	72° 26' 57,060" W	Ramirez Arias <i>et al.</i> (2012)	227	Muestra del Sinclinal de Nunchía
				900435	1099471	MAGNA_Colombia_Oeste	3° 41' 43,286" N	76° 10' 55,677" W	González (2010)	122	Edad de isócrona inversa
			Las coordenadas reportadas por los autores no coinciden con la localización de la datación en la Figura 1. Se obtuvo las coordenadas del punto a partir de la georreferenciación de esta figura	976046	840463	MAGNA_Colombia_Bogota	4° 22' 41,520" N	75° 30' 52,800" W	Núñez <i>et al.</i> (1981)	202	
6			Se obtuvo las coordenadas del punto a partir de la georreferenciación de la Figura 7	1292590	1138815	MAGNA_Colombia_Bogota	7° 14' 24,978" N	72° 49' 14,348" W	Shagam <i>et al.</i> (1984)	270	
			Se obtuvo la localización del pozo Los Cayos-1 del sitio web del EPIS	1470413	870836	MAGNA_Colombia_Bogota	8° 50' 52,912" N	75° 15' 05,782" W	Thery <i>et al.</i> (1977)	279	Muestra de núcleo del pozo Los Cayos-1
									Vidal <i>et al.</i> (1992)	324	Edad obtenida mediante una isócrona con 5 muestras (4 esmeraldas y 1 calizita) tomadas del cinturón esmeraldífero occidental
0	7		Se obtuvo la localización de la sección Guineales-Pehálisa, a lo largo de la cual se tomaron las muestras, a partir de la georreferenciación de la Figura 6	1145875	1132392	MAGNA_Colombia_Oeste	5° 54' 50,587" N	75° 52' 55,094" W	Ramirez <i>et al.</i> (2006)	226	Edad central de población 1, interpretada como resultado de eventos sintéticos generados a lo largo del Sistema de Fallas de Romeral, en los que se dio el retrabajoamiento del basamento cretácico y del miembro inferior de la Formación Amagá, coetáneamente con los eventos volcánicos, entre 10 y 6 Ma, que dieron origen a la Formación Combia
									Romero Ordóñez <i>et al.</i> (2000)	257	Edad aparente obtenida a partir de errónea de 3 muestras tomadas del cinturón esmeraldífero oriental
11	7		Se obtuvo la localización del pozo Dina-12 del sitio web del EPIS	833172	862320	MAGNA_Colombia_Bogota	3° 05' 12,504" N	75° 18' 57,601" W	Schwabe (2001)	267	Edad central, muestra del pozo Dina-12 a 2064 pies de profundidad, edad obtenida por la profesora Gloria Elena TORO de la Universidad EAFIT
	21			977974	1016754	MAGNA_Colombia_Bogota	4° 23' 49,200" N	73° 55' 35,640" W	Parra <i>et al.</i> (2009a)	218	Muestra localizada en el flanco occidental del macizo de Quetame
			Se obtuvo las coordenadas del punto a partir de la georreferenciación del Anexo I de Bustamante (2008) [56]	798096	1083644	MAGNA_Colombia_Oeste	2° 46' 12,286" N	76° 19' 30,986" W	Bustamante <i>et al.</i> (2011)	57	Edad gas total
									Espinosa (1980)	96	
12-11	4-7		Se obtuvo la localización del pozo Dina-12 del sitio web del EPIS	833172	862320	MAGNA_Colombia_Bogota	3° 05' 12,504" N	75° 18' 57,601" W	Schwabe (2001)	267	Edad central ponderada, muestra del pozo Dina-12 a 2064 pies de profundidad
62	8		Se obtuvo la localización del pozo Dina-12 del sitio web del EPIS	833172	862320	MAGNA_Colombia_Bogota	3° 05' 12,504" N	75° 18' 57,601" W	Schwabe (2001)	267	Edad central, muestra del pozo Dina-12 a 3440 pies de profundidad
			Se obtuvo las coordenadas del punto a partir de la georreferenciación del Anexo I de Bustamante (2008) [56]	798250	1083666	MAGNA_Colombia_Oeste	2° 46' 17,313" N	76° 19' 30,263" W	Bustamante <i>et al.</i> (2011)	57	Edad gas total
12	4		Se obtuvo la localización del pozo Dina-12 del sitio web del EPIS	833172	862320	MAGNA_Colombia_Bogota	3° 05' 12,504" N	75° 18' 57,601" W	Schwabe (2001)	267	Edad central, muestra del pozo Dina-12 a 2064 pies de profundidad
	20			971778	1097903	MAGNA_Colombia_Oeste	4° 20' 25,700" N	76° 11' 44,000" W	Villagómez & Spikings (2013)	328	Edad pooled
			Localización tomada de Cardona (2003) [63]	1736514	1049965	MAGNA_Colombia_Bogota	11° 15' 19,113" N	73° 37' 11,736" W	Cardona <i>et al.</i> (2006)	64	Edad integrada interpretada como un evento de calentamiento con pérdida de argón
				653890	996021	MAGNA_Colombia_Oeste	1° 27' 58,243" N	77° 06' 47,764" W	González (2010)	122	Edad de isócrona inversa. Alteración de hornblenda
<1	5		Se obtuvo las coordenadas del punto a partir de la georreferenciación del Anexo I de Bustamante (2008) [56]	798250	1083666	MAGNA_Colombia_Oeste	2° 46' 17,313" N	76° 19' 30,263" W	Bustamante <i>et al.</i> (2011)	57	Edad de meseta
				1208873	906508	MAGNA_Colombia_Bogota	6° 29' 03,470" N	74° 55' 21,720" W	Leal Mejia (2011)	160	Interpretada como la edad de cristalización magmática. Dique pórfito Cristales
			Se obtuvo las coordenadas del punto a partir de la georreferenciación de la Plancha 1 y a partir de la descripción del sitio de muestreo	914506	1032787	MAGNA_Colombia_Oeste	3° 49' 22,828" N	76° 46' 56,383" W	Barrera (1979)	26	
				653890	996021	MAGNA_Colombia_Oeste	1° 27' 58,243" N	77° 06' 47,764" W	González (2010)	122	Edad de meseta, alteración de hornblenda
			Las coordenadas (1° 05' N, 77° 48' W) reportadas por los autores no coinciden con la localización de la datación en el mapa geológico. Se obtuvo las coordenadas del punto a partir de la georreferenciación de este mapa	618128	912654	MAGNA_Colombia_Oeste	1° 08' 33,563" N	77° 51' 44,203" W	Alvarez & Linares (1981b)	9	Edad de cristalización y emplazamiento del plutón
			Localización tomada de McCourt <i>et al.</i> (1984b) [182]	883667	1108462	MAGNA_Colombia_Oeste	3° 32' 37,169" N	76° 06' 04,920" W	Brook (1984)	53	Edad de reseteamiento
									De Souza <i>et al.</i> (1984)	89	Para esta muestra se publicó una edad de 61 ± 6 Ma en Espinosa (1980) [96]

ID Datación Radiométrica	Código de la muestra	Unidad geológica	Litología	Edad años BP	Error años	Edad Ma	Error Ma	Edad grano simple menor detrítico	Edad grano simple mayor detrítico	Edad estratigráfica	Edades heredadas	Método de datación	Material analizado	Relación inicial	MSWD	P(X2) %
2314	COL7A	Esquistos de Medellín	Esquisto			62	$\pm 11$			Paleoceno (E1)		K–Ar	Biotita			
2315	COL1	Anfibolitas de Medellín				62	$\pm 20$			Paleoceno (E1)		K–Ar	Anfibol			
2316	Gor 8	Volcánico de Gorgona	Basalto			62	$\pm 9$			Paleoceno (E1)		Ar–Ar	Roca total			
2317	700		Esquisto			62				Paleoceno (E1)		K–Ar				
2318	705		Esquisto			62				Paleoceno (E1)		K–Ar				
2319		Formación Quebradagrande	Toba milonítica			62	$\pm 1$			Paleoceno (E1)		K–Ar	Roca total			
2320	124F	Esquistos de Jambaló	Esquisto de glaucofana			62,2	$\pm 0,2$			Paleoceno (E1)		Ar–Ar	Paragonita			
2321	124G	Esquistos de Jambaló	Esquisto de glaucofana			62,3	$\pm 1,1$			Paleoceno (E1)		Ar–Ar	Paragonita		1,04	
2322	124G	Esquistos de Jambaló	Esquisto de glaucofana			62,3	$\pm 1,8$			Paleoceno (E1)		Ar–Ar	Paragonita			
2323	124F	Esquistos de Jambaló	Esquisto de glaucofana			62,4	$\pm 0,2$			Paleoceno (E1)		Ar–Ar	Paragonita		1,74	
2324	124G	Esquistos de Jambaló	Esquisto de glaucofana			62,4	$\pm 0,3$			Paleoceno (E1)		Ar–Ar	Paragonita			
2325	MF-10	Plutón de Manizales	Granodiorita			62,4	$\pm 3,6$			Paleoceno (E1)		Huellas de fisión	Circón			
2326	124F	Esquistos de Jambaló	Esquisto de glaucofana			62,5	$\pm 1,5$			Paleoceno (E1)		Ar–Ar	Paragonita			
2327	M949	Formación Lutitas de Macanal	Vena mineralizada			62,5	$\pm 3,9$			Paleoceno (E1)		Ar–Ar	Moscovita			
2328	DV95	Pegmatitas de Bolívar	Pegmatita			62,5	$\pm 5,2$			Paleoceno (E1)		Huellas de fisión	Circón			40
2329	A-3	Formación Lutitas de Macanal	Vena mineralizada			62,6	$\pm 1,5$			Paleoceno (E1)		K–Ar	Moscovita			
2330	DV19	Complejo Cajamarca	Cuarcita			62,6	$\pm 9,0$			Paleoceno (E1)		Huellas de fisión	Circón			
2331	DV58	Batolito Antioqueño	Granito			62,6	$\pm 1,1$			Paleoceno (E1)		Ar–Ar	Ortoclasa		2,36	
2332	DV64	Batolito Antioqueño	Granodiorita			62,6	$\pm 0,7$			Paleoceno (E1)		Ar–Ar	Plagioclasa		7,9	
2333	WDM-149	Esquistos de Santa Marta, Formación Rodadero	Anfibolita			62,8	$\pm 6,3$			Paleoceno (E1)		K–Ar	Hornblenda			
2334	BC 4	Batolito Antioqueño	Granodiorita			62,8	$\pm 2,9$			Paleoceno (E1)		Huellas de fisión	Circón			
2335	DV95	Pegmatitas de Bolívar	Pegmatita			62,8	$\pm 6,8$			Paleoceno (E1)		Huellas de fisión	Apatito			11
2336	Bsm 100	Granito leucocrático de Playa Salguero	Leucogranito			62,85	$\pm 0,29$			Paleoceno (E1)	308, 135, 110 y 91 Ma	U–Pb LA–ICP–MS	Circón		1,09	
2337	124F	Esquistos de Jambaló	Esquisto de glaucofana			62,9	$\pm 1,0$			Paleoceno (E1)		Ar–Ar	Paragonita		0,92	
2338	AM-02 P4	Formación Los Cuervos	Arenita			62,9	$\pm 11,2$			Paleoceno (E1)		Huellas de fisión EDM	Apatito			
2339	124G	Esquistos de Jambaló	Esquisto de glaucofana			63	$\pm 0,3$			Paleoceno (E1)		Ar–Ar	Paragonita		1,75	
2340	700-701-702-7 03-704-705-70 6 y 707		Esquisto			63	$\pm 2$			Paleoceno (E1)		Rb–Sr				
2341	706		Esquisto			63				Paleoceno (E1)		K–Ar				
2342	910		Microepisienita			63				Paleoceno (E1)		K–Ar				
2343	121B	Esquistos de Jambaló	Esquisto de glaucofana			63,2	$\pm 4,4$			Paleoceno (E1)		Ar–Ar	Moscovita		0,67	
2344	DV64	Batolito Antioqueño	Granodiorita			63,2	$\pm 0,3$			Paleoceno (E1)		Ar–Ar	Plagioclasa			
2345	A-3	Formación Lutitas de Macanal	Vena mineralizada			63,3	$\pm 1,5$			Paleoceno (E1)		Ar–Ar	Moscovita			
2346	BC 2	Batolito Antioqueño	Granodiorita			63,3	$\pm 3,2$			Paleoceno (E1)		Huellas de fisión	Circón			
2347	DV58	Batolito Antioqueño	Granito			63,4	$\pm 0,5$			Paleoceno (E1)		Ar–Ar	Ortoclasa			
2348	DV17	Complejo Cajamarca	Esquisto verde			63,4	$\pm 7,4$			Paleoceno (E1)		Huellas de fisión	Circón			

Dispersión %	Número de granos analizados	Número de aliquotas	Fuente georreferenciación	Coordenada X	Coordenada Y	Sistema de coordenadas	Latitud	Longitud	Referencia	ID referencia	Comentarios
			Localización suministrada por el profesor Jorge Julián RESTREPO	1191483	844103	MAGNA_Colombia_Bogota	6° 19' 33,048" N	75° 29' 10,811" W	Restrepo <i>et al.</i> (1991)	239	
									Restrepo <i>et al.</i> (1991)	239	
				823661	878923	MAGNA_Colombia_Oeste	3° 00' 03,492" N	78° 09' 59,695" W	Serrano <i>et al.</i> (2011)	269	Edad integrada
			Se obtuvo la localización del pozo El Cábano-1 del sitio web del EPIS	1461393	862162	MAGNA_Colombia_Bogota	8° 45' 58,453" N	75° 19' 48,619" W	Thery <i>et al.</i> (1977)	279	Muestra de núcleo del pozo El Cábano-1
			Se obtuvo la localización del pozo El Cábano-1 del sitio web del EPIS	1461393	862162	MAGNA_Colombia_Bogota	8° 45' 58,453" N	75° 19' 48,619" W	Thery <i>et al.</i> (1977)	279	Muestra de núcleo del pozo El Cábano-1
									Vinasco <i>et al.</i> (2003)	331	Esta edad es discordante con los resultados de Ar-Ar en la misma muestra lo que sugiere que la edad no está bien constreñida
			Se obtuvo las coordenadas del punto a partir de la georreferenciación del Anexo I de Bustamante (2008) [56]	798250	1083666	MAGNA_Colombia_Oeste	2° 46' 17,313" N	76° 19' 30,263" W	Bustamante <i>et al.</i> (2011)	57	Edad gas total
			Se obtuvo las coordenadas del punto a partir de la georreferenciación del Anexo I de Bustamante (2008) [56]	798250	1083666	MAGNA_Colombia_Oeste	2° 46' 17,313" N	76° 19' 30,263" W	Bustamante <i>et al.</i> (2011)	57	Edad de meseta
			Se obtuvo las coordenadas del punto a partir de la georreferenciación del Anexo I de Bustamante (2008) [56]	798250	1083666	MAGNA_Colombia_Oeste	2° 46' 17,313" N	76° 19' 30,263" W	Bustamante <i>et al.</i> (2011)	57	Edad gas total
			Se obtuvo las coordenadas del punto a partir de la georreferenciación del Anexo I de Bustamante (2008) [56]	798250	1083666	MAGNA_Colombia_Oeste	2° 46' 17,313" N	76° 19' 30,263" W	Bustamante <i>et al.</i> (2011)	57	Edad de meseta
			Se obtuvo las coordenadas del punto a partir de la georreferenciación del Anexo I de Bustamante (2008) [56]	798250	1083666	MAGNA_Colombia_Oeste	2° 46' 17,313" N	76° 19' 30,263" W	Bustamante <i>et al.</i> (2011)	57	Edad gas total
									Jaramillo (1981)	146	
			Se obtuvo las coordenadas del punto a partir de la georreferenciación del Anexo I de Bustamante (2008) [56]	798250	1083666	MAGNA_Colombia_Oeste	2° 46' 17,313" N	76° 19' 30,263" W	Bustamante <i>et al.</i> (2011)	57	Edad gas total
			Se obtuvo las coordenadas del punto a partir de la georreferenciación de la Figura 1	1028390	1077672	MAGNA_Colombia_Bogota	4° 51' 09,269" N	73° 22' 38,241" W	Cheilzelt <i>et al.</i> (1997)	77	Edad integrada
20				971053	1097657	MAGNA_Colombia_Oeste	4° 20' 02,100" N	76° 11' 52,000" W	Villagómez & Spikings (2013)	328	Edad pooled
			Se obtuvo las coordenadas del punto a partir de la georreferenciación de la Figura 1	1044004	1089530	MAGNA_Colombia_Bogota	4° 59' 37,098" N	73° 16' 12,829" W	Cheilzelt <i>et al.</i> (1997)	77	Los autores determinan una edad media ponderada de $64,8 \pm 3,1$ Ma y la interpretan como la edad de los cuatro depósitos de esmeraldas en el distrito Chivor-Macanal. Estas edades las calcularon por el método de K-Ar y Ar-Ar de 5 muestras: SG 44 (K-Ar), POR-5 (K-Ar), POR-5 (Ar-Ar), A-3(K-Ar) y A-3 (Ar-Ar)
				986425	836003	MAGNA_Colombia_Bogota	4° 28' 19,000" N	75° 33' 18,100" W	Villagómez (2010)	325	Edad pooled de población
				1157388	882771	MAGNA_Colombia_Bogota	6° 01' 06,300" N	75° 08' 10,800" W	Villagómez & Spikings (2013)	328	Edad media ponderada de meseta
				1153364	902803	MAGNA_Colombia_Bogota	5° 58' 56,500" N	74° 57' 19,300" W	Villagómez & Spikings (2013)	328	Edad media ponderada de meseta, espectro de edad perturbado
			Se obtuvo las coordenadas del punto a partir de la georreferenciación de la Figura 2	1729030	983977	MAGNA_Colombia_Bogota	11° 11' 16,708" N	74° 13' 27,159" W	MacDonald <i>et al.</i> (1971)	166	
				1262007	850128	MAGNA_Colombia_Bogota	6° 57' 48,679" N	75° 26' 01,112" W	Saenz <i>et al.</i> (1996)	258	
15				971053	1097657	MAGNA_Colombia_Oeste	4° 20' 02,100" N	76° 11' 52,000" W	Villagómez & Spikings (2013)	328	Edad pooled
14				1729443	983625	MAGNA_Colombia_Bogota	11° 11' 30,130" N	74° 13' 38,782" W	Duque (2009)	93	Edad media ponderada interpretada como la edad de cristalización magmática
			Se obtuvo las coordenadas del punto a partir de la georreferenciación del Anexo I de Bustamante (2008) [56]	798250	1083666	MAGNA_Colombia_Oeste	2° 46' 17,313" N	76° 19' 30,263" W	Bustamante <i>et al.</i> (2011)	57	Edad de meseta
7				1096555	1177708	MAGNA_Colombia_Bogota	5° 28' 01,920" N	72° 28' 26,720" W	Mora <i>et al.</i> (2010)	195	Edad pooled de la población 4, muestra del Anticinal Montrralao
			Se obtuvo las coordenadas del punto a partir de la georreferenciación del Anexo I de Bustamante (2008) [56]	798250	1083666	MAGNA_Colombia_Oeste	2° 46' 17,313" N	76° 19' 30,263" W	Bustamante <i>et al.</i> (2011)	57	Edad de meseta
			Se obtuvo la localización del pozo El Cábano-1 del sitio web del EPIS	1461393	862162	MAGNA_Colombia_Bogota	8° 45' 58,453" N	75° 19' 48,619" W	Thery <i>et al.</i> (1977)	279	Edad obtenida a partir de una isócrona con 8 muestras de núcleos del pozo El Cábano-1
			Se obtuvo la localización del pozo El Cábano-1 del sitio web del EPIS	1461393	862162	MAGNA_Colombia_Bogota	8° 45' 58,453" N	75° 19' 48,619" W	Thery <i>et al.</i> (1977)	279	Muestra de núcleo del pozo El Cábano-1
			Se obtuvo la localización del pozo Los Cayos-1 del sitio web del EPIS	1470413	870836	MAGNA_Colombia_Bogota	8° 50' 52,912" N	75° 15' 05,782" W	Thery <i>et al.</i> (1977)	279	Muestra de núcleo del pozo Los Cayos-1
			Se obtuvo las coordenadas del punto a partir de la georreferenciación del Anexo I de Bustamante (2008) [56]	824482	1092101	MAGNA_Colombia_Oeste	3° 00' 31,048" N	76° 14' 56,558" W	Bustamante <i>et al.</i> (2011)	57	Edad de meseta
				1153364	902803	MAGNA_Colombia_Bogota	5° 58' 56,500" N	74° 57' 19,300" W	Villagómez (2010)	325	Edad de fusión total
			Se obtuvo las coordenadas del punto a partir de la georreferenciación de la Figura 1	1044004	1089530	MAGNA_Colombia_Bogota	4° 59' 37,098" N	73° 16' 12,829" W	Cheilzelt <i>et al.</i> (1997)	77	Los autores determinan una edad media ponderada de $64,8 \pm 3,1$ Ma y la interpretan como la edad de los cuatro depósitos de esmeraldas en el distrito Chivor-Macanal. Estas edades las calcularon por el método de K-Ar y Ar-Ar de 5 muestras: SG 44 (K-Ar), POR-5 (K-Ar), POR-5 (Ar-Ar), A-3(K-Ar) y A-3 (Ar-Ar)
				1228763	873491	MAGNA_Colombia_Bogota	6° 39' 48,719" N	75° 13' 17,614" W	Saenz <i>et al.</i> (1996)	258	
				1157388	882771	MAGNA_Colombia_Bogota	6° 01' 06,300" N	75° 08' 10,800" W	Villagómez (2010)	325	Edad de fusión total
				985348	837934	MAGNA_Colombia_Bogota	4° 27' 44,100" N	75° 32' 15,400" W	Villagómez (2010)	325	Edad pooled de población

ID Datación Radiométrica	Código de la muestra	Unidad geológica	Litología	Edad años BP	Error años	Edad Ma	Error Ma	Edad grano simple menor detrítico	Edad grano simple mayor detrítico	Edad estratigráfica	Edades heredadas	Método de datación	Material analizado	Relación inicial	MSWD	P(X2) %
2349	125M	Esquistos de Jambaló	Esquisto de glaucofana			63,5	$\pm 1,3$			Paleoceno (E1)		Ar–Ar	Paragonita		1,64	
2350	A1–2R (población 1)	Formación Monserrate				63,5	$\pm 2,0$			Paleoceno (E1)		Huellas de fisión	Circón			78
2351	DV02	Complejo Cajamarca	Gneis			63,6	$\pm 9,4$			Paleoceno (E1)		Huellas de fisión	Circón			6
2352	996–07	Formación Lisama	Arenita			63,6	$\pm 4,1$			Paleoceno (E1)		Huellas de fisión	Apatito			31,9
2353	Bsm 38B	Granito leucocrático de Playa Salguero	Leucogranito			63,97	$\pm 0,65$			Paleoceno (E1)		U–Pb LA–ICP–MS	Circón		0,6	
2354	Mo 448	Formación Amaime	Basalto			64	$\pm 2$			Paleoceno (E1)		K–Ar	Roca total			
2355	Mo 478–481	Complejo Cajamarca	Esquisto negro			64	$\pm 2$			Paleoceno (E1)		Rb–Sr	Roca total			
2356	AEB 478	Secuencia Ofiolítica de Los Azules	Lava			64	$\pm 3$			Paleoceno (E1)		K–Ar	Roca total			
2357	BSS–11, BSS–12	Batolito de Sonsón	Cuarzodiorita			64	$\pm 15$			Paleoceno (E1)		Rb–Sr	Roca total	0,70509	1,4	
2358	BSS–3, BSS–4A	Batolito de Sonsón	Cuarzodiorita			64	$\pm 15$			Paleoceno (E1)		Rb–Sr	Roca total	0,70509	1,4	
2359	BSS–5	Batolito de Sonsón	Cuarzodiorita			64	$\pm 15$			Paleoceno (E1)		Rb–Sr	Roca total	0,70509	1,4	
2360	BSS–8	Batolito de Sonsón	Cuarzodiorita			64	$\pm 15$			Paleoceno (E1)		Rb–Sr	Roca total	0,70509	1,4	
2361	JJ253	Stock de La Unión				64	$\pm 4$			Paleoceno (E1)		K–Ar	Biotita			
2362	Gor 43	Volcánico de Gorgona	Basalto komatiítico			64	$\pm 5$			Paleoceno (E1)		Ar–Ar	Plagioclasa		0,3	
2363	704		Esquisto			64				Paleoceno (E1)		K–Ar				
2364	CM087R	Formación Amaime				64,03	$\pm 19,17$			Paleoceno (E1)		Ar–Ar	Roca total			
2365	WDM–716	Esquistos de Santa Marta, Formación Rodadero	Anfibolita			64,1	$\pm 3,2$			Paleoceno (E1)		K–Ar	Hornblenda			
2366	DV54	Batolito Antioqueño	Diorita			64,1	$\pm 5,4$			Paleoceno (E1)		Ar–Ar	Hornblenda		4,33	
2367	DV63	Batolito Antioqueño	Aplita			64,1	$\pm 9,6$			Paleoceno (E1)		Huellas de fisión	Apatito			9
2368	123A	Esquistos de Jambaló	Esquisto de glaucofana			64,2	$\pm 0,8$			Paleoceno (E1)		Ar–Ar	Paragonita			
2369	RB1	Gabro de La Corona	Tonalita			64,3	$\pm 2,3$			Paleoceno (E1)		Ar–Ar	Plagioclasa		0,83	
2370	RB1	Gabro de La Corona	Tonalita			64,3	$\pm 2,3$			Paleoceno (E1)		Ar–Ar	Plagioclasa			
2371	DV28	Complejo Arquia	Anfibolita granatífera			64,4	$\pm 3,6$			Paleoceno (E1)		Ar–Ar	Hornblenda		0,65	
2372	DV176	Complejo Quebradagrande	Diorita			64,5	$\pm 14,6$			Paleoceno (E1)		Huellas de fisión	Apatito			100
2373	CJ–52	Complejo Quebradagrande	Gabro			64,7	$\pm 3$			Paleoceno (E1)		K–Ar	Roca total			
2374	124J	Esquistos de Jambaló	Esquisto de glaucofana			64,8	$\pm 2,0$			Paleoceno (E1)		Ar–Ar	Fengita			
2375	DV07	Batolito de Ibagué	Granito			64,9	$\pm 10,2$			Paleoceno (E1)		Huellas de fisión	Apatito			13
2376	POR–5	Formación Lutitas de Macanal	Vena mineralizada			65	$\pm 1,9$			Paleoceno (E1)		Ar–Ar	Moscovita			
2377	AEB 538	Secuencia Ofiolítica de Los Azules	Lava			65	$\pm 3$			Paleoceno (E1)		K–Ar	Roca total			
2378	AEB 879	Secuencia Ofiolítica de Los Azules	Lava			65	$\pm 3$			Paleoceno (E1)		K–Ar	Roca total			
2379	CJ–55	Complejo Quebradagrande	Milonita			65	$\pm 3$			Paleoceno (E1)		K–Ar	Roca total			
2380	JM050R	Stock Monzonítico de Ira				65,05	$\pm 1,49$			Paleoceno (E1)		Ar–Ar	Hornblenda			
2381	DV14	Complejo Cajamarca	Cuarcita			65,1	$\pm 10,2$			Paleoceno (E1)		Huellas de fisión	Circón			0
2382	A–3	Formación Lutitas de Macanal	Vena mineralizada			65,2	$\pm 1,4$			Paleoceno (E1)		Ar–Ar	Moscovita			
2383	WDM–197	Esquistos de Santa Marta, Formación Cinto	Filita			65,3	$\pm 3,3$			Paleoceno (E1)		K–Ar	Roca total			

Dispersión %	Número de granos analizados	Número de aliquotas	Fuente georreferenciación	Coordenada X	Coordenada Y	Sistema de coordenadas	Latitud	Longitud	Referencia	ID referencia	Comentarios
			Se obtuvo las coordenadas del punto a partir de la georreferenciación del Anexo I de Bustamante (2008) [56]	798096	1083644	MAGNA_Colombia_Oeste	2° 46' 12,286" N	76° 19' 30,986" W	Bustamante <i>et al.</i> (2011)	57	Edad de meseta
<1	2		Se obtuvo la localización del pozo Apicalá-1 del sitio web del EPIS	945446	931077	MAGNA_Colombia_Bogota	4° 06' 09,436" N	74° 41' 53,606" W	Schwabe (2001)	267	Edad central de población 1, muestra del pozo Apicalá-1 a 3420-3610 pies de profundidad, edad obtenida por la profesora Gloria Elena TORO de la Universidad EAFIT
	15			1020198	901536	MAGNA_Colombia_Bogota	4° 46' 41,800" N	74° 57' 54,200" W	Villagómez & Spikings (2013)	328	Edad pooled
	20			1281187	1059920	MAGNA_Colombia_Bogota	7° 08' 18,888" N	73° 32' 06,252" W	Caballero <i>et al.</i> (2013)	59	
	16			1728261	983186	MAGNA_Colombia_Bogota	11° 10' 51,655" N	74° 13' 53,232" W	Duque (2009)	93	Edad media ponderada interpretada como la edad de cristalización magmática
			Localización tomada de McCourt <i>et al.</i> (1984b) [182]	892164	1104919	MAGNA_Colombia_Oeste	3° 37' 13,875" N	76° 07' 59,430" W	Brook (1984)	53	Edad de reseteamiento parcial, refleja acreción de bloques
			Localización tomada de McCourt <i>et al.</i> (1984b) [182]	885499	1111438	MAGNA_Colombia_Oeste	3° 33' 36,699" N	76° 04' 28,467" W	Brook (1984)	53	Interpretada como edad de reseteamiento, calculada en una isócrona de 4 muestras
									De Souza <i>et al.</i> (1984)	89	Para esta muestra se publicó una edad de 63,6 ± 7 Ma en Espinosa (1980) [96]
			Se obtuvo las coordenadas del punto a partir de la georreferenciación de la Figura 32	1130087	866076	MAGNA_Colombia_Bogota	5° 46' 16,626" N	75° 17' 11,633" W	Ordóñez Carmona (2001)	207	Interpretada como la edad de cristalización magmática, calculada en una isócrona para 6 muestras del batolito (BSS-3, 4A, 5, 8, 11 y 12)
			Se obtuvo las coordenadas del punto a partir de la georreferenciación de la Figura 32	1121827	862591	MAGNA_Colombia_Bogota	5° 41' 47,536" N	75° 19' 04,320" W	Ordóñez Carmona (2001)	207	Interpretada como la edad de cristalización magmática, calculada en una isócrona para 6 muestras del batolito (BSS-3, 4A, 5, 8, 11 y 12)
			Se obtuvo las coordenadas del punto a partir de la georreferenciación de la Figura 32	1128390	864794	MAGNA_Colombia_Bogota	5° 45' 21,305" N	75° 17' 53,179" W	Ordóñez Carmona (2001)	207	Interpretada como la edad de cristalización magmática, calculada en una isócrona para 6 muestras del batolito (BSS-3, 4A, 5, 8, 11 y 12)
			Se obtuvo las coordenadas del punto a partir de la georreferenciación de la Figura 32	1129434	865283	MAGNA_Colombia_Bogota	5° 45' 55,334" N	75° 17' 37,367" W	Ordóñez Carmona (2001)	207	Interpretada como la edad de cristalización magmática, calculada en una isócrona para 6 muestras del batolito (BSS-3, 4A, 5, 8, 11 y 12)
			Localización suministrada por el profesor Jorge Julián RESTREPO	1149093	863313	MAGNA_Colombia_Bogota	5° 56' 35,024" N	75° 18' 42,800" W	Restrepo <i>et al.</i> (1991)	239	
				816839	873988	MAGNA_Colombia_Oeste	2° 56' 21,286" N	78° 12' 39,244" W	Serrano <i>et al.</i> (2011)	269	Edad de meseta
			Se obtuvo la localización del pozo El Cábano-1 del sitio web del EPIS	1461393	862162	MAGNA_Colombia_Bogota	8° 45' 58,453" N	75° 19' 48,619" W	Thery <i>et al.</i> (1977)	279	Muestra de núcleo del pozo El Cábano-1
				878693	1098023	MAGNA_Colombia_Oeste	3° 29' 55,595" N	76° 11' 43,267" W	González (2010)	122	Edad integrada
			Se obtuvo las coordenadas del punto a partir de la georreferenciación de la Figura 2	1729526	985225	MAGNA_Colombia_Bogota	11° 11' 32,853" N	74° 12' 46,035" W	MacDonald <i>et al.</i> (1971)	166	
				1191729	844756	MAGNA_Colombia_Bogota	6° 19' 41,100" N	75° 28' 49,600" W	Villagómez & Spikings (2013)	328	Edad de isócrona inversa
18				1152920	902427	MAGNA_Colombia_Bogota	5° 58' 42,000" N	74° 57' 31,500" W	Villagómez & Spikings (2013)	328	Edad pooled
			Se obtuvo las coordenadas del punto a partir de la georreferenciación del Anexo I de Bustamante (2008) [56]	821076	1098022	MAGNA_Colombia_Oeste	2° 58' 40,011" N	76° 11' 44,922" W	Bustamante <i>et al.</i> (2011)	57	Edad gas total
				1104682	988373	MAGNA_Colombia_Bogota	5° 32' 34,192" N	74° 10' 56,798" W	Vásquez <i>et al.</i> (2010)	318	Edad de isócrona inversa
				1104682	988373	MAGNA_Colombia_Bogota	5° 32' 34,192" N	74° 10' 56,798" W	Vásquez <i>et al.</i> (2010)	318	Edad de isócrona normal
				976201	1150785	MAGNA_Colombia_Oeste	4° 22' 47,100" N	75° 43' 09,000" W	Villagómez & Spikings (2013)	328	Edad media ponderada de meseta
24				1095086	845172	MAGNA_Colombia_Bogota	5° 27' 16,000" N	75° 28' 28,200" W	Villagómez & Spikings (2013)	328	Edad pooled, posiblemente la muestra de roca analizada corresponda a otro tipo de roca
			Se obtuvo las coordenadas del punto a partir de la georreferenciación del Anexo I	1095260	844664	MAGNA_Colombia_Bogota	5° 27' 21,610" N	75° 28' 44,692" W	Vinasco <i>et al.</i> (2003)	331	
			Se obtuvo las coordenadas del punto a partir de la georreferenciación del Anexo I de Bustamante (2008) [56]	798250	1083666	MAGNA_Colombia_Oeste	2° 46' 17,313" N	76° 19' 30,263" W	Bustamante <i>et al.</i> (2011)	57	Edad gas total
21				979196	864163	MAGNA_Colombia_Bogota	4° 24' 25,400" N	75° 18' 04,500" W	Villagómez & Spikings (2013)	328	Edad pooled
			Se obtuvo las coordenadas del punto a partir de la georreferenciación de la Figura 1	1028179	1077085	MAGNA_Colombia_Bogota	4° 51' 02,415" N	73° 22' 57,316" W	Cheilletz <i>et al.</i> (1997)	77	Los autores determinan una edad media ponderada de 64,8 ± 3,1 Ma y la interpretan como la edad de los cuatro depósitos de esmeraldas en el distrito Chivor-Macanal. Estas edades las calcularon por el método de K-Ar y Ar-Ar de 5 muestras: SG 44 (K-Ar), POR-5 (K-Ar), POR-5 (Ar-Ar), A-3(K-Ar) y A-3 (Ar-Ar)
									De Souza <i>et al.</i> (1984)	89	Para esta muestra se publicó una edad de 64,9 ± 5 Ma en Espinosa (1980) [96]
									De Souza <i>et al.</i> (1984)	89	Para esta muestra se publicó una edad de 65,4 ± 5 Ma en Espinosa (1980) [96]
			Se obtuvo las coordenadas del punto a partir de la georreferenciación del Anexo II	1094289	844308	MAGNA_Colombia_Bogota	5° 26' 49,995" N	75° 28' 56,187" W	Vinasco (2001)	329	Edad relacionada con la actividad del sistema de falla, indicando el tiempo de deformación. También publicada en Vinasco <i>et al.</i> (2003) [331]
				1074078	1155899	MAGNA_Colombia_Oeste	5° 15' 52,200" N	75° 40' 16,643" W	González (2010)	122	Edad integrada
28				982705	844649	MAGNA_Colombia_Bogota	4° 26' 18,500" N	75° 28' 37,500" W	Villagómez (2010)	325	Edad pooled
			Se obtuvo las coordenadas del punto a partir de la georreferenciación de la Figura 1	1044004	1089530	MAGNA_Colombia_Bogota	4° 59' 37,098" N	73° 16' 12,829" W	Cheilletz <i>et al.</i> (1997)	77	Edad de meseta
			Se obtuvo las coordenadas del punto a partir de la georreferenciación de la Figura 2	1743451	998858	MAGNA_Colombia_Bogota	11° 19' 06,142" N	74° 05' 16,697" W	MacDonald <i>et al.</i> (1971)	166	

ID Datación Radiométrica	Código de la muestra	Unidad geológica	Litología	Edad años BP	Error años	Edad Ma	Error Ma	Edad grano simple menor detrítico	Edad grano simple mayor detrítico	Edad estratigráfica	Edades heredadas	Método de datación	Material analizado	Relación inicial	MSWD	P(X2) %
2384	DV56	Batolito Antioqueño	Granito			65,5	$\pm$ 6,0			Paleoceno (E1)			Huellas de fisión	Circón		5
2385	SM-1	Stock de Mistrató				65,58	+ 7,62/- 6,83			Paleoceno (E1)			Huellas de fisión LA-ICP-MS	Circón		
2386	4032	Depósito lacustre La Unión	Saprolito			65,6	$\pm$ 2,0			Paleoceno (E1)			Huellas de fisión	Circón		77
2387	RG-MP-013	Formación 1 Sur	Arenita			65,75	$\pm$ 435,89			Paleoceno (E1)			U-Th/He	Apatito		
2388	DV26	Stock de Córdoba	Granodiorita			65,9	$\pm$ 5,1			Paleoceno (E1)			Ar-Ar	Hornblenda		1,51
2389	123A	Esquistos de Jambaló	Esquisto de glaucofana			66	$\pm$ 0,7			Maastrichtiano (k6)-Paleoceno (E1)			Ar-Ar	Paragonita		1,51
2390	40,40B,40CVS M (población 1)	Formación La Tabla				66	$\pm$ 2,4			Maastrichtiano (k6)-Paleoceno (E1)			Huellas de fisión	Circón		23
2391	BC-79-5	Cuarzomonzonita de La Corcova	Cuarzomonzonita			66	$\pm$ 7			Maastrichtiano (k6)-Paleoceno (E1)			Huellas de fisión	Circón		
2392	703		Esquisto			66				Maastrichtiano (k6)-Paleoceno (E1)			K-Ar			
2393	CJ-54	Complejo Quebradagrande	Milonita de toba volcánica			66	$\pm$ 3			Maastrichtiano (k6)-Paleoceno (E1)			K-Ar	Roca total		
2394	RB1	Gabro de La Corona	Tonalita			66,5	$\pm$ 0,5			Maastrichtiano (k6)			Ar-Ar	Plagioclasa		
2395	DV153	Batolito Antioqueño	Granodiorita			66,6	$\pm$ 8,0			Maastrichtiano (k6)			Huellas de fisión	Circón		11
2396	el 55	Ofiolita Komatiítica de Gorgona	Microgabro			66,7	$\pm$ 8			Maastrichtiano (k6)			K-Ar			
2397	124G	Esquistos de Jambaló	Esquisto de glaucofana			66,8	$\pm$ 1,9			Maastrichtiano (k6)			Ar-Ar	Paragonita		
2398	129C	Esquistos de Jambaló	Esquisto de glaucofana			66,9	$\pm$ 0,2			Maastrichtiano (k6)			Ar-Ar	Moscovita		0,62
2399	Klein 1	Formación Lutitas de Macanal	Vena mineralizada			66,9	$\pm$ 2,4			Maastrichtiano (k6)			K-Ar	Moscovita		
2400	CGP4	Formación Combia				66,9	$\pm$ 1,8			Maastrichtiano (k6)			Huellas de fisión	Circón		10
2401	Mo 453	Formación Amaime	Basalto			67	$\pm$ 2			Maastrichtiano (k6)			K-Ar	Roca total		
2402	Mo 483	Complejo Bolo Azul				67	$\pm$ 2			Maastrichtiano (k6)			K-Ar	Hornblenda		
2403	129C	Esquistos de Jambaló	Esquisto de glaucofana			67	$\pm$ 0,3			Maastrichtiano (k6)			Ar-Ar	Moscovita		
2404	3012	Formación Quebradagrande	Espilita			67	$\pm$ 5			Maastrichtiano (k6)			K-Ar	Roca total		
2405	Coscuez-1; Muzo-2 y 3; Yacopí-1 y 2; Peñas Blancas 1, 2, 3 y 4		Esmeralda			67,0	$\pm$ 0,5			Maastrichtiano (k6)			Rb-Sr	Esmeralda	0,71297 $\pm$ 0,00023	
2406	BC-79-11	Gneis de Bucaramanga	Gneis			67	$\pm$ 7			Maastrichtiano (k6)			Huellas de fisión	Circón		
2407	996-10	Formación La Paz	Arenita			67	$\pm$ 4,5			Maastrichtiano (k6)			Huellas de fisión	Apatito		<1
2408	123A	Esquistos de Jambaló	Esquisto de glaucofana			67,1	$\pm$ 2,7			Maastrichtiano (k6)			Ar-Ar	Paragonita		1,4
2409	RS-SS21	Formación Esmeraldas				67,1	$\pm$ 11,4			Maastrichtiano (k6)			Huellas de fisión EDM	Apatito		2
2410	BC 9	Batolito Antioqueño	Cuarzodiorita			67,1	$\pm$ 2,7			Maastrichtiano (k6)			Huellas de fisión	Circón		
2411	IGM-69921	Complejo Cajamarca	Esquisto de estaurolita y biotita			67,3	$\pm$ 2,3			Maastrichtiano (k6)			K-Ar	Biotita		
2412	A-28	Complejo de Sevilla	Esquisto			67,3	$\pm$ 0,7			Maastrichtiano (k6)			Ar-Ar	Biotita		
2413	POR-5	Formación Lutitas de Macanal	Vena mineralizada			67,4	$\pm$ 2,4			Maastrichtiano (k6)			K-Ar	Moscovita		
2414	124J	Esquistos de Jambaló	Esquisto de glaucofana			67,5	$\pm$ 1,10			Maastrichtiano (k6)			Ar-Ar	Fengita		1,3
2415	DV94	Pegmatitas de Bolívar	Pegmatita			67,6	$\pm$ 15,3			Maastrichtiano (k6)			Ar-Ar	Hornblenda		1,94

Dispersión %	Número de gramos analizados	Número de alicuotas	Fuente georreferenciación	Coordenada X	Coordenada Y	Sistema de coordenadas	Latitud	Longitud	Referencia	ID referencia	Comentarios
	20			1161506	874416	MAGNA_Colombia_Bogotá	6° 03' 19,800" N	75° 12' 42,700" W	Villagómez & Spikings (2013)	328	Edad pooled
	30		Se tomaron las coordenadas listadas en los anexos que se diferencian varios metros con respecto a las reportadas en el informe final	1075096	1134419	MAGNA_Colombia_Oeste	5° 16' 26,806" N	75° 51' 53,969" W	Agencia Nacional de Hidrocarburos & Universidad de Caldas (2011b)	4	Edad pooled
<1	4								Toro (1999)	290	Edad central, muestra tomada en la mina Sofía, municipio de Rionegro en el departamento de Antioquia
	1	2		739533	839861	MAGNA_Colombia_Oeste	2° 14' 23,962" N	78° 31' 01,200" W	Agencia Nacional de Hidrocarburos & Universidad de Caldas (2011a)	3	Muestra de ripios recuperados del pozo Remolinogrande-1
				979396	1154012	MAGNA_Colombia_Oeste	4° 24' 30,900" N	75° 41' 24,200" W	Villagómez & Spikings (2013)	328	Edad de isócrona inversa
			Se obtuvo las coordenadas del punto a partir de la georreferenciación del Anexo I de Bustamante (2008) [56]	821076	1098022	MAGNA_Colombia_Oeste	2° 58' 40,011" N	76° 11' 44,922" W	Bustamante <i>et al.</i> (2011)	57	Edad de meseta, representa el tiempo de exhumación de los esquistos azules relacionado con el desarrollo de foliación milonítica, cerca del pico metamórfico que sería un poco más antiguo
19	15		Se localizó el punto de la datación con las coordenadas del topo de la columna estratigráfica donde se tomaron las muestras	859729	860842	MAGNA_Colombia_Bogotá	3° 19' 36,827" N	75° 19' 46,498" W	Schwabe (2001)	267	Edad central de población 1, interpretada como la edad máxima de deposición de la Formación La Tabla
	12		Se obtuvo las coordenadas del punto a partir de la georreferenciación de la Figura 7	1258237	1119625	MAGNA_Colombia_Bogotá	6° 55' 48,514" N	72° 59' 42,385" W	Shagam <i>et al.</i> (1984)	270	
			Se obtuvo la localización del pozo El Cábano-1 del sitio web del EPIS	1461393	862162	MAGNA_Colombia_Bogotá	8° 45' 58,453" N	75° 19' 48,619" W	Thery <i>et al.</i> (1977)	279	Muestra de núcleo del pozo El Cábano-1
			Se obtuvo las coordenadas del punto a partir de la georreferenciación del Anexo I	1094330	844160	MAGNA_Colombia_Bogotá	5° 26' 51,296" N	75° 29' 00,988" W	Vinasco (2001)	329	También publicada en Vinasco <i>et al.</i> (2003) [331]
				1104682	998373	MAGNA_Colombia_Bogotá	5° 32' 34,192" N	74° 10' 56,798" W	Vásquez <i>et al.</i> (2010)	318	Edad de meseta
	15			1215099	884479	MAGNA_Colombia_Bogotá	6° 32' 24,800" N	75° 07' 19,000" W	Villagómez & Spikings (2013)	328	Edad pooled
									Espinosa <i>et al.</i> (1982)	97	Muestra tomada en la isla de Gorgonilla
			Se obtuvo las coordenadas del punto a partir de la georreferenciación del Anexo I de Bustamante (2008) [56]	798250	1083666	MAGNA_Colombia_Oeste	2° 46' 17,313" N	76° 19' 30,263" W	Bustamante <i>et al.</i> (2011)	57	Edad gas total, error en la edad por exceso de Ar
			Se obtuvo las coordenadas del punto a partir de la georreferenciación del Anexo I de Bustamante (2008) [56]	800576	1085524	MAGNA_Colombia_Oeste	2° 47' 32,984" N	76° 18' 30,053" W	Bustamante <i>et al.</i> (2011)	57	Edad de meseta, representa el tiempo de exhumación de los esquistos azules relacionado con el desarrollo de foliación milonítica, cerca del pico metamórfico que sería un poco más antiguo
			Se obtuvo las coordenadas del punto a partir de la georreferenciación de la Figura 1	1028390	1077672	MAGNA_Colombia_Bogotá	4° 51' 09,269" N	73° 22' 38,241" W	Cheilletz <i>et al.</i> (1997)	77	
15,2	9		Se obtuvo la localización de la sección Guineales-Pelálsica, a lo largo de la cual se tomaron las muestras, a partir de la georreferenciación de la Figura 6	1145875	1132392	MAGNA_Colombia_Oeste	5° 54' 50,587" N	75° 52' 55,094" W	Ramirez <i>et al.</i> (2006)	226	Edad central, interpretada como resultado de eventos sintectónicos generados a lo largo del Sistema de Fallas de Romeral en los que se dio el retrabajamiento del basamento cretácico y del miembro inferior de la Formación Amagá, coetáneamente con los eventos volcánicos, entre 10 y 6 Ma, que dieron origen a la Formación Combia
			Localización tomada de McCourt <i>et al.</i> (1984b) [182]	883351	1100158	MAGNA_Colombia_Oeste	3° 32' 27,165" N	76° 10' 33,973" W	Brook (1984)	53	Edad de resetreamiento parcial, refleja acreción de bloques
									Brook (1984)	53	Edad de resetreamiento
			Se obtuvo las coordenadas del punto a partir de la georreferenciación del Anexo I de Bustamante (2008) [56]	800576	1085524	MAGNA_Colombia_Oeste	2° 47' 32,984" N	76° 18' 30,053" W	Bustamante <i>et al.</i> (2011)	57	Edad gas total
									Restrepo <i>et al.</i> (1991)	239	Edad de un evento térmico posterior a la formación a la roca
									Romero Ordóñez <i>et al.</i> (2000)	257	Edad aparente obtenida a partir de errócrona de 10 muestras tomadas del cinturón esmeraldífero occidental
	12		Se obtuvo las coordenadas del punto a partir de la georreferenciación de la Figura 7	1299183	1131561	MAGNA_Colombia_Bogotá	7° 18' 00,181" N	72° 53' 10,200" W	Shagam <i>et al.</i> (1984)	270	
	15			1277802	1073471	MAGNA_Colombia_Bogotá	7° 06' 28,116" N	73° 24' 44,784" W	Caballero <i>et al.</i> (2013)	59	
			Se obtuvo las coordenadas del punto a partir de la georreferenciación del Anexo I de Bustamante (2008) [56]	821076	1098022	MAGNA_Colombia_Oeste	2° 58' 40,011" N	76° 11' 44,922" W	Bustamante <i>et al.</i> (2011)	57	Edad de meseta, representa el tiempo de exhumación de los esquistos azules relacionado con el desarrollo de foliación milonítica, cerca del pico metamórfico que sería un poco más antiguo
	4								Gómez <i>et al.</i> (2005)	116	
				1160006	898003	MAGNA_Colombia_Bogotá	6° 02' 32,435" N	74° 59' 55,719" W	Saenz <i>et al.</i> (1996)	258	
			Localización tomada de Barrero & Vesga (1976) [25]	1092352	887529	MAGNA_Colombia_Bogotá	5° 25' 49,747" N	75° 05' 32,372" W	Barrero & Vesga (1976)	25	
			Localización tomada de Cardona (2003) [63]	1736514	1049965	MAGNA_Colombia_Bogotá	11° 15' 19,113" N	73° 37' 11,736" W	Cardona <i>et al.</i> (2006)	64	Edad de meseta o seudomeseta, evento de calentamiento, pérdida de argón
			Se obtuvo las coordenadas del punto a partir de la georreferenciación de la Figura 1	1028179	1077085	MAGNA_Colombia_Bogotá	4° 51' 02,415" N	73° 22' 57,316" W	Cheilletz <i>et al.</i> (1997)	77	Los autores determinan una edad media ponderada de 64,8 ± 3,1 Ma y la interpretan como la edad de los cuatro depósitos de esmeraldas en el distrito Chivor-Macanal, esta edad fue calculada por medio de los métodos K-Ar y Ar-Ar de 5 muestras: SG 44 (K-Ar), POR-5 (K-Ar), POR-5 (Ar-Ar), A-3(K-Ar) y A-3 (Ar-Ar)
			Se obtuvo las coordenadas del punto a partir de la georreferenciación del Anexo I de Bustamante (2008) [56]	798250	1083666	MAGNA_Colombia_Oeste	2° 46' 17,313" N	76° 19' 30,263" W	Bustamante <i>et al.</i> (2011)	57	Edad de meseta
				971778	1097903	MAGNA_Colombia_Oeste	4° 20' 25,700" N	76° 11' 44,000" W	Villagómez & Spikings (2013)	328	Edad de isócrona inversa

ID Datación Radiométrica	Código de la muestra	Unidad geológica	Litología	Edad años BP	Error años	Edad Ma	Error Ma	Edad grano simple menor detrítico	Edad grano simple mayor detrítico	Edad estratigráfica	Edades heredadas	Método de datación	Material analizado	Relación inicial	MSWD	P(X2) %
2416	121B	Esquistos de Jambaló	Esquisto de glaucofana			67,8	$\pm 1,1$			Maastrichtiano (k6)		Ar–Ar	Moscovita		0,42	
2417	DV26	Stock de Córdoba	Granodiorita			67,9	$\pm 1,6$			Maastrichtiano (k6)		Ar–Ar	Hornblenda		1,76	
2418	DV94	Pegmatitas de Bolívar	Pegmatita			67,9	$\pm 7,4$			Maastrichtiano (k6)			Huellas de fisión	Circón		49
2419	JM050R	Stock Monzonítico de Ira				67,94	$\pm 0,22$			Maastrichtiano (k6)		Ar–Ar	Biotita			
2420	CJV–01	Gneis de Palmitas	Gneis biotítico			67,95	$\pm 0,11$			Maastrichtiano (k6)		Ar–Ar	Biotita			
2421	SG 44	Formación Lutitas de Macamal	Vena mineralizada			68	$\pm 1,0$			Maastrichtiano (k6)		K–Ar	Moscovita			
2422	AEB 160	Grupo Diabásico	Lava			68	$\pm 5$			Maastrichtiano (k6)		K–Ar	Roca total			
2423		Batolito Antioqueño				68	$\pm 2$			Maastrichtiano (k6)		K–Ar				
2424	4	Batolito Antioqueño	Granodiorita			68				Maastrichtiano (k6)		Rb–Sr	Biotita	$0,7628 \pm 0,0021$		
2425	CJ–50	Complejo Quebradagrande	Piroclástita básica			68	$\pm 5$			Maastrichtiano (k6)		K–Ar	Roca total			
2426	CJV–01	Gneis de Palmitas	Gneis biotítico			68,09	$\pm 0,14$			Maastrichtiano (k6)		Ar–Ar	Biotita			
2427	121B	Esquistos de Jambaló	Esquisto de glaucofana			68,1	$\pm 1,9$			Maastrichtiano (k6)		Ar–Ar	Moscovita			
2428	CJV–01	Gneis de Palmitas	Gneis biotítico			68,13	$\pm 0,12$			Maastrichtiano (k6)		Ar–Ar	Biotita			
2429	A 83	Formación Macuira	Esquisto anfibólico			68,2	$\pm 0,4$			Maastrichtiano (k6)		Ar–Ar	Biotita			
2430	FS–17	Formación Girón	Arenita			68,2	$\pm 7$			Maastrichtiano (k6)			Huellas de fisión LA–ICP–MS	Circón		0
2431	DV82	Intrusivo granítico (?)	Granito			68,3	$\pm 8,2$			Maastrichtiano (k6)			Huellas de fisión	Apatito		45
2432	FS–15		Gneis			68,3	$\pm 16,4$			Maastrichtiano (k6)			Huellas de fisión LA–ICP–MS	Circón		0
2433	JM050R	Stock Monzonítico de Ira				68,33	$\pm 0,39$			Maastrichtiano (k6)		Ar–Ar	Biotita		1,9	
2434	JM050R	Stock Monzonítico de Ira				68,4	$\pm 2$			Maastrichtiano (k6)		Ar–Ar	Biotita		1,6	
2435		Batolito de Segovia				68,4 84,1	$\pm 5,5$ $\pm 5,5$			Santoniano (k4)–Maastrichtiano (k6)			Huellas de fisión	Circón		
2436	JM050R	Stock Monzonítico de Ira				68,57	$\pm 0,83$			Maastrichtiano (k6)		Ar–Ar	Hornblenda		0,80	
2437	Gor 8	Volcánico de Gorgona	Basalto			68,6	$\pm 2,3$			Maastrichtiano (k6)		Ar–Ar	Roca total		0,7	
2438	DV70	Batolito Antioqueño	Granodiorita			68,6	$\pm 1,5$			Maastrichtiano (k6)		Ar–Ar	Biotita		9,63	
2439	DV70	Batolito Antioqueño	Granodiorita			68,9	$\pm 0,6$			Maastrichtiano (k6)		Ar–Ar	Biotita		9,34	
2440	996–30	Formación Tiburón	Arenita			68,9	$\pm 13,5$			Maastrichtiano (k6)			Huellas de fisión	Apatito		0
2441	Mo 422	Batolito de Buga	Cuarzodiorita			69	$\pm 2$			Maastrichtiano (k6)		K–Ar	Hornblenda			
2442	3	Grupo Ayura–Montebello	Gneis anfibólico biotítico			69				Maastrichtiano (k6)		Rb–Sr	Biotita	$0,8125 \pm 0,0010$		
2443	JR077R	Formación Volcánica				69	$\pm 12$			Maastrichtiano (k6)		Ar–Ar	Hornblenda		0,0005 0	
2444	SPK 0527	Batolito de Sonsón	Granodiorita			69	$\pm 3$			Maastrichtiano (k6)		K–Ar	Biotita			
2445	Gor 8	Volcánico de Gorgona	Basalto			69	$\pm 4$			Maastrichtiano (k6)		Ar–Ar	Roca total			
2446		Formación Quebradagrande	Toba milonítica			69	$\pm 2$			Maastrichtiano (k6)		K–Ar	Roca total			
2447	DV70	Batolito Antioqueño	Granodiorita			69,1	$\pm 0,2$			Maastrichtiano (k6)		Ar–Ar	Biotita			
2448	DV94	Pegmatitas de Bolívar	Pegmatita			69,3	$\pm 4,8$			Maastrichtiano (k6)		Ar–Ar	Hornblenda			
2449	DV160	Complejo Quebradagrande	Diorita			69,4	$\pm 17,2$			Maastrichtiano (k6)			Huellas de fisión	Apatito		78
2450	JM050R	Stock Monzonítico de Ira				69,5	$\pm 2,4$			Maastrichtiano (k6)		Ar–Ar	Hornblenda		0,22	
2451	Gor 15–2	Volcánico de Gorgona	Microgabro			69,5	$\pm 1,9$			Maastrichtiano (k6)		Ar–Ar	Roca total			

Dispersión %	Número de granos analizados	Número de alicuotas	Fuente georreferenciación	Coordenada X	Coordenada Y	Sistema de coordenadas	Latitud	Longitud	Referencia	ID referencia	Comentarios
			Se obtuvo las coordenadas del punto a partir de la georreferenciación del Anexo I de Bustamante (2008) [56]	824482	1092101	MAGNA_Colombia_Oeste	3° 00' 31,048" N	76° 14' 56,558" W	Bustamante <i>et al.</i> (2011)	57	Edad de meseta
				979396	1154012	MAGNA_Colombia_Oeste	4° 24' 30,900" N	75° 41' 24,200" W	Villagómez & Spikings (2013)	328	Edad media ponderada de meseta
17				971778	1097903	MAGNA_Colombia_Oeste	4° 20' 25,700" N	76° 11' 44,000" W	Villagómez & Spikings (2013)	328	Edad pooled
				1074078	1155899	MAGNA_Colombia_Oeste	5° 15' 52,200" N	75° 40' 16,643" W	González (2010)	122	Edad integrada
			Se obtuvo las coordenadas del punto a partir de la georreferenciación del Anexo I	1203141	1152059	MAGNA_Colombia_Oeste	6° 25' 52,788" N	75° 42' 11,076" W	Vinasco & Cordani (2012)	333	Edad integrada, también publicada en Vinasco <i>et al.</i> (2003) [331]
			Se obtuvo las coordenadas del punto a partir de la georreferenciación de la Figura 1	1028314	1076477	MAGNA_Colombia_Bogota	4° 51' 06,826" N	73° 23' 17,037" W	Cheilletz <i>et al.</i> (1997)	77	Los autores determinan una edad media ponderada de 64,8 ± 3,1 Ma y la interpretan como la edad de los cuatro depósitos de esmeraldas en el distrito Chivor-Macanal, esta edad la calcularon con edades K-Ar y Ar-Ar de 5 muestras: SG 44 (K-Ar), POR-5 (K-Ar), POR-5 (Ar-Ar), A-3(K-Ar) y A-3 (Ar-Ar)
									De Souza <i>et al.</i> (1984)	89	Para esta muestra se publicó una edad de 68,4 ± 10,5 Ma en Espinosa (1980) [96]
				1216006	925503	MAGNA_Colombia_Bogota	6° 32' 56,605" N	74° 45' 03,871" W	Feininger & Botero (1982)	101	Facies felsica, comunicación escrita del profesor Bruno J. Giletti en 1967
			Se obtuvo las coordenadas del punto a partir de la georreferenciación de la Figura 2	1260249	851418	MAGNA_Colombia_Bogota	6° 56' 51,593" N	75° 25' 18,940" W	Fujiyoshi <i>et al.</i> (1976)	107	
			Se obtuvo las coordenadas del punto a partir de la georreferenciación del Anexo I	1101022	841027	MAGNA_Colombia_Bogota	5° 30' 28,833" N	75° 30' 43,258" W	Vinasco & Cordani (2012)	333	La edad es interpretada como de alteración hidrotermal relacionada a actividad de fallas. También publicada en Vinasco <i>et al.</i> (2003) [331]
			Se obtuvo las coordenadas del punto a partir de la georreferenciación del Anexo I	1203141	1152059	MAGNA_Colombia_Oeste	6° 25' 52,788" N	75° 42' 11,076" W	Vinasco & Cordani (2012)	333	Edad integrada, también publicada en Vinasco <i>et al.</i> (2003) [331]
			Se obtuvo las coordenadas del punto a partir de la georreferenciación del Anexo I de Bustamante (2008) [56]	824482	1092101	MAGNA_Colombia_Oeste	3° 00' 31,048" N	76° 14' 56,558" W	Bustamante <i>et al.</i> (2011)	57	Edad gas total
			Se obtuvo las coordenadas del punto a partir de la georreferenciación del Anexo I	1203141	1152059	MAGNA_Colombia_Oeste	6° 25' 52,788" N	75° 42' 11,076" W	Vinasco & Cordani (2012)	333	Edad de meseta interpretada como de reseteamiento termal, probablemente refleja la intrusión del Batolito Antioqueño. También publicada en Vinasco <i>et al.</i> (2003) [331]
				1830273	962366	MAGNA_Colombia_Este	12° 06' 10,907" N	71° 25' 23,572" W	Cardona (2003)	63	Edad integrada que indica posible perturbación termal
42	25			1143567	1118974	MAGNA_Colombia_Bogota	5° 53' 36,360" N	73° 00' 11,400" W	Parra <i>et al.</i> (2009b)	219	Edad discordante parcialmente reseteada
	20			965976	871708	MAGNA_Colombia_Bogota	4° 17' 15,500" N	75° 13' 59,200" W	Villagómez & Spikings (2013)	328	Edad pooled
105	21			1135118	1130765	MAGNA_Colombia_Bogota	5° 49' 00,600" N	72° 53' 48,720" W	Parra <i>et al.</i> (2009b)	219	
				1074078	1155899	MAGNA_Colombia_Oeste	5° 15' 52,200" N	75° 40' 16,643" W	González (2010)	122	Edad de meseta interpretada como edad de cristalización
				1074078	1155899	MAGNA_Colombia_Oeste	5° 15' 52,200" N	75° 40' 16,643" W	González (2010)	122	Edad de isócrona inversa
									Echeverry (2008)	95	Edad de enfriamiento por debajo de 200 °C, se dataron cinco muestras tomadas del distrito minero de Segovia-Remedios
				1074078	1155899	MAGNA_Colombia_Oeste	5° 15' 52,200" N	75° 40' 16,643" W	González (2010)	122	Edad de meseta interpretada como de cristalización
				823661	878923	MAGNA_Colombia_Oeste	3° 00' 03,492" N	78° 09' 59,695" W	Serrano <i>et al.</i> (2011)	269	Edad de isócrona inversa
				1262807	850991	MAGNA_Colombia_Bogota	6° 58' 14,800" N	75° 25' 33,100" W	Villagómez & Spikings (2013)	328	Edad de isócrona inversa
				1262807	850991	MAGNA_Colombia_Bogota	6° 58' 14,800" N	75° 25' 33,100" W	Villagómez & Spikings (2013)	328	Edad media ponderada de meseta
14				1282736	1105862	MAGNA_Colombia_Bogota	7° 09' 06,876" N	73° 07' 09,012" W	Caballero <i>et al.</i> (2013)	59	
									Brook (1984)	53	Edad asociada al reseteamiento parcial durante el último fallamiento
			Se obtuvo las coordenadas del punto a partir de la georreferenciación de la Figura 2	1218436	849589	MAGNA_Colombia_Bogota	6° 34' 10,676" N	75° 26' 14,705" W	Fujiyoshi <i>et al.</i> (1976)	107	
				913019	1076206	MAGNA_Colombia_Oeste	3° 48' 33,620" N	76° 23' 29,206" W	González (2010)	122	Edad de isócrona inversa, hornblendita baja en K
			Se obtuvo las coordenadas del punto a partir de la georreferenciación de la figura de localización de Pérez (1966) [220]	1121861	868806	MAGNA_Colombia_Bogota	5° 41' 49,095" N	75° 15' 42,367" W	Pérez (1967)	221	
				823661	878923	MAGNA_Colombia_Oeste	3° 00' 03,492" N	78° 09' 59,695" W	Serrano <i>et al.</i> (2011)	269	Edad integrada
				1262807	850991	MAGNA_Colombia_Bogota	6° 58' 14,800" N	75° 25' 33,100" W	Villagómez (2010)	325	Edad de fusión total
				971778	1097903	MAGNA_Colombia_Oeste	4° 20' 25,700" N	76° 11' 44,000" W	Villagómez & Spikings (2013)	328	Edad de fusión total
21				1050658	1166971	MAGNA_Colombia_Oeste	5° 03' 09,200" N	75° 34' 19,000" W	Villagómez & Spikings (2013)	328	Edad pooled, la localización de la muestra no corresponde con la unidad geológica, posiblemente la muestra de roca analizada corresponda a otro tipo de roca
				1074078	1155899	MAGNA_Colombia_Oeste	5° 15' 52,200" N	75° 40' 16,643" W	González (2010)	122	Edad de isócrona inversa
				823144	878858	MAGNA_Colombia_Oeste	2° 59' 46,676" N	78° 10' 01,776" W	Serrano <i>et al.</i> (2011)	269	Edad de meseta

ID Datación Radiométrica	Código de la muestra	Unidad geológica	Litología	Edad años BP	Error años	Edad Ma	Error Ma	Edad grano simple menor detrítico	Edad grano simple mayor detrítico	Edad estratigráfica	Edades heredadas	Método de datación	Material analizado	Relación inicial	MSWD	P(X2) %
2452	WR-236	Stock de Irra	Monzonita			69,6	$\pm 1,1$			Maastrichtiano (k6)		U-Pb LA-MC-ICP-MS	Circón			
2453	Gor 8	Volcánico de Gorgona	Basalto			69,6	$\pm 1,6$			Maastrichtiano (k6)		Ar-Ar	Roca total			
2454	RG-1 7490-7500	Sucesión volcánocimentari a de Remolino grande	Basalto			69,7	$\pm 10,8$			Maastrichtiano (k6)		Ar-Ar	Roca total		0,55	
2455	A-77	Gneis de Dibulla	Anortosita			69,7	$\pm 0,8$			Maastrichtiano (k6)		Ar-Ar	Biotita			
2456	DV153	Batolito Antioqueño	Granodiorita			69,7	$\pm 8,6$			Maastrichtiano (k6)		Huellas de fisión	Apatito			39
2457	CC-1	Gneis de Nus	Gneis biótico			69,8	$\pm 0,5$			Maastrichtiano (k6)		Ar-Ar	Biotita			
2458	12005084	Stock de Irra	Monzonita			69,8	$\pm 1,5$			Maastrichtiano (k6)		U-Pb LA-MC-ICP-MS	Circón			
2459	JR077R	Formación Volcánica				69,9	$\pm 4,9$			Maastrichtiano (k6)		Ar-Ar	Hornblenda		0,045	
2460	COL/Ba 95	Basaltos de la serranía de Baudó	Dolerita			70	$\pm 3,5$			Maastrichtiano (k6)		K-Ar				
2461	Mo 609	Complejo Ultramáfico de Bolívar				70	$\pm 14$			Maastrichtiano (k6)		K-Ar	Hornblenda			
2462	SPK 0526	Batolito Antioqueño	Cuarzodiorita			70	$\pm 3$			Maastrichtiano (k6)		K-Ar	Biotita			
2463	CJ-54	Formación Quebradagrande	Milónita de toba volcánica			70	$\pm 30$			Maastrichtiano (k6)		Ar-Ar	Sericita			
2464	ER003R		Tonalita			70,14	$\pm 0,26$			Maastrichtiano (k6)		Ar-Ar	Biotita			
2465	Ranchería 2		Granito biótico			70,3	$\pm 1,0$			Maastrichtiano (k6)		U-Pb LA-ICP-MS			0,99	
2466	JR095R	Batolito de Buga				70,4	$\pm 0,81$			Maastrichtiano (k6)		Ar-Ar	Hornblenda			
2467	DV54	Batolito Antioqueño	Diorita			70,4	$\pm 6,3$			Maastrichtiano (k6)		Ar-Ar	Hornblenda		25,64	
2468	cl 70	Ofiolita Komatiítica de Gorgona	Melanogabro			70,5	$\pm 9,5$			Maastrichtiano (k6)		K-Ar				
2469	533 Re 01	Grupo El Retiro				70,5	$\pm 1,8$			Maastrichtiano (k6)		Huellas de fisión	Circón			96
2470	M915	Formación Lutitas de Macanal	Vena mineralizada			70,6	$\pm 1,7$			Maastrichtiano (k6)		Ar-Ar	Moscovita			
2471	DV26	Stock de Córdoba	Granodiorita			70,6	$\pm 1,3$			Maastrichtiano (k6)		Ar-Ar	Hornblenda			
2472	08BU48		Cuarzoarenita					70,7 $\pm 5,7$	217,5 $\pm 17,4$	Triásico Superior (T3)-Maastrichtiano (k6)		U-Th/He	Circón			
2473	JR013R	Grupo Diabásico				70,83	$\pm 9,7$			Maastrichtiano (k6)		Ar-Ar	Roca total			
2474	130808-1	Formación Concentración	Arenita					70,9 $\pm 5,7$	997,0 $\pm 79,8$	Neoproterozoico (NP)-Maastrichtiano (k6)		U-Th/He	Circón			
2475	Mo 419	Batolito de Buga	Cuarzodiorita			71	$\pm 2$			Maastrichtiano (k6)		K-Ar	Hornblenda			
2476	AEB 171	Grupo Diabásico	Lava			71	$\pm 4$			Maastrichtiano (k6)		K-Ar	Roca total			
2477		Gabro de Anserma	Gabro			71	$\pm 2,7$			Maastrichtiano (k6)		K-Ar	Roca total			
2478	SPK 0529	Batolito Antioqueño	Cuarzodiorita			71	$\pm 3$			Maastrichtiano (k6)		K-Ar	Biotita			
2479	DV54	Batolito Antioqueño	Diorita			71	$\pm 1,9$			Maastrichtiano (k6)		Ar-Ar	Hornblenda			
2480	AM-04	Formación Socha	Arenita			71	$\pm 5,7$			Maastrichtiano (k6)		U-Th/He	Circón			
2481		Batolito Antioqueño y Batolito de Ovejas				71-77				Maastrichtiano (k6)-Campaniano (k5)		U-Pb LA-MC-ICP-MS	Circón			
2482	JR095R	Batolito de Buga				71,3	$\pm 6,7$			Maastrichtiano (k6)		Ar-Ar	Hornblenda		0,27	
2483	DV58	Batolito Antioqueño	Granito			71,4	$\pm 0,2$			Maastrichtiano (k6)		Ar-Ar	Biotita			
2484	DV155	Batolito de Sonsón	Granito			71,4	$\pm 9,8$			Maastrichtiano (k6)		Huellas de fisión	Circón			5
2485	996-21	Formación Los Santos	Arenita			71,4	$\pm 13,8$			Maastrichtiano (k6)		Huellas de fisión	Apatito			0
2486	ER003R		Tonalita			71,44	$\pm 0,40$			Maastrichtiano (k6)		Ar-Ar	Biotita		0,38	

Dispersión %	Número de granos analizados	Número de alicuotas	Fuente georreferenciación	Coordenada X	Coordenada Y	Sistema de coordenadas	Latitud	Longitud	Referencia	ID referencia	Comentarios
				1074914	1153314	MAGNA_Colombia_Oeste	5° 16' 19,600" N	75° 41' 40,500" W	Leal Mejia (2011)	160	Interpretada como la edad de cristalización magmática
				823661	878923	MAGNA_Colombia_Oeste	3° 00' 03,492" N	78° 09' 59,695" W	Serrano <i>et al.</i> (2011)	269	Edad de meseta, menor contenido de argón radiogénico
				739533	839861	MAGNA_Colombia_Oeste	2° 14' 23,962" N	78° 31' 01,200" W	Agencia Nacional de Hidrocarburos & Universidad de Caldas (2011a)	3	Edad de isócrona inversa, muestra de ripios recuperados del pozo Remolino grande-1. La Sucesión Volcanosedimentaria de Remolino grande sección inferior se correlaciona con el Grupo Diabásico y la Formación Volcánica
				1679937	1000070	MAGNA_Colombia_Bogota	10° 44' 39,083" N	74° 04' 36,727" W	Cardona (2003)	63	¿Edad de meseta?, espectro irregular. La unidad está afectada por un evento hidrotermal
20				1215099	884479	MAGNA_Colombia_Bogota	6° 32' 24,800" N	75° 07' 19,000" W	Villagómez & Spikings (2013)	328	Edad pooled
9				1209909	923503	MAGNA_Colombia_Bogota	6° 29' 38,035" N	74° 46' 08,712" W	Cardona (2003)	63	Edad integrada interpretada como de reseteamiento isotópico, posiblemente asociado con el Batolito Antioqueño
				1072224	1154290	MAGNA_Colombia_Oeste	5° 14' 52,000" N	75° 41' 09,000" W	Leal Mejia (2011)	160	Interpretada como la edad de cristalización magmática
				913019	1076206	MAGNA_Colombia_Oeste	3° 48' 33,620" N	76° 23' 29,206" W	González (2010)	122	Edad de meseta, hornblenda baja en K
									Bourgois <i>et al.</i> (1982)	52	
									Brook (1984)	53	Edad mínima de intrusión
			Se obtuvo las coordenadas del punto a partir de la georreferenciación de la figura de localización de Pérez (1966) [220]	1194852	1164780	MAGNA_Colombia_Oeste	6° 21' 21,875" N	75° 35' 17,999" W	Pérez (1967)	221	
			Se obtuvo las coordenadas del punto a partir de la georreferenciación del Anexo 1	1094330	844160	MAGNA_Colombia_Bogota	5° 26' 51,296" N	75° 29' 00,988" W	Vinasco & Cordani (2012)	333	Edad integrada, también publicada en Vinasco <i>et al.</i> (2003) [331]
				653890	996021	MAGNA_Colombia_Oeste	1° 27' 58,243" N	77° 06' 47,764" W	González (2010)	122	Edad integrada
46				1771234	1130687	MAGNA_Colombia_Bogota	11° 34' 01,430" N	72° 52' 45,940" W	Cardona <i>et al.</i> (2009)	65	Edad media ponderada interpretada como de cristalización, la muestra fue recuperada del pozo Ranchería 2, a 2,1 km de profundidad
				929923	1099157	MAGNA_Colombia_Oeste	3° 57' 43,179" N	76° 11' 04,847" W	González (2010)	122	Edad integrada
				1191729	844756	MAGNA_Colombia_Bogota	6° 19' 41,100" N	75° 28' 49,600" W	Villagómez & Spikings (2013)	328	Edad media ponderada de meseta, espectro de edad perturbado
									Espinosa <i>et al.</i> (1982)	97	
11				1158907	838153	MAGNA_Colombia_Bogota	6° 01' 52,388" N	75° 32' 21,446" W	Montes (2007)	193	
			Se obtuvo las coordenadas del punto a partir de la georreferenciación de la Figura 1	1028390	1077672	MAGNA_Colombia_Bogota	4° 51' 09,269" N	73° 22' 38,241" W	Cheilletz <i>et al.</i> (1997)	77	Edad integrada
				979396	1154012	MAGNA_Colombia_Oeste	4° 24' 30,900" N	75° 41' 24,200" W	Villagómez (2010)	325	Edad de fusión total
4				1155246	1128297	MAGNA_Colombia_Bogota	5° 59' 55,860" N	72° 55' 07,572" W	Saylor <i>et al.</i> (2012a)	264	Muestra localizada en el bloque yacente de la Falla de Boyacá
				661567	967778	MAGNA_Colombia_Oeste	1° 32' 08,144" N	77° 22' 01,439" W	González (2010)	122	Edad integrada de baja confianza por alto contenido en Ca y bajo en K
4				1150164	1141919	MAGNA_Colombia_Bogota	5° 57' 09,468" N	72° 47' 45,132" W	Saylor <i>et al.</i> (2012a)	264	Muestra localizada en el bloque yacente de la Falla de Soápaga
			Localización tomada de De Armas (1984) [88]	928792	1109628	MAGNA_Colombia_Oeste	3° 57' 06,008" N	76° 05' 25,509" W	Brook (1984)	53	Edad asociada al reseteamiento parcial durante el último fallamiento
									De Souza <i>et al.</i> (1984)	89	Para esta muestra se publicó una edad de $70,6 \pm 9,2$ Ma en Espinosa (1980) [96]
			Se obtuvo las coordenadas del punto a partir de la georreferenciación de la Figura 6	1069032	1143551	MAGNA_Colombia_Oeste	5° 13' 08,837" N	75° 46' 57,884" W	González & Londoño (1998)	121	Interpretada como la edad de un evento tectono-térmico
			Se obtuvo las coordenadas del punto a partir de la georreferenciación de la figura de localización de Pérez (1966) [220]	1185179	887521	MAGNA_Colombia_Bogota	6° 16' 11,151" N	75° 05' 38,094" W	Pérez (1967)	221	
				1191729	844756	MAGNA_Colombia_Bogota	6° 19' 41,100" N	75° 28' 49,600" W	Villagómez (2010)	325	Edad de fusión total
1				1070141	1074236	MAGNA_Colombia_Bogota	5° 13' 48,480" N	73° 24' 28,380" W	Ramírez Arias <i>et al.</i> (2012)	227	Alicuota seleccionada por los autores para el modelamiento inverso, muestra del bloque yacente de la Falla de Soápaga
									Restrepo Moreno <i>et al.</i> (2007)	244	Ánálisis de 90 circones de 6 muestras, edad de cristalización magnética
				929923	1099157	MAGNA_Colombia_Oeste	3° 57' 43,179" N	76° 11' 04,847" W	González (2010)	122	Edad de isócrona inversa
				1157388	882771	MAGNA_Colombia_Bogota	6° 01' 06,300" N	75° 08' 10,800" W	Villagómez (2010)	325	Edad de fusión total
15				1130137	865416	MAGNA_Colombia_Bogota	5° 46' 18,200" N	75° 17' 33,100" W	Villagómez & Spikings (2013)	328	Edad pooled
14				1282146	1088552	MAGNA_Colombia_Bogota	7° 08' 48,732" N	73° 16' 33,132" W	Caballero <i>et al.</i> (2013)	59	
				653890	996021	MAGNA_Colombia_Oeste	1° 27' 58,243" N	77° 06' 47,764" W	González (2010)	122	Edad de meseta interpretada como de enfriamiento, la cual debe ser muy próxima a la de cristalización magmática por ser un cuerpo hipoábscil

ID Datación Radiométrica	Código de la muestra	Unidad geológica	Litología	Edad años BP	Error años	Edad Ma	Error Ma	Edad grano simple menor detrítico	Edad grano simple mayor detrítico	Edad estratigráfica	Edades heredadas	Método de datación	Material analizado	Relación inicial	MSWD	P(X2) %
2487	ER003R		Tonalita			71,44	$\pm$ 0,63			Maastrichtiano (k6)		Ar–Ar	Biotita		0,50	
2488	SDB 11		Basalto			71,8	$\pm$ 1,4			Maastrichtiano (k6)		Ar–Ar	Plagioclasa			
2489	tfc	Depósito de terraza				71,8	$\pm$ 2,0			Maastrichtiano (k6)		Huellas de fisión	Circón			99
2490	IGM-69919	Complejo Cajamarca	Cuarcita biotítica			71,9	$\pm$ 2,5			Maastrichtiano (k6)		K–Ar	Biotita			
2491	COL-90	Esquistos de Sabalatas	Metavolcánica			71,9	$\pm$ 1,1			Maastrichtiano (k6)		U–Pb LA–ICP–MS	Circón		3,8	
2492	Mo 580	Complejo de Santa Rosa–Córdoba	Diorita			72	$\pm$ 2			Maastrichtiano (k6)		K–Ar	Biotita			
2493	JR095R	Batolito de Buga				72	$\pm$ 16			Maastrichtiano (k6)		Ar–Ar	Hornblenda		0,28	
2494	SPK 0530	Batolito Antioqueño	Cuarzodiorita			72	$\pm$ 3			Maastrichtiano (k6)		K–Ar	Biotita			
2495	20	Pórfido de Ancón	Saprolito			72	$\pm$ 25			Maastrichtiano (k6)		Huellas de fisión	Circón			
2496	CJ-55	Formación Quebradagrande	Milonita			72	$\pm$ 4			Maastrichtiano (k6)		Ar–Ar	Sericita			
2497	RG–MP–002	Formación San Agustín	Arenita			72,15				Campaniano (k5)		U–Th/He	Apatito			
2498	DV58	Batolito Antioqueño	Granito			72,3	$\pm$ 0,3			Campaniano (k5)		Ar–Ar	Biotita		2,62	
2499	DV42	Gabro El Palmar	Gabro hornbléndico			72,4	$\pm$ 6,0			Campaniano (k5)		Ar–Ar	Hornblenda			
2500	SDB 11		Basalto			72,5	$\pm$ 0,4			Campaniano (k5)		Ar–Ar	Plagioclasa			
2501	WR-23	Brecha lítica de Miraflores	Porfiroclasto de riodacita			72,6	$\pm$ 2			Campaniano (k5)		U–Pb SHRIMP	Circón			
2502	COL34–3	Formación Barroso	Basalto			72,6	$\pm$ 4,7			Campaniano (k5)		Ar–Ar	Roca total			
2503	SDB 11		Basalto			72,9	$\pm$ 0,8			Campaniano (k5)		Ar–Ar	Roca total			
2504	DV53	Batolito Antioqueño	Diorita			72,9	$\pm$ 18,8			Campaniano (k5)		Huellas de fisión	Apatito			98
2505	10VDL28	Granodiorita de Onzaga	Granodiorita			72,9	$\pm$ 7,4			Campaniano (k5)		Huellas de fisión LA–ICP–MS	Circón			53,4
2506	BSS-1	Batolito de Sonsón	Diorita			73	$\pm$ 9			Campaniano (k5)		Rb–Sr	Roca total	0,70494	1,6	
2507	CJ-42A	Complejo Quebradagrande	Milonita			73	$\pm$ 2			Campaniano (k5)		K–Ar	Roca total			
2508	RB1	Gabro de La Corona	Tonalita			73,01	$\pm$ 0,5			Campaniano (k5)		Ar–Ar	Plagioclasa			
2509	MP-85 P3	Formación Los Cuervos	Arenita			73,1	$\pm$ 19,1			Campaniano (k5)		Huellas de fisión EDM	Apatito			
2510	JR095R	Batolito de Buga				73,16	$\pm$ 0,80			Campaniano (k5)		Ar–Ar	Hornblenda		0,73	
2511	CC-1	Gneis de Nus	Gneis biotítico			73,2	$\pm$ 0,4			Campaniano (k5)		Ar–Ar	Biotita			
2512	DV58	Batolito Antioqueño	Granito			73,2	$\pm$ 0,8			Campaniano (k5)		Ar–Ar	Biotita		2,22	
2513	M4-04	Formación Socha	Arenita			73,2	$\pm$ 3,6			Campaniano (k5)		Huellas de fisión LA–ICP–MS	Apatito			11,3
2514	IGM-69931	Complejo Cajamarca	Filita			73,3	$\pm$ 2,5			Campaniano (k5)		K–Ar	Roca total			
2515	CC-1	Gneis de Nus	Gneis biotítico			73,4	$\pm$ 0,5			Campaniano (k5)		Ar–Ar	Biotita			
2516	12038453	Stock de La Unión	Cuarzodiorita biotítica			73,5	$\pm$ 1,3			Campaniano (k5)		U–Pb LA–MC–ICP–MS	Circón			
2517	JR095R	Batolito de Buga				73,59	$\pm$ 0,76			Campaniano (k5)		Ar–Ar	Hornblenda			
2518	SDB 11		Basalto			73,6	$\pm$ 0,8			Campaniano (k5)		Ar–Ar	Roca total			
2519	CC-1	Gneis de Nus	Gneis biotítico			73,66	$\pm$ 0,18			Campaniano (k5)		Ar–Ar	Biotita			

Dispersión %	Número de granos analizados	Número de alícuotas	Fuente georreferenciación	Coordenada X	Coordenada Y	Sistema de coordenadas	Latitud	Longitud	Referencia	ID referencia	Comentarios
				653890	996021	MAGNA_Colombia_Oeste	1° 27' 58,243" N	77° 06' 47,764" W	González (2010)	122	Edad de isócrona inversa
		Se obtuvo las coordenadas del punto a partir de la georreferenciación de la Figura 3		1230353	952584	MAGNA_Colombia_Oeste	6° 40' 44,600" N	77° 30' 22,825" W	Kerr <i>et al.</i> (1997)	153	Edad de isócrona inversa
<1	9								Toro <i>et al.</i> (2006)	294	Edad central de población 3
		Localización tomada de Barrero & Vesga (1976) [25]	1084456	885045	MAGNA_Colombia_Bogota	5° 21' 32,619" N	75° 06' 52,617" W	Barreno & Vesga (1976)	25		
	10			1178125	1141517	MAGNA_Colombia_Oeste	6° 12' 19,518" N	75° 47' 56,035" W	Giraldo (2010)	111	Edad concordia, para el autor no es claro si representa la edad del vulcanismo para la Formación Sabaletas o la edad máxima de un evento metamórfico posterior a la deposición. También considera la posibilidad de que el Complejo Arquía esté conformado por bloques de diferente edad, consolidados como un bloque coherente al final del Cretácico o inicios del terciario
		Localización tomada de McCourt <i>et al.</i> (1984c) [183]	975657	1154432	MAGNA_Colombia_Oeste	4° 22' 29,173" N	75° 41' 10,785" W	Brook (1984)	53	Edad de intrusión	
			929923	1099157	MAGNA_Colombia_Oeste	3° 57' 43,179" N	76° 11' 04,847" W	González (2010)	122	Edad de isócrona inversa	
		Se obtuvo las coordenadas del punto a partir de la georreferenciación de la figura de localización de Pérez (1966) [220]	1232005	1166187	MAGNA_Colombia_Oeste	6° 41' 30,751" N	75° 34' 28,634" W	Pérez (1967)	221		
		Las coordenadas (6° 09' N, 75° 38' W) reportadas por el autor no coinciden con la localización de la datación en la Figura 1. Se obtuvo las coordenadas del punto a partir de la georreferenciación de esta figura	1167535	1162210	MAGNA_Colombia_Oeste	6° 06' 33,143" N	75° 36' 44,059" W	Restrepo (1991b)	238	Cuerpo pequeño que intruye los Esquistos de Ancón, edad mínima que corresponde al enfriamiento por debajo de 200 °C	
		Se obtuvo las coordenadas del punto a partir de la georreferenciación del Anexo 1	1094289	844308	MAGNA_Colombia_Bogota	5° 26' 49,995" N	75° 28' 56,187" W	Vinasco & Cordani (2012)	333	Edad de meseta interpretada como relacionada con la actividad del sistema de fallas, indicando el tiempo de deformación. También publicada en Vinasco <i>et al.</i> (2003) [331]	
1	1		739533	839861	MAGNA_Colombia_Oeste	2° 14' 23,962" N	78° 31' 01,200" W	Agencia Nacional de Hidrocarburos & Universidad de Caldas (2011a)	3	Muestra de ripios recuperados del pozo Remolinogrande-1	
			1157388	882771	MAGNA_Colombia_Bogota	6° 01' 06,300" N	75° 08' 10,800" W	Villagómez & Spikings (2013)	328	Edad media ponderada de meseta	
			891848	1047030	MAGNA_Colombia_Oeste	3° 37' 05,000" N	76° 39' 15,100" W	Villagómez (2010)	325	Edad de fusión total	
		Se obtuvo las coordenadas del punto a partir de la georreferenciación de la Figura 3	1230353	952584	MAGNA_Colombia_Oeste	6° 40' 44,600" N	77° 30' 22,825" W	Kerr <i>et al.</i> (1997)	153	Edad de meseta	
			1077222	1153506	MAGNA_Colombia_Oeste	5° 17' 34,700" N	75° 41' 34,100" W	Leal Mejía (2011)	160	Interpretada como la edad de cristalización magmática	
									Sinton <i>et al.</i> (1998)	273	Edad de isócrona inversa
		Se obtuvo las coordenadas del punto a partir de la georreferenciación de la Figura 3	1230353	952584	MAGNA_Colombia_Oeste	6° 40' 44,600" N	77° 30' 22,825" W	Kerr <i>et al.</i> (1997)	153	Edad de isócrona inversa	
21			1189849	842085	MAGNA_Colombia_Bogota	6° 18' 39,700" N	75° 30' 16,300" W	Villagómez & Spikings (2013)	328	Edad pooled	
28			1196908	1139321	MAGNA_Colombia_Bogota	6° 22' 31,000" N	72° 49' 06,000" W	van der Lelij (2013)	308	Edad pooled	
		Se obtuvo las coordenadas del punto a partir de la georreferenciación de la Figura 32	1121194	862625	MAGNA_Colombia_Bogota	5° 41' 26,939" N	75° 19' 03,161" W	Ordóñez Carmona (2001)	207	Edad calculada en una isócrona para 7 muestras del batolito (BSS-1, 3,4A, 5, 8, 11 y 12)	
		Se obtuvo las coordenadas del punto a partir de la georreferenciación del Anexo 1	1112810	841438	MAGNA_Colombia_Bogota	5° 36' 52,509" N	75° 30' 30,837" W	Vinasco <i>et al.</i> (2003)	331	Edad de 73 ± 2 Ma no muy bien constreñida. En Vinasco & Cordani (2012) [333] reportan una edad de 91 ± 2 Ma para la misma muestra y la interpretan como relacionada con alteración hidrotermal condicionada por actividad de fallas en el Albiano-Cenomaniano	
			1104682	988373	MAGNA_Colombia_Bogota	5° 32' 34,192" N	74° 10' 56,798" W	Vásquez <i>et al.</i> (2010)	318	Edad de fusión total	
5		Localización tomada de Mora <i>et al.</i> (2010) [195]	1118863	868937	MAGNA_Colombia_Este	5° 40' 11,500" N	72° 15' 37,910" W	Ramírez Arias <i>et al.</i> (2012)	227	Edad de población, muestra del Anticinal Tocaria	
			929923	1099157	MAGNA_Colombia_Oeste	3° 57' 43,179" N	76° 11' 04,847" W	González (2010)	122	Edad de meseta con espectros de desgasificación bien establecidos	
9			1209909	923503	MAGNA_Colombia_Bogota	6° 29' 38,035" N	74° 46' 08,712" W	Cardona (2003)	63	Edad de meseta interpretada como de reseteamiento isotópico posiblemente asociado con el Batolito Antioqueño	
			1157388	882771	MAGNA_Colombia_Bogota	6° 01' 06,300" N	75° 08' 10,800" W	Villagómez & Spikings (2013)	328	Edad de isócrona inversa	
40			1085401	1079021	MAGNA_Colombia_Bogota	5° 22' 05,040" N	73° 21' 52,440" W	Parra <i>et al.</i> (2009b)	219		
		Localización tomada de Barrero & Vesga (1976) [25]	1058400	891058	MAGNA_Colombia_Bogota	5° 07' 24,828" N	75° 03' 36,006" W	Barreno & Vesga (1976)	25		
9			1209909	923503	MAGNA_Colombia_Bogota	6° 29' 38,035" N	74° 46' 08,712" W	Cardona (2003)	63	Edad integrada interpretada como de reseteamiento isotópico, posiblemente asociado con el Batolito Antioqueño	
			1150147	858546	MAGNA_Colombia_Bogota	5° 57' 08,950" N	75° 21' 17,830" W	Leal Mejía (2011)	160	Interpretada como la edad de cristalización magmática	
			929923	1099157	MAGNA_Colombia_Oeste	3° 57' 43,179" N	76° 11' 04,847" W	González (2010)	122	Edad integrada	
		Se obtuvo las coordenadas del punto a partir de la georreferenciación de la Figura 3	1230353	952584	MAGNA_Colombia_Oeste	6° 40' 44,600" N	77° 30' 22,825" W	Kerr <i>et al.</i> (1997)	153	Edad de meseta	
9			1209909	923503	MAGNA_Colombia_Bogota	6° 29' 38,035" N	74° 46' 08,712" W	Cardona (2003)	63	Edad integrada interpretada como de reseteamiento isotópico, posiblemente asociado con el Batolito Antioqueño	

ID Datación Radiométrica	Código de la muestra	Unidad geológica	Litología	Edad años BP	Error años	Edad Ma	Error Ma	Edad grano simple menor detrítico	Edad grano simple mayor detrítico	Edad estratigráfica	Edades heredadas	Método de datación	Material analizado	Relación inicial	MSWD	P(X2) %
2520	Gor 15-2	Volcánico de Gorgona	Microgabro			73,7	$\pm 3,1$			Campaniano (k5)		Ar–Ar	Roca total		0,4	
2521	Ca11	Gabro de Cáceres	Gabro			73,7	$\pm 2,6$			Campaniano (k5)		Ar–Ar	Plagioclasa			
2522	Ca11	Gabro de Cáceres	Gabro			73,7	$\pm 2,6$			Campaniano (k5)		Ar–Ar	Plagioclasa		2,7	
2523	WR-305	Batolito Antioqueño	Tonalita biotítica			73,9	$\pm 1,3$			Campaniano (k5)			U–Pb LA–MC–ICP–MS	Circón		
2524	SPK 0528	Batolito Antioqueño	Granodiorita			74	$\pm 3$			Campaniano (k5)		K–Ar	Biotita			
2525	CORW 9		Gabro			74,00	$\pm 5$			Campaniano (k5)		Ar–Ar	Anfibol			
2526	702		Esquisto			74				Campaniano (k5)		K–Ar				
2527	CJ-47	Complejo Quebradagrande	Toba milonítica			74	$\pm 2$			Campaniano (k5)		Ar–Ar	Sericita			
2528		Granito de Sucre	Sienogranito			ca. 74				Campaniano (k5)			U–Pb LA–ICP–MS	Circón		
2529	Ca11	Gabro de Cáceres	Gabro			74,03	$\pm 0,4$			Campaniano (k5)		Ar–Ar	Plagioclasa			
2530	JR095R	Batolito de Buga				74,08	$\pm 0,81$			Campaniano (k5)		Ar–Ar	Hornblenda		0,39	
2531	Ca11	Gabro de Cáceres	Gabro			74,1	$\pm 0,4$			Campaniano (k5)		Ar–Ar	Plagioclasa			
2532	A 83	Formación Macuira	Esquisto anfibólico			74,3	$\pm 0,8$			Campaniano (k5)		Ar–Ar	Biotita			
2533	CRI-1	Batolito Antioqueño	Dique de pórífero aurífero			74,4	$\pm 1,2$			Campaniano (k5)	ca. 84–80 Ma	U–Pb LA–MC–ICP–MS	Circón			
2534	DV54	Batolito Antioqueño	Diorita			74,4	$\pm 10,6$			Campaniano (k5)			Huellas de fisión	Apatito		99
2535	DV09	Batolito de Ibagué	Granito			74,6	$\pm 13,4$			Campaniano (k5)			Huellas de fisión	Circón		67
2536	M945	Formación Lutitas de Macanal	Vena mineralizada			74,7	$\pm 0,6$			Campaniano (k5)		Ar–Ar	Moscovita			
2537	DV63	Batolito Antioqueño	Granito			74,8	$\pm 7,4$			Campaniano (k5)			Huellas de fisión	Circón		83
2538	Mo 404	Batolito de Buga	Cuarzodiorita			75	$\pm 2$			Campaniano (k5)		K–Ar	Hornblenda			
2539	Mo 495	Complejo Bolo Azul				75	$\pm 2$			Campaniano (k5)		K–Ar	Hornblenda			
2540	A-77	Gneis de Dibulla	Anortosita			75	$\pm 12$			Campaniano (k5)		Ar–Ar	Hornblenda			
2541	JJ415	Esquistos de Medellín				75				Campaniano (k5)		Rb–Sr	Roca total	0,710		
2542	3009	Formación Quebradagrande	Basalto			75	$\pm 8$			Campaniano (k5)		K–Ar	Roca total			
2543	IGM-69925	Stock de Samaná	Diorita			75,1	$\pm 4,9$			Campaniano (k5)		K–Ar	Hornblenda			
2544	WR-201	Batolito Antioqueño	Tonalita biotítica			75,1	$\pm 1,3$			Campaniano (k5)	ca. 81–77 Ma	U–Pb LA–MC–ICP–MS	Circón			
2545	CC-1	Gneis de Nus	Gneis biotítico			75,14	$\pm 0,18$			Campaniano (k5)		Ar–Ar	Biotita			
2546	Din 12-1A (población 2)	Grupo Honda				75,2	$\pm 3,6$			Campaniano (k5)			Huellas de fisión	Circón		56
2547	Gor 15	Volcánico de Gorgona	Basalto de olivino			75,3	$\pm 1,2$			Campaniano (k5)		Ar–Ar	Roca total			
2548	DV108	Formación Espinal	Toba lítica			75,5	$\pm 1,6$			Campaniano (k5)			U–Pb LA–ICP–MS	Circón		0,56
2549	3175	Horizonte Gley				75,7	$\pm 2,4$			Campaniano (k5)			Huellas de fisión	Circón		71
2550	RG-1 5680-5690	Sucesión volcánosedimentaria de Remolínogrande				75,8	$\pm 1,9$			Campaniano (k5)		Ar–Ar	Roca total			
2551	IGM-69918	Complejo Cajamarca	Cuarceita biotítica			76	$\pm 2,6$			Campaniano (k5)		K–Ar	Biotita			
2552	Klein 2	Formación Lutitas de Macanal	Vena mineralizada			76	$\pm 2,4$			Campaniano (k5)		K–Ar	Moscovita			
2553		Batolito Antioqueño				76	$\pm 2$			Campaniano (k5)		U–Pb	Circón			
2554	RG-1 5680-5690	Sucesión volcánosedimentaria de Remolínogrande				76,2	$\pm 1,4$			Campaniano (k5)		Ar–Ar	Roca total			
2555	SDB 16		Gabro			76,2	$\pm 1,1$			Campaniano (k5)		Ar–Ar	Plagioclasa			

Dispersión %	Número de granos analizados	Número de alicuotas	Fuente georreferenciación	Coordenada X	Coordenada Y	Sistema de coordenadas	Latitud	Longitud	Referencia	ID referencia	Comentarios
				823144	878858	MAGNA_Colombia_Oeste	2° 59' 46,676" N	78° 10' 01,776" W	Serrano <i>et al.</i> (2011)	269	Edad de isócrona inversa
				1141655	973703	MAGNA_Colombia_Bogota	5° 52' 37,650" N	74° 18' 53,910" W	Vásquez <i>et al.</i> (2010)	318	Edad de Isócrona inversa
				1141655	973703	MAGNA_Colombia_Bogota	5° 52' 37,650" N	74° 18' 53,910" W	Vásquez <i>et al.</i> (2010)	318	Edad de Isócrona normal
				1246652	847196	MAGNA_Colombia_Bogota	6° 49' 28,710" N	75° 27' 35,160" W	Leal Mejía (2011)	160	Interpretada como la edad de cristalización magmática
			Se obtuvo las coordenadas del punto a partir de la georreferenciación de la figura de localización de Pérez (1966) [220]	1240318	867222	MAGNA_Colombia_Bogota	6° 46' 04,295" N	75° 16' 42,609" W	Pérez (1967)	221	
									Serrano <i>et al.</i> (2011)	269	Edad de meseta, muestra colectada cerca del municipio de Robledo
			Se obtuvo la localización del pozo El Cábano-1 del sitio web del EPIS	1461393	862162	MAGNA_Colombia_Bogota	8° 45' 58,453" N	75° 19' 48,619" W	Thery <i>et al.</i> (1977)	279	Muestra de núcleo del pozo El Cábano-1
			Se obtuvo las coordenadas del punto a partir de la georreferenciación del Anexo 1	1113062	842364	MAGNA_Colombia_Bogota	5° 37' 00,780" N	75° 30' 00,795" W	Vinasco & Cordani (2012)	333	Edad de meseta interpretada como de enfriamiento sucesivo a un evento deformacional, la cual debe ser casi la edad del evento deformacional. También publicada en Vinasco <i>et al.</i> (2003) [331]
									Vinasco <i>et al.</i> (2013)	334	Edad media ponderada
				1141655	973703	MAGNA_Colombia_Bogota	5° 52' 37,650" N	74° 18' 53,910" W	Vásquez <i>et al.</i> (2010)	318	Edad de fusión total en muestra duplicado
				929923	1099157	MAGNA_Colombia_Oeste	3° 57' 43,179" N	76° 11' 04,847" W	González (2010)	122	Edad de meseta con espectros de desgasificación bien establecidos
				1141655	973703	MAGNA_Colombia_Bogota	5° 52' 37,650" N	74° 18' 53,910" W	Vásquez <i>et al.</i> (2010)	318	Edad de meseta
				1830273	962366	MAGNA_Colombia_Este	12° 06' 10,907" N	71° 25' 23,572" W	Cardona (2003)	63	Edad integrada que indica posible perturbación térmica
				1208873	906508	MAGNA_Colombia_Bogota	6° 29' 03,470" N	74° 55' 21,720" W	Leal Mejía (2011)	160	Edad heredada interpretada como de cristalización magmática de un pulso del Batolito Antioqueño
20				1191729	844756	MAGNA_Colombia_Bogota	6° 19' 41,100" N	75° 28' 49,600" W	Villagómez & Spikings (2013)	328	Edad pooled
15				979328	863939	MAGNA_Colombia_Bogota	4° 24' 29,700" N	75° 18' 11,800" W	Villagómez & Spikings (2013)	328	Edad pooled
			Se obtuvo las coordenadas del punto a partir de la georreferenciación de la Figura 1	1028390	1077672	MAGNA_Colombia_Bogota	4° 51' 09,269" N	73° 22' 38,241" W	Cheilletz <i>et al.</i> (1997)	77	Edad integrada
18				1152920	902427	MAGNA_Colombia_Bogota	5° 58' 42,000" N	74° 57' 31,500" W	Villagómez & Spikings (2013)	328	Edad pooled
			Localización tomada de De Armas (1984) [88]	920922	1100312	MAGNA_Colombia_Oeste	3° 52' 50,146" N	76° 10' 27,738" W	Brook (1984)	53	Edad asociada al reseamiento parcial durante el último fallamiento
									Brook (1984)	53	Edad de reseamiento
				1679937	1000070	MAGNA_Colombia_Bogota	10° 44' 39,083" N	74° 04' 36,727" W	Cardona (2003)	63	Edad de meseta, espectro complejo. La unidad está afectada por un evento hidrotermal
			Localización suministrada por el profesor Jorge Julián RESTREPO	1173046	844054	MAGNA_Colombia_Bogota	6° 09' 33,040" N	75° 29' 10,816" W	Restrepo <i>et al.</i> (1991)	239	Edad convencional
									Restrepo <i>et al.</i> (1991)	239	Edad de un evento térmico posterior a la formación a la roca
			Localización tomada de Barrero & Vesga (1976) [25]	1104529	899743	MAGNA_Colombia_Bogota	5° 32' 26,761" N	74° 58' 56,257" W	Barrero & Vesga (1976)	25	
				1249621	861626	MAGNA_Colombia_Bogota	6° 51' 06,600" N	75° 19' 45,570" W	Leal Mejía (2011)	160	Interpretada como la edad de cristalización magmática
9				1209909	923503	MAGNA_Colombia_Bogota	6° 29' 38,035" N	74° 46' 08,712" W	Cardona (2003)	63	Edad de meseta interpretada como de reseamiento isotópico posiblemente asociado con el Batolito Antioqueño
<1	4		Se obtuvo la localización del pozo Dina-12 del sitio web del EPIS	833172	862320	MAGNA_Colombia_Bogota	3° 05' 12,504" N	75° 18' 57,601" W	Schwabe (2001)	267	Edad central de población 2, muestra del pozo Dina-12 a 2064 pies de profundidad
				823144	878858	MAGNA_Colombia_Oeste	2° 59' 46,676" N	78° 10' 01,776" W	Serrano <i>et al.</i> (2011)	269	Edad de meseta
				909873	1047876	MAGNA_Colombia_Oeste	3° 46' 51,800" N	76° 38' 47,400" W	Villagómez <i>et al.</i> (2011a)	326	Edad media ponderada interpretada como la máxima edad de depósito para la unidad
<1	4			1203188	1165684	MAGNA_Colombia_Oeste	6° 25' 53,056" N	75° 34' 47,819" W	Toro (1999)	290	Edad central
				739533	839861	MAGNA_Colombia_Oeste	2° 14' 23,962" N	78° 31' 01,200" W	Agencia Nacional de Hidrocarburos & Universidad de Caldas (2011a)	3	Edad de fusión total, muestra de ripios recuperados del pozo Remolino grande-1. La Sucesión Volcanosedimentaria de Remolino grande secuencia superior se correlaciona con el Grupo Diabásico y la Formación Volcánica
			Localización tomada de Barrero & Vesga (1976) [25]	1091039	882172	MAGNA_Colombia_Bogota	5° 25' 06,713" N	75° 08' 26,278" W	Barrero & Vesga (1976)	25	
			Se obtuvo las coordenadas del punto a partir de la georreferenciación de la Figura 1	1028390	1077672	MAGNA_Colombia_Bogota	4° 51' 09,269" N	73° 22' 38,241" W	Cheilletz <i>et al.</i> (1997)	77	
				739533	839861	MAGNA_Colombia_Oeste	2° 14' 23,962" N	78° 31' 01,200" W	Ordóñez Carmona <i>et al.</i> (2008)	212	Muestra tomada en la entrada del relleno sanitario de La Pradera (vía Barbosa-Cisneros)
			Se obtuvo las coordenadas del punto a partir de la georreferenciación de la Figura 3	1193395	967577	MAGNA_Colombia_Oeste	6° 20' 41,860" N	77° 22' 13,994" W	Agencia Nacional de Hidrocarburos & Universidad de Caldas (2011a)	3	Edad de meseta interpretada como de cristalización magmática, muestra de ripios recuperados del pozo Remolino grande-1. La Sucesión Volcanosedimentaria de Remolino grande secuencia superior se correlaciona con el Grupo Diabásico y la Formación Volcánica
									Kerr <i>et al.</i> (1997)	153	Edad de isócrona inversa

ID Datación Radiométrica	Código de la muestra	Unidad geológica	Litología	Edad años BP	Error años	Edad Ma	Error Ma	Edad grano simple menor detrítico	Edad grano simple mayor detrítico	Edad estratigráfica	Edades heredadas	Método de datación	Material analizado	Relación inicial	MSWD	P(X2) %
2556	COL34-2	Formación Barroso	Basalto			76,3	± 1,7			Campaniano (k5)		Ar–Ar	Roca total			
2557	COL34-3	Formación Barroso	Basalto			76,3	± 1,6			Campaniano (k5)		Ar–Ar	Roca total			
2558	Gor 15	Volcánico de Gorgona	Basalto de olivino			76,4	± 1,4			Campaniano (k5)		Ar–Ar	Roca total		1,1	
2559	JR106R	Formación Amaime				76,8	± 1,78			Campaniano (k5)		Ar–Ar	Hornblenda			
2560	CC-1	Gneis de Nus	Gneis biotíttico			76,9	± 0,7			Campaniano (k5)		Ar–Ar	Biotita			
2561	Mo 580	Complejo de Santa Rosa–Córdoba	Diorita			77	± 4			Campaniano (k5)		K–Ar	Hornblenda			
2562	2957	Stock de Altavista	Diorita			77				Campaniano (k5)		Rb–Sr	Roca total	0,710		
2563	2979	Formación Quebradagrande	Basalto			77	± 5			Campaniano (k5)		K–Ar	Roca total			
2564	COL34-2	Formación Barroso	Basalto			77	± 1,7			Campaniano (k5)		Ar–Ar	Roca total			
2565	MJ-033	Formación Siamaná	Clasto de eclogita			77,3	± 1,5			Campaniano (k5)		Ar–Ar	Moscovita			
2566	MIGN-1	Stock de Mariquita				77,6	± 8,0			Campaniano (k5)		Huellas de fisión EDM	Circón		70	
2567	DV42	Gabro El Palmar	Gabro hornbléndico			77,6	± 5,7			Campaniano (k5)		Ar–Ar	Hornblenda		0,51	
2568	DV82	Intrusivo granítico (?)	Granito			77,6	± 10,8			Campaniano (k5)		Huellas de fisión	Circón			98
2569	SDB 16		Gabro			77,9	± 1,0			Campaniano (k5)		Ar–Ar	Plagioclasa			
2570	Mo 602	Batolito de Buga	Cuarzodiorita			78	± 2			Campaniano (k5)		K–Ar	Biotita			
2571	Mo 607	Complejo Ultramáfico de Bolívar				78	± 14			Campaniano (k5)		K–Ar	Hornblenda			
2572	AEB 161	Grupo Diabásico	Lava			78	± 12			Campaniano (k5)		K–Ar	Roca total			
2573	AEB 836	Grupo Diabásico	Lava			78	± 9			Campaniano (k5)		K–Ar	Roca total			
2574	AEB 59C1	Secuencia Ofiolítica de Los Azules	Gabro			78	± 3			Campaniano (k5)		K–Ar	Hornblenda			
2575	DV177	Complejo Quebradagrande	Arenita			78,6	± 19,8			Campaniano (k5)		Huellas de fisión	Apatito		100	
2576	SG-020	Stock de Zabaletas				78,96	+ 10,11/- 8,97			Campaniano (k5)		Huellas de fisión LA-ICP-MS	Circón			
2577	1302-A	Batolito Antioqueño				79	± 3			Campaniano (k5)		K–Ar	Biotita			
2578	A 83	Formación Macuira	Esquisto anfibólico			79	± 0,8			Campaniano (k5)		Ar–Ar	Biotita			
2579	JJ700	Stock de Amagá	Aplita			79	± 3			Campaniano (k5)		K–Ar	Roca total			
2580	DV91	Batolito de Buga	Diorita			79,2	± 2,6			Campaniano (k5)		Ar–Ar	Plagioclasa			
2581	MJ-033	Formación Siamaná	Clasto de eclogita			79,2	± 1,1			Campaniano (k5)		Ar–Ar	Moscovita			
2582	LF-10	Batolito Antioqueño	Granodiorita hornbléndica biotítica			79,5	± 1,3			Campaniano (k5)		U–Pb SHRIMP	Circón			
2583	MP-85 P3	Formación Los Cuervos	Arenita			79,6	± 14,1			Campaniano (k5)		Huellas de fisión EDM	Apatito			
2584	WDM-149	Escu靴os de Santa Marta, Formación Rodadero	Anfibolita			79,7	± 15,8			Campaniano (k5)		K–Ar	Hornblenda			
2585	DV26	Stock de Córdoba	Granodiorita			79,7	± 2,5			Campaniano (k5)		U–Pb LA-ICP-MS	Circón		0,27	
2586	Ca10	Gabro de Cáceres	Gabro			79,8	± 0,9			Campaniano (k5)		Ar–Ar	Plagioclasa			
2587	Mo 601	Batolito de Buga	Cuarzodiorita			80	± 4			Campaniano (k5)		K–Ar	Hornblenda			
2588	SPK 0532	Batolito Antioqueño	Cuarzodiorita			80	± 3			Campaniano (k5)		K–Ar	Biotita			
2589	JJ105	Cornubiana de Palmitas	Cornubiana			80	± 5			Campaniano (k5)		K–Ar	Roca total			
2590	CM087R	Formación Amaime				80,05	± 11,44			Campaniano (k5)		Ar–Ar	Roca total			
2591	10RC75	Complejo Quebradagrande	Aglomerado			80,2	± 0,7			Campaniano (k5)		U–Pb LA-ICP-MS	Circón		2,0	
2592	DV65	Complejo Cajamarca	Gneis			80,2	± 0,2			Campaniano (k5)		Ar–Ar	Biotita			
2593	DV42	Gabro El Palmar	Gabro hornbléndico			80,4	± 18,1			Campaniano (k5)		Ar–Ar	Hornblenda		0,59	

Dispersión %	Número de granos analizados	Número de alicuotas	Fuente georreferenciación	Coordenada X	Coordenada Y	Sistema de coordenadas	Latitud	Longitud	Referencia	ID referencia	Comentarios
									Sinton <i>et al.</i> (1998)	273	Edad de meseta
									Sinton <i>et al.</i> (1998)	273	Edad de meseta
				823144	878858	MAGNA_Colombia_Oeste	2° 59' 46,676" N	78° 10' 01,776" W	Serrano <i>et al.</i> (2011)	269	Edad de isócrona inversa
				958491	1132062	MAGNA_Colombia_Oeste	4° 13' 11,707" N	75° 53' 16,995" W	González (2010)	122	Edad de fusión total discordante con la edad de meseta
9				1209909	923503	MAGNA_Colombia_Bogota	6° 29' 38,035" N	74° 46' 08,712" W	Cardona (2003)	63	Edad de meseta interpretada como de resequeamiento isotópico posiblemente asociado con el Batolito Antioqueño
			Localización tomada de McCourt <i>et al.</i> (1984c) [183]	975657	1154432	MAGNA_Colombia_Oeste	4° 22' 29,173" N	75° 41' 10,785" W	Brook (1984)	53	Edad de intrusión
									Restrepo <i>et al.</i> (1991)	239	Edad convencional
									Restrepo <i>et al.</i> (1991)	239	
									Sinton <i>et al.</i> (1998)	273	Edad de isócrona inversa
				1850578	933514	MAGNA_Colombia_Este	12° 17' 10,009" N	71° 41' 19,180" W	Weber <i>et al.</i> (2011)	337	Edad de isócrona inversa
20									Gómez <i>et al.</i> (2003)	115	Edad central, tiempo aproximado de enfriamiento hasta la isoterma de 240 ± 50 °C
				891848	1047030	MAGNA_Colombia_Oeste	3° 37' 05,000" N	76° 39' 15,100" W	Villagómez & Spikings (2013)	328	Edad media ponderada de meseta
20				965976	871708	MAGNA_Colombia_Bogota	4° 17' 15,500" N	75° 13' 59,200" W	Villagómez & Spikings (2013)	328	Edad pooled
			Se obtuvo las coordenadas del punto a partir de la georreferenciación de la Figura 3	1193395	967577	MAGNA_Colombia_Oeste	6° 20' 41,860" N	77° 22' 13,994" W	Kerr <i>et al.</i> (1997)	153	Edad de meseta
									Brook (1984)	53	Edad asociada al resequeamiento parcial durante el último fallamiento
									Brook (1984)	53	Edad mínima de intrusión
									De Souza <i>et al.</i> (1984)	89	Para esta muestra se publicó una edad de 78,1 ± 24,5 Ma en Espinosa (1980) [96]
									De Souza <i>et al.</i> (1984)	89	Para esta muestra se publicó una edad de 77,2 ± 19,8 Ma en Espinosa (1980) [96]
									De Souza <i>et al.</i> (1984)	89	Para esta muestra se publicó una edad de 78,8 ± 6,0 Ma en Espinosa (1980) [96]
24				1057920	846373	MAGNA_Colombia_Bogota	5° 07' 06,500" N	75° 27' 46,500" W	Villagómez & Spikings (2013)	328	Edad pooled
30				913664	1052325	MAGNA_Colombia_Oeste	3° 48' 55,156" N	76° 36' 23,161" W	Agencia Nacional de Hidrocarburos & Universidad de Caldas (2011a)	3	Edad pooled
			Localización tomada de Restrepo (1983) [236]	1210421	852238	MAGNA_Colombia_Bogota	6° 29' 50,054" N	75° 24' 47,796" W	Botero (1963)	50	
				1830273	962366	MAGNA_Colombia_Este	12° 06' 10,907" N	71° 25' 23,572" W	Cardona (2003)	63	Edad de meseta que indica posible perturbación térmal. Esta datación, aunque con una pequeña diferencia también se publicó en Cardona <i>et al.</i> (2006) [64]
			Localización suministrada por el profesor Jorge Julián RESTREPO	1154980	1156559	MAGNA_Colombia_Oeste	5° 59' 45,038" N	75° 39' 48,844" W	Restrepo <i>et al.</i> (1991)	239	
				925855	1092449	MAGNA_Colombia_Oeste	3° 55' 31,000" N	76° 14' 42,400" W	Villagómez & Spikings (2013)	328	Edad de fusión total con un espectro altamente discordante
				1850578	933514	MAGNA_Colombia_Este	12° 17' 10,009" N	71° 41' 19,180" W	Weber <i>et al.</i> (2011)	337	Edad de meseta, posiblemente relacionada al enfriamiento del principal evento metamórfico
				1225790	915034	MAGNA_Colombia_Bogota	6° 38' 14,580" N	74° 50' 45,120" W	Leal Mejía (2011)	160	Interpretada como la edad de cristalización magmática
11				1118863	868937	MAGNA_Colombia_Este	5° 40' 11,500" N	72° 15' 37,910" W	Mora <i>et al.</i> (2010)	195	Edad pooled de la población 3
			Se obtuvo las coordenadas del punto a partir de la georreferenciación de la Figura 2	1729030	983977	MAGNA_Colombia_Bogota	11° 11' 16,708" N	74° 13' 27,159" W	MacDonald <i>et al.</i> (1971)	166	
13				979396	1154012	MAGNA_Colombia_Oeste	4° 24' 30,900" N	75° 41' 24,200" W	Villagómez <i>et al.</i> (2011a)	326	Edad media ponderada interpretada como la edad de intrusión y emplazamiento
				1133501	974498	MAGNA_Colombia_Bogota	5° 48' 12,240" N	74° 18' 27,968" W	Vásquez <i>et al.</i> (2010)	318	Edad de fusión total
									Brook (1984)	53	Edad asociada al resequeamiento parcial durante el último fallamiento
			Se obtuvo las coordenadas del punto a partir de la georreferenciación de la figura de localización de Pérez (1966) [220]	1159918	897014	MAGNA_Colombia_Bogota	6° 02' 29,511" N	75° 00' 27,846" W	Pérez (1967)	221	
			Localización suministrada por el profesor Jorge Julián RESTREPO	1195686	1153254	MAGNA_Colombia_Oeste	6° 21' 50,057" N	75° 41' 32,836" W	Restrepo <i>et al.</i> (1991)	239	
				878693	1098023	MAGNA_Colombia_Oeste	3° 29' 55,595" N	76° 11' 43,267" W	González (2010)	122	Edad integrada
17				1051644	837000	MAGNA_Colombia_Bogota	5° 03' 41,580" N	75° 32' 50,280" W	Cochrane (2013)	79	Edad concordante media ponderada, los autores le asignan la muestra al Complejo Cajamarca
				1153962	906027	MAGNA_Colombia_Bogota	5° 59' 16,100" N	74° 55' 34,500" W	Villagómez (2010)	325	Edad de fusión total
				891848	1047030	MAGNA_Colombia_Oeste	3° 37' 05,000" N	76° 39' 15,100" W	Villagómez & Spikings (2013)	328	Edad de isócrona inversa

ID Datación Radiométrica	Código de la muestra	Unidad geológica	Litología	Edad años BP	Error años	Edad Ma	Error Ma	Edad grano simple menor detrítico	Edad grano simple mayor detrítico	Edad estratigráfica	Edades heredadas	Método de datación	Material analizado	Relación inicial	MSWD	P(X2) %
2594	RG-16	Formación Socha	Arenita			80,4	$\pm$ 6,4			Campaniano (k5)		U-Th/He	Circón			
2595	123A	Esquistos de Jambaló	Esquisto de glaucofana			80,6	$\pm$ 4,9			Campaniano (k5)		Ar-Ar	Paragonita			
2596	DV65	Complejo Cajamarca	Gneis			80,8	$\pm$ 0,3			Campaniano (k5)		Ar-Ar	Biotita		2,03	
2597	IGM-69917	Intrusivo Gnésico de Norcasia	Gneis			80,9	$\pm$ 2,8			Campaniano (k5)		K-Ar	Biotita			
2598	Mo 566	Complejo de Santa Rosa-Córdoba	Diorita			81	$\pm$ 5			Campaniano (k5)		K-Ar	Hornblenda			
2599	Mo 602	Batolito de Buga	Cuarzodiorita			81	$\pm$ 5			Campaniano (k5)		K-Ar	Hornblenda			
2600	JR013R	Grupo Diabásico				81	$\pm$ 8,7			Campaniano (k5)		Ar-Ar	Roca total		0,33	
2601	COL7A, JJ415, JJ419	Esquistos de Medellín				81	$\pm$ 10			Campaniano (k5)		Rb-Sr	Roca total	0,7106		
2602	2957	Stock de Altavista	Diorita			81				Campaniano (k5)		Rb-Sr	Roca total	0,710		
2603	CJ-47	Complejo Quebradagrande	Toba milonítica			81	$\pm$ 5			Campaniano (k5)		Ar-Ar	Sericita			
2604	DV06	Batolito de Ibagué	Granito			81,3	$\pm$ 10,6			Campaniano (k5)			Huellas de fisión	Circón		78
2605	Ca10	Gabro de Cáceres	Gabro			81,4	$\pm$ 0,9			Campaniano (k5)		Ar-Ar	Plagioclasa			
2606	RG-1 6540-6550	Sucesión volcanosedimentaria de Remolinogrande				81,5	$\pm$ 3,3			Campaniano (k5)		Ar-Ar	Roca total			
2607	MJ-039	Formación Siamaná	Clasto de eclogita			81,6	$\pm$ 2,7			Campaniano (k5)		Ar-Ar	Moscovita			
2608	Ca10	Gabro de Cáceres	Gabro			81,7	$\pm$ 0,8			Campaniano (k5)		Ar-Ar	Plagioclasa			
2609	DB-K-59.5	Grupo Dagua	Pizarra filítica			81,8	$\pm$ 3,3			Campaniano (k5)		K-Ar	Roca total			
2610	DV94	Pegmatitas de Bolívar	Pegmatita			81,8	$\pm$ 10,0			Campaniano (k5)		Ar-Ar	Hornblenda		4,16	
2611	DV65	Complejo Cajamarca	Gneis			81,9	$\pm$ 0,6			Campaniano (k5)		Ar-Ar	Biotita		0,18	
2612	JR013R	Grupo Diabásico				82	$\pm$ 45			Campaniano (k5)		Ar-Ar	Roca total		0,020	
2613	ER020R	Stock de Guayabillas				82	$\pm$ 18			Campaniano (k5)		Ar-Ar	Roca total			
2614	JJ156	Diorita de Ebéjico	Diorita			82	$\pm$ 22			Campaniano (k5)		K-Ar	Anfibol			
2615	10RC76	Complejo Quebradagrande	Aglomerado			82,1	$\pm$ 0,7			Campaniano (k5)			U-Pb LA-ICP-MS	Circón		0,7
2616	MJ-039	Formación Siamaná	Clasto de eclogita			82,2	$\pm$ 2,5			Campaniano (k5)		Ar-Ar	Moscovita			
2617	COL 354	Formación Amaime	Picrita			82,45	$\pm$ 2,86			Campaniano (k5)		Ar-Ar	Vidrio picritico			
2618	IGM 185949	Gabro de Rodrigoque	Gabro			82,5	$\pm$ 9,5			Campaniano (k5)		K-Ar	Biotita			
2619	12038453	Stock de La Unión	Cuarzodiorita biotítica			82,8	$\pm$ 1,5			Campaniano (k5)			U-Pb LA-MC-ICP-MS	Circón		
2620	RG-1 6540-6550	Sucesión volcanosedimentaria de Remolinogrande				82,9	$\pm$ 4,8			Campaniano (k5)		Ar-Ar	Roca total			
2621	Mo 574	Complejo de Santa Rosa-Córdoba	Diorita			83	$\pm$ 2			Campaniano (k5)		K-Ar	Hornblenda			
2622	AEB 107	Grupo Diabásico	Lava			83	$\pm$ 8			Campaniano (k5)		K-Ar	Roca total			
2623	BA-4	Batolito Antioqueño	Granodiorita			83	$\pm$ 4			Campaniano (k5)		Rb-Sr	Roca total	0,7047	23	
2624	SPK 0545	Batolito Antioqueño	Cuarzodiorita			83	$\pm$ 3			Campaniano (k5)		K-Ar	Biotita			
2625	CJ-42B	Complejo Quebradagrande	Toba milonítica			83,2	$\pm$ 0,7			Campaniano (k5)		Ar-Ar	Biotita			
2626	CM128R	Formación Barroso				83,33	$\pm$ 1,96			Campaniano (k5)		Ar-Ar	Roca total			
2627	M-11	Batolito Antioqueño	Granitoide			83,75	$\pm$ 0,36			Santoniano (k4)		U-Pb ID-TIMS	Circón		0,108	
2628	Mo 436	Stock de El Tambor	Leucotonalita			84	$\pm$ 3			Santoniano (k4)		K-Ar	Hornblenda			
2629	Mo 437	Stock de El Tambor	Leucotonalita			84	$\pm$ 2			Santoniano (k4)		K-Ar	Hornblenda			

Dispersión %	Número de granos analizados	Número de alicuotas	Fuente georreferenciación	Coordenada X	Coordenada Y	Sistema de coordenadas	Latitud	Longitud	Referencia	ID referencia	Comentarios
		1		1074649	1035392	MAGNA_Colombia_Bogota	5° 16' 16,200" N	73° 45' 29,640" W	Ramirez Arias <i>et al.</i> (2012)	227	Alicuota seleccionada por los autores para el modelamiento inverso, muestra del Sincinal de Checua-Lenguaque
			Se obtuvo las coordenadas del punto a partir de la georreferenciación del Anexo I de Bustamante (2008) [56]	821076	1098022	MAGNA_Colombia_Oeste	2° 58' 40,011" N	76° 11' 44,922" W	Bustamante <i>et al.</i> (2011)	57	Edad gas total
				1153962	906027	MAGNA_Colombia_Bogota	5° 59' 16,100" N	74° 55' 34,500" W	Villagómez & Spikings (2013)	328	Edad media ponderada de meseta
			Localización tomada de Barrero & Vesga (1976) [25]	1108257	909059	MAGNA_Colombia_Bogota	5° 34' 28,548" N	74° 53' 53,771" W	Barrero & Vesga (1976)	25	
									Brook (1984)	53	Edad de intrusión
									Brook (1984)	53	Edad asociada al resequeamiento parcial durante el último fallamiento
				661567	967778	MAGNA_Colombia_Oeste	1° 32' 08,144" N	77° 22' 01,439" W	González (2010)	122	Edad de meseta de baja confianza por alto contenido en Ca y bajo en K
			Localización suministrada por el profesor Jorge Julián RESTREPO	1191483	844103	MAGNA_Colombia_Bogota	6° 19' 33,048" N	75° 29' 10,811" W	Restrepo <i>et al.</i> (1991)	239	Edad isócrona calculada para las 3 muestras
									Restrepo <i>et al.</i> (1991)	239	Edad promedio
			Se obtuvo las coordenadas del punto a partir de la georreferenciación del Anexo I	1113062	842364	MAGNA_Colombia_Bogota	5° 37' 00,780" N	75° 30' 00,795" W	Vinasco & Cordani (2012)	333	Edad de meseta interpretada como de enfriamiento sucesivo a un evento deformacional, la cual debe ser casi la edad del evento deformacional. También publicada en Vinasco <i>et al.</i> (2003) [331]
20				978687	864909	MAGNA_Colombia_Bogota	4° 24' 08,900" N	75° 17' 40,300" W	Villagómez & Spikings (2013)	328	Edad pooled
				1133501	974498	MAGNA_Colombia_Bogota	5° 48' 12,240" N	74° 18' 27,968" W	Vásquez <i>et al.</i> (2010)	318	Edad de fusión total en muestra duplicado
				739533	839861	MAGNA_Colombia_Oeste	2° 14' 23,962" N	78° 31' 01,200" W	Agencia Nacional de Hidrocarburos & Universidad de Caldas (2011a)	3	Edad de fusión total, muestra de ripios recuperados del pozo Remolino grande-1. La Sucesión Volcanosedimentaria de Remolino grande secuencia superior se correlacionada con el Grupo Diabásico y la Formación Volcánica
				1850578	933514	MAGNA_Colombia_Este	12° 17' 10,009" N	71° 41' 19,180" W	Weber <i>et al.</i> (2011)	337	Edad de isócrona inversa
				1133501	974498	MAGNA_Colombia_Bogota	5° 48' 12,240" N	74° 18' 27,968" W	Vásquez <i>et al.</i> (2010)	318	Edad de meseta, muestra duplicado
			Se obtuvo las coordenadas del punto a partir de la georreferenciación de la Plancha 1 y a partir de la descripción del sitio de muestreo	909252	1038745	MAGNA_Colombia_Oeste	3° 46' 31,704" N	76° 43' 43,347" W	Barrero (1979)	26	
				971778	1097903	MAGNA_Colombia_Oeste	4° 20' 25,700" N	76° 11' 44,000" W	Villagómez (2010)	325	Edad media ponderada de meseta, espectro de edad perturbado
				1153962	906027	MAGNA_Colombia_Bogota	5° 59' 16,100" N	74° 55' 34,500" W	Villagómez & Spikings (2013)	328	Edad de isócrona inversa
				661567	967778	MAGNA_Colombia_Oeste	1° 32' 08,144" N	77° 22' 01,439" W	González (2010)	122	Edad de isócrona inversa de baja confianza por alto contenido en Ca y bajo en K
			La localización no coincide con la unidad litológica	697166	1007425	MAGNA_Colombia_Oeste	1° 51' 27,201" N	77° 00' 38,773" W	González (2010)	122	Edad de baja confianza por bajo contenido K
			Localización suministrada por el profesor Jorge Julián RESTREPO	1191766	1146347	MAGNA_Colombia_Oeste	6° 19' 43,057" N	75° 45' 17,846" W	Restrepo <i>et al.</i> (1991)	239	
18				1071794	836891	MAGNA_Colombia_Bogota	5° 14' 37,320" N	75° 32' 55,320" W	Cochrane (2013)	79	Edad concordante media ponderada, los autores le asignan la muestra al Complejo Cajamarca
				1850578	933514	MAGNA_Colombia_Este	12° 17' 10,009" N	71° 41' 19,180" W	Weber <i>et al.</i> (2011)	337	Edad de meseta, posiblemente relacionada al enfriamiento del principal evento metamórfico
			Se obtuvo las coordenadas del punto a partir de la georreferenciación de la Figura 1	743905	1040683	MAGNA_Colombia_Oeste	2° 16' 48,702" N	76° 42' 42,337" W	Kerr <i>et al.</i> (2002)	154	Edad de fusión total
				1168100	860015	MAGNA_Colombia_Este	6° 06' 53,376" N	72° 20' 31,429" W	Fabre & Delaloye (1983)	99	
				1150147	858546	MAGNA_Colombia_Bogota	5° 57' 08,950" N	75° 21' 17,830" W	Leal Mejía (2011)	160	Interpretada como la edad de cristalización magmática
				739533	839861	MAGNA_Colombia_Oeste	2° 14' 23,962" N	78° 31' 01,200" W	Agencia Nacional de Hidrocarburos & Universidad de Caldas (2011a)	3	Edad de meseta interpretada como de cristalización magmática, muestra de ripios recuperados del pozo Remolino grande-1. La Sucesión Volcanosedimentaria de Remolino grande secuencia superior se correlacionada con el Grupo Diabásico y la Formación Volcánica
			Localización tomada de McCourt <i>et al.</i> (1984c) [183]	976843	1153917	MAGNA_Colombia_Oeste	4° 23' 07,792" N	75° 41' 27,426" W	Brook (1984)	53	Edad de intrusión
			Se obtuvo las coordenadas del punto a partir de la georreferenciación de la Figura 8	1179292	875747	MAGNA_Colombia_Bogota	6° 12' 58,783" N	75° 12' 00,641" W	De Souza <i>et al.</i> (1984)	89	Para esta muestra se publicó una edad de 97 ± 20,3 Ma en Espinosa (1980) [96]
			Se obtuvo las coordenadas del punto a partir de la georreferenciación de la figura de localización	1159918	897014	MAGNA_Colombia_Bogota	6° 02' 29,511" N	75° 00' 27,846" W	Pérez (1966)	220	Interpretada como la edad de cristalización, calculada en una isócrona para 6 muestras (BA-2, 4, 6, 7, 9 y 12)
			Se obtuvo las coordenadas del punto a partir de la georreferenciación del Anexo I	1112810	841438	MAGNA_Colombia_Bogota	5° 36' 52,509" N	75° 30' 30,837" W	Vinasco & Cordani (2012)	333	Edad integrada, también publicada en Vinasco <i>et al.</i> (2003) [331]
				1055233	1140682	MAGNA_Colombia_Oeste	5° 05' 39,911" N	75° 48' 31,909" W	González (2010)	122	Edad integrada
			Se obtuvo las coordenadas del punto a partir de la georreferenciación de la Figura 1	1214405	854629	MAGNA_Colombia_Bogota	6° 31' 59,922" N	75° 23' 30,350" W	Ibáñez Mejía <i>et al.</i> (2007)	142	Edad de cristalización magmática
			Localización tomada de McCourt <i>et al.</i> (1984b) [182]	908726	1065646	MAGNA_Colombia_Oeste	3° 46' 14,121" N	76° 29' 11,540" W	Brook (1984)	53	Edad de intrusión
									Brook (1984)	53	Edad de intrusión, muestra tomada del cerro Víjes, municipio de Restrepo en el departamento del Valle del Cauca

ID Datación Radiométrica	Código de la muestra	Unidad geológica	Litología	Edad años BP	Error años	Edad Ma	Error Ma	Edad grano simple menor detrítico	Edad grano simple mayor detrítico	Edad estratigráfica	Edades heredadas	Método de datación	Material analizado	Relación inicial	MSWD	P(X2) %
2630	WR-212		Dique de dolerita asociado con vena de mineralización			84	$\pm 3$			Santoniano (k4)		K-Ar	Roca total			
2631	IGM-156840	Complejo Cajamarca	Esquisto actinolítico			84	$\pm 10$			Santoniano (k4)		K-Ar	Roca total			
2632		Batolito Antioqueño				84	$\pm 2$			Santoniano (k4)		U-Pb	Circón			
2633	2957	Stock de Altavista	Diorita			84				Santoniano (k4)		Rb-Sr	Roca total	0,710		
2634	CJ-54	Formación Quebradagrande	Milonita de toba volcánica			84	$\pm 4$			Santoniano (k4)		Ar-Ar	Sericita			
2635	COL 436	Formación Amaime	Picrita			84,04	$\pm 9,42$			Santoniano (k4)		Ar-Ar	Roca total			
2636	CM128R	Formación Barroso				84,2	$\pm 1,4$			Santoniano (k4)		Ar-Ar	Roca total		1,01	
2637	WR-202	Batolito Antioqueño	Diorita			84,2	$+2,3/-1,6$			Santoniano (k4)		U-Pb LA-MC-ICP-MS	Circón			
2638	COL 436	Formación Amaime	Picrita			84,25	$\pm 9,37$			Santoniano (k4)		Ar-Ar	Roca total			
2639	WR-223	Plutón Jejenes	Leucotonalita			84,3	$\pm 1,1$			Santoniano (k4)		U-Pb LA-MC-ICP-MS	Circón			
2640	DV14	Complejo Cajamarca	Cuarcita			84,3	$\pm 17,0$			Santoniano (k4)		Huellas de fisión	Circón			
2641	PM-006	Formación Chiquaque	Arenita			84,4	$\pm 10,1$			Santoniano (k4)		Huellas de fisión EDM	Apatito			4,7
2642	JR106R	Formación Amaime				84,65	$\pm 0,91$			Santoniano (k4)		Ar-Ar	Roca total			
2643	CM087R	Formación Amaime				84,8	$\pm 8,6$			Santoniano (k4)		Ar-Ar	Roca total		1,14	
2644	CJ-47	Complejo Quebradagrande	Toba milonítica			84,9	$\pm 1,3$			Santoniano (k4)		Ar-Ar	Sericita			
2645	AM-03	Formación Socha	Arenita			84,9	$\pm 6,8$			Santoniano (k4)		U-Th/He	Circón			
2646	SM-1	Stock de Mistrató				ca. 85				Santoniano (k4)		U-Pb LA-MC-ICP-MS	Circón			
2647	JR106R	Formación Amaime				85,25	$\pm 0,87$			Santoniano (k4)		Ar-Ar	Roca total		0,28	
2648	DV05	Batolito de Ibagué	Granodiorita			85,3	$\pm 18,2$			Santoniano (k4)		Huellas de fisión	Circón			37
2649	JR106R	Formación Amaime				85,34	$\pm 1,77$			Santoniano (k4)		Ar-Ar	Hornblenda			
2650	SR012R	Complejo Igneo de Córdoba				85,42	$\pm 0,67$			Santoniano (k4)		Ar-Ar	Hornblenda		0,53	
2651	JR106R	Formación Amaime				85,7	$\pm 2,3$			Santoniano (k4)		Ar-Ar	Roca total		0,035	
2652	Gor 20	Volcánico de Gorgona	Basalto			85,7	$\pm 1,6$			Santoniano (k4)		Ar-Ar	Roca total			
2653	WR-211		Dique de porfido diorítico			85,9	$\pm 1,2$			Santoniano (k4)	177–145 Ma	U-Pb LA-MC-ICP-MS	Circón			
2654	LM64-060-001	Esquistos de Armenia	Esquisto anfibólico			86	$\pm 3$			Santoniano (k4)		K-Ar	Roca total			
2655	AEB 59C3	Secuencia Ofiolítica de Los Azules	Gabro			86	$\pm 3$			Santoniano (k4)		K-Ar	Hornblenda			
2656	Gor 92-1	Volcánico de Gorgona	Basalto			86	$\pm 4,6$			Santoniano (k4)		Ar-Ar				
2657	COL7A	Esquistos de Medellín				86				Santoniano (k4)		Rb-Sr	Roca total	0,710		
2658	CJ-47	Complejo Quebradagrande	Toba milonítica			86	$\pm 2$			Santoniano (k4)		Ar-Ar	Sericita			
2659		Stock de Cambumbia	Banda milonítica bordeando lente inalterado del Stock de Cambumbia			86	$\pm 16$			Santoniano (k4)		K-Ar	Roca total			
2660	CM128R	Formación Barroso				86,1	$\pm 2,3$			Santoniano (k4)		Ar-Ar	Roca total		0,0054	
2661	c156	Ofolita Komatiítica de Gorgona	Microgabro			86,2	$\pm 8,5$			Santoniano (k4)		K-Ar				

Dispersión %	Número de granos analizados	Número de alicuotas	Fuente georreferenciación	Coordenada X	Coordenada Y	Sistema de coordenadas	Latitud	Longitud	Referencia	ID referencia	Comentarios
				1275345	932597	MAGNA_Colombia_Bogota	7° 05' 08,440" N	74° 41' 15,420" W	Leal Mejia (2011)	160	Edad de la mineralización de oro y de la alteración hidrotermal asociada
			Las coordenadas reportadas por los autores no coinciden con la localización de la datación en la Figura 1. Se obtuvo las coordenadas del punto a partir de la georreferenciación de esta figura	1032694	894611	MAGNA_Colombia_Bogota	4° 53' 28,262" N	75° 01' 39,444" W	Núñez <i>et al.</i> (1981)	202	
									Ordóñez Carmona <i>et al.</i> (2008)	212	Muestra tomada cerca al municipio de Guarne sobre la autopista
									Restrepo <i>et al.</i> (1991)	239	Edad convencional
			Se obtuvo las coordenadas del punto a partir de la georreferenciación del Anexo 1	1094330	844160	MAGNA_Colombia_Bogota	5° 26' 51,296" N	75° 29' 00,988" W	Vinasco & Cordani (2012)	333	Edad integrada, el espectro obtenido es de baja calidad analítica y apenas refleja el episodio deformacional del Cretácico Tardío registrado en otras muestras. También publicada en Vinasco <i>et al.</i> (2003) [331]
			Se obtuvo las coordenadas del punto a partir de la georreferenciación de la Figura 1	869120	1097656	MAGNA_Colombia_Oeste	3° 24' 43,990" N	76° 11' 55,461" W	Kerr <i>et al.</i> (2002)	154	Edad de isócrona normal
				1055233	1140682	MAGNA_Colombia_Oeste	5° 05' 39,911" N	75° 48' 31,909" W	González (2010)	122	Edad de meseta
				1242657	875697	MAGNA_Colombia_Bogota	6° 47' 21,110" N	75° 12' 06,840" W	Leal Mejia (2011)	160	Interpretada como la edad de cristalización magmática
			Se obtuvo las coordenadas del punto a partir de la georreferenciación de la Figura 1	869120	1097656	MAGNA_Colombia_Oeste	3° 24' 43,990" N	76° 11' 55,461" W	Kerr <i>et al.</i> (2002)	154	Edad de isócrona inversa
				768599	1018404	MAGNA_Colombia_Oeste	2° 30' 12,800" N	76° 54' 43,300" W	Leal Mejia (2011)	160	Interpretada como la edad de cristalización magmática
				982705	844649	MAGNA_Colombia_Bogota	4° 26' 18,500" N	75° 28' 37,500" W	Villagómez (2010)	325	Edad pooled de población
20				1044039	1130027	MAGNA_Colombia_Bogota	4° 59' 36,240" N	72° 54' 18,420" W	Ramírez Arias <i>et al.</i> (2012)	227	Muestra del bloque colgante de la Falla de Guaicáramo
				958491	1132062	MAGNA_Colombia_Oeste	4° 13' 11,707" N	75° 53' 16,995" W	González (2010)	122	Edad integrada
				878693	1098023	MAGNA_Colombia_Oeste	3° 29' 55,595" N	76° 11' 43,267" W	González (2010)	122	Edad de meseta, muestra con bajo K
			Se obtuvo las coordenadas del punto a partir de la georreferenciación del Anexo 1	1113062	842364	MAGNA_Colombia_Bogota	5° 37' 00,780" N	75° 30' 00,795" W	Vinasco & Cordani (2012)	333	Edad integrada, también publicada en Vinasco <i>et al.</i> (2003) [331]
1				1069100	1072306	MAGNA_Colombia_Bogota	5° 13' 14,640" N	73° 25' 31,080" W	Ramírez Arias <i>et al.</i> (2012)	227	Alicuota seleccionada por los autores para el modelamiento inverso, muestra del bloque yacente de la Falla de Soápaga
29			Se tomaron las coordenadas listadas en los anexos que se diferencian varios metros con respecto a las reportadas en el informe final	1075096	1134419	MAGNA_Colombia_Oeste	5° 16' 26,806" N	75° 51' 53,969" W	Agencia Nacional de Hidrocarburos & Universidad de Caldas (2011b)	4	Interpretada como la edad de cristalización magmática
				958491	1132062	MAGNA_Colombia_Oeste	4° 13' 11,707" N	75° 53' 16,995" W	González (2010)	122	Edad de meseta confiable y concordante con las obtenidas en isócrona inversa e integrada
8				979260	867839	MAGNA_Colombia_Bogota	4° 24' 27,700" N	75° 16' 05,300" W	Villagómez & Spikings (2013)	328	Edad pooled
				958491	1132062	MAGNA_Colombia_Oeste	4° 13' 11,707" N	75° 53' 16,995" W	González (2010)	122	Edad de fusión total concordante con las edades paso a paso
				984673	1155616	MAGNA_Colombia_Oeste	4° 27' 22,528" N	75° 40' 31,864" W	González (2010)	122	Edad de meseta interpretada como de enfriamiento, la cual debe ser muy próxima a la de cristalización magmática por ser un cuerpo hipoáBAL
				958491	1132062	MAGNA_Colombia_Oeste	4° 13' 11,707" N	75° 53' 16,995" W	González (2010)	122	Edad de isócrona inversa
				821138	876322	MAGNA_Colombia_Oeste	2° 58' 41,300" N	78° 11' 23,806" W	Serrano <i>et al.</i> (2011)	269	Edad de meseta
				1272694	931833	MAGNA_Colombia_Bogota	7° 03' 42,100" N	74° 41' 40,200" W	Leal Mejia (2011)	160	Interpretada como la edad de cristalización magmática, las edades heredadas podrían estar relacionadas con la asimilación de círcón del Batolito de Segovia que es la roca huésped del dique. Se propone que ta edad heredada es del Batolito de Segovia
				1470009	966249	MAGNA_Colombia_Bogota	8° 50' 45,905" N	74° 23' 03,574" W	Bernal <i>et al.</i> (2006b)	38	La edad se interpreta como asociada a un importante evento de cizallamiento producido por una actividad tectónica intensa de la Falla Palestina
			Se obtuvo las coordenadas del punto a partir de la georreferenciación de la Figura 1 y de la descripción del sitio de muestreo	823670	878970	MAGNA_Colombia_Oeste	3° 00' 03,800" N	78° 09' 58,153" W	De Souza <i>et al.</i> (1984)	89	Para esta muestra se publicó una edad de 86,1 ± 6,2 Ma en Espinosa (1980) [96]
									Kerr <i>et al.</i> (1996)	152	
			Localización suministrada por el profesor Jorge Julián RESTREPO	1191483	844103	MAGNA_Colombia_Bogota	6° 19' 33,048" N	75° 29' 10,811" W	Restrepo <i>et al.</i> (1991)	239	Edad convencional
			Se obtuvo las coordenadas del punto a partir de la georreferenciación del Anexo 1	1113062	842364	MAGNA_Colombia_Bogota	5° 37' 00,780" N	75° 30' 00,795" W	Vinasco & Cordani (2012)	333	Edad integrada, también publicada en Vinasco <i>et al.</i> (2003) [331]
									Vinasco <i>et al.</i> (2003)	331	
				1055233	1140682	MAGNA_Colombia_Oeste	5° 05' 39,911" N	75° 48' 31,909" W	González (2010)	122	Edad de isócrona inversa
									Espinosa <i>et al.</i> (1982)	97	Muestra tomada en la isla de Gorgonilla

ID Datación Radiométrica	Código de la muestra	Unidad geológica	Litología	Edad años BP	Error años	Edad Ma	Error Ma	Edad grano simple menor detrítico	Edad grano simple mayor detrítico	Edad estratigráfica	Edades heredadas	Método de datación	Material analizado	Relación inicial	MSWD	P(X2) %
2662	E	Esquistos de Santa Marta	Filita			86,3	± 4			Coniaciano (k3)-Santoniano (k4)		K-Ar	Roca total			
2663	DV07	Batolito de Ibagué	Granito			86,4	± 14,2			Coniaciano (k3)		Ar-Ar	Ortoclasa		>100	
2664	SR012R	Complejo Igneo de Córdoba				86,9	± 2,4			Coniaciano (k3)		Ar-Ar	Hornblenda		0,024	
2665	JPA 15B		Andesita hornbléndica			86,9	± 4,0			Coniaciano (k3)		U-Pb LA-ICP-MS	Circón			
2666	AC-76	Granito de Altavista	Granito			87	± 0,53			Coniaciano (k3)		U-Pb ID-TIMS	Circón		1,12	
2667	Gor 92-18	Volcánico de Gorgona	Basalto			87,1	± 3,2			Coniaciano (k3)		Ar-Ar				
2668	DV56	Batolito Antioqueño	Granito			87,2	± 1,6			Coniaciano (k3)		U-Pb LA-ICP-MS	Circón		0,81	
2669	WR-221	Batolito Antioqueño	Cuarzodiorita			87,4	± 1,3			Coniaciano (k3)		U-Pb LA-MC-ICP-MS	Circón			
2670	WR-200	Stock de La Culebra	Tonalita biotítica			87,5	+ 1,3/- 1,6			Coniaciano (k3)	ca. 280, 230 y 90 Ma	U-Pb LA-MC-ICP-MS	Circón			
2671	Din 12-3L	Grupo Honda				87,6	± 2,2			Coniaciano (k3)		Huellas de fisión	Circón			48
2672	CM072R	Formación Amaime				87,68	± 7,57			Coniaciano (k3)		Ar-Ar	Roca total			
2673	CM136R	Stock de Mistrató				87,69	± 44,13			Coniaciano (k3)		Ar-Ar	Roca total			
2674	CJ-42B	Complejo Quebradagrande	Toba milonítica			87,8	± 0,7			Coniaciano (k3)		Ar-Ar	Biotita			
2675	HC64-060-001	Esquistos de Armenia	Esquisto			88	± 7			Coniaciano (k3)		K-Ar	Roca total			
2676	Gor 92-27	Volcánico de Gorgona	Gabro			88	± 2,1			Coniaciano (k3)		Ar-Ar				
2677	P-7		Dique de porfido diorítico con alteración sericitica			88	± 3			Coniaciano (k3)		K-Ar	Roca total			
2678	MP-N10		Fragmento de roca huésped con fuerte alteración sericitica assimilada en vena			88	± 2			Coniaciano (k3)		K-Ar	Sericita e illita			
2679	45	Stock de Samarcanda	Saprolito de granito			88	± 18			Coniaciano (k3)		Huellas de fisión	Circón			
2680	Gor 111	Volcánico de Gorgona	Toleita			88	± 3,8			Coniaciano (k3)		Re-Os		1,17 ± 0,07	0,61	
2681	Gor 70	Volcánico de Gorgona	Toleita			88	± 7,2			Coniaciano (k3)		Re-Os		1,13 ± 0,10		
2682	Bol 94-18	Pegmatitas de Bolívar	Pegmatita intermedia			88,05	± 1,74			Coniaciano (k3)		Ar-Ar	Hornblenda			
2683	Gor 20	Volcánico de Gorgona	Basalto			88,1	± 1,6			Coniaciano (k3)		Ar-Ar	Roca total		0,6	
2684	Gor 114	Volcánico de Gorgona	Toleita			88,1	± 3,8			Coniaciano (k3)		Re-Os		1,17 ± 0,07	0,61	
2685	Gor 70	Volcánico de Gorgona	Toleita			88,1	± 3,8			Coniaciano (k3)		Re-Os		1,17 ± 0,07	0,61	
2686	Gor 92-14	Volcánico de Gorgona	Gabro			88,3	± 1,9			Coniaciano (k3)		Ar-Ar				
2687	DV07	Batolito de Ibagué	Granito			88,3	± 12,4			Coniaciano (k3)		Huellas de fisión	Circón			98
2688	PGA-05	Batolito Antioqueño	Granitoide			88,46	± 0,63			Coniaciano (k3)		U-Pb ID-TIMS	Circón		3,0	
2689	Bol 94-15	Pegmatitas de Bolívar	Pegmatita intermedia deformada			88,52	± 1,92			Coniaciano (k3)		Ar-Ar	Hornblenda		0,5	
2690	DB-3338	Complejo Ultramáfico de Bolívar	Anfibolita			88,8	± 13,8			Coniaciano (k3)		K-Ar	Hornblenda			
2691	JM036R		Cuarzodiorita hornbléndica			88,8	± 5,2			Coniaciano (k3)		Ar-Ar	Hornblenda		0,25	
2692	JPA 29	Gabro de Altamira	Gabro			88,9	± 1,5			Coniaciano (k3)	Edades posiblemente heredadas de 118,8 ± 5,8; 114,4 ± 6,1 y 106,4 ± 6,4 Ma	U-Pb LA-ICP-MS	Circón		16	

Dispersión %	Número de granos analizados	Número de aliquotas	Fuente georreferenciación	Coordenada X	Coordenada Y	Sistema de coordenadas	Latitud	Longitud	Referencia	ID referencia	Comentarios
			Se obtuvo las coordenadas del punto a partir de la georreferenciación de la Figura 2	1612584	990044	MAGNA_Colombia_Bogota	10° 08' 06,924" N	74° 10' 06,061" W	Tschanz <i>et al.</i> (1974)	302	Muestra del pozo Algarrobo 8327 pies
				979196	864163	MAGNA_Colombia_Bogota	4° 24' 25,400" N	75° 18' 04,500" W	Villagómez & Spikings (2013)	328	Edad de isócrona inversa
				984673	1155616	MAGNA_Colombia_Oeste	4° 27' 22,528" N	75° 40' 31,864" W	González (2010)	122	Edad de isócrona inversa
1				1180285	1131031	MAGNA_Colombia_Oeste	6° 13' 30,600" N	75° 53' 36,900" W	Zapata (2013)	344	La edad solo se tomó de un grano y estadísticamente no es representativo, interpretada como la edad de cristalización. Dique andesítico que corta el Gabro de Altamira
			Localización tomada de Correa Martínez (2007) [83]	1178633	1156224	MAGNA_Colombia_Oeste	6° 12' 34,846" N	75° 39' 57,720" W	Correa Martínez <i>et al.</i> (2006)	82	Edad concordia interpretada como de cristalización magnética
			Se obtuvo las coordenadas del punto a partir de la georreferenciación de la Figura 1 y de la descripción del sitio de muestreo	821091	878511	MAGNA_Colombia_Oeste	2° 58' 39,843" N	78° 10' 12,942" W	Kerr <i>et al.</i> (1996)	152	
16				1161506	874416	MAGNA_Colombia_Bogota	6° 03' 19,800" N	75° 12' 42,700" W	Villagómez <i>et al.</i> (2011a)	326	Edad media ponderada
				1211550	911454	MAGNA_Colombia_Bogota	6° 30' 30,880" N	74° 52' 40,920" W	Leal Mejía (2011)	160	Interpretada como edad de cristalización magnética, muestra tomada en la facies de la Diorita La María
				1270090	926163	MAGNA_Colombia_Bogota	7° 02' 17,080" N	74° 44' 44,830" W	Leal Mejía (2011)	160	Interpretada como la edad de cristalización magnética
<1	8		Se obtuvo la localización del pozo Dina-12 del sitio web del EPIS	833172	862320	MAGNA_Colombia_Bogota	3° 05' 12,504" N	75° 18' 57,601" W	Schwabe (2001)	267	Edad central, muestra del pozo Dina-12 a 3440 pies de profundidad, edad obtenida por la profesora Gloria Elena TORO de la Universidad EAFIT
				828034	1085312	MAGNA_Colombia_Oeste	3° 02' 26,830" N	76° 18' 36,309" W	González (2010)	122	Edad integrada de baja confianza por bajo contenido de K que no permite obtener una edad de meseta
				1076874	1134002	MAGNA_Colombia_Oeste	5° 17' 24,702" N	75° 52' 07,392" W	González (2010)	122	Edad de fusión total de baja confianza por bajo contenido de K
			Se obtuvo las coordenadas del punto a partir de la georreferenciación del Anexo I	1112810	841438	MAGNA_Colombia_Bogota	5° 36' 52,509" N	75° 30' 30,837" W	Vinasco & Cordani (2012)	333	Edad de meseta, considerada como edad de enfriamiento. También publicada en Vinasco <i>et al.</i> (2003) [331]
				1472228	965508	MAGNA_Colombia_Bogota	8° 51' 58,111" N	74° 23' 27,884" W	Bernal <i>et al.</i> (2006b)	38	La edad se interpreta como asociada a un importante evento de cizallamiento producido por una actividad tectónica intensa de la Falla Palestina
			Se obtuvo las coordenadas del punto a partir de la georreferenciación de la Figura 1 y de la descripción del sitio de muestreo	821040	878511	MAGNA_Colombia_Oeste	2° 58' 38,178" N	78° 10' 12,942" W	Kerr <i>et al.</i> (1996)	152	
				1272694	931834	MAGNA_Colombia_Bogota	7° 03' 42,100" N	74° 41' 40,180" W	Leal Mejía (2011)	160	Edad de la mineralización de oro y de la alteración hidrotermal asociada
				1272694	931834	MAGNA_Colombia_Bogota	7° 03' 42,100" N	74° 41' 40,180" W	Leal Mejía (2011)	160	Edad de la alteración hidrotermal
			Localización suministrada por el profesor Jorge Julián RESTREPO	1176296	846676	MAGNA_Colombia_Bogota	6° 11' 19,041" N	75° 27' 45,812" W	Restrepo (1991b)	238	Edad mínima que corresponde al enfriamiento por debajo de 200 °C
			Se obtuvo las coordenadas del punto a partir de la georreferenciación de la Figura 1	823925	878975	MAGNA_Colombia_Oeste	3° 00' 12,097" N	78° 09' 58,015" W	Walker <i>et al.</i> (1991)	335	Edad calculada en una regresión isócrona
			Se obtuvo las coordenadas del punto a partir de la georreferenciación de la Figura 1	820557	876595	MAGNA_Colombia_Oeste	2° 58' 22,395" N	78° 11' 14,973" W	Walker <i>et al.</i> (1991)	335	Edad modelo
				971728	1097788	MAGNA_Colombia_Oeste	4° 20' 24,080" N	76° 11' 47,707" W	Kerr <i>et al.</i> (2004)	155	Edad de fusión total
				821138	876322	MAGNA_Colombia_Oeste	2° 58' 41,300" N	78° 11' 23,806" W	Serrano <i>et al.</i> (2011)	269	Edad de isócrona inversa
			Se obtuvo las coordenadas del punto a partir de la georreferenciación de la Figura 1	823940	878963	MAGNA_Colombia_Oeste	3° 00' 12,588" N	78° 09' 58,398" W	Walker <i>et al.</i> (1991)	335	Edad calculada en una regresión isócrona
			Se obtuvo las coordenadas del punto a partir de la georreferenciación de la Figura 1	820557	876595	MAGNA_Colombia_Oeste	2° 58' 22,395" N	78° 11' 14,973" W	Walker <i>et al.</i> (1991)	335	Edad calculada en una regresión isócrona
			Se obtuvo las coordenadas del punto a partir de la georreferenciación de la Figura 1 y de la descripción del sitio de muestreo	822933	878714	MAGNA_Colombia_Oeste	2° 59' 39,784" N	78° 10' 06,415" W	Kerr <i>et al.</i> (1996)	152	
20				979196	864163	MAGNA_Colombia_Bogota	4° 24' 25,400" N	75° 18' 04,500" W	Villagómez & Spikings (2013)	328	Edad pooled
			Se obtuvo las coordenadas del punto a partir de la georreferenciación de la Figura 1	1152826	903054	MAGNA_Colombia_Bogota	5° 58' 38,996" N	74° 57' 11,115" W	Ibáñez Mejía <i>et al.</i> (2007)	142	Edad de cristalización magnética
				971728	1097788	MAGNA_Colombia_Oeste	4° 20' 24,080" N	76° 11' 47,707" W	Kerr <i>et al.</i> (2004)	155	Edad de meseta
			Se obtuvo las coordenadas del punto a partir de la georreferenciación de la Plancha 1 y a partir de la descripción del sitio de muestreo	971096	1099293	MAGNA_Colombia_Oeste	4° 20' 03,433" N	76° 10' 58,936" W	Barrera (1979)	26	
				959554	1146973	MAGNA_Colombia_Oeste	4° 13' 45,508" N	75° 45' 13,546" W	González (2010)	122	Edad de isócrona inversa
32				1180189	1132218	MAGNA_Colombia_Oeste	6° 13' 27,400" N	75° 52' 58,300" W	Zapata (2013)	344	Edad media ponderada corregida por Pb común interpretada como la edad de cristalización del cuerpo ígneo

ID Datación Radiométrica	Código de la muestra	Unidad geológica	Litología	Edad años BP	Error años	Edad Ma	Error Ma	Edad grano simple menor detrítico	Edad grano simple mayor detrítico	Edad estratigráfica	Edades heredadas	Método de datación	Material analizado	Relación inicial	MSWD	P(X2) %
2693	COL 436	Formación Amaime	Picrita			88,95	± 3,27			Coniaciano (k3)		Ar–Ar	Roca total			
2694	Bol 94–15	Pegmatitas de Bolívar	Pegmatita intermedia deformada			88,96	± 2,1			Coniaciano (k3)		Ar–Ar	Hornblenda			
2695	Mo 404	Batolito de Buga	Cuarzodiorita			89	± 2			Coniaciano (k3)		K–Ar	Biotita			
2696	JR101R	Formación Amaime				89	± 4,9			Coniaciano (k3)		Ar–Ar	Roca total		0,26	
2697	JJ165	Gneis de Samaná				89				Coniaciano (k3)		Rb–Sr	Roca total	0,71		
2698	MW 73	Grupo Garzón	Granulita norítica			89	± 14			Coniaciano (k3)		Huellas de fisión	Circón			46
2699	CJ–42A	Complejo Quebradagrande	Toba milonítica			89	± 5			Coniaciano (k3)		Ar–Ar	Sericita			
2700	SML–1	Stock de Media Luna				89,1	± 1,3			Coniaciano (k3)		U–Pb	Circón		0,53	
2701	FS–11A	Granito	Granito			89,2	± 13			Coniaciano (k3)		Huellas de fisión LA–ICP–MS	Circón			0
2702	JM036R		Cuarzodiorita hornbléndica			89,22	± 0,69			Coniaciano (k3)		Ar–Ar	Hornblenda		0,41	
2703	JR101R	Formación Amaime				89,5	± 2,5			Coniaciano (k3)		Ar–Ar	Roca total		0,51	
2704	Bol 94–15	Pegmatitas de Bolívar	Pegmatita intermedia deformada			89,58	± 4,82			Coniaciano (k3)		Ar–Ar	Hornblenda			
2705	Bol 94–18	Pegmatitas de Bolívar	Pegmatita intermedia			89,77	± 2,76			Coniaciano (k3)		Ar–Ar	Hornblenda			
2706	CJ–42B	Complejo Quebradagrande	Toba milonítica			89,8	± 1,1			Turoniano (k2)–Coniaciano (k3)		Ar–Ar	Biotita			
2707	CJV–09	Batolito de Santa Fe de Antioquia	Gabro			89,9	± 0,6			Turoniano (k2)		Ar–Ar	Anfibol			
2708	COL 436	Formación Amaime	Picrita			89,91	± 3,59			Turoniano (k2)		Ar–Ar	Roca total			
2709	RG–1 6540–6550	Sucesión volcanosedimentaria de Remolínogrande				90	± 8,5			Turoniano (k2)		Ar–Ar	Roca total		0,68	
2710	Mo 567	Complejo de Santa Rosa–Córdoba	Diorita			90	± 4			Turoniano (k2)		K–Ar	Hornblenda			
2711	Tablazo–I–SS	Formación Tablazo				90	± 6,4			Turoniano (k2)		Huellas de fisión EDM	Apatito		<1	
2712	2913	Anfíbitolas de Medellín				90	± 10			Turoniano (k2)		K–Ar	Anfibol			
2713	CJV–09	Batolito de Santa Fe de Antioquia	Gabro			90	± 20			Turoniano (k2)		Ar–Ar	Anfibol			
2714	Din 12–3L	Grupo Honda				90,1	± 1,9			Turoniano (k2)		Huellas de fisión	Circón		95–48	
2715	Bol 94–18	Pegmatitas de Bolívar	Pegmatita intermedia			90,29	± 1,3			Turoniano (k2)		Ar–Ar	Hornblenda		0,59	
2716	10RC72	Complejo Arquía (?)	Anfibolita			90,5	± 0,5			Turoniano (k2)		U–Pb LA–ICP–MS	Circón		2,5	
2717	JTBol–4	Pegmatitas de Bolívar	Pegmatita máfica			90,53	± 1,87			Turoniano (k2)		Ar–Ar	Hornblenda			
2718	DV91	Batolito de Buga	Diorita			90,6	± 1,3			Turoniano (k2)		U–Pb LA–ICP–MS	Circón		0,38	
2719	RG–1 5680–5690	Sucesión volcanosedimentaria de Remolínogrande				90,7	± 7,2			Turoniano (k2)		Ar–Ar	Roca total		1,1	
2720	JM036R		Cuarzodiorita hornbléndica			90,81	± 0,59			Turoniano (k2)		Ar–Ar	Hornblenda			
2721	5	Batolito de Santa Marta	Cuarzodiorita			91				Turoniano (k2)		Rb–Sr	Biotita	0,7359 ± 0,0036		
2722	WDM–991	Esquistos de Santa Marta, Formación Rodadero	Anfibolita			91	± 25			Turoniano (k2)		K–Ar	Hornblenda			
2723	BC–79–3	Cuarzomonzonita de Santa Bárbara	Cuarzomonzonita			91	± 11			Turoniano (k2)		Huellas de fisión	Circón			
2724	MW 75	Grupo Garzón	Roca calcosilicática			91	± 12			Turoniano (k2)		Huellas de fisión	Circón			62
2725	AD–5	Stock de Buriticá	Tonalita			91,1	± 6,4			Turoniano (k2)		K–Ar	Hornblenda			
2726	RG–1 7490–7500	Sucesión volcanosedimentaria de Remolínogrande	Basalto			91,2	± 6,7			Turoniano (k2)		Ar–Ar	Roca total			
2727	JTBol–4	Pegmatitas de Bolívar	Pegmatita máfica			91,46	± 2,05			Turoniano (k2)		Ar–Ar	Hornblenda		1,62	
2728	DV06	Batolito de Ibagué	Granito			91,6	± 12,9			Turoniano (k2)		Ar–Ar	Ortoclasa		> 100	

Dispersión %	Número de granos analizados	Número de alicuotas	Fuente georreferenciación	Coordenada X	Coordenada Y	Sistema de coordenadas	Latitud	Longitud	Referencia	ID referencia	Comentarios
			Se obtuvo las coordenadas del punto a partir de la georreferenciación de la Figura 1	869120	1097656	MAGNA_Colombia_Oeste	3° 24' 43,990" N	76° 11' 55,461" W	Kerr <i>et al.</i> (2002)	154	Edad de meseta
				971728	1097788	MAGNA_Colombia_Oeste	4° 20' 24,080" N	76° 11' 47,707" W	Kerr <i>et al.</i> (2004)	155	Edad de fusión total
			Localización tomada de De Armas (1984) [88]	920922	1100312	MAGNA_Colombia_Oeste	3° 52' 50,146" N	76° 10' 27,738" W	Brook (1984)	53	Edad asociada al resetamiento parcial durante el último fallamiento
				944873	1116235	MAGNA_Colombia_Oeste	4° 05' 49,154" N	76° 01' 50,715" W	González (2010)	122	Edad de isócrona inversa
			Localización suministrada por el profesor Jorge Julián RESTREPO	1154141	905808	MAGNA_Colombia_Bogota	5° 59' 21,915" N	74° 55' 41,648" W	Restrepo <i>et al.</i> (1991)	239	Edad convencional
7			Se obtuvo las coordenadas del punto a partir de la georreferenciación de la Figura 6	751101	851390	MAGNA_Colombia_Bogota	2° 20' 40,844" N	75° 24' 48,553" W	van der Wiel & Andriessen (1991)	310	
			Se obtuvo las coordenadas del punto a partir de la georreferenciación del Anexo 1	1112810	841438	MAGNA_Colombia_Bogota	5° 36' 52,509" N	75° 30' 30,837" W	Vinasco & Cordani (2012)	333	Edad integrada interpretada como la edad de un episodio deformacional. También publicada en Vinasco <i>et al.</i> (2003) [331]
			Localización suministrada por el profesor Jorge Julián RESTREPO	1181573	840640	MAGNA_Colombia_Bogota	6° 14' 10,230" N	75° 31' 02,560" W	Restrepo <i>et al.</i> (2012)	243	Edad de cristalización magmática
44	13			1138656	1134345	MAGNA_Colombia_Bogota	5° 50' 55,500" N	72° 51' 52,140" W	Parra <i>et al.</i> (2009b)	219	Edad discordante parcialmente reseteada
				959554	1146973	MAGNA_Colombia_Oeste	4° 13' 45,508" N	75° 45' 13,546" W	González (2010)	122	Edad de meseta interpretada como enfriamiento, la cual debe ser muy proxima a la de cristalización magmática por ser un cuerpo hipoabais
				944873	1116235	MAGNA_Colombia_Oeste	4° 05' 49,154" N	76° 01' 50,715" W	González (2010)	122	Edad de meseta
				971728	1097788	MAGNA_Colombia_Oeste	4° 20' 24,080" N	76° 11' 47,707" W	Kerr <i>et al.</i> (2004)	155	Edad de isócrona inversa
				971728	1097788	MAGNA_Colombia_Oeste	4° 20' 24,080" N	76° 11' 47,707" W	Kerr <i>et al.</i> (2004)	155	Edad de isócrona inversa
			Se obtuvo las coordenadas del punto a partir de la georreferenciación del Anexo 1	1112810	841438	MAGNA_Colombia_Bogota	5° 36' 52,509" N	75° 30' 30,837" W	Vinasco & Cordani (2012)	333	Edad de meseta, considerada como edad de enfriamiento. También publicada en Vinasco <i>et al.</i> (2003) [331]
			Se obtuvo las coordenadas del punto a partir de la georreferenciación del Anexo 1	1222823	1134363	MAGNA_Colombia_Oeste	6° 36' 34,800" N	75° 51' 45,244" W	Vinasco & Cordani (2012)	333	Edad integrada interpretada como edad de enfriamiento después de la cristalización. También publicada en Vinasco <i>et al.</i> (2003) [331]
			Se obtuvo las coordenadas del punto a partir de la georreferenciación de la Figura 1	869120	1097656	MAGNA_Colombia_Oeste	3° 24' 43,990" N	76° 11' 55,461" W	Kerr <i>et al.</i> (2002)	154	Edad de fusión total
				739533	839861	MAGNA_Colombia_Oeste	2° 14' 23,962" N	78° 31' 01,200" W	Agencia Nacional de Hidrocarburos & Universidad de Caldas (2011a)	3	Edad de isócrona inversa, muestra de ripios recuperados del pozo Remolino grande-1. La Sucesión Volcanosedimentaria de Remolino grande secuencia superior se correlacionada con el Grupo Diabásico y la Formación Volcánica
									Brook (1984)	53	Edad de intrusión
21									Gómez <i>et al.</i> (2005)	116	
									Restrepo <i>et al.</i> (1991)	239	
			Se obtuvo las coordenadas del punto a partir de la georreferenciación del Anexo 1	1222823	1134363	MAGNA_Colombia_Oeste	6° 36' 34,800" N	75° 51' 45,244" W	Vinasco & Cordani (2012)	333	Edad integrada interpretada como edad de enfriamiento después de la cristalización. También publicada en Vinasco <i>et al.</i> (2003) [331]
<1	6-8		Se obtuvo la localización del pozo Dina-12 del sitio web del EPIS	833172	862320	MAGNA_Colombia_Bogota	3° 05' 12,504" N	75° 18' 57,601" W	Schwabe (2001)	267	Edad central ponderada Dín 12-3L (ES) y Dín 12-3L (GT), muestra del pozo Dina-12 a 3440 pies de profundidad
				971728	1097788	MAGNA_Colombia_Oeste	4° 20' 24,080" N	76° 11' 47,707" W	Kerr <i>et al.</i> (2004)	155	Edad de meseta
	20			861187	1100979	MAGNA_Colombia_Oeste	3° 20' 25,656" N	76° 10' 08,040" W	Cochrane (2013)	79	Edad concordante media ponderada
				971728	1097788	MAGNA_Colombia_Oeste	4° 20' 24,080" N	76° 11' 47,707" W	Kerr <i>et al.</i> (2004)	155	Edad de fusión total
	20			925855	1092449	MAGNA_Colombia_Oeste	3° 55' 31,000" N	76° 14' 42,400" W	Villagómez <i>et al.</i> (2011a)	326	Edad media ponderada
				739533	839861	MAGNA_Colombia_Oeste	2° 14' 23,962" N	78° 31' 01,200" W	Agencia Nacional de Hidrocarburos & Universidad de Caldas (2011a)	3	Edad de isócrona inversa, muestra de ripios recuperados del pozo Remolino grande-1. La Sucesión Volcanosedimentaria de Remolino grande secuencia superior se correlacionada con el Grupo Diabásico y la Formación Volcánica
				959554	1146973	MAGNA_Colombia_Oeste	4° 13' 45,508" N	75° 45' 13,546" W	González (2010)	122	Edad integrada
			Se obtuvo las coordenadas del punto a partir de la georreferenciación de la Figura 3	1739341	1015024	MAGNA_Colombia_Bogota	11° 16' 52,286" N	73° 56' 23,645" W	Fujiyoshi <i>et al.</i> (1976)	107	
			Se obtuvo las coordenadas del punto a partir de la georreferenciación de la Figura 2	1741623	1001090	MAGNA_Colombia_Bogota	11° 18' 06,655" N	74° 04' 03,093" W	MacDonald <i>et al.</i> (1971)	166	
10			Se obtuvo las coordenadas del punto a partir de la georreferenciación de la Figura 7	1260439	1124470	MAGNA_Colombia_Bogota	6° 56' 59,832" N	72° 57' 04,396" W	Shagam <i>et al.</i> (1984)	270	
6			Se obtuvo las coordenadas del punto a partir de la georreferenciación de la Figura 6	748480	844482	MAGNA_Colombia_Bogota	2° 19' 15,313" N	75° 28' 31,974" W	van der Wiel & Andriessen (1991)	310	
									Gobel & Stibane (1981)	112	
				739533	839861	MAGNA_Colombia_Oeste	2° 14' 23,962" N	78° 31' 01,200" W	Agencia Nacional de Hidrocarburos & Universidad de Caldas (2011a)	3	Edad de meseta, muestra de ripios recuperados del pozo Remolino grande-1. La Sucesión Volcanosedimentaria de Remolino grande secuencia superior se correlacionada con el Grupo Diabásico y la Formación Volcánica
				971728	1097788	MAGNA_Colombia_Oeste	4° 20' 24,080" N	76° 11' 47,707" W	Kerr <i>et al.</i> (2004)	155	Edad de meseta
				978687	864909	MAGNA_Colombia_Bogota	4° 24' 08,900" N	75° 17' 40,300" W	Villagómez & Spikings (2013)	328	Edad de isócrona inversa

ID Datación Radiométrica	Código de la muestra	Unidad geológica	Litología	Edad años BP	Error años	Edad Ma	Error Ma	Edad grano simple menor detrítico	Edad grano simple mayor detrítico	Edad estratigráfica	Edades heredadas	Método de datación	Material analizado	Relación inicial	MSWD	P(X2) %
2729	PAN 6	Complejo cordillera Occidental	Dolerita			91,7	$\pm$ 2,7			Turoniano (k2)		Ar–Ar	Roca total			
2730	S-5R					91,8	$\pm$ 3,7			Turoniano (k2)		Huellas de fisión	Circón			82
2731	HC64-060-001	Esquistos de Armenia	Esquisto			92	$\pm$ 5			Turoniano (k2)		K–Ar	Roca total			
2732	JJ701	Stock de Amagá	Aplita			92	$\pm$ 4			Turoniano (k2)		K–Ar	Roca total			
2733	CJV-07	Tonalita de Buriticá	Gabro			92	$\pm$ 2			Turoniano (k2)		Ar–Ar	Anfibol			
2734	CJV-07	Tonalita de Buriticá	Gabro			92	$\pm$ 3			Turoniano (k2)		Ar–Ar	Anfibol			
2735	DV30	Batolito de Buga	Tonalita			92,1	$\pm$ 0,8			Turoniano (k2)		U–Pb LA–ICP–MS	Circón		0,66	
2736	JM032R	Complejo Ofiolítico de Ginebra	Gabro hornbléndico			92,8	$\pm$ 2,5			Turoniano (k2)		Ar–Ar	Hornblenda		1,5	
2737	IGM 186063	Gabro de La Corona	Gabro			92,9	$\pm$ 9,3			Turoniano (k2)		K–Ar	Roca total			
2738	2837 A	Anfibolita de El Retiro	Anfibolita			93	$\pm$ 5			Turoniano (k2)		K–Ar	Hornblenda			
2739	BC-79-1	Granito de Pescadero	Granito			93	$\pm$ 10			Turoniano (k2)		Huellas de fisión	Circón			
2740	CJ-42A	Complejo Quebradagrande	Toba milonítica			93	$\pm$ 14			Turoniano (k2)		Ar–Ar	Sericita			
2741	COL 354	Formación Amaime	Picrita			93,21	$\pm$ 3,6			Turoniano (k2)		Ar–Ar	Vidrio picítico			
2742	S-2					93,3	$\pm$ 3,1			Turoniano (k2)		Huellas de fisión	Circón			45
2743	WR-222	Stock de Mariquita	Leucogranodiorita			93,5	$+ 1,5/- 1,3$			Turoniano (k2)		U–Pb LA–MC–ICP–MS	Circón			
2744	S-2R (población 1)					93,5	$\pm$ 2,6			Turoniano (k2)		Huellas de fisión	Circón			69
2745	DV58	Batolito Antioqueño	Granito			93,5	$\pm$ 1,5			Turoniano (k2)		U–Pb LA–ICP–MS	Circón		1,3	
2746	Mo 416	Batolito de Buga	Cuarzodiorita			94	$\pm$ 2			Cenomaniano (k1)		K–Ar	Hornblenda			
2747	Mo 424-430, Mo 432-437	Stock el Tambor	Leucotonalita			94	$\pm$ 16			Cenomaniano (k1)		Rb–Sr	Roca total		0,30	
2748	Mo 579	Complejo El Rosario	Anfibolita			94	$\pm$ 12			Cenomaniano (k1)		K–Ar	Hornblenda			
2749	JJ1342	Diorita de San Diego	Diorita			94	$\pm$ 0,9			Cenomaniano (k1)		U–Pb ID–TIMS	Circón		0,12	
2750	CM087R	Formación Amaime				94	$\pm$ 55			Cenomaniano (k1)		Ar–Ar	Roca total		0,0078	
2751	BC-79-13		Granodiorita-tonalita			94	$\pm$ 8			Cenomaniano (k1)		Huellas de fisión	Circón			
2752	Gor 114	Volcánico de Gorgona	Toleita			94	$\pm$ 14			Cenomaniano (k1)		Re–Os			1,13 $\pm$ 0,10	
2753	Din 12-1R(2)	Grupo Honda				94,1	$\pm$ 4,7			Cenomaniano (k1)		Huellas de fisión	Circón			<1
2754	IGM 185949	Gabro de Rodrigoque	Gabro			94,3	$\pm$ 4,4			Cenomaniano (k1)		K–Ar	Hornblenda			
2755	CGP4	Formación Combia				94,56	$\pm$ 3,3			Cenomaniano (k1)		Huellas de fisión	Circón			3
2756	PAN 6	Complejo cordillera Occidental	Dolerita			94,7	$\pm$ 6,4			Cenomaniano (k1)		Ar–Ar	Roca total			
2757	DV28	Complejo Arquía	Anfibolita granatífera			94,8	$\pm$ 32,8			Cenomaniano (k1)		Ar–Ar	Hornblenda		0,21	
2758	G02G2-09					95	$\pm$ 12,8			Cenomaniano (k1)		Ar–Ar	Roca total		1,6	
2759		Gabro de Rodrigoque	Diorita			95				Cenomaniano (k1)		K–Ar				
2760		Riodacita de Ipápure–Cerro La Teta				95				Cenomaniano (k1)		K–Ar	Roca total			
2761	2839 A	Gabro de Altamira	Gabro			95	$\pm$ 4			Cenomaniano (k1)		K–Ar	Plagioclasa			
2762	3019	Grupo Cañasgordas	Lodolita pizarrosa			95	$\pm$ 5			Cenomaniano (k1)		K–Ar				

Dispersión %	Número de gramos analizados	Número de alicuotas	Fuente georreferenciación	Coordenada X	Coordenada Y	Sistema de coordenadas	Latitud	Longitud	Referencia	ID referencia	Comentarios
			Sé obtuvo las coordenadas del punto a partir de la georreferenciación de la Figura 3	895037	1064531	MAGNA_Colombia_Oeste	3° 38' 48,497" N	76° 29' 47,967" W	Kerr <i>et al.</i> (1997)	153	Edad de meseta
<1	5		Se obtuvo la localización del pozo Suárez-1 del sitio web del EPIS	933352	917596	MAGNA_Colombia_Bogota	3° 59' 35,349" N	74° 49' 10,284" W	Schwabe (2001)	267	Edad central, muestra del pozo Suárez-1 a 10000–10107 pies de profundidad
				1472228	965508	MAGNA_Colombia_Bogota	8° 51' 58,111" N	74° 23' 27,884" W	Bernal <i>et al.</i> (2006b)	38	Edad media ponderada que se interpreta como asociada a un importante evento de cizallamiento producido por una actividad tectónica intensa de la Falla Palestina
			Localización suministrada por el profesor Jorge Julián RESTREPO	1154980	1156559	MAGNA_Colombia_Oeste	5° 59' 45,038" N	75° 39' 48,844" W	Restrepo <i>et al.</i> (1991)	239	
			Se obtuvo las coordenadas del punto a partir de la georreferenciación del Anexo 1	1231947	1128005	MAGNA_Colombia_Oeste	6° 41' 32,243" N	75° 55' 11,503" W	Vinasco & Cordani (2012)	333	Edad de meseta, la edad ca. 90 Ma es considerada como edad de enfriamiento del granitoide cerca a la temperatura de cierre para anfíboles 450 °C. También publicada en Vinasco <i>et al.</i> (2003) [331]
			Se obtuvo las coordenadas del punto a partir de la georreferenciación del Anexo 1	1231947	1128005	MAGNA_Colombia_Oeste	6° 41' 32,243" N	75° 55' 11,503" W	Vinasco & Cordani (2012)	333	Edad integrada, también publicada en Vinasco <i>et al.</i> (2003) [331]
43				923393	1099610	MAGNA_Colombia_Oeste	3° 54' 10,600" N	76° 10' 50,400" W	Villagómez <i>et al.</i> (2011a)	326	Edad media ponderada
				926776	1097564	MAGNA_Colombia_Oeste	3° 56' 00,796" N	76° 11' 56,584" W	González (2010)	122	Edad de meseta interpretada como de alteración hidrotermal
				1104006	984502	MAGNA_Colombia_Bogota	5° 32' 12,138" N	74° 13' 02,542" W	Fabre & Delaloye (1983)	99	
			Las coordenadas (6° 09' N, 75° 31' W) reportadas por los autores no coinciden con la localización de la datación en la Figura 1. Se obtuvo las coordenadas del punto a partir de la georreferenciación de esta figura	1166721	843452	MAGNA_Colombia_Bogota	6° 06' 07,155" N	75° 29' 29,848" W	Restrepo & Toussaint (1981b)	231	Edad no compatible con las evidencias geológicas, no representa la edad del metamorfismo de la cordillera Central. Se tomó la edad calculada con la constante de 1976. Para esta muestra se había publicado anteriormente una edad de 90,8 ± 4,5 calculada con otra constante
12			Se obtuvo las coordenadas del punto a partir de la georreferenciación de la Figura 7	1248286	1120231	MAGNA_Colombia_Bogota	6° 50' 24,600" N	72° 59' 23,391" W	Shagam <i>et al.</i> (1984)	270	
			Se obtuvo las coordenadas del punto a partir de la georreferenciación del Anexo 1	1112810	841438	MAGNA_Colombia_Bogota	5° 36' 52,509" N	75° 30' 30,837" W	Vinasco & Cordani (2012)	333	Edad integrada interpretada como la edad de un episodio deformacional. También publicada en Vinasco <i>et al.</i> (2003) [331]
			Se obtuvo las coordenadas del punto a partir de la georreferenciación de la Figura 1	743905	1040683	MAGNA_Colombia_Oeste	2° 16' 48,702" N	76° 42' 42,337" W	Kerr <i>et al.</i> (2002)	154	Edad de meseta
<1	9		Se obtuvo la localización del pozo Suárez-1 del sitio web del EPIS	933352	917596	MAGNA_Colombia_Bogota	3° 59' 35,349" N	74° 49' 10,284" W	Schwabe (2001)	267	Edad central, muestra del pozo Suárez-1 a 8470–8610 pies de profundidad
				1068238	907231	MAGNA_Colombia_Bogota	5° 12' 45,800" N	74° 54' 51,400" W	Leal Mejía (2011)	160	Interpretada como la edad de cristalización magmática
<1	7		Se obtuvo la localización del pozo Suárez-1 del sitio web del EPIS	933352	917596	MAGNA_Colombia_Bogota	3° 59' 35,349" N	74° 49' 10,284" W	Schwabe (2001)	267	Edad central de población 1, muestra del pozo Suárez-1 a 8470–8610 pies de profundidad, edad obtenida por la profesora Gloria Elena TORO de la Universidad EAFIT
14				1157388	882771	MAGNA_Colombia_Bogota	6° 01' 06,300" N	75° 08' 10,800" W	Villagómez <i>et al.</i> (2011a)	326	Edad media ponderada interpretada como la edad de cristalización y emplazamiento
			Localización tomada de De Armas (1984) [88]	930381	1106506	MAGNA_Colombia_Oeste	3° 57' 57,827" N	76° 07' 06,649" W	Brook (1984)	53	Edad aproximada a la edad de intrusión del cuerpo
									Brook (1984)	53	Edad calculada en una isócrona de 13 muestras
									Brook (1984)	53	Edad de reseteamiento, fallamiento N–S
			Localización tomada de Correa Martínez (2007) [83]	1180814	1166996	MAGNA_Colombia_Oeste	6° 13' 44,854" N	75° 34' 07,248" W	Correa Martínez <i>et al.</i> (2006)	82	Edad concordia interpretada como de cristalización magmática
				878693	1098023	MAGNA_Colombia_Oeste	3° 29' 55,595" N	76° 11' 43,267" W	González (2010)	122	Edad de isócrona inversa
8			Se obtuvo las coordenadas del punto a partir de la georreferenciación de la Figura 7	1291805	1130071	MAGNA_Colombia_Bogota	7° 14' 00,186" N	72° 53' 59,384" W	Shagam <i>et al.</i> (1984)	270	
			Se obtuvo las coordenadas del punto a partir de la georreferenciación de la Figura 1	823940	878963	MAGNA_Colombia_Oeste	3° 00' 12,588" N	78° 09' 58,398" W	Walker <i>et al.</i> (1991)	335	Edad modelo
40,5	12		Se obtuvo la localización del pozo Dina-12 del sitio web del EPIS	833172	862320	MAGNA_Colombia_Bogota	3° 05' 12,504" N	75° 18' 57,601" W	Schwabe (2001)	267	Edad central, muestra del pozo Dina-12 a 2064 pies de profundidad
				1168100	860015	MAGNA_Colombia_Este	6° 06' 53,376" N	72° 20' 31,429" W	Fabre & Delaloye (1983)	99	Esta datación fue publicada en Delaloye & Fabre (1982) [90]
0	2		Se obtuvo la localización de la sección Guineales-Pehálisa, a lo largo de la cual se tomaron las muestras, a partir de la georreferenciación de la Figura 6	1145875	1132392	MAGNA_Colombia_Oeste	5° 54' 50,587" N	75° 52' 55,094" W	Ramirez <i>et al.</i> (2006)	226	Edad central de población 2, interpretada como resultado de eventos sintéticos generados a lo largo del Sistema de Fallas de Romeral en los que se dio el retrabajo del basamento cretácico y del miembro inferior de la Formación Amagá, coáreanamente con los eventos volcánicos, entre 10 y 6 Ma, que dieron origen a la Formación Combia
			Se obtuvo las coordenadas del punto a partir de la georreferenciación de la Figura 3	895037	1064531	MAGNA_Colombia_Oeste	3° 38' 48,497" N	76° 29' 47,967" W	Kerr <i>et al.</i> (1997)	153	Edad de isócrona inversa
				976201	1150785	MAGNA_Colombia_Oeste	4° 22' 47,100" N	75° 43' 09,000" W	Villagómez & Spikings (2013)	328	Edad de isócrona inversa
				816389	874747	MAGNA_Colombia_Oeste	2° 56' 06,650" N	78° 12' 14,659" W	Agencia Nacional de Hidrocarburos & Universidad de Caldas (2011a)	3	Edad de isócrona inversa. Dique de Gorgona
									Delaloye & Fabre (1982)	90	Muestra tomada cerca a la salina de Chita, departamento de Boyacá
									MacDonald & Opdyke (1972)	167	Muestra tomada en el cerro La Teta, departamento de La Guajira
			Localización suministrada por el profesor Jorge Julián RESTREPO	1178676	1133619	MAGNA_Colombia_Oeste	6° 12' 38,055" N	75° 52' 12,864" W	Restrepo & Toussaint (1981b)	231	Se tomó la edad calculada con la constante de 1976, para esta muestra se habían publicado anteriormente las edades de 77,4 ± 7,7 Ma y 92,5 ± 4,2 Ma calculadas con otras constantes
			Localización suministrada por el profesor Jorge Julián RESTREPO	1264373	1091107	MAGNA_Colombia_Oeste	6° 59' 10,105" N	76° 15' 10,889" W	Restrepo <i>et al.</i> (1981c)	235	Interpretada por el autor como una edad asociada a la diagénesis

ID Datación Radiométrica	Código de la muestra	Unidad geológica	Litología	Edad años BP	Error años	Edad Ma	Error Ma	Edad grano simple menor detrítico	Edad grano simple mayor detrítico	Edad estratigráfica	Edades heredadas	Método de datación	Material analizado	Relación inicial	MSWD	P(X2) %
2763	CJV-07	Tonalita de Buriticá	Gabro			95	$\pm 4$			Cenomaniano (k1)		Ar–Ar	Anfibol			
2764	JTBol-4	Pegmatitas de Bolívar	Pegmatita mafica			95,21	$\pm 3,65$			Cenomaniano (k1)		Ar–Ar	Hornblenda			
2765	S-1					95,3	$\pm 3,1$			Cenomaniano (k1)			Huellas de fisión	Circón		36
2766	LC13	Gabro de La Corona	Diorita			95,4	$\pm 3,4$			Cenomaniano (k1)		Ar–Ar	Hornblenda		1,6	
2767	ER097R	Gabros del Complejo Ofiolítico de Ginebra	Gabro hornblénico			95,5	$\pm 4$			Cenomaniano (k1)		Ar–Ar	Hornblenda		1,3	
2768	LC13	Gabro de La Corona	Diorita			95,5	$\pm 2,9$			Cenomaniano (k1)		Ar–Ar	Hornblenda			
2769	DV94	Pegmatitas de Bolívar	Pegmatita			95,5	$\pm 1,1$			Cenomaniano (k1)			U–Pb LA–ICP–MS	Circón	0,26	
2770		Stock del Pescado	Cuarzodiorita			95,6	$\pm 3,3$			Cenomaniano (k1)		K–Ar	Biotita			
2771	HC64–060–001	Esquistos de Armenia	Esquisto			96	$\pm 6$			Cenomaniano (k1)		K–Ar	Roca total			
2772	AC–75	Diorita de Altavista	Diorita			96	$\pm 0,39$			Cenomaniano (k1)			U–Pb ID–TIMS	Circón		1,15
2773		Macizo Ofiolítico de Ginebra–Anfibolita de Guabas	Anfibolita			96	$\pm 3$			Cenomaniano (k1)		K–Ar				
2774		Batolito de Buga	Cuarzodiorita			96	$\pm 4,1$			Cenomaniano (k1)		K–Ar	Biotita			
2775	2838	Gneis de Palmitas	Gneis			96	$\pm 5$			Cenomaniano (k1)		K–Ar	Biotita			
2776	2957	Stock de Altavista	Diorita			96				Cenomaniano (k1)		Rb–Sr	Roca total	0,705		
2777	Bol 94–22	Pegmatitas de Bolívar	Pegmatita mafica			96,15	$\pm 3,71$			Cenomaniano (k1)		Ar–Ar	Hornblenda			1,67
2778	Din 12–3L	Grupo Honda				96,4	$\pm 3,5$			Cenomaniano (k1)			Huellas de fisión	Circón		95
2779	Bol 94–22	Pegmatitas de Bolívar	Pegmatita mafica			96,41	$\pm 10,97$			Cenomaniano (k1)		Ar–Ar	Hornblenda			
2780	CJ–42B	Complejo Quebradagrande	Toba milonítica			96,6	$\pm 1,1$			Cenomaniano (k1)		Ar–Ar	Biotita			
2781	LC13	Gabro de La Corona	Diorita			96,7	$\pm 0,4$			Cenomaniano (k1)		Ar–Ar	Hornblenda			
2782	LC13	Gabro de La Corona	Diorita			96,7	$\pm 0,2$			Cenomaniano (k1)		Ar–Ar	Hornblenda			
2783	AEB 81R	Secuencia Ofiolítica de Los Azules	Lava			97	$\pm 7$			Cenomaniano (k1)		K–Ar	Roca total			
2784	AEB 59C2	Secuencia Ofiolítica de Los Azules, Gabro de Guayabillas	Gabro			97	$\pm 7$			Cenomaniano (k1)		K–Ar	Hornblenda			
2785		Stock de Irra	Monzonita			97	$\pm 10$			Cenomaniano (k1)		K–Ar	Biotita			
2786	2921–A	Batolito de Sabanalarga	Cuarzodiorita			97	$\pm 10$			Cenomaniano (k1)		K–Ar	Biotita			
2787	UNM 2998	Latiandesita de Llanitos	Pórfido latiandesítico			97	$\pm 3$			Cenomaniano (k1)		K–Ar				
2788	JJ159	Anfibolitas de Medellín				97	$\pm 15$			Cenomaniano (k1)		K–Ar	Anfibol			
2789	2922A	Gneis de Pescadero	Gneis			97	$\pm 5$			Cenomaniano (k1)		K–Ar	Moscovita			
2790	Gor 135	Volcánico de Gorgona	Dique de picrita			97				Cenomaniano (k1)		Re–Os		1,06		
2791	DV95	Pegmatitas de Bolívar	Pegmatita			97,1	$\pm 2,0$			Cenomaniano (k1)			U–Pb LA–ICP–MS	Circón	1,2	
2792	LC13	Gabro de La Corona	Diorita			97,5	$\pm 0,2$			Cenomaniano (k1)		Ar–Ar	Hornblenda			
2793	DV89B	Complejo Arquia	Esquisto anfibólico			97,5	$\pm 3,7$			Cenomaniano (k1)		Ar–Ar	Hornblenda			
2794	LC13	Gabro de La Corona	Diorita			97,8	$\pm 0,1$			Cenomaniano (k1)		Ar–Ar	Hornblenda			
2795	AEB 59B	Secuencia Ofiolítica de Los Azules	Gabro			98	$\pm 4$			Cenomaniano (k1)		K–Ar	Hornblenda			
2796		Batolito de Sabanalarga	Cuarzodiorita			98	$\pm 3,5$			Cenomaniano (k1)		K–Ar	Hornblenda			

Dispersión %	Número de granos analizados	Número de alicuotas	Fuente georreferenciación	Coordenada X	Coordenada Y	Sistema de coordenadas	Latitud	Longitud	Referencia	ID referencia	Comentarios
			Se obtuvo las coordenadas del punto a partir de la georreferenciación del Anexo 1	1231947	1128005	MAGNA_Colombia_Oeste	6° 41' 32,243" N	75° 55' 11,503" W	Vinasco & Cordani (2012)	333	Edad de meseta, también publicada en Vinasco <i>et al.</i> (2003) [331]
				971728	1097788	MAGNA_Colombia_Oeste	4° 20' 24,080" N	76° 11' 47,707" W	Kerr <i>et al.</i> (2004)	155	Edad de isócrona inversa
29	15		Se obtuvo la localización del pozo Suárez-1 del sitio web del EPIS	933352	917596	MAGNA_Colombia_Bogota	3° 59' 35,349" N	74° 49' 10,284" W	Schwabe (2001)	267	Edad central, muestra del pozo Suárez-1 a 7600-7740 pies de profundidad, edad obtenida por la profesora Gloria Elena TORO de la Universidad EAFIT
				1104682	988373	MAGNA_Colombia_Bogota	5° 32' 34,192" N	74° 10' 56,798" W	Vásquez <i>et al.</i> (2010)	318	Edad de isócrona inversa en muestra duplicado
				898303	1098007	MAGNA_Colombia_Oeste	3° 40' 33,943" N	76° 11' 43,186" W	González (2010)	122	Edad de meseta interpretada como de alteración hidrotermal
				1104682	988373	MAGNA_Colombia_Bogota	5° 32' 34,192" N	74° 10' 56,798" W	Vásquez <i>et al.</i> (2010)	318	Edad de isócrona normal en muestra duplicado
	22			971778	1097903	MAGNA_Colombia_Oeste	4° 20' 25,700" N	76° 11' 44,000" W	Villagómez <i>et al.</i> (2011a)	326	Edad media ponderada
				1301594	851513	MAGNA_Colombia_Bogota	7° 19' 17,095" N	75° 25' 19,771" W	Hall <i>et al.</i> (1972)	128	
				1472228	965508	MAGNA_Colombia_Bogota	8° 51' 58,111" N	74° 23' 27,884" W	Bernal <i>et al.</i> (2006b)	38	La edad se interpreta como asociada a un importante evento de cizallamiento producido por una actividad tectónica intensa de la Falla Palestina
		Localización tomada de Correa Martínez (2007) [83]		1180621	1159316	MAGNA_Colombia_Oeste	6° 13' 39,252" N	75° 38' 17,009" W	Correa Martinez <i>et al.</i> (2006)	82	Edad concordia interpretada como de cristalización magmática
									Espinosa (1985)	98	Muestra tomada en el río Guabas
		Se obtuvo las coordenadas del punto a partir de la georreferenciación de la Figura 8		921669	1100926	MAGNA_Colombia_Oeste	3° 53' 14,465" N	76° 10' 07,808" W	González & Londoño (1998)	121	
									Restrepo <i>et al.</i> (1991)	239	
									Restrepo <i>et al.</i> (1991)	239	Edad convencional
				971728	1097788	MAGNA_Colombia_Oeste	4° 20' 24,080" N	76° 11' 47,707" W	Kerr <i>et al.</i> (2004)	155	Edad de meseta
<1	6	Se obtuvo la localización del pozo Dina-12 del sitio web del EPIS		833172	862320	MAGNA_Colombia_Bogota	3° 05' 12,504" N	75° 18' 57,601" W	Schwabe (2001)	267	Edad central, muestra del pozo Dina-12 a 3440 pies de profundidad
				971728	1097788	MAGNA_Colombia_Oeste	4° 20' 24,080" N	76° 11' 47,707" W	Kerr <i>et al.</i> (2004)	155	Edad de isócrona inversa
		Se obtuvo las coordenadas del punto a partir de la georreferenciación del Anexo 1		1112810	841438	MAGNA_Colombia_Bogota	5° 36' 52,509" N	75° 30' 30,837" W	Vinasco & Cordani (2012)	333	Edad integrada, también publicada en Vinasco <i>et al.</i> (2003) [331]
				1104682	988373	MAGNA_Colombia_Bogota	5° 32' 34,192" N	74° 10' 56,798" W	Vásquez <i>et al.</i> (2010)	318	Edad de meseta
				1104682	988373	MAGNA_Colombia_Bogota	5° 32' 34,192" N	74° 10' 56,798" W	Vásquez <i>et al.</i> (2010)	318	Edad de meseta en muestra duplicado
									De Souza <i>et al.</i> (1984)	89	
									De Souza <i>et al.</i> (1984)	89	
		Se obtuvo las coordenadas del punto a partir de la georreferenciación de la Figura 6		1073899	1155455	MAGNA_Colombia_Oeste	5° 15' 46,429" N	75° 40' 31,078" W	González & Londoño (1998)	121	
		Las coordenadas (6° 48' 10" N, 75° 49' 19" W) reportadas por los autores no coinciden con la localización de la datación en el «Mapa geológico regional». Se obtuvo las coordenadas del punto a partir de la georreferenciación de este mapa		1242134	1139086	MAGNA_Colombia_Oeste	6° 47' 02,879" N	75° 49' 09,927" W	González <i>et al.</i> (1981)	120	
		Localización suministrada por el profesor Jorge Julián RESTREPO		1273562	1075535	MAGNA_Colombia_Oeste	7° 04' 10,115" N	76° 24' 42,906" W	Restrepo <i>et al.</i> (1981c)	235	
		Localización suministrada por el profesor Jorge Julián RESTREPO		1190013	842162	MAGNA_Colombia_Bogota	6° 18' 45,048" N	75° 30' 13,813" W	Restrepo <i>et al.</i> (1991)	239	
		Localización suministrada por el profesor Jorge Julián RESTREPO		1280598	1156114	MAGNA_Colombia_Oeste	7° 07' 53,094" N	75° 39' 51,808" W	Restrepo <i>et al.</i> (1991)	239	
		Se obtuvo las coordenadas del punto a partir de la georreferenciación de la Figura 1		816403	874900	MAGNA_Colombia_Oeste	2° 56' 07,110" N	78° 12' 09,687" W	Walker <i>et al.</i> (1991)	335	Edad modelo
18				971053	1097657	MAGNA_Colombia_Oeste	4° 20' 02,100" N	76° 11' 52,000" W	Villagómez (2010)	325	Edad media ponderada
				1104682	988373	MAGNA_Colombia_Bogota	5° 32' 34,192" N	74° 10' 56,798" W	Vásquez <i>et al.</i> (2010)	318	Edad de fusión total
				964438	1142996	MAGNA_Colombia_Oeste	4° 16' 24,700" N	75° 47' 22,200" W	Villagómez (2010)	325	Edad de fusión total
				1104682	988373	MAGNA_Colombia_Bogota	5° 32' 34,192" N	74° 10' 56,798" W	Vásquez <i>et al.</i> (2010)	318	Edad de fusión total en muestra duplicado
									De Souza <i>et al.</i> (1984)	89	Para esta muestra se publicó una edad de 97,8 ± 7,9 Ma en Espinosa (1980) [96]
		Se obtuvo las coordenadas del punto a partir de la georreferenciación de la Figura 3		1242134	1139086	MAGNA_Colombia_Oeste	6° 47' 02,879" N	75° 49' 09,927" W	González & Londoño (1998)	121	

ID Datación Radiométrica	Código de la muestra	Unidad geológica	Litología	Edad años BP	Error años	Edad Ma	Error Ma	Edad grano simple menor detrítico	Edad grano simple mayor detrítico	Edad estratigráfica	Edades heredadas	Método de datación	Material analizado	Relación inicial	MSWD	P(X2) %
2797	BA-31	Batolito Antioqueño	Cuarzodiorita			98	$\pm 27$			Cenomaniano (k1)		Rb-Sr	Roca total	0,7045	1,4	
2798	BA-32	Batolito Antioqueño	Autolito en cuarzodiorita			98	$\pm 27$			Cenomaniano (k1)		Rb-Sr	Roca total	0,7045	1,4	
2799	BA-12	Batolito Antioqueño	Granodiorita			98	$\pm 27$			Cenomaniano (k1)		Rb-Sr	Roca total	0,7045	1,4	
2800	BA-2	Batolito Antioqueño	Granodiorita			98	$\pm 27$			Cenomaniano (k1)		Rb-Sr	Roca total	0,7045	1,4	
2801	BA-6	Batolito Antioqueño	Granodiorita			98	$\pm 27$			Cenomaniano (k1)		Rb-Sr	Roca total	0,7045	1,4	
2802	BA-7	Batolito Antioqueño	Granodiorita			98	$\pm 27$			Cenomaniano (k1)		Rb-Sr	Roca total	0,7045	1,4	
2803	BA-9	Batolito Antioqueño	Granodiorita			98	$\pm 27$			Cenomaniano (k1)		Rb-Sr	Roca total	0,7045	1,4	
2804	BC-79-4	Gneis de Bucaramanga	Gneis			98	$\pm 10$			Cenomaniano (k1)		Huellas de fisión	Circón			
2805	MP-32	Formación Guayabo	Arenita			98,3	$\pm 13$			Cenomaniano (k1)		Huellas de fisión EDM	Apatito		0	
2806	CORW 10	Complejo Ultramáfico de Bolívar	Gabro			98,40	$\pm 2,4$			Cenomaniano (k1)		Ar-Ar	Roca total y plagioclasa			
2807	CM136R	Stock de Mistrató				98,45	$\pm 58,07$			Cenomaniano (k1)		Ar-Ar	Hornblenda			
2808	S-5					98,7	$\pm 3,4$			Cenomaniano (k1)		Huellas de fisión	Circón		50	
2809	Gor 28	Volcánico de Gorgona	Gabro			98,7	$\pm 7,7$			Cenomaniano (k1)		Ar-Ar	Plagioclasa		0,3	
2810	RG-1 7490-7500	Sucesión volcánosedimentaria de Remolínogrande	Basalto			98,9	$\pm 3,5$			Cenomaniano (k1)		Ar-Ar	Roca total			
2811	Mo 404	Batolito de Buga	Cuarzodiorita			99	$\pm 4$			Cenomaniano (k1)		Rb-Sr	Biotita y hornblenda			
2812	BC-79-8		Granodiorita			99	$\pm 12$			Cenomaniano (k1)		Huellas de fisión	Circón			
2813	4VSM (población 1)	Formación Yaví				99,2	$\pm 2,6$			Cenomaniano (k1)		Huellas de fisión	Circón		76	
2814	4VSM (población 1)	Formación Yaví				99,2	$\pm 2,0$			Cenomaniano (k1)		Huellas de fisión	Circón		93-76	
2815	4VSM (población 1)	Formación Yaví				99,3	$\pm 3,2$			Cenomaniano (k1)		Huellas de fisión	Circón		93	
2816	CORW 10	Complejo Ultramáfico de Bolívar	Gabro			99,50	$\pm 2,7$			Cenomaniano (k1)		Ar-Ar	Roca total y plagioclasa			
2817	JR077R	Formación Volcánica				99,59	$\pm 10,23$			Cenomaniano (k1)		Ar-Ar	Hornblenda			
2818	DV42	Gabro El Palmar	Gabro hornbléndico			99,7	$\pm 1,3$			Cenomaniano (k1)		U-Pb LA-ICP-MS	Circón		0,62	
2819	09-Bu-191	Stock de Buriticá	Tonalita			99,9	$\pm 1,2$			Cenomaniano (k1)		Ar-Ar	Anfibol			
2820	2957	Stock de Altavista	Diorita			100				Cenomaniano (k1)		Rb-Sr	Roca total	0,705		
2821	B 3628	Granito	Granito			100-115	$\pm 90$			Cenomaniano (k1)-Aptiano (b5)		K-Ar	Biotita			
2822	DV89A	Complejo Arquía	Esquisto anfibólico			100,1	$\pm 7,0$			Cenomaniano (k1)		Ar-Ar	Hornblenda			
2823	G01-G2-002		Arenita			100,12	$+ 50,96/- 102,94$			Cenomaniano (k1)		Huellas de fisión LA-ICP-MS	Apatito			
2824	S-4R					100,5	$\pm 4,1$			Albiano (b6)-Cenomaniano (k1)		Huellas de fisión	Circón		13	
2825	2RVSM	Formación Yaví				100,6	$\pm 3,4$			Albiano (b6)		Huellas de fisión	Circón		96	
2826	CCP71	Formación Combia				100,85	$\pm 3,6$			Albiano (b6)		Huellas de fisión	Circón		8	
2827	S-2A					101,2	$\pm 3,9$			Albiano (b6)		Huellas de fisión	Circón		36	

Dispersión %	Número de granos analizados	Número de aliquotas	Fuente georreferenciación	Coordenada X	Coordenada Y	Sistema de coordenadas	Latitud	Longitud	Referencia	ID referencia	Comentarios
			Se obtuvo las coordenadas del punto a partir de la georreferenciación de la Figura 15	1159097	900609	MAGNA_Colombia_Bogota	6° 02' 02,976" N	74° 58' 30,923" W	Ordóñez Carmona & Pimentel (2001)	208	Interpretada como la edad de cristalización, calculada en una isócrona para 7 muestras (BA-2, 6, 7, 9, 12, 31 y 32)
			Se obtuvo las coordenadas del punto a partir de la georreferenciación de la Figura 15	1179871	878576	MAGNA_Colombia_Bogota	6° 13' 17,802" N	75° 10' 28,690" W	Ordóñez Carmona & Pimentel (2001)	208	Interpretada como la edad de cristalización, calculada en una isócrona para 7 muestras (BA-2, 6, 7, 9, 12, 31 y 32)
			Se obtuvo las coordenadas del punto a partir de la georreferenciación de la Figura 8	1159446	898032	MAGNA_Colombia_Bogota	6° 02' 14,212" N	74° 59' 54,721" W	Ordóñez Carmona & Pimentel (2001)	208	Interpretada como la edad de cristalización, calculada en una isócrona para 7 muestras (BA-2, 6, 7, 9, 12, 31 y 32). Ordóñez Carmona (1997) [205] obtuvo una edad de $83 \pm 4$ , MSWD = 21 en una isócrona para 6 muestras (BA-2, 6, 7, 9, 12)
			Se obtuvo las coordenadas del punto a partir de la georreferenciación de la Figura 8	1236583	1161149	MAGNA_Colombia_Oeste	6° 44' 00,223" N	75° 37' 12,172" W	Ordóñez Carmona & Pimentel (2001)	208	Interpretada como la edad de cristalización, calculada en una isócrona para 7 muestras (BA-2, 6, 7, 9, 12, 31 y 32). Ordóñez Carmona (1997) [205] obtuvo una edad de $83 \pm 4$ , MSWD = 21 en una isócrona para 6 muestras (BA-2, 6, 7, 9, 12)
			Se obtuvo las coordenadas del punto a partir de la georreferenciación de la Figura 8	1211968	878712	MAGNA_Colombia_Bogota	6° 30' 42,501" N	75° 10' 26,463" W	Ordóñez Carmona & Pimentel (2001)	208	Interpretada como la edad de cristalización, calculada en una isócrona para 7 muestras (BA-2, 6, 7, 9, 12, 31 y 32). Ordóñez Carmona (1997) [205] obtuvo una edad de $83 \pm 4$ , MSWD = 21 en una isócrona para 6 muestras (BA-2, 6, 7, 9, 12)
			Se obtuvo las coordenadas del punto a partir de la georreferenciación de la Figura 8	1259755	849633	MAGNA_Colombia_Bogota	6° 56' 35,357" N	75° 26' 17,044" W	Ordóñez Carmona & Pimentel (2001)	208	Interpretada como la edad de cristalización, calculada en una isócrona para 7 muestras (BA-2, 6, 7, 9, 12, 31 y 32). Ordóñez Carmona (1997) [205] obtuvo una edad de $83 \pm 4$ , MSWD = 21 en una isócrona para 6 muestras (BA-2, 6, 7, 9, 12)
			Se obtuvo las coordenadas del punto a partir de la georreferenciación de la Figura 8	1212984	922081	MAGNA_Colombia_Bogota	6° 31' 18,077" N	74° 46' 55,109" W	Ordóñez Carmona & Pimentel (2001)	208	Interpretada como la edad de cristalización, calculada en una isócrona para 7 muestras (BA-2, 6, 7, 9, 12, 31 y 32). Ordóñez Carmona (1997) [205] obtuvo una edad de $83 \pm 4$ , MSWD = 21 en una isócrona para 6 muestras (BA-2, 6, 7, 9, 12)
12			Se obtuvo las coordenadas del punto a partir de la georreferenciación de la Figura 7	1259854	1122368	MAGNA_Colombia_Bogota	6° 56' 40,926" N	72° 58' 12,908" W	Shagam <i>et al.</i> (1984)	270	
7				1084843	848138	MAGNA_Colombia_Este	5° 21' 42,840" N	72° 26' 51,120" W	Ramírez Arias <i>et al.</i> (2012)	227	Muestra del Sinclinal de Nunchía
									Serrano <i>et al.</i> (2011)	269	Edad de meseta, muestra colectada 2,5 km al SW del municipio de Bolívar
				1076874	1134002	MAGNA_Colombia_Oeste	5° 17' 24,702" N	75° 52' 07,392" W	González (2010)	122	Edad integrada de baja confianza por bajo contenido de K
<1	5		Se obtuvo la localización del pozo Suárez-1 del sitio web del EPIS	933352	917596	MAGNA_Colombia_Bogota	3° 59' 35,349" N	74° 49' 10,284" W	Schwabe (2001)	267	Edad central, muestra del pozo Suárez-1 a 10000–10107 pies de profundidad, edad obtenida por la profesora Gloria Elena TORO de la Universidad EAFIT
				821802	878247	MAGNA_Colombia_Oeste	2° 59' 02,972" N	78° 10' 21,511" W	Serrano <i>et al.</i> (2011)	269	Edad de isócrona inversa
				739533	839861	MAGNA_Colombia_Oeste	2° 14' 23,962" N	78° 31' 01,200" W	Agencia Nacional de Hidrocarburos & Universidad de Caldas (2011a)	3	Edad de fusión total, muestra de ripios recuperados del pozo Remolino grande-1. La Sucesión Volcanoesedimentaria de Remolino grande secuencia superior se correlacionada con el Grupo Diabásico y la Formación Volcánica
			Localización tomada de De Armas (1984) [88]	920922	1100312	MAGNA_Colombia_Oeste	3° 52' 50,146" N	76° 10' 27,738" W	Brook (1984)	53	Edad aproximada a la edad de intrusión del cuerpo
12			Se obtuvo las coordenadas del punto a partir de la georreferenciación de la Figura 7	1384003	1111901	MAGNA_Colombia_Bogota	8° 04' 02,341" N	73° 03' 44,484" W	Shagam <i>et al.</i> (1984)	270	
<1	4		Se localizó el punto de la datación con las coordenadas de la base de la columna estratigráfica donde se tomaron las muestras	860430	859667	MAGNA_Colombia_Bogota	3° 19' 59,597" N	75° 20' 24,579" W	Schwabe (2001)	267	Edad central de población 1, edad obtenida por la profesora Gloria Elena TORO de la Universidad EAFIT
<1	6-4		Se localizó el punto de la datación con las coordenadas de la base de la columna estratigráfica donde se tomaron las muestras	860430	859667	MAGNA_Colombia_Bogota	3° 19' 59,597" N	75° 20' 24,579" W	Schwabe (2001)	267	Edad central ponderada de población 1, interpretada como la edad máxima de deposición de la Formación Yavi
<1	6		Se localizó el punto de la datación con las coordenadas de la base de la columna estratigráfica donde se tomaron las muestras	860430	859667	MAGNA_Colombia_Bogota	3° 19' 59,597" N	75° 20' 24,579" W	Schwabe (2001)	267	Edad central de población 1
1,1									Serrano <i>et al.</i> (2011)	269	Edad isócrona en muestra colectada 2,5 km al SW del municipio de Bolívar en el Valle del Cauca
				913019	1076206	MAGNA_Colombia_Oeste	3° 48' 33,620" N	76° 23' 29,206" W	González (2010)	122	Edad integrada de mediana confianza por bajo K
16				891848	1047030	MAGNA_Colombia_Oeste	3° 37' 05,000" N	76° 39' 15,100" W	Villagómez <i>et al.</i> (2011a)	326	Edad media ponderada
			Se obtuvo las coordenadas del punto a partir de la georreferenciación de la Figura 22	1233738	1127541	MAGNA_Colombia_Oeste	6° 42' 30,582" N	75° 55' 26,479" W	Lesage <i>et al.</i> (2013)	161	Edad de Fusión total, no se obtuvo para la muestra edad de meseta ni edad de isócrona inversa
									Restrepo <i>et al.</i> (1991)	239	Edad promedio
				1519941	939309	MAGNA_Colombia_Bogota	9° 17' 50,067" N	74° 37' 47,673" W	Pinson <i>et al.</i> (1962)	222	
				964438	1142996	MAGNA_Colombia_Oeste	4° 16' 24,700" N	75° 47' 22,200" W	Villagómez (2010)	325	Edad de fusión total
3				817900	876961	MAGNA_Colombia_Oeste	2° 56' 55,922" N	78° 11' 03,007" W	Agencia Nacional de Hidrocarburos & Universidad de Caldas (2011a)	3	Edad pooled
17	5		Se obtuvo la localización del pozo Suárez-1 del sitio web del EPIS	933352	917596	MAGNA_Colombia_Bogota	3° 59' 35,349" N	74° 49' 10,284" W	Schwabe (2001)	267	Edad central, muestra del pozo Suárez-1 a 9600–9750 pies de profundidad, edad obtenida por la profesora Gloria Elena TORO de la Universidad EAFIT
<1	9		Se localizó el punto de la datación con las coordenadas de la base de la columna estratigráfica donde se tomaron las muestras	860430	859667	MAGNA_Colombia_Bogota	3° 19' 59,597" N	75° 20' 24,579" W	Schwabe (2001)	267	Edad central
22,7	5		Se obtuvo la localización de la sección Concordia, a lo largo de la cual se tomaron las muestras, a partir de la georreferenciación de la Figura 6	1153125	1135227	MAGNA_Colombia_Oeste	5° 58' 46,337" N	75° 51' 22,440" W	Ramírez <i>et al.</i> (2006)	226	Edad central de población 2, interpretada como resultado de eventos sintectónicos generados a lo largo del Sistema de Fallas de Romeral en los que se dio el retrabajo del basamento cretácico y del miembro inferior de la Formación Amagá, coetáneamente con los eventos volcánicos, entre 10 y 6 Ma, que dieron origen a la Formación Combia
11	8		Se obtuvo la localización del pozo Suárez-1 del sitio web del EPIS	933352	917596	MAGNA_Colombia_Bogota	3° 59' 35,349" N	74° 49' 10,284" W	Schwabe (2001)	267	Edad central, muestra del pozo Suárez-1 a 8470–8610 pies de profundidad

ID Datación Radiométrica	Código de la muestra	Unidad geológica	Litología	Edad años BP	Error años	Edad Ma	Error Ma	Edad grano simple menor detrítico	Edad grano simple mayor detrítico	Edad estratigráfica	Edades heredadas	Método de datación	Material analizado	Relación inicial	MSWD	P(X2) %
2828	AMI-2	Anfibolita de Santa Elena				101,3	± 1,2			Albiano (b6)		U-Pb	Circón			
2829	TNL-1	Paragneis de Santa Elena				101,8	± 1,2			Albiano (b6)	130 ± 3,0 (n = 4)	U-Pb	Circón			
2830	EC96-037-1	Unidad extrusiva de Las Brisas	Toba de cristales			102	± 3			Albiano (b6)		K-Ar	Roca total			
2831	Mo 608	Complejo Ultramáfico de Bolívar				102	± 18			Albiano (b6)		K-Ar	Hornblenda			
2832	WDM-71B	Esquistos de Santa Marta, Formación Concha	Anfibolita			102	± 30			Albiano (b6)		K-Ar	Actinolita (?)			
2833	2875 A	Esquistos de Medellín	Esquisto actinolítico			102	± 8			Albiano (b6)		K-Ar	Actinolita			
2834	COL4	Anfibolitas de Medellín				102	± 31			Albiano (b6)		K-Ar	Anfibol			
2835	COL14B	Diorita de Pueblito	Diorita			102	± 28			Albiano (b6)		K-Ar	Plagioclasa			
2836	CJ-52	Complejo Quebradagrande	Gabro			102	± 7			Albiano (b6)		K-Ar	Roca total			
2837	CJ-19	Esquistos de Sabaletas	Esquisto cuarzo micáceo			102	± 3			Albiano (b6)		Ar-Ar	Sericita			
2838	2957	Stock de Altavista	Diorita			103				Albiano (b6)		Rb-Sr	Roca total	0,705		
2839	S-3R(2)					103,0	± 3,5			Albiano (b6)		Huellas de fisión	Circón			8
2840	A 83	Formación Macuira	Esquisto anfibólico			103,4	± 0,5			Albiano (b6)		Ar-Ar	Biotita			
2841	DV81	Batolito de Ibagué	Granito			103,6	± 13,0			Albiano (b6)		Huellas de fisión	Circón			26
2842	AEB 59	Secuencia Ofiolítica de Los Azules	Gabro			104	± 6			Albiano (b6)		K-Ar	Hornblenda			
2843	AOL 2396	Esquistos Glaucofánicos de Jambalí	Esquisto			104	± 14			Albiano (b6)		K-Ar	Glaucofana			
2844	JJ184	Esquistos de Sabaletas	Esquisto			104	± 5			Albiano (b6)		K-Ar	Anfibol			
2845	2RVSM	Formación Yaví				104,1	± 2,0			Albiano (b6)		Huellas de fisión	Circón			96-26
2846	AEB 470	Secuencia Ofiolítica de Los Azules	Lava			105	± 12			Albiano (b6)		K-Ar	Roca total			
2847	TN-1	Batolito Antioqueño	Diorita			105	± 9			Albiano (b6)		Sm-Nd	Roca total y granate			
2848	JJ243	Anfibolitas de Medellín				105	± 5			Albiano (b6)		K-Ar	Anfibol			
2849	2930 A	Formación Barroso	Diabasa			105	± 10			Albiano (b6)		K-Ar	Roca total			
2850	DV01	Batolito de Ibagué	Granito			105,3	± 1,1			Albiano (b6)		Ar-Ar	Biotita			
2851	81	Secuencia Ofiolítica de Los Azules	Lava			105,4	± 16			Albiano (b6)		K-Ar	Roca total			
2852	DB-3320	Unidad ultramáfica-máfica	Dique pegmatítico			106	± 18			Albiano (b6)		K-Ar	Hornblenda			
2853	Mo 576	Complejo de El Rosario	Anfibolita			106	± 8			Albiano (b6)		K-Ar	Hornblenda			
2854	40,40B,40CVS M	Formación La Tabla				106,0	± 4,4			Albiano (b6)		Huellas de fisión	Circón			<1
2855	BC-79-14	Cuarzomonzonita de Santa Bárbara	Cuarzomonzonita			106	± 10			Albiano (b6)		Huellas de fisión	Circón			
2856	CJV-07	Tonalita de Buriticá	Gabro			106	± 3			Albiano (b6)		Ar-Ar	Anfibol			
2857	2RVSM	Formación Yaví				106,1	± 2,6			Albiano (b6)		Huellas de fisión	Circón			26
2858	IGM 185949	Gabro de Rodrigoque	Gabro			106,5	± 5,5			Albiano (b6)		K-Ar	Roca total			
2859	DV08	Complejo Cajamarca	Filita			106,6	± 16,0			Albiano (b6)		Huellas de fisión	Circón			92
2860	DV82	Intrusivo granítico (?)	Granito			106,7	± 120			Albiano (b6)		Ar-Ar	Hornblenda		6,26	
2861	DV136	Monzogranito de Mocoa	Granito			106,8	± 13,6			Albiano (b6)		Huellas de fisión	Circón			39
2862	JO85-015-1	Unidad extrusiva de Las Brisas	Andesita			107	± 4			Albiano (b6)		K-Ar	Roca total			

Dispersión %	Número de granos analizados	Número de aliquotas	Fuente georreferenciación	Coordenada X	Coordenada Y	Sistema de coordenadas	Latitud	Longitud	Referencia	ID referencia	Comentarios
			Localización suministrada por el profesor Jorge Julián RESTREPO	1191360	843728	MAGNA_Colombia_Bogota	6° 19' 29,000" N	75° 29' 23,000" W	Restrepo <i>et al.</i> (2012)	243	Edad de metamorfismo
			Localización suministrada por el profesor Jorge Julián RESTREPO	1191381	843740	MAGNA_Colombia_Bogota	6° 19' 29,700" N	75° 29' 22,600" W	Restrepo <i>et al.</i> (2012)	243	Edad de metamorfismo
				1347975	1001487	MAGNA_Colombia_Bogota	7° 44' 34,103" N	74° 03' 50,504" W	Bernal <i>et al.</i> (2006a)	37	Edad de cristalización
									Brook (1984)	53	Edad mínima de intrusión
			Se obtuvo las coordenadas del punto a partir de la georreferenciación de la Figura 2	1739434	990388	MAGNA_Colombia_Bogota	11° 16' 55,360" N	74° 09' 55,975" W	MacDonald <i>et al.</i> (1971)	166	Interpretada como la edad mínima de metamorfismo
			Localización suministrada por el profesor Jorge Julián RESTREPO	1190860	839125	MAGNA_Colombia_Bogota	6° 19' 12,311" N	75° 31' 52,663" W	Restrepo & Toussaint (1981b)	231	Edad de metamorfismo dinamotármico retrogrado y por lo tanto edad de la obducción. Se tomó la edad calculada con la constante de 1976. Para esta muestra se había publicado anteriormente las edades de 108,0 ± 12 Ma y 100,0 ± 8 Ma, calculadas con otra constante
									Restrepo <i>et al.</i> (1991)	239	
									Restrepo <i>et al.</i> (1991)	239	
			Se obtuvo las coordenadas del punto a partir de la georreferenciación del Anexo 1	1095260	844664	MAGNA_Colombia_Bogota	5° 27' 21,610" N	75° 28' 44,692" W	Vinasco (2001)	329	La edad es interpretada como relacionada a alteración hidrotermal condicionada por actividad de fallas en el Albiano-Cenomaniano, también publicada en Vinasco <i>et al.</i> (2003) [331]
			Se obtuvo las coordenadas del punto a partir de la georreferenciación del Anexo 1	1173597	1143404	MAGNA_Colombia_Oeste	6° 09' 52,001" N	75° 46' 55,050" W	Vinasco & Cordani (2012)	333	Edad integrada con un espectro perturbado, sin significado geológico. También publicada en Vinasco <i>et al.</i> (2003) [331]
									Restrepo <i>et al.</i> (1991)	239	Edad convencional
20	10		Se obtuvo la localización del pozo Suárez-1 del sitio web del EPIS	933352	917596	MAGNA_Colombia_Bogota	3° 59' 35,349" N	74° 49' 10,284" W	Schwabe (2001)	267	Edad central muestra del pozo Suárez-1 a 9000–9140 pies de profundidad, edad obtenida por la profesora Gloria Elena TORO de la Universidad EAFIT
				1830273	962366	MAGNA_Colombia_Este	12° 06' 10,907" N	71° 25' 23,572" W	Cardona (2003)	63	Edad integrada que indica posible perturbación térmal
	17			971530	875775	MAGNA_Colombia_Bogota	4° 20' 16,500" N	75° 11' 47,600" W	Villagómez & Spikings (2013)	328	Edad pooled
									De Souza <i>et al.</i> (1984)	89	Para esta muestra se publicó una edad de 104,3 ± 12 Ma en Espinosa (1980) [96]
									De Souza <i>et al.</i> (1984)	89	Muestra tomada en la quebrada Calambaz, municipio de Jambaló en el departamento del Cauca
			Localización suministrada por el profesor Jorge Julián RESTREPO	1172428	1142028	MAGNA_Colombia_Oeste	6° 09' 14,050" N	75° 47' 39,856" W	Restrepo <i>et al.</i> (1991)	239	
<1–4	9–14		Se localizó el punto de la datación con las coordenadas de la base de la columna estratigráfica donde se tomaron las muestras	860430	859667	MAGNA_Colombia_Bogota	3° 19' 59,597" N	75° 20' 24,579" W	Schwabe (2001)	267	Edad central ponderada
									De Souza <i>et al.</i> (1984)	89	Para esta muestra se publicó una edad de 105 ± 24,4 Ma en Espinosa (1980) [96]
			Se obtuvo las coordenadas del punto a partir de la georreferenciación de la Figura 15	1198477	838218	MAGNA_Colombia_Bogota	6° 23' 20,114" N	75° 32' 22,861" W	Ordóñez Carmona (2001)	207	Edad de cristalización y en consecuencia edad de intrusión del Batolito Antioqueño, calculada en una isócrona con roca total y granate
			Localización suministrada por el profesor Jorge Julián RESTREPO	1180715	842284	MAGNA_Colombia_Bogota	6° 13' 42,444" N	75° 30' 09,016" W	Restrepo <i>et al.</i> (1991)	239	
			Localización suministrada por el profesor Jorge Julián RESTREPO	1155551	1138869	MAGNA_Colombia_Oeste	6° 00' 05,043" N	75° 49' 23,865" W	Toussaint & Restrepo (1981b)	301	El código de la muestra se tomo de Restrepo (1983) [236]
			El autor reporta la coordenada 4° 29' 60,10" N que equivale realmente a 4° 30' 0,100" N	989451	882119	MAGNA_Colombia_Bogota	4° 30' 00,100" N	75° 08' 22,700" W	Villagómez (2010)	325	Edad de fusión total, con espectro de edad perturbado
									Espinosa (1980)	96	
			Se obtuvo las coordenadas del punto a partir de la georreferenciación de la Plancha 1 y a partir de la descripción del sitio de muestreo	971594	1092523	MAGNA_Colombia_Oeste	4° 20' 19,893" N	76° 14' 38,469" W	Barrera (1979)	26	
									Brook (1984)	53	Edad de reseteamiento, fallamiento N–S
63	29		Se localizó el punto de la datación con las coordenadas del tope de la columna estratigráfica donde se tomaron las muestras	859729	860842	MAGNA_Colombia_Bogota	3° 19' 36,827" N	75° 19' 46,498" W	Schwabe (2001)	267	Edad central
	11		Se obtuvo las coordenadas del punto a partir de la georreferenciación de la Figura 7	1288696	1131793	MAGNA_Colombia_Bogota	7° 12' 18,863" N	72° 53' 03,545" W	Shagam <i>et al.</i> (1984)	270	
			Se obtuvo las coordenadas del punto a partir de la georreferenciación del Anexo 1	1231947	1128005	MAGNA_Colombia_Oeste	6° 41' 32,243" N	75° 55' 11,503" W	Vinasco & Cordani (2012)	333	Edad de meseta interpretada como la edad de alteración hidrotermal. También publicada en Vinasco <i>et al.</i> (2003) [331]
4	14		Se localizó el punto de la datación con las coordenadas de la base de la columna estratigráfica donde se tomaron las muestras	860430	859667	MAGNA_Colombia_Bogota	3° 19' 59,597" N	75° 20' 24,579" W	Schwabe (2001)	267	Edad central obtenida por la profesora Gloria Elena TORO de la Universidad EAFIT
				1168100	860015	MAGNA_Colombia_Este	6° 06' 53,376" N	72° 20' 31,429" W	Fabre & Delaloye (1983)	99	
	30			979941	862857	MAGNA_Colombia_Bogota	4° 24' 49,600" N	75° 18' 46,900" W	Villagómez & Spikings (2013)	328	Edad pooled
				965976	871708	MAGNA_Colombia_Bogota	4° 17' 15,500" N	75° 13' 59,200" W	Villagómez (2010)	325	Edad de isocrona inversa
	15			610382	1036653	MAGNA_Colombia_Oeste	1° 04' 21,700" N	76° 44' 53,500" W	Villagómez & Spikings (2013)	328	Edad pooled, la localización de la muestra no corresponde con la unidad geológica reportada por el autor como Batolito de Ibagué, sino con el Monzónitico de Mocoa
				1391557	1005261	MAGNA_Colombia_Bogota	8° 08' 12,749" N	74° 01' 47,165" W	Bernal <i>et al.</i> (2006d)	40	Edad de cristalización

ID Datación Radiométrica	Código de la muestra	Unidad geológica	Litología	Edad años BP	Error años	Edad Ma	Error Ma	Edad grano simple menor detrítico	Edad grano simple mayor detrítico	Edad estratigráfica	Edades heredadas	Método de datación	Material analizado	Relación inicial	MSWD	P(X2) %
2863	Mo 507	Complejo de El Rosario	Anfibolita			107	$\pm 4$			Albiano (b6)		K–Ar	Hornblenda			
2864	Mo 585	Complejo de El Rosario	Anfibolita			107	$\pm 10$			Albiano (b6)		K–Ar	Hornblenda			
2865	190B	Esquistos verdes de Barragán	Esquisto grafitoso			107	$\pm 7,0$			Albiano (b6)		Ar–Ar	Moscovita			
2866	1437	Grupo Arquia	Anfibolita granatífera			107,4	$\pm 0,92$			Albiano (b6)		Ar–Ar	Hornblenda			
2867	GI64–051	Granitoide de San Lucas	Granitoide			108	$\pm 250$			Albiano (b6)		Rb–Sr	Roca total	0,7086	12	
2868	GJ64–072–1	Granitoide de San Lucas	Granitoide			108	$\pm 250$			Albiano (b6)		Rb–Sr	Roca total	0,7086	12	
2869	EC64–015–1	Granitoide de San Lucas	Granitoide			108	$\pm 250$			Albiano (b6)		Rb–Sr	Roca total	0,7086	12	
2870	TM 22B	Stock de Altavista				108	$\pm 4$			Albiano (b6)		K–Ar	Roca total			
2871	CJV–07	Tonalita de Buriticá	Gabro			108	$\pm 4$			Albiano (b6)		Ar–Ar	Anfibol			
2872	DV09	Batolito de Ibagué	Granito			108,2	$\pm 4,1$			Albiano (b6)		Ar–Ar	Ortoclasa		13,21	
2873	Mo 506	Complejo de El Rosario	Anfibolita			109	$\pm 9$			Albiano (b6)		K–Ar	Hornblenda			
2874	JJ218	Gneis de Pescadero	Gneis			109				Albiano (b6)		Rb–Sr	Roca total	0,71		
2875	BC–79–12		Ortogneis biotítico			109	$\pm 10$			Albiano (b6)		Huellas de fisión	Circón			
2876	DV134	Monzogranito de Mocoa	Granodiorita			109,2	$\pm 10,8$			Albiano (b6)		Huellas de fisión	Circón			9
2877	DV89A	Complejo Arquia	Esquisto anfibólico			109,3	$\pm 20$			Albiano (b6)		Ar–Ar	Hornblenda			1,5
2878	DV06	Batolito de Ibagué	Granito			109,4	$\pm 0,2$			Albiano (b6)		Ar–Ar	Ortoclasa			
2879	DV06	Batolito de Ibagué	Granito			109,7	$\pm 1,3$			Albiano (b6)		Ar–Ar	Ortoclasa		511	
2880	DV07	Batolito de Ibagué	Granito			109,8	$\pm 2,9$			Albiano (b6)		Ar–Ar	Ortoclasa		1050	
2881	Mo 582	Complejo Arquia				110	$\pm 3$			Albiano (b6)		K–Ar	Hornblenda			
2882	4RVSM	Formación Yaví				110,0	$\pm 3,6$			Albiano (b6)		Huellas de fisión	Circón			83
2883	Din 12–2R	Grupo Honda				110,0	$\pm 4,2$			Albiano (b6)		Huellas de fisión	Circón			7
2884	UNM 2967	Grupo Arquia	Anfibolita granatífera			110	$\pm 10$			Albiano (b6)		K–Ar	Roca total			
2885	IGM 95365	Migmatita de Puente Peláez	Migmatita			110	$\pm 10$			Albiano (b6)		K–Ar	Biotita			
2886	WDM–71B	Esquistos de Santa Marta, Formación Concha	Anfibolita			110,5	$\pm 8,8$			Albiano (b6)		K–Ar	Actinolita (?)			
2887	Cauca 10–Ra–001					110,6	$\pm 7,5$			Albiano (b6)		K–Ar	Roca total			
2888	2VSM	Formación Yaví				110,6	$\pm 2,8$			Albiano (b6)		Huellas de fisión	Circón			52
2889	JR101R	Formación Amaime				110,96	$\pm 4,94$			Albiano (b6)		Ar–Ar	Roca total			
2890	IMN–13197	Cuarzomonzonita de La Corcova	Cuarzomonzonita			111	$\pm 4$			Albiano (b6)		K–Ar	Biotita			
2891	2VSM	Formación Yaví				111,7	$\pm 2,4$			Albiano (b6)		Huellas de fisión	Circón			79–52
2892	Bol 94–22	Pegmatitas de Bolívar	Pegmatita máfica			111,73	$\pm 3,31$			Albiano (b6)		Ar–Ar	Hornblenda			
2893	2945	Stock de Cambumbia	Diorita			112	$\pm 5$			Albiano (b6)		K–Ar	Roca total			
2894	DV89B	Complejo Arquia	Esquisto anfibólico			112	$\pm 3,7$			Albiano (b6)		Ar–Ar	Hornblenda		0,6	

Dispersión %	Número de gramos analizados	Número de aliquotas	Fuente georreferenciación	Coordenada X	Coordenada Y	Sistema de coordenadas	Latitud	Longitud	Referencia	ID referencia	Comentarios
			Localización tomada de McCourt (1984) [180]	959807	1143785	MAGNA_Colombia_Oeste	4° 13' 53,910" N	75° 46' 56,900" W	Brook (1984)	53	Edad de resetamiento, fallamiento N-S
			Localización tomada de McCourt <i>et al.</i> (1984c) [183]	966190	1149174	MAGNA_Colombia_Oeste	4° 17' 21,357" N	75° 44' 01,825" W	Brook (1984)	53	Edad de resetamiento, fallamiento N-S
			Se obtuvo las coordenadas del punto a partir de la georreferenciación del Anexo II	938960	1132563	MAGNA_Colombia_Oeste	4° 02' 35,977" N	75° 53' 01,727" W	Bustamante (2008)	56	Edad gas total
			Localización suministrada por el profesor Jorge Julián RESTREPO	1097143	1166401	MAGNA_Colombia_Oeste	5° 28' 22,010" N	75° 34' 33,849" W	Restrepo <i>et al.</i> (2008)	240	Edad gas total, se obtuvo edades de 111,4 a 129,2 Ma y 57,6 a 62,6 Ma y una fracción solitaria con una edad intermedia de 95,4 Ma. Los autores interpretan un posible metamorfismo en el Cretácico
				1458433	995248	MAGNA_Colombia_Bogota	8° 44' 29,573" N	74° 07' 14,493" W	Bernal <i>et al.</i> (2006b)	38	Edad sin significado geológico por ajuste lineal deficiente obtenido a partir de isócrona para 3 muestras (GJ64-051, GJ64-072-1 y EC64-015-1)
				1457767	995912	MAGNA_Colombia_Bogota	8° 44' 07,897" N	74° 06' 52,767" W	Bernal <i>et al.</i> (2006b)	38	Edad sin significado geológico por ajuste lineal deficiente obtenido a partir de isócrona para 3 muestras (GJ64-051, GJ64-072-1 y EC64-015-1)
				1459293	955214	MAGNA_Colombia_Bogota	8° 44' 56,776" N	74° 29' 04,289" W	Bernal <i>et al.</i> (2006b)	38	Edad sin significado geológico por ajuste lineal deficiente obtenido a partir de isócrona para 3 muestras (GJ64-051, GJ64-072-1 y EC64-015-1)
									Restrepo <i>et al.</i> (1991)	239	
			Se obtuvo las coordenadas del punto a partir de la georreferenciación del Anexo I	1231947	1128005	MAGNA_Colombia_Oeste	6° 41' 32,243" N	75° 55' 11,503" W	Vinasco & Cordani (2012)	333	Edad integrada, también publicada en Vinasco <i>et al.</i> (2003) [331]
				979328	863939	MAGNA_Colombia_Bogota	4° 24' 29,700" N	75° 18' 11,800" W	Villagómez & Spikings (2013)	328	Edad de isócrona inversa
			Localización tomada de McCourt <i>et al.</i> (1984c) [183]	964334	1142902	MAGNA_Colombia_Oeste	4° 16' 21,320" N	75° 47' 25,262" W	Brook (1984)	53	Edad de resetamiento, fallamiento N-S
			Localización suministrada por el profesor Jorge Julián RESTREPO	1280598	1156114	MAGNA_Colombia_Oeste	7° 07' 53,094" N	75° 39' 51,808" W	Restrepo <i>et al.</i> (1991)	239	Edad convencional
6			Se obtuvo las coordenadas del punto a partir de la georreferenciación de la Figura 7	1294544	1130404	MAGNA_Colombia_Bogota	7° 15' 29,306" N	72° 53' 48,290" W	Shagam <i>et al.</i> (1984)	270	
15				610714	1038604	MAGNA_Colombia_Oeste	1° 04' 32,500" N	76° 43' 50,400" W	Villagómez & Spikings (2013)	328	Edad pooled, la localización de la muestra no corresponde con la unidad geológica reportada por el autor como Batolito de Ibagué, sino con el Monzóngrano de Mocoa
				964438	1142996	MAGNA_Colombia_Oeste	4° 16' 24,700" N	75° 47' 22,200" W	Villagómez & Spikings (2013)	328	Edad de isócrona inversa
				978687	864909	MAGNA_Colombia_Bogota	4° 24' 08,900" N	75° 17' 40,300" W	Villagómez (2010)	325	Edad de fusión total
				978687	864909	MAGNA_Colombia_Bogota	4° 24' 08,900" N	75° 17' 40,300" W	Villagómez & Spikings (2013)	328	Edad media ponderada de meseta, espectro de edad perturbado
				979196	864163	MAGNA_Colombia_Bogota	4° 24' 25,400" N	75° 18' 04,500" W	Villagómez & Spikings (2013)	328	Edad media ponderada de meseta, espectro de edad perturbado
			Localización tomada de McCourt <i>et al.</i> (1984c) [183]	965382	1148229	MAGNA_Colombia_Oeste	4° 16' 55,129" N	75° 44' 32,510" W	Brook (1984)	53	Probable edad de emplazamiento
8,6	13		Se localizó el punto de la datación con las coordenadas de la base de la columna estratigráfica donde se tomaron las muestras	860430	859667	MAGNA_Colombia_Bogota	3° 19' 59,597" N	75° 20' 24,579" W	Schwabe (2001)	267	Edad central
10	12		Se obtuvo la localización del pozo Dina-12 del sitio web del EPIS	833172	862320	MAGNA_Colombia_Bogota	3° 05' 12,504" N	75° 18' 57,601" W	Schwabe (2001)	267	Edad central, muestra del pozo Dina-12 a 2782 pies de profundidad
			Localización suministrada por el profesor Jorge Julián RESTREPO	975951	1151032	MAGNA_Colombia_Oeste	4° 22' 38,955" N	75° 43' 01,029" W	Toussaint & Restrepo (1981a)	300	
			Las coordenadas (6° 03' 06" N, 75° 31' 51" W) reportadas por los autores no coinciden con la localización de la datación en el «Mapa geológico simplificado». Se obtuvieron las coordenadas del punto a partir de la georreferenciación de este mapa	1159366	838239	MAGNA_Colombia_Bogota	6° 02' 07,323" N	75° 32' 18,683" W	Toussaint <i>et al.</i> (1981b)	298	Interpretada como la edad de un evento térmico posterior al metamorfismo
			Se obtuvieron las coordenadas del punto a partir de la georreferenciación de la Figura 2	1739434	990388	MAGNA_Colombia_Bogota	11° 16' 55,360" N	74° 09' 55,975" W	MacDonald <i>et al.</i> (1971)	166	Edad de metamorfismo
			Se tomaron las coordenadas listadas en los anexos que se diferencian varios metros con respecto a las reportadas en el informe final	938925	1103793	MAGNA_Colombia_Oeste	4° 02' 36,057" N	76° 08' 34,263" W	Agencia Nacional de Hidrocarburos & Universidad de Caldas (2011b)	4	Muestra de un núcleo de perforación del pozo Cauca 10
1,2	12		Se localizó el punto de la datación con las coordenadas de la base de la columna estratigráfica donde se tomaron las muestras	860430	859667	MAGNA_Colombia_Bogota	3° 19' 59,597" N	75° 20' 24,579" W	Schwabe (2001)	267	Edad central obtenida por la profesora Gloria Elena TORO de la Universidad EAFTT
				944873	1116235	MAGNA_Colombia_Oeste	4° 05' 49,154" N	76° 01' 50,715" W	González (2010)	122	Edad integrada
			Las coordenadas (7° 08' N, 73° 03' W) reportadas por los autores no coinciden con la localización de la datación en la Figura 2. Se obtuvieron las coordenadas del punto a partir de la georreferenciación de este figura	1279861	1115368	MAGNA_Colombia_Bogota	7° 07' 32,640" N	73° 01' 59,470" W	Goldsmith <i>et al.</i> (1971)	114	Interpretada como la edad de un evento térmal
<1-1,2	8-12		Se localizó el punto de la datación con las coordenadas de la base de la columna estratigráfica donde se tomaron las muestras	860430	859667	MAGNA_Colombia_Bogota	3° 19' 59,597" N	75° 20' 24,579" W	Schwabe (2001)	267	Edad central ponderada
				971728	1097788	MAGNA_Colombia_Oeste	4° 20' 24,080" N	76° 11' 47,707" W	Kerr <i>et al.</i> (2004)	155	Edad de fusión total
									Restrepo <i>et al.</i> (1991)	239	
				964438	1142996	MAGNA_Colombia_Oeste	4° 16' 24,700" N	75° 47' 22,200" W	Villagómez & Spikings (2013)	328	Edad media ponderada de meseta

ID Datación Radiométrica	Código de la muestra	Unidad geológica	Litología	Edad años BP	Error años	Edad Ma	Error Ma	Edad grano simple menor detrítico	Edad grano simple mayor detrítico	Edad estratigráfica	Edades heredadas	Método de datación	Material analizado	Relación inicial	MSWD	P(X2) %
2895	DV139	Monzogranito de Mocoa	Dacita porfírica			112	$\pm 16,6$			Albiano (b6)			Huellas de fisión	Circón		11
2896	DV01	Batolito de Ibagué	Granito			112,2	$\pm 6,3$			Albiano (b6)			Ar–Ar	Ortoclasa		7,78
2897	RG-1 9050-9060	Sucesión volcanosedimentaria de Remolindogrande	Basalto			112,4	$\pm 13,1$			Albiano (b6)			Ar–Ar	Roca total		
2898	DV176	Complejo Quebradagrande	Diorita			112,9	$\pm 0,8$			Albiano (b6)			U–Pb LA–ICP–MS	Circón		2,3
2899	IGM-69924	Stock de Mariquita	Granodiorita			113	$\pm 4$			Aptiano (b5)–Albiano (b6)			K–Ar	Biotita		
2900	JR101R	Formación Amaime				113	$\pm 13$			Aptiano (b5)–Albiano (b6)			Ar–Ar	Roca total		
2901		Stock de Cambumbia	Diorita			113	$\pm 3$			Aptiano (b5)–Albiano (b6)			K–Ar	Roca total		
2902	2825 A	Grupo Arquia	Anfibolita granatífera			113	$\pm 5$			Aptiano (b5)–Albiano (b6)			K–Ar	Hornblenda		
2903	IGM 119837	Complejo Cajamarca				113	$\pm 10$			Aptiano (b5)–Albiano (b6)			K–Ar	Biotita		
2904	3003	Batolito de Buga	Tonalita			113	$\pm 10$			Aptiano (b5)–Albiano (b6)			K–Ar	Biotita		
2905	IGM 186039	Gabro de Cáceres	Rodado de gabro			113,1	$\pm 16$			Aptiano (b5)			K–Ar	Roca total		
2906	DV67	Complejo Cajamarca	Esquisto micáceo			113,4	$\pm 22,8$			Aptiano (b5)			Huellas de fisión	Apatito		87
2907	Mo 577	Complejo de El Rosario	Anfibolita			114	$\pm 8$			Aptiano (b5)			K–Ar	Hornblenda		
2908	Mo 578	Complejo de El Rosario	Anfibolita			114	$\pm 4$			Aptiano (b5)			K–Ar	Hornblenda		
2909	Mo 603	Batolito de Buga	Cuarzodiorita			114	$\pm 3$			Aptiano (b5)			K–Ar	Biotita		
2910	CM136R	Stock de Mistrató				114	$\pm 36$			Aptiano (b5)			Ar–Ar	Hornblenda		0,28
2911	S-2R					114,0	$\pm 3,4$			Aptiano (b5)			Huellas de fisión	Circón		1
2912	Din 12-IR(2) (población 2)	Grupo Honda				114,0	$\pm 4,3$			Aptiano (b5)			Huellas de fisión	Circón		96
2913	DV09	Batolito de Ibagué	Granito			114,1	$\pm 0,9$			Aptiano (b5)			Ar–Ar	Ortoclasa		82
2914	DV89B	Complejo Arquia	Esquisto anfibólico			114,1	$\pm 16,5$			Aptiano (b5)			Ar–Ar	Hornblenda		0,74
2915	2VSM	Formación Yaví				114,3	$\pm 4,4$			Aptiano (b5)			Huellas de fisión	Circón		79
2916	DV20	Complejo Quebradagrande	Toba			114,3	$\pm 3,8$			Aptiano (b5)			U–Pb LA–ICP–MS	Circón		2
2917	Mo 503	Complejo de El Rosario	Anfibolita			115	$\pm 3$			Aptiano (b5)			K–Ar	Hornblenda		
2918	Mo 504	Complejo de El Rosario	Anfibolita			115	$\pm 3$			Aptiano (b5)			K–Ar	Hornblenda		
2919	A-95	Formación Macuira	Esquisto moscovítico			115,0	$\pm 0,3$			Aptiano (b5)			Ar–Ar	Moscovita		
2920	JR101R	Formación Amaime				115	$\pm 10$			Aptiano (b5)			Ar–Ar	Roca total		
2921	4VSM	Formación Yaví				115,0	$\pm 3,4$			Aptiano (b5)			Huellas de fisión	Circón		2
2922	MW 72	Grupo Garzón	Granito biotítico			115	$\pm 42$			Aptiano (b5)			Huellas de fisión	Circón		<1
2923	123	Grupo Diabásico	Lava			115,1	$\pm 26,4$			Aptiano (b5)			K–Ar	Roca total		
2924	DV09	Batolito de Ibagué	Granito			115,1	$\pm 0,3$			Aptiano (b5)			Ar–Ar	Ortoclasa		
2925	M1-MP-004	Formación Chagüí	Arenita			115,39				Aptiano (b5)			U–Th/He	Apatito		
2926	JR091R	Batolito de Buga				115,6	$\pm 1,7$			Aptiano (b5)			Ar–Ar	Hornblenda		0,20
2927	CJ-19	Esquistos de Sabaletas	Esquisto cuarzo micáceo			115,9	$\pm 1,6$			Aptiano (b5)			Ar–Ar	Sericita		
2928	Mo 494	Complejo Bolo Azul				116	$\pm 3$			Aptiano (b5)			K–Ar	Hornblenda		

Dispersión %	Número de gramos analizados	Número de alicuotas	Fuente georreferenciación	Coordenada X	Coordenada Y	Sistema de coordenadas	Latitud	Longitud	Referencia	ID referencia	Comentarios
	11			611613	1030942	MAGNA_Colombia_Oeste	1° 05' 01,800" N	76° 47' 58,200" W	Villagómez & Spikings (2013)	328	Edad <i>pooled</i> , la localización de la muestra no corresponde con la unidad geológica reportada por el autor como Batolito de Ibagué, sino con el Monzogranito de Mocoa
			Los autores reportan la coordenada de 4° 29' 60,10" N que equivale realmente a 4° 30' 0,100" N	989451	882119	MAGNA_Colombia_Bogota	4° 30' 00,100" N	75° 08' 22,700" W	Villagómez & Spikings (2013)	328	Edad de isócrona inversa
				739533	839861	MAGNA_Colombia_Oeste	2° 14' 23,962" N	78° 31' 01,200" W	Agencia Nacional de Hidrocarburos & Universidad de Caldas (2011a)	3	Edad de meseta con un alto grado de incertidumbre analítica, muestra de ripios recuperados del pozo Remolinogrande-1. Batolito de Santa Fe de Antioquia. Tradicionalmente mapeado como parte del Batolito de Sabanalarga
	18			1095086	845172	MAGNA_Colombia_Bogota	5° 27' 16,000" N	75° 28' 28,200" W	Cochrane (2013)	79	Edad concordante media ponderada
			Localización tomada de Barrero & Vesga (1976) [25]	1069413	903652	MAGNA_Colombia_Bogota	5° 13' 23,877" N	74° 56' 47,662" W	Barrero & Vesga (1976)	25	
				944873	1116235	MAGNA_Colombia_Oeste	4° 05' 49,154" N	76° 01' 50,715" W	González (2010)	122	Edad de fusión total discordante con la edad de meseta; edad de baja confianza por bajo contenido de K y relación alta de Ca/K
			Se obtuvo las coordenadas del punto a partir de la georreferenciación de la Figura 5	1124228	1164173	MAGNA_Colombia_Oeste	5° 43' 03,630" N	75° 35' 44,005" W	González & Londoño (1998)	121	
			Las coordenadas (5° 31' N, 75° 35' W) reportadas por los autores no coinciden y se obtuvo las coordenadas del punto a partir de la descripción del sitio de muestreo	1102100	1165866	MAGNA_Colombia_Oeste	5° 31' 03,378" N	75° 34' 50,826" W	Restrepo & Toussaint (1981b)	231	Interpretada como edad de obducción. Se tomó la edad calculada con la constante de 1976. Para esta muestra se había publicado anteriormente la edad de 110,0 ± 5 Ma calculada con otra constante
									Restrepo <i>et al.</i> (1991)	239	
			Las coordenadas (3° 52' N, 76° 08' W) reportadas por los autores no coinciden y se obtuvo las coordenadas del punto a partir de la descripción del sitio de muestreo (Carretera La Habana-Nápoles a 7 km de La Habana)	921878	1102050	MAGNA_Colombia_Oeste	3° 53' 21,206" N	76° 09' 31,374" W	Toussaint <i>et al.</i> (1981a)	297	
			Se obtuvieron las coordenadas aproximadas del punto a partir de la descripción del sitio de muestreo	1131047	965735	MAGNA_Colombia_Bogota	5° 46' 52,196" N	74° 23' 12,771" W	Fabre & Delaloye (1983)	99	La muestra corresponde a un rodado colectado en la desembocadura del río Cáceres en el río Guaguaquí
	20			1148378	913263	MAGNA_Colombia_Bogota	5° 56' 14,700" N	74° 51' 39,000" W	Villagómez & Spikings (2013)	328	Edad <i>pooled</i>
			Localización tomada de McCourt <i>et al.</i> (1984c) [183]	978200	1150326	MAGNA_Colombia_Oeste	4° 23' 52,189" N	75° 43' 23,785" W	Brook (1984)	53	Edad de resetreamiento, fallamiento N-S
			Localización tomada de McCourt <i>et al.</i> (1984c) [183]	970503	1149672	MAGNA_Colombia_Oeste	4° 19' 41,694" N	75° 43' 45,413" W	Brook (1984)	53	Edad de resetreamiento, fallamiento N-S
									Brook (1984)	53	Edad aproximada a la edad de intrusión del cuerpo
				1076874	1134002	MAGNA_Colombia_Oeste	5° 17' 24,702" N	75° 52' 07,392" W	González (2010)	122	Edad de meseta de baja confianza por bajo contenido en K
22	12		Se obtuvo la localización del pozo Suárez-1 del sitio web del EPIS	933352	917596	MAGNA_Colombia_Bogota	3° 59' 35,349" N	74° 49' 10,284" W	Schwabe (2001)	267	Edad central, muestra del pozo Suárez-1 a 8470-8610 pies de profundidad, edad obtenida por la profesora Gloria Elena TORO de la Universidad EAFIT
<1	10		Se obtuvo la localización del pozo Dina-12 del sitio web del EPIS	833172	862320	MAGNA_Colombia_Bogota	3° 05' 12,504" N	75° 18' 57,601" W	Schwabe (2001)	267	Edad central de población 2, muestra del pozo Dina-12 a 2064 pies de profundidad
				979328	863939	MAGNA_Colombia_Bogota	4° 24' 29,700" N	75° 18' 11,800" W	Villagómez & Spikings (2013)	328	Edad media ponderada de meseta, espectro de edad perturbado
				964438	1142996	MAGNA_Colombia_Oeste	4° 16' 24,700" N	75° 47' 22,200" W	Villagómez & Spikings (2013)	328	Edad de isócrona inversa
<1	8		Se localizó el punto de la datación con las coordenadas de la base de la columna estratigráfica donde se tomaron las muestras	860430	859667	MAGNA_Colombia_Bogota	3° 19' 59,597" N	75° 20' 24,579" W	Schwabe (2001)	267	Edad central
	7			988546	1167631	MAGNA_Colombia_Oeste	4° 29' 27,800" N	75° 34' 02,000" W	Villagómez <i>et al.</i> (2011a)	326	Edad media ponderada
			Localización tomada de McCourt <i>et al.</i> (1984c) [183]	967083	1144397	MAGNA_Colombia_Oeste	4° 17' 50,714" N	75° 46' 36,642" W	Brook (1984)	53	Edad de resetreamiento, fallamiento N-S
			Localización tomada de McCourt <i>et al.</i> (1984c) [183]	973535	1148986	MAGNA_Colombia_Oeste	4° 21' 20,418" N	75° 44' 07,484" W	Brook (1984)	53	Edad de resetreamiento, fallamiento N-S
				1831872	962005	MAGNA_Colombia_Este	12° 07' 02,907" N	71° 25' 35,572" W	Cardona (2003)	63	Edad integrada, espectros irregulares con significado geológico incierto
				944873	1116235	MAGNA_Colombia_Oeste	4° 05' 49,154" N	76° 01' 50,715" W	González (2010)	122	Edad de fusión total discordante con la edad de meseta; edad de baja confianza por bajo contenido de K y relación alta de Ca/K
17	9		Se localizó el punto de la datación con las coordenadas de la base de la columna estratigráfica donde se tomaron las muestras	860430	859667	MAGNA_Colombia_Bogota	3° 19' 59,597" N	75° 20' 24,579" W	Schwabe (2001)	267	Edad central
	6		Se obtuvo las coordenadas del punto a partir de la georreferenciación de la Figura 6	752070	848046	MAGNA_Colombia_Bogota	2° 21' 12,260" N	75° 26' 36,774" W	van der Wiel & Andriessen (1991)	310	
									Espinosa (1980)	96	Muestra tomada en la carretera de El Tambo-El Peñol en el departamento de Nariño
				979328	863939	MAGNA_Colombia_Bogota	4° 24' 29,700" N	75° 18' 11,800" W	Villagómez (2010)	325	Edad de fusión total
	1	1		688492	847272	MAGNA_Colombia_Oeste	1° 46' 42,940" N	78° 27' 00,036" W	Agencia Nacional de Hidrocarburos & Universidad de Caldas (2011a)	3	Muestra de ripios recuperados del pozo Remolinogrande-1, según el código de la muestra pertenece al pozo Majagua-1 y no al pozo Remolinogrande-1 como está listado en la Tabla 2 del Anexo 17
				917860	1098662	MAGNA_Colombia_Oeste	3° 51' 10,552" N	76° 11' 21,310" W	González (2010)	122	Edad de meseta con un espectro de desgasificación ligeramente perturbado
			Se obtuvo las coordenadas del punto a partir de la georreferenciación del Anexo 1	1173597	1143404	MAGNA_Colombia_Oeste	6° 09' 52,001" N	75° 46' 55,050" W	Vinasco & Cordini (2012)	333	Edad integrada con un espectro perturbado, sin significado geológico. También publicada en Vinasco <i>et al.</i> (2003) [331]
			Localización tomada de McCourt & Verdugo (1985) [184]	857190	1100628	MAGNA_Colombia_Oeste	3° 18' 15,549" N	76° 10' 19,548" W	Brook (1984)	53	

ID Datación Radiométrica	Código de la muestra	Unidad geológica	Litología	Edad años BP	Error años	Edad Ma	Error Ma	Edad grano simple menor detrítico	Edad grano simple mayor detrítico	Edad estratigráfica	Edades heredadas	Método de datación	Material analizado	Relación inicial	MSWD	P(X2) %
2929	COL7A	Esquistos de Medellín				116				Aptiano (b5)		Rb-Sr	Roca total	0,705		
2930	9RyR2VSM	Formación Caballos				116,0	$\pm$ 3,4			Aptiano (b5)		Huellas de fisión	Circón			22
2931	Din 12-3 (población 2)	Grupo Honda				116,0	$\pm$ 4,0			Aptiano (b5)		Huellas de fisión	Circón			75
2932	1440	Anfibolita de Santa Elena	Anfibolita			116,1	$\pm$ 1			Aptiano (b5)		Ar-Ar	Hornblenda			
2933	JR091R	Batolito de Buga	Granito			116,3	$\pm$ 6,2			Aptiano (b5)		Ar-Ar	Hornblenda		0,00059	
2934	DV01	Batolito de Ibagué	Ortoclasa			116,4	$\pm$ 0,9			Aptiano (b5)		Ar-Ar	Ortoclasa		7,78	
2935	Mo 583	Complejo Arquía	Ultramafita			117	$\pm$ 6			Aptiano (b5)		K-Ar	Hornblenda			
2936	MH 82	Stock de Altavista	Granodiorita			117	$\pm$ 11			Aptiano (b5)		K-Ar	Anfibol			
2937	190B	Esquistos verdes de Barragán	Esquisto grafitoso			117,2	$\pm$ 1,6			Aptiano (b5)		Ar-Ar	Moscovita			
2938	DV89A	Complejo Arquía	Esquisto anfibólico			117,2	$\pm$ 9,4			Aptiano (b5)		Ar-Ar	Hornblenda		1,45	
2939	IGM 185950	Gabro de Pajarito	Gabro			118,0	$\pm$ 6,4			Aptiano (b5)		K-Ar	Roca total			
2940	RS-SS30	Formación Esmeraldas				118,2	$\pm$ 0,53			Aptiano (b5)		Huellas de fisión EDM	Apatito			<1
2941	4VSM	Formación Yavi				118,9	$\pm$ 2,4			Aptiano (b5)		Huellas de fisión	Circón			2-1
2942	IGM-69927	Stock de Samaná	Diorita			119	$\pm$ 10			Aptiano (b5)		K-Ar	Hornblenda			
2943	JJ170	Gneis de Samaná				119				Aptiano (b5)		Rb-Sr	Roca total	0,71		
2944	CJ-28	Metagabro de Santa Bárbara	Metagabro cataclástico con alteración hidrotermal			119	$\pm$ 5			Aptiano (b5)		Ar-Ar	Anfibol			
2945	190B	Esquistos verdes de Barragán	Esquisto grafitoso			119,4	$\pm$ 3,8			Aptiano (b5)		Ar-Ar	Moscovita		1,5	
2946	IGM-706328	Batolito de Sabanalarga				119,4	$\pm$ 7,8			Aptiano (b5)		Ar-Ar	Hornblenda		1,27	
2947	COL 354	Formación Amaime	Picrita			119,47	$\pm$ 87,87			Aptiano (b5)		Ar-Ar	Vidrio picriticó			
2948	COL 354	Formación Amaime	Picrita			119,6	$\pm$ 98,3			Aptiano (b5)		Ar-Ar	Vidrio picriticó			
2949	Pj7	Gabro de Pajarito	Hornblendita piroxénica			119,7	$\pm$ 0,1			Aptiano (b5)		Ar-Ar	Hornblenda			
2950	Mo 584	Complejo Arquía	Esquisto			120	$\pm$ 5			Aptiano (b5)		K-Ar	Hornblenda			
2951		Gabro de Pajarito	Gabro			120				Aptiano (b5)		K-Ar				
2952		Riodacita de Ipápure-Cerro La Teta				120				Aptiano (b5)		K-Ar	Roca total			
2953		Granodiorita de Ipápure				120	$\pm$ 4,0			Aptiano (b5)		K-Ar	Roca total			
2954	2RVSM(2)	Formación Yavi				120,0	$\pm$ 5,1			Aptiano (b5)		Huellas de fisión	Circón			11
2955	A1-2R	Formación Monserrate				120,0	$\pm$ 8,7			Aptiano (b5)		Huellas de fisión	Circón			<1
2956	SK 490	Grupo Garzón	Granulita gabonorítica			120	$\pm$ 27			Aptiano (b5)		Huellas de fisión	Circón			3
2957	190B	Esquistos verdes de Barragán	Esquisto grafitoso			120,1	$\pm$ 1,0			Aptiano (b5)		Ar-Ar	Moscovita		1,2	
2958	JRG 239 a	Formación Los Clavos	Toba traquítica			120,5	$\pm$ 3,1			Aptiano (b5)		K-Ar	Roca total			
2959	Pj7	Gabro de Pajarito	Hornblendita piroxénica			120,5	$\pm$ 0,6			Aptiano (b5)		Ar-Ar	Hornblenda			
2960	JR091R	Batolito de Buga				120,57	$\pm$ 1,25			Aptiano (b5)		Ar-Ar	Hornblenda			
2961	190B	Esquistos verdes de Barragán	Esquisto grafitoso			120,7	$\pm$ 0,3			Aptiano (b5)		Ar-Ar	Moscovita			
2962	2RVSM (2)	Formación Yavi				120,7	$\pm$ 2,9			Aptiano (b5)		Huellas de fisión	Circón			11-75

Dispersión %	Número de granos analizados	Número de alicuotas	Fuente georreferenciación	Coordenada X	Coordenada Y	Sistema de coordenadas	Latitud	Longitud	Referencia	ID referencia	Comentarios
			Localización suministrada por el profesor Jorge Julián RESTREPO	1191483	844103	MAGNA_Colombia_Bogota	6° 19' 33,048" N	75° 29' 10,811" W	Restrepo <i>et al.</i> (1991)	239	Edad convencional
29	11		Se localizó el punto de la datación con las coordenadas de la base de la columna estratigráfica donde se tomaron las muestras	860430	859667	MAGNA_Colombia_Bogota	3° 19' 59,597" N	75° 20' 24,579" W	Schwabe (2001)	267	Edad central interpretada como la edad máxima de deposición de la Formación Caballos, obtenida por la profesora Gloria Elena TORO de la Universidad EAFIT
<1	4		Se obtuvo la localización del pozo Dina-12 del sitio web del EPIS	833172	862320	MAGNA_Colombia_Bogota	3° 05' 12,504" N	75° 18' 57,601" W	Schwabe (2001)	267	Edad central de población 2, muestra del pozo Dina-12 a 3440 pies de profundidad
			Localización suministrada por el profesor Jorge Julián RESTREPO	1174620	845067	MAGNA_Colombia_Bogota	6° 10' 24,341" N	75° 28' 38,014" W	Restrepo <i>et al.</i> (2008)	240	Edad gas total, la mayoría de edades (87,6 %) están entre 113 a 102 Ma, con otras fracciones a los 147 Ma, 131 Ma, 127 Ma y 87 Ma. Los autores interpretan la edad como producto del calentamiento del Batolito Antioqueño
				917860	1098662	MAGNA_Colombia_Oeste	3° 51' 10,552" N	76° 11' 21,310" W	González (2010)	122	Edad de isócrona inversa
			Los autores reportan la coordenada 4° 29' 60,10" N que equivale realmente a 4° 30' 0,100" N	989451	882119	MAGNA_Colombia_Bogota	4° 30' 00,100" N	75° 08' 22,700" W	Villagómez & Spikings (2013)	328	Edad media ponderada de meseta
			Localización tomada de McCourt (1984) [180]	939507	1132584	MAGNA_Colombia_Oeste	4° 02' 53,777" N	75° 53' 01,021" W	Brook (1984)	53	
									Restrepo <i>et al.</i> (1991)	239	
			Se obtuvo las coordenadas del punto a partir de la georreferenciación del Anexo II	938960	1132563	MAGNA_Colombia_Oeste	4° 02' 35,977" N	75° 53' 01,727" W	Bustamante (2008)	56	Edad gas total
				964438	1142996	MAGNA_Colombia_Oeste	4° 16' 24,700" N	75° 47' 22,200" W	Villagómez & Spikings (2013)	328	Edad media ponderada de meseta
				1078502	1152204	MAGNA_Colombia_Bogota	5° 18' 16,445" N	72° 42' 16,295" W	Fabre & Delaloye (1983)	99	Esta datación fue publicada en Delaloye & Fabre (1982) [90]
9									Gómez <i>et al.</i> (2005)	116	Edad central
17–20	9–8		Se localizó el punto de la datación con las coordenadas de la base de la columna estratigráfica donde se tomaron las muestras	860430	859667	MAGNA_Colombia_Bogota	3° 19' 59,597" N	75° 20' 24,579" W	Schwabe (2001)	267	Edad central ponderada
			Localización tomada de Barrero & Vesga (1976) [25]	1090480	899205	MAGNA_Colombia_Bogota	5° 24' 49,412" N	74° 59' 13,038" W	Barrero & Vesga (1976)	25	
			Localización suministrada por el profesor Jorge Julián RESTREPO	1154141	905808	MAGNA_Colombia_Bogota	5° 59' 21,915" N	74° 55' 41,648" W	Restrepo <i>et al.</i> (1991)	239	Edad convencional
			Se obtuvo las coordenadas del punto a partir de la georreferenciación del Anexo I	1136292	836597	MAGNA_Colombia_Bogota	5° 49' 36,285" N	75° 33' 10,073" W	Vinasco & Cordani (2012)	333	Edad integrada, también publicada en Vinasco <i>et al.</i> (2003) [331]
			Se obtuvo las coordenadas del punto a partir de la georreferenciación del Anexo II	938960	1132563	MAGNA_Colombia_Oeste	4° 02' 35,977" N	75° 53' 01,727" W	Bustamante (2008)	56	Edad de meseta interpretada como la edad mínima para el evento de exhumación asociado al desarrollo de la foliación milonítica, el pico metamórfico sería más antiguo
				1223443	1133253	MAGNA_Colombia_Oeste	6° 36' 55,073" N	75° 52' 21,346" W	Rodríguez <i>et al.</i> (2012a)	253	Edad de isócrona inversa
			Se obtuvo las coordenadas del punto a partir de la georreferenciación de la Figura 1	743905	1040683	MAGNA_Colombia_Oeste	2° 16' 48,702" N	76° 42' 42,337" W	Kerr <i>et al.</i> (2002)	154	Edad de isócrona inversa
			Se obtuvo las coordenadas del punto a partir de la georreferenciación de la Figura 1	743905	1040683	MAGNA_Colombia_Oeste	2° 16' 48,702" N	76° 42' 42,337" W	Kerr <i>et al.</i> (2002)	154	Edad de isócrona normal
				1078898	1152469	MAGNA_Colombia_Bogota	5° 18' 29,318" N	72° 42' 07,650" W	Vásquez <i>et al.</i> (2010)	318	Edad de isócrona inversa
			Localización tomada de McCourt (1984) [180]	943261	1132680	MAGNA_Colombia_Oeste	4° 04' 55,968" N	75° 52' 57,703" W	Brook (1984)	53	
									Delaloye & Fabre (1982)	90	
									MacDonald & Opdyke (1972)	167	Muestra tomada en el cerro La Teta, departamento de La Guajira
									MacDonald & Opdyke (1972)	167	El autor menciona esta unidad como Diorita de Maruayan, muestra tomada en el cerro Maluwayan, departamento de La Guajira
14	6		Se localizó el punto de la datación con las coordenadas de la base de la columna estratigráfica donde se tomaron las muestras	860430	859667	MAGNA_Colombia_Bogota	3° 19' 59,597" N	75° 20' 24,579" W	Schwabe (2001)	267	Edad central
69	4		Se obtuvo la localización del pozo Apicalá-1 del sitio web del EPIS	945446	931077	MAGNA_Colombia_Bogota	4° 06' 09,436" N	74° 41' 53,606" W	Schwabe (2001)	267	Edad central, muestra del pozo Apicalá-1 a 3420–3610 pies de profundidad, edad obtenida por la profesora Gloria Elena TORO de la Universidad EAFIT
	6		Se obtuvo las coordenadas del punto a partir de la georreferenciación de la Figura 6	750157	857134	MAGNA_Colombia_Bogota	2° 20' 10,302" N	75° 21' 42,657" W	van der Wiel & Andriessen (1991)	310	
			Se obtuvo las coordenadas del punto a partir de la georreferenciación del Anexo II	938960	1132563	MAGNA_Colombia_Oeste	4° 02' 35,977" N	75° 53' 01,727" W	Bustamante (2008)	56	Edad de meseta interpretada como la edad mínima para el evento de exhumación asociado al desarrollo de la foliación milonítica, el pico metamórfico sería más antiguo
			Se obtuvo las coordenadas del punto a partir de la georreferenciación de la Figura 2C	1641760	1064850	MAGNA_Colombia_Bogota	10° 23' 54,587" N	73° 29' 07,066" W	Bayona <i>et al.</i> (2010a)	27	
				1078898	1152469	MAGNA_Colombia_Bogota	5° 18' 29,318" N	72° 42' 07,650" W	Vásquez <i>et al.</i> (2010)	318	Edad media ponderada y edad de meseta
				917860	1098662	MAGNA_Colombia_Oeste	3° 51' 10,552" N	76° 11' 21,310" W	González (2010)	122	Edad integrada
			Se obtuvo las coordenadas del punto a partir de la georreferenciación del Anexo II	938960	1132563	MAGNA_Colombia_Oeste	4° 02' 35,977" N	75° 53' 01,727" W	Bustamante (2008)	56	Edad gas total
14 – <1	6–6		Se localizó el punto de la datación con las coordenadas de la base de la columna estratigráfica donde se tomaron las muestras	860430	859667	MAGNA_Colombia_Bogota	3° 19' 59,597" N	75° 20' 24,579" W	Schwabe (2001)	267	Edad central ponderada

ID Datación Radiométrica	Código de la muestra	Unidad geológica	Litología	Edad años BP	Error años	Edad Ma	Error Ma	Edad grano simple menor detrítico	Edad grano simple mayor detrítico	Edad estratigráfica	Edades heredadas	Método de datación	Material analizado	Relación inicial	MSWD	P(X2) %
2963	190B	Esquistos verdes de Barragán	Esquisto grafitoso			120,8	$\pm$ 0,3			Aptiano (b5)		Ar–Ar	Moscovita		1,66	
2964	JM018R	Granitoide de Bellones				121	$\pm$ 2			Aptiano (b5)		Ar–Ar	Biotita			
2965	2RVSM(2)	Formación Yaví				121,0	$\pm$ 3,6			Aptiano (b5)			Huellas de fisión	Circón		75
2966	RG-1 9050–9060	Sucesión volcanosedimentaria de Remolino grande	Basalto			121,5	$\pm$ 19,1			Aptiano (b5)		Ar–Ar	Roca total		0,56	
2967	DV90	Complejo Arquia	Anfibolita			121,7	$\pm$ 2,9			Aptiano (b5)		Ar–Ar	Hornblenda			
2968	RG-1 9050–9060	Sucesión volcanosedimentaria de Remolino grande	Basalto			123	$\pm$ 7,8			Aptiano (b5)		Ar–Ar	Roca total			
2969	Mo 595–600	Grupo Bugalagrande				123	$\pm$ 12			Aptiano (b5)		Rb–Sr	Roca total		2,80	
2970	4VSM	Formación Yavi				123,0	$\pm$ 3,5			Aptiano (b5)			Huellas de fisión	Circón		1
2971	DV01	Batolito de Ibagué	Granito			123,2	$\pm$ 0,3			Aptiano (b5)		Ar–Ar	Ortoclasa			
2972	IGM-706328	Batolito de Sabanalarga				123,8	$\pm$ 3,9			Aptiano (b5)		Ar–Ar	Hornblenda			
2973	DV90	Complejo Arquia	Anfibolita			123,9	$\pm$ 16,0			Aptiano (b5)		Ar–Ar	Hornblenda		3,94	
2974	UNM 2946	Plutón de Támesis	Cuarzodiorita leucoxónica			124	$\pm$ 6			Aptiano (b5)		K–Ar	Hornblenda			
2975	MW 54	Grupo Garzón	Granulita chamoenderbitica enderbitica			124	$\pm$ 34			Aptiano (b5)			Huellas de fisión	Circón		1
2976	10VDL23	Gneis de Bucaramanga	Gneis biotítico hornblendítico			124,8	$\pm$ 12,7			Aptiano (b5)			Huellas de fisión LA–ICP–MS	Circón		87,0
2977	Mo 511	Complejo Arquia				125	$\pm$ 10			Barremiano (b4)–Aptiano (b5)		K–Ar	Hornblenda			
2978	UNM 3000	Esquistos Glaucofánicos de Jambaló	Esquisto sericitico			125	$\pm$ 15			Barremiano (b4)–Aptiano (b5)		K–Ar	Roca total			
2979	DV07	Batolito de Ibagué	Granito			125,4	$\pm$ 0,3			Barremiano (b4)		Ar–Ar	Ortoclasa			
2980	P-11	Complejo de Puqui	Gneis			126	$\pm$ 62			Barremiano (b4)		Sm–Nd	Granate y roca total			
2981	JRG 239 b	Formación Los Clavos	Toba traquítica			126,7	$\pm$ 2,7			Barremiano (b4)		K–Ar	Roca total			
2982	IMN-10953		Riolita			127	$\pm$ 3			Barremiano (b4)		K–Ar	Sanidina			
2983	JJ168	Gneis de Samaná				127				Barremiano (b4)		Rb–Sr	Roca total	0,71		
2984	UNM 2928	Esquistos de Sabaletas	Esquisto actinolítico			127	$\pm$ 5			Barremiano (b4)		K–Ar	Roca total			
2985	CJV-02	Batolito de Sabanalarga	Metadiorita			127	$\pm$ 14			Barremiano (b4)		Ar–Ar	Anfibol			
2986	Gor 117	Volcánico de Gorgona	Toleita			127	$\pm$ 23			Barremiano (b4)		Re–Os		1,13 $\pm$ 0,10		
2987	CJ-19	Esquistos de Sabaletas	Esquisto cuarzo mícáceo			127,5	$\pm$ 2,0			Barremiano (b4)		Ar–Ar	Sericita			
2988	DV81	Batolito de Ibagué	Granito			127,7	$\pm$ 1,6			Barremiano (b4)		Ar–Ar	Biotita			
2989	WDM-341	Esquistos de Santa Marta, Formación Concha	Anfibolita			128	$\pm$ 25			Barremiano (b4)		K–Ar	Actinolita (?)			
2990	IGM-706396	Diabásas de San José de Uramá	Diabasa			128,1	$\pm$ 1,9			Barremiano (b4)		Ar–Ar	Roca total			
2991	DV90	Complejo Arquia	Anfibolita			128,1	$\pm$ 6,0			Barremiano (b4)		Ar–Ar	Hornblenda		4,17	
2992	CAS 195 b	Formación Golero	Toba lítica			128,2	$\pm$ 2,7			Barremiano (b4)		K–Ar	Roca total			
2993	JR044R	Granitoide de Bellones				128,4	$\pm$ 5,4			Barremiano (b4)		Ar–Ar	Biotita		3,0	
2994	JM022R	Granitoide de Bellones				128,7	$\pm$ 0,44			Barremiano (b4)		Ar–Ar	Biotita			

Dispersión %	Número de granos analizados	Número de alicuotas	Fuente georreferenciación	Coordenada X	Coordenada Y	Sistema de coordenadas	Latitud	Longitud	Referencia	ID referencia	Comentarios
			Se obtuvo las coordenadas del punto a partir de la georreferenciación del Anexo II	938960	1132563	MAGNA_Colombia_Oeste	4° 02' 35,977" N	75° 53' 01,727" W	Bustamante (2008)	56	Edad de meseta interpretada como la edad mínima para el evento de exhumación asociado al desarrollo de la foliación milonítica, el pico metamórfico sería más antiguo
				712296	1037219	MAGNA_Colombia_Oeste	1° 59' 39,673" N	76° 44' 34,673" W	González (2010)	122	
<1	6		Se localizó el punto de la datación con las coordenadas de la base de la columna estratigráfica donde se tomaron las muestras	860430	859667	MAGNA_Colombia_Bogota	3° 19' 59,597" N	75° 20' 24,579" W	Schwabe (2001)	267	Edad central obtenida por la profesora Gloria Elena TORO de la Universidad EAFIT
				739533	839861	MAGNA_Colombia_Oeste	2° 14' 23,962" N	78° 31' 01,200" W	Agencia Nacional de Hidrocarburos & Universidad de Caldas (2011a)	3	Edad de isócrona inversa, muestra de ripios recuperados del pozo Remolino grande-1. La Sucesión Volcanosedimentaria de Remolino grande secuencia superior se correlacionada con el Grupo Diabásico y la Formación Volcánica
				963415	1142946	MAGNA_Colombia_Oeste	4° 15' 51,400" N	75° 47' 23,900" W	Villagómez (2010)	325	Edad de fusión total
				739533	839861	MAGNA_Colombia_Oeste	2° 14' 23,962" N	78° 31' 01,200" W	Agencia Nacional de Hidrocarburos & Universidad de Caldas (2011a)	3	Edad de fusión total, muestra de ripios recuperados del pozo Remolino grande-1. La Sucesión Volcanosedimentaria de Remolino grande secuencia superior se correlacionada con el Grupo Diabásico y la Formación Volcánica
									Brook (1984)	53	Interpretada como edad de reseteamiento, calculada en una isócrona de 6 muestras
20	8		Se localizó el punto de la datación con las coordenadas de la base de la columna estratigráfica donde se tomaron las muestras	860430	859667	MAGNA_Colombia_Bogota	3° 19' 59,597" N	75° 20' 24,579" W	Schwabe (2001)	267	Edad central obtenida por la profesora Gloria Elena TORO de la Universidad EAFIT
			El autor reporta la coordenada 4° 29' 60,10" N que equivale realmente a 4° 30' 0,100" N	989451	882119	MAGNA_Colombia_Bogota	4° 30' 00,100" N	75° 08' 22,700" W	Villagómez (2010)	325	Edad de fusión total
				1223443	1133253	MAGNA_Colombia_Oeste	6° 36' 55,073" N	75° 52' 21,346" W	Rodriguez <i>et al.</i> (2012a)	253	Edad de meseta
				963415	1142946	MAGNA_Colombia_Oeste	4° 15' 51,400" N	75° 47' 23,900" W	Villagómez (2010)	325	Edad de isócrona inversa
			Las coordenadas (5° 42' N, 75° 44' W) reportadas por los autores no coinciden con la localización de la datación en la Figura 1. Se obtuvo las coordenadas del punto a partir de la georreferenciación de esta figura	1119848	1150481	MAGNA_Colombia_Oeste	5° 40' 42,184" N	75° 43' 09,176" W	Calle <i>et al.</i> (1980)	60	
	6		Se obtuvo las coordenadas del punto a partir de la georreferenciación de la Figura 6	709188	1149413	MAGNA_Colombia_Oeste	1° 57' 56,651" N	75° 44' 04,742" W	van der Wiel & Andriessen (1991)	310	
30				1259672	1122765	MAGNA_Colombia_Bogota	6° 56' 35,000" N	72° 58' 00,000" W	van der Lelij (2013)	308	Edad pooled
			Localización tomada de McCourt (1984) [180]	948107	1134684	MAGNA_Colombia_Oeste	4° 07' 33,588" N	75° 51' 52,520" W	Brook (1984)	53	Probable edad de emplazamiento
				979196	864163	MAGNA_Colombia_Bogota	4° 24' 25,400" N	75° 18' 04,500" W	Villagómez (2010)	325	Edad de fusión total
			Se obtuvo las coordenadas del punto a partir de la georreferenciación de la Figura 7 de Ordóñez Carmona (1997) [205]	1319869	860761	MAGNA_Colombia_Bogota	7° 29' 12,710" N	75° 20' 20,045" W	Ordóñez Carmona & Pimentel (2002)	209	Interpretada por los autores como la edad de un evento metamórfico posterior relacionado con la acreción del terreno Panzenú, calculada en una isócrona granate y roca total
			Se obtuvo las coordenadas del punto a partir de la georreferenciación de la Figura 2C	1641760	1064850	MAGNA_Colombia_Bogota	10° 23' 54,587" N	73° 29' 07,066" W	Bayona <i>et al.</i> (2010a)	27	Duplicado de muestra
			Las coordenadas (8° 17' N, 73° 23' W) reportadas por los autores no coinciden con la localización de la datación en la Figura 2. Se obtuvo las coordenadas del punto a partir de la georreferenciación de esta figura	1409179	1078586	MAGNA_Colombia_Bogota	8° 17' 44,072" N	73° 21' 50,986" W	Goldsmith <i>et al.</i> (1971)	114	Riolita porfírica asociada a Granito de Ocaña
			Localización suministrada por el profesor Jorge Julián RESTREPO	1154141	905808	MAGNA_Colombia_Bogota	5° 59' 21,915" N	74° 55' 41,648" W	Restrepo <i>et al.</i> (1991)	239	Edad convencional
			Localización suministrada por el profesor Jorge Julián RESTREPO	1154790	1144562	MAGNA_Colombia_Oeste	5° 59' 39,841" N	75° 46' 18,859" W	Toussaint <i>et al.</i> (1981b)	298	
			Se obtuvo las coordenadas del punto a partir de la georreferenciación del Anexo I	1219242	1136509	MAGNA_Colombia_Oeste	6° 34' 38,074" N	75° 50' 35,705" W	Vinasco (2001)	329	Edad ideograma, interpretada como posible edad de cristalización
			Se obtuvo las coordenadas del punto a partir de la georreferenciación de la Figura 1	820473	878404	MAGNA_Colombia_Oeste	2° 58' 19,695" N	78° 10' 16,386" W	Walker <i>et al.</i> (1991)	335	Edad modelo
			Se obtuvo las coordenadas del punto a partir de la georreferenciación del Anexo I	1173597	1143404	MAGNA_Colombia_Oeste	6° 09' 52,001" N	75° 46' 55,050" W	Vinasco & Cordani (2012)	333	Edad de meseta, considerada como una aproximación para un evento metamórfico o deformacional. También publicada en Vinasco <i>et al.</i> (2003) [331]
				971530	875775	MAGNA_Colombia_Bogota	4° 20' 16,500" N	75° 11' 47,600" W	Villagómez (2010)	325	Edad de fusión total
			Se obtuvo las coordenadas del punto a partir de la georreferenciación de la Figura 2	1738110	987536	MAGNA_Colombia_Bogota	11° 16' 12,269" N	74° 11' 29,963" W	MacDonald <i>et al.</i> (1971)	166	
				1253688	1100892	MAGNA_Colombia_Oeste	6° 53' 21,728" N	76° 09' 52,814" W	Rodríguez & Arango (2013)	255	Edad aparente no confiable, afectada por exceso de argón
				963415	1142946	MAGNA_Colombia_Oeste	4° 15' 51,400" N	75° 47' 23,900" W	Villagómez (2010)	325	Edad media ponderada de meseta
			Se obtuvo las coordenadas del punto a partir de la georreferenciación de la Figura 2B	1607495	1016535	MAGNA_Colombia_Bogota	10° 05' 21,188" N	73° 55' 35,950" W	Bayona <i>et al.</i> (2010a)	27	Edad de reseteamiento debido a calentamiento
				739284	1046042	MAGNA_Colombia_Oeste	2° 14' 18,214" N	76° 39' 48,940" W	González (2010)	122	Edad de isócrona inversa
				727832	1042018	MAGNA_Colombia_Oeste	2° 08' 05,430" N	76° 41' 59,256" W	González (2010)	122	Edad integrada poco confiable

ID Datación Radiométrica	Código de la muestra	Unidad geológica	Litología	Edad años BP	Error años	Edad Ma	Error Ma	Edad grano simple menor detrítico	Edad grano simple mayor detrítico	Edad estratigráfica	Edades heredadas	Método de datación	Material analizado	Relación inicial	MSWD	P(X2) %
2995	17	Riolita de Golero	Ignimbrita riolítica			129	± 5			Barremiano (b4)		K–Ar	Roca total			
2996	A–95	Formación Macuira	Esquisto moscovítico			129,7	± 0,3			Hauteriviano (b3)		Ar–Ar	Moscovita			
2997	2AVSM	Formación Yaví				130	± 4,4			Hauteriviano (b3)			Huellas de fisión	Circón		98
2998	S–3R					130,0	± 7,3			Hauteriviano (b3)			Huellas de fisión	Circón		55
2999	S–3(2)					130,0	± 4,3			Hauteriviano (b3)			Huellas de fisión	Circón		98
3000	Din 12–1 Incoloros	Grupo Honda				130,0	± 4,5			Hauteriviano (b3)			Huellas de fisión	Circón		64
3001	MW 53	Grupo Garzón	Granulita chamoquífica			130	± 23			Hauteriviano (b3)			Huellas de fisión	Circón		18
3002	DV81	Batolito de Ibagué	Granito			130,2	± 2,8			Hauteriviano (b3)			Ar–Ar	Biotita		2,2
3003	RW–2	Formación Chiaque	Arenita			130,2	± 10,4			Hauteriviano (b3)			U–Th/He	Circón		
3004	IGM–706328	Batolito de Sabanalarga	Diorita			130,5	± 3,1			Hauteriviano (b3)			Ar–Ar	Hornblendita		
3005	IGM 185950	Gabro de Pajarito	Gabro			130,8	± 10,4			Hauteriviano (b3)			K–Ar	Hornblendita		
3006	UAKA 79–43	Batolito de Ibagué	Dacita porfirítica tonalita			131	± 2			Hauteriviano (b3)			K–Ar	Sericita hidrotermal		
3007	15	Stock del Socorro	Granodiorita			131	± 5			Hauteriviano (b3)			K–Ar	Biotita		
3008	Pa5	Gabro de Tragarepas	Gabro hornblénrico piroxénico			131,01	± 0,2			Hauteriviano (b3)			Ar–Ar	Hornblendita		
3009	G02G2–09					131,2	± 8,4			Hauteriviano (b3)			Ar–Ar	Roca total		
3010	10VDL32	Granodiorita de Mogotes	Granodiorita			132,2	± 12,9			Hauteriviano (b3)			Huellas de fisión LA–ICP–MS	Circón		59,4
3011	ER097R	Gabros del Complejo Ofiolítico de Ginebra	Gabro hornblénrico			132,43	± 8,68			Hauteriviano (b3)			Ar–Ar	Hornblendita		
3012	JR044R	Granitoide de Bellones				132,89	± 0,44			Hauteriviano (b3)			Ar–Ar	Biotita		
3013	CAS 195 a	Formación Golero	Toba lítica			133	± 3,2			Valanginiano (b2)			K–Ar	Roca total		
3014	RSC–1	Gneis de Bucaramanga	Paragneis			133	± 3			Valanginiano (b2)			Ar–Ar	Biotita		
3015	19	Formación Los Clavos	Ignimbrita riocáctica			133	± 5			Valanginiano (b2)			K–Ar	Plagioclasa		
3016	DV84	Batolito de Ibagué	Granito			133	± 10,4			Valanginiano (b2)			Ar–Ar	Ortoclasa		28,37
3017	DV84	Batolito de Ibagué	Granito			133,6	± 0,3			Valanginiano (b2)			Ar–Ar	Ortoclasa		
3018	Din 12–1 Incoloros	Grupo Honda				134,0	± 3,6			Valanginiano (b2)			Huellas de fisión	Circón		93–64
3019	DV84	Batolito de Ibagué	Granito			134,3	± 0,7			Valanginiano (b2)			Ar–Ar	Ortoclasa		28,06
3020	S–4					134,6	± 5,0			Valanginiano (b2)			Huellas de fisión	Circón		11
3021	DV81	Batolito de Ibagué	Granito			134,7	± 0,3			Valanginiano (b2)			Ar–Ar	Ortoclasa		
3022	HC55–066–1	Granitoide de San Lucas	Granodiorita			135	± 26			Valanginiano (b2)			Rb–Sr	Roca total	0,70744	1,3
3023	HC55–068–1	Granitoide de San Lucas	Granodiorita			135	± 26			Valanginiano (b2)			Rb–Sr	Roca total	0,70744	1,3
3024	HC55–071–1	Granitoide de San Lucas	Granodiorita			135	± 26			Valanginiano (b2)			Rb–Sr	Roca total	0,70744	1,3
3025	2833 A	Gabro de Pueblito	Gabro bandeadoo			135	± 9			Valanginiano (b2)			K–Ar	Hornblendita		
3026	S–4					135,0	± 4,6			Valanginiano (b2)			Huellas de fisión	Circón		12
3027	A–91	Formación Macuira, Gneis de Uray	Esquisto anfibólico			135,1	± 1,4			Valanginiano (b2)			Ar–Ar	Hornblendita		

Dispersión %	Número de gramos analizados	Número de alicuotas	Fuente georreferenciación	Coordenada X	Coordenada Y	Sistema de coordenadas	Latitud	Longitud	Referencia	ID referencia	Comentarios
			Sé obtuvo las coordenadas del punto a partir de la georreferenciación de la Figura 2	1666874	1100838	MAGNA_Colombia_Bogota	10° 37' 29,044" N	73° 09' 21,613" W	Tschanz <i>et al.</i> (1974)	302	
				1831872	962005	MAGNA_Colombia_Este	12° 07' 02,907" N	71° 25' 35,572" W	Cardona (2003)	63	Edad integrada, espectros irregulares con significado geológico incierto
<1	7		Se localizó el punto de la datación con las coordenadas de la base de la columna estratigráfica donde se tomaron las muestras	860430	859667	MAGNA_Colombia_Bogota	3° 19' 59,597" N	75° 20' 24,579" W	Schwabe (2001)	267	Edad central
<1	2		Se obtuvo la localización del pozo Suárez-1 del sitio web del EPIS	933352	917596	MAGNA_Colombia_Bogota	3° 59' 35,349" N	74° 49' 10,284" W	Schwabe (2001)	267	Edad central muestra del pozo Suárez-1 a 9000-9140 pies de profundidad
<1	6		Se obtuvo la localización del pozo Suárez-1 del sitio web del EPIS	933352	917596	MAGNA_Colombia_Bogota	3° 59' 35,349" N	74° 49' 10,284" W	Schwabe (2001)	267	Edad central muestra del pozo Suárez-1 a 9000-9140 pies de profundidad, edad obtenida por la profesora Gloria Elena TORO de la Universidad EAFIT
<1	4		Se obtuvo la localización del pozo Dina-12 del sitio web del EPIS	833172	862320	MAGNA_Colombia_Bogota	3° 05' 12,504" N	75° 18' 57,601" W	Schwabe (2001)	267	Edad central, muestra del pozo Dina-12 a 2064 pies de profundidad, edad obtenida por la profesora Gloria Elena TORO de la Universidad EAFIT
	5		Sé obtuvo las coordenadas del punto a partir de la georreferenciación de la Figura 6	713219	1146394	MAGNA_Colombia_Oeste	2° 00' 07,913" N	75° 45' 42,292" W	van der Wiel & Andriessen (1991)	310	
				971530	875775	MAGNA_Colombia_Bogota	4° 20' 16,500" N	75° 11' 47,600" W	Villagómez & Spikings (2013)	328	Edad media ponderada de meseta
	1			1109305	1139931	MAGNA_Colombia_Bogota	5° 34' 59,820" N	72° 48' 52,680" W	Ramirez Arias <i>et al.</i> (2012)	227	Alicuota seleccionada por los autores para el modelamiento inverso, muestra del Sinclinal de Aquitania
				1223443	1133253	MAGNA_Colombia_Oeste	6° 36' 55,073" N	75° 52' 21,346" W	Rodriguez <i>et al.</i> (2012a)	253	Edad de fusión total
				1078502	1152204	MAGNA_Colombia_Bogota	5° 18' 16,445" N	72° 42' 16,295" W	Fabre & Delaloye (1983)	99	
				954139	864632	MAGNA_Colombia_Bogota	4° 10' 49,872" N	75° 17' 48,004" W	Sillitoe <i>et al.</i> (1982)	271	Interpretada como la edad mínima de emplazamiento, la datación fue realizada sobre una muestra de perforación DDH-1 con profundidades de 219, 428, 556, 564 y 604 pies
			Se obtuvo las coordenadas del punto a partir de la georreferenciación de la Figura 2	1682570	1004602	MAGNA_Colombia_Bogota	10° 46' 04,740" N	74° 02' 07,553" W	Tschanz <i>et al.</i> (1974)	302	
				1067826	991633	MAGNA_Colombia_Bogota	5° 12' 34,358" N	74° 09' 10,732" W	Vásquez <i>et al.</i> (2010)	318	Edad de fusión total
				816389	874747	MAGNA_Colombia_Oeste	2° 56' 06,650" N	78° 12' 14,659" W	Agenzia Nazionale di Hidrocarburi & Universidad de Caldas (2011a)	3	Edad de meseta. Dique de Gorgona
	29			1202161	1138601	MAGNA_Colombia_Bogota	6° 25' 22,000" N	72° 49' 29,000" W	van der Lelij (2013)	308	Edad pooled
				898303	1098007	MAGNA_Colombia_Oeste	3° 40' 33,943" N	76° 11' 43,186" W	González (2010)	122	Edad integrada de moderada confianza por alto contenido en Ca y bajo en K
				739284	1046042	MAGNA_Colombia_Oeste	2° 14' 18,214" N	76° 39' 48,940" W	González (2010)	122	Edad integrada
			Se obtuvo las coordenadas del punto a partir de la georreferenciación de la Figura 2B	1607495	1016535	MAGNA_Colombia_Bogota	10° 05' 21,188" N	73° 55' 35,950" W	Bayona <i>et al.</i> (2010a)	27	Edad de resetreamiento debido a calentamiento
				1301505	1104858	MAGNA_Colombia_Bogota	7° 19' 17,824" N	73° 07' 40,444" W	Restrepo Pace (1995)	246	Edad integrada
			Se obtuvo las coordenadas del punto a partir de la georreferenciación de la Figura 2	1653440	1083362	MAGNA_Colombia_Bogota	10° 30' 13,412" N	73° 18' 57,577" W	Tschanz <i>et al.</i> (1974)	302	
				959785	873469	MAGNA_Colombia_Bogota	4° 13' 54,100" N	75° 13' 01,800" W	Villagómez & Spikings (2013)	328	Edad de isócrona inversa
				959785	873469	MAGNA_Colombia_Bogota	4° 13' 54,100" N	75° 13' 01,800" W	Villagómez (2010)	325	Edad de fusión total
<1	5-4		Se obtuvo la localización del pozo Dina-12 del sitio web del EPIS	833172	862320	MAGNA_Colombia_Bogota	3° 05' 12,504" N	75° 18' 57,601" W	Schwabe (2001)	267	Edad central ponderada, muestra del pozo Dina-12 a 2064 pies de profundidad
				959785	873469	MAGNA_Colombia_Bogota	4° 13' 54,100" N	75° 13' 01,800" W	Villagómez & Spikings (2013)	328	Edad media ponderada de meseta, espectro de edad perturbado
20	8		Se obtuvo la localización del pozo Suárez-1 del sitio web del EPIS	933352	917596	MAGNA_Colombia_Bogota	3° 59' 35,349" N	74° 49' 10,284" W	Schwabe <i>et al.</i> (2001)	268	Edad central, muestra del pozo Suárez-1 a 9600-9750 pies de profundidad, edad obtenida por la profesora Gloria Elena TORO de la Universidad EAFIT
				971530	875775	MAGNA_Colombia_Bogota	4° 20' 16,500" N	75° 11' 47,600" W	Villagómez (2010)	325	Edad de fusión total
				1499997	1016108	MAGNA_Colombia_Bogota	9° 07' 02,354" N	73° 55' 51,477" W	Bernal <i>et al.</i> (2006c)	39	Edad calculada en una isócrona para 3 muestras (HC55-066-1, HC55-068-1 y HC55-071-1). La edad obtenida para este plutón granodiorítico corresponde a un seudo alineamiento de los datos 87Rb/86Sr vs 87Sr/86Sr
				1500847	1016958	MAGNA_Colombia_Bogota	9° 07' 30,009" N	73° 55' 23,628" W	Bernal <i>et al.</i> (2006c)	39	Edad calculada en una isócrona para 3 muestras (HC55-066-1, HC55-068-1 y HC55-071-1). La edad obtenida para este plutón granodiorítico corresponde a un seudo alineamiento de los datos 87Rb/86Sr vs 87Sr/86Sr
				1504497	1018358	MAGNA_Colombia_Bogota	9° 09' 28,790" N	73° 54' 37,720" W	Bernal <i>et al.</i> (2006c)	39	Edad calculada en una isócrona para 3 muestras (HC55-066-1, HC55-068-1 y HC55-071-1). La edad obtenida para este plutón granodiorítico corresponde a un seudo alineamiento de los datos 87Rb/86Sr vs 87Sr/86Sr
				1173547	1147315	MAGNA_Colombia_Oeste	6° 09' 50,049" N	75° 44' 47,850" W	Restrepo & Toussaint (1981b)	231	Edad de generación de corteza oceanica en un rift. Se tomó la edad calculada con la constante de 1976, para esta muestra se habían publicado anteriormente las edades de 126,0 ± 12 Ma y 131,0 ± 9 Ma calculadas con diferente constante
20	8		Se obtuvo la localización del pozo Suárez-1 del sitio web del EPIS	933352	917596	MAGNA_Colombia_Bogota	3° 59' 35,349" N	74° 49' 10,284" W	Schwabe (2001)	267	Edad central, muestra del pozo Suárez-1 a 9600-9750 pies de profundidad, edad obtenida por la profesora Gloria Elena TORO de la Universidad EAFIT
				1830365	962366	MAGNA_Colombia_Este	12° 06' 13,907" N	71° 25' 23,572" W	Cardona (2003)	63	Edad integrada que indica posible perturbación termal

ID Datación Radiométrica	Código de la muestra	Unidad geológica	Litología	Edad años BP	Error años	Edad Ma	Error Ma	Edad grano simple menor detrítico	Edad grano simple mayor detrítico	Edad estratigráfica	Edades heredadas	Método de datación	Material analizado	Relación inicial	MSWD	P(X2) %
3028	DB-K-12	Basalto toleítico, Grupo Diabásico	Basalto			136	$\pm 20$			Valanginiano (b2)		K–Ar	Roca total			
3029	JR044R	Granitoide de Bellones				136	$\pm 0,76$			Valanginiano (b2)		Ar–Ar	Biotita		1,9	
3030	CIA 16	Grupo Garzón	Gneis trondjemítico o biotítico			136	$\pm 4$			Valanginiano (b2)		Rb–Sr	Biotita y roca total			
3031	JJ415	Esquistos de Medellín				136				Valanginiano (b2)		Rb–Sr	Roca total	0,705		
3032	Din 12–3 (2) (población 4)	Grupo Honda				136,0	$\pm 3,7$			Valanginiano (b2)		Huellas de fisión	Circón			22
3033	UAKA 79–47	Pórfido cuprífero de Mocoa	Dacita porfíritica			136	$\pm 3$			Valanginiano (b2)		K–Ar	Feldespato			
3034	Pa5	Gabro de Tragarepas	Gabro hornbléndico piroxénico			136	$\pm 0,4$			Valanginiano (b2)		Ar–Ar	Hornblenda			
3035	DV81	Batolito de Ibagué	Granito			136,0	$\pm 16,2$			Valanginiano (b2)		Ar–Ar	Ortoclasa		5,33	
3036	JM032R	Complejo Ofiolítico de Ginebra	Gabro hornbléndico			136,4	$\pm 4,32$			Valanginiano (b2)		Ar–Ar	Hornblenda			
3037	DV81	Batolito de Ibagué	Granito			136,4	$\pm 0,5$			Valanginiano (b2)		Ar–Ar	Ortoclasa		4,27	
3038	BV–121	Formación Lutitas de Macanal	Arenita			136,5	$\pm 13,4$			Valanginiano (b2)		Huellas de fisión LA–ICP–MS	Circón			0
3039	1A–2B (población 1)	Formación Saldaña				136,8	$\pm 6,0$			Valanginiano (b2)		Huellas de fisión	Circón			74
3040	DV81	Batolito de Ibagué	Granito			136,8	$\pm 10,2$			Valanginiano (b2)		Ar–Ar	Biotita		2,02	
3041	Pa5	Gabro de Tragarepas	Gabro hornbléndico piroxénico			136,9	$\pm 4,6$			Valanginiano (b2)		Ar–Ar	Hornblenda			
3042	Pa5	Gabro de Tragarepas	Gabro hornbléndico piroxénico			136,9	$\pm 3,9$			Valanginiano (b2)		Ar–Ar	Hornblenda			
3043	JJ114	Gabro de San Diego				137	$\pm 20$			Valanginiano (b2)		K–Ar	Anfibol			
3044	9BVSM	Formación Caballos				137	$\pm 5,3$			Valanginiano (b2)		Huellas de fisión	Circón			43
3045	14		Diorita pegmatítica			137	$\pm 5$			Valanginiano (b2)		K–Ar	Biotita			
3046	G02G2–09					137,1	$\pm 4,3$			Valanginiano (b2)		Ar–Ar	Roca total			
3047	DV82	Intrusivo granítico (?)	Granito			137,1	$\pm 0,3$			Valanginiano (b2)		Ar–Ar	Ortoclasa			
3048	IGM–706412	Diabasas de San José de Uramá	Diabasa			137,3	$\pm 19,5$			Valanginiano (b2)		Ar–Ar	Roca total		0,37	
3049	DV82	Intrusivo granítico (?)	Granito			137,3	$\pm 0,9$			Valanginiano (b2)		Ar–Ar	Ortoclasa		37,98	
3050	DV82	Intrusivo granítico (?)	Granito			137,9	$\pm 7,1$			Valanginiano (b2)		Ar–Ar	Ortoclasa		44,2	
3051	6	Esquistos de Santa Marta	Esquisto anfibólico			138	$\pm 7$			Valanginiano (b2)		K–Ar	Hornblenda			
3052	20		Basalto			138	$\pm 9$			Valanginiano (b2)		K–Ar	Plagioclasa			
3053	26	Plutón de Don Diego	Trondjemita			138	$\pm 5$			Valanginiano (b2)		K–Ar	Biotita			
3054	CIA 16	Grupo Garzón	Gneis trondjemítico o biotítico			139	$\pm 4$			Valanginiano (b2)		K–Ar	Biotita			
3055	PCM–1102	Gneis de Bucaramanga	Gneis biotítico hornbléndico			139,3	$\pm 1,4$			Valanginiano (b2)		Ar–Ar	Biotita			
3056	2AVSM	Formación Yaví				139,4	$\pm 2,8$			Valanginiano (b2)		Huellas de fisión	Circón			98–91
3057	P–17	Complejo de Puqui	Gneis			140	$\pm 22$			Berriasiano (b1)		Sm–Nd	Granate y roca total			
3058	Din 12–1 Incoloros	Grupo Honda				141,0	$\pm 5,6$			Berriasiano (b1)		Huellas de fisión	Circón			93
3059	Din 12–1	Grupo Honda				141,0	$\pm 5,0$			Berriasiano (b1)		Huellas de fisión	Circón			92
3060	CJ–28	Metagabro de Santa Bárbara	Metagabro cataclástico con alteración hidrotermal			141	$\pm 7$			Berriasiano (b1)		Ar–Ar	Anfibol			
3061	DV07	Batolito de Ibagué	Granito			141,3	$\pm 0,4$			Berriasiano (b1)		Ar–Ar	Biotita			

Dispersión %	Número de granos analizados	Número de alicuotas	Fuente georreferenciación	Coordenada X	Coordenada Y	Sistema de coordenadas	Latitud	Longitud	Referencia	ID referencia	Comentarios
			Se obtuvo las coordenadas del punto a partir de la georreferenciación de la Plancha I y a partir de la descripción del sitio de muestreo	922236	1075339	MAGNA_Colombia_Oeste	3° 53' 33,683" N	76° 23' 57,083" W	Barrera (1979)	26	
				739284	1046042	MAGNA_Colombia_Oeste	2° 14' 18,214" N	76° 39' 48,940" W	González (2010)	122	Edad de meseta
			Se obtuvo las coordenadas del punto a partir de la georreferenciación de la Figura 2	763608	1128319	MAGNA_Colombia_Oeste	2° 27' 28,537" N	75° 55' 25,777" W	Priem <i>et al.</i> (1989)	224	Edad de evento termal sobreimpuesto
			Localización suministrada por el profesor Jorge Julián RESTREPO	1173046	844054	MAGNA_Colombia_Bogota	6° 09' 33,040" N	75° 29' 10,816" W	Restrepo <i>et al.</i> (1991)	239	Edad convencional
<1	6		Se obtuvo la localización del pozo Dina-12 del sitio web del EPIS	833172	862320	MAGNA_Colombia_Bogota	3° 05' 12,504" N	75° 18' 57,601" W	Schwabe (2001)	267	Edad central de población 4, muestra del pozo Dina-12 a 3440 pies de profundidad, edad obtenida por la profesora Gloria Elena TORO de la Universidad EAFIT
				627834	1046087	MAGNA_Colombia_Oeste	1° 13' 49,842" N	76° 39' 48,266" W	Sillitoe <i>et al.</i> (1982)	271	Interpretada como la edad mínima de emplazamiento
				1067826	991633	MAGNA_Colombia_Bogota	5° 12' 34,358" N	74° 09' 10,732" W	Vásquez <i>et al.</i> (2010)	318	Edad de meseta
				971530	875775	MAGNA_Colombia_Bogota	4° 20' 16,500" N	75° 11' 47,600" W	Villagómez & Spikings (2013)	328	Edad de isócrona inversa
				926776	1097564	MAGNA_Colombia_Oeste	3° 56' 00,796" N	76° 11' 56,584" W	González (2010)	122	Edad integrada
				971530	875775	MAGNA_Colombia_Bogota	4° 20' 16,500" N	75° 11' 47,600" W	Villagómez & Spikings (2013)	328	Edad media ponderada de meseta
	26			977951	1013785	MAGNA_Colombia_Bogota	4° 23' 48,480" N	73° 57' 11,940" W	Parra <i>et al.</i> (2009a)	218	Muestra localizada en el flanco occidental del macizo de Quetame
<1	3								Schwabe <i>et al.</i> (2001)	268	Interpretada como la edad de máxima deposición de la Formación Saldana, edad central de la población 1, muestra del pozo 1-A a 15700–15790 pies de profundidad
				971530	875775	MAGNA_Colombia_Bogota	4° 20' 16,500" N	75° 11' 47,600" W	Villagómez & Spikings (2013)	328	Edad de isócrona inversa
				1067826	991633	MAGNA_Colombia_Bogota	5° 12' 34,358" N	74° 09' 10,732" W	Vásquez <i>et al.</i> (2010)	318	Edad de isócrona inversa
				1067826	991633	MAGNA_Colombia_Bogota	5° 12' 34,358" N	74° 09' 10,732" W	Vásquez <i>et al.</i> (2010)	318	Edad de isócrona normal
			Localización suministrada por el profesor Jorge Julián RESTREPO	1181206	838079	MAGNA_Colombia_Bogota	6° 13' 58,045" N	75° 32' 25,821" W	Restrepo <i>et al.</i> (1991)	239	
11	7		Se localizó el punto de la datación con las coordenadas de la base de la columna estratigráfica donde se tomaron las muestras	860430	859667	MAGNA_Colombia_Bogota	3° 19' 59,597" N	75° 20' 24,579" W	Schwabe (2001)	267	Edad central
			Se obtuvo las coordenadas del punto a partir de la georreferenciación de la Figura 2	1680106	1010294	MAGNA_Colombia_Bogota	10° 44' 44,504" N	73° 59' 00,230" W	Tschanz <i>et al.</i> (1974)	302	Intruye al Complejo plutónico Tucurinca
				816389	874747	MAGNA_Colombia_Oeste	2° 56' 06,650" N	78° 12' 14,659" W	Agencia Nacional de Hidrocarburos & Universidad de Caldas (2011a)	3	Edad de fusión total. Dique de Gorgona
				965976	871708	MAGNA_Colombia_Bogota	4° 17' 15,500" N	75° 13' 59,200" W	Villagómez (2010)	325	Edad de fusión total
				1249498	1105713	MAGNA_Colombia_Oeste	6° 51' 05,043" N	76° 07' 16,074" W	Rodriguez & Arango (2013)	255	Edad de isócrona inversa
				965976	871708	MAGNA_Colombia_Bogota	4° 17' 15,500" N	75° 13' 59,200" W	Villagómez & Spikings (2013)	328	Edad media ponderada de meseta, espectro de edad perturbado
				965976	871708	MAGNA_Colombia_Bogota	4° 17' 15,500" N	75° 13' 59,200" W	Villagómez & Spikings (2013)	328	Edad de isócrona inversa
			Se obtuvo las coordenadas del punto a partir de la georreferenciación de la Figura 2	1739454	1101815	MAGNA_Colombia_Bogota	11° 16' 50,787" N	73° 08' 42,096" W	Tschanz <i>et al.</i> (1974)	302	Muestra del pozo Perico a 11 170 pies
			Se obtuvo las coordenadas del punto a partir de la georreferenciación de la Figura 2	1606386	1039351	MAGNA_Colombia_Bogota	10° 04' 44,537" N	73° 43' 06,643" W	Tschanz <i>et al.</i> (1974)	302	
			Se obtuvo las coordenadas del punto a partir de la georreferenciación de la Figura 2	1711661	1031253	MAGNA_Colombia_Bogota	11° 01' 51,050" N	73° 47' 29,418" W	Tschanz <i>et al.</i> (1974)	302	
			Se obtuvo las coordenadas del punto a partir de la georreferenciación de la Figura 2	763608	1128319	MAGNA_Colombia_Oeste	2° 27' 28,537" N	75° 55' 25,777" W	Priem <i>et al.</i> (1989)	224	Edad de evento termal sobreimpuesto
				1305898	1130616	MAGNA_Colombia_Bogota	7° 21' 38,819" N	72° 53' 40,427" W	Cardona (2003)	63	Edad integrada interpretada como de resequeamiento isotópico. Esta datación, aunque con una diferencia también se publicó en Cordani <i>et al.</i> (2005) [80]
<1	7-10		Se localizó el punto de la datación con las coordenadas de la base de la columna estratigráfica donde se tomaron las muestras	860430	859667	MAGNA_Colombia_Bogota	3° 19' 59,597" N	75° 20' 24,579" W	Schwabe (2001)	267	Edad central ponderada
			Se obtuvo las coordenadas del punto a partir de la georreferenciación de la Figura 7	1319204	861074	MAGNA_Colombia_Bogota	7° 28' 51,087" N	75° 20' 09,759" W	Ordóñez Carmona & Pimentel (2002)	209	Interpretada por los autores como la edad de un evento metamórfico posterior relacionado con la acreción del terreno Panzenú, calculada en una isócrona granate y roca total
<1	5		Se obtuvo la localización del pozo Dina-12 del sitio web del EPIS	833172	862320	MAGNA_Colombia_Bogota	3° 05' 12,504" N	75° 18' 57,601" W	Schwabe (2001)	267	Edad central, muestra del pozo Dina-12 a 2064 pies de profundidad
<1	4		Se obtuvo la localización del pozo Dina-12 del sitio web del EPIS	833172	862320	MAGNA_Colombia_Bogota	3° 05' 12,504" N	75° 18' 57,601" W	Schwabe <i>et al.</i> (2001)	268	Edad central, muestra del pozo Dina-12 a 2064 pies de profundidad
			Se obtuvo las coordenadas del punto a partir de la georreferenciación del Anexo 1	1136292	836597	MAGNA_Colombia_Bogota	5° 49' 36,285" N	75° 33' 10,073" W	Vinasco & Cordani (2012)	333	Edad integrada, también publicada en Vinasco <i>et al.</i> (2003) [331]
				979196	864163	MAGNA_Colombia_Bogota	4° 24' 25,400" N	75° 18' 04,500" W	Villagómez (2010)	325	Edad de fusión total

ID Datación Radiométrica	Código de la muestra	Unidad geológica	Litología	Edad años BP	Error años	Edad Ma	Error Ma	Edad grano simple menor detrítico	Edad grano simple mayor detrítico	Edad estratigráfica	Edades heredadas	Método de datación	Material analizado	Relación inicial	MSWD	P(X2) %
3062	2BUG190	Formación Guaduas	Arenita					141,4 ± 11,3	1033 ± 82,6	Mesoproterozoico (MP)-Berriasián (b1)		U-Th/He	Circón			
3063	IGM-69974	Batolito de Ibagué	Cuarzodiorita			142	± 9			Berriasián (b1)		K-Ar	Hornblenda			
3064	18		Obsidiana			142	± 5			Berriasián (b1)		K-Ar	Anortoclasa			
3065	IGM-49675	Batolito de Ibagué	Cuarzodiorita			143	± 9			Berriasián (b1)		K-Ar	Hornblenda			
3066	IGM-69974	Batolito de Ibagué	Cuarzodiorita			143	± 5			Berriasián (b1)		K-Ar	Biotita			
3067	13AVSM (población 1)	Formación Caballos				144,0	± 4,3			Berriasián (b1)		Huellas de fisión	Circón			79
3068	UAKA 79-46	Pórfido de California	Pórfido dacítico			144	± 3			Berriasián (b1)		K-Ar	Sericita hidrotermal			
3069	VC85-029-001	Formación Noreña	Lava traquiandesítica			144,4	± 1,0			Berriasián (b1)		Rb-Sr	Roca total	0,706269	0	
3070	JO85-006-001	Formación Noreña	Pórfido dacítico-andesítico			144,4	± 1,0			Berriasián (b1)		Rb-Sr	Roca total	0,706269	0	
3071	LM96-004-3	Formación Noreña	Andesita			145	± 5			Jurásico Tardío (J3)-Berriasián (b1)		K-Ar	Roca total			
3072	Mo 550	Batolito de Ibagué	Granodiorita			145	± 4			Jurásico Tardío (J3)-Berriasián (b1)		K-Ar	Biotita			
3073	CJV-09	Batolito de Santa Fe de Antioquia	Gabro			145,1	± 0,7			Jurásico Tardío (J3)		Ar-Ar	Anfíbol			
3074	BV-283	Formación Brechas de Buenavista	Arenita			145,2	± 17,3			Jurásico Tardío (J3)		Huellas de fisión LA-ICP-MS	Circón			0
3075	DV07	Batolito de Ibagué	Granito			145,9	± 5,7			Jurásico Tardío (J3)		Ar-Ar	Biotita		2,56	
3076	CJV-02	Batolito de Sabanalarga	Metadiorita			145,9	± 0,5			Jurásico Tardío (J3)		Ar-Ar	Anfíbol			
3077	Mo 539	Batolito de Ibagué	Granodiorita			146	± 4			Jurásico Tardío (J3)		K-Ar	Biotita			
3078	Mo 541	Batolito de Ibagué	Granodiorita			146	± 3			Jurásico Tardío (J3)		K-Ar	Biotita			
3079	2AVSM	Formación Yavi				146,0	± 3,7			Jurásico Tardío (J3)		Huellas de fisión	Circón			91
3080	UAKA 79-44	Batolito de Ibagué	Dacita porfirítica-tonalita			146	± 3			Jurásico Tardío (J3)		K-Ar	Sericita hidrotermal			
3081	MW 75	Grupo Garzón	Roca calcosilicática			146	± 20			Jurásico Tardío (J3)		Huellas de fisión	Esfena			2
3082	DV07	Batolito de Ibagué	Granito			146,4	± 2,9			Jurásico Tardío (J3)		Ar-Ar	Hornblenda			
3083	CR-30	Complejo Cajamarca	Metabasita			146,5	± 1,1			Jurásico Tardío (J3)		Ar-Ar	Hornblenda			0,75
3084	10RC07	Formación Saldaná	Pórfido con fenocristales de cuarzo			146,8	± 1,5			Jurásico Tardío (J3)		U-Pb LA-ICP-MS	Circón			0,8
3085	13	Gneis de Buriticá	Anfibolita			147	± 6			Jurásico Tardío (J3)		K-Ar	Hornblenda			
3086	DV07	Batolito de Ibagué	Granito			147	± 0,5			Jurásico Tardío (J3)		Ar-Ar	Biotita		2,03	
3087	CR-30	Complejo Cajamarca	Metabasita			147,2	± 1,3			Jurásico Tardío (J3)		Ar-Ar	Hornblenda			
3088	DV09	Batolito de Ibagué	Granito			147,9	± 0,4			Jurásico Tardío (J3)		Ar-Ar	Biotita			
3089	Mo 539	Batolito de Ibagué	Granodiorita			148	± 4			Jurásico Tardío (J3)		K-Ar	Hornblenda			
3090	Mo 550	Batolito de Ibagué	Granodiorita			148	± 4			Jurásico Tardío (J3)		K-Ar	Hornblenda			
3091	DV07	Batolito de Ibagué	Granito			148,6	± 10,8			Jurásico Tardío (J3)		Ar-Ar	Hornblenda			1,9
3092	DV07	Batolito de Ibagué	Granito			148,9	± 3,4			Jurásico Tardío (J3)		Ar-Ar	Hornblenda			1,43
3093	DV05	Batolito de Ibagué	Granodiorita			149,2	± 2,8			Jurásico Tardío (J3)		Ar-Ar	Hornblenda			
3094	WR-247	Batolito de Ibagué	Granodiorita			149,3	± 2,8			Jurásico Tardío (J3)		U-Pb LA-MC-ICP-MS	Circón			
3095	JM018R	Granitoide de Bellones				149,36	± 0,73			Jurásico Tardío (J3)		Ar-Ar	Biotita			
3096	A-95	Formación Macuira	Esquisto moscovítico			150,3	± 0,4			Jurásico Tardío (J3)		Ar-Ar	Moscovita			
3097	Mo 541	Batolito de Ibagué	Granodiorita			151	± 4			Jurásico Tardío (J3)		K-Ar	Hornblenda			
3098	MH 82	Stock de Altavista	Granodiorita			151	± 15			Jurásico Tardío (J3)		K-Ar	Anfíbol			
3099	DV02	Complejo Cajamarca	Gneis			151,2	± 3,8			Jurásico Tardío (J3)		Ar-Ar	Hornblenda			
3100	CAS 252e	Formación Golero	Toba dacítica			151,3	± 3,9			Jurásico Tardío (J3)		K-Ar	Roca total			

Dispersión %	Número de gramos analizados	Número de alicuotas	Fuente georreferenciación	Coordenada X	Coordenada Y	Sistema de coordenadas	Latitud	Longitud	Referencia	ID referencia	Comentarios
	24			1139564	1139892	MAGNA_Colombia_Bogota	5° 51' 24,660" N	72° 48' 51,804" W	Saylor <i>et al.</i> (2012b)	265	Se presentan picos de edad a 650, 520, 430 y 350 Ma
			Localización tomada de Barrero & Vesga (1976) [25]	1006253	902495	MAGNA_Colombia_Bogota	4° 39' 07,928" N	74° 57' 22,494" W	Barrero & Vesga (1976)	25	
			Se obtuvo las coordenadas del punto a partir de la georreferenciación de la Figura 2	1596853	1023333	MAGNA_Colombia_Bogota	9° 59' 34,719" N	73° 51' 52,920" W	Tschanz <i>et al.</i> (1974)	302	
			Localización tomada de Barrero & Vesga (1976) [25]	1021396	904004	MAGNA_Colombia_Bogota	4° 47' 20,901" N	74° 56' 34,170" W	Barrero & Vesga (1976)	25	
			Localización tomada de Barrero & Vesga (1976) [25]	1006253	902495	MAGNA_Colombia_Bogota	4° 39' 07,928" N	74° 57' 22,494" W	Barrero & Vesga (1976)	25	
<1	5		Se localizó el punto de la datación con las coordenadas de la base de la columna estratigráfica donde se tomaron las muestras	860430	859667	MAGNA_Colombia_Bogota	3° 19' 59,597" N	75° 20' 24,579" W	Schwabe (2001)	267	Edad central de población 1, edad obtenida por la profesora Gloria Elena TORO de la Universidad EAFIT
				1309918	1128550	MAGNA_Colombia_Bogota	7° 23' 49,819" N	72° 54' 47,428" W	Sillitoe <i>et al.</i> (1982)	271	Interpretada como la edad mínima de emplazamiento
				1375293	1009556	MAGNA_Colombia_Bogota	7° 59' 23,292" N	73° 59' 26,984" W	Bernal <i>et al.</i> (2006d)	40	Edad calculada en una isócrona para 2 muestras (VC85-029-001 y JO85-006-001) del sector de Simiti-Santa Rosa
				1369442	1008705	MAGNA_Colombia_Bogota	7° 56' 12,844" N	73° 59' 54,810" W	Bernal <i>et al.</i> (2006d)	40	Edad calculada en una isócrona para 2 muestras (VC85-029-001 y JO85-006-001) del sector de Simiti-Santa Rosa
				1349010	1005920	MAGNA_Colombia_Bogota	7° 45' 07,781" N	74° 01' 25,831" W	Bernal <i>et al.</i> (2006a)	37	Edad de cristalización
									Brook (1984)	53	Probable edad de intrusión
			Se obtuvo las coordenadas del punto a partir de la georreferenciación del Anexo 1	1222823	1134363	MAGNA_Colombia_Oeste	6° 36' 34,800" N	75° 51' 45,244" W	Vinasco & Cordani (2012)	333	Edad integrada muy alta por exceso de Ar, no tiene significado geológico. También publicada en Vinasco <i>et al.</i> (2003) [331]
44	20			965000	1052001	MAGNA_Colombia_Bogota	4° 16' 46,380" N	73° 36' 32,700" W	Parra <i>et al.</i> (2009b)	219	Edad discordante parcialmente reseteada. Muestra localizada en el bloque yacente de la Falla de Servita
				979196	864163	MAGNA_Colombia_Bogota	4° 24' 25,400" N	75° 18' 04,500" W	Villagómez (2010)	325	Edad de isócrona inversa
			Se obtuvo las coordenadas del punto a partir de la georreferenciación del Anexo 1	1219242	1136509	MAGNA_Colombia_Oeste	6° 34' 38,074" N	75° 50' 35,705" W	Vinasco (2001)	329	Edad integrada no es confiable por Ar en exceso. También publicada en Vinasco <i>et al.</i> (2003) [331]
									Brook (1984)	53	Probable edad de intrusión
									Brook (1984)	53	Probable edad de intrusión
<1	10		Se localizó el punto de la datación con las coordenadas de la base de la columna estratigráfica donde se tomaron las muestras	860430	859667	MAGNA_Colombia_Bogota	3° 19' 59,597" N	75° 20' 24,579" W	Schwabe (2001)	267	Edad central obtenida por la profesora Gloria Elena TORO de la Universidad EAFIT
				954139	864632	MAGNA_Colombia_Bogota	4° 10' 49,872" N	75° 17' 48,004" W	Sillitoe <i>et al.</i> (1982)	271	Interpretada como la edad mínima de emplazamiento, la datación fue realizada sobre un núcleo de perforación DDH-2 de 138, 161, 223, 351 y 382 pies
	6		Se obtuvo las coordenadas del punto a partir de la georreferenciación de la Figura 6	748480	844482	MAGNA_Colombia_Bogota	2° 19' 15,313" N	75° 28' 31,974" W	van der Wiel & Andriessen (1991)	310	
				979196	864163	MAGNA_Colombia_Bogota	4° 24' 25,400" N	75° 18' 04,500" W	Villagómez (2010)	325	Edad de fusión total
			Localización suministrada por el profesor Idael BLANCO QUINTERO	990066	853357	MAGNA_Colombia_Bogota	4° 30' 18,600" N	75° 23' 55,560" W	Blanco <i>et al.</i> (2014)	46	Edad de meseta interpretada como de metamorfismo y no de resetamiento térmal (que reflejaría la intrusión del Batolito de Ibagué)
13				1020759	900402	MAGNA_Colombia_Bogota	4° 47' 00,000" N	74° 58' 31,000" W	Cochrane (2013)	79	Edad concordante media ponderada. El autor reporta las coordenadas de localización (4° 28' 12" N, 74° 35' 06" W) pero esta no coincide con el mapa ni con la unidad litológica
			Se obtuvo las coordenadas del punto a partir de la georreferenciación de la Figura 2	1694683	993441	MAGNA_Colombia_Bogota	10° 52' 38,954" N	74° 08' 14,991" W	Tschanz <i>et al.</i> (1974)	302	
				979196	864163	MAGNA_Colombia_Bogota	4° 24' 25,400" N	75° 18' 04,500" W	Villagómez <i>et al.</i> (2011a)	326	Edad media ponderada de meseta
			Localización suministrada por el profesor Idael BLANCO QUINTERO	990066	853357	MAGNA_Colombia_Bogota	4° 30' 18,600" N	75° 23' 55,560" W	Blanco <i>et al.</i> (2014)	46	Edad integrada
				979328	863939	MAGNA_Colombia_Bogota	4° 24' 29,700" N	75° 18' 11,800" W	Villagómez (2010)	325	Edad de fusión total, interpretada como edad de enfriamiento lento a través de relajación térmal subsiguiente a la intrusión
									Brook (1984)	53	Probable edad de intrusión
									Brook (1984)	53	Probable edad de intrusión
				979196	864163	MAGNA_Colombia_Bogota	4° 24' 25,400" N	75° 18' 04,500" W	Villagómez (2010)	325	Edad de isócrona inversa
				979196	864163	MAGNA_Colombia_Bogota	4° 24' 25,400" N	75° 18' 04,500" W	Villagómez <i>et al.</i> (2011a)	326	148,9 ± 3,4 Ma es la edad media ponderada de meseta con 50 % de 39Ar liberado y 153,1 ± 2,0 Ma es la edad media ponderada de meseta con 85 % o de 39Ar liberado
				979260	867839	MAGNA_Colombia_Bogota	4° 24' 27,700" N	75° 16' 05,300" W	Villagómez (2010)	325	Edad de fusión total
				954141	864009	MAGNA_Colombia_Bogota	4° 10' 49,900" N	75° 18' 08,200" W	Leal Mejía (2011)	160	Interpretada como la edad de cristalización magmática
				712296	1037219	MAGNA_Colombia_Oeste	1° 59' 39,673" N	76° 44' 34,673" W	González (2010)	122	Edad integrada de baja confianza por exceso de Ar
				1831872	962005	MAGNA_Colombia_Este	12° 07' 02,907" N	71° 25' 35,572" W	Cardona (2003)	63	Edad integrada, espectros irregulares con significado geológico incierto
									Brook (1984)	53	Probable edad de intrusión
				1020198	901536	MAGNA_Colombia_Bogota	4° 46' 41,800" N	74° 57' 54,200" W	Villagómez (2010)	325	Edad de fusión total, resetamiento por actividad térmal durante la intrusión del Batolito de Ibagué
			Se obtuvo las coordenadas del punto a partir de la georreferenciación de la Figura 2D	1699450	1122977	MAGNA_Colombia_Bogota	10° 55' 06,692" N	72° 57' 09,440" W	Bayona <i>et al.</i> (2010a)	27	Duplicado de muestra

ID Datación Radiométrica	Código de la muestra	Unidad geológica	Litología	Edad años BP	Error años	Edad Ma	Error Ma	Edad grano simple menor detrítico	Edad grano simple mayor detrítico	Edad estratigráfica	Edades heredadas	Método de datación	Material analizado	Relación inicial	MSWD	P(X2) %
3101	DV09	Batolito de Ibagué	Granito			151,8	$\pm$ 0,9			Jurásico Tardío (J3)		Ar–Ar	Biotita		25,88	
3102	CJV–02	Batolito de Sabanalarga	Metadiorita			152,7	$\pm$ 0,7			Jurásico Tardío (J3)		Ar–Ar	Anfibol			
3103	CAS 252a	Formación Golero	Toba dacítica			152,9	$\pm$ 4			Jurásico Tardío (J3)		K–Ar	Roca total			
3104	A 99	Formación Macuira	Esquisto			152,9	$\pm$ 1,1			Jurásico Tardío (J3)		Ar–Ar	Hornblenda			
3105	WR–246	Batolito de Ibagué	Granodiorita			152,9	$\pm$ 3,1			Jurásico Tardío (J3)		U–Pb LA–MC–ICP–MS	Circón			
3106	PCM–1102	Gneis de Bucaramanga	Gneis biotíctico hornbléndico			153	$\pm$ 2			Jurásico Tardío (J3)		Ar–Ar	Biotita			
3107	DV05	Batolito de Ibagué	Granodiorita			153,1	$\pm$ 2,0			Jurásico Tardío (J3)		Ar–Ar	Hornblenda		0,48	
3108	DV09	Batolito de Ibagué	Granito			154	$\pm$ 0,6			Jurásico Tardío (J3)		Ar–Ar	Biotita		3,6	
3109	A–91	Formación Macuira, Gneis de Uray	Esquisto anfibólico			154,2	$\pm$ 1,3			Jurásico Tardío (J3)		Ar–Ar	Hornblenda			
3110	1297D	Metabasitas de El Picasso	Pegmatita de plagioclasa cálifica y hornblenda			154,3	$\pm$ 1			Jurásico Tardío (J3)		Ar–Ar	Hornblenda			
3111	Siap–1	Granodiorita de Siapana	Granodiorita			154,5	$\pm$ 0,2			Jurásico Tardío (J3)		Ar–Ar	Biotita			
3112	Siap–1	Granodiorita de Siapana	Granodiorita			154,6	$\pm$ 0,2			Jurásico Tardío (J3)		Ar–Ar	Biotita			
3113	PCM–1102	Gneis de Bucaramanga	Gneis biotíctico hornbléndico			154,8	$\pm$ 1,6			Jurásico Tardío (J3)		Ar–Ar	Biotita			
3114	NPA–1, NP–2	Gneis de Palmitas	Gneis			155	$\pm$ 25			Jurásico Tardío (J3)		Rb–Sr	Roca total		12	
3115	DV04	Batolito de Ibagué	Gabrodiorita			155	$\pm$ 18,3			Jurásico Tardío (J3)		Ar–Ar	Hornblenda		2,8	
3116	Gor 117	Volcánico de Gorgona	Toleita			155	$\pm$ 43			Jurásico Tardío (J3)		Re–Os		$1,13 \pm 0,01$	3,81	
3117	Gor 118	Volcánico de Gorgona	Toleita			155	$\pm$ 43			Jurásico Tardío (J3)		Re–Os		$1,13 \pm 0,01$	3,81	
3118	Gor 1P, Gor 2P, Gor 3P	Volcánico de Gorgona	Komatiita			155	$\pm$ 43			Jurásico Tardío (J3)		Re–Os		$1,13 \pm 0,01$	3,81	
3119	Gor 139	Volcánico de Gorgona	Komatiita			155	$\pm$ 43			Jurásico Tardío (J3)		Re–Os		$1,13 \pm 0,01$	3,81	
3120	Gor 145	Volcánico de Gorgona	Komatiita			155	$\pm$ 43			Jurásico Tardío (J3)		Re–Os		$1,13 \pm 0,01$	3,81	
3121	Gor 142	Volcánico de Gorgona	Komatiita			155	$\pm$ 43			Jurásico Tardío (J3)		Re–Os		$1,13 \pm 0,01$	3,81	
3122	Gor 4P	Volcánico de Gorgona	Komatiita			155	$\pm$ 43			Jurásico Tardío (J3)		Re–Os		$1,13 \pm 0,01$	3,81	
3123	Gor 6A	Volcánico de Gorgona	Toleita			155	$\pm$ 43			Jurásico Tardío (J3)		Re–Os		$1,13 \pm 0,01$	3,81	
3124	Gor 23B	Volcánico de Gorgona	Komatiita			155	$\pm$ 43			Jurásico Tardío (J3)		Re–Os		$1,13 \pm 0,01$	3,81	
3125	Gor 38	Volcánico de Gorgona	Komatiita			155	$\pm$ 43			Jurásico Tardío (J3)		Re–Os		$1,13 \pm 0,01$	3,81	
3126	Gor 47	Volcánico de Gorgona	Komatiita			155	$\pm$ 43			Jurásico Tardío (J3)		Re–Os		$1,13 \pm 0,01$	3,81	
3127	IGM–706412	Diabasas de San José de Uramá	Diabasa			155,1	$\pm$ 11,2			Jurásico Tardío (J3)		Ar–Ar	Roca total			
3128	Siap–1	Granodiorita de Siapana	Granodiorita			155,2	$\pm$ 0,3			Jurásico Tardío (J3)		Ar–Ar	Biotita			
3129	DV05	Batolito de Ibagué	Granodiorita			155,4	$\pm$ 6,0			Jurásico Tardío (J3)		Ar–Ar	Hornblenda		0,48	
3130	DV02	Complejo Cajamarca	Gneis			155,6	$\pm$ 6,2			Jurásico Tardío (J3)		Ar–Ar	Hornblenda		2,11	
3131	10RC10	Batolito de Ibagué	Granito biotíctico			155,7	$\pm$ 2,2			Jurásico Tardío (J3)		U–Pb LA–ICP–MS	Circón		3,4	

Dispersión %	Número de granos analizados	Número de alicuotas	Fuente georreferenciación	Coordenada X	Coordenada Y	Sistema de coordenadas	Latitud	Longitud	Referencia	ID referencia	Comentarios
				979328	863939	MAGNA_Colombia_Bogota	4° 24' 29,700" N	75° 18' 11,800" W	Villagómez <i>et al.</i> (2011a)	326	Edad media ponderada interpretada como la edad de enfriamiento lento a través de relajación térmal subsiguiente a la intrusión
			Se obtuvo las coordenadas del punto a partir de la georreferenciación del Anexo 1	1219242	1136509	MAGNA_Colombia_Oeste	6° 34' 38,074" N	75° 50' 35,705" W	Vinasco (2001)	329	Edad integrada no es confiable por Ar en exceso. También publicada en Vinasco <i>et al.</i> (2003) [331]
			Se obtuvo las coordenadas del punto a partir de la georreferenciación de la Figura 2D	1699450	1122977	MAGNA_Colombia_Bogota	10° 55' 06,692" N	72° 57' 09,440" W	Bayona <i>et al.</i> (2010a)	27	
				1809869	896671	MAGNA_Colombia_Este	11° 55' 01,922" N	72° 01' 33,601" W	Cardona (2003)	63	Edad de meseta a seudomeseta que indica posible perturbación térmal
				954802	863224	MAGNA_Colombia_Bogota	4° 11' 11,400" N	75° 18' 33,700" W	Leal Mejía (2011)	160	Interpretada como la edad de cristalización magmática
				1305898	1130616	MAGNA_Colombia_Bogota	7° 21' 38,819" N	72° 53' 40,427" W	Cardona (2003)	63	Edad integrada interpretada como de resequeamiento isotópico. Esta datación, aunque con una diferencia también se publicó en Cordani <i>et al.</i> (2005) [80]
				979260	867839	MAGNA_Colombia_Bogota	4° 24' 27,700" N	75° 16' 05,300" W	Villagómez <i>et al.</i> (2011a)	326	Edad media ponderada de meseta
				979328	863939	MAGNA_Colombia_Bogota	4° 24' 29,700" N	75° 18' 11,800" W	Villagómez (2010)	325	Edad de isócrona inversa, edad de enfriamiento lento a través de relajación térmal subsiguiente a la intrusión
				1830365	962366	MAGNA_Colombia_Este	12° 06' 13,907" N	71° 25' 23,572" W	Cardona (2003)	63	Edad integrada que indica posible perturbación térmal
			Localización suministrada por el profesor Jorge Julián RESTREPO	1174308	842252	MAGNA_Colombia_Bogota	6° 10' 13,941" N	75° 30' 09,518" W	Restrepo <i>et al.</i> (2008)	240	Edad gas total, la mayoría de edades están entre 148 a 140 Ma. Los autores la interpretan como el reflejo de calentamiento interno relacionado a la obducción de la unidad sobre el Terreno Tahamí
			Las coordenadas (12° 04' 29" N, 71° 32' 16" W) reportadas por los autores no coinciden con la localización de la datación en la Figura 3 de Cardona (2003) [63]. Se obtuvieron las coordenadas del punto a partir de la georreferenciación de esta figura	1827747	974785	MAGNA_Colombia_Este	12° 04' 49,132" N	71° 18' 32,799" W	Cardona <i>et al.</i> (2006)	64	Edad de meseta, relacionada a temperaturas de enfriamiento de 300 ± 50 °C, lo que indica que el relativamente rápido enfriamiento puede estar relacionado con un emplazamiento en niveles corticales superiores
			Las coordenadas (12° 04' 29" N, 71° 32' 16" W) reportadas por los autores no coinciden con la localización de la datación en la Figura 3 de Cardona (2003) [63]. Se obtuvieron las coordenadas del punto a partir de la georreferenciación de esta figura	1827747	974785	MAGNA_Colombia_Este	12° 04' 49,132" N	71° 18' 32,799" W	Cardona <i>et al.</i> (2006)	64	Edad integrada
				1305898	1130616	MAGNA_Colombia_Bogota	7° 21' 38,819" N	72° 53' 40,427" W	Cardona (2003)	63	Edad de meseta interpretada como de resequeamiento isotópico. Esta datación, aunque con una pequeña diferencia también se publicó en Cordani <i>et al.</i> (2005) [80]
			Se obtuvo las coordenadas del punto a partir de la georreferenciación de la Figura 15	1195080	1153298	MAGNA_Colombia_Oeste	6° 21' 30,315" N	75° 41' 31,471" W	Ordóñez Carmona (2001)	207	Interpretada como la edad de cristalización del granito, punto correspondiente a 2 muestras. Edad calculada en una isócrona para 5 datos, 3 de los datos (muestras 2938, II148 y II154) son de Restrepo <i>et al.</i> (1991) [239]
				1020765	900390	MAGNA_Colombia_Bogota	4° 47' 00,200" N	74° 58' 31,400" W	Villagómez (2010)	325	Edad de isócrona inversa
			Se obtuvo las coordenadas del punto a partir de la georreferenciación de la Figura 1	820473	878404	MAGNA_Colombia_Oeste	2° 58' 19,695" N	78° 10' 16,386" W	Walker <i>et al.</i> (1991)	335	Interpretada como la edad de cristalización magmática, calculada en una regresión isócrona
			Se obtuvo las coordenadas del punto a partir de la georreferenciación de la Figura 1	820379	878397	MAGNA_Colombia_Oeste	2° 58' 16,640" N	78° 10' 16,614" W	Walker <i>et al.</i> (1991)	335	Interpretada como la edad de cristalización magmática, calculada en una regresión isócrona
			Se obtuvo las coordenadas del punto a partir de la georreferenciación de la Figura 1	820743	878458	MAGNA_Colombia_Oeste	2° 58' 28,494" N	78° 10' 14,635" W	Walker <i>et al.</i> (1991)	335	Interpretada como la edad de cristalización magmática, calculada en una regresión isócrona
			Se obtuvo las coordenadas del punto a partir de la georreferenciación de la Figura 1	821068	878507	MAGNA_Colombia_Oeste	2° 58' 39,093" N	78° 10' 13,065" W	Walker <i>et al.</i> (1991)	335	Interpretada como la edad de cristalización magmática, calculada en una regresión isócrona
			Se obtuvo las coordenadas del punto a partir de la georreferenciación de la Figura 1	821068	878507	MAGNA_Colombia_Oeste	2° 58' 39,093" N	78° 10' 13,065" W	Walker <i>et al.</i> (1991)	335	Interpretada como la edad de cristalización magmática, calculada en una regresión isócrona
			Se obtuvo las coordenadas del punto a partir de la georreferenciación de la Figura 1	821174	878506	MAGNA_Colombia_Oeste	2° 58' 42,517" N	78° 10' 13,103" W	Walker <i>et al.</i> (1991)	335	Interpretada como la edad de cristalización magmática, calculada en una regresión isócrona
			Se obtuvo las coordenadas del punto a partir de la georreferenciación de la Figura 1	820833	878474	MAGNA_Colombia_Oeste	2° 58' 31,412" N	78° 10' 14,133" W	Walker <i>et al.</i> (1991)	335	Interpretada como la edad de cristalización magmática, calculada en una regresión isócrona
			Se obtuvo las coordenadas del punto a partir de la georreferenciación de la Figura 1	821329	878442	MAGNA_Colombia_Oeste	2° 58' 47,587" N	78° 10' 15,193" W	Walker <i>et al.</i> (1991)	335	Interpretada como la edad de cristalización magmática, calculada en una regresión isócrona
			Se obtuvo las coordenadas del punto a partir de la georreferenciación de la Figura 1	820937	876137	MAGNA_Colombia_Oeste	2° 58' 34,726" N	78° 11' 29,809" W	Walker <i>et al.</i> (1991)	335	Interpretada como la edad de cristalización magmática, calculada en una regresión isócrona
			Se obtuvo las coordenadas del punto a partir de la georreferenciación de la Figura 1	821823	876331	MAGNA_Colombia_Oeste	2° 59' 03,595" N	78° 11' 23,549" W	Walker <i>et al.</i> (1991)	335	Interpretada como la edad de cristalización magmática, calculada en una regresión isócrona
			Se obtuvo las coordenadas del punto a partir de la georreferenciación de la Figura 1	819281	875548	MAGNA_Colombia_Oeste	2° 57' 40,807" N	78° 11' 48,802" W	Walker <i>et al.</i> (1991)	335	Interpretada como la edad de cristalización magmática, calculada en una regresión isócrona
				1249498	1105713	MAGNA_Colombia_Oeste	6° 51' 05,043" N	76° 07' 16,074" W	Rodríguez & Arango (2013)	255	Edad de meseta
			Las coordenadas (12° 04' 29" N, 71° 32' 16" W) reportadas por los autores no coinciden con la localización de la datación en la Figura 3 de Cardona (2003) [63]. Se obtuvieron las coordenadas del punto a partir de la georreferenciación de esta figura	1827747	974785	MAGNA_Colombia_Este	12° 04' 49,132" N	71° 18' 32,799" W	Cardona <i>et al.</i> (2006)	64	Edad integrada
				979260	867839	MAGNA_Colombia_Bogota	4° 24' 27,700" N	75° 16' 05,300" W	Villagómez (2010)	325	Edad de isócrona inversa
				1020198	901536	MAGNA_Colombia_Bogota	4° 46' 41,800" N	74° 57' 54,200" W	Villagómez <i>et al.</i> (2011a)	326	Edad media ponderada de meseta interpretada como de resequeamiento por actividad térmal durante la intrusión del Batolito de Ibagué
8				978780	866306	MAGNA_Colombia_Bogota	4° 24' 12,000" N	75° 16' 55,000" W	Cochrane (2013)	79	Edad concordante media ponderada

ID Datación Radiométrica	Código de la muestra	Unidad geológica	Litología	Edad años BP	Error años	Edad Ma	Error Ma	Edad grano simple menor detrítico	Edad grano simple mayor detrítico	Edad estratigráfica	Edades heredadas	Método de datación	Material analizado	Relación inicial	MSWD	P(X2) %
3132	LB85-051-001	Formación Noreán	Diorita porfíritica			155,84	$\pm 0,15$			Jurásico Tardío (J3)		Rb-Sr	Roca total	0,7054147	0	
3133	LP85-059-001	Formación Noreán	Toba dacítica-andesítica			155,84	$\pm 0,15$			Jurásico Tardío (J3)		Rb-Sr	Roca total	0,7054147	0	
3134	S-1R					156	$\pm 6,0$			Jurásico Tardío (J3)		Huellas de fisión	Circón			36
3135	10RC08	Batolito de Ibagué	Granodiorita			156,5	$\pm 1,1$			Jurásico Tardío (J3)		U-Pb LA-ICP-MS	Circón		0,5	
3136	RR-8	Formación Los Clavos	Toba andesítica			156,6	$\pm 8,9$			Jurásico Tardío (J3)		K-Ar	Roca total			
3137	08YEM02	Formación Carbonera	Arenita					157 $\pm 12,6$	815,7 $\pm 65,3$	Neoproterozoico (NP)-Jurásico Tardío (J3)		U-Th/He	Circón			
3138	Siap-1	Granodiorita de Siapana	Granodiorita			157,1	$\pm 0,4$			Jurásico Tardío (J3)		Ar-Ar	Biotita			
3139	CR-06	Complejo Cajamarca	Metapelita			157,3	$\pm 0,4$			Jurásico Tardío (J3)		Ar-Ar	Fengita			
3140	DV04	Batolito de Ibagué	Gabrodiorita			157,5	$\pm 4,6$			Jurásico Tardío (J3)		Ar-Ar	Hornblenda			
3141	CR-06	Complejo Cajamarca	Metapelita			157,5	$\pm 0,4$			Jurásico Tardío (J3)		Ar-Ar	Fengita		0,65	
3142	Siap-1	Granodiorita de Siapana	Granodiorita			157,7	$\pm 0,6$			Jurásico Tardío (J3)		Ar-Ar	Biotita			
3143	Siap-1	Granodiorita de Siapana	Granodiorita			157,7	$\pm 0,4$			Jurásico Tardío (J3)		Ar-Ar	Biotita			
3144	CR-03	Complejo Cajamarca	Metabasita			157,8	$\pm 0,6$			Jurásico Tardío (J3)		Ar-Ar	Hornblenda		0,44	
3145	LM96-005-002	Formación Noreán	Dique andesítico-dacítico			158	$\pm 12$			Jurásico Tardío (J3)		Rb-Sr	Roca total	0,70578	0,54	
3146	VC85-029-001	Formación Noreán	Lava traquianandesítica			158	$\pm 12$			Jurásico Tardío (J3)		Rb-Sr	Roca total	0,70578	0,54	
3147	JO85-006-001	Formación Noreán	Pórfido dacítico-andesítico			158	$\pm 12$			Jurásico Tardío (J3)		Rb-Sr	Roca total	0,70578	0,54	
3148	10RC03	Formación Saldaña	Riodacita			158,5	$\pm 1,0$			Jurásico Tardío (J3)		U-Pb LA-ICP-MS	Circón		1,9	
3149	WR-128	Batolito de Segovia	Granodiorita			158,7	$\pm 2$			Jurásico Tardío (J3)		U-Pb LA-MC-ICP-MS	Circón			
3150	MPR-1C	Batolito de Segovia	Concentrado en base de saprolito			159	$\pm 2,4$			Jurásico Tardío (J3)		U-Pb LA-MC-ICP-MS	Circón			
3151	AP-01	Domo riolítico				159	$\pm 5$			Jurásico Tardío (J3)		K-Ar	Roca total			
3152	DV04	Batolito de Ibagué	Gabrodiorita			159,2	$\pm 5,2$			Jurásico Tardío (J3)		Ar-Ar	Hornblenda		2,26	
3153	A-91	Formación Macura, Gneis de Uray	Esquisto anfibólico			159,4	$\pm 0,8$			Jurásico Tardío (J3)		Ar-Ar	Hornblenda			
3154	DV09	Batolito de Ibagué	Granito			159,6	$\pm 2,4$			Jurásico Tardío (J3)		U-Pb LA-ICP-MS	Circón		0,63	
3155		Batolito de Segovia	Diorita			160	$\pm 7$			Jurásico Tardío (J3)		K-Ar	Hornblenda			
3156	IMN-12264		Granito riebeckítico			160	$\pm 30$			Jurásico Tardío (J3)		Rb-Sr	Roca total			
3157	IGM-95363	Batolito de Sonsón	Tonalita			160	$\pm 4$			Jurásico Tardío (J3)		K-Ar	Biotita			
3158	COL9	Esquistos de Ancón	Esquisto			160	$\pm 11$			Jurásico Tardío (J3)		K-Ar	Roca total			
3159	PCM-1102	Gneis de Bucaramanga	Gneis biotítico hornblendítico			160,7	$\pm 1$			Jurásico Tardío (J3)		Ar-Ar	Biotita			
3160	MP-1C	Batolito de Segovia	Concentrado en base de saprolito			160,7	$+ 2,4/- 2,3$			Jurásico Tardío (J3)		U-Pb LA-MC-ICP-MS	Circón			

Dispersión %	Número de granos analizados	Número de alicuotas	Fuente georreferenciación	Coordenada X	Coordenada Y	Sistema de coordenadas	Latitud	Longitud	Referencia	ID referencia	Comentarios
				1390316	1000960	MAGNA_Colombia_Bogota	8° 07' 32,365" N	74° 04' 07,661" W	Bernal <i>et al.</i> (2006d)	40	Edad calculada en una isócrona para 2 muestras (LB85-051-001 y LP85-059-001) del sector del corregimiento de Las Brisas
				1392254	1013342	MAGNA_Colombia_Bogota	8° 08' 35,380" N	73° 57' 23,187" W	Bernal <i>et al.</i> (2006d)	40	Edad calculada en una isócrona para 2 muestras (LB85-051-001 y LP85-059-001) del sector del corregimiento de Las Brisas
3	5		Se obtuvo la localización del pozo Suárez-1 del sitio web del EPIS	933352	917596	MAGNA_Colombia_Bogota	3° 59' 35,349" N	74° 49' 10,284" W	Schwabe (2001)	267	Edad central, muestra del pozo Suárez-1 a 7600-7740 pies de profundidad
	8			979670	867418	MAGNA_Colombia_Bogota	4° 24' 41,000" N	75° 16' 19,000" W	Cochrane (2013)	79	Edad concordante media ponderada
			Se obtuvo las coordenadas del punto a partir de la georreferenciación de la Figura 2D	1700511	1124683	MAGNA_Colombia_Bogota	10° 55' 41,003" N	72° 56' 13,151" W	Bayona <i>et al.</i> (2010a)	27	
	9		Se obtuvo las coordenadas del punto de la Tabla DR1 (datos suplementarios)	1095251	1178856	MAGNA_Colombia_Bogota	5° 27' 19,404" N	72° 27' 49,572" W	Horton <i>et al.</i> (2010a)	140	Picos de edad a 850-550 Ma (n = 11) con edades paleozoicas y jurásicas subordinadas. Las edades precretácicas son atribuidas al largo tiempo de residencia en niveles corticales superiores en el escudo estable de Guanía o círculos reciclados de la cordillera Oriental, que nunca fueron enterrados a profundidades bajo la isotermia de 180 °C. También publicada en Bande <i>et al.</i> (2012) [22]
			Las coordenadas (12° 04' 29" N, 71° 32' 16" W) reportadas por los autores no coinciden con la localización de la datación en la Figura 3 de Cardona (2003) [63]. Se obtuvieron las coordenadas del punto a partir de la georreferenciación de esta figura	1827747	974785	MAGNA_Colombia_Este	12° 04' 49,132" N	71° 18' 32,799" W	Cardona <i>et al.</i> (2006)	64	Edad integrada
			Localización suministrada por el profesor Idael BLANCO QUINTERO	988265	866308	MAGNA_Colombia_Bogota	4° 29' 20,700" N	75° 16' 55,440" W	Blanco <i>et al.</i> (2014)	46	Edad integrada
				1020765	900390	MAGNA_Colombia_Bogota	4° 47' 00,200" N	74° 58' 31,400" W	Villagómez (2010)	325	Edad de fusión total
			Localización suministrada por el profesor Idael BLANCO QUINTERO	988265	866308	MAGNA_Colombia_Bogota	4° 29' 20,700" N	75° 16' 55,440" W	Blanco <i>et al.</i> (2014)	46	Edad de meseta interpretada como de metamorfismo y no de reseñamiento térmal (que reflejaría la intrusión del Batolito de Ibagué)
			Las coordenadas (12° 04' 29" N, 71° 32' 16" W) reportadas por los autores no coinciden con la localización de la datación en la Figura 3 de Cardona (2003) [63]. Se obtuvieron las coordenadas del punto a partir de la georreferenciación de esta figura	1827747	974785	MAGNA_Colombia_Este	12° 04' 49,132" N	71° 18' 32,799" W	Cardona <i>et al.</i> (2006)	64	Edad de meseta, relacionada a temperaturas de enfriamiento de 300 ± 50 °C, lo que indica que el relativamente rápido enfriamiento puede estar relacionado con un emplazamiento en niveles corticales superiores
			Las coordenadas (12° 04' 29" N, 71° 32' 16" W) reportadas por los autores no coinciden con la localización de la datación en la Figura 3 de Cardona (2003) [63]. Se obtuvieron las coordenadas del punto a partir de la georreferenciación de esta figura	1827747	974785	MAGNA_Colombia_Este	12° 04' 49,132" N	71° 18' 32,799" W	Cardona <i>et al.</i> (2006)	64	Edad de meseta, relacionada a temperaturas de enfriamiento de 300 ± 50 °C, lo que indica que el relativamente rápido enfriamiento puede estar relacionado con un emplazamiento en niveles corticales superiores
			Localización suministrada por el profesor Idael BLANCO QUINTERO	986393	867002	MAGNA_Colombia_Bogota	4° 28' 19,800" N	75° 16' 32,820" W	Blanco <i>et al.</i> (2014)	46	Edad de meseta interpretada como de metamorfismo y no de reseñamiento térmal (que reflejaría la intrusión del Batolito de Ibagué)
				1349219	1005689	MAGNA_Colombia_Bogota	7° 45' 14,585" N	74° 01' 33,368" W	Bernal <i>et al.</i> (2006a)	37	Edad calculada en una isócrona para 3 muestras (VC85-029-001, JO85-006-001 y LM96-005-002) de los sectores de Simiti-Santa Rosa y Monterrey
				1375293	1009556	MAGNA_Colombia_Bogota	7° 59' 23,292" N	73° 59' 26,984" W	Bernal <i>et al.</i> (2006d)	40	Edad calculada en una isócrona para 3 muestras (VC85-029-001, JO85-006-001 y LM96-005-002) de los sectores de Simiti-Santa Rosa y Monterrey
				1369442	1008705	MAGNA_Colombia_Bogota	7° 56' 12,844" N	73° 59' 54,810" W	Bernal <i>et al.</i> (2006d)	40	Edad calculada en una isócrona para 3 muestras (VC85-029-001, JO85-006-001 y LM96-005-002) de los sectores de Simiti-Santa Rosa y Monterrey
9				966846	875015	MAGNA_Colombia_Bogota	4° 17' 44,000" N	75° 12' 12,000" W	Cochrane (2013)	79	Edad concordante media ponderada. El autor reporta las coordenadas de localización (4° 10' 39" N, 75° 07' 19" W) pero esta no coincide con el mapa, ni con la unidad litológica
				1272688	931784	MAGNA_Colombia_Bogota	7° 03' 41,900" N	74° 41' 41,800" W	Leal Mejía (2011)	160	Interpretada como la edad de cristalización magmática
				1271734	930739	MAGNA_Colombia_Bogota	7° 03' 10,800" N	74° 42' 15,800" W	Leal Mejía (2011)	160	Interpretada como la edad de cristalización magmática
				863831	860113	MAGNA_Colombia_Bogota	3° 21' 50,292" N	75° 20' 10,284" W	Toro <i>et al.</i> (2011)	295	
				1020765	900390	MAGNA_Colombia_Bogota	4° 47' 00,200" N	74° 58' 31,400" W	Villagómez <i>et al.</i> (2011a)	326	Edad media ponderada de meseta
				1830365	962366	MAGNA_Colombia_Este	12° 06' 13,907" N	71° 25' 23,572" W	Cardona (2003)	63	Edad integrada que indica posible perturbación térmal
20				979328	863939	MAGNA_Colombia_Bogota	4° 24' 29,700" N	75° 18' 11,800" W	Villagómez <i>et al.</i> (2011a)	326	Edad media ponderada interpretada como la edad de emplazamiento de la muestra
			Se obtuvieron las coordenadas del punto a partir de la georreferenciación de la Figura 3a de Feininger & Botero (1982) [101]	1198892	937775	MAGNA_Colombia_Bogota	6° 23' 40,015" N	74° 38' 23,817" W	Feininger <i>et al.</i> (1972)	100	
			Las coordenadas (7° 39' N, 73° 16' W) reportadas por los autores no coinciden con la localización de la datación en la Figura 2. Se obtuvieron las coordenadas del punto a partir de la georreferenciación de esta figura	1337479	1087448	MAGNA_Colombia_Bogota	7° 38' 49,825" N	73° 17' 05,913" W	Goldsmith <i>et al.</i> (1971)	114	
			Localización tomada de Restrepo (1983) [236]	1129272	864961	MAGNA_Colombia_Bogota	5° 45' 50,015" N	75° 17' 47,803" W	González (1980)	118	El autor no reporta el código de la muestra, por lo tanto estos datos se toman de la compilación hecha por Restrepo (1983) [236]
			Localización tomada de Cardona (2003) [63]	1305898	1130616	MAGNA_Colombia_Bogota	7° 21' 38,819" N	72° 53' 40,427" W	Cordani <i>et al.</i> (2005)	80	Edad de meseta interpretada como de reseñamiento isotópico
				1272838	931898	MAGNA_Colombia_Bogota	7° 03' 46,800" N	74° 41' 38,100" W	Leal Mejía (2011)	160	Interpretada como la edad de cristalización magmática

ID Datación Radiométrica	Código de la muestra	Unidad geológica	Litología	Edad años BP	Error años	Edad Ma	Error Ma	Edad grano simple menor detrítico	Edad grano simple mayor detrítico	Edad estratigráfica	Edades heredadas	Método de datación	Material analizado	Relación inicial	MSWD	P(X2) %
3161	LM96-005-002	Formación Noreán	Dique andesítico-dáctico			161	$\pm 27$			Jurásico Tardío (J3)		Rb-Sr	Roca total	0,70555	10,9	
3162	LB85-051-001	Formación Noreán	Diorita porfíritica			161	$\pm 27$			Jurásico Tardío (J3)		Rb-Sr	Roca total	0,70555	10,9	
3163	LP85-059-001	Formación Noreán	Toba dacítica-andesítica			161	$\pm 27$			Jurásico Tardío (J3)		Rb-Sr	Roca total	0,70555	10,9	
3164	VC85-029-001	Formación Noreán	Lava traquianandesítica			161	$\pm 27$			Jurásico Tardío (J3)		Rb-Sr	Roca total	0,70555	10,9	
3165	JO85-006-001	Formación Noreán	Pórfido dacítico-andesítico			161	$\pm 27$			Jurásico Tardío (J3)		Rb-Sr	Roca total	0,70555	10,9	
3166	MW 56	Grupo Garzón	Cuarzodiorita			161	$\pm 44$			Jurásico Tardío (J3)		Huellas de fisión	Circón			4
3167	CR-03	Complejo Cajamarca	Metabasita			161,2	$\pm 0,7$			Jurásico Tardío (J3)		Ar-Ar	Hornblenda			
3168	SCBS-2		Toba de lapilli alterada hidrotermalmente			162	$\pm 4$			Jurásico Tardío (J3)		K-Ar	Roca total y sericitia			
3169	JJ114	Gabro de San Diego				162	$\pm 10$			Jurásico Tardío (J3)		K-Ar	Anfibol			
3170	23	Batolito de Atanques	Granodiorita			162	$\pm 12$			Jurásico Tardío (J3)		K-Ar	Hornblenda			
3171	33	Batolito de Patillal	Granofiro			162	$\pm 18$			Jurásico Tardío (J3)		Rb-Sr	Roca total	0,705		
3172	WR-248	Batolito de Segovia	Cuarzodiorita			162,7	$\pm 2,6$			Jurásico Tardío (J3)		U-Pb LA-MC-ICP-MS	Circón			
3173	2926 A	Diorita de Pueblito	Pegmatita hornbléndica			163	$\pm 10$			Jurásico Tardío (J3)		K-Ar	Biotita			
3174	WR-245	Batolito de Segovia	Granodiorita			163,1	$\pm 2,8$			Jurásico Tardío (J3)		U-Pb LA-MC-ICP-MS	Circón			
3175	A 83	Formación Macuira	Esquisto anfibólico			163,3	$\pm 1,6$			Jurásico Tardío (J3)		Ar-Ar	Hornblenda			
3176	S-2R (población 2)					164,0	$\pm 4,9$			Jurásico Medio (J2)		Huellas de fisión	Circón			99
3177	10RC02	Batolito de Ibagué	Granito			164,4	$\pm 1,1$			Jurásico Medio (J2)		U-Pb LA-ICP-MS	Circón		0,8	
3178	IGM-706412	Diabasas de San José de Uramá	Diabasa			164,4	$\pm 8,7$			Jurásico Medio (J2)		Ar-Ar	Roca total			
3179	BV-3	Batolito de Segovia	Concentrado en batea en saprolito de granodiorita			164,6	$\pm 2,4$			Jurásico Medio (J2)		U-Pb LA-MC-ICP-MS	Circón			
3180	DV02	Complejo Cajamarca	Gneis			164,6	$\pm 9$			Jurásico Medio (J2)		Ar-Ar	Hornblenda			1,22
3181	21	Formación Guatapuri	Basalto bajo capas rojas			165	$\pm 6$			Jurásico Medio (J2)		K-Ar	Roca total			
3182	Gor 118	Volcánico de Gorgona	Toleita			165	$\pm 33$			Jurásico Medio (J2)		Re-Os		1,13 ± 0,10		
3183	A 99	Formación Macuira	Esquisto			165,9	$\pm 1,7$			Jurásico Medio (J2)		Ar-Ar	Hornblenda			
3184	BV-279	Formación Brechas de Buenavista	Arenita			165,9	$\pm 12,9$			Jurásico Medio (J2)		Huellas de fisión LA-ICP-MS	Circón			0
3185	GJ64-028-1	Granitoide de San Lucas	Granitoide			166	$\pm 12$			Jurásico Medio (J2)		Rb-Sr	Roca total	0,70725	63	
3186	GJ64-32-1	Granitoide de San Lucas	Granitoide			166	$\pm 12$			Jurásico Medio (J2)		Rb-Sr	Roca total	0,70725	63	
3187	IQ64-020-1	Granitoide de San Lucas	Granitoide			166	$\pm 12$			Jurásico Medio (J2)		Rb-Sr	Roca total	0,70725	63	
3188	DI64-030-1	Granitoide de San Lucas	Granitoide			166	$\pm 12$			Jurásico Medio (J2)		Rb-Sr	Roca total	0,70725	63	

Dispersión %	Número de granos analizados	Número de alicuotas	Fuente georreferenciación	Coordenada X	Coordenada Y	Sistema de coordenadas	Latitud	Longitud	Referencia	ID referencia	Comentarios
				1349219	1005689	MAGNA_Colombia_Bogota	7° 45' 14,585" N	74° 01' 33,368" W	Bernal <i>et al.</i> (2006a)	37	Esta edad indicaría una fase terminal del evento volcanoclastico Noreán, calculada en una isócrona para 5 muestras (LB85-051-001, LP85-059-001, VC85-029-001, JO85-006-001 y LM96-005-002)
				1390316	1000960	MAGNA_Colombia_Bogota	8° 07' 32,365" N	74° 04' 07,661" W	Bernal <i>et al.</i> (2006d)	40	Esta edad indicaría una fase terminal del evento volcanoclastico Noreán, calculada en una isócrona para 5 muestras (LB85-051-001, LP85-059-001, VC85-029-001, JO85-006-001 y LM96-005-002)
				1392254	1013342	MAGNA_Colombia_Bogota	8° 08' 35,380" N	73° 57' 23,187" W	Bernal <i>et al.</i> (2006d)	40	Esta edad indicaría una fase terminal del evento volcanoclastico Noreán, calculada en una isócrona para 5 muestras (LB85-051-001, LP85-059-001, VC85-029-001, JO85-006-001 y LM96-005-002)
				1375293	1009556	MAGNA_Colombia_Bogota	7° 59' 23,292" N	73° 59' 26,984" W	Bernal <i>et al.</i> (2006d)	40	Esta edad indicaría una fase terminal del evento volcanoclastico Noreán, calculada en una isócrona para 5 muestras (LB85-051-001, LP85-059-001, VC85-029-001, JO85-006-001 y LM96-005-002)
				1369442	1008705	MAGNA_Colombia_Bogota	7° 56' 12,844" N	73° 59' 54,810" W	Bernal <i>et al.</i> (2006d)	40	Esta edad indicaría una fase terminal del evento volcanoclastico Noreán, calculada en una isócrona para 5 muestras (LB85-051-001, LP85-059-001, VC85-029-001, JO85-006-001 y LM96-005-002)
6			Se obtuvo las coordenadas del punto a partir de la georreferenciación de la Figura 6	707007	1151685	MAGNA_Colombia_Oeste	1° 56' 45,602" N	75° 42' 51,280" W	van der Wiel & Andriessen (1991)	310	
			Localización suministrada por el profesor Idael BLANCO QUINTERO	986393	867002	MAGNA_Colombia_Bogota	4° 28' 19,800" N	75° 16' 32,820" W	Blanco <i>et al.</i> (2014)	46	Edad integrada
				1436686	997411	MAGNA_Colombia_Bogota	8° 32' 41,700" N	74° 06' 03,700" W	Leal Mejia (2011)	160	Edad media ponderada interpretada como la edad de la alteración hidrotermal y probablemente, de la mineralización en el cerro San Carlos, región de San Lucas
			Localización suministrada por el profesor Jorge Julián RESTREPO	1181206	838079	MAGNA_Colombia_Bogota	6° 13' 58,045" N	75° 32' 25,821" W	Restrepo <i>et al.</i> (1991)	239	
			Se obtuvo las coordenadas del punto a partir de la georreferenciación de la Figura 2	1675405	1079748	MAGNA_Colombia_Bogota	10° 42' 08,520" N	73° 20' 54,745" W	Tschanz <i>et al.</i> (1974)	302	
			Se obtuvo las coordenadas del punto a partir de la georreferenciación de la Figura 2	1689446	1082575	MAGNA_Colombia_Bogota	10° 49' 45,219" N	73° 19' 20,568" W	Tschanz <i>et al.</i> (1974)	302	
				1222288	941138	MAGNA_Colombia_Bogota	6° 36' 21,700" N	74° 36' 35,200" W	Leal Mejia (2011)	160	Interpretada como la edad de cristalización magmática
				1159726	1150118	MAGNA_Colombia_Oeste	6° 02' 20,042" N	75° 43' 17,850" W	Toussaint & Restrepo (1981b)	301	El código de la muestra se tomo de Restrepo (1983) [236]
				1205403	936760	MAGNA_Colombia_Bogota	6° 27' 11,900" N	74° 38' 57,100" W	Leal Mejia (2011)	160	Interpretada como la edad de cristalización magmática
			Localización tomada de Cardona (2003) [63]	1830273	962366	MAGNA_Colombia_Este	12° 06' 10,907" N	71° 25' 23,572" W	Cardona <i>et al.</i> (2006)	64	Edad integrada que indica posible perturbación termal
<1	5		Se obtuvo la localización del pozo Suárez-1 del sitio web del EPIS	933352	917596	MAGNA_Colombia_Bogota	3° 59' 35,349" N	74° 49' 10,284" W	Schwabe (2001)	267	Edad central de población 2, muestra del pozo Suárez-1 a 8470-8610 pies de profundidad, edad obtenida por la profesora Gloria Elena TORO de la Universidad EAFIT
	14			966846	875015	MAGNA_Colombia_Bogota	4° 17' 44,000" N	75° 12' 12,000" W	Cochrane (2013)	79	Edad concordante media ponderada. El autor reporta las coordenadas de localización (4° 10' 39" N, 75° 07' 19" W) pero esta no coincide con el mapa ni con la unidad litológica
				1249498	1105713	MAGNA_Colombia_Oeste	6° 51' 05,043" N	76° 07' 16,074" W	Rodriguez & Arango (2013)	255	Edad de fusión total
				1330696	924301	MAGNA_Colombia_Bogota	7° 35' 09,700" N	74° 45' 48,500" W	Leal Mejia (2011)	160	Interpretada como la edad de cristalización magmática
				1020198	901536	MAGNA_Colombia_Bogota	4° 46' 41,800" N	74° 57' 54,200" W	Villagómez (2010)	325	Edad de isócrona inversa, reseamiento por actividad termal durante la intrusión del Batolito de Ibagué
			Se obtuvo las coordenadas del punto a partir de la georreferenciación de la Figura 2	1690185	1114542	MAGNA_Colombia_Bogota	10° 50' 06,183" N	73° 01' 48,224" W	Tschanz <i>et al.</i> (1974)	302	
			Se obtuvo las coordenadas del punto a partir de la georreferenciación de la Figura 1	820379	878397	MAGNA_Colombia_Oeste	2° 58' 16,640" N	78° 10' 16,614" W	Walker <i>et al.</i> (1991)	335	Edad modelo
				1809869	896671	MAGNA_Colombia_Este	11° 55' 01,922" N	72° 01' 33,601" W	Cardona (2003)	63	Edad de meseta a seudomeseta que indica posible perturbación termal
21	20			952040	1045354	MAGNA_Colombia_Bogota	4° 09' 44,580" N	73° 40' 08,460" W	Parra <i>et al.</i> (2009b)	219	Edad discordante parcialmente reseada. Muestra localizada en el bloque yacente de la Falla de Servitá
				1468190	996632	MAGNA_Colombia_Bogota	8° 49' 47,162" N	74° 06' 29,234" W	Bernal <i>et al.</i> (2006b)	38	La edad entorno a 166 Ma se asume como la edad de cristalización de los cuerpos granítoides de San Lucas. Edad errónea para 14 muestras del Granitoide de San Lucas (LM55-001-1, LM55-002-1, LM55-004-1, LM55-002-1, HC55-066-1, HC55-068-1, HC55-071-1, GJ64-028-1, GJ64-32-1, IQ64-020-1, D164-030-1, GJ64-051, GJ64-072-1 y EC64-015-1)
				1469050	994119	MAGNA_Colombia_Bogota	8° 50' 15,146" N	74° 07' 51,474" W	Bernal <i>et al.</i> (2006b)	38	La edad entorno a 166 Ma se asume como la edad de cristalización de los cuerpos granítoides de San Lucas. Edad errónea para 14 muestras del Granitoide de San Lucas (LM55-001-1, LM55-002-1, LM55-004-1, LM55-002-1, HC55-066-1, HC55-068-1, HC55-071-1, GJ64-028-1, GJ64-32-1, IQ64-020-1, D164-030-1, GJ64-051, GJ64-072-1 y EC64-015-1)
				1465071	1000072	MAGNA_Colombia_Bogota	8° 48' 05,629" N	74° 04' 36,671" W	Bernal <i>et al.</i> (2006b)	38	La edad entorno a 166 Ma se asume como la edad de cristalización de los cuerpos granítoides de San Lucas. Edad errónea para 14 muestras del Granitoide de San Lucas (LM55-001-1, LM55-002-1, LM55-004-1, LM55-002-1, HC55-066-1, HC55-068-1, HC55-071-1, GJ64-028-1, GJ64-32-1, IQ64-020-1, D164-030-1, GJ64-051, GJ64-072-1 y EC64-015-1)
				1476063	999354	MAGNA_Colombia_Bogota	8° 54' 03,425" N	74° 05' 00,158" W	Bernal <i>et al.</i> (2006b)	38	La edad entorno a 166 Ma se asume como la edad de cristalización de los cuerpos granítoides de San Lucas. Edad errónea para 14 muestras del Granitoide de San Lucas (LM55-001-1, LM55-002-1, LM55-004-1, LM55-002-1, HC55-066-1, HC55-068-1, HC55-071-1, GJ64-028-1, GJ64-32-1, IQ64-020-1, D164-030-1, GJ64-051, GJ64-072-1 y EC64-015-1)

ID Datación Radiométrica	Código de la muestra	Unidad geológica	Litología	Edad años BP	Error años	Edad Ma	Error Ma	Edad grano simple menor detrítico	Edad grano simple mayor detrítico	Edad estratigráfica	Edades heredadas	Método de datación	Material analizado	Relación inicial	MSWD	P(X2) %
3189	GJ64-051	Granitoide de San Lucas	Granitoide			166	± 12			Jurásico Medio (J2)		Rb-Sr	Roca total	0,70725	63	
3190	GJ64-072-1	Granitoide de San Lucas	Granitoide			166	± 12			Jurásico Medio (J2)		Rb-Sr	Roca total	0,70725	63	
3191	EC64-015-1	Granitoide de San Lucas	Granitoide			166	± 12			Jurásico Medio (J2)		Rb-Sr	Roca total	0,70725	63	
3192	LM55-001-1	Granitoide de San Lucas	Monzogranito			166	± 12			Jurásico Medio (J2)		Rb-Sr	Roca total	0,70725	63	
3193	LM55-002-1	Granitoide de San Lucas	Monzogranito			166	± 12			Jurásico Medio (J2)		Rb-Sr	Roca total	0,70725	63	
3194	LM55-004-1	Granitoide de San Lucas	Monzogranito			166	± 12			Jurásico Medio (J2)		Rb-Sr	Roca total	0,70725	63	
3195	LM55-002-1	Granitoide de San Lucas	Monzogranito			166	± 12			Jurásico Medio (J2)		Rb-Sr	Feldespato potásico	0,70725	63	
3196	HC55-066-1	Granitoide de San Lucas	Granodiorita			166	± 12			Jurásico Medio (J2)		Rb-Sr	Roca total	0,70725	63	
3197	HC55-068-1	Granitoide de San Lucas	Granodiorita			166	± 12			Jurásico Medio (J2)		Rb-Sr	Roca total	0,70725	63	
3198	HC55-071-1	Granitoide de San Lucas	Granodiorita			166	± 12			Jurásico Medio (J2)		Rb-Sr	Roca total	0,70725	63	
3199	A-746	Complejo Migmatítico de la Cocha Río Téllez	Granodiorita gnésmica			166	± 4			Jurásico Medio (J2)		U-Pb SHRIMP	Circón		0,85	
3200	4VSM (población 2)	Formación Yaví				166,0	± 4,6			Jurásico Medio (J2)		Huellas de fisión	Circón			92
3201	UAKA 80-24	Pórfido de Dolores	Monzonita porfíritica			166	± 4			Jurásico Medio (J2)		K-Ar	Biotita			
3202	UAKA 80-25	Pórfido cupirifero de Mocoa	Dacita porfíritica			166	± 4			Jurásico Medio (J2)		K-Ar	Sericita hidrotermal			
3203	22	Batolito de Aracataca	Granodiorita			166	± 6			Jurásico Medio (J2)		K-Ar	Biotita			
3204	DV05	Batolito de Ibagué	Granodiorita			166	± 10,0			Jurásico Medio (J2)		U-Pb LA-ICP-MS	Circón		0,29	
3205	WR-210	Batolito de Segovia	Diorita			166,5	+ 2,3/- 2,5			Jurásico Medio (J2)		U-Pb LA-MC-ICP-MS	Circón			
3206	SG-013	Stock de Cambumbia				166,87	+ 22,14/- 19,58			Jurásico Medio (J2)		Huellas de fisión LA-ICP-MS	Circón			
3207	LM55-001-1	Granitoide de San Lucas	Monzogranito			166,9	± 6,0			Jurásico Medio (J2)		Rb-Sr	Roca total	0,70717	4,8	
3208	LM55-002-1	Granitoide de San Lucas	Monzogranito			166,9	± 6,0			Jurásico Medio (J2)		Rb-Sr	Roca total	0,70717	4,8	

Dispersión %	Número de granos analizados	Número de alicuotas	Fuente georreferenciación	Coordenada X	Coordenada Y	Sistema de coordenadas	Latitud	Longitud	Referencia	ID referencia	Comentarios
				1458433	995248	MAGNA_Colombia_Bogota	8° 44' 29,573" N	74° 07' 14,493" W	Bernal <i>et al.</i> (2006b)	38	La edad entorno a 166 Ma se asume como la edad de cristalización de los cuerpos granítoides de San Lucas. Edad errónea para 14 muestras del Granitoide de San Lucas (LM55-001-1, LM55-002-1, LM55-004-1, LM55-002-1, HC55-066-1, HC55-068-1, HC55-071-1, GJ64-028-1, GJ64-32-1, IQ64-020-1, DI64-030-1, GJ64-051, GJ64-072-1 y EC64-015-1)
				1457767	995912	MAGNA_Colombia_Bogota	8° 44' 07,897" N	74° 06' 52,767" W	Bernal <i>et al.</i> (2006b)	38	La edad entorno a 166 Ma se asume como la edad de cristalización de los cuerpos granítoides de San Lucas. Edad errónea para 14 muestras del Granitoide de San Lucas (LM55-001-1, LM55-002-1, LM55-004-1, LM55-002-1, HC55-066-1, HC55-068-1, HC55-071-1, GJ64-028-1, GJ64-32-1, IQ64-020-1, DI64-030-1, GJ64-051, GJ64-072-1 y EC64-015-1)
				1459293	955214	MAGNA_Colombia_Bogota	8° 44' 56,776" N	74° 29' 04,289" W	Bernal <i>et al.</i> (2006b)	38	La edad entorno a 166 Ma se asume como la edad de cristalización de los cuerpos granítoides de San Lucas. Edad errónea para 14 muestras del Granitoide de San Lucas (LM55-001-1, LM55-002-1, LM55-004-1, LM55-002-1, HC55-066-1, HC55-068-1, HC55-071-1, GJ64-028-1, GJ64-32-1, IQ64-020-1, DI64-030-1, GJ64-051, GJ64-072-1 y EC64-015-1)
				1497660	1010503	MAGNA_Colombia_Bogota	9° 05' 46,351" N	73° 58' 55,062" W	Bernal <i>et al.</i> (2006c)	39	La edad entorno a 166 Ma se asume como la edad de cristalización de los cuerpos granítoides de San Lucas. Edad errónea para 14 muestras del Granitoide de San Lucas (LM55-001-1, LM55-002-1, LM55-004-1, LM55-002-1, HC55-066-1, HC55-068-1, HC55-071-1, GJ64-028-1, GJ64-32-1, IQ64-020-1, DI64-030-1, GJ64-051, GJ64-072-1 y EC64-015-1)
				1497746	1010366	MAGNA_Colombia_Bogota	9° 05' 49,152" N	73° 58' 59,548" W	Bernal <i>et al.</i> (2006c)	39	La edad entorno a 166 Ma se asume como la edad de cristalización de los cuerpos granítoides de San Lucas. Edad errónea para 14 muestras del Granitoide de San Lucas (LM55-001-1, LM55-002-1, LM55-004-1, LM55-002-1, HC55-066-1, HC55-068-1, HC55-071-1, GJ64-028-1, GJ64-32-1, IQ64-020-1, DI64-030-1, GJ64-051, GJ64-072-1 y EC64-015-1)
				1497468	1010032	MAGNA_Colombia_Bogota	9° 05' 40,106" N	73° 59' 10,488" W	Bernal <i>et al.</i> (2006c)	39	La edad entorno a 166 Ma se asume como la edad de cristalización de los cuerpos granítoides de San Lucas. Edad errónea para 14 muestras del Granitoide de San Lucas (LM55-001-1, LM55-002-1, LM55-004-1, LM55-002-1, HC55-066-1, HC55-068-1, HC55-071-1, GJ64-028-1, GJ64-32-1, IQ64-020-1, DI64-030-1, GJ64-051, GJ64-072-1 y EC64-015-1)
				1497746	1010366	MAGNA_Colombia_Bogota	9° 05' 49,152" N	73° 58' 59,548" W	Bernal <i>et al.</i> (2006c)	39	La edad entorno a 166 Ma se asume como la edad de cristalización de los cuerpos granítoides de San Lucas. Edad errónea para 14 muestras del Granitoide de San Lucas (LM55-001-1, LM55-002-1, LM55-004-1, LM55-002-1, HC55-066-1, HC55-068-1, HC55-071-1, GJ64-028-1, GJ64-32-1, IQ64-020-1, DI64-030-1, GJ64-051, GJ64-072-1 y EC64-015-1)
				1499997	1016108	MAGNA_Colombia_Bogota	9° 07' 02,354" N	73° 55' 51,477" W	Bernal <i>et al.</i> (2006c)	39	La edad entorno a 166 Ma se asume como la edad de cristalización de los cuerpos granítoides de San Lucas. Edad errónea para 14 muestras del Granitoide de San Lucas (LM55-001-1, LM55-002-1, LM55-004-1, LM55-002-1, HC55-066-1, HC55-068-1, HC55-071-1, GJ64-028-1, GJ64-32-1, IQ64-020-1, DI64-030-1, GJ64-051, GJ64-072-1 y EC64-015-1)
				1500847	1016958	MAGNA_Colombia_Bogota	9° 07' 30,009" N	73° 55' 23,628" W	Bernal <i>et al.</i> (2006c)	39	La edad entorno a 166 Ma se asume como la edad de cristalización de los cuerpos granítoides de San Lucas. Edad errónea para 14 muestras del Granitoide de San Lucas (LM55-001-1, LM55-002-1, LM55-004-1, LM55-002-1, HC55-066-1, HC55-068-1, HC55-071-1, GJ64-028-1, GJ64-32-1, IQ64-020-1, DI64-030-1, GJ64-051, GJ64-072-1 y EC64-015-1)
				1504497	1018358	MAGNA_Colombia_Bogota	9° 09' 28,790" N	73° 54' 37,720" W	Bernal <i>et al.</i> (2006c)	39	La edad entorno a 166 Ma se asume como la edad de cristalización de los cuerpos granítoides de San Lucas. Edad errónea para 14 muestras del Granitoide de San Lucas (LM55-001-1, LM55-002-1, LM55-004-1, LM55-002-1, HC55-066-1, HC55-068-1, HC55-071-1, GJ64-028-1, GJ64-32-1, IQ64-020-1, DI64-030-1, GJ64-051, GJ64-072-1 y EC64-015-1)
12		Se obtuvo las coordenadas del punto a partir de la georreferenciación del Anexo 1		581476	971675	MAGNA_Colombia_Oeste	0° 48' 40,639" N	77° 19' 55,134" W	Jiménez (2003)	151	Edad media, interpretada como la edad de colocación del ortogneis
<1	4	Se localizó el punto de la datación con las coordenadas de la base de la columna estratigráfica donde se tomaron las muestras		860430	859667	MAGNA_Colombia_Bogota	3° 19' 59,597" N	75° 20' 24,579" W	Schwabe (2001)	267	Edad central de población 2, edad obtenida por la profesora Gloria Elena TORO de la Universidad EAFIT
				885893	896018	MAGNA_Colombia_Bogota	3° 33' 49,793" N	75° 00' 48,071" W	Sillitoe <i>et al.</i> (1982)	271	Interpretada como la edad mínima de emplazamiento
				627834	1046087	MAGNA_Colombia_Oeste	1° 13' 49,842" N	76° 39' 48,266" W	Sillitoe <i>et al.</i> (1982)	271	Interpretada como la edad mínima de emplazamiento, la datación fue realizada sobre un núcleo de perforación DDH-M9 de 928 pies
		Se obtuvo las coordenadas del punto a partir de la georreferenciación de la Figura 2		1659480	1007130	MAGNA_Colombia_Bogota	10° 33' 33,253" N	74° 00' 44,488" W	Tschanz <i>et al.</i> (1974)	302	
	5			979260	867839	MAGNA_Colombia_Bogota	4° 24' 27,700" N	75° 16' 05,300" W	Villagómez <i>et al.</i> (2011a)	326	Edad media ponderada interpretada como la edad próxima al emplazamiento del magma
				1390152	1005637	MAGNA_Colombia_Bogota	8° 07' 27,000" N	74° 01' 34,900" W	Leal Mejía (2011)	160	Interpretada como la edad de cristalización magmática
24		Se tomaron las coordenadas listadas en los anexos que se diferencian varios metros con respecto a las reportadas en el informe final		1125060	1163813	MAGNA_Colombia_Oeste	5° 43' 30,729" N	75° 35' 55,620" W	Agencia Nacional de Hidrocarburos & Universidad de Caldas (2011b)	4	Edad pooled
				1497660	1010503	MAGNA_Colombia_Bogota	9° 05' 46,351" N	73° 58' 55,062" W	Bernal <i>et al.</i> (2006c)	39	Interpretada como la edad de cristalización de los cuerpos graníticos de San Lucas, obtenida a partir de una errónea (roca total, feldespato potásico) para 7 muestras (LM55-001-1, LM55-002-1, LM55-004-1, LM55-002-1, HC55-066-1, HC55-068-1 y HC55-071-1)
				1497746	1010366	MAGNA_Colombia_Bogota	9° 05' 49,152" N	73° 58' 59,548" W	Bernal <i>et al.</i> (2006c)	39	Interpretada como la edad de cristalización de los cuerpos graníticos de San Lucas, obtenida a partir de una errónea (roca total, feldespato potásico) para 7 muestras (LM55-001-1, LM55-002-1, LM55-004-1, LM55-002-1, HC55-066-1, HC55-068-1 y HC55-071-1)

ID Datación Radiométrica	Código de la muestra	Unidad geológica	Litología	Edad años BP	Error años	Edad Ma	Error Ma	Edad grano simple menor detrítico	Edad grano simple mayor detrítico	Edad estratigráfica	Edades heredadas	Método de datación	Material analizado	Relación inicial	MSWD	P(X2) %
3209	LM55-004-1	Granitoide de San Lucas	Monzogranito			166,9	± 6,0			Jurásico Medio (J2)		Rb-Sr	Roca total	0,70717	4,8	
3210	LM55-002-1	Granitoide de San Lucas	Monzogranito			166,9	± 6,0			Jurásico Medio (J2)		Rb-Sr	Feldespato potásico	0,70717	4,8	
3211	HC55-066-1	Granitoide de San Lucas	Granodiorita			166,9	± 6,0			Jurásico Medio (J2)		Rb-Sr	Roca total	0,70717	4,8	
3212	HC55-068-1	Granitoide de San Lucas	Granodiorita			166,9	± 6,0			Jurásico Medio (J2)		Rb-Sr	Roca total	0,70717	4,8	
3213	HC55-071-1	Granitoide de San Lucas	Granodiorita			166,9	± 6,0			Jurásico Medio (J2)		Rb-Sr	Roca total	0,70717	4,8	
3214	Siap-1	Granodiorita de Siapana	Granodiorita			167	± 9,4			Jurásico Medio (J2)	1311 ± 26 Ma (n = 1), 870 ± 25 Ma (n = 1) y 456 ± 9,7 Ma (n = 1)	U-Pb SHRIMP	Circón		1,7	
3215	WR-135		Dique de porfido diorítico			167	± 5			Jurásico Medio (J2)		K-Ar	Roca total			
3216	JJ244	Gneis de Las Palmas	Gneis augen			167				Jurásico Medio (J2)		Rb-Sr	Roca total	0,710		
3217	4VSM (población 2)	Formación Yaví				167,0	± 3,7			Jurásico Medio (J2)		Huellas de fisión	Circón			46-92
3218	32	Batolito de Patillal	Granofíro			167	± 13			Jurásico Medio (J2)		Rb-Sr	Roca total	0,705		
3219	10VDL37	Ortogneis de Berlín	Gneis biotítico hornblendico			167,1	± 15,0			Jurásico Medio (J2)		Huellas de fisión LA-ICP-MS	Circón			43,4
3220	GJ64-028-1	Granitoide de San Lucas	Granitoide			168	± 48			Jurásico Medio (J2)		Rb-Sr	Roca total	0,7073	136	
3221	GJ64-32-1	Granitoide de San Lucas	Granitoide			168	± 48			Jurásico Medio (J2)		Rb-Sr	Roca total	0,7073	136	
3222	IQ64-020-1	Granitoide de San Lucas	Granitoide			168	± 48			Jurásico Medio (J2)		Rb-Sr	Roca total	0,7073	136	
3223	DI64-030-1	Granitoide de San Lucas	Granitoide			168	± 48			Jurásico Medio (J2)		Rb-Sr	Roca total	0,7073	136	
3224	GJ64-051	Granitoide de San Lucas	Granitoide			168	± 48			Jurásico Medio (J2)		Rb-Sr	Roca total	0,7073	136	
3225	GJ64-072-1	Granitoide de San Lucas	Granitoide			168	± 48			Jurásico Medio (J2)		Rb-Sr	Roca total	0,7073	136	
3226	EC64-015-1	Granitoide de San Lucas	Granitoide			168	± 48			Jurásico Medio (J2)		Rb-Sr	Roca total	0,7073	136	
3227	29	Batolito de Patillal	Cuarzomonzonita			168	± 5			Jurásico Medio (J2)		K-Ar	Hornblenda			
3228	A 83	Formación Macuira	Esquisto anfibólico			168,5	± 0,9			Jurásico Medio (J2)		Ar-Ar	Hornblenda			
3229	10RC06	Batolito de Ibagué	Leucogranito			168,8	± 0,7			Jurásico Medio (J2)		U-Pb LA-ICP-MS	Circón		2,5	
3230	LM55-001-1	Granitoide de San Lucas	Monzogranito			169	± 44			Jurásico Medio (J2)		Rb-Sr	Roca total	0,7071	7,2	
3231	LM55-002-1	Granitoide de San Lucas	Monzogranito			169	± 44			Jurásico Medio (J2)		Rb-Sr	Roca total y feldespato potásico	0,7071	7,2	
3232	LM55-004-1	Granitoide de San Lucas	Monzogranito			169	± 44			Jurásico Medio (J2)		Rb-Sr	Roca total	0,7071	7,2	
3233	4VSM (población 2)	Formación Yaví				169,0	± 6,3			Jurásico Medio (J2)		Huellas de fisión	Circón			46
3234	JF 1	Grupo Garzón	Gneis biotítico			169	± 26			Jurásico Medio (J2)		Huellas de fisión	Circón			22
3235	130808-2	Formación Concentración	Arenita					169,2 ± 13,5	508,9 ± 40,7	Cámbrico (e)-Jurásico Medio (J2)		U-Th/He	Circón			
3236	A 99	Formación Macuira	Esquisto			169,8	± 1,7			Jurásico Medio (J2)		Ar-Ar	Hornblenda			
3237	IGM-80070	Batolito de Sonsón	Tonalita			170	± 4			Jurásico Medio (J2)		K-Ar	Roca total			
3238	M1	Complejo Ígneo de Mocoa	Dacita porfirítica			170	± 2			Jurásico Medio (J2)		K-Ar	Roca total			

Dispersión %	Número de granos analizados	Número de alicuotas	Fuente georreferenciación	Coordenada X	Coordenada Y	Sistema de coordenadas	Latitud	Longitud	Referencia	ID referencia	Comentarios
				1497468	1010032	MAGNA_Colombia_Bogota	9° 05' 40,106" N	73° 59' 10,488" W	Bernal <i>et al.</i> (2006c)	39	Interpretada como la edad de cristalización de los cuerpos graníticos de San Lucas, obtenida a partir de una errónea (roca total, feldespato potásico) para 7 muestras (LM55-001-1, LM55-002-1, LM55-004-1, LM55-002-1, HC55-066-1, HC55-068-1 y HC55-071-1)
				1497746	1010366	MAGNA_Colombia_Bogota	9° 05' 49,152" N	73° 58' 59,548" W	Bernal <i>et al.</i> (2006c)	39	Interpretada como la edad de cristalización de los cuerpos graníticos de San Lucas, obtenida a partir de una errónea (roca total, feldespato potásico) para 7 muestras (LM55-001-1, LM55-002-1, LM55-004-1, LM55-002-1, HC55-066-1, HC55-068-1 y HC55-071-1)
				1499997	1016108	MAGNA_Colombia_Bogota	9° 07' 02,354" N	73° 55' 51,477" W	Bernal <i>et al.</i> (2006c)	39	Interpretada como la edad de cristalización de los cuerpos graníticos de San Lucas, obtenida a partir de una errónea (roca total, feldespato potásico) para 7 muestras (LM55-001-1, LM55-002-1, LM55-004-1, LM55-002-1, HC55-066-1, HC55-068-1 y HC55-071-1)
				1500847	1016958	MAGNA_Colombia_Bogota	9° 07' 30,009" N	73° 55' 23,628" W	Bernal <i>et al.</i> (2006c)	39	Interpretada como la edad de cristalización de los cuerpos graníticos de San Lucas, obtenida a partir de una errónea (roca total, feldespato potásico) para 7 muestras (LM55-001-1, LM55-002-1, LM55-004-1, LM55-002-1, HC55-066-1, HC55-068-1 y HC55-071-1)
				1504497	1018358	MAGNA_Colombia_Bogota	9° 09' 28,790" N	73° 54' 37,720" W	Bernal <i>et al.</i> (2006c)	39	Interpretada como la edad de cristalización de los cuerpos graníticos de San Lucas, obtenida a partir de una errónea (roca total, feldespato potásico) para 7 muestras (LM55-001-1, LM55-002-1, LM55-004-1, LM55-002-1, HC55-066-1, HC55-068-1 y HC55-071-1)
5			Las coordenadas (12° 04' 29" N, 71° 32' 16" W) reportadas por los autores no coinciden con la localización de la datación en la Figura 3 de Cardona (2003) [63]. Se obtuvo las coordenadas del punto a partir de la georreferenciación de esta figura	1827747	974785	MAGNA_Colombia_Este	12° 04' 49,132" N	71° 18' 32,799" W	Cardona <i>et al.</i> (2006)	64	Edad media ponderada de 167 ± 9,4 Ma es interpretada como de cristalización del granitoide. Proporción de todos los círculos Th/U > 0,2 típicos de círculos magmáticos
				1324347	919720	MAGNA_Colombia_Bogota	7° 31' 42,800" N	74° 48' 17,600" W	Leal Mejía (2011)	160	La mineralización de oro en el Stock de El Carmen, sector de El Bagre, claramente indica la edad previa la intrusión del Batolito de Segovia y en general el magmatismo del Jurásico Tardío
			Localización suministrada por el profesor Jorge Julián RESTREPO	1174139	837782	MAGNA_Colombia_Bogota	6° 10' 08,042" N	75° 32' 34,823" W	Restrepo <i>et al.</i> (1991)	239	Edad convencional
<1	3-4		Se localizó el punto de la datación con las coordenadas de la base de la columna estratigráfica donde se tomaron las muestras	860430	859667	MAGNA_Colombia_Bogota	3° 19' 59,597" N	75° 20' 24,579" W	Schwabe (2001)	267	Edad central ponderada de población 2
			Se obtuvo las coordenadas del punto a partir de la georreferenciación de la Figura 2	1691603	1087615	MAGNA_Colombia_Bogota	10° 50' 55,000" N	73° 16' 34,481" W	Tschanz <i>et al.</i> (1974)	302	
30				1286984	1121442	MAGNA_Colombia_Bogota	7° 11' 24,000" N	72° 58' 41,000" W	van der Lelij (2013)	308	Edad pooled
				1468190	996632	MAGNA_Colombia_Bogota	8° 49' 47,162" N	74° 06' 29,234" W	Bernal <i>et al.</i> (2006b)	38	Edad errónea para 7 muestras (GJ64-028-1, GJ64-32-1, IQ64-020-1, DI64-030-1, GJ64-051, GJ64-072-1 y EC64-015-1)
				1469050	994119	MAGNA_Colombia_Bogota	8° 50' 15,146" N	74° 07' 51,474" W	Bernal <i>et al.</i> (2006b)	38	Edad errónea para 7 muestras (GJ64-028-1, GJ64-32-1, IQ64-020-1, DI64-030-1, GJ64-051, GJ64-072-1 y EC64-015-1)
				1465071	1000072	MAGNA_Colombia_Bogota	8° 48' 05,629" N	74° 04' 36,671" W	Bernal <i>et al.</i> (2006b)	38	Edad errónea para 7 muestras (GJ64-028-1, GJ64-32-1, IQ64-020-1, DI64-030-1, GJ64-051, GJ64-072-1 y EC64-015-1)
				1476063	999354	MAGNA_Colombia_Bogota	8° 54' 03,425" N	74° 05' 00,158" W	Bernal <i>et al.</i> (2006b)	38	Edad errónea para 7 muestras (GJ64-028-1, GJ64-32-1, IQ64-020-1, DI64-030-1, GJ64-051, GJ64-072-1 y EC64-015-1)
				1458433	995248	MAGNA_Colombia_Bogota	8° 44' 29,573" N	74° 07' 14,493" W	Bernal <i>et al.</i> (2006b)	38	Edad errónea para 7 muestras (GJ64-028-1, GJ64-32-1, IQ64-020-1, DI64-030-1, GJ64-051, GJ64-072-1 y EC64-015-1)
				1457767	995912	MAGNA_Colombia_Bogota	8° 44' 07,897" N	74° 06' 52,767" W	Bernal <i>et al.</i> (2006b)	38	Edad errónea para 7 muestras (GJ64-028-1, GJ64-32-1, IQ64-020-1, DI64-030-1, GJ64-051, GJ64-072-1 y EC64-015-1)
				1459293	955214	MAGNA_Colombia_Bogota	8° 44' 56,776" N	74° 29' 04,289" W	Bernal <i>et al.</i> (2006b)	38	Edad errónea para 7 muestras (GJ64-028-1, GJ64-32-1, IQ64-020-1, DI64-030-1, GJ64-051, GJ64-072-1 y EC64-015-1)
			Se obtuvo las coordenadas del punto a partir de la georreferenciación de la Figura 2	1723286	1117391	MAGNA_Colombia_Bogota	11° 08' 02,980" N	73° 00' 10,562" W	Tschanz <i>et al.</i> (1974)	302	
			Localización tomada de Cardona (2003) [63]	1830273	962366	MAGNA_Colombia_Este	12° 06' 10,907" N	71° 25' 23,572" W	Cardona <i>et al.</i> (2006)	64	Edad integrada que indica posible perturbación termal
13				1020759	900402	MAGNA_Colombia_Bogota	4° 47' 00,000" N	74° 58' 31,000" W	Cochrane (2013)	79	Edad concordante media ponderada. El autor reporta las coordenadas de localización (4° 28' 12" N, 74° 35' 07" W) pero esta no coincide con el mapa, ni con la unidad litológica
				1497660	1010503	MAGNA_Colombia_Bogota	9° 05' 46,351" N	73° 58' 55,062" W	Bernal <i>et al.</i> (2006c)	39	Edad con un alto error analítico, calculada en una isócrona para 4 muestras (LM55-001-1, LM55-002-1 en roca total, LM55-002-1 en feldespato potásico y LM55-004-1)
				1497746	1010366	MAGNA_Colombia_Bogota	9° 05' 49,152" N	73° 58' 59,548" W	Bernal <i>et al.</i> (2006c)	39	Edad con un alto error analítico, calculada en una isócrona para 4 muestras (LM55-001-1, LM55-002-1 en roca total, LM55-002-1 en feldespato potásico y LM55-004-1)
				1497468	1010032	MAGNA_Colombia_Bogota	9° 05' 40,106" N	73° 59' 10,488" W	Bernal <i>et al.</i> (2006c)	39	Edad con un alto error analítico, calculada en una isócrona para 4 muestras (LM55-001-1, LM55-002-1 en roca total, LM55-002-1 en feldespato potásico y LM55-004-1)
<1	3		Se localizó el punto de la datación con las coordenadas de la base de la columna estratigráfica donde se tomaron las muestras	860430	859667	MAGNA_Colombia_Bogota	3° 19' 59,597" N	75° 20' 24,579" W	Schwabe (2001)	267	Edad central de la población 2
6			Se obtuvo las coordenadas del punto a partir de la georreferenciación de la Figura 6	787679	916926	MAGNA_Colombia_Bogota	2° 40' 33,190" N	74° 49' 28,425" W	van der Wiel & Andriessen (1991)	310	
4				1150615	1141883	MAGNA_Colombia_Bogota	5° 57' 24,156" N	72° 47' 46,248" W	Saylor <i>et al.</i> (2012a)	264	Muestra localizada en el bloque yacente de la Falla de Soápagua
				1809869	896671	MAGNA_Colombia_Este	11° 55' 01,922" N	72° 01' 33,601" W	Cardona (2003)	63	Edad integrada que indica posible perturbación termal
			Localización tomada de Restrepo (1983) [236]	1129732	865147	MAGNA_Colombia_Bogota	5° 46' 05,015" N	75° 17' 41,803" W	González (1980)	118	El autor no reporta el código de la muestra ni la localización, por lo tanto estos datos se toman de la compilación hecha por Restrepo (1983) [236] en la que el autor colaboró
			Se obtuvo las coordenadas del punto a partir de la georreferenciación de la Figura 3	628783	1045248	MAGNA_Colombia_Oeste	1° 14' 20,734" N	76° 40' 15,425" W	Jaramillo <i>et al.</i> (1980)	148	Interpretada como la edad de alteración hidrotermal

ID Datación Radiométrica	Código de la muestra	Unidad geológica	Litología	Edad años BP	Error años	Edad Ma	Error Ma	Edad grano simple menor detrítico	Edad grano simple mayor detrítico	Edad estratigráfica	Edades heredadas	Método de datación	Material analizado	Relación inicial	MSWD	P(X2) %
3239	12	Complejo Plutónico Tucurinca	Metadiorita			170	$\pm 6$			Jurásico Medio (J2)		K–Ar	Hornblenda			
3240	IGM–49557	Gneises y Anfibolitas de Tierradentro	Anfibolita			171	$\pm 3$			Jurásico Medio (J2)		K–Ar	Hornblenda			
3241	DV06	Batolito de Ibagué	Granito			171,2	$\pm 1,0$			Jurásico Medio (J2)		Ar–Ar	Hornblenda			
3242	028–01	Batolito de Norosí	Granodiorita			171,3	$\pm 1,8$			Jurásico Medio (J2)		U–Pb LA–ICP–MS	Circón		0,98	
3243	996–35	Formación Los Santos	Arenita			171,5	$\pm 10,6$			Jurásico Medio (J2)		Huellas de fisión	Apatito			<1
3244	IMN–10894	Batolito de Río Negro	Granodiorita porfíritica			172	$\pm 6$			Jurásico Medio (J2)		K–Ar	Biotita			
3245	M2	Complejo Ígneo de Mocoa	Dacita lítica porfírica			172	$\pm 2$			Jurásico Medio (J2)		K–Ar	Roca total			
3246	J–208	Gneis de Uray	Gneis hornbléndico			172	$\pm 10$			Jurásico Medio (J2)		K–Ar	Hornblenda			
3247	24	Batolito de Ojeda	Cuarzomonzonita			172	$\pm 6$			Jurásico Medio (J2)		K–Ar	Biotita			
3248	25	Batolito Central	Granodiorita			172	$\pm 7$			Jurásico Medio (J2)		K–Ar	Biotita			
3249	30	Batolito de Pueblo Bello	Cuarzomonzonita			172	$\pm 6$			Jurásico Medio (J2)		K–Ar	Biotita			
3250	CJ–30		Esquisto cuarzo sericitico			172	$\pm 7$			Jurásico Medio (J2)		Ar–Ar	Sericita			
3251	10VDI.22	Granodiorita de Pescadero	Granodiorita			172,0	$\pm 16,4$			Jurásico Medio (J2)		Huellas de fisión LA–ICP–MS	Circón			40,6
3252	NPA–1, NP–2	Gneis de Palmitas	Gneis			173	$\pm 26$			Jurásico Medio (J2)		Rb–Sr	Roca total			6
3253	DV137	Batolito de Mocoa	Granito hornbléndico			173,6	$\pm 1,5$			Jurásico Medio (J2)		U–Pb LA–ICP–MS	Circón			2,5
3254	CB0001	Granito de Garzón				173,9	$\pm 2,6$			Jurásico Medio (J2)		U–Pb LA–MC–ICP–MS	Circón			
3255	G–17	Grupo Garzón	Gneis			174	$\pm 3$			Jurásico Medio (J2)		Ar–Ar	Feldespato			
3256	30	Batolito de Pueblo Bello	Cuarzomonzonita			174	$\pm 7$			Jurásico Medio (J2)		K–Ar	Biotita			
3257	WR–243	Intrusivos hipobásicos	Dique de porfido dacítico			174,3	$\pm 2,7$			Jurásico Temprano (J1)		U–Pb LA–MC–ICP–MS	Circón			
3258	030–02	Batolito de Norosí	Granodiorita			174,5	$\pm 1,9$			Jurásico Temprano (J1)		U–Pb LA–ICP–MS	Circón			1,2
3259	BV–5	Ortogneis de Berlin	Ortogneis			175	$\pm 3$			Jurásico Temprano (J1)		Ar–Ar	Biotita			
3260	19	Formación Los Clavos	Ignimbrita riocáctica			175	$\pm 13$			Jurásico Temprano (J1)		K–Ar	Hornblenda			
3261	29	Batolito de Patillal	Cuarzomonzonita			175	$\pm 6$			Jurásico Temprano (J1)		K–Ar	Biotita			
3262	CSB–3a	Gneis de Bucaramanga	Paragneis			175,4	$\pm 1,7$			Jurásico Temprano (J1)		Ar–Ar	Biotita			
3263	14	Formación Umir	Arenita					175,5 $\pm 14$	488 $\pm 39$	Cámbrico (e)–Jurásico Temprano (J1)		U–Th/He	Circón			
3264	DV129		Gneis granodiorítico			175,8	$\pm 1,7$			Jurásico Temprano (J1)		U–Pb LA–ICP–MS	Circón			1,3
3265		Stock de Dolores	Granito			176	$\pm 4$			Jurásico Temprano (J1)		K–Ar	Hornblenda			
3266	27		Granodiorita			176	$\pm 7$			Jurásico Temprano (J1)		K–Ar	Biotita			
3267	28	Batolito de Patillal	Granodiorita			176	$\pm 7$			Jurásico Temprano (J1)		K–Ar	Biotita			
3268	IMN–10894	Batolito de Río Negro	Granodiorita porfírica			177	$\pm 6$			Jurásico Temprano (J1)		K–Ar	Biotita			
3269	CSB–2a	Gneis de Bucaramanga	Paragneis			177	$\pm 4$			Jurásico Temprano (J1)		Ar–Ar	Biotita			
3270	25	Batolito Central	Granodiorita			177	$\pm 13$			Jurásico Temprano (J1)		K–Ar	Hornblenda			
3271			Andesita			177,3	$\pm 7,9$			Jurásico Temprano (J1)		K–Ar	Hornblenda			

Dispersión %	Número de granos analizados	Número de aliquotas	Fuente georreferenciación	Coordenada X	Coordenada Y	Sistema de coordenadas	Latitud	Longitud	Referencia	ID referencia	Comentarios
			Se obtuvo las coordenadas del punto a partir de la georreferenciación de la Figura 2	1695640	1009758	MAGNA_Colombia_Bogota	10° 53' 10,089" N	73° 59' 17,731" W	Tschanz <i>et al.</i> (1974)	302	
			Localización tomada de Barrero & Vesga (1976) [25]	1034585	902484	MAGNA_Colombia_Bogota	4° 54' 30,167" N	74° 57' 24,028" W	Barrero & Vesga (1976)	25	
				978687	864909	MAGNA_Colombia_Bogota	4° 24' 08,900" N	75° 17' 40,300" W	Villagómez (2010)	325	Edad de fusión total. El espectro de edad con pasos de baja temperatura de ~140 Ma puede ser consecuencia de una pérdida de Ar durante el enfriamiento lento o recristalización por recalentamiento, el espectro de edad está perturbado
				1456268	997998	MAGNA_Colombia_Bogota	8° 43' 19,091" N	74° 05' 44,540" W	Cuadros <i>et al.</i> (2014)	87	Edad concordia. Para el Batolito de Norosi se determinó una edad de cristalización del magma de ca. 173 Ma
20				1297267	1115887	MAGNA_Colombia_Bogota	7° 16' 59,088" N	73° 01' 41,232" W	Caballero <i>et al.</i> (2013)	59	
			Las coordenadas (7° 22' N, 73° 06' W) reportadas por los autores no coinciden con la localización de la datación en la Figura 2. Se obtuvo las coordenadas del punto a partir de la georreferenciación de esta figura	1306856	1105490	MAGNA_Colombia_Bogota	7° 22' 11,940" N	73° 07' 19,476" W	Goldsmith <i>et al.</i> (1971)	114	
			Se obtuvo las coordenadas del punto a partir de la georreferenciación de la Figura 3	628874	1044635	MAGNA_Colombia_Oeste	1° 14' 23,683" N	76° 40' 35,225" W	Jaramillo <i>et al.</i> (1980)	148	Interpretada como la edad de alteración hidrotermal
				1829598	961851	MAGNA_Colombia_Este	12° 05' 48,908" N	71° 25' 40,572" W	Lockwood (1965)	162	
			Se obtuvo las coordenadas del punto a partir de la georreferenciación de la Figura 2	1697055	1072450	MAGNA_Colombia_Bogota	10° 53' 53,624" N	73° 24' 53,357" W	Tschanz <i>et al.</i> (1974)	302	
			Se obtuvo las coordenadas del punto a partir de la georreferenciación de la Figura 2	1714612	1067582	MAGNA_Colombia_Bogota	11° 03' 25,312" N	73° 27' 32,459" W	Tschanz <i>et al.</i> (1974)	302	
			Se obtuvo las coordenadas del punto a partir de la georreferenciación de la Figura 2	1653805	1051005	MAGNA_Colombia_Bogota	10° 30' 27,350" N	73° 36' 41,647" W	Tschanz <i>et al.</i> (1974)	302	
			Se obtuvo las coordenadas del punto a partir de la georreferenciación del Anexo I	1139312	841053	MAGNA_Colombia_Bogota	5° 51' 14,942" N	75° 30' 45,515" W	Vinasco & Cordani (2012)	333	Edad integrada no representativa dada la heterogeneidad del espectro
29				1247161	1120122	MAGNA_Colombia_Bogota	6° 49' 48,000" N	72° 59' 27,000" W	van der Lelij (2013)	308	Edad pooled
			Se obtuvo las coordenadas del punto a partir de la georreferenciación de la Figura 15	1195080	1153298	MAGNA_Colombia_Oeste	6° 21' 30,315" N	75° 41' 31,471" W	Ordóñez Carmona (2001)	207	Interpretada como la edad de cristalización del granito, punto correspondiente a 2 muestras. Edad calculada en una isócrona para 4 datos, 2 de los datos (muestras 2938 y JJ148) son de Restrepo <i>et al.</i> (1991) [239]
17				611417	1029832	MAGNA_Colombia_Oeste	1° 04' 55,400" N	76° 48' 34,100" W	Cochrane (2013)	79	
			Se obtuvo las coordenadas del punto a partir de la georreferenciación de la Figura 2	733936	1165422	MAGNA_Colombia_Oeste	2° 11' 21,656" N	75° 35' 26,108" W	Bustamante <i>et al.</i> (2010)	58	Edad media ponderada interpretada como la edad de cristalización magmática
			Localización tomada de Restrepo Pace (1995) [246]	705296	1149928	MAGNA_Colombia_Oeste	1° 55' 49,943" N	75° 43' 48,161" W	Restrepo Pace <i>et al.</i> (1997)	247	Edad integrada que corresponde a un evento termal en el Jurásico
			Se obtuvo las coordenadas del punto a partir de la georreferenciación de la Figura 2	1653805	1051005	MAGNA_Colombia_Bogota	10° 30' 27,350" N	73° 36' 41,647" W	Tschanz <i>et al.</i> (1974)	302	
				1372902	994305	MAGNA_Colombia_Bogota	7° 58' 05,500" N	74° 07' 45,000" W	Leal Mejía (2011)	160	Interpretada como la edad de cristalización magmática
				1463672	997531	MAGNA_Colombia_Bogota	8° 47' 20,088" N	74° 05' 59,830" W	Cuadros <i>et al.</i> (2014)	87	Edad media. Para el Batolito de Norosi se determinó una edad de cristalización del magma de ca. 173 Ma
				1292684	1129914	MAGNA_Colombia_Bogota	7° 14' 28,820" N	72° 54' 04,430" W	Restrepo Pace (1995)	246	Edad integrada
			Se obtuvo las coordenadas del punto a partir de la georreferenciación de la Figura 2	1653440	1083362	MAGNA_Colombia_Bogota	10° 30' 13,412" N	73° 18' 57,577" W	Tschanz <i>et al.</i> (1974)	302	
			Se obtuvo las coordenadas del punto a partir de la georreferenciación de la Figura 2	1723286	1117391	MAGNA_Colombia_Bogota	11° 08' 02,980" N	73° 00' 10,562" W	Tschanz <i>et al.</i> (1974)	302	
				1260476	1126956	MAGNA_Colombia_Bogota	6° 57' 00,824" N	72° 55' 43,437" W	Restrepo Pace (1995)	246	Edad integrada
4				1182914	1031406	MAGNA_Colombia_Bogota	6° 15' 00,680" N	73° 47' 37,356" W	Sánchez <i>et al.</i> (2012)	261	
17				620849	1024310	MAGNA_Colombia_Oeste	1° 10' 02,500" N	76° 51' 32,700" W	Cochrane (2013)	79	Edad concordante media ponderada
									Guerrero & Távara (1982)	124	
			Se obtuvo las coordenadas del punto a partir de la georreferenciación de la Figura 2	1640643	1064347	MAGNA_Colombia_Bogota	10° 23' 18,244" N	73° 29' 23,669" W	Tschanz <i>et al.</i> (1974)	302	Stock de granodiorita en la Formación Los Clavos
			Se obtuvo las coordenadas del punto a partir de la georreferenciación de la Figura 2	1691926	1094425	MAGNA_Colombia_Bogota	10° 51' 04,899" N	73° 12' 50,275" W	Tschanz <i>et al.</i> (1974)	302	
			Las coordenadas (7° 22' N, 73° 06' W) reportadas por los autores no coinciden con la localización de la datación en la Figura 2. Se obtuvo las coordenadas del punto a partir de la georreferenciación de esta figura	1306856	1105490	MAGNA_Colombia_Bogota	7° 22' 11,940" N	73° 07' 19,476" W	Goldsmith <i>et al.</i> (1971)	114	
				1260648	1121828	MAGNA_Colombia_Bogota	6° 57' 06,825" N	72° 58' 30,440" W	Restrepo Pace (1995)	246	Edad integrada
			Se obtuvo las coordenadas del punto a partir de la georreferenciación de la Figura 2	1714612	1067582	MAGNA_Colombia_Bogota	11° 03' 25,312" N	73° 27' 32,459" W	Tschanz <i>et al.</i> (1974)	302	
			Se obtuvo las coordenadas del punto a partir de la georreferenciación de la Figura 1	980168	876662	MAGNA_Colombia_Bogota	4° 24' 57,680" N	75° 11' 19,257" W	Altenberger & Concha (2005)	5	Edad de cristalización. Dique de andesita que intruye el Batolito de Ibagué

ID Datación Radiométrica	Código de la muestra	Unidad geológica	Litología	Edad años BP	Error años	Edad Ma	Error Ma	Edad grano simple menor detrítico	Edad grano simple mayor detrítico	Edad estratigráfica	Edades heredadas	Método de datación	Material analizado	Relación inicial	MSWD	P(X2) %
3272	29	Batolito de Patillal	Cuarzomonzonita			178	$\pm 7$			Jurásico Temprano (J1)		K-Ar	Biotita			
3273	CJ-12	Intrusivo de Horizontes	Monzodiorita			178	$\pm 0,13$			Jurásico Temprano (J1)		Ar-Ar	Biotita			
3274	WR-232	Intrusivos hipoaísiales	Dique de pórifido andesítico			178,1	$\pm 5,6$			Jurásico Temprano (J1)	Múltiples edades heredadas entre ca. 1600 y 900 Ma	U-Pb LA-MC-ICP-MS	Circón			
3275	DV132	Formación Saldaña	Brecha volcánica			179,0	$\pm 2,0$			Jurásico Temprano (J1)		U-Pb LA-ICP-MS	Circón		1,6	
3276	CB0005	Monzogranito de Altamira				179	$\pm 2,2$			Jurásico Temprano (J1)		U-Pb LA-MC-ICP-MS	Circón			
3277	A 99	Formación Macuira	Esquisto			179,0	$\pm 1,4$			Jurásico Temprano (J1)		Ar-Ar	Hornblenda			
3278	30	Batolito de Pueblo Bello	Cuarzomonzonita			179	$\pm 8$			Jurásico Temprano (J1)		K-Ar	Biotita			
3279	12033367	Batolito de Pueblo Bello	Granodiorita			179,8	$\pm 3,3$			Jurásico Temprano (J1)	ca. 770, 410 y 200 Ma	U-Pb LA-MC-ICP-MS	Circón			
3280		Gneis de La Iguaná	Granito milonitizado			180	$\pm 2$			Jurásico Temprano (J1)	1241, 375, 250 y 212 Ma	U-Pb SHRIMP	Circón			
3281		Pegmatita de Montebello	Pegmatita			180	$\pm 10$			Jurásico Temprano (J1)		K-Ar	Moscovita			
3282	AB-7		Dique foliado con hornblenda y cuarzo			180				Jurásico Temprano (J1)		Ar-Ar	Hornblenda			
3283	SnAnK-1	Gneis de Guapotón	Gneis augen			180				Jurásico Temprano (J1)		Ar-Ar	Hornblenda			
3284	19	Formación Los Clavos	Iginimbrita riocacítica			180	$\pm 12$			Jurásico Temprano (J1)		K-Ar	Hornblenda y epidota			
3285	21	Formación Guatapurí	Basalto			181	$\pm 10$			Jurásico Temprano (J1)		K-Ar	Roca total			
3286	30	Batolito de Pueblo Bello	Cuarzomonzonita			181	$\pm 6$			Jurásico Temprano (J1)		K-Ar	Biotita			
3287	MW 54	Grupo Garzón	Granulita chamoenderbitica enderbitica			181	$\pm 18$			Jurásico Temprano (J1)		Huellas de fisión	Esfena			62
3288	DV138	Formación Saldaña	Riolita			181,5	$\pm 1,6$			Jurásico Temprano (J1)		U-Pb LA-ICP-MS	Circón		3,0	
3289	PCM-1102	Gneis de Bucaramanga	Gneis biotítico hornblendico			181,8	$\pm 1,2$			Jurásico Temprano (J1)		Ar-Ar	Hornblenda			
3290		Stock de Dolores	Granito			182	$\pm 4$			Jurásico Temprano (J1)		K-Ar	Biotita			
3291	WR-1	Granodioritas de San Martín de Loba-Juana Sánchez	Granodiorita			182	$\pm 3$			Jurásico Temprano (J1)		U-Pb SHRIMP	Circón			
3292	JJ570	Esquistos de Ancón	Esquisto			182	$\pm 8$			Jurásico Temprano (J1)		K-Ar	Roca total			
3293	BM-1	Formación Silgará	Esquisto gnésico			182	$\pm 3$			Jurásico Temprano (J1)		Ar-Ar	Moscovita			
3294	C1-A	Formación La Quinta	Riolita porfirítica			182,6	$\pm 3,2$			Jurásico Temprano (J1)		U-Pb LA-ICP-MS	Circón		0,99	
3295	DV06	Batolito de Ibagué	Granito			182,6	$\pm 2,4$			Jurásico Temprano (J1)		Ar-Ar	Hornblenda		4,19	
3296	WR-291	Batolito de Ibagué	Granodiorita			182,7	$\pm 2,7$			Jurásico Temprano (J1)		U-Pb LA-MC-ICP-MS	Circón			
3297	2204	Plutón de la Plata	Granodiorita			183	$\pm 5$			Jurásico Temprano (J1)		K-Ar	Biotita			
3298	PCM-1102	Gneis de Bucaramanga	Gneis biotítico hornblendico			183	$\pm 0,5$			Jurásico Temprano (J1)		Ar-Ar	Biotita			
3299	M3	Complejo Ígneo de Mocoa	Andesita silicificada			183	$\pm 3$			Jurásico Temprano (J1)		K-Ar	Roca total			
3300	MW 53	Grupo Garzón	Granulita chamoquítica			183	$\pm 18$			Jurásico Temprano (J1)		Huellas de fisión	Esfena			32
3301	D1-A	Formación La Quinta	Riolita porfirítica			183,1	$\pm 3,4$			Jurásico Temprano (J1)		U-Pb LA-ICP-MS	Circón		0,62	
3302	12033372	Formación Guatapurí	Riolita			183,3	$\pm 3$			Jurásico Temprano (J1)	ca. 195 Ma	U-Pb LA-MC-ICP-MS	Circón			
3303	A-28	Complejo de Sevilla	Esquisto			183,8	$\pm 1,2$			Jurásico Temprano (J1)		Ar-Ar	Hornblenda			
3304		Batolito de Norosi				184				Jurásico Temprano (J1)		U-Pb				
3305	BM-4	Formación Silgará	Esquisto			184	$\pm 2$			Jurásico Temprano (J1)		Ar-Ar	Moscovita			
3306	BV-3	Ortogneis de Berlin	Ortogneis			184	$\pm 3$			Jurásico Temprano (J1)		Ar-Ar	Biotita			

Dispersión %	Número de granos analizados	Número de alicuotas	Fuente georreferenciación	Coordenada X	Coordenada Y	Sistema de coordenadas	Latitud	Longitud	Referencia	ID referencia	Comentarios
			Se obtuvo las coordenadas del punto a partir de la georreferenciación de la Figura 2	1723286	1117391	MAGNA_Colombia_Bogota	11° 08' 02,980" N	73° 00' 10,562" W	Tschanz <i>et al.</i> (1974)	302	
			Se obtuvo las coordenadas del punto a partir de la georreferenciación del Anexo 1	1222956	1152169	MAGNA_Colombia_Oeste	6° 36' 37,612" N	75° 42' 05,726" W	Vinasco (2001)	329	Edad integrada interpretada como un evento termal sobreimpuesto
				1454955	986796	MAGNA_Colombia_Bogota	8° 42' 36,300" N	74° 11' 51,000" W	Leal Mejia (2011)	160	Interpretada como la edad de cristalización magmática
13				616948	1025494	MAGNA_Colombia_Oeste	1° 07' 55,500" N	76° 50' 54,400" W	Cochrane (2013)	79	Edad concordante media ponderada
			Se obtuvo las coordenadas del punto a partir de la georreferenciación de la Figura 2	717107	1145666	MAGNA_Colombia_Oeste	2° 02' 14,491" N	75° 46' 05,736" W	Bustamante <i>et al.</i> (2010)	58	Edad media interpretada como la edad de cristalización magmática
				1809869	896671	MAGNA_Colombia_Este	11° 55' 01,922" N	72° 01' 33,601" W	Cardona (2003)	63	Edad integrada que indica posible perturbación termal
			Se obtuvo las coordenadas del punto a partir de la georreferenciación de la Figura 2	1653805	1051005	MAGNA_Colombia_Bogota	10° 30' 27,350" N	73° 36' 41,647" W	Tschanz <i>et al.</i> (1974)	302	
				1619611	1018972	MAGNA_Colombia_Bogota	10° 11' 55,500" N	73° 54' 15,700" W	Leal Mejia (2011)	160	Interpretada como la edad de cristalización magmática
									Correa Martinez <i>et al.</i> (2005)	81	
			Se obtuvo las coordenadas del punto a partir de la georreferenciación del «Mapa geológico regional»	1152020	835476	MAGNA_Colombia_Bogota	5° 58' 08,033" N	75° 33' 47,832" W	Martinez <i>et al.</i> (1981)	178	Edad recalculada con constantes aprobadas en 1976 es de 184 Ma
				1246875	1118267	MAGNA_Colombia_Bogota	6° 49' 38,826" N	73° 00' 27,445" W	Restrepo Pace (1995)	246	Edad mínima. Dique que intruye la Formación Silgará
			Localización tomada de Restrepo Pace (1995) [246]	726498	1152476	MAGNA_Colombia_Oeste	2° 07' 19,956" N	75° 42' 25,170" W	Restrepo Pace <i>et al.</i> (1997)	247	Edad mínima interpretada como de reseamiento parcial debido a la intrusión del Granitoide de Suaza–Altamira
			Se obtuvo las coordenadas del punto a partir de la georreferenciación de la Figura 2	1653440	1083362	MAGNA_Colombia_Bogota	10° 30' 13,412" N	73° 18' 57,577" W	Tschanz <i>et al.</i> (1974)	302	
			Se obtuvo las coordenadas del punto a partir de la georreferenciación de la Figura 2	1690185	1114542	MAGNA_Colombia_Bogota	10° 50' 06,183" N	73° 01' 48,224" W	Tschanz <i>et al.</i> (1974)	302	
			Se obtuvo las coordenadas del punto a partir de la georreferenciación de la Figura 2	1653805	1051005	MAGNA_Colombia_Bogota	10° 30' 27,350" N	73° 36' 41,647" W	Tschanz <i>et al.</i> (1974)	302	
6			Se obtuvo las coordenadas del punto a partir de la georreferenciación de la Figura 6	709188	1149413	MAGNA_Colombia_Oeste	1° 57' 56,651" N	75° 44' 04,742" W	van der Wiel & Andriessen (1991)	310	
17				614783	1026601	MAGNA_Colombia_Oeste	1° 06' 45,000" N	76° 50' 18,600" W	Cochrane (2013)	79	Edad concordante media ponderada
			Localización tomada de Cardona (2003) [63]	1305898	1130616	MAGNA_Colombia_Bogota	7° 21' 38,819" N	72° 53' 40,427" W	Cordani <i>et al.</i> (2005)	80	Edad integrada interpretada como de reseamiento isotópico
									Guerrero & Távara (1982)	124	
				1483614	1005624	MAGNA_Colombia_Bogota	8° 58' 09,200" N	74° 01' 34,900" W	Leal Mejia (2011)	160	Interpretada como la edad de cristalización magmática
			Localización suministrada por el profesor Jorge Julián RESTREPO	1169310	1160490	MAGNA_Colombia_Oeste	6° 07' 31,043" N	75° 37' 39,835" W	Restrepo <i>et al.</i> (1991)	239	
				1277619	1112888	MAGNA_Colombia_Bogota	7° 06' 19,825" N	73° 03' 20,443" W	Restrepo Pace (1995)	246	Edad integrada
12			Se obtuvo las coordenadas del punto a partir de la georreferenciación de la Figura 4.1	1627267	1100440	MAGNA_Colombia_Bogota	10° 16' 00,200" N	73° 09' 38,509" W	Jiménez (2010)	150	Interceptó a 182,6 ± 3,2 Ma, el autor la interpreta como la edad del vulcanismo
				978687	864909	MAGNA_Colombia_Bogota	4° 24' 08,900" N	75° 17' 40,300" W	Villagómez <i>et al.</i> (2011a)	326	Edad media ponderada de meseta interpretada como la edad aproximada de cristalización, espectro de edad perturbado
				761206	1129469	MAGNA_Colombia_Oeste	2° 26' 10,300" N	75° 54' 48,600" W	Leal Mejia (2011)	160	Interpretada como la edad de cristalización magmática
			Las coordenadas (X = 762000, Y = 795050) reportadas por los autores no coinciden con la localización de la datación en la Figura 1. Se obtuvo las coordenadas del punto a partir de la georreferenciación de esta figura	761522	1130372	MAGNA_Colombia_Oeste	2° 26' 20,565" N	75° 54' 19,382" W	Álvarez & Linares (1983)	12	Edad de enfriamiento, la edad obtenida es aparente o mínima. La muestra corresponde al IGM-314398
				1305898	1130616	MAGNA_Colombia_Bogota	7° 21' 38,819" N	72° 53' 40,427" W	Cardona (2003)	63	Edad integrada interpretada como de reseamiento isotópico. Esta datación, aunque con una diferencia también se publicó en Cordani <i>et al.</i> (2005) [80]
			Se obtuvo las coordenadas del punto a partir de la georreferenciación de la Figura 3	629194	1044566	MAGNA_Colombia_Oeste	1° 14' 34,102" N	76° 40' 37,460" W	Jaramillo <i>et al.</i> (1980)	148	Interpretada como la edad de alteración hidrotermal
6			Se obtuvo las coordenadas del punto a partir de la georreferenciación de la Figura 6	713219	1146394	MAGNA_Colombia_Oeste	2° 00' 07,913" N	75° 45' 42,292" W	van der Wiel & Andriessen (1991)	310	
10			Se obtuvo las coordenadas del punto a partir de la georreferenciación de la Figura 4.1	1627267	1100440	MAGNA_Colombia_Bogota	10° 16' 00,200" N	73° 09' 38,509" W	Jiménez (2010)	150	Interceptó a 182,6 ± 3,2 Ma, el autor la interpreta como la edad del vulcanismo
				1606319	1027864	MAGNA_Colombia_Bogota	10° 04' 42,700" N	73° 49' 23,900" W	Leal Mejia (2011)	160	Interpretada como la edad de cristalización magmática
			Localización tomada de Cardona (2003) [63]	1736514	1049965	MAGNA_Colombia_Bogota	11° 15' 19,113" N	73° 37' 11,736" W	Cardona <i>et al.</i> (2006)	64	Edad de meseta o seudomeseta en pasos intermedios que indica un importante evento termal en el Triásico–Jurásico
									Ordóñez Carmona <i>et al.</i> (2009)	213	Edad de cristalización
				1278080	1112887	MAGNA_Colombia_Bogota	7° 06' 34,825" N	73° 03' 20,443" W	Restrepo Pace (1995)	246	Edad integrada
				1293265	1128654	MAGNA_Colombia_Bogota	7° 14' 47,821" N	72° 54' 45,431" W	Restrepo Pace (1995)	246	Edad de meseta

ID Datación Radiométrica	Código de la muestra	Unidad geológica	Litología	Edad años BP	Error años	Edad Ma	Error Ma	Edad grano simple menor detrítico	Edad grano simple mayor detrítico	Edad estratigráfica	Edades heredadas	Método de datación	Material analizado	Relación inicial	MSWD	P(X2) %
3307	BV-3	Ortogneis de Berlín	Ortogneis			184	$\pm 4$			Jurásico Temprano (J1)		Ar–Ar	Biotita			
3308	WR-235	Granodioritas de San Martín de Loba-Juana Sánchez	Granodiorita ligeramente alterada			184,6	$\pm 4,8$			Jurásico Temprano (J1)	ca. 1300–900 Ma	U–Pb LA–MC–ICP–MS	Circón			
3309	WR-185	Batolito de Norosi	Granodiorita			184,6	$\pm 3,6$			Jurásico Temprano (J1)		U–Pb LA–MC–ICP–MS	Circón			
3310	GJ64-028-1	Granitoide de San Lucas	Granitoide			185	$\pm 46$			Jurásico Temprano (J1)		Rb–Sr	Roca total	0,7067	17	
3311	GJ64-32-1	Granitoide de San Lucas	Granitoide			185	$\pm 46$			Jurásico Temprano (J1)		Rb–Sr	Roca total	0,7067	17	
3312	IQ64-020-1	Granitoide de San Lucas	Granitoide			185	$\pm 46$			Jurásico Temprano (J1)		Rb–Sr	Roca total	0,7067	17	
3313	DI64-030-1	Granitoide de San Lucas	Granitoide			185	$\pm 46$			Jurásico Temprano (J1)		Rb–Sr	Roca total	0,7067	17	
3314	BM-1	Formación Silgará	Esquisto gnésico			185	$\pm 2$			Jurásico Temprano (J1)		Ar–Ar	Moscovita			
3315	DV06	Batolito de Ibagué	Granito			185	$\pm 12,2$			Jurásico Temprano (J1)		Ar–Ar	Hornblenda		7,59	
3316	A-28	Complejo de Sevilla	Esquisto			185,2	$\pm 0,8$			Jurásico Temprano (J1)		Ar–Ar	Hornblenda			
3317	A-28	Complejo de Sevilla	Esquisto			185,8	$\pm 1,0$			Jurásico Temprano (J1)		Ar–Ar	Hornblenda			
3318	3191x	Depósito lacustre	Tefra			185,9	$\pm 5,5$			Jurásico Temprano (J1)		Huellas de fisión	Circón			45
3319	WR-167	Batolito de Ibagué	Diorita			186	$\pm 3,1$			Jurásico Temprano (J1)	ca. 200 Ma	U–Pb LA–MC–ICP–MS	Circón			
3320	WR-2	Granodioritas de San Martín de Loba-Juana Sánchez	Granodiorita			186,3	$+4,4/-5,2$			Jurásico Temprano (J1)	Intercepción superior a ca. 1300 Ma	U–Pb LA–MC–ICP–MS	Circón			
3321	WR-240	Batolito de Guamocó	Granodiorita			186,8	$\pm 2,9$			Jurásico Temprano (J1)		U–Pb LA–MC–ICP–MS	Circón			
3322	BV-4	Ortogneis de Berlin	Ortogneis			187	$\pm 4$			Jurásico Temprano (J1)		Ar–Ar	Biotita			
3323	BV-1	Gneis de Bucaramanga	Intrusivo granítico			187,00	$\pm 3$			Jurásico Temprano (J1)		Ar–Ar	Biotita			
3324	WR-288	Batolito de Norosi	Granodiorita			187,2	$\pm 2,8$			Jurásico Temprano (J1)		U–Pb LA–MC–ICP–MS	Circón			
3325	CB0007A	Monzodiorita de Las Minas				187,4	$\pm 2,3$			Jurásico Temprano (J1)		U–Pb LA–MC–ICP–MS	Circón			
3326	G-2	Grupo Garzón	Granulita chamoquítica			188	$\pm 3$			Jurásico Temprano (J1)		Ar–Ar	Feldespato			
3327	WR-214	Batolito de Ibagué	Diorita			188,4	$+2,8/-2,7$			Jurásico Temprano (J1)		U–Pb LA–MC–ICP–MS	Circón			
3328	WR-166	Batolito de Ibagué	Granodiorita			188,5	$\pm 3,3$			Jurásico Temprano (J1)	ca. 1160 Ma	U–Pb LA–MC–ICP–MS	Circón			
3329	10RC78	Batolito de Segovia	Monzogranito			188,9	$\pm 2,0$			Jurásico Temprano (J1)		U–Pb LA–ICP–MS	Circón		1,5	
3330	IMN-13199	Gneis de Bucaramanga	Gneis biotítico			189	$\pm 4$			Jurásico Temprano (J1)		K–Ar	Biotita			
3331	WR-3	Granodioritas de San Martín de Loba-Juana Sánchez	Granodiorita			189	$\pm 4$			Jurásico Temprano (J1)		U–Pb SHRIMP	Circón			
3332	30	Batolito de Pueblo Bello	Cuarzomonzonita			189	$\pm 19$			Jurásico Temprano (J1)		K–Ar	Hornblenda			
3333	CJ-30		Esquisto cuarzo-sericitico			189	$\pm 9$			Jurásico Temprano (J1)		Ar–Ar	Sericita			
3334	CB0010	Batolito de Ibagué				189,1	$\pm 2,9$			Jurásico Temprano (J1)		U–Pb LA–MC–ICP–MS	Circón			
3335	3034	Gneis de Samaná				190				Jurásico Temprano (J1)		Rb–Sr	Roca total	0,71		
3336	JJ168	Gneis de Samaná				190				Jurásico Temprano (J1)		Rb–Sr	Roca total	0,705		
3337	BV-2	Ortogneis de Berlín	Ortogneis			190,6	$\pm 1,2$			Jurásico Temprano (J1)		Ar–Ar	Hornblenda			
3338	BV-1	Gneis de Bucaramanga	Intrusivo granítico			191,20	$\pm 1,8$			Jurásico Temprano (J1)		Ar–Ar	Biotita			
3339	JM044R	Gneis de Chinchiná	Gneis			191,5	$\pm 0,63$			Jurásico Temprano (J1)		Ar–Ar	Biotita			
3340	1A-2B	Formación Saldaña				191,5	$\pm 9,0$			Jurásico Temprano (J1)		Huellas de fisión	Circón			<1

Dispersión %	Número de granos analizados	Número de alicuotas	Fuente georreferenciación	Coordenada X	Coordenada Y	Sistema de coordenadas	Latitud	Longitud	Referencia	ID referencia	Comentarios
				1293265	1128654	MAGNA_Colombia_Bogota	7° 14' 47,821" N	72° 54' 45,431" W	Restrepo Pace (1995)	246	Edad integrada
				1450252	1015855	MAGNA_Colombia_Bogota	8° 40' 03,200" N	73° 56' 00,400" W	Leal Mejia (2011)	160	Interpretada como la edad de cristalización magmática
				1428663	988139	MAGNA_Colombia_Bogota	8° 28' 20,500" N	74° 11' 06,800" W	Leal Mejia (2011)	160	Interpretada como la edad de cristalización magmática, podría indicar una facies magmática coetánea con las muestras de granodiorita del sector de San Martín de Loba-Juana Sanchez
				1468190	996632	MAGNA_Colombia_Bogota	8° 49' 47,162" N	74° 06' 29,234" W	Bernal <i>et al.</i> (2006b)	38	Edad con un alto error analítico, calculada en una isócrona para 4 muestras (GJ64-028-1, GJ64-32-1, IQ64-020-1 y DI64-030-1)
				1469050	994119	MAGNA_Colombia_Bogota	8° 50' 15,146" N	74° 07' 51,474" W	Bernal <i>et al.</i> (2006b)	38	Edad con un alto error analítico, calculada en una isócrona para 4 muestras (GJ64-028-1, GJ64-32-1, IQ64-020-1 y DI64-030-1)
				1465071	1000072	MAGNA_Colombia_Bogota	8° 48' 05,629" N	74° 04' 36,671" W	Bernal <i>et al.</i> (2006b)	38	Edad con un alto error analítico, calculada en una isócrona para 4 muestras (GJ64-028-1, GJ64-32-1, IQ64-020-1 y DI64-030-1)
				1476063	999354	MAGNA_Colombia_Bogota	8° 54' 03,425" N	74° 05' 00,158" W	Bernal <i>et al.</i> (2006b)	38	Edad con un alto error analítico, calculada en una isócrona para 4 muestras (GJ64-028-1, GJ64-32-1, IQ64-020-1 y DI64-030-1)
				1277619	1112888	MAGNA_Colombia_Bogota	7° 06' 19,825" N	73° 03' 20,443" W	Restrepo Pace (1995)	246	Edad de meseta interpretada como la edad de cristalización
				978687	864909	MAGNA_Colombia_Bogota	4° 24' 08,900" N	75° 17' 40,300" W	Villagómez (2010)	325	Edad de isócrona inversa, edad aproximada de cristalización
		Localización tomada de Cardona (2003) [63]		1736514	1049965	MAGNA_Colombia_Bogota	11° 15' 19,113" N	73° 37' 11,736" W	Cardona <i>et al.</i> (2006)	64	Edad de meseta o seudomeseta en pasos intermedios que indica un importante evento termal en el Triásico-Jurásico
		Localización tomada de Cardona (2003) [63]		1736514	1049965	MAGNA_Colombia_Bogota	11° 15' 19,113" N	73° 37' 11,736" W	Cardona <i>et al.</i> (2006)	64	Edad integrada que indica un importante evento termal en el Triásico-Jurásico
<1	3								Toro (1999)	290	Edad central, muestra tomada en la mina Sofia, municipio de Rionegro en el departamento de Antioquia
				809336	1164987	MAGNA_Colombia_Oeste	2° 52' 15,600" N	75° 35' 37,400" W	Leal Mejia (2011)	160	Interpretada como la edad de cristalización magmática
				1480443	1004177	MAGNA_Colombia_Bogota	8° 56' 26,000" N	74° 02' 22,300" W	Leal Mejia (2011)	160	Interpretada como la edad de cristalización magmática
				1251235	955308	MAGNA_Colombia_Bogota	6° 52' 04,400" N	74° 28' 54,700" W	Leal Mejia (2011)	160	Interpretada como la edad de cristalización magmática
				1277107	1130261	MAGNA_Colombia_Bogota	7° 06' 01,822" N	72° 53' 54,433" W	Restrepo Pace (1995)	246	Edad integrada
									Restrepo Pace (1995)	246	Edad integrada
				1355477	969872	MAGNA_Colombia_Bogota	7° 48' 38,000" N	74° 21' 02,400" W	Leal Mejia (2011)	160	Interpretada como la edad de cristalización magmática
		Se obtuvo las coordenadas del punto a partir de la georreferenciación de la Figura 2		739048	1139843	MAGNA_Colombia_Oeste	2° 14' 08,791" N	75° 49' 13,524" W	Bustamante <i>et al.</i> (2010)	58	Edad media ponderada interpretada como edad de cristalización magmática
		Localización tomada de Restrepo Pace (1995) [246]		710150	1149832	MAGNA_Colombia_Oeste	1° 58' 27,945" N	75° 43' 51,164" W	Restrepo Pace <i>et al.</i> (1997)	247	Edad integrada que corresponde a un evento termal en el Jurásico
				784371	1151883	MAGNA_Colombia_Oeste	2° 38' 43,600" N	75° 42' 42,500" W	Leal Mejia (2011)	160	Interpretada como la edad de cristalización magmática
				814360	1160349	MAGNA_Colombia_Oeste	2° 54' 59,300" N	75° 38' 07,300" W	Leal Mejia (2011)	160	Interpretada como la edad de cristalización magmática
6				1210182	953268	MAGNA_Colombia_Bogota	6° 29' 48,000" N	74° 30' 00,000" W	Cochrane (2013)	79	Edad concordante media ponderada. El autor reporta las coordenadas de localización (6° 17' 53" N, 74° 18' W) pero esta no coincide con el mapa, ni con la unidad litológica
		Las coordenadas (7° 16' N, 72° 54' W) reportadas por los autores no coinciden con la localización de la datación en la Figura 2. Se obtuvo las coordenadas del punto a partir de la georreferenciación de esta figura		1295485	1129701	MAGNA_Colombia_Bogota	7° 16' 00,000" N	72° 54' 11,142" W	Goldsmith <i>et al.</i> (1971)	114	Interpretada como la edad de un evento termal
				1463534	997437	MAGNA_Colombia_Bogota	8° 47' 15,600" N	74° 06' 02,900" W	Leal Mejia (2011)	160	Interpretada como la edad de cristalización magmática
		Se obtuvo las coordenadas del punto a partir de la georreferenciación de la Figura 2		1653805	1051005	MAGNA_Colombia_Bogota	10° 30' 27,350" N	73° 36' 41,647" W	Tschanz <i>et al.</i> (1974)	302	
		Se obtuvo las coordenadas del punto a partir de la georreferenciación del Anexo I		1139312	841053	MAGNA_Colombia_Bogota	5° 51' 14,942" N	75° 30' 45,515" W	Vinasco & Cordani (2012)	333	Edad de meseta, probablemente relacionada al principal evento magmático sintectónico Triásico
		Se obtuvo las coordenadas del punto a partir de la georreferenciación de la Figura 2		756762	1130196	MAGNA_Colombia_Oeste	2° 23' 45,647" N	75° 54' 25,203" W	Bustamante <i>et al.</i> (2010)	58	Edad promedio interpretada como de cristalización magmática
		Localización suministrada por el profesor Jorge Julián RESTREPO		1154141	905808	MAGNA_Colombia_Bogota	5° 59' 21,915" N	74° 55' 41,648" W	Restrepo <i>et al.</i> (1991)	239	Edad convencional
		Localización suministrada por el profesor Jorge Julián RESTREPO		1154141	905808	MAGNA_Colombia_Bogota	5° 59' 21,915" N	74° 55' 41,648" W	Restrepo <i>et al.</i> (1991)	239	Edad convencional
				1292407	1129792	MAGNA_Colombia_Bogota	7° 14' 19,821" N	72° 54' 08,430" W	Restrepo Pace (1995)	246	Edad integrada
				1043490	1165937	MAGNA_Colombia_Oeste	4° 59' 15,995" N	75° 34' 53,091" W	González (2010)	122	Edad integrada
33,2	5								Schwabe <i>et al.</i> (2001)	268	Edad central muestra del pozo I-A a 15 700-15 790 pies de profundidad

ID Datación Radiométrica	Código de la muestra	Unidad geológica	Litología	Edad años BP	Error años	Edad Ma	Error Ma	Edad grano simple menor detrítico	Edad grano simple mayor detrítico	Edad estratigráfica	Edades heredadas	Método de datación	Material analizado	Relación inicial	MSWD	P(X2) %
3341	IMN-10924	Batolito de Santa Bárbara	Cuarzmonzonita			192	$\pm 7$			Jurásico Temprano (J1)		K-Ar	Biotita			
3342	WR-241	Intrusivos hipoaísales	Dique de aplita granítica			192	$\pm 3,2$			Jurásico Temprano (J1)		U-Pb LA-MC-ICP-MS	Circón			
3343	JJ214	Gneis de Pescadero	Gneis			192				Jurásico Temprano (J1)		Rb-Sr	Roca total	0,71		
3344	PCM-815	Gneis de Bucaramanga	Gneis biotítico hornblendíco			192,7	$\pm 0,7$			Jurásico Temprano (J1)		Ar-Ar	Biotita			
3345	PCM-815	Gneis de Bucaramanga	Gneis biotítico hornblendíco			193	$\pm 0,4$			Jurásico Temprano (J1)		Ar-Ar	Biotita			
3346	IMN-11547	Batolito de Mogotes	Granito			193	$\pm 6$			Jurásico Temprano (J1)		K-Ar	Biotita			
3347	SBb-1	Formación Silgará	Esquisto cuarzo moscovítico			193,3				Jurásico Temprano (J1)		Ar-Ar	Moscovita			
3348	WR-186	Batolito de Norosi	Diorita			193,4	$\pm 5,8$			Jurásico Temprano (J1)	Intercepción superior a ca. 1200 Ma	U-Pb LA-MC-ICP-MS	Circón			
3349	WR-189	Monzonita de Papayal	Monzonita			193,6	$\pm 5,4$			Jurásico Temprano (J1)		U-Pb LA-MC-ICP-MS	Circón			
3350	PCM-1102	Gneis de Bucaramanga	Gneis biotítico hornblendíco			193,8	$\pm 0,4$			Jurásico Temprano (J1)		Ar-Ar	Hornblenda			
3351	PCM-1102	Gneis de Bucaramanga	Gneis biotítico hornblendíco			193,9	$\pm 0,5$			Jurásico Temprano (J1)		Ar-Ar	Biotita			
3352	10VDL55	Granodiorita de Tarra	Granodiorita			193,9	$\pm 25,6$			Jurásico Temprano (J1)		Huellas de fisión LA-ICP-MS	Circón			17,9
3353	LM64-024-003	Formación Noreán	Dique de riolita			194	$\pm 6$			Jurásico Temprano (J1)		K-Ar	Roca total			
3354	IMN-11045	Batolito de Santa Bárbara	Cuarzmonzonita			194	$\pm 7$			Jurásico Temprano (J1)		K-Ar	Biotita			
3355	BV-2	Ortogneis de Berlín	Ortogneis			194	$\pm 2$			Jurásico Temprano (J1)		Ar-Ar	Hornblenda			
3356	CJ-12	Intrusivo de Horizontes	Monzodiorita			194,3	$\pm 0,1$			Jurásico Temprano (J1)		Ar-Ar	Biotita			
3357	IMN-13197	Cuarzmonzonita de La Corcova	Cuarzmonzonita			195	$\pm 7$			Jurásico Temprano (J1)		K-Ar	Moscovita			
3358		Granodiorita de Siapana	Dique pegmatítico			195	$\pm 8$			Jurásico Temprano (J1)		K-Ar	Moscovita			
3359	JJ704	Stock de Amagá	Granito			195				Jurásico Temprano (J1)		Rb-Sr	Roca total	0,71		
3360	AB-6	Formación Silgará	Esquisto micaico			195	$\pm 11$			Jurásico Temprano (J1)		Ar-Ar	Moscovita			
3361	SBB-1	Formación Silgará	Esquisto cuarzo moscovítico			195	$\pm 0,5$			Jurásico Temprano (J1)		Ar-Ar	Moscovita			
3362	BV-1	Gneis de Bucaramanga	Intrusivo granítico			195	$\pm 1$			Jurásico Temprano (J1)		Ar-Ar	Hornblenda			
3363	A-28	Complejo de Sevilla	Esquisto			195,6	$\pm 1,5$			Jurásico Temprano (J1)		Ar-Ar	Hornblenda			
3364	10VDL54	Granito alcalino de Ocaña	Granito			195,8	$\pm 1,5$			Jurásico Temprano (J1)		U-Pb LA-ICP-MS	Circón		1,2	
3365	IGM-706332	Granulitas de Pantanillo	Granulita mafica			195,9	$\pm 16,8$			Jurásico Temprano (J1)		Ar-Ar	Roca total		0,6	
3366	IMN-13201	Batolito de Aguablanca	Cuarzmonzonita			196	$\pm 7$			Jurásico Temprano (J1)		K-Ar	Biotita			
3367	10VDL59	Tonalita de Río Negro	Tonalita			196,0	$\pm 1,1$			Jurásico Temprano (J1)		U-Pb LA-ICP-MS	Circón		1,5	
3368	WR-190		Toba de cristales dacítica			196,1	$\pm 4,4$			Jurásico Temprano (J1)	ca. 1200-900 Ma	U-Pb LA-MC-ICP-MS	Circón			
3369	PCM-815	Gneis de Bucaramanga	Gneis biotítico hornblendíco			196,2	$\pm 0,7$			Jurásico Temprano (J1)		Ar-Ar	Hornblenda			
3370	BV-1	Gneis de Bucaramanga	Intrusivo granítico			196,30	$\pm 1,5$			Jurásico Temprano (J1)		Ar-Ar	Hornblenda			
3371	JRG 191 b	Formación Guatapurí	Toba lítica			196,5	$\pm 4,9$			Jurásico Temprano (J1)		K-Ar	Roca total			

Dispersión %	Número de gramos analizados	Número de alicuotas	Fuente georreferenciación	Coordenada X	Coordenada Y	Sistema de coordenadas	Latitud	Longitud	Referencia	ID referencia	Comentarios
			Las coordenadas ( $6^{\circ} 55' N$ , $72^{\circ} 56' W$ ) reportadas por los autores no coinciden con la localización de la datación en la Figura 2. Se obtuvo las coordenadas del punto a partir de la georreferenciación de esta figura	1255823	1125926	MAGNA_Colombia_Bogota	$6^{\circ} 54' 29,485'' N$	$72^{\circ} 56' 17,352'' W$	Goldsmith <i>et al.</i> (1971)	114	
				1251185	955437	MAGNA_Colombia_Bogota	$6^{\circ} 52' 02,800'' N$	$74^{\circ} 28' 50,500'' W$	Leal Mejia (2011)	160	Interpretada como la edad de cristalización magmática
			Localización suministrada por el profesor Jorge Julián RESTREPO	1280598	1156114	MAGNA_Colombia_Oeste	$7^{\circ} 07' 53,094'' N$	$75^{\circ} 39' 51,808'' W$	Restrepo <i>et al.</i> (1991)	239	Edad convencional
			Localización tomada de Cardona (2003) [63]	1299601	1131307	MAGNA_Colombia_Bogota	$7^{\circ} 18' 13,820'' N$	$72^{\circ} 53' 18,428'' W$	Cordani <i>et al.</i> (2005)	80	Edad integrada interpretada como de reseamiento isotópico
			Localización tomada de Cardona (2003) [63]	1299601	1131307	MAGNA_Colombia_Bogota	$7^{\circ} 18' 13,820'' N$	$72^{\circ} 53' 18,428'' W$	Cordani <i>et al.</i> (2005)	80	Edad integrada interpretada como de reseamiento isotópico
			Las coordenadas ( $6^{\circ} 48' N$ , $72^{\circ} 59' W$ ) reportadas por los autores no coinciden con la localización de la datación en la Figura 2. Se obtuvo las coordenadas del punto a partir de la georreferenciación de esta figura	1242158	1120568	MAGNA_Colombia_Bogota	$6^{\circ} 47' 05,123'' N$	$72^{\circ} 59' 12,853'' W$	Goldsmith <i>et al.</i> (1971)	114	
				1287104	1145487	MAGNA_Colombia_Bogota	$7^{\circ} 11' 25,818'' N$	$72^{\circ} 45' 37,422'' W$	Restrepo Pace (1995)	246	Edad de fusión total
				1427572	989583	MAGNA_Colombia_Bogota	$8^{\circ} 27' 45,000'' N$	$74^{\circ} 10' 19,600'' W$	Leal Mejia (2011)	160	Interpretada como la edad de cristalización magmática, la cual podría registrar una facies magmática temprana coetánea con la intrusión de la Monzónita de Papayal
				1452841	1011241	MAGNA_Colombia_Bogota	$8^{\circ} 41' 27,500'' N$	$73^{\circ} 58' 31,300'' W$	Leal Mejia (2011)	160	Interpretada como la edad de cristalización magmática
			Localización tomada de Cardona (2003) [63]	1305898	1130616	MAGNA_Colombia_Bogota	$7^{\circ} 21' 38,819'' N$	$72^{\circ} 53' 40,427'' W$	Cordani <i>et al.</i> (2005)	80	Edad integrada interpretada como de reseamiento isotópico
				1305898	1130616	MAGNA_Colombia_Bogota	$7^{\circ} 21' 38,819'' N$	$72^{\circ} 53' 40,427'' W$	Cardona (2003)	63	Edad de meseta interpretada como de reseamiento isotópico. Esta datación, aunque con una pequeña diferencia también se publicó en Cordani <i>et al.</i> (2005) [80]
14				1382392	1110480	MAGNA_Colombia_Bogota	$8^{\circ} 03' 10,000'' N$	$73^{\circ} 04' 31,000'' W$	van der Lelij (2013)	308	Edad pooled
				1454971	987344	MAGNA_Colombia_Bogota	$8^{\circ} 42' 36,837'' N$	$74^{\circ} 11' 33,053'' W$	Bernal <i>et al.</i> (2006b)	38	Interpretada como la edad de la fase inicial del evento volcanoclastico (Formación Noreán), se determinó en dique de riolita que corta la Formación Morrocoyal
			Las coordenadas ( $6^{\circ} 53' N$ , $72^{\circ} 54' W$ ) reportadas por los autores no coinciden con la localización de la datación en la Figura 2. Se obtuvo las coordenadas del punto a partir de la georreferenciación de esta figura	1252585	1129214	MAGNA_Colombia_Bogota	$6^{\circ} 52' 43,838'' N$	$72^{\circ} 54' 30,517'' W$	Goldsmith <i>et al.</i> (1971)	114	
				1292407	1129792	MAGNA_Colombia_Bogota	$7^{\circ} 14' 19,821'' N$	$72^{\circ} 54' 08,430'' W$	Restrepo Pace (1995)	246	Edad de meseta
			Se obtuvo las coordenadas del punto a partir de la georreferenciación del Anexo 1	1222956	1152169	MAGNA_Colombia_Oeste	$6^{\circ} 36' 37,612'' N$	$75^{\circ} 42' 05,726'' W$	Vinasco (2001)	329	Edad integrada interpretada como un evento termal sobreimpuesto
			Las coordenadas ( $7^{\circ} 08' N$ , $73^{\circ} 03' W$ ) reportadas por los autores no coinciden con la localización de la datación en la Figura 2. Se obtuvo las coordenadas del punto a partir de la georreferenciación de esta figura	1279861	1115368	MAGNA_Colombia_Bogota	$7^{\circ} 07' 32,640'' N$	$73^{\circ} 01' 59,470'' W$	Goldsmith <i>et al.</i> (1971)	114	
				1833301	976158	MAGNA_Colombia_Este	$12^{\circ} 07' 49,905'' N$	$71^{\circ} 17' 47,566'' W$	MacDonald (1964)	164	Edad mínima del episodio de intrusión. Dique que corta el Esquisto de Jatíruhu (Grupo Macuira)
			Localización suministrada por el profesor Jorge Julián RESTREPO	1154949	1156590	MAGNA_Colombia_Oeste	$5^{\circ} 59' 44,038'' N$	$75^{\circ} 39' 47,844'' W$	Restrepo <i>et al.</i> (1991)	239	Edad convencional
				1246814	1118267	MAGNA_Colombia_Bogota	$6^{\circ} 49' 36,826'' N$	$73^{\circ} 00' 27,445'' W$	Restrepo Pace (1995)	246	Edad integrada
				1287104	1145487	MAGNA_Colombia_Bogota	$7^{\circ} 11' 25,818'' N$	$72^{\circ} 45' 37,422'' W$	Restrepo Pace (1995)	246	Edad de meseta interpretada como de cristalización
									Restrepo Pace (1995)	246	Edad integrada
			Localización tomada de Cardona (2003) [63]	1736514	1049965	MAGNA_Colombia_Bogota	$11^{\circ} 15' 19,113'' N$	$73^{\circ} 37' 11,736'' W$	Cardona <i>et al.</i> (2006)	64	Edad integrada que indica un importante evento termal en el Triásico-Jurásico
14				1394474	1085714	MAGNA_Colombia_Bogota	$8^{\circ} 09' 45,000'' N$	$73^{\circ} 17' 59,000'' W$	van der Lelij (2013)	308	
				1222757	1134756	MAGNA_Colombia_Oeste	$6^{\circ} 36' 32,627'' N$	$75^{\circ} 51' 32,482'' W$	Rodriguez <i>et al.</i> (2012b)	254	Edad de isócrona inversa, la posibilidad de exceso de argón en las muestras es bastante probable, por lo que el significado geológico de las dataciones es incierta
			Las coordenadas ( $8^{\circ} 09' N$ , $72^{\circ} 54' W$ ) reportadas por los autores no coinciden con la localización de la datación en la Figura 2. Se obtuvo las coordenadas del punto a partir de la georreferenciación de esta figura	1392155	1129600	MAGNA_Colombia_Bogota	$8^{\circ} 08' 26,071'' N$	$72^{\circ} 54' 05,753'' W$	Goldsmith <i>et al.</i> (1971)	114	
14				1297666	1102855	MAGNA_Colombia_Bogota	$7^{\circ} 17' 13,000'' N$	$73^{\circ} 08' 46,000'' W$	van der Lelij (2013)	308	
				1450252	1015855	MAGNA_Colombia_Bogota	$8^{\circ} 40' 03,200'' N$	$73^{\circ} 56' 00,400'' W$	Leal Mejia (2011)	160	Interpretada como la edad de cristalización magmática. Secuencia volcanoclastica
			Localización tomada de Cardona (2003) [63]	1299601	1131307	MAGNA_Colombia_Bogota	$7^{\circ} 18' 13,820'' N$	$72^{\circ} 53' 18,428'' W$	Cordani <i>et al.</i> (2005)	80	Edad integrada interpretada como de reseamiento isotópico
									Restrepo Pace (1995)	246	Edad de meseta
			Se obtuvo las coordenadas del punto a partir de la georreferenciación de la Figura 2B	1605625	1029245	MAGNA_Colombia_Bogota	$10^{\circ} 04' 20,066'' N$	$73^{\circ} 48' 38,576'' W$	Bayona <i>et al.</i> (2010a)	27	

ID Datación Radiométrica	Código de la muestra	Unidad geológica	Litología	Edad años BP	Error años	Edad Ma	Error Ma	Edad grano simple menor detrítico	Edad grano simple mayor detrítico	Edad estratigráfica	Edades heredadas	Método de datación	Material analizado	Relación inicial	MSWD	P(X2) %
3372	BP-2	Ortogneis de Berlín	Ortogneis			196,6				Jurásico Temprano (J1)		Ar–Ar	Biotita			
3373	TBQ-001		Granito			196,7	+ 2,9/- 2,8			Jurásico Temprano (J1)	Edades del Proterozoico al Pérmitico	U–Pb LA–MC–ICP–MS	Circón			
3374	SBB-2	Formación Silgará	Esquisto cuarzo moscovítico			197	± 6			Jurásico Temprano (J1)		Ar–Ar	Biotita			
3375	BP-3	Formación Silgará	Esquisto cuarzo moscovítico			197,6				Jurásico Temprano (J1)		Ar–Ar	Moscovita			
3376	PCM-1105	Gneis de Bucaramanga	Gneis biotíftico			197,7	± 0,3			Jurásico Temprano (J1)		Ar–Ar	Biotita			
3377	10VDL49	Formación Silgará	Gneis biotíftico hornblendico			197,7	± 24,1			Jurásico Temprano (J1)	Huellas de fisión LA–ICP–MS	Circón			70,5	
3378	10VDL32	Granodiorita de Mogotes	Granodiorita			198,0	± 0,8			Jurásico Temprano (J1)	U–Pb LA–ICP–MS	Circón			1,3	
3379	A-28	Complejo de Sevilla	Esquisto			198	± 2			Jurásico Temprano (J1)		Ar–Ar	Hornblendita			
3380	IMN-12255	Formación Silgará	Filita			198	± 8			Jurásico Temprano (J1)		K–Ar	Roca total			
3381	IMN-13199	Gneis de Bucaramanga	Gneis biotíftico			198	± 7			Jurásico Temprano (J1)		K–Ar	Biotita			
3382	40VSM(2)	Formación La Tabla				198,0	± 8,8			Jurásico Temprano (J1)		Huellas de fisión	Circón			<1
3383	UAKA 79-49	Batolito de Mocoa	Adamelta			198	± 4			Jurásico Temprano (J1)		K–Ar	Biotita			
3384	PCM-815	Gneis de Bucaramanga	Gneis biotíftico hornblendico			198,2	± 0,6			Jurásico Temprano (J1)		Ar–Ar	Hornblendita			
3385	BP-2	Ortogneis de Berlin	Ortogneis			198,3	± 0,5			Jurásico Temprano (J1)		Ar–Ar	Biotita			
3386	10VDL05	Granodiorita de La Corcova	Dique de granodiorita			198,3	± 1,8			Jurásico Temprano (J1)	U–Pb LA–ICP–MS	Circón			2,2	
3387	TBQ-003		Diorita-grano diorita			198,4	+ 2,5/- 2,6			Jurásico Temprano (J1)	Edades del Proterozoico al Carbonífero	U–Pb LA–MC–ICP–MS	Circón			
3388	TBQ-004		Granito			198,7	+ 2,6/- 2,9			Jurásico Temprano (J1)	Edades del Proterozoico al Pérmitico	U–Pb LA–MC–ICP–MS	Circón			
3389	PCM-1105	Gneis de Bucaramanga	Gneis biotíftico			199	± 0,3			Jurásico Temprano (J1)		Ar–Ar	Biotita			
3390	TBQ-005		Diorita-grano diorita			199,0	+ 2,5/- 2,6			Jurásico Temprano (J1)	Edades del Proterozoico al Carbonífero	U–Pb LA–MC–ICP–MS	Circón			
3391	PCM-1105	Gneis de Bucaramanga	Gneis biotíftico			199,1	± 0,3			Jurásico Temprano (J1)		Ar–Ar	Biotita			
3392	PCM-815	Gneis de Bucaramanga	Gneis biotíftico hornblendico			199,1	± 0,6			Jurásico Temprano (J1)		Ar–Ar	Hornblendita			
3393	TQB-002	Stock de El Cuatro	Granito con alteración hidrotermal			199,1	+ 2,5/- 2,6			Jurásico Temprano (J1)	Edades del Proterozoico al Carbonífero	U–Pb LA–MC–ICP–MS	Circón			
3394	10VDL22	Granodiorita de Pescadero	Granodiorita			199,1	± 1,3			Jurásico Temprano (J1)		U–Pb LA–ICP–MS	Circón		2,5	
3395	PCM-1105	Gneis de Bucaramanga	Gneis biotíftico			199,20	± 0,4			Jurásico Temprano (J1)		Ar–Ar	Biotita			
3396	TPD-71		Diorita-grano diorita			199,2	+ 2,8/- 2,7			Jurásico Temprano (J1)	Edades del Proterozoico al Carbonífero	U–Pb LA–MC–ICP–MS	Circón			
3397	BP-3	Formación Silgará	Esquisto cuarzo moscovítico			199,30	± 0,5			Jurásico Temprano (J1)		Ar–Ar	Moscovita			
3398	10VDL52	Tonalita de Páramo Rico	Tonalita			199,8	± 1,2			Jurásico Temprano (J1)		U–Pb LA–ICP–MS	Circón		1,2	
3399	CM034R	Granitoide de Bellones	Anfibolita			199,92	± 0,55			Jurásico Temprano (J1)		Ar–Ar	Biotita			
3400	IGM-69929	Intrusivo Gnésico de Padua	Anfibolita			200	± 40			Jurásico Temprano (J1)		K–Ar	Hornblendita			

Dispersión %	Número de granos analizados	Número de alicuotas	Fuente georreferenciación	Coordenada X	Coordenada Y	Sistema de coordenadas	Latitud	Longitud	Referencia	ID referencia	Comentarios
				1310653	1138854	MAGNA_Colombia_Bogota	7° 24' 12,817" N	72° 49' 11,422" W	Restrepo Pace (1995)	246	Edad de fusión total
31				1302705	1128281	MAGNA_Colombia_Bogota	7° 19' 55,100" N	72° 54' 56,800" W	Mantilla <i>et al.</i> (2013)	172	Interpretada como edad de magmatismo
				1287104	1145487	MAGNA_Colombia_Bogota	7° 11' 25,818" N	72° 45' 37,422" W	Restrepo Pace (1995)	246	Edad integrada
				1291698	1140196	MAGNA_Colombia_Bogota	7° 13' 55,819" N	72° 48' 29,424" W	Restrepo Pace (1995)	246	Edad de fusión total
			Las coordenadas (7° 18' 08" N, 72° 05' 42" W) reportadas por los autores no coinciden con la localización de la datación en la Figura 20 de Cardona (2003) [63]. Se obtuvo las coordenadas del punto a partir de la georreferenciación de esta figura	1299110	1131326	MAGNA_Colombia_Bogota	7° 17' 57,820" N	72° 53' 17,871" W	Cordani <i>et al.</i> (2005)	80	Edad integrada interpretada como de reseamiento isotópico
21				1320130	1151568	MAGNA_Colombia_Bogota	7° 29' 20,000" N	72° 42' 16,000" W	van der Lelij (2013)	308	Edad pooled
17				1202161	1138601	MAGNA_Colombia_Bogota	6° 25' 22,000" N	72° 49' 29,000" W	van der Lelij (2013)	308	
			Localización tomada de Cardona (2003) [63]	1736514	1049965	MAGNA_Colombia_Bogota	11° 15' 19,113" N	73° 37' 11,736" W	Cardona <i>et al.</i> (2006)	64	Edad integrada que indica un importante evento termal en el Triásico-Jurásico
				1278592	1134155	MAGNA_Colombia_Bogota	7° 06' 49,821" N	72° 51' 47,430" W	Goldsmith <i>et al.</i> (1971)	114	Interpretada como la edad de un evento termal
			Las coordenadas (7° 16' N, 72° 54' W) reportadas por los autores no coinciden con la localización de la datación en la Figura 2. Se obtuvo las coordenadas del punto a partir de la georreferenciación de esta figura	1295485	1129701	MAGNA_Colombia_Bogota	7° 16' 00,000" N	72° 54' 11,142" W	Goldsmith <i>et al.</i> (1971)	114	Interpretada como la edad de un evento termal
59	10		Se localizó el punto de la datación con las coordenadas del tope de la columna estratigráfica donde se tomaron las muestras	859729	860842	MAGNA_Colombia_Bogota	3° 19' 36,827" N	75° 19' 46,498" W	Schwabe (2001)	267	Edad central obtenida por la profesora Gloria Elena TORO de la Universidad EAFTI
				625991	1044233	MAGNA_Colombia_Oeste	1° 12' 49,840" N	76° 40' 48,268" W	Sillitoe <i>et al.</i> (1982)	271	Interpretada como la edad mínima de emplazamiento, la datación fue realizada sobre un núcleo de perforación DDH-2 de 53-62 pies
			Localización tomada de Cardona (2003) [63]	1299601	1131307	MAGNA_Colombia_Bogota	7° 18' 13,820" N	72° 53' 18,428" W	Cordani <i>et al.</i> (2005)	80	Edad de meseta interpretada como de reseamiento isotópico
				1310653	1138854	MAGNA_Colombia_Bogota	7° 24' 12,817" N	72° 49' 11,422" W	Restrepo Pace (1995)	246	Edad de meseta interpretada como de enfriamiento
7				1277113	1117936	MAGNA_Colombia_Bogota	7° 06' 03,000" N	73° 00' 36,000" W	van der Lelij (2013)	308	
36				1304559	1126197	MAGNA_Colombia_Bogota	7° 20' 55,600" N	72° 56' 04,600" W	Mantilla <i>et al.</i> (2013)	172	Interpretada como edad de magmatismo
26				1304745	1125847	MAGNA_Colombia_Bogota	7° 21' 01,700" N	72° 56' 16,000" W	Mantilla <i>et al.</i> (2013)	172	Interpretada como edad de magmatismo
			Las coordenadas (7° 18' 08" N, 72° 05' 42" W) reportadas por los autores no coinciden con la localización de la datación en la Figura 20 de Cardona (2003) [63]. Se obtuvo las coordenadas del punto a partir de la georreferenciación de esta figura	1299110	1131326	MAGNA_Colombia_Bogota	7° 17' 57,820" N	72° 53' 17,871" W	Cordani <i>et al.</i> (2005)	80	Edad integrada que es interpretada como de reseamiento isotópico
27				1304602	1124828	MAGNA_Colombia_Bogota	7° 20' 57,100" N	72° 56' 49,200" W	Mantilla <i>et al.</i> (2013)	172	Interpretada como edad de magmatismo
			Las coordenadas (7° 18' 08" N, 72° 05' 42" W) reportadas por los autores no coinciden con la localización de la datación en la Figura 20 de Cardona (2003) [63]. Se obtuvo las coordenadas del punto a partir de la georreferenciación de esta figura	1299110	1131326	MAGNA_Colombia_Bogota	7° 17' 57,820" N	72° 53' 17,871" W	Cordani <i>et al.</i> (2005)	80	Edad integrada que es interpretada como de reseamiento isotópico
			Localización tomada de Cardona (2003) [63]	1299601	1131307	MAGNA_Colombia_Bogota	7° 18' 13,820" N	72° 53' 18,428" W	Cordani <i>et al.</i> (2005)	80	Edad integrada que es interpretada como de reseamiento isotópico
31				1304559	1126197	MAGNA_Colombia_Bogota	7° 20' 55,600" N	72° 56' 04,600" W	Mantilla <i>et al.</i> (2013)	172	Interpretada como edad de magmatismo
15				1247161	1120122	MAGNA_Colombia_Bogota	6° 49' 48,000" N	72° 59' 27,000" W	van der Lelij (2013)	308	
			Las coordenadas (7° 18' 08" N, 72° 05' 42" W) reportadas por los autores no coinciden con la localización de la datación en la Figura 20 de Cardona (2003) [63]. Se obtuvo las coordenadas del punto a partir de la georreferenciación de esta figura	1299110	1131326	MAGNA_Colombia_Bogota	7° 17' 57,820" N	72° 53' 17,871" W	Cordani <i>et al.</i> (2005)	80	Edad integrada que es interpretada como de reseamiento isotópico
38				1301587	1129692	MAGNA_Colombia_Bogota	7° 19' 18,600" N	72° 54' 10,900" W	Mantilla <i>et al.</i> (2013)	172	Interpretada como edad de magmatismo
				1291698	1140196	MAGNA_Colombia_Bogota	7° 13' 55,819" N	72° 48' 29,424" W	Restrepo Pace (1995)	246	Edad de meseta interpretada como de cristalización
18				1291615	1130237	MAGNA_Colombia_Bogota	7° 13' 54,000" N	72° 53' 54,000" W	van der Lelij (2013)	308	
				716188	1039589	MAGNA_Colombia_Oeste	2° 01' 46,343" N	76° 43' 17,949" W	González (2010)	122	Edad integrada de baja confianza, con un espectro de desgasificación perturbado
			Localización tomada de Barrero & Vesga (1976) [25]	1060777	882758	MAGNA_Colombia_Bogota	5° 08' 41,760" N	75° 08' 05,588" W	Barrero & Vesga (1976)	25	

ID Datación Radiométrica	Código de la muestra	Unidad geológica	Litología	Edad años BP	Error años	Edad Ma	Error Ma	Edad grano simple menor detrítico	Edad grano simple mayor detrítico	Edad estratigráfica	Edades heredadas	Método de datación	Material analizado	Relación inicial	MSWD	P(X2) %
3401	10VDL61	Granodiorita del río Suratá	Granodiorita			200,0	± 1,5			Jurásico Temprano (J1)		U–Pb LA–ICP–MS	Circón		1,2	
3402	AM–09	Formación Une	Arenita			200	± 16,0			Jurásico Temprano (J1)		U–Th/He	Circón			
3403	PCM–815	Gneis de Bucaramanga	Gneis biotíttico hornbléndico			200,1	± 0,6			Jurásico Temprano (J1)		Ar–Ar	Hornblenda			
3404	PCM–1105	Gneis de Bucaramanga	Gneis biotíttico			200,2	± 0,4			Jurásico Temprano (J1)		Ar–Ar	Biotita			
3405	10VDL28	Granodiorita de Onzaga	Granodiorita			200,4	± 0,7			Jurásico Temprano (J1)		U–Pb LA–ICP–MS	Circón		1,3	
3406	PCM–815	Gneis de Bucaramanga	Gneis biotíttico hornbléndico			200,7	± 0,4			Jurásico Temprano (J1)		Ar–Ar	Biotita			
3407	PCM–1105	Gneis de Bucaramanga	Gneis biotíttico			201	± 0,3			Jurásico Temprano (J1)		Ar–Ar	Biotita			
3408	10VDL31	Granodiorita de Onzaga	Granodiorita			201,0	± 0,9			Jurásico Temprano (J1)		U–Pb LA–ICP–MS	Circón		2,9	
3409	10VDL35	Diorita del río Suratá	Diorita			201,1	± 1,4			Jurásico Temprano (J1)		U–Pb LA–ICP–MS	Circón		1,9	
3410	WR–242	Intrusivos hipóbasiles	Dique de porfírido riográctico			201,6	± 3,6			Triásico Tardío (T3)		U–Pb LA–MC–ICP–MS	Circón			
3411	PCM–815	Gneis de Bucaramanga	Gneis biotíttico hornbléndico			201,9	± 0,5			Triásico Tardío (T3)		Ar–Ar	Hornblenda			
3412	PCM–815	Gneis de Bucaramanga	Gneis biotíttico hornbléndico			202	± 0,6			Triásico Tardío (T3)		Ar–Ar	Biotita			
3413	14		Diorita pegmatítica			202	± 13			Triásico Tardío (T3)		K–Ar	Hornblenda			
3414	GI–47–M1	Stock de El Cuatro	Granito con alteración hidrotermal			202,2	+ 5,3/- 3,0			Triásico Tardío (T3)	Edades del Proterozoico al Carbonífero	U–Pb LA–MC–ICP–MS	Circón			
3415	10VDL56	Granito de Aguablanca	Granito			202,2	± 1,0			Triásico Tardío (T3)		U–Pb LA–ICP–MS	Circón		2,3	
3416	CB–7	Ortogneis de Berlin	Ortogneis			203,4				Triásico Tardío (T3)		Ar–Ar	Hornblenda			
3417	CJ–20	Stock de Amagá	Monzonita			203,7	± 0,5			Triásico Tardío (T3)		Ar–Ar	Plagioclasa			
3418	PCM–815	Gneis de Bucaramanga	Gneis biotíttico hornbléndico			203,8	± 0,7			Triásico Tardío (T3)		Ar–Ar	Biotita			
3419	PCM–815	Gneis de Bucaramanga	Gneis biotíttico hornbléndico			204	± 0,4			Triásico Tardío (T3)		Ar–Ar	Hornblenda			
3420	CB–7	Ortogneis de Berlin	Ortogneis			204	± 0,6			Triásico Tardío (T3)		Ar–Ar	Hornblenda			
3421	JM044R	Gneis de Chinchiná	Gneis			204,2	± 1,3			Triásico Tardío (T3)		Ar–Ar	Biotita		0,22	
3422	JM044R	Gneis de Chinchiná	Gneis			204,3	± 1,2			Triásico Tardío (T3)		Ar–Ar	Biotita		0,16	
3423	GE–20–M1	Dique de El Cuatro	Dique de granito			204,3	+ 2,7/- 3,3			Triásico Tardío (T3)	Edades del Proterozoico al Carbonífero	U–Pb LA–MC–ICP–MS	Circón			
3424	IGM–69916	Intrusivo Gnésico de San Diego				205	± 7			Triásico Tardío (T3)		K–Ar	Biotita			
3425	10–1–4–89	Tonalita granodiorita de Páramo Rico	Granodiorita			205	+ 5/- 9			Triásico Tardío (T3)	373,2 Ma	U–Pb	Circón			
3426	CMK–57	Grupo El Retiro	Anfibolita			205,7	± 1,3			Triásico Tardío (T3)		Ar–Ar	Hornblenda			
3427	A 83	Formación Macuira	Esquisto anfibólico			205,8	± 1,0			Triásico Tardío (T3)		Ar–Ar	Hornblenda			
3428	PCM–1102	Gneis de Bucaramanga	Gneis biotíttico hornbléndico			206,4	± 0,5			Triásico Tardío (T3)		Ar–Ar	Hornblenda			
3429	IGM–706332	Granulitas de Pantanillo	Granulita mafica			206,5	± 9,2			Triásico Tardío (T3)		Ar–Ar	Roca total			
3430	IGM–905364	Gneis de Abejorral	Ortogneis			207	± 5			Triásico Tardío (T3)		K–Ar	Biotita			
3431	JJ700	Stock de Amagá	Aplita			207				Triásico Tardío (T3)		Rb–Sr	Roca total	0,71		
3432	CJ–12	Intrusivo de Horizontes	Monzodiorita			207,6	± 0,3			Triásico Tardío (T3)		Ar–Ar	Moscovita			
3433	AB–2a	Formación Silgará	Esquisto			208	± 4			Triásico Tardío (T3)		Ar–Ar	Moscovita			

Dispersión %	Número de granos analizados	Número de alicuotas	Fuente georreferenciación	Coordenada X	Coordenada Y	Sistema de coordenadas	Latitud	Longitud	Referencia	ID referencia	Comentarios
	10			1284345	1109296	MAGNA_Colombia_Bogota	7° 09' 59,000" N	73° 05' 17,000" W	van der Lelij (2013)	308	
	1			1136397	1134832	MAGNA_Colombia_Bogota	5° 49' 41,940" N	72° 51' 36,480" W	Ramirez Arias <i>et al.</i> (2012)	227	Alicuota seleccionada por los autores para el modelamiento inverso, muestra del bloque colgante de la Falla de Soápaga
		Localización tomada de Cardona (2003) [63]		1299601	1131307	MAGNA_Colombia_Bogota	7° 18' 13,820" N	72° 53' 18,428" W	Cordani <i>et al.</i> (2005)	80	Edad de meseta que es interpretada como de resetamiento isotópico
		Las coordenadas (7° 18' 08" N, 72° 05' 42" W) reportadas por los autores no coinciden con la localización de la datación en la Figura 20 de Cardona (2003) [63]. Se obtuvo las coordenadas del punto a partir de la georreferenciación de esta figura		1299110	1131326	MAGNA_Colombia_Bogota	7° 17' 57,820" N	72° 53' 17,871" W	Cordani <i>et al.</i> (2005)	80	Edad de meseta que es interpretada como de resetamiento isotópico
	16			1196908	1139321	MAGNA_Colombia_Bogota	6° 22' 31,000" N	72° 49' 06,000" W	van der Lelij (2013)	308	
		Localización tomada de Cardona (2003) [63]		1299601	1131307	MAGNA_Colombia_Bogota	7° 18' 13,820" N	72° 53' 18,428" W	Cordani <i>et al.</i> (2005)	80	Edad de meseta que es interpretada como de resetamiento isotópico
		Las coordenadas (7° 18' 08" N, 72° 05' 42" W) reportadas por los autores no coinciden con la localización de la datación en la Figura 20 de Cardona (2003) [63]. Se obtuvo las coordenadas del punto a partir de la georreferenciación de esta figura		1299110	1131326	MAGNA_Colombia_Bogota	7° 17' 57,820" N	72° 53' 17,871" W	Cordani <i>et al.</i> (2005)	80	Edad de meseta que es interpretada como de resetamiento isotópico
	17			1200503	1139250	MAGNA_Colombia_Bogota	6° 24' 28,000" N	72° 49' 08,000" W	van der Lelij (2013)	308	
	12			1285052	1109571	MAGNA_Colombia_Bogota	7° 10' 22,000" N	73° 05' 08,000" W	van der Lelij (2013)	308	
				1372806	992586	MAGNA_Colombia_Bogota	7° 58' 02,360" N	74° 08' 41,100" W	Leal Mejía (2011)	160	Interpretada como la edad de cristalización magmática
		Localización tomada de Cardona (2003) [63]		1299601	1131307	MAGNA_Colombia_Bogota	7° 18' 13,820" N	72° 53' 18,428" W	Cordani <i>et al.</i> (2005)	80	Edad de meseta que es interpretada como de resetamiento isotópico
		Localización tomada de Cardona (2003) [63]		1299601	1131307	MAGNA_Colombia_Bogota	7° 18' 13,820" N	72° 53' 18,428" W	Cordani <i>et al.</i> (2005)	80	Edad de meseta que es interpretada como de resetamiento isotópico
		Se obtuvo las coordenadas del punto a partir de la georreferenciación de la Figura 2		1680106	1010294	MAGNA_Colombia_Bogota	10° 44' 44,504" N	73° 59' 00,230" W	Tschanz <i>et al.</i> (1974)	302	Intruye al Complejo plutónico Tucurinca
	9			1305350	1129225	MAGNA_Colombia_Bogota	7° 21' 21,100" N	72° 54' 25,800" W	Mantilla <i>et al.</i> (2013)	172	Interpretada como edad de magmatismo
	16			1389741	1124547	MAGNA_Colombia_Bogota	8° 07' 08,000" N	72° 56' 51,000" W	van der Lelij (2013)	308	
				1277721	1152574	MAGNA_Colombia_Bogota	7° 06' 19,818" N	72° 41' 47,419" W	Restrepo Pace (1995)	246	Edad de fusión total
		Se obtuvo las coordenadas del punto a partir de la georreferenciación del Anexo I		1161145	1154617	MAGNA_Colombia_Oeste	6° 03' 05,843" N	75° 40' 51,465" W	Vinasco (2001)	329	Edad integrada
		Localización tomada de Cardona (2003) [63]		1299601	1131307	MAGNA_Colombia_Bogota	7° 18' 13,820" N	72° 53' 18,428" W	Cordani <i>et al.</i> (2005)	80	Edad de meseta interpretada como de resetamiento isotópico
		Localización tomada de Cardona (2003) [63]		1299601	1131307	MAGNA_Colombia_Bogota	7° 18' 13,820" N	72° 53' 18,428" W	Cordani <i>et al.</i> (2005)	80	Edad integrada interpretada como de resetamiento isotópico
				1277721	1152574	MAGNA_Colombia_Bogota	7° 06' 19,818" N	72° 41' 47,419" W	Restrepo Pace (1995)	246	Edad de meseta interpretada como de cristalización
				1043490	1165937	MAGNA_Colombia_Oeste	4° 59' 15,995" N	75° 34' 53,091" W	González (2010)	122	Edad de isócrona inversa
				1043490	1165937	MAGNA_Colombia_Oeste	4° 59' 15,995" N	75° 34' 53,091" W	González (2010)	122	Edad de meseta
	25			1301026	1130139	MAGNA_Colombia_Bogota	7° 19' 00,300" N	72° 53' 56,400" W	Mantilla <i>et al.</i> (2013)	172	Interpretada como edad de magmatismo
		Localización tomada de Barrero & Vesga (1976) [25]		1113484	905684	MAGNA_Colombia_Bogota	5° 37' 18,509" N	74° 55' 43,669" W	Barreiro & Vesga (1976)	25	
		Se obtuvo las coordenadas del punto a partir de la georreferenciación de la Figura 2		1303854	1124835	MAGNA_Colombia_Bogota	7° 20' 32,782" N	72° 56' 49,057" W	Dorr <i>et al.</i> (1995)	92	Interpretada como la edad de cristalización, obtenida de fracciones de cirón
									Vinasco <i>et al.</i> (2001)	330	Edad integrada
		Localización tomada de Cardona (2003) [63]		1830273	962366	MAGNA_Colombia_Este	12° 06' 10,907" N	71° 25' 23,572" W	Cordona <i>et al.</i> (2006)	64	Edad integrada que indica posible perturbación termal
		Localización tomada de Cardona (2003) [63]		1305898	1130616	MAGNA_Colombia_Bogota	7° 21' 38,819" N	72° 53' 40,427" W	Cordani <i>et al.</i> (2005)	80	Edad integrada interpretada como de resetamiento isotópico
				1222757	1134756	MAGNA_Colombia_Oeste	6° 36' 32,627" N	75° 51' 32,482" W	Rodriguez <i>et al.</i> (2012b)	254	Edad de fusión total, la posibilidad de exceso de argón en las muestras es bastante probable, por lo que el significado geológico de las dataciones es incierta
		Localización tomada de Restrepo (1983) [236]		1121931	850172	MAGNA_Colombia_Bogota	5° 41' 50,016" N	75° 25' 47,823" W	González (1980)	118	El autor no reporta el código de la muestra ni la localización, por tanto estos datos se toman de la compilación hecha por Restrepo (1983) [236] en la cual el autor colaboró
		Localización suministrada por el profesor Jorge Julián RESTREPO		1154980	1156559	MAGNA_Colombia_Oeste	5° 59' 45,038" N	75° 39' 48,844" W	Restrepo <i>et al.</i> (1991)	239	Edad convencional
		Se obtuvo las coordenadas del punto a partir de la georreferenciación del Anexo I		1222956	1152169	MAGNA_Colombia_Oeste	6° 36' 37,612" N	75° 42' 05,726" W	Vinasco (2001)	329	Edad de meseta interpretada como la edad de cristalización del cuerpo
				1246814	1118267	MAGNA_Colombia_Bogota	6° 49' 36,826" N	73° 00' 27,445" W	Restrepo Pace (1995)	246	Edad integrada

ID Datación Radiométrica	Código de la muestra	Unidad geológica	Litología	Edad años BP	Error años	Edad Ma	Error Ma	Edad grano simple menor detrítico	Edad grano simple mayor detrítico	Edad estratigráfica	Edades heredadas	Método de datación	Material analizado	Relación inicial	MSWD	P(X2) %
3434	CJ-12	Intrusivo de Horizontes	Monzodiorita			208,23	$\pm$ 0,19			Triásico Tardío (T3)		Ar–Ar	Moscovita			
3435	PCM-815	Gneis de Bucaramanga	Gneis biotíctico hornbléndico			208,6	$\pm$ 0,5			Triásico Tardío (T3)		Ar–Ar	Biotita			
3436	10VDL39	Ortogneis de Berlín	Pegmatita			208,8	$\pm$ 1,2			Triásico Tardío (T3)		U–Pb LA–ICP–MS	Circón		2,2	
3437	10VDL43	Ortogneis de Berlín	Migmatita			209,2	$\pm$ 3,4			Triásico Tardío (T3)		U–Pb LA–ICP–MS	Circón		6,0	
3438	CM034R	Granitoide de Bellones				209,64	$\pm$ 1,17			Triásico Tardío (T3)		Ar–Ar	Moscovita			
3439	7–1–1–89	Tonalita granodiorita de Páramo Rico	Tonalita			210				Triásico Tardío (T3)	316,5 Ma	U–Pb	Circón			
3440	PUQ1	Complejo de Puqui	Gneis			210	$\pm$ 11			Triásico Tardío (T3)		K–Ar	Biotita			
3441	UAKA 79–48	Batolito de Mocoa	Granodiorita			210	$\pm$ 4			Triásico Tardío (T3)		K–Ar	Biotita			
3442	A 99	Formación Macuira	Esquisto			210,4	$\pm$ 1,5			Triásico Tardío (T3)		Ar–Ar	Hornblenda			
3443	ALR035	Dique de El Cuatro	Dique de grano alterado a ilita y sericitita			210,6	$\pm$ 3,5			Triásico Tardío (T3)		U–Pb ID–TIMS	Circón			
3444	A–2470	Complejo de Puqui	Metatalonita			211				Triásico Tardío (T3)		K–Ar	Biotita			
3445	Mo 488, 490–493, 496–497, 500, 502, 514–516, 520, 581, 610–612, 615	Batolito de Santa Bárbara	Cuarzodiorita biótica			211	$\pm$ 51			Triásico Tardío (T3)		Rb–Sr	Roca total		1,4	
3446	2922A	Gneis de Pescadero	Gneis			211				Triásico Tardío (T3)		Rb–Sr	Roca total	0,71		
3447	13AVSM	Formación Caballos				211,0	$\pm$ 6,8			Triásico Tardío (T3)		Huellas de fisión	Circón			<1
3448	JM041BR	Stock gabrodiortítico de Santa Rosa	Gabro hornbléndico sausurítico			211,1	$\pm$ 6,6			Triásico Tardío (T3)		Ar–Ar	Hornblenda		0,71	
3449	CJ-12	Intrusivo de Horizontes	Monzodiorita			211,1	$\pm$ 0,2			Triásico Tardío (T3)		Ar–Ar	Moscovita			
3450	10RC43	Complejo Cajamarca	Metagranito			211,11	$\pm$ 6,91			Triásico Tardío (T3)		Ar–Ar	Moscovita		0,05	
3451	CJ-12	Intrusivo de Horizontes	Monzodiorita			211,3	$\pm$ 0,2			Triásico Tardío (T3)		Ar–Ar	Moscovita			
3452	CJ-12	Intrusivo de Horizontes	Monzodiorita			212,3	$\pm$ 0,3			Triásico Tardío (T3)		Ar–Ar	Moscovita			
3453	10RC43	Complejo Cajamarca	Metagranito			212,48	$\pm$ 0,85			Triásico Tardío (T3)		Ar–Ar	Moscovita		0,05	
3454	PCM-1102	Gneis de Bucaramanga	Gneis biotíctico hornbléndico			212,7	$\pm$ 0,5			Triásico Tardío (T3)		Ar–Ar	Hornblenda			
3455	AB-6	Formación Silgará	Esquisto micaeó			213	$\pm$ 3			Triásico Tardío (T3)		Ar–Ar	Moscovita			
3456	CMK-57	Grupo El Retiro	Anfibolita			213,5	$\pm$ 1,6			Triásico Tardío (T3)		Ar–Ar	Hornblenda			
3457	10RC43	Complejo Cajamarca	Metagranito			213,71	$\pm$ 0,91			Triásico Tardío (T3)		Ar–Ar	Moscovita			
3458	RH-JA-E2	Metatonalita de Puqui	Gneis			214	$\pm$ 7			Triásico Tardío (T3)		K–Ar	Moscovita			
3459	JJ251	Gneis de Las Palmas	Gneis augen			214				Triásico Tardío (T3)		Rb–Sr	Roca total	0,710		
3460	JF 3	Grupo Garzón	Gneis biotíctico			214	$\pm$ 35			Triásico Tardío (T3)		Huellas de fisión	Circón			7
3461	CJ-30		Esquisto cuarzo sericítico			214	$\pm$ 0,9			Triásico Tardío (T3)		Ar–Ar	Sericita			
3462	SPK 0544	Stock de Amagá	Cuarzomonzonita			215	$\pm$ 7			Triásico Tardío (T3)		K–Ar	Biotita			
3463	JJ154	Gneis Granítico de Palmitas	Gneis			215				Triásico Tardío (T3)		Rb–Sr	Roca total	0,71		
3464	CJ-33	Stock de El Buey	Gabro piroxénico			215,4	$\pm$ 0,2			Triásico Tardío (T3)		Ar–Ar	Moscovita			
3465	CIA 6	Gneis de Guapotón	Gneis granítico			216	$\pm$ 5			Triásico Tardío (T3)		K–Ar	Biotita			
3466	IGM-706332	Granulitas de Pantanillo	Granulita máfica			216,2	$\pm$ 14,2			Triásico Tardío (T3)		Ar–Ar	Roca total			
3467	AC32B	Metagabro de El Picacho	Plagiogranito			216,6	$\pm$ 0,4			Triásico Tardío (T3)		U–Pb LA–ICP–MS	Circón			

Dispersión %	Número de gramos analizados	Número de alicuotas	Fuente georreferenciación	Coordenada X	Coordenada Y	Sistema de coordenadas	Latitud	Longitud	Referencia	ID referencia	Comentarios
			Se obtuvo las coordenadas del punto a partir de la georreferenciación del Anexo I	1222956	1152169	MAGNA_Colombia_Oeste	6° 36' 37,612" N	75° 42' 05,726" W	Vinasco (2001)	329	Edad integrada interpretada como un evento termal sobreimpuesto
			Localización tomada de Cardona (2003) [63]	1299601	1131307	MAGNA_Colombia_Bogota	7° 18' 13,820" N	72° 53' 18,428" W	Cordani <i>et al.</i> (2005)	80	Edad de meseta interpretada como de reseamiento isotópico
12				1285812	1119388	MAGNA_Colombia_Bogota	7° 10' 46,000" N	72° 59' 48,000" W	van der Lelij (2013)	308	
5				1292374	1138335	MAGNA_Colombia_Bogota	7° 14' 18,000" N	72° 49' 30,000" W	van der Lelij (2013)	308	
				716188	1039589	MAGNA_Colombia_Oeste	2° 01' 46,343" N	76° 43' 17,949" W	González (2010)	122	Edad integrada
			Se obtuvo las coordenadas del punto a partir de la georreferenciación de la Figura 2	1289552	1130947	MAGNA_Colombia_Bogota	7° 12' 46,786" N	72° 53' 31,034" W	Dörr <i>et al.</i> (1995)	92	Interpretada como la edad de cristalización, edad del intercepto inferior obtenida de varias fracciones de circon
									Restrepo <i>et al.</i> (1991)	239	
				624149	1047943	MAGNA_Colombia_Oeste	1° 11' 49,841" N	76° 38' 48,261" W	Sillitoe <i>et al.</i> (1982)	271	Interpretada como la edad mínima de emplazamiento, la datación fue realizada sobre un bloque de roca en el río Mocoa, 3 km al este del Batolito de Mocoa
				1809869	896671	MAGNA_Colombia_Este	11° 55' 01,922" N	72° 01' 33,601" W	Cardona (2003)	63	Edad integrada que indica posible perturbación térmal
2				1307735	1129363	MAGNA_Colombia_Bogota	7° 22' 38,700" N	72° 54' 21,100" W	Mantilla <i>et al.</i> (2013)	172	La edad de los dos circones más jóvenes es 210,6 ± 3,5 Ma que es interpretada como una edad heredada. La edad del intercepto inferior del concordia es de aproximadamente 201 Ma y define una edad mínima interpretada como la edad de magmatismo. Tres de los cinco circones analizados son discordantes
			Se obtuvo las coordenadas del punto a partir de la georreferenciación de la «Figura de localización de muestras»	1316019	863229	MAGNA_Colombia_Bogota	7° 27' 07,658" N	75° 18' 59,191" W	Botero (1981)	51	
			Localización tomada de McCourt & Verdugo (1985) [184]	862022	1105710	MAGNA_Colombia_Oeste	3° 20' 52,690" N	76° 07' 34,779" W	McCourt <i>et al.</i> (1984a)	181	Interpretada como la edad mínima de intrusión, calculada en una isócrona de 18 muestras
			Localización suministrada por el profesor Jorge Julián RESTREPO	1280598	1156114	MAGNA_Colombia_Oeste	7° 07' 53,094" N	75° 39' 51,808" W	Restrepo <i>et al.</i> (1991)	239	Edad convencional
37	12		Se localizó el punto de la datación con las coordenadas de la base de la columna estratigráfica donde se tomaron las muestras	860430	859667	MAGNA_Colombia_Bogota	3° 19' 59,597" N	75° 20' 24,579" W	Schwabe (2001)	267	Edad central obtenida por la profesora Gloria Elena TORO de la Universidad EAFTT
				1035168	1164231	MAGNA_Colombia_Oeste	4° 54' 45,311" N	75° 35' 49,054" W	González (2010)	122	Edad de meseta
			Se obtuvo las coordenadas del punto a partir de la georreferenciación del Anexo I	1222956	1152169	MAGNA_Colombia_Oeste	6° 36' 37,612" N	75° 42' 05,726" W	Vinasco (2001)	329	Edad integrada
				1152664	908870	MAGNA_Colombia_Bogota	5° 58' 34,000" N	74° 54' 02,000" W	Cochrane (2013)	79	Edad de isócrona inversa
			Se obtuvo las coordenadas del punto a partir de la georreferenciación del Anexo I	1222956	1152169	MAGNA_Colombia_Oeste	6° 36' 37,612" N	75° 42' 05,726" W	Vinasco (2001)	329	Edad de meseta interpretada como la edad de cristalización del cuerpo
			Se obtuvo las coordenadas del punto a partir de la georreferenciación del Anexo I	1222956	1152169	MAGNA_Colombia_Oeste	6° 36' 37,612" N	75° 42' 05,726" W	Vinasco (2001)	329	Edad de meseta interpretada como la edad de cristalización del cuerpo
				1152664	908870	MAGNA_Colombia_Bogota	5° 58' 34,000" N	74° 54' 02,000" W	Cochrane (2013)	79	Edad de fusión total
			Localización tomada de Cardona (2003) [63]	1305898	1130616	MAGNA_Colombia_Bogota	7° 21' 38,819" N	72° 53' 40,427" W	Cordani <i>et al.</i> (2005)	80	Edad de meseta interpretada como de reseamiento isotópico
				1246814	1118267	MAGNA_Colombia_Bogota	6° 49' 36,826" N	73° 00' 27,445" W	Restrepo Pace (1995)	246	Edad de meseta interpretada como edad de cristalización
									Vinasco <i>et al.</i> (2001)	330	Edad integrada
				1152664	908870	MAGNA_Colombia_Bogota	5° 58' 34,000" N	74° 54' 02,000" W	Cochrane (2013)	79	Edad de meseta interpretada como edad de enfriamiento
				1314399	863985	MAGNA_Colombia_Bogota	7° 26' 14,990" N	75° 18' 34,407" W	Hall <i>et al.</i> (1972)	128	Edad de cristalización
			Localización suministrada por el profesor Jorge Julián RESTREPO	1174139	837782	MAGNA_Colombia_Bogota	6° 10' 08,042" N	75° 32' 34,823" W	Restrepo <i>et al.</i> (1991)	239	Edad convencional
6			Se obtuvo las coordenadas del punto a partir de la georreferenciación de la Figura 6	789883	919248	MAGNA_Colombia_Bogota	2° 41' 44,967" N	74° 48' 13,285" W	van der Wiel & Andriessen (1991)	310	
			Se obtuvo las coordenadas del punto a partir de la georreferenciación del Anexo I	1139312	841053	MAGNA_Colombia_Bogota	5° 51' 14,942" N	75° 30' 45,515" W	Vinasco & Cordani (2012)	333	Edad de meseta, probablemente relacionada al principal evento magnético sintectónico del Triásico
			Se obtuvo las coordenadas del punto a partir de la georreferenciación de la figura de localización de Pérez (1966) [220]	1161894	1154158	MAGNA_Colombia_Oeste	6° 03' 30,241" N	75° 41' 06,315" W	Pérez (1967)	221	
			Localización suministrada por el profesor Jorge Julián RESTREPO	1196052	1152300	MAGNA_Colombia_Oeste	6° 22' 02,057" N	75° 42' 03,837" W	Restrepo <i>et al.</i> (1991)	239	Edad convencional
			Se obtuvo las coordenadas del punto a partir de la georreferenciación del Anexo I	1139478	844342	MAGNA_Colombia_Bogota	5° 51' 20,632" N	75° 28' 58,633" W	Vinasco (2001)	329	Edad integrada, también publicada en Vinasco <i>et al.</i> (2006) [332]
			Se obtuvo las coordenadas del punto a partir de la georreferenciación de la Figura 2	719792	1154216	MAGNA_Colombia_Oeste	2° 03' 41,653" N	75° 41' 29,064" W	Priem <i>et al.</i> (1989)	224	Edad puede reflejar reseamiento isotópico por intrusiones mesozoicas
				1222757	1134756	MAGNA_Colombia_Oeste	6° 36' 32,627" N	75° 51' 32,482" W	Rodríguez <i>et al.</i> (2012b)	254	Edad de fusión total, el exceso de argón en las muestras es bastante probable, por lo que el significado geológico de las dataciones es incierta
			Localización tomada de Correa Martínez (2007) [83]	1189848	1163973	MAGNA_Colombia_Oeste	6° 18' 39,116" N	75° 35' 44,712" W	Cochrane (2013)	79	Edad concordante media ponderada

ID Datación Radiométrica	Código de la muestra	Unidad geológica	Litología	Edad años BP	Error años	Edad Ma	Error Ma	Edad grano simple menor detrítico	Edad grano simple mayor detrítico	Edad estratigráfica	Edades heredadas	Método de datación	Material analizado	Relación inicial	MSWD	P(X2) %
3468	CMK040A	Metagabro de El Pícaro	Metagabro			216,6	± 0,4			Triásico Tardío (T3)		U–Pb LA–ICP–MS	Circón			
3469	CJ–24	Stock de La Honda	Cuarzodiorita			216,89	± 0,19			Triásico Tardío (T3)		Ar–Ar	Biotita			
3470	AOL 9428	Esquistos Glaucofánicos de Jamalí	Esquisto			217	± 10			Triásico Tardío (T3)		K–Ar	Glaucofana			
3471	JJ701	Stock de Amagá	Aplita			217				Triásico Tardío (T3)		Rb–Sr	Roca total	0,71		
3472	CJ–33	Stock de El Buey	Gabro piroxénico			217,7	± 0,2			Triásico Tardío (T3)		Ar–Ar	Moscovita			
3473			Paragneis (?)			218	± 15			Triásico Tardío (T3)		Rb–Sr	Moscovita			
3474	PUQ2	Complejo de Puqui	Gneis			218	± 8			Triásico Tardío (T3)		K–Ar	Biotita			
3475	CM034R	Granitoide de Bellones				218,06	± 0,53			Triásico Tardío (T3)		Ar–Ar	Moscovita			
3476	CJ–24	Stock de La Honda	Cuarzodiorita			218,3	± 0,3			Triásico Tardío (T3)		Ar–Ar	Biotita			
3477	CJ–24	Stock de La Honda	Cuarzodiorita			218,6	± 0,3			Triásico Tardío (T3)		Ar–Ar	Biotita			
3478	CJ–24	Stock de La Honda	Cuarzodiorita			218,7	± 0,3			Triásico Tardío (T3)		Ar–Ar	Biotita			
3479	CJ–33	Stock de El Buey	Gabro piroxénico			218,9	± 0,3			Triásico Tardío (T3)		Ar–Ar	Moscovita			
3480	CJ–33	Stock de El Buey	Gabro piroxénico			219,3	± 0,3			Triásico Tardío (T3)		Ar–Ar	Moscovita			
3481	10RC40	Complejo Cajamarca	Metagranito			219,53	± 0,87			Triásico Tardío (T3)		Ar–Ar	Moscovita		2,64	
3482	CJ–33	Stock de El Buey	Gabro piroxénico			219,6	± 0,3			Triásico Tardío (T3)		Ar–Ar	Moscovita			
3483	A–2470	Complejo de Puqui	Metatalonita			220				Triásico Tardío (T3)		K–Ar	Biotita			
3484	JJ240	Anfibolita de Sucre	Anfibolita			220	± 26			Triásico Tardío (T3)		K–Ar	Anfibol			
3485	Santos–SS	Formación Los Santos	Arenita			220,2	± 18,5			Triásico Tardío (T3)		Huellas de fisión EDM	Apatito		<1	
3486	IGM–69929	Intrusivo Gnésico de Padua	Anfibolita			221	± 10			Triásico Tardío (T3)		K–Ar	Hornblenda			
3487	IMN–12257	Formación Silgará	Filita			221	± 8			Triásico Tardío (T3)		K–Ar	Roca total			
3488	CJ–16	Gabro de Pueblito	Gabro			221	± 3			Triásico Tardío (T3)		Ar–Ar	Anfibol			
3489	CJ–16	Gabro de Pueblito	Gabro			221	± 4			Triásico Tardío (T3)		Ar–Ar	Anfibol			
3490	CJ–32	Gneis de Abejorral	Gneis			221,3	± 0,2			Triásico Tardío (T3)		Ar–Ar	Biotita			
3491	10RC40	Complejo Cajamarca	Metagranito			221,65	± 1,28			Triásico Tardío (T3)		Ar–Ar	Moscovita		2,64	
3492	10RC40	Complejo Cajamarca	Metagranito			221,8	± 1,03			Triásico Tardío (T3)		Ar–Ar	Moscovita			
3493	JJ260	Gneis de Abejorral	Gneis			222	± 20			Triásico Tardío (T3)		Sm–Nd	Granate y roca total			
3494	JJ692	Stock de Amagá	Granito			222				Triásico Tardío (T3)		Rb–Sr	Roca total	0,71		
3495	CM063R	Anfibolita y Metagabro de San Antonio	Anfibolita y metagabro			222,25	± 3,74			Triásico Tardío (T3)		Ar–Ar	Hornblenda			
3496	CM034R	Granitoide de Bellones				222,9	± 1,2			Triásico Tardío (T3)		Ar–Ar	Moscovita		1,05	
3497			Gneis, probablemente paragneis			223	± 5			Triásico Tardío (T3)		Rb–Sr	Biotita			
3498	JJ700	Stock de Amagá	Aplita			223				Triásico Tardío (T3)		Rb–Sr	Roca total	0,705		
3499	CMK–110	Gneis de Las Palmas	Migmatita			223 237	± 11 ± 5			Triásico Tardío (T3)–Triásico Medio (T2)	2632, 956–619, 576–505, 437, 380–318 y 295–252 Ma	U–Pb SHRIMP	Circón			
3500	CM034R	Granitoide de Bellones				223,7	± 1,6			Triásico Tardío (T3)		Ar–Ar	Moscovita		1,2	
3501	CJ–32	Gneis de Abejorral	Gneis			223,79	± 0,2			Triásico Tardío (T3)		Ar–Ar	Biotita			
3502	DV82	Intrusivo granítico (?)	Granito			223,8	± 3,4			Triásico Tardío (T3)		Ar–Ar	Hornblenda		8,18	

Dispersión %	Número de granos analizados	Número de alicuotas	Fuente georreferenciación	Coordenada X	Coordenada Y	Sistema de coordenadas	Latitud	Longitud	Referencia	ID referencia	Comentarios
			Localización tomada de Correa Martínez (2007) [83]	1189127	1164991	MAGNA_Colombia_Oeste	6° 18' 15,554" N	75° 35' 11,664" W	Cochrane (2013)	79	Edad concordante media ponderada
			Se obtuvo las coordenadas del punto a partir de la georreferenciación del Anexo 1	1151489	836918	MAGNA_Colombia_Bogota	5° 57' 50,893" N	75° 33' 00,915" W	Vinasco (2001)	329	Edad integrada, también publicada en Vinasco <i>et al.</i> (2006) [332]
									De Souza <i>et al.</i> (1984)	89	Muestra con exceso de argón tomada en la quebrada Calambaz, municipio de Jambaló
			Localización suministrada por el profesor Jorge Julián RESTREPO	1154980	1156559	MAGNA_Colombia_Oeste	5° 59' 45,038" N	75° 39' 48,844" W	Restrepo <i>et al.</i> (1991)	239	Edad convencional
			Se obtuvo las coordenadas del punto a partir de la georreferenciación del Anexo 1	1139478	844342	MAGNA_Colombia_Bogota	5° 51' 20,632" N	75° 28' 58,633" W	Vinasco (2001)	329	Edad integrada, también publicada en Vinasco <i>et al.</i> (2006) [332]
			Se obtuvo las coordenadas del punto a partir de la georreferenciación de la Figura 15	1863972	907991	MAGNA_Colombia_Este	12° 24' 23,570" N	71° 55' 25,126" W	Baquero (1983)	24	Muestra recobrada a 1976 m de profundidad en el pozo Jarara-1
									Restrepo <i>et al.</i> (1991)	239	
				716188	1039589	MAGNA_Colombia_Oeste	2° 01' 46,343" N	76° 43' 17,949" W	González (2010)	122	Edad integrada
			Se obtuvo las coordenadas del punto a partir de la georreferenciación del Anexo 1	1151489	836918	MAGNA_Colombia_Bogota	5° 57' 50,893" N	75° 33' 00,915" W	Vinasco (2001)	329	Edad de meseta interpretada como la edad de cristalización del cuerpo. También publicada en Vinasco <i>et al.</i> (2006) [332]
			Se obtuvo las coordenadas del punto a partir de la georreferenciación del Anexo 1	1151489	836918	MAGNA_Colombia_Bogota	5° 57' 50,893" N	75° 33' 00,915" W	Vinasco (2001)	329	Edad integrada, también publicada en Vinasco <i>et al.</i> (2006) [332]
			Se obtuvo las coordenadas del punto a partir de la georreferenciación del Anexo 1	1151489	836918	MAGNA_Colombia_Bogota	5° 57' 50,893" N	75° 33' 00,915" W	Vinasco (2001)	329	Edad de meseta interpretada como la edad de cristalización del cuerpo. También publicada en Vinasco <i>et al.</i> (2006) [332]
			Se obtuvo las coordenadas del punto a partir de la georreferenciación del Anexo 1	1139478	844342	MAGNA_Colombia_Bogota	5° 51' 20,632" N	75° 28' 58,633" W	Vinasco (2001)	329	Edad de meseta con espectro perturbado, muestra relativamente alterada. La edad es interpretada como de cristalización magmática, también publicada en Vinasco <i>et al.</i> (2006) [332]
			Se obtuvo las coordenadas del punto a partir de la georreferenciación del Anexo 1	1139478	844342	MAGNA_Colombia_Bogota	5° 51' 20,632" N	75° 28' 58,633" W	Vinasco (2001)	329	Edad de meseta con espectro perturbado, muestra relativamente alterada. La edad es interpretada como de cristalización magmática, también publicada en Vinasco <i>et al.</i> (2006) [332]
			Se obtuvo las coordenadas del punto a partir de la georreferenciación del Anexo 1	1142915	850832	MAGNA_Colombia_Bogota	5° 53' 13,000" N	75° 25' 28,000" W	Cochrane (2013)	79	Edad de fusión total
			Se obtuvo las coordenadas del punto a partir de la georreferenciación del Anexo 1	1139478	844342	MAGNA_Colombia_Bogota	5° 51' 20,632" N	75° 28' 58,633" W	Vinasco (2001)	329	Edad de meseta con espectro perturbado, muestra relativamente alterada. La edad es interpretada como de cristalización magmática, también publicada en Vinasco <i>et al.</i> (2006) [332]
			Se obtuvo las coordenadas del punto a partir de la georreferenciación de la «Figura de localización de muestras»	1316019	863229	MAGNA_Colombia_Bogota	7° 27' 07,658" N	75° 18' 59,191" W	Botero (1981)	51	
									Restrepo <i>et al.</i> (1991)	239	Muestra tomada en la carretera Santa Fe de Antioquia–Sopetrán
13									Gómez <i>et al.</i> (2005)	116	
			Localización tomada de Barrero & Vesga (1976) [25]	1060777	882758	MAGNA_Colombia_Bogota	5° 08' 41,760" N	75° 08' 05,588" W	Barrero & Vesga (1976)	25	
			Las coordenadas (8° 04' N, 72° 57' W) reportadas por los autores no coinciden con la localización de la datación en la Figura 2. Se obtuvo las coordenadas del punto a partir de la georreferenciación de esta figura	1383382	1122404	MAGNA_Colombia_Bogota	8° 03' 41,213" N	72° 58' 01,575" W	Goldsmith <i>et al.</i> (1971)	114	
			Se obtuvo las coordenadas del punto a partir de la georreferenciación del Anexo 1	1173427	1147441	MAGNA_Colombia_Oeste	6° 09' 46,137" N	75° 44' 43,763" W	Vinasco (2001)	329	Edad integrada
			Se obtuvo las coordenadas del punto a partir de la georreferenciación del Anexo 1	1173427	1147441	MAGNA_Colombia_Oeste	6° 09' 46,137" N	75° 44' 43,763" W	Vinasco (2001)	329	Edad integrada
			Se obtuvo las coordenadas del punto a partir de la georreferenciación del Anexo 1 de Vinasco (2001) [329]	1135591	847612	MAGNA_Colombia_Bogota	5° 49' 14,391" N	75° 27' 12,066" W	Vinasco <i>et al.</i> (2006)	332	Edad integrada
				1142915	850832	MAGNA_Colombia_Bogota	5° 53' 13,000" N	75° 25' 28,000" W	Cochrane (2013)	79	Edad de isócrona inversa
				1142915	850832	MAGNA_Colombia_Bogota	5° 53' 13,000" N	75° 25' 28,000" W	Cochrane (2013)	79	Edad media ponderada interpretada como edad de enfriamiento
			Localización suministrada por el profesor Jorge Julián RESTREPO	1134618	851433	MAGNA_Colombia_Bogota	5° 48' 43,021" N	75° 25' 07,818" W	Ordóñez Carmona <i>et al.</i> (2005)	211	Edad de metamorfismo calculada en isócrona con el par granate y roca total
			Localización suministrada por el profesor Jorge Julián RESTREPO	1155010	1156467	MAGNA_Colombia_Oeste	5° 59' 46,038" N	75° 39' 51,844" W	Restrepo <i>et al.</i> (1991)	239	Edad convencional
				819837	1089602	MAGNA_Colombia_Oeste	2° 57' 59,887" N	76° 16' 17,576" W	González (2010)	122	Edad integrada interpretada como edad mínima de metamorfismo regional
				716188	1039589	MAGNA_Colombia_Oeste	2° 01' 46,343" N	76° 43' 17,949" W	González (2010)	122	Edad de meseta
			Se obtuvo las coordenadas del punto a partir de la georreferenciación de la Figura 15	1863972	907991	MAGNA_Colombia_Este	12° 24' 23,570" N	71° 55' 25,126" W	Baquero (1983)	24	Muestra recobrada a 1976 m de profundidad en el pozo Jarara-1
			Localización suministrada por el profesor Jorge Julián RESTREPO	1154980	1156559	MAGNA_Colombia_Oeste	5° 59' 45,038" N	75° 39' 48,844" W	Restrepo <i>et al.</i> (1991)	239	Edad convencional
			Se obtuvo las coordenadas del punto a partir de la georreferenciación de la Figura 15	1169410	835595	MAGNA_Colombia_Bogota	6° 07' 33,969" N	75° 33' 45,528" W	Ordóñez Carmona (2001)	207	3 datos presentan una edad entre 237 y 223 Ma, la cual es interpretada como la edad de migmatización experimentada por las rocas
				716188	1039589	MAGNA_Colombia_Oeste	2° 01' 46,343" N	76° 43' 17,949" W	González (2010)	122	Edad de isócrona inversa
			Se obtuvo las coordenadas del punto a partir de la georreferenciación del Anexo 1 de Vinasco (2001) [329]	1135591	847612	MAGNA_Colombia_Bogota	5° 49' 14,391" N	75° 27' 12,066" W	Vinasco <i>et al.</i> (2006)	332	Edad integrada
				965976	871708	MAGNA_Colombia_Bogota	4° 17' 15,500" N	75° 13' 59,200" W	Villagómez (2010)	325	Edad media ponderada de meseta, espectro de edad perturbado

ID Datación Radiométrica	Código de la muestra	Unidad geológica	Litología	Edad años BP	Error años	Edad Ma	Error Ma	Edad grano simple menor detrítico	Edad grano simple mayor detrítico	Edad estratigráfica	Edades heredadas	Método de datación	Material analizado	Relación inicial	MSWD	P(X2) %	
3503	CM063R	Anfibolita y Metagabro de San Antonio	Anfibolita y metagabro			224	$\pm 58$			Triásico Tardío (T3)		Ar–Ar	Hornblenda		0,0112		
3504	AE-1	Anfibolitas de La Espadera				224	$\pm 2,9$			Triásico Tardío (T3)		U–Pb	Circón				
3505	JJ211	Gneis de Pescadero	Gneis			224				Triásico Tardío (T3)		Rb–Sr	Roca total	0,71			
3506	CJ-16	Gabro de Pueblito	Gabro			224	$\pm 2$			Triásico Tardío (T3)		Ar–Ar	Anfibol				
3507	10RC28	Gneis de Chinchiná	Anfibolita			224,7	$\pm 1,9$			Triásico Tardío (T3)		U–Pb LA–ICP–MS	Circón		0,8		
3508	CM063R	Anfibolita y Metagabro de San Antonio	Anfibolita y metagabro			224,8	$\pm 3,6$			Triásico Tardío (T3)		Ar–Ar	Hornblenda		0,14		
3509	DV82	Intrusivo granítico (?)	Granito			225,3	$\pm 1,1$			Triásico Tardío (T3)		Ar–Ar	Hornblenda				
3510	IGM-69929	Intrusivo Gnésico de Padua	Anfibolita			226	$\pm 10$			Triásico Tardío (T3)		K–Ar	Hornblenda				
3511	CMK-64A	Grupo de El Retiro	Granulita			226	$\pm 10$			Triásico Tardío (T3)		Sm–Nd	Roca total y granate				
3512	PALM-1	Gneis de Las Palmas				226				Triásico Tardío (T3)	680–504 y 336–318 Ma	U–Pb SHRIMP					
3513	JJ326, JJ338, COL9 y JJ570	Esquistos de Ancón	Esquisto			226	$\pm 4$			Triásico Tardío (T3)		Rb–Sr	Roca total	0,724			
3514	GSI-1	Gneis de Santa Isabel				226,7	$\pm 1,6$			Triásico Tardío (T3)	1211, 1186, 1001, 981 y 462 Ma	U–Pb SHRIMP					
3515	IGM 80335	Stock adamelítico de El Buey	Granodiorita			227	$\pm 10$			Triásico Tardío (T3)		K–Ar	Biotita				
3516	10VDL52	Tonalita de Páramo Rico	Tonalita			227,2	$\pm 22,1$			Triásico Tardío (T3)		Huellas de fisión LA–ICP–MS	Circón			79,0	
3517	Amaga G.S.	Stock de Amagá	Granodiorita			227,6	$\pm 4,5$			Triásico Tardío (T3)		U–Pb SHRIMP	Circón		1,4		
3518	Mo 488, 490–493, 496–498, 500–502, 514–516, 581, 610–612, 614	Batolito de Santa Bárbara	Cuarzodiorita biótica			228	$\pm 69$			Triásico Tardío (T3)		Rb–Sr	Roca total		3,5		
3519	QS-1					228,1	$\pm 2,9$			Triásico Tardío (T3)		U–Pb	Circón				
3520		Gneis de Manizales	Gneis			228,3	$\pm 0,3$			Triásico Tardío (T3)		Ar–Ar	Moscovita				
3521		Gneis de Manizales	Gneis			228,7	$\pm 0,4$			Triásico Tardío (T3)		Ar–Ar	Moscovita				
3522		Gneis de Manizales	Gneis			228,9	$\pm 0,5$			Triásico Tardío (T3)		Ar–Ar	Moscovita				
3523	CJ-30		Esquisto cuarzo sericitico			229	$\pm 4$			Triásico Tardío (T3)		Ar–Ar	Sericita				
3524	CJ-39	Stock de Cambumbia	Cuarzodiorita bandeadas			229,7	$\pm 0,3$			Triásico Tardío (T3)		Ar–Ar	Biotita				
3525		Gneis de Manizales	Gneis			229,7	$\pm 0,5$			Triásico Tardío (T3)		Ar–Ar	Moscovita				
3526	CJ-21c	Diorita de Pueblito	Diorita			229,8	$\pm 1,1$			Triásico Tardío (T3)		Ar–Ar	Anfibol				
3527	Patia 3	Formación Galeón				229,85				Triásico Tardío (T3)		U–Th/He	Apatito				
3528	SG-013	Stock de Cambumbia				ca. 230				Triásico Tardío (T3)		U–Pb LA–MC–ICP–MS	Circón				
3529	CJ-16	Gabro de Pueblito	Gabro			230	$\pm 3$			Triásico Tardío (T3)		Ar–Ar	Anfibol				
3530	CMK-45	Grupo de El Retiro	Anfibolita			230	$\pm 1$			Triásico Tardío (T3)		Ar–Ar	Anfibol				
3531	CJ-32	Gneis de Abejorral	Gneis			230				Triásico Tardío (T3)		Ar–Ar	Biotita				
3532	CMK-45	Grupo de El Retiro	Anfibolita			230,2	$\pm 0,8$			Triásico Tardío (T3)		Ar–Ar	Anfibol				
3533	T3-004	Formación Une	Arenita			230,9	$\pm 18,5$			Triásico Tardío (T3)		U–Th/He	Circón				
3534	COL11	Stock de Amagá	Granito			231	$\pm 12$			Triásico Tardío (T3)		K–Ar	Biotita				

Dispersión %	Número de granos analizados	Número de alicuotas	Fuente georreferenciación	Coordenada X	Coordenada Y	Sistema de coordenadas	Latitud	Longitud	Referencia	ID referencia	Comentarios
				819837	1089602	MAGNA_Colombia_Oeste	2° 57' 59,887" N	76° 16' 17,576" W	González (2010)	122	Edad de isócrona inversa, interpretada como edad mínima de metamorfismo regional
			Localización suministrada por el profesor Jorge Julián RESTREPO	1180487	840006	MAGNA_Colombia_Bogota	6° 13' 34,850" N	75° 31' 23,070" W	Restrepo <i>et al.</i> (2012)	243	Edad de metamorfismo
			Localización suministrada por el profesor Jorge Julián RESTREPO	1280598	1156114	MAGNA_Colombia_Oeste	7° 07' 53,094" N	75° 39' 51,808" W	Restrepo <i>et al.</i> (1991)	239	Edad convencional
			Se obtuvo las coordenadas del punto a partir de la georreferenciación del Anexo 1	1173427	1147441	MAGNA_Colombia_Oeste	6° 09' 46,137" N	75° 44' 43,763" W	Vinasco (2001)	329	Edad de meseta interpretada como la edad de metamorfismo, sin embargo, también puede ser posible que sea una edad de cristalización
18				1050528	1166786	MAGNA_Colombia_Oeste	5° 03' 05,000" N	75° 34' 25,000" W	Cochrane (2013)	79	Edad concordante media ponderada interpretada como la edad de intrusión, la localización no corresponde exactamente con la unidad
				819837	1089602	MAGNA_Colombia_Oeste	2° 57' 59,887" N	76° 16' 17,576" W	González (2010)	122	Edad de meseta
				965976	871708	MAGNA_Colombia_Bogota	4° 17' 15,500" N	75° 13' 59,200" W	Villagómez <i>et al.</i> (2011a)	326	Edad de fusión total
			Localización tomada de Barrero & Vesga (1976) [25]	1060777	882758	MAGNA_Colombia_Bogota	5° 08' 41,760" N	75° 08' 05,588" W	Barrero & Vesga (1976)	25	
			Se obtuvo las coordenadas del punto a partir de la georreferenciación de la Figura 15	1161060	843928	MAGNA_Colombia_Bogota	6° 03' 02,942" N	75° 29' 13,870" W	Ordóñez Carmona (2001)	207	Edad de metamorfismo de facies granulita, calculada en una isócrona con granate y roca total
				1172478	837742	MAGNA_Colombia_Bogota	6° 09' 14,000" N	75° 32' 36,000" W	Restrepo <i>et al.</i> (2011)	242	La edad de 226 Ma (n = 2) es la edad más joven y se interpreta como la edad de metamorfismo. La edad de 336 y 318 Ma (Carbonífero C1) obtenida en círculos detriticos que construyen la edad de depósito máxima para esta parte de la secuencia al Carbonífero
			Localización suministrada por el profesor Jorge Julián RESTREPO	1171675	1160299	MAGNA_Colombia_Oeste	6° 08' 48,044" N	75° 37' 45,835" W	Restrepo <i>et al.</i> (1991)	239	Edad isócrona calculada para las 4 muestras
4				1261394	925286	MAGNA_Colombia_Bogota	6° 57' 34,000" N	74° 45' 13,000" W	Restrepo <i>et al.</i> (2011)	242	La edad media ponderada de 226,7 ± 1,6 Ma que es interpretada como la edad del metamorfismo. La edad promedio de actividad volcánica felsica contemporánea con flujos basálticos es de 267,8 ± 3,6 Ma (n = 14)
			Las coordenadas (5° 53' 37,000" N; 75° 31' 40,000" W) reportadas por los autores no coinciden con la localización de la datación en la Figura 1. Se obtuvo las coordenadas del punto a partir de la georreferenciación de esta figura	1138421	845292	MAGNA_Colombia_Bogota	5° 50' 46,294" N	75° 28' 27,673" W	González <i>et al.</i> (1980)	119	
29				1291615	1130237	MAGNA_Colombia_Bogota	7° 13' 54,000" N	72° 53' 54,000" W	van der Lelij (2013)	308	Edad pooled
4			Se obtuvo las coordenadas del punto a partir de la georreferenciación de la Figura 1	1160714	1155763	MAGNA_Colombia_Oeste	6° 02' 51,736" N	75° 40' 14,256" W	Vinasco <i>et al.</i> (2006)	332	Edad de cristalización
			Localización tomada de McCourt & Verdugo (1985) [184]	862022	1105710	MAGNA_Colombia_Oeste	3° 20' 52,690" N	76° 07' 34,779" W	Brook (1984)	53	Interpretada como la edad mínima de intrusión, calculada en una isócrona de 20 muestras
			Localización suministrada por el profesor Jorge Julián RESTREPO	1194202	838356	MAGNA_Colombia_Bogota	6° 21' 01,000" N	75° 32' 18,000" W	Restrepo <i>et al.</i> (2012)	243	Límite entre Anfibolita de Santa Elena y la Dunita de Medellín, edad de metamorfismo
			Se obtuvo las coordenadas del punto a partir de la georreferenciación de la Figura 1	1068230	853390	MAGNA_Colombia_Bogota	5° 12' 42,554" N	75° 23' 59,450" W	Vinasco <i>et al.</i> (2006)	332	Edad integrada
			Se obtuvo las coordenadas del punto a partir de la georreferenciación de la Figura 1	1068230	853390	MAGNA_Colombia_Bogota	5° 12' 42,554" N	75° 23' 59,450" W	Vinasco <i>et al.</i> (2006)	332	Edad integrada
			Se obtuvo las coordenadas del punto a partir de la georreferenciación de la Figura 1	1068230	853390	MAGNA_Colombia_Bogota	5° 12' 42,554" N	75° 23' 59,450" W	Vinasco <i>et al.</i> (2006)	332	Edad de meseta
			Se obtuvo las coordenadas del punto a partir de la georreferenciación del Anexo 1	1139312	841053	MAGNA_Colombia_Bogota	5° 51' 14,942" N	75° 30' 45,515" W	Vinasco & Cordani (2012)	333	Edad integrada que no es representativa debido a la heterogeneidad del espectro
			Se obtuvo las coordenadas del punto a partir de la georreferenciación del Anexo 1	1124556	1166686	MAGNA_Colombia_Oeste	5° 43' 14,096" N	75° 34' 22,332" W	Vinasco (2001)	329	Edad integrada que posiblemente refleja un evento termal sobreimpuesto
			Se obtuvo las coordenadas del punto a partir de la georreferenciación de la Figura 1	1068230	853390	MAGNA_Colombia_Bogota	5° 12' 42,554" N	75° 23' 59,450" W	Vinasco <i>et al.</i> (2006)	332	Edad de meseta
			Se obtuvo las coordenadas del punto a partir de la georreferenciación del Anexo 1 de Vinasco (2001) [329]	1159524	1149293	MAGNA_Colombia_Oeste	6° 02' 13,534" N	75° 43' 44,692" W	Vinasco <i>et al.</i> (2001)	330	Edad integrada
1	2		Se tomaron las coordenadas listadas en los anexos que se diferencian varios metros con respecto a las reportadas en el informe final	728122	1006210	MAGNA_Colombia_Oeste	2° 08' 15,021" N	77° 01' 18,048" W	Agencia Nacional de Hidrocarburos & Universidad de Caldas (2011b)	4	Edad corregida, muestra de un núcleo de perforación del pozo Patia 3
38			Se tomaron las coordenadas listadas en los anexos que se diferencian varios metros con respecto a las reportadas en el informe final	1125060	1163813	MAGNA_Colombia_Oeste	5° 43' 30,729" N	75° 35' 55,620" W	Agencia Nacional de Hidrocarburos & Universidad de Caldas (2011b)	4	Interpretada como la edad de cristalización magmática
			Se obtuvo las coordenadas del punto a partir de la georreferenciación del Anexo 1	1173427	1147441	MAGNA_Colombia_Bogota	6° 09' 46,137" N	75° 44' 43,763" W	Vinasco (2001)	329	Edad de meseta interpretada como la edad de metamorfismo, sin embargo, también puede ser posible que sea una edad de cristalización
			Se obtuvo las coordenadas del punto a partir de la georreferenciación de la Figura 1	1152552	847709	MAGNA_Colombia_Bogota	5° 58' 26,384" N	75° 27' 10,250" W	Vinasco <i>et al.</i> (2006)	332	Edad de meseta interpretada como la edad de metamorfismo. También publicada en Vinasco <i>et al.</i> (2001) [330] y Vinasco (2001) [329]
			Se obtuvo las coordenadas del punto a partir de la georreferenciación del Anexo 1 de Vinasco (2001) [329]	1135591	847612	MAGNA_Colombia_Bogota	5° 49' 14,391" N	75° 27' 12,066" W	Vinasco <i>et al.</i> (2006)	332	Edad de seudomeseta, interpretada como la edad del metamorfismo
			Se obtuvo las coordenadas del punto a partir de la georreferenciación del Anexo 1 de Vinasco (2001) [329]	1152552	847709	MAGNA_Colombia_Bogota	5° 58' 26,384" N	75° 27' 10,250" W	Vinasco <i>et al.</i> (2006)	332	Edad integrada, también publicada en Vinasco <i>et al.</i> (2001) [330] y Vinasco (2001) [329]
	1			1064516	1077954	MAGNA_Colombia_Bogota	5° 10' 45,240" N	73° 22' 27,840" W	Ramirez Arias <i>et al.</i> (2012)	227	Alicuota seleccionada por los autores para el modelamiento inverso, muestra del bloque yacente de la Falla de Soápagua
									Restrepo <i>et al.</i> (1991)	239	

ID Datación Radiométrica	Código de la muestra	Unidad geológica	Litología	Edad años BP	Error años	Edad Ma	Error Ma	Edad grano simple menor detrítico	Edad grano simple mayor detrítico	Edad estratigráfica	Edades heredadas	Método de datación	Material analizado	Relación inicial	MSWD	P(X2) %
3535	CMK-45	Grupo de El Retiro	Anfíbolita			231	$\pm 1$			Triásico Tardío (T3)		Ar–Ar	Anfibol			
3536	CJ-39	Stock de Cambumbia	Cuarzodiorita bandeadas			231,2	$\pm 0,5$			Triásico Tardío (T3)		Ar–Ar	Biotita			
3537	JJ356	Gneis de Pescadero	Gneis			232				Triásico Tardío (T3)		Rb–Sr	Roca total	0,71		
3538	CMK-57	Grupo El Retiro	Anfíbolita			232				Triásico Tardío (T3)		Ar–Ar	Hornblenda			
3539	CJ-21c	Diorita de Pueblito	Diorita			232,5	$\pm 1,0$			Triásico Tardío (T3)		Ar–Ar	Anfibol			
3540	CJ-21c	Diorita de Pueblito	Diorita			232,6	$\pm 1,7$			Triásico Tardío (T3)		Ar–Ar	Anfibol			
3541	VR107C	Diorita de Pueblito	Tonalita			233	$\pm 14$			Triásico Tardío (T3)	Población mayor a 240–220 Ma y picos menores que llegan al Neoproterozoico	U–Pb LA–MC–ICP–MS	Circón			
3542	10RC41	Intrusivo Gnésico	Metagranito			234,1	$\pm 1,2$			Triásico Tardío (T3)		U–Pb LA–ICP–MS	Circón		1,2	
3543	WR-60	Batolito de Sonsón	Ortogneis biotítico (?)			234,5	$\pm 4,2$			Triásico Tardío (T3)	ca. 1600–1000 y 600–400 Ma	U–Pb LA–MC–ICP–MS	Circón			
3544	CMK-45	Grupo de El Retiro	Anfíbolita			235	$\pm 1$			Triásico Tardío (T3)		Ar–Ar	Anfibol			
3545	WR-130		Gneis metatonalítico			235,2	$\pm 4,4$			Triásico Tardío (T3)	ca. 1000 y 400 Ma	U–Pb LA–MC–ICP–MS	Circón			
3546	10RC71	Complejo Cajamarca	Pegmatita			236,0	$\pm 0,6$			Triásico Tardío (T3)		U–Pb LA–ICP–MS	Circón		0,9	
3547	VR166B		Diorita			236	$\pm 15$			Triásico Tardío (T3)	Población mayor a 240–220 Ma y picos menores que llegan al Neoproterozoico	U–Pb LA–MC–ICP–MS	Circón			
3548	10RC40	Complejo Cajamarca	Metagranito			236,1	$\pm 3,3$			Triásico Tardío (T3)		U–Pb LA–ICP–MS	Circón		3,7	
3549	DV18	Intrusivo Gnésico de La Línea	Gneis grandiorítico			236,2	$\pm 6,3$			Triásico Tardío (T3)		U–Pb LA–ICP–MS	Circón		0,61	
3550	10RC53	Complejo Cajamarca	Metagranito			236,4	$\pm 1,8$			Triásico Tardío (T3)		U–Pb LA–ICP–MS	Circón		3,0	
3551	GN-1	Gneis de Nechi				236,4	$\pm 6,6$			Triásico Tardío (T3)		U–Pb SHRIMP			2,1	
3552	CJ-39	Stock de Cambumbia	Cuarzodiorita bandeadas			236,6	$\pm 0,7$			Triásico Medio (T2)–Triásico Tardío (T3)		Ar–Ar	Biotita			
3553	P21	Gneis de Las Palmas	Paragneis migmatítico			237	$\pm 2$			Triásico Tardío (T3)–Triásico Medio (T2)	13 núcleos de circones son del Devónico, 4 del Cámbrico (edad media de 525 $\pm$ 23) y 7 del Precámbrico (principalmente del Mesoproterozoico ca. 1050–950 Ma)	SHIRIMP-RG				
3554	JJ701	Stock de Amagá	Aplita			237				Triásico Medio (T2)		Rb–Sr	Roca total	0,705		
3555	WR-61	Batolito de Sonsón	Granodiorita			237,2	$\pm 4,1$			Triásico Medio (T2)	ca. 1800–1000 y 500–400 Ma	U–Pb LA–MC–ICP–MS	Circón			
3556	JJ1421-2	Gneis de Las Palmas	Paragneis migmatítico			238	$+ 2/- 4$			Triásico Medio (T2)	Edades heredadas panafricanas	U–Pb	Circón			
3557	2922A	Gneis de Pescadero	Gneis			238				Triásico Medio (T2)		Rb–Sr	Roca total	0,705		
3558	JJ399	Migmatitas de El Retiro	Migmatita			238				Triásico Medio (T2)		Rb–Sr	Roca total	0,705		
3559	CJ-21c	Diorita de Pueblito	Diorita			238,1	$\pm 1,6$			Triásico Medio (T2)		Ar–Ar	Anfibol			
3560	RH-JA-E1	Metatonalita de Puquí	Metatonalita			239	$\pm 7$			Triásico Medio (T2)		K–Ar	Biotita			
3561	Lobita 1		Granito biotítico			239,6	$\pm 2,9$			Triásico Medio (T2)		U–Pb LA–MC–ICP–MS	Circón		0,58	
3562	10RC39	Complejo Cajamarca	Anfíbolita			239,7	$\pm 2,4$			Triásico Medio (T2)		U–Pb LA–ICP–MS	Circón		1,9	
3563	10RC39A	Complejo Cajamarca	Anfíbolita			239,7	$\pm 2,4$			Triásico Medio (T2)		U–Pb LA–ICP–MS	Circón		1,9	

Dispersión %	Número de gramos analizados	Número de alicuotas	Fuente georreferenciación	Coordenada X	Coordenada Y	Sistema de coordenadas	Latitud	Longitud	Referencia	ID referencia	Comentarios
			Se obtuvo las coordenadas del punto a partir de la georreferenciación de la Figura 1	1152552	847709	MAGNA_Colombia_Oeste	5° 58' 26,384" N	75° 27' 10,250" W	Vinasco <i>et al.</i> (2006)	332	Edad de meseta, también publicada en Vinasco <i>et al.</i> (2001) [330]
			Se obtuvo las coordenadas del punto a partir de la georreferenciación del Anexo 1	1124556	1166686	MAGNA_Colombia_Oeste	5° 43' 14,096" N	75° 34' 22,332" W	Vinasco (2001)	329	Edad integrada que posiblemente refleja un evento termal sobreimpuesto
			Localización suministrada por el profesor Jorge Julián RESTREPO	1280243	1150283	MAGNA_Colombia_Oeste	7° 07' 42,095" N	75° 43' 01,815" W	Restrepo <i>et al.</i> (1991)	239	Edad convencional
									Vinasco <i>et al.</i> (2001)	330	Edad seudomeseta, interpretada como edad de metamorfismo
			Se obtuvo las coordenadas del punto a partir de la georreferenciación del Anexo 1 de Vinasco (2001) [329]	1159524	1149293	MAGNA_Colombia_Oeste	6° 02' 13,534" N	75° 43' 44,692" W	Vinasco <i>et al.</i> (2001)	330	Edad de meseta
			Se obtuvo las coordenadas del punto a partir de la georreferenciación del Anexo 1 de Vinasco (2001) [329]	1159524	1149293	MAGNA_Colombia_Oeste	6° 02' 13,534" N	75° 43' 44,692" W	Vinasco <i>et al.</i> (2001)	330	Edad de meseta interpretada como la edad de metamorfismo
			Se obtuvo las coordenadas del punto del Anexo 1	1180337	1145805	MAGNA_Colombia_Oeste	6° 13' 31,164" N	75° 45' 36,408" W	Rodriguez (2010)	256	Edad de cristalización magmática. Considerando las edades U-Pb registradas en la Diorita de Pueblito y las relaciones con granitoides en el sector NW de la cordillera Central, se plantea preliminarmente que la formación del protolito de los Esquistos de Sabaletas ocurrió en el Pérmico ( <i>ca.</i> 300 a 250 Ma) y el metamorfismo alrededor de 250 Ma
5				1157437	884087	MAGNA_Colombia_Bogota	6° 01' 08,000" N	75° 07' 28,000" W	Cochrane (2013)	79	Edad concordante media ponderada
				1097767	877211	MAGNA_Colombia_Bogota	5° 28' 45,400" N	75° 11' 07,800" W	Leal Mejia (2011)	160	Interpretada como edad de cristalización magmática, lo que sugiere que el Batolito de Sonsón es probablemente un cuerpo intrusivo compuesto, por lo cual, el autor utiliza el nombre informal de "Batalito de Narío" para diferenciar el conjunto peraluminoso magmático Triásico del sur, del Conjunto magmático metaluminoso Paleoceno del norte
			Se obtuvo las coordenadas del punto a partir de la georreferenciación de la Figura 1	1152552	847709	MAGNA_Colombia_Bogota	5° 58' 26,384" N	75° 27' 10,250" W	Vinasco <i>et al.</i> (2006)	332	Edad integrada, también publicada en Vinasco <i>et al.</i> (2001) [330]
				1392316	923009	MAGNA_Colombia_Bogota	8° 08' 35,300" N	74° 46' 34,000" W	Leal Mejia (2011)	160	Interpretada como la edad de cristalización magmática
18				1058659	907631	MAGNA_Colombia_Bogota	5° 07' 34,000" N	74° 54' 38,000" W	Cochrane (2013)	79	Edad concordante media ponderada interpretada como la edad de intrusión
			Se obtuvo las coordenadas del punto del Anexo 1	1184989	1143677	MAGNA_Colombia_Oeste	6° 16' 02,736" N	75° 46' 45,239" W	Rodriguez (2010)	256	Edad de cristalización magmática de un dique de diorita que corta a los Esquistos de Sabaletas (Complejo Arquia). Considerando las edades U-Pb registradas en la Diorita de Pueblito y las relaciones con granitoides en el sector NW de la cordillera Central, se plantea preliminarmente que la formación del protolito de los Esquistos de Sabaletas ocurrió en el Pérmico ( <i>ca.</i> 300 a 250 Ma) y el metamorfismo alrededor de 250 Ma
7				1142915	850832	MAGNA_Colombia_Bogota	5° 53' 13,000" N	75° 25' 28,000" W	Cochrane (2013)	79	Edad concordante media ponderada interpretada como la edad de intrusión
13				986425	836003	MAGNA_Colombia_Bogota	4° 28' 19,000" N	75° 33' 18,100" W	Villagómez <i>et al.</i> (2011a)	326	Edad media ponderada
9				1267744	856688	MAGNA_Colombia_Bogota	7° 00' 56,000" N	75° 22' 28,000" W	Cochrane (2013)	79	Edad concordante media ponderada interpretada como la edad de intrusión
4				1395319	922371	MAGNA_Colombia_Bogota	8° 10' 13,000" N	74° 46' 55,000" W	Restrepo <i>et al.</i> (2011)	242	La edad media ponderada de 236,4 ± 6,6 Ma es interpretada como la edad del metamorfismo. La edad media ponderada de cristalización del protolito es de 277,3 ± 3 Ma (MSWD = 1,4 y n = 14)
			Se obtuvo las coordenadas del punto a partir de la georreferenciación del Anexo 1	1124556	1166686	MAGNA_Colombia_Oeste	5° 43' 14,096" N	75° 34' 22,332" W	Vinasco (2001)	329	Edad de meseta interpretada como edad de enfriamiento del sistema después de la época de cristalización del cuerpo
11									Martens <i>et al.</i> (2014)	175	Edad media interpretada como la edad de metamorfismo
			Localización suministrada por el profesor Jorge Julián RESTREPO	1154980	1156559	MAGNA_Colombia_Oeste	5° 59' 45,038" N	75° 39' 48,844" W	Restrepo <i>et al.</i> (1991)	239	Edad convencional
				1113258	877206	MAGNA_Colombia_Bogota	5° 37' 09,600" N	75° 11' 08,900" W	Leal Mejia (2011)	160	Interpretada como la edad de cristalización magmática, lo que sugiere que el Batolito de Sonsón es probablemente un cuerpo intrusivo compuesto, por lo que el autor utiliza el nombre informal de "Batalito de Narío" para diferenciar el conjunto peraluminoso magmático Triásico del sur del Conjunto magmático metaluminoso Paleoceno del norte
11			Localización suministrada por el profesor Jorge Julián RESTREPO	1172788	837379	MAGNA_Colombia_Bogota	6° 09' 24,042" N	75° 32' 47,824" W	Martens <i>et al.</i> (2011)	173	Edad de metamorfismo
			Localización suministrada por el profesor Jorge Julián RESTREPO	1280598	1156114	MAGNA_Colombia_Oeste	7° 07' 53,094" N	75° 39' 51,808" W	Restrepo <i>et al.</i> (1991)	239	Edad convencional
			Localización suministrada por el profesor Jorge Julián RESTREPO	1154368	842220	MAGNA_Colombia_Bogota	5° 59' 25,032" N	75° 30' 08,823" W	Restrepo <i>et al.</i> (1991)	239	Edad convencional
			Se obtuvo las coordenadas del punto a partir de la georreferenciación del Anexo 1 de Vinasco (2001) [329]	1159524	1149293	MAGNA_Colombia_Oeste	6° 02' 13,534" N	75° 43' 44,692" W	Vinasco <i>et al.</i> (2001)	330	Edad de meseta interpretada como la edad de metamorfismo. La edad integrada y de meseta son iguales
				1317664	861630	MAGNA_Colombia_Bogota	7° 28' 01,028" N	75° 19' 51,477" W	Hall <i>et al.</i> (1972)	128	Edad de cristalización
17				1520872	932876	MAGNA_Colombia_Bogota	9° 18' 20,049" N	74° 41' 18,492" W	Montes <i>et al.</i> (2010)	192	Edad concordia interpretada como la edad magmática, muestra tomada del pozo Lobita-I a 2,5 km de profundidad. Basamento cristalino de la cuenca de Plato-San Jorge
				1144539	852589	MAGNA_Colombia_Bogota	5° 54' 06,000" N	75° 24' 31,000" W	Cochrane (2013)	79	Edad concordante media ponderada, la muestra no corresponde con la Anfibolita de Santa Elena como lo menciona el autor sino con el Complejo Cajamarca
16				1144110	852404	MAGNA_Colombia_Bogota	5° 53' 52,000" N	75° 24' 37,000" W	Cochrane (2013)	79	Edad concordante media ponderada, la muestra no corresponde con la Anfibolita de Santa Elena como lo menciona el autor sino con el Complejo Cajamarca

ID Datación Radiométrica	Código de la muestra	Unidad geológica	Litología	Edad años BP	Error años	Edad Ma	Error Ma	Edad grano simple menor detrítico	Edad grano simple mayor detrítico	Edad estratigráfica	Edades heredadas	Método de datación	Material analizado	Relación inicial	MSWD	P(X2) %				
3564	DV65	Complejo Cajamarca	Metagranito			240,9	± 1,5			Triásico Medio (T2)		U–Pb LA–ICP–MS	Circón		0,6					
3565	Cicuco 2a		Granitoide			241,4	± 3,9			Triásico Medio (T2)		Edades heredadas grenvillanas, neoproteozoicas y paleozóicas	U–Pb LA–MC–ICP–MS	Circón		3,9				
3566	Cicuco 3		Granitoide			241,6	± 3,9			Triásico Medio (T2)		Edades heredadas paleozóicas	U–Pb LA–MC–ICP–MS	Circón		6,0				
3567	JM041BR	Stock gabrodiortítico de Santa Rosa	Gabro hornbléndico sausurítico			241,64	± 13,01			Triásico Medio (T2)		Ar–Ar	Hornblenda							
3568	JJ161	Gneis de Samaná				242				Triásico Medio (T2)		Rb–Sr	Roca total	0,71						
3569	AB-7		Dique basáltico foliado			242	± 5			Triásico Medio (T2)		Ar–Ar	Hornblenda							
3570		Anfibolita de Padua				243	± 4			Triásico Medio (T2)		Ar–Ar	Anfibol							
3571	MTP-1	Metatonalita de Puquí	Tonalita biotítica			243,5	± 2,5			Triásico Medio (T2)	291,9 ± 4,1 Ma	U–Pb SHRIMP	Circón		1,2					
3572	JJ1421-3	Gneis de Las Palmas	Gneis augen			244	± 2			Triásico Medio (T2)		U–Pb	Circón							
3573	P21	Gneis de Las Palmas	Gneis augen			244	± 2			Triásico Medio (T2)	6 núcleos de circones son de edad Ediacárico–Cámbrico ,3 tienen edades muy similares con una edad media de 563 +5/-3 Ma	U–Pb LA–ICP–MS								
3574	10RC42	Intrusivo Gnésico	Metagranito			244,6	± 2,4			Triásico Medio (T2)		U–Pb LA–ICP–MS	Circón		2,3					
3575	PGA-09	Gneis de Samaná	Gneis			244,9	± 4,7			Triásico Medio (T2)		U–Th/Pb LA–ICP–MS	Circón							
3576	ER050R		Anfibolita y metagabro			244,93	± 3,02			Triásico Medio (T2)		Ar–Ar	Anfibol (?)							
3577	10RC43	Complejo Cajamarca	Metagranito			245,0	± 2			Triásico Medio (T2)		U–Pb LA–ICP–MS	Circón		0,6					
3578	WR-63	Batolito de Sonsón	Granodiorita			245,4	± 4,8			Triásico Medio (T2)	ca. 1800, 1200–1000, 900–800 y 500 Ma	U–Pb LA–MC–ICP–MS	Circón							
3579	AVO-6	Gneis de Uray	Gneis			245,6	± 3,9			Triásico Medio (T2)	1845 ± 15,9; 1107 ± 26,6; 533 ± 7,7 y 262 ± 10,3 Ma	U–Pb LA–ICP–MS	Circón		0,47					
3580		Anfibolita de Padua				246	± 6			Triásico Medio (T2)		Ar–Ar	Anfibol							
3581	JJ219	Gneis de Pescadero	Gneis			247				Triásico Medio (T2)		Rb–Sr	Roca total	0,71						
3582	AVO-3	Gneis de Uray	Gneis			247,6	± 4,1			Triásico Temprano (T1)	1248 ± 36,6; 1042 ± 67; 533 ± 30,9 y 357 ± 28,1 Ma	U–Pb LA–ICP–MS	Circón		0,45					
3583	P-4, P-5	Tonalita de Puquí	Tonalita			248	± 17			Triásico Temprano (T1)		Rb–Sr	Roca total	0,70748	8,8					
3584	P-7	Tonalita de Puquí	Tonalita			248	± 17			Triásico Temprano (T1)		Rb–Sr	Roca total	0,70748	8,8					
3585	PN-1, PN-2, PN-3, PN-4	Tonalita de Puquí	Tonalita			248	± 17			Triásico Temprano (T1)		Rb–Sr	Roca total	0,70748	8,8					
3586	P-1	Tonalita de Puquí	Tonalita			248	± 17			Triásico Temprano (T1)		Rb–Sr	Roca total	0,70748	8,8					
3587	2911-A	Complejo de Puquí	Gneis biótico			248	± 10			Triásico Temprano (T1)		K–Ar	Biotita							
3588	6786	Gneis de Don Diego	Gneis			250				Triásico Temprano (T1)		K–Ar	Hornblenda							
3589	Palmitas G.G.	Gneis de Palmitas	Gneis			250				Triásico Temprano (T1)	1732–377 Ma	U–Pb SHRIMP	Circón							
3590	10VDL58	Formación Bocas	Dique de riolita			250,7	± 4,3			Triásico Temprano (T1)		U–Pb LA–ICP–MS	Circón		1,9					
3591	UNM 693	Granulita de El Retiro	Granulita			251	± 21			Triásico Temprano (T1)		K–Ar	Roca total							
3592	JJ211, JJ214, JJ218, JJ219, JJ356, 2922A	Gneis de Pescadero	Gneis			253	± 10			Pérmino (P)		Rb–Sr	Roca total	0,7086						
3593	UNM 2919	Anfibolita de Caldas	Anfibolita			254	± 8			Pérmino (P)		K–Ar	Roca total							

Dispersión %	Número de gramos analizados	Número de alicuotas	Fuente georreferenciación	Coordenada X	Coordenada Y	Sistema de coordenadas	Latitud	Longitud	Referencia	ID referencia	Comentarios
	14			1153962	906027	MAGNA_Colombia_Bogota	5° 59' 16,100" N	74° 55' 34,500" W	Cochrane (2013)	79	Edad concordante media ponderada
	31			1517018	937684	MAGNA_Colombia_Oeste	9° 16' 14,849" N	74° 38' 40,746" W	Montes <i>et al.</i> (2010)	192	Edad concordia interpretada como la edad magmática, muestra tomada del pozo Ciecu-2a a 2,4 km de profundidad. Basamento cristalino de la cuenca de Plato-San Jorge
	19			1519285	937722	MAGNA_Colombia_Bogota	9° 17' 28,648" N	74° 38' 39,614" W	Montes <i>et al.</i> (2010)	192	Edad concordia interpretada como la edad magmática, muestra tomada del pozo Ciecu-3 a 2,5 km de profundidad. Basamento cristalino de la cuenca de Plato-San Jorge
				1035168	1164231	MAGNA_Colombia_Oeste	4° 54' 45,311" N	75° 35' 49,054" W	González (2010)	122	Edad integrada
		Localización suministrada por el profesor Jorge Julián RESTREPO		1154141	905808	MAGNA_Colombia_Bogota	5° 59' 21,915" N	74° 55' 41,648" W	Restrepo <i>et al.</i> (1991)	239	Edad convencional
				1246875	1118267	MAGNA_Colombia_Bogota	6° 49' 38,826" N	73° 00' 27,445" W	Restrepo Pace (1995)	246	Edad integrada. Dique que intruye la Formación Silgará
									Vinasco <i>et al.</i> (2006)	332	Edad de meseta
	18			1325127	856834	MAGNA_Colombia_Bogota	7° 32' 03,451" N	75° 22' 28,595" W	Restrepo <i>et al.</i> (2010)	241	Interpretada como la edad de intrusión del cuerpo
	15	Localización suministrada por el profesor Jorge Julián RESTREPO		1173648	837535	MAGNA_Colombia_Bogota	6° 09' 52,042" N	75° 32' 42,823" W	Martens <i>et al.</i> (2011)	173	Edad de cristalización magmática del protolito
	15								Martens <i>et al.</i> (2014)	175	Edad media interpretada como la edad de cristalización ignea del protolito
	5			1153989	905950	MAGNA_Colombia_Bogota	5° 59' 17,000" N	74° 55' 37,000" W	Cochrane (2013)	79	Edad concordante media ponderada
		Se obtuvo las coordenadas del punto a partir de la georreferenciación de la Figura 1		1153989	906057	MAGNA_Colombia_Bogota	5° 59' 17,005" N	74° 55' 33,542" W	Ibáñez Mejía <i>et al.</i> (2008)	143	Edad promedio con MSWS de 1,5. Edad de 280 Ma posiblemente refleja la edad mínima de la formación del protolito detritico
				739437	1051558	MAGNA_Colombia_Oeste	2° 14' 23,150" N	76° 36' 50,413" W	González (2010)	122	Edad integrada de baja confianza por exceso de Ar
	12			1152664	908870	MAGNA_Colombia_Bogota	5° 58' 34,000" N	74° 54' 02,000" W	Cochrane (2013)	79	Edad concordante media ponderada
				1097594	871238	MAGNA_Colombia_Bogota	5° 28' 39,400" N	75° 14' 21,800" W	Leal Mejía (2011)	160	Interpretada como edad de cristalización magmática, lo que sugiere que el Batolito de Sonsón es probablemente un cuerpo intrusivo compuesto, por lo cual, el autor utiliza el nombre informal de "Batalito de Narío" para diferenciar el conjunto peraluminoso magmático Triásico del sur del conjunto magmático metaluminoso Paleoceno del norte
	10	Se obtuvo las coordenadas del punto a partir de la georreferenciación de la Figura 2		1832375	960708	MAGNA_Colombia_Este	12° 07' 19,218" N	71° 26' 18,473" W	Weber <i>et al.</i> (2010)	336	Edad media ponderada de 245,6 Ma es interpretada como la edad de cristalización magmática del protolito igneo. Las edades heredadas son interpretadas como entradas de la corteza durante la formación del granitoide
									Vinasco <i>et al.</i> (2006)	332	Edad de meseta
		Localización suministrada por el profesor Jorge Julián RESTREPO		1280598	1156114	MAGNA_Colombia_Oeste	7° 07' 53,094" N	75° 39' 51,808" W	Restrepo <i>et al.</i> (1991)	239	Edad convencional
	4	Se obtuvo las coordenadas del punto a partir de la georreferenciación de la Figura 2		1832375	960708	MAGNA_Colombia_Este	12° 07' 19,218" N	71° 26' 18,473" W	Weber <i>et al.</i> (2010)	336	Edad media ponderada de 247,6 Ma es interpretada como la edad de cristalización magmática del protolito igneo. Las edades más viejas son interpretadas como heredadas de corteza continental reciclada
		Se obtuvo las coordenadas del punto a partir de la georreferenciación de la Figura 7 de Ordóñez Carmona (1997) [205]		1323533	856807	MAGNA_Colombia_Bogota	7° 31' 11,589" N	75° 22' 29,311" W	Ordóñez Carmona & Pimentel (2002)	209	Interpretada como la edad de intrusión, calculada en una isócrona para 8 muestras (P-1, 4, 5, y 7; PN-1, 2, 3 y 4)
		Se obtuvo las coordenadas del punto a partir de la georreferenciación de la Figura 7 de Ordóñez Carmona (1997) [205]		1322014	855481	MAGNA_Colombia_Bogota	7° 30' 22,013" N	75° 23' 12,418" W	Ordóñez Carmona & Pimentel (2002)	209	Interpretada como la edad de intrusión, calculada en una isócrona para 8 muestras (P-1, 4, 5, y 7; PN-1, 2, 3 y 4)
		Se obtuvo las coordenadas del punto a partir de la georreferenciación de la Figura 7 de Ordóñez Carmona (1997) [205]		1325701	844578	MAGNA_Colombia_Bogota	7° 32' 20,890" N	75° 29' 08,325" W	Ordóñez Carmona & Pimentel (2002)	209	Interpretada como la edad de intrusión, calculada en una isócrona para 8 muestras (PN-1, 2, 3 y 4; P-1, 4, 5 y 7)
		Se obtuvo las coordenadas del punto a partir de la georreferenciación de la Figura 7		1324519	855889	MAGNA_Colombia_Bogota	7° 31' 43,568" N	75° 22' 59,335" W	Ordóñez Carmona & Pimentel (2002)	209	Interpretada como la edad de intrusión, calculada en una isócrona para 8 muestras (P-1, 4, 5, y 7; PN-1, 2, 3 y 4)
		Las coordenadas (7° 32' 50" N, 75° 21' 10" W) reportadas por los autores no coinciden con la localización de la datación en el «Mapa geológico regional». Se obtuvieron las coordenadas del punto a partir de la georreferenciación de este mapa		1321137	859064	MAGNA_Colombia_Bogota	7° 29' 53,824" N	75° 21' 15,493" W	Toussaint <i>et al.</i> (1981c)	299	
		Las coordenadas reportadas por los autores no coinciden con la localización de la datación en la Figura 2. Se obtuvieron las coordenadas del punto a partir de la georreferenciación de esta figura		1716426	1032514	MAGNA_Colombia_Bogota	11° 04' 26,102" N	73° 46' 47,732" W	MacDonald & Hurley (1969)	165	Interpretada como edad de reseamiento termal
		Se obtuvo las coordenadas del punto a partir de la georreferenciación de la Figura 1		1192976	1153155	MAGNA_Colombia_Oeste	6° 20' 21,861" N	75° 41' 36,310" W	Vinasco <i>et al.</i> (2006)	332	Interpretada como la edad cristalización. Las edades heredadas indican asimilación de material cortical antiguo
	6			1314670	1094294	MAGNA_Colombia_Bogota	7° 26' 27,000" N	73° 13' 24,000" W	van der Lelij (2013)	308	
		Localización suministrada por el profesor Jorge Julián RESTREPO		1280598	1156114	MAGNA_Colombia_Oeste	7° 07' 53,094" N	75° 39' 51,808" W	Restrepo <i>et al.</i> (1991)	239	Edad calculada en una isócrona para 6 muestras
		Se obtuvo las coordenadas del punto a partir de la georreferenciación del «Mapa geológico regional» de Restrepo & Toussaint (1981c) [232]		1163332	1161183	MAGNA_Colombia_Oeste	6° 04' 16,440" N	75° 37' 17,836" W	Restrepo <i>et al.</i> (1991)	239	

ID Datación Radiométrica	Código de la muestra	Unidad geológica	Litología	Edad años BP	Error años	Edad Ma	Error Ma	Edad grano simple menor detritico	Edad grano simple mayor detritico	Edad estratigráfica	Edades heredadas	Método de datación	Material analizado	Relación inicial	MSWD	P(X2) %
3594	JJ698	Stock de Amagá	Granito			255				Pérmino (P)		Rb-Sr	Roca total	0,71		
3595	10RC69	Complejo Cajamarca	Metagranito			255,7	$\pm 1,5$			Pérmino (P)		U-Pb LA-ICP-MS	Circón		1,2	
3596	P-1	Tonalita de Puquí	Tonalita			258	$\pm 23$			Pérmino (P)		Rb-Sr	Roca total	0,70738	7,3	
3597	P-4, P-5	Tonalita de Puquí	Tonalita			258	$\pm 23$			Pérmino (P)		Rb-Sr	Roca total	0,70738	7,3	
3598	P-7	Tonalita de Puquí	Tonalita			258	$\pm 23$			Pérmino (P)		Rb-Sr	Roca total	0,70738	7,3	
3599	PN-1, PN-2, PN-3, PN-4	Tonalita de Puquí	Tonalita			258	$\pm 23$			Pérmino (P)		Rb-Sr	Roca total	0,70738	7,3	
3600	JJ570	Esquistos de Ancón	Esquisto			261				Pérmino (P)		Rb-Sr	Roca total	0,71		
3601	WR-244		Granodiorita hornbléndica			262,9	$\pm 4,5$			Pérmino (P)	ca. 1600–1000 y 600–400 Ma	U-Pb LA-MC-ICP-MS	Circón			
3602	COL10A	Anfibolita de Caldas	Anfibolita			264	$\pm 27$			Pérmino (P)		K-Ar	Anfibol			
3603	EAM-12-05	Gneis de Los Muchachitos	Granito milonitzado			264,9	$\pm 4,0$			Pérmino (P)	Edades heredadas grenvilianas y del Paleozoico temprano	U-Pb LA-ICP-MS	Circón		0,0102	
3604	40, 40B, 40CVSM (población 2)	Formación La Tabla				265,0	$\pm 8,4$			Pérmino (P)		Huellas de fisión	Circón			33
3605	BOC-1	Batolito de Ocaña	Cuarzomonzonita a granito			268	$\pm 26$			Pérmino (P)		Sm-Nd		0,7007 $\pm$ 0,003	1,04	
3606	BOC-2, BOC-3	Batolito de Ocaña	Cuarzomonzonita a granito			268	$\pm 26$			Pérmino (P)		Sm-Nd		0,7007 $\pm$ 0,003	1,04	
3607	BOC-4	Batolito de Ocaña	Cuarzomonzonita a granito			268	$\pm 26$			Pérmino (P)		Sm-Nd		0,7007 $\pm$ 0,003	1,04	
3608	13VSM(2)	Formación Caballos				269	$\pm 10$			Pérmino (P)		Huellas de fisión	Circón			36
3609	2949	Grupo Ayurá-Montebello	Esquisto sericitico			270	$\pm 10$			Pérmino (P)		K-Ar	Roca total			
3610	JJ326	Esquistos de Ancón	Esquisto			271				Pérmino (P)		Rb-Sr	Roca total	0,71		
3611	DV82	Intrusivo granítico (?)	Granito			271,9	$\pm 3,7$			Pérmino (P)		U-Pb LA-ICP-MS	Circón		1,2	
3612	JJ570	Esquistos de Ancón	Esquisto			273				Pérmino (P)		Rb-Sr	Roca total	0,705		
3613	40VSM(2) población 2	Formación La Tabla				273,0	$\pm 12,5$			Pérmino (P)		Huellas de fisión	Circón			56
3614	Abejorral G.G.	Gneis de Abejorral	Gneis			274	$\pm 9,6$			Pérmino (P)	1000–500 Ma	U-Pb SHRIMP	Circón		1,4	
3615	12023251		Diorita biotítica hornbléndica			274,5	$\pm 5,3$			Pérmino (P)	ca. 1200–800 y 600–400 Ma	U-Pb LA-MC-ICP-MS	Circón			
3616	WR-290		Tonalita			274,8	$\pm 4,6$			Pérmino (P)	ca. 750 Ma	U-Pb LA-MC-ICP-MS	Circón			
3617	DV82	Complejo Cajamarca	Metagranito			275,8	$\pm 1,5$			Pérmino (P)		U-Pb LA-ICP-MS	Circón		3,0	
3618	JJ166	Gneis de Samaná				276				Pérmino (P)		Rb-Sr	Roca total	0,71		
3619	A-48	Gneis de Los Muchachitos	Granito milonitzado			276,5	$\pm 5,1$			Pérmino (P)		U-Pb LA-ICP-MS	Circón		1,8	
3620	PUQ3	Complejo de Puqui	Gneis			277				Pérmino (P)		Rb-Sr	Roca total	0,71		
3621	30y30PVSM	Formación Olini				277	$\pm 11,4$			Pérmino (P)		Huellas de fisión	Circón			67
3622	10RC04	Complejo Cajamarca	Metagranito			277,6	$\pm 1,6$			Pérmino (P)		U-Pb LA-ICP-MS	Circón		1,2	
3623	FF-G1-28-58	Formación León	Arenita			277,6	$\pm 22,8$			Pérmino (P)		Huellas de fisión EDM	Apatito			5,64
3624	JJ692	Stock de Amagá	Granito			278				Pérmino (P)		Rb-Sr	Roca total	0,705		
3625	BMY-5		Agregado de sericitita			280	$\pm 6$			Pérmino (P)		K-Ar	Sericita			
3626	PUQ4	Complejo de Puqui	Gneis			280				Pérmino (P)		Rb-Sr	Roca total	0,71		
3627	NSE-1C		Saprolito de gneis migmatítico			281,5	$+ 4,4/- 4,5$			Pérmino (P)	ca. 320 Ma	U-Pb LA-MC-ICP-MS	Circón			
3628	CAS 199 d	Formación Guatapuri	Toba vítrealítica			281,8	$\pm 6,3$			Pérmino (P)		K-Ar	Roca total			

Dispersión %	Número de granos analizados	Número de aliquotas	Fuente georreferenciación	Coordenada X	Coordenada Y	Sistema de coordenadas	Latitud	Longitud	Referencia	ID referencia	Comentarios
			Localización suministrada por el profesor Jorge Julián RESTREPO	1154980	1156559	MAGNA_Colombia_Oeste	5° 59' 45,038" N	75° 39' 48,844" W	Restrepo <i>et al.</i> (1991)	239	Edad convencional
6				1062167	883025	MAGNA_Colombia_Bogota	5° 09' 27,000" N	75° 07' 57,000" W	Cochrane (2013)	79	Edad concordante media ponderada
			Se obtuvo las coordenadas del punto a partir de la georreferenciación de la Figura 7	1324519	855889	MAGNA_Colombia_Bogota	7° 31' 43,568" N	75° 22' 59,335" W	Ordóñez Carmona (1997)	205	Edad interpretada como de cristalización calculada en una isócrona para 8 muestras (P-1, 4, 5, y 7; PN-1, 2, 3 y 4), punto correspondiente a 4 muestras
			Se obtuvo las coordenadas del punto a partir de la georreferenciación de la Figura 7	1323533	856807	MAGNA_Colombia_Bogota	7° 31' 11,589" N	75° 22' 29,311" W	Ordóñez Carmona (1997)	205	Edad interpretada como de cristalización calculada en una isócrona para 8 muestras (P-1, 4, 5, y 7; PN-1, 2, 3 y 4), punto correspondiente a 2 muestras
			Se obtuvo las coordenadas del punto a partir de la georreferenciación de la Figura 7	1322014	855481	MAGNA_Colombia_Bogota	7° 30' 22,013" N	75° 23' 12,418" W	Ordóñez Carmona (1997)	205	Interpretada como la edad de cristalización, calculada en una isócrona para 8 muestras (P-1, 4, 5, y 7; PN-1, 2, 3 y 4)
			Se obtuvo las coordenadas del punto a partir de la georreferenciación de la Figura 7	1325701	844578	MAGNA_Colombia_Bogota	7° 32' 20,890" N	75° 29' 08,325" W	Ordóñez Carmona (1997)	205	Edad interpretada como de cristalización calculada en una isócrona para 8 muestras (PN-1, 2, 3 y 4; P-1, 4, 5 y 7), punto correspondiente a 4 muestras
			Localización suministrada por el profesor Jorge Julián RESTREPO	1169310	1160490	MAGNA_Colombia_Oeste	6° 07' 31,043" N	75° 37' 39,835" W	Restrepo <i>et al.</i> (1991)	239	Edad convencional
				1205403	936760	MAGNA_Colombia_Bogota	6° 27' 11,900" N	74° 38' 57,100" W	Leal Mejía (2011)	160	Interpretada como la edad de cristalización magmática
									Restrepo <i>et al.</i> (1991)	239	
9			Se obtuvo las coordenadas del punto a partir de la georreferenciación de la Figura 2	1734803	1029576	MAGNA_Colombia_Bogota	11° 14' 24,267" N	73° 48' 23,988" W	Cardona <i>et al.</i> (2010c)	68	Edad de cristalización magmática
12	14		Se localizó el punto de la datación con las coordenadas del tepe de la columna estratigráfica donde se tomaron las muestras	859729	860842	MAGNA_Colombia_Bogota	3° 19' 36,827" N	75° 19' 46,498" W	Schwabe (2001)	267	Edad central de población 2
			Se obtuvo las coordenadas del punto a partir de la georreferenciación de la Figura 9	1398168	1083004	MAGNA_Colombia_Bogota	8° 11' 45,400" N	73° 19' 27,295" W	Ordóñez Carmona (2001)	207	Edad isócrona para 4 muestras, según el autor la relación baja de Sr sugiere que la muestra puede ser más joven posiblemente del Jurásico
			Se obtuvo las coordenadas del punto a partir de la georreferenciación de la Figura 9	1396761	1083346	MAGNA_Colombia_Bogota	8° 10' 59,585" N	73° 19' 16,203" W	Ordóñez Carmona (2001)	207	Edad isócrona para 4 muestras, según el autor la relación baja de Sr sugiere que la muestra puede ser más joven posiblemente del Jurásico
			Se obtuvo las coordenadas del punto a partir de la georreferenciación de la Figura 9	1396584	1084107	MAGNA_Colombia_Bogota	8° 10' 53,798" N	73° 18' 51,366" W	Ordóñez Carmona (2001)	207	Edad isócrona para 4 muestras, según el autor la relación baja de Sr sugiere que la muestra puede ser más joven posiblemente del Jurásico
10	3		Se localizó el punto de la datación con las coordenadas de la base de la columna estratigráfica donde se tomaron las muestras	860430	859667	MAGNA_Colombia_Bogota	3° 19' 59,597" N	75° 20' 24,579" W	Schwabe (2001)	267	Edad central obtenida por la profesora Gloria Elena TORO de la Universidad EAFTT
				1171736	1160237	MAGNA_Colombia_Oeste	6° 08' 50,044" N	75° 37' 47,835" W	Restrepo <i>et al.</i> (1981b)	234	
			Localización suministrada por el profesor Jorge Julián RESTREPO	1171675	1160299	MAGNA_Colombia_Oeste	6° 08' 48,044" N	75° 37' 45,835" W	Restrepo <i>et al.</i> (1991)	239	Edad convencional
	25			965976	871708	MAGNA_Colombia_Bogota	4° 17' 15,500" N	75° 13' 59,200" W	Villagómez <i>et al.</i> (2011a)	326	Edad media ponderada de circones euhedrales, pico menor a aproximadamente 305 Ma obtenido de núcleos xenocristalinos
			Localización suministrada por el profesor Jorge Julián RESTREPO	1169310	1160490	MAGNA_Colombia_Oeste	6° 07' 31,043" N	75° 37' 39,835" W	Restrepo <i>et al.</i> (1991)	239	Edad convencional
13	9		Se localizó el punto de la datación con las coordenadas del tepe de la columna estratigráfica donde fue tomada la muestra	859729	860842	MAGNA_Colombia_Bogota	3° 19' 36,827" N	75° 19' 46,498" W	Schwabe (2001)	267	Edad central de la población 2. Muestra del pozo Dina-12 a 2064 pies de profundidad, edad obtenida por la profesora Gloria Elena TORO de la Universidad EAFTT
	4		Se obtuvo las coordenadas del punto a partir de la georreferenciación de la Figura 1	1134148	849286	MAGNA_Colombia_Bogota	5° 48' 27,561" N	75° 26' 17,556" W	Vinasco <i>et al.</i> (2006)	332	La edad varía entre 300–250 Ma. La edad promedio ponderada de 274 ± 9,6 Ma la interpretan como la edad de metamorfismo y la edad de 250 Ma como la edad de magmatismo
				1261166	948714	MAGNA_Colombia_Bogota	6° 57' 27,500" N	74° 32' 29,800" W	Leal Mejía (2011)	160	Interpretada como la edad de cristalización magmática
				761206	1129469	MAGNA_Colombia_Oeste	2° 26' 10,300" N	75° 54' 48,600" W	Leal Mejía (2011)	160	Interpretada como la edad de cristalización magmática
	19			965976	871708	MAGNA_Colombia_Bogota	4° 17' 15,500" N	75° 13' 59,200" W	Cochrane (2013)	79	Edad concordante media ponderada
			Localización suministrada por el profesor Jorge Julián RESTREPO	1154141	905808	MAGNA_Colombia_Bogota	5° 59' 21,915" N	74° 55' 41,648" W	Restrepo <i>et al.</i> (1991)	239	Edad convencional
	51		Se obtuvo las coordenadas del punto a partir de la georreferenciación de la Figura 2	1734500	1029316	MAGNA_Colombia_Bogota	11° 14' 14,403" N	73° 48' 32,561" W	Cardona <i>et al.</i> (2010c)	68	Edad media ponderada interpretada como la edad de cristalización, se presentan edades levemente más jóvenes de ca. 250 Ma probablemente relacionadas a eventos con pérdida de Pb
									Restrepo <i>et al.</i> (1991)	239	Edad convencional
<1	3		Se localizó el punto de la datación con las coordenadas de la base de la columna estratigráfica donde se tomaron las muestras	860430	859667	MAGNA_Colombia_Bogota	3° 19' 59,597" N	75° 20' 24,579" W	Schwabe (2001)	267	Edad central
	5			969918	875174	MAGNA_Colombia_Bogota	4° 19' 24,000" N	75° 12' 07,000" W	Cochrane (2013)	79	Edad concordante media ponderada
	20			1066021	1164784	MAGNA_Colombia_Bogota	5° 11' 29,340" N	72° 35' 28,800" W	Ramírez Arias <i>et al.</i> (2012)	227	Muestra del Sincinal de Nunchía
			Localización suministrada por el profesor Jorge Julián RESTREPO	1155010	1156467	MAGNA_Colombia_Oeste	5° 59' 46,038" N	75° 39' 51,844" W	Restrepo <i>et al.</i> (1991)	239	Edad convencional
				1328356	917957	MAGNA_Colombia_Bogota	7° 33' 53,200" N	74° 49' 15,300" W	Leal Mejía (2011)	160	Edad de mineralización y alteración hidrotermal, esta edad puede registrar resequeamiento de cierre pos K-Ar asociado con el evento tectonotermal del Pérmico-Triásico de Vinasco <i>et al.</i> (2006) [332]
									Restrepo <i>et al.</i> (1991)	239	Edad convencional
				1394848	922738	MAGNA_Colombia_Bogota	8° 09' 57,700" N	74° 46' 43,000" W	Leal Mejía (2011)	160	Interpretada como la edad de cristalización magmática
			Se obtuvo las coordenadas del punto a partir de la georreferenciación de la Figura 2B	1600384	1018416	MAGNA_Colombia_Bogota	10° 01' 29,747" N	73° 54' 34,297" W	Bayona <i>et al.</i> (2010a)	27	Edad asociada a un exceso de argón

ID Datación Radiométrica	Código de la muestra	Unidad geológica	Litología	Edad años BP	Error años	Edad Ma	Error Ma	Edad grano simple menor detrítico	Edad grano simple mayor detrítico	Edad estratigráfica	Edades heredadas	Método de datación	Material analizado	Relación inicial	MSWD	P(X2) %
3629	JJ242	Anfibolita de Sucre	Anfibolita			284	$\pm 30$			Pérmino (P)		K–Ar	Anfibol			
3630	JJ356	Gneis de Pescadero	Gneis			285				Pérmino (P)		Rb–Sr	Roca total	0,705		
3631	PUQ3	Complejo de Puqui	Gneis			285	$\pm 12$			Pérmino (P)		K–Ar	Biotita			
3632	P–10, P–11	Complejo de Puqui	Gneis			286	$\pm 18$			Pérmino (P)		Rb–Sr	Roca total	0,71097	43	
3633	P–14, P–16, P–17, P–18	Complejo de Puqui	Gneis			286	$\pm 18$			Pérmino (P)		Rb–Sr	Roca total	0,71097	43	
3634	P–20	Complejo de Puqui	Gneis			286	$\pm 18$			Pérmino (P)		Rb–Sr	Roca total	0,71097	43	
3635	COL11	Stock de Amagá	Granito			286				Pérmino (P)		Rb–Sr	Roca total	0,71		
3636	2938	Gneis granítico de Palmitas	Gneis			288				Pérmino (P)		Rb–Sr	Roca total	0,71		
3637	A–14	Gneis de Los Muchachitos	Granito milonitizado			288,1	$\pm 4,5$			Pérmino (P)	1260 $\pm$ 69, 800 $\pm$ 32, 730 $\pm$ 10 y 615 $\pm$ 11 Ma	U–Pb LA–ICP–MS	Circón		0,96	
3638	JJ219	Gneis de Pescadero	Gneis			289				Pérmino (P)		Rb–Sr	Roca total	0,705		
3639	PUQ5	Complejo de Puqui	Gneis			290				Pérmino (P)		Rb–Sr	Roca total	0,71		
3640	A1–2R (población 2)	Formación Monserrate				290,0	$\pm 14,2$			Pérmino (P)		Huellas de fisión	Circón			83
3641	R. Verde G.G.	Gneis granítico de Río Verde	Gneis granítico			290 302	$\pm 10$ $\pm 4$			Pérmino (P)	1171 $\pm$ 32 y 700–900 Ma	U–Pb SHRIMP	Circón			
3642	P–10, P–11	Complejo de Puqui	Gneis			291	$\pm 10$			Pérmino (P)		Rb–Sr	Roca total	0,71030	15	
3643	P–14, P–16, P–17	Complejo de Puqui	Gneis			291	$\pm 10$			Pérmino (P)		Rb–Sr	Roca total	0,71030	15	
3644	CAS 199 d REP	Formación Guatapuri	Toba vítreas líticas			293,5	$\pm 6,8$			Pérmino (P)		K–Ar	Roca total			
3645	JJ326	Esquistos de Ancón	Esquisto			294				Pérmino (P)		Rb–Sr	Roca total	0,705		
3646	JJ393	Migmatitas de El Retiro	Migmatita			294				Pérmino (P)		Rb–Sr	Roca total	0,71		
3647	V–198	Gneis de Guapotón–Mancagua	Ortogneis biotítico hornbléndico			298,8	$\pm 0,4$			Pérmino (P)		Ar–Ar	Biotita			
3648	JJ170	Gneis de Samaná				305				Carbonífero (C)		Rb–Sr	Roca total	0,705		
3649	P–10, P–11	Complejo de Puqui	Gneis			306	$\pm 11$			Carbonífero (C)		Rb–Sr	Roca total	0,70980	11	
3650	P–14, P–16, P–17	Complejo de Puqui	Gneis			306	$\pm 11$			Carbonífero (C)		Rb–Sr	Roca total	0,70980	11	
3651	JJ316	Anfibolita de Caldas	Anfibolita			306	$\pm 15$			Carbonífero (C)		K–Ar	Roca total			
3652	JJ692, JJ704, JJ698, COL11	Stock de Amagá	Granito			309	$\pm 20$			Carbonífero (C)		Rb–Sr	Roca total	0,7078		
3653	WR–208	Stock de El Carmen	Leucotonalita biótica			310,6	$+ 5,3/- 5,2$			Carbonífero (C)		U–Pb LA–MC–ICP– MS	Circón			
3654		Complejo Cajamarca	Diabasa recristalizada parcialmente en las facies esquistos verde			312	$\pm 15$			Carbonífero (C)		K–Ar	Roca total			
3655	WR–209	Stock de El Carmen	Leucotonalita biótica			313,6	$+ 4,8/- 5,6$			Carbonífero (C)		U–Pb LA–MC–ICP– MS	Circón			
3656	PUQ3, PUQ4, PUQ5	Complejo de Puqui	Gneis			314				Carbonífero (C)		Rb–Sr	Roca total	0,709		
3657	Z–4	Stock de El Carmen	Leucotonalita biótica			317	$\pm 10$			Carbonífero (C)		U–Pb SHRIMP	Circón			
3658	UNM 2919	Anfibolita de Caldas	Anfibolita			319	$\pm 48$			Carbonífero (C)		K–Ar	Anfibol			
3659	WR–205	Stock de El Carmen	Saprolito de leucotonalita biótica			322,5	$\pm 5,6$			Carbonífero (C)		U–Pb LA–MC–ICP– MS	Circón			
3660	JJ137	Anfibolita de Caldas	Anfibolita			324	$\pm 16$			Carbonífero (C)		K–Ar	Anfibol			
3661	592	Secuencia Ofolítica de Los Azules	Lava			325,7	$\pm 82$			Carbonífero (C)		K–Ar	Roca total			
3662	BC–7		Saprolito de diórrita			326	$+ 5,6/- 5,1$			Carbonífero (C)		U–Pb LA–MC–ICP– MS	Circón			
3663	COL10E	Gneis de La Miel	Gneis			329				Carbonífero (C)		Rb–Sr	Roca total	0,71		

Dispersión %	Número de granos analizados	Número de aliquotas	Fuente georreferenciación	Coordenada X	Coordenada Y	Sistema de coordenadas	Latitud	Longitud	Referencia	ID referencia	Comentarios
									Restrepo <i>et al.</i> (1991)	239	Muestra tomada en la carretera Santa Fe de Antioquia-Sopetrán
			Localización suministrada por el profesor Jorge Julián RESTREPO	1280243	1150283	MAGNA_Colombia_Oeste	7° 07' 42,095" N	75° 43' 01,815" W	Restrepo <i>et al.</i> (1991)	239	Edad convencional
									Restrepo <i>et al.</i> (1991)	239	
			Se obtuvo las coordenadas del punto a partir de la georreferenciación de la Figura 7	1319869	860761	MAGNA_Colombia_Bogota	7° 29' 12,710" N	75° 20' 20,045" W	Ordóñez Carmona (1997)	205	Edad interpretada como de metamorfismo calculada en una isócrona para 8 muestras (P-10, 11, 14, 16, 17, 18 y 20), punto correspondiente a 2 muestras
			Se obtuvo las coordenadas del punto a partir de la georreferenciación de la Figura 7	1319204	861074	MAGNA_Colombia_Bogota	7° 28' 51,087" N	75° 20' 09,759" W	Ordóñez Carmona (1997)	205	Edad interpretada como de metamorfismo calculada en una isócrona para 8 muestras (P-10, 11, 14, 16, 17, 18 y 20), punto correspondiente a 5 muestras, la muestra P-18 corresponde a un xenolito en el Gneis de Puqui
			Se obtuvo las coordenadas del punto a partir de la georreferenciación de la Figura 7	1318371	861247	MAGNA_Colombia_Bogota	7° 28' 24,020" N	75° 20' 04,030" W	Ordóñez Carmona (1997)	205	Edad calculada en una isócrona para 7 muestras (P-10, 11, 14, 16, 17, 18 y 20)
									Restrepo <i>et al.</i> (1991)	239	Edad convencional
									Restrepo <i>et al.</i> (1991)	239	Edad convencional
48			Se obtuvo las coordenadas del punto a partir de la georreferenciación de la Figura 2	1734865	1030593	MAGNA_Colombia_Bogota	11° 14' 26,234" N	73° 47' 50,454" W	Cardona <i>et al.</i> (2010e)	68	Edad media ponderada interpretada como de cristalización magmática del granitoide
			Localización suministrada por el profesor Jorge Julián RESTREPO	1280598	1156114	MAGNA_Colombia_Oeste	7° 07' 53,094" N	75° 39' 51,808" W	Restrepo <i>et al.</i> (1991)	239	Edad convencional
									Restrepo <i>et al.</i> (1991)	239	Edad isócrona de 314 Ma para 3 datos
<1	2		Se obtuvo la localización del pozo Apicalá-1 del sitio web del EPIS	945446	931077	MAGNA_Colombia_Bogota	4° 06' 09,436" N	74° 41' 53,606" W	Schwabe (2001)	267	Edad central de la población 2, muestra del pozo Apicalá-1 a 3420-3610 pies de profundidad. Edad obtenida por la profesora Gloria Elena TORO de la Universidad EAFIT
			Se obtuvo las coordenadas del punto a partir de la georreferenciación de la Figura 1	1135184	880261	MAGNA_Colombia_Bogota	5° 49' 03,444" N	75° 09' 30,999" W	Vinasco <i>et al.</i> (2006)	332	Las edades de 290 y 302 Ma son consideradas edades máximas para la formación del protolito de la roca y podría representar la edad principal del basamento metamórfico en la parte oriental de la cordillera Central
			Se obtuvo las coordenadas del punto a partir de la georreferenciación de la Figura 7 de Ordóñez Carmona (1997) [205]	1319869	860761	MAGNA_Colombia_Bogota	7° 29' 12,710" N	75° 20' 20,045" W	Ordóñez Carmona & Pimentel (2002)	209	Edad calculada en una isócrona para 5 muestras (P-10, 11, 14, 16 y 17)
			Se obtuvo las coordenadas del punto a partir de la georreferenciación de la Figura 7 de Ordóñez Carmona (1997) [205]	1319204	861074	MAGNA_Colombia_Bogota	7° 28' 51,087" N	75° 20' 09,759" W	Ordóñez Carmona & Pimentel (2002)	209	Edad calculada en una isócrona para 5 muestras (P-10, 11, 14, 16 y 17)
			Se obtuvo las coordenadas del punto a partir de la georreferenciación de la Figura 2B	1600384	1018416	MAGNA_Colombia_Bogota	10° 01' 29,747" N	73° 54' 34,297" W	Bayona <i>et al.</i> (2010a)	27	Edad asociada a un exceso de argón, duplicado de muestra
			Localización suministrada por el profesor Jorge Julián RESTREPO	1171675	1160299	MAGNA_Colombia_Oeste	6° 08' 48,044" N	75° 37' 45,835" W	Restrepo <i>et al.</i> (1991)	239	Edad convencional
			Localización suministrada por el profesor Jorge Julián RESTREPO	1154368	842220	MAGNA_Colombia_Bogota	5° 59' 25,032" N	75° 30' 08,823" W	Restrepo <i>et al.</i> (1991)	239	Edad convencional
			Se obtuvo las coordenadas del punto a partir de la georreferenciación del Anexo 1 de Jiménez (2003) [151]	693145	1143617	MAGNA_Colombia_Oeste	1° 49' 14,597" N	75° 47' 12,598" W	Cordani <i>et al.</i> (2005)	80	Edad integrada asociada con un evento hidrotermal con una edad máxima en torno a los 200 Ma
			Localización suministrada por el profesor Jorge Julián RESTREPO	1154141	905808	MAGNA_Colombia_Bogota	5° 59' 21,915" N	74° 55' 41,648" W	Restrepo <i>et al.</i> (1991)	239	Edad convencional
			Se obtuvo las coordenadas del punto a partir de la georreferenciación de la Figura 7 de Ordóñez Carmona (1997) [205]	1319869	860761	MAGNA_Colombia_Bogota	7° 29' 12,710" N	75° 20' 20,045" W	Ordóñez Carmona & Pimentel (2002)	209	Interpretada como la edad del metamorfismo de alto grado, calculada en una isócrona para 8 muestras, muestras P-10, 11, 14, 16 y 17 de Ordóñez Carmona (1997) [205]; y PUQ-3, 4 y 5 de Restrepo <i>et al.</i> (1991) [239]
			Se obtuvo las coordenadas del punto a partir de la georreferenciación de la Figura 7 de Ordóñez Carmona (1997) [205]	1319204	861074	MAGNA_Colombia_Bogota	7° 28' 51,087" N	75° 20' 09,759" W	Ordóñez Carmona & Pimentel (2002)	209	Interpretada como la edad del metamorfismo de alto grado, calculada en una isócrona para 8 muestras, muestras P-10, 11, 14, 16 y 17 de Ordóñez Carmona (1997) [205]; y PUQ-3, 4 y 5 de Restrepo <i>et al.</i> (1991) [239]
			Localización suministrada por el profesor Jorge Julián RESTREPO	1165904	1162406	MAGNA_Colombia_Oeste	6° 05' 40,041" N	75° 36' 37,834" W	Restrepo <i>et al.</i> (1991)	239	
			Localización suministrada por el profesor Jorge Julián RESTREPO	1155010	1156467	MAGNA_Colombia_Oeste	5° 59' 46,038" N	75° 39' 51,844" W	Restrepo <i>et al.</i> (1991)	239	Edad calculada en una isócrona para 4 muestras
				1328356	917959	MAGNA_Colombia_Bogota	7° 33' 53,200" N	74° 49' 15,240" W	Leal Mejia (2011)	160	Interpretada como la edad de cristalización magmática. Roca huésped del filón El Carmen
			Localización suministrada por el profesor Jorge Julián RESTREPO	987469	835021	MAGNA_Colombia_Bogota	4° 28' 52,934" N	75° 33' 49,990" W	Restrepo & Toussaint (1981a)	230	Las coordenadas de la muestra no corresponden al Complejo Cajamarca sino al Complejo Quebradagrande
				1328356	917959	MAGNA_Colombia_Bogota	7° 33' 53,200" N	74° 49' 15,240" W	Leal Mejia (2011)	160	Interpretada como la edad de cristalización magmática. Roca huésped del filón El Carmen
									Restrepo <i>et al.</i> (1991)	239	Edad isócrona calculada para las 3 muestras
				1325250	919687	MAGNA_Colombia_Bogota	7° 32' 12,200" N	74° 48' 18,700" W	Leal Mejia (2011)	160	Interpretada como la edad de cristalización magmática. Roca huésped del filón El Carmen
			Se obtuvo las coordenadas del punto a partir de la georreferenciación del «Mapa geológico regional» de Restrepo & Toussaint (1981c) [232]	1163332	1161183	MAGNA_Colombia_Oeste	6° 04' 16,440" N	75° 37' 17,836" W	Restrepo <i>et al.</i> (1991)	239	
				1325782	919532	MAGNA_Colombia_Bogota	7° 32' 29,500" N	74° 48' 23,800" W	Leal Mejia (2011)	160	Interpretada como la edad de cristalización magmática. Roca huésped del filón El Carmen
			Localización suministrada por el profesor Jorge Julián RESTREPO	1160586	1161805	MAGNA_Colombia_Oeste	6° 02' 47,039" N	75° 36' 57,836" W	Restrepo <i>et al.</i> (1991)	239	
									Espinosa (1980)	96	
				1323942	919244	MAGNA_Colombia_Bogota	7° 31' 29,600" N	74° 48' 33,100" W	Leal Mejia (2011)	160	Interpretada como la edad de cristalización magmática, la muestra datada es una diorita intruida por el Stock de El Carmen
									Restrepo <i>et al.</i> (1991)	239	Edad convencional

ID Datación Radiométrica	Código de la muestra	Unidad geológica	Litología	Edad años BP	Error años	Edad Ma	Error Ma	Edad grano simple menor detrítico	Edad grano simple mayor detrítico	Edad estratigráfica	Edades heredadas	Método de datación	Material analizado	Relación inicial	MSWD	P(X2) %
3664	JJ244	Gneis de Las Palmas	Gneis augen			330				Carbonífero (C)		Rb-Sr	Roca total	0,705		
3665	WR-206		Saprolito de diorita			331	+ 4,7/- 4,8			Carbonífero (C)		U-Pb LA-MC-ICP-MS	Circón			
3666	SEB-3, SEB-4	Stock de El Buey	Granodiorita			331	± 770			Carbonífero (C)		Rb-Sr	Roca total		164	
3667	SH-1	Stock de La Honda	Cuarzomonzonita			331	± 770			Carbonífero (C)		Rb-Sr	Roca total		164	
3668	COL10F	Gneis de La Miel	Gneis			331	± 28			Carbonífero (C)		K-Ar	Moscovita			
3669	COL10D	Gneis de La Miel	Gneis			340				Carbonífero (C)		Rb-Sr	Roca total	0,71		
3670	RG-MP-013	Formación 1 Sur	Arenita			341,09				Carbonífero (C)		U-Th/He	Apatito			
3671	RW3b	Grupo Guadalupe	Arenita			342,7	± 27,4			Carbonífero (C)		U-Th/He	Circón			
3672	2955	Grupo Ayurá-Montebello, Anfibolita de Caldas	Gneis micáceo			343	± 12			Carbonífero (C)		K-Ar	Moscovita			
3673		Gneis de La Miel	Gneis			344,2	± 0,6			Carbonífero (C)		Ar-Ar	Moscovita			
3674		Gneis de La Miel	Gneis			345,4	± 0,6			Carbonífero (C)		Ar-Ar	Moscovita			
3675	JJ166, JJ170, 3034, JJ161, JJ165	Gneis de Samaná				346	± 23			Carbonífero (C)		Rb-Sr	Roca total	0,7054		
3676	GS-1	Gneis de Samaná	Gneis			347	± 63			Carbonífero (C)		Rb-Sr	Roca total		57	
3677	JJ412	Esquistos de Medellín				349				Carbonífero (C)		Rb-Sr	Roca total	0,710		
3678	BU 1132	Grupo Plutónico de Santander	Cuarzomonzonita			349,4	± 17,5			Carbonífero (C)		K-Ar	Roca total			
3679	AB-7		Dique foliado con hornblenda y cuarzo			350				Carbonífero (C)		Ar-Ar	Hornblenda			
3680	JJ166	Gneis de Samaná				351				Carbonífero (C)		Rb-Sr	Roca total	0,705		
3681	COL10E	Gneis de La Miel	Gneis			353				Carbonífero (C)		Rb-Sr	Roca total	0,705		
3682	1A-2B (población 2)	Formación Saldaña				355,7	± 16,0			Carbonífero (C)		Huellas de fisión	Circón			55
3683	JJ154	Gneis granítico de Palmitas	Gneis			358				Carbonífero (C)		Rb-Sr	Roca total	0,705		
3684	JJ0003	Granulitas de Pantanillo				360,7	± 12,4			Devónico (D)		K-Ar	Hornblenda			
3685	SL-1	Anfibolitas de El Vapor	Anfibolita			363	± 3			Devónico (D)		Ar-Ar	Hornblenda			
3686	13AVSM (población 2)	Formación Caballos				363,3	± 11,5			Devónico (D)		Huellas de fisión	Circón			67
3687	COL10D	Gneis de La Miel	Gneis			364				Devónico (D)		Rb-Sr	Roca total	0,705		
3688	JJ338	Esquistos de Ancón	Esquisto			365				Devónico (D)		Rb-Sr	Roca total	0,71		
3689	3034	Gneis de Samaná				369				Devónico (D)		Rb-Sr	Roca total	0,705		
3690	COL11	Stock de Amagá	Granito			373				Devónico (D)		Rb-Sr	Roca total	0,705		
3691	JJ161	Gneis de Samaná				374				Devónico (D)		Rb-Sr	Roca total	0,705		
3692	JJ698	Stock de Amagá	Granito			375				Devónico (D)		Rb-Sr	Roca total	0,705		
3693	COL9	Esquistos de Ancón	Esquisto			380				Devónico (D)		Rb-Sr	Roca total	0,71		
3694	La Miel G.G.	Gneis de La Miel	Gneis			380	± 8,0			Devónico (D)	1421, 1200 y 410 ± 10 Ma	U-Pb SHRIMP	Circón			
3695	JJ218	Gneis de Pescadero	Gneis			381				Devónico (D)		Rb-Sr	Roca total	0,705		
3696	PC-1	Formación Silgará	Esquisto			383,4				Devónico (D)		Ar-Ar	Biotita			
3697	PUQ7	Complejo de Puqui	Gneis			385				Devónico (D)		Rb-Sr	Roca total	0,71		
3698	1A-2R (3)	Formación Saldaña				387,0	± 14,0			Devónico (D)		Huellas de fisión	Circón			83
3699	JJ323, JJ324, JJ325, 2955, COL10C	Gneis de La Miel	Gneis			388	± 12			Devónico (D)		Rb-Sr	Roca total	0,7157		

Dispersión %	Número de granos analizados	Número de aliquotas	Fuente georreferenciación	Coordenada X	Coordenada Y	Sistema de coordenadas	Latitud	Longitud	Referencia	ID referencia	Comentarios
			Localización suministrada por el profesor Jorge Julián RESTREPO	1174139	837782	MAGNA_Colombia_Bogota	6° 10' 08,042" N	75° 32' 34,823" W	Restrepo <i>et al.</i> (1991)	239	Edad convencional
				1324505	918947	MAGNA_Colombia_Bogota	7° 31' 47,900" N	74° 48' 42,800" W	Leal Mejia (2011)	160	Interpretada como la edad de cristalización magnética, la muestra datada es una diorita intruida por el Stock de El Carmen
			Se obtuvo las coordenadas del punto a partir de la georreferenciación de la Figura 15	1144710	848482	MAGNA_Colombia_Bogota	5° 54' 11,242" N	75° 26' 44,508" W	Ordóñez Carmona (2001)	207	Edad calculada en una isócrona para las muestras SEB-3, SEB-4 y SH-1 (stocks de El Buey y La Honda)
			Se obtuvo las coordenadas del punto a partir de la georreferenciación de la Figura 15	1152299	836769	MAGNA_Colombia_Bogota	5° 58' 17,234" N	75° 33' 05,844" W	Ordóñez Carmona (2001)	207	Edad calculada en una isócrona para las muestras SH-1, SEB-3 y SEB-4 (stocks de La Honda y El Buey)
									Restrepo <i>et al.</i> (1991)	239	Edad mínima de metamorfismo, edad de enfriamiento
									Restrepo <i>et al.</i> (1991)	239	Edad convencional
1	3			739533	839861	MAGNA_Colombia_Oeste	2° 14' 23,962" N	78° 31' 01,200" W	Agencia Nacional de Hidrocarburos & Universidad de Caldas (2011a)	3	Muestra de ripios recuperados del pozo Remolinogrande-1
	1		Localización tomada de Mora <i>et al.</i> (2010) [195]	1109946	1137318	MAGNA_Colombia_Bogota	5° 35' 20,870" N	72° 50' 17,540" W	Ramírez Arias <i>et al.</i> (2012)	227	Aliquota seleccionada por los autores para el modelamiento inverso, muestra del Sinclinal de Aquitania
			Se obtuvo las coordenadas del punto a partir de la georreferenciación del «Mapa geológico regional»	1166167	1162006	MAGNA_Colombia_Oeste	6° 05' 48,631" N	75° 36' 50,805" W	Restrepo & Toussaint (1981c)	232	
			Se obtuvo las coordenadas del punto a partir de la georreferenciación de la Figura 1	1154169	1163771	MAGNA_Colombia_Oeste	5° 59' 18,042" N	75° 35' 54,484" W	Vinasco <i>et al.</i> (2006)	332	Edad integrada
			Se obtuvo las coordenadas del punto a partir de la georreferenciación de la Figura 1	1154169	1163771	MAGNA_Colombia_Oeste	5° 59' 18,042" N	75° 35' 54,484" W	Vinasco <i>et al.</i> (2006)	332	Edad integrada
			Localización suministrada por el profesor Jorge Julián RESTREPO	1154141	905808	MAGNA_Colombia_Bogota	5° 59' 21,915" N	74° 55' 41,648" W	Restrepo <i>et al.</i> (1991)	239	Edad isócrona calculada para las 5 muestras
			Se obtuvo las coordenadas del punto a partir de la georreferenciación de la Figura 15	1157209	907049	MAGNA_Colombia_Bogota	6° 01' 01,855" N	74° 55' 01,429" W	Ordóñez Carmona (2001)	207	Edad calculada en una isócrona con la muestra y 5 datos del trabajo de Restrepo <i>et al.</i> (1991) [239], muestras GS-1, JJ166, JJ170, 3034, JJ161 y JJ165
			Localización suministrada por el profesor Jorge Julián RESTREPO	1173046	844054	MAGNA_Colombia_Bogota	6° 09' 33,040" N	75° 29' 10,816" W	Restrepo <i>et al.</i> (1991)	239	Edad convencional
			Se obtuvo las coordenadas del punto a partir de la georreferenciación de la Figura 2	1304737	1164198	MAGNA_Colombia_Bogota	7° 20' 57,752" N	72° 35' 25,868" W	Boinet <i>et al.</i> (1985)	47	
				1246875	1118267	MAGNA_Colombia_Bogota	6° 49' 38,826" N	73° 00' 27,445" W	Restrepo Pace (1995)	246	Edad máxima. Dique que intruye a la Formación Silgará
			Localización suministrada por el profesor Jorge Julián RESTREPO	1154141	905808	MAGNA_Colombia_Bogota	5° 59' 21,915" N	74° 55' 41,648" W	Restrepo <i>et al.</i> (1991)	239	Edad convencional
									Restrepo <i>et al.</i> (1991)	239	Edad convencional
<1	2								Schwabe <i>et al.</i> (2001)	268	Edad central de la población 2, muestra del pozo 1-A a 15 700-15 790 pies de profundidad
			Localización suministrada por el profesor Jorge Julián RESTREPO	1196052	1152300	MAGNA_Colombia_Oeste	6° 22' 02,057" N	75° 42' 03,837" W	Restrepo <i>et al.</i> (1991)	239	Edad convencional
				1222823	1135244	MAGNA_Colombia_Oeste	6° 36' 34,736" N	75° 51' 16,594" W	Rodríguez <i>et al.</i> (2012b)	254	Edad de fusión total que no es confiable por el bajo contenido de potasio en la muestra, la posibilidad de exceso de argón en las muestras es bastante probable, por lo que el significado geológico de las daciones es incierto
			Las coordenadas (6° 37' 11" N, 74° 35' 43" W) reportadas por el autor no coinciden con la localización de la datación en la Figura 34. Se obtuvo las coordenadas del punto a partir de la georreferenciación de esta figura	1215702	941109	MAGNA_Colombia_Bogota	6° 32' 47,297" N	74° 36' 35,930" W	Cardona (2003)	63	Edad integrada, el espectro Ar-Ar sugiere que un evento más joven de edad indeterminada liberó parcialmente el argón del sistema
<1	7		Se localizó el punto de la datación con las coordenadas de la base de la columna estratigráfica donde se tomaron las muestras	860430	859667	MAGNA_Colombia_Bogota	3° 19' 59,597" N	75° 20' 24,579" W	Schwabe (2001)	267	Edad central de población 2, edad obtenida por la profesora Gloria Elena TORO de la Universidad EAFIT
									Restrepo <i>et al.</i> (1991)	239	Edad convencional
			Localización suministrada por el profesor Jorge Julián RESTREPO	1171675	1160299	MAGNA_Colombia_Oeste	6° 08' 48,044" N	75° 37' 45,835" W	Restrepo <i>et al.</i> (1991)	239	Edad convencional
			Localización suministrada por el profesor Jorge Julián RESTREPO	1154141	905808	MAGNA_Colombia_Bogota	5° 59' 21,915" N	74° 55' 41,648" W	Restrepo <i>et al.</i> (1991)	239	Edad convencional
									Restrepo <i>et al.</i> (1991)	239	Edad convencional
			Localización suministrada por el profesor Jorge Julián RESTREPO	1154141	905808	MAGNA_Colombia_Bogota	5° 59' 21,915" N	74° 55' 41,648" W	Restrepo <i>et al.</i> (1991)	239	Edad convencional
			Localización suministrada por el profesor Jorge Julián RESTREPO	1154980	1156559	MAGNA_Colombia_Oeste	5° 59' 45,038" N	75° 39' 48,844" W	Restrepo <i>et al.</i> (1991)	239	Edad convencional
									Restrepo <i>et al.</i> (1991)	239	Edad convencional
			Se obtuvo las coordenadas del punto a partir de la georreferenciación de la Figura 1	1154169	1163771	MAGNA_Colombia_Oeste	5° 59' 18,042" N	75° 35' 54,484" W	Vinasco <i>et al.</i> (2006)	332	Interpretada como la edad aproximada de cristalización magnética
			Localización suministrada por el profesor Jorge Julián RESTREPO	1280598	1156114	MAGNA_Colombia_Oeste	7° 07' 53,094" N	75° 39' 51,808" W	Restrepo <i>et al.</i> (1991)	239	Edad convencional
				1317792	1152452	MAGNA_Colombia_Bogota	7° 28' 03,814" N	72° 41' 47,412" W	Restrepo Pace (1995)	246	Edad de fusión total
									Restrepo <i>et al.</i> (1991)	239	
<1	3								Schwabe <i>et al.</i> (2001)	268	Edad central. Muestra del pozo 1-A a 15 700-15 790 pies de profundidad
									Restrepo <i>et al.</i> (1991)	239	Interpretada como la edad de intrusión, calculada en una isócrona para 5 muestras

ID Datación Radiométrica	Código de la muestra	Unidad geológica	Litología	Edad años BP	Error años	Edad Ma	Error Ma	Edad grano simple menor detrítico	Edad grano simple mayor detrítico	Edad estratigráfica	Edades heredadas	Método de datación	Material analizado	Relación inicial	MSWD	P(X2) %
3700	CIA 6	Gneis de Guapotón	Gneis granítico			390	$\pm 12$			Devónico (D)		Rb-Sr	Biotita y roca total			
3701	1A-2R (2)	Formación Saldaña				395,7	$\pm 15,0$			Devónico (D)		Huellas de fisión	Circón			87
3702	IGM 500410	Sienita Nefelínica de San José del Guaviare	Sienita nefelínica			396,4	$\pm 4,2$			Devónico (D)		Ar-Ar	Biotita			
3703	1337B	Anfibolita de Caldas	Anfibolita			404,3	$\pm 2,3$			Devónico (D)		Ar-Ar	Hornblenda			
3704	JJ165	Gneis de Samaná				406				Devónico (D)		Rb-Sr	Roca total	0,705		
3705	JJ338	Esquistos de Ancón	Esquisto			412				Devónico (D)		Rb-Sr	Roca total	0,705		
3706	IMN-12262	Gneis de Bucaramanga	Metadiorita			413	$\pm 30$			Devónico (D)		K-Ar	Hornblenda			
3707		Anfibolita de Padua				415	$\pm 3$			Devónico (D)		Ar-Ar	Anfibol			
3708		Anfibolita de Padua				415	$\pm 5$			Devónico (D)		Ar-Ar	Anfibol			
3709	V-198	Gneis de Guapotón–Mancagua	Ortogneis biotítico hornblendíco			417	$\pm 0,4$			Devónico (D)		Ar-Ar	Biotita			
3710	2938	Gneis Granítico de Palmitas	Gneis			420				Silúrico (S)		Rb-Sr	Roca total	0,705		
3711	MW 57	Grupo Garzón	Granulita gabronorítica			421	$\pm 83$			Silúrico (S)		Huellas de fisión	Circón			66
3712	JJ393	Migmatitas El Retiro	Migmatita			427				Silúrico (S)		Rb-Sr	Roca total	0,705		
3713	IMN-14362	Gneis de Bucaramanga	Pegmatita			432	$\pm 8$			Silúrico (S)		K-Ar	Moscovita			
3714	COL9	Esquistos de Ancón	Esquisto			433				Silúrico (S)		Rb-Sr	Roca total	0,705		
3715	JJ324	Gneis de La Miel	Gneis			434				Silúrico (S)		Rb-Sr	Roca total	0,71		
3716	JJ323	Gneis de La Miel	Gneis			438				Silúrico (S)		Rb-Sr	Roca total	0,71		
3717	IMN-14362	Gneis de Bucaramanga	Pegmatita			439	$\pm 12$			Silúrico (S)		K-Ar	Moscovita			
3718	10VDL46	Granito de Pamplona				439,2	$\pm 4,7$			Silúrico (S)		U-Pb LA-ICP-MS	Circón			8,0
3719	DV50	Gneis de La Miel	Gneis			440				Silúrico (S)	1400, 1000 y 800 Ma	U-Pb LA-ICP-MS	Circón			
3720	M98	Gneis de La Miel	Ortogneis			443	$\pm 8$			Silúrico (S)	Poblaciones de edades a 1225–ca. 1135 Ma, ca. 1495 y ca. 995 Ma. Con una edad de 1840 Ma	U-Pb LA-ICP-MS				7,6
3721	JJ1335	Gneis de La Miel	Granitoide anatéctico			443	$\pm 8$			Silúrico (S)	1510–1495 y 1265–995 Ma	U-Pb	Circón			
3722	10VDL55	Granodiorita de Tarra	Granodiorita			443,4	$\pm 3,2$			Ordovícico (O)–Silúrico (S)		U-Pb LA-ICP-MS	Circón			3,8
3723	B 3592		Sienita			445	$\pm 22$			Ordovícico (O)		K-Ar	Biotita			
3724	B 3635		Sienita			445	$\pm 22$			Ordovícico (O)		K-Ar	Biotita			
3725	IMN-12256	Ortogneis	Gneis granítico			450	$\pm 80$			Ordovícico (O)		Rb-Sr	Roca total			
3726	10VDL37	Ortogneis de Berlín	Gneis biotítico hornblendíco			451,5	$\pm 1,3$			Ordovícico (O)		U-Pb LA-ICP-MS	Circón			1,0
3727	SL-1	Anfibolitas de El Vapor	Anfibolita			453	$\pm 4$			Ordovícico (O)		Ar-Ar	Hornblenda			
3728	JJ704	Stock de Amagá	Granito			454				Ordovícico (O)		Rb-Sr	Roca total	0,705		
3729	BU 1101		Gabro			456	$\pm 22,8$			Ordovícico (O)		K-Ar	Roca total			
3730	RG-1	Granulita de Los Mangos	Gneis			456	$\pm 60$			Ordovícico (O)		U-Pb	Circón			390
3731	IMN-14362	Gneis de Bucaramanga	Pegmatita			457	$\pm 13$			Ordovícico (O)		K-Ar	Moscovita			
3732	JJ358	Gneis de Pescadero	Gneis			457				Ordovícico (O)		Rb-Sr	Roca total	0,71		

Dispersión %	Número de gramos analizados	Número de alicuotas	Fuente georreferenciación	Coordenada X	Coordenada Y	Sistema de coordenadas	Latitud	Longitud	Referencia	ID referencia	Comentarios
			Se obtuvo las coordenadas del punto a partir de la georreferenciación de la Figura 2	719792	1154216	MAGNA_Colombia_Oeste	2° 03' 41,653" N	75° 41' 29,064" W	Priem <i>et al.</i> (1989)	224	Edad puede reflejar resequeamiento isotópico por intrusiones mesozoicas
<1	5								Schwabe <i>et al.</i> (2001)	268	Edad central. Muestra del pozo I-A a 15 700-15 790 pies de profundidad
				761532	1152356	MAGNA_Colombia_Bogota	2° 26' 20,211" N	72° 42' 27,968" W	Arango <i>et al.</i> (2012)	16	Edad de fusión total
			Localización suministrada por el profesor Jorge Julián RESTREPO	1165668	1162530	MAGNA_Colombia_Oeste	6° 05' 32,341" N	75° 36' 33,834" W	Restrepo <i>et al.</i> (2008)	240	Edad gas total, la mayoría del Ar extraído está entre 394 y 360 Ma. Los autores interpretan esta edad como relacionada a un importante evento metamórfico en el Devónico
			Localización suministrada por el profesor Jorge Julián RESTREPO	1154141	905808	MAGNA_Colombia_Bogota	5° 59' 21,915" N	74° 55' 41,648" W	Restrepo <i>et al.</i> (1991)	239	Edad convencional
			Localización suministrada por el profesor Jorge Julián RESTREPO	1171675	1160299	MAGNA_Colombia_Oeste	6° 08' 48,044" N	75° 37' 45,835" W	Restrepo <i>et al.</i> (1991)	239	Edad convencional
			Las coordenadas (8° 17' N, 73° 24' W) reportadas por los autores no coinciden con la localización de la datación en la Figura 2. Se obtuvo las coordenadas del punto a partir de la georreferenciación de esta figura	1407658	1073995	MAGNA_Colombia_Bogota	8° 16' 54,805" N	73° 24' 21,085" W	Goldsmith <i>et al.</i> (1971)	114	Interpretada como la edad de un evento termal
									Vinasco <i>et al.</i> (2006)	332	Edad integrada
									Vinasco <i>et al.</i> (2006)	332	Edad integrada
			Se obtuvo las coordenadas del punto a partir de la georreferenciación del Anexo 1 de Jiménez (2003) [151]	693145	1143617	MAGNA_Colombia_Oeste	1° 49' 14,597" N	75° 47' 12,598" W	Cordani <i>et al.</i> (2005)	80	Edad integrada asociada con un evento hidrotermal
									Restrepo <i>et al.</i> (1991)	239	Edad convencional
6			Se obtuvo las coordenadas del punto a partir de la georreferenciación de la Figura 6	704455	1152060	MAGNA_Colombia_Oeste	1° 55' 22,508" N	75° 42' 39,235" W	van der Wiel & Andriessen (1991)	310	
			Localización suministrada por el profesor Jorge Julián RESTREPO	1154368	842220	MAGNA_Colombia_Bogota	5° 59' 25,032" N	75° 30' 08,823" W	Restrepo <i>et al.</i> (1991)	239	Edad convencional
				1284203	1161762	MAGNA_Colombia_Bogota	7° 09' 49,816" N	72° 36' 47,413" W	Goldsmith <i>et al.</i> (1971)	114	Interpretada como la edad de un evento termal
									Restrepo <i>et al.</i> (1991)	239	Edad convencional
			Localización suministrada por el profesor Jorge Julián RESTREPO	1165935	1162714	MAGNA_Colombia_Oeste	6° 05' 41,041" N	75° 36' 27,834" W	Restrepo <i>et al.</i> (1991)	239	Edad convencional
			Localización suministrada por el profesor Jorge Julián RESTREPO	1166026	1162252	MAGNA_Colombia_Oeste	6° 05' 44,041" N	75° 36' 42,834" W	Restrepo <i>et al.</i> (1991)	239	Edad convencional
				1284203	1161762	MAGNA_Colombia_Bogota	7° 09' 49,816" N	72° 36' 47,413" W	Goldsmith <i>et al.</i> (1971)	114	Interpretada como la edad de un evento termal
9				1296451	1155967	MAGNA_Colombia_Bogota	7° 16' 29,000" N	72° 39' 55,000" W	van der Lelij (2013)	308	
40				1166989	1159793	MAGNA_Colombia_Oeste	6° 06' 15,600" N	75° 38' 02,700" W	Villagómez <i>et al.</i> (2011a)	326	Edad de poblaciones, el autor interpreta el intervalo de 470-440 Ma como la edad máxima de intrusión y determina edades heredadas de 1700 a 900 Ma, con un pico mayor en 1200 Ma
8									Martens <i>et al.</i> (2014)	175	Edad media ponderada interpretada como la edad de cristalización magnética
8			Localización suministrada por el profesor Jorge Julián RESTREPO	1166211	1162498	MAGNA_Colombia_Oeste	6° 05' 50,041" N	75° 36' 34,834" W	Martens <i>et al.</i> (2011)	173	Edad media del borde magnético interpretada como la edad del protolito ígneo
12				1382392	1110480	MAGNA_Colombia_Bogota	8° 03' 10,000" N	73° 04' 31,000" W	van der Lelij (2013)	308	
				762436	1151747	MAGNA_Colombia_Bogota	2° 26' 49,654" N	72° 42' 47,642" W	Pinson <i>et al.</i> (1962)	222	
				764289	1161016	MAGNA_Colombia_Bogota	2° 27' 49,652" N	72° 37' 47,632" W	Pinson <i>et al.</i> (1962)	222	
			Las coordenadas (7° 15' N, 72° 48' W) reportadas por los autores no coinciden con la localización de la datación en la Figura 2. Se obtuvo las coordenadas del punto a partir de la georreferenciación de esta figura	1292694	1141833	MAGNA_Colombia_Bogota	7° 14' 28,102" N	72° 47' 35,993" W	Goldsmith <i>et al.</i> (1971)	114	Interpretada como la edad de un evento termal
13				1286984	1121442	MAGNA_Colombia_Bogota	7° 11' 24,000" N	72° 58' 41,000" W	van der Lelij (2013)	308	
			Las coordenadas (6° 37' 11" N, 74° 35' 43" W) reportadas por el autor no coinciden con la localización de la datación en la Figura 34. Se obtuvo las coordenadas del punto a partir de la georreferenciación de esta figura	1215702	941109	MAGNA_Colombia_Bogota	6° 32' 47,297" N	74° 36' 35,930" W	Cardona (2003)	63	Edad integrada. El espectro Ar-Ar sugiere que un evento más joven de edad indeterminada liberó parcialmente el argón del sistema
			Localización suministrada por el profesor Jorge Julián RESTREPO	1154949	1156590	MAGNA_Colombia_Oeste	5° 59' 44,038" N	75° 39' 47,844" W	Restrepo <i>et al.</i> (1991)	239	Edad convencional
			Se obtuvo las coordenadas del punto a partir de la georreferenciación de la Figura 2	1320599	1146756	MAGNA_Colombia_Bogota	7° 29' 35,750" N	72° 44' 52,846" W	Boinet <i>et al.</i> (1985)	47	
9			Localización tomada de Restrepo Pace (1995) [246]	1664503	1073939	MAGNA_Colombia_Bogota	10° 36' 14,132" N	73° 24' 06,676" W	Restrepo Pace <i>et al.</i> (1997)	247	La edad del intercepto inferior es de 456 ± 60 Ma, aunque el significado no es claro, se interpreta como la edad del metamorfismo de alto grado. El intercepto superior 1513 ± 35 Ma se interpreta como la edad de cristalización del protolito
				1284203	1161762	MAGNA_Colombia_Bogota	7° 09' 49,816" N	72° 36' 47,413" W	Goldsmith <i>et al.</i> (1971)	114	
			Localización suministrada por el profesor Jorge Julián RESTREPO	1280089	1150253	MAGNA_Colombia_Oeste	7° 07' 37,095" N	75° 43' 02,815" W	Restrepo <i>et al.</i> (1991)	239	Edad convencional

ID Datación Radiométrica	Código de la muestra	Unidad geológica	Litología	Edad años BP	Error años	Edad Ma	Error Ma	Edad grano simple menor detrítico	Edad grano simple mayor detrítico	Edad estratigráfica	Edades heredadas	Método de datación	Material analizado	Relación inicial	MSWD	P(X2) %
3733	WR-195	Intrusivos del macizo de Santander	Gneis granítico			460	$\pm 8,9$			Ordovícico (O)		U-Pb LA-MC-ICP-MS	Circón			
3734	B 3592		Sienita			460	$\pm 23$			Ordovícico (O)		K-Ar	Biotita			
3735	B 3636		Sienita			460	$\pm 23$			Ordovícico (O)		K-Ar	Biotita			
3736	10VDL43	Ortogneis de Berlin				460,3	$\pm 3,5$			Ordovícico (O)		U-Pb LA-ICP-MS	Circón		1,8	
3737	10VDL23	Gneis de Bucaramanga	Gneis biotíctico hornblendíco			461,0	$\pm 2,1$			Ordovícico (O)		U-Pb LA-ICP-MS	Circón		2,6	
3738	WR-194	Intrusivos del macizo de Santander	Gneis granítico			462,5	$\pm 13,1$			Ordovícico (O)		U-Pb LA-MC-ICP-MS	Circón			
3739	10VDL51	Ortogneis de Berlin				472,5	$\pm 3,4$			Ordovícico (O)		U-Pb LA-ICP-MS	Circón		11,5	
3740	JJ324	Gneis de La Miel	Gneis			473				Ordovícico (O)		Rb-Sr	Roca total	0,705		
3741	Z-2		Saprolito de granodiorita			473,4	$+6,9/-6,4$			Ordovícico (O)	ca. 1200, 970 y 760 Ma	U-Pb LA-MC-ICP-MS	Circón			
3742	10VDL44	Ortogneis de Berlin				473,5	$\pm 2,5$			Ordovícico (O)		U-Pb LA-ICP-MS	Circón		4,6	
3743	10VDL50	Gneis de Bucaramanga	Migmatita de paragneis			477,0	$\pm 5,3$			Ordovícico (O)		U-Pb LA-ICP-MS	Circón		7,5	
3744	13080808	Stock de Otenga	Granito			477	$\pm 4,1$			Ordovícico (O)	1700–600 con más edades concentradas entre 1600–1000 Ma	U-Pb LA-MC-ICP-MS	Circón		28	
3745	GE-58-M1		Diorita foliada calcoalcalina			477	$\pm 4,1$			Ordovícico (O)	765 y 1381,2 Ma	U-Pb LA-MC-ICP-MS	Circón		2,9	
3746	GH-72-M2		Diorita foliada calcoalcalina			477	$\pm 2$			Ordovícico (O)		U-Pb LA-MC-ICP-MS	Circón		4,7	
3747	BP-2	Ortogneis de Berlin	Ortogneis			477	$\pm 16$			Ordovícico (O)		U-Pb	Circón			
3748	V-198	Gneis de Guapotón–Mancagua	Ortogneis biotíctico hornblendíco			479	$\pm 0,5$			Ordovícico (O)		Ar-Ar	Biotita			
3749	JJ1498A	Gneis de La Miel	Granitoide anatectico			479	$+15/-11$			Ordovícico (O)	1265–995 y 1510–1495 Ma	U-Pb	Circón			
3750	M35	Gneis de La Miel	Ortogneis			479	$+15/-11$			Ordovícico (O)	1194 $\pm 11$ Ma	SHIRIMP-RG				
3751	10VDL49	Formación Silgará	Gneis biotíctico hornblendíco			479,8	$\pm 3,1$			Ordovícico (O)		U-Pb LA-ICP-MS	Circón		1,7	
3752	JJ323	Gneis de La Miel	Gneis			480				Ordovícico (O)		Rb-Sr	Roca total	0,705		
3753	GL-60-M2		Diorita calcoalcalina foliada			481,9	$\pm 6,1$			Ordovícico (O)	1485 Ma	U-Pb LA-MC-ICP-MS	Circón		4,1	
3754	FS11A	Stock de Otenga	Granito			482	$\pm 15$			Ordovícico (O)	ca. 1214, 1008 y 726 Ma	U-Pb LA-MC-ICP-MS	Circón		6,5	
3755	UNM 2923	Anfibolita de Sucre	Anfibolita			482	$\pm 50$			Ordovícico (O)		K-Ar	Hornblenda			
3756	RH1	Granodiorita de La Mina	Clasto de granito			483	$\pm 10$			Ordovícico (O)	ca. 1607, 1344, 1014 y 992 Ma	U-Pb LA-MC-ICP-MS	Circón		4,2	
3757	10VDL47		Gabrodiorita			483,7	$\pm 5,9$			Ordovícico (O)		U-Pb LA-ICP-MS	Circón		0,7	
3758	B 3637		Sienita			485	$\pm 25$			Ordovícico (O)		K-Ar	Biotita			
3759	PUQ6	Complejo de Puqui	Gneis			485				Ordovícico (O)		Rb-Sr	Roca total	0,71		
3760	M35	Gneis de La Miel	Ortogneis			486	$\pm 15$			Cámbrico (e)	La población más grande a ca. 1265 Ma y poblaciones menores a ca. 1010, ca. 1090 y ca. 1510 Ma	U-Pb LA-ICP-MS				
3761	JJ214	Gneis de Pescadero	Gneis			491				Cámbrico (e)		Rb-Sr	Roca total	0,705		
3762	2955	Gneis de La Miel	Gneis			491				Cámbrico (e)		Rb-Sr	Roca total	0,71		
3763	JJ333	Esquistos de Ancón	Esquisto			493				Cámbrico (e)		Rb-Sr	Roca total	0,71		

Dispersión %	Número de granos analizados	Número de alicuotas	Fuente georreferenciación	Coordenada X	Coordenada Y	Sistema de coordenadas	Latitud	Longitud	Referencia	ID referencia	Comentarios
				1308784	1131023	MAGNA_Colombia_Bogota	7° 23' 12,700" N	72° 53' 26,900" W	Leal Mejía (2011)	160	Interpretada como la edad de cristalización magmática
				762436	1151747	MAGNA_Colombia_Bogota	2° 26' 49,654" N	72° 42' 47,642" W	Pinson <i>et al.</i> (1962)	222	
				767972	1157304	MAGNA_Colombia_Bogota	2° 29' 49,653" N	72° 39' 47,635" W	Pinson <i>et al.</i> (1962)	222	
6				1292374	1138335	MAGNA_Colombia_Bogota	7° 14' 18,000" N	72° 49' 30,000" W	van der Lelij (2013)	308	
18				1259672	1122765	MAGNA_Colombia_Bogota	6° 56' 35,000" N	72° 58' 00,000" W	van der Lelij (2013)	308	Edad media ponderada
				1308818	1130959	MAGNA_Colombia_Bogota	7° 23' 13,800" N	72° 53' 29,000" W	Leal Mejía (2011)	160	Interpretada como la edad de cristalización magmática
17				1294166	1130414	MAGNA_Colombia_Bogota	7° 15' 17,000" N	72° 53' 48,000" W	van der Lelij (2013)	308	
		Localización suministrada por el profesor Jorge Julián RESTREPO		1165935	1162714	MAGNA_Colombia_Oeste	6° 05' 41,041" N	75° 36' 27,834" W	Restrepo <i>et al.</i> (1991)	239	Edad convencional
				1324347	916010	MAGNA_Colombia_Bogota	7° 31' 42,600" N	74° 50' 18,600" W	Leal Mejía (2011)	160	Interpretada como la edad de cristalización magmática, las edades heredadas pueden indicar asimilación de rocas de basamento más antiguas. Intrusivo asociado a la traza de la Falla de Otu
14				1304147	1150298	MAGNA_Colombia_Bogota	7° 20' 40,000" N	72° 42' 59,000" W	van der Lelij (2013)	308	
9				1294320	1130506	MAGNA_Colombia_Bogota	7° 15' 22,000" N	72° 53' 45,000" W	van der Lelij (2013)	308	La presencia de varios circones redondeados sugiere que el protolito pudo ser sedimentario
25		Los autores reportan las coordenadas planas y las geográficas pero estas no coinciden, por lo que se tomaron las coordenadas geográficas y se proyectaron para calcular las nuevas coordenadas planas MAGNA		1153384	1140043	MAGNA_Colombia_Bogota	5° 58' 54,408" N	72° 48' 45,864" W	Horton <i>et al.</i> (2010b)	141	Edad concordante media ponderada
18				1309241	1130968	MAGNA_Colombia_Bogota	7° 23' 27,590" N	72° 53' 28,660" W	Mantilla <i>et al.</i> (2012)	171	Edad media ponderada, de la zonación de los circones obtuvieron cinco edades más jóvenes entre 240 y 204 Ma
44				1309241	1130968	MAGNA_Colombia_Bogota	7° 23' 27,590" N	72° 53' 28,660" W	Mantilla <i>et al.</i> (2012)	171	Edad promedio. Edad mínima de cristalización
3				1310653	1138854	MAGNA_Colombia_Bogota	7° 24' 12,817" N	72° 49' 11,422" W	Restrepo Pace (1995)	246	477 ± 16 Ma es el valor del intercepto superior interpretada como la edad de cristalización de circo. Se registró una pérdida de Pb intercepto inferior a 254 ± 60 Ma (MSWD = 0,4)
		Se obtuvo las coordenadas del punto a partir de la georreferenciación del Anexo 1 de Jiménez (2003) [151]		693145	1143617	MAGNA_Colombia_Oeste	1° 49' 14,597" N	75° 47' 12,598" W	Cordani <i>et al.</i> (2005)	80	Edad integrada asociada con un evento hidrotermal
7			Localización suministrada por el profesor Jorge Julián RESTREPO	1165781	1162468	MAGNA_Colombia_Oeste	6° 05' 36,041" N	75° 36' 35,834" W	Martens <i>et al.</i> (2011)	173	Edad media del borde magmático interpretada como la edad del protolito igneo
7									Martens <i>et al.</i> (2014)	175	Edad media <i>tuffzirc</i> interpretada como la edad de cristalización magmática
17				1320130	1151568	MAGNA_Colombia_Bogota	7° 29' 20,000" N	72° 42' 16,000" W	van der Lelij (2013)	308	
		Localización suministrada por el profesor Jorge Julián RESTREPO		1166026	1162252	MAGNA_Colombia_Oeste	6° 05' 44,041" N	75° 36' 42,834" W	Restrepo <i>et al.</i> (1991)	239	Edad convencional
20				1309241	1130968	MAGNA_Colombia_Bogota	7° 23' 27,590" N	72° 53' 28,660" W	Mantilla <i>et al.</i> (2012)	171	Edad mínima de cristalización. La edad de 211 ± 3,1 Ma obtenida de la zonación de los circones es interpretada como sobrecrecimiento durante el evento magmático del Triásico. La edad de 1485 Ma probablemente corresponda a la del protolito.
9		Los autores reportan las coordenadas planas y las geográficas pero estas no coinciden, por lo que se tomaron las coordenadas geográficas y se proyectaron para calcular las nuevas coordenadas planas MAGNA		1138656	1134345	MAGNA_Colombia_Bogota	5° 50' 55,500" N	72° 51' 52,140" W	Horton <i>et al.</i> (2010b)	141	Edad concordante media ponderada
				1224826	1140321	MAGNA_Colombia_Oeste	6° 37' 39,503" N	75° 48' 31,175" W	Toussaint <i>et al.</i> (1981b)	298	
11		Los autores reportan las coordenadas planas y las geográficas pero estas no coinciden, por lo que se tomaron las coordenadas geográficas y se proyectaron para calcular las nuevas coordenadas planas MAGNA		976839	1087383	MAGNA_Colombia_Bogota	4° 23' 10,824" N	73° 17' 24,972" W	Horton <i>et al.</i> (2010b)	141	Edad concordante media ponderada
11				1318381	1152555	MAGNA_Colombia_Bogota	7° 28' 23,000" N	72° 41' 44,000" W	van der Lelij (2013)	308	
				762441	1157310	MAGNA_Colombia_Bogota	2° 26' 49,652" N	72° 39' 47,636" W	Pinson <i>et al.</i> (1962)	222	
									Restrepo <i>et al.</i> (1991)	239	
									Martens <i>et al.</i> (2014)	175	Se obtuvo 2 edades concordantes de 486 ± 15 y 500 ± 5 Ma
		Localización suministrada por el profesor Jorge Julián RESTREPO		1280598	1156114	MAGNA_Colombia_Oeste	7° 07' 53,094" N	75° 39' 51,808" W	Restrepo <i>et al.</i> (1991)	239	Edad convencional
									Restrepo <i>et al.</i> (1991)	239	Edad convencional
		Localización suministrada por el profesor Jorge Julián RESTREPO		1171675	1160299	MAGNA_Colombia_Oeste	6° 08' 48,044" N	75° 37' 45,835" W	Restrepo <i>et al.</i> (1991)	239	Edad convencional

ID Datación Radiométrica	Código de la muestra	Unidad geológica	Litología	Edad años BP	Error años	Edad Ma	Error Ma	Edad grano simple menor detrítico	Edad grano simple mayor detrítico	Edad estratigráfica	Edades heredadas	Método de datación	Material analizado	Relación inicial	MSWD	P(X2) %
3764	IGM 500410	Sienita Nefelínica de San José del Guaviare	Sienita nefelínica			494,1	$\pm 5,0$			Cámbrico (e)		Ar–Ar	Biotita			
3765	B 3637		Sienita			495	$\pm 25$			Cámbrico (e)		Rb–Sr	Biotita			
3766	COL10F	Gneis de La Miel	Gneis			497				Cámbrico (e)		Rb–Sr	Roca total	0,71		
3767	A-49	Gneis de Dibulla	Gneis biotítico			512,8	$\pm 0,8$			Cámbrico (e)		Ar–Ar	Biotita			
3768	TO4 G2–046	Formación Cascajal	Arenita			515,32	$\pm 191,17$			Cámbrico (e)		U–Th/He	Apatito			
3769	JJ251	Gneis de Las Palmas	Gneis augen			519				Cámbrico (e)		Rb–Sr	Roca total	0,705		
3770	PUQ5	Complejo de Puqui	Gneis			524				Cámbrico (e)		Rb–Sr	Roca total	0,705		
3771	COL10F	Gneis de La Miel	Gneis			539				Cámbrico (e)		Rb–Sr	Roca total	0,705		
3772	PUQ4	Complejo de Puqui	Gneis			539				Cámbrico (e)		Rb–Sr	Roca total	0,705		
3773	JJ359	Gneis de Pescadero	Gneis			540				Cámbrico (e)		Rb–Sr	Roca total	0,71		
3774	COL10G	Gneis de La Miel	Gneis			550				Neoproterozoico (NP)		Rb–Sr	Roca total	0,71		
3775	JJ211	Gneis de Pescadero	Gneis			551				Neoproterozoico (NP)		Rb–Sr	Roca total	0,705		
3776	JJ152	Gneis granítico de Palmitas	Gneis			552				Neoproterozoico (NP)		Rb–Sr	Roca total	0,71		
3777	JJ333	Esquistos de Ancón	Esquisto			555				Neoproterozoico (NP)		Rb–Sr	Roca total	0,705		
3778	A-49	Gneis de Dibulla	Gneis biotítico			559,4	$\pm 0,8$			Neoproterozoico (NP)		Ar–Ar	Biotita			
3779	RG-3	Granulita de Los Mangos	Granulita			561	$\pm 6$			Neoproterozoico (NP)		Ar–Ar	Biotita			
3780	OT-1	Gneis de Bucaramanga	Gneis anfibólico			574	$\pm 8$			Neoproterozoico (NP)		Ar–Ar	Hornblenda			
3781	IGM 500412	Sienita Nefelínica de San José del Guaviare	Sienita nefelínica			577,8	$+ 6,3/- 9$			Neoproterozoico (NP)		LA–MC–ICP–MS	Circón		1,6	
3782	COL13	Diorita de Pueblito	Diorita			580	$\pm 130$			Neoproterozoico (NP)		K–Ar	Plagioclasa			
3783	PUQ7	Complejo de Puqui	Gneis			582				Neoproterozoico (NP)		Rb–Sr	Roca total	0,705		
3784	2955	Gneis de La Miel	Gneis			588				Neoproterozoico (NP)		Rb–Sr	Roca total	0,705		
3785	JAA-1176A	Grupo Garzón	Gneis cuarzofeldespáttico			601	$\pm 56$			Neoproterozoico (NP)		Rb–Sr	Roca total			
3786	JJ148	Gneis granítico de Palmitas	Gneis			603				Neoproterozoico (NP)		Rb–Sr	Roca total	0,71		
3787	COL10G	Gneis de La Miel	Gneis			603				Neoproterozoico (NP)		Rb–Sr	Roca total	0,705		
3788	SL-1	Anfibolitas de El Vapor	Anfibolita			606	$\pm 10$			Neoproterozoico (NP)		Ar–Ar	Hornblenda			
3789	A-59	Gneis de Dibulla	Anfibolita biotítica			611,8	$\pm 0,7$			Neoproterozoico (NP)		Ar–Ar	Biotita			
3790	JJ358	Gneis de Pescadero	Gneis			623				Neoproterozoico (NP)		Rb–Sr	Roca total	0,705		
3791	COL10C	Gneis de La Miel	Gneis			625				Neoproterozoico (NP)		Rb–Sr	Roca total	0,71		
3792	2949	Esquistos de Ancón	Esquisto			626				Neoproterozoico (NP)		Rb–Sr	Roca total	0,71		
3793	PUQ3	Complejo de Puqui	Gneis			630				Neoproterozoico (NP)		Rb–Sr	Roca total	0,705		
3794	A-59	Gneis de Dibulla	Anfibolita biotítica			643,2	$\pm 0,6$			Neoproterozoico (NP)		Ar–Ar	Hornblenda			
3795	V-198	Gneis de Guapotón–Mancagua	Ortogneis biotítico hornbléndico			644,7	$\pm 0,7$			Neoproterozoico (NP)		Ar–Ar	Hornblenda			
3796	JJ325	Gneis de La Miel	Gneis			661				Neoproterozoico (NP)		Rb–Sr	Roca total	0,71		

Dispersión %	Número de granos analizados	Número de alicuotas	Fuente georreferenciación	Coordenada X	Coordenada Y	Sistema de coordenadas	Latitud	Longitud	Referencia	ID referencia	Comentarios
				761532	1152356	MAGNA_Colombia_Bogota	2° 26' 20,211" N	72° 42' 27,968" W	Arango <i>et al.</i> (2012)	16	Edad de meseta interpretada como de enfriamiento
				762441	1157310	MAGNA_Colombia_Bogota	2° 26' 49,652" N	72° 39' 47,636" W	Pinson <i>et al.</i> (1962)	222	
									Restrepo <i>et al.</i> (1991)	239	Edad convencional
			Las coordenadas (11° 12' 50" N, 73° 15' 55" W) reportadas por el autor no coinciden con la localización de la datación en la Figura 4. Se obtuvo las coordenadas del punto a partir de la georreferenciación de esta figura	1731242	1094709	MAGNA_Colombia_Bogota	11° 12' 24,278" N	73° 12' 37,158" W	Cardona (2003)	63	Edad integrada que sugiere pérdida parcial de Ar durante eventos más jóvenes en el Fanerozoico. Esta datación, con una diferencia, también se publicó en Cordani <i>et al.</i> (2005) [80]
1	4			694243	1149874	MAGNA_Colombia_Oeste_Oeste	1° 49' 50,195" N	78° 43' 50,194" W	Agencia Nacional de Hidrocarburos & Universidad de Caldas (2011a)	3	
			Localización suministrada por el profesor Jorge Julián RESTREPO	1174139	837782	MAGNA_Colombia_Bogota	6° 10' 08,042" N	75° 32' 34,823" W	Restrepo <i>et al.</i> (1991)	239	Edad convencional
									Restrepo <i>et al.</i> (1991)	239	Edad isócrona de 314 Ma para 3 datos
									Restrepo <i>et al.</i> (1991)	239	Edad convencional
									Restrepo <i>et al.</i> (1991)	239	Edad isócrona de 314 Ma para 3 datos
			Localización suministrada por el profesor Jorge Julián RESTREPO	1279567	1150193	MAGNA_Colombia_Oeste	7° 07' 20,095" N	75° 43' 04,815" W	Restrepo <i>et al.</i> (1991)	239	Edad convencional
									Restrepo <i>et al.</i> (1991)	239	Edad convencional
			Localización suministrada por el profesor Jorge Julián RESTREPO	1280598	1156114	MAGNA_Colombia_Oeste	7° 07' 53,094" N	75° 39' 51,808" W	Restrepo <i>et al.</i> (1991)	239	Edad convencional
			Localización suministrada por el profesor Jorge Julián RESTREPO	1195747	1152977	MAGNA_Colombia_Oeste	6° 21' 52,057" N	75° 41' 41,837" W	Restrepo <i>et al.</i> (1991)	239	Edad convencional
			Localización suministrada por el profesor Jorge Julián RESTREPO	1171675	1160299	MAGNA_Colombia_Oeste	6° 08' 48,044" N	75° 37' 45,835" W	Restrepo <i>et al.</i> (1991)	239	Edad convencional
			Las coordenadas (11° 12' 50" N, 73° 15' 55" W) reportadas por el autor no coinciden con la localización de la datación en la Figura 4. Se obtuvo las coordenadas del punto a partir de la georreferenciación de esta figura	1731242	1094709	MAGNA_Colombia_Bogota	11° 12' 24,278" N	73° 12' 37,158" W	Cardona (2003)	63	Edad integrada que sugiere pérdida parcial de Ar durante eventos más jóvenes en el Fanerozoico. Esta datación, con una diferencia, también se publicó en Cordani <i>et al.</i> (2005) [80]
			Localización tomada de Restrepo Pace (1995) [246]	1664503	1073939	MAGNA_Colombia_Bogota	10° 36' 14,132" N	73° 24' 06,676" W	Restrepo Pace <i>et al.</i> (1997)	247	Edad integrada
			Localización tomada de Restrepo Pace (1995) [246]	1409773	1070675	MAGNA_Colombia_Bogota	8° 18' 03,826" N	73° 26' 09,439" W	Restrepo Pace <i>et al.</i> (1997)	247	Edad integrada
18				762994	1151054	MAGNA_Colombia_Bogota	2° 27' 07,839" N	72° 43' 10,051" W	Arango <i>et al.</i> (2012)	16	Edad del intercepto inferior interpretada como edad de cristalización. Se calculó con una línea de mezcla entre una componente de plomo común y una radiogénica. Tres análisis arrojaron cocientes concordantes y su promedio es de $571 \pm 23$ Ma (MSWD = 1,3)
									Restrepo <i>et al.</i> (1991)	239	
									Restrepo <i>et al.</i> (1991)	239	
									Restrepo <i>et al.</i> (1991)	239	Edad convencional
			Se obtuvo las coordenadas del punto a partir de la georreferenciación de la Figura 1	697516	1157051	MAGNA_Colombia_Oeste	1° 51' 36,539" N	75° 39' 57,961" W	Álvarez (1981)	7	La edad es baja comparada con el promedio, debido a eventos tectonotemperales recientes o a particularidades geoquímicas de dicha muestra
			Localización suministrada por el profesor Jorge Julián RESTREPO	1193658	1153413	MAGNA_Colombia_Oeste	6° 20' 44,056" N	75° 41' 27,837" W	Restrepo <i>et al.</i> (1991)	239	Edad convencional
									Restrepo <i>et al.</i> (1991)	239	Edad convencional
			Las coordenadas (6° 37' 11" N, 74° 35' 43" W) reportadas por el autor no coinciden con la localización de la datación en la Figura 34. Se obtuvo las coordenadas del punto a partir de la georreferenciación de esta figura	1215702	941109	MAGNA_Colombia_Bogota	6° 32' 47,297" N	74° 36' 35,930" W	Cardona (2003)	63	Edad integrada. El espectro Ar–Ar sugiere que un evento más joven de edad indeterminada liberó parcialmente el argón del sistema
			Las coordenadas (11° 15' 51" N, 73° 16' 04" W) reportadas por los autores no coinciden con la localización de la datación en la Figura 4 de Cardona (2003) [63]. Se obtuvo las coordenadas del punto a partir de la georreferenciación de esta figura	1730067	1089017	MAGNA_Colombia_Bogota	11° 11' 46,581" N	73° 15' 44,903" W	Cordani <i>et al.</i> (2005)	80	Edad integrada que sugiere pérdida parcial de Ar durante eventos más jóvenes en el Fanerozoico
			Localización suministrada por el profesor Jorge Julián RESTREPO	1280089	1150253	MAGNA_Colombia_Oeste	7° 07' 37,095" N	75° 43' 02,815" W	Restrepo <i>et al.</i> (1991)	239	Edad convencional
									Restrepo <i>et al.</i> (1991)	239	Edad convencional
									Restrepo <i>et al.</i> (1991)	239	Edad convencional
									Restrepo <i>et al.</i> (1991)	239	Edad convencional
			Las coordenadas (11° 15' 51" N, 73° 16' 04" W) reportadas por el autor no coinciden con la localización de la datación en la Figura 4. Se obtuvo las coordenadas del punto a partir de la georreferenciación de esta figura	1730067	1089017	MAGNA_Colombia_Bogota	11° 11' 46,581" N	73° 15' 44,903" W	Cardona (2003)	63	Edad integrada interpretada como de enfriamiento después del último evento metamórfico
			Se obtuvo las coordenadas del punto a partir de la georreferenciación del Anexo 1 de Jiménez (2003) [151]	693145	1143617	MAGNA_Colombia_Oeste	1° 49' 14,597" N	75° 47' 12,598" W	Cordani <i>et al.</i> (2005)	80	Edad integrada
			Localización suministrada por el profesor Jorge Julián RESTREPO	1165935	1162714	MAGNA_Colombia_Oeste	6° 05' 41,041" N	75° 36' 27,834" W	Restrepo <i>et al.</i> (1991)	239	Edad convencional

ID Datación Radiométrica	Código de la muestra	Unidad geológica	Litología	Edad años BP	Error años	Edad Ma	Error Ma	Edad grano simple menor detrítico	Edad grano simple mayor detrítico	Edad estratigráfica	Edades heredadas	Método de datación	Material analizado	Relación inicial	MSWD	P(X2) %
3797	A-59	Gneis de Dibulla	Anfibolita biotítica			664,4	$\pm$ 0,6			Neoproterozoico (NP)		Ar–Ar	Biotita			
3798	OT-2	Gneis de Bucaramanga	Gneis anfibólico			668	$\pm$ 9			Neoproterozoico (NP)		Ar–Ar	Hornblenda			
3799	V-198	Gneis de Guapotón–Mancagua	Orthogneis biotítico hornbléndico			670	$\pm$ 0,8			Neoproterozoico (NP)		Ar–Ar	Hornblenda			
3800	IMN-13199	Gneis de Bucaramanga	Gneis biotítico			680	$\pm$ 140			Neoproterozoico (NP)		Rb–Sr	Roca total			
3801	JJ359	Gneis de Pescadero	Gneis			689				Neoproterozoico (NP)		Rb–Sr	Roca total	0,705		
3802	2949	Esquistos de Ancón	Esquisto			702				Neoproterozoico (NP)		Rb–Sr	Roca total	0,705		
3803	MW 59	Grupo Garzón	Granulita chamoenderbitica chamoquítica			715	$\pm$ 260			Neoproterozoico (NP)		Huellas de fisión	Circón			<1
3804	JJ247	Gneis de Las Palmas	Gneis augen			727				Neoproterozoico (NP)		Rb–Sr	Roca total	0,710		
3805	PRA 8	Formación Piraparáná	Riodacita			732				Neoproterozoico (NP)		K–Ar	Roca total			
3806	PRA 9	Formación Piraparáná	Riodacita			745				Neoproterozoico (NP)		K–Ar	Roca total			
3807	34	Granulita de Los Mangos	Gneis euarzoperítico			752	$\pm$ 70			Neoproterozoico (NP)		Rb–Sr	Roca total	0,703		
3808	G-17	Grupo Garzón	Gneis			765	$\pm$ 7			Neoproterozoico (NP)		Ar–Ar	Biotita			
3809	PRA 6	Formación Piraparáná	Riodacita			766				Neoproterozoico (NP)		K–Ar	Roca total			
3810	JJ152	Gneis granítico de Palmistas	Gneis			770				Neoproterozoico (NP)		Rb–Sr	Roca total	0,705		
3811	A-59	Gneis de Dibulla	Anfibolita biotítica			771,6	$\pm$ 1,0			Neoproterozoico (NP)		Ar–Ar	Biotita			
3812	PRA 10	Formación Piraparáná	Riodacita			772				Neoproterozoico (NP)		K–Ar	Roca total			
3813	JJ150	Gneis granítico de Palmistas	Gneis			774				Neoproterozoico (NP)		Rb–Sr	Roca total	0,71		
3814	PRA 5	Formación Piraparáná	Riodacita			776				Neoproterozoico (NP)		K–Ar	Roca total			
3815	D-986	Grupo Garzón, Granulitas del Vergel	Granulita máfica			782,3	$\pm$ 0,8			Neoproterozoico (NP)		Ar–Ar	Biotita			
3816	PRA 7	Formación Piraparáná	Riodacita			795				Neoproterozoico (NP)		K–Ar	Roca total			
3817	A-59	Gneis de Dibulla	Anfibolita biotítica			802,3	$\pm$ 1,3			Neoproterozoico (NP)		Ar–Ar	Hornblenda			
3818	COL10C	Gneis de La Miel	Gneis			814				Neoproterozoico (NP)		Rb–Sr	Roca total	0,705		
3819	D-986	Grupo Garzón, Granulitas del Vergel	Granulita máfica			834	$\pm$ 0,8			Neoproterozoico (NP)		Ar–Ar	Biotita			
3820	RG-6	Granulita de Los Mangos	Gneis hornbléndico			845				Neoproterozoico (NP)		Ar–Ar	Biotita			
3821	PUQ6	Complejo de Puqui	Gneis			856				Neoproterozoico (NP)		Rb–Sr	Roca total	0,705		
3822	D-982	Grupo Garzón, Granulitas del Vergel	Gneis biotítico con granate			857,4	$\pm$ 0,7			Neoproterozoico (NP)		Ar–Ar	Biotita			
3823	D-982	Grupo Garzón, Granulitas del Vergel	Gneis biotítico con granate			859,8	$\pm$ 0,8			Neoproterozoico (NP)		Ar–Ar	Biotita			
3824	D-986	Grupo Garzón, Granulitas del Vergel	Granulita máfica			863,6	$\pm$ 0,8			Neoproterozoico (NP)		Ar–Ar	Biotita			
3825	PCM-1105	Gneis de Bucaramanga	Gneis biotítico			864	$\pm$ 66			Neoproterozoico (NP)		U–Pb SHRIMP	Circón		0,26	
3826	JJ411	Esquistos de Medellín				887				Neoproterozoico (NP)		Rb–Sr	Roca total	0,710		

Dispersión %	Número de granos analizados	Número de aliquotas	Fuente georreferenciación	Coordenada X	Coordenada Y	Sistema de coordenadas	Latitud	Longitud	Referencia	ID referencia	Comentarios
			Las coordenadas ( $11^{\circ} 15' 51''$ N, $73^{\circ} 16' 04''$ W) reportadas por los autores no coinciden con la localización de la datación en la Figura 4 de Cardona (2003) [63]. Se obtuvo las coordenadas del punto a partir de la georreferenciación de esta figura	1730067	1089017	MAGNA_Colombia_Bogota	$11^{\circ} 11' 46,581''$ N	$73^{\circ} 15' 44,903''$ W	Cordani <i>et al.</i> (2005)	80	Edad integrada que sugiere pérdida parcial de Ar durante eventos más jóvenes en el Fanerozoico
			Localización tomada de Restrepo Pace (1995) [246]	1409773	1070675	MAGNA_Colombia_Bogota	$8^{\circ} 18' 03,826''$ N	$73^{\circ} 26' 09,439''$ W	Restrepo Pace <i>et al.</i> (1997)	247	Edad integrada
			Se obtuvo las coordenadas del punto a partir de la georreferenciación del Anexo 1 de Jiménez (2003) [151]	693145	1143617	MAGNA_Colombia_Oeste	$1^{\circ} 49' 14,597''$ N	$75^{\circ} 47' 12,598''$ W	Cordani <i>et al.</i> (2005)	80	Edad integrada
			Las coordenadas ( $7^{\circ} 16'$ N, $72^{\circ} 54'$ W) reportadas por los autores no coinciden con la localización de la datación en la Figura 2. Se obtuvo las coordenadas del punto a partir de la georreferenciación de esta figura	1295485	1129701	MAGNA_Colombia_Bogota	$7^{\circ} 16' 00,000''$ N	$72^{\circ} 54' 11,142''$ W	Goldsmith <i>et al.</i> (1971)	114	
			Localización suministrada por el profesor Jorge Julián RESTREPO	1279567	1150193	MAGNA_Colombia_Oeste	$7^{\circ} 07' 20,095''$ N	$75^{\circ} 43' 04,815''$ W	Restrepo <i>et al.</i> (1991)	239	Edad convencional
									Restrepo <i>et al.</i> (1991)	239	Edad convencional
5			Se obtuvo las coordenadas del punto a partir de la georreferenciación de la Figura 6	699127	1152511	MAGNA_Colombia_Oeste	$1^{\circ} 52' 29,096''$ N	$75^{\circ} 42' 24,781''$ W	van der Wiel & Andriessen (1991)	310	
			Localización suministrada por el profesor Jorge Julián RESTREPO	1174139	837782	MAGNA_Colombia_Bogota	$6^{\circ} 10' 08,042''$ N	$75^{\circ} 32' 34,823''$ W	Restrepo <i>et al.</i> (1991)	239	Edad convencional
			Se obtuvo las coordenadas del punto a partir de la georreferenciación de la Figura 1	613381	1063291	MAGNA_Colombia_Este	$1^{\circ} 05' 59,196''$ N	$70^{\circ} 30' 31,897''$ W	Priem <i>et al.</i> (1982)	223	El significado geológico de la edad es materia de especulación
			Se obtuvo las coordenadas del punto a partir de la georreferenciación de la Figura 1	613381	1063291	MAGNA_Colombia_Este	$1^{\circ} 05' 59,196''$ N	$70^{\circ} 30' 31,897''$ W	Priem <i>et al.</i> (1982)	223	El significado geológico de la edad es materia de especulación
			Se obtuvo las coordenadas del punto a partir de la georreferenciación de la Figura 2	1661274	1076002	MAGNA_Colombia_Bogota	$10^{\circ} 34' 28,895''$ N	$73^{\circ} 22' 59,049''$ W	Tschanz <i>et al.</i> (1974)	302	Interpretada como edad de reseamiento termal
			Localización tomada de Restrepo Pace (1995) [246]	705296	1149928	MAGNA_Colombia_Oeste	$1^{\circ} 55' 49,943''$ N	$75^{\circ} 43' 48,161''$ W	Restrepo Pace <i>et al.</i> (1997)	247	Edad integrada
			Se obtuvo las coordenadas del punto a partir de la georreferenciación de la Figura 1	613381	1063291	MAGNA_Colombia_Este	$1^{\circ} 05' 59,196''$ N	$70^{\circ} 30' 31,897''$ W	Priem <i>et al.</i> (1982)	223	El significado geológico de la edad es materia de especulación
			Localización suministrada por el profesor Jorge Julián RESTREPO	1195747	1152977	MAGNA_Colombia_Oeste	$6^{\circ} 21' 52,057''$ N	$75^{\circ} 41' 41,837''$ W	Restrepo <i>et al.</i> (1991)	239	Edad convencional
			Las coordenadas ( $11^{\circ} 15' 51''$ N, $73^{\circ} 16' 04''$ W) reportadas por el autor no coinciden con la localización de la datación en la Figura 4. Se obtuvo las coordenadas del punto a partir de la georreferenciación de esta figura	1730067	1089017	MAGNA_Colombia_Bogota	$11^{\circ} 11' 46,581''$ N	$73^{\circ} 15' 44,903''$ W	Cardona (2003)	63	Edad integrada que sugiere pérdida parcial de Ar durante eventos más jóvenes en el Fanerozoico
			Se obtuvo las coordenadas del punto a partir de la georreferenciación de la Figura 1	613381	1063291	MAGNA_Colombia_Este	$1^{\circ} 05' 59,196''$ N	$70^{\circ} 30' 31,897''$ W	Priem <i>et al.</i> (1982)	223	El significado geológico de la edad es materia de especulación
			Localización suministrada por el profesor Jorge Julián RESTREPO	1194456	1153104	MAGNA_Colombia_Oeste	$6^{\circ} 21' 10,056''$ N	$75^{\circ} 41' 37,837''$ W	Restrepo <i>et al.</i> (1991)	239	Edad convencional
			Se obtuvo las coordenadas del punto a partir de la georreferenciación de la Figura 1	613381	1063291	MAGNA_Colombia_Este	$1^{\circ} 05' 59,196''$ N	$70^{\circ} 30' 31,897''$ W	Priem <i>et al.</i> (1982)	223	El significado geológico de la edad es materia de especulación
			Se obtuvo las coordenadas del punto a partir de la georreferenciación del Anexo 1 de Jiménez (2003) [151]	731958	839504	MAGNA_Colombia_Bogota	$2^{\circ} 10' 17,430''$ N	$75^{\circ} 31' 12,512''$ W	Cordani <i>et al.</i> (2005)	80	Edad integrada. Sistema isotópico afectado por exceso de Ar, probablemente afectada por un evento térmico
			Se obtuvo las coordenadas del punto a partir de la georreferenciación de la Figura 1	613381	1063291	MAGNA_Colombia_Este	$1^{\circ} 05' 59,196''$ N	$70^{\circ} 30' 31,897''$ W	Priem <i>et al.</i> (1982)	223	El significado geológico de la edad es materia de especulación
			Las coordenadas ( $11^{\circ} 15' 51''$ N, $73^{\circ} 16' 04''$ W) reportadas por los autores no coinciden con la localización de la datación en la Figura 4 de Cardona (2003) [63]. Se obtuvo las coordenadas del punto a partir de la georreferenciación de esta figura	1730067	1089017	MAGNA_Colombia_Bogota	$11^{\circ} 11' 46,581''$ N	$73^{\circ} 15' 44,903''$ W	Cordani <i>et al.</i> (2005)	80	Edad integrada interpretada como de enfriamiento después del último evento metamórfico
									Restrepo <i>et al.</i> (1991)	239	Edad convencional
			Se obtuvo las coordenadas del punto a partir de la georreferenciación del Anexo 1 de Jiménez (2003) [151]	731958	839504	MAGNA_Colombia_Bogota	$2^{\circ} 10' 17,430''$ N	$75^{\circ} 31' 12,512''$ W	Cordani <i>et al.</i> (2005)	80	Edad integrada. Sistema isotópico afectado por exceso de Ar, probablemente afectada por un evento térmico
			Localización tomada de Restrepo Pace (1995) [246]	1664503	1073939	MAGNA_Colombia_Bogota	$10^{\circ} 36' 14,132''$ N	$73^{\circ} 24' 06,676''$ W	Restrepo Pace <i>et al.</i> (1997)	247	Edad de fusión total
			Se obtuvo las coordenadas del punto a partir de la georreferenciación del Anexo 1 de Jiménez (2003) [151]	730674	842147	MAGNA_Colombia_Bogota	$2^{\circ} 09' 35,722''$ N	$75^{\circ} 29' 46,964''$ W	Cordani <i>et al.</i> (2005)	80	Edad integrada con un espectro irregular que indica un evento térmico y pérdida de argón
			Se obtuvo las coordenadas del punto a partir de la georreferenciación del Anexo 1 de Jiménez (2003) [151]	730674	842147	MAGNA_Colombia_Bogota	$2^{\circ} 09' 35,722''$ N	$75^{\circ} 29' 46,964''$ W	Cordani <i>et al.</i> (2005)	80	Edad integrada con un espectro irregular que indica un evento térmico y pérdida de argón
			Se obtuvo las coordenadas del punto a partir de la georreferenciación del Anexo 1 de Jiménez (2003) [151]	731958	839504	MAGNA_Colombia_Bogota	$2^{\circ} 10' 17,430''$ N	$75^{\circ} 31' 12,512''$ W	Cordani <i>et al.</i> (2005)	80	Edad integrada interpretada como la edad mínima para enfriamiento de metamorfismo, sistema isotópico afectado por exceso de Ar
2			Las coordenadas ( $7^{\circ} 18' 08''$ N, $72^{\circ} 05' 42''$ W) reportadas por los autores no coinciden con la localización de la datación en la Figura 20 de Cardona (2003) [63]. Se obtuvo las coordenadas del punto a partir de la georreferenciación de esta figura	1299110	1131326	MAGNA_Colombia_Bogota	$7^{\circ} 17' 57,820''$ N	$72^{\circ} 53' 17,871''$ W	Cordani <i>et al.</i> (2005)	80	La edad de $864 \pm 66$ Ma es interpretada como la del último evento metamórfico. Se analizaron en total 16 granos que arrojaron edades distribuidas entre 1550 Ma y 900 Ma, tres granos presentan edades más viejas que 1430 Ma y los otros están entre 1200 y 900 Ma, las últimas indican reseamiento metamórfico o dominios mezclados accidentalmente. Los resultados indican que el protolito presenta fuentes diferentes y que debe corresponder a una roca sedimentaria
			Localización suministrada por el profesor Jorge Julián RESTREPO	1173046	844054	MAGNA_Colombia_Bogota	$6^{\circ} 09' 33,040''$ N	$75^{\circ} 29' 10,816''$ W	Restrepo <i>et al.</i> (1991)	239	Edad convencional

ID Datación Radiométrica	Código de la muestra	Unidad geológica	Litología	Edad años BP	Error años	Edad Ma	Error Ma	Edad grano simple menor detrítico	Edad grano simple mayor detrítico	Edad estratigráfica	Edades heredadas	Método de datación	Material analizado	Relación inicial	MSWD	P(X2) %
3827	SnAnK-1	Gneis de Guapotón	Gneis augen			890				Neoproterozoico (NP)		Ar–Ar	Hornblenda			
3828	B-12	Milonitas de El Vapor	Gneis milonítico			894	± 36			Neoproterozoico (NP)		Rb–Sr	Roca total	0,71785	21	
3829	B-17	Milonitas de El Vapor	Gneis milonítico			894	± 36			Neoproterozoico (NP)		Rb–Sr	Roca total	0,71785	21	
3830	B-22	Milonitas de El Vapor	Gneis milonítico			894	± 36			Neoproterozoico (NP)		Rb–Sr	Roca total	0,71785	21	
3831	B-23	Milonitas de El Vapor	Gneis milonítico			894	± 36			Neoproterozoico (NP)		Rb–Sr	Roca total	0,71785	21	
3832	B-3	Milonitas de El Vapor	Gneis milonítico			894	± 36			Neoproterozoico (NP)		Rb–Sr	Roca total	0,71785	21	
3833	B-4	Milonitas de El Vapor	Gneis milonítico			894	± 36			Neoproterozoico (NP)		Rb–Sr	Roca total	0,71785	21	
3834	B-7	Milonitas de El Vapor	Gneis milonítico			894	± 36			Neoproterozoico (NP)		Rb–Sr	Roca total	0,71785	21	
3835	CIA 9	Grupo Garzón	Pegmatita			895	± 16			Neoproterozoico (NP)		Rb–Sr	Feldespato potásico			
3836	JJ325	Gneis de La Miel	Gneis			901				Neoproterozoico (NP)		Rb–Sr	Roca total	0,705		
3837	MW 54	Grupo Garzón	Granulita chamoenderbitica enderbitica			902	± 20			Neoproterozoico (NP)		K–Ar	Hornblenda			
3838	JJ390	Migmatitas de El Retiro	Migmatita			904				Neoproterozoico (NP)		Rb–Sr	Roca total	0,71		
3839	V-332	Grupo Garzón, Granulitas del Vergel	Granulita chamoquítica			904,2	± 0,8			Neoproterozoico (NP)		Ar–Ar	Biotita			
3840	HP-3	Grupo Garzón	Gneis anfibólico			905,6				Neoproterozoico (NP)		Ar–Ar	Hornblenda			
3841	V-332	Grupo Garzón, Granulitas del Vergel	Granulita chamoquítica			907,4	± 1,0			Neoproterozoico (NP)		Ar–Ar	Biotita			
3842	HP-3	Grupo Garzón	Gneis anfibólico			911	± 2			Neoproterozoico (NP)		Ar–Ar	Hornblenda			
3843	CIA 4	Grupo Garzón	Mármol			912	± 35			Neoproterozoico (NP)		K–Ar	Flogopita			
3844	Gr-29	Grupo Garzón, Granulitas del Vergel	Granulita			912,1	± 1,1			Neoproterozoico (NP)		Ar–Ar	Biotita			
3845	Gr-29	Grupo Garzón, Granulitas del Vergel	Granulita			913,6	± 1,1			Neoproterozoico (NP)		Ar–Ar	Biotita			
3846	Gr-29	Grupo Garzón, Granulitas del Vergel	Granulita			914	± 3			Neoproterozoico (NP)		Ar–Ar	Biotita			
3847	Gr-29	Grupo Garzón, Granulitas del Vergel	Granulita			914,3	± 1,3			Neoproterozoico (NP)		Ar–Ar	Biotita			
3848	Gr-29	Grupo Garzón, Granulitas del Vergel	Granulita			914,3	± 1,3			Neoproterozoico (NP)		Ar–Ar	Biotita			
3849	Jojón-1	Gneis de Jojoncito				916	± 19			Neoproterozoico (NP)	1529 ± 43 (n = 3, MSWD = 0,05), 1342 ± 25 y 1236 ± 16 Ma	U–Pb SHRIMP	Circón		0,48	
3850	V-332	Grupo Garzón, Granulitas del Vergel	Granulita chamoquítica			917	± 3			Neoproterozoico (NP)		Ar–Ar	Biotita			
3851	CIA 4	Grupo Garzón	Mármol			918	± 27			Neoproterozoico (NP)		Rb–Sr	Flogopita y roca total			
3852	V-332	Grupo Garzón, Granulitas del Vergel	Granulita chamoquítica			918,8	± 0,8			Neoproterozoico (NP)		Ar–Ar	Biotita			
3853	V-332	Grupo Garzón, Granulitas del Vergel	Granulita chamoquítica			919,2	± 0,8			Neoproterozoico (NP)		Ar–Ar	Biotita			
3854	V-332	Grupo Garzón, Granulitas del Vergel	Granulita chamoquítica			919,7	± 0,8			Neoproterozoico (NP)		Ar–Ar	Biotita			
3855	PRA 5-10	Formación Piraparán	Riodacita			920	± 90			Neoproterozoico (NP)		Rb–Sr	Roca total	0,734 ± 0,01	4,4	
3856	Gr-29	Grupo Garzón, Granulitas del Vergel	Granulita			923	± 8			Neoproterozoico (NP)		Rb–Sr	Roca total, plagioclasa y biotita		0,6	
3857	IGM 119993	Grupo Garzón	Granulita básica			925	± 50			Neoproterozoico (NP)		K–Ar	Hornblenda			
3858	D-982	Grupo Garzón, Granulitas del Vergel	Gneis			925	± 7			Neoproterozoico (NP)		Sm–Nd	Roca total y granate			
3859	V-309	Grupo Garzón, Granulitas del Vergel	Granulita máfica			928,2	± 1,2			Neoproterozoico (NP)		Ar–Ar	Biotita			
3860	A-59	Gneis de Dibulla	Anfibolita biótica			928,2	± 1,3			Neoproterozoico (NP)		Ar–Ar	Hornblenda			

Dispersión %	Número de granos analizados	Número de aliquotas	Fuente georreferenciación	Coordenada X	Coordenada Y	Sistema de coordenadas	Latitud	Longitud	Referencia	ID referencia	Comentarios
			Localización tomada de Restrepo Pace (1995) [246]	726498	1152476	MAGNA_Colombia_Oeste	2° 07' 19,956" N	75° 42' 25,170" W	Restrepo Pace <i>et al.</i> (1997)	247	Edad máxima interpretada como de enfriamiento, la cual se aproxima a la edad de metamorfismo, relacionado al evento metamórfico Orinoquense ocurrido en 1100 Ma
			Se obtuvo las coordenadas del punto a partir de la georreferenciación de la Figura 6	1202244	944586	MAGNA_Colombia_Bogota	6° 25' 29,352" N	74° 34' 42,297" W	Ordóñez Carmona <i>et al.</i> (1999)	206	Edad calculada en una isócrona para 7 muestras (B-3, 4, 7, 12, 17, 22, 23)
			Se obtuvo las coordenadas del punto a partir de la georreferenciación de la Figura 6	1205655	946906	MAGNA_Colombia_Bogota	6° 27' 20,438" N	74° 33' 26,917" W	Ordóñez Carmona <i>et al.</i> (1999)	206	Edad calculada en una isócrona para 7 muestras (B-3, 4, 7, 12, 17, 22, 23)
			Se obtuvo las coordenadas del punto a partir de la georreferenciación de la Figura 6	1206417	945406	MAGNA_Colombia_Bogota	6° 27' 45,215" N	74° 34' 15,763" W	Ordóñez Carmona <i>et al.</i> (1999)	206	Edad calculada en una isócrona para 7 muestras (B-3, 4, 7, 12, 17, 22, 23)
			Se obtuvo las coordenadas del punto a partir de la georreferenciación de la Figura 6	1206417	945406	MAGNA_Colombia_Bogota	6° 27' 45,215" N	74° 34' 15,763" W	Ordóñez Carmona <i>et al.</i> (1999)	206	Edad calculada en una isócrona para 7 muestras (B-3, 4, 7, 12, 17, 22, 23)
			Se obtuvo las coordenadas del punto a partir de la georreferenciación de la Figura 6	1209170	943367	MAGNA_Colombia_Bogota	6° 29' 14,763" N	74° 35' 22,201" W	Ordóñez Carmona <i>et al.</i> (1999)	206	Edad calculada en una isócrona para 7 muestras (B-3, 4, 7, 12, 17, 22, 23)
			Se obtuvo las coordenadas del punto a partir de la georreferenciación de la Figura 6	1209170	943367	MAGNA_Colombia_Bogota	6° 29' 14,763" N	74° 35' 22,201" W	Ordóñez Carmona <i>et al.</i> (1999)	206	Edad calculada en una isócrona para 7 muestras (B-3, 4, 7, 12, 17, 22, 23)
			Se obtuvo las coordenadas del punto a partir de la georreferenciación de la Figura 6	1209170	943367	MAGNA_Colombia_Bogota	6° 29' 14,763" N	74° 35' 22,201" W	Ordóñez Carmona <i>et al.</i> (1999)	206	Edad calculada en una isócrona para 7 muestras (B-3, 4, 7, 12, 17, 22, 23)
			Se obtuvo las coordenadas del punto a partir de la georreferenciación de la Figura 2	719792	1154216	MAGNA_Colombia_Oeste	2° 03' 41,653" N	75° 41' 29,064" W	Priem <i>et al.</i> (1989)	224	Edad de intrusión pegmatítica
			Localización suministrada por el profesor Jorge Julián RESTREPO	1165935	1162714	MAGNA_Colombia_Oeste	6° 05' 41,041" N	75° 36' 27,834" W	Restrepo <i>et al.</i> (1991)	239	Edad convencional
			Se obtuvo las coordenadas del punto a partir de la georreferenciación de la Figura 6	709188	1149413	MAGNA_Colombia_Oeste	1° 57' 56,651" N	75° 44' 04,742" W	van der Wiel & Andriessen (1991)	310	
			Localización suministrada por el profesor Jorge Julián RESTREPO	1154368	842220	MAGNA_Colombia_Bogota	5° 59' 25,032" N	75° 30' 08,823" W	Restrepo <i>et al.</i> (1991)	239	Edad convencional
			Se obtuvo las coordenadas del punto a partir de la georreferenciación del Anexo 1 de Jiménez (2003) [151]	688914	1145792	MAGNA_Colombia_Oeste	1° 46' 56,862" N	75° 46' 02,345" W	Cordani <i>et al.</i> (2005)	80	Edad integrada
			Localización tomada de Restrepo Pace (1995) [246]	733723	1157322	MAGNA_Colombia_Oeste	2° 11' 14,963" N	75° 39' 48,167" W	Restrepo Pace <i>et al.</i> (1997)	247	Edad de fusión total interpretada como de enfriamiento relacionado con el evento metamórfico Orinoquense ocurrido aproximadamente a 1100 Ma
			Se obtuvo las coordenadas del punto a partir de la georreferenciación del Anexo 1 de Jiménez (2003) [151]	688914	1145792	MAGNA_Colombia_Oeste	1° 46' 56,862" N	75° 46' 02,345" W	Cordani <i>et al.</i> (2005)	80	Edad de meseta
			Localización tomada de Restrepo Pace (1995) [246]	733723	1157322	MAGNA_Colombia_Oeste	2° 11' 14,963" N	75° 39' 48,167" W	Restrepo Pace <i>et al.</i> (1997)	247	Edad de meseta interpretada como de enfriamiento relacionado con el evento metamórfico Orinoquense ocurrido aproximadamente a 1100 Ma
			Se obtuvo las coordenadas del punto a partir de la georreferenciación de la Figura 2	726036	1157565	MAGNA_Colombia_Oeste	2° 07' 04,769" N	75° 39' 40,525" W	Priem <i>et al.</i> (1989)	224	Edad de enfriamiento
			Se obtuvo las coordenadas del punto a partir de la georreferenciación del Anexo 1 de Jiménez (2003) [151]	686883	1149308	MAGNA_Colombia_Oeste	1° 45' 50,645" N	75° 44' 08,678" W	Cordani <i>et al.</i> (2005)	80	Edad integrada interpretada como de enfriamiento metamórfico
			Se obtuvo las coordenadas del punto a partir de la georreferenciación del Anexo 1 de Jiménez (2003) [151]	686883	1149308	MAGNA_Colombia_Oeste	1° 45' 50,645" N	75° 44' 08,678" W	Cordani <i>et al.</i> (2005)	80	Edad de meseta, edad interpretada como de enfriamiento metamórfico
			Se obtuvo las coordenadas del punto a partir de la georreferenciación del Anexo 1 de Jiménez (2003) [151]	686883	1149308	MAGNA_Colombia_Oeste	1° 45' 50,645" N	75° 44' 08,678" W	Jiménez (2003)	151	Edad ideograma (edad media ponderada de dos o tres granos, tomando solo las etapas que forman meseta), interpretada como enfriamiento del metamorfismo de 1000 Ma
			Se obtuvo las coordenadas del punto a partir de la georreferenciación del Anexo 1 de Jiménez (2003) [151]	686883	1149308	MAGNA_Colombia_Oeste	1° 45' 50,645" N	75° 44' 08,678" W	Cordani <i>et al.</i> (2005)	80	Edad de meseta, edad interpretada como de enfriamiento metamórfico
			Se obtuvo las coordenadas del punto a partir de la georreferenciación del Anexo 1 de Jiménez (2003) [151]	686883	1149308	MAGNA_Colombia_Oeste	1° 45' 50,645" N	75° 44' 08,678" W	Cordani <i>et al.</i> (2005)	80	Edad integrada interpretada como de enfriamiento metamórfico
6			Localización tomada de Cardona (2003) [63]	1804706	896865	MAGNA_Colombia_Este	11° 52' 13,923" N	72° 01' 26,601" W	Cordani <i>et al.</i> (2005)	80	Se analizaron en total 21 granos, se interpretan dos eventos metamórficos sobreimpuestos ocurridos cerca de 916 Ma y 1165 Ma (1166 ± 37 Ma; 1165 ± 17 Ma). Las edades heredadas mesoproterozoicas son de círculos detriticos sedimentarios
			Se obtuvo las coordenadas del punto a partir de la georreferenciación del Anexo 1	688914	1145792	MAGNA_Colombia_Oeste	1° 46' 56,862" N	75° 46' 02,345" W	Jiménez (2003)	151	Edad ideograma (edad media ponderada de dos o tres granos, tomando solo las etapas que forman meseta), interpretada como enfriamiento del metamorfismo de 1000 Ma
			Se obtuvo las coordenadas del punto a partir de la georreferenciación de la Figura 2	726036	1157565	MAGNA_Colombia_Oeste	2° 07' 04,769" N	75° 39' 40,525" W	Priem <i>et al.</i> (1989)	224	Edad de enfriamiento
			Se obtuvo las coordenadas del punto a partir de la georreferenciación del Anexo 1 de Jiménez (2003) [151]	688914	1145792	MAGNA_Colombia_Oeste	1° 46' 56,862" N	75° 46' 02,345" W	Cordani <i>et al.</i> (2005)	80	Edad integrada interpretada como de enfriamiento metamórfico
			Se obtuvo las coordenadas del punto a partir de la georreferenciación del Anexo 1 de Jiménez (2003) [151]	688914	1145792	MAGNA_Colombia_Oeste	1° 46' 56,862" N	75° 46' 02,345" W	Cordani <i>et al.</i> (2005)	80	Edad integrada
			Se obtuvo las coordenadas del punto a partir de la georreferenciación del Anexo 1 de Jiménez (2003) [151]	688914	1145792	MAGNA_Colombia_Oeste	1° 46' 56,862" N	75° 46' 02,345" W	Cordani <i>et al.</i> (2005)	80	Edad de meseta que ha sido interpretada como de enfriamiento metamórfico
			Se obtuvo las coordenadas del punto a partir de la georreferenciación de la Figura 1	613381	1063291	MAGNA_Colombia_Este	1° 05' 59,196" N	70° 30' 31,897" W	Priem <i>et al.</i> (1982)	223	Interpretada como la edad del vulcanismo
			Se obtuvo las coordenadas del punto a partir de la georreferenciación del Anexo 1 de Jiménez (2003) [151]	686883	1149308	MAGNA_Colombia_Oeste	1° 45' 50,645" N	75° 44' 08,678" W	Cordani <i>et al.</i> (2005)	80	Isócrona roca total, plagioclasa y biotita, interpretada como la edad de enfriamiento del metamorfismo de 1000 Ma
			Se obtuvo las coordenadas del punto a partir de la georreferenciación de la Figura 1	708873	1150147	MAGNA_Colombia_Oeste	1° 57' 46,375" N	75° 43' 40,989" W	Álvarez & Linares (1985)	13	
			Se obtuvo las coordenadas del punto a partir de la georreferenciación del Anexo 1 de Jiménez (2003) [151]	730674	842147	MAGNA_Colombia_Bogota	2° 09' 35,722" N	75° 29' 46,964" W	Cordani <i>et al.</i> (2005)	80	Edad isócrona calculada con roca total y granate, interpretada como edad de enfriamiento por debajo 600 °C
			Se obtuvo las coordenadas del punto a partir de la georreferenciación del Anexo 1 de Jiménez (2003) [151]	686694	1150448	MAGNA_Colombia_Oeste	1° 45' 44,468" N	75° 43' 31,804" W	Cordani <i>et al.</i> (2005)	80	Edad de meseta
			Las coordenadas (11° 15' 51" N, 73° 16' 04" W) reportadas por los autores no coinciden con la localización de la datación en la Figura 4 de Cardona (2003) [63]. Se obtuvieron las coordenadas del punto a partir de la georreferenciación de esta figura	1730067	1089017	MAGNA_Colombia_Bogota	11° 11' 46,581" N	73° 15' 44,903" W	Cordani <i>et al.</i> (2005)	80	Edad integrada interpretada como de enfriamiento después del último evento metamórfico

ID Datación Radiométrica	Código de la muestra	Unidad geológica	Litología	Edad años BP	Error años	Edad Ma	Error Ma	Edad grano simple menor detrítico	Edad grano simple mayor detrítico	Edad estratigráfica	Edades heredadas	Método de datación	Material analizado	Relación inicial	MSWD	P(X2) %
3861	Gr-29	Grupo Garzón, Granulitas del Vergel	Granulita			929	$\pm 32$			Neoproterozoico (NP)		Sm–Nd	Roca total, plagioclasa y piroxeno		2	
3862	A-59	Gneis de Dibulla	Anfíbolita biotítica			929,6	$\pm 1,5$			Neoproterozoico (NP)		Ar–Ar	Hornblenda			
3863	V-309	Grupo Garzón, Granulitas del Vergel	Granulita mafica			930,4	$\pm 0,9$			Neoproterozoico (NP)		Ar–Ar	Biotita			
3864	JJ150	Gneis Granítico de Palmitas	Gneis			934				Neoproterozoico (NP)		Rb–Sr	Roca total	0,705		
3865	V-332	Grupo Garzón, Granulitas del Vergel	Granulita chamoquítica			935	$\pm 5$			Neoproterozoico (NP)		Sm–Nd	Roca total y granate			
3866	Gr-29	Grupo Garzón, Granulitas del Vergel	Granulita			937,1	$\pm 1,2$			Neoproterozoico (NP)		Ar–Ar	Biotita			
3867	31	Granulita de Los Mangos	Gneis			940	$\pm 30$			Neoproterozoico (NP)		K–Ar	Hornblenda			
3868	IMN-12263	Gneis de Bucaramanga	Gneis hornbléndico			945	$\pm 40$			Neoproterozoico (NP)		K–Ar	Hornblenda			
3869	C-32	Grupo Garzón, Gneis de Las Margaritas	Granulita mafica			945,2	$\pm 0,8$			Neoproterozoico (NP)		Ar–Ar	Biotita			
3870	JJ247	Gneis de Las Palmas	Gneis augen			946				Neoproterozoico (NP)		Rb–Sr	Roca total	0,705		
3871	C-302	Grupo Garzón, Gneis de Las Margaritas	Gneis			947,3	$\pm 0,9$			Neoproterozoico (NP)		Ar–Ar	Biotita			
3872	C-32	Grupo Garzón, Gneis de Las Margaritas	Granulita mafica			948,3	$\pm 1,1$			Neoproterozoico (NP)		Ar–Ar	Biotita			
3873	C-32	Grupo Garzón, Gneis de Las Margaritas	Granulita mafica			951	$\pm 3$			Neoproterozoico (NP)		Ar–Ar	Biotita			
3874	CAIMAN-3		Leuco-monzógranito			952	$\pm 19$			Neoproterozoico (NP)	ca. 1470 a 1440 con una distribución de picos máximos a 1677, 1615, 1530, 1490 y 1460 Ma	U–Pb LA–MC–ICP–MS	Circón		0,98	
3875	C-32	Grupo Garzón, Gneis de Las Margaritas	Granulita mafica			954,6	$\pm 1,3$			Neoproterozoico (NP)		Ar–Ar	Biotita			
3876	C-32	Grupo Garzón, Gneis de Las Margaritas	Granulita mafica			954,8	$\pm 0,8$			Neoproterozoico (NP)		Ar–Ar	Biotita			
3877	CIA 7	Grupo Garzón	Anfíbolita			955	$\pm 19$			Neoproterozoico (NP)		K–Ar	Hornblenda			
3878	C-302	Grupo Garzón, Gneis de Las Margaritas	Gneis			956,1	$\pm 1,1$			Neoproterozoico (NP)		Ar–Ar	Biotita			
3879	Gr-15p	Grupo Garzón, Gneis de Las Margaritas	Gneis biotítico			957	$\pm 1,1$			Neoproterozoico (NP)		Ar–Ar	Biotita			
3880	D-806 a, b y c	Grupo Garzón, Granulitas del Vergel	Granulita			959	$\pm 28$			Neoproterozoico (NP)		Rb–Sr	Roca total		0,01	
3881	Gr-15p	Grupo Garzón, Gneis de Las Margaritas	Gneis biotítico			960,9	$\pm 1,0$			Neoproterozoico (NP)		Ar–Ar	Biotita			
3882	Gr-15p	Grupo Garzón, Gneis de Las Margaritas	Gneis biotítico			962	$\pm 1,1$			Neoproterozoico (NP)		Ar–Ar	Biotita			
3883	V-309	Grupo Garzón, Granulitas del Vergel	Granulita mafica			963	$\pm 1,0$			Neoproterozoico (NP)		Ar–Ar	Biotita			
3884	Gr-15p	Grupo Garzón, Gneis de Las Margaritas	Gneis biotítico			964	$\pm 1,1$			Neoproterozoico (NP)		Ar–Ar	Biotita			
3885	V-309	Grupo Garzón, Granulitas del Vergel	Granulita mafica			964	$\pm 1,0$			Neoproterozoico (NP)		Ar–Ar	Biotita			
3886	Gr-15p	Grupo Garzón, Gneis de Las Margaritas	Gneis biotítico			966,3	$\pm 0,9$			Neoproterozoico (NP)		Ar–Ar	Biotita			
3887	Gr-15p	Grupo Garzón, Gneis de Las Margaritas	Gneis biotítico			967	$\pm 3$			Neoproterozoico (NP)		Ar–Ar	Biotita			
3888	V-309	Grupo Garzón, Granulitas del Vergel	Granulita mafica			971	$\pm 4$			Neoproterozoico (NP)		Ar–Ar	Biotita			
3889	GRM-10	Granulita de Los Mangos	Gneis			971	$\pm 8$			Neoproterozoico (NP)		Sm–Nd	Roca total y granate			
3890	CIA 2	Grupo Garzón	Anfíbolita			971	$\pm 19$			Neoproterozoico (NP)		K–Ar	Hornblenda			
3891	CB-006	Migmatitas del Zancudo	Gneis mafico (melanosoma de metatextitas)			972	$\pm 12$			Neoproterozoico (NP)	1200–1100 Ma	U–Pb LA–MC–ICP–MS	Circón		0,14	
3892	C-299	Grupo Garzón, Gneis de Las Margaritas	Gneis			972,6	$\pm 1,1$			Neoproterozoico (NP)		Ar–Ar	Biotita			
3893	Gr-15p	Grupo Garzón, Gneis de Las Margaritas	Gneis biotítico			974,2	$\pm 1,1$			Neoproterozoico (NP)		Ar–Ar	Biotita			

Dispersión %	Número de granos analizados	Número de aliquotas	Fuente georreferenciación	Coordenada X	Coordenada Y	Sistema de coordenadas	Latitud	Longitud	Referencia	ID referencia	Comentarios
			Se obtuvo las coordenadas del punto a partir de la georreferenciación del Anexo I	686883	1149308	MAGNA_Colombia_Oeste	1° 45' 50,645" N	75° 44' 08,678" W	Jiménez (2003)	151	Edad isócrona para roca total, plagioclasa y piroxeno, interpretada como edad de enfriamiento
			Las coordenadas (11° 15' 51" N, 73° 16' 04" W) reportadas por los autores no coinciden con la localización de la datación en la Figura 4 de Cardona (2003) [63]. Se obtuvo las coordenadas del punto a partir de la georreferenciación de esta figura	1730067	1089017	MAGNA_Colombia_Bogota	11° 11' 46,581" N	73° 15' 44,903" W	Cordani <i>et al.</i> (2005)	80	Edad de meseta que ha sido interpretada como de enfriamiento después del último evento metamórfico
			Se obtuvo las coordenadas del punto a partir de la georreferenciación del Anexo I de Jiménez (2003) [151]	686694	1150448	MAGNA_Colombia_Oeste	1° 45' 44,468" N	75° 43' 31,804" W	Cordani <i>et al.</i> (2005)	80	Edad integrada
			Localización suministrada por el profesor Jorge Julián RESTREPO	1194456	1153104	MAGNA_Colombia_Oeste	6° 21' 10,056" N	75° 41' 37,837" W	Restrepo <i>et al.</i> (1991)	239	Edad convencional
			Se obtuvo las coordenadas del punto a partir de la georreferenciación del Anexo I de Jiménez (2003) [151]	688914	1145792	MAGNA_Colombia_Oeste	1° 46' 56,862" N	75° 46' 02,345" W	Cordani <i>et al.</i> (2005)	80	Edad isócrona calculada con roca total y granate, interpretada como edad de enfriamiento del metamorfismo de 1000 Ma y por debajo de los 600 °C
			Se obtuvo las coordenadas del punto a partir de la georreferenciación del Anexo I de Jiménez (2003) [151]	686883	1149308	MAGNA_Colombia_Oeste	1° 45' 50,645" N	75° 44' 08,678" W	Cordani <i>et al.</i> (2005)	80	Edad integrada
			Se obtuvo las coordenadas del punto a partir de la georreferenciación de la Figura 2	1672600	993931	MAGNA_Colombia_Bogota	10° 40' 40,259" N	74° 07' 58,746" W	Tschanz <i>et al.</i> (1974)	302	Según los autores puede representar un evento metamórfico localizado a lo largo de la Falla Santa Marta
			Las coordenadas (8° 17' N, 73° 25' W) reportadas por los autores no coinciden con la localización de la datación en la Figura 2. Se obtuvo las coordenadas del punto a partir de la georreferenciación de esta figura	1407653	1071810	MAGNA_Colombia_Bogota	8° 16' 54,782" N	73° 25' 32,494" W	Goldsmith <i>et al.</i> (1971)	114	Interpretada como la edad de un evento termal
			Se obtuvo las coordenadas del punto a partir de la georreferenciación del Anexo I de Jiménez (2003) [151]	681318	863006	MAGNA_Colombia_Bogota	1° 42' 49,786" N	75° 18' 30,945" W	Cordani <i>et al.</i> (2005)	80	Edad integrada
			Localización suministrada por el profesor Jorge Julián RESTREPO	1174139	837782	MAGNA_Colombia_Bogota	6° 10' 08,042" N	75° 32' 34,823" W	Restrepo <i>et al.</i> (1991)	239	Edad convencional
			Se obtuvo las coordenadas del punto a partir de la georreferenciación del Anexo I de Jiménez (2003) [151]	699571	871453	MAGNA_Colombia_Bogota	1° 52' 44,113" N	75° 13' 58,092" W	Cordani <i>et al.</i> (2005)	80	Edad integrada
			Se obtuvo las coordenadas del punto a partir de la georreferenciación del Anexo I de Jiménez (2003) [151]	681318	863006	MAGNA_Colombia_Bogota	1° 42' 49,786" N	75° 18' 30,945" W	Cordani <i>et al.</i> (2005)	80	Edad de meseta
			Se obtuvo las coordenadas del punto a partir de la georreferenciación del Anexo I	681318	863006	MAGNA_Colombia_Bogota	1° 42' 49,786" N	75° 18' 30,945" W	Jiménez (2003)	151	Edad ideograma (edad media ponderada de dos o tres granos, tomando solo las etapas que forman meseta)
7				575127	1101841	MAGNA_Colombia_Oeste	0° 45' 13,600" N	76° 09' 45,400" W	Ibáñez Mejía <i>et al.</i> (2011)	144	Edad concordia interpretada como de cristalización ignea. Las edades heredadas sugieren que estos leucogranitos pueden representar fundidos anatómicos derivados de metasedimentos, similar a aquellos en los cuales están hospedados
			Se obtuvo las coordenadas del punto a partir de la georreferenciación del Anexo I de Jiménez (2003) [151]	681318	863006	MAGNA_Colombia_Bogota	1° 42' 49,786" N	75° 18' 30,945" W	Cordani <i>et al.</i> (2005)	80	Edad de meseta
			Se obtuvo las coordenadas del punto a partir de la georreferenciación del Anexo I de Jiménez (2003) [151]	681318	863006	MAGNA_Colombia_Bogota	1° 42' 49,786" N	75° 18' 30,945" W	Cordani <i>et al.</i> (2005)	80	Edad integrada
			Se obtuvo las coordenadas del punto a partir de la georreferenciación de la Figura 2	719792	1154216	MAGNA_Colombia_Oeste	2° 03' 41,653" N	75° 41' 29,064" W	Priem <i>et al.</i> (1989)	224	Edad de enfriamiento
			Se obtuvo las coordenadas del punto a partir de la georreferenciación del Anexo I de Jiménez (2003) [151]	699571	871453	MAGNA_Colombia_Bogota	1° 52' 44,113" N	75° 13' 58,092" W	Cordani <i>et al.</i> (2005)	80	Edad de meseta
			Se obtuvo las coordenadas del punto a partir de la georreferenciación del Anexo I de Jiménez (2003) [151]	662337	848541	MAGNA_Colombia_Bogota	1° 32' 31,700" N	75° 26' 18,429" W	Cordani <i>et al.</i> (2005)	80	Edad integrada
			Se obtuvo las coordenadas del punto a partir de la georreferenciación del Anexo I de Jiménez (2003) [151]	706760	1156416	MAGNA_Colombia_Oeste	1° 56' 37,422" N	75° 40' 18,242" W	Cordani <i>et al.</i> (2005)	80	Edad calculada en una isócrona para las 3 muestras, la cual es interpretada como de metamorfismo granulítico
			Se obtuvo las coordenadas del punto a partir de la georreferenciación del Anexo I de Jiménez (2003) [151]	662337	848541	MAGNA_Colombia_Bogota	1° 32' 31,700" N	75° 26' 18,429" W	Cordani <i>et al.</i> (2005)	80	Edad integrada
			Se obtuvo las coordenadas del punto a partir de la georreferenciación del Anexo I de Jiménez (2003) [151]	662337	848541	MAGNA_Colombia_Bogota	1° 32' 31,700" N	75° 26' 18,429" W	Cordani <i>et al.</i> (2005)	80	Edad de meseta
			Se obtuvo las coordenadas del punto a partir de la georreferenciación del Anexo I de Jiménez (2003) [151]	686694	1150448	MAGNA_Colombia_Oeste	1° 45' 44,468" N	75° 43' 31,804" W	Cordani <i>et al.</i> (2005)	80	Edad integrada
			Se obtuvo las coordenadas del punto a partir de la georreferenciación del Anexo I de Jiménez (2003) [151]	662337	848541	MAGNA_Colombia_Bogota	1° 32' 31,700" N	75° 26' 18,429" W	Cordani <i>et al.</i> (2005)	80	Edad integrada
			Se obtuvo las coordenadas del punto a partir de la georreferenciación del Anexo I de Jiménez (2003) [151]	662337	848541	MAGNA_Colombia_Bogota	1° 32' 31,700" N	75° 26' 18,429" W	Cordani <i>et al.</i> (2005)	80	Edad integrada
			Se obtuvo las coordenadas del punto a partir de la georreferenciación del Anexo I de Jiménez (2003) [151]	686694	1150448	MAGNA_Colombia_Oeste	1° 45' 44,468" N	75° 43' 31,804" W	Jiménez (2003)	151	Edad ideograma (edad media ponderada de dos o tres granos, tomando solo las etapas que forman meseta)
			Se obtuvo las coordenadas del punto a partir de la georreferenciación del Anexo I de Jiménez (2003) [151]	662337	848541	MAGNA_Colombia_Bogota	1° 32' 31,700" N	75° 26' 18,429" W	Jiménez (2003)	151	Edad ideograma (edad media ponderada de dos o tres granos, tomando solo las etapas que forman meseta), interpretada como de enfriamiento del episodio metamórfico
			Se obtuvo las coordenadas del punto a partir de la georreferenciación del Anexo I de Jiménez (2003) [151]	686694	1150448	MAGNA_Colombia_Oeste	1° 45' 44,468" N	75° 43' 31,804" W	Jiménez (2003)	151	Edad ideograma (edad media ponderada de dos o tres granos, tomando solo las etapas que forman meseta), interpretada como de enfriamiento del episodio metamórfico
			Se obtuvo las coordenadas del punto a partir de la georreferenciación de la Figura 2	726036	1157565	MAGNA_Colombia_Oeste	2° 07' 04,769" N	75° 39' 40,525" W	Priem <i>et al.</i> (1989)	224	Edad de enfriamiento
7				737747	1137728	MAGNA_Colombia_Oeste	2° 13' 26,500" N	75° 50' 22,000" W	Ibáñez Mejía <i>et al.</i> (2011)	144	Edad concordia de 972 ± 12 Ma es interpretada como del evento metamórfico de alto grado. La edad máxima de deposición del protolito sedimentario es interpretada en 1088 ± 24 Ma (MSWD = 0,21)
			Se obtuvo las coordenadas del punto a partir de la georreferenciación del Anexo I de Jiménez (2003) [151]	700004	869977	MAGNA_Colombia_Bogota	1° 52' 58,166" N	75° 14' 45,839" W	Cordani <i>et al.</i> (2005)	80	Edad integrada
			Se obtuvo las coordenadas del punto a partir de la georreferenciación del Anexo I de Jiménez (2003) [151]	662337	848541	MAGNA_Colombia_Bogota	1° 32' 31,700" N	75° 26' 18,429" W	Cordani <i>et al.</i> (2005)	80	Edad de meseta

ID Datación Radiométrica	Código de la muestra	Unidad geológica	Litología	Edad años BP	Error años	Edad Ma	Error Ma	Edad grano simple menor detrítico	Edad grano simple mayor detrítico	Edad estratigráfica	Edades heredadas	Método de datación	Material analizado	Relación inicial	MSWD	P(X2) %
3894	V-309	Grupo Garzón, Granulitas del Vergel	Granulita mafica			974,8	$\pm$ 0,9			Neoproterozoico (NP)		Ar–Ar	Biotita			
3895	V-309	Grupo Garzón, Granulitas del Vergel	Granulita mafica			976	$\pm$ 0,9			Neoproterozoico (NP)		Ar–Ar	Biotita			
3896	C-299	Grupo Garzón, Gneis de Las Margaritas	Gneis			977,3	$\pm$ 1,9			Neoproterozoico (NP)		Ar–Ar	Biotita			
3897	V-309	Grupo Garzón, Granulitas del Vergel	Granulita mafica			977,7	$\pm$ 1,6			Neoproterozoico (NP)		Ar–Ar	Hornblenda			
3898	V-309	Grupo Garzón, Granulitas del Vergel	Granulita mafica			979	$\pm$ 3			Neoproterozoico (NP)		Ar–Ar	Hornblenda			
3899	C-299	Grupo Garzón, Gneis de Las Margaritas	Gneis			980	$\pm$ 2			Neoproterozoico (NP)		Ar–Ar	Biotita			
3900	C-299	Grupo Garzón, Gneis de Las Margaritas	Gneis			980,1	$\pm$ 0,8			Neoproterozoico (NP)		Ar–Ar	Biotita			
3901	V-309	Grupo Garzón, Granulitas del Vergel	Granulita mafica			981	$\pm$ 1,6			Neoproterozoico (NP)		Ar–Ar	Hornblenda			
3902	C-299	Grupo Garzón, Gneis de Las Margaritas	Gneis			981,1	$\pm$ 1,2			Neoproterozoico (NP)		Ar–Ar	Biotita			
3903	C-32	Grupo Garzón, Gneis de Las Margaritas	Granulita mafica			982,3	$\pm$ 1,6			Neoproterozoico (NP)		Ar–Ar	Hornblenda			
3904	C-32	Grupo Garzón, Gneis de Las Margaritas	Granulita mafica			984	$\pm$ 3			Neoproterozoico (NP)		Ar–Ar	Hornblenda			
3905	AM-5	Anfibolitas de Medellín	Anfibolita			984	$\pm$ 210			Neoproterozoico (NP)		Sm–Nd	Roca total			
3906	AM-7	Anfibolitas de Medellín	Anfibolita			984	$\pm$ 210			Neoproterozoico (NP)		Sm–Nd	Roca total			
3907	AM-8	Anfibolitas de Medellín	Anfibolita			984	$\pm$ 210			Neoproterozoico (NP)		Sm–Nd	Roca total			
3908	CMK-105	Anfibolitas de Medellín	Anfibolita			984	$\pm$ 210			Neoproterozoico (NP)		Sm–Nd	Roca total			
3909	CMK-45	Anfibolitas de Medellín	Anfibolita			984	$\pm$ 210			Neoproterozoico (NP)		Sm–Nd	Roca total		1,8	
3910	CMK-57	Anfibolitas de Medellín	Anfibolita			984	$\pm$ 210			Neoproterozoico (NP)		Sm–Nd	Roca total		1,8	
3911	CMK-94	Anfibolitas de Medellín	Anfibolita			984	$\pm$ 210			Neoproterozoico (NP)		Sm–Nd	Roca total		1,8	
3912	CMK-96B	Anfibolitas de Medellín	Anfibolita			984	$\pm$ 210			Neoproterozoico (NP)		Sm–Nd	Roca total		1,8	
3913	C-32	Grupo Garzón, Gneis de Las Margaritas	Granulita mafica			985	$\pm$ 3			Neoproterozoico (NP)		Ar–Ar	Hornblenda			
3914	V-332	Grupo Garzón, Granulitas del Vergel	Granulita chamoquítica			985	$\pm$ 3			Neoproterozoico (NP)		Ar–Ar	Biotita			
3915	PAYARA-1		Gneis migmatítico			986	$\pm$ 17			Neoproterozoico (NP)		U–Pb LA–MC–ICP–MS	Circón		0,49	
3916	CAIMAN-3		Diatexita metasedimentaria			989	$\pm$ 11			Neoproterozoico (NP)	ca. 1570, 1500, 1470 y 1680–1650 Ma	U–Pb LA–MC–ICP–MS	Circón		0,7	
3917	CC-1	Gneis de Nus	Gneis biotítico			969	$\pm$ 9			Neoproterozoico (NP)–Mesoproterozoico (MP)	Fuentes mesoproterozoicas (1424 $\pm$ 7, 1349 $\pm$ 10, 1195 $\pm$ 19 y 929 $\pm$ 9 Ma)	U–Pb SHRIMP	Circón			
3918	MIVS-26	Gneis de Guapotón	Gneis augen granítico			990	$\pm$ 8			Neoproterozoico (NP)		U–Pb LA–MC–ICP–MS	Circón		1,15	
3919	MIVS-41	Gneis augen Las Minas	Gneis augen granítico			990	$\pm$ 7			Neoproterozoico (NP)		U–Pb LA–MC–ICP–MS	Circón		1,07	
3920	C-32	Grupo Garzón, Gneis de Las Margaritas	Granulita			991	$\pm$ 8			Neoproterozoico (NP)		Sm–Nd	Roca total y granate			
3921	A-49	Gneis de Dibulla	Gneis biotítico			991	$\pm$ 12			Neoproterozoico (NP)		U–Pb SHRIMP	Circón			
3922	MIVS-11	Grupo Garzón, Granulitas del Vergel	Granulita felsíca			992	$\pm$ 5			Neoproterozoico (NP)	1450, 1370, 1300 y 1120 Ma	U–Pb LA–MC–ICP–MS	Circón		0,32	
3923	CB-002	Grupo Garzón	Paragneis			992	$\pm$ 8			Neoproterozoico (NP)	1480, 1450, 1420 y 1340 Ma	U–Pb LA–MC–ICP–MS	Circón		0,3	
3924	C-32	Grupo Garzón, Gneis de Las Margaritas	Granulita mafica			992,2	$\pm$ 1,0			Neoproterozoico (NP)		Ar–Ar	Hornblenda			
3925	V-309	Grupo Garzón, Granulitas del Vergel	Granulita mafica			993,9				Neoproterozoico (NP)		Ar–Ar	Hornblenda			
3926	V-309	Grupo Garzón, Granulitas del Vergel	Granulita mafica			999,5	$\pm$ 1,5			Neoproterozoico (NP)		Ar–Ar	Hornblenda			

Dispersión %	Número de granos analizados	Número de aliquotas	Fuente georreferenciación	Coordenada X	Coordenada Y	Sistema de coordenadas	Latitud	Longitud	Referencia	ID referencia	Comentarios
			Se obtuvo las coordenadas del punto a partir de la georreferenciación del Anexo 1 de Jiménez (2003) [151]	686694	1150448	MAGNA_Colombia_Oeste	1° 45' 44,468" N	75° 43' 31,804" W	Cordani <i>et al.</i> (2005)	80	Edad integrada
			Se obtuvo las coordenadas del punto a partir de la georreferenciación del Anexo 1 de Jiménez (2003) [151]	686694	1150448	MAGNA_Colombia_Oeste	1° 45' 44,468" N	75° 43' 31,804" W	Cordani <i>et al.</i> (2005)	80	Edad de meseta
			Se obtuvo las coordenadas del punto a partir de la georreferenciación del Anexo 1 de Jiménez (2003) [151]	700004	869977	MAGNA_Colombia_Bogota	1° 52' 58,166" N	75° 14' 45,839" W	Cordani <i>et al.</i> (2005)	80	Edad de meseta
			Se obtuvo las coordenadas del punto a partir de la georreferenciación del Anexo 1 de Jiménez (2003) [151]	686694	1150448	MAGNA_Colombia_Oeste	1° 45' 44,468" N	75° 43' 31,804" W	Cordani <i>et al.</i> (2005)	80	Edad de meseta
			Se obtuvo las coordenadas del punto a partir de la georreferenciación del Anexo 1 de Jiménez (2003) [151]	686694	1150448	MAGNA_Colombia_Oeste	1° 45' 44,468" N	75° 43' 31,804" W	Jiménez (2003)	151	Edad ideograma (edad media ponderada de dos o tres granos, tomando solo las etapas que forman meseta), interpretada como de enfriamiento del episodio metamórfico
			Se obtuvo las coordenadas del punto a partir de la georreferenciación del Anexo 1	700004	869977	MAGNA_Colombia_Bogota	1° 52' 58,166" N	75° 14' 45,839" W	Jiménez (2003)	151	Edad ideograma (edad media ponderada de dos o tres granos, tomando solo las etapas que forman meseta)
			Se obtuvo las coordenadas del punto a partir de la georreferenciación del Anexo 1 de Jiménez (2003) [151]	700004	869977	MAGNA_Colombia_Bogota	1° 52' 58,166" N	75° 14' 45,839" W	Cordani <i>et al.</i> (2005)	80	Edad integrada
			Se obtuvo las coordenadas del punto a partir de la georreferenciación del Anexo 1 de Jiménez (2003) [151]	686694	1150448	MAGNA_Colombia_Oeste	1° 45' 44,468" N	75° 43' 31,804" W	Cordani <i>et al.</i> (2005)	80	Edad de meseta
			Se obtuvo las coordenadas del punto a partir de la georreferenciación del Anexo 1 de Jiménez (2003) [151]	700004	869977	MAGNA_Colombia_Bogota	1° 52' 58,166" N	75° 14' 45,839" W	Cordani <i>et al.</i> (2005)	80	Edad de meseta
			Se obtuvo las coordenadas del punto a partir de la georreferenciación del Anexo 1 de Jiménez (2003) [151]	686694	1150448	MAGNA_Colombia_Oeste	1° 45' 44,468" N	75° 43' 31,804" W	Cordani <i>et al.</i> (2005)	80	Edad de meseta
			Se obtuvo las coordenadas del punto a partir de la georreferenciación del Anexo 1 de Jiménez (2003) [151]	681318	863006	MAGNA_Colombia_Bogota	1° 42' 49,786" N	75° 18' 30,945" W	Cordani <i>et al.</i> (2005)	80	Edad de meseta
			Se obtuvo las coordenadas del punto a partir de la georreferenciación del Anexo 1	681318	863006	MAGNA_Colombia_Bogota	1° 42' 49,786" N	75° 18' 30,945" W	Jiménez (2003)	151	Edad ideograma (edad media ponderada de dos o tres granos, tomando solo las etapas que forman meseta), la edad indica enfriamiento de un evento metamórfico de alto grado
			Se obtuvo las coordenadas del punto a partir de la georreferenciación de la Figura 15	1180893	841722	MAGNA_Colombia_Bogota	6° 13' 48,211" N	75° 30' 27,305" W	Ordóñez Carmona (2001)	207	Interpretada como la edad del protolito igneo, calculada en una isócrona para 8 datos de las Anfibolitas de Medellín
			Se obtuvo las coordenadas del punto a partir de la georreferenciación de la Figura 15	1177477	836113	MAGNA_Colombia_Bogota	6° 11' 56,517" N	75° 33' 29,414" W	Ordóñez Carmona (2001)	207	Interpretada como la edad del protolito igneo, calculada en una isócrona para 8 datos de las Anfibolitas de Medellín
			Se obtuvo las coordenadas del punto a partir de la georreferenciación de la Figura 15	1156350	854465	MAGNA_Colombia_Bogota	6° 00' 30,526" N	75° 23' 30,958" W	Ordóñez Carmona (2001)	207	Interpretada como la edad del protolito igneo, calculada en una isócrona para 8 datos de las Anfibolitas de Medellín
			Se obtuvo las coordenadas del punto a partir de la georreferenciación de la Figura 15	1195370	837396	MAGNA_Colombia_Bogota	6° 21' 38,934" N	75° 32' 49,311" W	Ordóñez Carmona (2001)	207	Interpretada como la edad del protolito igneo, calculada en una isócrona para 8 muestras de las Anfibolitas de Medellín
			Se obtuvo las coordenadas del punto a partir de la georreferenciación de la Figura 15	1154796	839865	MAGNA_Colombia_Bogota	5° 59' 38,765" N	75° 31' 25,433" W	Ordóñez Carmona (2001)	207	Interpretada como la edad del protolito igneo, calculada en una isócrona para 8 muestras de las Anfibolitas de Medellín
			Se obtuvo las coordenadas del punto a partir de la georreferenciación de la Figura 15	1163423	847453	MAGNA_Colombia_Bogota	6° 04' 20,148" N	75° 27' 19,485" W	Ordóñez Carmona (2001)	207	Interpretada como la edad del protolito igneo, calculada en una isócrona para 8 muestras de las Anfibolitas de Medellín
			Se obtuvo las coordenadas del punto a partir de la georreferenciación de la Figura 15	1202137	859748	MAGNA_Colombia_Bogota	6° 25' 21,090" N	75° 20' 42,765" W	Ordóñez Carmona (2001)	207	Interpretada como la edad del protolito igneo, calculada en una isócrona para 8 muestras de las Anfibolitas de Medellín
			Se obtuvo las coordenadas del punto a partir de la georreferenciación de la Figura 15	1179681	844162	MAGNA_Colombia_Bogota	6° 13' 08,966" N	75° 29' 07,850" W	Ordóñez Carmona (2001)	207	Interpretada como la edad del protolito igneo, calculada en una isócrona para 8 muestras de las Anfibolitas de Medellín
			Se obtuvo las coordenadas del punto a partir de la georreferenciación del Anexo 1	681318	863006	MAGNA_Colombia_Bogota	1° 42' 49,786" N	75° 18' 30,945" W	Jiménez (2003)	151	Edad de seudomeseta
			Se obtuvo las coordenadas del punto a partir de la georreferenciación del Anexo 1	688914	1145792	MAGNA_Colombia_Oeste	1° 46' 56,862" N	75° 46' 02,345" W	Jiménez (2003)	151	Edad de seudomeseta
				726787	946328	MAGNA_Colombia_Bogota	2° 07' 31,300" N	74° 33' 35,900" W	Ibáñez Mejía <i>et al.</i> (2011)	144	Edad concordia de 986 ± 17 Ma es considerada la edad del evento metamórfico. La edad de 1606 ± 6 Ma (MSWD = 0,97; n = 16) es interpretada como de cristalización del protolito igneo
12				575127	1101841	MAGNA_Colombia_Oeste	0° 45' 13,600" N	76° 09' 45,400" W	Ibáñez Mejía <i>et al.</i> (2011)	144	Edad concordia de 989 ± 11 Ma es interpretada como del evento metamórfico. La edad de 1444 ± 15 Ma es interpretada como la edad máxima de deposición
9				1209909	923503	MAGNA_Colombia_Bogota	6° 29' 38,035" N	74° 46' 08,712" W	Cardona (2003)	63	Circones detriticos de protolito sedimentario, la edad máxima de sedimentación es considerada como 969 ± 9 Ma
15				719100	1151789	MAGNA_Colombia_Oeste	2° 03' 19,200" N	75° 42' 47,600" W	Ibáñez Mejía <i>et al.</i> (2011)	144	Edad concordia de 990 ± 8 Ma es interpretada como del evento metamórfico. La edad de cristalización ignea del protolito es interpretada en 1135 ± 6 Ma (MSWD = 0,32)
8				737977	1137472	MAGNA_Colombia_Oeste	2° 13' 34,000" N	75° 50' 30,300" W	Ibáñez Mejía <i>et al.</i> (2011)	144	Edad concordia de 990 ± 7 Ma es interpretada como del evento metamórfico en grado anfibolita. La edad de cristalización ignea del protolito es interpretada en 1325 ± 5 Ma (MSWD = 0,96 y n = 23)
			Se obtuvo las coordenadas del punto a partir de la georreferenciación del Anexo 1 de Jiménez (2003) [151]	681318	863006	MAGNA_Colombia_Bogota	1° 42' 49,786" N	75° 18' 30,945" W	Cordani <i>et al.</i> (2005)	80	Edad isócrona para roca total y granate interpretada como edad de enfriamiento del metamorfismo de 1000 Ma por debajo de los 600 °C, aparentemente registra un evento milonítico sobreimpuesto
			Las coordenadas (11° 12' 50" N, 73° 15' 55" W) reportadas por los autores no coinciden con la localización de la datación en la Figura 4 de Cardona (2003) [63]. Se obtuvieron las coordenadas del punto a partir de la georreferenciación de esta figura	1731242	1094709	MAGNA_Colombia_Bogota	11° 12' 24,278" N	73° 12' 37,158" W	Cordani <i>et al.</i> (2005)	80	La edad de 991 ± 12 Ma es atribuida a un evento metamórfico más joven, posiblemente de alto grado. Se registra una edad concordante de 1071 ± 15 Ma en los granos
27				730610	1165089	MAGNA_Colombia_Oeste	2° 09' 33,400" N	75° 35' 37,000" W	Ibáñez Mejía <i>et al.</i> (2011)	144	Edad concordia de 992 ± 5 Ma es interpretada como del evento metamórfico. La edad máxima de deposición es de 1115 ± 4 Ma
9				727051	1161231	MAGNA_Colombia_Oeste	2° 07' 37,700" N	75° 37' 41,900" W	Ibáñez Mejía <i>et al.</i> (2011)	144	Edad concordia de 992 ± 8 Ma es interpretada como del evento metamórfico. La edad máxima de deposición es de 1016 ± 5 Ma (edad media ponderada, n = 11)
			Se obtuvo las coordenadas del punto a partir de la georreferenciación del Anexo 1 de Jiménez (2003) [151]	681318	863006	MAGNA_Colombia_Bogota	1° 42' 49,786" N	75° 18' 30,945" W	Cordani <i>et al.</i> (2005)	80	Edad integrada
			Se obtuvo las coordenadas del punto a partir de la georreferenciación del Anexo 1	686694	1150448	MAGNA_Colombia_Oeste	1° 45' 44,468" N	75° 43' 31,804" W	Jiménez (2003)	151	Edad de meseta
			Se obtuvo las coordenadas del punto a partir de la georreferenciación del Anexo 1 de Jiménez (2003) [151]	686694	1150448	MAGNA_Colombia_Oeste	1° 45' 44,468" N	75° 43' 31,804" W	Cordani <i>et al.</i> (2005)	80	Edad integrada

ID Datación Radiométrica	Código de la muestra	Unidad geológica	Litología	Edad años BP	Error años	Edad Ma	Error Ma	Edad grano simple menor detrítico	Edad grano simple mayor detrítico	Edad estratigráfica	Edades heredadas	Método de datación	Material analizado	Relación inicial	MSWD	P(X2) %
3927	Gr-29	Grupo Garzón, Granulitas del Vergel	Granulita			1000				Mesoproterozoico (MP)-Neoproterozoico (NP)	1400–1100 Ma	U-Pb SHRIMP	Circón			
3928	V-198	Gneis de Guapotón–Mancagua	Ortogneis biotítico hornbléndico			1000	± 25			Mesoproterozoico (MP)-Neoproterozoico (NP)		U-Pb SHRIMP	Circón		0,76	
3929	CIA 11	Grupo Garzón	Anfibolita			1000	± 25			Mesoproterozoico (MP)-Neoproterozoico (NP)		K-Ar	Hornblenda			
3930	C-32	Grupo Garzón, Gneis de Las Margaritas	Granulita máfica			1001,2	± 0,9			Mesoproterozoico (MP)		Ar-Ar	Hornblenda			
3931	V-309	Grupo Garzón, Granulitas del Vergel	Granulita máfica			1002	± 1,3			Mesoproterozoico (MP)		Ar-Ar	Hornblenda			
3932	AM-3	Anfibolita del Boquerón	Anfibolita			1003	± 210			Mesoproterozoico (MP)		Sm-Nd	Roca total			
3933	MIVS-37A	Migmatitas del Pital	Gneis felsico migmatítico (paleosoma)			1005	± 23			Mesoproterozoico (MP)	ca. 1490 Ma	U-Pb LA-MC-ICP-MS	Circón			
3934	V-198	Gneis de Guapotón–Mancagua	Ortogneis biotítico hornbléndico			1005	± 26			Mesoproterozoico (MP)		U-Pb SHRIMP	Circón		0,7	
3935	Gr-15	Grupo Garzón, Gneis de Las Margaritas	Leucosoma discordante de una migmatita			1006	± 6,4			Mesoproterozoico (MP)		U-Pb SHRIMP	Circón		0,51	
3936	C-302	Grupo Garzón, Gneis de Las Margaritas	Gneis			1006,6	± 0,8			Mesoproterozoico (MP)		Ar-Ar	Biotita			
3937	C-302	Grupo Garzón, Gneis de Las Margaritas	Gneis			1007,3	± 0,9			Mesoproterozoico (MP)		Ar-Ar	Biotita			
3938	C-302	Grupo Garzón, Gneis de Las Margaritas	Gneis			1007,6	± 0,9			Mesoproterozoico (MP)		Ar-Ar	Biotita			
3939	C-302	Grupo Garzón, Gneis de Las Margaritas	Gneis			1009	± 2			Mesoproterozoico (MP)		Ar-Ar	Biotita			
3940	C-302	Grupo Garzón, Gneis de Las Margaritas	Gneis			1011,6	± 1,1			Mesoproterozoico (MP)		Ar-Ar	Biotita			
3941	Gr-15	Grupo Garzón, Gneis de Las Margaritas	Leucosoma discordante de una migmatita			1015	± 7,8			Mesoproterozoico (MP)		U-Pb SHRIMP	Circón		0,76	
3942	C-271	Grupo Garzón, Gneis de Las Margaritas	Granulita			1015,2	± 1,2			Mesoproterozoico (MP)		Ar-Ar	Biotita			
3943	MANDUR-2		Dique de sienogranito			1017	± 4			Mesoproterozoico (MP)		U-Pb LA-MC-ICP-MS	Circón		0,66	
3944	C-271	Grupo Garzón, Gneis de Las Margaritas	Granulita			1017,8	± 1,2			Mesoproterozoico (MP)		Ar-Ar	Biotita			
3945	10VDL61	Enclaves máficos en granodiorita del Río Surata				1018,3	± 8,9			Mesoproterozoico (MP)		U-Pb LA-ICP-MS	Circón		2,7	
3946	PGG-18	Gneis de San Lucas	Granito gneísmico			1018,96				Mesoproterozoico (MP)-Neoproterozoico (NP)	ca. 1900–1560 Ma	U-Pb LA-ICP-MS	Circón			
3947	MANDUR-2		Anfibolita			1019	± 8			Mesoproterozoico (MP)	1713 Ma	U-Pb LA-MC-ICP-MS	Circón		0,56	
3948	G-20	Grupo Garzón	Hornblendita piroxénica			1028				Mesoproterozoico (MP)		Ar-Ar	Hornblenda			
3949	C-271	Grupo Garzón, Gneis de Las Margaritas	Granulita			1028,2	± 1,0			Mesoproterozoico (MP)		Ar-Ar	Biotita			
3950	C-271	Grupo Garzón, Gneis de Las Margaritas	Granulita			1032	± 6			Mesoproterozoico (MP)		Ar-Ar	Biotita			
3951	JJ412	Esquistos de Medellín				1032				Mesoproterozoico (MP)		Rb-Sr	Roca total	0,705		
3952	C-271	Grupo Garzón, Gneis de Las Margaritas	Granulita			1032,9	± 1,1			Mesoproterozoico (MP)		Ar-Ar	Biotita			
3953	Gr-15p	Grupo Garzón, Gneis de Las Margaritas	Gneis biotítico con granate			1034	± 6			Mesoproterozoico (MP)		Sm-Nd	Roca total y granate			
3954	C-271	Grupo Garzón, Gneis de Las Margaritas	Granulita			1034,1	± 0,9			Mesoproterozoico (MP)		Ar-Ar	Biotita			
3955	V-309	Grupo Garzón, Granulitas del Vergel	Granulita máfica			1044	± 1,6			Mesoproterozoico (MP)		Ar-Ar	Hornblenda			
3956	C-271	Grupo Garzón, Gneis de Las Margaritas	Granulita			1044,7	± 1,1			Mesoproterozoico (MP)		Ar-Ar	Biotita			
3957	SOLITA-1		Paragneis migmatítico			1046	± 23			Mesoproterozoico (MP)	1850 y 1730 Ma	U-Pb LA-MC-ICP-MS	Circón			
3958	WR-219	Gneis Guamocó	Gneis biotítico cuarzofeldespáttico			1048	± 23,5			Mesoproterozoico (MP)	ca. 1200 Ma	U-Pb LA-MC-ICP-MS	Circón			

Dispersión %	Número de granos analizados	Número de aliquotas	Fuente georreferenciación	Coordenada X	Coordenada Y	Sistema de coordenadas	Latitud	Longitud	Referencia	ID referencia	Comentarios
	3		Se obtuvo las coordenadas del punto a partir de la georreferenciación del Anexo 1 de Jiménez (2003) [151]	686883	1149308	MAGNA_Colombia_Oeste	1° 45' 50,645" N	75° 44' 08,678" W	Cordani <i>et al.</i> (2005)	80	Edad de 1000 Ma representa un evento metamórfico. Las edades de 1400–1100 Ma se interpretan como fuentes con edades mínimas mesoproterozoicas, estos datos no se pueden considerar definitivos
	5		Se obtuvo las coordenadas del punto a partir de la georreferenciación del Anexo 1 de Jiménez (2003) [151]	693145	1143617	MAGNA_Colombia_Oeste	1° 49' 14,597" N	75° 47' 12,598" W	Cordani <i>et al.</i> (2005)	80	Edad media ponderada de los sobrecrecimientos metamórficos, relacionada a un evento metamórfico de alto grado
			Se obtuvo las coordenadas del punto a partir de la georreferenciación de la Figura 2	719792	1154216	MAGNA_Colombia_Oeste	2° 03' 41,653" N	75° 41' 29,064" W	Priem <i>et al.</i> (1989)	224	
			Se obtuvo las coordenadas del punto a partir de la georreferenciación del Anexo 1 de Jiménez (2003) [151]	681318	863006	MAGNA_Colombia_Bogota	1° 42' 49,786" N	75° 18' 30,945" W	Cordani <i>et al.</i> (2005)	80	Edad integrada
			Se obtuvo las coordenadas del punto a partir de la georreferenciación del Anexo 1 de Jiménez (2003) [151]	686694	1150448	MAGNA_Colombia_Oeste	1° 45' 44,468" N	75° 43' 31,804" W	Cordani <i>et al.</i> (2005)	80	Edad integrada
			Se obtuvo las coordenadas del punto a partir de la georreferenciación de la Figura 15	1188664	1159304	MAGNA_Colombia_Oeste	6° 18' 00,991" N	75° 38' 16,697" W	Ordóñez Carmona (2001)	207	Interpretada como la edad del protolito igneo, calculada en una isócrona para 9 muestras (8 de las Anfibolitas de Medellín y 1 de las Anfibolitas de Boquerón)
				741766	1138717	MAGNA_Colombia_Oeste	2° 15' 37,300" N	75° 49' 49,900" W	Ibáñez Mejía <i>et al.</i> (2011)	144	Interpretada como la edad máxima de deposición del protolito
4			Se obtuvo las coordenadas del punto a partir de la georreferenciación del Anexo 1	693145	1143617	MAGNA_Colombia_Oeste	1° 49' 14,597" N	75° 47' 12,598" W	Jiménez (2003)	151	Edad media interpretada como la edad de metamorfismo
9			Se obtuvo las coordenadas del punto a partir de la georreferenciación del Anexo 1	662337	848541	MAGNA_Colombia_Bogota	1° 32' 31,700" N	75° 26' 18,429" W	Jiménez (2003)	151	Edad de cristalización magmática del leucosoma
			Se obtuvo las coordenadas del punto a partir de la georreferenciación del Anexo 1 de Jiménez (2003) [151]	699571	871453	MAGNA_Colombia_Bogota	1° 52' 44,113" N	75° 13' 58,092" W	Cordani <i>et al.</i> (2005)	80	Edad integrada interpretada como de enfriamiento metamórfico
			Se obtuvo las coordenadas del punto a partir de la georreferenciación del Anexo 1 de Jiménez (2003) [151]	699571	871453	MAGNA_Colombia_Bogota	1° 52' 44,113" N	75° 13' 58,092" W	Cordani <i>et al.</i> (2005)	80	Edad de meseta, edad interpretada como de enfriamiento metamórfico
			Se obtuvo las coordenadas del punto a partir de la georreferenciación del Anexo 1 de Jiménez (2003) [151]	699571	871453	MAGNA_Colombia_Bogota	1° 52' 44,113" N	75° 13' 58,092" W	Cordani <i>et al.</i> (2005)	80	Edad integrada interpretada como de enfriamiento metamórfico
			Se obtuvo las coordenadas del punto a partir de la georreferenciación del Anexo 1	699571	871453	MAGNA_Colombia_Bogota	1° 52' 44,113" N	75° 13' 58,092" W	Jiménez (2003)	151	Ideograma
			Se obtuvo las coordenadas del punto a partir de la georreferenciación del Anexo 1 de Jiménez (2003) [151]	699571	871453	MAGNA_Colombia_Bogota	1° 52' 44,113" N	75° 13' 58,092" W	Cordani <i>et al.</i> (2005)	80	Edad de meseta, edad interpretada como de enfriamiento metamórfico
12			Se obtuvo las coordenadas del punto a partir de la georreferenciación del Anexo 1 de Jiménez (2003) [151]	662337	848541	MAGNA_Colombia_Bogota	1° 32' 31,700" N	75° 26' 18,429" W	Cordani <i>et al.</i> (2005)	80	Edad media ponderada interpretada como de cristalización del leucosoma
			Se obtuvo las coordenadas del punto a partir de la georreferenciación del Anexo 1 de Jiménez (2003) [151]	699629	866983	MAGNA_Colombia_Bogota	1° 52' 45,895" N	75° 16' 22,701" W	Cordani <i>et al.</i> (2005)	80	Edad integrada
				593902	1133728	MAGNA_Colombia_Oeste	0° 55' 24,500" N	75° 52' 34,100" W	Ibáñez Mejía <i>et al.</i> (2011)	144	Edad de cristalización del fundido granítico, la cual se interpreta como sincrónica con la edad del metamorfismo regional
			Se obtuvo las coordenadas del punto a partir de la georreferenciación del Anexo 1 de Jiménez (2003) [151]	699629	866983	MAGNA_Colombia_Bogota	1° 52' 45,895" N	75° 16' 22,701" W	Cordani <i>et al.</i> (2005)	80	Edad de meseta
6				1284345	1109296	MAGNA_Colombia_Bogota	7° 09' 59,000" N	73° 05' 17,000" W	van der Lelij (2013)	308	
				1451552	998719	MAGNA_Colombia_Bogota	8° 40' 45,586" N	74° 05' 20,916" W	Cuadros <i>et al.</i> (2014)	87	Para los bordes se determinaron 2 edades (concordia y media) interpretadas como de metamorfismo ( $1018 \pm 27$ , MSWD 0,86 y 963 $\pm 31$ Ma, MSWD 0,16) y para el núcleo 2 edades (concordia y media) interpretadas como de cristalización del protolito ( $1508 \pm 15$ , MSWD 0,77 y $1509.4 \pm 8.2$ Ma, MSWD 0,25). Se interpretó que la edad de metamorfismo del Gneis de San Lucas es ca. 1180–930 Ma y la edad de cristalización del protolito igneo es ca. 1540–1500 Ma
	4			593902	1133728	MAGNA_Colombia_Oeste	0° 55' 24,500" N	75° 52' 34,100" W	Ibáñez Mejía <i>et al.</i> (2011)	144	Edad concordia de $1019 \pm 8$ Ma interpretada como del evento metamórfico de grado anfibolita. La edad de $1592 \pm 8$ Ma (MSWD = 1,06) es interpretada como de cristalización ignea del protolito. Unos pocos núcleos presentan una edad heredada de 1713 Ma que corresponde con un posible protolito volcanosedimentario
			Localización tomada de Restrepo Pace (1995) [246]	675803	1153661	MAGNA_Colombia_Oeste	1° 39' 49,928" N	75° 41' 48,139" W	Restrepo Pace <i>et al.</i> (1997)	247	Edad mínima interpretada como de enfriamiento relacionada al metamorfismo
			Se obtuvo las coordenadas del punto a partir de la georreferenciación del Anexo 1 de Jiménez (2003) [151]	699629	866983	MAGNA_Colombia_Bogota	1° 52' 45,895" N	75° 16' 22,701" W	Cordani <i>et al.</i> (2005)	80	Edad integrada
			Se obtuvo las coordenadas del punto a partir de la georreferenciación del Anexo 1	699629	866983	MAGNA_Colombia_Bogota	1° 52' 45,895" N	75° 16' 22,701" W	Jiménez (2003)	151	Edad ideograma (edad media ponderada de dos o tres granos, tomando solo las etapas que forman meseta)
			Localización suministrada por el profesor Jorge Julián RESTREPO	1173046	844054	MAGNA_Colombia_Bogota	6° 09' 33,040" N	75° 29' 10,816" W	Restrepo <i>et al.</i> (1991)	239	Edad convencional
			Se obtuvo las coordenadas del punto a partir de la georreferenciación del Anexo 1	699629	866983	MAGNA_Colombia_Bogota	1° 52' 45,895" N	75° 16' 22,701" W	Jiménez (2003)	151	Edad de sedumeseta
			Se obtuvo las coordenadas del punto a partir de la georreferenciación del Anexo 1 de Jiménez (2003) [151]	662337	848541	MAGNA_Colombia_Bogota	1° 32' 31,700" N	75° 26' 18,429" W	Cordani <i>et al.</i> (2005)	80	Edad isócrona calculada con roca total y granate, interpretada como la edad de evento metamórfico
			Se obtuvo las coordenadas del punto a partir de la georreferenciación del Anexo 1 de Jiménez (2003) [151]	699629	866983	MAGNA_Colombia_Bogota	1° 52' 45,895" N	75° 16' 22,701" W	Cordani <i>et al.</i> (2005)	80	Edad integrada
			Se obtuvo las coordenadas del punto a partir de la georreferenciación del Anexo 1 de Jiménez (2003) [151]	686694	1150448	MAGNA_Colombia_Oeste	1° 45' 44,468" N	75° 43' 31,804" W	Cordani <i>et al.</i> (2005)	80	Edad integrada
			Se obtuvo las coordenadas del punto a partir de la georreferenciación del Anexo 1 de Jiménez (2003) [151]	699629	866983	MAGNA_Colombia_Bogota	1° 52' 45,895" N	75° 16' 22,701" W	Cordani <i>et al.</i> (2005)	80	Edad de meseta
				588508	1161960	MAGNA_Colombia_Oeste	0° 52' 28,600" N	75° 37' 21,300" W	Ibáñez Mejía <i>et al.</i> (2011)	144	Edad media ponderada interpretada como la edad del metamorfismo y fusión. Las edades heredadas son interpretadas como de granos detriticos del protolito sedimentario.
				1347717	955171	MAGNA_Colombia_Bogota	7° 44' 25,000" N	74° 29' 02,000" W	Leal Mejía (2011)	160	La edad de ca. 1200 Ma es interpretada como la edad de cristalización magnética

ID Datación Radiométrica	Código de la muestra	Unidad geológica	Litología	Edad años BP	Error años	Edad Ma	Error Ma	Edad grano simple menor detrítico	Edad grano simple mayor detrítico	Edad estratigráfica	Edades heredadas	Método de datación	Material analizado	Relación inicial	MSWD	P(X2) %
3959	IGM–5000816	Granito de Parguaza				1067	$\pm 61$			Mesoproterozoico (MP)		Ar–Ar	Biotita		28	
3960	C–299	Grupo Garzón, Gneis de Las Margaritas	Gneis			1067,5	$\pm 1,2$			Mesoproterozoico (MP)		Ar–Ar	Hornblenda			
3961	G–20	Grupo Garzón	Hornblendita piroxénica			1073,9				Mesoproterozoico (MP)		Ar–Ar	Hornblenda			
3962	C–299	Grupo Garzón, Gneis de Las Margaritas	Gneis			1076,5	$\pm 1,1$			Mesoproterozoico (MP)		Ar–Ar	Hornblenda			
3963	JJ390	Migmatitas de El Retiro	Migmatita			1078				Mesoproterozoico (MP)		Rb–Sr	Roca total	0,705		
3964	SnAnK–1	Gneis de Guapotón	Gneis augen			1088	$\pm 6$			Mesoproterozoico (MP)		U–Pb	Circón			
3965	B–17	Milonitas de El Vapor	Gneis milonítico			1100				Mesoproterozoico (MP)		Pb–Pb	Circón			
3966	B 3640		Granitoide			1100	$\pm 30$			Mesoproterozoico (MP)		Rb–Sr	Biotita			
3967	020–03	Gneis de San Lucas	Metamonzogabro			1103, 98	$\pm 19, \pm 16$			Mesoproterozoico (MP)–Neoproterozoico (NP)		U–Pb LA–ICP–MS	Circón		0,285; 0,62	
3968	JAA–1174	Grupo Garzón	Granulita charnoquítica felsíca			1110	$\pm 180$			Mesoproterozoico (MP)		Rb–Sr	Roca total			
3969	G–20	Grupo Garzón	Hornblendita piroxénica			1117				Mesoproterozoico (MP)		Ar–Ar	Hornblenda			
3970	022–01	Gneis de San Lucas	Granito gnéxico			1120	$\pm 18$			Mesoproterozoico (MP)	ca. 1900–1560 Ma	U–Pb LA–ICP–MS	Circón		0,6	
3971	LM64–040–005	Gneis de San Lucas	Granulita			1124	$\pm 22$			Mesoproterozoico (MP)		U–Pb	Circón		15	
3972	PRA 41	Complejo Migmatítico del Mitú	Granito biotítico			1137				Mesoproterozoico (MP)		Rb–Sr	Biotita y roca total			
3973	A–49	Gneis de Dibulla	Gneis biotítico			1145	$\pm 14$			Mesoproterozoico (MP)	ca. 1374 (n = 5, MSWD = 0,51)	U–Pb SHRIMP	Circón		0,102	
3974	017–05	Gneis de San Lucas	Granito gnéxico			1146–998				Mesoproterozoico (MP)–Neoproterozoico (NP)	ca. 1900–1560 Ma	U–Pb LA–ICP–MS	Circón			
3975	JJ148	Gneis granítico de Palmitas	Gneis			1146				Mesoproterozoico (MP)		Rb–Sr	Roca total	0,705		
3976	V–198	Gneis de Guapotón–Mancagua	Ortogneis biotítico hornblendico			1148	$\pm 69$			Mesoproterozoico (MP)		U–Pb SHRIMP	Circón		2,3	
3977	JAA–1177	Grupo Garzón	Granulita charnoquítica felsíca			1150	$\pm 70$			Mesoproterozoico (MP)		Rb–Sr	Roca total			
3978	PRA 35	Complejo Migmatítico del Mitú	Granito			1152				Mesoproterozoico (MP)		Rb–Sr	Moscovita y roca total			
3979	PRA 1	Complejo Migmatítico del Mitú	Granito biotítico			1156				Mesoproterozoico (MP)		Rb–Sr	Biotita y roca total			
3980	V–198	Gneis de Guapotón–Mancagua	Ortogneis biotítico hornblendico			1158	$\pm 23$			Mesoproterozoico (MP)		U–Pb SHRIMP	Circón		0,79	
3981	JAA–1180	Grupo Garzón	Granulita charnoquítica felsíca			1160	$\pm 160$			Mesoproterozoico (MP)		Rb–Sr	Roca total			
3982	020–02	Gneis de San Lucas	Metamonzogabro			1164, 1032	$\pm 16, \pm 12$			Mesoproterozoico (MP)		U–Pb LA–ICP–MS	Circón		0,23; 0,62	
3983	CIA 1	Grupo Garzón	Gneis granítico			1172	$\pm 90$			Mesoproterozoico (MP)		Rb–Sr	Roca total		8	
3984	CIA 3	Grupo Garzón	Gneis granítico			1172	$\pm 90$			Mesoproterozoico (MP)		Rb–Sr	Roca total		8	

Dispersión %	Número de granos analizados	Número de alicuotas	Fuente georreferenciación	Coordenada X	Coordenada Y	Sistema de coordenadas	Latitud	Longitud	Referencia	ID referencia	Comentarios
				1174271	1064123	MAGNA_Colombia_Este_Este	6° 10' 18,481" N	76° 29' 53,366" W	Geoestudios (2011) y Ochoa <i>et al.</i> (2013)	110, 203	Edad de isócrona normal
			Se obtuvo las coordenadas del punto a partir de la georreferenciación del Anexo 1 de Jiménez (2003) [151]	700004	869977	MAGNA_Colombia_Bogota	1° 52' 58,166" N	75° 14' 45,839" W	Cordani <i>et al.</i> (2005)	80	Edad integrada
			Localización tomada de Restrepo Pace (1995) [246]	675803	1153661	MAGNA_Colombia_Oeste	1° 39' 49,928" N	75° 41' 48,139" W	Restrepo Pace <i>et al.</i> (1997)	247	Edad de meseta interpretada como de enfriamiento relacionada al metamorfismo Orinoquense ocurrido hace aproximadamente 1100 Ma
			Se obtuvo las coordenadas del punto a partir de la georreferenciación del Anexo 1 de Jiménez (2003) [151]	700004	869977	MAGNA_Colombia_Bogota	1° 52' 58,166" N	75° 14' 45,839" W	Cordani <i>et al.</i> (2005)	80	Edad integrada
			Localización suministrada por el profesor Jorge Julián RESTREPO	1154368	842220	MAGNA_Colombia_Bogota	5° 59' 25,032" N	75° 30' 08,823" W	Restrepo <i>et al.</i> (1991)	239	Edad convencional
2			Localización tomada de Restrepo Pace (1995) [246]	726498	1152476	MAGNA_Colombia_Oeste	2° 07' 19,956" N	75° 42' 25,170" W	Restrepo Pace <i>et al.</i> (1997)	247	Edad en el intercepto superior que registra la orogenia Orinoquense. Se registra una edad de pérdida de Pb intercepto inferior a los 238 ± 79 Ma (MSWD = 15), el cual puede registrar un evento relacionado con la consolidación de Pangea
1			Se obtuvo las coordenadas del punto a partir de la georreferenciación de la Figura 6	1205655	946906	MAGNA_Colombia_Bogota	6° 27' 20,438" N	74° 33' 26,917" W	Ordóñez Carmona <i>et al.</i> (1999)	206	Edad obtenida a partir del concentrado de minerales de la muestra estudiada separando un cristal de circon. Interpretada como la edad de parte del protolito que formó la milonita o edad de cristalización del granitoide
				823181	1040503	MAGNA_Colombia_Este	2° 59' 49,601" N	70° 42' 47,405" W	Pinson <i>et al.</i> (1962)	222	
				1450927	997865	MAGNA_Colombia_Bogota	8° 40' 25,242" N	74° 05' 48,851" W	Cuadros <i>et al.</i> (2014)	87	Para los bordes se determinaron 2 edades (concordia y media) interpretadas como de metamorfismo (1103 ± 19, MSWD 0,038 ± 980 ± 16 Ma, MSWD 0,55) y para el núcleo 1 edad media interpretada como de cristalización del protolito (1506 ± 6 Ma, MSWD 1,08). Se interpretó que la edad de metamorfismo del Gneis de San Lucas es ca. 1180–930 Ma y la edad de cristalización del protolito igneo es ca. 1540–1500 Ma
			Se obtuvo las coordenadas del punto a partir de la georreferenciación de la Figura 1	709038	1149895	MAGNA_Colombia_Oeste	1° 57' 51,737" N	75° 43' 49,132" W	Álvarez (1981)	7	La muestra se utilizó para calcular la edad en una isócrona, la cual arrojó una edad de 1180 Ma, interpretada como del metamorfismo de alto grado. La edad isócrona se calculó con 4 muestras (JAA–1174, JAA–1180, JAA–1177 y JAA–1179)
			Localización tomada de Restrepo Pace (1995) [246]	675803	1153661	MAGNA_Colombia_Oeste	1° 39' 49,928" N	75° 41' 48,139" W	Restrepo Pace <i>et al.</i> (1997)	247	Edad de fusión total interpretada como de enfriamiento relacionada al metamorfismo
				1448462	998154	MAGNA_Colombia_Bogota	8° 39' 05,006" N	74° 05' 39,395" W	Cuadros <i>et al.</i> (2014)	87	1120 ± 18 Ma es la edad de concordia interpretada como de metamorfismo. La edad media 1527 ± 14 Ma, MSWD 2,0 del núcleo es interpretada como la cristalización del protolito. Se interpretó que la edad de metamorfismo del Gneis de San Lucas es ca. 1180–Ma y la edad de cristalización del protolito igneo es ca. 1540–1500 Ma
				1445409	995990	MAGNA_Colombia_Bogota	8° 37' 25,649" N	74° 06' 50,183" W	García <i>et al.</i> (2009)	108	Edad media interpretada como del pico metamórfico
			Se obtuvo las coordenadas del punto a partir de la georreferenciación de la Figura 1	378398	1146076	MAGNA_Colombia_Este	1° 01' 30,034" S	69° 45' 54,704" W	Priem <i>et al.</i> (1982)	223	
2			Las coordenadas (11° 12' 50" N, 73° 15' 55" W) reportadas por los autores no coinciden con la localización de la datación en la Figura 4 de Cardona (2003) [63]. Se obtuvo las coordenadas del punto a partir de la georreferenciación de esta figura	1731242	1094709	MAGNA_Colombia_Bogota	11° 12' 24,278" N	73° 12' 37,158" W	Cordani <i>et al.</i> (2005)	80	La edad de 1145 ± 14 Ma es interpretada como la edad de un fuerte evento metamórfico. La edad de ca. 1374 Ma es atribuida a la edad de cristalización del protolito igneo
				1439285	997983	MAGNA_Colombia_Bogota	8° 34' 06,327" N	74° 05' 44,976" W	Cuadros <i>et al.</i> (2014)	87	Para los bordes se determinaron 3 edades de concordia interpretadas como de metamorfismo (1146 ± 27, MSWD 0,36; 1086 ± 16, MSWD 0,18 y 998 ± 13 Ma, MSWD 0,093) y, para el núcleo, una edad media interpretada como de cristalización del protolito (1502 ± 18 Ma, MSWD 1,6). Se interpretó que la edad de metamorfismo del Gneis de San Lucas es ca. 1180–930 Ma y que la de cristalización del protolito igneo es ca. 1540–1500 Ma
			Localización suministrada por el profesor Jorge Julián RESTREPO	1193658	1153413	MAGNA_Colombia_Oeste	6° 20' 44,056" N	75° 41' 27,837" W	Restrepo <i>et al.</i> (1991)	239	Edad convencional
3			Se obtuvo las coordenadas del punto a partir de la georreferenciación del Anexo 1	693145	1143617	MAGNA_Colombia_Oeste	1° 49' 14,597" N	75° 47' 12,598" W	Jiménez (2003)	151	Edad media interpretada como de cristalización del protolito granítico
			Se obtuvo las coordenadas del punto a partir de la georreferenciación de la Figura 1	693690	1157177	MAGNA_Colombia_Oeste	1° 49' 32,034" N	75° 39' 53,996" W	Álvarez (1981)	7	La muestra se utilizó para calcular la edad en una isócrona, la cual arrojó una edad de 1180 Ma, interpretada como del metamorfismo de alto grado. La edad isócrona se calculó con 4 muestras (JAA–1174, JAA–1180, JAA–1177 y JAA–1179)
			Se obtuvo las coordenadas del punto a partir de la georreferenciación de la Figura 1	872549	1009284	MAGNA_Colombia_Este_Este	3° 26' 37,057" N	67° 59' 38,252" W	Priem <i>et al.</i> (1982)	223	Edad atribuida a efectos térmicos o de lixiviación locales
			Se obtuvo las coordenadas del punto a partir de la georreferenciación de la Figura 1	634302	1100502	MAGNA_Colombia_Este	1° 17' 19,939" N	70° 10' 28,180" W	Priem <i>et al.</i> (1982)	223	Edad atribuida a efectos térmicos o de lixiviación locales
3			Se obtuvo las coordenadas del punto a partir de la georreferenciación del Anexo 1 de Jiménez (2003) [151]	693145	1143617	MAGNA_Colombia_Oeste	1° 49' 14,597" N	75° 47' 12,598" W	Cordani <i>et al.</i> (2005)	80	Edad media ponderada interpretada como de cristalización del protolito granítico
			Se obtuvo las coordenadas del punto a partir de la georreferenciación de la Figura 1	719090	1155770	MAGNA_Colombia_Oeste	2° 03' 18,748" N	75° 40' 38,801" W	Álvarez (1981)	7	La muestra se utilizó para calcular la edad en una isócrona, la cual arrojó una edad de 1180 Ma, interpretada como del metamorfismo de alto grado. La edad isócrona se calculó con 4 muestras (JAA–1174, JAA–1180, JAA–1177 y JAA–1179)
				1450927	997865	MAGNA_Colombia_Bogota	8° 40' 25,242" N	74° 05' 48,851" W	Cuadros <i>et al.</i> (2014)	87	Para los bordes se determinaron 2 edades de concordia interpretadas como de metamorfismo (1164 ± 16, MSWD 1,4 y 1032 ± 12 Ma, MSWD 0,25) y para el núcleo 1 edad media interpretada como de cristalización del protolito (1530 ± 11 Ma, MSWD 0,94). Se interpretó que la edad de metamorfismo del Gneis de San Lucas es ca. 1180–930 Ma y la edad de cristalización del protolito igneo es ca. 1540–1500 Ma
			Se obtuvo las coordenadas del punto a partir de la georreferenciación de la Figura 2	726036	1157565	MAGNA_Colombia_Oeste	2° 07' 04,769" N	75° 39' 40,525" W	Priem <i>et al.</i> (1989)	224	Edad de metamorfismo de alto grado, calculada en una isócrona para 2 muestras de este trabajo (CIA 1 y 3) y 4 muestras del trabajo de Álvarez (1981) [7] muestras JAA–1174, 1177, 1179 y 1180
			Se obtuvo las coordenadas del punto a partir de la georreferenciación de la Figura 2	726036	1157565	MAGNA_Colombia_Oeste	2° 07' 04,769" N	75° 39' 40,525" W	Priem <i>et al.</i> (1989)	224	Edad de metamorfismo de alto grado, calculada en una isócrona para 2 muestras de este trabajo (CIA 1 y 3) y 4 muestras del trabajo de Álvarez (1981) [7] muestras JAA–1174, 1177, 1179 y 1180

ID Datación Radiométrica	Código de la muestra	Unidad geológica	Litología	Edad años BP	Error años	Edad Ma	Error Ma	Edad grano simple menor detrítico	Edad grano simple mayor detrítico	Edad estratigráfica	Edades heredadas	Método de datación	Material analizado	Relación inicial	MSWD	P(X2) %
3985	A45, A46, A50	Gneis de Dibulla	Gneis			1174	$\pm 41$			Mesoproterozoico (MP)		Rb-Sr	Roca total	$0,7168 \pm 0,0033$	4,9	
3986	A51	Gneis de Dibulla	Gneis			1174	$\pm 41$			Mesoproterozoico (MP)		Rb-Sr	Roca total	$0,7168 \pm 0,0033$	4,9	
3987	JAA-1179	Grupo Garzón	Granulita chamoquítica felsíca			1180				Mesoproterozoico (MP)		Rb-Sr	Roca total			
3988	A54, A55, A58	Gneis de Dibulla	Gneis			1180				Mesoproterozoico (MP)		Rb-Sr	Roca total	0,742		
3989	PRA 13	Complejo Migmatítico del Mitú	Gabro augítico			1180				Mesoproterozoico (MP)		Rb-Sr	Roca total	0,704		
3990	PRA 38	Complejo Migmatítico del Mitú	Dique diabásico			1180				Mesoproterozoico (MP)		Rb-Sr	Roca total	0,704		
3991	A43, A44, A47, A48	Gneis de Dibulla	Gneis			1184,1	$\pm 5,9$			Mesoproterozoico (MP)		Rb-Sr	Roca total	$0,72645 \pm 0,00055$	1,09	
3992	A60, A66	Gneis de Dibulla	Gneis			1184,1	$\pm 5,9$			Mesoproterozoico (MP)		Rb-Sr	Roca total	$0,72645 \pm 0,00055$	1,09	
3993	PRA 40	Complejo Migmatítico del Mitú	Granito biotítico			1198				Mesoproterozoico (MP)		Rb-Sr	Biotita y roca total			
3994	PRA 13	Complejo Migmatítico del Mitú	Gabro augítico			1200				Mesoproterozoico (MP)		Rb-Sr	Roca total	$0,704-0,707$		
3995	B 3639		Granitoide			1205	$\pm 60$			Mesoproterozoico (MP)		K-Ar	Biotita			
3996	B 3640		Granitoide			1205	$\pm 60$			Mesoproterozoico (MP)		K-Ar	Biotita			
3997	IGM-5000817	Granito de Parguaza				1207,4	$\pm 9,25$			Mesoproterozoico (MP)		Ar-Ar	Biotita			
3998	PRA 31	Complejo Migmatítico del Mitú	Granito biotítico			1210				Mesoproterozoico (MP)		K-Ar	Biotita			
3999	PRA 40	Complejo Migmatítico del Mitú	Granito biotítico			1210				Mesoproterozoico (MP)		K-Ar	Biotita			
4000	PRA 15B	Complejo Migmatítico del Mitú	Gneis biotítico			1215				Mesoproterozoico (MP)		K-Ar	Biotita			
4001	IGM-5000817	Granito de Parguaza				1216,5	$\pm 2,67$			Mesoproterozoico (MP)		Ar-Ar	Biotita			
4002	IGM-5000817	Granito de Parguaza				1217	$\pm 17$			Mesoproterozoico (MP)		Ar-Ar	Biotita		0,63	
4003	IGM-5000817	Granito de Parguaza				1219	$\pm 17$			Mesoproterozoico (MP)		Ar-Ar	Biotita		0,83	
4004	PRA 17	Complejo Migmatítico del Mitú	Gneis milonítico biotítico			1223				Mesoproterozoico (MP)		Rb-Sr	Biotita y roca total			
4005	PRA 39	Complejo Migmatítico del Mitú	Gabro hornbléndico			1225				Mesoproterozoico (MP)		Rb-Sr	Roca total	0,707		
4006	PRA 42	Complejo Migmatítico del Mitú	Dolerita augítica			1225				Mesoproterozoico (MP)		Rb-Sr	Roca total	0,707		
4007	PRA 43	Complejo Migmatítico del Mitú	Dolerita augítica			1225				Mesoproterozoico (MP)		Rb-Sr	Roca total	0,707		
4008	PRA 23	Complejo Migmatítico del Mitú	Gneis augen biotítico			1230				Mesoproterozoico (MP)		Rb-Sr	Biotita y roca total			
4009	IGM-5000817	Granito de Parguaza				1237	$\pm 13$			Mesoproterozoico (MP)		Ar-Ar	Biotita		0,98	
4010	PRA 23	Complejo Migmatítico del Mitú	Gneis augen biotítico			1240				Mesoproterozoico (MP)		K-Ar	Biotita			
4011	MIS-469B	Complejo Migmatítico del Mitú, Gneis del Caño Yi	Gneis biotítico			1245	$\pm 10,2$			Mesoproterozoico (MP)		Ar-Ar	Biotita			

Dispersión %	Número de granos analizados	Número de aliquotas	Fuente georreferenciación	Coordenada X	Coordenada Y	Sistema de coordenadas	Latitud	Longitud	Referencia	ID referencia	Comentarios
			Las coordenadas (11° 12' 50" N, 73° 15' 55" W) reportadas por el autor no coinciden con la localización de la datación en la Figura 4. Se obtuvo las coordenadas del punto a partir de la georreferenciación de esta figura	1731242	1094709	MAGNA_Colombia_Bogota	11° 12' 24,278" N	73° 12' 37,158" W	Cardona (2003)	63	Edad obtenida a partir de isócrona con 6 muestras (A45, A46, A50 y A51). El autor interpreta que por el carácter polimetamórfico de la unidad podría representar un evento metamórfico ocurrido en 1200–1140 Ma
			Las coordenadas (11° 15' 51" N, 73° 16' 04" W) reportadas por el autor no coinciden con la localización de la datación en la Figura 4. Se obtuvo las coordenadas del punto a partir de la georreferenciación de esta figura	1730067	1089017	MAGNA_Colombia_Bogota	11° 11' 46,581" N	73° 15' 44,903" W	Cardona (2003)	63	Edad obtenida a partir de isócrona con 6 muestras (A45, A46, A50 y A51). El autor interpreta que por el carácter polimetamórfico de la unidad podría representar un evento metamórfico ocurrido en 1200–1140 Ma
			Se obtuvo las coordenadas del punto a partir de la georreferenciación de la Figura 1	731646	838719	MAGNA_Colombia_Bogota	2° 10' 07,233" N	75° 31' 37,902" W	Alvarez (1981)	7	Interpretada como la edad del metamorfismo de alto grado, calculada en una isócrona para 4 muestras (JAA-1174, JAA-1180, JAA-1177 y JAA-1179)
			Las coordenadas (11° 15' 51" N, 73° 16' 04" W) reportadas por el autor no coinciden con la localización de la datación en la Figura 4. Se obtuvo las coordenadas del punto a partir de la georreferenciación de esta figura	1730067	1089017	MAGNA_Colombia_Bogota	11° 11' 46,581" N	73° 15' 44,903" W	Cardona (2003)	63	Las muestras A54, A55 y A58 aunque no están perfectamente alineadas están próximas a una isócrona de referencia de 1180 Ma. El autor interpreta que por el carácter polimetamórfico de la unidad podría representar un evento metamórfico ocurrido en 1200–1140 Ma
			Se obtuvo las coordenadas del punto a partir de la georreferenciación de la Figura 1	589651	1035478	MAGNA_Colombia_Este	0° 53' 06,758" N	70° 45' 31,562" W	Priem <i>et al.</i> (1982)	223	Isócrona muestras PRA 13 y 38
			Se obtuvo las coordenadas del punto a partir de la georreferenciación de la Figura 1	502068	1056244	MAGNA_Colombia_Este	0° 05' 35,333" N	70° 34' 20,144" W	Priem <i>et al.</i> (1982)	223	Isócrona muestras PRA 13 y 38
			Las coordenadas (11° 12' 50" N, 73° 15' 55" W) reportadas por el autor no coinciden con la localización de la datación en la Figura 4. Se obtuvo las coordenadas del punto a partir de la georreferenciación de esta figura	1731242	1094709	MAGNA_Colombia_Bogota	11° 12' 24,278" N	73° 12' 37,158" W	Cardona (2003)	63	Edad obtenida a partir de isócrona con 6 muestras (A43, A44, A47, A48, A60 y A66). El autor interpreta que por el carácter polimetamórfico de la unidad podría representar un evento metamórfico ocurrido en 1200–1140 Ma
			Las coordenadas (11° 15' 51" N, 73° 16' 04" W) reportadas por el autor no coinciden con la localización de la datación en la Figura 4. Se obtuvo las coordenadas del punto a partir de la georreferenciación de esta figura	1730067	1089017	MAGNA_Colombia_Bogota	11° 11' 46,581" N	73° 15' 44,903" W	Cardona (2003)	63	Edad obtenida a partir de isócrona con 6 muestras (A43, A44, A47, A48, A60 y A66). El autor interpreta que por el carácter polimetamórfico de la unidad podría representar un evento metamórfico ocurrido en 1200–1140 Ma
			Se obtuvo las coordenadas del punto a partir de la georreferenciación de la Figura 1	485957	1074896	MAGNA_Colombia_Este	0° 03' 09,156" S	70° 24' 17,003" W	Priem <i>et al.</i> (1982)	223	Edad atribuida a efectos térmicos o de lixiviaciόn locales
			Se obtuvo las coordenadas del punto a partir de la georreferenciación de la Figura 1	589651	1035478	MAGNA_Colombia_Este	0° 53' 06,758" N	70° 45' 31,562" W	Priem <i>et al.</i> (1982)	223	Se plotearon las muestras PRA 13, 38, 39, 42 y 43, pero no hay relación isócrona entre ellas, están limitadas por líneas con edades entre 1225 y 1180 Ma. Los autores interpretan que la intrusión ocurrió hace 1200 Ma
				823181	1040503	MAGNA_Colombia_Este	2° 59' 49,601" N	70° 42' 47,405" W	Pinson <i>et al.</i> (1962)	222	
				823181	1040503	MAGNA_Colombia_Este	2° 59' 49,601" N	70° 42' 47,405" W	Pinson <i>et al.</i> (1962)	222	
				1122623	1018686	MAGNA_Colombia_Este_Este	5° 42' 18,184" N	67° 54' 31,734" W	Geoestudios (2011) y Ochoa <i>et al.</i> (2013)	110, 203	Edad de fusión total
			Se obtuvo las coordenadas del punto a partir de la georreferenciación de la Figura 1	913457	1012528	MAGNA_Colombia_Este_Este	3° 48' 48,853" N	67° 57' 52,983" W	Priem <i>et al.</i> (1982)	223	Edad atribuida a efectos térmicos o de lixiviaciόn locales
			Se obtuvo las coordenadas del punto a partir de la georreferenciación de la Figura 1	485957	1074896	MAGNA_Colombia_Este	0° 03' 09,156" S	70° 24' 17,003" W	Priem <i>et al.</i> (1982)	223	Edad atribuida a efectos térmicos o de lixiviaciόn locales
			Se obtuvo las coordenadas del punto a partir de la georreferenciación de la Figura 1	707012	1109966	MAGNA_Colombia_Este_Este	1° 56' 46,693" N	67° 05' 20,936" W	Priem <i>et al.</i> (1982)	223	Interpretada como edad de enfriamiento
				1122623	1018686	MAGNA_Colombia_Este_Este	5° 42' 18,184" N	67° 54' 31,734" W	Geoestudios (2011) y Ochoa <i>et al.</i> (2013)	110, 203	Edad integrada
				1122623	1018686	MAGNA_Colombia_Este_Este	5° 42' 18,184" N	67° 54' 31,734" W	Geoestudios (2011) y Ochoa <i>et al.</i> (2013)	110, 203	Edad de isócrona normal
				1122623	1018686	MAGNA_Colombia_Este_Este	5° 42' 18,184" N	67° 54' 31,734" W	Geoestudios (2011) y Ochoa <i>et al.</i> (2013)	110, 203	Edad de isócrona inversa
			Se obtuvo las coordenadas del punto a partir de la georreferenciación de la Figura 1	757982	1092777	MAGNA_Colombia_Este_Este	2° 24' 26,246" N	67° 14' 36,144" W	Priem <i>et al.</i> (1982)	223	Interpretada como edad de enfriamiento
			Se obtuvo las coordenadas del punto a partir de la georreferenciación de la Figura 1	485957	1074896	MAGNA_Colombia_Este	0° 03' 09,156" S	70° 24' 17,003" W	Priem <i>et al.</i> (1982)	223	Isócrona muestras PRA 39, 42 y 43
			Se obtuvo las coordenadas del punto a partir de la georreferenciación de la Figura 1	382021	1179780	MAGNA_Colombia_Este	0° 59' 31,629" S	69° 27' 44,975" W	Priem <i>et al.</i> (1982)	223	Isócrona muestras PRA 39, 42 y 43
			Se obtuvo las coordenadas del punto a partir de la georreferenciación de la Figura 1	556276	1105862	MAGNA_Colombia_Este	0° 34' 59,934" N	70° 07' 35,512" W	Priem <i>et al.</i> (1982)	223	Isócrona muestras PRA 39, 42 y 43
			Se obtuvo las coordenadas del punto a partir de la georreferenciación de la Figura 1	727217	1104881	MAGNA_Colombia_Este_Este	2° 07' 44,516" N	67° 08' 05,077" W	Priem <i>et al.</i> (1982)	223	Interpretada como edad de enfriamiento
				1122623	1018686	MAGNA_Colombia_Este_Este	5° 42' 18,184" N	67° 54' 31,734" W	Geoestudios (2011) y Ochoa <i>et al.</i> (2013)	110, 203	Edad de meseta
			Se obtuvo las coordenadas del punto a partir de la georreferenciación de la Figura 1	727217	1104881	MAGNA_Colombia_Este_Este	2° 07' 44,516" N	67° 08' 05,077" W	Priem <i>et al.</i> (1982)	223	Interpretada como edad de enfriamiento
				616337	1102164	MAGNA_Colombia_Este	1° 07' 35,124" N	70° 09' 34,615" W	Rodríguez <i>et al.</i> (2011)	251	Edad de fusión total

ID Datación Radiométrica	Código de la muestra	Unidad geológica	Litología	Edad años BP	Error años	Edad Ma	Error Ma	Edad grano simple menor detrítico	Edad grano simple mayor detrítico	Edad estratigráfica	Edades heredadas	Método de datación	Material analizado	Relación inicial	MSWD	P(X2) %
4012	PRA 28	Complejo Migmatítico del Mitú	Gneis biotílico			1248				Mesoproterozoico (MP)		Rb-Sr	Biotita y roca total			
4013	IGM-5000818	Granito de Parguaza				1250,62	± 9,69			Mesoproterozoico (MP)		Ar-Ar	Biotita			
4014	PRA 44B	Complejo Migmatítico del Mitú	Gneis biotílico			1253				Mesoproterozoico (MP)		Rb-Sr	Biotita y roca total			
4015	PRA 28	Complejo Migmatítico del Mitú	Gneis biotílico			1254				Mesoproterozoico (MP)		K-Ar	Biotita			
4016	PRA 19	Complejo Migmatítico del Mitú	Gneis biotílico			1258				Mesoproterozoico (MP)		Rb-Sr	Biotita y roca total			
4017	PRA 47	Complejo Migmatítico del Mitú	Gneis biotílico			1258				Mesoproterozoico (MP)		Rb-Sr	Biotita y roca total			
4018	PRA 49	Complejo Migmatítico del Mitú	Gneis biotílico			1261				Mesoproterozoico (MP)		Rb-Sr	Biotita y roca total			
4019	PRA 15B	Complejo Migmatítico del Mitú	Gneis biotílico			1262				Mesoproterozoico (MP)		Rb-Sr	Biotita y roca total			
4020	IGM-5000818	Granito de Parguaza				1262,8	± 3,09			Mesoproterozoico (MP)		Ar-Ar	Biotita			
4021	PRA 17	Complejo Migmatítico del Mitú	Gneis milonítico biotílico			1264				Mesoproterozoico (MP)		K-Ar	Biotita			
4022	PRA 19	Complejo Migmatítico del Mitú	Gneis biotílico			1265				Mesoproterozoico (MP)		K-Ar	Biotita			
4023	PRA 1	Complejo Migmatítico del Mitú	Granito biotílico			1266				Mesoproterozoico (MP)		K-Ar	Biotita			
4024	JJ248	Gneis de Las Palmas	Gneis augen			1268				Mesoproterozoico (MP)		Rb-Sr	Roca total	0,710		
4025	PRA 45	Complejo Migmatítico del Mitú	Gneis biotílico			1270				Mesoproterozoico (MP)		Rb-Sr	Biotita y roca total			
4026	IGM-5000820	Granito de Parguaza				1270,8	± 3,35			Mesoproterozoico (MP)		Ar-Ar	Hornblenda			
4027	PRA 24	Complejo Migmatítico del Mitú	Granito gnéxico			1276				Mesoproterozoico (MP)		K-Ar	Biotita			
4028	PRA 24	Complejo Migmatítico del Mitú	Granito gnéxico			1276				Mesoproterozoico (MP)		K-Ar	Moscovita			
4029	FHO-019	Complejo Migmatítico del Mitú, Monzogranito de Mitú	Granito			1276,1	± 10,6			Mesoproterozoico (MP)		Ar-Ar	Biotita			
4030	IGM-5000820	Granito de Parguaza				1276,7	± 2,56			Mesoproterozoico (MP)		Ar-Ar	Biotita			
4031	PRA 11	Complejo Migmatítico del Mitú	Granito néxico			1279				Mesoproterozoico (MP)		K-Ar	Moscovita			
4032	PRA 4	Complejo Migmatítico del Mitú	Granito biotílico			1279				Mesoproterozoico (MP)		K-Ar	Biotita			
4033	PRA 25	Complejo Migmatítico del Mitú	Gneis biotílico			1280				Mesoproterozoico (MP)		Rb-Sr	Biotita y roca total			
4034	PRA 27	Complejo Migmatítico del Mitú	Gneis biotílico			1282				Mesoproterozoico (MP)		K-Ar	Biotita			
4035	IGM-5000818	Granito de Parguaza				1284	± 11			Mesoproterozoico (MP)		Ar-Ar	Biotita		7,5	
4036	IGM-5000819	Granito de Parguaza				1284,3	± 3,49			Mesoproterozoico (MP)		Ar-Ar	Biotita			
4037	PRA 14	Complejo Migmatítico del Mitú	Granito biotílico			1286				Mesoproterozoico (MP)		K-Ar	Biotita			
4038	PRA 24	Complejo Migmatítico del Mitú	Granito gnéxico			1286				Mesoproterozoico (MP)		Rb-Sr	Biotita y roca total			
4039	IGM-5000818	Granito de Parguaza				1290	± 51			Mesoproterozoico (MP)		Ar-Ar	Biotita		153	
4040	PRA 26	Complejo Migmatítico del Mitú	Gneis biotílico			1291				Mesoproterozoico (MP)		Rb-Sr	Biotita y roca total			

Dispersión %	Número de granos analizados	Número de aliquotas	Fuente georreferenciación	Coordenada X	Coordenada Y	Sistema de coordenadas	Latitud	Longitud	Referencia	ID referencia	Comentarios
			Se obtuvo las coordenadas del punto a partir de la georreferenciación de la Figura 1	683467	1119450	MAGNA_Colombia_Este_Este	1° 44' 00,103" N	67° 00' 14,567" W	Priem <i>et al.</i> (1982)	223	Interpretada como edad de reseamiento isotópico relacionado al evento metamórfico regional de bajo grado (Nickeriense)
				1122415	1018772	MAGNA_Colombia_Este_Este	5° 42' 11,412" N	67° 54' 28,942" W	Geoestudios (2011) y Ochoa <i>et al.</i> (2013)	110, 203	Edad de fusión total
			Se obtuvo las coordenadas del punto a partir de la georreferenciación de la Figura 1	564636	1155758	MAGNA_Colombia_Este	0° 39' 31,693" N	69° 40' 42,087" W	Priem <i>et al.</i> (1982)	223	Interpretada como edad de reseamiento isotópico relacionado al evento metamórfico regional de bajo grado (Nickeriense)
			Se obtuvo las coordenadas del punto a partir de la georreferenciación de la Figura 1	683467	1119450	MAGNA_Colombia_Este_Este	1° 44' 00,103" N	67° 00' 14,567" W	Priem <i>et al.</i> (1982)	223	Interpretada como edad de reseamiento isotópico relacionado al evento metamórfico regional de bajo grado (Nickeriense)
			Se obtuvo las coordenadas del punto a partir de la georreferenciación de la Figura 1	761870	1086992	MAGNA_Colombia_Este_Este	2° 26' 32,942" N	67° 17' 43,320" W	Priem <i>et al.</i> (1982)	223	Interpretada como edad de reseamiento isotópico relacionado al evento metamórfico regional de bajo grado (Nickeriense)
			Se obtuvo las coordenadas del punto a partir de la georreferenciación de la Figura 1	564636	1155758	MAGNA_Colombia_Este	0° 39' 31,693" N	69° 40' 42,087" W	Priem <i>et al.</i> (1982)	223	Interpretada como edad de reseamiento isotópico relacionado al evento metamórfico regional de bajo grado (Nickeriense)
			Se obtuvo las coordenadas del punto a partir de la georreferenciación de la Figura 1	564636	1155758	MAGNA_Colombia_Este	0° 39' 31,693" N	69° 40' 42,087" W	Priem <i>et al.</i> (1982)	223	Interpretada como edad de reseamiento isotópico relacionado al evento metamórfico regional de bajo grado (Nickeriense)
			Se obtuvo las coordenadas del punto a partir de la georreferenciación de la Figura 1	707012	1109966	MAGNA_Colombia_Este_Este	1° 56' 46,693" N	67° 05' 20,936" W	Priem <i>et al.</i> (1982)	223	Interpretada como edad de reseamiento isotópico relacionado al evento metamórfico regional de bajo grado (Nickeriense)
				1122415	1018772	MAGNA_Colombia_Este_Este	5° 42' 11,412" N	67° 54' 28,942" W	Geoestudios (2011) y Ochoa <i>et al.</i> (2013)	110, 203	Edad integrada
			Se obtuvo las coordenadas del punto a partir de la georreferenciación de la Figura 1	757982	1092777	MAGNA_Colombia_Este_Este	2° 24' 26,246" N	67° 14' 36,144" W	Priem <i>et al.</i> (1982)	223	Interpretada como edad de reseamiento isotópico relacionado al evento metamórfico regional de bajo grado (Nickeriense)
			Se obtuvo las coordenadas del punto a partir de la georreferenciación de la Figura 1	761870	1086992	MAGNA_Colombia_Este_Este	2° 26' 32,942" N	67° 17' 43,320" W	Priem <i>et al.</i> (1982)	223	Interpretada como edad de reseamiento isotópico relacionado al evento metamórfico regional de bajo grado (Nickeriense)
			Se obtuvo las coordenadas del punto a partir de la georreferenciación de la Figura 1	634302	1100502	MAGNA_Colombia_Este	1° 17' 19,939" N	70° 10' 28,180" W	Priem <i>et al.</i> (1982)	223	Interpretada como edad de reseamiento isotópico relacionado al evento metamórfico regional de bajo grado (Nickeriense)
			Localización suministrada por el profesor Jorge Julián RESTREPO	1174139	837782	MAGNA_Colombia_Bogota	6° 10' 08,042" N	75° 32' 34,823" W	Restrepo <i>et al.</i> (1991)	239	Edad convencional
			Se obtuvo las coordenadas del punto a partir de la georreferenciación de la Figura 1	564636	1155758	MAGNA_Colombia_Este	0° 39' 31,693" N	69° 40' 42,087" W	Priem <i>et al.</i> (1982)	223	Interpretada como edad de reseamiento isotópico relacionado al evento metamórfico regional de bajo grado (Nickeriense)
				1159421	1071225	MAGNA_Colombia_Este_Este	6° 02' 14,825" N	67° 26' 02,960" W	Geoestudios (2011) y Ochoa <i>et al.</i> (2013)	110, 203	Edad integrada
			Se obtuvo las coordenadas del punto a partir de la georreferenciación de la Figura 1	691613	1116292	MAGNA_Colombia_Este_Este	1° 48' 25,306" N	67° 01' 56,570" W	Priem <i>et al.</i> (1982)	223	Interpretada como edad de reseamiento isotópico relacionado al evento metamórfico regional de bajo grado (Nickeriense)
			Se obtuvo las coordenadas del punto a partir de la georreferenciación de la Figura 1	691613	1116292	MAGNA_Colombia_Este_Este	1° 48' 25,306" N	67° 01' 56,570" W	Priem <i>et al.</i> (1982)	223	Interpretada como edad de reseamiento isotópico relacionado al evento metamórfico regional de bajo grado (Nickeriense)
				619871	1119114	MAGNA_Colombia_Este	1° 09' 29,969" N	70° 00' 26,410" W	Rodriguez <i>et al.</i> (2011)	251	Edad de fusión total
				1159421	1071225	MAGNA_Colombia_Este_Este	6° 02' 14,825" N	67° 26' 02,960" W	Geoestudios (2011) y Ochoa <i>et al.</i> (2013)	110, 203	Edad integrada
			Se obtuvo las coordenadas del punto a partir de la georreferenciación de la Figura 1	620688	1085600	MAGNA_Colombia_Este	1° 09' 56,927" N	70° 18' 30,291" W	Priem <i>et al.</i> (1982)	223	Interpretada como edad de reseamiento isotópico relacionado al evento metamórfico regional de bajo grado (Nickeriense)
			Se obtuvo las coordenadas del punto a partir de la georreferenciación de la Figura 1	634312	1100427	MAGNA_Colombia_Este	1° 17' 20,261" N	70° 10' 30,595" W	Priem <i>et al.</i> (1982)	223	Interpretada como edad de reseamiento isotópico relacionado al evento metamórfico regional de bajo grado (Nickeriense)
			Se obtuvo las coordenadas del punto a partir de la georreferenciación de la Figura 1	668430	1124121	MAGNA_Colombia_Este_Este	1° 35' 50,550" N	66° 57' 43,752" W	Priem <i>et al.</i> (1982)	223	Interpretada como edad de reseamiento isotópico relacionado al evento metamórfico regional de bajo grado (Nickeriense)
			Se obtuvo las coordenadas del punto a partir de la georreferenciación de la Figura 1	678354	1121905	MAGNA_Colombia_Este_Este	1° 41' 13,632" N	66° 58' 55,259" W	Priem <i>et al.</i> (1982)	223	Interpretada como edad de reseamiento isotópico relacionado al evento metamórfico regional de bajo grado (Nickeriense)
				1122415	1018772	MAGNA_Colombia_Este_Este	5° 42' 11,412" N	67° 54' 28,942" W	Geoestudios (2011) y Ochoa <i>et al.</i> (2013)	110, 203	Edad de isócrona inversa
				1119819	1047554	MAGNA_Colombia_Este_Este	5° 40' 46,407" N	67° 38' 53,635" W	Geoestudios (2011) y Ochoa <i>et al.</i> (2013)	110, 203	Edad integrada
			Se obtuvo las coordenadas del punto a partir de la georreferenciación de la Figura 1	626680	1095019	MAGNA_Colombia_Este	1° 13' 11,884" N	70° 13' 25,584" W	Priem <i>et al.</i> (1982)	223	Interpretada como edad de reseamiento isotópico relacionado al evento metamórfico regional de bajo grado (Nickeriense)
			Se obtuvo las coordenadas del punto a partir de la georreferenciación de la Figura 1	691613	1116292	MAGNA_Colombia_Este_Este	1° 48' 25,306" N	67° 01' 56,570" W	Priem <i>et al.</i> (1982)	223	Interpretada como edad de reseamiento isotópico relacionado al evento metamórfico regional de bajo grado (Nickeriense)
				1122415	1018772	MAGNA_Colombia_Este_Este	5° 42' 11,412" N	67° 54' 28,942" W	Geoestudios (2011) y Ochoa <i>et al.</i> (2013)	110, 203	Edad de isócrona normal
			Se obtuvo las coordenadas del punto a partir de la georreferenciación de la Figura 1	673345	1123936	MAGNA_Colombia_Este_Este	1° 38' 30,539" N	66° 57' 49,636" W	Priem <i>et al.</i> (1982)	223	Interpretada como edad de reseamiento isotópico relacionado al evento metamórfico regional de bajo grado (Nickeriense)

ID Datación Radiométrica	Código de la muestra	Unidad geológica	Litología	Edad años BP	Error años	Edad Ma	Error Ma	Edad grano simple menor detrítico	Edad grano simple mayor detrítico	Edad estratigráfica	Edades heredadas	Método de datación	Material analizado	Relación inicial	MSWD	P(X2) %
4041	IGM-5000818	Granito de Parguaza				1292,9	± 8,7			Mesoproterozoico (MP)		Ar–Ar	Biotita		0,43	
4042	PRA 49	Complejo Migmatítico del Mitú	Gneis biotítico			1293				Mesoproterozoico (MP)		K–Ar	Biotita			
4043	PRA 51	Complejo Migmatítico del Mitú	Gneis			1295				Mesoproterozoico (MP)		Rb–Sr	Biotita y roca total			
4044	PRA 33	Complejo Migmatítico del Mitú	Granito			1296				Mesoproterozoico (MP)		K–Ar	Moscovita			
4045	PRA 12A	Complejo Migmatítico del Mitú	Granito gnéxico			1297				Mesoproterozoico (MP)		K–Ar	Moscovita			
4046	IGM-5000816	Granito de Parguaza				1297	± 2,92			Mesoproterozoico (MP)		Ar–Ar	Biotita			
4047	PRA 51	Complejo Migmatítico del Mitú	Gneis			1298				Mesoproterozoico (MP)		Rb–Sr	Moscovita y roca total			
4048	PRA 35	Complejo Migmatítico del Mitú	Granito			1300				Mesoproterozoico (MP)		K–Ar	Moscovita			
4049	35	Granulita de Los Mangos	Gneis			1300	± 100			Mesoproterozoico (MP)		Rb–Sr	Roca total	0,703		
4050	PRA 44B	Complejo Migmatítico del Mitú	Gneis biotítico			1302				Mesoproterozoico (MP)		K–Ar	Biotita			
4051	PRA 31	Complejo Migmatítico del Mitú	Granito biotítico			1303				Mesoproterozoico (MP)		Rb–Sr	Biotita y roca total			
4052	PRA 33	Complejo Migmatítico del Mitú	Granito			1303				Mesoproterozoico (MP)		Rb–Sr	Biotita y roca total			
4053	PRA 24	Complejo Migmatítico del Mitú	Granito gnéxico			1305				Mesoproterozoico (MP)		Rb–Sr	Moscovita y roca total			
4054	IGM-5000811	Granito de Parguaza				1307,1	± 3,9			Mesoproterozoico (MP)		Ar–Ar	Biotita			
4055	PRA 11	Complejo Migmatítico del Mitú	Granito gnéxico			1309				Mesoproterozoico (MP)		K–Ar	Biotita			
4056	PRA 35	Complejo Migmatítico del Mitú	Granito			1309				Mesoproterozoico (MP)		K–Ar	Biotita			
4057	MIS-469B	Complejo Migmatítico del Mitú, Gneis del Caño Yí	Gneis biotítico			1310,7	± 10,5			Mesoproterozoico (MP)		Ar–Ar	Biotita			
4058	PRA 37	Complejo Migmatítico del Mitú	Granito biotítico			1311				Mesoproterozoico (MP)		Rb–Sr	Biotita y roca total			
4059	PRA 32	Complejo Migmatítico del Mitú	Granito biotítico			1312				Mesoproterozoico (MP)		K–Ar	Biotita			
4060	PRA 33	Complejo Migmatítico del Mitú	Granito			1312				Mesoproterozoico (MP)		K–Ar	Biotita			
4061	LM64-040-005	Gneis de San Lucas	Granulita			1312,5	± 3,2			Mesoproterozoico (MP)		Sm–Nd	Roca total y plagioclasa	0,5109668	0	
4062	FHO-019	Complejo Migmatítico del Mitú, Monzogranito de Mitú	Granito			1312,7	± 10,8			Mesoproterozoico (MP)		Ar–Ar	Biotita			
4063	PRA 11	Complejo Migmatítico del Mitú	Granito gnéxico			1314				Mesoproterozoico (MP)		Rb–Sr	Biotita y roca total			
4064	PRA 53	Complejo Migmatítico del Mitú	Gneis biotítico			1314				Mesoproterozoico (MP)		Rb–Sr	Biotita y roca total			
4065	IGM-5000816	Granito de Parguaza				1314,83	± 9,84			Mesoproterozoico (MP)		Ar–Ar	Biotita			
4066	IGM-5000820	Granito de Parguaza				1315,36	± 10,01			Mesoproterozoico (MP)		Ar–Ar	Hornblenda			
4067	PRA 12A	Complejo Migmatítico del Mitú	Granito gnéxico			1317				Mesoproterozoico (MP)		K–Ar	Biotita			
4068	PRA 4	Complejo Migmatítico del Mitú	Granito biotítico			1318				Mesoproterozoico (MP)		Rb–Sr	Biotita y roca total			
4069	PRA 32	Complejo Migmatítico del Mitú	Granito biotítico			1319				Mesoproterozoico (MP)		Rb–Sr	Biotita y roca total			

Dispersión %	Número de granos analizados	Número de alicuotas	Fuente georreferenciación	Coordenada X	Coordenada Y	Sistema de coordenadas	Latitud	Longitud	Referencia	ID referencia	Comentarios
				1122415	1018772	MAGNA_Colombia_Este_Este	5° 42' 11,412" N	67° 54' 28,942" W	Geoestudios (2011) y Ochoa <i>et al.</i> (2013)	110,203	Edad de meseta
			Se obtuvo las coordenadas del punto a partir de la georreferenciación de la Figura 1	564636	1155758	MAGNA_Colombia_Este_Este	0° 39' 31,693" N	69° 40' 42,087" W	Priem <i>et al.</i> (1982)	223	Interpretada como edad de reseamiento isotópico relacionado al evento metamórfico regional de bajo grado (Nickeriense)
			Se obtuvo las coordenadas del punto a partir de la georreferenciación de la Figura 1	388505	922238	MAGNA_Colombia_Este_Este	0° 56' 01,680" S	71° 46' 34,083" W	Priem <i>et al.</i> (1982)	223	Interpretada como edad de reseamiento isotópico relacionado al evento metamórfico regional de bajo grado (Nickeriense)
			Se obtuvo las coordenadas del punto a partir de la georreferenciación de la Figura 1	872549	1009284	MAGNA_Colombia_Este_Este	3° 26' 37,057" N	67° 59' 38,252" W	Priem <i>et al.</i> (1982)	223	Interpretada como edad de reseamiento isotópico relacionado al evento metamórfico regional de bajo grado (Nickeriense)
			Se obtuvo las coordenadas del punto a partir de la georreferenciación de la Figura 1	620688	1085600	MAGNA_Colombia_Este_Este	1° 09' 56,927" N	70° 18' 30,291" W	Priem <i>et al.</i> (1982)	223	Interpretada como edad de reseamiento isotópico relacionado al evento metamórfico regional de bajo grado (Nickeriense)
				1174271	1064123	MAGNA_Colombia_Este_Este	6° 10' 18,481" N	67° 29' 53,366" W	Geoestudios (2011) y Ochoa <i>et al.</i> (2013)	110,203	Edad integrada
			Se obtuvo las coordenadas del punto a partir de la georreferenciación de la Figura 1	388505	922238	MAGNA_Colombia_Este_Este	0° 56' 01,680" S	71° 46' 34,083" W	Priem <i>et al.</i> (1982)	223	Interpretada como edad de reseamiento isotópico relacionado al evento metamórfico regional de bajo grado (Nickeriense)
			Se obtuvo las coordenadas del punto a partir de la georreferenciación de la Figura 1	872549	1009284	MAGNA_Colombia_Este_Este	3° 26' 37,057" N	67° 59' 38,252" W	Priem <i>et al.</i> (1982)	223	Interpretada como edad de reseamiento isotópico relacionado al evento metamórfico regional de bajo grado (Nickeriense)
			Se obtuvo las coordenadas del punto a partir de la georreferenciación de la Figura 2	1692587	1110188	MAGNA_Colombia_Bogota	10° 51' 24,848" N	73° 04' 11,267" W	Tschanz <i>et al.</i> (1974)	302	Interpretada como edad de reseamiento termal
			Se obtuvo las coordenadas del punto a partir de la georreferenciación de la Figura 1	564636	1155758	MAGNA_Colombia_Este_Este	0° 39' 31,693" N	69° 40' 42,087" W	Priem <i>et al.</i> (1982)	223	Interpretada como edad de reseamiento isotópico relacionado al evento metamórfico regional de bajo grado (Nickeriense)
			Se obtuvo las coordenadas del punto a partir de la georreferenciación de la Figura 1	913457	1012528	MAGNA_Colombia_Este_Este	3° 48' 48,853" N	67° 57' 52,983" W	Priem <i>et al.</i> (1982)	223	Interpretada como edad de reseamiento isotópico relacionado al evento metamórfico regional de bajo grado (Nickeriense)
			Se obtuvo las coordenadas del punto a partir de la georreferenciación de la Figura 1	872549	1009284	MAGNA_Colombia_Este_Este	3° 26' 37,057" N	67° 59' 38,252" W	Priem <i>et al.</i> (1982)	223	Interpretada como edad de reseamiento isotópico relacionado al evento metamórfico regional de bajo grado (Nickeriense)
			Se obtuvo las coordenadas del punto a partir de la georreferenciación de la Figura 1	691613	1116292	MAGNA_Colombia_Este_Este	1° 48' 25,306" N	67° 01' 56,570" W	Priem <i>et al.</i> (1982)	223	Interpretada como edad de reseamiento isotópico relacionado al evento metamórfico regional de bajo grado (Nickeriense)
				1156534	1069620	MAGNA_Colombia_Este_Este	6° 00' 40,911" N	67° 26' 55,258" W	Geoestudios (2011) y Ochoa <i>et al.</i> (2013)	110,203	Edad integrada
			Se obtuvo las coordenadas del punto a partir de la georreferenciación de la Figura 1	620688	1085600	MAGNA_Colombia_Este_Este	1° 09' 56,927" N	70° 18' 30,291" W	Priem <i>et al.</i> (1982)	223	Interpretada como edad de reseamiento isotópico relacionado al evento metamórfico regional de bajo grado (Nickeriense)
			Se obtuvo las coordenadas del punto a partir de la georreferenciación de la Figura 1	872549	1009284	MAGNA_Colombia_Este_Este	3° 26' 37,057" N	67° 59' 38,252" W	Priem <i>et al.</i> (1982)	223	Interpretada como edad de reseamiento isotópico relacionado al evento metamórfico regional de bajo grado (Nickeriense)
				616337	1102164	MAGNA_Colombia_Este	1° 07' 35,124" N	70° 09' 34,615" W	Rodriguez <i>et al.</i> (2011)	251	Edad de meseta con cinco pasos de alta temperatura
			Se obtuvo las coordenadas del punto a partir de la georreferenciación de la Figura 1	929271	1030058	MAGNA_Colombia_Este_Este	3° 57' 23,545" N	67° 48' 24,676" W	Priem <i>et al.</i> (1982)	223	Interpretada como edad de reseamiento isotópico relacionado al evento metamórfico regional de bajo grado (Nickeriense)
			Se obtuvo las coordenadas del punto a partir de la georreferenciación de la Figura 1	918535	1019176	MAGNA_Colombia_Este_Este	3° 51' 34,138" N	67° 54' 17,476" W	Priem <i>et al.</i> (1982)	223	Interpretada como edad de reseamiento isotópico relacionado al evento metamórfico regional de bajo grado (Nickeriense)
			Se obtuvo las coordenadas del punto a partir de la georreferenciación de la Figura 1	872549	1009284	MAGNA_Colombia_Este_Este	3° 26' 37,057" N	67° 59' 38,252" W	Priem <i>et al.</i> (1982)	223	Interpretada como edad de reseamiento isotópico relacionado al evento metamórfico regional de bajo grado (Nickeriense)
				1445409	995990	MAGNA_Colombia_Bogota	8° 37' 25,649" N	74° 06' 50,183" W	Bernal <i>et al.</i> (2006b)	38	La edad calculada de 1312,5 Ma es una isócrona para roca total y plagioclasa, e interpretada como el inicio del evento Grenviliano. Los autores obtienen una edad modelo de 1600 Ma interpretada como de emplazamiento del cuerpo ígneo protolito de las granulitas
				619871	1119114	MAGNA_Colombia_Este	1° 09' 29,969" N	70° 00' 26,410" W	Rodriguez <i>et al.</i> (2011)	251	Edad de meseta con tres pasos de alta temperatura
			Se obtuvo las coordenadas del punto a partir de la georreferenciación de la Figura 1	620688	1085600	MAGNA_Colombia_Este_Este	1° 09' 56,927" N	70° 18' 30,291" W	Priem <i>et al.</i> (1982)	223	Interpretada como edad de reseamiento isotópico relacionado al evento metamórfico regional de bajo grado (Nickeriense)
			Se obtuvo las coordenadas del punto a partir de la georreferenciación de la Figura 1	424335	869678	MAGNA_Colombia_Este	0° 36' 34,975" S	72° 14' 53,489" W	Priem <i>et al.</i> (1982)	223	Interpretada como edad de reseamiento isotópico relacionado al evento metamórfico regional de bajo grado (Nickeriense)
				1174271	1064123	MAGNA_Colombia_Este_Este	6° 10' 18,481" N	67° 29' 53,366" W	Geoestudios (2011) y Ochoa <i>et al.</i> (2013)	110,203	Edad de fusión total
				1159421	1071225	MAGNA_Colombia_Este_Este	6° 02' 14,825" N	67° 26' 02,960" W	Geoestudios (2011) y Ochoa <i>et al.</i> (2013)	110,203	Edad de fusión total
			Se obtuvo las coordenadas del punto a partir de la georreferenciación de la Figura 1	620688	1085600	MAGNA_Colombia_Este_Este	1° 09' 56,927" N	70° 18' 30,291" W	Priem <i>et al.</i> (1982)	223	Interpretada como edad de reseamiento isotópico relacionado al evento metamórfico regional de bajo grado (Nickeriense)
			Se obtuvo las coordenadas del punto a partir de la georreferenciación de la Figura 1	634312	1100427	MAGNA_Colombia_Este_Este	1° 17' 20,261" N	70° 10' 30,595" W	Priem <i>et al.</i> (1982)	223	Interpretada como edad de reseamiento isotópico relacionado al evento metamórfico regional de bajo grado (Nickeriense)
			Se obtuvo las coordenadas del punto a partir de la georreferenciación de la Figura 1	918535	1019176	MAGNA_Colombia_Este_Este	3° 51' 34,138" N	67° 54' 17,476" W	Priem <i>et al.</i> (1982)	223	Interpretada como edad de reseamiento isotópico relacionado al evento metamórfico regional de bajo grado (Nickeriense)

ID Datación Radiométrica	Código de la muestra	Unidad geológica	Litología	Edad años BP	Error años	Edad Ma	Error Ma	Edad grano simple menor detrítico	Edad grano simple mayor detrítico	Edad estratigráfica	Edades heredadas	Método de datación	Material analizado	Relación inicial	MSWD	P(X2) %
4070	IGM-5000819	Granito de Parguaza				1319,1	$\pm 10,07$			Mesoproterozoico (MP)		Ar–Ar	Biotita			
4071	PRA 12A	Complejo Migmatítico del Mitú	Granito gneísmico			1320				Mesoproterozoico (MP)		Rb–Sr	Biotita y roca total			
4072	PRA 30	Complejo Migmatítico del Mitú	Granito biotítico			1323				Mesoproterozoico (MP)		K–Ar	Biotita			
4073	PRA 51	Complejo Migmatítico del Mitú	Gneis			1323				Mesoproterozoico (MP)		K–Ar	Moscovita			
4074	PRA 35	Complejo Migmatítico del Mitú	Granito			1323				Mesoproterozoico (MP)		Rb–Sr	Biotita y roca total			
4075	IGM-5000820	Granito de Parguaza				1323,35	$\pm 9,79$			Mesoproterozoico (MP)		Ar–Ar	Biotita			
4076	IGM-5000816	Granito de Parguaza				1325,1	$\pm 4,7$			Mesoproterozoico (MP)		Ar–Ar	Biotita		1,3	
4077	PRA 27	Complejo Migmatítico del Mitú	Gneis biotítico			1327				Mesoproterozoico (MP)		Rb–Sr	Biotita y roca total			
4078	PRA 33	Complejo Migmatítico del Mitú	Granito			1327				Mesoproterozoico (MP)		Rb–Sr	Moscovita y roca total			
4079	PRA 14	Complejo Migmatítico del Mitú	Granito biotítico			1329				Mesoproterozoico (MP)		Rb–Sr	Biotita y roca total			
4080	JJ499	Esquistos de Medellín				1329				Mesoproterozoico (MP)		Rb–Sr	Roca total	0,705		
4081	IGM-5000816	Granito de Parguaza				1329	$\pm 8,7$			Mesoproterozoico (MP)		Ar–Ar	Biotita		0,67	
4082	IGM-5000814	Granito de Parguaza				1329,85	$\pm 10,05$			Mesoproterozoico (MP)		Ar–Ar	Biotita			
4083	PRA 37	Complejo Migmatítico del Mitú	Granito biotítico			1331				Mesoproterozoico (MP)		K–Ar	Biotita			
4084	IGM-5000814	Granito de Parguaza				1332,2	$\pm 3,23$			Mesoproterozoico (MP)		Ar–Ar	Biotita			
4085	PRA 26	Complejo Migmatítico del Mitú	Gneis biotítico			1333				Mesoproterozoico (MP)		K–Ar	Biotita			
4086	IGM-5000814	Granito de Parguaza				1333,6	$\pm 8,9$			Mesoproterozoico (MP)		Ar–Ar	Biotita		3,8	
4087	PRA 30	Complejo Migmatítico del Mitú	Granito biotítico			1334				Mesoproterozoico (MP)		Rb–Sr	Biotita y roca total			
4088	IGM-5000812	Granito de Parguaza				1338,9	$\pm 2,99$			Mesoproterozoico (MP)		Ar–Ar	Biotita			
4089	IGM-5000814	Granito de Parguaza				1338,9	$\pm 4,8$			Mesoproterozoico (MP)		Ar–Ar	Biotita		0,87	
4090	IGM-5000811	Granito de Parguaza				1339,04	$\pm 10,06$			Mesoproterozoico (MP)		Ar–Ar	Biotita			
4091	IGM-5000814	Granito de Parguaza				1339,5	$\pm 8,8$			Mesoproterozoico (MP)		Ar–Ar	Biotita		1,15	
4092	PRA 53	Complejo Migmatítico del Mitú	Gneis biotítico			1340				Mesoproterozoico (MP)		K–Ar	Biotita			
4093	IGM-5000813	Granito de Parguaza				1341,5	$\pm 4,06$			Mesoproterozoico (MP)		Ar–Ar	Biotita			
4094	IGM-5000812	Granito de Parguaza				1342,87	$\pm 10,01$			Mesoproterozoico (MP)		Ar–Ar	Biotita			
4095	PRA 36	Complejo Migmatítico del Mitú	Granito biotítico			1343				Mesoproterozoico (MP)		Rb–Sr	Biotita y roca total			
4096		Granito de Matracá	Granito			1343	$\pm 8$			Mesoproterozoico (MP)		U–Pb LA–ICP–MS	Circón			
4097	IGM-5000813 (duplicado)	Granito de Parguaza				1344,85	$\pm 3,95$			Mesoproterozoico (MP)		Ar–Ar	Biotita			

Dispersión %	Número de granos analizados	Número de alicuotas	Fuente georreferenciación	Coordenada X	Coordenada Y	Sistema de coordenadas	Latitud	Longitud	Referencia	ID referencia	Comentarios
				1119819	1047554	MAGNA_Colombia_Este_Este	5° 40' 46,407" N	67° 38' 53,635" W	Geoestudios (2011) y Ochoa <i>et al.</i> (2013)	110, 203	Edad de fusión total
			Se obtuvo las coordenadas del punto a partir de la georreferenciación de la Figura 1	620688	1085600	MAGNA_Colombia_Este_Este	1° 09' 56,927" N	70° 18' 30,291" W	Priem <i>et al.</i> (1982)	223	Interpretada como edad de reseamiento isotópico relacionado al evento metamórfico regional de bajo grado (Nickeriense)
			Se obtuvo las coordenadas del punto a partir de la georreferenciación de la Figura 1	906223	1012369	MAGNA_Colombia_Este_Este	3° 44' 53,344" N	67° 57' 58,182" W	Priem <i>et al.</i> (1982)	223	Interpretada como edad de reseamiento isotópico relacionado al evento metamórfico regional de bajo grado (Nickeriense)
			Se obtuvo las coordenadas del punto a partir de la georreferenciación de la Figura 1	388505	922238	MAGNA_Colombia_Este_Este	0° 56' 01,680" S	71° 46' 34,083" W	Priem <i>et al.</i> (1982)	223	Interpretada como edad de reseamiento isotópico relacionado al evento metamórfico regional de bajo grado (Nickeriense)
			Se obtuvo las coordenadas del punto a partir de la georreferenciación de la Figura 1	872549	1009284	MAGNA_Colombia_Este_Este	3° 26' 37,057" N	67° 59' 38,252" W	Priem <i>et al.</i> (1982)	223	Interpretada como edad de reseamiento isotópico relacionado al evento metamórfico regional de bajo grado (Nickeriense)
				1159421	1071225	MAGNA_Colombia_Este_Este	6° 02' 14,825" N	67° 26' 02,960" W	Geoestudios (2011) y Ochoa <i>et al.</i> (2013)	110, 203	Edad de fusión total
				1174271	1064123	MAGNA_Colombia_Este_Este	6° 10' 18,481" N	67° 29' 53,366" W	Geoestudios (2011) y Ochoa <i>et al.</i> (2013)	110, 203	Edad de isócrona inversa
			Se obtuvo las coordenadas del punto a partir de la georreferenciación de la Figura 1	678354	1121905	MAGNA_Colombia_Este_Este	1° 41' 13,632" N	66° 58' 55,259" W	Priem <i>et al.</i> (1982)	223	Interpretada como edad de reseamiento isotópico relacionado al evento metamórfico regional de bajo grado (Nickeriense)
			Se obtuvo las coordenadas del punto a partir de la georreferenciación de la Figura 1	872549	1009284	MAGNA_Colombia_Este_Este	3° 26' 37,057" N	67° 59' 38,252" W	Priem <i>et al.</i> (1982)	223	Interpretada como edad de reseamiento isotópico relacionado al evento metamórfico regional de bajo grado (Nickeriense)
			Se obtuvo las coordenadas del punto a partir de la georreferenciación de la Figura 1	626680	1095019	MAGNA_Colombia_Este_Este	1° 13' 11,884" N	70° 13' 25,584" W	Priem <i>et al.</i> (1982)	223	Interpretada como edad de reseamiento isotópico relacionado al evento metamórfico regional de bajo grado (Nickeriense)
			Localización suministrada por el profesor Jorge Julián RESTREPO	1191483	844103	MAGNA_Colombia_Bogota	6° 19' 33,048" N	75° 29' 10,811" W	Restrepo <i>et al.</i> (1991)	239	Edad convencional
				1174271	1064123	MAGNA_Colombia_Este_Este	6° 10' 18,481" N	67° 29' 53,366" W	Geoestudios (2011) y Ochoa <i>et al.</i> (2013)	110, 203	Edad de meseta
				1151583	1053906	MAGNA_Colombia_Este_Este	5° 58' 00,272" N	67° 35' 26,346" W	Geoestudios (2011) y Ochoa <i>et al.</i> (2013)	110, 203	Edad de fusión total
			Se obtuvo las coordenadas del punto a partir de la georreferenciación de la Figura 1	929271	1030058	MAGNA_Colombia_Este_Este	3° 57' 23,545" N	67° 48' 24,676" W	Priem <i>et al.</i> (1982)	223	Interpretada como edad de reseamiento isotópico relacionado al evento metamórfico regional de bajo grado (Nickeriense)
				1151583	1053906	MAGNA_Colombia_Este_Este	5° 58' 00,272" N	67° 35' 26,346" W	Geoestudios (2011) y Ochoa <i>et al.</i> (2013)	110, 203	Edad integrada
			Se obtuvo las coordenadas del punto a partir de la georreferenciación de la Figura 1	673345	1123936	MAGNA_Colombia_Este_Este	1° 38' 30,539" N	66° 57' 49,636" W	Priem <i>et al.</i> (1982)	223	Interpretada como edad de reseamiento isotópico relacionado al evento metamórfico regional de bajo grado (Nickeriense)
				1151583	1053906	MAGNA_Colombia_Este_Este	5° 58' 00,272" N	67° 35' 26,346" W	Geoestudios (2011) y Ochoa <i>et al.</i> (2013)	110, 203	Edad de isócrona normal
			Se obtuvo las coordenadas del punto a partir de la georreferenciación de la Figura 1	906223	1012369	MAGNA_Colombia_Este_Este	3° 44' 53,344" N	67° 57' 58,182" W	Priem <i>et al.</i> (1982)	223	Interpretada como edad de reseamiento isotópico relacionado al evento metamórfico regional de bajo grado (Nickeriense)
				1151583	1053906	MAGNA_Colombia_Este_Este	5° 58' 00,272" N	67° 35' 26,346" W	Geoestudios (2011) y Ochoa <i>et al.</i> (2013)	110, 203	Edad integrada
				1151583	1053906	MAGNA_Colombia_Este_Este	5° 58' 00,272" N	67° 35' 26,346" W	Geoestudios (2011) y Ochoa <i>et al.</i> (2013)	110, 203	Edad de isócrona inversa
				1156534	1069620	MAGNA_Colombia_Este_Este	6° 00' 40,911" N	67° 26' 55,258" W	Geoestudios (2011) y Ochoa <i>et al.</i> (2013)	110, 203	Edad de fusión total
				1151583	1053906	MAGNA_Colombia_Este_Este	5° 58' 00,272" N	67° 35' 26,346" W	Geoestudios (2011) y Ochoa <i>et al.</i> (2013)	110, 203	Edad de meseta
			Se obtuvo las coordenadas del punto a partir de la georreferenciación de la Figura 1	424335	869678	MAGNA_Colombia_Este_Este	0° 36' 34,975" S	72° 14' 53,489" W	Priem <i>et al.</i> (1982)	223	Interpretada como edad de reseamiento isotópico relacionado al evento metamórfico regional de bajo grado (Nickeriense)
				1152928	1053727	MAGNA_Colombia_Este_Este	5° 58' 44,060" N	67° 35' 32,127" W	Geoestudios (2011) y Ochoa <i>et al.</i> (2013)	110, 203	Edad integrada
				1151583	1053906	MAGNA_Colombia_Este_Este	5° 58' 00,272" N	67° 35' 26,346" W	Geoestudios (2011) y Ochoa <i>et al.</i> (2013)	110, 203	Edad de fusión total
			Se obtuvo las coordenadas del punto a partir de la georreferenciación de la Figura 1	935192	1041824	MAGNA_Colombia_Este_Este	4° 00' 36,171" N	67° 42' 03,174" W	Priem <i>et al.</i> (1982)	223	Interpretada como edad de reseamiento isotópico relacionado al evento metamórfico regional de bajo grado (Nickeriense)
				811777	886921	MAGNA_Colombia_Este_Este	2° 53' 36,897" N	69° 05' 40,365" W	Bonilla <i>et al.</i> (2012)	48	Edad interpretada como de cristalización ignea
				1152928	1053727	MAGNA_Colombia_Este_Este	5° 58' 44,060" N	67° 35' 32,127" W	Geoestudios (2011) y Ochoa <i>et al.</i> (2013)	110, 203	Edad integrada

ID Datación Radiométrica	Código de la muestra	Unidad geológica	Litología	Edad años BP	Error años	Edad Ma	Error Ma	Edad grano simple menor detrítico	Edad grano simple mayor detrítico	Edad estratigráfica	Edades heredadas	Método de datación	Material analizado	Relación inicial	MSWD	P(X2) %
4098	IGM-5000815	Granito de Parguaza				1346,59	$\pm 9,82$			Mesoproterozoico (MP)		Ar–Ar	Biotita			
4099	PRA 47	Complejo Migmatítico del Mitú	Gneis biotítico			1348				Mesoproterozoico (MP)		K–Ar	Biotita			
4100	PRA 51	Complejo Migmatítico del Mitú	Gneis			1349				Mesoproterozoico (MP)		K–Ar	Biotita			
4101	PRA 50	Complejo Migmatítico del Mitú	Gneis			1349				Mesoproterozoico (MP)		Rb–Sr	Biotita y roca total			
4102	AGR-1	Anfibolita de Caldas	Anfibolita			1351	$\pm 240$			Mesoproterozoico (MP)		Sm–Nd	Roca total			
4103	CMK-49C	Anfibolita de Caldas	Anfibolita			1351	$\pm 240$			Mesoproterozoico (MP)		Sm–Nd	Roca total		7,5	
4104	IGM-5000815	Granito de Parguaza				1353,9	$\pm 2,42$			Mesoproterozoico (MP)		Ar–Ar	Biotita			
4105	IGM-5000813 (duplicado)	Granito de Parguaza				1353,97	$\pm 10,46$			Mesoproterozoico (MP)		Ar–Ar	Biotita			
4106	IGM-5000819	Granito de Parguaza				1354	$\pm 11$			Mesoproterozoico (MP)		Ar–Ar	Biotita		1,7	
4107	IGM-5000811	Granito de Parguaza				1355,4	$\pm 8,4$			Mesoproterozoico (MP)		Ar–Ar	Biotita		2,6	
4108	IGM-5000819	Granito de Parguaza				1356,3	$\pm 9,7$			Mesoproterozoico (MP)		Ar–Ar	Biotita		3,3	
4109	IGM-5000811	Granito de Parguaza				1356,7	$\pm 6,8$			Mesoproterozoico (MP)		Ar–Ar	Biotita		3	
4110	IGM-5000813 (duplicado)	Granito de Parguaza				1357,55	$\pm 10,61$			Mesoproterozoico (MP)		Ar–Ar	Biotita			
4111	PRA 25	Complejo Migmatítico del Mitú	Gneis biotítico			1358				Mesoproterozoico (MP)		K–Ar	Biotita			
4112	IGM-5000820	Granito de Parguaza				1358,7	$\pm 4,6$			Mesoproterozoico (MP)		Ar–Ar	Biotita		1,07	
4113	IGM-5000820	Granito de Parguaza				1359	$\pm 12$			Mesoproterozoico (MP)		Ar–Ar	Biotita		7,1	
4114	IGM-5000811	Granito de Parguaza				1359,3	$\pm 8,9$			Mesoproterozoico (MP)		Ar–Ar	Biotita		0,6	
4115	IGM-5000812	Granito de Parguaza				1359,7	$\pm 8,8$			Mesoproterozoico (MP)		Ar–Ar	Biotita		1	
4116	IGM-69969	Gneises y Anfibolitas de Tierradentro	Anfibolita			1360	$\pm 270$			Mesoproterozoico (MP)		K–Ar	Hornblenda			
4117	IGM-5000813	Granito de Parguaza				1360,5	$\pm 7,8$			Mesoproterozoico (MP)		Ar–Ar	Biotita		0,26	
4118	IGM-5000813	Granito de Parguaza				1361,2	$\pm 7,6$			Mesoproterozoico (MP)		Ar–Ar	Biotita		0,39	
4119	IGM-5000812	Granito de Parguaza				1361,4	$\pm 6,3$			Mesoproterozoico (MP)		Ar–Ar	Biotita		0,71	
4120	IGM-5000820	Granito de Parguaza				1361,6	$\pm 9,7$			Mesoproterozoico (MP)		Ar–Ar	Hornblenda		2,6	
4121	IGM-5000820	Granito de Parguaza				1361,8	$\pm 8,7$			Mesoproterozoico (MP)		Ar–Ar	Biotita		0,74	
4122	IGM-5000819	Granito de Parguaza				1361,9	$\pm 9,3$			Mesoproterozoico (MP)		Ar–Ar	Biotita		1,3	
4123	IGM-5000812	Granito de Parguaza				1362,2	$\pm 7,4$			Mesoproterozoico (MP)		Ar–Ar	Biotita		1,4	
4124	IGM-5000813 (duplicado)	Granito de Parguaza				1362,8	$\pm 7,2$			Mesoproterozoico (MP)		Ar–Ar	Biotita		0,77	
4125	IGM-5000813 (duplicado)	Granito de Parguaza				1364	$\pm 5,9$			Mesoproterozoico (MP)		Ar–Ar	Biotita		0,34	

Dispersión %	Número de granos analizados	Número de alicuotas	Fuente georreferenciación	Coordenada X	Coordenada Y	Sistema de coordenadas	Latitud	Longitud	Referencia	ID referencia	Comentarios
				1155699	1057533	MAGNA_Colombia_Este_Este	6° 00' 14,148" N	67° 33' 28,294" W	Geoestudios (2011) y Ochoa <i>et al.</i> (2013)	110, 203	Edad de meseta
			Se obtuvo las coordenadas del punto a partir de la georreferenciación de la Figura 1	564636	1155758	MAGNA_Colombia_Este_Este	0° 39' 31,693" N	69° 40' 42,087" W	Priem <i>et al.</i> (1982)	223	Interpretada como edad de reseamiento isotópico relacionado al evento metamórfico regional de bajo grado (Nickeriense)
			Se obtuvo las coordenadas del punto a partir de la georreferenciación de la Figura 1	388505	922238	MAGNA_Colombia_Este_Este	0° 56' 01,680" S	71° 46' 34,083" W	Priem <i>et al.</i> (1982)	223	Interpretada como edad de reseamiento isotópico relacionado al evento metamórfico regional de bajo grado (Nickeriense)
			Se obtuvo las coordenadas del punto a partir de la georreferenciación de la Figura 1	423072	856221	MAGNA_Colombia_Este_Este	0° 37' 15,980" S	72° 22' 08,622" W	Priem <i>et al.</i> (1982)	223	Interpretada como edad de reseamiento isotópico relacionado al evento metamórfico regional de bajo grado (Nickeriense)
			Se obtuvo las coordenadas del punto a partir de la georreferenciación de la Figura 15	1165274	1161427	MAGNA_Colombia_Oeste	6° 05' 19,646" N	75° 37' 09,713" W	Ordóñez Carmona (2001)	207	Edad calculada en una isócrona para 12 muestras (9 de las Anfibolitas de Medellín, 1 de las Anfibolitas de Boquerón y 2 de las Anfibolitas de Caldas)
			Se obtuvo las coordenadas del punto a partir de la georreferenciación de la Figura 15	1165274	1161427	MAGNA_Colombia_Oeste	6° 05' 19,646" N	75° 37' 09,713" W	Ordóñez Carmona (2001)	207	Edad calculada en una isócrona para 12 muestras (9 de las Anfibolitas de Medellín, 1 de las Anfibolitas de Boquerón y 2 de las Anfibolitas de Caldas)
				1155699	1057533	MAGNA_Colombia_Este_Este	6° 00' 14,148" N	67° 33' 28,294" W	Geoestudios (2011) y Ochoa <i>et al.</i> (2013)	110, 203	Edad de fusión total
				1152928	1053727	MAGNA_Colombia_Este_Este	5° 58' 44,060" N	67° 35' 32,127" W	Geoestudios (2011) y Ochoa <i>et al.</i> (2013)	110, 203	Edad de fusión total
				1119819	1047554	MAGNA_Colombia_Este_Este	5° 40' 46,407" N	67° 38' 53,635" W	Geoestudios (2011) y Ochoa <i>et al.</i> (2013)	110, 203	Edad de isócrona normal
				1156534	1069620	MAGNA_Colombia_Este_Este	6° 00' 40,911" N	67° 26' 55,258" W	Geoestudios (2011) y Ochoa <i>et al.</i> (2013)	110, 203	Edad de isócrona normal
				1119819	1047554	MAGNA_Colombia_Este_Este	5° 40' 46,407" N	67° 38' 53,635" W	Geoestudios (2011) y Ochoa <i>et al.</i> (2013)	110, 203	Edad de isócrona inversa
				1156534	1069620	MAGNA_Colombia_Este_Este	6° 00' 40,911" N	67° 26' 55,258" W	Geoestudios (2011) y Ochoa <i>et al.</i> (2013)	110, 203	Edad de isócrona inversa
				1152928	1053727	MAGNA_Colombia_Este_Este	5° 58' 44,060" N	67° 35' 32,127" W	Geoestudios (2011) y Ochoa <i>et al.</i> (2013)	110, 203	Edad de fusión total
			Se obtuvo las coordenadas del punto a partir de la georreferenciación de la Figura 1	668430	1124121	MAGNA_Colombia_Este_Este	1° 35' 50,550" N	66° 57' 43,752" W	Priem <i>et al.</i> (1982)	223	Interpretada como edad de reseamiento isotópico relacionado al evento metamórfico regional de bajo grado (Nickeriense)
				1159421	1071225	MAGNA_Colombia_Este_Este	6° 02' 14,825" N	67° 26' 02,960" W	Geoestudios (2011) y Ochoa <i>et al.</i> (2013)	110, 203	Edad de isócrona inversa
				1159421	1071225	MAGNA_Colombia_Este_Este	6° 02' 14,825" N	67° 26' 02,960" W	Geoestudios (2011) y Ochoa <i>et al.</i> (2013)	110, 203	Edad de isócrona normal
				1156534	1069620	MAGNA_Colombia_Este_Este	6° 00' 40,911" N	67° 26' 55,258" W	Geoestudios (2011) y Ochoa <i>et al.</i> (2013)	110, 203	Edad de meseta
				1151583	1053906	MAGNA_Colombia_Este_Este	5° 58' 00,272" N	67° 35' 26,346" W	Geoestudios (2011) y Ochoa <i>et al.</i> (2013)	110, 203	Edad de meseta
		Localización tomada de Barrero & Vesga (1976) [25]		1057650	907582	MAGNA_Colombia_Bogotá	5° 07' 01,165" N	74° 54' 39,547" W	Barrero & Vesga (1976)	25	
				1152928	1053727	MAGNA_Colombia_Este_Este	5° 58' 44,060" N	67° 35' 32,127" W	Geoestudios (2011) y Ochoa <i>et al.</i> (2013)	110, 203	Edad de isócrona normal
				1152928	1053727	MAGNA_Colombia_Este_Este	5° 58' 44,060" N	67° 35' 32,127" W	Geoestudios (2011) y Ochoa <i>et al.</i> (2013)	110, 203	Edad de isócrona inversa
				1151583	1053906	MAGNA_Colombia_Este_Este	5° 58' 00,272" N	67° 35' 26,346" W	Geoestudios (2011) y Ochoa <i>et al.</i> (2013)	110, 203	Edad de isócrona inversa
				1159421	1071225	MAGNA_Colombia_Este_Este	6° 02' 14,825" N	67° 26' 02,960" W	Geoestudios (2011) y Ochoa <i>et al.</i> (2013)	110, 203	Edad de isócrona normal
				1159421	1071225	MAGNA_Colombia_Este_Este	6° 02' 14,825" N	67° 26' 02,960" W	Geoestudios (2011) y Ochoa <i>et al.</i> (2013)	110, 203	Edad de meseta
				1119819	1047554	MAGNA_Colombia_Este_Este	5° 40' 46,407" N	67° 38' 53,635" W	Geoestudios (2011) y Ochoa <i>et al.</i> (2013)	110, 203	Edad de meseta
				1151583	1053906	MAGNA_Colombia_Este_Este	5° 58' 00,272" N	67° 35' 26,346" W	Geoestudios (2011) y Ochoa <i>et al.</i> (2013)	110, 203	Edad de isócrona normal
				1152928	1053727	MAGNA_Colombia_Este_Este	5° 58' 44,060" N	67° 35' 32,127" W	Geoestudios (2011) y Ochoa <i>et al.</i> (2013)	110, 203	Edad de isócrona inversa
				1152928	1053727	MAGNA_Colombia_Este_Este	5° 58' 44,060" N	67° 35' 32,127" W	Geoestudios (2011) y Ochoa <i>et al.</i> (2013)	110, 203	Edad de isócrona normal

ID Datación Radiométrica	Código de la muestra	Unidad geológica	Litología	Edad años BP	Error años	Edad Ma	Error Ma	Edad grano simple menor detrítico	Edad grano simple mayor detrítico	Edad estratigráfica	Edades heredadas	Método de datación	Material analizado	Relación inicial	MSWD	P(X2) %
4126	IGM–5000813 (duplicado)	Granito de Parguaza				1366,2	± 9,2			Mesoproterozoico (MP)		Ar–Ar	Biotita		0,66	
4127	IGM–5000813	Granito de Parguaza				1366,9	± 9,3			Mesoproterozoico (MP)		Ar–Ar	Biotita		0,44	
4128	IGM–5000820	Granito de Parguaza				1367	± 12			Mesoproterozoico (MP)		Ar–Ar	Hornblenda		2,3	
4129	JJ411	Esquistos de Medellín				1368				Mesoproterozoico (MP)		Rb–Sr	Roca total	0,705		
4130	IGM–5000815	Granito de Parguaza				1368	± 33			Mesoproterozoico (MP)		Ar–Ar	Biotita		96	
4131	IGM–5000820	Granito de Parguaza				1368	± 14			Mesoproterozoico (MP)		Ar–Ar	Hornblenda		1,6	
4132	IGM–5000815	Granito de Parguaza				1368,95	± 10,61			Mesoproterozoico (MP)		Ar–Ar	Hornblenda			
4133	PRA 11	Complejo Migmatítico del Mitú	Granito gnéisico			1370				Mesoproterozoico (MP)		Rb–Sr	Moscovita y roca total			
4134	IGM–5000815	Granito de Parguaza				1371	± 8,7			Mesoproterozoico (MP)		Ar–Ar	Biotita		9,8	
4135	IGM–5000815	Granito de Parguaza				1375	± 12			Mesoproterozoico (MP)		Ar–Ar	Hornblenda		4,8	
4136	IGM–5000815	Granito de Parguaza				1376	± 14			Mesoproterozoico (MP)		Ar–Ar	Hornblenda		1,6	
4137	IGM–5000815	Granito de Parguaza				1378,3	± 4,2			Mesoproterozoico (MP)		Ar–Ar	Hornblenda			
4138	IGM–5000815	Granito de Parguaza				1379	± 24			Mesoproterozoico (MP)		Ar–Ar	Hornblenda		13	
4139	PRA 36	Complejo Migmatítico del Mitú	Granito biotítico			1382				Mesoproterozoico (MP)		K–Ar	Biotita			
4140	IGM–5000815	Granito de Parguaza				1383	± 8,9			Mesoproterozoico (MP)		Ar–Ar	Biotita		0,63	
4141	PRA 50	Complejo Migmatítico del Mitú	Gneis			1389				Mesoproterozoico (MP)		K–Ar	Moscovita			
4142	Col–21	Granito de Parguaza	Granito			1392	± 5			Mesoproterozoico (MP)		U–Pb LA–ICP–MS	Circón		0,29	
4143	PRA 12A	Complejo Migmatítico del Mitú	Granito gnéisico			1399				Mesoproterozoico (MP)		Rb–Sr	Moscovita y roca total			
4144	7268	Gneis de Dibulla	Gneis			1400				Mesoproterozoico (MP)		Rb–Sr	Roca total	0,703		
4145	7271	Gneis de Dibulla	Gneis			1400				Mesoproterozoico (MP)		Rb–Sr	Roca total	0,703		
4146	7275	Gneis de Dibulla	Gneis			1400				Mesoproterozoico (MP)		Rb–Sr	Roca total	0,703		
4147	7276	Gneis de Dibulla	Gneis			1400				Mesoproterozoico (MP)		Rb–Sr	Roca total	0,703		
4148	7277	Gneis de Dibulla	Gneis			1400				Mesoproterozoico (MP)		Rb–Sr	Roca total	0,703		
4149	Col–16	Granito de Parguaza	Granito			1401	± 2			Mesoproterozoico (MP)		U–Pb LA–ICP–MS	Circón		1,5	
4150	PRA 50	Complejo Migmatítico del Mitú	Gneis			1410				Mesoproterozoico (MP)		Rb–Sr	Moscovita y roca total			
4151	PRA 45	Complejo Migmatítico del Mitú	Gneis biotítico			1418				Mesoproterozoico (MP)		K–Ar	Biotita			

Dispersión %	Número de granos analizados	Número de alicuotas	Fuente georreferenciación	Coordenada X	Coordenada Y	Sistema de coordenadas	Latitud	Longitud	Referencia	ID referencia	Comentarios
				1152928	1053727	MAGNA_Colombia_Este_Este	5° 58' 44,060" N	67° 35' 32,127" W	Geoestudios (2011) y Ochoa <i>et al.</i> (2013)	110, 203	Edad de meseta
				1152928	1053727	MAGNA_Colombia_Este_Este	5° 58' 44,060" N	67° 35' 32,127" W	Geoestudios (2011) y Ochoa <i>et al.</i> (2013)	110, 203	Edad de meseta
				1159421	1071225	MAGNA_Colombia_Este_Este	6° 02' 14,825" N	67° 26' 02,960" W	Geoestudios (2011) y Ochoa <i>et al.</i> (2013)	110, 203	Edad de isócrona inversa
		Localización suministrada por el profesor Jorge Julián RESTREPO		1173046	844054	MAGNA_Colombia_Bogota	6° 09' 33,040" N	75° 29' 10,816" W	Restrepo <i>et al.</i> (1991)	239	Edad convencional
				1155699	1057533	MAGNA_Colombia_Este_Este	6° 00' 14,148" N	67° 33' 28,294" W	Geoestudios (2011) y Ochoa <i>et al.</i> (2013)	110, 203	Edad de isócrona inversa
				1159421	1071225	MAGNA_Colombia_Este_Este	6° 02' 14,825" N	67° 26' 02,960" W	Geoestudios (2011) y Ochoa <i>et al.</i> (2013)	110, 203	Edad de meseta
				1155699	1057533	MAGNA_Colombia_Este_Este	6° 00' 14,148" N	67° 33' 28,294" W	Geoestudios (2011) y Ochoa <i>et al.</i> (2013)	110, 203	Edad de fusión total
		Se obtuvo las coordenadas del punto a partir de la georreferenciación de la Figura 1		620688	1085600	MAGNA_Colombia_Este	1° 09' 56,927" N	70° 18' 30,291" W	Priem <i>et al.</i> (1982)	223	
				1155699	1057533	MAGNA_Colombia_Este_Este	6° 00' 14,148" N	67° 33' 28,294" W	Geoestudios (2011) y Ochoa <i>et al.</i> (2013)	110, 203	Edad integrada
				1155699	1057533	MAGNA_Colombia_Este_Este	6° 00' 14,148" N	67° 33' 28,294" W	Geoestudios (2011) y Ochoa <i>et al.</i> (2013)	110, 203	Edad de isócrona inversa
				1155699	1057533	MAGNA_Colombia_Este_Este	6° 00' 14,148" N	67° 33' 28,294" W	Geoestudios (2011) y Ochoa <i>et al.</i> (2013)	110, 203	Edad de meseta
				1155699	1057533	MAGNA_Colombia_Este_Este	6° 00' 14,148" N	67° 33' 28,294" W	Geoestudios (2011) y Ochoa <i>et al.</i> (2013)	110, 203	Edad integrada
				1155699	1057533	MAGNA_Colombia_Este_Este	6° 00' 14,148" N	67° 33' 28,294" W	Geoestudios (2011) y Ochoa <i>et al.</i> (2013)	110, 203	Edad de isócrona normal
		Se obtuvo las coordenadas del punto a partir de la georreferenciación de la Figura 1		935192	1041824	MAGNA_Colombia_Este_Este	4° 00' 36,171" N	67° 42' 03,174" W	Priem <i>et al.</i> (1982)	223	Interpretada como edad de reseamiento isotópico relacionado al evento metamórfico regional de bajo grado (Nickeriense)
				1155699	1057533	MAGNA_Colombia_Este_Este	6° 00' 14,148" N	67° 33' 28,294" W	Geoestudios (2011) y Ochoa <i>et al.</i> (2013)	110, 203	Edad de isócrona normal
		Se obtuvo las coordenadas del punto a partir de la georreferenciación de la Figura 1		423072	856221	MAGNA_Colombia_Este	0° 37' 15,980" S	72° 22' 08,622" W	Priem <i>et al.</i> (1982)	223	
				1059232	997222	MAGNA_Colombia_Este_Este	5° 07' 54,601" N	68° 06' 09,239" W	Bonilla <i>et al.</i> (2013)	49	Edad concordante interpretada como de cristalización ignea
		Se obtuvo las coordenadas del punto a partir de la georreferenciación de la Figura 1		620688	1085600	MAGNA_Colombia_Este	1° 09' 56,927" N	70° 18' 30,291" W	Priem <i>et al.</i> (1982)	223	
		Las coordenadas reportadas por los autores no coinciden con la localización de la datación en la Figura 2. Se obtuvo las coordenadas del punto a partir de la georreferenciación de esta figura		1730817	1093434	MAGNA_Colombia_Bogota	11° 12' 10,565" N	73° 13' 19,224" W	MacDonald & Hurley (1969)	165	Edad isócrona para 5 muestras (7268, 7271, 7275, 7276 y 7277)
		Las coordenadas reportadas por los autores no coinciden con la localización de la datación en la Figura 2. Se obtuvo las coordenadas del punto a partir de la georreferenciación de esta figura		1731605	1090431	MAGNA_Colombia_Bogota	11° 12' 36,489" N	73° 14' 58,142" W	MacDonald & Hurley (1969)	165	Edad isócrona para 5 muestras (7268, 7271, 7275, 7276 y 7277)
		Las coordenadas reportadas por los autores no coinciden con la localización de la datación en la Figura 2. Se obtuvo las coordenadas del punto a partir de la georreferenciación de esta figura		1732001	1091956	MAGNA_Colombia_Bogota	11° 12' 49,223" N	73° 14' 07,839" W	MacDonald & Hurley (1969)	165	Edad isócrona para 5 muestras (7268, 7271, 7275, 7276 y 7277)
		Las coordenadas reportadas por los autores no coinciden con la localización de la datación en la Figura 2. Se obtuvo las coordenadas del punto a partir de la georreferenciación de esta figura		1732001	1091956	MAGNA_Colombia_Bogota	11° 12' 49,223" N	73° 14' 07,839" W	MacDonald & Hurley (1969)	165	Edad isócrona para 5 muestras (7268, 7271, 7275, 7276 y 7277)
		Las coordenadas reportadas por los autores no coinciden con la localización de la datación en la Figura 2. Se obtuvo las coordenadas del punto a partir de la georreferenciación de esta figura		1732001	1091956	MAGNA_Colombia_Bogota	11° 12' 49,223" N	73° 14' 07,839" W	MacDonald & Hurley (1969)	165	Edad isócrona para 5 muestras (7268, 7271, 7275, 7276 y 7277)
				1099279	1044945	MAGNA_Colombia_Este	5° 29' 37,840" N	67° 40' 18,872" W	Bonilla <i>et al.</i> (2013)	49	Edad concordante interpretada como de cristalización ignea
		Se obtuvo las coordenadas del punto a partir de la georreferenciación de la Figura 1		423072	856221	MAGNA_Colombia_Este	0° 37' 15,980" S	72° 22' 08,622" W	Priem <i>et al.</i> (1982)	223	
		Se obtuvo las coordenadas del punto a partir de la georreferenciación de la Figura 1		564636	1155758	MAGNA_Colombia_Este	0° 39' 31,693" N	69° 40' 42,087" W	Priem <i>et al.</i> (1982)	223	

ID Datación Radiométrica	Código de la muestra	Unidad geológica	Litología	Edad años BP	Error años	Edad Ma	Error Ma	Edad grano simple menor detrítico	Edad grano simple mayor detrítico	Edad estratigráfica	Edades heredadas	Método de datación	Material analizado	Relación inicial	MSWD	P(X2) %
4152	PRA 41	Complejo Migmatítico del Mitú	Granito biotítico			1445				Mesoproterozoico (MP)		K–Ar	Biotita			
4153	PRA 45	Complejo Migmatítico del Mitú	Gneis biotítico			1447				Mesoproterozoico (MP)		K–Ar	Hornblenda			
4154	PRA 15–16	Complejo Migmatítico del Mitú	Gneis biotítico			1780–1450				Paleoproteozoico (PP)–Mesoproterozoico (MP)		Rb–Sr	Roca total			
4155	PRA 22	Complejo Migmatítico del Mitú	Gneis biotítico			1780–1450				Paleoproteozoico (PP)–Mesoproterozoico (MP)		Rb–Sr	Roca total			
4156	PRA 29	Complejo Migmatítico del Mitú	Gneis biotítico			1780–1450				Paleoproteozoico (PP)–Mesoproterozoico (MP)		Rb–Sr	Roca total			
4157	MACARENA-2	Gneis de La Macarena	Gneis milonítico felsíco			1461	± 10			Mesoproterozoico (MP)		U–Pb LA–MC–ICP–MS	Circón		0,37	
4158	PRA 21	Complejo Migmatítico del Mitú	Gneis biotítico			1480	± 100			Mesoproterozoico (MP)	1850 Ma	U–Pb	Circón		1,6	
4159	PRA 33–35	Complejo Migmatítico del Mitú	Granito			1485	± 35			Mesoproterozoico (MP)		Rb–Sr	Roca total	0,706 ± 0,002	1,6	
4160		Gneis de San Lucas				1501				Mesoproterozoico (MP)		U–Pb				
4161	AH–1419		Monzogranito			1530	± 21			Mesoproterozoico (MP)	ca. 2000–1600 Ma	U–Pb LA–MC–ICP–MS	Circón			
4162	JJ248	Gneis de Las Palmas	Gneis augen			1531				Mesoproterozoico (MP)		Rb–Sr	Roca total	0,705		
4163	PRA 4	Complejo Migmatítico del Mitú	Granito biotítico			1552	± 34			Mesoproterozoico (MP)		U–Pb	Circón		19	
4164	PRA 44–49	Complejo Migmatítico del Mitú	Gneis biotítico			1557	± 80			Mesoproterozoico (MP)		Rb–Sr	Roca total	0,706 ± 0,001	0,3	
4165	PRA 1–4	Complejo Migmatítico del Mitú	Granito biotítico			1561	± 90			Mesoproterozoico (MP)		Rb–Sr	Roca total	0,704 ± 0,008	1,1	
4166	AH–1216		Monzogranito			1574	± 10			Mesoproterozoico (MP)	ca. 2000–1600 Ma	U–Pb LA–MC–ICP–MS	Circón			
4167	PR–3092		Sienogranito			1578	± 27			Mesoproterozoico (MP)	ca. 2000–1600 Ma	U–Pb LA–MC–ICP–MS	Circón			
4168	CJR–19		Sienogranito			1593	± 6			Mesoproterozoico (MP)	ca. 2000–1600 Ma	U–Pb LA–MC–ICP–MS	Circón			
4169	CIA 5, 6, 8, 10, 13 y 15	Gneis de Guapotón	Gneis augen			1596	± 300			Mesoproterozoico (MP)		Rb–Sr	Roca total			
4170	AP–3	Gneis de Las Palmas	Gneis cuarzofeldespáttico			1600				Paleoproteozoico (PP)–Mesoproterozoico (MP)		Sm–Nd				
4171	2919	Grupo Ayurá–Montebello, Anfibolitas de Caldas	Anfibolita granatífera			1670	± 500			Paleoproteozoico (PP)		K–Ar	Hornblenda			
4172	J–263		Gneis sienogranítico con epidota			1732	± 17			Paleoproteozoico (PP)		U–Pb LA–MC–ICP–MS	Circón			
4173	PRA 31	Complejo Migmatítico del Mitú	Granito biotítico			1740				Paleoproteozoico (PP)		Rb–Sr	Roca total	0,706		
4174	PRA 36	Complejo Migmatítico del Mitú	Granito biotítico			1740				Paleoproteozoico (PP)		Rb–Sr	Roca total	0,706		
4175	PR–3215		Gneis sienogranítico con epidota			1756	± 8			Paleoproteozoico (PP)		U–Pb LA–MC–ICP–MS	Circón			
4176	B–22	Milonitas de El Vapor	Gneis milonítico			1757				Paleoproteozoico (PP)		Sm–Nd				
4177	AGR–2	Anfibolitas de Medellín	Anfibolita			1963	± 160			Paleoproteozoico (PP)		Sm–Nd	Granate			
4178	AP–3	Gneis de Las Palmas	Gneis cuarzofeldespáttico			2200				Paleoproteozoico (PP)		Pb–Pb	Circón			
4179	CH–ZS–MP–01 <sub>6</sub>	Formación Condoto				3698,4	± 21741,26			Arcaico (AR)		U–Th/He	Apatito			
4180	P24–86_85,7–M L–001	Formación La Florida				3907,65	± 1631,43			Arcaico (AR)		U–Th/He	Apatito			
4181	TG–023	Depósito cuaternario	Arenita					0,2 ± 0	1566,7 ± 12,5	Mesoproterozoico (MP)–Pleistoceno (Q1)		U–Pb LA–MC–ICP–MS	Circón detritico			
4182	NA0122041B		Arenas					51,2 ± 2,9	1958,1 ± 480,0	Paleoproteozoico (PP)–Eoceno (E2)		U–Pb LA–MC–ICP–MS	Circón detritico			

Dispersión %	Número de granos analizados	Número de aliquotas	Fuente georreferenciación	Coordenada X	Coordenada Y	Sistema de coordenadas	Latitud	Longitud	Referencia	ID referencia	Comentarios
			Se obtuvo las coordenadas del punto a partir de la georreferenciación de la Figura 1	378398	1146076	MAGNA_Colombia_Este	1° 01' 30,034" S	69° 45' 54,704" W	Priem <i>et al.</i> (1982)	223	
			Se obtuvo las coordenadas del punto a partir de la georreferenciación de la Figura 1	564636	1155758	MAGNA_Colombia_Este	0° 39' 31,693" N	69° 40' 42,087" W	Priem <i>et al.</i> (1982)	223	Interpretada como edad de enfriamiento al final del episodio Pargauza
			Se obtuvo las coordenadas del punto a partir de la georreferenciación de la Figura 1	707012	1109666	MAGNA_Colombia_Este_Este	1° 56' 46,693" N	67° 05' 20,936" W	Priem <i>et al.</i> (1982)	223	Edad calculada con 17 muestras (PRA 15A, 15A/Pe, 15B y 16 a la 29). Los puntos están limitados por dos líneas, la superior de 1780 Ma que podría indicar la edad del protolito y la inferior de 1450 Ma la edad del metamorfismo
			Se obtuvo las coordenadas del punto a partir de la georreferenciación de la Figura 1	738823	1096344	MAGNA_Colombia_Este_Este	2° 14' 02,480" N	67° 12' 41,095" W	Priem <i>et al.</i> (1982)	223	Edad calculada con 17 muestras (PRA 15A, 15A/Pe, 15B y 16 a la 29). Los puntos están limitados por dos líneas, la superior de 1780 Ma que podría indicar la edad del protolito y la inferior de 1450 Ma la edad del metamorfismo
			Se obtuvo las coordenadas del punto a partir de la georreferenciación de la Figura 1	701312	1113229	MAGNA_Colombia_Este_Este	1° 53' 41,107" N	67° 03' 35,491" W	Priem <i>et al.</i> (1982)	223	Edad calculada con 17 muestras (PRA 15A, 15A/Pe, 15B y 16 a la 29). Los puntos están limitados por dos líneas, la superior de 1780 Ma que podría indicar la edad del protolito y la inferior de 1450 Ma la edad del metamorfismo
19				826721	1023021	MAGNA_Colombia_Bogota	3° 01' 45,000" N	73° 52' 13,500" W	Ibáñez Mejía <i>et al.</i> (2011)	144	Edad concordia interpretada como de cristalización ignea para el protolito de las milonitas
			Se obtuvo las coordenadas del punto a partir de la georreferenciación de la Figura 1	761870	1086992	MAGNA_Colombia_Este_Este	2° 26' 32,942" N	67° 17' 43,320" W	Priem <i>et al.</i> (1982)	223	Interpretada como la edad de recristalización del circo durante el metamorfismo de la roca, se observa una edad de 1850 Ma en la fracción más gruesa interpretada como la edad mínima de circones antiguos
			Se obtuvo las coordenadas del punto a partir de la georreferenciación de la Figura 1	872549	1009284	MAGNA_Colombia_Este_Este	3° 26' 37,057" N	67° 59' 38,252" W	Priem <i>et al.</i> (1982)	223	Edad calculada en una isócrona con 6 muestras del río Inirida y del río Guaviare (PARA 30, 32, 33, 34, 35 y 37)
									Ordóñez Carmona <i>et al.</i> (2009)	213	Edad de cristalización ignea del protolito
				427705	1091309	MAGNA_Colombia_Este	0° 34' 45,500" S	70° 15' 26,100" W	Ibáñez Mejía <i>et al.</i> (2011)	144	Edad de concordia interpretada como de cristalización ignea
			Localización suministrada por el profesor Jorge Julián RESTREPO	1174139	837782	MAGNA_Colombia_Bogota	6° 10' 08,042" N	75° 32' 34,823" W	Restrepo <i>et al.</i> (1991)	239	Edad convencional
			Se obtuvo las coordenadas del punto a partir de la georreferenciación de la Figura 1	634312	1100427	MAGNA_Colombia_Este	1° 17' 20,261" N	70° 10' 30,595" W	Priem <i>et al.</i> (1982)	223	Edad de generación del magma y cristalización del circo y de la monacita
			Se obtuvo las coordenadas del punto a partir de la georreferenciación de la Figura 1	564636	1155758	MAGNA_Colombia_Este	0° 39' 31,693" N	69° 40' 42,087" W	Priem <i>et al.</i> (1982)	223	Edad calculada en una isócrona para siete muestras (PARA 44A, 44B y de la 45 a la 49)
			Se obtuvo las coordenadas del punto a partir de la georreferenciación de la Figura 1	634302	1100502	MAGNA_Colombia_Este	1° 17' 19,939" N	70° 10' 28,180" W	Priem <i>et al.</i> (1982)	223	Edad calculada en una isócrona para cuatro muestras
				601502	1130309	MAGNA_Colombia_Este	0° 59' 31,900" N	69° 54' 24,600" W	Ibáñez Mejía <i>et al.</i> (2011)	144	Edad de concordia interpretada como de cristalización ignea
				456503	1047509	MAGNA_Colombia_Este	0° 19' 08,100" S	70° 39' 02,600" W	Ibáñez Mejía <i>et al.</i> (2011)	144	Edad de concordia interpretada como de cristalización ignea
				379004	1147409	MAGNA_Colombia_Este	1° 01' 10,300" S	69° 45' 11,600" W	Ibáñez Mejía <i>et al.</i> (2011)	144	Edad de concordia interpretada como de cristalización ignea
			Se obtuvo las coordenadas del punto a partir de la georreferenciación de la Figura 2	719792	1154216	MAGNA_Colombia_Oeste	2° 03' 41,653" N	75° 41' 29,064" W	Priem <i>et al.</i> (1989)	224	Edad calculada en un ploteo de datos Rb-Sr para las seis muestras, aunque los datos son dispersos, la edad parece tener significado geológico
			Se obtuvo las coordenadas del punto a partir de la georreferenciación de la Figura 8	1171265	836527	MAGNA_Colombia_Bogota	6° 08' 34,412" N	75° 33' 15,375" W	Ordóñez Carmona (1997)	205	Edad media de tiempo de residencia cortical para los materiales del protolito
			Se obtuvo las coordenadas del punto a partir de la georreferenciación del «Mapa geológico regional»	1163332	1161183	MAGNA_Colombia_Oeste	6° 04' 16,440" N	75° 37' 17,836" W	Restrepo & Toussaint (1981c)	232	
				417404	887610	MAGNA_Colombia_Este	0° 40' 20,700" S	72° 05' 13,700" W	Ibáñez Mejía <i>et al.</i> (2011)	144	Edad de concordia interpretada como de cristalización ignea
			Se obtuvo las coordenadas del punto a partir de la georreferenciación de la Figura 1	913457	1012528	MAGNA_Colombia_Este_Este	3° 48' 48,853" N	67° 57' 52,983" W	Priem <i>et al.</i> (1982)	223	Edad calculada con dos muestras PRA 31 y PRA 36
			Se obtuvo las coordenadas del punto a partir de la georreferenciación de la Figura 1	935192	1041824	MAGNA_Colombia_Este_Este	4° 00' 36,171" N	67° 42' 03,174" W	Priem <i>et al.</i> (1982)	223	Edad calculada con dos muestras PRA 31 y PRA 36
				472603	865010	MAGNA_Colombia_Este	0° 10' 23,800" S	72° 17' 24,200" W	Ibáñez Mejía <i>et al.</i> (2011)	144	Edad de concordia interpretada como de cristalización ignea
			Se obtuvo las coordenadas del punto a partir de la georreferenciación de la Figura 6	1206417	945406	MAGNA_Colombia_Bogota	6° 27' 45,215" N	74° 34' 15,763" W	Ordóñez Carmona <i>et al.</i> (1999)	206	
			Se obtuvo las coordenadas del punto a partir de la georreferenciación de la Figura 15	1181318	843493	MAGNA_Colombia_Bogota	6° 14' 02,189" N	75° 29' 29,757" W	Ordóñez Carmona (2001)	207	El dato puede presentar modificaciones isotópicas por la asimilación de material de la corteza
			Se obtuvo las coordenadas del punto a partir de la georreferenciación de la Figura 8	1171265	836527	MAGNA_Colombia_Bogota	6° 08' 34,412" N	75° 33' 15,375" W	Ordóñez Carmona (1997)	205	Edad obtenida a partir de un concentrado de minerales pesados de una de las bandas concordantes con la foliación, esta edad puede corresponder a la edad del protolito
1	5		Se tomaron las coordenadas listadas en los anexos que se diferencian varios metros con respecto a las reportadas en el informe final	1044920	1048332	MAGNA_Colombia_Oeste	5° 00' 08,169" N	76° 38' 30,087" W	Agencia Nacional de Hidrocarburos & Universidad de Caldas (2011b)	4	Edad corregida, muestra de un núcleo de perforación del pozo Chocó-1 ST-P
1	2		Se tomaron las coordenadas listadas en los anexos que se diferencian varios metros con respecto a las reportadas en el informe final	1386955	912064	MAGNA_Colombia_Bogota	8° 05' 40,142" N	74° 52' 31,158" W	Agencia Nacional de Hidrocarburos & Universidad de Caldas (2011b)	4	Edad corregida, muestra de un núcleo de perforación del pozo P24 a 86 m desde la base del pozo
101				720541	1161874	MAGNA_Colombia_Oeste_Oeste	2° 04' 05,814" N	78° 37' 21,320" W	Agencia Nacional de Hidrocarburos & Universidad de Caldas (2011a)	3	
110									Nie <i>et al.</i> (2012)	199	Se presenta un pico mayor de edad a 84 y picos menores a 255–200 y 160–145 Ma. Los autores publican un mapa con la localización de la muestra a una escala muy pequeña, lo que hace difícil obtener las coordenadas. Muestra tomada en sedimentos del río Nare

ID Datación Radiométrica	Código de la muestra	Unidad geológica	Litología	Edad años BP	Error años	Edad Ma	Error Ma	Edad grano simple menor detrítico	Edad grano simple mayor detrítico	Edad estratigráfica	Edades heredadas	Método de datación	Material analizado	Relación inicial	MSWD	P(X2) %
4183	CRA 060909		Arenas del río Cravo Sur					54,4 ± 1,8	2733,6 ± 23,1	Arcaico (AR)-Eoceno (E2)		U-Pb LA-MC-ICP-MS	Circón detritico			
4184	NE012109		Arenas					68,0 ± 84,8	2675,4 ± 20,8	Arcaico (AR)-Maastrichtiano (k6)		U-Pb LA-MC-ICP-MS	Circón detritico			
4185	CUS 061409		Arenas del río Cusiana					160,6 ± 7,3	2728 ± 10,2	Arcaico (AR)-Jurásico Tardío (J3)		U-Pb LA-MC-ICP-MS	Circón detritico			
4186	RM0301091		Arenas					165,2 ± 7,7	1536,8 ± 26,6	Mesoproterozoico (MP)-Jurásico Medio (J2)		U-Pb LA-MC-ICP-MS	Circón detritico			
4187	SD011809		Arenas					167,3 ± 31,5	768,4 ± 38,6	Neoproterozoico (NP)-Jurásico Medio (J2)		U-Pb LA-MC-ICP-MS	Circón detritico			
4188	RV30109		Arenas					205,0 ± 6,0	1819,5 ± 14,4	Paleoproterozoico (PP)-Triásico Tardío (T3)		U-Pb LA-MC-ICP-MS	Circón detritico			
4189	MB-14		Arenita					0,1 ± 0	2709,8 ± 11,5	Arcaico (AR)-Pleistoceno (Q1)		U-Pb LA-MC-ICP-MS	Circón detritico			
4190	MB-19		Arenita					0,1 ± 0,1	2815,7 ± 6,7	Arcaico (AR)-Pleistoceno (Q1)		U-Pb LA-MC-ICP-MS	Circón detritico			
4191	MB-11		Arenita		1,34	+ 0,06/- 0,04	1,1 ± 0	1879,2 ± 7,5	Paleoproterozoico (PP)-Pleistoceno (Q1)		U-Pb LA-MC-ICP-MS	Circón detritico				
4192	08TAU02	Formación Guayabo, Miembro Cometa	Arenita					89,5 ± 1,6	2074,6 ± 20,5	Paleoproterozoico (PP)-Coniaciano (k3)		U-Pb LA-MC-ICP-MS	Circón detritico			
4193	MP295	Formación Guayabo	Arenita					480,6 ± 8,2	2788,8 ± 10,2	Arcaico (AR)-Ordovícico (O)		U-Pb LA-MC-ICP-MS	Circón detritico			
4194	08TAU01	Formación Guayabo, Miembro Cometa	Arenita					587,4 ± 6,3	2097,2 ± 6,2	Paleoproterozoico (PP)-Neoproterozoico (NP)		U-Pb LA-MC-ICP-MS	Circón detritico			
4195	08YEM05	Formación Guayabo	Arenita					61,2 ± 0,7	2440,4 ± 46,4	Paleoproterozoico (PP)-Paleoceno (E1)		U-Pb LA-MC-ICP-MS	Circón detritico			
4196	08YEM07	Formación Guayabo	Arenita					86,3 ± 1,3	2109,5 ± 30,0	Paleoproterozoico (PP)-Coniaciano (k3)		U-Pb LA-MC-ICP-MS	Circón detritico			
4197	P22-118,07-118,25-ML-003	Formaciones Sincelaje-El Cerrito	Arenita					64,4 ± 1,5	2618,3 ± 12,4	Arcaico (AR)-Paleoceno (E1)		U-Pb LA-MC-ICP-MS	Circón detritico			
4198	TGM-01	Formación Mercaderes						0,2 ± 0	1450,1 ± 23,6	Mesoproterozoico (MP)-Pleistoceno (Q1)		U-Pb LA-MC-ICP-MS	Circón detritico			
4199	TGM-02	Formación Mercaderes						0,5 ± 0	2413,5 ± 78,2	Paleoproterozoico (PP)-Pleistoceno (Q1)		U-Pb LA-MC-ICP-MS	Circón detritico			
4200	Cauca 10-MP-005	Formación Monteloro	Arenita					12,3 ± 0,5	2780,3 ± 9,4	Arcaico (AR)-Mioceno (N1)		U-Pb LA-MC-ICP-MS	Circón detritico			
4201	Cauca 10-MP-004	Formación Monteloro	Arenita					12,9 ± 2,1	1546 ± 15,4	Mesoproterozoico (MP)-Mioceno (N1)		U-Pb LA-MC-ICP-MS	Circón detritico			
4202	Cauca 10-MP-002	Formación Monteloro	Arenita					19,5 ± 2,2	2836,2 ± 10,2	Arcaico (AR)-Mioceno (N1)		U-Pb LA-MC-ICP-MS	Circón detritico			
4203	Tumaco1-MP-006	Formación Cascajal						4,1 ± 0,3	2678,4 ± 13,3	Arcaico (AR)-Plioceno (N2)		U-Pb LA-MC-ICP-MS	Circón detritico			
4204	T04 G2-046	Formación Cascajal	Arenita					4,8 ± 0,3	2082,8 ± 11,6	Paleoproterozoico (PP)-Plioceno (N2)		U-Pb LA-MC-ICP-MS	Circón detritico			
4205	T03 G2-035	Formación Cascajal	Arenita					6,1 ± 0,4	2423,7 ± 17,4	Paleoproterozoico (PP)-Mioceno (N1)		U-Pb LA-MC-ICP-MS	Circón detritico			
4206	Tumaco1-190,08	Formación Cascajal			6,6	-0,28				Mioceno (N1)		U-Pb LA-MC-ICP-MS	Circón detritico		1,3	
4207	T06G1-063	Formación Cascajal	Arenita					7 ± 0,3	795,8 ± 29,1	Neoproterozoico (NP)-Mioceno (N1)		U-Pb LA-MC-ICP-MS	Circón detritico			

Dispersión %	Número de granos analizados	Número de alicuotas	Fuente georreferenciación	Coordenada X	Coordenada Y	Sistema de coordenadas	Latitud	Longitud	Referencia	ID referencia	Comentarios
	71			1084733	852964	MAGNA_Colombia_Este	5° 21' 39,600" N	72° 24' 14,400" W	Bande <i>et al.</i> (2012)	22	Dominio de picos a 1100–900, presenta picos del Mesoproterozoico a 1600–1500 y 1250–1150 Ma. El dominio de picos a 1100–900 Ma muestra una continua exhumación de granos grenvilienses derivados de estratos cretácicos y más antiguos en la cordillera Oriental.
	103								Nie <i>et al.</i> (2012)	199	Dominio de edades a 120–75 con un pico a 90 Ma. Representan subpopulaciones significativas las edades de 510, 450, 410 y 320–230 Ma (definidas por tres o más granos). Los autores publican un mapa con la localización de la muestra a una escala muy pequeña, lo que hace difícil obtener las coordenadas. Sedimentos del río Nechi
	84			1044941	1160654	MAGNA_Colombia_Bogota	5° 00' 03,600" N	72° 37' 44,400" W	Bande <i>et al.</i> (2012)	22	Dominio de picos a 900–1100 y del Mesoproterozoico a 1500–1600 y 1150–1250 Ma. El dominio de picos a 1100–900 Ma muestra una continua exhumación de granos grenvilienses derivados de estratos cretácicos y más antiguos en la cordillera Oriental.
	82								Nie <i>et al.</i> (2012)	199	Picos de edad en círculos detriticos a 500–300 y 240–150 Ma. Los autores publican un mapa con la localización de la muestra a una escala muy pequeña lo que hace difícil obtener las coordenadas. Muestra tomada en sedimentos del río Mance, macizo de Santander
	118								Nie <i>et al.</i> (2012)	199	Se presentan picos a 500–400 y 350–180 Ma. Los autores publican un mapa con la localización de la muestra a una escala muy pequeña lo que hace difícil obtener las coordenadas. Muestra tomada en sedimentos del río Santo Domingo
	101								Nie <i>et al.</i> (2012)	199	Se presentan poblaciones a 1100–1050, 700–450 y 350–200 Ma. Los autores publican un mapa con la localización de la muestra a una escala muy pequeña lo que hace difícil obtener las coordenadas. Muestra tomada en sedimentos del río Umbalá, macizo de Santander
	100			661234	1150750	MAGNA_Colombia_Oeste_Oeste	1° 31' 55,820" N	78° 43' 22,589" W	Agencia Nacional de Hidrocarburos & Universidad de Caldas (2011a)	3	Se presentan picos de edad a 127, 74 y 21 Ma. Edad máxima de deposición de 1,2 a 2 Ma para el abanico volcanoclastico reciente. Depósito volcanoclastico de cono distal
	100			693160	1146889	MAGNA_Colombia_Oeste_Oeste	1° 49' 15,028" N	78° 45' 26,779" W	Agencia Nacional de Hidrocarburos & Universidad de Caldas (2011a)	3	Se presentan picos de edad a 127; 40; 25,5 y 7,5 Ma. Edad máxima de deposición de 1,2 a 2 Ma para el abanico volcanoclastico reciente. Edad de cristalización de círculos detriticos de 23,88 + 0,26–0,24 Ma (n = 96). Depósito volcanoclastico de cono distal
	53			647632	1161333	MAGNA_Colombia_Oeste_Oeste	1° 24' 32,877" N	78° 37' 40,611" W	Agencia Nacional de Hidrocarburos & Universidad de Caldas (2011a)	3	Edad máxima de deposición de 1,2 a 2 Ma para el abanico volcanoclastico reciente. Depósito volcanoclastico de cono distal
	84		Se obtuvo las coordenadas del punto de la Tabla DR1 (datos suplementarios)	1045036	1142235	MAGNA_Colombia_Bogota	5° 00' 07,956" N	72° 47' 42,144" W	Horton <i>et al.</i> (2010a)	140	Se presentan picos de edad a 1850–1300 y 1050–950 Ma. Presenta limitadas edades fanerozoicas, y pocas edades jurásicas a paleógenas
	113		Se obtuvo las coordenadas del punto de la Tabla DR1 (datos suplementarios)	1021805	1099835	MAGNA_Colombia_Bogota	4° 47' 34,044" N	73° 10' 39,324" W	Horton <i>et al.</i> (2010a)	140	Se presentan picos de edad a 1850–1300 y 1050–950 Ma. Presenta limitadas edades fanerozoicas, y pocas edades jurásicas a paleógenas
	104		Se obtuvo las coordenadas del punto de la Tabla DR1 (datos suplementarios)	1040959	1139075	MAGNA_Colombia_Bogota	4° 57' 55,440" N	72° 49' 24,960" W	Horton <i>et al.</i> (2010a)	140	Se presentan picos de edad a 1850–1300 y 1050–950 Ma. Presenta pocas edades jurásicas a paleógenas. También publicada en Bande <i>et al.</i> (2012) [22]
	109		Se obtuvo las coordenadas del punto de la Tabla DR1 (datos suplementarios)	1090125	849423	MAGNA_Colombia_Este	5° 24' 34,848" N	72° 26' 09,780" W	Horton <i>et al.</i> (2010a)	140	Se presentan picos de edad a 1850–1300 y 1050–950 Ma; y limitadas edades fanerozoicas y pocas edades jurásicas a paleógenas. La reaparición de picos del Mesozoico-Cenozoico sugiere la erosión de una nueva fuente Andina, atribuida al avance hacia el este del frente de deformación que activó una nueva falla frontal (Falla de Guacáramo) provocando erosión de la sección Mioceno inferior-Oligoceno (Formación Carbonera) y/o la sección paleoceano-eocena del oeste del Sinclinal de Nunchía (formaciones Barco, Los Cuervos, Socha, Picachao y Concentración). También publicada en Bande <i>et al.</i> (2012) [22]
	67		Se obtuvo las coordenadas del punto de la Tabla DR1 (datos suplementarios)	1087940	851346	MAGNA_Colombia_Este	5° 23' 23,856" N	72° 25' 07,176" W	Horton <i>et al.</i> (2010a)	140	Se presentan picos de edad a 1050–950 y 1850–1300 Ma. Presenta limitadas edades fanerozoicas, y pocas edades jurásicas a paleógenas
	100		Se tomaron las coordenadas listadas en los anexos que se diferencian varios metros con respecto a las reportadas en el informe final	1426815	856543	MAGNA_Colombia_Bogota	8° 27' 12,608" N	75° 22' 48,564" W	Agencia Nacional de Hidrocarburos & Universidad de Caldas (2011b)	4	Se presentan picos de edad a 236,6 y 77 Ma, con una población menor a 1172,6 Ma. La muestra es de un núcleo de perforación a 118,07 m de la base del pozo 22
	104								Agencia Nacional de Hidrocarburos & Universidad de Caldas (2011b)	4	
	98								Agencia Nacional de Hidrocarburos & Universidad de Caldas (2011b)	4	
	101		Se tomaron las coordenadas listadas en los anexos que se diferencian varios metros con respecto a las reportadas en el informe final	938925	1103793	MAGNA_Colombia_Oeste	4° 02' 36,057" N	76° 08' 34,263" W	Agencia Nacional de Hidrocarburos & Universidad de Caldas (2011b)	4	Se presentan picos de edad a 1092, 82,5 y 40,2 Ma. La muestra es de un núcleo de perforación del pozo Cauca-10
	98		Se tomaron las coordenadas listadas en los anexos que se diferencian varios metros con respecto a las reportadas en el informe final	938925	1103793	MAGNA_Colombia_Oeste	4° 02' 36,057" N	76° 08' 34,263" W	Agencia Nacional de Hidrocarburos & Universidad de Caldas (2011b)	4	Se presentan picos a 1000; 83,2; 43 y 21,6 Ma. La muestra es de un núcleo de perforación del pozo Cauca-10
	48		Se tomaron las coordenadas listadas en los anexos que se diferencian varios metros con respecto a las reportadas en el informe final	938925	1103793	MAGNA_Colombia_Oeste	4° 02' 36,057" N	76° 08' 34,263" W	Agencia Nacional de Hidrocarburos & Universidad de Caldas (2011b)	4	Se presentan picos de edad a 571, 81 y 21 Ma. La muestra es de un núcleo de perforación del pozo Cauca-10
	137		Se tomaron las coordenadas listadas en los anexos que se diferencian varios metros con respecto a las reportadas en el informe final	662801	1154994	MAGNA_Colombia_Oeste_Oeste	1° 32' 46,721" N	78° 41' 05,305" W	Agencia Nacional de Hidrocarburos & Universidad de Caldas (2011b)	4	Se presentan picos de edad a 40, 23 y 4,2 Ma; con poblaciones cretácicas (88,2–85,8 Ma). La muestra es de un núcleo de perforación del pozo Tumaco-1
	97			694243	1149874	MAGNA_Colombia_Oeste_Oeste	1° 49' 50,195" N	78° 43' 50,194" W	Agencia Nacional de Hidrocarburos & Universidad de Caldas (2011a)	3	Se presentan picos de edad a 69,3; 24,2 y 5,5 Ma con poblaciones menores a ca. 69,3 y 24,2 Ma. Los resultados indican máximos de deposición del Mioceno tardío
	100			704586	1164604	MAGNA_Colombia_Oeste_Oeste	1° 55' 26,460" N	78° 35' 53,445" W	Agencia Nacional de Hidrocarburos & Universidad de Caldas (2011a)	3	
	42		Se tomaron las coordenadas listadas en los anexos que se diferencian varios metros con respecto a las reportadas en el informe final	662801	1154994	MAGNA_Colombia_Oeste_Oeste	1° 32' 46,721" N	78° 41' 05,305" W	Agencia Nacional de Hidrocarburos & Universidad de Caldas (2011b)	4	La edad del intercepto de 6,6–0,28 Ma (MSWD = 1) está marcando un máximo deposicional para el pozo, la muestra es de un núcleo de perforación a 465,68 m de la base del pozo Tumaco 1-ST-S
	75			711733	1156607	MAGNA_Colombia_Oeste_Oeste	1° 59' 19,288" N	78° 40' 11,956" W	Agencia Nacional de Hidrocarburos & Universidad de Caldas (2011a)	3	Se presentan picos de edad a 14 y 11,3 Ma con poblaciones menores ca. 69,3 y 24,2 Ma. Los resultados indican máximos de deposición del Mioceno tardío

ID Datación Radiométrica	Código de la muestra	Unidad geológica	Litología	Edad años BP	Error años	Edad Ma	Error Ma	Edad grano simple menor detrítico	Edad grano simple mayor detrítico	Edad estratigráfica	Edades heredadas	Método de datación	Material analizado	Relación inicial	MSWD	P(X2) %
4208	EB-ER-083+EB-RR-084	Formación Esmita						21,1 ± 2,3	2072,5 ± 16,5	Paleoproterozoico (PP)-Mioceno (N1)		U-Pb LA-MC-ICP-MS	Circón detritico			
4209	Patia 27-MP-002	Formación Esmita, Miembro conglomerático	Arenita					21,3 ± 1,5	2661,6 ± 17,5	Arcaico (AR)-Mioceno (N1)		U-Pb LA-MC-ICP-MS	Circón detritico			
4210	EB-RR-139+E-B-ER-138	Formación Esmita						23 ± 2,1	2502,9 ± 70,9	Arcaico (AR)-Mioceno (N1)		U-Pb LA-MC-ICP-MS	Circón detritico			
4211	EB-ER-027+EB-ER-026	Formación Esmita						70,1 ± 1,4	2987 ± 10,6	Arcaico (AR)-Maastrichtiano (k6)		U-Pb LA-MC-ICP-MS	Circón detritico			
4212	P20-42,3-42,6-ML-001	Formación Sincelejo	Arenita					4,5 ± 0,1	2125 ± 14,2	Paleoproterozoico (PP)-Plioceno (N2)		U-Pb LA-MC-ICP-MS	Circón detritico			
4213	P19-241,71-242,01-ML-003	Formación Sincelejo	Arenita					11,3 ± 0,3	2585,2 ± 17,1	Arcaico (AR)-Mioceno (N1)		U-Pb LA-MC-ICP-MS	Circón detritico			
4214	P21-201,77-201,47-ML-002	Formación Sincelejo	Arenita					20,3 ± 0,4	1997,2 ± 10	Paleoproterozoico (PP)-Mioceno (N1)		U-Pb LA-MC-ICP-MS	Circón detritico			
4215	P20-315,16-314,85-ML-004	Formación Sincelejo	Arenita					21,7 ± 0,6	2726 ± 14	Arcaico (AR)-Mioceno (N1)		U-Pb LA-MC-ICP-MS	Circón detritico			
4216	P24-237,69-237,39-ML-003	Formación La Florida	Arenita					9,4 ± 0,3	2381,6 ± 31,4	Paleoproterozoico (PP)-Mioceno (N1)		U-Pb LA-MC-ICP-MS	Circón detritico			
4217	P24-86-85,7-M-L-001	Formación La Florida	Arenita					73,9 ± 1,6	1820,5 ± 11,5	Paleoproterozoico (PP)-Campaniano (k5)		U-Pb LA-MC-ICP-MS	Circón detritico			
4218	P28-29,21-29,5-1-ML-005	Formación Moñitos	Arenita					10,4 ± 0,4	2466 ± 14,2	Paleoproterozoico (PP)-Campaniano (k5)		U-Pb LA-MC-ICP-MS	Circón detritico			
4219	P28-465,68-465,37-ML-004	Formación Moñitos	Arenita					10,6 ± 0,7	2791,3 ± 9,9	Arcaico (AR)-Mioceno (N1)		U-Pb LA-MC-ICP-MS	Circón detritico			
4220	M1-MP-001	Formación San Agustín	Arenita					0,2 ± 0,4	2642,5 ± 14,1	Arcaico (AR)-Pleistoceno (Q1)		U-Pb LA-MC-ICP-MS	Circón detritico			
4221	RG-MP-001	Formación San Agustín	Arenita					7,4 ± 0,4	1529,1 ± 15	Mesoproterozoico (MP)-Mioceno (N1)		U-Pb LA-MC-ICP-MS	Circón detritico			
4222	RG-MP-004	Formación San Agustín	Arenita					9,4 ± 0,7	1495,3 ± 11,5	Mesoproterozoico (MP)-Mioceno (N1)		U-Pb LA-MC-ICP-MS	Circón detritico			
4223	M1-MP-002	Formación Chagüí	Arenita					6,0 ± 0,4	570,2 ± 9,6	Neoproterozoico (NP)-Mioceno (N1)		U-Pb LA-MC-ICP-MS	Circón detritico			
4224	M1-MP-003	Formación Chagüí	Arenita					7,4 ± 0,9	44,8 ± 1,3	Eoceno (E2)-Mioceno (N1)		U-Pb LA-MC-ICP-MS	Circón detritico			
4225	M1-MP-009	Formación Angostura	Arenita					7,9 ± 2,9	695,9 ± 14,1	Neoproterozoico (NP)-Mioceno (N1)		U-Pb LA-MC-ICP-MS	Circón detritico			
4226	FM-GALEON	Formación Galeón	Arenita					12 ± 0,7	2015,4 ± 13,9	Paleoproterozoico (PP)-Mioceno (N1)		U-Pb LA-MC-ICP-MS	Circón detritico			
4227	Negritos							24,2 ± 1,4	1987,9 ± 11,6	Paleoproterozoico (PP)-Oligoceno (E3)		U-Pb LA-MC-ICP-MS	Circón detritico			
4228	Patia 3-Ra-003	Formación Galeón										U-Pb LA-MC-ICP-MS	Circón detritico			
4229	LC08035	Formación Real	Arenita					23,2 ± 1,2	3150,7 ± 0,4	Arcaico (AR)-Oligoceno (E3)		U-Pb LA-MC-ICP-MS	Circón detritico			
4230	CAG1-5	Formación Real	Arenita					207,7 ± 3,1	2111,3 ± 13,9	Paleoproterozoico (PP)-Triásico Tardío (T3)		U-Pb LA-MC-ICP-MS	Circón detritico			
4231	U08028	Formación Real	Arenita					232,7 ± 9,2	2989 ± 388	Arcaico (AR)-Triásico Tardío (T3)		U-Pb LA-MC-ICP-MS	Circón detritico			
4232	CH-ZS-MP-006	Formación Condoto	Arenita					8,2 ± 0,7	3854,6 ± 240,2	Arcaico (AR)-Mioceno (N1)		U-Pb LA-MC-ICP-MS	Circón detritico			

Dispersión %	Número de gramos analizados	Número de aliquotas	Fuente georreferenciación	Coordenada X	Coordenada Y	Sistema de coordenadas	Latitud	Longitud	Referencia	ID referencia	Comentarios
	102		Se tomaron las coordenadas listadas en los anexos que se diferencian varios metros con respecto a las reportadas en el informe final	1008759	1035551	MAGNA_Colombia_Oeste	4° 40' 31,206" N	76° 45' 25,540" W	Agencia Nacional de Hidrocarburos & Universidad de Caldas (2011b)	4	Muestra de superficie tomada en El Bordo, departamento de Cauca
	104		Se tomaron las coordenadas listadas en los anexos que se diferencian varios metros con respecto a las reportadas en el informe final	686668	990810	MAGNA_Colombia_Oeste	1° 45' 45,408" N	77° 09' 36,370" W	Agencia Nacional de Hidrocarburos & Universidad de Caldas (2011b)	4	Se presentan picos de edad a 1751, 1003, 596, 287 y 84 Ma. La muestra es del núcleo de perforación del pozo Patía-27
	105		Se tomaron las coordenadas listadas en los anexos que se diferencian varios metros con respecto a las reportadas en el informe final	1008759	1035551	MAGNA_Colombia_Oeste	4° 40' 31,206" N	76° 45' 25,540" W	Agencia Nacional de Hidrocarburos & Universidad de Caldas (2011b)	4	Muestra de superficie tomada en El Bordo, departamento de Cauca
	105		Se tomaron las coordenadas listadas en los anexos que se diferencian varios metros con respecto a las reportadas en el informe final	1008759	1035551	MAGNA_Colombia_Oeste	4° 40' 31,206" N	76° 45' 25,540" W	Agencia Nacional de Hidrocarburos & Universidad de Caldas (2011b)	4	Muestra de superficie tomada en El Bordo, departamento de Cauca
	100		Se tomaron las coordenadas listadas en los anexos que se diferencian varios metros con respecto a las reportadas en el informe final	1431308	848872	MAGNA_Colombia_Bogota	8° 29' 37,957" N	75° 26' 59,795" W	Agencia Nacional de Hidrocarburos & Universidad de Caldas (2011b)	4	Se presentan picos de edad a 237,6 y 74,8 Ma. La población de 4,4 Ma indica un máximo de deposición que puede asociarse a un vulcanismo contemporáneo con la deposición. La muestra es de un núcleo de perforación a 42,3 m de la base del pozo 20
	100		Se tomaron las coordenadas listadas en los anexos que se diferencian varios metros con respecto a las reportadas en el informe final	1434849	845761	MAGNA_Colombia_Bogota	8° 31' 32,820" N	75° 28' 41,900" W	Agencia Nacional de Hidrocarburos & Universidad de Caldas (2011b)	4	Se presentan picos de edad a 225,4; 148,4; 77 y 11,2 Ma. La población de ca. 11 Ma estaría indicando un máximo de deposición que podría corresponder con vulcanismo posiblemente contemporáneo con la deposición, la muestra es de un núcleo de perforación a 241,71 m de la base del pozo 19. Se interpretan aportes de las cordilleras Central y Occidental
	80		Se tomaron las coordenadas listadas en los anexos que se diferencian varios metros con respecto a las reportadas en el informe final	1428016	854985	MAGNA_Colombia_Bogota	8° 27' 51,520" N	75° 23' 39,617" W	Agencia Nacional de Hidrocarburos & Universidad de Caldas (2011b)	4	Se presentan picos de edad a 238,7; 155,1 y 78,1 Ma, con una población eocena de 38,6 Ma. La muestra es de un núcleo de perforación a 201,77 m de la base del pozo 21. Se interpretan aportes de las cordilleras Central y Occidental
	22		Se tomaron las coordenadas listadas en los anexos que se diferencian varios metros con respecto a las reportadas en el informe final	1431308	848872	MAGNA_Colombia_Bogota	8° 29' 37,957" N	75° 26' 59,795" W	Agencia Nacional de Hidrocarburos & Universidad de Caldas (2011b)	4	Se presentan picos de edad a 281,4 y 91 Ma. La muestra es de un núcleo de perforación a 9,6 m de la base del pozo 18
	100		Se tomaron las coordenadas listadas en los anexos que se diferencian varios metros con respecto a las reportadas en el informe final	1386955	912064	MAGNA_Colombia_Bogota	8° 05' 40,142" N	74° 52' 31,158" W	Agencia Nacional de Hidrocarburos & Universidad de Caldas (2011b)	4	Se presentan picos de edad a 1248; 1164,8; 921,7; 261,3 y 39 Ma. La muestra es de un núcleo de perforación a 237,69 m de la base del pozo 24. Se propone un área de aporte relacionada con el sector norte de las cordilleras Central y Occidental
	100		Se tomaron las coordenadas listadas en los anexos que se diferencian varios metros con respecto a las reportadas en el informe final	1386955	912064	MAGNA_Colombia_Bogota	8° 05' 40,142" N	74° 52' 31,158" W	Agencia Nacional de Hidrocarburos & Universidad de Caldas (2011b)	4	Se presentan picos de edad a 243 y 78 Ma. La muestra es de un núcleo de perforación a 86 m de la base del pozo 24, se propone un área de aporte relacionada con el sector norte de las cordilleras Central y Occidental
	102		Se tomaron las coordenadas listadas en los anexos que se diferencian varios metros con respecto a las reportadas en el informe final	1483589	1110651	MAGNA_Colombia_Oeste	8° 58' 03,481" N	76° 04' 16,838" W	Agencia Nacional de Hidrocarburos & Universidad de Caldas (2011b)	4	Se presentan picos de edad a 232,7, 71,5 y 11,7 Ma. La población de círculos de 11,7 Ma estaría marcando un máximo deposicional y la posibilidad de vulcanismo contemporáneo con la deposición, la muestra es de un núcleo de perforación a 29,21 m de la base del pozo 28. La edad de los círculos indican una derivación de los sedimentos de fuentes de la cordillera Occidental, incluyendo sus coberturas sedimentarias y un vulcanismo relativamente contemporáneo a la sedimentación
	100		Se tomaron las coordenadas listadas en los anexos que se diferencian varios metros con respecto a las reportadas en el informe final	1483589	1110651	MAGNA_Colombia_Oeste	8° 58' 03,481" N	76° 04' 16,838" W	Agencia Nacional de Hidrocarburos & Universidad de Caldas (2011b)	4	Se presentan picos de edad a 231, 73,5 y 12 Ma. La población de círculos de 11,7 Ma estaría marcando un máximo deposicional y la posibilidad de vulcanismo contemporáneo con la deposición, la muestra es de un núcleo de perforación a 465,68 m de la base del pozo 28. La edad de los círculos indican una derivación de los sedimentos de fuentes de la cordillera Occidental, incluyendo sus coberturas sedimentarias y un vulcanismo relativamente contemporáneo a la sedimentación
	143			688492	847272	MAGNA_Colombia_Oeste	1° 46' 42,940" N	78° 27' 00,036" W	Agencia Nacional de Hidrocarburos & Universidad de Caldas (2011a)	3	Se presentan picos de edad a 75,6; 25,2; 18,2 y 8,4 Ma. Edad máxima de deposición de 8,4 Ma y probablemente menor de 6,4 Ma. Muestra de ripios recuperados del pozo Majagua-1
	17			739533	839861	MAGNA_Colombia_Oeste	2° 14' 23,962" N	78° 31' 01,200" W	Agencia Nacional de Hidrocarburos & Universidad de Caldas (2011a)	3	Se presentan picos de edad a ca. 23, 12 y 7,4 Ma. Edad máxima de deposición de ca. 7,4 Ma, muestra de ripios recuperados del pozo Remolino grande-1
	73			739533	839861	MAGNA_Colombia_Oeste	2° 14' 23,962" N	78° 31' 01,200" W	Agencia Nacional de Hidrocarburos & Universidad de Caldas (2011a)	3	Se presentan picos de edad a 23,2 y 12 Ma. Muestra de ripios recuperados del pozo Remolino grande-1
	97			688492	847272	MAGNA_Colombia_Oeste	1° 46' 42,940" N	78° 27' 00,036" W	Agencia Nacional de Hidrocarburos & Universidad de Caldas (2011a)	3	Se presentan picos de edad a 12,3; 11,1 y 8,4 Ma. Otras edades representadas por círculos individuales incluyen edades de 168,7-112, cretácicas (ca. 70 Ma) y oligocénicas-miocénas entre 52,6-30 Ma. Muestra de ripios recuperados del pozo Majagua-1
	96			688492	847272	MAGNA_Colombia_Oeste	1° 46' 42,940" N	78° 27' 00,036" W	Agencia Nacional de Hidrocarburos & Universidad de Caldas (2011a)	3	Se presentan picos de edad a 44,8 y 8,5 Ma. Otras edades representadas por círculos individuales incluyen edades de 168,7-112, cretácicas (ca. 70 Ma) y oligocénicas-miocénas entre 52,6-30 Ma. Muestra de ripios recuperados del pozo Majagua-1
	75			688492	847272	MAGNA_Colombia_Oeste	1° 46' 42,940" N	78° 27' 00,036" W	Agencia Nacional de Hidrocarburos & Universidad de Caldas (2011a)	3	Se presentan picos de edad a 44,8; 16,4 y 11,6 Ma. Son comunes círculos más antiguos eocenos y cretácicos. Edad máxima de deposición de ca. 11,6 Ma, muestra de ripios recuperados del pozo Majagua-1
	112		Se tomaron las coordenadas listadas en los anexos que se diferencian varios metros con respecto a las reportadas en el informe final	938925	1103793	MAGNA_Colombia_Oeste	4° 02' 36,057" N	76° 08' 34,263" W	Agencia Nacional de Hidrocarburos & Universidad de Caldas (2011b)	4	Se presenta un pico de edad a 15,4 Ma que representa un máximo de deposición. No es claro en el informe si la muestra es de superficie o del pozo Cauca 10
	99								Agencia Nacional de Hidrocarburos & Universidad de Caldas (2011b)	4	
	35		Se tomaron las coordenadas listadas en los anexos que se diferencian varios metros con respecto a las reportadas en el informe final	728122	1006210	MAGNA_Colombia_Oeste	2° 08' 15,021" N	77° 01' 18,048" W	Agencia Nacional de Hidrocarburos & Universidad de Caldas (2011b)	4	Se presenta un pico de edad a 12,6 Ma que estaría relacionado con su origen volcánico, la muestra es de un núcleo de perforación del pozo Patía-3
	98			1276589	1049769	MAGNA_Colombia_Bogota	7° 05' 49,560" N	73° 37' 37,200" W	Caballero <i>et al.</i> (2013)	59	
	91		Se obtuvo las coordenadas del punto de la Tabla DRI (datos suplementarios) de Nie <i>et al.</i> (2010) [198]	1341173	1055274	MAGNA_Colombia_Bogota	7° 40' 51,636" N	73° 34' 35,436" W	Caballero <i>et al.</i> (2013)	59	
	85			1294865	1073710	MAGNA_Colombia_Bogota	7° 15' 43,524" N	73° 24' 36,216" W	Nie <i>et al.</i> (2010)	198	Dominio de edades a 400–200 Ma, presentan otras edades fisionózicas y de 1200–900 Ma. También publicada en Nie <i>et al.</i> (2012) [199]
	86		Se tomaron las coordenadas listadas en los anexos que se diferencian varios metros con respecto a las reportadas en el informe final	1044920	1048332	MAGNA_Colombia_Oeste	5° 00' 08,169" N	76° 38' 30,087" W	Agencia Nacional de Hidrocarburos & Universidad de Caldas (2011b)	4	Se presentan picos de edad a 674, 272 y 12 Ma. La población de ca. 12–10,5 Ma está relacionada con un máximo de edad de depósito y representa una provincia volcánica significativa. La muestra es de un núcleo de perforación del pozo Chocó-1 ST-P

ID Datación Radiométrica	Código de la muestra	Unidad geológica	Litología	Edad años BP	Error años	Edad Ma	Error Ma	Edad grano simple menor detrítico	Edad grano simple mayor detrítico	Edad estratigráfica	Edades heredadas	Método de datación	Material analizado	Relación inicial	MSWD	P(X2) %
4233	CH-ZS-MP-003	Formación Condoto	Arenita					9,5 ± 0,5	3315,6 ± 13,6	Arcaico (AR)-Mioceno (N1)		U-Pb LA-MC-ICP-MS	Circón detritico			
4234	ML-002A	Formación Morrocoy-El Pantano	Sedimentos siliciclásticos					44,87 ± 0,78	2032,14 ± 20,67	Paleoproterozoico (PP)-Eoceno (E2)		U-Pb	Circón detritico			
4235	Chocó-456.9-457.2-ML-012	Formación Mayorquín	Arenita					9,0 ± 0,2	2280,2 ± 9,4	Paleoproterozoico (PP)-Mioceno (N1)		U-Pb LA-MC-ICP-MS	Circón detritico			
4236	Chocó-329.5-329.8-ML-010	Formación Mayorquín	Arenita					9,6 ± 0,3	3459,0 ± 10,9	Arcaico (AR)-Mioceno (N1)		U-Pb LA-MC-ICP-MS	Circón detritico			
4237	Chocó-139.60-139.90-ML-002	Formación Mayorquín	Arenita					9,7 ± 0,3	2803,6 ± 72,8	Arcaico (AR)-Mioceno (N1)		U-Pb LA-MC-ICP-MS	Circón detritico			
4238	LADRILLEROS-10-1	Formación Mayorquín	Arenita					10,1 ± 0,6	2768,7 ± 15,1	Arcaico (AR)-Mioceno (N1)		U-Pb LA-MC-ICP-MS	Circón detritico			
4239	FM-RIOPIEDRAS-02	Formación Río Piedras	Arenita					66,6 ± 1,9	3094,5 ± 16,5	Arcaico (AR)-Maastrichtiano (k6)		U-Pb LA-MC-ICP-MS	Circón detritico			
4240	Chocó-57-56.7-ML-001	Formación Mayorquín	Arenita					15,6 ± 1,1	2568,7 ± 12,4	Arcaico (AR)-Mioceno (N1)		U-Pb LA-MC-ICP-MS	Circón detritico			
4241	RG-MP-006	Formaciones Cayapas, Viche y Angostura	Arenita					9,1 ± 0,4	1514,7 ± 6,7	Mesoproterozoico (MP)-Mioceno (N1)		U-Pb LA-MC-ICP-MS	Circón detritico			
4242	RG-MP-007	Formaciones Cayapas, Viche y Angostura	Arenita					9,2 ± 0,8	1657,8 ± 22,5	Paleoproterozoico (PP)-Mioceno (N1)		U-Pb LA-MC-ICP-MS	Circón detritico			
4243	M1-MP-014	Formación Cayapas	Arenita					6,9 ± 0,5	1657 ± 8,9	Paleoproterozoico (PP)-Mioceno (N1)		U-Pb LA-MC-ICP-MS	Circón detritico			
4244	G02-G3-10B	Unidad Camaronera	Arenita					37,6 ± 0,8	2525,9 ± 18,5	Eoceno (E2)-Arcaico (AR)		U-Pb LA-MC-ICP-MS	Circón detritico			
4245	G03-G4-A2	Formaciones Tasca, Playa y Palmeras	Arenita					8,5 ± 0,9	3261,1 ± 9,1	Arcaico (AR)-Mioceno (N1)		U-Pb LA-MC-ICP-MS	Circón detritico			
4246	G07-G1-053	Formaciones Tasca, Playa y Palmeras	Arenita					10,8 ± 0,9	2840,8 ± 12,3	Arcaico (AR)-Mioceno (N1)		U-Pb LA-MC-ICP-MS	Circón detritico			
4247	G03-G1-025	Formaciones Tasca, Playa y Palmeras	Arenita					42,4 ± 1,1	3440,9 ± 7,4	Arcaico (AR)-Eoceno (E2)		U-Pb LA-MC-ICP-MS	Circón detritico			
4248	12080806		Arenita					60,9 ± 1,2	1935 ± 23,7	Paleoproterozoico (PP)-Paleoceno (E1)		U-Pb LA-MC-ICP-MS	Circón detritico			
4249	MJ-003A		Clasto de cuarcita							Proterozoico (PR)		U-Pb LA-ICP-MS	Circón detritico			
4250	MJ-014		Clasto de cuarcita					118,1	2593	Arcaico (AR)-Aptiano (b5)		U-Pb LA-ICP-MS	Circón			
4251	CM-411		Clasto de Esquisto					139,5 ± 9,2	433 ± 2,9	Silúrico (S)-Valanginiano (b2)		U-Pb LA-ICP-MS	Circón			
4252	LM1505096	Formación Colorado	Arenita					78 ± 3,9	2335,6 ± 169,4	Paleoproterozoico (PP)-Campaniano (k5)		U-Pb LA-MC-ICP-MS	Circón detritico			
4253	M09	Formación Colorado	Arenita					127,9 ± 5,9	3787,5 ± 44,9	Arcaico (AR)-Barremiano (b4)		U-Pb LA-MC-ICP-MS	Circón detritico			
4254	LC08033	Formación Colorado	Arenita					153 ± 24,7	3027,5 ± 7,8	Arcaico (AR)-Jurásico Tardío (J3)		U-Pb LA-MC-ICP-MS	Circón detritico			
4255	U08027	Formación Colorado	Arenita					172,0 ± 8,4	1805,9 ± 199,3	Paleoproterozoico (PP)-Jurásico Medio (J2)		U-Pb LA-MC-ICP-MS	Circón detritico			
4256	CAG1-8	Formación Colorado	Arenita					177,9 ± 2,4	1939,4 ± 35,2	Paleoproterozoico (PP)-Jurásico Temprano (J1)		U-Pb LA-MC-ICP-MS	Circón detritico			
4257	CAG1-6	Formación Colorado	Arenita					187,9 ± 1,9	1770,8 ± 28,2	Paleoproterozoico (PP)-Jurásico Temprano (J1)		U-Pb LA-MC-ICP-MS	Circón detritico			
4258	CAG1-7	Formación Colorado	Arenita					215,2 ± 2,1	2082,1 ± 34,5	Paleoproterozoico (PP)-Triásico Tardío (T3)		U-Pb LA-MC-ICP-MS	Circón detritico			
4259	MOR0613094	Formación Carbonera						29,9 ± 1	1914,6 ± 13,4	Paleoproterozoico (PP)-Oligoceno (E3)		U-Pb LA-MC-ICP-MS	Circón detritico			
4260	MP175	Formación Carbonera	Arenita					45,9 ± 0,5	2559,9 ± 7,6	Arcaico (AR)-Eoceno (E2)		U-Pb LA-MC-ICP-MS	Circón detritico			
4261	08YEM03	Formación Carbonera	Arenita					49,7 ± 1,7	1835 ± 36,2	Paleoproterozoico (PP)-Eoceno (E2)		U-Pb LA-MC-ICP-MS	Circón detritico			

Dispersión %	Número de granos analizados	Número de aliquotas	Fuente georreferenciación	Coordenada X	Coordenada Y	Sistema de coordenadas	Latitud	Longitud	Referencia	ID referencia	Comentarios
	89		Se tomaron las coordenadas listadas en los anexos que se diferencian varios metros con respecto a las reportadas en el informe final	1044920	1048332	MAGNA_Colombia_Oeste	5° 00' 08,169" N	76° 38' 30,087" W	Agencia Nacional de Hidrocarburos & Universidad de Caldas (2011b)	4	Se presentan picos de edad a 631, 90 y 10,5 Ma. La población de ca. 12–10,5 Ma está relacionada con un máximo de edad de depósito y representa una provincia volcánica significativa. La muestra es de un núcleo de perforación del pozo Chocó-1 ST-P
	60			1490812	1092818	MAGNA_Colombia_Oeste	9° 02' 00,000" N	76° 14' 00,000" W	Lara <i>et al.</i> (2013)	159	Los principales picos de edad se presentan a 1518, 1056, 264, 83–98 y 42 Ma. Los círcones son altamente concordantes, todas las edades son características de la margen norte de Suramérica incluyendo las cordilleras Central y Occidental de los Andes Colombianos
	100		Se tomaron las coordenadas listadas en los anexos que se diferencian varios metros con respecto a las reportadas en el informe final	1044920	1048332	MAGNA_Colombia_Oeste	5° 00' 08,169" N	76° 38' 30,087" W	Agencia Nacional de Hidrocarburos & Universidad de Caldas (2011b)	4	Se presenta un pico de edad a 9,6 Ma. La población de ca. 10,5–9,6 Ma indica un máximo de edad de depósito de la unidad geológica. La muestra es de un núcleo de perforación a 456,9 m de la base del pozo Chocó-1 ST-S
	100		Se tomaron las coordenadas listadas en los anexos que se diferencian varios metros con respecto a las reportadas en el informe final	1044920	1048332	MAGNA_Colombia_Oeste	5° 00' 08,169" N	76° 38' 30,087" W	Agencia Nacional de Hidrocarburos & Universidad de Caldas (2011b)	4	Se presentan picos de edad a 1057, 561,8, 252 y 10,5 Ma. La población de ca. 10,5–9,6 Ma indica un máximo de edad de depósito de la unidad geológica. La muestra es de un núcleo de perforación a 329,5 m de la base del pozo Chocó-1 ST-S
	99		Se tomaron las coordenadas listadas en los anexos que se diferencian varios metros con respecto a las reportadas en el informe final	1044920	1048332	MAGNA_Colombia_Oeste	5° 00' 08,169" N	76° 38' 30,087" W	Agencia Nacional de Hidrocarburos & Universidad de Caldas (2011b)	4	Se presentan picos de edad a 553, 147 y 85,8 Ma. La población de ca. 10,5–9,6 Ma indica un máximo de edad de depósito de la unidad geológica. La muestra es de un núcleo de perforación a 139,6 m de la base del pozo Chocó-1 ST-S
	114								Agencia Nacional de Hidrocarburos & Universidad de Caldas (2011a)	3	Las coordenadas reportadas de 968 854 m.N. y 925 848 m.E., no coinciden con la unidad
	102			921471	1009276	MAGNA_Colombia_Oeste	3° 53' 09,759" N	76° 59' 38,350" W	Agencia Nacional de Hidrocarburos & Universidad de Caldas (2011a)	3	
	99		Se tomaron las coordenadas listadas en los anexos que se diferencian varios metros con respecto a las reportadas en el informe final	1044920	1048332	MAGNA_Colombia_Oeste	5° 00' 08,169" N	76° 38' 30,087" W	Agencia Nacional de Hidrocarburos & Universidad de Caldas (2011b)	4	Se presentan picos de edad a 578,2; 224 y 88,2 Ma. La población de ca. 10,5–9,6 Ma indica un máximo de edad de depósito de la unidad geológica. La muestra es de un núcleo de perforación a 56,7 m de la base del pozo Chocó-1 ST-S
	34			739533	839861	MAGNA_Colombia_Oeste	2° 14' 23,962" N	78° 31' 01,200" W	Agencia Nacional de Hidrocarburos & Universidad de Caldas (2011a)	3	Los principales picos de edad se presentan a 24,8 y 13,6 Ma. Otros círcones del Eoceno, Cretácico Tardío (ca. 70 Ma) y más antiguos se encuentran como granos individuales. Muestra de ripios recuperados del pozo Remolino grande-1
	81			739533	839861	MAGNA_Colombia_Oeste	2° 14' 23,962" N	78° 31' 01,200" W	Agencia Nacional de Hidrocarburos & Universidad de Caldas (2011a)	3	Los principales picos de edad se presentan a 22,5 y 13,5 Ma. Otros círcones del Eoceno, Cretácico Tardío (ca. 70 Ma) y más antiguos se encuentran como granos individuales. Muestra de ripios recuperados del pozo Remolino grande-1
	97			688492	847272	MAGNA_Colombia_Oeste	1° 46' 42,940" N	78° 27' 00,036" W	Agencia Nacional de Hidrocarburos & Universidad de Caldas (2011a)	3	Se presentan picos de edad a 75,6; 25,2; 18,3 y 8,4 Ma. Existen algunos círculos más antiguos que el Cretácico. Muestra de ripios recuperados del pozo Majagua-1
	101			818971	875417	MAGNA_Colombia_Oeste	2° 57' 30,719" N	78° 11' 53,041" W	Agencia Nacional de Hidrocarburos & Universidad de Caldas (2011a)	3	Picos a 1307,8; 1040; 877,5; 598; 72,8 y 37,7 Ma
	52			816576	874493	MAGNA_Colombia_Oeste	2° 56' 12,738" N	78° 12' 22,867" W	Agencia Nacional de Hidrocarburos & Universidad de Caldas (2011a)	3	Picos a 1660,8; 1146,3; 558,3; 71,8 y 8,8–42 Ma
	114			816620	874639	MAGNA_Colombia_Oeste	2° 56' 14,179" N	78° 12' 18,157" W	Agencia Nacional de Hidrocarburos & Universidad de Caldas (2011a)	3	Picos a 1878; 1548; 1245; 1047; 931,5; 703,5–471; 318; 262,5; 73,5 y 40,5–10,5 Ma
	106			816510	874621	MAGNA_Colombia_Oeste	2° 56' 10,581" N	78° 12' 18,735" W	Agencia Nacional de Hidrocarburos & Universidad de Caldas (2011a)	3	Picos a 1571,5–1463; 1146,3–892,5; 651; 575,8; 227,5; 89,3 y 47 Ma
	107		Se obtuvo las coordenadas del punto de la Tabla DR1 (datos suplementarios)	1141555	1143492	MAGNA_Colombia_Bogotá	5° 52' 29,172" N	72° 46' 54,660" W	Horton <i>et al.</i> (2010a)	140	Se presentan picos de edad a 1850–1300; 1050–950; 175–170; 155–135; 90–80 y 65–45 Ma
	95		Se obtuvo las coordenadas del punto a partir de la georreferenciación de la Figura 3	1850076	933159	MAGNA_Colombia_Este	12° 16' 53,649" N	71° 41' 30,890" W	Weber <i>et al.</i> (2010)	336	Se presentan picos de edad a 1566, 1490, 1336, 980, 110, 89 y 71 Ma. Edades más jóvenes de cristalización son definidas por un grano con edad de 70 ± 1,1 Ma, lo que sugiere que la deposición del protolito y su metamorfismo fue después del Cretácico Temprano
	111		Se obtuvo las coordenadas del punto a partir de la georreferenciación de la Figura 3	1850076	933159	MAGNA_Colombia_Este	12° 16' 53,649" N	71° 41' 30,890" W	Weber <i>et al.</i> (2010)	336	Se presentan picos de edad a 1764, 1556, 1349, 1219, 1020 y 553 Ma. La edad más joven de 118,1 ± 1,6 Ma (n = 5) se toma como la edad que marca el límite de la sedimentación
	9		Se obtuvo las coordenadas del punto a partir de la georreferenciación de la Figura 3	1850899	933074	MAGNA_Colombia_Este	12° 17' 20,414" N	71° 41' 33,744" W	Weber <i>et al.</i> (2010)	336	Se presentan picos de edad a 429, 247, 188 y 144 Ma. La formación del protolito tuvo lugar después del Cretácico Temprano
	110			1284530	1059884	MAGNA_Colombia_Bogotá	7° 10' 07,716" N	73° 32' 07,296" W	Caballero <i>et al.</i> (2013)	59	
	94		Se obtuvo las coordenadas del punto de la Tabla DR1 (datos suplementarios) de Nie <i>et al.</i> (2010) [198]	1294095	1076582	MAGNA_Colombia_Bogotá	7° 15' 18,324" N	73° 23' 02,616" W	Nie <i>et al.</i> (2010)	198	Dominio de edades fанerozoidas y se presentan edades de 1200–900 Ma. También publicada en Nie <i>et al.</i> (2012) [199]
	64			1253133	1035970	MAGNA_Colombia_Bogotá	6° 53' 06,396" N	73° 45' 07,380" W	Caballero <i>et al.</i> (2013)	59	
	104		Se obtuvo las coordenadas del punto de la Tabla DR1 (datos suplementarios) de Nie <i>et al.</i> (2010) [198]	1294869	1076029	MAGNA_Colombia_Bogotá	7° 15' 43,524" N	73° 23' 20,616" W	Nie <i>et al.</i> (2010)	198	Dominio de edades fанerozoidas y se presentan edades de 1200–900 Ma. También publicada en Nie <i>et al.</i> (2012) [199]
	102			1341173	1055274	MAGNA_Colombia_Bogotá	7° 40' 51,636" N	73° 34' 35,436" W	Caballero <i>et al.</i> (2013)	59	
	102			1341173	1055274	MAGNA_Colombia_Bogotá	7° 40' 51,636" N	73° 34' 35,436" W	Caballero <i>et al.</i> (2013)	59	
	117			1341173	1055274	MAGNA_Colombia_Bogotá	7° 40' 51,636" N	73° 34' 35,436" W	Caballero <i>et al.</i> (2013)	59	
	91			1096464	850330	MAGNA_Colombia_Este	5° 28' 01,200" N	72° 25' 40,800" W	Bande <i>et al.</i> (2012)	22	Se presentan picos de edad significativos a 1800, 1500 y 150–50 Ma; y picos menores a 1100–900 Ma. La muestra refleja continua erosión y reciclamiento de la sección paleógena en la zona axial de la cordillera Oriental
	106		Se obtuvo las coordenadas del punto de la Tabla DR1 (datos suplementarios)	1027565	1100419	MAGNA_Colombia_Bogotá	4° 50' 41,532" N	73° 10' 20,100" W	Horton <i>et al.</i> (2010a)	140	Se presentan picos de edad a 1850–1300, 1050–950, 175–170, 155–135, 90–80 y 65–45 Ma
	78		Se obtuvo las coordenadas del punto de la Tabla DR1 (datos suplementarios)	1093253	847981	MAGNA_Colombia_Este	5° 26' 16,548" N	72° 26' 56,832" W	Horton <i>et al.</i> (2010a)	140	Se presentan picos de edad a 1850–1300, 1050–950, 175–170, 155–135, 90–80 y 65–45 Ma. La muestra refleja continua erosión y reciclamiento de la sección paleógena en la zona axial de la cordillera Oriental, también publicada en Bande <i>et al.</i> (2012) [22]

ID Datación Radiométrica	Código de la muestra	Unidad geológica	Litología	Edad años BP	Error años	Edad Ma	Error Ma	Edad grano simple menor detrítico	Edad grano simple mayor detrítico	Edad estratigráfica	Edades heredadas	Método de datación	Material analizado	Relación inicial	MSWD	P(X2) %
4262	PE-09	Formación Carbonera	Arenita lítica a sublítica					76,12 ± 1,82	1995,58 ± 21,87	Paleoproterozoico (PP)-Campaniano (k5)		U-Pb LA-ICP-MS	Circón detritico			
4263	MOR0612094	Formación Carbonera						87,5 ± 1,7	2827,4 ± 7,1	Arcaico (AR)-Contiaciano (k3)		U-Pb LA-MC-ICP-MS	Circón detritico			
4264	TO2170	Formación Carbonera						173,6 ± 3	1856,4 ± 13,7	Paleoproterozoico (PP)-Jurásico Temprano (J2)		U-Pb LA-MC-ICP-MS	Circón detritico			
4265	08YEM02	Formación Carbonera	Arenita					456,93 ± 21,60	3383,03 ± 44,97	Arcaico (AR)-Ordovícico (O)		U-Pb LA-MC-ICP-MS	Circón detritico			
4266	P26-495,3-495,6-ML-006	Formación Ciénaga de Oro	Arenita					4,5 ± 0,2	2664 ± 9,4	Arcaico (AR)-Plioceno (N2)		U-Pb LA-MC-ICP-MS	Circón detritico			
4267	P27-25,60-25,29-ML-001	Formación Ciénaga de Oro	Arenita					59,3 ± 1,5	2634,4 ± 13	Arcaico (AR)-Paleoceno (E1)		U-Pb LA-MC-ICP-MS	Circón detritico			
4268	P27-301,75-302,06-ML-006	Formación Ciénaga de Oro	Arenita					63,5 ± 2,5	3316,4 ± 23	Arcaico (AR)-Paleoceno (E1)		U-Pb LA-MC-ICP-MS	Circón detritico			
4269	P18-9,60-9,4-ML-001	Formación Ciénaga de Oro	Arenita					67,4 ± 3,7	2536,1 ± 10,4	Arcaico (AR)-Maastrichtiano (k6)		U-Pb LA-MC-ICP-MS	Circón detritico			
4270	P16-31,46-31,66-ML-001	Formación Ciénaga de Oro	Arenita					68,0 ± 1,7	1565,1 ± 21,5	Mesoproterozoico (MP)-Maastrichtiano (k6)		U-Pb LA-MC-ICP-MS	Circón detritico			
4271	P27-248,11-248,41ML-005	Formación Ciénaga de Oro	Arenita					68,3 ± 2	2500,8 ± 10,7	Arcaico (AR)-Maastrichtiano (k6)		U-Pb LA-MC-ICP-MS	Circón detritico			
4272	P26-3,65-3,95-ML-001	Formación Ciénaga de Oro	Arenita					68,6 ± 1,5	2631,2 ± 10,4	Arcaico (AR)-Maastrichtiano (k6)		U-Pb LA-MC-ICP-MS	Circón detritico			
4273	P16-155,67-155,97-ML-003	Formación Ciénaga de Oro	Arenita					69,9 ± 1,2	1817,6 ± 7,1	Paleoproterozoico (PP)-Maastrichtiano (k6)		U-Pb LA-MC-ICP-MS	Circón detritico			
4274	P26-211,2-211,5-ML-003	Formación Ciénaga de Oro	Arenita					72,3 ± 1,8	2121,9 ± 7,4	Paleoproterozoico (PP)-Campaniano (k5)		U-Pb LA-MC-ICP-MS	Circón detritico			
4275	IGN-CST	Unidad informal Cuesta	Arenita lítica a sublítica									U-Pb	Circón detritico			
4276	U08025	Formación Mugrosa	Arenita					79,8 ± 1,3	2770,5 ± 27,7	Arcaico (AR)-Campaniano (k5)		U-Pb LA-MC-ICP-MS	Circón detritico			
4277	VC067	Formación Mugrosa	Arenita					53,8 ± 2,4	2695,7 ± 16,4	Arcaico (AR)-Eoceno (E2)		U-Pb LA-MC-ICP-MS	Circón detritico			
4278	VC066	Formación Mugrosa	Arenita					90,5 ± 1,5	2984,0 ± 38,7	Arcaico (AR)-Turoniano (k2)		U-Pb LA-MC-ICP-MS	Circón detritico			
4279	7557 C6	Formación San Jacinto	Arenita					66,1 ± 4,4	545,5 ± 7,3	Neoproterozoico (NP)-Maastrichtiano (k6)		U-Pb LA-MC-ICP-MS	Circón detritico			
4280	7005 C5	Formación Tolú Viejo	Clasto de granodiorita		74,98	+ 1,9/- 1,3				Campaniano (k5)		U-Pb LA-MC-ICP-MS	Circón detritico			
4281	7006 C5	Formación Tolú Viejo	Clasto de granodiorita		75,59	+ 0,83/- 1,34				Campaniano (k5)		U-Pb LA-MC-ICP-MS	Circón detritico			
4282	HM563	Formación San Juan de Río Seco	Sublitoarenita		64			64,2 ± 1,7	2813,7 ± 14,0	Arcaico (AR)-Paleoceno (E1)		U-Pb LA-MC-ICP-MS	Circón detritico			
4283	HM528	Formación Hoyón	Sublitoarenita		55			55,4 ± 1,2	1354,7 ± 27,6	Mesoproterozoico (MP)-Eoceno (E2)		U-Pb LA-MC-ICP-MS	Circón detritico			
4284	RM-04	Formación Mirador	Arenita lítica a sublítica					50,63 ± 1,38	2708,34 ± 24,75	Arcaico (AR)-Eoceno (E2)		U-Pb LA-ICP-MS	Circón detritico			
4285	RM-06	Formación Mirador	Arenita lítica a sublítica		51			51,29 ± 0,56	2072,33 ± 36,30	Paleoproterozoico (PP)-Eoceno (E2)		U-Pb LA-ICP-MS	Circón detritico			
4286	08YEM01	Formación Mirador						615,7 ± 9,7	2086,9 ± 8,4	Paleoproterozoico (PP)-Neoproterozoico (NP)		U-Pb LA-MC-ICP-MS	Circón detritico			
4287	110808-12	Formación Concentración	Arenita					44,5 ± 5,3	2715,9 ± 14,3	Arcaico (AR)-Eoceno (E2)		U-Pb LA-MC-ICP-MS	Circón detritico			
4288	4PDR449	Formación Concentración	Arenita					57,0 ± 0,6	3029,4 ± 25,3	Arcaico (AR)-Paleoceno (E1)		U-Pb LA-MC-ICP-MS	Circón detritico			
4289	4PDR240	Formación Concentración	Arenita					154,2 ± 3,5	2344,7 ± 13,3	Paleoproterozoico (PP)-Jurásico Tardío (J3)		U-Pb LA-MC-ICP-MS	Circón detritico			
4290	6BUG19	Formación Concentración	Arenita					40,6 ± 1,8	2434,3 ± 24,6	Paleoproterozoico (PP)-Eoceno (E2)		U-Pb LA-MC-ICP-MS	Circón detritico			

Dispersión %	Número de granos analizados	Número de alicuotas	Fuente georreferenciación	Coordenada X	Coordenada Y	Sistema de coordenadas	Latitud	Longitud	Referencia	ID referencia	Comentarios
	100								Ayala <i>et al.</i> (2012)	20	Picos de edad en circones detriticos a 1300 y 190 Ma
	82			1093876	1177282	MAGNA_Colombia_Bogota	5° 26' 34,800" N	72° 28' 40,800" W	Bande <i>et al.</i> (2012)	22	Se presentan picos de edades mayores a 1850, 1650 y 200 Ma. Los granos más jóvenes son evidencia de acortamiento lo que provocó denudación en la cordillera Oriental
	114			1019419	1100345	MAGNA_Colombia_Bogota	4° 46' 16,356" N	73° 10' 22,872" W	Bande <i>et al.</i> (2012)	22	Se presentan picos subordinados a 1500–1350 y un pico mayor a 1100–900 Ma. Los picos del Mesozoico-Cenozoico están estadísticamente ausentes. También publicada en Horton <i>et al.</i> (2010b) [141]
	78		Se obtuvo las coordenadas del punto de la Tabla DR1 (datos suplementarios)	1095251	1178856	MAGNA_Colombia_Bogota	5° 27' 19,404" N	72° 27' 49,572" W	Horton <i>et al.</i> (2010a)	140	Se presentan picos de edades más antiguas que 1500 Ma
	100		Se tomaron las coordenadas listadas en los anexos que se diferencian varios metros con respecto a las reportadas en el informe final	1444025	1164222	MAGNA_Colombia_Oeste	8° 36' 30,178" N	75° 35' 08,661" W	Agencia Nacional de Hidrocarburos & Universidad de Caldas (2011b)	4	Se presentan picos de edad a 231 y 74 Ma. La muestra es de un núcleo de perforación a 495,3 m de la base del pozo 26. Predomina una distribución bimodal de edades, con un pico de distribución relacionado a áreas fuentes del Cretácico Tardío (90–70 Ma) y del Triásico-Carbonífero
	96		Se tomaron las coordenadas listadas en los anexos que se diferencian varios metros con respecto a las reportadas en el informe final	1446131	1161642	MAGNA_Colombia_Oeste	8° 37' 39,023" N	75° 36' 32,766" W	Agencia Nacional de Hidrocarburos & Universidad de Caldas (2011b)	4	Se presentan picos de edad a 234 y 77 Ma. La muestra es de un núcleo de perforación a 25,60 m de la base del pozo 27
	108		Se tomaron las coordenadas listadas en los anexos que se diferencian varios metros con respecto a las reportadas en el informe final	1446131	1161642	MAGNA_Colombia_Oeste	8° 37' 39,023" N	75° 36' 32,766" W	Agencia Nacional de Hidrocarburos & Universidad de Caldas (2011b)	4	Se presentan picos de edad a 238 y 75,25 Ma. La muestra es de un núcleo de perforación a 301,75 m de la base del pozo 27
	100		Se tomaron las coordenadas listadas en los anexos que se diferencian varios metros con respecto a las reportadas en el informe final	1440875	838328	MAGNA_Colombia_Bogota	8° 34' 48,004" N	75° 32' 45,621" W	Agencia Nacional de Hidrocarburos & Universidad de Caldas (2011b)	4	Se presentan picos de edad a 1172,6; 457,6; 227,5 y 75,4 Ma. La muestra es de un núcleo de perforación a 9,6 m de la base del pozo 18. Se propone un área de aporte relacionada con el sector norte de las cordilleras Central y Occidental.
	100		Se tomaron las coordenadas listadas en los anexos que se diferencian varios metros con respecto a las reportadas en el informe final	1441552	837049	MAGNA_Colombia_Bogota	8° 35' 09,873" N	75° 33' 27,519" W	Agencia Nacional de Hidrocarburos & Universidad de Caldas (2011b)	4	Se presentan picos de edad a 224; 155,2; 110,4 y 73,6 Ma. La muestra es de un núcleo de perforación a 31,46 m de la base del pozo 16, se presentan edades más antiguas que el pico Triásico pero son poco representativas en términos estadísticos. Se propone un área de aporte relacionada con las cordilleras Central y Occidental.
	97		Se tomaron las coordenadas listadas en los anexos que se diferencian varios metros con respecto a las reportadas en el informe final	1446131	1161642	MAGNA_Colombia_Oeste	8° 37' 39,023" N	75° 36' 32,766" W	Agencia Nacional de Hidrocarburos & Universidad de Caldas (2011b)	4	Se presentan picos de edad a 234; 152,1 y 75,4 Ma. La muestra es de un núcleo de perforación a 248,11 m de la base del pozo 27
	92		Se tomaron las coordenadas listadas en los anexos que se diferencian varios metros con respecto a las reportadas en el informe final	1444025	1164222	MAGNA_Colombia_Oeste	8° 36' 30,178" N	75° 35' 08,661" W	Agencia Nacional de Hidrocarburos & Universidad de Caldas (2011b)	4	Se presentan picos de edad a 235,2 y 71,4 Ma. La muestra es de un núcleo de perforación a 3,65 m de la base del pozo 26. Predomina una distribución bimodal de edades, con un pico de distribución relacionado con áreas fuentes del Cretácico Tardío (90–70 Ma) y del Carbonífero-Triásico
	100		Se tomaron las coordenadas listadas en los anexos que se diferencian varios metros con respecto a las reportadas en el informe final	1441552	837049	MAGNA_Colombia_Bogota	8° 35' 09,873" N	75° 33' 27,519" W	Agencia Nacional de Hidrocarburos & Universidad de Caldas (2011b)	4	Se presentan picos de edad a 237, 157 y 77 Ma. La muestra es de un núcleo de perforación a 155,67 m de la base del pozo 16. Se presentan edades más antiguas que el pico Triásico pero son poco representativas en términos estadísticos. Se propone un área de aporte relacionada con el sector norte de las cordilleras Central y Occidental
	105		Se tomaron las coordenadas listadas en los anexos que se diferencian varios metros con respecto a las reportadas en el informe final	1444025	1164222	MAGNA_Colombia_Oeste	8° 36' 30,178" N	75° 35' 08,661" W	Agencia Nacional de Hidrocarburos & Universidad de Caldas (2011b)	4	Se presentan picos de edad a 211,6 m de la base del pozo 26. Predomina una distribución bimodal de edades, con un pico de distribución relacionado a áreas fuentes del Cretácico Tardío (90–70 Ma) y del Carbonífero-Triásico
			Se obtuvo las coordenadas del punto a partir de la georreferenciación de la Figura 14	1548749	1063275	MAGNA_Colombia_Bogota	9° 33' 27,561" N	73° 30' 04,161" W	Ayala <i>et al.</i> (2009)	19	Se presentan picos de edad a 1373, 1195, 1019, 918, 509, 260, 176 y 79 Ma
	112		Se obtuvo las coordenadas del punto de la Tabla DR1 (datos suplementarios) de Nie <i>et al.</i> (2010) [198]	1293866	1077583	MAGNA_Colombia_Bogota	7° 15' 10,800" N	73° 22' 30,000" W	Nie <i>et al.</i> (2010)	198	Dominio de edades fanozoicas y se presentan edades de 1200–900 Ma. También publicada en Nie <i>et al.</i> (2012) [199]
	94								Nie <i>et al.</i> (2012)	199	Se presentan picos de edad a 440, 245, 215 y 185 Ma. Presenta edades entre 1200–900 Ma
	94								Nie <i>et al.</i> (2012)	199	Se presentan picos de edad a 465, 435 y 205 Ma. Presenta edades entre 1200–900 Ma
	99			1566624	881515	MAGNA_Colombia_Bogota	9° 43' 04,940" N	75° 09' 25,952" W	Cardona <i>et al.</i> (2012)	71	Se presentan picos de edad a 270 y 76,1 Ma
	28			1536818	852780	MAGNA_Colombia_Bogota	9° 26' 51,739" N	75° 25' 04,640" W	Cardona <i>et al.</i> (2012)	71	Edad de cristalización magmática de clasto igneo en conglomerado
	21			1536818	852780	MAGNA_Colombia_Bogota	9° 26' 51,739" N	75° 25' 04,640" W	Cardona <i>et al.</i> (2012)	71	Edad de cristalización magmática de clasto igneo en conglomerado
				1030187	944374	MAGNA_Colombia_Bogota	4° 52' 08,400" N	74° 34' 44,400" W	Bayona <i>et al.</i> (2012)	29	Se presentan poblaciones dominantes a 300–230, 190–150 y 90–70 Ma. Edad media de 64 Ma es interpretada como la edad mínima de deposición, en total dataron 124 circones
				1028308	943707	MAGNA_Colombia_Bogota	4° 51' 07,200" N	74° 35' 06,000" W	Bayona <i>et al.</i> (2012)	29	Se presentan poblaciones dominantes a 300–230, 190–150 y 90–70 Ma. Edad media de 55 Ma es interpretada como la edad mínima de deposición, en total dataron 96 circones
	100								Ayala <i>et al.</i> (2012)	20	Picos de edad en circones detriticos a 1800, 1500, 956, 497 y 70 Ma
	100								Ayala <i>et al.</i> (2012)	20	Edad media de 51 Ma es interpretada como la edad mínima de deposición, en total dataron 80 circones, con poblaciones a 1600, 507, 294 y 162 Ma. También publicada en Bayona <i>et al.</i> (2012) [29]
	93			1095487	1178160	MAGNA_Colombia_Bogota	5° 27' 27,144" N	72° 28' 12,144" W	Bande <i>et al.</i> (2012)	22	Se presentan picos mayores de edad a 1750, 1550 y 1450 Ma. Con ausencia de edades estadísticamente significativas más jóvenes que ca. 1200 Ma. Fuente oriental dominante de rocas neoproterozoicas y mesozoicas del Escudo de Guainía, también publicada en Horton <i>et al.</i> (2010b) [141]
	152			1140737	1137639	MAGNA_Colombia_Bogota	5° 52' 03,000" N	72° 50' 04,920" W	Saylor <i>et al.</i> (2012b)	265	Se presentan picos de edad a 1900, 1830, 1590, 1523, 1480, 1350, 1290, 1190, 1130, 970, 960, 880, 810, 620, 590, 570, 550, 240, 220, 190, 160, 145, 87, 81 y 47 Ma. Del total de edades 98 fueron reportadas previamente por Saylor <i>et al.</i> (2011) [263] y 54 son análisis nuevos
	95								Saylor <i>et al.</i> (2011)	263	Se presentan picos proterozoicos a 650–500, 300–200 y <175 Ma. Pico joven más significativo a 61 Ma
	94								Saylor <i>et al.</i> (2011)	263	Se presenta un pico proterozoico a 650–500 y picos a 300–200 y <175 Ma
	96								Saylor <i>et al.</i> (2011)	263	Se presentan picos proterozoicos a 650–500, 300–200 y <175 Ma. Pico joven más significativo a 153 Ma

ID Datación Radiométrica	Código de la muestra	Unidad geológica	Litología	Edad años BP	Error años	Edad Ma	Error Ma	Edad grano simple menor detrítico	Edad grano simple mayor detrítico	Edad estratigráfica	Edades heredadas	Método de datación	Material analizado	Relación inicial	MSWD	P(X2) %
4291	PES-Tco-HM52 8D	Formación Concentración	Sublitoarenita			45,2	± 1,6	44,4 ± 2,2	2219,5 ± 48,9	Paleoproterozoico (PP)-Eoceno (E2)		U-Pb LA-MC-ICP-MS	Circón detritico		0,15	
4292	110808-14	Formación Concentración	Arenita					45,7 ± 0,5	2831,2 ± 29,9	Arcaico (AR)-Eoceno (E2)		U-Pb LA-MC-ICP-MS	Circón detritico			
4293	110808-12	Formación Concentración	Arenita					46,5 ± 0,4	2715,9 ± 14,3	Arcaico (AR)-Eoceno (E2)		U-Pb LA-MC-ICP-MS	Circón detritico			
4294	110808-17	Formación Concentración	Arenita					48,5 ± 2,1	2762,2 ± 23,0	Arcaico (AR)-Eoceno (E2)		U-Pb LA-MC-ICP-MS	Circón detritico			
4295	110808-15	Formación Concentración	Arenita					66,4 ± 3,5	1719,8 ± 77,9	Paleoproterozoico (PP)-Maastrichtiano (k6)		U-Pb LA-MC-ICP-MS	Circón detritico			
4296	110808-15	Formación Concentración	Arenita					79,5 ± 1,2	1538,3 ± 20,7	Mesoproterozoico (MP)-Campaniano (k5)		U-Pb LA-MC-ICP-MS	Circón detritico			
4297	VC062	Formación Esmeraldas	Arenita					54,6 ± 1,0	2002,3 ± 19,9	Paleoproterozoico (PP)-Eoceno (E2)		U-Pb LA-MC-ICP-MS	Circón detritico			
4298	NM6A	Formación Esmeraldas	Arenita					56,5 ± 1,7	2565,1 ± 38,3	Arcaico (AR)-Paleoceno (E1)		U-Pb LA-MC-ICP-MS	Circón detritico			
4299	LM1505093	Formación Esmeraldas	Arenita					58,6 ± 0,9	1875,1 ± 36,6	Paleoproterozoico (PP)-Paleoceno (E1)		U-Pb LA-MC-ICP-MS	Circón detritico			
4300	NM6B	Formación Esmeraldas	Arenita					60,4 ± 0,9	2009,5 ± 25,9	Paleoproterozoico (PP)-Paleoceno (E1)		U-Pb LA-MC-ICP-MS	Circón detritico			
4301	VC063	Formación Esmeraldas	Arenita					63,8 ± 6,3	1891,3 ± 18,9	Paleoproterozoico (PP)-Paleoceno (E1)		U-Pb LA-MC-ICP-MS	Circón detritico			
4302	SANTOS 111B	Formación Esmeraldas	Arenita					141,3 ± 21,1	2897,3 ± 10,9	Arcaico (AR)-Berriasián (b1)		U-Pb LA-MC-ICP-MS	Circón detritico			
4303	SANTOS 111A	Formación Esmeraldas	Arenita					151 ± 8,2	2722,7 ± 6,0	Arcaico (AR)-Jurásico Tardío (J3)		U-Pb LA-MC-ICP-MS	Circón detritico			
4304	U08024	Formación Esmeraldas	Arenita					68,6 ± 6,0	1275,1 ± 83,5	Mesoproterozoico (MP)-Maastrichtiano (k6)		U-Pb LA-MC-ICP-MS	Circón detritico			
4305	110808-2	Formación Picacho	Arenita					44,0 ± 0,5	2522,4 ± 11,9	Arcaico (AR)-Eoceno (E2)		U-Pb LA-MC-ICP-MS	Circón detritico			
4306	100808-03	Formación Picacho	Arenita					46,7 ± 0,7	3340,4 ± 13,9	Arcaico (AR)-Eoceno (E2)		U-Pb LA-MC-ICP-MS	Circón detritico			
4307	100808-03	Formación Picacho	Sublitoarenita					48,8 ± 0,7	2785,7 ± 19,0	Arcaico (AR)-Eoceno (E2)		U-Pb LA-MC-ICP-MS	Circón detritico			
4308	110808-1	Formación Picacho	Sublitoarenita					53,6 ± 0,9	2247,1 ± 12,4	Paleoproterozoico (PP)-Eoceno (E2)		U-Pb LA-MC-ICP-MS	Circón detritico			
4309	CU612P	Formación La Paz	Arenita					78,7 ± 2,7	1855,9 ± 32,7	Paleoproterozoico (PP)-Campaniano (k5)		U-Pb LA-MC-ICP-MS	Circón detritico			
4310	NM4	Formación La Paz	Arenita					51,3 ± 6,6	2878,5 ± 8,8	Arcaico (AR)-Eoceno (E2)		U-Pb LA-MC-ICP-MS	Circón detritico			
4311	NM2A	Formación La Paz	Arenita					58,7 ± 23,3	3071,5 ± 8,5	Arcaico (AR)-Paleoceno (E1)		U-Pb LA-MC-ICP-MS	Circón detritico			
4312	NM1	Formación La Paz	Arenita					64,4 ± 1,2	3347,8 ± 4,2	Arcaico (AR)-Paleoceno (E1)		U-Pb LA-MC-ICP-MS	Circón detritico			
4313	NM3A-B	Formación La Paz	Arenita					67,1 ± 0,8	2989,3 ± 5,2	Arcaico (AR)-Maastrichtiano (k6)		U-Pb LA-MC-ICP-MS	Circón detritico			
4314	YARIGUI185B	Formación La Paz						73,8 ± 3,9	1808 ± 10,5	Paleoproterozoico (PP)-Campaniano (k5)		U-Pb LA-MC-ICP-MS	Circón detritico			
4315	NM2B	Formación La Paz	Arenita					74,3 ± 2,1	2108,1 ± 5,1	Paleoproterozoico (PP)-Campaniano (k5)		U-Pb LA-MC-ICP-MS	Circón detritico			
4316	U08022	Formación La Paz	Arenita					104,0 ± 11,3	2223,5 ± 40,2	Paleoproterozoico (PP)-Albiano (b6)		U-Pb LA-MC-ICP-MS	Circón detritico			
4317		Formación Pendales						65	80	Campaniano (k5)-Paleoceno (E1)		U-Pb	Circón detritico			
4318	SSJ-11	Formación Pendales	Conglomerado					62	90	Turoniano (k2)-Paleoceno (E1)		U-Pb LA-MC-ICP-MS	Circón detritico			
4319	6999 C7	Formación Macó	Arenita					65,7 ± 0,6	276,8 ± 2,3	Pérmino (P)-Paleoceno (E1)		U-Pb LA-MC-ICP-MS	Circón detritico			

Dispersión %	Número de granos analizados	Número de alicuotas	Fuente georreferenciación	Coordenada X	Coordenada Y	Sistema de coordenadas	Latitud	Longitud	Referencia	ID referencia	Comentarios
	3			1109670	1116840	MAGNA_Colombia_Bogota	5° 35' 13,200" N	73° 01' 22,800" W	Bayona <i>et al.</i> (2012)	29	Se presentan poblaciones de edad que varían del Precámbrico al Mesozoico. Edad media de 45.2 ± 1.6 Ma es interpretada como la edad máxima de deposición. En total dataron 93 círculos
	101								Saylor <i>et al.</i> (2011)	263	Se presentan picos proterozoicos a 650–500, 300–200 y <175 Ma. Pico joven más significativo a 158 Ma
	98		Localización tomada de Saylor <i>et al.</i> (2012b) [265]	1140737	1137639	MAGNA_Colombia_Bogota	5° 52' 03,000" N	72° 50' 04,920" W	Saylor <i>et al.</i> (2011)	263	Se presentan picos proterozoicos a 650–500, 300–200 y <175 Ma. Pico joven más significativo a 81 Ma
	152								Saylor <i>et al.</i> (2011)	263	Se presentan picos proterozoicos a 650–500, 300–200 y <175 Ma. Pico joven más significativo a 90 Ma
	165			1140822	1139020	MAGNA_Colombia_Bogota	5° 52' 05,664" N	72° 49' 20,028" W	Saylor <i>et al.</i> (2012b)	265	Se presentan picos de edad a 1540, 1380, 1250, 1180, 1020, 980, 880, 620, 340, 300, 290, 280, 275, 270, 260, 240, 210, 190, 188, 153, 73 y 68 Ma. Del total 99 edades fueron reportadas previamente por Saylor <i>et al.</i> (2011) [263] y 66 análisis son nuevos
	99		Localización publicada en Saylor <i>et al.</i> (2012b) [265]	1140822	1139020	MAGNA_Colombia_Bogota	5° 52' 05,664" N	72° 49' 20,028" W	Saylor <i>et al.</i> (2011)	263	Se presentan picos proterozoicos a 650–500, 300–200 y <175 Ma. Pico joven más significativo a 94 Ma
	100			1292324	1079453	MAGNA_Colombia_Bogota	7° 14' 20,508" N	73° 21' 29,124" W	Nie <i>et al.</i> (2012)	199	Se presentan picos de edad a 260 y 75 Ma y edades entre 1200–900 Ma. También publicada en Caballero <i>et al.</i> (2013) [59]
	90			1285089	1058020	MAGNA_Colombia_Bogota	7° 10' 25,968" N	73° 33' 08,028" W	Caballero <i>et al.</i> (2013)	59	
	107			1285078	1058032	MAGNA_Colombia_Bogota	7° 10' 25,608" N	73° 33' 07,632" W	Caballero <i>et al.</i> (2013)	59	
	111			1285089	1058020	MAGNA_Colombia_Bogota	7° 10' 25,968" N	73° 33' 08,028" W	Caballero <i>et al.</i> (2013)	59	
	95			1292078	1079697	MAGNA_Colombia_Bogota	7° 14' 12,516" N	73° 21' 21,204" W	Nie <i>et al.</i> (2012)	199	Se presentan picos de edad a 280, 200 y 80 Ma y edades entre 900–1200 Ma. También publicada en Caballero <i>et al.</i> (2013) [59]
	89			1304896	1068985	MAGNA_Colombia_Bogota	7° 21' 10,260" N	73° 27' 09,756" W	Caballero <i>et al.</i> (2013)	59	
	100			1304896	1068985	MAGNA_Colombia_Bogota	7° 21' 10,260" N	73° 27' 09,756" W	Caballero <i>et al.</i> (2013)	59	
	88			1291886	1080325	MAGNA_Colombia_Bogota	7° 14' 06,216" N	73° 21' 00,720" W	Nie <i>et al.</i> (2012)	199	Dominio de edades a 300–100 Ma. También publicada en Caballero <i>et al.</i> (2013) [59] y en Nie <i>et al.</i> (2012) [199]
	95		Localización tomada de Saylor <i>et al.</i> (2012b) [265]	1139666	1139006	MAGNA_Colombia_Bogota	5° 51' 28,044" N	72° 49' 20,568" W	Saylor <i>et al.</i> (2011)	263	Se presentan picos proterozoicos, 650–500, 300–200 y <175 Ma. Pico joven más significativo a 82 Ma. Las edades son interpretadas como provenientes de erosión de fuentes con afinidad a la cordillera Oriental, la ocurrencia de picos del Proterozoico y del Cretácico Tardío indican proveniencia de la cordillera Central y reciclamiento de secuencias precenozoicas
	152			1133066	1138815	MAGNA_Colombia_Bogota	5° 47' 53,232" N	72° 49' 27,264" W	Saylor <i>et al.</i> (2012b)	265	Se presentan picos de edad a 1950, 1870, 1800, 1720, 1670, 1620, 1540, 1530, 1390, 1310, 1230, 1210, 1050, 740, 600, 290, 280, 160, 150, 60 y 48 Ma. Del total de edades 95 fueron reportadas previamente por Saylor <i>et al.</i> (2011) [263] y 57 son análisis nuevos
	95		Localización tomada de Saylor <i>et al.</i> (2012b) [265]	1133066	1138815	MAGNA_Colombia_Bogota	5° 47' 53,232" N	72° 49' 27,264" W	Saylor <i>et al.</i> (2011)	263	Se presentan picos proterozoicos, 650–500, 300–200 y <175 Ma. Pico joven más significativo a 153 Ma. Bayona <i>et al.</i> (2012) [29] con los datos de la muestra determinan una edad media de 47,9 ± 2,0 Ma ( $n = 4$ , MSWD = 1,8) interpretada como la edad máxima de depósito
	98								Saylor <i>et al.</i> (2011)	263	Se presentan picos proterozoicos, 650–500, 300–200 y <175 Ma. Pico joven más significativo a 55 Ma. Bayona <i>et al.</i> (2012) [29] con los datos de la muestra determinan una edad media de 54,9 ± 3,6 Ma ( $n = 3$ , MSWD = 2,7) interpretada como la edad máxima de depósito. Las coordenadas (5,8623° N; 72,812° W) reportadas por Bayona <i>et al.</i> (2012) [29] no coinciden con la unidad
	89		Localización en Tabla DR1 (datos de soporte) en Nie <i>et al.</i> (2010) [198]	1292333	1081224	MAGNA_Colombia_Bogota	7° 14' 20,724" N	73° 20' 31,416" W	Nie <i>et al.</i> (2012)	199	Dominio de edades fanerozoicas con dos o tres muestras con edades de 150–100 Ma. Pocas poblaciones significativas son detectadas de 2000–500 Ma. También publicada en Nie <i>et al.</i> (2010) [198] y en Caballero <i>et al.</i> (2013) [59]
	105			1280581	1060898	MAGNA_Colombia_Bogota	7° 07' 59,124" N	73° 31' 34,392" W	Caballero <i>et al.</i> (2013)	59	
	105			1280653	1060777	MAGNA_Colombia_Bogota	7° 08' 01,464" N	73° 31' 38,352" W	Caballero <i>et al.</i> (2013)	59	
	98			1280653	1060777	MAGNA_Colombia_Bogota	7° 08' 01,464" N	73° 31' 38,352" W	Caballero <i>et al.</i> (2013)	59	
	192			1280615	1060817	MAGNA_Colombia_Bogota	7° 08' 00,240" N	73° 31' 37,020" W	Caballero <i>et al.</i> (2013)	59	
	96			1307538	1018675	MAGNA_Colombia_Bogota	7° 22' 37,704" N	73° 54' 30,096" W	Caballero <i>et al.</i> (2013)	59	
	97			1280653	1060777	MAGNA_Colombia_Bogota	7° 08' 01,464" N	73° 31' 38,352" W	Caballero <i>et al.</i> (2013)	59	
	70		Se obtuvo las coordenadas del punto de la Tabla DR1 (datos suplementarios) de Nie <i>et al.</i> (2010) [198]	1291229	1082219	MAGNA_Colombia_Bogota	7° 13' 44,724" N	73° 19' 59,016" W	Nie <i>et al.</i> (2012)	199	Dominio de edades fanerozoicas con dos o tres muestras con edades de 150–100 Ma. Pocas poblaciones significativas son detectadas de 2000–500 Ma. También publicada en Nie <i>et al.</i> (2010) [198] y en Caballero <i>et al.</i> (2013) [59]
	19								Abreu <i>et al.</i> (2009)	2	Los autores interpretan que el ambiente tectónico del área de aporte de la Formación Pendales es un orógeno reciclado, producto de la orogenia Preandina desarrollada durante el Eoceno medio en el noroccidente colombiano. Muestra tomada del arroyo Henequén, noroccidente de la población de Repelón, departamento del Atlántico
	19								Abreu (2009)	1	De las 19 edades 18 son concordantes, se observa una población entre 74 y 68 Ma, muestra tomada del arroyo Henequén, noroccidente de la población de Repelón, departamento del Atlántico
	100			1585261	877668	MAGNA_Colombia_Bogota	9° 53' 11,007" N	75° 11' 34,159" W	Cardona <i>et al.</i> (2012)	71	Se presenta un pico de edad a 72,9 Ma

ID Datación Radiométrica	Código de la muestra	Unidad geológica	Litología	Edad años BP	Error años	Edad Ma	Error Ma	Edad grano simple menor detritico	Edad grano simple mayor detritico	Edad estratigráfica	Edades heredadas	Método de datación	Material analizado	Relación inicial	MSWD	P(X2) %
4320	MA1	Formación Regadera	Arenita					57,1 ± 1,1	1569,0 ± 15,3	Mesoproterozoico (MP)-Paleoceno (E1)		U-Pb LA-MC-ICP-MS	Circón detritico			
4321	G2010	Formación Regadera	Arenita					64,3 ± 0,6		Paleoceno (E1)		LA-MC-ICP-MS	Circón detritico			
4322	GR-30		Arenita					42,6 ± 6,1	2481 ± 12,4	Paleoproterozoico (PP)-Eoceno (E2)		U-Pb LA-MC-ICP-MS	Circón detritico			
4323	B39-EOC	Unidad informal La Loma	Arenita lítica a sublítica									U-Pb	Circón detritico			
4324	SZH-01	Formación Siamana	Arenita arcosica lítica					45,5 ± 2,5	2379,9 ± 541,6	Paleoproterozoico (PP)-Eoceno (E2)		U-Pb LA-ICP-MS	Circón detritico			
4325	Tabaco-1	Formación Tabaco	Arenita					54,0 ± 1,6	2211,6 ± 18,2	Paleoproterozoico (PP)-Eoceno (E2)		U-Pb LA-MC-ICP-MS	Circón detritico			
4326	WRV04352	Formación Cerrejón	Arenita					60,8 ± 1,5	2749,0 ± 16,4	Arcaico (AR)-Paleoceno (E1)		U-Pb LA-MC-ICP-MS	Circón detritico			
4327	M1	Formación Cerrejón	Arenita					63,8 ± 0,9	2128,7 ± 80,9	Paleoproterozoico (PP)-Paleoceno (E1)		U-Pb LA-MC-ICP-MS	Circón detritico			
4328	10404-53	Formación Cerrejón	Arenita					65,6 ± 0,7	1988,8 ± 17,8	Paleoproterozoico (PP)-Paleoceno (E1)		U-Pb LA-MC-ICP-MS	Circón detritico			
4329	WRV04352A	Formación Cerrejón	Arenita					67,9 ± 1,1	2003,5 ± 24,3	Paleoproterozoico (PP)-Maastrichtiano (k6)		U-Pb LA-MC-ICP-MS	Circón detritico			
4330	WRV04352B	Formación Cerrejón	Arenita					70,0 ± 2,7	2564,9 ± 151,0	Arcaico (AR)-Maastrichtiano (k6)		U-Pb LA-MC-ICP-MS	Circón detritico			
4331	T-38	Conglomerados de Tatamá				79,6	± 1,3	39,2 ± 0,7	2458,7 ± 10,1	Paleoproterozoico (PP)-Eoceno (E2)		U-Pb LA-MC-ICP-MS	Circón detritico			
4332	7000 C4	Formación San Cayetano	Arenita					50,9 ± 1,4	1852,9 ± 11,3	Paleoproterozoico (PP)-Eoceno (E2)		U-Pb LA-MC-ICP-MS	Circón detritico			
4333	7001 C4	Formación San Cayetano	Arenita					63,2 ± 1,2	1814,4 ± 20,7	Paleoproterozoico (PP)-Paleoceno (E1)		U-Pb LA-MC-ICP-MS	Circón detritico			
4334	6998 C3	Formación San Cayetano	Arenita					71,3 ± 1,3	1817 ± 9,5	Paleoproterozoico (PP)-Maastrichtiano (k6)		U-Pb LA-MC-ICP-MS	Circón detritico			
4335	7003 C4	Formación San Cayetano	Clasto de granodiorita			72,2	+ 1			Campaniano (k5)		U-Pb LA-MC-ICP-MS	Circón detritico			
4336	E1650	Formación Bogotá	Litoarenita			53,6	± 1,1	43,1 ± 1,4	3414,2 ± 97,7	Arcaico (AR)-Eoceno (E2)		U-Pb LA-MC-ICP-MS	Circón detritico		0,17	
4337	E1190	Formación Bogotá	Litoarenita			55,72	± 1,1	54,1 ± 1,8	2942,6 ± 18,7	Arcaico (AR)-Eoceno (E2)		U-Pb LA-MC-ICP-MS	Circón detritico		0,35	
4338	D928	Formación Bogotá	Toba			56,2	± 1,6	54,0 ± 5,0	1932,0 ± 45,3	Paleoproterozoico (PP)-Eoceno (E2)		U-Pb LA-MC-ICP-MS	Circón detritico		0,17	
4339	CHE-Tb-GJ57	Formación Bogotá	Litoarenita			58		58,2 ± 1,7	1991,0 ± 33,8	Paleoproterozoico (PP)-Paleoceno (E1)		U-Pb LA-MC-ICP-MS	Circón detritico			
4340	D937	Formación Bogotá	Litoarenita			60,96	± 0,7	59,0 ± 4,0	2702,9 ± 44,1	Arcaico (AR)-Paleoceno (E1)		U-Pb LA-MC-ICP-MS	Circón detritico		0,21	
4341	D840.3	Formación Bogotá	Arenita					64,9 ± 2,8	2900	Arcaico (AR)-Paleoceno (E1)		U-Pb LA-MC-ICP-MS	Circón detritico			
4342	C540	Formación Bogotá	Arenita					76	2927	Arcaico (AR)-Campaniano (k5)		U-Pb LA-MC-ICP-MS	Circón detritico			
4343	110808-16	Formación Socha	Sublitoarenita					48,2 ± 1,1	2555,5 ± 54,8	Arcaico (AR)-Eoceno (E2)		U-Pb LA-MC-ICP-MS	Circón detritico			
4344	UMB-Tss-HM-011	Formación Socha	Litoarenita			53		52,8 ± 2,0	2299,4 ± 157,7	Paleoproterozoico (PP)-Eoceno (E2)		U-Pb LA-MC-ICP-MS	Circón detritico			
4345	4BUG9	Formación Socha	Sublitoarenita					53,2 ± 0,6	1925,3 ± 17,4	Paleoproterozoico (PP)-Eoceno (E2)		U-Pb LA-MC-ICP-MS	Circón detritico			

Dispersión %	Número de granos analizados	Número de aliquotas	Fuente georreferenciación	Coordenada X	Coordenada Y	Sistema de coordenadas	Latitud	Longitud	Referencia	ID referencia	Comentarios
	54		Se obtuvo las coordenadas del punto de la Tabla DRI (datos suplementarios)	1055650	1046962	MAGNA_Colombia_Bogota	5° 05' 57,516" N	73° 39' 14,328" W	Horton <i>et al.</i> (2010a)	140	Se presentan picos de edad a 190–170, 85–75 y 65–55 Ma. Bayona <i>et al.</i> (2012) [29] reportan para esta muestra una edad media de 58,4 ± 1,2 Ma (n = 3, MSWD = 1,09) interpretada como la edad máxima de depósito.
	92								Bayona <i>et al.</i> (2010b)	28	Se presentan picos de edad a ca. 261, 166 y 85 Ma. Presenta otras poblaciones a ca. 1168, y 346 Ma. Son comunes edades dispersas proterozoicas a cámbricas. Sección quebrada Mochuelo
	100		Se tomaron las coordenadas listadas en los anexos que se diferencian varios metros con respecto a las reportadas en el informe final	1252190	1102432	MAGNA_Colombia_Oeste	6° 52' 32,880" N	76° 09' 02,760" W	Agencia Nacional de Hidrocarburos & Universidad de Caldas (2011b)	4	
	97		Se obtuvo las coordenadas del punto a partir de la georreferenciación de la Figura 14	1548749	1063275	MAGNA_Colombia_Bogota	9° 33' 27,561" N	73° 30' 04,161" W	Ayala <i>et al.</i> (2009)	19	Se presentan picos de edad a 1393, 1182, 1039, 885, 474, 272, 175 y 50 Ma. La edad de 50,5 ± 1,1 Ma es la edad mínima de depósito, obtenida de círcones volcánicos contemporáneos con el depósito. Las edades heredadas son picos de edad en círculos detriticos
	105		Se obtuvo las coordenadas del punto a partir de la georreferenciación de la Figura 2	1850402	933623	MAGNA_Colombia_Este	12° 17' 04,278" N	71° 41' 15,541" W	Zapata <i>et al.</i> (2010)	345	Se presentan picos de edad a 1044, 913, 463, 245, 207 y 51 Ma
	89		Se obtuvo las coordenadas del punto de la Tabla S3 (datos suplementarios)	1720480	1164773	MAGNA_Colombia_Bogota	11° 06' 24,954" N	72° 34' 09,928" W	Cardona <i>et al.</i> (2011a)	69	Se presentan picos de edad a 1235, 1171, 1020, 70 y 56 Ma. En Bayona <i>et al.</i> (2012) [29] con los datos de la muestra Tabaco-1 determinan que la edad media máxima de depósito es de 54,9 ± 0,9 Ma (n = 6, MSWD = 0,13)
	95		Se obtuvo las coordenadas del punto de la Tabla S3 (datos suplementarios)	1714344	1152430	MAGNA_Colombia_Bogota	11° 03' 07,283" N	72° 40' 57,469" W	Cardona <i>et al.</i> (2011a)	69	Se presentan picos de edad a 1284, 930, 658, 527, 350, 280 y 90–70 Ma
	90		Se obtuvo las coordenadas del punto de la Tabla S3 (datos suplementarios)	1717608	1156898	MAGNA_Colombia_Bogota	11° 04' 52,786" N	72° 38' 29,795" W	Cardona <i>et al.</i> (2011a)	69	Se presentan picos de edad a 279, 206, 94 y 70 Ma
	104		Se obtuvo las coordenadas del punto de la Tabla S3 (datos suplementarios)	1708193	1149654	MAGNA_Colombia_Bogota	10° 59' 47,577" N	72° 42' 29,827" W	Cardona <i>et al.</i> (2011a)	69	Se presentan picos de edad a 1158, 873, 278, 168 y 71 Ma
	92		Se obtuvo las coordenadas del punto de la Tabla S3 (datos suplementarios)	1714344	1152430	MAGNA_Colombia_Bogota	11° 03' 07,283" N	72° 40' 57,469" W	Cardona <i>et al.</i> (2011a)	69	Se presentan picos de edad a 1220, 1045, 582, 478, 275–229, 142 y 71 Ma
	89		Se obtuvo las coordenadas del punto de la Tabla S3 (datos suplementarios)	1714344	1152430	MAGNA_Colombia_Bogota	11° 03' 07,283" N	72° 40' 57,469" W	Cardona <i>et al.</i> (2011a)	69	Se presentan picos de edad a 1540, 1210, 1037, 889, 444, 312, 263 y 70 Ma
	99								Ávila <i>et al.</i> (2012)	18	Se presentan poblaciones importantes del Pérmino-Triásico (300–200 Ma) y Cretácico Tardío (85–75 Ma). Existen al menos cuatro poblaciones poco representadas y dispersas a 2100–2000, 1200–1000, 950–900 y 700–450 Ma. La edad de 79,6 ± 1,3 Ma es interpretada como un máximo de depósito. También publicada en Agencia Nacional de Hidrocarburos & Universidad de Caldas (2011b) [4]
	90			1537044	852780	MAGNA_Colombia_Bogota	9° 26' 59,093" N	75° 25' 04,668" W	Cardona <i>et al.</i> (2012)	71	Se presentan picos de edad a 353, 280 y 93 Ma
	100			1537044	852780	MAGNA_Colombia_Bogota	9° 26' 59,093" N	75° 25' 04,668" W	Cardona <i>et al.</i> (2012)	71	Se presentan picos de edad a 236 y 72 Ma
	98			1470883	835211	MAGNA_Colombia_Bogota	8° 51' 04,031" N	75° 34' 31,402" W	Cardona <i>et al.</i> (2012)	71	Se presentan picos de edad a 245 y 80 Ma
	33			1537044	852780	MAGNA_Colombia_Bogota	9° 26' 59,093" N	75° 25' 04,668" W	Cardona <i>et al.</i> (2012)	71	Edad de cristalización magmática de clasto igneo en conglomerado
	9			993454	990513	MAGNA_Colombia_Bogota	4° 32' 13,200" N	74° 09' 46,800" W	Bayona <i>et al.</i> (2012)	29	Se presentan poblaciones de edad que varían entre el Precámbrico y el Mesozoico. Edad media de 53,6 ± 1,1 Ma es interpretada como la edad máxima de depósito; en total dataron 108 círculos
	6			993454	990513	MAGNA_Colombia_Bogota	4° 32' 13,200" N	74° 09' 46,800" W	Bayona <i>et al.</i> (2012)	29	Se presentan poblaciones de edad que varían entre el Precámbrico y el Mesozoico. Edad media de 55,72 ± 1,1 Ma es interpretada como la edad máxima de depósito; en total dataron 79 círculos
	6			993454	990513	MAGNA_Colombia_Bogota	4° 32' 13,200" N	74° 09' 46,800" W	Bayona <i>et al.</i> (2012)	29	Se presentan picos de edad a 164, 90, 64 y 55 Ma. Otros picos (n < 3) a 1229 y 544 Ma. La edad media de 56,2 ± 1,6 Ma es interpretada como la edad máxima de depósito; en total dataron 98 círculos. También publicada en Bayona <i>et al.</i> (2010b) [28]
				1075182	1033201	MAGNA_Colombia_Bogota	5° 16' 33,600" N	73° 46' 40,800" W	Bayona <i>et al.</i> (2012)	29	Se presentan poblaciones de edad que varían entre el Precámbrico y el Mesozoico. Edad media de 58 Ma es interpretada como la edad mínima de depósito; en total dataron 75 círculos
	10			993454	990513	MAGNA_Colombia_Bogota	4° 32' 13,200" N	74° 09' 46,800" W	Bayona <i>et al.</i> (2012)	29	Se presentan picos principales de edad a 70 y 62,5 Ma. Existen otros picos a ca. 1119, 550, 530, 242, 220 y 160 Ma. Presenta un pico (n = 3) de 2262 Ma. La edad media de 60,96 ± 0,7 Ma es interpretada como la edad máxima de depósito; en total dataron 89 círculos. También publicada en Bayona <i>et al.</i> (2010b) [28]
	84								Bayona <i>et al.</i> (2010b)	28	Los picos de edad más representativos son a 161 y 86 Ma. Existen otros picos a ca. 1300–1000, 1467, 542 y 246 Ma. Fueron reconocidos cristales únicos con edades arqueanas de ca. 2900, 2800 y 2700 Ma. A excepción de algunas edades > 2400 Ma, los resultados son concordantes y por lo tanto con significado geológico. Sección quebrada Mochuelo
	97								Bayona <i>et al.</i> (2010b)	28	El rango de edades varía entre ca. 2927 y 76 Ma. El 67 % de los datos tiene edades entre 542 y 76 Ma, con picos a ca. 270–225, 165 y 90 Ma. Existen otros picos representativos a ca. 1500, 1277, 1177, 697 y 540 Ma. Se presentan edades (n < 3) de ca. 2200–2000 Ma y un grano del Arqueano, esta última edad, si bien presenta una leve discordancia se aproxima a la curva de concordia, lo cual indica claramente la existencia de material antiguo. Sección quebrada Mochuelo
	97								Saylor <i>et al.</i> (2011)	263	Se presentan poblaciones de edad que varían entre el Precámbrico y el Mesozoico y un pico más joven a 56 Ma. Bayona <i>et al.</i> (2012) [29] con los datos de la muestra determinan una edad media de 55,4 ± 0,5 Ma (n = 6, MSWD = 0,47) interpretada como la edad máxima de depósito. Las coordenadas (5,8623° N; 72,812° W) reportadas por Bayona <i>et al.</i> (2012) [29] no coinciden con la unidad.
				1068355	1072451	MAGNA_Colombia_Bogota	5° 12' 50,400" N	73° 25' 26,400" W	Bayona <i>et al.</i> (2012)	29	Se presentan poblaciones de edad que varían entre el Precámbrico y el Mesozoico. Edad media de 53 Ma es interpretada como la edad mínima de depósito, en total dataron 88 círculos
	107								Saylor <i>et al.</i> (2011)	263	Se presentan poblaciones de edad que varían entre el Precámbrico y el Mesozoico y un pico más joven a 53 Ma. Bayona <i>et al.</i> (2012) [29] con los datos de la muestra determinan una edad media de 54,1 ± 0,6 Ma (n = 6, MSWD = 0,83) interpretada como la edad máxima de depósito. Las coordenadas (5,8623° N; 72,812° W) reportadas por Bayona <i>et al.</i> (2012) [29] no coinciden con la unidad

ID Datación Radiométrica	Código de la muestra	Unidad geológica	Litología	Edad años BP	Error años	Edad Ma	Error Ma	Edad grano simple menor detrítico	Edad grano simple mayor detrítico	Edad estratigráfica	Edades heredadas	Método de datación	Material analizado	Relación inicial	MSWD	P(X2) %
4346	3BUG228	Formación Socha	Sublitoarenita					55,7 ± 1,3	2865,1 ± 30,7	Arcaico (AR)-Eoceno (E2)		U-Pb LA-MC-ICP-MS	Circón detritico			
4347	3BUG201	Formación Arcillas de Socha	Arenita					56,0 ± 3,8	2327,3 ± 24	Paleoproterozoico (PP)-Eoceno (E2) o Paleoceno (E1)		U-Pb LA-MC-ICP-MS	Circón detritico			
4348	110808-04	Formación Arenisca de Socha	Arenita					70,0 ± 2,8	2808,7 ± 16	Arcaico (AR)-Maastrichtiano (k6)		U-Pb LA-MC-ICP-MS	Circón detritico			
4349	110808-04	Formación Arenisca de Socha	Arenita					78,9 ± 2,3	2808,7 ± 16,0	Arcaico (AR)-Campaniano (k5)		U-Pb LA-MC-ICP-MS	Circón detritico			
4350	PAPA-6	Formación Manantial	Arenita					97,5 ± 2,5	1919,4 ± 23,5	Paleoproterozoico (PP)-Cenomaniano (k1)		U-Pb LA-MC-ICP-MS	Circón detritico			
4351	CHE-Tc-GJ31	Formación Cacho	Sublitoarenita			64,3	± 2,1	61,6 ± 1,2	3236,9 ± 21,6	Arcaico (AR)-Paleoceno (E1)		U-Pb LA-MC-ICP-MS	Circón detritico		0,25	
4352	B333	Formación Cacho	Arenita			66,4	± 2,5	66,4 ± 2,5		Maastrichtiano (k6)		U-Pb LA-MC-ICP-MS	Circón detritico			
4353	PITS-AG	Formación Los Cuervos	Arenita lítica a sublítica									U-Pb	Circón detritico			
4354	Pe-5	Formación Los Cuervos	Sublitoarenita			57-50		50,7 ± 4,6	2118,6 ± 21,9	Paleoproterozoico (PP)-Eoceno (E2)		U-Pb LA-MC-ICP-MS	Circón detritico			
4355	PE-05	Formación Los Cuervos	Arenita lítica a sublítica					50,68 ± 4,62	2118,63 ± 21,92	Paleoproterozoico (PP)-Eoceno (E2)		U-Pb LA-ICP-MS	Circón detritico			
4356	CJ611	Formación Los Cuervos	Litoarenita			55,5	± 0,6	49,1 ± 1,2	2048,0 ± 17,9	Paleoproterozoico (PP)-Eoceno (E2)		U-Pb LA-MC-ICP-MS	Circón detritico		0,15	
4357	RC-01	Formación Los Cuervos	Arenita lítica a sublítica					57,61 ± 1,46	1875,57 ± 44,00	Paleoproterozoico (PP)-Paleoceno (E1)		U-Pb LA-ICP-MS	Circón detritico			
4358	Na46	Formación Los Cuervos	Litoarenita			57,6	± 0,7	53,7 ± 4,2	2090,9 ± 54,6	Paleoproterozoico (PP)-Eoceno (E2)		U-Pb LA-MC-ICP-MS	Circón detritico		0,114	
4359	RC-1	Formación Los Cuervos	Litoarenita			58		57,6 ± 1,5	1875,6 ± 44,0	Paleoproterozoico (PP)-Paleoceno (E1)		U-Pb LA-MC-ICP-MS	Circón detritico			
4360	SOR-M45	Formación Los Cuervos	Arenita lítica a sublítica			58,67	± 0,46			Paleoceno (E1)		U-Pb	Circón detritico			
4361	Sororia M45	Formación Los Cuervos	Sublitoarenita			58,7	± 0,9	58,5 ± 0,7	2120,2 ± 25,9	Paleoproterozoico (PP)-Paleoceno (E1)		U-Pb LA-MC-ICP-MS	Circón detritico		0,14	
4362	PITC-RO	Formación Los Cuervos	Arenita lítica a sublítica									U-Pb	Circón detritico			
4363	PE-06	Formación Los Cuervos	Arenita lítica a sublítica					79,97 ± 1,40	2071,97 ± 49,16	Paleoproterozoico (PP)-Campaniano (k5)		U-Pb LA-ICP-MS	Circón detritico			
4364	BA-01	Formación Barco	Arenita lítica a sublítica					67,14 ± 2,93	2447,18 ± 30,46	Paleoproterozoico (PP)-Maastrichtiano (k6)		U-Pb LA-ICP-MS	Circón detritico			
4365	BARCO1E	Formación Barco	Arenita lítica a sublítica									U-Pb	Circón detritico			
4366	HM747	Formación Hoyón	Sublitoarenita			56,3	± 1,6	25,1 ± 3,2	2807,3 ± 23,3	Arcaico (AR)-Oligoceno (E3)		U-Pb LA-MC-ICP-MS	Circón detritico		0,35	
4367	HM701	Formación Hoyón	Litoarenita			62		62,0 ± 1,5	2502,5 ± 20,3	Arcaico (AR)-Paleoceno (E1)		U-Pb LA-MC-ICP-MS	Circón detritico			
4368	U821	Formación Lisama	Arenita					108,9 ± 5,1	2303,1 ± 7,5	Mesoproterozoico (MP)-Albiano (b6)		U-Pb LA-MC-ICP-MS	Circón detritico			
4369	LM1505097	Formación Lisama	Arenita					63,6 ± 0,4	2750 ± 11,5	Arcaico (AR)-Paleoceno (E1)		U-Pb LA-MC-ICP-MS	Circón detritico			
4370	RS0114091	Formación Lisama	Arenita					74,7 ± 3,7	4047,4 ± 25,6	Arcaico (AR)-Campaniano (k5)		U-Pb LA-MC-ICP-MS	Circón detritico			
4371	2BUG190	Formación Guaduas	Arenita					614,5 ± 7,9	2707,3 ± 17,5	Arcaico (AR)-Neoproterozoico (NP)		U-Pb LA-MC-ICP-MS	Circón detritico			
4372	DIABLITO1E	Formación Colón	Arenita lítica a sublítica									U-Pb	Circón detritico			
4373	ESP-01	Formación Espinal				73,72	+ 0,34/- 0,36			Campaniano (k5)		U-Pb LA-MC-ICP-MS	Circón detritico			
4374	110808-6	Grupo Guadalupe, Miembro Tierna	Arenita					493,3 ± 7,7	2084,6 ± 65,8	Paleoproterozoico (PP)-Cámbrico (e)		U-Pb LA-MC-ICP-MS	Circón detritico			

Dispersión %	Número de granos analizados	Número de alicuotas	Fuente georreferenciación	Coordenada X	Coordenada Y	Sistema de coordenadas	Latitud	Longitud	Referencia	ID referencia	Comentarios
	97								Saylor <i>et al.</i> (2011)	263	Se presentan poblaciones de edad que varían del Precámbrico al Mesozoico y un pico más joven a 57 Ma. Bayona <i>et al.</i> (2012) [29] con los datos de la muestra determinan una edad media de $56.3 \pm 1.4$ (n = 3, MSWD = 0,18) interpretada como la edad máxima de depósito. Las coordenadas (5,969° N; 72,746° W) reportadas por Bayona <i>et al.</i> (2012) [29] no coinciden con la unidad
	78			1139604	1139292	MAGNA_Colombia_Bogota	5° 51' 25,992" N	72° 49' 11,280" W	Saylor <i>et al.</i> (2012b)	265	Se presentan picos de edad a 1810, 1710, 1600, 1530, 1490, 1410, 1320, 990, 100, 88 y 58 Ma. Bayona <i>et al.</i> (2012) [29] con los datos de la muestra determinan una edad media de $58.2 \pm 2.0$ Ma (n = 8, MSWD = 0,14) interpretada como la edad máxima de depósito
	154			1139946	1139432	MAGNA_Colombia_Bogota	5° 51' 37,116" N	72° 49' 06,708" W	Saylor <i>et al.</i> (2012b)	265	Se presentan picos de edad proterozoicos a 2020, 1900, 1810, 1750, 1540, 1510, 1330, 1220, 1020 y 980 Ma; y fanoerozoicos a 83 y 77 Ma. Del total de edades 105 edades fueron reportadas previamente por Saylor <i>et al.</i> (2011) [263] y 49 son análisis nuevos
	105		Localización tomada de Saylor <i>et al.</i> (2012b) [265]	1139946	1139432	MAGNA_Colombia_Bogota	5° 51' 37,116" N	72° 49' 06,708" W	Saylor <i>et al.</i> (2011)	263	Se presentan picos de edad a 1800, 1500, 1300 y 1000 Ma con un pico más joven a 79 Ma. Las edades proterozoicas son interpretadas como provenientes de la erosión de unidades metamórficas o sedimentarias de la cordillera Central
	78		Se obtuvo las coordenadas del punto de la Tabla S3 (datos suplementarios)	1724980	1158676	MAGNA_Colombia_Bogota	11° 08' 52,345" N	72° 37' 30,042" W	Cardona <i>et al.</i> (2011a)	69	Se presentan picos de edad a 1888, 1800, 1588, 1529, 1394, 1058 y 500 Ma
	3			1068324	1029767	MAGNA_Colombia_Bogota	5° 12' 50,400" N	73° 48' 32,400" W	Bayona <i>et al.</i> (2012)	29	Se presentan poblaciones de edad que varían del Precámbrico al Mesozoico. Edad media de $64.3 \pm 2.1$ Ma es interpretada como la edad máxima de depósito; en total dataron 98 circones
	47								Bayona <i>et al.</i> (2010b)	28	Picos más significativos a ca. 246 y 91 Ma. Se identifican edades individuales entre 1540–890, 421–305 y 174–159 Ma. Un cristal con edad de $66.4 \pm 2.5$ Ma que aunque no define una población confiable limita el máximo de sedimentación al Paleoceno. Sección quebrada Mochuelo
			Se obtuvo las coordenadas del punto a partir de la georreferenciación de la Figura 14	1548749	1063275	MAGNA_Colombia_Bogota	9° 33' 27,561" N	73° 30' 04,161" W	Ayala <i>et al.</i> (2009)	19	Se presentan picos de edad a 1584, 1168, 574, 451, 275 y 86 Ma
				1347834	1162122	MAGNA_Colombia_Bogota	7° 44' 20,400" N	72° 36' 28,800" W	Bayona <i>et al.</i> (2012)	29	Se presentan poblaciones de edad que varían del Precámbrico al Mesozoico. Edad media de 50 a 57 Ma es la edad máxima de depósito, en total dataron 92 circones
	100								Ayala <i>et al.</i> (2012)	20	Picos de edad en circones detriticos a 1800, 1600, 1300, 257 y 87 Ma
	9			1015659	1116996	MAGNA_Colombia_Bogota	4° 44' 13,200" N	73° 01' 22,800" W	Bayona <i>et al.</i> (2012)	29	Se presentan poblaciones dominantes mayores a 1300 Ma. Pocas edades de 300–65 Ma. Edad media de $55.5 \pm 0.6$ Ma es interpretada como la edad máxima de depósito, en total dataron 89 circones
	100								Ayala <i>et al.</i> (2012)	20	Picos de edad en circones detriticos a 1800, 1500, 547, 177 y 63 Ma
	6			1034356	1120295	MAGNA_Colombia_Bogota	4° 54' 21,600" N	72° 59' 34,800" W	Bayona <i>et al.</i> (2012)	29	Se presentan poblaciones dominantes mayores a 1300 Ma. Pocas edades de 300–65 Ma. Edad media de $57.6 \pm 0.7$ Ma es interpretada como la edad máxima de depósito, en total dataron 97 circones
				1347834	1162122	MAGNA_Colombia_Bogota	7° 44' 20,400" N	72° 36' 28,800" W	Bayona <i>et al.</i> (2012)	29	Se presentan poblaciones de edad que varían del Precámbrico al Mesozoico. Edad media de 58 Ma es interpretada como la edad mínima de depósito, en total dataron 71 circones
	3		Se obtuvo las coordenadas del punto a partir de la georreferenciación de la Figura 14	1548797	1087429	MAGNA_Colombia_Bogota	9° 33' 27,551" N	73° 16' 52,191" W	Ayala <i>et al.</i> (2009)	19	58,67 ± 0,46 Ma es la edad mínima de depósito, obtenida de circones volcánicos sinorogenéticos contemporáneos con el depósito
	3			1546843	1087012	MAGNA_Colombia_Bogota	9° 32' 24,000" N	73° 17' 06,000" W	Bayona <i>et al.</i> (2012)	29	Se presentan poblaciones dominantes a 300–230, 190–150 y 90–70 Ma. Edad media de $58.7 \pm 0.9$ Ma es interpretada como la edad máxima de depósito, en total dataron 96 circones
			Se obtuvo las coordenadas del punto a partir de la georreferenciación de la Figura 14	1548749	1063275	MAGNA_Colombia_Bogota	9° 33' 27,561" N	73° 30' 04,161" W	Ayala <i>et al.</i> (2009)	19	Se presentan picos de edad a 1030, 572, 460, 238, 160 y 96 Ma
	100								Ayala <i>et al.</i> (2012)	20	Picos de edad en circones detriticos a 1800, 1500, 1000, 529, y 169 Ma
	100								Ayala <i>et al.</i> (2012)	20	Picos de edad en circones detriticos a 1800, 1500, 680 y 70 Ma
			Se obtuvo las coordenadas del punto a partir de la georreferenciación de la Figura 14	1548749	1063275	MAGNA_Colombia_Bogota	9° 33' 27,561" N	73° 30' 04,161" W	Ayala <i>et al.</i> (2009)	19	Se presentan picos de edad a 1932, 1830, 1542, 1338, 987, 612, 516 y 80 Ma, este último pico es coincidente con el evento magmático en la cordillera Central que inicia en el Cretácico Tardío coincidente con el pulso de levantamiento de la cordillera Central
	4			1021671	945477	MAGNA_Colombia_Bogota	4° 47' 31,200" N	74° 34' 08,400" W	Bayona <i>et al.</i> (2012)	29	Se presentan poblaciones dominantes a 300–230, 190–150 y 90–70 Ma. Edad media de $56.3 \pm 1.6$ Ma es interpretada como la edad máxima de depósito, en total dataron 92 circones
				1032854	929512	MAGNA_Colombia_Bogota	4° 53' 34,800" N	74° 42' 46,800" W	Bayona <i>et al.</i> (2012)	29	Se presentan poblaciones dominantes a 300–230, 190–150 y 90–70 Ma. Edad media de 62 Ma es interpretada como la edad mínima de depósito, en total dataron 110 circones
	88		Se obtuvo las coordenadas del punto de la Tabla DR1 (datos suplementarios) de Nie <i>et al.</i> (2010) [198]	1290787	1082662	MAGNA_Colombia_Bogota	7° 13' 30,324" N	73° 19' 44,616" W	Nie <i>et al.</i> (2010)	198	Se presentan pocas poblaciones significativas entre 2000–500 Ma. Dominio de edades fanoerozoicas con dos o tres muestras entre 150–100 Ma. También publicada en Nie <i>et al.</i> (2012) [199] y en Caballero <i>et al.</i> (2013) [59]
	58			1281151	1059475	MAGNA_Colombia_Bogota	7° 08' 17,736" N	73° 32' 20,760" W	Caballero <i>et al.</i> (2013)	59	
	102		Se obtuvo las coordenadas del punto de la Tabla DR1 (datos suplementarios) de Nie <i>et al.</i> (2010) [198]	1289902	1082884	MAGNA_Colombia_Bogota	7° 13' 01,524" N	73° 19' 37,416" W	Nie <i>et al.</i> (2010)	198	La mayoría de edades están concentradas entre 2000–1500 y 1000–500 Ma. Pocas edades más jóvenes de 500 Ma. También publicada en Nie <i>et al.</i> (2012) [199] y en Caballero <i>et al.</i> (2013) [59]
	151			1139564	1139892	MAGNA_Colombia_Bogota	5° 51' 24,660" N	72° 48' 51,804" W	Saylor <i>et al.</i> (2012b)	265	Se presentan picos de edad a 1730, 1570, 1540, 1330, 1130, 1000, 980, 950 y 930 Ma. Del total 97 edades fueron reportadas previamente por Saylor <i>et al.</i> (2011) [263] y 54 son análisis nuevos
			Se obtuvo las coordenadas del punto a partir de la georreferenciación de la Figura 14	1548749	1063275	MAGNA_Colombia_Bogota	9° 33' 27,561" N	73° 30' 04,161" W	Ayala <i>et al.</i> (2009)	19	Se presentan picos de edad a 2030, 1814, 1563 y 1237 Ma
	91			910106	1048388	MAGNA_Colombia_Oeste	3° 46' 59,384" N	76° 38' 30,817" W	Agencia Nacional de Hidrocarburos & Universidad de Caldas (2011a)	3	
	82								Saylor <i>et al.</i> (2011)	263	Se presentan picos mayores de edad a 1800 y 1600–1300 Ma. Pico más joven a 906 Ma. Circones detriticos interpretados como indicativo de un enterramiento casi completo del basamento de la previamente expuesta cordillera Oriental o de proveniencia cratónica

ID Datación Radiométrica	Código de la muestra	Unidad geológica	Litología	Edad años BP	Error años	Edad Ma	Error Ma	Edad grano simple menor detrítico	Edad grano simple mayor detrítico	Edad estratigráfica	Edades heredadas	Método de datación	Material analizado	Relación inicial	MSWD	P(X2) %
4375	MA-2	Grupo Guadalupe	Arenita					474,4 ± 3,2	2045,2 ± 14,6	Paleoproterozoico (PP)-Ordovícico (O)		U-Pb LA-MC-ICP-MS	Circón detritico			
4376	11080811	Formación Chiaque	Arenita					546,0 ± 24,1	2219,0 ± 16,2	Paleoproterozoico (PP)-Neoproterozóico (NP)		U-Pb LA-MC-ICP-MS	Circón detritico			
4377	GUA-20	Formación Etpana	Esquisto							Proterozoico		U-Pb LA-ICP-MS	Circón detritico			
4378	WAVO-10	Formación Etpana	Cuarcita					128 ± 3,5	2687 ± 22	Arcaico (AR)-Barremiano (b4)		U-Pb LA-ICP-MS	Circón detritico			
4379	WAVO-9	Formación Etpana	Esquisto					116,1 ± 7,6	2776,2 ± 13,4	Arcaico (AR)-Aptiano (b5)	Picos a 2002, 1419, 1216, 1012, 606, 546 y 472 Ma	U-Pb LA-ICP-MS	Circón			
4380	S4	Esquistos de San Lorenzo	Esquisto mícáceo			157				Jurásico Tardío (J3)		U-Pb LA-ICP-MS	Circón detritico			
4381	EAM-11-48	Esquistos de San Lorenzo	Esquisto			160	± 3			Jurásico Tardío (J3)	Circones paleoproterozoicos 1700 (n = 2) y grenvilienses 1200–1050 Ma (n = 5). Picos del Cámbrico-Jurásico (n = 64), con un pico mayor a 198 y una edad concordante de 160 ± 3 Ma. Excluidos	U-Pb LA-ICP-MS	Circón detritico			
4382	S8	Esquistos de Santa Marta, Formación Rodadero				235	± 4			Triásico Medio (T2)-Triásico Tardío (T3)	Edades mesoproteozóicas y del Carbonífero-Triásico Medio (con un pico mayor entre 284–248 y otro a 235 ± 4 Ma, n = 6)	U-Pb LA-ICP-MS	Circón detritico			
4383	R14	Esquistos de Santa Marta, Formación Concha	Esquisto moscovítico			91–80				Turoniano(k2)-Campániano (k5)		U-Pb LA-ICP-MS	Circón detritico			
4384	R14	Esquistos de Santa Marta, Formación Concha	Esquisto moscovítico			81,8	± 0,96			Campaniano (k5)		U-Pb LA-ICP-MS	Circón detritico			
4385	R14	Esquistos de Santa Marta, Formación Concha	Esquisto moscovítico			89,6	± 1,9			Coniaciano (k3)		U-Pb LA-ICP-MS	Circón detritico			
4386	UBL-0825-Mp+ Dz-001	Formación Une						44,7 ± 1,7	2153,2 ± 17,7	Paleoproterozoico (PP)-Eoceno (E2)		U-Pb LA-MC-ICP-MS	Circón detritico			
4387	UBL-0822-MP-001	Formación Une						136,7 ± 8,1	2472,5 ± 15,7	Paleoproterozoico (PP)-Valanginiano (b2)		U-Pb LA-MC-ICP-MS	Circón detritico			
4388	UBL-0801-MP-003	Formación Une						153,1 ± 7,3	2196,7 ± 11,7	Paleoproterozoico (PP)-Jurásico Tardío (J3)		U-Pb LA-MC-ICP-MS	Circón detritico			
4389	UBL-0820-MI-DZ03	Formación Une						219,6 ± 7,6	1846 ± 16,7	Paleoproterozoico (PP)-Triásico Tardío (T3)		U-Pb LA-MC-ICP-MS	Circón detritico			
4390	UBL-0821-Mp+ Dz-001	Formación Une						299,6 ± 8,7	2441,4 ± 10,7	Paleoproterozoico (PP)-Carbonífero (C)		U-Pb LA-MC-ICP-MS	Circón detritico			
4391	UBL-0815-Mp+ Dz-001	Formación Une						309,2 ± 8,5	1701,4 ± 17,5	Paleoproterozoico (PP)-Carbonífero (C)		U-Pb LA-MC-ICP-MS	Circón detritico			
4392	UBL-0810-MP-002	Formación Une						315,5 ± 3,8	2650,9 ± 10,6	Arcaico (AR)-Carbonífero (C)		U-Pb LA-MC-ICP-MS	Circón detritico			
4393	UBL-0820-MI-DZ01	Formación Une						324,9 ± 5,2	2051,1 ± 27,5	Paleoproterozoico (PP)-Carbonífero (C)		U-Pb LA-MC-ICP-MS	Circón detritico			
4394	UBL-0810-MP-001	Formación Une						328,5 ± 6,2	2176,8 ± 35,8	Paleoproterozoico (PP)-Carbonífero (C)		U-Pb LA-MC-ICP-MS	Circón detritico			
4395	AM-6B	Formación Une	Arenita					604,1 ± 8,1	2030,2 ± 23,5	Paleoproterozoico (PP)-Neoproterozóico (NP)		U-Pb LA-MC-ICP-MS	Circón detritico			
4396	SG-003	Sedimentitas de Urrao						67,9 ± 2	2721,2 ± 20,8	Arcaico (AR)-Maastrichtiano (k6)		U-Pb LA-MC-ICP-MS	Circón detritico			
4397	SG-005							71,3 ± 1,4	3417,4 ± 9,8	Arcaico (AR)-Maastrichtiano (k6)		U-Pb LA-MC-ICP-MS	Circón detritico			
4398	AM-7	Formación Las Juntas	Arenita					428,1 ± 6,8	1773,2 ± 12,2	Paleoproterozoico (PP)-Silúrico (S)		U-Pb LA-MC-ICP-MS	Circón detritico			

Dispersión %	Número de granos analizados	Número de aliquotas	Fuente georreferenciación	Coordenada X	Coordenada Y	Sistema de coordenadas	Latitud	Longitud	Referencia	ID referencia	Comentarios
	87		Los autores reportan las coordenadas planas y las geográficas pero estas no coinciden, por lo que se tomaron las coordenadas geográficas y se proyectaron para calcular las nuevas coordenadas planas MAGNA	1054688	1049368	MAGNA_Colombia_Bogota	5° 05' 26,124" N	73° 37' 56,244" W	Horton <i>et al.</i> (2010b)	141	Se presentan picos de edad a 2060–1960, 1870–1760 y 1600–1300 Ma (incluyendo 1590–1510, 1440–1400 y 1380–1300 Ma)
	116		Los autores reportan las coordenadas planas y las geográficas pero estas no coinciden, por lo que se tomaron las coordenadas geográficas y se proyectaron para calcular las nuevas coordenadas planas MAGNA	1140744	1137463	MAGNA_Colombia_Bogota	5° 52' 03,216" N	72° 50' 10,644" W	Horton <i>et al.</i> (2010b)	141	Se presentan picos de edad a 1850–1730, 1580–1350 (incluyendo 14595–1580 y 1480–1350 Ma) y 1050–950 Ma
	30		Se obtuvo las coordenadas del punto a partir de la georreferenciación de la Figura 3	1850240	932885	MAGNA_Colombia_Este	12° 16' 58,967" N	71° 41' 39,968" W	Weber <i>et al.</i> (2010)	336	Se presentan picos de edad concordantes de: ca. 1624, 1456, 462, 252 y 168 Ma. Unos o dos granos entre 1374 ± 45 y 662 ± 9.2 Ma. Edades discordantes de 2650 ± 21,1 y 2408 ± 62 Ma
	104		Se obtuvo las coordenadas del punto a partir de la georreferenciación de la Figura 3	1840747	926773	MAGNA_Colombia_Este	12° 11' 49,564" N	71° 45' 01,411" W	Weber <i>et al.</i> (2010)	336	Se presentan picos de edad a 1558, 1038, 628, 568 y 534 Ma. La edad más joven de 128 ± 3,5 Ma sugiere que la sedimentación es posterior al Cretáceo Temprano
	102		Se obtuvo las coordenadas del punto a partir de la georreferenciación de la Figura 3	1840294	926993	MAGNA_Colombia_Este	12° 11' 34,842" N	71° 44' 54,122" W	Weber <i>et al.</i> (2010)	336	
	3		Se obtuvo las coordenadas del punto a partir de la georreferenciación de la Figura 2	1716641	1004514	MAGNA_Colombia_Bogota	11° 04' 33,629" N	74° 02' 10,308" W	Cardona <i>et al.</i> (2010b)	67	Se presentan picos de edad a 1500–1000 (n = 3), 252 (n = 5) y 157 Ma. La edad sugiere que el depósito del protolito fue después del Jurásico Medio
			Se obtuvo las coordenadas del punto a partir de la georreferenciación de la Figura 2	1725550	996590	MAGNA_Colombia_Bogota	11° 09' 23,547" N	74° 06' 31,405" W	Cardona <i>et al.</i> (2010b)	67	Edad concordante, las edades sugieren una edad del depósito del protolito posterior al Jurásico
	6		Se obtuvo las coordenadas del punto a partir de la georreferenciación de la Figura 3B	1730407	986156	MAGNA_Colombia_Bogota	11° 12' 01,546" N	74° 12' 15,361" W	Cardona <i>et al.</i> (2010b)	67	Edad media, las edades mesoproterozoicas indican introducción de fuentes viejas. Relación (U/Th)<12 indican circones magnéticos
	30		Se obtuvo las coordenadas del punto a partir de la georreferenciación de la Figura 3A	1740930	990857	MAGNA_Colombia_Bogota	11° 17' 44,074" N	74° 09' 40,506" W	Cardona <i>et al.</i> (2010b)	67	Rango de edades, con un pico mayor a los 82 Ma. Relación (U/Th)<12 indican circones magnéticos que hicieron parte del protolito sedimentario
	10		Se obtuvo las coordenadas del punto a partir de la georreferenciación de la Figura 3A	1740930	990857	MAGNA_Colombia_Bogota	11° 17' 44,074" N	74° 09' 40,506" W	Cardona <i>et al.</i> (2010b)	67	Edad media ponderada a partir del análisis de los circones más jóvenes. Relación (U/Th)<12 indican circones magnéticos que hicieron parte del protolito sedimentario
	3		Se obtuvo las coordenadas del punto a partir de la georreferenciación de la Figura 3A	1740930	990857	MAGNA_Colombia_Bogota	11° 17' 44,074" N	74° 09' 40,506" W	Cardona <i>et al.</i> (2010b)	67	Edad media ponderada. Relación (U/Th)<12 indican circones magnéticos que hicieron parte del protolito sedimentario
	95		Se tomaron las coordenadas listadas en los anexos que se diferencian varios metros con respecto a las reportadas en el informe final	1014183	1060559	MAGNA_Colombia_Bogota	4° 43' 27,264" N	73° 31' 53,987" W	Agencia Nacional de Hidrocarburos & Universidad de Caldas (2011b)	4	Se presenta un pico de edad grenvilliano y otro de 457–390 Ma. La muestra es de un núcleo de perforación del pozo UBL–0825
	63		Se tomaron las coordenadas listadas en los anexos que se diferencian varios metros con respecto a las reportadas en el informe final	1014115	1060497	MAGNA_Colombia_Bogota	4° 43' 25,054" N	73° 31' 56,003" W	Agencia Nacional de Hidrocarburos & Universidad de Caldas (2011b)	4	Se presenta un pico de edad a ca. 469,3 Ma. La muestra es de un núcleo de perforación del pozo UBL–0822
	117		Se tomaron las coordenadas listadas en los anexos que se diferencian varios metros con respecto a las reportadas en el informe final	1016246	1060965	MAGNA_Colombia_Bogota	4° 44' 34,433" N	73° 31' 40,768" W	Agencia Nacional de Hidrocarburos & Universidad de Caldas (2011b)	4	Se presentan picos a 1023 y 440,4 Ma. Existen otras poblaciones de edad del Mesozoico medio. La muestra es de un núcleo de perforación del pozo UBL–0801
	36		Se tomaron las coordenadas listadas en los anexos que se diferencian varios metros con respecto a las reportadas en el informe final	1014115	1060497	MAGNA_Colombia_Bogota	4° 43' 25,054" N	73° 31' 56,003" W	Agencia Nacional de Hidrocarburos & Universidad de Caldas (2011b)	4	Se presentan poblaciones de edad a 1226–1087 y 464–414 Ma. La muestra es de un núcleo de perforación del pozo UBL–0820
	83		Se tomaron las coordenadas listadas en los anexos que se diferencian varios metros con respecto a las reportadas en el informe final	1014115	1060497	MAGNA_Colombia_Bogota	4° 43' 25,054" N	73° 31' 56,003" W	Agencia Nacional de Hidrocarburos & Universidad de Caldas (2011b)	4	La muestra es de un núcleo de perforación del pozo UBL–0821
	87		Se tomaron las coordenadas listadas en los anexos que se diferencian varios metros con respecto a las reportadas en el informe final	1014194	1060609	MAGNA_Colombia_Bogota	4° 43' 27,621" N	73° 31' 52,363" W	Agencia Nacional de Hidrocarburos & Universidad de Caldas (2011b)	4	Se presentan picos de edad a 1211,2; 548 y 434 Ma. La muestra es de un núcleo de perforación del pozo UBL–0815
	78		Se tomaron las coordenadas listadas en los anexos que se diferencian varios metros con respecto a las reportadas en el informe final	1014240	1060654	MAGNA_Colombia_Bogota	4° 43' 29,115" N	73° 31' 50,902" W	Agencia Nacional de Hidrocarburos & Universidad de Caldas (2011b)	4	Se presentan picos a 1015,4 y 410 Ma. La muestra es de un núcleo de perforación del pozo UBL–0810
	105		Se tomaron las coordenadas listadas en los anexos que se diferencian varios metros con respecto a las reportadas en el informe final	1014115	1060497	MAGNA_Colombia_Bogota	4° 43' 25,054" N	73° 31' 56,003" W	Agencia Nacional de Hidrocarburos & Universidad de Caldas (2011b)	4	Se presentan poblaciones de edad a 1226–1087 y 464–414 Ma. La muestra es de un núcleo de perforación del pozo UBL–0820
	99		Se tomaron las coordenadas listadas en los anexos que se diferencian varios metros con respecto a las reportadas en el informe final	1014240	1060654	MAGNA_Colombia_Bogota	4° 43' 29,115" N	73° 31' 50,902" W	Agencia Nacional de Hidrocarburos & Universidad de Caldas (2011b)	4	Se presentan picos de edad a 1162,8; 994,8 y 458 Ma. La muestra es de un núcleo de perforación del pozo UBL–0810
	113		Se tomaron las coordenadas listadas en los anexos que se diferencian varios metros con respecto a las reportadas en el informe final	1105261	1167335	MAGNA_Colombia_Bogota	5° 32' 46,140" N	72° 34' 02,856" W	Horton <i>et al.</i> (2010b)	141	Se presentan picos de edad a 1850–1730, 1580–1350 (incluyendo 1495–1580 y 1480–1350) y 1050–950 Ma
	121		Se tomaron las coordenadas listadas en los anexos que se diferencian varios metros con respecto a las reportadas en el informe final	1169927	1118857	MAGNA_Colombia_Oeste	6° 07' 54,323" N	76° 00' 13,526" W	Agencia Nacional de Hidrocarburos & Universidad de Caldas (2011b)	4	
	100		Se tomaron las coordenadas listadas en los anexos que se diferencian varios metros con respecto a las reportadas en el informe final	1169693	1119333	MAGNA_Colombia_Oeste	6° 07' 46,668" N	75° 59' 58,059" W	Agencia Nacional de Hidrocarburos & Universidad de Caldas (2011b)	4	
	119		Los autores reportan las coordenadas planas y las geográficas pero estas no coinciden, por lo que se tomaron las coordenadas geográficas y se proyectaron para calcular las nuevas coordenadas planas MAGNA	1104217	1169157	MAGNA_Colombia_Bogota	5° 32' 12,012" N	72° 33' 03,780" W	Horton <i>et al.</i> (2010b)	141	Señal unimodal con un pico de edad a 1100–920 Ma

ID Datación Radiométrica	Código de la muestra	Unidad geológica	Litología	Edad años BP	Error años	Edad Ma	Error Ma	Edad grano simple menor detrítico	Edad grano simple mayor detrítico	Edad estratigráfica	Edades heredadas	Método de datación	Material analizado	Relación inicial	MSWD	P(X2) %
4399	6BUG126	Formación Tibasosa	Arenita					451,6 ± 20,0	2099,5 ± 166,6	Paleoproterozoico (PP)-Órdovícico (O)		U-Pb LA-MC-ICP-MS	Circón detritico			
4400	JW-Aguadita-01	Complejo Quebradagrande						72,4 ± 1,2	95 ± 2,5	Cenomaniano (k1)-Campaniano (k5)		U-Pb LA-MC-ICP-MS	Circón detritico			
4401	QG-W-01	Complejo Quebradagrande						95,2 ± 1,9	2203,9 ± 54,3	Paleoproterozoico (PP)-Cenomaniano (k1)		U-Pb LA-MC-ICP-MS	Circón detritico			
4402	10RC27	Complejo Quebradagrande	Metarenita					149,2 ± 6,1	2466,7 ± 36,6	Paleoproterozoico (PP)-Jurásico Tardío (J3)		U-Pb LA-ICP-MS	Circón detritico			
4403		Formación Río Negro				130				Hauteriviano (b3)		U-Pb	Circón detritico			
4404	UBL-0812-MP-002	Formación Lutitas de Macanal	Arenita					127 ± 3,4	2704,8 ± 10	Arcaico (AR)-Barremiano (b4)		U-Pb LA-MC-ICP-MS	Circón detritico			
4405	MA-13	Formación Lutitas de Macanal	Arenita					410,8 ± 6,4	2120,2 ± 18,0	Paleoproterozoico (PP)-Devónico (D)		U-Pb LA-MC-ICP-MS	Circón detritico			
4406	SJ-4A	Formación Brechas de Buenavista	Arenita					155,1 ± 1,9	1786,1 ± 21,4	Paleoproterozoico (PP)-Jurásico Tardío (J3)		U-Pb LA-MC-ICP-MS	Circón detritico			
4407	UBL-0802-MP-01	Formación Brechas de Buenavista						156,8 ± 7,7	1646,7 ± 10,9	Paleoproterozoico (PP)-Jurásico Tardío (J3)		U-Pb LA-MC-ICP-MS	Circón detritico			
4408	TB-CV-008	Formación Tambor	Cuarzoarenita					195,1 ± 3,18	1809,9 ± 8,26	Paleoproterozoico (PP)-Jurásico Temprano (J1)		U-Pb LA-MC-ICP-MS	Circón detritico			
4409	GIR08151	Formación Girón	Arenita					178,0 ± 2,5	1635,8 ± 18,0	Paleoproterozoico (PP)-Jurásico Temprano (J1)		U-Pb LA-MC-ICP-MS	Circón detritico			
4410	13080807	Formación Girón	Arenita					371,8 ± 5,8	2164,9 ± 23,9	Paleoproterozoico (PP)-Devónico (D)		U-Pb LA-MC-ICP-MS	Circón detritico			
4411	13080803	Formación Girón	Arenita					372,2 ± 6,6	1866,7 ± 5,0	Paleoproterozoico (PP)-Devónico (D)		U-Pb LA-MC-ICP-MS	Circón detritico			
4412	FS-5	Formación Girón	Arenita					402,4 ± 6,7	1521,6 ± 25,8	Mesoproterozoico (MP)-Devónico (D)		U-Pb LA-MC-ICP-MS	Circón detritico			
4413	13080804	Formación Girón	Arenita					404,7 ± 4,6	1743,9 ± 7,5	Paleoproterozoico (PP)-Devónico (D)		U-Pb LA-MC-ICP-MS	Circón detritico			
4414		Formación La Quinta				180-175,7				Jurásico Temprano (J1)		U-Pb	Circón detritico			
4415	CR-12	Formación La Quinta	Lodolita arenosa					182,43 ± 3,81	1105,98 ± 20,22	Mesoproterozoico (MP)-Jurásico Temprano (J1)		U-Pb LA-MC-ICP-MS	Circón detritico			
4416		Formación Uitpana				161,6	± 3,2			Jurásico Tardío (J3)		U-Pb	Circón detritico			
4417		Formación Rancho Grande				170	± 3,9			Jurásico Medio (J2)		U-Pb	Circón detritico			
4418	10RC32	Complejo Arquía	Metasedimentaria					238,0 ± 3,7	2770,7 ± 25,4	Arcaico (AR)-Triásico Medio (T2)		U-Pb LA-ICP-MS	Circón detritico			
4419	DV19	Complejo Cajamarca	Cuarcita			240-200				Triásico Medio (T2)-Jurásico Temprano (J1)	1200-1000, 600-500 y 400 Ma	U-Pb LA-ICP-MS	Circón detritico			
4420	DV02	Complejo Cajamarca	Gneis			240-220				Triásico Medio (T2)-Triásico Tardío (T3)	600-400 Ma	U-Pb LA-ICP-MS	Circón detritico			
4421	A-19	Complejo de Sevilla	Paragneis granatífero milonitizado			1400-500				Mesoproterozoico (MP)-Cámbrico (e)	1380-1120 (n = 6), 1244 ± 23 (n = 2), 1185 ± 25 (n = 3), 1080-920 (n = 6), 732 ± 16, 614 ± 13 y 529 ± 10 Ma	U-Pb SHRIMP	Circón			

Dispersión %	Número de granos analizados	Número de alicuotas	Fuente georreferenciación	Coordenada X	Coordenada Y	Sistema de coordenadas	Latitud	Longitud	Referencia	ID referencia	Comentarios
	84								Saylor <i>et al.</i> (2011)	263	Se presentan picos mayores de edad a 1800, 1500, 1200 y 1000 Ma. Pico más joven a 943 Ma. Circones detriticos interpretados como indicativo de fuentes cratonicas distales y posiblemente con basamento de la cordillera Oriental localmente expuesto durante el evento de <i>rifting</i> mesozoico
	113								Agencia Nacional de Hidrocarburos & Universidad de Caldas (2011b)	4	
36		Se tomaron las coordenadas listadas en los anexos que se diferencian varios metros con respecto a las reportadas en el informe final	1052801	847921	MAGNA_Colombia_Bogota	5° 04' 20,007" N	75° 26' 55,903" W	Agencia Nacional de Hidrocarburos & Universidad de Caldas (2011b)	4		
50								Cochrane (2013)	79		
								Nova <i>et al.</i> (2012)	200	Edad máxima de acumulación, análisis de circones en 2 muestras	
94		Se tomaron las coordenadas listadas en los anexos que se diferencian varios metros con respecto a las reportadas en el informe final	1015120	1060949	MAGNA_Colombia_Bogota	4° 43' 57,775" N	73° 31' 41,301" W	Agencia Nacional de Hidrocarburos & Universidad de Caldas (2011b)	4	Se presenta una población derivada de fuentes del Cretácico Temprano así como otras poblaciones gnevvillianas (1200–990 Ma) y paleozocicas (400 Ma). La edad deposicional para la Formación Lutitas de Macanal es de ca. 137 Ma, probablemente contemporánea con vulcanismo. La muestra es de un núcleo de perforación del pozo UBL-0812	
84		Los autores reportan las coordenadas planas y las geográficas pero estas no coinciden, por lo que se tomaron las coordenadas geográficas y se proyectaron para calcular las nuevas coordenadas planas MAGNA	1040124	1087748	MAGNA_Colombia_Bogota	4° 57' 30,852" N	73° 17' 10,824" W	Horton <i>et al.</i> (2010b)	141	Se presenta un pico principal a 1080–940 Ma. Picos significativos a 1775–1690, 1570–1460, 1380–1280, 1225–1175 y 505–425 Ma	
108		Los autores reportan las coordenadas planas y las geográficas pero estas no coinciden, por lo que se tomaron las coordenadas geográficas y se proyectaron para calcular las nuevas coordenadas planas MAGNA	987433	1046025	MAGNA_Colombia_Bogota	4° 28' 56,784" N	73° 39' 46,080" W	Horton <i>et al.</i> (2010b)	141	Se presenta un pico principal a 1080–940 Ma. Picos significativos a 1775–1690, 1570–1460, 1380–1280, 1225–1175 y 505–425 Ma	
86		Se tomaron las coordenadas listadas en los anexos que se diferencian varios metros con respecto a las reportadas en el informe final	1016246	1060965	MAGNA_Colombia_Bogota	4° 44' 34,433" N	73° 31' 40,768" W	Agencia Nacional de Hidrocarburos & Universidad de Caldas (2011b)	4	Se presentan picos de edad a 442,8 y 376,2 Ma. La muestra es de un núcleo de perforación del pozo UBL-0802	
63			1304629	1124770	MAGNA_Colombia_Bogota	7° 20' 58,000" N	72° 56' 51,100" W	Mantilla <i>et al.</i> (2013)	172	Se presentan poblaciones de edad a 1810–1338 (n = 9); 1298–939 (n = 26); 756,6 (n = 1); 494–473 (n = 6); 466–436 (n = 12) y 209–195 Ma (n = 9). Las poblaciones de edad son iguales a las de rocas ígneas y metámórficas presentes en el área, indicando un aporte local de sedimentos a la cuenca de depósito	
109		Los autores reportan las coordenadas planas y las geográficas pero estas no coinciden, por lo que se tomaron las coordenadas geográficas y se proyectaron para calcular las nuevas coordenadas planas MAGNA	1275921	1098383	MAGNA_Colombia_Bogota	7° 05' 25,548" N	73° 11' 13,164" W	Horton <i>et al.</i> (2010b)	141	Se presentan picos de edad a 1050–950, 500–470 y 300–180 Ma (con picos internos de 285–260, 220–210 y 200–185 Ma). La edad media ponderada de los cinco granos más jóvenes de la muestra es de 185,4 ± 4,2 Ma (MSWD = 1,0) y es más antigua que la edad de depósito de la Formación Girón	
110		Los autores reportan las coordenadas planas y las geográficas pero estas no coinciden, por lo que se tomaron las coordenadas geográficas y se proyectaron para calcular las nuevas coordenadas planas MAGNA	1153753	1140325	MAGNA_Colombia_Bogota	5° 59' 06,396" N	72° 48' 36,684" W	Horton <i>et al.</i> (2010b)	141	Distribución bimodal con edades concentradas en 1070–960 y 510–440 Ma. Presenta picos subordinados a 1560–1430 y 1250–1150 Ma	
95		Los autores reportan las coordenadas planas y las geográficas pero estas no coinciden, por lo que se tomaron las coordenadas geográficas y se proyectaron para calcular las nuevas coordenadas planas MAGNA	1151024	1141617	MAGNA_Colombia_Bogota	5° 57' 37,476" N	72° 47' 54,888" W	Horton <i>et al.</i> (2010b)	141	Distribución bimodal con edades concentradas en 1070–960 y 510–440 Ma. Presenta picos subordinados a 1430–560 y 1250–1150 Ma	
128		Los autores reportan las coordenadas planas y las geográficas pero estas no coinciden, por lo que se tomaron las coordenadas geográficas y se proyectaron para calcular las nuevas coordenadas planas MAGNA	1134711	1132450	MAGNA_Colombia_Bogota	5° 48' 47,232" N	72° 52' 54,012" W	Horton <i>et al.</i> (2010b)	141	Firma unimodal con el 80 % en el rango de 500–450 Ma y corresponde con la edad de los granitos del Paleozoico inferior del macizo de Floresta y con las firmas de edad detritica de la sucesión devónica–carbonífera	
58		Los autores reportan las coordenadas planas y las geográficas pero estas no coinciden, por lo que se tomaron las coordenadas geográficas y se proyectaron para calcular las nuevas coordenadas planas MAGNA	1151117	1141477	MAGNA_Colombia_Bogota	5° 57' 40,536" N	72° 47' 59,424" W	Horton <i>et al.</i> (2010b)	141	Distribución bimodal con edades concentradas en 1070–960 Ma y 510–440 Ma. Presenta picos subordinados a 1560–1430 y 1250–1150 Ma	
								Nova <i>et al.</i> (2012)	200	Edad máxima de acumulación, análisis de circones en 4 muestras	
7			1595468	1097291	MAGNA_Colombia_Bogota	9° 58' 45,641" N	73° 11' 24,797" W	Montaño (2009)	190	Se presentan picos de edad a 1100, 300–250 y 200–180 Ma. El autor establece el Jurásico Medio como la edad del depósito de la Formación La Quinta	
								Montaño <i>et al.</i> (2012)	191	Edad máxima del depósito de la Formación Uitpana	
								Montaño <i>et al.</i> (2012)	191	Edad máxima de depósito de la Formación Rancho Grande, lo que sugiere que es coetánea con las rocas volcánicas del cerro de La Teta	
69								Cochrane (2013)	79	La edad sugiere que los sedimentos del protolito fueron depositados a 238–234 Ma o antes. Los autores le asignan la muestra al Complejo Cajamarca	
30			986425	836003	MAGNA_Colombia_Bogota	4° 28' 19,000" N	75° 33' 18,100" W	Villagómez <i>et al.</i> (2011a)	326	Subpoblaciones de edades detriticas (n = 30) con un pico mayor a los ~240 Ma y poblaciones prominentes menores a ~600–5600 y ~1200–1000	
12			1020198	901536	MAGNA_Colombia_Bogota	4° 46' 41,800" N	74° 57' 54,200" W	Villagómez <i>et al.</i> (2011a)	326	Edad de poblaciones, el pequeño número de análisis (n = 12) inhibe la extracción de poblaciones de edades útiles, aunque las edades más jóvenes están entre 270 y 220 Ma	
15		Localización tomada de Cardona (2003) [63]	1736950	1053452	MAGNA_Colombia_Bogota	11° 15' 33,115" N	73° 35' 16,734" W	Cardona <i>et al.</i> (2006)	64	Estas edades están relacionadas con las fuentes sedimentarias y constituyen una edad máxima del Cámbrico para el depósito del protolito sedimentario del paragnies	

ID Datación Radiométrica	Código de la muestra	Unidad geológica	Litología	Edad años BP	Error años	Edad Ma	Error Ma	Edad grano simple menor detrítico	Edad grano simple mayor detrítico	Edad estratigráfica	Edades heredadas	Método de datación	Material analizado	Relación inicial	MSWD	P(X2) %
4422		Metasedimentitas de Siniñaná	Cuarrita					268 ± 60	2393 ± 24	Paleoproterozoico (PP)-Pérmino (P)		U-Pb LA-MC-ICP-MS	Circón detritico			
4423	MA-16	Formación Guatiquia	Arenita					347,1 ± 27,4	2176,8 ± 4,0	Paleoproterozoico (PP)-Carbonífero (C)		U-Pb LA-MC-ICP-MS	Circón detritico			
4424	13080811	Formación Cuche	Arenita					376,1 ± 22,8	2021,0 ± 5,5	Paleoproterozoico (PP)-Devónico (D)		U-Pb LA-MC-ICP-MS	Circón detritico			
4425	13080812	Formación Cuche	Arenita					383,0 ± 4,6	1727,2 ± 4,3	Paleoproterozoico (PP)-Devónico (D)		U-Pb LA-MC-ICP-MS	Circón detritico			
4426	13080810	Formación Cuche	Arenita					385,1 ± 9,0	1653,9 ± 9,1	Paleoproterozoico (PP)-Devónico (D)		U-Pb LA-MC-ICP-MS	Circón detritico			
4427	JRG-20-96	Granulita de Los Mangos	Paragneis					996,3 ± 52,9	1372,8 ± 19,2	Mesoproterozoico (MP)-Neoproterozoico (NP)	Tres principales picos a 1315, 1235 y 1025 Ma	U-Pb LA-MC-ICP-MS	Circón detritico			

+

Dispersión %	Número de granos analizados	Número de alicuotas	Fuente georreferenciación	Coordenada X	Coordenada Y	Sistema de coordenadas	Latitud	Longitud	Referencia	ID referencia	Comentarios
	99			1138365	1165914	MAGNA_Colombia_Oeste	5° 50' 43,528" N	75° 34' 46,238" W	Martens <i>et al.</i> (2012)	174	Se presenta una población de edad principal a: 640–500 con picos a 620, 565 y 515 Ma. Otro grupo menor de 800–720 con un pico a 755 y ca. 1040 Ma. El grupo más joven de ca. 325–320 Ma (n = 2). El grano más joven de ca. 291 Ma implica el depósito post Carbonífero tardío de la Formación Simfiana. La principal población de círculos (640–500 Ma) presenta edades panáfricas-brasilianas que indican una afinidad gondwanica, poblaciones definidas con menos granos presentan edades proterozoicas
	109		Los autores reportan las coordenadas planas y las geográficas pero estas no coinciden, por lo que se tomaron las coordenadas geográficas y se proyectaron para calcular las nuevas coordenadas planas MAGNA	1030687	1089877	MAGNA_Colombia_Bogota	4° 52' 23,580" N	73° 16' 02,100" W	Horton <i>et al.</i> (2010b)	141	Se presentan picos mayores de edad a 1070–940 y 500–400 Ma y picos subordinados a 1560–1470 y 1250–1150 Ma
	84		Los autores reportan las coordenadas planas y las geográficas pero estas no coinciden, por lo que se tomaron las coordenadas geográficas y se proyectaron para calcular las nuevas coordenadas planas MAGNA	1152058	1140698	MAGNA_Colombia_Bogota	5° 58' 11,208" N	72° 48' 24,660" W	Horton <i>et al.</i> (2010b)	141	Se presentan picos mayores de edad a 1070–940 y 500–400 Ma y picos subordinados a 1560–1470 y 1250–1150 Ma. La edad media ponderada de los cinco granos más jóvenes de la Formación Cuché dan un límite máximo de edad para el depósito de la unidad de 384,0 ± 3,9 Ma (MSWD = 1,0)
	98		Los autores reportan las coordenadas planas y las geográficas pero estas no coinciden, por lo que se tomaron las coordenadas geográficas y se proyectaron para calcular las nuevas coordenadas planas MAGNA	1151842	1140735	MAGNA_Colombia_Bogota	5° 58' 04,188" N	72° 48' 23,472" W	Horton <i>et al.</i> (2010b)	141	Se presentan picos mayores de edad a 1070–940 Ma y 500–400 Ma y picos subordinados a 1560–1470 y 1250–1150 Ma. La edad media ponderada de los cinco granos más jóvenes de la Formación Cuché dan un límite máximo de edad para el depósito de la unidad de 384,0 ± 3,9 Ma (MSWD = 1,0)
	88		Los autores reportan las coordenadas planas y las geográficas pero estas no coinciden, por lo que se tomaron las coordenadas geográficas y se proyectaron para calcular las nuevas coordenadas planas MAGNA	1152207	1140461	MAGNA_Colombia_Bogota	5° 58' 16,068" N	72° 48' 32,364" W	Horton <i>et al.</i> (2010b)	141	Se presentan picos mayores de edad a 1070–940 y 500–400 Ma, y picos subordinados a 1560–1470 y 1250–1150 Ma. La edad media ponderada de los cinco granos más jóvenes de la Formación Cuché dan un límite máximo de edad para el depósito de la unidad de 384,0 ± 3,9 Ma (MSWD = 1,0)
	58								Cardona <i>et al.</i> (2010a)	66	Edades relacionadas con la fuente del protolito sedimentario

## Anexo B. Referencias citadas en el Anexo A.

1. Abreu, A. 2009. Determinación del área de aporte de la Formación Pendales, cuenca de Sinú–San Jacinto, mediante geocronología U–Pb de circones detriticos: Un aporte a la evolución tectónica del noroccidente colombiano. Tesis de pregrado, Universidad Nacional de Colombia, 24 p. Bogotá.
2. Abreu, A., Jaramillo, J.M. & Martens, U. 2009. Determinación del área de aporte de la Formación Pendales, cuenca Sinú–San Jacinto, mediante geocronología U–Pb en circones detriticos: Un aporte a la evolución tectónica del noroccidente colombiano. XII Congreso Colombiano de Geología. Resúmenes CD ROM, T005–R043. Paipa.
3. Agencia Nacional de Hidrocarburos & Universidad de Caldas. 2011a. Estudio geológico integrado en la cuenca Tumaco onshore. Síntesis cartográfica, sísmica y análisis litoestratigráfico, petrográfico, geocronológico, termocronológico y geoquímico de testigos de perforación y muestras de superficie. Agencia Nacional de Hidrocarburos, inédito, 208 p. Manizales.
4. Agencia Nacional de Hidrocarburos & Universidad de Caldas. 2011b. Estudio integrado de los núcleos y registros obtenidos de los pozos someros (slim holes) perforados por la ANH. Agencia Nacional de Hidrocarburos, inédito, 304 p. Manizales.
5. Altenberger, U. & Concha, A.E. 2005. Late Lower to early Middle Jurassic arc magmatism in the northern Ibagué Batholith, Colombia. Universidad Nacional de Colombia. Geología Colombiana, (30): 87–97. Bogotá.  
URL: <http://www.ciencias.unal.edu.co/uncienias/data-file/geociencias/revistageologia/gcolombiana30/8-RAltenberger.pdf>
6. Álvarez, E. & Parra, E. 1979. Evaluación del prospecto de cobre y molibdeno en las cabeceras del río Muerto, municipio de Acandí, departamento del Chocó. INGEOMINAS & Naciones Unidas, Informe interno 1799, 99 p. Medellín.  
URL: <http://aplicaciones1.ingeominas.gov.co/sicat/html/Metadato.aspx?CID=241384>
7. Álvarez, J. 1981. Determinación de la edad Rb/Sr en rocas del macizo de Garzón, cordillera Oriental de Colombia. Sociedad Colombiana de Geología. Geología Norandina, (4): 31–38. Bogotá.  
URL: [http://www.sociedadcolombianadegeologia.org/publicaciones/geologia\\_norandina/geonorandina04.pdf](http://www.sociedadcolombianadegeologia.org/publicaciones/geologia_norandina/geonorandina04.pdf)
8. Álvarez, J. & Linares, E. 1981a. Edad K/Ar del stock granítico de la quebrada Las Minas, municipio de La Vega, Cauca. Universidad Nacional de Colombia. Boletín de Ciencias de la Tierra, (5–6): 109–112. Medellín.
9. Álvarez, J. & Linares, E. 1981b. Edades K/Ar del Batolito de Piedrancha y el Stock de Arboledas, departamento de Nariño. Universidad Nacional de Colombia. Boletín de Ciencias de la Tierra, (5–6): 113–118. Medellín.
10. Álvarez, J., Marulanda, N., Botero, G. & Linares, E. 1981a. Edad K–Ar del Stock de San Cristóbal, Nariño. Universidad Nacional de Colombia. Boletín de Ciencias de la Tierra, (5–6): 79–82. Medellín.

11. Álvarez, J., Orrego, A., Botero, G. & Linares, E. 1981b. Determinación de edad K–Ar del Stock de Suárez, Cauca. Universidad Nacional de Colombia. Boletín de Ciencias de la Tierra, (5–6): 39–43. Medellín.
12. Álvarez, J. & Linares, E. 1983. Edad K/Ar del plutón granitoide de La Plata, departamento del Huila, Colombia. Sociedad Colombiana de Geología. Geología Norandina, (7): 35–38. Bogotá.  
URL:  
[http://www.sociedadcolombianadegeologia.org/publicaciones/geologia\\_norandina/geonorandina07.pdf](http://www.sociedadcolombianadegeologia.org/publicaciones/geologia_norandina/geonorandina07.pdf)
13. Álvarez, J. & Linares, E. 1985. Una edad K/Ar del macizo de Garzón, departamento del Huila, Colombia. Sociedad Colombiana de Geología. Geología Norandina, (9): 31–33. Bogotá.  
URL:  
[http://www.sociedadcolombianadegeologia.org/publicaciones/geologia\\_norandina/geonorandina09.pdf](http://www.sociedadcolombianadegeologia.org/publicaciones/geologia_norandina/geonorandina09.pdf)
14. Andriessen, P.A.M., Helmens, K.F., Hooghiemstra, H., Riezebos, P.A. & van der Hammen, T. 1993. Absolute chronology of the Pliocene–Quaternary sediment sequence of the Bogota area, Colombia. Quaternary Science Reviews, 12(7): 483–501.  
URL: <http://www.sciencedirect.com/science/article/pii/027737919390066U>
15. Angulo, C. 1962. Evidencias de la serie Barrancoide en el norte de Colombia. Instituto Colombiano de Antropología e Historia. Revista Colombiana de Antropología, 11: 74–88. Bogotá.  
URL:  
[http://www.icanh.gov.co/grupos\\_investigacion/antropologia\\_social/publicaciones\\_seridas\\_antropologia/revista\\_colombiana\\_antropologia/7292](http://www.icanh.gov.co/grupos_investigacion/antropologia_social/publicaciones_seridas_antropologia/revista_colombiana_antropologia/7292)
16. Arango, M.I., Zapata, G. & Martens, U. 2012. Caracterización petrográfica, geoquímica y edad de la Sienita Nefelínica de San José del Guaviare. Universidad Industrial de Santander. Boletín de Geología, 34(1): 15–26. Bucaramanga.  
URL:  
<http://revistas.uis.edu.co/index.php/revistaboletindegeologia/article/view/2712>
17. Aspden, J., Nivia, Á. & Millward, D. 1984. Mapa geológico preliminar, plancha 279 Dagua. Escala 1:100 000. INGEOMINAS. Cali.  
URL:  
[http://aplicaciones1.ingeominas.gov.co/Bodega/i\\_raster/130/10/0100/17805/mapa/pdf/0101178051200002.pdf](http://aplicaciones1.ingeominas.gov.co/Bodega/i_raster/130/10/0100/17805/mapa/pdf/0101178051200002.pdf)
18. Ávila, J., Giraldo, G. & Pardo, A. 2012. Procedencia y geocronología detritica de los Conglomerados de Tatamá: ¿Evidencia de conexión entre las cuencas del Cauca y el Pacífico? Universidad Nacional de Colombia. Geología Colombiana, 37(1): 14–15. Bogotá.  
URL: <http://www.revistas.unal.edu.co/index.php/geocol/article/view/33933>
19. Ayala, R.C., Bayona, G., Ojeda, C., Cardona, A., Valencia, V.A., Padrón, C.E., Yoris, F., Mesa, J. & García, A. 2009. Estratigraffía y procedencia de las unidades comprendidas entre el Campaniano y el Paleógeno en la subcuenca de Cesar: Aportes a la evolución tectónica del área. Universidad Nacional de Colombia. Geología Colombiana, (34): 3–33. Bogotá.

- URL: <http://www.revistas.unal.edu.co/index.php/geocol/article/view/32092>
20. Ayala, R.C., Bayona, G., Cardona, A., Ojeda, C., Montenegro, O.C., Montes, C., Valencia, V.A. & Jaramillo, C. 2012. The Paleogene synorogenic succession in the northwestern Maracaibo block: Tracking intraplate uplifts and changes in sediment delivery systems. *Journal of South American Earth Sciences*, 39(0): 93–111.  
URL: <http://www.sciencedirect.com/science/article/pii/S0895981112000429>
21. Bakker, J. 1990. Tectonic and climatic controls on late Quaternary sedimentary processes in a neotectonic intramontane basin, the Pitalito basin, South Colombia. Tesis de doctorado, Wageningen University and Research Centre, 160 p. Wageningen, Holanda.  
URL: <http://library.wur.nl/WebQuery/clc/521784>
22. Bande, A., Horton, B.K., Ramírez, J.C., Mora, A., Parra, M. & Stockli, D.F. 2012. Clastic deposition, provenance, and sequence of Andean thrusting in the frontal Eastern Cordillera and Llanos foreland basin of Colombia. *Geological Society of America Bulletin*, 124(1–2): 59–76.  
URL: <http://gsabulletin.gsapubs.org/content/124/1-2/59.abstract>
23. Banks, N.G., Calvache, M.L. & Williams, S.N. 1997.  $^{14}\text{C}$  ages and activity for the past 50 ka at volcán Galeras, Colombia. *Journal of Volcanology and Geothermal Research*, 77(1–4): 39–55.  
URL: <http://www.sciencedirect.com/science/article/pii/S0377027396000856>
24. Baquero, E. 1983. Estructura y litología de un área al NW de la península de la Guajira: Un estudio de estratigrafía sísmica. Tesis de pregrado, Universidad Nacional de Colombia, 117 p. Bogotá.
25. Barrero, D. & Vesga, C.J. 1976. Mapa geológico del cuadrángulo K–9 Armero y parte sur del J–9 La Dorada. Escala 1:100 000. INGEOMINAS. Ibagué.  
URL:  
[http://aplicaciones1.ingeominas.gov.co/Bodega/i\\_raster/130/10/0250/01829/mapa/pdf/0101018291300007.pdf](http://aplicaciones1.ingeominas.gov.co/Bodega/i_raster/130/10/0250/01829/mapa/pdf/0101018291300007.pdf)
26. Barrero, D. 1979. Geology of the central Western Cordillera, west of Buga and Roldanillo, Colombia. INGEOMINAS. Publicaciones Geológicas Especiales del INGEOMINAS, (4): 1–75. Bogotá.
27. Bayona, G., Jiménez, G., Silva, C., Cardona, A., Montes, C., Roncancio, J. & Cordani, U.G. 2010a. Paleomagnetic data and K–Ar ages from Mesozoic units of the Santa Marta massif: A preliminary interpretation for block rotation and translations. *Journal of South American Earth Sciences*, 29(4): 817–831.  
URL: <http://www.sciencedirect.com/science/article/pii/S0895981109001680>
28. Bayona, G., Montenegro, O.C., Cardona, A., Jaramillo, C., Lamus, F., Moron, S.E., Quiroz, L., Ruiz, M.C., Valencia, V.A., Parra, M. & Stockli, D.F. 2010b. Estratigrafía, procedencia, subsidencia y exhumación de las unidades paleógenas en el Sinclinal de Usme, sur de la zona axial de la cordillera Oriental. Universidad Nacional de Colombia. *Geología Colombiana*, 35: 5–35. Bogotá.  
URL: <http://www.revistas.unal.edu.co/index.php/geocol/article/view/21100>
29. Bayona, G., Cardona, A., Jaramillo, C., Mora, A., Montes, C., Valencia, V.A., Ayala, R.C., Montenegro, O.C. & Ibáñez Mejía, M. 2012. Early Paleogene magmatism in the northern Andes: Insights on the effects of Oceanic Plateau–

- continent convergence. *Earth and Planetary Science Letters*, 331–332(0): 97–111.  
URL: <http://www.sciencedirect.com/science/article/pii/S0012821X1200129X>
30. Bechon, F. & Monsalve, M.L. 1991. Activité récente préhistorique du volcan Azufral (SW de la Colombie). *Comptes rendus de l'Académie des sciences*, 313(II): 99–104.  
URL: <http://gallica.bnf.fr/ark:/12148/bpt6k63186794/f113.image.langEN>
31. Behling, H. & Hooghiemstra, H. 1998. Late Quaternary palaeoecology and palaeoclimatology from pollen records of the savannas of the Llanos Orientales in Colombia. *Palaeogeography, Palaeoclimatology, Palaeoecology*, 139(3–4): 251–267.  
URL: [http://dx.doi.org/10.1016/S0031-0182\(97\)00139-9](http://dx.doi.org/10.1016/S0031-0182(97)00139-9)
32. Behling, H., Hooghiemstra, H. & Negret, Á.J. 1998a. Holocene history of the Chocó rain forest from Laguna Piusbi, southern Pacific lowlands of Colombia. *Quaternary Research*, 50(3): 300–308.  
URL: <http://www.sciencedirect.com/science/article/pii/S0033589498919986>
33. Behling, H., Negret, Á.J. & Hooghiemstra, H. 1998b. Late Quaternary vegetational and climatic change in the Popayán region, southern Colombian Andes. *Journal of Quaternary Science*, 13(1): 43–53.  
URL: [http://dx.doi.org/10.1002/\(SICI\)1099-1417\(199801/02\)13:1<43::AID-JQS348>3.0.CO;2-G](http://dx.doi.org/10.1002/(SICI)1099-1417(199801/02)13:1<43::AID-JQS348>3.0.CO;2-G)
34. Behling, H. & Hooghiemstra, H. 1999. Environmental history of the Colombian savannas of the Llanos Orientales since the Last Glacial Maximum from lake records El Pinal and Carimagua. *Journal of Paleolimnology*, 21(4): 461–476.  
URL: <http://dx.doi.org/10.1023/A%3A1008051720473>
35. Behling, H. & Hooghiemstra, H. 2000. Holocene Amazon rainforest–savanna dynamics and climatic implications: High-resolution pollen record from Laguna Loma Linda in eastern Colombia. *Journal of Quaternary Science*, 15(7): 687–695.  
URL: [http://dx.doi.org/10.1002/1099-1417\(200010\)15:7<687::AID-JQS551>3.0.CO;2-6](http://dx.doi.org/10.1002/1099-1417(200010)15:7<687::AID-JQS551>3.0.CO;2-6)
36. Bellot Gurlet, L., Poupeau, G., Dorighel, O., Calligaro, T., Dran, J.C. & Salomon, J. 1999. A PIXE/Fission-track dating approach to sourcing studies of obsidian artefacts in Colombia and Ecuador. *Journal of Archaeological Science*, 26(8): 855–860.  
URL: <http://www.sciencedirect.com/science/article/pii/S0305440399903965>
37. Bernal, L., Ibáñez, D., Castro, E., Osorio, J.A., Mantilla, L.C., Clavijo, J., Pinto, J.E., Pérez, A., Páez, L.A., Quintero, I., García, M., Correa, K.J., Gaviria, J.A., Serrano, J.J. & Martínez, A.M. 2006a. Memoria explicativa de la cartografía geológica de la plancha 96 Bocas del Rosario, sur de los departamentos de Bolívar y Cesar y noroeste del departamento de Santander. INGEOMINAS, 126 p. Bogotá.  
URL:  
[http://aplicaciones1.ingeominas.gov.co/Bodega/i\\_vector/230/08/0100/24372/documento/pdf/2105243721101000.pdf](http://aplicaciones1.ingeominas.gov.co/Bodega/i_vector/230/08/0100/24372/documento/pdf/2105243721101000.pdf)
38. Bernal, L., Osorio, J.A., Castro, E., Ibáñez, D., López, E., Mantilla, L.C., Clavijo, J., Pinto, J.E., Quintero, I., Pérez, A., Páez, L.A., Correa, K.J., García,

- C.A., Serrano, J.J., Casas, R., Niz, L.D. & Castellanos, Ó. 2006b. Memoria explicativa de la cartografía geológica de la plancha 64 Barranco de Loba, sur del departamento de Bolívar. INGEOMINAS, 201 p. Bogotá.  
URL:  
[http://aplicaciones1.ingeominas.gov.co/Bodega/i\\_vector/230/08/0100/24370/documento/pdf/2105243701101000.pdf](http://aplicaciones1.ingeominas.gov.co/Bodega/i_vector/230/08/0100/24370/documento/pdf/2105243701101000.pdf)
39. Bernal, L., Osorio, J.A., Duarte, R., Cuellar, M., Mantilla, L.C., Clavijo, J., Pinto, J.E., Páez, L.A., Pérez, A., Quintero, I., García, C.A., Correa, K.J., Lasso, S., Serrano, J.J., Niz, L.D. & Castellanos, Ó. 2006c. Memoria explicativa de la cartografía geológica de la plancha 55 El Banco, sur de los departamentos de Bolívar y Cesar. INGEOMINAS, 176 p. Bogotá.  
URL:  
[http://aplicaciones1.ingeominas.gov.co/Bodega/i\\_vector/230/08/0100/24369/documento/pdf/2105243691101000.pdf](http://aplicaciones1.ingeominas.gov.co/Bodega/i_vector/230/08/0100/24369/documento/pdf/2105243691101000.pdf)
40. Bernal, L., Osorio, J.A., Mantilla, L.C., Clavijo, J., Pinto, J.E., Páez, L.A., Pérez, A., Quintero, I., García, M., Correa, K.J., Serrano, J.J., Gaviria, J.A., Niz, L.D., Navas, G. & Silva, A. 2006d. Memoria explicativa de la cartografía geológica de la plancha 85 Simití, sur de los departamentos de Bolívar y Cesar. INGEOMINAS, 140 p. Bogotá.  
URL:  
[http://aplicaciones1.ingeominas.gov.co/Bodega/i\\_vector/230/08/0100/24371/documento/pdf/2105243711101000.pdf](http://aplicaciones1.ingeominas.gov.co/Bodega/i_vector/230/08/0100/24371/documento/pdf/2105243711101000.pdf)
41. Bernal, R., Rayo, L. & Jaramillo, J.M. 2007. Datación por trazas de fisión: Caso aplicado a un depósito piroclástico de la localidad de Tierra Negra, Boyacá. XI Congreso Colombiano de Geología. Memorias CD ROM, 15 p. Bucaramanga.
42. Berrio, J.C., Behling, H. & Hooghiemstra, H. 2000a. Tropical rain-forest history from the Colombian Pacific area: A 4200-year pollen record from Laguna Jotaordó. *The Holocene*, 10(6): 749–756.  
URL: <http://hol.sagepub.com/content/10/6/749.abstract>
43. Berrio, J.C., Hooghiemstra, H., Behling, H. & van der Borg, K. 2000b. Late Holocene history of savanna gallery forest from Carimagua area, Colombia. *Review of Palaeobotany and Palynology*, 111(3–4): 295–308.  
URL: <http://www.sciencedirect.com/science/article/pii/S0034666700000300>
44. Berrio, J.C., Hooghiemstra, H., Behling, H., Botero, P. & van der Borg, K. 2002a. Late–Quaternary savanna history of the Colombian Llanos Orientales from Lagunas Chenevo and Mozambique: A transect synthesis. *The Holocene*, 12(1): 35–48.  
URL: <http://hol.sagepub.com/content/12/1/35.abstract>
45. Berrio, J.C., Hooghiemstra, H., Marchant, R. & Rangel, O. 2002b. Late–glacial and Holocene history of the dry forest area in the south Colombian, Cauca Valley. *Journal of Quaternary Science*, 17(7): 667–682.  
URL: <http://onlinelibrary.wiley.com/doi/10.1002/jqs.701/abstract>
46. Blanco Quintero, I.F., García Casco, A., Ruiz, E.C., Toro, L.M., Moreno, M., Morata, D. & Vinasco, C.J. 2013. New petrological and geochronological data from the Cajamarca Complex (Central cordillera, Colombia) in the Cajamarca–Ibagué region: Late Jurassic thermal resetting of Triassic metamorphic ages or

- Jurassic orogenic metamorphism? XIV Congreso Colombiano de Geología. Resúmenes CD ROM, p. 247. Bogotá.
47. Boinet, T., Bourgois, J., Bellon, H. & Toussaint, J.F. 1985. Age et répartition du magmatisme Prémésozoïque des Andes de Colombie. Comptes Rendus de l'Académie des Sciences, 300(10): 445–450. París.
48. Bonilla, A., Frantz, J.C., Marques, J.C., Cramer, T., Franco, J.A. & Amaya, Z. 2012. U–Pb age of the Matracá Rapakivi Granite, department of Guainía, Colombia. VIII South American Symposium on Isotope Geology. Resúmenes USB. Medellín.
49. Bonilla, A., Frantz, J.C., Marques, J.C., Cramer, T., Franco, J.A., Mulocher, E. & Amaya, Z. 2013. Petrografía, geoquímica y geocronología del Granito de Parguaza en Colombia. Universidad Industrial de Santander. Boletín de Geología, 35(2): 83–104. Bucaramanga.
- URL:  
<http://revistas.uis.edu.co/index.php/revistaboletindegeologia/article/view/3737>
50. Botero, G. 1963. Contribución al conocimiento de la zona central de Antioquia. Universidad Nacional de Colombia. Anales Facultad de Minas, 57: 1–101. Medellín.
- URL:  
[http://www.accefyn.org.co/cientificos/pdf/07.Contribucion\\_Conocimiento.pdf](http://www.accefyn.org.co/cientificos/pdf/07.Contribucion_Conocimiento.pdf)
51. Botero, G. 1981. Edades radiométricas de algunos plutones colombianos. Universidad Nacional de Colombia. Boletín de Ciencias de la Tierra, (5–6): 135–143. Medellín.
- URL:  
[http://www.accefyn.org.co/cientificos/pdf/gerardoBotero/13.Edades\\_Radiometricas\\_Algunos\\_Plutones\\_colombianos.pdf](http://www.accefyn.org.co/cientificos/pdf/gerardoBotero/13.Edades_Radiometricas_Algunos_Plutones_colombianos.pdf)
52. Bourgois, J., Azéma, J., Tournon, J., Bellon, H., Calle, B., Parra, E., Toussaint, J.F., Glaçon, G., Feinberg, H., De Wever, P. & Origlia, I. 1982. Ages et structures des complexes basiques et ultrabasiques de la façade pacifique entre 3° N et 12° N (Colombie, Panama et Costa Rica). Bulletin de la Société Géologique de France, 24(3): 545–554.
53. Brook, M. 1984. New radiometric age data from SW Colombia. INGEOMINAS & Misión Geológica Británica, Informe interno, 25 p. Cali.
54. Buchely, F., Parra, E., Castillo, H., González, F., Dávila, C.F. & Romero, Ó.A. 2009. Realización de la cartografía geológica y muestreo geoquímico en las planchas 144, 145, 128, 129, 113 y 114 (1580 km<sup>2</sup>). INGEOMINAS & GRP Ltda., 163 p. Bogotá.
- URL:  
<http://aplicaciones1.ingeominas.gov.co/sicat/html/Metadato.aspx?CID=228633>
55. Burel, T. & Vernet, G. 1981. Evidencias de cambios de nivel del mar en el Cuaternario de la región de Cartagena (Bolívar). Centro Interamericano de Fotointerpretación. Revista CIAF, 6(1–3): 77–92. Bogotá.
56. Bustamante, A. 2008. Geotermobarometria, geoquímica, geocronologia e evolução tectônica das rochas da fácie xisto azul nas áreas de Jambaló (Cauca) e Barragán (Valle del Cauca), Colômbia. Tesis de doctorado, Universidade de São Paulo, 178 p. São Paulo.

- URL: <http://www.teses.usp.br/teses/disponiveis/44/44143/tde-22082008-155904/pt-br.php>
57. Bustamante, A., Juliani, C., Hall, C.M. & Essene, E.J. 2011.  $^{40}\text{Ar}/^{39}\text{Ar}$  ages from blueschists of the Jambaló region, Central Cordillera of Colombia: Implications on the styles of accretion in the northern Andes. *Geologica Acta*, 9(3–4): 351–362.
- URL: <http://www.geologica-acta.com/MostrarAbstractAC.do?abstract=gav0903a08>
58. Bustamante, C., Cardona, A., Bayona, G., Mora, A., Valencia, V.A., Gehrels, G.E. & Vervoort, J. 2010. Geocronología U–Pb LA–ICP–MS y correlación regional de las rocas intrusivas del Jurásico Medio del macizo de Garzón, Valle Superior del Magdalena y la cordillera Central, sur de Colombia. Universidad Industrial de Santander. *Boletín de Geología*, 32(2): 93–109. Bucaramanga.
- URL: <http://revistas.uis.edu.co/index.php/revistaboletindegeologia/article/view/2086>
59. Caballero, V., Mora, A., Quintero, I., Blanco, V., Parra, M., Rojas, L.E., López, C., Sánchez, N., Horton, B.K., Stockli, D.F. & Duddy, I. 2013. Tectonic controls on sedimentation in an intermontane hinterland basin adjacent to inversion structures: The Nuevo Mundo syncline, Middle Magdalena Valley, Colombia. En: Nemčok, M., Mora, A.R. & Cosgrove, J.W. (Editores), *Thick-skin-dominated orogens: From initial inversion to full accretion*. Geological Society, London, Special Publications 377, 28 p.
- URL: <http://sp.lyellcollection.org/content/early/2013/05/14/SP377.12.abstract>
60. Calle, B., Toussaint, J.F., Restrepo, J.J. & Linares, E. 1980. Edades K/Ar de dos plutones de la parte septentrional de la cordillera Occidental de Colombia. Sociedad Colombiana de Geología. *Geología Norandina*, (2): 17–20. Bogotá.
- URL: [http://www.sociedadcolombianadegeologia.org/publicaciones/geologia\\_norandina/geonorandina02.pdf](http://www.sociedadcolombianadegeologia.org/publicaciones/geologia_norandina/geonorandina02.pdf)
61. Calvache, M.L. 1988. Catálogo de las edades isotópicas del vulcanismo Neógeno–Cuaternario de Colombia. Sector sur: Volcán Doña Juana hasta la frontera con el Ecuador. INGEOMINAS, informe interno, 64 p. Pasto.
62. Calvache, M.L., Cortés, G.P. & Williams, S.N. 1997. Stratigraphy and chronology of the Galeras volcanic complex, Colombia. *Journal of Volcanology and Geothermal Research*, 77(1–4): 5–19.
- URL: <http://www.sciencedirect.com/science/article/pii/S0377027396000832>
63. Cardona, A. 2003. Correlações entre fragmentos do embasamento pré-Mesozóico da terminação setentrional dos Andes Colombianos, com base em dados isotópicos e geocronológicos. Tesis de maestría, Universidade de São Paulo, 149 p. São Paulo.
64. Cardona, A., Cordani, U.G. & MacDonald, W.D. 2006. Tectonic correlations of pre–Mesozoic crust from the northern termination of the Colombian Andes, Caribbean region. *Journal of South American Earth Sciences*, 21(4): 337–354.
- URL: <http://www.sciencedirect.com/science/article/pii/S089598110600068X>
65. Cardona, A., Valencia, V.A., Bayona, G., Jaramillo, C., Ojeda, G. & Ruiz, J. 2009. U/Pb LA–MC–ICP–MS zircon geochronology and geochemistry from a postcollisional biotite granite of the Baja Guajira basin, Colombia: Implications

for Late Cretaceous and Neogene Caribbean–South American tectonics. *The Journal of Geology*, 117(6): 685–692.

URL:

<http://www.journals.uchicago.edu/doi/abs/10.1086/605776?journalCode=jg>

66. Cardona, A., Chew, D.M., Valencia, V.A., Bayona, G., Mišković, A. & Ibáñez Mejía, M. 2010a. Grenvillian remnants in the northern Andes: Rodinian and Phanerozoic paleogeographic perspectives. *Journal of South American Earth Sciences*, 29(1): 92–104.

URL: <http://www.sciencedirect.com/science/article/pii/S0895981109001102>

67. Cardona, A., Valencia, V.A., Bustamante, C., García, A., Ojeda, G., Ruiz, J., Saldarriaga, M. & Weber, M. 2010b. Tectonomagmatic setting and provenance of the Santa Marta Schists, northern Colombia: Insights on the growth and approach of Cretaceous Caribbean oceanic terranes to the South American continent. *Journal of South American Earth Sciences*, 29(4): 784–804.

URL: <http://www.sciencedirect.com/science/article/pii/S0895981109001424>

68. Cardona, A., Valencia, V.A., Garzón, A., Montes, C., Ojeda, G., Ruiz, J. & Weber, M. 2010c. Permian to Triassic I to S-type magmatic switch in the northeast Sierra Nevada de Santa Marta and adjacent regions, Colombian Caribbean: Tectonic setting and implications within Pangea paleogeography. *Journal of South American Earth Sciences*, 29(4): 772–783.

URL: <http://www.sciencedirect.com/science/article/pii/S0895981110000027>

69. Cardona, A., Valencia, V.A., Bayona, G., Duque, J.F., Ducea, M., Gehrels, G.E., Jaramillo, C., Montes, C., Ojeda, G. & Ruiz, J. 2011a. Early–subduction–related orogeny in the northern Andes: Turonian to Eocene magmatic and provenance record in the Santa Marta Massif and Ranchería basin, northern Colombia. *Terra Nova*, 23(1): 26–34.

URL: <http://onlinelibrary.wiley.com/doi/10.1111/j.1365-3121.2010.00979.x/abstract>

70. Cardona, A., Valencia, V.A., Weber, M., Duque, J., Montes, C., Ojeda, G., Reiners, P., Domanik, K., Nicolescu, S., N. & Villagómez, D. 2011b. Transient Cenozoic tectonic stages in the southern margin of the Caribbean plate: U–Th/He thermochronological constraints from Eocene plutonic rocks in the Santa Marta massif and Serranía de Jarara, northern Colombia. *Geologica Acta*, 9(3–4): 445–466.

URL: <http://www.geologica-acta.com/MostrarAbstractAC.do?abstract=gav0903a13>

71. Cardona, A., Montes, C., Ayala, R.C., Bustamante, C., Hoyos, N., Montenegro, O.C., Ojeda, C., Niño, H., Ramírez, V., Valencia, V.A., Rincón, D., Vervoort, J. & Zapata, S. 2012. From arc–continent collision to continuous convergence, clues from Paleogene conglomerates along the southern Caribbean–South America plate boundary. *Tectonophysics*, 580(0): 58–87.

URL: <http://www.sciencedirect.com/science/article/pii/S0040195112005288>

72. Cardona, A., Montes, C., Valencia, V.A., Vanegas, J., Lara, M. & Weber, M. 2013. Petrogenésis del plutonismo Paleógeno del arco de Panamá: Implicaciones en la construcción de arcos intraoceánicos. XIV Congreso Colombiano de Geología. Resúmenes CD ROM, p. 231–232. Bogotá.

73. Cardona, A., Weber, M., Valencia, V.A., Bustamante, C., Montes, C., Cordani, U.G. & Muñoz, C.M. 2014. Geochronology and geochemistry of the Parashi granitoid, NE Colombia: Tectonic implication of short-lived Early Eocene plutonism along the SE Caribbean margin. *Journal of South American Earth Sciences*, 50(0): 75–92.  
 URL: <http://www.sciencedirect.com/science/article/pii/S089598111300182X>
74. Cepeda, H., Murcia, L.A., Monsalve, M.L., Méndez, R.A. & Núñez, A. 1996. Actividad eruptiva del volcán Machín. VII Congreso Colombiano de Geología, Memorias, III, p. 385–393. Bogotá.
75. Chamois, P. & Evans, L. 2012. Technical report on the Batero–Quinchía project, department of Risaralda, Colombia, NI 43–101 Report. Batero Gold Corporation, inédito, 185 p. Vancouver, Canadá.
76. Cheilletz, A., Feraud, G., Giuliani, G. & Rodríguez, C.T. 1994. Time–pressure and temperature constraints on the formation of Colombian emeralds: An  $^{40}\text{Ar}/^{39}\text{Ar}$  laser microprobe and fluid inclusion study. *Economic Geology*, 89(2): 361–380.  
 URL: <http://economicgeology.org/content/89/2/361.abstract>
77. Cheilletz, A., Giuliani, G., Branquet, Y., Laumonier, B., Sánchez, A.J., Féraud, G. & Arhan, T. 1997. Datation K–Ar et  $^{40}\text{Ar}/^{39}\text{Ar}$  à  $65 \pm 3$  Ma desgîsements d'émeraude du district de Chivor–Macanal: Argument en faveur d'une déformation précoce dans las cordillère Orientale de Colombie. *Comptes Rendus de l'Académie des Sciences*, 324(5): 369–377.  
 URL: [http://horizon.documentation.ird.fr/exl-doc/pleins\\_textes/pleins\\_textes\\_6/b\\_fdi\\_49-50/010018401.pdf](http://horizon.documentation.ird.fr/exl-doc/pleins_textes/pleins_textes_6/b_fdi_49-50/010018401.pdf)
78. Cleef, A.M., Noldus, G.W. & van der Hammen, T. 1995. Estudio palinológico del pleniglacial medio de la sección río Otoño–Manizales Enea (cordillera Central, Colombia). En: van der Hammen, T. & dos Santos, A.G. (Editores), La cordillera Central colombiana, transecto parque Los Nevados (Tercera parte). J. Cramer, Studies on Tropical Andean Ecosystems–Estudios de Ecosistemas Tropandinos 4, p. 441–449. Berlín.
79. Cochrane, R. 2013. U–Pb thermochronology, geochronology and geochemistry of NW South America: Rift to drift transition, active margin dynamics and implications for the volume balance of continents. Tesis de doctorado, Universidad de Ginebra, 191 p. Ginebra, Suiza.  
 URL: <http://archive-ouverte.unige.ch/vital/access/manager/Repository/unige:30029>
80. Cordani, U.G., Cardona, A., Jiménez, D.M., Liu, D. & Nutman, A.P. 2005. Geochronology of Proterozoic basement inliers from the Colombian Andes: Tectonic history of remnants from a fragmented Grenville belt. En: Vaughan, A.P.M., Leat, P.T. & Pankhurst, R.J. (Editores), Terrane processes at the margins of Gondwana. Geological Society of London, Special Publication 246, p. 329–346.  
 URL: <http://sp.lyellcollection.org/content/246/1/329.abstract>
81. Correa Martínez, A.M., Pimentel, M.M., Armstrong, R.A., Laux, J.E. & Ordóñez Carmona, O. 2005. Edad U–Pb SHRIMP y características isotópicas Nd y Sr del Granito de La Iguaná, Antioquia. X Congreso Colombiano de Geología. Resúmenes CD ROM, 6 p. Bogotá.

82. Correa Martínez, A.M., Pimentel, M.M., Restrepo, J.J., Nilson, A., Ordóñez Carmona, O., Martens, U., Laux, J.E. & Junges, S. 2006. U–Pb zircon ages and Nd–Sr isotopes of the Altavista stock and the San Diego gabbro: New insights on Cretaceous arc magmatism in the Colombian Andes. V South American Symposium on Isotope Geology. Resúmenes CD ROM, 3 p. Punta del Este, Uruguay.  
URL: <http://www.vssagi.com/igcp478/AbstractsVSSAGI/212.pdf>
83. Correa Martínez, A.M. 2007. Petrogênese e evolução do Ofiolito de Aburrá, Cordilheira Central dos Andes Colombianos. Tesis de doctorado, Universidade de Brasilia, 204 p. Brasilia.
84. Correal, G., van der Hammen, T. & Lerman, C. 1969. Artefactos líticos de abrigos rocosos en: El Abra, Colombia. Instituto Colombiano de Antropología e Historia. Revista Colombiana de Antropología, 14: 10–46. Bogotá.  
URL:  
[http://www.icanh.gov.co/grupos\\_investigacion/antropologia\\_social/publicaciones\\_seriadas\\_antropologia/revista\\_colombiana\\_antropologia/6248](http://www.icanh.gov.co/grupos_investigacion/antropologia_social/publicaciones_seriadas_antropologia/revista_colombiana_antropologia/6248)
85. Cortés, G.P. 2001. Estudio geológico de los depósitos de lahar asociados a la actividad eruptiva del volcán Cerro Machín. INGEOMINAS, informe interno, 96 p. Manizales.  
URL:  
<http://aplicaciones1.ingeominas.gov.co/sicat/html/Metadato.aspx?CID=153978>
86. Cortés, G.P. & Calvache, M.L. 1997. Geología del volcán Azufral, primera fase (reconocimiento). INGEOMINAS, informe interno, 30 p. Pasto.  
URL:  
<http://aplicaciones1.ingeominas.gov.co/sicat/html/Metadato.aspx?CID=154152>
87. Cuadros, F.A., Botelho, N., Ordóñez Carmona, O. & Matteini, M. 2014. Mesoproterozoic crust in the San Lucas Range (Colombia): An insight into the crustal evolution of the northern Andes. Precambrian Research, 245(0): 186–206.  
URL: <http://www.sciencedirect.com/science/article/pii/S0301926814000539>
88. De Armas, M. 1984. Mapa geológico preliminar, plancha 261 Tuluá. Escala 1:100 000. INGEOMINAS. Cali.  
URL:  
[http://aplicaciones1.ingeominas.gov.co/Bodega/i\\_raster/130/10/0100/17804/mapa/pdf/0101178041300002.pdf](http://aplicaciones1.ingeominas.gov.co/Bodega/i_raster/130/10/0100/17804/mapa/pdf/0101178041300002.pdf)
89. De Souza, H.A.F., Espinosa, A. & Delaloye, M. 1984. K–Ar ages of basic rocks in the Patía Valley, southwest Colombia. Tectonophysics, 107(1–2): 135–145.  
URL: <http://www.sciencedirect.com/science/article/pii/0040195184900313>
90. Delaloye, M. & Fabre, A. 1982. Nuevos datos sobre las intrusiones básicas del Cretáceo en la parte central de la cordillera Oriental (Colombia). IV Congreso Colombiano de Geología. Resúmenes, 1p. Cali.
91. Diederix, H., Hernández, C., Torres, E., Osorio, J.A. & Botero, P. 2009. Resultados preliminares del primer estudio paleoseismológico a lo largo de la Falla de Bucaramanga, Colombia. Universidad Pedagógica y Tecnológica de Colombia. Ingeniería, Investigación y Desarrollo, 9(2): 18–23. Sogamoso.

- URL:  
[http://virtual.uptc.edu.co/revistas2013f/index.php/ingenieria\\_sogamoso/article/view/903](http://virtual.uptc.edu.co/revistas2013f/index.php/ingenieria_sogamoso/article/view/903)
92. Dörr, W., Grösser, J.R., Rodríguez, G.I. & Kramm, U. 1995. Zircon U–Pb age of the Páramo Rico tonalite–granodiorite, Santander Massif (cordillera Oriental, Colombia) and its geotectonic significance. *Journal of South American Earth Sciences*, 8(2): 187–194.  
URL: <http://www.sciencedirect.com/science/article/pii/089598119500004Y>
93. Duque, J.F. 2009. Geocronología ( $U/Pb$  y  $^{40}\text{Ar}/^{39}\text{Ar}$ ) y geoquímica de los intrusivos paleógenos de la Sierra Nevada de Santa Marta y sus relaciones con la tectónica del Caribe y el arco magmático circun–Caribeño. Tesis de maestría, Universidad Nacional Autónoma de México, 189 p. México.  
URL:  
[http://www.geociencias.unam.mx/geociencias/posgrado/tesis/maestria/duque\\_tr\\_jf.pdf](http://www.geociencias.unam.mx/geociencias/posgrado/tesis/maestria/duque_tr_jf.pdf)
94. Duque, J.F., Toro, G.E., Cardona, A. & Calvache, M.L. 2010. Geología, geocronología y geoquímica del volcán Morasurco, Pasto, Colombia. Universidad Nacional de Colombia. *Boletín de Ciencias de la Tierra*, (27): 25–36. Medellín.  
URL: <http://www.revista.unal.edu.co/index.php/rbct/article/view/17047>
95. Echeverry, B. 2008. Datación por huellas de fisión e historia térmica de las rocas encajantes de la mineralización de oro en el distrito minero de Segovia–Remedios en el Norte de Colombia. Universidad Nacional de Colombia. *Boletín de Ciencias de la Tierra*, (22): 135–136. Medellín.  
URL: <http://www.revistas.unal.edu.co/index.php/rbct/article/view/1817>
96. Espinosa, A. 1980. Sur les roches basiques et ultrabasiques du bassin du Patía (Cordillère Occidentale des Andes colombiennes): Etude Géologique et Pétrographique. Tesis de doctorado, Universidad de Ginebra, 242 p. Ginebra, Suiza.
97. Espinosa, A., Delaloye, M. & Wagner, J.J. 1982. Radiometric ages of the Gorgona Island (Colombia), komatiitic ophiolite. *Ophioliti*, 7(2–3): 237–238.
98. Espinosa, A. 1985. El macizo de Ginebra (V), una nueva secuencia ofiolítica sobre el flanco occidental de la cordillera Central. VI Congreso Latinoamericano de Geología. *Memorias*, II, p. 46–57. Medellín.
99. Fabre, A. & Delaloye, M. 1983. Intrusiones básicas cretácicas en las sedimentitas de la parte central de la cordillera Oriental. Sociedad Colombiana de Geología. *Geología Norandina*, (6): 19–28. Bogotá.  
URL:  
[http://www.sociedadcolombianadegeologia.org/publicaciones/geologia\\_norandina/geonorandina06.pdf](http://www.sociedadcolombianadegeologia.org/publicaciones/geologia_norandina/geonorandina06.pdf)
100. Feininger, T., Barrero, D. & Castro, N. 1972. Geología de parte de los departamentos de Antioquia y Caldas (subzona II–B). INGEOMINAS. *Boletín Geológico*, 20(2): 1–173. Bogotá.  
URL:  
[http://aplicaciones1.ingeominas.gov.co/Bodega/i\\_raster/130/10/0000/16315/documento/pdf/0301163150501000.pdf](http://aplicaciones1.ingeominas.gov.co/Bodega/i_raster/130/10/0000/16315/documento/pdf/0301163150501000.pdf)

101. Feininger, T. & Botero, G. 1982. The Antioquian Batholith, Colombia. INGEOMINAS. Publicaciones Geológicas Especiales del INGEOMINAS, (12): 1–150. Bogotá, Colombia.
102. Flynn, J.J., Guerrero, J. & Swisher III, C.C. 1997. Geochronology of the Honda Group. En: Kay, R.F., Madden, R.H., Cifelli, R.L. & Flynn, J.J. (Editores), Vertebrate Paleontology in the Neotropics: The Miocene fauna of La Venta, Colombia. Smithsonian Institution Press, p. 44–59. Washington D.C. USA.
103. Fölster, H., Hetsch, W. & Schrimpf, E. 1977. Late Quaternary paleosols in the Western and Central Cordillera of Colombia. *Palaeogeography, Palaeoclimatology, Palaeoecology*, 21(4): 245–264.  
URL: <http://www.sciencedirect.com/science/article/pii/0031018277900372>
104. Fölster, H. & Hetsch, W. 1978. Paleosol sequences in the Eastern Cordillera of Colombia. *Quaternary Research*, 9(2): 238–248.  
URL: <http://www.sciencedirect.com/science/article/pii/0033589478900716>
105. Fontaine, E. & Stix, J. 1993. Evolution pétrologique et géochimique du complexe de dômes du volcan Azufral (Colombie, Amérique du Sud). *Comptes rendus de l'Académie des Sciences*, 317(II): 1501–1508. París.  
URL: <http://gallica.bnf.fr/ark:/12148/bpt6k58074593/f727.image.langEN>
106. Frantz, J.C., Ordóñez Carmona, O., Franco, E., Groves, D.I. & McNaughton, N.J. 2003. Marmato porphyry intrusion, ages and mineralization. IX Congreso Colombiano de Geología. Resúmenes, p. 214. Medellín.
107. Fujiyoshi, A., Ishizaka, K., Hayase, I. & Tokuyama, A. 1976. Metamorphic and igneous rocks from Medellín–Yarumal and Santa Marta areas, Colombia and their Rb/Sr ages. *Journal of the Geological Society of Japan*, 82(9): 559–563.  
URL:  
[http://ci.nii.ac.jp/els/110003022680.pdf?id=ART0003464975&type=pdf&lang=en&host=cini&order\\_no=&ppv\\_type=0&lang\\_sw=&no=1373489542&cp=](http://ci.nii.ac.jp/els/110003022680.pdf?id=ART0003464975&type=pdf&lang=en&host=cini&order_no=&ppv_type=0&lang_sw=&no=1373489542&cp=)
108. García, C.A., Correa, K.J., Mantilla, L.C. & Bernal, L. 2009. Aspectos petrográficos y geoquímicos de las rocas metamórficas del sector Barranco de Loba (Serranía de San Lucas). Universidad Industrial de Santander. Boletín de Geología, 31(1): 45–60. Bucaramanga.  
URL:  
<http://revistas.uis.edu.co/index.php/revistaboletindegeologia/article/view/165>
109. García, Y.C., Martínez, J.I., Vélez, M.I., Yokoyama, Y., Battarbee, R.W. & Suter, F.D. 2011. Palynofacies analysis of the late Holocene San Nicolás terrace of the Cauca paleolake and paleohydrology of northern South America. *Palaeogeography, Palaeoclimatology, Palaeoecology*, 299(1–2): 298–308.  
URL: <http://www.sciencedirect.com/science/article/pii/S0031018210006759>
110. Geoestudios. 2011. Análisis de laboratorio litogeoquímica, radiocarbono, Ar–Ar, Rb–Sr y Sm–Nd. INGEOMINAS, informe interno, 279 p. Bogotá.
111. Giraldo, M.I. 2010. Esquema geodinámico de la parte noroccidental de la cordillera Central de Colombia. Tesis de maestría, Universidad Nacional de Colombia, 146 p. Medellín.  
URL: <http://www.bdigital.unal.edu.co/2036/1/32106320.2010.pdf>
112. Göbel, V.W. & Stibane, F.R. 1981. Edades K/Ar en hornblendas de plutones tonalíticos, cordillera Occidental, Colombia. Universidad Nacional de Colombia. Boletín de Ciencias de la Tierra, (5–6): 83–84. Medellín.

113. Goff, F., Stimac, J.A., Larocque, A.C.L., Hulen, J.B., McMurtry, G.M., Adams, A.I., Roldán, A., Trujillo Jr., P.E., Counce, D., Chipera, S.J., Mann, D. & Heizler, M. 1994. Gold degassing and decomposition at Galeras Volcano, Colombia. *GSA Today*, 4(10): 243–247.  
URL: <http://www.geosociety.org/gsatoday/archive/4/10/pdf/i1052-5173-4-10-sci.pdf>
114. Goldsmith, R., Marvin, R.F. & Mehnert, H.H. 1971. Radiometric ages in the Santander massif, Eastern Cordillera, Colombian Andes. United States Geological Survey Professional Paper, (750-D): D44–D49. Denver, USA.  
URL: [http://books.google.com.co/books?id=AMhUAAAAYAAJ&pg=SL4-PA44&lpg=SL4-PA44&dq=Radiometric+ages+in+the+Santander+massif,+Eastern+Cordillera,+Colombian+Andes.+United+States+Geological+Survey+Professional+Paper&sOURCE=bl&ots=8L9fzVLKXy&sig=\\_ENs8U2cxaVZT2gRVzPw2CSGN70&hl=es&sa=X&ei=EcXdUfuEFYLKqQHp64DADg&ved=0CCoQ6AEwAA#v=onepage&q=Radiometric%20ages%20in%20the%20Santander%20massif%2C%20Eastern%20Cordillera%2C%20Colombian%20Andes.%20United%20States%20Geological%20Survey%20Professional%20Paper&f=false](http://books.google.com.co/books?id=AMhUAAAAYAAJ&pg=SL4-PA44&lpg=SL4-PA44&dq=Radiometric+ages+in+the+Santander+massif,+Eastern+Cordillera,+Colombian+Andes.+United+States+Geological+Survey+Professional+Paper&sOURCE=bl&ots=8L9fzVLKXy&sig=_ENs8U2cxaVZT2gRVzPw2CSGN70&hl=es&sa=X&ei=EcXdUfuEFYLKqQHp64DADg&ved=0CCoQ6AEwAA#v=onepage&q=Radiometric%20ages%20in%20the%20Santander%20massif%2C%20Eastern%20Cordillera%2C%20Colombian%20Andes.%20United%20States%20Geological%20Survey%20Professional%20Paper&f=false)
115. Gómez, E., Jordan, T.E., Allmendinger, R.W., Hegarty, K., Kelley, S. & Heizler, M. 2003. Controls on architecture of the Late Cretaceous to Cenozoic southern Middle Magdalena Valley basin, Colombia. *Geological Society of America Bulletin*, 115(2): 131–147.  
URL: <http://gsabulletin.gsapubs.org/content/115/2/131.abstract>
116. Gómez, E., Jordan, T.E., Allmendinger, R.W., Hegarty, K. & Kelley, S. 2005. Syntectonic Cenozoic sedimentation in the northern Middle Magdalena Valley basin of Colombia and implications for exhumation of the northern Andes. *Geological Society of America Bulletin*, 117(5–6): 547–569.  
URL: <http://gsabulletin.gsapubs.org/content/117/5-6/547.abstract>
117. González, E., van der Hammen, T. & Flint, R.F. 1965. Late Quaternary glacial and vegetational sequence in valle de Lagunillas, sierra nevada del Cocuy, Colombia. *Leidse Geologische Mededelingen*, 32: 157–182.
118. González, H. 1980. Geología de las planchas 167 (Sonsón) y 187 (Salamina), escala 1:100 000. INGEOMINAS. Boletín Geológico, 23(1): 1–174. Bogotá.  
URL:  
[http://aplicaciones1.ingeominas.gov.co/Bodega/i\\_raster/130/10/0000/14871/documento/pdf/0301148710501000.pdf](http://aplicaciones1.ingeominas.gov.co/Bodega/i_raster/130/10/0000/14871/documento/pdf/0301148710501000.pdf)
119. González, H., Restrepo, J.J. & Toussaint, J.F. 1980. Edad K/Ar del Stock Adamelítico de El Buey, departamento de Antioquia, Colombia. Sociedad Colombiana de Geología. Geología Norandina, (2): 21–24. Bogotá.  
URL:  
[http://www.sociedadcolombianadegeologia.org/publicaciones/geologia\\_norandina/geonorandina02.pdf](http://www.sociedadcolombianadegeologia.org/publicaciones/geologia_norandina/geonorandina02.pdf)
120. González, H., Restrepo, J.J., Toussaint, J.F. & Linares, E. 1981. Edad radiométrica K/Ar del Batolito de Sabanalarga. Universidad Nacional de Colombia. Boletín de Ciencias de la Tierra, (5–6): 23–27. Medellín.
121. González, H. & Londoño, A.C. 1998. Edades K/Ar en algunos cuerpos plutónicos del graben Cauca–Patía y norte de la cordillera Occidental.

- Universidad Nacional de Colombia. Geología Colombiana, (23): 117–131. Bogotá.
- URL: <http://www.revistas.unal.edu.co/index.php/geocol/article/view/31476>
122. González, H. 2010. Geoquímica, geocronología de las unidades litológicas asociadas al Sistema de Fallas Cauca–Romeral, sector centro–sur, Tomo I. INGEOMINAS, informe interno, 412 p. Medellín.  
URL:  
[http://aplicaciones1.ingeominas.gov.co/Bodega/i\\_vector/220/06/0000/24335/documento/pdf/2105243351101000.pdf](http://aplicaciones1.ingeominas.gov.co/Bodega/i_vector/220/06/0000/24335/documento/pdf/2105243351101000.pdf)
123. González Carranza, Z., Berrío, J.C., Hooghiemstra, H., Duivenvoorden, J.F. & Behling, H. 2008. Changes of seasonally dry forest in the Colombian Patía Valley during the early and middle Holocene and the development of a dry climatic record for the northernmost Andes. Review of Palaeobotany and Palynology, 152(1–2): 1–10.  
URL: <http://www.sciencedirect.com/science/article/pii/S0034666708000511>
124. Guerrero, B. & Támara, A. 1982. Petrografía de los intrusivos Triásico–Jurásico y sus relaciones con la Formación Saldaña al occidente de Dolores (Tolima). Tesis de pregrado, Universidad Nacional de Colombia, 63 p. Bogotá.
125. Guerrero, J. 1993. Magnetostratigraphy of the upper part of the Honda Group and Neiva Formation, Miocene uplift of the Colombian Andes. Tesis de doctorado, Duke University, 108 p. Durham, USA.
126. Guillet, B. & Faivre, P. 1981. Tiempo promedio de residencia de la materia orgánica en suelos de Cundinamarca, valle de Guasca–Guatavita, según análisis por el método  $^{14}\text{C}$ . Centro Interamericano de Fotointerpretación. Revista CIAF, 6(1–3): 215–221. Bogotá.  
URL: <http://www.sciencedirect.com/science/article/pii/0031018288901113>
127. Guillet, B., Faivre, P., Mariotti, A. & Khobzi, J. 1988. The  $^{14}\text{C}$  dates and  $^{13}\text{C}/^{12}\text{C}$  ratios of soil organic matter as a means of studying the past vegetation in intertropical regions: Examples from Colombia (South America). Palaeogeography, Palaeoclimatology, Palaeoecology, 65(1–2): 51–58.  
URL: <http://www.sciencedirect.com/science/article/pii/0031018288901113>
128. Hall, R.B., Álvarez, J. & Rico, H. 1972. Geología de parte de los departamentos de Antioquia y Caldas (subzona II–A). INGEOMINAS. Boletín Geológico, 20(1): 1–85. Bogotá.  
URL:  
[http://aplicaciones1.ingeominas.gov.co/Bodega/i\\_raster/130/11/1000/11624/documento/pdf/0101116241101000.pdf](http://aplicaciones1.ingeominas.gov.co/Bodega/i_raster/130/11/1000/11624/documento/pdf/0101116241101000.pdf)
129. Helmens, K.F. & Kuhry, P. 1986. Middle and late Quaternary vegetational and climatic history of the páramo de Agua Blanca (Eastern Cordillera, Colombia). Palaeogeography, Palaeoclimatology, Palaeoecology, 56(3–4): 291–335.  
URL: <http://www.sciencedirect.com/science/article/pii/0031018286901008>
130. Helmens, K.F. 1988. Late Pleistocene glacial sequence in the area of the high plain of Bogotá (Eastern Cordillera, Colombia). Palaeogeography, Palaeoclimatology, Palaeoecology, 67(3–4): 263–283.  
URL: <http://www.sciencedirect.com/science/article/pii/0031018288901563>
131. Helmens, K.F., Andriessen, P.A.M. & Riezebos, P.A. 1990. Absolute chronology. En: Helmens, K.F. (Editor), Neogene–Quaternary geology of the high plain of Bogotá, Eastern Cordillera, Colombia (stratigraphy,

- paleoenvironments and landscape evolution). J. Cramer, *Dissertationes Botanicae*, 163, 202 p. Berlín.
132. Helmens, K.F., Kuhry, P., Rutter, N.W., van der Borg, K. & de Jong, A.F.M. 1996. Warming at 18,000 yr B.P. in the Tropical Andes. *Quaternary Research*, 45(3): 289–299.  
URL: <http://www.sciencedirect.com/science/article/pii/S0033589496900307>
133. Helmens, K.F., Rutter, N.W. & Kuhry, P. 1997. Glacier fluctuations in the Eastern Andes of Colombia (South America) during the last 45,000 radiocarbon years. *Quaternary International*, 38–39: 39–48.  
URL: <http://www.sciencedirect.com/science/article/pii/S1040618296000213>
134. Henrichs, I.A. 2013. Caracterização e idade das intrusivas do sistema Pórfiro Yarumalito, magmatismo Combia, Colombia. Tesis de doctorado, Universidade Federal do Rio Grande do Sul, 68 p. Porto Alegre, Brasil.  
URL:  
<http://www.lume.ufrgs.br/bitstream/handle/10183/72240/000882755.pdf?sequence=1&locale=en>
135. Herd, D.G. & Naeser, C.W. 1974. Radiometric evidence for pre-Wisconsin Glaciation in the northern Andes. *Geology*, 2(12): 603–604.  
URL: <http://geology.gsapubs.org/content/2/12/603.abstract>
136. Herd, D.G. 1982. Glacial and volcanic geology of the Ruiz–Tolima Volcanic Complex, cordillera Central, Colombia. INGEOMINAS. Publicaciones Geológicas Especiales de INGEOMINAS, (8): 1–48. Bogotá.  
URL:  
[http://aplicaciones1.ingeominas.gov.co/Bodega/i\\_raster/110/02/0000/18144/documento/pdf/0101181441101000.pdf](http://aplicaciones1.ingeominas.gov.co/Bodega/i_raster/110/02/0000/18144/documento/pdf/0101181441101000.pdf)
137. Hermelin, M. 1982. Guías excursiones III Congreso Colombiano de Geología (Medellín, Agosto de 1981). Guía para excursiones “geología y geomorfología del oriente antioqueño”. Universidad Nacional de Colombia. Boletín de Ciencias de la Tierra, (7–8): 130–141. Medellín.
138. Hooghiemstra, H. 1984. Vegetational and climatic history of the high plain of Bogotá, Colombia: A continuous record of the last 3.5 million years. J. Cramer, *Dissertationes Botanicae* 79, 368 p. Amsterdam.
139. Hooghiemstra, H. & van der Hammen, T. 1993. Late Quaternary vegetation history and paleoecology of laguna Pedro Palo (subandean forest belt, Eastern Cordillera, Colombia). Review of Palaeobotany and Palynology, 77(3–4): 235–262.  
URL: <http://www.sciencedirect.com/science/article/pii/003466679390006G>
140. Horton, B.K., Parra, M., Saylor, J.E., Nie, J., Mora, A., Torres, V., Stockli, D.F. & Strecker, M.R. 2010a. Resolving uplift of the northern Andes using detrital zircon age signatures. *GSA Today*, 20(7): 4–9.  
URL: <http://www.geosociety.org/gsatoday/archive/20/7/article/i1052-5173-20-7-4.htm>
141. Horton, B.K., Saylor, J.E., Nie, J., Mora, A., Parra, M., Reyes Harker, A. & Stockli, D.F. 2010b. Linking sedimentation in the northern Andes to basement configuration, Mesozoic extension, and Cenozoic shortening: Evidence from detrital zircon U–Pb ages, Eastern Cordillera, Colombia. *Geological Society of America Bulletin*, 122(9–10): 1423–1442.

- URL: <http://gsabulletin.gsapubs.org/content/122/9-10/1423.abstract>
142. Ibáñez Mejía, M., Tassinari, C.C.G. & Jaramillo, J.M. 2007. U–Pb zircon ages of the “Antioquian Batholith”: Geochronological constraints of late Cretaceous magmatism in the central Andes of Colombia. XI Congreso Colombiano de Geología. Memorias CD ROM, 11 p. Bucaramanga.
143. Ibáñez Mejía, M., Jaramillo, J.M. & Valencia, V.A. 2008. U–Th/Pb zircon geochronology by multicollector LA–ICP–MS of the Samaná Gneiss: A Middle Triassic syn–tectonic body in the Central Andes of Colombia, related to the latter stages of Pangea assembly. VI South American Symposium on Isotope Geology. Resúmenes CD ROM, 4 p. San Carlos de Bariloche, Argentina.
144. Ibáñez Mejía, M., Ruiz, J., Valencia, V.A., Cardona, A., Gehrels, G.E. & Mora, A.R. 2011. The Putumayo Orogen of Amazonia and its implications for Rodinia reconstructions: New U–Pb geochronological insights into the Proterozoic tectonic evolution of northwestern South America. Precambrian Research, 191(1–2): 58–77.
- URL: <http://www.sciencedirect.com/science/article/pii/S0301926811001823>
145. Japan International Cooperation Agency & Metal Mining Agency of Japan. 1983. Report on geological survey of Piedrancha area, project of INGEOMINAS. Consolidated report, departamento de Nariño. Fase I, II, y III. JICA, inédito, 46 p. Tokio.
- URL:  
[http://aplicaciones1.ingeominas.gov.co/Bodega/i\\_raster/130/12/0050/17954/documento/pdf/0101179541103000.pdf](http://aplicaciones1.ingeominas.gov.co/Bodega/i_raster/130/12/0050/17954/documento/pdf/0101179541103000.pdf)
146. Jaramillo, J.M. 1981. Determinación de las edades de algunas rocas de la cordillera Central de Colombia por el método de huellas de fisión. Universidad Nacional de Colombia. Boletín de Ciencias de la Tierra, (5–6): 145–146. Medellín.
147. Jaramillo, J.M., Rojas, P. & Garver, J.I. 2005. Neogene's volcanism in the cordillera Oriental of the Andes, Colombia. Earth Sciences Research Journal, 9(1): 19–28.
- URL: [http://www.scielo.org.co/scielo.php?script=sci\\_arttext&pid=S1794-61902005000100002](http://www.scielo.org.co/scielo.php?script=sci_arttext&pid=S1794-61902005000100002)
148. Jaramillo, L., Escobar, R. & Vesga, C.J. 1980. Edades K–Ar de rocas con alteración hidrotermal asociadas al sistema de pórfido de cobre y molibdeno de Mocoa, Intendencia del Putumayo, Colombia. Sociedad Colombiana de Geología. Geología Norandina, (1): 11–18. Bogotá.
- URL:  
[http://www.sociedadcolombianadegeologia.org/publicaciones/geologia\\_norandina/geonorandina01.pdf](http://www.sociedadcolombianadegeologia.org/publicaciones/geologia_norandina/geonorandina01.pdf)
149. Jerez, E.K. 2012. Caracterización petrográfica, geoquímica y geocronológica en rocas ígneas intrusivas de la cuenca Cauca–Patía (CCP), departamento del Cauca, Colombia. Tesis de maestría, Universidad EAFIT, 158 p. Medellín.
- URL: <http://repository.eafit.edu.co/handle/10784/738#.VCxzEPI5N8E>
150. Jiménez, C.A. 2010. Vulcanismo y mineralizaciones cupríferas en la serranía del Perijá. Tesis de pregrado, Universidad Nacional de Colombia, 101 p. Medellín.

- 151.Jiménez, D.M. 2003. Caracterização metamórfica e geocronológica das rochas proterozóicas do Maciço de Garzón–sudeste dos Andes da Colômbia. Tesis de maestría, Universidade de São Paulo, 108 p. São Paulo.
- 152.Kerr, A.C., Marriner, G.F., Arndt, N.T., Tarney, J., Nivia, Á., Saunders, A.D. & Duncan, R.A. 1996. The petrogenesis of Gorgona komatiites, picrites and basalts: New field, petrographic and geochemical constraints. *Lithos*, 37(2–3): 245–260.  
URL: <http://www.sciencedirect.com/science/article/pii/0024493795000399>
- 153.Kerr, A.C., Marriner, G.F., Tarney, J., Nivia, Á., Saunders, A.D., Thirlwall, M.F. & Sinton, C.W. 1997. Cretaceous basaltic terranes in western Colombia: Elemental, chronological and Sr–Nd isotopic constraints on petrogenesis. *Journal of Petrology*, 38(6): 677–702.  
URL: <http://petrology.oxfordjournals.org/cgi/content/abstract/38/6/677>
- 154.Kerr, A.C., Tarney, J., Kempton, P.D., Spadea, P., Nivia, Á., Marriner, G.F. & Duncan, R.A. 2002. Pervasive mantle plume head heterogeneity: Evidence from the late Cretaceous Caribbean–Colombian oceanic plateau. *Journal of Geophysical Research*, 107(B7): 1–13.  
URL: <http://www.agu.org/pubs/crossref/2002/2001JB000790.shtml>
- 155.Kerr, A.C., Tarney, J., Kempton, P.D., Pringle, M. & Nivia, Á. 2004. Mafic pegmatites intruding oceanic plateau gabbros and ultramafic cumulates from Bolívar, Colombia: Evidence for a ‘wet’ mantle plume? *Journal of Petrology*, 45(9): 1877–1906.  
URL: <http://petrology.oxfordjournals.org/content/45/9/1877.abstract>
- 156.Kroonenberg, S., Pichler, H. & Diederix, H. 1982. Cenozoic alkalibasaltic to ultrabasic volcanism in the uppermost Magdalena Valley, southern Huila Department, Colombia. Sociedad Colombiana de Geología. *Geología Norandina*, (5): 19–26. Bogotá.  
URL:  
[http://www.sociedadcolombianadgeologia.org/publicaciones/geologia\\_norandina/geonorandina05.pdf](http://www.sociedadcolombianadgeologia.org/publicaciones/geologia_norandina/geonorandina05.pdf)
- 157.Kuhry, P., Barwold, S., Riezebos, P.A. & van der Hammen, T. 1983. Paleoecología de los últimos 6000 años en el área de la Laguna del Otún–El Bosque. En: van der Hammen, T., Pérez, P & Pinto P. (Editores), La cordillera Central de Colombia–transecto parque Los Nevados. J. Cramer, Studies on Tropical Andean Ecosystems–Estudios de Ecosistemas Tropandinos 1, p. 227–261. Vaduz, Liechtenstein.
- 158.Lalinde, C. 2004. Evidencias paleosísmicas en la región Pereira–Armenia, Colombia. Tesis de maestría, Universidad EAFIT, 149 p. Medellín.
- 159.Lara, M., Cardona, A., Monsalve, G., Yarce, J., Montes, C., Valencia, V.A., Weber, M., De La Parra, F., Espitia, D. & López Martínez, M. 2013. Middle Miocene near trench volcanism in northern Colombia: A record of slab tearing due to the simultaneous subduction of the Caribbean Plate under South and Central America? *Journal of South American Earth Sciences*, 45(0): 24–41.  
URL: <http://www.sciencedirect.com/science/article/pii/S0895981113000023>
- 160.Leal Mejía, H. 2011. Phanerozoic gold metallogeny in the colombian Andes: A tectono–magmatic approach. Tesis de doctorado, Universidad de Barcelona, 989 p. Barcelona.

161. Lesage, G., Richards, J.P., Muehlenbachs, K. & Spell, T.L. 2013. Geochronology, geochemistry, and fluid characterization of the late Miocene Buriticá gold deposit, Antioquia Department, Colombia. *Economic Geology*, 108(5): 1067–1097.  
URL: <http://economicgeology.org/content/108/5/1067.abstract>
162. Lockwood, J.P. 1965. Geology of the Serranía de Jarara area Guajira Peninsula, Colombia. Tesis de doctorado, Princeton University, 237 p. New Jersey, USA.
163. López, M.C. & Audemard, F.A. 2011. Evidence of Holocene compression at Tuluá, along the western foothills of the Central Cordillera of Colombia. En: Audemard, F.A., Michetti, A.M. & McCalpin, J.P. (Editores), *Geological criteria for evaluating seismicity revisited: Forty years of paleoseismic investigations and the natural record of past earthquakes*. Geological Society of America Special Paper 479, p. 91–107.  
URL: <http://specialpapers.gsapsubs.org/content/479/91.abstract>
164. MacDonald, W.D. 1964. Geology of the Serranía de Macuira Área, Guajira Peninsula, Colombia. Tesis de doctorado, Princeton University, 167 p. New Jersey.
165. MacDonald, W.D. & Hurley, P.M. 1969. Precambrian gneisses from northern Colombia, South America. *Geological Society of America Bulletin*, 80(9): 1867–1872.  
URL: <http://gsabulletin.gsapsubs.org/content/80/9/1867.abstract>
166. MacDonald, W.D., Doolan, B.L. & Cordani, U.G. 1971. Cretaceous–early tertiary metamorphic K–Ar age values from the South Caribbean. *Geological Society of America Bulletin*, 82(5): 1381–1388.  
URL: <http://bulletin.geoscienceworld.org/cgi/content/abstract/82/5/1381>
167. MacDonald, W.D. & Opdyke, N.D. 1972. Tectonic rotations suggested by paleomagnetic results from northern Colombia, South America. *Journal of Geophysical Research* 77(29): 5720–5730.  
URL: <http://www.agu.org/pubs/crossref/1972/JB077i029p05720.shtml>
168. MacDonald, W.D. 1980. Anomalous paleomagnetic directions in late tertiary andesitic intrusions of the Cauca depression, Colombian Andes. *Tectonophysics*, 68(3–4): 339–348.  
URL: <http://www.sciencedirect.com/science/article/pii/0040195180901833>
169. Mantilla, L.C., Valencia, V.A., Barra, F., Pinto, J. & Colegial, J. 2009. Geocronología U–Pb de los cuerpos porfiríticos del distrito aurífero de Vetas–California (departamento de Santander, Colombia). Universidad Industrial de Santander. *Boletín de Geología*, 31(1): 31–43. Bucaramanga.  
URL:  
<http://revistas.uis.edu.co/index.php/revistaboletindegeologia/article/view/164>
170. Mantilla, L.C., Mendoza, H., Bissig, T. & Hart, C.J.R. 2011. Nuevas evidencias sobre el magmatismo miocénico en el distrito minero de Vetas–California (macizo de Santander, cordillera Oriental, Colombia). Universidad Industrial de Santander. *Boletín de Geología*, 33(1): 43–58. Bucaramanga.  
URL:  
<http://revistas.uis.edu.co/index.php/revistaboletindegeologia/article/view/2471>

171. Mantilla, L.C., Bissig, T., Cottle, J.M. & Hart, C.J.R. 2012. Remains of early Ordovician mantle-derived magmatism in the Santander Massif (Colombian Eastern Cordillera). *Journal of South American Earth Sciences*, 38(0): 1–12.  
URL: <http://www.sciencedirect.com/science/article/pii/S0895981112000314>
172. Mantilla, L.C., Bissig, T., Valencia, V.A. & Hart, C.J.R. 2013. The magmatic history of the Vetas–California mining district, Santander Massif, Eastern Cordillera, Colombia. *Journal of South American Earth Sciences*, 45(0): 235–249.  
URL: <http://www.sciencedirect.com/science/article/pii/S0895981113000436>
173. Martens, U., Restrepo, J.J. & Ordóñez Carmona, O. 2011. *In situ* U/Pb geochronology reveals distinct crustal domains in the western flank of Colombia's Central Cordillera. XIV Congreso Latinoamericano de Geología y XIII Congreso Colombiano de Geología. Memorias, p. 322. Medellín.
174. Martens, U., Restrepo, J.J. & Solari, L.A. 2012. Sinifaná Metasedimentites and relations with Cajamarca paragneisses of the Central Cordillera of Colombia. Universidad Nacional de Colombia. *Boletín de Ciencias de la Tierra*, (32): 99–110. Medellín.  
URL: <http://www.revistas.unal.edu.co/index.php/rbct/article/view/35878>
175. Martens, U., Restrepo, J.J., Ordóñez Carmona, O. & Correa Martínez, A.M. 2014. The Tahamí and Anacona terranes of the Colombian Andes: Missing links between the South American and Mexican Gondwana margins. *The Journal of Geology*, 122(5): 507–530.  
URL: <http://www.jstor.org/stable/10.1086/677177>
176. Martínez, J.I., Yokoyama, Y., Gómez, A., Delgado, A., Matsuzaki, H. & Rendón, E. 2010. Late Holocene marine terraces of the Cartagena region, southern Caribbean: The product of neotectonism or a former high stand in sea-level? *Journal of South American Earth Sciences*, 29(2): 214–224.  
URL: <http://www.sciencedirect.com/science/article/pii/S0895981109001333>
177. Martínez, J.I., Mayr, C., Yokoyama, Y., Vélez, M.I. & Battarbee, R.W. 2013. The San Nicolás succession of the Cauca paleolake: A late Holocene laminated ria lake record from the Neotropics. *Journal of Paleolimnology*, 49(2): 287–300.  
URL: <http://dx.doi.org/10.1007/s10933-012-9676-4>
178. Martínez, S., Vélez, M., Restrepo, J.J., Toussaint, J.F. & Linares, E. 1981. Datación radiométrica de las pegmatitas de Montebello. Universidad Nacional de Colombia. *Boletín de Ciencias de la Tierra*, (5–6): 29–32. Medellín.
179. Mathur, R., Ruiz, J., Herb, P., Hahn, L. & Burgath, K.P. 2003. Re–Os isotopes applied to the epithermal gold deposits near Bucaramanga, northeastern Colombia. *Journal of South American Earth Sciences*, 15(7): 815–821.  
URL: <http://www.sciencedirect.com/science/article/pii/S0895981102001268>
180. McCourt, W.J. 1984. Mapa geológico preliminar, plancha 262 Génova. Escala 1:100 000. INGEOMINAS. Cali.  
URL:  
[http://aplicaciones1.ingeominas.gov.co/Bodega/i\\_raster/130/10/0100/11632/mapa/pdf/0101116321300104.pdf](http://aplicaciones1.ingeominas.gov.co/Bodega/i_raster/130/10/0100/11632/mapa/pdf/0101116321300104.pdf)
181. McCourt, W.J., Aspden, J.A. & Brook, M. 1984a. New geological and geochronological data from the Colombian Andes: Continental growth by multiple accretion. *Journal of the Geological Society*, 141(5): 831–845.

- URL: <http://jgs.lyellcollection.org/content/141/5/831.abstract>
182. McCourt, W.J., Millward, D. & Espinosa, A. 1984b. Mapa geológico preliminar, plancha 280 Palmira. Escala 1:100 000. INGEOMINAS. Cali.  
URL:  
[http://aplicaciones1.ingeominas.gov.co/Bodega/i\\_raster/130/10/0100/17806/mapa/pdf/0101178061300004.pdf](http://aplicaciones1.ingeominas.gov.co/Bodega/i_raster/130/10/0100/17806/mapa/pdf/0101178061300004.pdf)
183. McCourt, W.J., Mosquera, D., Nivia, Á. & Núñez, A. 1984c. Mapa geológico preliminar, plancha 243 Armenia. Escala 1:100 000. INGEOMINAS. Cali.  
URL:  
[http://aplicaciones1.ingeominas.gov.co/Bodega/i\\_raster/130/10/0100/11632/mapa/pdf/0101116321300101.pdf](http://aplicaciones1.ingeominas.gov.co/Bodega/i_raster/130/10/0100/11632/mapa/pdf/0101116321300101.pdf)
184. McCourt, W.J. & Verdugo, G. 1985. Mapa geológico preliminar, plancha 300 Cali. Escala 1:100 000. INGEOMINAS. Cali.  
URL:  
[http://aplicaciones1.ingeominas.gov.co/Bodega/i\\_raster/130/10/0100/17807/mapa/pdf/0101178071300004.pdf](http://aplicaciones1.ingeominas.gov.co/Bodega/i_raster/130/10/0100/17807/mapa/pdf/0101178071300004.pdf)
185. McCourt, W.J., Muñoz, C.A. & Villegas, H. 1990. Regional geology and gold potential of the Guapi–Napi drainage basin and upper Timbiquí river–Cauca Department, SW Colombia, Phase II. INGEOMINAS & British Geological Survey, informe interno, 62 p. Cali.
186. Mejía, P., Santa, M., Ordóñez Carmona, O. & Pimentel, M.M. 2008. Consideraciones petrográficas, geoquímicas y geocronológicas de la parte occidental del Batolito de Santa Marta. Universidad Nacional de Colombia. DYNA, 75(155): 223–236. Medellín.  
URL: [http://www.scielo.org.co/scielo.php?script=sci\\_arttext&pid=S0012-73532008000200022&nrm=iso](http://www.scielo.org.co/scielo.php?script=sci_arttext&pid=S0012-73532008000200022&nrm=iso)
187. Melief, B. 1989. Late Quaternary history of vegetation in the parque Los Nevados and surroundings (cordillera Central). En: van der Hammen, T., Díaz Piedrahita, S. & Álvarez, V.J. (Editores), La cordillera Central colombiana, transecto parque Los Nevados (Segunda parte). J. Cramer, Studies on Tropical Andean Ecosystems–Estudios de Ecosistemas Tropandinos 3, p. 537–588. Berlín.
188. Méndez, R.A. 2001. Informe sobre la geología y estratigrafía de flujos piroclásticos asociados al volcán cerro Machín. INGEOMINAS, informe interno, 36 p. Manizales.  
URL:  
[http://aplicaciones1.ingeominas.gov.co/Bodega/i\\_raster/130/14/0000/19224/documento/pdf/0101192241101000.pdf](http://aplicaciones1.ingeominas.gov.co/Bodega/i_raster/130/14/0000/19224/documento/pdf/0101192241101000.pdf)
189. Méndez, R.A., Cortés, G.P. & Cepeda, H. 2002. Evaluación de la amenaza volcánica potencial del cerro Machín (departamento del Tolima, Colombia). INGEOMINAS, informe interno, 66 p. Manizales.  
URL:  
[http://aplicaciones1.ingeominas.gov.co/Bodega/i\\_vector/110/02/0100/02601/documento/pdf/0101026011101000.pdf](http://aplicaciones1.ingeominas.gov.co/Bodega/i_vector/110/02/0100/02601/documento/pdf/0101026011101000.pdf)
190. Montaño, P.C. 2009. Caracterización petrográfica y geocronología detrítica de las rocas aflorantes en el arroyo Alberto (Serranía de Perijá), infrayacentes a la

- Formación Río Negro. Tesis de pregrado, Universidad Nacional de Colombia, 20 p. Bogotá.
- URL: [http://www.anh.gov.co/Informacion-Geologica-y-Geofisica/bibliotecaTesisDeGrado/Caracterizacion\\_petrografica\\_y\\_geocronologia\\_detritica\\_en\\_la\\_Serrania\\_del\\_Perija.pdf](http://www.anh.gov.co/Informacion-Geologica-y-Geofisica/bibliotecaTesisDeGrado/Caracterizacion_petrografica_y_geocronologia_detritica_en_la_Serrania_del_Perija.pdf)
191. Montaño, P.C., Nova, G., Bayona, G., Rapalini, A.E., Cardona, A. & Montes, C. 2012. Paleomagnetismo y geocronología detrítica de rocas mesozoicas en la Alta Guajira. Universidad Nacional de Colombia. Geología Colombiana, 37(1): 26. Bogotá.  
URL: <http://www.revistas.unal.edu.co/index.php/geocol/article/view/33946>
192. Montes, C., Guzmán, G., Bayona, G., Cardona, A., Valencia, V.A. & Jaramillo, C. 2010. Clockwise rotation of the Santa Marta massif and simultaneous Paleogene to Neogene deformation of the Plato–San Jorge and Cesar–Ranchería basins. Journal of South American Earth Sciences, 29(4): 832–848.  
URL: <http://www.sciencedirect.com/science/article/pii/S0895981109001059>
193. Montes, L.F. 2007. Exhumación de las rocas metamórficas de alto grado que afloran al oriente del valle del Aburrá, Antioquia. Tesis de maestría, Universidad EAFIT, 124 p. Medellín.
194. Mora, A., Parra, M., Strecker, M.R., Sobel, E.R., Hooghiemstra, H., Torres, V. & Vallejo Jaramillo, J. 2008. Climatic forcing of asymmetric orogenic evolution in the Eastern Cordillera of Colombia. Geological Society of America Bulletin, 120(7–8): 930–949.  
URL: <http://gsabulletin.gsapubs.org/content/120/7-8/930.abstract>
195. Mora, A., Horton, B.K., Mesa, A., Rubiano, J., Ketcham, R.A., Parra, M., Blanco, V., Garcia, D. & Stockli, D.F. 2010. Migration of Cenozoic deformation in the Eastern Cordillera of Colombia interpreted from fission track results and structural relationships: Implications for petroleum systems. AAPG Bulletin, 94(10): 1543–1580.  
URL: <http://aapgbull.geoscienceworld.org/content/94/10/1543.abstract>
196. Muñoz, R., Salinas, R., James, M., Bergmann, H. & Tistl, M. 1990. Mineralizaciones primarias de minerales del grupo del platino y oro en la cuenca de los ríos Condoto e Iró (Chocó, Colombia). INGEOMINAS & Bundesanstalt für Geowissenschaften und Rohstoffe, informe interno, 304 p. Medellín.  
URL:  
<http://aplicaciones1.ingeominas.gov.co/sicat/html/Metadato.aspx?CID=153274>
197. Murcia, L.A. & Pichler, H. 1987. Geoquímica y dataciones radiométricas de las ignimbritas cenozoicas del SW de Colombia. Instituto Geográfico Agustín Codazzi. Revista CIAF, 11(1–3): 346–363. Bogotá.
198. Nie, J., Horton, B.K., Mora, A., Saylor, J.E., Housh, T.B., Rubiano, J. & Naranjo, J. 2010. Tracking exhumation of Andean ranges bounding the Middle Magdalena Valley basin, Colombia. Geology, 38(5): 451–454.  
URL: <http://geology.gsapubs.org/content/38/5/451.abstract>
199. Nie, J., Horton, B.K., Saylor, J.E., Mora, A., Mange, M., Garzione, C.N., Basu, A., Moreno, C.J., Caballero, V. & Parra, M. 2012. Integrated provenance analysis of a convergent retroarc foreland system: U–Pb ages, heavy minerals, Nd isotopes, and sandstone compositions of the Middle Magdalena Valley basin, northern Andes, Colombia. Earth–Science Reviews, 110(1–4): 111–126.

- URL: <http://www.sciencedirect.com/science/article/pii/S0012825211001656>
200. Nova, G., Montaño, P.C., Bayona, G., Rapalini, A.E., Montes, C., Silva, C., Mahecha, H., Cardona, A. & Valencia, V.A. 2012. Contribuciones paleomagnéticas y geocronológicas sobre la paleogeografía del Jurásico en la Serranía del Perijá. Universidad Nacional de Colombia. Geología Colombiana, 37(1): 24. Bogotá.
- URL: <http://www.revistas.unal.edu.co/index.php/geocol/article/view/33938>
201. Núñez, A. 1981. Plutonismo terciario afectando el Batolito de Ibagué. III Congreso Colombiano de Geología. Resúmenes, p. 40. Medellín.
202. Núñez, A., González, H. & Linares, E. 1981. Nuevas edades radiométricas K/Ar de los esquistos verdes del Grupo Cajamarca. Universidad Nacional de Colombia. Boletín de Ciencias de la Tierra, (5–6): 119–126. Medellín.
203. Ochoa, A., Ríos, P.A., Cardozo, A.M., Rodríguez, J., Oviedo, J.A., García, G.D. & Cubides, J.V. 2013. Cartografía geológica y muestreo geoquímico de las planchas 201 bis, 201, 200 y 199, departamento de Vichada. Memoria explicativa. Servicio Geológico Colombiano, 156 p. Bogotá.
- URL:  
<http://aplicaciones1.ingeominas.gov.co/sicat/html/Metadato.aspx?CID=241453>
204. OLADE, Geotérmica Italiana S.R.L & CONTECOL. 1995. Estudio de reconocimiento de los recursos geotérmicos de la República de Colombia. Informe volcanológico. INGEOMINAS. En: Lozano, E. (Editor), Compilación de Estudios Geológicos Oficiales en Colombia, XXI: 49–173.
205. Ordóñez Carmona, O. 1997. O Pré-cambriano na parte norte da Cordilheira Central dos Andes colombianos. Tesis de maestría, Universidad de Brasilia, 90 p. Brasilia.
206. Ordóñez Carmona, O., Pimentel, M.M., de Moraes, R. & Restrepo, J.J. 1999. Rocas grenvillianas en la región de Puerto Berrio–Antioquia. Revista de la Academia Colombiana de Ciencias Exactas, Físicas y Naturales, 23(87): 225–232. Bogotá.
- URL: [http://www.accefyn.org.co/revista/Vol\\_23/87/225-232.pdf](http://www.accefyn.org.co/revista/Vol_23/87/225-232.pdf)
207. Ordóñez Carmona, O. 2001. Caracterização isotópica Rb–Sr e Sm–Nd dos principais eventos magmáticos nos Andes Colombianos. Tesis de doctorado, Universidad de Brasilia, 176 p. Brasilia.
208. Ordóñez Carmona, O. & Pimentel, M.M. 2001. Consideraciones geocronológicas e isotópicas del Batolito Antioqueño. Revista de la Academia Colombiana de Ciencias Exactas, Físicas y Naturales, 25(94): 27–35. Bogotá.
- URL: [http://www.accefyn.org.co/revista/vol\\_25.htm](http://www.accefyn.org.co/revista/vol_25.htm)
209. Ordóñez Carmona, O. & Pimentel, M.M. 2002. Rb–Sr and Sm–Nd isotopic study of the Puquí complex, Colombian Andes. Journal of South American Earth Sciences, 15(2): 173–182.
- URL: <http://www.sciencedirect.com/science/article/pii/S0895981102000172>
210. Ordóñez Carmona, O., Pimentel, M.M. & de Moraes, R. 2002. Granulitas de Los Mangos, un fragmento grenvilliano en la parte oriental de la sierra nevada de Santa Marta. Revista de la Academia Colombiana de Ciencias Exactas, Físicas y Naturales, 26(99): 169–179. Bogotá.
- URL: [http://www.accefyn.org.co/revista/Vol\\_26/99/169-179.pdf](http://www.accefyn.org.co/revista/Vol_26/99/169-179.pdf)

211. Ordóñez Carmona, O., Pimentel, M.M., Valencia, M., Restrepo, J.J. & Gioia, S. 2005. Algunos insucesos geocronológicos Sm–Nd en rocas colombianas. X Congreso Colombiano de Geología. Resúmenes CD ROM, 4 p. Bogotá.
212. Ordóñez Carmona, O., Pimentel, M.M. & Laux, J.H. 2008. Edades U–Pb del Batolito Antioqueño. Universidad Nacional de Colombia. Boletín de Ciencias de la Tierra, (22): 129–130. Medellín.  
URL: <http://www.revistas.unal.edu.co/index.php/rbct/article/view/1814>
213. Ordóñez Carmona, O., Frantz, J.C. & Londoño, C. 2009. Serranía de San Lucas: Mineralizaciones auríferas, intrusiones de 1500 Ma, metamorfismo Grenville y magmatismo Jurásico. XII Congreso Colombiano de Geología. Resúmenes CD ROM, T003–R117. Paipa.
214. Ordóñez Carmona, O., Restrepo, J.J., De Brito, R.S.C., Martens, U. & Rodrigues, J.B. 2011. The late Paleocene age of the Santa Bárbara Batholith (Valle, Colombia) and its implications on the evolution of the Arquía Complex. XIV Congreso Latinoamericano de Geología y XIII Congreso Colombiano de Geología. Memorias, p. 109. Medellín.
215. Orrego, A., Restrepo, J.J., Toussaint, J.F. & Linares, E. 1981. Datación de un esquisto sericítico de Jambaló, Cauca. Universidad Nacional de Colombia. Boletín de Ciencias de la Tierra, (5–6): 133–134. Medellín.
216. Osorio, J.A., Montes, N.E., Velandia, F.A., Acosta, J.E., Romero, J.A., Diederix, H., Audemard, F. & Núñez, A. 2008. Paleoseismología de la Falla de Ibagué. INGEOMINAS. Publicaciones Geológicas Especiales, (29): 1–240. Bogotá.  
URL:  
<http://aplicaciones1.ingeominas.gov.co/sicat/html/Metadato.aspx?CID=220342>
217. Pardo, N. 2004. Estratigrafía de las vulcanitas asociadas al volcán de Paipa y Tuta, departamento de Boyacá, Colombia. Tesis de pregrado, Universidad Nacional de Colombia, 157 p. Bogotá.
218. Parra, M., Mora, A., Jaramillo, C., Strecker, M.R., Sobel, E.R., Quiroz, L., Rueda, M. & Torres, V. 2009a. Orogenic wedge advance in the northern Andes: Evidence from the Oligocene–Miocene sedimentary record of the Medina basin, Eastern Cordillera, Colombia. Geological Society of America Bulletin, 121(5–6): 780–800.  
URL: <http://gsabulletin.gsapubs.org/content/121/5-6/780.abstract>
219. Parra, M., Mora, A., Sobel, E.R., Strecker, M.R. & González, R. 2009b. Episodic orogenic front migration in the northern Andes: Constraints from low-temperature thermochronology in the Eastern Cordillera, Colombia. Tectonics, 28(4): TC4004.  
URL: <http://onlinelibrary.wiley.com/doi/10.1029/2008TC002423/abstract>
220. Pérez, G. 1966. Determinación de la edad de algunas rocas ígneas de Antioquia por el método K/Ar. Tesis de pregrado, Universidad Nacional de Colombia, 46 p. Medellín.
221. Pérez, G. 1967. Determinación de la edad absoluta de algunas rocas de Antioquia por métodos radiactivos. Universidad Nacional de Colombia. DYNA, 84: 27–31. Medellín.

222. Pinson, W.H., Hurley, P.M., Mencher, E. & Fairbairn, H.W. 1962. K–Ar and Rb–Sr ages of biotites from Colombia, South America. *Geological Society of America Bulletin*, 73(7): 907–910.  
URL: <http://gsabulletin.gsapubs.org/content/73/7/907.abstract>
223. Priem, H.N.A., Andriessen, P.A.M., Boelrijk, N.A.I.M., de Boorder, H., Hebeda, E.H., Huguett, A., Verdurmen, E.A.T. & Verschure, R.H. 1982. Geochronology of the Precambrian in the Amazonas region of southeastern Colombia (western Guiana Shield). *Geologie en Mijnbouw*, 61(3): 229–242.
224. Priem, H.N.A., Kroonenberg, S.B., Boelrijk, N.A.I.M. & Hebeda, E.H. 1989. Rb–Sr and K–Ar evidence for the presence of a 1.6 Ga basement underlying the 1.2 Ga Garzón–Santa Marta granulite belt in the Colombian Andes. *Precambrian Research*, 42(3–4): 315–324.  
URL: <http://www.sciencedirect.com/science/article/pii/0301926889900168>
225. Ramírez, C. 1982. El vulcanismo neogénico y Cuaternario de Colombia: Cronología y caracterización químico–petrográfica. Tesis de pregrado, Universidad Nacional de Colombia, 165 p. Bogotá.
226. Ramírez, D.A., López, A., Sierra, G.M. & Toro, G.E. 2006. Edad y proveniencia de las rocas volcánico sedimentarias de la Formación Combia en el suroccidente Antioqueño, Colombia. Universidad Nacional de Colombia. *Boletín de Ciencias de la Tierra*, (19): 9–26. Medellín.  
URL: <http://www.revistas.unal.edu.co/index.php/rbct/article/view/709>
227. Ramírez Arias, J.C., Mora, A., Rubiano, J., Duddy, I., Parra, M., Moreno, N., Stockli, D.F. & Casallas, W. 2012. The asymmetric evolution of the Colombian Eastern Cordillera. Tectonic inheritance or climatic forcing? New evidence from thermochronology and sedimentology. *Journal of South American Earth Sciences*, 39(0): 112–137.  
URL: <http://www.sciencedirect.com/science/article/pii/S0895981112000454>
228. Reichel Dolmatof, G. 1961. Puerto Hormiga: Un complejo prehistórico marginal de Colombia (nota preliminar). Instituto Colombiano de Antropología e Historia. *Revista Colombiana de Antropología*, 10: 348–354. Bogotá.  
URL:  
[http://www.icanh.gov.co/grupos\\_investigacion/antropologia\\_social/publicaciones\\_seriadas\\_antropologia/revista\\_colombiana\\_antropologia/7293](http://www.icanh.gov.co/grupos_investigacion/antropologia_social/publicaciones_seriadas_antropologia/revista_colombiana_antropologia/7293)
229. Rendón, D.A., Toro, G.E. & Trillos, D. 2005. Dataciones de los depósitos de vertiente en el sur oriente de Medellín; nuevos referentes para la evolución del valle de Aburrá. X Congreso Colombiano de Geología. Resúmenes CD ROM, 12 p. Bogotá.
230. Restrepo, J.J. & Toussaint, J.F. 1981a. Datación de una metadiabasa del Grupo Cajamarca. Universidad Nacional de Colombia. *Boletín de Ciencias de la Tierra*, (5–6): 73–76. Medellín.
231. Restrepo, J.J. & Toussaint, J.F. 1981b. Edades radiométricas de algunas rocas de Antioquia, Colombia. Universidad Nacional de Colombia. *Boletín de Ciencias de la Tierra*, (5–6): 1–18. Medellín.
232. Restrepo, J.J. & Toussaint, J.F. 1981c. Ocurrencia de Precámbrico en las cercanías de Medellín, cordillera Central de Colombia. Universidad Nacional de Colombia. *Boletín de Ciencias de la Tierra*, (5–6): 45–57. Medellín.

233. Restrepo, J.J., Toussaint, J.F. & González, H. 1981a. Edades mio-pliocenas del magmatismo asociado a la Formación Combia, departamentos de Antioquia y Caldas, Colombia. Sociedad Colombiana de Geología. Geología Norandina, (3): 21–26. Bogotá.
- URL:  
[http://www.sociedadcolombianadegeologia.org/publicaciones/geologia\\_norandina/geonorandina03.pdf](http://www.sociedadcolombianadegeologia.org/publicaciones/geologia_norandina/geonorandina03.pdf)
234. Restrepo, J.J., Toussaint, J.F., González, H. & Linares, E. 1981b. Datación de metasedimentos del Grupo Ayurá-Montebello. Universidad Nacional de Colombia. Boletín de Ciencias de la Tierra, (5–6): 33–37. Medellín.
235. Restrepo, J.J., Toussaint, J.F., Zuluaga, J. & Hoyos, P. 1981c. Algunas consideraciones sobre la geología de la parte septentrional de la cordillera Occidental. Universidad Nacional de Colombia. Boletín de Ciencias de la Tierra, (5–6): 85–107. Medellín.
236. Restrepo, J.J. 1983. Compilación de edades radiométricas de Colombia: Departamentos andinos hasta 1982. Universidad Nacional de Colombia. Boletín de Ciencias de la Tierra, (7–8): 201–245. Medellín.
237. Restrepo, J.J. 1991a. Datación de algunas cenizas volcánicas de Antioquia por el método de trazas de fisión. En: López Rendón, J.E. (Editor), Environmental Geology and Applied Geomorphology in Colombia. Universidad EAFIT. AGID Report 16, p. 148–157.
238. Restrepo, J.J. 1991b. Datación de algunos plutones de Antioquia por el método de trazas de fisión. Universidad Nacional de Colombia. Boletín de Ciencias de la Tierra, (10): 95–107. Medellín.
239. Restrepo, J.J., Toussaint, J.F., González, H., Cordani, U.G., Kawashita, K., Linares, E. & Parica, C. 1991. Precisiones geocronológicas sobre el occidente colombiano. Simposio sobre magmatismo andino y su marco tectónico. Memorias, I, p. 1–25. Manizales.
240. Restrepo, J.J., Dunlap, W.J., Martens, U., Ordóñez Carmona, O. & Correa Martínez, A.M. 2008. Ar–Ar ages of amphibolites from the Central Cordillera of Colombia and their implications for tectonostratigraphic terrane evolution in the Northwestern Andes. VI South American Symposium on Isotope Geology. Resúmenes CD ROM, 8 p. San Carlos de Bariloche, Argentina.
241. Restrepo, J.J., Ordóñez Carmona, O. & Armstrong, R. 2010. Triassic metamorphism in the northern part of the Central Cordillera of Colombia. VII South American Symposium on Isotope Geology. Resúmenes CD ROM, p. 405–408. Brasilia.
242. Restrepo, J.J., Ordóñez Carmona, O., Armstrong, R. & Pimentel, M.M. 2011. Triassic metamorphism in the northern part of the Tahamí Terrane of the Central Cordillera of Colombia. Journal of South American Earth Sciences, 32(4): 497–507.
- URL: <http://www.sciencedirect.com/science/article/pii/S0895981111000629>
243. Restrepo, J.J., Ibáñez Mejía, M. & García Casco, A. 2012. U–Pb zircon ages of the Medellín amphibolites (Central Cordillera of Colombia) reveal mid-Cretaceous tectonic juxtaposition of Triassic and mid-Cretaceous metamorphic complexes. VIII South American Symposium on Isotope Geology. Presentaciones memoria USB, 33 diapositivas. Medellín.

244. Restrepo Moreno, S.A., Foster, D.A. & Kamenov, G.D. 2007. Formation age and magma sources for the Antioqueño Batholith derived from LA–ICP–MS uranium–lead dating and hafnium–isotope analysis of zircon grains. Geological Society of America Abstracts with Programs, 39(6): 493. Denver, USA.  
URL: [https://gsa.confex.com/gsa/2007AM/finalprogram/abstract\\_132529.htm](https://gsa.confex.com/gsa/2007AM/finalprogram/abstract_132529.htm)
245. Restrepo Moreno, S.A., Foster, D.A., Stockli, D.F. & Parra Sánchez, L.N. 2009. Long–term erosion and exhumation of the “Altiplano Antioqueño”, northern Andes (Colombia) from apatite (U–Th)/He thermochronology. Earth and Planetary Science Letters, 278(1–2): 1–12.  
URL: <http://www.sciencedirect.com/science/article/pii/S0012821X08006390>
246. Restrepo Pace, P.A. 1995. Late Precambrian to early Mesozoic tectonic evolution of the Colombian Andes based on new geocronological, geochemical and isotopic date. Tesis de doctorado, Universidad de Arizona, 195 p. Tucson, USA.  
URL: <http://arizona.openrepository.com/arizona/handle/10150/187450>
247. Restrepo Pace, P.A., Ruiz, J., Gehrels, G.E. & Cosca, M. 1997. Geochronology and Nd isotopic data of Grenville–age rocks in the Colombian Andes: New constraints for late Proterozoic–early Paleozoic paleocontinental reconstructions of the Americas. Earth and Planetary Science Letters, 150(3–4): 427–441.  
URL: <http://www.sciencedirect.com/science/article/pii/S0012821X97000915>
248. Richards, H.G. & Broecker, W. 1963. Emerged Holocene South American shorelines. Science, 141(3585): 1044–1045.  
URL: <http://www.sciencemag.org/content/141/3585/1044.abstract>
249. Risnes, K. 1995. Géodynamique du sud–ouest des Andes colombiennes (dépression du Cauca–Patía) durant le Néogène. Approche paléomagnétique. Tesis de doctorado, Universidad de Ginebra, 169 p. Ginebra, Suiza.
250. Robertson, K.G. 2007. Morfotectónica y dataciones del fallamiento activo del piedemonte llanero, Colombia, Sudamérica. Universidad Nacional de Colombia. Cuadernos de Geografía–Revista Colombiana de Geografía, (16): 109–120.  
URL: <http://www.revistas.unal.edu.co/index.php/rcg/article/view/10164>
251. Rodríguez, G., Sepúlveda, J., Ramírez, C., Ortiz, F.H., Ramos, K., Bermúdez, J.G. & Sierra, M.I. 2011. Unidades, petrografía y composición química del Complejo Migmatítico de Mitú en los alrededores de Mitú. Universidad Industrial de Santander. Boletín de Geología, 33(1): 27–42. Bucaramanga.  
URL:  
<http://revistas.uis.edu.co/index.php/revistaboletindegeologia/article/view/2470>
252. Rodríguez, G. & Zapata, G. 2012. Características del plutonismo Mioceno superior en el segmento norte de la cordillera Occidental e implicaciones tectónicas en el modelo geológico del noroccidente colombiano. Universidad Nacional de Colombia. Boletín de Ciencias de la Tierra, (31): 5–22. Medellín.  
URL: <http://www.revistas.unal.edu.co/index.php/rbct/article/view/31250>
253. Rodríguez, G., Arango, M.I. & Bermúdez, J.G. 2012a. Batolito de Sabanalarga, plutonismo de arco en la zona de sutura entre las cortezas oceánica y continental de los Andes del Norte. Universidad Nacional de Colombia. Boletín de Ciencias de la Tierra, (32): 81–98. Medellín.  
URL: <http://www.revistas.unal.edu.co/index.php/rbct/article/view/35879>

254. Rodríguez, G., González, H., Restrepo, J.J., Martens, U. & Cardona, J.D. 2012b. Occurrence of granulites in the northern part of the Western Cordillera of Colombia. Universidad Industrial de Santander. Boletín de Geología, 34(2): 37–53. Bucaramanga.
- URL:  
<http://revistas.uis.edu.co/index.php/revistaboletindegeologia/article/view/3111>
255. Rodríguez, G. & Arango, M.I. 2013. Formación Barroso: Arco volcánico toleítico y diabasas de San José de Urama, un prisma acrecionario T–MORB en el segmento norte de la cordillera Occidental de Colombia. Universidad Nacional de Colombia. Boletín de Ciencias de la Tierra, (33): 17–38. Medellín.
- URL: <http://www.revistas.unal.edu.co/index.php/rbct/article/view/38687>
256. Rodríguez, J.V. 2010. Fábrica y emplazamiento de la Diorita de Pueblito, NW cordillera Central de Colombia: Análisis de fábrica magnética y mineral. Tesis de maestría, Universidad Nacional de Colombia, 60 p. Medellín.
- URL: <http://www.bdigital.unal.edu.co/3474/>
257. Romero Ordóñez, F.H., Schultz Gütter, R.A. & Kogi, K. 2000. Geoquímica del rubidio–estroncio y edad de las esmeraldas colombianas. Universidad Nacional de Colombia. Geología Colombiana, 25: 221–239. Bogotá.
- URL: <http://www.revistas.unal.edu.co/index.php/geocol/article/view/31551>
258. Saenz, E.A., Paucar, C.G. & Restrepo, J.J. 1996. Estudio de la evolución térmica del Batolito Antioqueño por huellas de fisión. VII Congreso Colombiano de Geología. Memorias, II, p. 240–251. Bogotá.
259. Salinas, R., Muñoz, R., Burgath, K.P. & Tistl, M. 1992. Mineralizaciones primarias de elementos del grupo del platino en el Complejo Ultramáfico Zonado del Alto Condoto, Chocó, Colombia. INGEOMINAS & Bundesanstalt für Geowissenschaften und Rohstoffe, Informe interno 2140, 216 p. Medellín.
- URL:  
<http://aplicaciones1.ingeominas.gov.co/sicat/html/Metadato.aspx?CID=217824>
260. Salomons, J.B. 1989. Paleoecology of volcanic soils in the Colombian Central Cordillera (Parque Nacional Natural de los Nevados). En: van der Hammen, T., Díaz Piedrahita, S. & Álvarez, V.J. (Editores), La cordillera Central colombiana, transecto parque Los Nevados (Segunda parte). J. Cramer, Studies on Tropical Andean Ecosystems–Estudios de Ecosistemas Tropandinos 3, p. 15–216. Berlín.
261. Sánchez, J., Horton, B.K., Tesón, E., Mora, A., Ketcham, R.A. & Stockli, D.F. 2012. Kinematic evolution of Andean fold–thrust structures along the boundary between the Eastern Cordillera and Middle Magdalena Valley basin, Colombia. Tectonics, 31(3): TC3008.
- URL: <http://onlinelibrary.wiley.com/doi/10.1029/2011TC003089/abstract>
262. Santacruz, L., Redwood S., Molano, J.C. & Cecchi, A. 2013. Nuevos avances acerca del depósito epitermal de Marmato; la importancia del modelo colector del líquido de bismuto y sus implicaciones. XIV Congreso Colombiano de Geología. Resúmenes CD ROM, p. 380–381. Bogotá.
263. Saylor, J.E., Horton, B.K., Nie, J., Corredor, J. & Mora, A. 2011. Evaluating foreland basin partitioning in the northern Andes using Cenozoic fill of the Floresta basin, Eastern Cordillera, Colombia. Basin Research, 23(4): 377–402.
- URL: <http://onlinelibrary.wiley.com/doi/10.1111/j.1365-2117.2010.00493.x/abstract>

264. Saylor, J.E., Horton, B.K., Stockli, D.F., Mora, A. & Corredor, J. 2012a. Structural and thermochronological evidence for Paleogene basement-involved shortening in the axial Eastern Cordillera, Colombia. *Journal of South American Earth Sciences*, 39(0): 202–215.  
URL: <http://www.sciencedirect.com/science/article/pii/S0895981112000466>
265. Saylor, J.E., Stockli, D.F., Horton, B.K., Nie, J. & Mora, A. 2012b. Discriminating rapid exhumation from syndepositional volcanism using detrital zircon double dating: Implications for the tectonic history of the Eastern Cordillera, Colombia. *Geological Society of America Bulletin*, 124(5–6): 762–779.  
URL: <http://gsabulletin.gsapubs.org/content/early/2012/01/13/B30534.1.abstract>
266. Schreve Brinkman, E.J. 1978. A palynological study of the upper Quaternary sequence in the El Abra corridor and rock shelters (Colombia). *Palaeogeography, Palaeoclimatology, Palaeoecology*, 25(1–2): 1–109.  
URL: <http://www.sciencedirect.com/science/article/pii/0031018278900743>
267. Schwabe, E. 2001. Termocronología por trazas de fisión en el Valle Superior del Magdalena. Tesis de maestría, Universidad EAFIT, 37 p. Medellín.
268. Schwabe, E., Toro, G.E., Kairuz, C. & Ferreira, P. 2001. Edades por trazas de fisión de circones provenientes de la Formación Saldaña, Valle Superior del Magdalena. Universidad Industrial de Santander. *Boletín de Geología*, 23(38): 31–40. Bucaramanga.
269. Serrano, L., Ferrari, L., López Martínez, M., Petrone, C.M. & Jaramillo, C. 2011. An integrative geologic, geochronologic and geochemical study of Gorgona Island, Colombia: Implications for the formation of the Caribbean Large Igneous Province. *Earth and Planetary Science Letters*, 309(3–4): 324–336.  
URL: <http://www.sciencedirect.com/science/article/pii/S0012821X11004262>
270. Shagam, R., Kohn, B.P., Banks, P.O., Dasch, L.E., Vargas, R., Rodríguez, G.I. & Pimentel, N. 1984. Tectonic implications of Cretaceous–Pliocene fission-track ages from rocks of the circum-Maracaibo basin region of western Venezuela and eastern Colombia. En: Bonini, W.E., Hargraves, R.B. & Shagam, R. (Editores), *The Caribbean–South American plate boundary and regional tectonics*. Geological Society of America, Memoir 162, p. 385–412.  
URL: <http://memoirs.gsapubs.org/content/162/385.abstract>
271. Sillitoe, R.H., Jaramillo, L., Damon, P.E., Shafiqullah, M. & Escobar, R. 1982. Setting, characteristics, and age of the Andean porphyry copper belt in Colombia. *Economic Geology*, 77(8): 1837–1850.  
URL: <http://economicgeology.org/content/77/8/1837.abstract>
272. Silva, D. 1999. Datación y correlación de las tefras depositadas en los alrededores del valle del Aburrá. Tesis de pregrado, Universidad EAFIT, 60 p. Medellín.
273. Sinton, C.W., Duncan, R.A., Storey, M., Lewis, J. & Estrada, J.J. 1998. An oceanic flood basalt province within the Caribbean plate. *Earth and Planetary Science Letters*, 155(3–4): 221–235.  
URL: <http://www.sciencedirect.com/science/article/pii/S0012821X97002148>
274. Takemura, A., Takai, M., Danhara, T. & Setoguchi, T. 1992. Fission–track ages of the Villavieja Formation of the Miocene Honda Group in La Venta,

- Department of Huila, Colombia. Kyoto University Overseas Research Reports of New World Monkeys, (VIII): 19–27.
275. Takemura, K. & Danhara, T. 1983. Edad por huellas de fisión de las piedras pómex incluidas en la Formación Gigante, norte de Neiva, Colombia. Kyoto University Overseas Research Reports of New World Monkeys, (III): 17–18.
276. Takemura, K. & Danhara, T. 1986. Fission-track dating the upper part of Miocene Honda Group in La Venta Badlands, Colombia. Kyoto University Overseas Research Reports of New World Monkeys, (V): 31–38.
277. Tassinari, C.C.G., Díaz Pinzón, F & Buenaventura, J. 2008. Age and sources of gold mineralization in the Marmato mining district, NW Colombia: A Miocene–Pliocene epizonal gold deposit. *Ore Geology Reviews*, 33(3–4): 505–518.  
URL: <http://www.sciencedirect.com/science/article/pii/S0169136807000698>
278. Théry, J.M. 1980. Évolution géotectonique de l'occident Colombien, nouvelles données. *Bulletin Centre du recherche du Pau*, 4(2): 649–660.
279. Théry, J.M., Esquevin, J. & Menendez, R. 1977. Signification géotectonique de datations radiométriques dans des sondages de Basse Magdalena (Colombie). *Bulletin des Centres de Recherches Exploration–Production Elf–Aquitaine*, 1(2): 475–494.
280. Thouret, J.C., Murcia, L.A., Salinas, R. & Perignon, V. 1985. Cronoestratigrafía mediante dataciones K/Ar y  $^{14}\text{C}$  de los volcanes compuestos del complejo Ruiz–Tolima y aspectos volcano–estructurales del Nevado del Ruiz (cordillera Central, Colombia). VI Congreso Latinoamericano de Geología. Memorias, I, p. 385–454. Medellín.
281. Thouret, J.C. 1989. Geomorfología y cronoestratigrafía del macizo volcánico Ruiz–Tolima (cordillera Central colombiana)/Geomorphology and chronostratigraphy of the Ruiz–Tolima volcanic area (colombian Central cordillera). En: van der Hammen, T., Díaz Piedrahita, S. & Álvarez, V.J. (Editores), *La cordillera Central colombiana, transecto parque Los Nevados (Segunda parte)*. J. Cramer, Studies on Tropical Andean Ecosystems–Estudios de Ecosistemas Tropandinos 3, p. 257–277. Berlín.
282. Thouret, J.C., Cantagrel, J.M., Salinas, R. & Murcia, L.A. 1990. Quaternary eruptive history of Nevado del Ruiz (Colombia). *Journal of Volcanology and Geothermal Research*, 41(1–4): 225–251.  
URL: <http://www.sciencedirect.com/science/article/pii/0377027390900903>
283. Thouret, J.C., Cantagrel, J.M., Robin, C., Murcia, A., Salinas, R. & Cepeda, H. 1995a. Quaternary eruptive history and hazard–zone model at Nevado del Tolima and Cerro Machín volcanoes, Colombia. *Journal of Volcanology and Geothermal Research*, 66(1–4): 397–426.  
URL: <http://www.sciencedirect.com/science/article/pii/037702739400073P>
284. Thouret, J.C., van der Hammen, T., Juvigne, E. & Salomons, J.B. 1995b. Geología del Cuaternario reciente en el macizo volcánico del Ruiz–Tolima (cordillera Central)/Late Quaternary geology of the volcanic Ruiz–Tolima massif (Central Cordillera). En: van der Hammen, T. & dos Santos, A.G. (Editores), *La cordillera Central colombiana, transecto parque Los Nevados (Tercera parte)*. J. Cramer, Studies on Tropical Andean Ecosystems–Estudios de Ecosistemas Tropandinos 4, p. 183–241. Berlín.

- 285.Thouret, J.C., van der Hammen, T., Salomons, B. & Juvigné, E. 1997. Late Quaternary glacial stades in the Cordillera Central, Colombia, based on glacial geomorphology, tephra–soil stratigraphy, palynology, and radiocarbon dating. *Journal of Quaternary Science*, 12(5): 347–369.  
URL: [http://onlinelibrary.wiley.com/doi/10.1002/\(SICI\)1099-1417\(199709/10\)12:5%3C347::AID-JQS319%3E3.0.CO;2-%23/abstract](http://onlinelibrary.wiley.com/doi/10.1002/(SICI)1099-1417(199709/10)12:5%3C347::AID-JQS319%3E3.0.CO;2-%23/abstract)
- 286.Tistl, M., Burgath, K.P., Höhndorf, A., Kreuzer, H., Muñoz, R. & Salinas, R. 1994. Origin and emplacement of tertiary ultramafic complexes in northwest Colombia: Evidence from geochemistry and K–Ar, Sm–Nd and Rb–Sr isotopes. *Earth and Planetary Science Letters*, 126(1–3): 41–59.  
URL: <http://www.sciencedirect.com/science/article/pii/0012821X94902410>
- 287.Toro, G.E. 1988. Etude du volcan de San Diego (Caldas), et des dépôts de Nariño (Antioquia), Colombia. Contributions à l'étude des tephras en climats tropicaux humides. Tesis de maestría, Universidad de Lieja, 109 p. Lieja, Francia.
- 288.Toro, G.E. & Hermelin, M. 1989. Tefraestratigrafía del departamento de Antioquia. Centro de investigaciones de la Universidad EAFIT, inédito, 171 p. Medellín.
- 289.Toro, G.E. & Hermelin, M. 1991. Tefraestratigrafía del departamento de Risaralda. Centro de investigaciones de la Universidad EAFIT, inédito, 131 p. Medellín.
- 290.Toro, G.E. 1999. Tephrochronologie de la Colombie centrale (Département d'Antioquia et abanico de Pereira) une approche stratigraphique, géochimique, minéralogique et géochronologique (par  $^{14}\text{C}$  et traces de fission). Tesis de doctorado, Université Joseph Fourier–Grenoble, 299 p. Grenoble, Francia.  
URL: <http://tel.archives-ouvertes.fr/tel-00710305/>
- 291.Toro, G.E., Restrepo, J.J., Poupeau, G., Sáenz, E. & Azdimousa, A. 1999. Datación por trazas de fisión de circones rosados asociados a la secuencia volcanosedimentaria de Irra (Caldas). Universidad Nacional de Colombia. *Boletín de Ciencias de la Tierra*, (13): 28–34. Medellín.
- 292.Toro, G.E., Hermelin, M. & Poupeau, G. 2001. Depósitos de los últimos 40 000 años BP en el departamento de Risaralda, Colombia. En: Universidad Tecnológica de Pereira (Editor), *Suelos del eje cafetero*. Universidad Tecnológica de Pereira & Cooperación Alemana al Desarrollo, p. 26–31. Pereira.
- 293.Toro, G.E., van der Hammen, T., Gaviria, S., Dueñas, H. & Poupeau, G. 2003. Dataciones por trazas de fisión de circones provenientes de las formaciones Tilatá y Marichuela (Sabana de Bogotá). Instituto Geográfico Agustín Codazzi. *Análisis Geográficos*, (26): 49–59.
- 294.Toro, G.E., Hermelin, M., Schwabe, E., Posada, B., Silva, D. & Poupeau, G. 2006. Fission-track datings and geomorphic evidences for long-term stability in the Central Cordillera highlands, Colombia. *Zeitschrift für Geomorphologie*, Supplementbände, 145: 1–16.  
URL: <http://www.schweizerbart.de/publications/detail/isbn/3443211453?l=DE#>
- 295.Toro, L.M., Moreno, M. & Gómez, A.d.J. 2011. Geoquímica y petrografía de las rocas volcánicas de la Formación Yaví. Universidad Industrial de Santander. *Boletín de Geología*, 33(1): 93–100. Bucaramanga.

URL:

<http://revistas.uis.edu.co/index.php/revistaboletindegeologia/article/view/2478>

296. Torres, M.P. 2010. Petrografía, geocronología y geoquímica de las ignimbritas de la Formación Popayán, en el contexto del vulcanismo del suroccidente de Colombia. Tesis de maestría, Universidad EAFIT, 115 p. Medellín.
297. Toussaint, J.F., Botero, G. & Restrepo, J.J. 1981a. Datación K/Ar del Batolito de Buga. Universidad Nacional de Colombia. Boletín de Ciencias de la Tierra, (5–6): 59–61. Medellín.
298. Toussaint, J.F., González, H., Restrepo, J.J. & Linares, E. 1981b. Edad K/Ar de tres rocas metamórficas del flanco noroccidental de la cordillera Central. Universidad Nacional de Colombia. Boletín de Ciencias de la Tierra, (5–6): 63–69. Medellín.
299. Toussaint, J.F., González, H., Restrepo, J.J. & Linares, E. 1981c. Edad radiométrica K/Ar del Neis de Puquí. Universidad Nacional de Colombia. Boletín de Ciencias de la Tierra, (5–6): 19–22. Medellín.
300. Toussaint, J.F. & Restrepo, J.J. 1981a. Edad cretácea de una anfibolita granatífera de Pijao, Quindío. Universidad Nacional de Colombia. Boletín de Ciencias de la Tierra, (5–6): 77. Medellín.
301. Toussaint, J.F. & Restrepo, J.J. 1981b. Edad K/Ar de dos rocas básicas del flanco noroccidental de la cordillera Central. Universidad Nacional de Colombia. Boletín de Ciencias de la Tierra, (5–6): 71. Medellín.
302. Tschanz, C.M., Marvin, R.F., Cruz, J., Mehnert, H.H. & Cebula, G.T. 1974. Geologic evolution of the Sierra Nevada de Santa Marta, northeastern Colombia. The Geological Society of America, 85(2): 273–284.  
URL: <http://bulletin.geoscienceworld.org/cgi/content/abstract/85/2/273>
303. Ujueta, G., Macía, C. & Romero, F. 1990. Cuerpo riódacítico del terciario superior en la región de Quetame, Cundinamarca. Universidad Nacional de Colombia. Geología Colombiana, (17): 143–150. Bogotá.
304. Urrego, L.E., Correa Metrio, A., González, C., Castaño, A.R. & Yokoyama, Y. 2013. Contrasting responses of two Caribbean mangroves to sea-level rise in the Guajira Peninsula (Colombian Caribbean). Palaeogeography, Palaeoclimatology, Palaeoecology, 370(0): 92–102.  
URL: <http://www.sciencedirect.com/science/article/pii/S0031018212006657>
305. van der Hammen, T. & González, E. 1965. A late-glacial and Holocene pollen diagram from ciénaga del Visitador (departamento de Boyacá, Colombia). Leidse Geologische Mededelingen, 32: 193–201.
306. van der Hammen, T. 1984. Datos sobre la historia de clima, vegetación y glaciación de la Sierra Nevada de Santa Marta. En: van der Hammen, T. & Ruiz, P.M. (Editores), La Sierra Nevada de Santa Marta (Colombia), Transecto Buriticá-La Cumbre. J. Cramer, Studies on Tropical Andean Ecosystems–Estudios de Ecosistemas Tropandinos 2, p. 561–580. Berlín.
307. van der Hammen, T. & Noldus, G.W. 1984. Paleoecología de la ciénaga Grande de Santa Marta. En: van der Hammen, T. & Ruiz, P.M. (Editores), La Sierra Nevada de Santa Marta (Colombia), transecto Buriticá-La Cumbre. J. Cramer, Studies on Tropical Andean Ecosystems–Estudios de Ecosistemas Tropandinos 2, p. 581–588. Berlín.

308. van der Lelij, R. 2013. Reconstructing north-western Gondwana with implications for the evolution of the Iapetus and Rheic Oceans: A geochronological, thermochronological and geochemical study. Tesis de doctorado, Universidad de Ginebra, 221 p. Ginebra, Suiza.  
URL: <http://archive-ouverte.unige.ch/unige:31653>
309. van der Wiel, A.M. 1991. Uplift and volcanism of the SE Colombian Andes in relation to Neogene sedimentation in the Upper Magdalena Valley. Tesis de doctorado, Universidad de Wageningen, 208 p. Amsterdam.  
URL: <http://library.wur.nl/WebQuery/clc/546064>
310. van der Wiel, A.M. & Andriessen, P.A.M. 1991. Precambrian to recent thermotectonic history of the Garzón Massif (Eastern Cordillera of the Colombian Andes) as revealed by fission track analysis. En: van der Wiel, A.M. (Editor), Uplift and volcanism of the SE Colombian Andes in relation to Neogene sedimentation in the Upper Magdalena Valley. Tesis de doctorado, Universidad de Wageningen, p. 21–40. Amsterdam.  
URL: <http://library.wur.nl/WebQuery/clc/546064>
311. van der Wiel, A.M., Hebeda, E.H. & Andriessen, P.A.M. 1991. Geochronology of the Neogene deposits of the S Neiva basin. En: van der Wiel, A.M. (Editor), Uplift and volcanism of the SE Colombian Andes in relation to Neogene sedimentation in the Upper Magdalena Valley. Tesis de doctorado, Universidad de Wageningen, p. 65–70. Amsterdam.  
URL: <http://library.wur.nl/WebQuery/clc/546064>
312. van der Wiel, A.M. & van den Bergh, G.D. 1992. Uplift, subsidence, and volcanism in the southern Neiva basin, Colombia, Part 1: Influence on fluvial deposition in the Miocene Honda Formation. Journal of South American Earth Sciences, 5(2): 153–173.  
URL: <http://www.sciencedirect.com/science/article/pii/089598119290036X>
313. van der Wiel, A.M., van den Bergh, G.D. & Hebeda, E.H. 1992. Uplift, subsidence, and volcanism in the southern Neiva basin, Colombia, Part 2: Influence on fluvial deposition in the Miocene Gigante Formation. Journal of South American Earth Sciences, 5(2): 175–196.  
URL: <http://www.sciencedirect.com/science/article/pii/089598119290037Y>
314. van Geel, B. & van der Hammen, T. 1973. Upper Quaternary vegetational and climatic sequence of the Fuquene area (Eastern Cordillera, Colombia). Palaeogeography, Palaeoclimatology, Palaeoecology, 14(1): 9–92.  
URL: <http://www.sciencedirect.com/science/article/pii/0031018273900643>
315. van Houten, F.B. 1976. Late Cenozoic volcaniclastic deposits, Andean foredeep, Colombia. Geological Society of America Bulletin, 87(4): 481–495.  
URL: <http://bulletin.geoscienceworld.org/cgi/content/abstract/87/4/481>
316. van't Veer, R., Islebe, G.A. & Hooghiemstra, H. 2000. Climatic change during the Younger Dryas chron in northern South America: A test of the evidence. Quaternary Science Reviews, 19(17–18): 1821–1835.  
URL: <http://www.sciencedirect.com/science/article/pii/S0277379100000937>
317. Vásquez, M., Altenberger, U. & Romer, R.L. 2009. Neogene magmatism and its possible causal relationship with hydrocarbon generation in SW Colombia. International Journal of Earth Sciences, 98(5): 1053–1062.  
URL: <http://link.springer.com/article/10.1007%2Fs00531-008-0303-6>

318. Vásquez, M., Altenberger, U., Romer, R.L., Sudo, M. & Moreno Murillo, J.M. 2010. Magmatic evolution of the Andean Eastern Cordillera of Colombia during the Cretaceous: Influence of previous tectonic processes. *Journal of South American Earth Sciences*, 29(2): 171–186.  
URL: <http://www.sciencedirect.com/science/article/pii/S0895981109000170>
319. Velásquez, C.A. & Hooghiemstra, H. 2013. Pollen-based 17-kyr forest dynamics and climate change from the Western Cordillera of Colombia; no-analogue associations and temporarily lost biomes. *Review of Palaeobotany and Palynology*, 194: 38–49.  
URL: <http://www.sciencedirect.com/science/article/pii/S0034666713000432>
320. Vélez, M.I., Wille, M., Hooghiemstra, H., Metcalfe, S., Vandenberghe, J. & van der Borg, K. 2001. Late Holocene environmental history of southern Chocó region, Pacific Colombia; sediment, diatom and pollen analysis of core El Caimito. *Palaeogeography, Palaeoclimatology, Palaeoecology*, 173(3–4): 197–214.  
URL: <http://www.sciencedirect.com/science/article/pii/S0031018201003224>
321. Vélez, M.I., Berrío, J.C., Hooghiemstra, H., Metcalfe, S. & Marchant, R. 2005. Palaeoenvironmental changes during the last ca. 8590 calibrated yr (7800 radiocarbon yr) in the dry forest ecosystem of the Patía Valley, southern Colombian Andes: A multiproxy approach. *Palaeogeography, Palaeoclimatology, Palaeoecology*, 216(3–4): 279–302.  
URL: <http://www.sciencedirect.com/science/article/pii/S0031018204005619>
322. Vélez, M.I., Martínez, J.I. & Suter, F.D. 2013. Late Holocene history of the floodplain lakes of the Cauca River, Colombia. *Journal of Paleolimnology*, 49(4): 591–604.  
URL: <http://dx.doi.org/10.1007/s10933-012-9663-9>
323. Verdugo, G. & Aspden, J.A. 1984. Mapa geológico preliminar, plancha 299 Jamundí. Escala 1:100 000. INGEOMINAS. Cali.  
URL:  
[http://aplicaciones1.ingeominas.gov.co/Bodega/i\\_raster/130/10/0100/21861/mapa/pdf/0101218611300003.pdf](http://aplicaciones1.ingeominas.gov.co/Bodega/i_raster/130/10/0100/21861/mapa/pdf/0101218611300003.pdf)
324. Vidal, P., Lasnier, B. & Poirot, J. 1992. Determination of the age and origin of esmeralds using rubidium–strontium analysis. *The Journal of Gemmology*, 23(4): 198–200.
325. Villagómez, D. 2010. Thermochronology, geochronology and geochemistry of the Western and Central cordilleras and Sierra Nevada de Santa Marta, Colombia: The tectonic evolution of NW South America. Tesis de doctorado, Universidad de Ginebra, 143 p. Ginebra, Suiza.  
URL:  
[http://www.academia.edu/4267944/Thermochronology\\_geochronology\\_and\\_geochronology\\_of\\_the\\_Western\\_and\\_Central\\_cordilleras\\_and\\_Sierra\\_Nevada\\_de\\_Santa\\_Marta\\_Colombia\\_The\\_tectonic\\_evolution\\_of\\_NW\\_South\\_America](http://www.academia.edu/4267944/Thermochronology_geochronology_and_geochronology_of_the_Western_and_Central_cordilleras_and_Sierra_Nevada_de_Santa_Marta_Colombia_The_tectonic_evolution_of_NW_South_America)
326. Villagómez, D., Spikings, R., Magna, T., Kammer, A., Winkler, W. & Beltrán, A. 2011a. Geochronology, geochemistry and tectonic evolution of the Western and Central cordilleras of Colombia. *Lithos*, 125(3–4): 875–896.  
URL: <http://www.sciencedirect.com/science/article/pii/S0024493711001319>

327. Villagómez, D., Spikings, R., Mora, A., Guzmán, G., Ojeda, G., Cortés, E. & van der Lelij, R. 2011b. Vertical tectonics at a continental crust–oceanic plateau plate boundary zone: Fission track thermochronology of the Sierra Nevada de Santa Marta, Colombia. *Tectonics*, 30(4): TC4004.  
URL: <http://www.agu.org/pubs/crossref/2011/2010TC002835.shtml>
328. Villagómez, D. & Spikings, R. 2013. Thermochronology and tectonics of the Central and Western cordilleras of Colombia: Early Cretaceous–Tertiary evolution of the northern Andes. *Lithos*, 160–161(0): 228–249.  
URL: <http://www.sciencedirect.com/science/article/pii/S0024493712004999>
329. Vinasco, C.J. 2001. A utilização da metodologia  $^{40}\text{Ar}$ – $^{39}\text{Ar}$  para o estudo de reativações tectônicas em zonas de cisalhamento. Tesis de maestría, Universidade de São Paulo, 85 p. São Paulo.
330. Vinasco, C.J., Cordani, U.G. & Vasconcelos, P. 2001.  $^{40}\text{Ar}$ – $^{39}\text{Ar}$  dates in the Central Cordillera of Colombia: Evidence for an Upper Triassic regional tectonomagmatic event. III South American Symposium on Isotope Geology. Resúmenes CD ROM, p. 638–641. Pucón, Chile.
331. Vinasco, C.J., Cordani, U.G. & Vasconcelos, P. 2003. Application of the  $^{40}\text{Ar}$ / $^{39}\text{Ar}$  methodology in the study of tectonic reactivations of shear zones: Romeral Fault System in the Central Cordillera of Colombia. IV South American Symposium on Isotope Geology. Resúmenes CD ROM, p. 138–144. Salvador de Bahia, Brasil.
332. Vinasco, C.J., Cordani, U.G., González, H., Weber, M. & Peláez, C. 2006. Geochronological, isotopic, and geochemical data from Permo-Triassic granitic gneisses and granitoids of the Colombian Central Andes. *Journal of South American Earth Sciences*, 21(4): 355–371.  
URL: <http://www.sciencedirect.com/science/article/pii/S0895981106000666>
333. Vinasco, C.J. & Cordani, U.G. 2012. Reactivation episodes of the Romeral Fault System in the northwestern part of Central Andes, Colombia, through  $^{40}\text{Ar}$ – $^{39}\text{Ar}$  and K–Ar results. Universidad Nacional de Colombia. Boletín de Ciencias de la Tierra, (32): 111–124. Medellín.  
URL: <http://www.revistas.unal.edu.co/index.php/rbct/article/view/35877>
334. Vinasco, C.J., Cardona, A., Areiza, M., Weber, M. & Valencia, V.A. 2013. Inversión tectónica cretácica de los andes del norte: Acreción de terrenos y cierre de cuencas marginales. XIV Congreso Colombiano de Geología. Resúmenes CD ROM, p. 191. Bogotá.
335. Walker, R.J., Echeverría, L.M., Shirey, S.B. & Horan, M.F. 1991. Re–Os isotopic constraints on the origin of volcanic rocks, Gorgona Island, Colombia: Os isotopic evidence for ancient heterogeneities in the mantle. *Contributions to Mineralogy and Petrology*, 107(2): 150–162.  
URL: <http://link.springer.com/article/10.1007%2FBF00310704#>
336. Weber, M., Cardona, A., Valencia, V.A., García Casco, A., Tobón, M. & Zapata, S. 2010. U/Pb detrital zircon provenance from late cretaceous metamorphic units of the Guajira Peninsula, Colombia: Tectonic implications on the collision between the Caribbean arc and the South American margin. *Journal of South American Earth Sciences*, 29(4): 805–816.  
URL: <http://www.sciencedirect.com/science/article/pii/S0895981109001679>

337. Weber, M., Cardona, A., Valencia, V.A., Altenberger, U., López Martínez, M., Tobón, M., Zapata, S., Zapata, G. & Concha, A.E. 2011. Geochemistry and geochronology of the Guajira eclogites, northern Colombia: Evidence of a metamorphosed primitive Cretaceous Caribbean Island–arc. *Geologica Acta*, 9(3–4): 425–443.
- URL: <http://www.geologica-acta.com/MostrarAbstractAC.do?abstract=gav0903a12>
338. Wiedemann, H.U. 1973. Reconnaissance of the ciénaga Grande de Santa Marta, Colombia: Physical parameters and geological history. *Mitteilungen aus dem Instituto Colombo–Alemán de Investigaciones Científicas*, 7: 85–119.
- URL: <http://www.invemar.org.co/boletin/ArticulosR.jsp?idVol=89&idRev=1>
339. Wille, M., Negret, Á.J. & Hooghiemstra, H. 2000. Paleoenvironmental history of the Popayán area since 27,000 yr BP at Timbio, southern Colombia. *Review of Palaeobotany and Palynology*, 109(1): 45–63.
- URL: <http://www.sciencedirect.com/science/article/pii/S0034666799000470>
340. Wille, M., Hooghiemstra, H., van Geel, B., Behling, H., de Jong, A. & van der Borg, K. 2003. Submillennium-scale migrations of the rainforest–savanna boundary in Colombia:  $^{14}\text{C}$  wiggle-matching and pollen analysis of core Las Margaritas. *Palaeogeography, Palaeoclimatology, Palaeoecology*, 193(2): 201–223.
- URL: [http://dx.doi.org/10.1016/S0031-0182\(03\)00226-8](http://dx.doi.org/10.1016/S0031-0182(03)00226-8)
341. Wymstra, T.A. & van der Hammen, T. 1966. Palynological data on the history of tropical savannas in the northern South America. *Leidse Geologische Mededelingen*, 38: 71–90.
342. Zapata, G. & Rodríguez, G. 2011. Basalto de El Botón, arco volcánico Mioceno de afinidad shoshonítica al norte de la cordillera Occidental de Colombia. Universidad Nacional de Colombia. *Boletín de Ciencias de la Tierra*, (30): 77–92. Medellín.
- URL: <http://www.revistas.unal.edu.co/index.php/rbct/article/view/29297>
343. Zapata, G. & Rodríguez, G. 2013. Petrografía, geoquímica y edad de la Granodiorita de Farallones y las rocas volcánicas asociadas. Universidad Industrial de Santander. *Boletín de Geología*, 35(1): 81–96. Bucaramanga.
- URL: <http://revistas.uis.edu.co/index.php/revistaboletindegeologia/article/view/3228>
344. Zapata, J.P. 2013. Análisis petrográfico, geoquímico y geocronológico de la secuencia de rocas básicas de Altamira. Tesis de pregrado, Universidad Nacional de Colombia, 65 p. Medellín.
345. Zapata, S., Weber, M., Cardona, A., Valencia, V., Guzmán, G. & Tobón, M. 2010. Provenance of Oligocene conglomerates and associated sandstones from the Siamaná Formation, Serranía de Jarara, Guajira, Colombia: Implications for Oligocene Caribbean–South American tectonics. Universidad Nacional de Colombia. *Boletín de Ciencias de la Tierra*, (27): 7–24. Medellín.
- URL: <http://www.revistas.unal.edu.co/index.php/rbct/article/view/17045/17918>